

THOMAS H.CORMEN  
CHARLES E.LEISERSON  
RONALD R.RIVEST

---

INTRODUCERE ÎN

# ALGORITMI



**Titlul original:** *Introduction to Algorithms*

Copyright © 1990 Massachusetts Institute of Technology

**Editor coordonator:** Clara Ionescu

**Coordonator traducere:** Horia F. Pop

**Traducere:**

Prefața: Simona Motogna

Capitolul 19: Florian M. Boian

Capitolul 1: Horia F. Pop

Capitolul 20: Ioan Lazar

Capitolul 2: Paul Blaga

Capitolul 21: Ioan Lazar

Capitolul 3: Paul Blaga

Capitolul 22: Virginia Niculescu

Capitolul 4: Paul Blaga

Capitolul 23: Adrian Monea

Capitolul 5: Adrian Monea

Capitolul 24: Adrian Monea

Capitolul 6: Radu Trâmbițaș

Capitolul 25: Luminița State

Capitolul 7: Clara Ionescu

Capitolul 26: Mihai Scortaru

Capitolul 8: Zoltán Kása

Capitolul 27: Zoltán Kása, Simona Motogna

Capitolul 9: Luminița State

Capitolul 28: Zoltán Kása

Capitolul 10: Luminița State

Capitolul 29: Florian M. Boian

Capitolul 11: Simona Motogna

Capitolul 30: Mihai Scortaru

Capitolul 12: Simona Motogna

Capitolul 31: Liviu Negrescu

Capitolul 13: Bazil Pârv

Capitolul 32: Radu Trâmbițaș

Capitolul 14: Bazil Pârv

Capitolul 33: Liviu Negrescu

Capitolul 15: Bazil Pârv

Capitolul 34: Liana Bozga

Capitolul 16: Cristina Vertan

Capitolul 35: Liana Bozga

Capitolul 17: Cristina Vertan

Capitolul 36: Mihai Scortaru

Capitolul 18: Cristina Vertan

Capitolul 37: Horia F. Pop

**Lecturare:**

Florian M. Boian, Liana Bozga, Carmen Bucur, Ioana Chiorean, Horia Georgescu,  
Clara Ionescu, Eugen Ionescu, Zoltán Kása, Ioan Lazar, Adrian Monea, Simona Motogna,  
Virginia Niculescu, Bazil Pârv, Horia F. Pop, Mihai Scortaru, Radu Trâmbițaș

**Index:** Simona Motogna

**Grafica:** Dan Crețu

**Coperta:** Mircea Drăgoi

**Au confruntat cu originalul:**

Carmen Bucur, Clara Ionescu, Simona Motogna, Dragoș Petrascu

**Filolog:** cerc. princ. Ileana Câmpean

Copyright © Ediția în limba română Computer Libris Agora

ISBN 973-97534-7-7

# Cuprins

Prefața ediției în limba română	ix
Prefață	xii
<b>1. Introducere</b>	<b>1</b>
1.1. Algoritmi . . . . .	1
1.2. Analiza algoritmilor . . . . .	5
1.3. Proiectarea algoritmilor . . . . .	10
1.4. Rezumat . . . . .	14
<hr/>	
<b>I. Fundamente matematice</b>	<b>18</b>
<b>2. Creșterea funcțiilor</b>	<b>20</b>
2.1. Notația asimptotică . . . . .	20
2.2. Notații standard și funcții comune . . . . .	28
<b>3. Sume</b>	<b>37</b>
3.1. Formule de însumare și proprietăți . . . . .	37
3.2. Delimitarea sumelor . . . . .	40
<b>4. Recurențe</b>	<b>46</b>
4.1. Metoda substituției . . . . .	47
4.2. Metoda iterăției . . . . .	50
4.3. Metoda master . . . . .	53
4.4. Demonstrația teoremei master . . . . .	55
<b>5. Mulțimi etc.</b>	<b>66</b>
5.1. Mulțimi . . . . .	66
5.2. Relații . . . . .	70
5.3. Funcții . . . . .	72
5.4. Grafuri . . . . .	74
5.5. Arbori . . . . .	78

<b>6. Numărare și probabilitate</b>	<b>86</b>
6.1. Numărare . . . . .	86
6.2. Probabilitate . . . . .	91
6.3. Variabile aleatoare discrete . . . . .	96
6.4. Distribuția geometrică și distribuția binomială . . . . .	100
6.5. Cozile distribuției binomiale . . . . .	104
6.6. Analiză probabilistică . . . . .	108
<hr/>	
<b>II. Ordonare și statistici de ordine</b>	<b>116</b>
<b>7. Heapsort</b>	<b>119</b>
7.1. Heap-uri . . . . .	119
7.2. Reconstituirea proprietății de heap . . . . .	121
7.3. Construirea unui heap . . . . .	123
7.4. Algoritmul heapsort . . . . .	125
7.5. Cozi de priorități . . . . .	126
<b>8. Sortarea rapidă</b>	<b>131</b>
8.1. Descrierea sortării rapide . . . . .	131
8.2. Performanța algoritmului de sortare rapidă . . . . .	133
8.3. Variantele aleatoare ale sortării rapide . . . . .	137
8.4. Analiza algoritmului de sortare rapidă . . . . .	139
<b>9. Sortare în timp liniar</b>	<b>147</b>
9.1. Margini inferioare pentru sortare . . . . .	147
9.2. Sortarea prin numărare . . . . .	149
9.3. Ordonare pe baza cifrelor . . . . .	152
9.4. Ordonarea pe grupe . . . . .	154
<b>10. Mediane și statistici de ordine</b>	<b>158</b>
10.1. Minim și maxim . . . . .	158
10.2. Selectia în timp mediu liniar . . . . .	159
10.3. Selectia în timp liniar în cazul cel mai defavorabil . . . . .	161
<hr/>	
<b>III. Structuri de date</b>	<b>167</b>
<b>11. Structuri de date elementare</b>	<b>171</b>
11.1. Stive și cozi . . . . .	171
11.2. Liste înlănuite . . . . .	174
11.3. Implementarea pointerilor și obiectelor . . . . .	178
11.4. Reprezentarea arborilor cu rădăcină . . . . .	182
<b>12. Tabele de dispersie</b>	<b>187</b>
12.1. Tabele cu adresare directă . . . . .	187
12.2. Tabele de dispersie . . . . .	189
12.3. Funcții de dispersie . . . . .	193

12.4. Adresarea deschisă . . . . .	198
<b>13. Arbori binari de căutare</b>	<b>208</b>
13.1. Ce este un arbore binar de căutare? . . . . .	208
13.2. Interrogarea într-un arbore binar de căutare . . . . .	210
13.3. Inserarea și ștergerea . . . . .	214
13.4. Arbori binari de căutare construiți aleator . . . . .	217
<b>14. Arbori roșu-negru</b>	<b>226</b>
14.1. Proprietățile arborilor roșu-negru . . . . .	226
14.2. Rotații . . . . .	228
14.3. Inserarea . . . . .	230
14.4. Ștergerea . . . . .	234
<b>15. Îmbogățirea structurilor de date</b>	<b>243</b>
15.1. Statistici dinamice de ordine . . . . .	243
15.2. Cum se îmbogățește o structură de date . . . . .	248
15.3. Arbori de intervale . . . . .	251
<b>IV. Tehnici avansate de proiectare și analiză</b>	<b>257</b>
<b>16. Programarea dinamică</b>	<b>259</b>
16.1. Înmulțirea unui sir de matrice . . . . .	260
16.2. Elemente de programare dinamică . . . . .	266
16.3. Cel mai lung subșir comun . . . . .	270
16.4. Triangularea optimă a poligoanelor . . . . .	275
<b>17. Algoritmi greedy</b>	<b>283</b>
17.1. O problemă de selectare a activităților . . . . .	283
17.2. Elemente ale strategiei greedy . . . . .	287
17.3. Coduri Huffman . . . . .	290
17.4. Bazele teoretice ale metodei greedy . . . . .	296
17.5. O problemă de planificare a activităților . . . . .	301
<b>18. Analiza amortizată</b>	<b>306</b>
18.1. Metoda de agregare . . . . .	306
18.2. Metoda de cotare . . . . .	310
18.3. Metoda de potențial . . . . .	312
18.4. Tabele dinamice . . . . .	315
<b>V. Structuri de date avansate</b>	<b>325</b>
<b>19. B-arbore</b>	<b>328</b>
19.1. Definiția B-arborelui . . . . .	330
19.2. Operații de bază în B-arbore . . . . .	333
19.3. Ștergerea unei chei dintr-un B-arbore . . . . .	339

<b>20. Heap-uri binomiale</b>	<b>344</b>
20.1. Arbori binomiali și heap-uri binomiale . . . . .	345
20.2. Operații pe heap-uri binomiale . . . . .	349
<b>21. Heap-uri Fibonacci</b>	<b>362</b>
21.1. Structura heap-urilor Fibonacci . . . . .	363
21.2. Operațiile heap-urilor interclasabile . . . . .	364
21.3. Descreșterea unei chei și stergerea unui nod . . . . .	372
21.4. Mărginirea gradului maxim . . . . .	374
<b>22. Structuri de date pentru mulțimi disjuncte</b>	<b>379</b>
22.1. Operații pe mulțimi disjuncte . . . . .	379
22.2. Reprezentarea mulțimilor disjuncte prin liste înlățuite . . . . .	381
22.3. Păduri de mulțimi disjuncte . . . . .	384
22.4. Analiza reuniunii după rang comprimând drumul . . . . .	388
<hr/>	
<b>VI. Algoritmi de grafuri</b>	<b>398</b>
<b>23. Algoritmi elementari de grafuri</b>	<b>400</b>
23.1. Reprezentările grafurilor . . . . .	400
23.2. Căutarea în lățime . . . . .	403
23.3. Căutarea în adâncime . . . . .	410
23.4. Sortarea topologică . . . . .	417
23.5. Componente tare conexe . . . . .	420
<b>24. Arbori de acoperire minimi</b>	<b>428</b>
24.1. Dezvoltarea unui arbore de acoperire minim . . . . .	429
24.2. Algoritmii lui Kruskal și Prim . . . . .	433
<b>25. Drumuri minime de sursă unică</b>	<b>441</b>
25.1. Drumuri minime și relaxare . . . . .	445
25.2. Algoritmul Dijkstra . . . . .	452
25.3. Algoritmul Bellman-Ford . . . . .	456
25.4. Drumuri minime de sursă unică în grafuri orientate aciclice . . . . .	460
25.5. Constrângeri cu diferențe și drumurile minime . . . . .	462
<b>26. Drumuri minime între toate perechile de vârfuri</b>	<b>473</b>
26.1. Drumuri minime și înmulțirea matricelor . . . . .	475
26.2. Algoritmul Floyd-Warshall . . . . .	480
26.3. Algoritmul lui Johnson pentru grafuri rare . . . . .	486
26.4. O modalitate generală pentru rezolvarea problemelor de drum în grafuri orientate	490
<b>27. Flux maxim</b>	<b>498</b>
27.1. Rețele de transport . . . . .	498
27.2. Metoda lui Ford-Fulkerson . . . . .	505
27.3. Cuplaj bipartit maxim . . . . .	515

27.4. Algoritmi de preflux . . . . .	519
27.5. Algoritmul mutare-în-față . . . . .	527
<hr/>	
<b>VII. Capitole speciale</b>	<b>541</b>
<b>28. Rețele de sortare</b>	<b>544</b>
28.1. Rețele de comparare . . . . .	544
28.2. Prințipiu zero-unu . . . . .	548
28.3. O rețea de sortare a secvențelor bitone . . . . .	550
28.4. Rețea de interclasare . . . . .	552
28.5. Rețea de sortare . . . . .	555
<b>29. Circuite aritmetice</b>	<b>561</b>
29.1. Circuite combinaționale . . . . .	561
29.2. Circuite de sumare . . . . .	566
29.3. Circuite multiplicatoare . . . . .	575
29.4. Circuite cu ceas . . . . .	581
<b>30. Algoritmi pentru calculatoare paralele</b>	<b>590</b>
30.1. Saltul de pointer . . . . .	593
30.2. Algoritmi CRCW și algoritmi EREW . . . . .	601
30.3. Teorema lui Brent și eficiența efortului . . . . .	608
30.4. Calculul paralel de prefix, eficient ca efort . . . . .	612
30.5. Întreruperi deterministe de simetrie . . . . .	617
<b>31. Operații cu matrice</b>	<b>626</b>
31.1. Proprietățile matricelor . . . . .	626
31.2. Algoritmul lui Strassen pentru înmulțirea matricelor . . . . .	633
31.3. Sisteme de numere algebrice și înmulțirea matricelor booleene . . . . .	638
31.4. Rezolvarea sistemelor de ecuații liniare . . . . .	642
31.5. Inversarea matricelor . . . . .	653
31.6. Matrice simetrice pozitiv-definite și aproximarea prin metoda celor mai mici pătrate . . . . .	657
<b>32. Polinoame și TFR</b>	<b>666</b>
32.1. Reprezentarea polinoamelor . . . . .	667
32.2. TFD și TFR . . . . .	673
32.3. Implementări eficiente ale TFR . . . . .	679
<b>33. Algoritmi din teoria numerelor</b>	<b>687</b>
33.1. Noțiuni elementare de teoria numerelor . . . . .	688
33.2. Cel mai mare divizor comun . . . . .	693
33.3. Aritmetică modulară . . . . .	697
33.4. Rezolvarea ecuațiilor liniare modulare . . . . .	702
33.5. Teorema chineză a restului . . . . .	705
33.6. Puterile unui element . . . . .	708

33.7. Criptosistemul RSA cu cheie publică . . . . .	711
33.8. Testul de primalitate . . . . .	717
33.9. Factorizarea întreagă . . . . .	724
<b>34. Potrivirea șirurilor</b>	<b>731</b>
34.1. Algoritmul naiv pentru potrivirea șirurilor . . . . .	732
34.2. Algoritmul Rabin-Karp . . . . .	735
34.3. Potrivirea șirurilor folosind automate finite . . . . .	739
34.4. Algoritmul Knuth-Morris-Pratt . . . . .	745
34.5. Algoritmul Boyer-Moore . . . . .	751
<b>35. Geometrie computațională</b>	<b>759</b>
35.1. Proprietățile segmentului de dreaptă . . . . .	759
35.2. Determinarea cazului în care oricare două segmente se intersecțează . . . . .	764
35.3. Determinarea învelitorii convexe . . . . .	769
35.4. Determinarea celei mai apropiate perechi de puncte . . . . .	778
<b>36. NP-completitudine</b>	<b>785</b>
36.1. Timpul polinomial . . . . .	786
36.2. Verificări în timp polinomial . . . . .	792
36.3. NP-completitudine și reductibilitate . . . . .	796
36.4. Demonstrații ale NP-completitudinii . . . . .	804
36.5. Probleme NP-complete . . . . .	810
<b>37. Algoritmi de aproximare</b>	<b>826</b>
37.1. Problema acoperirii cu vârfuri . . . . .	828
37.2. Problema comis-voiajorului . . . . .	830
37.3. Problema acoperirii multimii . . . . .	834
37.4. Problema sumei submultimii . . . . .	838
<b>Bibliografie</b>	<b>845</b>
<b>Index</b>	<b>853</b>

# Prefața ediției în limba română

*Stima i cititori,*

Ani de zile am visat apariția acestei cărți. Știu că mulți profesori, elevi și studenți au căutat lucrarea semnată de Thomas H. Cormen, Charles E. Leiserson și Ronald L. Rivest în original sau diverse traduceri ale ei. Unii, mai norocoși, au reușit poate să împrumute carte din diverse locuri, pentru scurte perioade de timp. Dar această carte conține un volum foarte mare de cunoștințe și nu este suficient să o răsfoiești într-un sfârșit de săptămână, ci este nevoie de luni, poate ani, pentru a putea asimila toate informațiile cuprinse într-o lucrare ca aceasta.

Primul contact cu MIT Press l-am stabilit în toamna anului 1998. Mulțumim doamnei Cristina Sammartin (MIT Press) că ne-a încurajat și a intermediat semnarea contractului pentru traducere și editare în limba română. Acum suntem deja în 2000. A durat traducerea, tehnoredactarea și tipărirea. Pentru apariția în limba română a cărții, adresez mulțumiri profesorilor de la Universitatea “Babeș-Bolyai” și de la Universitatea București, studenților și prietenilor care au sacrificat multe ore din timpul lor liber, pentru ca dumneavoastră să puteți ține această carte în mâna.

Domnul conferențiar dr. Horia F. Pop, de la Universitatea “Babeș-Bolyai”, Facultatea de Matematică și Informatică, a coordonat traducerea, a stabilit împreună cu traducătorii modul de traducere a termenilor de specialitate noi, începând cu index-ul, pentru a asigura o traducere coerentă, omogenă și pe cât posibil unitară. De asemenea, a pregătit și coordonat utilizarea de către traducători a sistemului L<sup>A</sup>T<sub>E</sub>X.

Am lucrat cu cadre didactice universitare de specialitate deoarece o asemenea carte nu se traduce doar cu lingviști, este nevoie de specialiști din domeniu care înțeleg foarte bine conținutul științific și sunt de acord să reformuleze anumite părți pentru a exprima ceea ce de fapt autorul a dorit să comunice. Mulțumim domnilor (în ordine alfabetică) lector dr. Paul Blaga, profesor dr. Florian Mircea Boian, drd. Liana Bozga, profesor dr. Zoltán Kása, lector drd. Ioan Lazar, lector drd. Simona Motogna, asistent drd. Virginia Niculescu, profesor dr. Bazil Pârv, lector dr. Radu Trâmbițaș, de la Universitatea “Babeș-Bolyai” din Cluj, domnului profesor Liviu Negrescu de la Universitatea Tehnică din Cluj, domnului profesor dr. Horia Georgescu de la Academia de Studii Economice, doamnei profesor dr. Luminița State de la Universitatea din Pitești, doamnei lector drd. Cristina Vertan, de la Universitatea București și nu în ultimul rând studenților Adrian Monea și Mihai Scortaru, de la Universitatea Tehnică din Cluj.

Cum aceasta este prima carte editată de Computer Libris Agora în L<sup>A</sup>T<sub>E</sub>X, tehnoredactarea a constituit și ea un efort. În special pregătirea desenelor a ridicat multe probleme, graficianul

nostru Dan Crețu lucrând nenumărate ore la realizarea acestora. “Asistență tehnică” în domeniul pregătirii pentru tipar a fost acordată de Mihai Uricaru.

Într-o carte de asemenea dimensiuni și complexitate cu siguranță se strecoară și unele greșeli. Am dori ca acestea să fie eliminate din viitoarele ediții ale lucrării. Din acest motiv, vă rugăm să ne transmiteți observațiile și sugestiile dumneavoastră pe adresa de e-mail:

[clara@cs.ubbcluj.ro](mailto:clara@cs.ubbcluj.ro)

sau pe adresa editurii:

*Editura Computer Libris Agora*

*Str. Universității nr. 8*

*3400 Cluj Napoca*

*Tel.: 064-192422*

Urmând exemplul american, lista cu greșelile găsite va fi disponibilă pe Internet. Cei care doresc să intre în posesia ultimei erate pot trimite un mesaj la adresa [algoritmi@agora.ro](mailto:algoritmi@agora.ro) conținând expresia “erata algoritmi” în câmpul **Subject** și vor primi automat ultima versiune în format electronic. Alternativ, puteți vizita pagina

<http://www.libris.agora.ro/algoritmi/erata.html>.

Autorii, aşa cum am aflat de la MIT Press, lucrează la o versiune nouă a cărții, revizuită și îmbogățită. Vă promitem că, imediat ce această versiune va fi disponibilă pentru traducere, o vom publica și în limba română.

*Cluj, 28 martie 2000*

*Clara Ionescu, editor coordonator*

# Prefață

Această carte se dorește a fi o introducere exhaustivă în studiul modern al algoritmilor. Ea prezintă mulți algoritmi și îi studiază în profunzime, păstrând totuși analiza și proiectarea lor la un nivel accesibil tuturor cititorilor. Am încercat să păstrăm explicațiile la un nivel elementar fără a afecta profunzimea abordării sau rigoarea matematică.

Fiecare capitol prezintă un algoritm, o tehnică de proiectare, o arie de aplicare sau un subiect legat de acestea. Algoritmi sunt descriși în engleză și în "pseudocod", care a fost astfel conceput încât să poată fi înțeles de oricine care posedă cunoștiințe elementare de programare. Cartea conține peste 260 de figuri, care ilustrează modul de funcționare a algoritmilor. Deoarece considerăm *eficiența* ca un criteriu de bază în proiectare, vom include analiza atentă a timpilor de execuție a algoritmilor prezentăți.

Cartea se adresează, în primul rând, celor care studiază un curs elementar sau academic de algoritmi sau structuri de date. Deoarece studiază atât aspecte tehnice, cât și matematice în proiectarea algoritmilor, este la fel de binevenită pentru profesioniștii autodidacți.

## Pentru profesori

Această carte a fost concepută pentru a fi atât multilaterală cât și completă. O veți găsi utilă pentru diverse cursuri, de la un curs elementar de structuri de date până la un curs academic de algoritmi. Deoarece am adunat considerabil mai mult material decât poate "încăpea" într-un curs obișnuit de un semestrul, cartea poate fi privită ca un "depozit" din care se poate alege materialul cel mai adecvat cursului care urmează să fie prezentat.

Vi se va părea ușor să vă organizați cursul doar pe baza capitoalelor care vă sunt necesare. Am conceput capitoalele relativ de sine stătătoare, astfel încât să nu depindeți în mod neașteptat sau inutil de informații din alte captoale. Fiecare capitol prezintă la început noțiunile mai simple și apoi, cele mai dificile, partitonarea pe secțiuni mărginind în mod natural punctele de oprire. Pentru un curs elementar se pot folosi doar primele secțiuni dintr-un capitol; pentru un curs avansat se poate parcurge întregul capitolul.

Am inclus peste 900 de exerciții și peste 120 de probleme. Fiecare secțiune se încheie cu exerciții, iar fiecare capitol cu probleme. Exercițiile sunt, în general, întrebări scurte care testează stăpânirea noțiunilor de bază prezentate. Unele dintre ele sunt simple verificări, în timp ce altele sunt potrivite ca teme de casă. Problemele reprezintă studii de caz mult mai elaborate, care de multe ori introduc noțiuni noi; în general, constau din mai multe întrebări care conduc studentul prin pașii necesari pentru a ajunge la o soluție.

Am notat cu (\*) secțiunile și exercițiile care se adresează mai degrabă studenților avansați decât celor începători. O secțiune marcată cu (\*) nu este în mod necesar mai dificilă decât

una obișnuită, dar poate necesita înțelegerea unor noțiuni matematice mai complexe. În mod asemănător, exercițiile marcate cu (\*) pot necesita cunoștințe mai avansate sau creativitate mai mult decât medie.

## Pentru studenți

Sperăm ca textul acestei cărți să ofere o introducere plăcută în domeniul algoritmilor. Am intenționat să prezintăm fiecare algoritm într-o manieră accesibilă și interesantă. Pentru a fi un ajutor când întâlniți algoritmi neobișnuiți sau dificili, am descris fiecare algoritm pas cu pas. De asemenea, am oferit explicații detaliate a noțiunilor matematice necesare înțelegerei analizei algoritmilor. Dacă deja dispuneți de cunoștințe relative la un anumit subiect, atunci veți găsi capitolele organizate astfel încât puteți frunzări secțiunile introductive și să vă concentrați asupra noțiunilor mai complexe.

Fiind o carte vastă, e posibil ca ceea ce vi se predă să acopere doar o parte a acestui material. Oricum, ne-am străduit să construim această carte utilă și ca suport de curs, și ca o referință teoretică și practică în cariera voastră viitoare.

Care sunt cerințele pentru a înțelege această carte?

- Este necesară o anumită experiență de programare. În particular, trebuie să înțelegeți procedurile recursive și structurile de date simple, ca tablouri sau liste înlăntuite.
- Este necesară o anumită experiență în demonstrații prin inducție matematică. Unele porțiuni din carte se bazează pe anumite cunoștințe de calcul elementar. În afară de asta, partea întâi a acestei cărți vă prezintă toate tehniciile matematice necesare.

## Pentru profesioniști

Aria largă de subiecte prezentate în această carte o recomandă ca un excelent manual de algoritmi. Deoarece fiecare capitol este conceput relativ independent, vă puteți concentra doar asupra subiectelor care vă interesează.

Majoritatea algoritmilor luați în discuție au o mare aplicabilitate practică. Din acest motiv, luăm în studiu și aspecte legate de implementare și alte probleme “ingineresci”. În general, am propus alternative practice puținilor algoritmi care prezintă interes primordial teoretic.

Dacă doriți să implementați oricare dintre algoritmi, veți constata că transcrierea algoritmilor din pseudocod în limbajul de programare preferat este o sarcină relativ ușoară. Limbajul pseudocod este astfel proiectat încât să prezinte fiecare algoritm într-un stil clar și concis. În consecință, nu luăm în considerare tratarea erorilor sau alte aspecte tehnice care necesită presupuneri specifice relative unor medii de programare. Am urmărit să prezintăm fiecare algoritm simplu și direct, fără a ne opri asupra detaliilor relative la limba de programare.

## Erori

O carte de asemenea dimensiune este în mod cert supusă erorilor și omisiunilor. Dacă descoperiți o eroare sau aveți unele sugestii constructive, am aprecia să ni le împărtășiți. Sunt binevenite, în mod special, sugestii pentru noi exerciții și probleme, dar vă rugăm să includeți și soluțiile. Le puteți trimite prin poștă, pe adresa:

*Introduction to Algorithms*

MIT Laboratory for Computer Science  
545 Technology Square  
Cambridge, Massachusetts 02139

Sau, puteți folosi poșta electronică pentru a semnala erori, pentru a cere o erată sau pentru a face sugestii constructive. Pentru a primi instrucțiunile de rigoare, trimiteți un mesaj pe adresa [algorithms@theory.lcs.mit.edu](mailto:algorithms@theory.lcs.mit.edu) cu “Subject: help” în antetul mesajului. Regretăm că nu putem răspunde personal la toate mesajele.

## Mulțumiri

Mai mulți prieteni și colegi au contribuit la calitatea acestei cărți. Le mulțumim tuturor pentru ajutorul dat și pentru observațiile constructive pe care ni le-au adresat.

Laboratorul de Informatică al Universității MIT a reprezentat un cadru de lucru ideal. În mod deosebit, colegii noștri de la laboratorul Grupului de Teoria Calculatoarelor ne-au ajutat și acceptat cererile noastre continue de parcurgere critică a capitolelor. Dorim să mulțumim în mod special următorilor colegi: Baruch Awerbuch, Shafi Goldwasser, Leo Guibas, Tom Leighton, Albert Meyer, David Shmoys și Eva Tardos. Mulțumiri lui William Ang, Sally Bemus, Ray Hirschfeld și Mark Reinhold pentru întreținerea calculatoarelor (DEC Microvax, Apple Macintosh și Sun Sparcstation) și pentru recomplarea *TEX* ori de câte ori am depășit limita timpului de compilare. Menționăm ajutorul oferit lui Charles Leiserson de Machines Corporation, pentru a putea lucra la această carte chiar și în perioada absenței sale de la MIT.

Mulți dintre colegii noștri au folosit manuscrise ale acestei cărți pentru cursuri predate la alte școli, sugerând numeroase corecții și revizuiri. Dorim să mulțumim în mod deosebit următorilor: Richard Beigel (Yale), Andrew Goldberg (Stanford), Joan Lucas (Rutgers), Mark Overmars (Utrecht), Alan Sherman (Tufts și Maryland) și Diane Souvaine (Rutgers).

De asemenea, mulți asistenți ai cursurilor noastre au avut contribuții majore la dezvoltarea acestei cărți. Mulțumim în mod special următorilor: Alan Baratz, Bonnie Berger, Aditi Dhagat, Burt Kaliski, Arthur Lent, Andrew Moulton, Marios Papaefthymiou, Cindy Phillips, Mark Reinhold, Phil Rogaway, Flavio Rose, Arie Rudich, Alan Sherman, Cliff Stein, Susmita Sur, Gregory Troxel și Margaret Tuttle.

Asistența tehnică necesară a fost asigurată de mai multe persoane. Denise Sergent a petrecut multe ore în bibliotecile universității MIT pentru a căuta referințe bibliografice. Maria Sensale, bibliotecara sălii noastre de lectură, a fost tot timpul deosebit de săritoare. Accesul la biblioteca personală a lui Albert Meyer ne-a economisit mult timp în pregătirea referințelor bibliografice. Shlomo Kipnis, Bill Niehaus și David Wilson au demonstrat vechi exerciții, au propus unele noi și au schițat notițe relative la rezolvarea lor. Marios Papaefthymiou și Gregory Troxel au contribuit la realizarea indexului. De-a lungul anilor, secretarele noastre: Inna Radzihovsky, Denise Sergent, Gayle Sherman și în mod deosebit Be Hubbard au fost un sprijin continuu în acest proiect, pentru care le aducem mulțumiri.

Multe erori din primele manuscrise au fost detectate de studenți. Mulțumim în mod special următorilor: Bobby Blumofe, Bonnie Eisenberg, Raymond Johnson, John Keen, Richard Lethin, Mark Lillibridge, John Pezaris, Steve Ponzi și Margaret Tuttle pentru parcurgerile și corecturile efectuate.

De asemenea, colegii noștri au adus critici asupra anumitor capitulo, ne-au oferit indicații asupra unor algoritmi specifici, motiv pentru care le suntem îndatorați. Mulțumim în mod

deosebit următorilor: Bill Aiello, Alok Aggarwal, Eric Bach, Vašek Chvátal, Richard Cole, Johan Hastad, Alex Ishii, David Johnson, Joe Killian, Dina Kravets, Bruce Maggs, Jim Orlin, James Park, Thane Plambeck, Hershel Safer, Jeff Shallit, Cliff Stein, Gil Strang, Bob Tarjan și Paul Wang. Câțiva colegi ne-au oferit probleme propuse; le mulțumim următorilor: Andrew Goldberg, Danny Sleator și Umesh Vazirani.

Această carte a fost redactată cu L<sup>A</sup>T<sub>E</sub>X, un pachet de macrouri T<sub>E</sub>X. Figurile au fost desenate pe Apple Macintosh folosind MacDraw II; mulțumim lui Joanna Terry de la Claris Corporation și lui Michael Mahoney de la Advanced Computer Graphics pentru sprijinul lor. Indexul a fost compilat folosind Windex, un program C scris de autori. Bibliografia a fost pregătită folosind BIBT<sub>E</sub>X. Cartea a fost tipărită la American Mathematical Society cu ajutorul unei mașini Autologic; mulțumim lui Ralph Youngen de la AMS pentru ajutorul dat. Coperta cărții a fost concepută de Jeannet Leendertse. Design-ul cărții a fost creat de Rebecca Daw, iar Amy Hendrickson l-a implementat în L<sup>A</sup>T<sub>E</sub>X.

Colaborarea cu MIT Press și McGraw-Hill a fost deosebit de plăcută. Mulțumim în mod special următorilor: Frank Satlowsky, Terry Ehling, Larry Cohen și Lorrie Lejeune de la MIT Press și David Shapiro de la McGraw-Hill pentru încurajări, sprijin și răbdare. Suntem deosebit de recunoscători lui Larry Cohen pentru editarea excepțională.

În fine, mulțumim soților noastre – Nicole Cormen, Linda Lue Leiserson și Gail Rivest – și copiilor noștri – Ricky, William și Debby Leiserson și Alex și Christopher Rivest – pentru dragostea și sprijinul lor pe întreaga durată a scrierii acestei cărți. (Alex Rivest ne-a ajutat în mod special cu “Paradoxul zilei de naștere a martianului”). Dragostea, răbdarea și încurajarea din partea familiilor noastre au făcut acest proiect posibil. Le dedicăm din suflet această carte lor.

*Cambridge, Massachusetts  
Martie, 1990*

THOMAS H. CORMEN  
CHARLES E. LEISERSON  
RONALD L. RIVEST

---

# 1 Introducere

Acest capitol vă va familiariza cu concepțele de bază folosite în această carte, referitor la proiectarea și analiza algoritmilor. Este un text, practic, independent de restul cărții, dar include câteva referiri la materialul care va fi introdus în partea I.

Începem cu o discuție asupra problemelor generale ale calculabilității și ale algoritmilor necesari pentru rezolvarea acestora, cu problema sortării, ca exemplu introductiv. Pentru a arăta cum vom specifica algoritmii prezențăți, vom introduce un “pseudocod”, care ar trebui să fie familiar cititorilor obișnuiți cu programarea. Sortarea prin inserție, un algoritm simplu de sortare, va servi ca exemplu inițial. Vom analiza timpul de execuție pentru sortarea prin inserție, introducând o notație care să descrie modul în care crește acest timp o dată cu numărul obiectelor aflate în operația de sortare. De asemenea, vom introduce în proiectarea algoritmilor metoda *divide i st pâne te*, pe care o vom utiliza pentru dezvoltarea unui algoritm numit sortare prin interclasare. Vom încheia cu o comparație între cei doi algoritmi de sortare.

---

## 1.1. Algoritmi

Fără a fi foarte exacți, spunem că un **algoritm** este orice procedură de calcul bine definită care primește o anumită valoare sau o mulțime de valori ca **date de intrare** și produce o anumită valoare sau mulțime de valori ca **date de ieșire**. Astfel, un algoritm este un sir de pași care transformă datele de intrare în date de ieșire.

Putem, de asemenea, să privim un algoritm ca pe un instrument de rezolvare a **problemelor de calcul** bine definite. Enunțul problemei specifică, în termeni generali, relația dorită intrare/ieșire. Algoritmul descrie o anumită procedură de calcul pentru a se ajunge la această legătură intrare/ieșire.

Vom începe studiul algoritmilor cu problema sortării unui sir de numere în ordine nedescrescătoare. Această problemă apare frecvent în practică și furnizează o bază foarte utilă pentru introducerea multor metode standard pentru proiectarea și analiza algoritmilor. Iată cum vom defini formal **problema sortării**:

**Date de intrare:** Un sir de  $n$  numere  $\langle a_1, a_2, \dots, a_n \rangle$ .

**Date de ieșire:** O permutare (reordonare) a sirului inițial,  $\langle a'_1, a'_2, \dots, a'_n \rangle$  astfel încât  $a'_1 \leq a'_2 \leq \dots \leq a'_n$ .

Fiind dat un sir de intrare, ca, de exemplu,  $\langle 31, 41, 59, 26, 41, 58 \rangle$ , un algoritm de sortare returnează, la ieșire, sirul  $\langle 26, 31, 41, 41, 58, 59 \rangle$ . Un sir de intrare ca cel de mai sus se numește o **instanță** a problemei de sortare. În general, prin **instanță a unei probleme** se va înțelege mulțimea tuturor datelor de intrare (care satisfac restricțiile impuse în definirea problemei) necesare pentru a determina o soluție a problemei.

Sortarea este o operație fundamentală în informatică (multe programe o folosesc ca pas intermediu) și, ca urmare, a fost dezvoltat un număr mare de algoritmi de sortare. Care algoritm este cel mai bun pentru o aplicație dată depinde de numărul de obiecte care trebuie sortate, de



**Figura 1.1** Modul de sortare a unei mâini de cărți, utilizând sortarea prin inserție.

gradul în care aceste obiecte sunt deja sortate înn-tr-un anumit fel și de tipul de mediu electronic care urmează să fie folosit: memorie principală, discuri sau benzi magnetice.

Un algoritm este **corect** dacă, pentru orice instanță a sa, se termină furnizând ieșirea corectă. Vom spune că un algoritm corect **rezolvă** problema de calcul dată. Un algoritm incorect s-ar putea să nu se termine deloc în cazul unor anumite instanțe de intrare, sau s-ar putea termina producând un alt răspuns decât cel dorit. Contra ar ceea ce s-ar putea crede, algoritmii incorectî pot fi uneori utili dacă rata lor de eroare poate fi controlată. Vom vedea un exemplu în capitolul 33, când vom studia algoritmi pentru găsirea numerelor prime foarte mari. Totuși, în general ne vom ocupa doar de algoritmi corecți.

Concret, un algoritm poate fi specificat printr-un program pentru calculator sau chiar ca un echipament hardware. Singura condiție este aceea că specificațiile să producă o descriere precisă a procedurii de calcul care urmează a fi parcursă.

În această carte vom descrie algoritmii sub forma unor programe scrise înn-tr-un **pseudocod** care seamănă foarte mult cu limbajele C, Pascal sau Algol. Dacă sunteți cât de cât familiarizați cu oricare dintre acestea, nu veți avea probleme în a citi algoritmii noștri. Ceea ce diferențiază codul “real” de pseudocod este faptul că vom folosi metoda cea mai clară și mai concisă pentru a descrie un algoritm dat. O altă diferență dintre pseudocod și codul real este aceea că pseudocodul nu se ocupă de detalii de utilizare. Problemele abstractizării datelor, a modularității sau a tratării erorilor sunt deseori ignorate, pentru a transmite cât mai concis esența algoritmului.

## Sortarea prin inserție

Începem cu **sortarea prin inserție**, care este un algoritm eficient pentru sortarea unui număr mic de obiecte. Sortarea prin inserție funcționează în același fel în care mulți oameni sortează un pachet de cărți de joc obișnuite. Se începe cu pachetul așezat pe masă cu fața în jos și cu mâna stângă goală. Apoi, luăm câte o carte de pe masă și o inserăm în poziția corectă în mâna stângă. Pentru a găsi poziția corectă pentru o carte dată, o comparăm cu fiecare dintre cărțile aflate deja în mâna stângă, de la dreapta la stânga, aşa cum este ilustrat în figura 1.1.

Pseudocodul pentru sortarea prin inserție este prezentat ca o procedură numită SORTEAZĂ-PRIN-INSERTIE, care are ca parametru un vector  $A[1..n]$  conținând un sir de lungime  $n$  care urmează a fi sortat. (Pe parcursul codului, numărul de elemente ale lui  $A$  este notat prin  $\text{lungime}[A]$ .) Numerele de intrare sunt **sortate pe loc**, în cadrul aceluiasi vector  $A$ ; cel mult un număr constant dintre acestea sunt memorate în zone de memorie suplimentare. Când SORTEAZĂ-PRIN-INSERTIE se termină, vectorul inițial  $A$  va conține elementele sirului de ieșire sortat.

SORTEAZĂ-PRIN-INSERTIE( $A$ )

- 1: **pentru**  $j \leftarrow 2$ ,  $\text{lungime}[A]$  **execută**
- 2:    $\text{cheie} \leftarrow A[j]$
- 3:   ▷ Insereză  $A[j]$  în sirul sortat  $A[1..j - 1]$
- 4:    $i \leftarrow j - 1$
- 5:   **cât timp**  $i > 0$  și  $A[i] > \text{cheie}$  **execută**
- 6:      $A[i + 1] \leftarrow A[i]$
- 7:      $i \leftarrow i - 1$
- 8:    $A[i + 1] \leftarrow \text{cheie}$

Figura 1.2 ilustrează modul de funcționare a acestui algoritm pentru  $A = \langle 5, 2, 4, 6, 1, 3 \rangle$ . Indicele  $j$  corespunde “cărții” care urmează a fi inserată în mâna stângă. Elementele  $A[1..j - 1]$  corespund mulțimii de cărți din mână, deja sortate, iar elementele  $A[j + 1..n]$  corespund pachetului de cărți aflate încă pe masă. Indicele se deplasează de la stânga la dreapta în interiorul vectorului. La fiecare iterare, elementul  $A[j]$  este ales din vector (linia 2). Apoi, plecând de la poziția  $j - 1$ , elementele sunt, succesiv, deplasate o poziție spre dreapta până când este găsită poziția corectă pentru  $A[j]$  (liniile 4–7), moment în care acesta este inserat (linia 8).

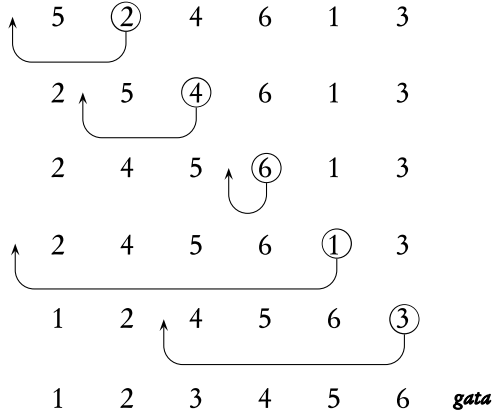
## Convenții pentru pseudocod

La scrierea pseudocodului vom folosi următoarele convenții:

1. Indentarea indică o structură de bloc. De exemplu, corpul ciclului **pentru**, care începe în linia 1, constă din liniile 2–8 iar corpul ciclului **cât timp**, care începe în linia 5, conține liniile 6–7, dar nu și linia 8. Stilul nostru de indentare se aplică și structurilor de tipul **dacă-atunci-altfel**. Folosirea indentării în locul unor indicatori de bloc de tipul **begin** și **end**, reduce cu mult riscul de confuzie, îmbunătățind claritatea prezentării.<sup>1</sup>
2. Ciclurile de tipul **cât timp**, **pentru**, **repetă** și construcțiile condiționale **dacă**, **atunci** și **altfel** au aceeași interpretare ca și structurile similare din Pascal.
3. Simbolul  $\triangleright$  indică faptul că restul liniei este un comentariu.
4. O atribuire multiplă de forma  $i \leftarrow j \leftarrow e$  înseamnă atribuirea valorii expresiei  $e$  ambelor variabile  $i$  și  $j$ ; aceasta ar trebui tratată ca un echivalent al atribuirii  $j \leftarrow e$ , urmată de atribuirea  $i \leftarrow j$ .

---

<sup>1</sup>În limbajele de programare reale, indentarea, ca unică metodă pentru indicarea structurilor de bloc, nu este în general recomandabilă, deoarece nivelurile de indentare se determină greoi în cazul unor coduri care se continuă pe mai multe pagini.



**Figura 1.2** Modul de operare a procedurii **SORTEAZĂ-PRIN-ÎNSETIE** asupra vectorului  $A = \langle 5, 2, 4, 6, 1, 3 \rangle$ . Poziția indicelui  $j$  este indicată printr-un cerc.

5. Variabilele (de exemplu  $i, j, cheie$ ) sunt locale pentru o procedură dată. Nu vom utiliza variabile globale fără a preciza acest lucru în mod explicit.
6. Elementele unui vector sunt accesate specificând numele vectorului urmat de indice în paranteze drepte. De exemplu,  $A[i]$  indică elementul de rang  $i$  al vectorului  $A$ . Notația “..” este folosită pentru a indica un domeniu de valori în cadrul unui vector. Astfel,  $A[1..j]$  indică un subvector al lui  $A$  constând din elementele  $A[1], A[2], \dots, A[j]$ .
7. Datele compuse sunt, în mod ușual, organizate în **obiecte** care conțin **attribute** sau **câmpuri**. Un anumit câmp este accesat folosind numele câmpului urmat de numele obiectului său în paranteze drepte. De exemplu, tratăm un vector ca pe un obiect cu atributul *lungime* indicând numărul de elemente ale acestuia. Pentru a specifica numărul de elemente ale unui vector  $A$ , se va scrie *lungime[A]*. Deși vom folosi parantezele drepte atât pentru indexarea elementelor unui vector, cât și pentru attributele obiectelor, va fi clar din context care este interpretarea corectă.

O variabilă reprezentând un vector sau un obiect este tratată ca un pointer spre datele care reprezintă vectorul sau obiectul. Pentru toate câmpurile  $f$  ale unui obiect  $x$ , atribuirea  $y \leftarrow x$  are ca efect  $f[y] = f[x]$ . Mai mult, dacă acum avem  $f[x] \leftarrow 3$ , atunci nu numai  $f[x] = 3$ , dar, în același timp, avem și  $f[y] = 3$ . Cu alte cuvinte,  $x$  și  $y$  indică spre (sau “sunt”) același obiect după atribuirea  $y \leftarrow x$ . Uneori, un pointer nu se va referi la nici un obiect. În acest caz special pointerul va primi valoarea NIL.

8. Parametrii sunt transmiși unei proceduri **prin valoare**: procedura apelată primește propria sa copie a parametrilor și, dacă atribuie o valoare unui parametru, schimbarea *nu* este văzută de procedura apelantă. Când obiectele sunt transmise procedurii, este copiat doar pointerul spre datele reprezentând obiectul, nu și câmpurile acestuia. De exemplu, dacă  $x$  este un parametru al unei proceduri apelate, atribuirea  $x \leftarrow y$  în cadrul procedurii apelate nu este vizibilă din procedura apelantă. Atribuirea  $f[x] \leftarrow 3$  este, totuși, vizibilă.

## Exerciții

**1.1-1** Folosind ca model figura 1.2, ilustrați modul de operare al procedurii SORTEAZĂ-PRIN-INSERTIE asupra vectorului  $A = \langle 31, 41, 59, 26, 41, 58 \rangle$ .

**1.1-2** Rescrieți procedura SORTEAZĂ-PRIN-INSERTIE pentru a sorta în ordine necrescătoare în loc de ordine nedescrescătoare.

**1.1-3** Să considerăm **problema căutării**:

**Date de intrare:** Un sir de  $n$  numere  $A = \langle a_1, a_2, \dots, a_n \rangle$  și o valoare  $v$ .

**Date de ieșire:** Un indice  $i$  astfel încât  $v = A[i]$  sau valoarea specială NIL dacă  $v$  nu apare în  $A$ .

Scrieți un algoritm pentru o **căutare liniară**, care parurge sirul în căutarea lui  $v$ .

**1.1-4** Să considerăm problema adunării a doi întregi binari pe  $n$  biți memorati în doi vectori  $n$ -dimensionali  $A$  și  $B$ . Suma celor doi întregi trebuie să fie memorată în formă binară într-un vector  $C$  având  $n + 1$  elemente. Găsiți un enunț formal al problemei și scrieți un algoritm pentru adunarea celor doi întregi.

## 1.2. Analiza algoritmilor

**Analiza** unui algoritm a ajuns să însemne prevederea resurselor pe care algoritmul le solicită. Uneori, resurse ca memoria, lățimea benzii de comunicație, porturi logice sunt prima preocupare, dar, de cele mai multe ori, vrem să măsurăm timpul de execuție necesar algoritmului. În general, analizând mai mulți algoritmi pentru o anumită problemă, cel mai eficient poate fi identificat ușor. O astfel de analiză poate indica mai mulți candidați viabili, dar câțiva algoritmi inferiori sunt, de obicei, eliminați în timpul analizei.

Înainte de a analiza un algoritm, trebuie să avem un model al tehnologiei de implementare care urmează să fie folosită, inclusiv un model pentru resursele acesteia și costurile corespunzătoare. În cea mai mare parte a acestei cărți, vom presupune că tehnologia de implementare este un model de calcul generic cu un procesor, **mașină cu acces aleator (random-access machine, RAM)** și vom presupune că algoritmii vor fi implementați ca programe pentru calculator. În modelul RAM, instrucțiunile sunt executate una după alta, fără operații concurente. Totuși, în partea finală a cărții, vom avea ocazia să investigăm modele de calcul paralel și hardware digital.

Analiza, chiar și a unui singur algoritm, poate fi, uneori, o încercare dificilă. Matematica necesară poate să includă combinatorică, teoria probabilităților, dexteritate algebraică și abilitatea de a identifica cei mai importanți termeni într-o expresie. Deoarece comportarea unui algoritm poate fi diferită în funcție de datele de intrare, avem nevoie de un mijloc de exprimare a acestui comportare în formule simple, ușor de înțeles.

Deși, pentru a analiza un algoritm, selectăm numai un anumit tip de model de mașină de calcul, rămân mai multe posibilități de alegere a felului în care decidem să exprimăm această analiză. Un scop imediat este de a găsi un mijloc de exprimare care să fie simplu de scris și de manevrat, care să arate principalele resurse necesare unui algoritm și să suprime detaliile inutile.

## Analiza sortării prin inserție

Timpul de execuție necesar procedurii SORTEAZĂ-PRIN-INSERTIE depinde de intrare: sortarea a o mie de numere ia mai mult timp decât sortarea a trei. Mai mult decât atât, SORTEAZĂ-PRIN-INSERTIE poate să consume timpi diferenți pentru a sorta două siruri de numere de aceeași dimensiune, în funcție de măsura în care acestea conțin numere aproape sortate. În general, timpul necesar unui algoritm crește o dată cu dimensiunea datelor de intrare, astfel încât este tradițional să se descrie timpul de execuție al unui program în funcție de dimensiunea datelor de intrare. În acest scop, trebuie să definim cu mai multă precizie termenii de “timp de execuție” și “dimensiune a datelor de intrare”.

Definiția *dimensiunii datelor de intrare* depinde de problema studiată. Pentru multe probleme, cum ar fi sortarea sau calculul unei transformate Fourier discrete, cea mai naturală măsură este *num rul de obiecte din datele de intrare* – de exemplu, pentru sortare, un vector de dimensiune  $n$ . Pentru multe alte probleme, ca spre exemplu înmulțirea a doi întregi, cea mai bună măsură pentru dimensiunea datelor de intrare este *num rul total de bi i* necesari pentru reprezentarea datelor de intrare în notație binară. Uneori, este mai potrivit să exprimăm dimensiunea datelor de intrare prin două numere în loc de unul. De exemplu, dacă datele de intrare ale unui algoritm sunt reprezentate de un graf, dimensiunea datelor de intrare poate fi descrisă prin numărul de vârfuri și muchii ale grafului. Pentru fiecare problemă pe care o vom studia, vom indica măsura utilizată pentru dimensiunea datelor de intrare.

**Timpul de execuție** a unui algoritm pentru un anumit set de date de intrare este determinat de numărul de operații primitive sau “pași” execuțiați. Este util să definim noțiunea de “pas” astfel încât să fie cât mai independent de calculator. Pentru moment, să adoptăm următorul punct de vedere. Pentru execuția unei linii din pseudocod este necesară o durată constantă de timp. O anumită linie poate avea nevoie de un timp de execuție diferit decât o alta, dar vom presupune că fiecare execuție a liniei  $i$  consumă timpul  $c_i$ , unde  $c_i$  este o constantă. Acest punct de vedere este conform cu modelul RAM și, în același timp, reflectă, destul de bine, modul în care pseudocodul poate fi, de fapt, utilizat în cele mai multe cazuri concrete.<sup>2</sup>

În prezentarea care urmează, expresia noastră pentru timpul de execuție al algoritmului SORTEAZĂ-PRIN-INSERTIE va evolu de la o formulă relativ complicată, care folosește toate costurile de timp  $c_i$ , la una mult mai simplă în notații, care este mai concisă și mai ușor de manevrat. Această notație mai simplă va face, de asemenea, ușor de determinat dacă un algoritm este mai eficient decât altul.

Începem prin a relua prezentarea procedurii SORTEAZĂ-PRIN-INSERTIE, adăugând “costul” de timp pentru fiecare instrucțiune și un număr care reprezintă de câte ori aceasta este efectiv executată. Pentru fiecare  $j = 2, 3, \dots, n$ , unde  $n = \text{lungime}[A]$ , vom nota cu  $t_j$  numărul de execuții ale testului **cât timp** din linia 5 pentru valoarea fixată  $j$ . Vom presupune că un comentariu nu este o instrucțiune executabilă, prin urmare nu cere timp de calcul.

Timpul de execuție al algoritmului este suma tuturor timpilor de execuție corespunzători

---

<sup>2</sup>Există aici câteva subtilități: pașii de calcul pe care îi precizăm sunt, cel mai adesea, variante ale unor proceduri care cer mai mult decât doar un timp constant. De exemplu, în continuare, în această carte am putea spune, într-o linie de pseudocod, “sorteză punctele conform coordonatei  $x$ ”, care, aşa cum vom vedea, cere mai mult decât un timp constant. De asemenea, se poate observa că o instrucțiune care apelează o subrutină are nevoie de un timp constant, deși subrutina, o dată apelată, are nevoie de mai mult timp de execuție. Din acest motiv, separăm procesul de a **apela** o subrutină – trecerea parametrilor către aceasta etc. – de procesul de a **executa** subrutina.

SORTEAZĂ-PRIN-INSERTIE( $A$ )	$cost$	$time$
1: <b>pentru</b> $j \leftarrow 2$ , $lungime[A]$ <b>execută</b>	$c_1$	$n$
2: $cheie \leftarrow A[j]$	$c_2$	$n - 1$
3:   ▷ Inserează $A[j]$ în sirul sortat $A[1..j - 1]$	0	$n - 1$
4: $i \leftarrow j - 1$	$c_4$	$n - 1$
5: <b>cât timp</b> $i > 0$ și $A[i] > cheie$ <b>execută</b>	$c_5$	$\sum_{j=2}^n t_j$
6: $A[i + 1] \leftarrow A[i]$	$c_6$	$\sum_{j=2}^n (t_j - 1)$
7: $i \leftarrow i - 1$	$c_7$	$\sum_{j=2}^n (t_j - 1)$
8: $A[i + 1] \leftarrow cheie$	$c_8$	$n - 1$

fiecărei instrucțiuni executate: o instrucțiune care consumă timpul  $c_i$  pentru execuție și este executată de  $n$  ori, va contribui cu  $c_i n$  la timpul total de execuție.<sup>3</sup> Pentru a calcula  $T(n)$ , timpul de execuție pentru SORTEAZĂ-PRIN-INSERTIE, vom aduna produsele mărimilor indicate în coloanele  $cost$  și  $time$ , obținând

$$\begin{aligned} T(n) = & c_1 n + c_2(n - 1) + c_4(n - 1) + c_5 \sum_{j=2}^n t_j + c_6 \sum_{j=2}^n (t_j - 1) + c_7 \sum_{j=2}^n (t_j - 1) \\ & + c_8(n - 1). \end{aligned}$$

Chiar pentru date de intrare de aceeași mărime, timpul de execuție al unui algoritm dat poate să depindă de *con inutul* datelor de intrare. De exemplu, pentru SORTEAZĂ-PRIN-INSERTIE, cazul cel mai favorabil apare când vectorul de intrare este deja sortat. Pentru fiecare  $j = 2, 3, \dots, n$ , vom găsi că  $A[i] \leq cheie$  în linia 5, când  $i$  are valoarea inițială  $j - 1$ . Rezultă  $t_j = 1$  pentru  $j = 2, 3, \dots, n$  și timpul de execuție în cazul cel mai favorabil este

$$\begin{aligned} T(n) = & c_1 n + c_2(n - 1) + c_4(n - 1) + c_5(n - 1) + c_8(n - 1) \\ = & (c_1 + c_2 + c_4 + c_5 + c_8)n - (c_2 + c_4 + c_5 + c_8). \end{aligned}$$

Acest timp de execuție poate fi exprimat sub forma  $an + b$  pentru anumite *constante*  $a$  și  $b$  care depind doar de timpii de execuție  $c_i$ , fiind astfel o *funcție liniară* de  $n$ .

Dacă vectorul este sortat în ordine inversă – adică, în ordine descrescătoare – obținem cazul cel mai defavorabil. În această situație trebuie să comparăm fiecare element  $A[j]$  cu fiecare element din subvectorul  $A[1..j - 1]$ , și, astfel,  $t_j = j$  pentru  $j = 2, 3, \dots, n$ . Observând că

$$\sum_{j=2}^n j = \frac{n(n + 1)}{2} - 1$$

și

$$\sum_{j=2}^n (j - 1) = \frac{n(n - 1)}{2}$$

---

<sup>3</sup>Un fenomen de acest tip nu mai are loc atunci când se referă la alte resurse, cum ar fi, de exemplu, memoria. O instrucțiune care se referă la  $m$  cuvinte din memorie și este executată de  $n$  ori, nu consumă în general  $mn$  cuvinte de memorie.

(vom reveni asupra acestor sume în capitolul 3), găsim că în cazul cel mai defavorabil timpul de execuție pentru **SORTEAZĂ-PRIN-INSERTIE** este

$$\begin{aligned} T(n) &= c_1 n + c_2(n-1) + c_4(n-1) + c_5 \left( \frac{n(n+1)}{2} - 1 \right) + c_6 \left( \frac{n(n-1)}{2} \right) \\ &\quad + c_7 \left( \frac{n(n-1)}{2} \right) + c_8(n-1) \\ &= \left( \frac{c_5}{2} + \frac{c_6}{2} + \frac{c_7}{2} \right) n^2 + \left( c_1 + c_2 + c_4 + \frac{c_5}{2} - \frac{c_6}{2} - \frac{c_7}{2} + c_8 \right) n \\ &\quad - (c_2 + c_4 + c_5 + c_8). \end{aligned}$$

Rezultă că timpul de execuție în cazul cel mai defavorabil poate fi exprimat sub forma  $an^2 + bn + c$ , unde constantele  $a$ ,  $b$  și  $c$  depind, din nou, de costurile  $c_i$  ale instrucțiunilor, fiind astfel o **funcție pătratică** de  $n$ .

De obicei, la fel ca la sortarea prin inserție, timpul de execuție al unui algoritm dat este fix pentru anumite date de intrare. Totuși, în ultimele capitole, vom întâlni câțiva algoritmi “aleatori” a căror comportare poate varia chiar pentru aceleași date de intrare.

### Analiza celui mai defavorabil caz și a cazului mediu

În analiza sortării prin inserție am cercetat ambele situații extreme: cazul cel mai favorabil, în care vectorul de intrare era deja sortat, respectiv cel mai defavorabil, în care vectorul de intrare era sortat în ordine inversă. În continuare (pe tot parcursul acestei cărți), ne vom concentra, de regulă, pe găsirea **timpului de execuție în cazul cel mai defavorabil**, cu alte cuvinte, a celui mai mare timp de execuție posibil relativ la *orice* date de intrare de dimensiune constantă  $n$ . Precizăm trei motive pentru această orientare:

- Timpul de execuție al unui algoritm în cazul cel mai defavorabil este o margine superioară a timpului de execuție pentru orice date de intrare de dimensiune fixă. Cunoșcând acest timp, avem o garanție că algoritmul nu va avea, niciodată, un timp de execuție mai mare. Nu va fi nevoie să facem presupunerile sau investigații suplimentare asupra timpului de execuție și să sperăm că acesta nu va fi, niciodată, mult mai mare.
- Pentru anumiți algoritmi, cazul cel mai defavorabil apare destul de frecvent. De exemplu, în căutarea unei anumite informații într-o bază de date, cazul cel mai defavorabil al algoritmului de căutare va apărea deseori când informația căutată nu este de fapt prezentă în baza de date. În anumite aplicații, căutarea unor informații absente poate fi frecventă.
- “Cazul mediu” este, adesea, aproape la fel de defavorabil ca și cazul cel mai defavorabil. Să presupunem că alegem la întâmplare  $n$  numere și aplicăm sortarea prin inserție. Cât timp va fi necesar pentru a determina locul în care putem insera  $A[j]$  în subvectorul  $A[1..j-1]$ ? În medie, jumătate din elementele subvectorului  $A[1..j-1]$  sunt mai mici decât  $A[j]$ , și cealaltă jumătate sunt mai mari. Prin urmare, în medie, trebuie verificate jumătate din elementele subvectorului  $A[1..j-1]$ , deci  $t_j = j/2$ . Dacă ținem seama de această observație, timpul de execuție mediu va apărea tot ca o funcție pătratică de  $n$ , la fel ca în cazul cel mai defavorabil.

În anumite cazuri particulare, vom fi interesati de **timpul mediu de execuție** al unui algoritm. O problemă care apare în analiza cazului mediu este aceea că s-ar putea să nu fie prea clar din ce sunt constituite datele de intrare “medii” pentru o anumită problemă. Adesea, vom presupune că toate datele de intrare având o dimensiune dată sunt la fel de probabile. În practică, această presupunere poate fi falsă, dar un algoritm aleator poate, uneori, să o forțeze.

### Ordinul de creștere

Pentru a ușura analiza procedurii SORTEAZĂ-PRIN-INSERTIE, am utilizat mai multe presupuneri simplificatoare. În primul rând, am ignorat costul real al fiecărei instrucțiuni, folosind constantele  $c_i$  pentru a reprezenta aceste costuri. Apoi, am observat că, prin aceste constante, obținem mai multe detalii decât avem nevoie în mod real: timpul de execuție în cazul cel mai defavorabil este de forma  $an^2 + bn + c$  pentru anumite constante  $a$ ,  $b$  și  $c$  care depind de costurile  $c_i$  ale instrucțiunilor. Astfel, am ignorat nu numai costurile reale ale instrucțiunilor, dar și costurile abstrakte  $c_i$ .

Vom face acum încă o abstractizare simplificatoare. Ceea ce ne interesează de fapt, este **rata de creștere** sau **ordinul de creștere** a timpului de execuție. Considerăm, prin urmare, doar termenul dominant al formulei (adică  $an^2$ ) deoarece ceilalți termeni sunt relativ nesemnificativi pentru valori mari ale lui  $n$ . Ignoram, de asemenea, și factorul constant  $c$ , deoarece, pentru numere foarte mari, factorii constanți sunt mai puțin semnificativi decât rata de creștere în determinarea eficienței computaționale a unor algoritmi. Astfel, vom spune, de exemplu, că sortarea prin inserție are un timp de execuție în cazul cel mai defavorabil de  $\Theta(n^2)$  (pronunțat “teta de  $n$  pătrat”). Vom folosi notația de tip  $\Theta$  în acest capitol cu caracter informal; va fi definită cu precizie în capitolul 2.

În mod ușual, vom considera un algoritm ca fiind mai eficient decât altul dacă timpul său de execuție în cazul cel mai defavorabil are un ordin de creștere mai mic. Această evaluare ar putea fi incorectă pentru date de intrare de dimensiune mică, dar în cazul unor date de intrare de dimensiuni foarte mari, un algoritm de tipul  $\Theta(n^2)$ , de exemplu, va fi executat în cazul cel mai defavorabil mult mai repede decât unul de tipul  $\Theta(n^3)$ .

### Exerciții

**1.2-1** Să considerăm sortarea a  $n$  numere memorate într-un vector  $A$ , pentru început găsind cel mai mic element al lui  $A$  și punându-l ca prim element într-un alt vector  $B$ . Apoi, găsim al doilea element mai mic din  $A$  și îl punem pe poziția a doua a lui  $B$ . Continuăm în același mod pentru toate elementele lui  $A$ . Scrieți un pseudocod pentru acest algoritm, care este cunoscut sub numele de **sortarea prin selecție**. Găsiți timpii de execuție în cazul cel mai favorabil, respectiv cel mai defavorabil, pentru sortarea prin selecție, utilizând notația  $\Theta$ .

**1.2-2** Să considerăm, din nou, căutarea liniară (vezi exercițiul 1.1-3). Cât de multe elemente ale șirului de intrare trebuie verificate, în medie, presupunând că elementul căutat se află printre termenii șirului dat? Ce puteți spune despre cazul cel mai defavorabil? Care sunt timpul mediu de execuție și timpul de execuție în cazul cel mai defavorabil pentru căutarea liniară, exprimați în notația  $\Theta$ ? Justificați răspunsurile.

**1.2-3** Să considerăm problema evaluării unui polinom într-un punct. Fiind dați  $n$  coeficienți  $a_0, a_1, \dots, a_{n-1}$  și un număr real  $x$ , dorim să calculăm  $\sum_{i=0}^{n-1} a_i x^i$ . Descrieți un algoritm simplu

în timp  $\Theta(n^2)$  pentru această operație. Descrieți și un algoritm în timp  $\Theta(n)$  care folosește următoarea metodă de scriere a unui polinom, numită schema lui Horner:

$$\sum_{i=0}^{n-1} a_i x^i = (\cdots (a_{n-1}x + a_{n-2})x + \cdots + a_1)x + a_0$$

**1.2-4** Scrieți funcția  $n^3/1000 - 100n^2 - 100n + 3$  cu ajutorul notăției  $\Theta$ .

**1.2-5** Cum poate fi modificat aproape orice algoritm pentru a avea un timp de execuție bun în cel mai favorabil caz?

### 1.3. Proiectarea algoritmilor

Există multe moduri de proiectare a algoritmilor. Sortarea prin inserție folosește o metodă care s-ar putea numi **incrementală**: având deja sortat subvectorul  $A[1..j-1]$ , inserăm elementul  $A[j]$  în locul potrivit producând subvectorul  $A[1..j]$ .

În această secțiune vom examina o abordare diferită, numită *divide i st pâne te*. Vom utiliza această abordare pentru a construi un algoritm de sortare al cărui timp de execuție în cazul cel mai defavorabil va fi mult mai mic decât al celui corespunzător sortării prin inserție. Unul din avantajele algoritmilor de tipul *divide i st pâne te* este acela că timpul lor de execuție este adesea ușor de determinat folosind tehnici care vor fi introduse în capitolul 4.

#### 1.3.1. Abordarea *divide și stăpânește*

Mulți algoritmi utili au o structură **recursivă**: pentru a rezolva o problemă dată, aceștia sunt apelați de către ei însăși o dată sau de mai multe ori pentru a rezolva subprobleme apropriate. Acești algoritmi folosesc de obicei o abordare de tipul **divide și stăpânește**: ei rup problema de rezolvat în mai multe probleme similare problemei inițiale, dar de dimensiune mai mică, le rezolvă în mod recursiv și apoi le combină pentru a crea o soluție a problemei inițiale.

Paradigma *divide i st pâne te* implică trei pași la fiecare nivel de recursivitate:

**Divide** problema într-un număr de subprobleme.

**Stăpânește** subproblemele prin rezolvarea acestora în mod recursiv. Dacă dimensiunile acestora sunt suficient de mici, rezolvă subproblemele în modul uzual, nerecursiv.

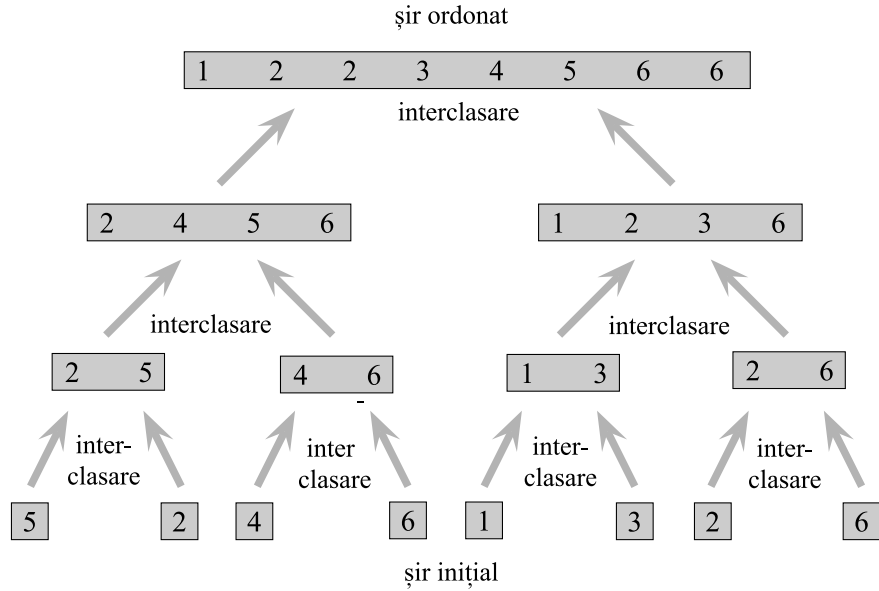
**Combină** soluțiile tuturor subproblemelor în soluția finală pentru problema inițială.

Algoritmul de **sortare prin interclasare** urmează îndeaproape paradigma *divide i st pâne te*. Intuitiv, acesta operează astfel.

**Divide:** Împarte sirul de  $n$  elemente care urmează a fi sortat în două subșiruri de câte  $n/2$  elemente.

**Stăpânește:** Sortează recursiv cele două subșiruri utilizând sortarea prin interclasare.

**Combină:** Interclasează cele două subșiruri sortate pentru a produce rezultatul final.



**Figura 1.3** Modul de operare al sortării prin interclasare asupra vectorului  $A = \langle 5, 2, 4, 6, 1, 3, 2, 6 \rangle$ . Lungimile şirurilor sortate, în curs de interclasare, cresc pe măsură ce algoritmul avansează de jos în sus.

Să observăm că recursivitatea se oprește când sirul de sortat are lungimea 1, caz în care nu mai avem nimic de făcut, deoarece orice sir de lungime 1 este deja sortat.

Operația principală a algoritmului de sortare prin interclasare este interclasarea a două siruri sortate, în pasul denumit mai sus "Combină". Pentru aceasta vom utiliza o procedură auxiliară, **INTERCLASEAZĂ**( $A, p, q, r$ ), unde  $A$  este un vector și  $p, q$  și  $r$  sunt indici ai vectorului, astfel încât  $p \leq q < r$ . Procedura presupune că subvectorii  $A[p..q]$  și  $A[q + 1..r]$  sunt sortați. Ea îi **interclasează** pentru a forma un subvector sortat care înlocuiește subvectorul curent  $A[p..r]$ .

Deși vom lăsa pseudocodul pentru această procedură ca exercițiu (vezi exercițiul 1.3-2), este ușor de imaginat o procedură de tip **INTERCLASEAZĂ** al cărei timp de execuție este de ordinul  $\Theta(n)$ , în care  $n = r - p + 1$  este numărul elementelor interclasate. Revenind la exemplul nostru cu cărțile de joc, să presupunem că avem două pachete de cărți de joc așezate pe masă cu fața în sus. Fiecare din cele două pachete este sortat, cartea cu valoarea cea mai mică fiind deasupra. Dorim să amestecăm cele două pachete într-un singur pachet sortat, care să rămână așezat pe masă cu fața în jos. Pasul principal este acela de a selecta cartea cu valoarea cea mai mică dintre cele două aflate deasupra pachetelor (fapt care va face ca o nouă carte să fie deasupra pachetului respectiv) și de a o pune cu fața în jos pe locul în care se va forma pachetul sortat final. Repetăm acest procedeu până când unul din pachete este epuizat. În această fază, este suficient să luăm pachetul rămas și să-l punem peste pachetul deja sortat întorcând toate cărțile cu fața în jos. Din punctul de vedere al timpului de execuție, fiecare pas de bază durează un timp constant, deoarece comparăm de fiecare dată doar două cărți. Deoarece avem de făcut cel mult  $n$  astfel de operații elementare, timpul de execuție pentru procedura **INTERCLASEAZĂ** este  $\Theta(n)$ .

Acum, putem utiliza procedura **INTERCLASEAZĂ** ca subrutină pentru algoritmul de sortare

SORTEAZĂ-PRIN-INTERCLASARE( $A, p, r$ )

- 1: dacă  $p < r$  atunci
- 2:    $q \leftarrow \lfloor (p+r)/2 \rfloor$
- 3:   SORTEAZĂ-PRIN-INTERCLASARE( $A, p, q$ )
- 4:   SORTEAZĂ-PRIN-INTERCLASARE( $A, q+1, r$ )
- 5:   INTERCLASEAZĂ( $A, p, q, r$ )

prin interclasare. Procedura SORTEAZĂ-PRIN-INTERCLASARE( $A, p, r$ ) sortează elementele din subvectorul  $A[p..r]$ . Dacă  $p \geq r$ , subvectorul are cel mult un element și este, prin urmare, deja sortat. Altfel, pasul de divizare este prezent aici prin simplul calcul al unui indice  $q$  care împarte  $A[p..r]$  în doi subvectori,  $A[p..q]$  conținând  $\lceil n/2 \rceil$  elemente și  $A[q+1..r]$  conținând  $\lfloor n/2 \rfloor$  elemente.<sup>4</sup> Pentru a sorta întregul sir  $A = \langle A[1], A[2], \dots, A[n] \rangle$ , vom apela procedura SORTEAZĂ-PRIN-INTERCLASARE sub forma SORTEAZĂ-PRIN-INTERCLASARE( $A, 1, lungime[A]$ ) unde, din nou,  $lungime[A] = n$ . Dacă analizăm modul de operare al procedurii, de jos în sus, când  $n$  este o putere a lui 2, algoritmul constă din interclasarea perechilor de siruri de lungime 1, pentru a forma siruri sortate de lungime 2, interclasarea acestora în siruri sortate de lungime 4, și aşa mai departe, până când două siruri sortate de lungime  $n/2$  sunt interclasate pentru a forma sirul sortat final de dimensiune  $n$ . Figura 1.3 ilustrează acest proces.

### 1.3.2. Analiza algoritmilor de tipul divide și stăpânește

Când un algoritm conține un apel recursiv la el însuși, timpul său de execuție poate fi, adesea, descris printr-o **relație de recurență** sau, mai simplu, **recurență**, care descrie întregul timp de execuție al unei probleme de dimensiune  $n$  cu ajutorul timpilor de execuție pentru date de intrare de dimensiuni mai mici. Putem, apoi, folosi instrumente matematice pentru a rezolva problema de recurență și pentru a obține margini ale performanței algoritmului.

O recurență pentru timpul de execuție al unui algoritm de tipul divide-et-impera se bazează pe cele trei etape definite în descrierea metodei. La fel ca până acum, vom nota cu  $T(n)$  timpul de execuție al unei probleme de mărime  $n$ . Dacă dimensiunea problemei este suficient de mică, de exemplu  $n \leq c$  pentru o anumită constantă  $c$ , soluția directă ia un timp constant de execuție, pe care îl vom nota cu  $\Theta(1)$ . Să presupunem că divizăm problema în  $a$  subprobleme, fiecare dintre acestea având dimensiunea de  $1/b$  din dimensiunea problemei originale. Dacă  $D(n)$  este timpul necesar pentru a divide problema în subprobleme, iar  $C(n)$  este timpul necesar pentru a combina soluțiile subproblemelor în soluția problemei originale, obținem recurența

$$T(n) = \begin{cases} \Theta(1) & \text{dacă } n \leq c, \\ aT(n/b) + D(n) + C(n) & \text{în caz contrar.} \end{cases}$$

În capitolul 4 vom vedea cum se pot rezolva recurențe uzuale pentru probleme de această formă.

### Analiza sortării prin interclasare

Desi algoritmul SORTEAZĂ-PRIN-INTERCLASARE funcționează corect când numărul elementelor nu este par, analiza bazată pe recurență se simplifică dacă presupunem că dimensiunea

<sup>4</sup>Notația  $\lceil x \rceil$  desemnează cel mai mic număr întreg mai mare sau egal decât  $x$  și  $\lfloor x \rfloor$  desemnează cel mai mare număr întreg mai mic sau egal decât  $x$ . Aceste notații sunt definite în capitolul 2.

problemei originale este o putere a lui 2. Fiecare pas de împărțire generează deci două subșiruri având dimensiunea exact  $n/2$ . În capitolul 4 vom vedea că această presupunere nu afectează ordinul de creștere a soluției recurenței.

Pentru a determina recurența pentru  $T(n)$ , timpul de execuție al sortării prin interclasare a  $n$  numere în cazul cel mai defavorabil, vom raționa în felul următor. Sortarea prin interclasare a unui singur element are nevoie de un timp constant. Când avem  $n > 1$  elemente, vom descompune timpul de execuție după cum urmează:

**Divide:** La acest pas, se calculează doar mijlocul subvectorului, calcul care are nevoie de un timp constant de execuție. Astfel,  $D(n) = \Theta(1)$ .

**Stăpânește:** Rezolvăm recursiv două subprobleme, fiecare de dimensiune  $n/2$ , care contribuie cu  $2T(n/2)$  la timpul de execuție.

**Combină:** Am observat deja că procedura INTERCLASEAZĂ pentru un subvector cu  $n$  elemente consumă  $\Theta(n)$  timp de execuție, deci  $C(n) = \Theta(n)$ .

Când adunăm funcțiile  $D(n)$  și  $C(n)$  pentru analiza sortării prin interclasare, adunăm o funcție cu timpul de execuție  $\Theta(n)$  cu o funcție cu timpul de execuție  $\Theta(1)$ . Această sumă este funcție liniară în raport cu  $n$ , adică are timpul de execuție  $\Theta(n)$ . Adăugând aceasta la termenul  $2T(n/2)$  de la pasul "Stăpânește", obținem timpul de execuție  $T(n)$  în cazul cel mai defavorabil pentru sortarea prin interclasare:

$$T(n) = \begin{cases} \Theta(1) & \text{dacă } n = 1, \\ 2T(n/2) + \Theta(n) & \text{dacă } n > 1. \end{cases}$$

În capitolul 4, vom arăta că  $T(n)$  este  $\Theta(n \lg n)$ , unde  $\lg n$  reprezintă  $\log_2 n$ . Pentru numere suficient de mari, sortarea prin interclasare, având timpul de execuție  $\Theta(n \lg n)$ , este mai performantă decât sortarea prin inserție, al cărei timp de execuție în cazul cel mai defavorabil este  $\Theta(n^2)$ .

## Exerciții

**1.3-1** Utilizând ca model figura 1.3, ilustrați modul de operare al sortării prin interclasare pentru vectorul  $A = \langle 3, 41, 52, 26, 38, 57, 9, 49 \rangle$ .

**1.3-2** Scrieți pseudocodul pentru INTERCLASEAZĂ( $A, p, q, r$ ).

**1.3-3** Utilizați inducția matematică pentru a arăta că, dacă  $n$  este o putere a lui 2, soluția recurenței

$$T(n) = \begin{cases} 2 & \text{dacă } n = 2, \\ 2T(n/2) + n & \text{dacă } n = 2^k, k > 1. \end{cases}$$

este  $T(n) = n \lg n$ .

**1.3-4** Sortarea prin inserție poate fi descrisă ca procedură recursivă în felul următor: pentru a sorta  $A[1..n]$ , sortăm  $A[1..n - 1]$  și apoi inserăm  $A[n]$  în vectorul sortat  $A[1..n - 1]$ . Scrieți o recurență pentru timpul de execuție a acestei versiuni a sortării prin inserție.

**1.3-5** Reluând problema căutării (vezi exercițiul 1.1-3), observați că, dacă sirul  $A$  este sortat, se poate începe prin a compara  $v$  cu valoarea aflată la mijlocul vectorului și se poate elimina din discuție una din jumătăți. **Căutarea binară** este un algoritm care repetă acest procedeu, înjumătățind de fiecare dată partea sirului în care se face căutarea. Scrieți un pseudocod fie iterativ, fie recursiv, pentru căutarea binară. Argumentați că timpul de execuție în cazul cel mai defavorabil este  $\Theta(\lg n)$ .

**1.3-6** Observați că blocul **cât timp** (linile 5–7) din procedura SORTEAZĂ-PRIN-INSERTIE (secțiunea 1.1) folosește o căutare liniară pentru a parcurge înapoi subvectorul  $A[1..j-1]$ . Putem utiliza în locul acesteia o căutare binară (vezi exercițiul 1.3-5), pentru a îmbunătăți timpul de execuție total pentru sortarea prin inserție în cazul cel mai defavorabil, la valoarea  $\Theta(n \lg n)$ ?

**1.3-7 \*** Descrieți un algoritm al cărui timp de execuție să fie  $\Theta(n \lg n)$  și care, pornind de la o mulțime dată  $S$  de  $n$  numere reale și un alt număr real  $x$ , să decidă dacă printre elementele lui  $S$  există două elemente având suma  $x$ .

## 1.4. Rezumat

Un algoritm bun este ca un cuțit ascuțit – face exact ceea ce se așteaptă să facă, cu un minimum de efort. A folosi un algoritm nepotrivit pentru a rezolva o problemă este ca și cum s-ar încerca să se taie o fârtură cu o șurubelniță: în final, s-ar obține, eventual, un produs digerabil, dar cu un efort considerabil mai mare decât cel necesar, iar rezultatul ar fi, probabil, mai puțin plăcut din punct de vedere estetic.

Algoritmii care sunt proiectați să rezolve o același problemă pot să difere foarte mult în eficiență. Aceste diferențe pot fi cu mult mai semnificative decât diferența dintre un calculator personal și un supercalculator. De exemplu, să ne imaginăm un supercalculator care rulează sortarea prin inserție și un calculator personal care rulează sortarea prin interclasare. Fiecare trebuie să sorteze un vector de un milion de numere. Să presupunem că supercalculatorul poate executa 100 milioane de operații pe secundă, în timp ce calculatorul personal execută doar un milion de operații pe secundă. Pentru a face ca diferența să fie și mai dramatică, vom presupune că supercalculatorul utilizează pentru sortarea prin inserție un program executabil realizat în cod mașină, optimizat de către cel mai bun programator, rezultatul fiind că sunt necesare  $2n^2$  instrucțiuni la supercalculator pentru a realiza sortarea a  $n$  numere. Sortarea prin interclasare, pe de altă parte, se rulează cu un program realizat pentru calculatorul personal, de către un programator de nivel mediu, folosind un limbaj de nivel înalt cu un compilator inefficient, codul rezultat fiindu-i necesare  $50n \lg n$  instrucțiuni. Pentru a sorta un milion de numere, supercalculatorul are nevoie de

$$\frac{2 \cdot (10^6)^2 \text{ instrucțiuni}}{10^8 \text{ instrucțiuni/secundă}} = 20.000 \text{ secunde} \approx 5,56 \text{ ore},$$

în timp ce pentru calculatorul personal sunt necesare

$$\frac{50 \cdot 10^6 \lg 10^6 \text{ instrucțiuni}}{10^6 \text{ instrucțiuni/secundă}} \approx 1.000 \text{ secunde} \approx 16,67 \text{ minute.}$$

Prin utilizarea unui algoritm al cărui timp de execuție are un ordin mai mic de creștere, chiar și un calculator personal obține rezultatul cerut de 20 de ori mai repede decât supercalculatorul!

Acest exemplu arată că algoritmii, la fel ca și echipamentele hardware sunt o **tehnologie**. Performanța totală a unui sistem de calcul depinde tot atât de mult de alegerea algoritmilor eficienți, cât depinde de alegerea unui hardware rapid. Așa cum are loc o dezvoltare tehnologică rapidă în ceea ce privește alte tehnologii legate de calculatoare, tot astfel se dezvoltă și algoritmii.

## Exerciții

**1.4-1** Să presupunem că trebuie să comparăm implementările sortării prin inserție și sortării prin interclasare pe același calculator. Pentru date de intrare de dimensiune  $n$ , sortarea prin inserție se execută în  $8n^2$  pași, în timp ce sortarea prin interclasare se execută în  $64n \lg n$  pași. Pentru ce valori ale lui  $n$  sortarea prin inserție este mai rapidă decât sortarea prin interclasare? Cum s-ar putea scrie pseudocodul pentru sortarea prin interclasare cu scopul de a o face chiar mai rapidă pentru date de intrare de dimensiuni mici?

**1.4-2** Care este cea mai mică valoare a lui  $n$  pentru care un algoritm cu timpul de execuție de  $100n^2$  este mai rapid decât un algoritm cu timpul de execuție de  $2^n$ ?

**1.4-3** Să considerăm problema de a determina dacă un sir arbitrar de  $n$  numere  $\langle x_1, x_2, \dots, x_n \rangle$  conține cel puțin doi termeni egali. Arătați că acest fapt poate fi realizat în  $\Theta(n \lg n)$ , în care  $\lg n$  reprezintă  $\log_2 n$ .

## Probleme

### 1-1 Comparația timpilor de execuție

Pentru fiecare funcție  $f(n)$  și timp  $t$  din următorul tabel, determinați cea mai mare valoare a lui  $n$  pentru o problemă care poate fi rezolvată în timpul  $t$ , presupunând că algoritmul de rezolvare a problemei are nevoie de  $f(n)$  microsecunde.

	1 secundă	1 minut	1 oră	1 zi	1 lună	1 an	1 secol
$\lg n$							
$\sqrt{n}$							
$n$							
$n \lg n$							
$n^2$							
$n^3$							
$2^n$							
$n!$							

### 1-2 Sortarea prin inserție pe vectori mici în sortarea prin interclasare

Deși timpul de execuție al algoritmului de sortare prin interclasare în cazul cel mai defavorabil este  $\Theta(n \lg n)$ , iar sortarea prin inserție are un timp de execuție pentru situații similare de  $\Theta(n^2)$ , factorii constanți din sortarea prin inserție pot face ca aceasta să fie, totuși, mai rapidă pentru valori mici ale lui  $n$ . Astfel, are sens să se utilizeze sortarea prin inserție în cadrul sortării prin

interclasare, dacă subproblemele devin suficient de mici. Să considerăm o modificare a sortării prin interclasare în care  $n/k$  subvectori de lungime  $k$  sunt sortați utilizând sortarea prin inserție și apoi interclasăți folosind procedura standard de sortare prin interclasare, unde  $k$  este o valoare care urmează a fi determinată.

- a. Arătați că cei  $n/k$  subvectori, fiecare de lungime  $k$ , pot fi sortați prin inserție cu timp de execuție  $\Theta(nk)$  în cazul cel mai defavorabil.
- b. Arătați că acești subvectori pot fi sortați prin interclasare cu timp de execuție  $\Theta(n \lg(n/k))$  în cazul cel mai defavorabil.
- c. Fiind dat faptul că algoritmul modificat are timp de execuție  $\Theta(nk + n \lg(n/k))$  în cazul cel mai defavorabil, care este cea mai mare valoare asimptotică a lui  $k$  (cu notația  $\Theta$ ) în funcție de  $n$ , pentru care algoritmul modificat are același timp de execuție ca și sortarea standard prin interclasare?
- d. Cum ar trebui ales  $k$  în mod practic?

### 1-3 Inversiuni

Fie un vector  $A[1..n]$  de  $n$  numere distincte. Dacă  $i < j$  și  $A[i] > A[j]$ , atunci perechea  $(i, j)$  se numește **inversiune** a lui  $A$ .

- a. Enumerați cele cinci inversiuni ale vectorului  $\langle 2, 3, 8, 6, 1 \rangle$ .
- b. Ce vector având elemente din mulțimea  $\{1, 2, \dots, n\}$  are cele mai multe inversiuni? Cât de multe?
- c. Care este relația dintre timpul de execuție al sortării prin inserție și numărul de inversiuni din vectorul de intrare? Justificați răspunsul.
- d. Descrieți un algoritm care determină numărul de inversiuni din orice permutare de  $n$  elemente având timp de execuție  $\Theta(n \lg n)$  în cazul cel mai defavorabil. (*Indica ie:* Modificați sortarea prin interclasare.)

## Note bibliografice

Există multe texte excelente în legătură cu subiectul general al algoritmilor, inclusiv cele scrise de Aho, Hopcroft și Ullman [4, 5], Baase [14], Brassard și Bratley [33], Horowitz și Sahni [105], Knuth [121, 122, 123], Manber [142], Mehlhorn [144, 145, 146], Purdom și Brown [164], Reingold, Nievergelt și Deo [167], Sedgewick [175] și Wilf [201]. Unele aspecte mai practice ale proiectării algoritmilor sunt discutate de Bentley [24, 25] și Gonnet [90].

În 1968, Knuth a publicat primul din cele trei volume cu titlul general *Arta Programării Calculatoarelor* [121, 122, 123]. Primul volum a abordat studiul modern al algoritmilor cu focalizare pe analiza timpului de execuție, iar această serie a rămas o referință semnificativă pentru multe din problematicile prezentate aici. Conform lui Knuth, cuvântul “algoritm” este derivat din numele “al-Khowârizmî”, un matematician persan din secolul IX.

Aho, Hopcroft și Ullman [4] au susținut analiza asimptotică a algoritmilor ca mijloc de comparare a performanței relative. Ei au popularizat utilizarea relațiilor de recurență pentru a descrie timpii de execuție ai algoritmilor recursivi.

Knuth [123] prezintă o tratare enciclopedică a multor algoritmi de sortare. Comparația algoritmilor de sortare (capitolul 9) include analize exacte ale numărării pașilor, precum aceea care am efectuat-o aici pentru sortarea prin inserție. Discuția lui Knuth despre sortarea prin inserție conține câteva variații ale algoritmului. Cea mai importantă este sortarea lui Shell, introdusă de D. L. Shell, care utilizează sortarea prin inserție pe subșiruri periodice ale datelor de intrare pentru a produce un algoritm de sortare mai rapid.

Sortarea prin interclasare este, de asemenea, descrisă de Knuth. Aceasta menționează că J. von Neumann a inventat în anul 1938 un mecanism capabil să interclaseze două pachete de cartele perforate într-un singur pas. J. von Neumann, unul dintre pionierii informaticii, se pare că a scris în 1945 un program pentru sortarea prin interclasare pe calculatorul EDVAC.

---

---

---

## I Fundamente matematice

---

## Introducere

Analiza algoritmilor necesită deseori utilizarea uneltelor matematice. Aceste unelte uneori sunt foarte simple, cum ar fi algebra de liceu, dar altele, cum ar fi rezolvarea recurențelor s-ar putea să reprezinte o nouitate. Această parte a cărții este un compendiu al metodelor și uneltelor pe care în această carte le vom folosi pentru analiza algoritmilor.

Vă sugerăm să nu încercați să asimilați toată matematica din acest capitol dintr-o dată. Răsfoiți capitolele din această parte pentru a vedea ce conțin. Apoi puteți trece direct la capitolele care se ocupă de algoritmi. Pe măsură ce citiți aceste capitole, reveniți la această parte oricând aveți nevoie de o mai bună înțelegere a uneltelor folosite în analizele de factură matematică. Oricum, la un moment dat, veți dori să studiați fiecare din aceste capitole în întregime, astfel încât să vă formați fundamente matematice solide.

Capitolul 2 definește riguros mai multe notații asymptotice, de exemplu notația  $\Theta$  folosită în capitolul 1. În restul capitolului 2 sunt prezentate alte notații matematice. Scopul este mai mult de a asigura faptul că modul în care folosiți notațiile matematice este același cu cel folosit în carte, și nu de a vă învăța noi noțiuni matematice.

Capitolul 3 oferă metode pentru evaluarea și mărginirea sumelor, operații ce apar foarte des în analiza algoritmilor.

În capitolul 4 sunt prezentate metode de rezolvare a recurențelor, pe care le-am folosit, de exemplu, pentru a analiza sortarea prin interclasare din capitolul 1 și cu care ne vom întâlni de multe ori. O tehnică foarte eficientă, care poate fi folosită pentru a rezolva recurențe ce apar în algoritmi “divide și stăpânește”, este “metoda master”. O mare parte din capitolul 4 este alocată demonstrării corectitudinii metodei master, deși cititorul poate sări peste această demonstrație fără o pierdere prea mare.

Capitolul 5 conține definiții și notații de bază pentru mulțimi, relații, funcții, grafuri și arbori. Acest capitol prezintă de asemenea și unele proprietăți de bază ale acestor concepte matematice. Acest material este esențial pentru înțelegerea cărții, dar poate fi ignorat fără probleme dacă ați studiat anterior un curs de matematică discretă.

Capitolul 6 începe cu principii elementare de numărare: permutări, combinări și alte noțiuni asemănătoare. Restul capitolului conține definiții și proprietăți elementare de probabilitate. Cei mai mulți algoritmi din această carte nu necesită estimări probabilistice pentru analiza lor, deci puteți omite cu ușurință ultimele secțiuni la o primă lectură, chiar fără a le răsfoi. Ulterior, când veți întâlni o analiză probabilistică pe care doriți să o înțelegeti mai bine, veți constata că acest capitol este bine organizat în acest sens.

---

## 2 Creșterea funcțiilor

Ordinul de creștere a timpului de execuție al unui algoritm, definit în capitolul 1 dă o caracterizare simplă pentru eficiența algoritmilor și ne dă în același timp posibilitatea de a compara performanțele relative ale unor algoritmi alternativi. De îndată ce dimensiunea  $n$  a datelor de intrare devine suficient de mare, algoritmul de sortare prin interclasare, cu timpul de execuție  $\Theta(n \lg n)$  în cazul cel mai defavorabil, este mai performant decât sortarea prin inserție, al cărei timp de execuție în cazul cel mai defavorabil este  $\Theta(n^2)$ . Deși uneori se poate determina exact timpul de execuție al unui algoritm, aşa cum am făcut pentru sortarea prin inserție în capitolul 1, în general, o precizie suplimentară nu merită efortul făcut. Pentru date de intrare suficient de mari, constantele multiplicative și termenii de ordin inferior din expresia exactă a unui timp de execuție sunt dominați de efectele dimensiunii datelor de intrare în sine.

Când examinăm date de intrare de dimensiuni suficient de mari, astfel încât numai ordinul de creștere a timpului de execuție să fie relevant, studiem eficiența **asimptotică** a algoritmilor. Cu alte cuvinte, suntem interesati de modul de creștere a timpului de execuție a unui algoritm odată cu mărirea dimensiunii datelor de intrare, *în cazul limit* când dimensiunea datelor de intrare crește nemărginit. În mod uzual, un algoritm care este asimptotic mai eficient va fi cea mai bună alegere, cu excepția cazului în care datele de intrare sunt de dimensiune foarte mică.

Acest capitol oferă mai multe metode standard pentru simplificarea analizei asimptotice a algoritmilor. Secțiunea următoare începe prin a defini mai multe tipuri de “notație asimptotică”, dintre care am întâlnit deja  $\Theta$ -notația. Vor fi prezentate mai multe convenții de notație care vor fi utilizate pe parcursul cărții și în final vom trece în revistă comportamentul funcțiilor care apar frecvent în analiza algoritmilor.

---

### 2.1. Notația asimptotică

Notațiile pe care le utilizăm pentru a descrie timpul asimptotic de execuție al unui algoritm sunt definite cu ajutorul unor funcții al căror domeniu de definiție este de fapt mulțimea numerelor naturale  $\mathbb{N} = \{0, 1, 2, \dots\}$ . Astfel de notații sunt convenabile pentru a descrie funcția timp de execuție în cazul cel mai defavorabil  $T(n)$  care în mod uzual este definită doar pentru dimensiuni întregi ale datelor de intrare. Totuși, este necesar uneori să folosim *în mod abuziv* notația asimptotică într-o varietate de moduri. De exemplu, notația se extinde cu ușurință la domeniul numerelor reale sau, alternativ, se poate restrânge la o submulțime a mulțimii numerelor naturale. Este important totuși să înțelegem sensul exact al notației pentru ca atunci când este utilizată în mod abuziv să nu fie utilizată în mod *incorrect*. În această secțiune se definesc principalele notații asimptotice și de asemenea, se introduc câteva abuzuri de notație mai des întâlnite.

#### **Θ-notația**

În capitolul 1 am arătat că timpul de execuție pentru sortarea prin inserție în cazul cel mai defavorabil este  $T(n) = \Theta(n^2)$ . Să definim acum exact această notație. Pentru o funcție data

$g(n)$ , notăm cu  $\Theta(g(n))$ , mulimea de funcii

$$\Theta(g(n)) = \{ f(n) : \text{există constantele pozitive } c_1, c_2 \text{ și } n_0 \text{ astfel încât } 0 \leq c_1 g(n) \leq f(n) \leq c_2 g(n) \text{ pentru orice } n \geq n_0\}.$$

O funcție  $f(n)$  aparține mulțimii  $\Theta(g(n))$  dacă există constantele pozitive  $c_1$  și  $c_2$  astfel încât aceasta să fie plasată între  $c_1 g(n)$  și  $c_2 g(n)$  pentru  $n$  suficient de mare. Deși  $\Theta(g(n))$  este o mulțime, vom scrie “ $f(n) = \Theta(g(n))$ ” pentru a indica faptul că  $f(n)$  este un membru al acesteia. Acest abuz al utilizării semnului de egalitate pentru a desemna apartenența la o mulțime poate să pară confuz la început, dar vom vedea mai târziu că are avantajele sale.

Figura 2.1 (a) dă o imagine intuitivă a funcțiilor  $f(n)$  și  $g(n)$ , când  $f(n) = \Theta(g(n))$ . Pentru toate valorile lui  $n$  aflate la dreapta lui  $n_0$ , valoarea lui  $f(n)$  este mai mare sau egală cu  $c_1 g(n)$  și mai mică sau egală cu  $c_2 g(n)$ . Cu alte cuvinte, pentru orice  $n \geq n_0$ , s-ar putea spune că funcția  $f(n)$  este egală cu  $g(n)$  până la un factor constant. Vom spune că  $g(n)$  este o **margine asimptotică** pentru  $f(n)$ .

Definiția lui  $\Theta(g(n))$  cere ca orice membru  $f(n) \in \Theta(g(n))$  să fie **asimptotic nenegativ**, adică  $f(n)$  să fie nenegativă pentru  $n$  destul de mare. O funcție asimptotic pozitivă este strict pozitivă pentru orice  $n$  suficient de mare. Prin urmare, funcția  $g(n)$  însăși ar trebui să fie nenegativă, altfel mulțimea  $\Theta(g(n))$  este vidă. Din acest motiv vom presupune în continuare că orice funcție utilizată în cadrul  $\Theta$ -notației este asimptotic nenegativă. Această presupunere rămâne valabilă și pentru celelalte notații asimptotice definite în acest capitol.

În capitolul 1 am introdus o noțiune neriguroasă de  $\Theta$ -notație care ducea la neglijarea termenilor de ordin inferior și a coeficientului constant al termenului de ordin maxim. Să justificăm pe scurt această imagine intuitivă, utilizând de data aceasta definiția, pentru a arăta că  $\frac{1}{2}n^2 - 3n = \Theta(n^2)$ . Pentru a face aceasta, trebuie determinate constantele pozitive  $c_1$ ,  $c_2$  și  $n_0$  astfel încât

$$c_1 n^2 \leq \frac{1}{2}n^2 - 3n \leq c_2 n^2$$

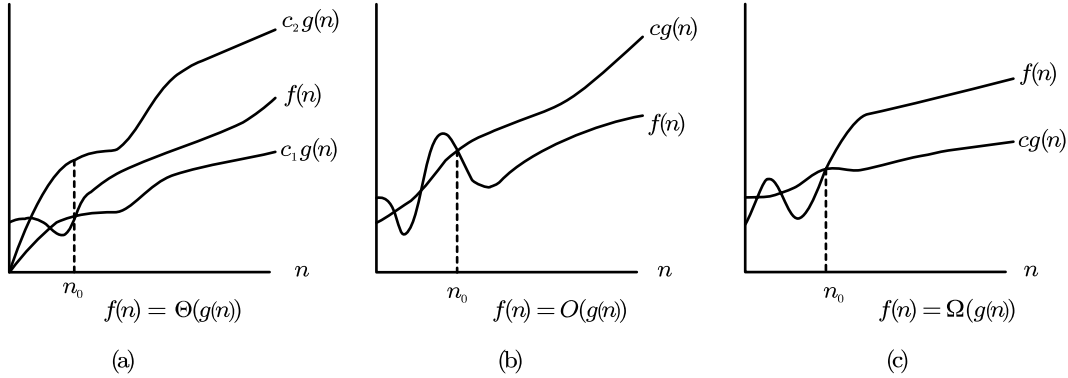
pentru orice  $n \geq n_0$ . Împărțind cu  $n^2$ , se obține

$$c_1 \leq \frac{1}{2} - \frac{3}{n} \leq c_2.$$

Inegalitatea din dreapta va fi verificată pentru orice  $n \geq 1$  dacă alegem  $c_2 \geq 1/2$ . În același fel, inegalitatea din stânga va fi verificată pentru orice valoare  $n \geq 7$  dacă alegem  $c_1 \leq 1/14$ . Astfel, luând  $c_1 = 1/14$ ,  $c_2 = 1/2$  și  $n_0 = 7$ , se poate verifica faptul că  $\frac{1}{2}n^2 - 3n = \Theta(n^2)$ . Evident, sunt posibile și alte alegeri pentru aceste constante, însă faptul important aici este doar acela că acestea există. Să mai observăm că aceste constante depind de funcția  $\frac{1}{2}n^2 - 3n$ ; o altă funcție aparținând lui  $\Theta(n^2)$  va cere de regulă alte constante.

Putem utiliza definiția formală și pentru a verifica faptul că  $6n^3 \neq \Theta(n^2)$ . Să presupunem, în scopul obținerii unei contradicții, că există  $c_2$  și  $n_0$  astfel încât  $6n^3 \leq c_2 n^2$  pentru orice  $n \geq n_0$ . De aici,  $n \leq c_2/6$ , inegalitate care nu poate fi adevărată pentru  $n$  oricăr de mare deoarece  $c_2$  este o constantă.

Intuitiv, termenii de ordin inferior ai unei funcții asimptotic pozitive pot fi ignorati în determinarea unor margini asimptotic strânse, deoarece aceștia sunt nesemnificativi pentru valori mari ale lui  $n$ . O fracțiune infimă a termenului de rang maxim este suficientă pentru a domina termenii de rang inferior. Astfel, dând lui  $c_1$  o valoare ceva mai mică decât coeficientul termenului



**Figura 2.1** Exemple grafice pentru notațiile  $\Theta$ ,  $O$  și  $\Omega$ . În fiecare parte, valoarea indicată a lui  $n_0$  este cea mai mică valoare posibilă; orice valoare mai mare va funcționa, de asemenea. (a)  $\Theta$ -notația mărginește o funcție până la factori constanți. Scriem  $f(n) = \Theta(g(n))$  dacă există constantele pozitive  $n_0$ ,  $c_1$  și  $c_2$  astfel încât la dreapta lui  $n_0$ , valoarea lui  $f(n)$  se află întotdeauna între  $c_1g(n)$  și  $c_2g(n)$  inclusiv. (b)  $O$ -notația dă o margine superioară pentru o funcție până la un factor constant. Scriem  $f(n) = O(g(n))$  dacă există constantele pozitive  $n_0$  și  $c$  astfel încât la dreapta lui  $n_0$ , valoarea lui  $f(n)$  este întotdeauna mai mică sau egală cu  $cg(n)$ . (c)  $\Omega$ -notația dă o margine inferioară pentru o funcție până la un factor constant. Scriem  $f(n) = \Omega(g(n))$  dacă există constantele pozitive  $n_0$  și  $c$  astfel încât la dreapta lui  $n_0$ , valoarea lui  $f(n)$  este întotdeauna mai mare sau egală cu  $cg(n)$ .

de rang maxim și dând lui  $c_2$  o valoare ceva mai mare, s-ar putea ca inegalitățile din definiția  $\Theta$ -notației să fie satisfăcute. Coeficientul termenului de rang maxim poate fi de asemenea ignorat, deoarece acesta poate schimba  $c_1$  și  $c_2$  doar cu un factor constant.

Pentru a exemplifica, să considerăm o funcție pătratică oarecare  $f(n) = an^2 + bn + c$ , în care  $a$ ,  $b$  și  $c$  sunt constante iar  $a > 0$ . Eliminarea termenilor de rang inferior lui 2 și neglijarea constantelor conduce la  $f(n) = \Theta(n^2)$ . Pentru a arăta același lucru în mod formal, alegem constantele  $c_1 = a/4$ ,  $c_2 = 7a/4$  și  $n_0 = 2 \cdot \max\{|b|/a, \sqrt{|c|/a}\}$ . Cititorul poate arăta că  $0 \leq c_1 n^2 \leq an^2 + bn + c \leq c_2 n^2$  pentru orice  $n \geq n_0$ . În general, pentru orice polinom  $p(n) = \sum_{i=0}^d a_i x^i$ , unde  $a_i$  sunt constante și  $a_d > 0$ , avem  $p(n) = \Theta(n^d)$ . (vezi problema 2-1)

Deoarece orice constantă este un polinom de gradul 0, putem expima orice funcție constantă ca  $\Theta(n^0)$  sau  $\Theta(1)$ . Această ultimă notație este un mic abuz deoarece nu este clar care variabilă trebuie la infinit.<sup>1</sup> Vom folosi des notația  $\Theta(1)$  înțelegând prin aceasta fie o constantă, fie o funcție constantă.

## $O$ -notația

$\Theta$ -notația delimită o funcție asimptotic inferior și superior. Când avem numai ***o margine asimptotică superioară***, utilizăm  $O$ -notația. Fiind dată o funcție  $g(n)$ , vom nota cu  $O(g(n))$ ,

<sup>1</sup>Adevărată problemă este aceea că notația noastră obișnuită pentru funcții nu face distincție între funcții și valorile lor. În  $\lambda$ -calcul, parametrii unei funcții sunt clar specificați: funcția  $n^2$  poate fi scrisă ca  $\lambda n \cdot n^2$  sau chiar  $\lambda r \cdot r^2$ . Adoptarea unei notații mai riguroase, pe de altă parte, ar complica manipulațiile algebrice, așa că preferăm să tolerăm abuzul.

multimea

$$O(g(n)) = \{f(n) : \text{există constantele pozitive } c \text{ și } n_0 \text{ astfel încât } 0 \leq f(n) \leq cg(n) \text{ pentru orice } n \geq n_0\}.$$

Vom utiliza  $O$ -notația pentru a indica o margine superioară a unei funcții până la un factor constant. Figura 2.1(b) dă imaginea intuitivă aflată în spatele  $O$ -notației. Pentru toate valorile lui  $n$  aflate la dreapta lui  $n_0$ , valorile corespunzătoare ale lui  $f(n)$  sunt egale sau mai mici decât cele ale lui  $g(n)$ .

Pentru a indica faptul că o funcție  $f(n)$  este un membru al lui  $O(g(n))$ , vom scrie  $f(n) = O(g(n))$ . Să notăm faptul că  $f(n) = \Theta(g(n))$  implică  $f(n) = O(g(n))$  deoarece  $\Theta$ -notația este o noțiune mai puternică decât  $O$ -notația. În limbajul teoriei mulțimilor, avem  $\Theta(g(n)) \subseteq O(g(n))$ . Astfel, demonstrația faptului că orice funcție pătratică  $an^2 + bn + c$ , unde  $a > 0$ , în  $\Theta(n^2)$ , arată de asemenea că orice funcție pătratică este în  $O(n^2)$ . Ceea ce poate părea și mai surprinzător este că orice funcție liniară  $an + b$  este în  $O(n^2)$ , ceea ce se verifică ușor, luând  $c = a + |b|$  și  $n_0 = 1$ .

Unor cititori, care s-au mai întâlnit cu notații de tipul  $O$ , ar putea să li se pară ciudat că scriem  $n = O(n^2)$ . În literatură,  $O$ -notația este folosită uneori informal pentru a descrie margini asimptotice strânse, adică ceea ce am definit utilizând  $\Theta$ -notația. În această carte, totuși, atunci când scriem  $f(n) = O(g(n))$ , afirmăm, în esență, că un anumit multiplu constant al lui  $g(n)$  este o margine asimptotică superioară a lui  $f(n)$ , fără să spunem nimic despre cât de strânsă este această margine superioară. Distincția dintre marginile asimptotice superioare și marginile asimptotice strânse a devenit standard în literatura consacrată algoritmilor.

Folosind  $O$ -notația, se poate adeseori descrie timpul de execuție al unui algoritm inspectând structura globală a algoritmului. De exemplu, structura de ciclu dublu a algoritmului de sortare prin inserție din capitolul 1 asigură imediat o margine superioară de tipul  $O(n^2)$  pentru timpul de execuție în cazul cel mai defavorabil: costul ciclului interior este mărginit superior de  $O(1)$  (constantă), indicii  $i, j$  sunt, ambi, cel mult  $n$  iar ciclul interior este executat cel mult o dată pentru fiecare dintre cele  $n^2$  perechi de valori pentru  $i$  și  $j$ .

Deoarece  $O$ -notația descrie o margine superioară, atunci când o folosim pentru delimitarea timpului de execuție în cazul cel mai defavorabil, prin implicație, delimităm, de asemenea, timpul de execuție al algoritmului pentru date de intrare arbitrară. Astfel, delimitarea  $O(n^2)$  pentru timpul de execuție în cazul cel mai defavorabil al sortării prin inserție se aplică, în egală măsură, timpului său de execuție pentru orice date de intrare. Delimitarea  $\Theta(n^2)$  a timpului de execuție în cazul cel mai defavorabil al sortării prin inserție, totuși, nu implică o delimitare  $\Theta(n^2)$  asupra timpului de execuție al sortării prin inserție pentru *orice* date de intrare. De exemplu, am văzut în capitolul 1 că dacă datele de intrare sunt deja sortate, sortarea prin inserție se execută în timpul  $\Theta(n)$ .

Tehnic, este o inexactitate să se spună că timpul de execuție la sortarea prin inserție este  $O(n^2)$  deoarece pentru un  $n$  dat timpul real de execuție depinde de forma datelor de intrare de dimensiune  $n$ . Prin urmare, timpul de execuție nu este de fapt tocmai o funcție de  $n$ . Ceea ce înțelegem atunci când spunem "timpul de execuție este  $O(n^2)$ " este că timpul de execuție în cazul cel mai defavorabil (care este o funcție de  $n$ ) este  $O(n^2)$ , sau, echivalent, oricare ar fi datele de intrare de dimensiune  $n$ , pentru fiecare valoare a lui  $n$ , timpul de execuție pentru acest set de date de intrare este  $O(n^2)$ .

## Ω-notația

La fel cum  $O$ -notația furnizează o delimitare asimptotică *superioară* pentru o funcție,  $\Omega$ -notația furnizează o **delimitare asimptotică inferioară**. Pentru o funcție dată  $g(n)$ , vom nota cu  $\Omega(g(n))$ , multimea

$$\begin{aligned}\Omega(g(n)) = \{f(n) &: \text{există constantele pozitive } c \text{ și } n_0 \text{ astfel încât} \\ &0 \leq cg(n) \leq f(n) \text{ pentru orice } n \geq n_0\}\end{aligned}$$

Imaginea intuitivă în spatele  $\Omega$ -notației este arătată în figura 2.1(c). Pentru toate valorile  $n$  aflate la dreapta lui  $n_0$ ,  $f(n)$  este mai mare sau egală cu  $cg(n)$ .

Din definițiile notațiilor asimptotice pe care le-am întâlnit până acum, este ușor de demonstrat următoarea teoremă importantă (vezi exercițiul 2.1-5).

**Teorema 2.1** Pentru orice două funcții  $f(n)$  și  $g(n)$ , avem  $f(n) = \Theta(g(n))$  dacă și numai dacă  $f(n) = O(g(n))$  și  $f(n) = \Omega(g(n))$ . ■

Ca un exemplu de aplicare a acestei teoreme, faptul că  $an^2 + bn + c = \Theta(n^2)$  implică imediat  $an^2 + bn + c = O(n^2)$  și  $an^2 + bn + c = \Omega(n^2)$ . În practică, în loc să utilizăm teorema 2.1 pentru a obține margini asimptotice superioare sau inferioare pornind de la margini asimptotice strânse, aşa cum am făcut în exemplul precedent, o utilizăm de obicei pentru a demonstra delimitări asimptotice strânse plecând de la delimitări asimptotice superioare și inferioare. Mărginirea asimptotică va fi demonstrată utilizând mărginirea asimptotică, superioară și inferioară.

Deoarece  $\Omega$ -notația descrie o margine inferioară, atunci când o utilizăm pentru a evalua timpul de execuție al unui algoritm în cazul cel mai favorabil, în mod implicit, evaluăm și timpul de execuție al algoritmului pentru date de intrare arbitrară. De exemplu, timpul de execuție în cazul cel mai favorabil al sortării prin inserție este  $\Omega(n)$ , de unde rezultă că timpul de execuție al sortării prin inserție este  $\Omega(n)$ .

Timpul de execuție al sortării prin inserție se află prin urmare între  $O(n)$  și  $\Omega(n^2)$  deoarece este situat întotdeauna între o funcție liniară și o funcție pătratică de  $n$ . Mai mult, aceste aproximări sunt asimptotic cele mai strânse: de exemplu, timpul de execuție al sortării prin inserție nu este  $\Omega(n^2)$  deoarece acesta este  $\Theta(n)$  în cazul datelor de intrare deja sortate. Nu este contradictoriu să spunem totuși că acest timp de execuție este  $\Omega(n^2)$  în cazul cel mai defavorabil deoarece există cel puțin un tip de date de intrare care impun algoritmului un timp de execuție  $\Omega(n^2)$ . Atunci când spunem că *timpul de execuție* al unui algoritm este  $\Omega(g(n))$ , înțelegem că *nu contează ce set particular de date de intrare de dimensiune n este ales pentru fiecare valoare a lui n*, timpul de execuție pe acel set de date de intrare este cel puțin o constantă înmulțită cu  $g(n)$ , pentru  $n$  suficient de mare.

## Notația asimptotică în ecuații

Am văzut deja cum poate fi utilizată o notație asimptotică în formulele matematice. De exemplu, la introducerea  $O$ -notației, am scris “ $n = O(n^2)$ ”. Am putea scrie, de asemenea  $2n^2 + 3n + 1 = 2n^2 + \Theta(n)$ . Cum interpretăm astfel de formule?

Atunci când o notație asimptotică se află singură în membrul drept al unei ecuații, ca în  $n = O(n^2)$ , deja am definit semnul de egalitate ca reprezentând apartenența din teoria mulțimilor:  $n \in O(n^2)$ . În general, totuși, când notația asimptotică apare într-o relație, o vom interpreta

ca reprezentând o funcție anonimă pe care nu ne obosim să o numim. De exemplu, egalitatea  $2n^2 + 3n + 1 = 2n^2 + \Theta(n)$  înseamnă de fapt  $2n^2 + 3n + 1 = 2n^2 + f(n)$ , unde  $f(n)$  este o funcție oarecare din mulțimea  $\Theta(n)$ . În acest caz,  $f(n) = 3n + 1$ , care este într-adevăr în  $\Theta(n)$ .

Folosirea notațiilor asimptotice în aceste situații poate ajuta la eliminarea unor detaliu inutile dintr-o ecuație. De exemplu, în capitolul 1, am exprimat timpul de execuție în cazul cel mai defavorabil la sortarea prin interclasare prin relația de recurență

$$T(n) = 2T(n/2) + \Theta(n)$$

Dacă suntem interesați doar de comportarea asimptotică a lui  $T(n)$ , nu are nici un rost să specificăm exact toți termenii de ordin inferior: aceștia sunt toți presupuși a fi inclusi în funcția anonimă notată prin termenul  $\Theta(n)$ .

Numărul funcțiilor "anonime" într-o expresie este înțeles ca fiind egal cu numărul notațiilor asimptotice care apar în această expresie. De exemplu, în expresia

$$\sum_{i=1}^n O(i)$$

există o singură funcție anonimă (o funcție de  $i$ ). Această expresie nu este echivalentă cu  $O(1) + O(2) + \dots + O(n)$ , care oricum nu are o interpretare clară.

În anumite cazuri apar notații asimptotice în membrul stâng al unei ecuații, cum ar fi

$$2n^2 + \Theta(n) = \Theta(n^2).$$

Vom interpreta astfel de ecuații utilizând următoarea regulă: *Oricum ar fi alese funcțiiile anonime din partea stângă a semnului egal, există o modalitate de alegere a funcțiilor anonime din partea dreaptă a semnului egal pentru a realiza egalitatea descrisă de ecuație.* Astfel, sensul exemplului nostru este acela că pentru orice funcție  $f(n) \in \Theta(n)$ , există o anumită funcție  $g(n) \in \Theta(n^2)$  astfel încât  $2n^2 + f(n) = g(n)$  pentru orice  $n$ . Cu alte cuvinte, membrul drept al ecuației oferă un nivel de detaliu mai scăzut decât membrul stâng.

Un număr de astfel de relații pot fi înlăntuite ca în

$$2n^2 + 3n + 1 = 2n^2 + \Theta(n) = \Theta(n^2)$$

Putem interpreta fiecare ecuație separat după regula de mai sus. Prima ecuație spune că există o funcție  $f(n) \in \Theta(n)$  astfel încât  $2n^2 + 3n + 1 = 2n^2 + f(n)$  pentru orice  $n$ . A doua ecuație spune că pentru orice funcție  $g(n) \in \Theta(n)$  (așa cum este  $f(n)$ ), există o anumită funcție  $h(n) \in \Theta(n^2)$  astfel încât  $2n^2 + g(n) = h(n)$  pentru orice  $n$ . Să observăm că această interpretare implică  $2n^2 + 3n + 1 = \Theta(n^2)$ , fapt care coincide cu informația intuitivă pe care o transmite lanțul celor două ecuații de mai sus.

### *o*-notația

Delimitarea asimptotică superioară dată de *O*-notația definită anterior poate sau nu să fie o delimitare asimptotic strânsă. Astfel, relația  $2n^2 = O(n^2)$ , este o delimitare asimptotic strânsă pe când  $2n = O(n^2)$  nu este. Vom utiliza în cele ce urmează *o*-notația pentru a desemna o delimitare superioară care nu este asimptotic strânsă. Formal, vom defini  $o(g(n))$  ("o mic de  $g$  de  $n$ ") ca fiind mulțimea

$$o(g(n)) = \{f(n) : \text{pentru orice constantă pozitivă } c > 0 \text{ există o constantă } n_0 > 0 \text{ astfel încât } 0 \leq f(n) < cg(n) \text{ pentru orice } n \geq n_0\}.$$

De exemplu,  $2n = o(n^2)$ , dar  $2n^2 \neq o(n^2)$ .

Definițiile pentru  $O$ -notație și  $o$ -notație sunt similare. Principala diferență este aceea că în  $f(n) = O(g(n))$ , delimitarea  $0 \leq f(n) \leq cg(n)$  are loc pentru o *anumită* constantă  $c > 0$ , dar, în  $f(n) = o(g(n))$ , delimitarea  $0 \leq f(n) < cg(n)$  are loc pentru *toate* constantele  $c > 0$ . Intuitiv, în cazul  $o$ -notației, funcția  $f(n)$  devine neglijabilă relativ la  $g(n)$  atunci când  $n$  tinde la infinit; cu alte cuvinte

$$\lim_{n \rightarrow \infty} \frac{f(n)}{g(n)} = 0. \quad (2.1)$$

Unii autori folosesc această limită ca o definiție pentru  $o$ -notație: definiția din această carte impune, de asemenea, funcțiilor anonime să fie asimptotic nenegative.

### $\omega$ -notația

Prin analogie,  $\omega$ -notația este față de  $\Omega$ -notație ceea ce este  $o$ -notația față de  $O$ -notație. Utilizăm  $\omega$ -notația pentru a desemna o delimitare asimptotică inferioară care nu este asimptotic strânsă. O cale de a o defini este

$$f(n) \in \omega(g(n)) \text{ dacă și numai dacă } g(n) \in o(f(n)).$$

Formal, totuși, definim  $\omega(g(n))$  ("omega mic de  $g$  de  $n$ ") ca fiind multimea

$$\omega(g(n)) = \{f(n) : \text{pentru orice constantă pozitivă } c > 0 \text{ există o constantă } n_0 > 0 \text{ astfel încât } 0 \leq cg(n) < f(n) \text{ pentru orice } n \geq n_0\}.$$

De exemplu,  $n^2/2 = \omega(n)$ , dar  $n^2/2 \neq \omega(n)$ . Relația  $f(n) = \omega(g(n))$  implică

$$\lim_{n \rightarrow \infty} \frac{f(n)}{g(n)} = \infty,$$

dacă limita există. Cu alte cuvinte,  $f(n)$  devine oricât de mare relativ la  $g(n)$  atunci când  $n$  tinde la infinit.

## Compararea funcțiilor

Multe dintre proprietățile relațiilor dintre numerele reale se aplică și la compararea asimptotică a funcțiilor. Pentru cele ce urmează vom presupune că  $f(n)$  și  $g(n)$  sunt asimptotic pozitive.

### Tranzitivitatea:

$$\begin{array}{llll} f(n) = \Theta(g(n)) & \text{și} & g(n) = \Theta(h(n)) & \text{implică} & f(n) = \Theta(h(n)), \\ f(n) = O(g(n)) & \text{și} & g(n) = O(h(n)) & \text{implică} & f(n) = O(h(n)), \\ f(n) = \Omega(g(n)) & \text{și} & g(n) = \Omega(h(n)) & \text{implică} & f(n) = \Omega(h(n)), \\ f(n) = o(g(n)) & \text{și} & g(n) = o(h(n)) & \text{implică} & f(n) = o(h(n)), \\ f(n) = \omega(g(n)) & \text{și} & g(n) = \omega(h(n)) & \text{implică} & f(n) = \omega(h(n)). \end{array}$$

### Reflexivitatea:

$$\begin{aligned} f(n) &= \Theta(f(n)), \\ f(n) &= O(f(n)), \\ f(n) &= \Omega(f(n)). \end{aligned}$$

**Simetria:**

$$f(n) = \Theta(g(n)) \quad \text{dacă și numai dacă} \quad g(n) = \Theta(f(n)).$$

**Antisimetria:**

$$\begin{aligned} f(n) &= O(g(n)) & \text{dacă și numai dacă} & g(n) = \Omega(f(n)), \\ f(n) &= o(g(n)) & \text{dacă și numai dacă} & g(n) = \omega(f(n)). \end{aligned}$$

Deoarece aceste proprietăți sunt valide pentru notații asimptotice, se poate trasa o analogie între compararea asimptotică a două funcții  $f$  și  $g$  și compararea asimptotică a două numere reale  $a$  și  $b$ :

$$\begin{aligned} f(n) = O(g(n)) &\approx a \leq b, \\ f(n) = \Omega(g(n)) &\approx a \geq b, \\ f(n) = \Theta(g(n)) &\approx a = b, \\ f(n) = o(g(n)) &\approx a < b, \\ f(n) = \omega(g(n)) &\approx a > b. \end{aligned}$$

O proprietate a numerelor reale, totuși, nu se transpune la notații asimptotice:

**Trihotomia:** Pentru orice două numere reale  $a$  și  $b$  exact una dintre următoarele relații este adevărată:  $a < b$ ,  $a = b$  sau  $a > b$ .

Deși orice două numere reale pot fi comparate, nu toate funcțiile sunt asimptotic comparabile. Cu alte cuvinte, pentru două funcții  $f(n)$  și  $g(n)$ , se poate întâmpla să nu aibă loc nici  $f(n) = O(g(n))$ , nici  $f(n) = \Omega(g(n))$ . De exemplu, funcțiile  $n$  și  $n^{1+\sin n}$  nu pot fi comparate utilizând notații asimptotice, deoarece valoarea exponentului în  $n^{1+\sin n}$  oscilează între 0 și 2, luând toate valorile intermediare.

## Exerciții

**2.1-1** Fie  $f(n)$  și  $g(n)$  funcții asimptotic nenegative. Utilizând definiția de bază a  $\Theta$ -notației, demonstrați că  $\max(f(n), g(n)) = \Theta(f(n) + g(n))$ .

**2.1-2** Demonstrați că pentru orice constante reale  $a$  și  $b$ , unde  $b > 0$ , avem

$$(n+a)^b = \Theta(n^b). \tag{2.2}$$

**2.1-3** Explicați de ce afirmația “Timpul de execuție al algoritmului  $A$  este cel puțin  $O(n^2)$ ” este lipsită de conținut.

**2.1-4** Este adevărat că  $2^{n+1} = O(2^n)$ ? Este adevărat că  $2^{2n} = O(2^n)$ ?

**2.1-5** Demonstrați teorema 2.1.

**2.1-6** Demonstrați că timpul de execuție al unui algoritm este  $\Theta(g(n))$  dacă și numai dacă timpul său de execuție în cazul cel mai defavorabil este  $O(g(n))$  și timpul său de execuție în cazul cel mai favorabil este  $\Omega(g(n))$ .

**2.1-7** Demonstrați că  $o(g(n)) \cap \omega(g(n))$  este mulțimea vidă.

**2.1-8** Putem extinde notația noastră la cazul a doi parametri  $n$  și  $m$  care tind la infinit în mod independent, cu viteze diferite. Peentru o funcție dată  $g(n, m)$  notăm cu  $O(g(n, m))$  mulțimea de funcții

$$O(g(n, m)) = \{f(n, m) : \text{există constantele pozitive } c, n_0 \text{ și } m_0 \text{ astfel încât} \\ 0 \leq f(n, m) \leq cg(n, m) \text{ pentru orice } n \geq n_0 \text{ și } m \geq m_0\}.$$

Dați definițiile corespunzătoare pentru  $\Omega(g(n, m))$  și  $\Theta(g(n, m))$ .

---

## 2.2. Notații standard și funcții comune

Această secțiune trece în revistă câteva funcții și notații matematice standard și explorează relațiile dintre ele. Ea ilustrează, de asemenea, utilizarea notațiilor asimptotice.

### Monotonie

O funcție  $f(n)$  este **monoton crescătoare** dacă  $m \leq n$  implică  $f(m) \leq f(n)$ . Analog, ea este **monoton descrescătoare** dacă  $m \leq n$  implică  $f(m) \geq f(n)$ . O funcție  $f(n)$  este **strict crescătoare** dacă  $m < n$  implică  $f(m) < f(n)$  și **strict descrescătoare** dacă  $m < n$  implică  $f(m) > f(n)$ .

### Părți întregi inferioare și superioare

Pentru orice număr real  $x$ , notăm cel mai mare întreg mai mic sau egal cu  $x$  prin  $\lfloor x \rfloor$  (se citește “partea întreagă inferioară a lui  $x$ ”) și cel mai mic întreg mai mare sau egal cu  $x$  prin  $\lceil x \rceil$  (se citește “partea întreagă superioară a lui  $x$ ”). Pentru orice  $x$  real,

$$x - 1 < \lfloor x \rfloor \leq x \leq \lceil x \rceil < x + 1.$$

Pentru orice întreg  $n$ ,

$$\lceil n/2 \rceil + \lfloor n/2 \rfloor = n,$$

iar pentru orice întreg  $n$  și orice întregi  $a \neq 0$  și  $b > 0$ ,

$$\lceil \lceil n/a \rceil / b \rceil = \lceil n/ab \rceil \tag{2.3}$$

și

$$\lfloor \lceil n/a \rceil / b \rfloor = \lfloor n/ab \rfloor. \tag{2.4}$$

Funcțiile parte întreagă inferioară și superioară sunt monoton crescătoare.

## Polinoame

Fiind dat un întreg pozitiv  $d$ , **un polinom în  $n$  de gradul  $d$**  este o funcție  $p(n)$  de forma

$$p(n) = \sum_{i=0}^d a_i n^i,$$

unde constantele  $a_0, a_1, \dots, a_d$  sunt **coeficienții** polinomului, iar  $a_d \neq 0$ . Un polinom este *asimptotic pozitiv* dacă și numai dacă  $a_d > 0$ . Pentru un polinom asimptotic pozitiv  $p(n)$  de grad  $d$  avem  $p(n) = \Theta(n^d)$ . Pentru orice constantă reală  $a \geq 0$ , funcția  $n^a$  este monoton crescătoare, iar pentru orice constantă reală  $a \leq 0$  funcția  $n^a$  este monoton descrescătoare. Spunem că o funcție  $f(n)$  este **polynomială mărginită** dacă  $f(n) = n^{O(1)}$ , ceea ce este echivalent cu a spune că  $f(n) = O(n^k)$  pentru o anumită constantă  $k$  (vezi exercițiul 2.2-2).

## Exponențiale

Pentru orice  $a \neq 0$ ,  $m$  și  $n$  reale avem următoarele identități:

$$\begin{aligned} a^0 &= 1, \\ a^1 &= a, \\ a^{-1} &= 1/a, \\ (a^m)^n &= a^{mn}, \\ (a^m)^n &= (a^n)^m, \\ a^m a^n &= a^{m+n}. \end{aligned}$$

Pentru orice  $n$  și  $a \geq 1$ , funcția  $a^n$  este monoton crescătoare în  $n$ . Când ne va conveni, vom presupune că  $0^0 = 1$ .

Ratele de creștere ale polinoamelor și exponențialelor pot fi legate prin următorul fapt. Pentru orice constante  $a$  și  $b$  astfel încât  $a > 1$ ,

$$\lim_{n \rightarrow \infty} \frac{n^b}{a^n} = 0, \tag{2.5}$$

din care putem trage concluzia că

$$n^b = o(a^n).$$

Astfel, orice funcție exponențială având baza strict mai mare decât 1 crește mai repede decât orice funcție polinomială.

Utilizând  $e$  pentru a nota 2.71828..., baza funcției logaritm natural, avem, pentru orice  $x$  real,

$$e^x = 1 + x + \frac{x^2}{2!} + \frac{x^3}{3!} + \dots = \sum_{i=0}^{\infty} \frac{x^i}{i!}, \tag{2.6}$$

unde “!” desemnează funcția factorial definită mai târziu în această secțiune. Pentru orice  $x$  real avem inegalitatea

$$e^x \geq 1 + x, \tag{2.7}$$

unde egalitatea are loc numai pentru  $x = 0$ . Când  $|x| \leq 1$ , avem aproximația

$$1 + x \leq e^x \leq 1 + x + x^2. \quad (2.8)$$

Când  $x \rightarrow 0$ , aproximația lui  $e^x$  prin  $1 + x$  este destul de bună:

$$e^x = 1 + x + \Theta(x^2).$$

(În această ecuație, notația asimptotică este utilizată pentru a descrie comportamentul la limită pentru  $x \rightarrow 0$  mai degrabă decât pentru  $x \rightarrow \infty$ .) Avem, pentru orice  $x$ ,

$$\lim_{n \rightarrow \infty} \left(1 + \frac{x}{n}\right)^n = e^x.$$

## Logaritmi

Vom utiliza următoarele notații:

$$\begin{aligned} \lg n &= \log_2 n && (\text{logaritm binar}), \\ \ln n &= \log_e n && (\text{logaritm natural}), \\ \lg^k n &= (\lg n)^k && (\text{exponențierea}), \\ \lg \lg n &= \lg(\lg n) && (\text{compunerea}). \end{aligned}$$

O convenție de notație importantă pe care o vom adopta este aceea că *funciile logaritmice se vor aplica numai următorului termen dintr-o formulă*, astfel că  $\lg n + k$  va însemna  $(\lg n) + k$  și nu  $\lg(n + k)$ . Pentru  $n > 0$  și  $b > 1$ , funcția  $\log_b n$  este strict crescătoare.

Pentru orice numere reale  $a > 0, b > 0, c > 0$  și  $n$ ,

$$\begin{aligned} a &= b^{\log_b a}, \\ \log_c(ab) &= \log_c a + \log_c b, \\ \log_b a^n &= n \log_b a, \\ \log_b a &= \frac{\log_c a}{\log_c b}, \\ \log_b(1/a) &= -\log_b a, \\ \log_b a &= \frac{1}{\log_a b}, \\ a^{\log_b n} &= n^{\log_b a}. \end{aligned} \quad (2.9)$$

Deoarece schimbarea bazei unui logaritmul de la o constantă la o altă constantă schimbă valoarea logaritmului doar printr-un factor constant, vom utiliza adesea notația “ $\lg n$ ” când factorii constanți nu vor fi importanți, aşa cum este cazul cu  $O$ -notația. Informaticienilor li se pare că 2 este baza cea mai naturală pentru logaritmi, deoarece atât de mulți algoritmi și structuri de date presupun descompunerea unei probleme în două părți.

Există o dezvoltare în serie simplă pentru  $\ln(1 + x)$  când  $|x| < 1$ :

$$\ln(1 + x) = x - \frac{x^2}{2} + \frac{x^3}{3} - \frac{x^4}{4} + \frac{x^5}{5} - \dots$$

Avem, de asemenea, următoarele inegalități pentru  $x > -1$ :

$$\frac{x}{1+x} \leq \ln(1+x) \leq x, \quad (2.10)$$

unde egalitatea are loc numai pentru  $x = 0$ .

Spunem că o funcție  $f(n)$  este **polilogaritmică mărginită** dacă  $f(n) = \lg^{O(1)} n$ . Putem lega creșterile polinoamelor și polilogaritmilor înlocuind pe  $n$  cu  $\lg n$  și pe  $a$  cu  $2^a$  în ecuația (2.5), obținând

$$\lim_{n \rightarrow \infty} \frac{\lg^b n}{(2^a)^{\lg n}} = \lim_{n \rightarrow \infty} \frac{\lg^b n}{n^a} = 0.$$

Din această limită, putem conchide că

$$\lg^b n = o(n^a)$$

pentru orice constantă  $a > 0$ . Astfel, orice funcție polinomială pozitivă crește mai repede decât orice funcție polilogaritmică.

## Factoriali

Notația  $n!$  (se citește “ $n$  factorial”) este definită pentru numere întregi  $n \geq 0$  prin

$$n! = \begin{cases} 1 & \text{dacă } n = 0, \\ n \cdot (n-1)! & \text{dacă } n > 0. \end{cases}$$

Astfel,  $n! = 1 \cdot 2 \cdot 3 \cdots n$ .

O margine superioară slabă a funcției factorial este  $n! \leq n^n$ , deoarece fiecare dintre cei  $n$  factori ai produsului factorial este cel mult  $n$ . **Aproximația lui Stirling**,

$$n! = \sqrt{2\pi n} \left(\frac{n}{e}\right)^n \left(1 + \Theta\left(\frac{1}{n}\right)\right), \quad (2.11)$$

unde  $e$  este baza logaritmilor naturali, ne dă o margine superioară mai strânsă, dar și o margine inferioară. Utilizând aproximarea lui Stirling, putem demonstra că

$$\begin{aligned} n! &= o(n^n), \\ n! &= \omega(2^n), \\ \lg(n!) &= \Theta(n \lg n). \end{aligned}$$

Următoarele delimitări sunt, de asemenea, valabile pentru orice  $n$ :

$$\sqrt{2\pi n} \left(\frac{n}{e}\right)^n \leq n! \leq \sqrt{2\pi n} \left(\frac{n}{e}\right)^{ne^{1/12n}} \quad (2.12)$$

## Funcția logaritm iterată

Utilizăm notația  $\lg^* n$  (se citește “logaritm stea de  $n$ ”) pentru a nota logaritmul iterat, care este definit după cum urmează. Fie funcția  $\lg^{(i)} n$  definită recursiv pentru întregii nenegativi  $i$  prin

$$\lg^{(i)} n = \begin{cases} n & \text{dacă } i = 0, \\ \lg(\lg^{(i-1)} n) & \text{dacă } i > 0 \text{ și } \lg^{(i-1)} n > 0, \\ \text{nedefinită} & \text{dacă } i > 0 \text{ și } \lg^{(i-1)} n \geq 0 \text{ sau } \lg^{(i-1)} n \text{ este nedefinită.} \end{cases}$$

Calculați diferența între funcția  $\lg^{(i)} n$  (funcția logaritm aplicată succesiv de  $i$  ori, începând cu argumentul  $n$ ) și  $\lg^i n$  (logaritmul lui  $n$  ridicat la puterea  $i$ ). Funcția logaritm iterată este definită prin

$$\lg^* n = \min \left\{ i \geq 0 : \lg^{(i)} n \leq 1 \right\}.$$

Funcția logaritm iterată este o funcție *foarte* lent crescătoare:

$$\begin{aligned}\lg^* 2 &= 1, \\ \lg^* 4 &= 2, \\ \lg^* 16 &= 3, \\ \lg^* 65536 &= 4, \\ \lg^*(2^{65536}) &= 5.\end{aligned}$$

Deoarece numărul atomilor din universul observabil este estimat la aproximativ  $10^{80}$ , care este mult mai mic decât  $2^{65536}$ , rareori întâlnim o valoare a lui  $n$  astfel încât  $\lg^* n > 5$ .

## Numere Fibonacci

*Numerele Fibonacci* sunt definite prin următoarea recurență:

$$F_0 = 0, F_1 = 1, F_i = F_{i-1} + F_{i-2} \quad \text{pentru } i \geq 2. \quad (2.13)$$

Astfel, fiecare număr Fibonacci este suma celor două numere Fibonacci anterioare, rezultând secvența

$$0, 1, 1, 2, 3, 5, 8, 13, 21, 34, 55, \dots$$

Numerele Fibonacci sunt legate de *raportul de aur*  $\phi$  și de conjugatul său  $\widehat{\phi}$ , care sunt date de următoarele formule:

$$\phi = \frac{1 + \sqrt{5}}{2} = 1.61803\dots, \widehat{\phi} = \frac{1 - \sqrt{5}}{2} = -.61803\dots \quad (2.14)$$

Mai precis, avem

$$F_i = \frac{\phi^i - \widehat{\phi}^i}{\sqrt{5}}, \quad (2.15)$$

ceea ce se poate demonstra prin inducție (exercițiul 2.2-7). Deoarece  $|\widehat{\phi}| < 1$ , avem  $|\widehat{\phi}^i|/\sqrt{5} < 1/\sqrt{5} < 1/2$ , astfel că cel de-al  $i$ -lea număr Fibonacci este egal cu  $\phi^i/\sqrt{5}$  rotunjit la cel mai apropiat întreg. Astfel, numerele Fibonacci cresc exponențial.

## Exerciții

**2.2-1** Arătați că dacă  $f(n)$  și  $g(n)$  sunt funcții monoton crescătoare, atunci la fel sunt și funcțiile  $f(n) + g(n)$  și  $f(g(n))$ , iar dacă  $f(n)$  și  $g(n)$  sunt în plus nenegative, atunci și  $f(n) \cdot g(n)$  este monoton crescătoare.

**2.2-2** Utilizați definiția  $O$ -notației pentru a arăta că  $T(n) = n^{O(1)}$  dacă și numai dacă există o constantă  $k > 0$  astfel încât  $T(n) = O(n^k)$ .

**2.2-3** Demonstrați ecuația (2.9).

**2.2-4** Demonstrați că  $\lg(n!) = \Theta(n \lg n)$  și că  $n! = o(n^n)$ .

**2.2-5** \* Este funcția  $\lceil \lg n \rceil!$  polinomial mărginită? Este funcția  $\lceil \lg \lg n \rceil!$  polinomial mărginită?

**2.2-6** \* Care este asimptotic mai mare:  $\lg(\lg^* n)$  sau  $\lg^*(\lg n)$ ?

**2.2-7** Demonstrați prin inducție că cel de-al  $i$ -lea număr Fibonacci verifică egalitatea  $F_i = (\phi^i - \hat{\phi}^i)/\sqrt{5}$ , unde  $\phi$  este raportul de aur iar  $\hat{\phi}$  este conjugatul său.

**2.2-8** Demonstrați că pentru  $i \geq 0$  cel de-al  $(i+2)$ -lea număr Fibonacci verifică  $F_{i+2} \geq \phi^i$ .

## Probleme

### 2-1 Comportamentul asimptotic al polinoamelor

Fie

$$p(n) = \sum_{i=0}^d a_i p^i,$$

unde  $a_d > 0$  un polinom de gradul  $d$  în  $n$  și fie  $k$  o constantă. Utilizați proprietățile notațiilor asimptotice pentru a demonstra următoarele proprietăți.

- a. Dacă  $k \geq d$ , atunci  $p(n) = O(n^k)$ .
- b. Dacă  $k \leq d$ , atunci  $p(n) = \Omega(n^k)$ .
- c. Dacă  $k = d$ , atunci  $p(n) = \Theta(n^k)$ .
- d. Dacă  $k > d$ , atunci  $p(n) = o(n^k)$ .
- e. Dacă  $k < d$ , atunci  $p(n) = \omega(n^k)$ .

### 2-2 Creșteri asimptotice relative

Indicați, pentru fiecare pereche de expresii  $(A, B)$  din tabelul următor, dacă  $A$  este  $O$ ,  $o$ ,  $\Omega$ ,  $\omega$  sau  $\Theta$  de  $B$ . Presupuneți că  $k \geq 1$ ,  $\epsilon > 0$  și  $c > 1$  sunt constante. Răspunsul trebuie să fie sub forma unui tabel, cu “da” sau “nu” scrise în fiecare rubrică.

	$A$	$B$	$O$	$o$	$\Omega$	$\omega$	$\Theta$
a.	$\lg^k n$	$n^\epsilon$					
b.	$n^k$	$c^n$					
c.	$\sqrt{n}$	$n^{\sin n}$					
d.	$2^n$	$2^{n/2}$					
e.	$n^{\lg m}$	$m^{\lg n}$					
f.	$\lg(n!)$	$\lg(n^n)$					

### 2-3 Ordonarea după ratele de creștere asimptotică

- a. Ordonați următoarele funcții după ordinea de creștere; mai precis, găsiți un aranjament de funcții  $g_1, g_2, \dots, g_{30}$  care să verifice  $g_1 = \Omega(g_2), g_2 = \Omega(g_3), \dots, g_{29} = \Omega(g_{30})$ . Partiționați lista în clase de echivalență astfel încât  $f(n)$  și  $g(n)$  să fie în aceeași clasă de echivalență dacă și numai dacă  $f(n) = \Theta(g(n))$ .

$\lg(\lg^* n)$	$2^{\lg^* n}$	$(\sqrt{2})^{\lg n}$	$n^2$	$n!$	$(\lg n)!$
$(\frac{3}{2})^n$	$n^3$	$\lg^2 n$	$\lg(n!)$	$2^{2^n}$	$n^{1/\lg n}$
$\ln \ln n$	$\lg^* n$	$n \cdot 2^n$	$n^{\lg \lg n}$	$\ln n$	$\frac{1}{\sqrt{\lg n}}$
$2^{\lg n}$	$(\lg n)^{\lg n}$	$e^n$	$4^{\lg n}$	$(n+1)!$	
$\lg^*(\lg n)$	$2^{\sqrt{2 \lg n}}$	$n$	$2^n$	$n \lg n$	$2^{2^{n+1}}$

- b. Dați un exemplu de o singură funcție nenegativă  $f(n)$  astfel încât pentru toate funcțiile  $g_i(n)$  de la punctul (a),  $f(n)$  să nu fie nici  $O(g_i(n))$  nici  $\Omega(g_i(n))$ .

### 2-4 Proprietăți ale notațiilor asimptotice

Fie  $f(n)$  și  $g(n)$  funcții asimptotic pozitive. Demonstrați următoarele conjecturi sau demonstrați că ele nu sunt adevărate.

- a.  $f(n) = O(g(n))$  implică  $g(n) = O(f(n))$ .
- b.  $f(n) + g(n) = \Theta(\min(f(n), g(n)))$ .
- c.  $f(n) = O(g(n))$  implică  $\lg(f(n)) = O(\lg(g(n)))$ , unde  $\lg(g(n)) > 0$  și  $f(n) \geq 1$  pentru orice  $n$  suficient de mare.
- d.  $f(n) = O(g(n))$  implică  $2^{f(n)} = O(2^{g(n)})$ .
- e.  $f(n) = O((f(n))^2)$ .
- f.  $f(n) = O(g(n))$  implică  $g(n) = \Omega(f(n))$ .
- g.  $f(n) = \Theta(f(n/2))$ .
- h.  $f(n) + o(f(n)) = \Theta(f(n))$ .

### 2-5 Variații ale lui $O$ și $\Omega$

Unii autori definesc  $\Omega$  într-un mod ușor diferit de al nostru; să utilizăm  $\overset{\infty}{\Omega}$  (se citește “omega infinit”) pentru această definiție alternativă. Spunem că  $f(n) = \overset{\infty}{\Omega}(g(n))$  dacă există o constantă pozitivă  $c$  astfel încât  $f(n) \geq cg(n) \geq 0$  pentru infinit de mulți  $n$ .

- a. Arătați că pentru oricare două funcții  $f(n)$  și  $g(n)$  care sunt asimptotic nenegative, fie  $f(n) = O(g(n))$ , fie  $f(n) = \overset{\infty}{\Omega}(g(n))$  fie amândouă, în timp ce această afirmație nu este adevărată dacă utilizăm  $\Omega$  în loc de  $\overset{\infty}{\Omega}$ .
- b. Descrieți avantajele și dezavantajele potențiale ale utilizării lui  $\overset{\infty}{\Omega}$  în locul lui  $\Omega$  pentru a descrie timpii de execuție ai programelor.

Unii autori îl definesc și pe  $O$  într-un mod ușor diferit; să utilizăm  $O'$  pentru definiția alternativă. Spunem că  $f(n) = O'(g(n))$  dacă și numai dacă  $|f(n)| = O(g(n))$ .

- c. Ce se întâmplă cu fiecare dintre direcțiile lui “dacă și numai dacă” din teorema 2.1 cu această nouă definiție?

Unii autori definesc  $\tilde{O}$  (se citește “o moale”) ca însemnând  $O$  cu factorii logaritmici ignorati:

$$\tilde{O}(g(n)) = \{f(n) : \text{există constantele pozitive, } c, k \text{ și } n_0 \text{ astfel încât } 0 \leq f(n) \leq cg(n) \lg^k(n) \text{ pentru orice } n \geq n_0\}.$$

- d. Definiți  $\tilde{\Omega}$  și  $\tilde{\Theta}$  într-un mod analog. Demonstrați proprietatea analogă corespunzătoare teoremei 2.1.

## 2-6 Funcții iterate

Operatorul de iterare “ $^{**}$ ” utilizat în funcția  $\lg^*$  poate fi aplicat funcțiilor monoton crescătoare pe mulțimea numerelor reale. Pentru o funcție  $f$  care satisfacă  $f(n) < n$  definim funcția  $f^{(i)}$  recursiv pentru numerele întregi  $i$  nenegative prin

$$f^{(i)}(n) = \begin{cases} f(f^{(i-1)}(n)) & \text{dacă } i > 0, \\ n & \text{dacă } i = 0. \end{cases}$$

Pentru o constantă dată  $c \in \mathbf{R}$ , definim funcția iterată  $f_c^*$  prin

$$f_c^*(n) = \min\{i \geq 0 : f^{(i)}(n) \leq c\},$$

care nu trebuie să fie bine-definită în toate cazurile. Cu alte cuvinte, cantitatea  $f_c^*(n)$  este numărul de aplicații iterate ale funcției  $f$  necesare pentru a reduce argumentul la  $c$  sau la mai puțin.

Pentru fiecare dintre următoarele funcții  $f(n)$  și constantele  $c$ , dați o evaluare cât se poate de strânsă a lui  $f_c^*(n)$ .

	$f(n)$	$c$	$f_c^*(n)$
a.	$\lg n$	1	
b.	$n - 1$	0	
c.	$n/2$	1	
d.	$n/2$	2	
e.	$\sqrt{n}$	2	
f.	$\sqrt{n}$	1	
g.	$n^{1/3}$	2	
h.	$n/\lg n$	2	

## Note bibliografice

Knuth [121] investighează originea  $O$ -notației și afirmă că ea apare pentru prima dată într-un text de teoria numerelor al lui P. Bachmann din 1982.  $o$ -notația a fost inventată de către E. Landau în 1909 pentru discuția distribuției numerelor prime. Notațiile  $\Omega$  și  $\Theta$  au fost introduse de către Knuth [124] pentru a corecta practica din literatură, populară dar derutantă din punct de vedere tehnic, de a utiliza  $O$ -notația atât pentru margini superioare cât și pentru margini

inferioare. Multă lume continuă să utilizeze  $O$ -notația acolo unde  $\Theta$ -notația este mai precisă din punct de vedere tehnic. O altă discuție pe tema istoriei și dezvoltării notațiilor asymptotice poate fi găsită în Knuth [121, 124] și Brassard și Bratley [33].

Nu toți autorii definesc notațiile asymptotice în același mod, deși diferențele definiții concordă în cele mai comune situații. Unele dintre definițiile alternative se aplică și la funcții care nu sunt asymptotic neneegative, dacă valorile lor absolute sunt mărginite în mod corespunzător.

Alte proprietăți ale funcțiilor matematice elementare pot fi găsite în orice carte de referință de matematică, cum ar fi Abramowitz și Stegun [1] sau Beyer [27], sau într-o carte de analiză, cum ar fi Apostol [12] sau Thomas și Finney [192]. Knuth [121] conține o mulțime de materiale despre matematica discretă, utilizată în informatică.

---

## 3 Sume

Când un algoritm conține o structură de control iterativă cum ar fi un ciclu **cât timp** sau **pentru**, timpul său de execuție poate fi exprimat ca suma timpilor necesari la fiecare execuție a corpului ciclului. De exemplu, am văzut în secțiunea 1.2 că a  $j$ -a iterare a sortării prin inserție a necesitat un timp proporțional cu  $j$  în cazul cel mai defavorabil. Adunând timpii necesari pentru fiecare iterare, am obținut o sumă (sau serie)

$$\sum_{j=2}^n j.$$

Evaluarea sumei a dat o margine  $\Theta(n^2)$  pentru timpul de execuție al algoritmului în cazul cel mai defavorabil. Acest exemplu indică importanța generală și intelectuală manipulării și delimitării sumelor. (După cum vom vedea în capitolul 4, sumele apar și când utilizăm anumite metode pentru rezolvarea recurențelor.)

Secțiunea 3.1 prezintă mai multe formule de bază în care intervin sume. Secțiunea 3.2 oferă tehnici utile pentru delimitarea sumelor. Formulele din secțiunea 3.1 sunt date fără demonstrație, deși demonstrațiile pentru unele dintre ele sunt prezentate în secțiunea 3.2, pentru a ilustra metodele acelei secțiuni. Majoritatea celorlalte demonstrații pot fi găsite în orice manual de analiză.

---

### 3.1. Formule de însumare și proprietăți

Fiind dat un sir de numere  $a_1, a_2, \dots$ , suma finită  $a_1 + a_2 + \dots + a_n$  poate fi scrisă

$$\sum_{k=1}^n a_k.$$

Dacă  $n = 0$ , valoarea sumei este definită ca fiind 0. Dacă  $n$  nu este un număr întreg, mai presupunem că limita superioară este  $\lfloor n \rfloor$ . Analog, dacă suma începe cu  $k = x$ , unde  $x$  nu este un întreg, presupunem că valoarea inițială pentru însumare este  $\lfloor x \rfloor$ . (În general, vom scrie în mod explicit părțile întregi inferioare sau superioare). Valoarea unei serii finite este întotdeauna bine definită, iar termenii săi pot fi adunați în orice ordine.

Fiind dat un sir de numere  $a_1, a_2, \dots$ , suma infinită  $a_1 + a_2 + \dots$  poate fi scrisă

$$\sum_{k=1}^{\infty} a_k,$$

care este interpretată ca

$$\lim_{n \rightarrow \infty} \sum_{k=1}^n a_k.$$

Dacă limita nu există, seria **diverge**; altfel, ea **converge**. Termenii unei serii convergente nu pot fi întotdeauna adunați în orice ordine. Putem rearanja, totuși, termenii unei **serii absolut convergente**, care este o serie  $\sum_{k=1}^{\infty} a_k$  pentru care seria  $\sum_{k=1}^{\infty} |a_k|$  converge de asemenea.

## Liniaritate

Pentru orice număr real  $c$  și orice siruri finite  $a_1, a_2, \dots, a_n$  și  $b_1, b_2, \dots, b_n$

$$\sum_{k=1}^n (ca_k + b_k) = c \sum_{k=1}^n a_k + \sum_{k=1}^n b_k.$$

Proprietatea de liniaritate este verificată, de asemenea, și de seriile infinite convergente.

Proprietatea de liniaritate poate fi exploatată pentru a manipula sumele care încorporează notații asimptotice. De exemplu,

$$\sum_{k=1}^n \Theta(f(k)) = \Theta\left(\sum_{k=1}^n f(k)\right).$$

În această ecuație,  $\Theta$ -notația din membrul stâng se aplică variabilei  $k$ , dar în membrul drept ea se aplică lui  $n$ . Astfel de manipulări pot fi aplicate și seriilor infinite convergente.

## Serii aritmetice

Suma

$$\sum_{k=1}^n k = 1 + 2 + \dots + n,$$

care a apărut când am analizat sortarea prin inserție, este o **serie aritmetică** și are valoarea

$$\sum_{k=1}^n k = \frac{1}{2}n(n+1) \tag{3.1}$$

$$= \Theta(n^2) \tag{3.2}$$

## Serii geometrice

Pentru orice  $x \neq 1$  real, suma

$$\sum_{k=0}^n x^k = 1 + x + x^2 + \dots + x^n$$

este o **serie geometrică** sau **exponențială** și are valoarea

$$\sum_{k=0}^n x^k = \frac{x^{n+1} - 1}{x - 1}. \tag{3.3}$$

Când suma este infinită și  $|x| < 1$  avem seria geometrică infinită descrescătoare

$$\sum_{k=0}^{\infty} x^k = \frac{1}{1-x}. \tag{3.4}$$

## Serii armonice

Pentru întregi pozitivi  $n$ , al  $n$ -lea **număr armonic** este

$$H_n = 1 + \frac{1}{2} + \frac{1}{3} + \frac{1}{4} + \dots + \frac{1}{n} = \sum_{k=1}^n \frac{1}{k} = \ln n + O(1). \quad (3.5)$$

## Integrarea și diferențierea seriilor

Se pot obține formule suplimentare prin integrarea sau diferențierea formulelor de mai sus. De exemplu, diferențind ambii membri ai seriei geometrice infinite (3.4) și înmulțind cu  $x$ , obținem

$$\sum_{k=0}^{\infty} kx^k = \frac{x}{(1-x)^2} \quad (3.6)$$

## Serii telescopante

Pentru orice sir  $a_0, a_1, \dots, a_n$

$$\sum_{k=1}^n (a_k - a_{k-1}) = a_n - a_0 \quad (3.7)$$

deoarece fiecare dintre termenii  $a_1, a_2, \dots, a_{n-1}$  este adunat exact o dată și scăzut exact o dată. Spunem că suma **telescopează**. Analog,

$$\sum_{k=0}^{n-1} (a_k - a_{k+1}) = a_0 - a_n.$$

Ca un exemplu de sumă telescopantă, să considerăm seria

$$\sum_{k=1}^{n-1} \frac{1}{k(k+1)}.$$

Deoarece putem scrie fiecare termen ca

$$\frac{1}{k(k+1)} = \frac{1}{k} - \frac{1}{k+1},$$

obținem

$$\sum_{k=1}^{n-1} \frac{1}{k(k+1)} = \sum_{k=1}^{n-1} \left( \frac{1}{k} - \frac{1}{k+1} \right) = 1 - \frac{1}{n}.$$

## Produse

Produsul finit  $a_1 a_2 \cdots a_n$  poate fi scris

$$\prod_{k=1}^n a_k.$$

Dacă  $n = 0$ , valoarea produsului este definită ca fiind 1. Putem converti o formulă cu un produs într-o formulă cu o sumă, utilizând identitatea

$$\lg \left( \prod_{k=1}^n a_k \right) = \sum_{k=1}^n \lg a_k.$$

## Exerciții

**3.1-1** Găsiți o formulă simplă pentru  $\sum_{k=1}^n (2k - 1)$ .

**3.1-2** \* Arătați că  $\sum_{k=1}^n 1/(2k - 1) = \ln(\sqrt{n}) + O(1)$  manipulând seria armonică.

**3.1-3** \* Arătați că  $\sum_{k=0}^{\infty} (k - 1)/2^k = 0$ .

**3.1-4** \* Evaluați suma  $\sum_{k=1}^{\infty} (2k + 1)x^{2k}$ .

**3.1-5** Utilizați proprietatea de liniaritate a însumării pentru a demonstra că  $\sum_{k=1}^n O(f_k(n)) = O(\sum_{k=1}^n f_k(n))$ .

**3.1-6** Demonstrați că  $\sum_{k=1}^{\infty} \Omega(f(k)) = \Omega(\sum_{k=1}^{\infty} f(k))$ .

**3.1-7** Evaluați produsul  $\prod_{k=1}^n 2 \cdot 4^k$ .

**3.1-8** \* Evaluați produsul  $\prod_{k=2}^n (1 - 1/k^2)$ .

## 3.2. Delimitarea sumelor

Există multe tehnici disponibile pentru delimitarea sumelor care descriu timpii de execuție ai algoritmilor. Iată câteva dintre metodele cel mai frecvent utilizate.

### Inducția matematică

Cea mai simplă cale de a evalua o serie este utilizarea inducției matematice. De exemplu, să demonstrăm că seria aritmetică  $\sum_{k=1}^n k$  are valoarea  $\frac{1}{2}n(n + 1)$ . Putem verifica ușor pentru  $n = 1$ , aşa că facem ipoteza de inducție că formula este adevărată pentru orice  $n$  și demonstrăm că are loc pentru  $n + 1$ . Avem

$$\sum_{k=1}^{n+1} k = \sum_{k=1}^n k + (n + 1) = \frac{1}{2}n(n + 1) + (n + 1) = \frac{1}{2}(n + 1)(n + 2).$$

Nu trebuie să ghicim valoarea exactă a unei sume pentru a utiliza inducția matematică. Inducția poate fi utilizată și pentru a demonstra o delimitare. De exemplu, să demonstrăm că seria geometrică  $\sum_{k=0}^n 3^k$  este  $O(3^n)$ . Mai precis, să demonstrăm că  $\sum_{k=0}^n 3^k \leq c \cdot 3^n$  pentru o anumită constantă  $c$ . Pentru condiția inițială  $n = 0$  avem  $\sum_{k=0}^0 3^k = 1 \leq c \cdot 1$ , cât timp  $c \geq 1$ . Presupunând că delimitarea are loc pentru  $n$ , să demonstrăm că are loc pentru  $n + 1$ . Avem

$$\sum_{k=0}^{n+1} 3^k = \sum_{k=0}^n 3^k + 3^{n+1} \leq c \cdot 3^n + 3^{n+1} = \left(\frac{1}{3} + \frac{1}{c}\right) c \cdot 3^{n+1} \leq c \cdot 3^{n+1}$$

cât timp  $(1/3 + 1/c) \leq 1$  sau, echivalent,  $c \geq 3/2$ . Astfel,  $\sum_{k=0}^n 3^k = O(3^n)$ , ceea ce am dorit să arătăm.

Trebuie să fim prudenti când utilizăm notații asymptotice pentru a demonstra delimitări prin inducție. Considerăm următoarea demonstrație vicioasă a faptului că  $\sum_{k=1}^n k = O(n)$ . Desigur,  $\sum_{k=1}^1 k = O(1)$ . Acceptând delimitarea pentru  $n$ , o demonstrăm acum pentru  $n + 1$ :

$$\begin{aligned} \sum_{k=1}^{n+1} k &= \sum_{k=1}^n k + (n + 1) \\ &= O(n) + (n + 1) \quad \Leftarrow \text{gre it!} \\ &= O(n + 1). \end{aligned}$$

Greșeala în argumentație este aceea că  $O$  ascunde o “constantă” care crește în funcție de  $n$  și deci nu este constantă. Nu am arătat că aceeași constantă e valabilă pentru  $to i n$ .

## Delimitarea termenilor

Uneori, o limită superioară bună a unei serii se poate obține delimitând fiecare termen al seriei, și este, de multe ori, suficient să utilizăm cel mai mare termen pentru a-i delimita pe ceilalți. De exemplu, o limită superioară rapidă a seriei aritmetice (3.1) este

$$\sum_{k=1}^n k \leq \sum_{k=1}^n n = n^2.$$

În general, pentru o serie  $\sum_{k=1}^n a_k$ , dacă punem  $a_{max} = \max_{1 \leq k \leq n} a_k$ , atunci

$$\sum_{k=1}^n a_k \leq n a_{max}.$$

Tehnica delimitării fiecărui termen dintr-o serie prin cel mai mare termen este o metodă slabă când seria poate fi, în fapt, delimitată printr-o serie geometrică. Fiind dată seria  $\sum_{k=0}^n a_k$ , să presupunem că  $a_{k+1}/a_k \leq r$  pentru orice  $k \geq 0$ , unde  $r < 1$  este o constantă. Suma poate fi delimitată printr-o serie geometrică descrescătoare infinită, deoarece  $a_k \leq a_0 r^k$ , și astfel,

$$\sum_{k=0}^n a_k \leq \sum_{k=0}^{\infty} a_0 r^k = a_0 \sum_{k=0}^{\infty} r^k = a_0 \frac{1}{1 - r}.$$

Putem aplica această metodă pentru a delimita suma  $\sum_{k=1}^{\infty} (k/3^k)$ . Primul termen este  $1/3$ , iar raportul termenilor consecutivi este

$$\frac{(k+1)/3^{k+1}}{k/3^k} = \frac{1}{3} \cdot \frac{k+1}{k} \leq \frac{2}{3},$$

pentru toți  $k \geq 1$ . Astfel, fiecare termen este mărginit superior de  $(1/3)(2/3)^k$ , astfel încât

$$\sum_{k=1}^{\infty} \frac{k}{3^k} \leq \sum_{k=1}^{\infty} \frac{1}{3} \left(\frac{2}{3}\right)^k = \frac{1}{3} \cdot \frac{1}{1-2/3} = 1.$$

O greșală banală în aplicarea acestei metode este să arătăm că raportul termenilor consecutivi este mai mic decât 1 și apoi să presupunem că suma este mărginită de o serie geometrică. Un exemplu este seria armonică infinită, care diverge, deoarece

$$\sum_{k=1}^{\infty} \frac{1}{k} = \lim_{n \rightarrow \infty} \sum_{k=1}^n \frac{1}{k} = \lim_{n \rightarrow \infty} \Theta(\lg n) = \infty.$$

Raportul termenilor  $k+1$  și  $k$  în această serie este  $k/(k+1) < 1$ , dar seria nu e mărginită de o serie geometrică descrescătoare. Pentru a delimita o serie printr-o serie geometrică, trebuie să arătăm că raportul este mărginit de o constantă subunitară; adică trebuie să existe un  $r < 1$ , care este *constant*, astfel încât raportul tuturor perechilor de termeni consecutivi nu depășește niciodată  $r$ . În seria armonică nu există nici un astfel de  $r$ , deoarece raportul devine arbitrar de apropiat de 1.

## Partiționarea sumelor

Delimitări pentru o sumare dificilă se pot obține exprimând seria ca o sumă de două sau mai multe serii, partiționând domeniul indicelui și apoi delimitând fiecare dintre seriile rezultante. De exemplu, să presupunem că încercăm să găsim o limită inferioară pentru seria aritmetică  $\sum_{k=1}^n k$ , despre care s-a arătat deja că are limită superioară  $n^2$ . Am putea încerca să minorăm fiecare termen al sumei prin cel mai mic termen, dar deoarece acest termen este 1, găsim o limită inferioară de  $n$  pentru sumă – foarte de departe de limita noastră superioară,  $n^2$ .

Putem obține o limită inferioară mai bună, partiționând întâi suma. Să presupunem, pentru comoditate, că  $n$  este par. Avem

$$\sum_{k=1}^n k = \sum_{k=1}^{n/2} k + \sum_{k=n/2+1}^n k \geq \sum_{k=1}^{n/2} 0 + \sum_{k=n/2+1}^n (n/2) \geq (n/2)^2 = \Omega(n^2)$$

care este o limită asymptotic strânsă, deoarece  $\sum_{k=1}^n k = O(n^2)$ .

Pentru o sumă care apare din analiza unui algoritm, putem partiționa adesea suma și ignoră un număr constant de termeni inițiali. În general, această tehnică se aplică atunci când fiecare termen  $a_k$  din suma  $\sum_{k=0}^n a_k$  este independent de  $n$ . Atunci pentru orice  $k_0 > 0$  constant putem scrie

$$\sum_{k=0}^n a_k = \sum_{k=0}^{k_0-1} a_k + \sum_{k=k_0}^n a_k = \Theta(1) + \sum_{k=k_0}^n a_k,$$

deoarece termenii inițiali ai sumei sunt toți constanți și numărul lor este constant. Apoi, putem utiliza alte metode pentru a delimita  $\sum_{k=k_0}^n a_k$ . De exemplu, pentru a găsi o limită superioară asimptotică pentru

$$\sum_{k=0}^{\infty} \frac{k^2}{2^k},$$

observăm că raportul termenilor consecutivi este

$$\frac{(k+1)^2/2^{k+1}}{k^2/2^k} = \frac{(k+1)^2}{2k^2} \leq \frac{8}{9},$$

dacă  $k \geq 3$ . Astfel, suma poate fi partitioanată în

$$\sum_{k=0}^{\infty} \frac{k^2}{2^k} = \sum_{k=0}^2 \frac{k^2}{2^k} + \sum_{k=3}^{\infty} \frac{k^2}{2^k} \leq O(1) + \frac{9}{8} \sum_{k=0}^{\infty} \left(\frac{8}{9}\right)^k = O(1),$$

deoarece a doua sumă este o serie geometrică descrescătoare.

Tehnica partitioanării sumelor poate fi utilizată pentru a găsi delimitări asimptotice în situații mult mai dificile. De exemplu, putem obține o delimitare  $O(\lg n)$  a seriei armonice (3.5)

$$H_n = \sum_{k=1}^n \frac{1}{k}.$$

Ideeia este să partitioanăm domeniul de la 1 la  $n$  în  $\lfloor \lg n \rfloor$  părți și să delimităm superior contribuția fiecărei părți prin 1. Astfel,

$$\sum_{k=1}^n \frac{1}{k} \leq \sum_{i=0}^{\lfloor \lg n \rfloor} \sum_{j=0}^{2^i-1} \frac{1}{2^i+j} \leq \sum_{i=0}^{\lfloor \lg n \rfloor} \sum_{j=0}^{2^i-1} \frac{1}{2^i} \leq \sum_{i=0}^{\lfloor \lg n \rfloor} 1 \leq \lg n + 1. \quad (3.8)$$

### Aproximarea prin integrale

Când o sumă poate fi exprimată ca  $\sum_{k=m}^n f(k)$ , unde  $f(k)$  este o funcție monoton crescătoare, o putem aproxima prin integrale:

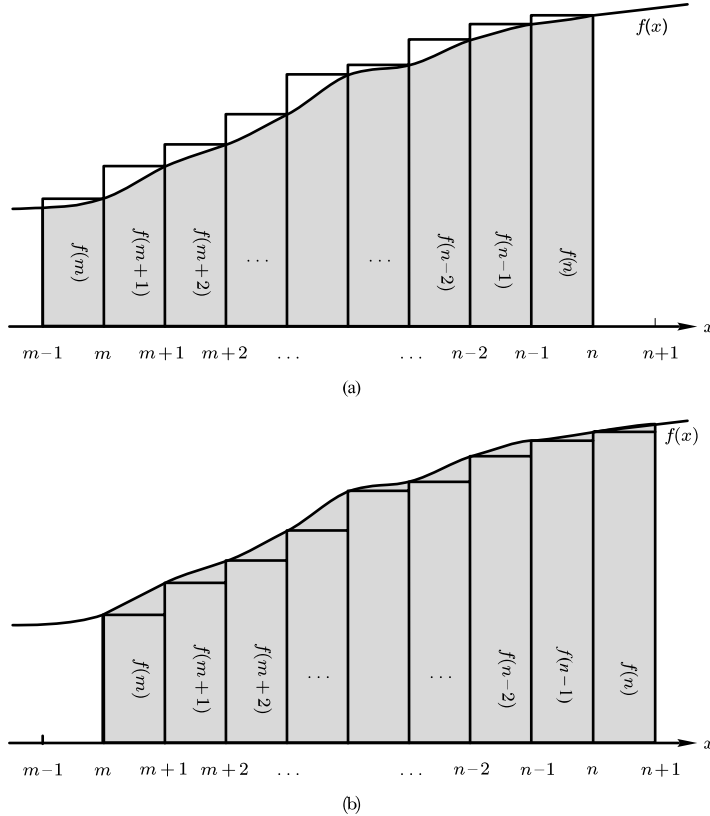
$$\int_{m-1}^n f(x) dx \leq \sum_{k=m}^n f(k) \leq \int_m^{n+1} f(x) dx. \quad (3.9)$$

Justificarea pentru această aproximare este arătată în figura 3.1. Suma este reprezentată prin aria dreptunghiurilor din figură, iar integrala este regiunea hașurată de sub curbă. Când  $f(k)$  este o funcție monoton descrescătoare, putem utiliza o metodă similară pentru a obține marginile

$$\int_m^{n+1} f(x) dx \leq \sum_{k=m}^n f(k) \leq \int_{m-1}^n f(x) dx \quad (3.10)$$

Aproximația integrală (3.10) dă o estimare strânsă pentru al  $n$ -lea număr armonic. Pentru o limită inferioară, obținem

$$\sum_{k=1}^n \frac{1}{k} \geq \int_1^{n+1} \frac{dx}{x} = \ln(n+1). \quad (3.11)$$



**Figura 3.1** Aproximarea lui  $\sum_{k=m}^n f(k)$  prin integrale. Aria fiecărui dreptunghi este indicată în interiorul dreptunghiului, iar aria tuturor dreptunghiurilor reprezintă valoarea sumei. Integrala este reprezentată prin aria hașurată de sub curbă. Comparând arile în (a), obținem  $\int_{m-1}^n f(x)dx \leq \sum_{k=m}^n f(k)$ , și apoi, deplasând dreptunghiurile cu o unitate la dreapta, obținem  $\sum_{k=m}^n f(k) \leq \int_m^{n+1} f(x)dx$  din (b).

Pentru limita superioară, deducem inegalitatea

$$\sum_{k=2}^n \frac{1}{k} \leq \int_1^n \frac{dx}{x} = \ln n,$$

care dă limita

$$\sum_{k=1}^n \frac{1}{k} \leq \ln n + 1 \quad (3.12)$$

### Exerciții

**3.2-1** Arătați că  $\sum_{k=1}^n 1/k^2$  este mărginită superior de o constantă.

**3.2-2** Găsiți o margine superioară a sumei

$$\sum_{k=0}^{\lfloor \lg n \rfloor} \lceil n/2^k \rceil.$$

**3.2-3** Arătați că al  $n$ -lea număr armonic este  $\Omega(\lg n)$ , partititionând suma.

**3.2-4** Aproximați  $\sum_{k=1}^n k^3$  printr-o integrală.

**3.2-5** De ce nu am utilizat aproximația integrală (3.10) direct pentru  $\sum_{k=1}^n 1/k$  pentru a obține o margine superioară pentru al  $n$ -lea număr armonic?

## Probleme

### 3-1 Delimitarea sumelor

Dați delimitări asimptotice strânse pentru următoarele sume. Presupuneți că  $r \geq 0$  și  $s \geq 0$  sunt constante.

a.  $\sum_{k=1}^n k^r.$

b.  $\sum_{k=1}^n \lg^s k.$

c.  $\sum_{k=1}^n k^r \lg^s k.$

## Note bibliografice

Knuth [121] este o referință excelentă pentru materialul prezentat în acest capitol. Proprietăți de bază ale seriilor pot fi găsite în orice carte bună de analiză, cum ar fi Apostol [12] sau Thomas și Finney [192].

---

## 4 Recurențe

După cum s-a observat în capitolul 1, când un algoritm conține o apelare recursivă la el însuși, timpul său de execuție poate fi descris adesea printr-o recurență. O **recurență** este o ecuație sau o inegalitate care descrie o funcție exprimând valoarea sa pentru argumente mai mici. De exemplu, am văzut în capitolul 1 că timpul de execuție în cazul cel mai defavorabil  $T(n)$  al procedurii SORTEAZĂ-PRIN-INTERCLASARE poate fi descris prin recurență

$$T(n) = \begin{cases} \Theta(1) & \text{dacă } n = 1, \\ 2T(n/2) + \Theta(n) & \text{dacă } n > 1, \end{cases} \quad (4.1)$$

a cărei soluție s-a afirmat că este  $T(n) = \Theta(n \lg n)$ .

Acest capitol oferă trei metode pentru rezolvarea recurențelor – adică pentru obținerea unor delimitări asimptotice “ $\Theta$ ” sau “ $O$ ” ale soluției. În **metoda substituției**, intuiem o margine și apoi utilizăm inducția matematică pentru a demonstra că presupunerea noastră a fost corectă. **Metoda iterării** convertește recurența într-o sumă și apoi se bazează pe tehnicele de delimitare a sumelor pentru a rezolva recurența. **Metoda master** furnizează delimitări pentru recurențe de forma

$$T(n) = aT(n/b) + f(n),$$

unde  $a \geq 1$ ,  $b > 1$ , iar  $f(n)$  este o funcție dată; ea cere memorarea a trei cazuri, dar după ce faceți asta, determinarea marginilor asimptotice pentru multe recurențe simple este ușoară.

### Amănunte tehnice

În practică, neglijăm anumite detalii tehnice când formulăm și rezolvăm recurențe. Un bun exemplu de detaliu care adesea este omis este presupunerea că funcțiile au argumente întregi. În mod normal, timpul de execuție  $T(n)$  al unui algoritm este definit numai când  $n$  este un întreg, deoarece pentru majoritatea algoritmilor, dimensiunea datelor de intrare este întotdeauna un întreg. De exemplu, recurența care descrie timpul de execuție în cazul cel mai favorabil al procedurii SORTEAZĂ-PRIN-INTERCLASARE este, de fapt,

$$T(n) = \begin{cases} \Theta(1) & \text{dacă } n = 1, \\ T(\lceil n/2 \rceil) + T(\lfloor n/2 \rfloor) + \Theta(n) & \text{dacă } n > 1. \end{cases} \quad (4.2)$$

Condițiile la limită reprezintă o altă clasă de detalii pe care, de obicei, le ignorăm. Deoarece timpul de execuție al unui algoritm pentru date de intrare de dimensiune constantă este o constantă, recurențele care apar din timpuri de execuție ai algoritmilor au, în general,  $T(n) = \Theta(1)$  pentru  $n$  suficient de mic. În consecință, pentru comoditate, vom omite, în general, afirmațiile despre condițiile la limită ale recurențelor și presupunem că  $T(n)$  este constant pentru  $n$  mic. De exemplu, în mod normal formulăm recurența (4.1) ca

$$T(n) = 2T(n/2) + \Theta(n), \quad (4.3)$$

fără să dăm în mod explicit valori mici pentru  $n$ . Motivul este că, deși schimbarea valorii lui  $T(1)$  schimbă soluția recurenței, soluția nu se modifică, în mod obișnuit, mai mult decât printr-un factor constant, astfel că ordinul de creștere este neschimbat.

Când formulăm și rezolvăm recurențe, omitem, adesea părțile întregi inferioare și superioare și condițiile la limită. Mergem înainte fără aceste detalii și apoi stabilim dacă ele contează sau nu. De obicei nu contează, dar este important să știm dacă ele contează sau nu. Experiența ajută, ajută și unele teoreme care afirmă că aceste detalii nu afectează marginile asymptotice ale multor recurențe întâlnite în analiza algoritmilor (vezi teorema 4.1 și problema 4-5). În acest capitol, totuși, vom aborda câteva dintre aceste detalii pentru a arăta unele dintre punctele sensibile ale metodelor de rezolvare a recurențelor.

## 4.1. Metoda substituției

Metoda substituției pentru rezolvarea recurențelor presupune intuirea formei soluției și apoi utilizarea inducției matematice pentru a găsi constantele și a arăta cum funcționează soluția. Numele provine din substituirea răspunsului intuit pentru funcții când ipoteza inducției se aplică pentru valori mai mici. Metoda este puternică dar ea poate fi aplicată, în mod evident, numai în cazurile în care este ușor de intuit forma soluției.

Metoda substituției poate fi utilizată pentru a stabili fie margini superioare, fie margini inferioare pentru o recurență. De exemplu, să determinăm o limită superioară pentru recurența

$$T(n) = 2T(\lfloor n/2 \rfloor) + n \quad (4.4)$$

care este similară cu recurențele (4.2) și (4.3). Intuim că soluția este  $T(n) = O(n \lg n)$ . Metoda noastră constă în a demonstra că  $T(n) \leq cn \lg n$  pentru o alegere corespunzătoare a constantei  $c > 0$ . Începem prin a presupune că această delimitare este valabilă pentru  $\lfloor n/2 \rfloor$ , adică  $T(\lfloor n/2 \rfloor) \leq c\lfloor n/2 \rfloor \lg(\lfloor n/2 \rfloor)$ . Substituind în recurență, se obține

$$\begin{aligned} T(n) &\leq 2(c\lfloor n/2 \rfloor \lg(\lfloor n/2 \rfloor)) + n \leq cn \lg(n/2) + n = cn \lg n - cn \lg 2 + n \\ &= cn \lg n - cn + n \leq cn \lg n, \end{aligned}$$

unde ultimul pas este valabil cât timp  $c \geq 1$ .

Inducția matematică ne cere acum să arătăm că soluția îndeplinește condițiile la limită. Adică trebuie să arătăm că putem alege constanta  $c$  suficient de mare astfel încât delimitarea  $T(n) \leq cn \lg n$  să funcționeze și pentru condițiile la limită. Această cerință conduce uneori la probleme. Să presupunem că  $T(1) = 1$  este singura condiție la limită a recurenței. Atunci, din nefericire, nu putem alege  $c$  suficient de mare, deoarece  $T(1) \leq c1 \lg 1 = 0$ .

Această dificultate în demonstrarea unei ipoteze de inducție pentru o condiție la limită precisă poate fi depășită cu ușurință. Profităm de faptul că notația asymptotică ne cere doar să demonstrăm că  $T(n) > cn \lg n$  pentru  $n \geq n_0$  unde  $n_0$  este o constantă. Ideea este să înlăturăm din discuție condiția la limită dificilă  $T(1) = 1$  în demonstrația inductivă și să includem  $n = 2$  și  $n = 3$  ca parte a condițiilor la limită pentru demonstrație. Putem impune  $T(2)$  și  $T(3)$  ca și condiții la limită pentru demonstrația inductivă, deoarece pentru  $n > 3$ , recurența nu se aplică în mod direct lui  $T(1)$ . Din recurență, deducem  $T(2) = 4$  și  $T(3) = 5$ . Demonstrația inductivă că  $T(n) \leq cn \lg n$  pentru o anumită constantă  $c \geq 1$  poate fi completată acum, alegând  $c$  suficient de mare pentru ca  $T(2) \leq c2 \lg 2$  și  $T(3) \leq c3 \lg 3$ . După cum se dovedește, orice alegere a lui  $c \geq 2$  este suficientă. Pentru majoritatea recurențelor pe care le vom examina, extensia condițiilor la limită pentru a face ipoteza de inducție să funcționeze pentru valori mici ale lui  $n$  este imediată.

## Realizarea unei aproximări bune

Din nefericire, nu există o metodă generală de intuire a soluțiilor corecte ale unei recurențe. Intuirea unei soluții necesită experiență și, ocazional, creativitate. Din fericire, totuși, există o anumită euristică care poate ajuta.

Dacă o recurență este similară cu una pe care ati văzut-o deja, intuirea unei soluții similare este rezonabilă. Ca exemplu, să considerăm recurența

$$T(n) = 2T(\lfloor n/2 \rfloor) + 17 + n,$$

care pare adevărată datorită adăugării lui "17" în argumentul lui  $T$  în membrul drept. Intuitiv, totuși, acest termen suplimentar nu poate afecta în mod substanțial soluția recurenței. Când  $n$  este mare, diferența dintre  $T(\lfloor n/2 \rfloor)$  și  $T(\lfloor n/2 \rfloor + 17)$  nu e atât de mare: ambele îl taie pe  $n$  aproximativ în două. În consecință, intuim că  $T(n) = O(n \lg n)$ , relație a cărei corectitudine se poate verifica utilizând metoda substituției (vezi exercițiul 4.1-5).

Altă cale de a face o intuire bună este să demonstrăm limite superioare și inferioare largi ale recurenței și apoi să reducem incertitudinea. De exemplu, putem începe cu o limită inferioară  $T(n) = \Omega(n)$  pentru recurența (4.4), deoarece avem termenul  $n$  în recurență și putem demonstra o limită superioară inițială  $T(n) = O(n^2)$ . Apoi, putem coborî gradual limita superioară și ridica limita inferioară până când ajungem la soluția corectă, asymptotic strânsă,  $T(n) = \Theta(n \lg n)$ .

## Subtilități

Există ocazii când puteți intui corect o delimitare asymptotică a soluției unei recurențe, dar, cumva, matematica nu pare să funcționeze în inducție. De regulă, problema este că ipoteza de inducție nu este suficient de tare pentru a demonstra delimitarea detaliată. Când ajungeți într-un astfel de impas, revizuirea aproximării prin scoaterea unui termen de ordin mai mic permite, adesea, matematicii să funcționeze.

Să considerăm recurența

$$T(n) = T(\lfloor n/2 \rfloor) + T(\lceil n/2 \rceil) + 1.$$

Intuim că soluția este  $O(n)$  și încercăm să arătăm că  $T(n) \leq cn$  pentru o alegere corespunzătoare a constantei  $c$ . Substituind presupunerea noastră în recurență, obținem

$$T(n) \leq c\lfloor n/2 \rfloor + c\lceil n/2 \rceil + 1 = cn + 1,$$

care nu implică  $T(n) \leq cn$  pentru orice alegere a lui  $c$ . Este tentant să încercăm o soluție mai mare, să zicem  $T(n) = O(n^2)$ , care poate fi făcută să funcționeze dar, în fapt, aproximarea noastră că soluția este  $T(n) = O(n)$  este corectă. Pentru a demonstra aceasta, totuși, trebuie să facem o ipoteză de inducție mai tare.

La prima vedere, aproximarea noastră e aproape corectă: avem în plus doar constanta 1, un termen de ordin inferior. Totuși, inducția matematică nu funcționează decât dacă demonstrăm forma exactă a ipotezei de inducție. Depăşim această dificultate scăzând un termen de ordin inferior din aproximarea noastră precedentă. Noua noastră intuire este  $T(n) \leq cn - b$ , unde  $b \geq 0$  este constant. Avem acum

$$T(n) \leq (c\lfloor n/2 \rfloor - b) + (c\lceil n/2 \rceil - b) + 1 = cn - 2b + 1 \leq cn - b,$$

cât timp  $b \geq 1$ . Ca și mai înainte, constanta  $c$  trebuie să fie aleasă suficient de mare, pentru a îndeplini condițiile la limită.

Majoritatea oamenilor găsesc ideea scăderii unui termen de ordin inferior contraintuitivă. La urma urmei, dacă matematica nu funcționează, n-ar trebui să mărim soluția intuită? Cheia în înțelegerea acestui pas este să ne amintim că utilizăm inducția matematică: putem demonstra o proprietate mai puternică pentru o valoare dată acceptând o proprietate adevărată pentru valori mai mici.

### Evitarea capcanelor

Este ușor să greșim în utilizarea notației asymptotice. De exemplu, în recurența (4.4) putem demonstra în mod greșit că  $T(n) = O(n)$  presupunând că  $T(n) \leq cn$  și apoi argumentând că

$$\begin{aligned} T(n) &\leq 2(c\lfloor n/2 \rfloor) + n \leq cn + n \\ &= O(n), \quad \Leftarrow \text{gre it!!} \end{aligned}$$

deoarece  $c$  este o constantă. Eroarea este că nu am demonstrat forma exactă a ipotezei de inducție, adică faptul că  $T(n) \leq cn$ .

### Schimbarea variabilelor

Uneori, o mică manipulare algebraică poate să transforme o recurență necunoscută într-o similară cunoscută. De exemplu, să considerăm recurența

$$T(n) = 2T(\lfloor \sqrt{n} \rfloor) + \lg n,$$

care pare dificilă. Putem simplifica această recurență, totuși, printr-o schimbare de variabile. Pentru comoditate, nu ne vom face griji în ceea ce privește rotunjirea valorilor, astfel încât ele să fie întregi, cum e cazul cu  $\sqrt{n}$ . Redenumind  $m = \lg n$ , obținem

$$T(2^m) = 2T(2^{m/2}) + m.$$

Putem redenumi acum  $S(m) = T(2^n)$  pentru a obține nouă recurență

$$S(m) = 2S(m/2) + m,$$

care e foarte asemănătoare cu recurența (4.4) și are aceeași soluție:  $S(m) = O(m \lg n)$ . Revenind de la  $S(m)$  la  $T(n)$ , obținem  $T(n) = T(2^m) = S(m) = O(m \lg m) = O(\lg n \lg \lg n)$ .

### Exerciții

**4.1-1** Arătați că soluția lui  $T(n) = T(\lceil n/2 \rceil) + 1$  este  $O(\lg n)$ .

**4.1-2** Arătați că soluția lui  $T(n) = 2T(\lfloor n/2 \rfloor) + n$  este  $\Omega(n \lg n)$ . Concluzionați că soluția este  $\Theta(n \lg n)$ .

**4.1-3** Arătați că dacă ipoteza de inducție diferă, putem depăsi dificultatea cu condiția la limită  $T(1) = 1$  pentru recurența (4.4) fără a ajusta condițiile la limită pentru demonstrația inducțivă.

**4.1-4** Arătați că  $\Theta(n \lg n)$  este soluția recurenței “exacte” (4.2) pentru procedura SORTEAZĂ-PRIN-INTERCLASARE.

**4.1-5** Arătați că soluția lui  $T(n) = 2T(\lfloor n/2 \rfloor + 17) + n$  este  $O(n \lg n)$ .

**4.1-6** Rezolvați recurența  $T(n) = 2T(\sqrt{n}) + 1$  făcând o schimbare de variabile, indiferent dacă valorile sunt întregi sau nu.

## 4.2. Metoda iterătiei

Metoda iterării unei recurențe nu ne cere să aproximăm o soluție dar poate necesita mai multe noțiuni de algebră decât metoda substituției. Ideea este să dezvoltăm (iterăm) recurența și să o exprimăm ca o sumă de termeni care depind numai de  $n$  și de condițiile inițiale. Se pot utiliza apoi tehnici de evaluare a sumelor pentru a găsi delimitări ale soluției.

De exemplu, să considerăm recurența

$$T(n) = 3T(\lfloor n/4 \rfloor) + n.$$

O iterăm după cum urmează:

$$\begin{aligned} T(n) &= n + 3T(\lfloor n/4 \rfloor) = n + 3(\lfloor n/4 \rfloor + 3T(\lfloor n/16 \rfloor)) \\ &= n + 3(\lfloor n/4 \rfloor + 3(\lfloor n/16 \rfloor + 3T(\lfloor n/64 \rfloor))) \\ &= n + 3\lfloor n/4 \rfloor + 9\lfloor n/16 \rfloor + 27T(\lfloor n/64 \rfloor), \end{aligned}$$

unde  $\lfloor \lfloor n/4 \rfloor / 4 \rfloor = \lfloor n/16 \rfloor$  și  $\lfloor \lfloor n/16 \rfloor / 4 \rfloor = \lfloor n/64 \rfloor$  rezultă din identitatea (2.4).

Cât de departe trebuie să iterăm recurența pentru a ajunge la condiția limită? Cel de-al  $i$ -lea termen din serie este  $3^i \lfloor n/4^i \rfloor$ . Iterația ajunge la  $n = 1$  când  $\lfloor n/4^i \rfloor = 1$  sau, echivalent, când  $i$  depășește  $\log_4 n$ .

Continuând iterarea până în acest punct și utilizând delimitarea  $\lfloor n/4^i \rfloor \leq n/4^i$ , descoperim că suma conține o serie geometrică descrescătoare:

$$\begin{aligned} T(n) &\leq n + 3n/4 + 9n/16 + 27n/64 + \dots + 3^{\log_4 n} \Theta(1) \\ &\leq n \sum_{i=0}^{\infty} \left(\frac{3}{4}\right)^i + \Theta(n^{\log_4 3}) = 4n + o(n) = O(n). \end{aligned}$$

Aici, am utilizat identitatea (2.9) pentru a concluziona că  $3^{\log_4 n} = n^{\log_4 3}$  și am utilizat faptul că  $\log_4 3 < 1$  pentru a deduce că  $\Theta(n^{\log_4 3}) = o(n)$ .

Metoda iterătiei duce de obicei la multe noțiuni de algebră, iar asigurarea corectitudinii calculelor poate fi o problemă. Cheia este să ne focalizăm asupra a doi parametri: numărul de recurențe necesare pentru a ajunge la condiția la limită și suma termenilor care apar la fiecare nivel al procesului de iterare. Uneori, în procesul de iterare a unei recurențe, puteți intui soluția fără a face toate calculele. Atunci iterarea poate fi abandonată în favoarea metodei substituției, care de regulă necesită mai puține noțiuni de algebră.

Când o recurență conține funcțiile parte întreagă inferioară și superioară, calculele pot deveni deosebit de complicate. Adesea este util să presupunem că recurența este definită numai pe puterile exacte ale unui număr. În exemplul nostru, dacă am fi presupus că  $n = 4^k$  pentru un

anumit întreg  $k$ , funcția parte întreagă inferioară ar fi putut fi omisă, în mod convenabil. Din nefericire, demonstrarea delimitării  $T(n) = O(n)$  numai pentru puterile exacte ale lui 4 este, din punct de vedere tehnic, un abuz al notației  $O$ . Definițiile notației asymptotice pretind ca delimitările să fie demonstrează pentru  $t_0 / \int_{t_0}^{\infty}$  suficient de mari, nu doar pentru acei care sunt puteri ale lui 4. Vom vedea în secțiunea 4.3 că pentru un mare număr de recurențe această dificultate tehnică poate fi depășită. Problema 4-5 oferă, de asemenea, condiții în care o analiză pentru puterile exacte ale unui întreg poate fi extinsă la toți întregii.

## Arborei de recurență

Un *arbore de recurență* este un mod convenabil de a vizualiza ceea ce se întâmplă când o recurență este iterată și poate să ajute la organizarea aparatului algebraic necesar pentru a rezolva recurența. Este în mod special util când recurența descrie un algoritm care divide și stăpânește. Figura 4.1 arată deducerea arborelui de recurență pentru

$$T(n) = 2T(n/2) + n^2.$$

Pentru comoditate, presupunem că  $n$  este o putere exactă a lui 2. Partea (a) a figurii arată  $T(n)$ , care în partea (b) a fost dezvoltat într-un arbore echivalent care reprezintă recurența. Termenul  $n^2$  este rădăcina (costul la nivelul cel mai de sus al recurenței), iar cei doi subarbore ai rădăcinii sunt cele două recurențe mai mici  $T(n/2)$ . Partea (c) arată acest proces dus cu un pas mai departe, dezvoltând  $T(n/2)$ . Costul pentru fiecare dintre cele două subnoduri de la al doilea nivel al recurenței este  $(n/2)^2$ . Continuăm dezvoltarea fiecarui nod din arbore, spargându-l în părțile componente, aşa cum sunt determinate de recurență, până ajungem la o condiție de limită. Partea (d) arată arborele obținut.

Evaluăm acum recurența adunând valorile de la fiecare nivel al arborelui. Nivelul cel mai înalt are valoarea totală  $n^2$ , nivelul al doilea are valoarea  $(n/2)^2 + (n/2)^2 = n^2/2$ , al treilea nivel are valoarea  $(n/4)^2 + (n/4)^2 + (n/4)^2 + (n/4)^2 = n^2/4$  și aşa mai departe. Deoarece valorile descresc geometric, totalul este cu cel mult un factor constant mai mare decât termenul cel mai mare (primul) și deci soluția este  $\Theta(n^2)$ .

Cu un alt exemplu, mai complicat, figura 4.2 arată arborele de recurență pentru

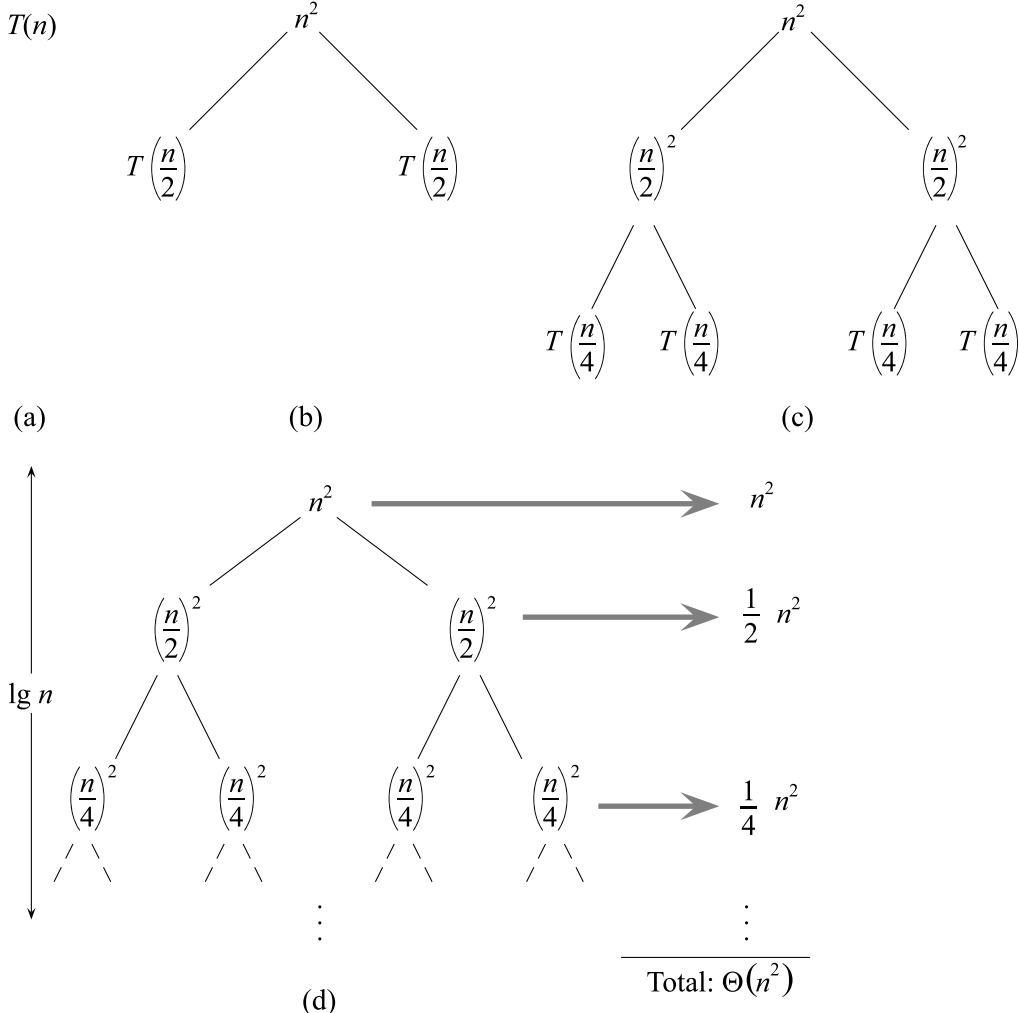
$$T(n) = T(n/3) + T(2n/3) + n.$$

(Pentru simplitate, omitem iarăși funcțiile parte întreagă inferioară și superioară). Când adăugăm valorile de la nivelurile arborelui de recurență, obținem o valoare a lui  $n$  pentru fiecare nivel. Cel mai lung drum de la rădăcină la o frunză este  $n \rightarrow (2/3)n \rightarrow (2/3)^2n \rightarrow \dots \rightarrow 1$ . Deoarece  $(2/3)^k n = 1$  când  $k = \log_{3/2} n$ , înălțimea arborelui este  $\log_{3/2} n$ . Astfel, soluția recurenței este cel mult  $n \log_{3/2} n = O(n \lg n)$ .

## Exerciții

**4.2-1** Determinați o limită superioară asimptotică bună pentru recurența  $T(n) = 3T(\lfloor n/2 \rfloor) + n$  prin iterație.

**4.2-2** Argumentați că soluția recurenței  $T(n) = T(n/3) + T(2n/3) + n$  este  $\Omega(n \lg n)$  făcând apel la un arbore de recurență.

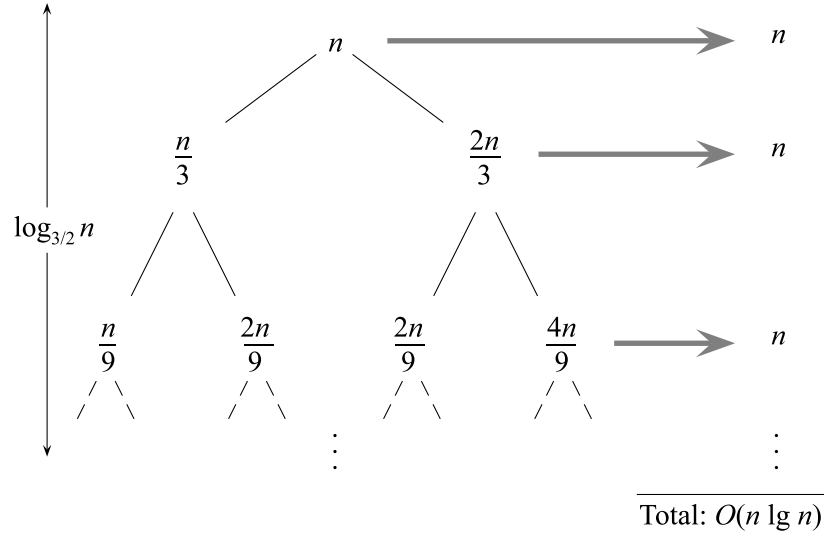


**Figura 4.1** Construirea arborelui de recurență pentru  $T(n) = 2T(n/2) + n^2$ . Partea (a) îl prezintă pe  $T(n)$  care în (b)-(d) este expandat treptat în trei arbori de recurență. Arborele expandat complet din partea (d) are înălțimea  $\lg n$  (are  $\lg n + 1$  niveluri).

**4.2-3** Determinați arboarele de recurență pentru  $T(n) = 4T(\lfloor n/2 \rfloor) + n$  și dați margini asimptotice strânse pentru soluția sa.

**4.2-4** Utilizați iterația pentru a rezolva recurența  $T(n) = T(n-a) + T(a) + n$ , unde  $a \geq 1$  este o constantă.

**4.2-5** Utilizați un arbore de recurență pentru a rezolva recurența  $T(n) = T(\alpha n) + T((1-\alpha)n) + n$ , unde  $\alpha$  este o constantă din domeniul  $0 < \alpha < 1$ .



**Figura 4.2** Un arbore de recurență pentru  $T(n) = T(n/3) + T(2n/3) + n$ .

### 4.3. Metoda master

Metoda master furnizează o “rețetă” pentru rezolvarea recurențelor de forma

$$T(n) = aT(n/b) + f(n) \quad (4.5)$$

unde  $a \geq 1$  și  $b > 1$  sunt constante, iar  $f(n)$  este o funcție asymptotic pozitivă. Metoda master pretinde memorarea a trei cazuri, dar apoi soluția multor recurențe se poate determina destul de ușor, de multe ori fără creion și hârtie.

Recurența (4.5) descrie timpul de execuție al unui algoritm care împarte o problemă de dimensiune  $n$  în  $a$  subprobleme, fiecare de dimensiune  $n/b$ , unde  $a$  și  $b$  sunt constante pozitive. Cele  $a$  subprobleme sunt rezolvate recursiv, fiecare în timp  $T(n/b)$ . Costul divizării problemei și al combinării rezultatelor subproblemelor este descris de funcția  $f(n)$ . (Adică, utilizând notația din secțiunea 1.3.2,  $f(n) = D(n) + C(n)$ .) De exemplu, în recurența din procedura SORTEAZĂ-PRIN-INTERCLASARE  $a = 2$ ,  $b = 2$  și  $f(n) = \Theta(n)$ .

Din punctul de vedere al corectitudinii tehnice, recurența nu este, de fapt, bine definită, deoarece  $n/b$  ar putea să nu fie un întreg. Înlocuirea fiecărui dintre cei  $a$  termeni  $T(n/b)$  fie cu  $T(\lfloor n/b \rfloor)$  fie cu  $T(\lceil n/b \rceil)$  nu afectează, totuși, comportamentul asymptotic al recurenței. (Vom demonstra aceasta în secțiunea următoare.) În mod normal ne va conveni, de aceea, să omitem funcțiile parte întreagă inferioară și superioară când scriem recurențe divide și stăpânește de această formă.

#### Teorema master

Metoda master depinde de următoarea teoremă.

**Teorema 4.1 (Teorema master)** Fie  $a \geq 1$  și  $b > 1$  constante, fie  $f(n)$  o funcție și fie  $T(n)$  definită pe întregii nenegativi prin recurență

$$T(n) = aT(n/b) + f(n)$$

unde interpretăm  $n/b$  fie ca  $\lfloor n/b \rfloor$ , fie ca  $\lceil n/b \rceil$ . Atunci  $T(n)$  poate fi delimitată asymptotic după cum urmează.

1. Dacă  $f(n) = O(n^{\log_b a - \epsilon})$  pentru o anumită constantă  $\epsilon > 0$ , atunci  $T(n) = \Theta(n^{\log_b a})$ .
2. Dacă  $f(n) = \Theta(n^{\log_b a})$ , atunci  $T(n) = \Theta(n^{\log_b a} \lg n)$ .
3. Dacă  $f(n) = \Omega(n^{\log_b a + \epsilon})$  pentru o anumită constantă  $\epsilon > 0$ , și dacă  $af(n/b) \leq cf(n)$  pentru o anumită constantă  $c < 1$  și toti  $n$  suficient de mari, atunci  $T(n) = \Theta(f(n))$ . ■

Înainte de a aplica teorema master la câteva exemple, să ne oprim puțin ca să înțelegem ce spune. În fiecare dintre cele trei cazuri, comparăm funcția  $f(n)$  cu funcția  $n^{\log_b a}$ . Intuitiv, soluția recurenței este determinată de cea mai mare dintre cele două funcții. Dacă funcția  $n^{\log_b a}$  este mai mare, ca în cazul 1, atunci soluția este  $T(n) = \Theta(n^{\log_b a})$ . Dacă funcția  $f(n)$  este mai mare, ca în cazul 3, atunci soluția este  $T(n) = \Theta(f(n))$ . Dacă cele două funcții sunt de același ordin de mărime, ca în cazul 2, înmulțim cu un factor logaritmic, iar soluția este  $T(n) = \Theta(n^{\log_b a} \lg n) = \Theta(f(n) \lg n)$ .

Dincolo de această intuiție, există niște detalii tehnice care trebuie înțelese. În primul caz,  $f(n)$  trebuie nu numai să fie mai mică decât  $n^{\log_b a}$ , trebuie să fie polinomial mai mică. Adică  $f(n)$  trebuie să fie asymptotic mai mică decât  $n^{\log_b a}$  cu un factor  $n^\epsilon$  pentru o anumită constantă  $\epsilon > 0$ . În al treilea caz,  $f(n)$  trebuie nu numai să fie mai mare decât  $n^{\log_b a}$ , trebuie să fie polinomial mai mare și, în plus, să verifice condiția de "regularitate"  $af(n/b) \leq cf(n)$ . Această condiție este satisfăcută de majoritatea funcțiilor polinomial mărginite pe care le vom întâlni.

Este important de realizat că cele trei cazuri nu acoperă toate posibilitățile pentru  $f(n)$ . Există un gol între cazurile 1 și 2 când  $f(n)$  este mai mic decât  $n^{\log_b a}$ , dar nu polinomial mai mic. Analog, există un gol între cazurile 2 și 3, când  $f(n)$  este mai mare decât  $b^{\log_b a}$  dar nu polinomial mai mare. Dacă funcția  $f(n)$  cade într-unul dintre aceste goluri, sau când a condiția de regularitate din cazul 3 nu este verificată, metoda master nu poate fi utilizată pentru a rezolva recurența.

## Utilizarea metodei master

Pentru a utiliza metoda master, stabilim pur și simplu care caz al teoremei se aplică (dacă e vreunul) și scriem soluția.

Ca un prim exemplu, să considerăm

$$T(n) = 9T(n/3) + n.$$

Pentru această recurență, avem  $a = 9$ ,  $b = 3$ ,  $f(n) = n$  și astfel  $n^{\log_b a} = n^{\log_3 9} = \Theta(n^2)$ . Deoarece  $f(n) = O(n^{\log_3 9 - \epsilon})$ , unde  $\epsilon = 1$ , putem să aplicăm cazul 1 al teoremei master și să considerăm că soluția este  $T(n) = \Theta(n^2)$ .

Să considerăm acum

$$T(n) = T(2n/3) + 1,$$

în care  $a = 1$ ,  $b = 3/2$ ,  $f(n) = 1$  și  $n^{\log_b a} = n^{\log_{3/2} 1} = n^0 = 1$ . Cazul 2 este cel care se aplică, deoarece  $f(n) = \Theta(n^{\log_b a}) = \Theta(1)$  și astfel soluția recurenței este  $T(n) = \Theta(\lg n)$ .

Pentru recurența

$$T(n) = 3T(n/4) + n \lg n,$$

avem  $a = 3$ ,  $b = 4$ ,  $f(n) = n \lg n$  și  $n^{\log_b a} = n^{\log_4 3} = O(n^{0.793})$ . Deoarece  $f(n) = \Omega(n^{\log_4 3+\epsilon})$ , unde  $\epsilon \approx 0.2$ , cazul 3 se aplică dacă putem arăta că pentru  $f(n)$  este verificată condiția de regularitate. Pentru  $n$  suficient de mare,  $af(n/b) = 3(n/4) \lg(n/4) \leq (3/4)n \lg n = cf(n)$  pentru  $c = 3/4$ . În consecință, din cazul 3, soluția recurenței este  $T(n) = \Theta(n \lg n)$ .

Metoda master nu se aplică recurenței

$$T(n) = 2T(n/2) + n \lg n,$$

chiar dacă are forma potrivită:  $a = 2$ ,  $b = 2$ ,  $f(n) = n \lg n$  și  $n^{\log_b a} = n$ . Se pare că ar trebui să se aplique cazul 3, deoarece  $f(n) = n \lg n$  este asimptotic mai mare decât  $n^{\log_b a} = n$ , dar nu polinomial mai mare. Raportul  $f(n)/n^{\log_b a} = (n \lg n)/n = \lg n$  este asimptotic mai mic decât  $n^\epsilon$  pentru orice constantă pozitivă  $\epsilon$ . În consecință, recurența cade în golul dintre cazurile 2 și 3. (Soluția este dată în exercițiul 4.4-2).

## Exerciții

**4.3-1** Utilizați metoda master pentru a da o delimitare asimptotică strânsă pentru următoarele recurențe.

a.  $T(n) = 4T(n/2) + n$ .

b.  $T(n) = 4T(n/2) + n^2$ .

c.  $T(n) = 4T(n/2) + n^3$ .

**4.3-2** Timpul de execuție al unui algoritm  $A$  este descris prin recurență  $T(n) = 7T(n/2) + n^2$ . Un algoritm concurrent  $A'$  are timpul de execuție de  $T' = aT'(n/4) + n^2$ . Care este cea mai mare valoare întreagă a lui  $a$  astfel încât  $A'$  este asimptotic mai rapid decât  $A$ ?

**4.3-3** Utilizați metoda master pentru a arăta că soluția recurenței  $T(n) = T(n/2) + \Theta(1)$  a căutării binare (vezi exercițiul 1.3-5) este  $T(n) = \Theta(\lg n)$ .

**4.3-4** \* Considerăm condiția de regularitate  $af(n/b) \leq cf(n)$  pentru o anumită constantă  $c < 1$ , care face parte din cazul 3 al teoremei master. Dați un exemplu de o funcție simplă  $f(n)$  care satisfac toate condițiile din cazul 3 al teoremei master, cu excepția condiției de regularitate.

## 4.4. Demonstrația teoremei master

Această secțiune conține o demonstrație a teoremei master (teorema 4.1) pentru cititorii având cunoștințe mai avansate. Pentru a aplica teorema nu este nevoie de înțelegerea demonstrației.

Demonstrația constă din două părți. Prima parte analizează recurența “master” (4.5) în ipoteza simplificatoare că  $T(n)$  este definită numai pe puterile exacte ale lui  $b > 1$ , adică pentru  $n = 1, b, b^2, \dots$ . Această parte furnizează toată intuiția necesară pentru a înțelege de ce teorema master este adevărată. A doua parte arată de ce analiza se poate extinde la toți întregii pozitivi  $n$  și este, în esență, tehnică matematică aplicată la problema tratării părților întregi inferioare și superioare.

În această secțiune, uneori vom abuza ușor de notația noastră asimptotică, utilizând-o pentru a descrie funcții care sunt definite numai pe puteri exacte ale lui  $b$ . Reamintim că definițiile notațiilor asimptotice pretind ca delimitările să fie demonstrează pentru toate numerele suficient de mari, nu numai pentru cele care sunt puteri ale lui  $b$ . Deoarece am putea introduce noi notații asimptotice care să se aplique mulțimii  $\{b^i : i = 0, 1, \dots\}$  în locul întregilor nenegativi, acest abuz este minor.

Oricum, trebuie să fim întotdeauna puși în gardă când utilizăm notații asimptotice pe un domeniu limitat, ca să nu tragem concluzii improprii. De exemplu, demonstrarea faptului că  $T(n) = O(n)$  când  $n$  este o putere exactă a lui 2 nu garantează că  $T(n) = O(n)$ . Funcția  $T(n)$  poate fi definită ca

$$T(n) = \begin{cases} n & \text{dacă } n = 1, 2, 4, 8, \dots, \\ n^2 & \text{în rest,} \end{cases}$$

caz în care cea mai bună margine superioară ce poate fi demonstrată este  $T(n) = O(n^2)$ . Din cauza acestui gen de consecințe drastice, niciodată nu vom utiliza notația asimptotică pe un domeniu limitat fără să atragem atenția asupra acestui lucru.

#### 4.4.1. Demonstrația pentru puteri exacte

Prima parte a demonstrației teoremei master analizează recurența master (4.5),

$$T(n) = aT(n/b) + f(n),$$

în ipoteza că  $n$  este o putere exactă a lui  $b > 1$ , unde  $n$  nu trebuie să fie un întreg. Analiza e împărțită în trei leme. Prima reduce problema rezolvării recurenței master la problema evaluării unei expresii care conține o sumă. A doua determină margini ale acestei sume. A treia lemă le pune împreună pe primele două pentru a demonstra o versiune a teoremei master pentru cazul în care  $n$  este o putere exactă a lui  $b$ .

**Lema 4.2** Fie  $a \geq 1$  și  $b > 1$  constante și fie  $f(n)$  o funcție nenegativă definită pe puterile exacte ale lui  $b$ . Definim  $T(n)$  pe puterile exacte ale lui  $b$  prin recurența

$$T(n) = \begin{cases} \Theta(1) & \text{dacă } n = 1, \\ aT(n/b) + f(n) & \text{dacă } n = b^i, \end{cases}$$

unde  $i$  este un întreg pozitiv. Atunci

$$T(n) = \Theta(n^{\log_b a}) + \sum_{j=0}^{\log_b n - 1} a^j f(n/b^j). \quad (4.6)$$

**Demonstrație.** Iterarea recurenței conduce la

$$\begin{aligned} T(n) &= f(n) + aT(n/b) = f(n) + af(n/b) + a^2T(n/b^2) \\ &= f(n) + af(n/b) + a^2f(n/b^2) + \dots + a^{\log_b n-1}f(n/b^{\log_b n-1}) + a^{\log_b n}T(1). \end{aligned}$$

Deoarece  $a^{\log_b n} = n^{\log_b a}$ , ultimul termen al acestei expresii devine

$$a^{\log_b n}T(1) = \Theta(n^{\log_b a}),$$

utilizând condiția la limită  $T(1) = \Theta(1)$ . Termenii rămași pot fi exprimați sub forma sumei

$$\sum_{j=0}^{\log_b n-1} a^j f(n/b^j);$$

astfel,

$$T(n) = \Theta(n^{\log_b a}) + \sum_{j=0}^{\log_b n-1} a^j f(n/b^j),$$

cea ce completează demonstrația. ■

## Arborele de recurență

Înainte de a continua, vom încerca să intuim puțin demonstrația utilizând un arbore de recurență. Figura 4.3 arată arborele corespunzător iterării recurenței din lema 4.2. Rădăcina arborelui are costul  $f(n)$  și are  $a$  fi, fiecare cu costul  $f(n/b)$ . (Este convenabil să ne gândim la  $a$  ca fiind un întreg, în special când vizualizăm arborele de recurență, dar din punct de vedere matematic nu este necesar acest lucru.) Fiecare dintre fi are  $a$  fi cu costul  $f(n/b^2)$  și astfel există  $a^2$  noduri situate la distanța 2 de rădăcină. În general, există  $a^j$  noduri care sunt la distanța  $j$  de rădăcină și fiecare are costul  $f(n/b^j)$ . Costul fiecărei frunze este  $T(1) = \Theta(1)$  și fiecare frunză este la distanța  $\log_b n$  de rădăcină, deoarece  $n/b^{\log_b n} = 1$ . Există  $n^{\log_b n} = n^{\log_b a}$  frunze în arbore.

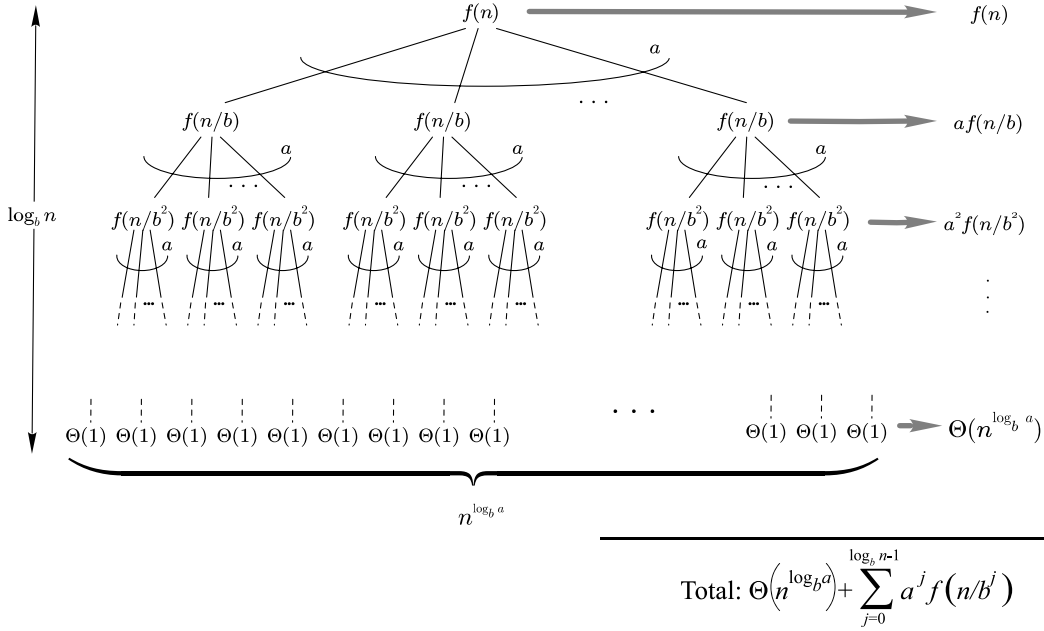
Putem obține ecuația (4.6) însumând costurile fiecărui nivel al arborelui, după cum se arată în figură. Costul pentru un nivel  $j$  de noduri interne este  $a^j f(n/b^j)$  și astfel totalul pe toate nivelurile de noduri interne este

$$\sum_{j=0}^{\log_b n-1} a^j f(n/b^j).$$

În algoritmul divide și stăpânește prezentat, această sumă reprezintă costurile divizării problemelor în subprobleme și apoi al recombinării subproblemelor. Costul tuturor frunzelor, care este costul rezolvării tuturor celor  $n^{\log_b a}$  subprobleme de dimensiune 1, este  $\Theta(n^{\log_b a})$ .

În limbajul arborelui de recurență, cele trei cazuri ale teoremei master corespund cazurilor în care costul total al arborelui este (1) dominat de costul frunzelor, (2) egal distribuit pe nivelurile arborelui sau (3) dominat de costul rădăcinii.

Suma din ecuația (4.6) descrie costul pașilor de divizare și combinare din algoritmul divide și stăpânește prezentat. Următoarea lemă furnizează delimitări asimptotice asupra creșterii sumei.



**Figura 4.3** Arborele de recurență generat de  $T(n) = aT(n/b) + f(n)$ . Acesta este un arbore complet  $a$ -ar cu  $n^{\log_b a}$  frunze, având înălțimea  $\log_b n$ . Costul fiecărui nivel este notat în dreapta, iar suma acestora este dată de ecuația (4.6)

**Lema 4.3** Fie  $a \geq 1$  și  $b > 1$  constante și fie  $f(n)$  o funcție nenegativă definită pe puterile exacte ale lui  $b$ . O funcție definită pe puterile exacte ale lui  $b$  prin

$$g(n) = \sum_{j=0}^{\log_b n-1} a^j f(n/b^j) \quad (4.7)$$

poate fi delimitată asimptotic pentru puterile exacte ale lui  $b$  după cum urmează.

1. Dacă  $f(n) = O(n^{\log_b a - \epsilon})$  pentru o constantă  $\epsilon > 0$ , atunci  $g(n) = O(n^{\log_b a})$ .
2. Dacă  $f(n) = \Theta(n^{\log_b a})$ , atunci  $g(n) = \Theta(n^{\log_b a} \lg n)$ .
3. Dacă  $af(n/b) \leq cf(n)$  pentru o anumită constantă  $c < 1$  și toti  $n \geq b$ , atunci  $g(n) = \Theta(f(n))$ .

**Demonstratie.** Pentru cazul 1, avem  $f(n) = O(n^{\log_b a - \epsilon})$ , de unde  $f(n/b^j) = O((n/b^j)^{\log_b a - \epsilon})$ . Înlocuind în ecuația (4.7) rezultă

$$g(n) = O\left(\sum_{j=0}^{\log_b n-1} a^j \left(\frac{n}{b^j}\right)^{\log_b a - \epsilon}\right). \quad (4.8)$$

Delimităm suma din interiorul  $O$ -notației factorizând termenii și simplificând, rezultând o serie geometrică crescătoare

$$\begin{aligned} \sum_{j=0}^{\log_b n-1} a^j \left(\frac{n}{b^j}\right)^{\log_b a-\epsilon} &= n^{\log_b a-\epsilon} \sum_{j=0}^{\log_b n-1} \left(\frac{ab^\epsilon}{b^{\log_b a}}\right)^j = n^{\log_b a-\epsilon} \sum_{j=0}^{\log_b n-1} (b^\epsilon)^j \\ &= n^{\log_b a-\epsilon} \left(\frac{b^{\epsilon \log_b n} - 1}{b^\epsilon - 1}\right) = n^{\log_b a-\epsilon} \left(\frac{n^\epsilon - 1}{b^\epsilon - 1}\right). \end{aligned}$$

Deoarece  $b$  și  $\epsilon$  sunt constante, ultima expresie se reduce la  $n^{\log_b a-\epsilon} O(n^\epsilon) = O(n^{\log_b a})$ . Înlocuind această expresie în suma din ecuația (4.8), obținem

$$g(n) = O(n^{\log_b a}),$$

și cazul 1 este demonstrat.

În ipoteza că  $f(n) = \Theta(n^{\log_b a})$  pentru cazul 2, avem  $f(n/b^j) = \Theta((n/b^j)^{\log_b a})$ . Înlocuind în ecuația (4.7) rezultă

$$g(n) = \Theta\left(\sum_{j=0}^{\log_b n-1} a^j \left(\frac{n}{b^j}\right)^{\log_b a}\right) \quad (4.9)$$

Delimităm suma din interiorul lui  $\Theta$  ca și în cazul 1, dar de data aceasta nu obținem o serie geometrică. În schimb, descoperim că fiecare termen al sumei este același

$$\sum_{j=0}^{\log_b n-1} a^j \left(\frac{n}{b^j}\right)^{\log_b a} = n^{\log_b a} \sum_{j=0}^{\log_b n-1} \left(\frac{a}{b^{\log_b a}}\right)^j = n^{\log_b a} \sum_{j=0}^{\log_b n-1} 1 = n^{\log_b a} \log_b n.$$

Înlocuind această expresie pentru sumă în ecuația (4.9) rezultă

$$g(n) = \Theta(n^{\log_b a} \log_b n) = \Theta(n^{\log_b a} \lg n),$$

și cazul 2 este demonstrat.

Cazul 3 se demonstrează similar. Deoarece  $f(n)$  apare în definiția (4.7) a lui  $g(n)$  și toți termenii lui  $g(n)$  sunt nenegativi, putem concluziona că  $g(n) = \Omega(f(n))$  pentru puterile exacte ale lui  $b$ . În ipoteza că  $af(n/b) \leq cf(n)$  pentru o anumită constantă  $c < 1$  și toți  $n \geq b$ , avem  $a^j f(n/b^j) \leq c^j f(n)$ .

Substituind în ecuația (4.7) și simplificând, rezultă o serie geometrică, dar spre deosebire de seria din cazul 1, aceasta are termeni descrescători

$$g(n) \leq \sum_{j=0}^{\log_b n-1} a^j f(n/b^j) \leq \sum_{j=0}^{\log_b n-1} c^j f(n) \leq f(n) \sum_{j=0}^{\infty} c^j = f(n) \frac{1}{1-c} = O(f(n)),$$

deoarece  $c$  este o constantă. Astfel, putem concluziona că  $g(n) = \Theta(f(n))$  pentru puterile exacte ale lui  $b$ . Cazul 3 este demonstrat, ceea ce completează demonstrația lemei. ■

Putem demonstra acum o versiune a teoremei master pentru cazul în care  $n$  este o putere exactă a lui  $b$ .

**Lema 4.4** Fie  $a \geq 1$  și  $b > 1$  constante și fie  $f(n)$  o funcție nenegativă, definită pe puterile exacte ale lui  $b$ . Definim  $T(n)$  pe puterile exacte ale lui  $b$  prin recurență

$$T(n) = \begin{cases} \Theta(1) & \text{dacă } n = 1, \\ aT(n/b) + f(n) & \text{dacă } n = b^i, \end{cases}$$

unde  $i$  este un întreg pozitiv. Atunci  $T(n)$  poate fi delimitat asimptotic pentru puterile exacte ale lui  $b$  după cum urmează

1. Dacă  $f(n) = O(n^{\log_b a - \epsilon})$  pentru o anumită constantă  $\epsilon > 0$ , atunci  $T(n) = \Theta(n^{\log_b a})$ .
2. Dacă  $f(n) = \Theta(n^{\log_b a})$ , atunci  $T(n) = \Theta(n^{\log_b a} \lg n)$ .
3. Dacă  $f(n) = \Omega(n^{\log_b a + \epsilon})$  pentru o anumită constantă  $\epsilon > 0$  și dacă  $af(n/b) \leq cf(n)$  pentru o anumită constantă  $c < 1$  și toate valorile lui  $n$  suficient de mari, atunci  $T(n) = \Theta(f(n))$ .

**Demonstrație.** Utilizăm delimitările din lema 4.3 pentru a evalua suma (4.6) din lema 4.2. Pentru cazul 1, avem

$$T(n) = \Theta(n^{\log_b a}) + O(n^{\log_b a}) = \Theta(n^{\log_b a}),$$

iar pentru cazul 2,

$$T(n) = \Theta(n^{\log_b a}) + \Theta(n^{\log_b a} \lg n) = \Theta(n^{\log_b a} \lg n).$$

Pentru cazul 3, condiția  $af(n/b) \leq cf(n)$  implică  $f(n) = \Omega(n^{\log_b a + \epsilon})$  (vezi exercițiul 4.4-3). În consecință,

$$T(n) = \Theta(n^{\log_b a}) + \Theta(f(n)) = \Theta(f(n)).$$

Cu aceasta lema este demonstrată. ■

#### 4.4.2. Părți întregi inferioare și superioare

Pentru a demonstra teorema master, trebuie să extindem acum analiza noastră la situația în care în recurența master sunt utilizate părți întregi inferioare și superioare, astfel că recurența este definită pentru orice numere întregi, nu doar pentru puterile exacte ale lui  $b$ . Obținerea unei margini inferioare pentru

$$T(n) = aT(\lceil n/b \rceil) + f(n) \tag{4.10}$$

și a unei margini superioare pentru

$$T(n) = aT(\lfloor n/b \rfloor) + f(n) \tag{4.11}$$

este o operație de rutină, deoarece delimitarea  $\lceil n/b \rceil \geq nb$  poate fi utilizată în primul caz pentru a obține rezultatul dorit, iar delimitarea  $\lfloor n/b \rfloor \leq n/b$  poate fi utilizată în al doilea caz. Delimitarea inferioară a recurenței (4.11) necesită în mare parte același procedeu ca și delimitarea superioară a recurenței (4.10), astfel că vom prezenta numai ultima delimitare.

Vrem să iterăm recurența (4.10) aşa cum s-a făcut în lema 4.2. Pe măsură ce iterăm recurența, obținem un sir de invocări recursive cu argumentele

$$\begin{aligned} & n, \lceil n/b \rceil, \\ & \lceil \lceil n/b \rceil / b \rceil, \\ & \lceil \lceil \lceil n/b \rceil / b \rceil / b \rceil, \\ & \vdots \end{aligned}$$

Să notăm al  $i$ -lea element din sir cu  $n_i$ , unde

$$n_i = \begin{cases} n & \text{dacă } i = 0, \\ \lceil n_{i-1}/b \rceil & \text{dacă } i > 0. \end{cases} \quad (4.12)$$

Primul nostru scop este să determinăm numărul  $k$  de iterații astfel încât  $n_k$  să fie o constantă. Utilizând inegalitatea  $\lceil x \rceil \leq x + 1$ , obținem

$$\begin{aligned} n_0 &\leq n, \\ n_1 &\leq \frac{n}{b} + 1, \\ n_2 &\leq \frac{n}{b^2} + \frac{1}{b} + 1, \\ n_3 &\leq \frac{n}{b^3} + \frac{1}{b^2} + \frac{1}{b} + 1, \\ &\vdots \end{aligned}$$

În general,

$$n_i \leq \frac{n}{b^i} + \sum_{j=0}^{i-1} \frac{1}{b^j} \leq \frac{n}{b^i} + \frac{b}{b-1},$$

și astfel, când  $i = \lfloor \log_b n \rfloor$ , obținem  $n_i \leq b + b/(b-1) = O(1)$ .

Putem itera acum recurența (4.10), obținând

$$\begin{aligned} T(n) &= f(n_0) + aT(n_1) = f(n_0) + af(n_1) + a^2T(n_2) \\ &\leq f(n_0) + af(n_1) + a^2f(n_2) + \dots + a^{\lfloor \log_b n \rfloor - 1}f(n_{\lfloor \log_b n \rfloor - 1}) + a^{\lfloor \log_b n \rfloor}T(n_{\lfloor \log_b n \rfloor}) \\ &= \Theta(n^{\log_b a}) + \sum_{j=0}^{\lfloor \log_b n \rfloor - 1} a^j g(n_j) \end{aligned} \quad (4.13)$$

care este foarte asemănătoare cu ecuația (4.6) cu excepția faptului că  $n$  este un întreg arbitrar și nu e restrâns la o putere exactă a lui  $b$ .

Putem evalua acum suma

$$g(n) = \sum_{j=0}^{\lfloor \log_b n \rfloor - 1} a^j f(n_j) \quad (4.14)$$

din (4.13) într-o manieră similară cu demonstrației lemei 4.3. Începând cu cazul 3, dacă  $af(\lceil n/b \rceil) \leq cf(n)$  pentru  $n > b + b/(b-1)$ , unde  $c < 1$  este o constantă, atunci rezultă că  $a^j f(n_j) \leq c^j f(n)$ . De aceea, suma din ecuația (4.14) poate fi evaluată exact ca în lema 4.3. Pentru cazul 2, avem  $f(n) = \Theta(n^{\log_b a})$ . Dacă putem arăta că  $f(n_j) = O(n^{\log_b a}/a^j) = O((n/b^j)^{\log_b a})$ , atunci demonstrația este valabilă și în acest caz. Observăm că  $j \leq \lfloor \log_b n \rfloor$  implică  $b^j/n \leq 1$ .

Delimitarea  $f(n) = O(n^{\log_b a})$  implică existența unei constante  $c > 0$  astfel încât pentru  $n_j$  suficient de mare,

$$\begin{aligned} f(n_j) &\leq c \left( \frac{n}{b^j} + \frac{b}{b-1} \right)^{\log_b a} = c \left( \frac{n^{\log_b a}}{a^j} \right) \left( 1 + \left( \frac{b^j}{n} \cdot \frac{b}{b-1} \right) \right)^{\log_b a} \\ &= c \left( \frac{n^{\log_b a}}{a^j} \right) \left( 1 + \frac{b}{b-1} \right)^{\log_b a} \leq O \left( \frac{n^{\log_b a}}{a^j} \right), \end{aligned}$$

deoarece  $c(1 + b/(b-1))^{\log_b a}$  este o constantă. Astfel, cazul 2 este demonstrat. Demonstrația cazului 1 este aproape identică. Cheia este să demonstrezi delimitarea  $f(n_j) = O(n^{\log_b a - \epsilon})$ , care este similară cu demonstrația corespunzătoare din cazul 2, deși calculele sunt mai complicate.

Am demonstrat delimitările superioare din teorema master pentru toți întregii  $n$ . Demonstrația delimitărilor inferioare este similară.

## Exerciții

**4.4-1** \* Dați o expresie simplă și exactă pentru  $n_i$  în ecuația (4.12) pentru cazul în care  $b$  este un întreg pozitiv în loc de un număr real arbitrar.

**4.4-2** \* Arătați că dacă  $f(n) = \Theta(n^{\log_b a} \lg^k n)$ , unde  $k \geq 0$ , atunci recurența master are soluția  $T(n) = \Theta(n^{\log_b a} \lg^{k+1} n)$ . Pentru simplitate, limitați-vă analiza la cazul puterilor exakte ale lui  $b$ .

**4.4-3** Arătați că ipotezele cazului 3 din teorema master sunt abundente, în sensul că cerința de regularitate  $af(n/b) \leq cf(n)$  pentru o anumită constantă  $c < 1$  implică existența unei constante  $\epsilon > 0$  astfel încât  $f(n) = \Omega(n^{\log_b a + \epsilon})$ .

## Probleme

### 4-1 Exemple de recurențe

Dați margini asimptotice superioare și inferioare pentru fiecare dintre următoarele recurențe. Presupuneți că  $T(n)$  este constantă pentru  $n \leq 2$ . Faceți marginile cât de strânse se poate și justificați răspunsurile.

- a.  $T(n) = 2T(n/2) + n^3$ .
- b.  $T(n) = T(9n/10) + n$ .
- c.  $T(n) = 16T(n/4) + n^2$ .
- d.  $T(n) = 7T(n/3) + n^2$ .
- e.  $T(n) = 7T(n/2) + n^2$ .
- f.  $T(n) = 2T(n/4) + \sqrt{n}$ .
- g.  $T(n) = T(n-1) + n$ .

**h.**  $T(n) = T(\sqrt{n}) + 1.$

#### 4-2 Găsirea întregului lipsă

Un tablou  $A[1..n]$  conține toate valorile întregi de la 0 la  $n$ , cu excepția uneia. Ar fi ușor să determinăm întregul lipsă în timp  $O(n)$  utilizând un tablou auxiliar  $B[0..n]$  pentru a înregistra numerele care apar în  $A$ . În această problemă, totuși, accesul complet la un element din  $A$  nu se poate realiza printr-o singură operație. Elementele lui  $A$  sunt reprezentate în binar, iar singura operație pe care o putem utiliza pentru a le accesa este “extrage al  $j$ -lea bit al lui  $A[i]$ ”, care cere timp constant.

Arătați că dacă utilizăm numai această operație încă se mai poate determina întregul lipsă în timp  $O(n)$ .

#### 4-3 Costul transmiterii parametrilor

Pe parcursul acestei cărți presupunem că transmiterea parametrilor în timpul apelărilor procedurilor cere timp constant, chiar dacă este transmis un tablou cu  $N$  elemente. Această ipoteză este validă în majoritatea sistemelor, deoarece nu este transmis tabloul însuși, ci un pointer către tablou. Această problemă examinează implicațiile a trei strategii de transmitere a parametrilor:

1. Un tablou este transmis prin pointer. Timpul este  $\Theta(1)$ .
2. Un tablou este transmis prin copiere. Timpul este  $\Theta(N)$ , unde  $N$  este dimensiunea tabloului.
3. Un tablou este transmis copiind numai subdomeniul care ar putea fi accesat de procedura apelată. Timpul este  $\Theta(p - q + 1)$  dacă este transmis subtabloul  $A[p..q]$ .
  - a. Considerați algoritmul recursiv de căutare binară pentru găsirea unui număr într-un tablou sortat (vezi exercițiul 1.3-5). Dați recurențe pentru timpul de execuție în cazul cel mai defavorabil când tablourile sunt transmise utilizând fiecare dintre cele trei metode de mai sus și dați margini superioare bune pentru soluțiile recurențelor. Presupunem că dimensiunea problemei inițiale este  $N$ , iar dimensiunea subproblemei este  $n$ .
  - b. Refațeți partea (a) pentru algoritmul SORTEAZĂ-PRIN-INTERCLASARE din secțiunea 1.3.1.

#### 4-4 Alte exemple de recurențe

Dați margini asimptotice superioare și inferioare pentru  $T(n)$  pentru fiecare dintre următoarele recurențe. Presupuneți că  $T(n)$  este constantă pentru  $n \leq 8$ . Faceți marginile cât de strânse se poate și justificați răspunsurile.

- a.  $T(n) = 3T(n/2) + n \lg n.$
- b.  $T(n) = 3T(n/3 + 5) + n/2.$
- c.  $T(n) = 2T(n/2) + n/\lg n.$
- d.  $T(n) = T(n - 1) + 1/n.$
- e.  $T(n) = T(n - 1) + \lg n.$

**f.**  $T(n) = \sqrt{n}T(\sqrt{n}) + n.$

#### 4-5 Condiții de pantă

Adesea suntem în stare să delimităm o recurență  $T(n)$  pentru puterile exacte ale unei constante întregi  $b$ . Această problemă ne dă condiții suficiente pentru a extinde delimitarea la toate valorile  $n > 0$  reale.

- a.** Fie  $T(n)$  și  $h(n)$  funcții monoton crescătoare și să presupunem că  $T(n) \leq h(n)$  când  $n$  este o putere exactă a unei constante  $b > 1$ . Mai mult, să presupunem că  $h(n)$  este “lent crescătoare”, în sensul că  $h(n) = O(h(n/b))$ . Demonstrați că  $T(n) = O(h(n))$ .
- b.** Să presupunem că avem recurența  $T(n) = aT(n/b) + f(n)$ , unde  $a \geq 1$ ,  $b > 1$ , iar  $f(n)$  este monoton crescătoare. Totodată condițiile inițiale pentru recurență sunt date de  $T(n) = g(n)$  pentru  $n \leq n_0$ , unde  $g(n)$  este monoton crescătoare, iar  $g(n_0) \leq aT(n_0/b) + f(n_0)$ . Demonstrați că  $T(n)$  este monoton crescătoare.
- c.** Simplificați demonstrația teoremei master pentru cazul în care  $f(n)$  este monoton crescătoare și lent crescătoare. Utilizați lema 4.4.

#### 4-6 Numere Fibonacci

Această problemă dezvoltă proprietăți ale numerelor lui Fibonacci, care sunt definite prin recurență (2.13). Vom utiliza tehnica funcțiilor generatoare pentru a rezolva recurența lui Fibonacci. Să definim **funcția generatoare** (sau **seria formală de puteri**)  $\mathcal{F}$  ca

$$\mathcal{F}(z) = \sum_{i=0}^{\infty} F_i z^i = 0 + z + z^2 + 2z^3 + 3z^4 + 5z^5 + 8z^6 + 13z^7 + 21z^8 + \dots$$

- a.** Arătați că  $\mathcal{F}(z) = z + \mathcal{F}(z) + z^2 \mathcal{F}(z)$ .

- b.** Arătați că

$$\mathcal{F}(z) = \frac{z}{1 - z - z^2} = \frac{z}{(1 - \phi z)(1 - \hat{\phi} z)} = \frac{1}{\sqrt{5}} \left( \frac{1}{1 - \phi z} - \frac{1}{1 - \hat{\phi} z} \right),$$

unde

$$\phi = \frac{1 + \sqrt{5}}{2} = 1.61803 \dots \text{ și } \hat{\phi} = \frac{1 - \sqrt{5}}{2} = -0.61803 \dots$$

- c.** Arătați că

$$\mathcal{F}(z) = \sum_{i=0}^{\infty} \frac{1}{\sqrt{5}} (\phi^i - \hat{\phi}^i) z^i.$$

- d.** Demonstrați că  $F_i = \phi^i / \sqrt{5}$  pentru  $i > 0$ , rotunjit la cel mai apropiat întreg. (*Indica ie:  $|\hat{\phi}| < 1$ .*)
- e.** Demonstrați că  $F_{i+2} \geq \phi^i$  pentru  $i \geq 0$ .

#### 4-7 Testarea chip-urilor VLSI

Profesorul Diogenes are  $n$  chip-uri VLSI<sup>1</sup> presupuse a fi identice, care sunt capabile în principiu să se testeze unele pe altele. Matrița de testare a profesorului utilizează două chip-uri deodată. Când matrița este încărcată, fiecare chip îl testează pe celălalt și raportează dacă este bun sau defect. Un chip bun raportează întotdeauna corect dacă celălalt cip este bun sau defect, dar răspunsul unui chip defect nu este demn de încredere. Astfel, cele patru rezultate posibile ale testului sunt după cum urmează:

Chip-ul A spune	Chip-ul B spune	Concluzie
$B$ este bun	$A$ este bun	ambele sunt bune sau ambele sunt defecte
$B$ este bun	$A$ este defect	cel puțin unul este defect
$B$ este defect	$A$ este bun	cel puțin unul este defect
$B$ este defect	$A$ este defect	cel puțin unul este defect

- a. Demonstrați că dacă mai mult de de  $n/2$  chip-uri sunt defecte, profesorul nu poate neapăra să determine care chip-uri sunt bune, utilizând orice strategie bazată pe acest tip de testare pe perechi. Presupuneți că chipurile defecte pot conspira pentru a-l păcăli pe profesor.
- b. Să considerăm problema găsirii unui singur cip bun dintre  $n$  chip-uri, presupunând că mai mult de  $n/2$  chip-uri sunt bune. Arătați că  $\lfloor n/2 \rfloor$  teste pe perechi sunt suficiente pentru a reduce dimensiunea problemei la jumătate.
- c. Arătați că chipurile bune pot fi identificate cu  $\Theta(n)$  teste pe perechi, presupunând că mai mult de  $n/2$  chip-uri sunt bune. Dați și rezolvări recurență care descrie numărul de teste.

## Note bibliografice

Recurențele au fost studiate încă din 1202 de către L. Fibonacci, după care sunt denumite numerele lui Fibonacci. A. De Moivre a introdus metoda funcțiilor generatoare (vezi problema 4-6) pentru rezolvarea recurențelor. Metoda master este adaptată din Bentley, Haken și Saxe [26], care prezintă metoda extinsă justificată prin exercițiul 4.4-2. Knuth [121] și Liu [140] arată cum se rezolvă recurențele liniare utilizând metoda funcțiilor generatoare. Purdom și Brown [164] conține o discuție extinsă asupra rezolvării recurențelor.

<sup>1</sup>VLSI înseamnă “very-large-scale-integration” (integrare la scară foarte mare), care este tehnologia chip-urilor de circuite integrate utilizată astăzi pentru fabricarea majorității micropresesoarelor.

---

## 5 Multimi etc.

În capituloare am studiat unele noțiuni matematice. În acest capitol vom recapitula și vom completa notațiile, definițiile și proprietățile elementare ale mulțimilor, relațiilor, funcțiilor, grafurilor și arborilor. Cititorii familiarizați cu aceste noțiuni trebuie, doar, să răsfoiască paginile acestui capitol.

---

### 5.1. Multimi

O **mulțime** este o colecție de obiecte distincte numite **membri** sau **elemente**. Dacă un obiect  $x$  este element al mulțimii  $S$ , scriem  $x \in S$  și citim “ $x$  este un element al lui  $S$ ” sau, mai scurt, “ $x$  aparține lui  $S$ ”. Dacă  $x$  nu este un element al lui  $S$ , scriem  $x \notin S$ . Putem descrie o mulțime enumerându-i elementele în mod explicit ca o listă între acolade. De exemplu, putem defini o mulțime  $S$  care conține numerele 1, 2 și 3 scriind  $S = \{1, 2, 3\}$ . Deoarece 2 este un element al mulțimii  $S$ , vom scrie  $2 \in S$ , dar vom scrie  $4 \notin S$  deoarece 4 nu este un element al lui  $S$ . O mulțime nu poate conține același obiect de mai multe ori și elementele sale nu sunt ordonate. Două mulțimi  $A$  și  $B$  sunt **egale** dacă ele conțin aceleași elemente. Notația folosită pentru a arăta că două mulțimi sunt egale este  $A = B$ . De exemplu, avem  $\{1, 2, 3, 1\} = \{1, 2, 3\} = \{3, 2, 1\}$ .

Folosim notații speciale pentru câteva mulțimi mai des întâlnite.

- Notăm cu  $\emptyset$  **mulțimea vidă**, adică mulțimea care nu conține nici un element.
- Notăm cu  $\mathbb{Z}$  mulțimea **numerelor întregi**, adică mulțimea  $\{\dots, -2, -1, 0, 1, 2, \dots\}$ .
- Notăm cu  $\mathbb{R}$  mulțimea **numerelor reale**.
- Notăm cu  $\mathbb{N}$  mulțimea **numerelor naturale**, adică mulțimea  $\{0, 1, 2, \dots\}$ .<sup>1</sup>

Dacă toate elementele unei mulțimi  $A$  sunt conținute într-o mulțime  $B$ , adică dacă  $x \in A$  implică  $x \in B$ , atunci scriem  $A \subseteq B$  și spunem că  $A$  este o **submulțime** a lui  $B$ . O mulțime  $A$  este o **submulțime strictă** a lui  $B$ , notat  $A \subset B$ , dacă  $A \subseteq B$  dar  $A \neq B$ . (Unii autori folosesc simbolul “ $\subset$ ” pentru a nota relația obișnuită de inclusiune și nu relația de inclusiune strictă.) Pentru orice mulțime  $A$ , avem  $A \subseteq A$ . Pentru două mulțimi  $A$  și  $B$ , avem  $A = B$  dacă, și numai dacă,  $A \subseteq B$  și  $B \subseteq A$ . Pentru oricare trei mulțimi  $A$ ,  $B$  și  $C$ , dacă  $A \subseteq B$  și  $B \subseteq C$ , atunci  $A \subseteq C$ . Pentru orice mulțime  $A$  avem  $\emptyset \subseteq A$ .

Uneori definim mulțimi pornind de la alte mulțimi deja definite. Dându-se o mulțime  $A$ , putem defini o mulțime  $B \subseteq A$  impunând o restricție care să distingă elementele din  $B$  de celelalte elemente din  $A$ . De exemplu putem defini mulțimea numerelor întregi pare prin

$$x : x \in \mathbb{Z}$$

și  $x/2$  este un număr întreg}. Cele două puncte din notația anterioară înseamnă “astfel încât.” (Unii autori folosesc o bară verticală în locul acestor două puncte.)

<sup>1</sup> Unii autori susțin că 0 nu face parte din mulțimea numerelor naturale. Totuși tendința modernă este de a include și numărul 0 în această mulțime.

Dându-se două multimi  $A$  și  $B$  putem defini noi multimi aplicând unii **operatori cu multimi**:

- **Intersecția** multimilor  $A$  și  $B$  este mulțimea

$$A \cap B = \{x : x \in A \text{ și } x \in B\}.$$

- **Reuniunea** multimilor  $A$  și  $B$  este mulțimea

$$A \cup B = \{x : x \in A \text{ sau } x \in B\}.$$

- **Diferența** dintre două multimi  $A$  și  $B$  este mulțimea

$$A - B = \{x : x \in A \text{ și } x \notin B\}.$$

Operațiile cu multimi respectă următoarele reguli:

**Reguli ale multimii vide:**

$$A \cap \emptyset = \emptyset,$$

$$A \cup \emptyset = A.$$

**Reguli de idempotentă:**

$$A \cap A = A,$$

$$A \cup A = A.$$

**Reguli de comutativitate:**

$$A \cap B = B \cap A,$$

$$A \cup B = B \cup A.$$

**Reguli de asociativitate:**

$$A \cap (B \cap C) = (A \cap B) \cap C,$$

$$A \cup (B \cup C) = (A \cup B) \cup C.$$

**Reguli de distributivitate:**

$$A \cap (B \cup C) = (A \cap B) \cup (A \cap C),$$

$$A \cup (B \cap C) = (A \cup B) \cap (A \cup C). \quad (5.1)$$

**Reguli de absorbție:**

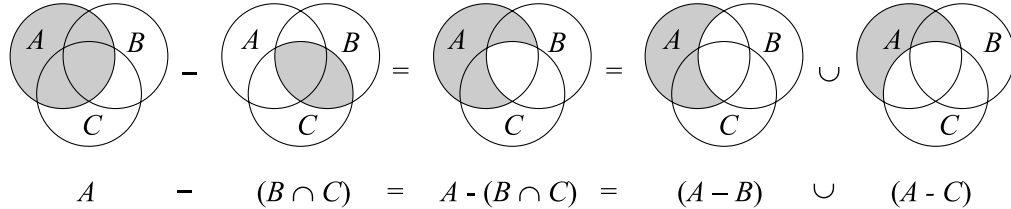
$$A \cap (A \cup B) = A,$$

$$A \cup (A \cap B) = A.$$

**Legile lui DeMorgan:**

$$A - (B \cap C) = (A - B) \cup (A - C),$$

$$A - (B \cup C) = (A - B) \cap (A - C). \quad (5.2)$$



**Figura 5.1** O diagramă Venn ilustrând prima regulă a lui DeMorgan (5.2). Fiecare dintre mulțimile  $A$ ,  $B$  și  $C$  este reprezentată ca un cerc în plan.

Prima dintre regulile lui DeMorgan este ilustrată în figura 5.1, folosind o *diagramă Venn*, o imagine grafică în care mulțimile sunt reprezentate ca regiuni în plan.

Deseori toate mulțimile considerate sunt submulțimi ale unei mulțimi mai mari  $U$  numită *univers*. De exemplu, dacă luăm în considerare diferite mulțimi formate numai din întregi, mulțimea  $\mathbb{Z}$  este un univers potrivit. Dându-se un univers  $U$ , definim **complementul** unei mulțimi  $A$  ca fiind  $\bar{A} = U - A$ . Pentru orice mulțime  $A \subseteq U$ , următoarele propoziții sunt adevărate:

$$\begin{aligned}
 \bar{\bar{A}} &= A, \\
 A \cap \bar{A} &= \emptyset, \\
 A \cup \bar{A} &= U.
 \end{aligned}$$

Dându-se două mulțimi  $A, B \subseteq U$ , regulile lui DeMorgan pot fi recrise cu ajutorul complementelor mulțimilor  $A$  și  $B$  față de  $U$  astfel:

$$\begin{aligned}
 \overline{A \cap B} &= \bar{A} \cup \bar{B}, \\
 \overline{A \cup B} &= \bar{A} \cap \bar{B}.
 \end{aligned}$$

Două mulțimi  $A$  și  $B$  sunt *disjuncte* dacă nu au nici un element comun, adică  $A \cap B = \emptyset$ . O colecție  $\mathcal{S} = \{S_i\}$  de mulțimi nevide formează o *partiție* a unei mulțimi  $S$  dacă:

- mulțimile sunt *distanțate două câte două*, adică  $S_i, S_j \in \mathcal{S}$  și  $i \neq j$  implică  $S_i \cap S_j = \emptyset$  și
- reuniunea lor este  $S$ , adică

$$S = \bigcup_{S_i \in \mathcal{S}} S_i$$

Cu alte cuvinte,  $\mathcal{S}$  formează o partiție a lui  $S$  dacă fiecare element al mulțimii  $S$  apare în exact o mulțime  $S_i \in \mathcal{S}$ .

Numărul de elemente ale unei mulțimi poartă denumirea de **cardinal** (sau **dimensiune**) al mulțimii și este notat cu  $|S|$ . Două mulțimi au același cardinal dacă poate fi stabilită o corespondență biunivocă între cele două mulțimi. Cardinalul mulțimii vide este  $|\emptyset| = 0$ . În cazul în care cardinalul unei mulțimi este un număr natural, spunem că mulțimea este **finită**; altfel, ea este **infinită**. O mulțime infinită care poate fi pusă în corespondență biunivocă cu mulțimea numerelor naturale  $\mathbb{N}$  este numită **mulțime numărabilă infinită**; în caz contrar

ea este **nenumărabilă**. Multimea  $\mathbb{Z}$  a numerelor întregi este numărabilă dar multimea  $\mathbb{R}$  a numerelor reale este nenumărabilă.

Pentru oricare două mulțimi finite  $A$  și  $B$ , avem identitatea:

$$|A \cup B| = |A| + |B| - |A \cap B|, \quad (5.3)$$

de unde putem deduce că

$$|A \cup B| \leq |A| + |B|.$$

Dacă  $A$  și  $B$  sunt disjuncte, atunci  $|A \cap B| = 0$ , deci  $|A \cup B| = |A| + |B|$ . Dacă  $A \subseteq B$ , atunci  $|A| \leq |B|$ .

O mulțime finită cu  $n$  elemente este uneori denumită  **$n$ -mulțime**. O 1-mulțime este denumită **mulțime cu un singur element**. O submulțime cu  $k$  elemente a unei mulțimi este denumită uneori  **$k$ -submulțime**.

Mulțimea tuturor submulțimilor unei mulțimi  $S$ , inclusiv multimea vidă și multimea  $S$ , este notată prin  $2^S$  și este denumită **mulțimea părților** lui  $S$ . De exemplu,  $2^{\{a,b\}} = \{\emptyset, \{a\}, \{b\}, \{a, b\}\}$ . Mulțimea părților unei mulțimi finite  $S$  are cardinalul  $2^{|S|}$ .

Uneori ne interesează structuri asemănătoare mulțimilor în cadrul cărora elementele sunt ordonate. O **pereche ordonată** formată din două elemente  $a$  și  $b$  este notată cu  $(a, b)$  și poate fi definită ca fiind mulțimea  $(a, b) = \{a, \{a, b\}\}$ . Deci perechea ordonată  $(a, b)$  nu este identică cu perechea ordonată  $(b, a)$ .

**Produsul cartezian** a două mulțimi  $A$  și  $B$ , notat prin  $A \times B$ , este mulțimea tuturor perechilor ordonate astfel încât primul element al perechii face parte din mulțimea  $A$ , iar al doilea este un element al mulțimii  $B$ . Mai exact:

$$A \times B = \{(a, b) : a \in A \text{ și } b \in B\}.$$

De exemplu  $\{a, b\} \times \{a, b, c\} = \{(a, a), (a, b), (a, c), (b, a), (b, b), (b, c)\}$ . Când  $A$  și  $B$  sunt mulțimi finite, cardinalul produsului lor cartezian este:

$$|A \times B| = |A| \cdot |B|. \quad (5.4)$$

Produsul cartezian a  $n$  mulțimi  $A_1, A_2, \dots, A_n$  este o mulțime de  **$n$ -tuple**

$$A_1 \times A_2 \times \cdots \times A_n = \{(a_1, a_2, \dots, a_n) : a_i \in A_i, i = 1, 2, \dots, n\},$$

al cărei cardinal este:

$$|A_1 \times A_2 \times \cdots \times A_n| = |A_1| \cdot |A_2| \cdots |A_n|,$$

dacă toate mulțimile sunt finite. Notăm produsul cartezian dintre o mulțime  $A$  și ea însăși prin

$$A^2 = A \times A.$$

Similar, avem:

$$A^n = A \times A \times \cdots \times A.$$

Cardinalul acestei ultime mulțimi este  $|A^n| = |A|^n$  dacă  $A$  este finită. Un  $n$ -tuplu poate fi privit ca un sir finit de lungime  $n$  (vezi secțiunea 5.3).

## Exerciții

**5.1-1** Desenați diagramele Venn care ilustrează prima regulă de distributivitate (5.1).

**5.1-2** Demonstrați regulile generalizate ale lui DeMorgan pentru orice colecție finită de mulțimi:

$$\begin{aligned} \overline{A_1 \cap A_2 \cap \cdots \cap A_n} &= \overline{A_1} \cup \overline{A_2} \cup \cdots \cup \overline{A_n}, \\ \overline{A_1 \cup A_2 \cup \cdots \cup A_n} &= \overline{A_1} \cap \overline{A_2} \cap \cdots \cap \overline{A_n}. \end{aligned}$$

**5.1-3** \* Demonstrați generalizarea ecuației (5.3), care este denumită *principiul includerii și al excluderii*:

$$\begin{aligned} |A_1 \cup A_2 \cup \cdots \cup A_n| &= \\ |A_1| + |A_2| + \cdots + |A_n| - & \\ -|A_1 \cap A_2| - |A_1 \cap A_3| - \cdots & \quad (\text{toate perechile}) \\ +|A_1 \cap A_2 \cap A_3| + \cdots & \quad (\text{toate tripletele}) \\ \vdots & \\ +(-1)^{n-1}|A_1 \cap A_2 \cap \cdots \cap A_n|. & \end{aligned}$$

**5.1-4** Arătați că mulțimea numerelor naturale impare este numărabilă.

**5.1-5** Arătați că, pentru orice mulțime finită  $S$ , mulțimea părților sale  $2^S$  are  $2^{|S|}$  elemente (adică există  $2^{|S|}$  submulțimi distincte ale lui  $S$ ).

**5.1-6** Dați o definiție inductivă pentru un  $n$ -tuplu extinzând definiția perechii ordonate din teoria mulțimilor.

## 5.2. Relații

O **relație binară**  $R$  între două mulțimi  $A$  și  $B$  este o submulțime a produsului cartezian  $A \times B$ . Dacă  $(a, b) \in R$ , folosim uneori notația  $a R b$ . Când spunem că  $R$  este o relație binară peste o mulțime  $A$ , înțelegem că  $R$  este o submulțime a produsului cartezian  $A \times A$ . De exemplu, relația "mai mic decât" peste mulțimea numerelor naturale este mulțimea  $\{(a, b) : a, b \in \mathbb{N} \text{ și } a < b\}$ . O relație  $n$ -ară între mulțimile  $A_1, A_2, \dots, A_n$  este o submulțime a lui  $A_1 \times A_2 \times \cdots \times A_n$ .

O relație binară  $R \subseteq A \times A$  este **reflexivă** dacă

$$a R a$$

pentru orice  $a \in A$ . De exemplu, " $=$ " și " $\leq$ " sunt relații reflexive peste  $\mathbb{N}$  în timp ce relația " $<$ " nu este. Relația  $R$  este **simetrică** dacă

$$a R b \text{ implică } b R a$$

pentru orice  $a, b \in A$ . De exemplu, " $=$ " este simetrică, dar " $<$ " și " $\leq$ " nu sunt. Relația  $R$  este **tranzitivă** dacă

$$a R b \text{ și } b R c \text{ implică } a R c$$

pentru orice  $a, b, c \in A$ . De exemplu, relațiile “ $<$ ”, “ $\leq$ ” și “ $=$ ” sunt tranzitive, dar relația  $R = \{(a, b) : a, b \in \mathbb{N} \text{ și } a = b - 1\}$  nu este deoarece  $3 R 4$  și  $4 R 5$  nu implică  $3 R 5$ .

O relație care este reflexivă, simetrică și tranzitivă poartă denumirea de **relație de echivalență**. De exemplu “ $=$ ” este o relație de echivalență peste multimea numerelor naturale în timp ce “ $<$ ” nu este. Dacă  $R$  este o relație de echivalență peste o mulțime  $A$ , atunci pentru oricare  $a \in A$ , **clasa de echivalență** a lui  $a$  este mulțimea  $[a] = \{b \in A : a R b\}$ , adică mulțimea tuturor elementelor echivalente cu  $a$ . De exemplu, dacă definim  $R = \{(a, b) : a, b \in \mathbb{N} \text{ și } a + b \text{ este un număr par}\}$ , atunci  $R$  este o relație de echivalență deoarece  $a + a$  este par (reflexivitate), dacă  $a + b$  este par atunci și  $b + a$  este par (simetrie) și, dacă  $a + b$  este par și  $b + c$  este par, atunci și  $a + c$  este par (tranzitivitate). Clasa de echivalență a lui 4 este  $[4] = \{0, 2, 4, 6, \dots\}$ , iar clasa de echivalență a lui 3 este  $[3] = \{1, 3, 5, 7, \dots\}$ . O teoremă de bază în studiul claselor de echivalență este următoarea.

**Teorema 5.1 (O relație de echivalență este identică cu o partiție)** Clasele de echivalență ale oricărei relații de echivalență  $R$  peste o mulțime  $A$  formează o partiție a lui  $A$  și oricare partiție a lui  $A$  determină o relație de echivalență peste  $A$  pentru care mulțimile din partiție sunt clase de echivalență.

**Demonstrație.** Pentru prima parte a demonstrației, trebuie să arătăm că clasele de echivalență ale lui  $R$  sunt nevide, disjuncte două câte două și reunionea lor este  $A$ . Deoarece  $R$  este reflexivă,  $a \in [a]$ , clasele de echivalență sunt nevide; mai mult, deoarece fiecare element  $a \in A$  aparține clasei de echivalență  $[a]$ , reunionea claselor de echivalență este  $A$ . Rămâne de arătat că clasele de echivalență sunt distincte două câte două, adică dacă două clase de echivalență  $[a]$  și  $[b]$  au un element  $c$  comun, ele sunt, de fapt, identice. Avem  $a R c$  și  $b R c$  de unde deducem (datorită proprietăților de simetrie și tranzitivitate ale lui  $R$ ) că  $a R b$ . Deci, pentru oricare element  $x \in [a]$  avem  $x R a$  implică  $x R b$ , deci  $[a] \subseteq [b]$ . Similar, putem demonstra că  $[b] \subseteq [a]$ , deci  $[a] = [b]$ .

Pentru a doua parte a demonstrației, fie  $\mathcal{A} = \{\mathcal{A}_i\}$  o partiție a mulțimii  $A$ . Definim relația  $R = \{(a, b) : \text{există } i \text{ astfel încât } a \in \mathcal{A}_i \text{ și } b \in \mathcal{A}_i\}$ . Susținem că  $R$  este o relație de echivalență peste  $A$ . Proprietatea de reflexivitate este respectată deoarece  $a \in \mathcal{A}_i$  implică  $a R a$ . Proprietatea de simetrie este și ea respectată deoarece dacă  $a R b$  atunci  $a$  și  $b$  fac parte din aceeași mulțime  $\mathcal{A}_i$ , deci  $b R a$ . Dacă  $a R b$  și  $b R c$  atunci toate cele trei elemente se află în aceeași mulțime, deci  $b R a$  și proprietatea de tranzitivitate este respectată. Pentru a vedea că mulțimile partiției sunt clase de echivalență ale lui  $R$ , observați că, dacă  $a \in \mathcal{A}_i$ , atunci  $x \in [a]$  implică  $x \in \mathcal{A}_i$  și  $x \in \mathcal{A}_i$  implică  $x \in [a]$ . ■

O relație binară  $R$  peste o mulțime  $A$  este **antisimetrică** dacă

$a R b$  și  $b R a$  implică  $a = b$ .

De exemplu, relația “ $\leq$ ” peste mulțimea numerelor naturale este antisimetrică deoarece  $a \leq b$  și  $b \leq a$  implică  $a = b$ . O relație care este reflexivă, antisimetrică și tranzitivă este o **relație de ordine parțială**. O mulțime peste care este definită o relație de ordine parțială poartă denumirea de **mulțime parțialordonată**. De exemplu, relația “este descendenter al lui” este o relație de ordine parțială a mulțimii tuturor ființelor umane (dacă privim indivizii ca fiind propriii lor descendenți).

Într-o mulțime parțialordonată  $A$ , poate să nu existe un singur element “maxim”  $x$ , astfel încât  $y R x$  pentru orice  $y \in A$ . Pot exista mai multe elemente **maximale**  $x$ , astfel încât pentru nici un  $y \in A$  nu există relația  $x R y$ . De exemplu, într-o colecție de cutii având diferite dimensiuni

pot exista mai multe cutii maximale care nu pot fi introduse în interiorul unei alte cutii, neexistând totuși nici o cutie “maximă” în interiorul căreia să poată fi introduse toate celelalte cutii.

O relație parțială de ordine  $R$  peste o mulțime  $A$  este o **relație de ordine totală** sau **relație de ordine liniară** dacă pentru orice  $a, b \in A$  avem  $a R b$  sau  $b R a$ , adică orice pereche de elemente din  $A$  poate fi pusă în relație de către  $R$ . De exemplu, relația “ $\leq$ ” este o relație de ordine totală peste mulțimea numerelor naturale, dar relația “este descendental al lui” nu este o relație de ordine totală peste mulțimea tuturor ființelor umane deoarece există perechi de indivizi pentru care nici unul nu este descendentalul celuilalt.

## Exerciții

**5.2-1** Demonstrați că relația de inclusiune “ $\subseteq$ ” peste toate submulțimile lui  $\mathbb{Z}$  este o relație de ordine parțială, dar nu este o relație de ordine totală.

**5.2-2** Arătați că, pentru orice întreg pozitiv  $n$ , relația de “echivalență modulo  $n$ ” este o relație de echivalență peste mulțimea numerelor întregi. (Spunem că  $a \equiv b \pmod{n}$  dacă există un număr întreg  $q$  astfel încât  $a - b = qn$ .) În ce clase de echivalență partizionează această relație mulțimea numerelor întregi?

**5.2-3** Dați exemple de relații care sunt:

- a. reflexive și simetrice, dar netranzitive,
- b. reflexive și tranzitive, dar nesimetrice,
- c. simetrice și tranzitive, dar nereflexive.

**5.2-4** Fie  $S$  o mulțime finită și  $R$  o relație de echivalență peste  $S \times S$ . Arătați că, dacă  $R$  este și antisimetrică, atunci clasele de echivalență ale lui  $S$  față de  $R$  sunt mulțimi unitate.

**5.2-5** Profesorul Narcissus susține că, dacă o relație este simetrică și tranzitivă, ea este și reflexivă. El oferă următoarea demonstrație: prin simetrie  $a R b$  implică  $b R a$ , deci tranzitivitatea implică  $a R a$ . Are profesorul dreptate?

## 5.3. Funcții

Dându-se două mulțimi  $A$  și  $B$ , o **funcție** este o relație binară peste  $A \times B$  astfel încât, pentru orice  $a \in A$ , există exact un  $b \in B$ , și  $(a, b) \in f$ . Mulțimea  $A$  este numită **domeniul** lui  $f$ , iar mulțimea  $B$  este numită **codomeniul** lui  $f$ . Uneori, scriem  $f : A \rightarrow B$  și, dacă  $(a, b) \in f$ , scriem  $b = f(a)$ , deoarece  $b$  este unic determinat prin alegerea lui  $a$ .

Intuitiv, funcția  $f$  atribuie fiecărui element din  $A$  un element din  $B$ . Nici unui element din  $A$  nu i se atribuie două elemente diferite din  $B$ , dar același element din  $B$  poate fi atribuit mai multor elemente diferite din  $A$ . De exemplu, relația binară

$$f = \{(a, b) : a \in \mathbb{N} \text{ și } b = a \bmod 2\}$$

este o funcție  $f : \mathbb{N} \rightarrow \{0, 1\}$ , deoarece pentru fiecare număr natural  $a$  există exact o valoare  $b$  în  $\{0, 1\}$  astfel încât  $b = a \text{ mod } 2$ . Pentru acest exemplu avem  $0 = f(0)$ ,  $1 = f(1)$ ,  $0 = f(2)$  etc. În schimb, relația binară

$$g = \{(a, b) : a \in \mathbb{N} \text{ și } a + b \text{ este par}\}$$

nu este o funcție deoarece atât  $(1, 3)$  cât și  $(1, 5)$  se află în  $g$ , deci dacă alegem  $a = 1$  nu putem determina un singur  $b$  pentru care  $(a, b) \in g$ .

Dându-se o funcție  $f : A \rightarrow B$  dacă  $b = f(a)$ , spunem că  $a$  este **argumentul** lui  $f$ , iar  $b$  este **valoarea** lui  $f$  în punctul  $a$ . Putem defini o funcție enumerând valorile sale pentru fiecare element din domeniu. De exemplu, putem defini  $f(n) = 2n$  pentru  $n \in \mathbb{N}$ , ceea ce înseamnă  $f = \{(n, 2n) : n \in \mathbb{N}\}$ . Două funcții  $f$  și  $g$  sunt **egale** dacă au același domeniu, același codomeniu și, pentru orice  $a$  din domeniu, avem  $f(a) = g(a)$ .

Un **șir finit** de lungime  $n$  este o funcție  $f$  al cărei domeniu este multimea  $\{0, 1, \dots, n - 1\}$ . Deseori, definim un șir finit prin enumerarea valorilor sale:  $\langle f(0), f(1), \dots, f(n - 1) \rangle$ . Un **șir infinit** este o funcție al cărei domeniu este multimea numerelor naturale  $\mathbb{N}$ . De exemplu, șirul lui Fibonacci, definit prin (2.13), este șirul infinit  $\langle 0, 1, 1, 2, 3, 5, 8, 13, 21, \dots \rangle$ .

Când domeniul unei funcții  $f$  este un produs cartezian, omitem adesea perechea suplimentară de paranteze în care este cuprins argumentul lui  $f$ . De exemplu, dacă  $f : A_1 \times A_2 \times \dots \times A_n \rightarrow B$ , vom scrie  $b = f(a_1, a_2, \dots, a_n)$  în loc de a scrie  $b = f((a_1, a_2, \dots, a_n))$ . De asemenea, vom numi fiecare  $a_i$  un **argument** al lui  $f$ , cu toate că singurul argument “veritabil” al lui  $f$  este  $n$ -tuplul  $(a_1, a_2, \dots, a_n)$ .

Dacă  $f : A \rightarrow B$  este o funcție și  $b = f(a)$ , uneori, spunem că  $b$  este **imaginarea** lui  $a$  prin  $f$ . Imaginea unei mulțimi  $A' \subseteq A$  prin  $f$  este definită prin:

$$f(A') = \{b \in B : b = f(a) \text{ pentru } a \in A'\}.$$

**Domeniul de valori** al unei funcții este imaginea domeniului său, adică  $f(A)$ . De exemplu imaginea funcției  $f : \mathbb{N} \rightarrow \mathbb{N}$  definită prin  $f(n) = 2n$  este  $f(\mathbb{N}) = \{m : m = 2n \text{ pentru } n \in \mathbb{N}\}$ .

O funcție este o **surjecție** dacă imaginea sa este egală cu codomeniul său. De exemplu, funcția  $f(n) = \lfloor n/2 \rfloor$  este o funcție surjectivă de la  $\mathbb{N}$  la  $\mathbb{N}$  deoarece fiecare element din  $\mathbb{N}$  este valoare a lui  $f$  pentru un anumit argument. În schimb, funcția  $f(n) = 2n$  nu este o funcție surjectivă de la  $\mathbb{N}$  la  $\mathbb{N}$  deoarece pentru nici un argument funcția nu ia valoarea 3. Funcția  $f(n) = 2n$  este, totuși, o funcție surjectivă de la multimea numerelor naturale la multimea numerelor pare.

O funcție  $f : A \rightarrow B$  este o **injecție** dacă, pentru argumente distincte, avem valori distincte ale funcției, adică  $a \neq a'$  implică  $f(a) \neq f(a')$ . De exemplu funcția  $f(n) = 2n$  este o funcție injectivă de la  $\mathbb{N}$  la  $\mathbb{N}$  deoarece fiecare număr par  $b$  este imaginea prin  $f$  a cel mult un element din domeniu, mai precis a lui  $b/2$ . Funcția  $f(n) = \lfloor n/2 \rfloor$  nu este injectivă deoarece ia valoarea 1 pentru mai multe argumente: 2 și 3. O injecție se numește uneori funcție **unu-la-unu**.

O funcție  $f : A \rightarrow B$  este o **bijecție** dacă este injectivă și surjectivă. De exemplu, funcția  $f(n) = (-1)^n \lfloor n/2 \rfloor$  este o bijecție de la  $\mathbb{N}$  la  $\mathbb{Z}$ :

$$\begin{array}{rcl} 0 & \rightarrow & 0, \\ 1 & \rightarrow & -1, \\ 2 & \rightarrow & 1, \\ 3 & \rightarrow & -2, \\ 4 & \rightarrow & 2, \\ & \vdots & \end{array}$$

Funcția este injectivă, deoarece nici un element din  $\mathbb{Z}$  nu este imagine a mai multor elemente din  $\mathbb{N}$ , și surjectivă, deoarece fiecare element din  $\mathbb{Z}$  este imagine a unui element din  $\mathbb{N}$ . În concluzie, funcția este bijectivă. O bijectie este uneori numită și **corespondență unu-la-unu** deoarece “împerechează” elemente din domeniul și codomeniu. O bijectie de la o mulțime  $A$  la ea însăși este uneori numită o **permutare**.

Când o funcție  $f$  este bijectivă **inversa** ei  $f^{-1}$  este definită prin:

$$f^{-1}(b) = a \text{ dacă și numai dacă } f(a) = b.$$

De exemplu, inversa funcției  $f(n) = (-1)^n \lceil n/2 \rceil$  este

$$f^{-1}(m) = \begin{cases} 2m & \text{dacă } m \geq 0, \\ -2m - 1 & \text{dacă } m < 0. \end{cases}$$

## Exerciții

**5.3-1** Fie  $A$  și  $B$  două mulțimi finite și o funcție  $f : A \rightarrow B$ . Arătați că:

- a. dacă  $f$  este injectivă atunci  $|A| \leq |B|$ ;
- b. dacă  $f$  este surjectivă atunci  $|A| \geq |B|$ .

**5.3-2** Verificați dacă funcția  $f(x) = x + 1$  este bijectivă în cazul în care domeniul și codomeniul sunt  $\mathbb{N}$ . Dar dacă domeniul și codomeniul sunt  $\mathbb{Z}$ ?

**5.3-3** Dați o definiție naturală pentru inversa unei relații binare, astfel încât dacă o relație binară este, de fapt, o funcție bijectivă, atunci inversa relației este inversa funcției.

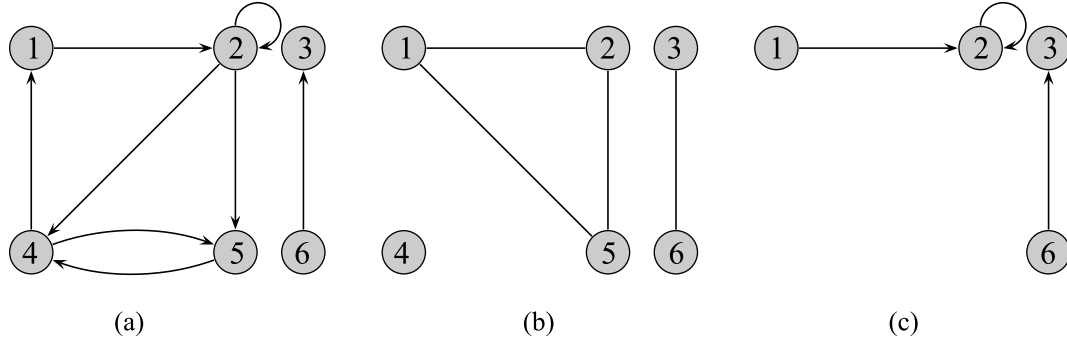
**5.3-4** \* Dați o bijectie între  $\mathbb{Z}$  și  $\mathbb{Z} \times \mathbb{Z}$ .

## 5.4. Grafuri

Această secțiune prezintă două tipuri de grafuri: orientate și neorientate. Cititorul trebuie avizat că anumite definiții din literatura de specialitate diferă de cele prezentate aici, dar în cele mai multe cazuri diferențele sunt minore. Secțiunea 23.1 arată cum pot fi reprezentate grafurile în memoria calculatorului.

Un **graf orientat** (sau **digraf**)  $G$  este o pereche  $(V, E)$ , unde  $V$  este o mulțime finită, iar  $E$  este o relație binară pe  $V$ . Mulțimea  $V$  se numește **mulțimea vârfurilor** lui  $G$ , iar elementele ei se numesc **vârfuri**. Mulțimea  $E$  se numește **mulțimea arcelor** lui  $G$ , și elementele ei se numesc **arce**. Figura 5.2(a) este o reprezentare grafică a unui graf orientat cu mulțimea de vârfuri  $\{1, 2, 3, 4, 5, 6\}$ . În figură, vârfurile sunt reprezentate prin cercuri, iar arcele prin săgeți. Observați că sunt posibile **autobuclele** – arce de la un vârf la el însuși.

Într-un **graf neorientat**  $G = (V, E)$ , **mulțimea muchiilor**  $E$  este constituită din perechi de vârfuri **neordonate**, și nu din perechi ordonate. Cu alte cuvinte, o muchie este o mulțime  $\{u, v\}$ , unde  $u, v \in V$  și  $u \neq v$ . Prin convenție, pentru o muchie vom folosi notația  $(u, v)$  în locul notației pentru mulțimi  $\{u, v\}$ , iar  $(u, v)$  și  $(v, u)$  sunt considerate a fi aceeași muchie. Într-un graf neorientat, autobuclele sunt interzise și astfel fiecare muchie este formată din exact două



**Figura 5.2** Grafuri orientate și neorientate. (a) Un graf orientat  $G = (V, E)$ , unde  $V = \{1, 2, 3, 4, 5, 6\}$  și  $E = \{(1, 2), (2, 2), (2, 4), (2, 5), (4, 1), (4, 5), (5, 4), (6, 3)\}$ . Arcul  $(2, 2)$  este o autobucă. (b) Un graf neorientat  $G = (V, E)$ , unde  $V = \{1, 2, 3, 4, 5, 6\}$  și  $E = \{(1, 2), (1, 5), (2, 5), (3, 6)\}$ . Vârful 4 este izolat. (c) Subgraful grafului de la (a) induș de mulțimea de vârfuri  $\{1, 2, 3, 6\}$ .

vârfuri distincte. Figura 5.2(b) este o reprezentare grafică a unui graf neorientat având mulțimea de vârfuri  $\{1, 2, 3, 4, 5, 6\}$ .

Multe definiții pentru grafuri orientate și neorientate sunt aceleiasi, deși anumiți termeni pot avea semnificații diferite în cele două contexte. Dacă  $(u, v)$  este un arc într-un graf orientat  $G = (V, E)$ , spunem că  $(u, v)$  este **incident din** sau **pleacă din** vârful  $u$  și este **incident în** sau **intră în** vârful  $v$ . De exemplu, arcele care pleacă din vârful 2, în figura 5.2(a), sunt  $(2, 2)$ ,  $(2, 4)$  și  $(2, 5)$ . Arcele care intră în vârful 2 sunt  $(1, 2)$  și  $(2, 2)$ . Dacă  $(u, v)$  este o muchie într-un graf neorientat  $G = (V, E)$ , spunem că  $(u, v)$  este **incidentă** vâfurilor  $u$  și  $v$ . În figura 5.2(b), muchiile incidente vârfului 2 sunt  $(1, 2)$  și  $(2, 5)$ .

Dacă  $(u, v)$  este o muchie (arc) într-un graf  $G = (V, E)$ , spunem că vârful  $v$  este **adiacent** vârfului  $u$ . Atunci când graful este neorientat, relația de adiacență este simetrică. Când graful este orientat, relația de adiacență nu este neapărat simetrică. Dacă  $v$  este adiacent vârfului  $u$  într-un graf orientat, uneori scriem  $u \rightarrow v$ . În părțile (a) și (b) ale figurii 5.2, vârful 2 este adiacent vârfului 1, deoarece muchia (arcul)  $(1, 2)$  aparține ambelor grafuri. Vârful 1 nu este adiacent vârfului 2 în figura 5.2(a), deoarece muchia  $(2, 1)$  nu aparține grafului.

**Gradul** unui vârf al unui graf neorientat este numărul muchiilor incidente acestuia. De exemplu, vârful 2, din figura 5.2(b), are gradul 2. Un vârf al căruia grad este 0, cum este, de exemplu, vârful 4, din figura 5.2(b), se numește **vârf izolat**. Într-un graf orientat, **gradul exterior** al unui vârf este numărul arcelor ce pleacă din el, iar **gradul interior** al unui vârf este numărul arcelor ce intră în el. **Gradul** unui vârf al unui graf orientat este gradul său interior, plus gradul său exterior. Vârful 2 din figura 5.2(a) are gradul interior 2, gradul exterior 3 și gradul 5.

Un **drum** de **lungime**  $k$  de la un vârf  $u$  la un vârf  $u'$  într-un graf  $G = (V, E)$  este un sir de vârfuri  $\langle v_0, v_1, v_2, \dots, v_k \rangle$  astfel încât  $u = v_0$ ,  $u' = v_k$ , și  $(v_{i-1}, v_i) \in E$  pentru  $i = 1, 2, \dots, k$ . Lungimea unui drum este numărul de muchii (arce) din acel drum. Drumul **conține** vâfurile  $v_0, v_1, v_2, \dots, v_k$  și muchiile  $(v_0, v_1), (v_1, v_2), \dots, (v_{k-1}, v_k)$ . Dacă există un drum  $p$  de la  $u$  la  $u'$ , spunem că  $u'$  este **accesibil** din  $u$  prin  $p$ , relație reprezentată uneori prin  $u \xrightarrow{p} u'$  dacă  $G$  este orientat. Un drum este **elementar** dacă toate vâfurile din el sunt distincte. În figura 5.2(a), drumul  $\langle 1, 2, 5, 4 \rangle$  este un drum elementar de lungime 3. Drumul  $\langle 2, 5, 4, 5 \rangle$  nu este elementar.

Un **subdrum** al unui drum  $p = \langle v_0, v_1, \dots, v_k \rangle$  este un subșir continuu al vâfurilor sale. Cu

alte cuvinte, pentru orice  $0 \leq i \leq j \leq k$ , subșirul de vârfuri  $\langle v_i, v_{i+1}, \dots, v_j \rangle$  este un subdrum al lui  $p$ .

Într-un graf orientat, un drum  $\langle v_0, v_1, \dots, v_k \rangle$  formează un **ciclu** dacă  $v_0 = v_k$  și drumul conține cel puțin o muchie. Ciclul este **elementar** dacă, pe lângă cele de mai sus,  $v_1, v_2, \dots, v_k$  sunt distințe. O autobucă este un ciclu de lungime 1. Două drumuri  $\langle v_0, v_1, v_2, \dots, v_{k-1}, v_0 \rangle$  și  $\langle v'_0, v'_1, v'_2, \dots, v'_{k-1}, v'_0 \rangle$  formează același ciclu dacă există un număr întreg  $j$  astfel încât  $v'_i = v_{(i+j) \text{ mod } k}$  pentru  $i = 0, 1, \dots, k-1$ . În figura 5.2(a), drumul  $\langle 1, 2, 4, 1 \rangle$  formează același ciclu ca drumurile  $\langle 2, 4, 1, 2 \rangle$  și  $\langle 4, 1, 2, 4 \rangle$ . Acest ciclu este elementar, dar ciclul  $\langle 1, 2, 4, 5, 4, 1 \rangle$  nu este elementar. Ciclul  $\langle 2, 2 \rangle$  format de muchia  $(2, 2)$  este o autobucă. Un graf orientat fără autobucle este **elementar**. Într-un graf neorientat, un drum  $\langle v_0, v_1, \dots, v_k \rangle$  formează un **ciclu elementar** dacă  $k > 3$ ,  $v_0 = v_k$  și vâfurile  $v_1, v_2, \dots, v_k$  sunt distințe. De exemplu, în figura 5.2(b), drumul  $\langle 1, 2, 5, 1 \rangle$  este un ciclu. Un graf fără cicluri este **aciclic**.

Un graf neorientat este **conex** dacă fiecare pereche de vârfuri este conectată printr-un drum. **Componentele conexe** ale unui graf sunt clasele de echivalență ale vâfurilor sub relația "este accesibil din". Graful din figura 5.2(b) are trei componente conexe:  $\{1, 2, 5\}$ ,  $\{3, 6\}$ , și  $\{4\}$ . Fiecare vârf din  $\{1, 2, 5\}$  este accesibil din fiecare vârf din  $\{1, 2, 5\}$ . Un graf neorientat este conex dacă are exact o componentă conexă, sau, altfel spus, dacă fiecare vârf este accesibil din fiecare vârf diferit de el.

Un graf orientat este **tare conex** dacă fiecare două vârfuri sunt accesibile din celălalt. **Componentele tare conexe** ale unui graf sunt clasele de echivalență ale vâfurilor sub relația "sunt reciproc accesibile". Un graf orientat este tare conex dacă are doar o singură componentă tare conexă. Graful din figura 5.2(a) are trei componente tare conexe:  $\{1, 2, 4, 5\}$ ,  $\{3\}$ , și  $\{6\}$ . Toate perechile de vârfuri din  $\{1, 2, 4, 5\}$  sunt reciproc accesibile. Vâfurile  $\{3, 6\}$  nu formează o componentă tare conexă, deoarece vârful 6 nu este accesibil din vârful 3.

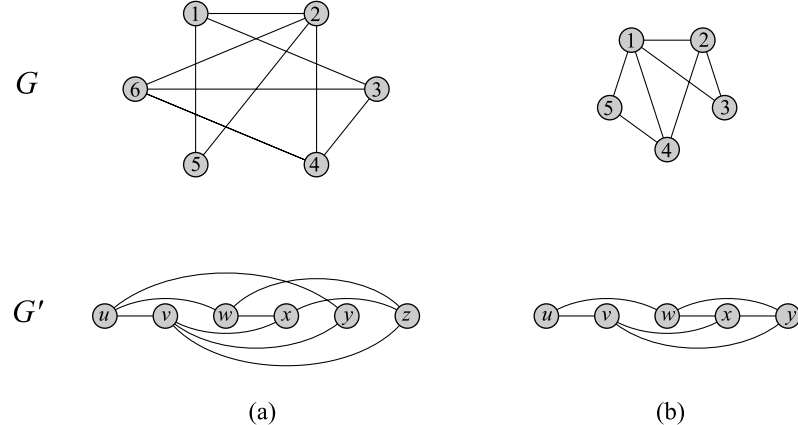
Două grafuri  $G = (V, E)$  și  $G' = (V', E')$  sunt **izomorfe** dacă există o bijectie  $f : V \rightarrow V'$  astfel încât  $(u, v) \in E$  dacă, și numai dacă,  $(f(u), f(v)) \in E'$ . Cu alte cuvinte, putem reeticheta vâfurile lui  $G$  pentru ca acestea să fie vârfuri din  $G'$ , păstrând muchiile corespunzătoare din  $G$  și  $G'$ . Figura 5.3(a) prezintă o pereche de grafuri izomorfe  $G$  și  $G'$  cu multimile de vârfuri  $V = \{1, 2, 3, 4, 5, 6\}$  și  $V' = \{u, v, w, x, y, z\}$ . Funcția din  $V$  în  $V'$ , dată de  $f(1) = u$ ,  $f(2) = v$ ,  $f(3) = w$ ,  $f(4) = x$ ,  $f(5) = y$ ,  $f(6) = z$ , este funcția bijectivă cerută. Grafurile din figura 5.3(b) nu sunt izomorfe. Deși ambele grafuri au 5 vârfuri și 7 muchii, graful din partea superioară are un vârf cu gradul egal 4, în timp ce graful din partea inferioară a figurii nu posedă un astfel de vârf.

Spunem că un graf  $G' = (V', E')$  este un **subgraf** al grafului  $G = (V, E)$  dacă  $V' \subseteq V$  și  $E' \subseteq E$ . Dată fiind o mulțime  $V' \subseteq V$ , subgraful lui  $G$  **indus** de  $V'$  este graful  $G' = (V', E')$ , unde

$$E' = \{(u, v) \in E : u, v \in V'\}.$$

Subgraful inducă de mulțimea de vârfuri  $\{1, 2, 3, 6\}$ , din figura 5.2(a), apare în figura 5.2(c) și are mulțimea de muchii  $\{(1, 2), (2, 2), (6, 3)\}$ .

Dat fiind un graf neorientat  $G = (V, E)$ , **versiunea orientată** a lui  $G$  este graful orientat  $G' = (V, E')$ , unde  $(u, v) \in E'$  dacă, și numai dacă,  $(u, v) \in E$ . Cu alte cuvinte, fiecare muchie neorientată  $(u, v)$  din  $G$  este înlocuită în versiunea orientată prin două arce orientate:  $(u, v)$  și  $(v, u)$ . Dat fiind un graf orientat  $G = (V, E)$ , **versiunea neorientată** a lui  $G$  este graful neorientat  $G' = (V, E')$ , unde  $(u, v) \in E'$  dacă, și numai dacă,  $u \neq v$  și  $(u, v) \in E$ . Deci versiunea neorientată conține arcele lui  $G$  "cu direcțiile eliminate" și cu autobuclele eliminate. (Deoarece



**Figura 5.3** (a) O pereche de grafuri izomorfe. Corespondența dintre vârfurile grafului de sus și cele ale grafului de jos este realizată prin funcția dată de  $f(1) = u$ ,  $f(2) = v$ ,  $f(3) = w$ ,  $f(4) = x$ ,  $f(5) = y$ ,  $f(6) = z$ . (b) Două grafuri care nu sunt izomorfe, deoarece graful de sus are un vârf de grad 4, iar graful de jos nu.

$(u, v)$  și  $(v, u)$  reprezintă aceeași muchie într-un graf neorientat, versiunea neorientată a unui graf orientat o conține o singură dată, chiar dacă graful orientat conține atât muchia  $(u, v)$  cât și muchia  $(v, u)$ .) Într-un graf orientat  $G = (V, E)$ , un *vecin* al unui vârf  $u$  este orice vârf care este adiacent lui  $u$  în versiunea neorientată a lui  $G$ . Deci  $v$  este un vecin al lui  $u$  dacă  $(u, v) \in E$  sau  $(v, u) \in E$ . Într-un graf neorientat,  $u$  și  $v$  sunt vecine dacă sunt adiacente.

Mai multe tipuri de grafuri poartă nume speciale. Un *graf complet* este un graf neorientat în care oricare două vârfuri sunt adiacente. Un *graf bipartit* este un graf neorientat  $G = (V, E)$  în care mulțimea  $V$  poate fi partionată în două mulțimi  $V_1$  și  $V_2$  astfel încât  $(u, v) \in E$  implică fie că  $u \in V_1$  și  $v \in V_2$ , fie că  $u \in V_2$  și  $v \in V_1$ . Cu alte cuvinte, toate muchiile merg de la mulțimea  $V_1$  la mulțimea  $V_2$  sau invers. Un graf neorientat, aciclic este o *pădure*, iar un graf neorientat, aciclic și conex este un *arbore (liber)* (vezi secțiunea 5.5).

Există două variante de grafuri care pot fi întâlnite ocazional. Un *multigraf* seamănă cu un graf neorientat, însă poate avea atât muchii multiple între vârfuri cât și autobucle. Un *hipergraf* seamănă, de asemenea, cu un graf neorientat, dar fiecare *hipermuchie*, în loc de a conecta două vârfuri, conectează o submulțime arbitrară de vârfuri. Mulți algoritmi scriși pentru grafuri orientate și neorientate obișnuite pot fi adaptăți pentru a rula pe aceste structuri asemănătoare grafurilor.

## Exerciții

**5.4-1** Invitații unei petreceri studențești își strâng mâinile când se salută unul pe celălalt, și fiecare profesor își amintește de câte ori a salutat pe cineva. La sfârșitul petrecerii, decanul facultății însumează numărul străngerilor de mână făcute de fiecare profesor. Arătați că rezultatul este par demonstrând *lema străngerilor de mână*: dacă  $G = (V, E)$  este un graf neorientat,

atunci

$$\sum_{v \in V} \text{grad}(v) = 2|E|.$$

**5.4-2** Arătați că, dacă un graf orientat sau neorientat conține un drum între două vârfuri  $u$  și  $v$ , atunci conține un drum elementar între  $u$  și  $v$ . Arătați că dacă un graf orientat conține un ciclu, atunci conține și un ciclu elementar.

**5.4-3** Arătați că orice graf neorientat, conex  $G = (V, E)$  satisfac relația  $|E| \geq |V| - 1$ .

**5.4-4** Verificați faptul că, într-un graf neorientat, relația “este accesibil din” este o relație de echivalență pe vârfurile grafului. Care din cele trei proprietăți ale unei relații de echivalență sunt în general adevărate pentru relația “este accesibil din” pe vârfurile unui graf orientat?

**5.4-5** Care este versiunea neorientată a grafului orientat din figura 5.2(a)? Care este versiunea orientată a grafului neorientat din figura 5.2(b)?

**5.4-6 \*** Arătați că un hipergraf poate fi reprezentat printr-un graf bipartit dacă stabilim ca incidența în hipergraf să corespundă adiacenței în graful bipartit. (*Indica ie:* Presupuneti că o mulțime de vârfuri din graful bipartit corespunde vârfurilor din hipergraf, iar cealaltă mulțime de vârfuri a grafului bipartit corespunde hipermuchiilor.)

## 5.5. Arbori

La fel ca în cazul grafurilor, există multe noțiuni de arbori înrudite, dar ușor diferite. Această secțiune prezintă definiții și proprietăți matematice pentru mai multe tipuri de arbori. Secțiunile 11.4 și 23.1 descriu modurile de reprezentare a arborilor în memoria calculatorului.

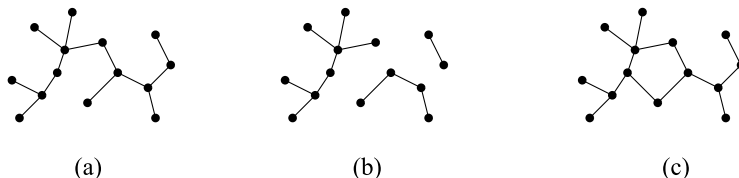
### 5.5.1. Arbori liberi

După cum a fost definit în secțiunea 5.4, un *arbore liber* este un graf neorientat, aciclic și conex. Deseori omitem adjecțivul “liber” atunci când spunem că un graf este un arbore. Dacă un graf neorientat este aciclic, dar s-ar putea să nu fie conex, el formează o *pădure*. Multii algoritmi pentru arbori funcționează, de asemenea, și pe păduri. Figura 5.4(a) prezintă un arbore liber, iar figura 5.4(b) prezintă o pădure. Pădurea din figura 5.4(b) nu este un arbore pentru că nu este conexă. Graful din figura 5.4(c) nu este nici arbore și nici pădure, deoarece conține un ciclu.

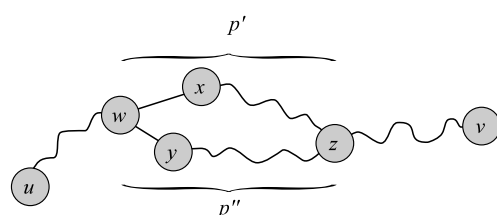
Următoarea teoremă prezintă într-o formă concentrată multe proprietăți importante ale arborilor liberi.

**Teorema 5.2 (Proprietățile arborilor liberi)** Fie  $G = (V, E)$  un graf neorientat. Următoarele afirmații sunt adevărate:

1.  $G$  este un arbore liber.
2. Oricare două vârfuri din  $G$  sunt conectate printr-un drum elementar unic.



**Figura 5.4** (a) Un arbore liber. (b) O pădure. (c) Un graf ce conține un ciclu, motiv pentru care nu este nici arbore, nici pădure.



**Figura 5.5** Un pas în demonstrația teoremei 5.2. Dacă (1)  $G$  este un arbore liber, atunci (2) oricare două vârfuri din  $G$  sunt conectate printr-un unic drum elementar. Să presupunem, prin absurd, că vârfurile  $u$  și  $v$  sunt conectate prin două drumuri simple distințe  $p_1$  și  $p_2$ . Aceste drumuri se despart pentru prima dată în vârful  $w$ , și se reîntâlnesc pentru prima oară în vârful  $z$ . Drumul  $p'$  împreună cu inversul drumului  $p''$  formează un ciclu, de unde rezultă o contradicție.

3.  $G$  este conex, dar, dacă eliminăm o muchie oarecare din  $E$ , graful obținut nu mai este conex.
  4.  $G$  este conex, și  $|E| = |V| - 1$ .
  5.  $G$  este aciclic, și  $|E| = |V| - 1$ .
  6.  $G$  este aciclic, dar, dacă adăugăm o muchie oarecare în  $E$ , graful obținut conține un ciclu.

**Demonstrație.** (1)  $\Rightarrow$  (2): Deoarece un arbore este conex, oricare două vârfuri din  $G$  sunt conectate prin cel puțin un drum elementar. Fie  $u$  și  $v$  două vârfuri care sunt conectate prin două drumuri distințe  $p_1$  și  $p_2$ , după cum este prezentat în figura 5.5. Fie  $w$  vârful unde drumurile se despart pentru prima dată. Cu alte cuvinte,  $w$  este primul vârf, atât din  $p_1$  cât și din  $p_2$ , al căruia succesor în  $p_1$  este  $x$  și al căruia succesor din  $p_2$  este  $y$ , cu  $x \neq y$ . Fie  $z$  primul vârf unde drumurile se reîntâlnesc, adică  $z$  este primul vârf de după  $w$  din  $p_1$  care se află de asemenea și în  $p_2$ . Fie  $p'$  subdrumul din  $p_1$  de la  $w$  la  $z$  și care trece prin  $x$ , și fie  $p''$  drumul din  $p_2$  de la  $w$  la  $z$  și care trece prin  $y$ . Drumurile  $p'$  și  $p''$  nu au nici un vârf comun cu excepția vârfurilor lor terminale. Astfel, drumul obținut, alăturând lui  $p'$  inversul lui  $p''$ , este un ciclu. Aceasta este o contradicție și deci, dacă  $G$  este un arbore, nu poate exista decât cel mult un drum elementar între două vârfuri.

(2)  $\Rightarrow$  (3): Dacă oricare două vârfuri din  $G$  sunt conectate printr-un drum elementar, atunci  $G$  este conex. Fie  $(u, v)$  o muchie oarecare din  $E$ . Această muchie este un drum de la  $u$  la  $v$ , și, deci, trebuie să fie drumul unic dintre  $u$  și  $v$ . Dacă eliminăm muchia  $(u, v)$  din  $G$ , nu mai există nici un drum între  $u$  și  $v$  și, astfel, eliminarea ei face ca  $G$  să nu mai fie conex.

(3)  $\Rightarrow$  (4): Din ipoteză, graful  $G$  este conex, iar din exercițiul 5.4-3 avem  $|E| \geq |V| - 1$ . Vom demonstra relația  $|E| \leq |V| - 1$  prin inducție. Un graf conex cu  $n = 1$  sau  $n = 2$  vârfuri are  $n - 1$  muchii. Să presupunem că  $G$  are  $n \geq 3$  vârfuri și că toate grafurile ce satisfac relația (3) și au mai puțin de  $n$  vârfuri, satisfac, de asemenea, și relația  $|E| \leq |V| - 1$ . Eliminând o muchie arbitrară din  $G$ , separăm graful în  $k \geq 2$  componente conexe. (De fapt  $k$  este exact 2). Fiecare componentă satisfac (3), deoarece, altfel,  $G$  nu ar satisface relația (3). Astfel, prin inducție, dacă adunăm numărul muchiilor din fiecare componentă, obținem cel mult  $|V| - k \leq |V| - 2$ . Adunând muchia eliminată, obținem  $|E| \leq |V| - 1$ .

(4)  $\Rightarrow$  (5): Să presupunem că  $G$  este conex și că  $|E| = |V| - 1$ . Trebuie să arătăm că  $G$  este aciclic. Să presupunem că  $G$  posedă un ciclu ce conține  $k$  vârfuri  $v_1, v_2, \dots, v_k$ . Fie  $G_k = (V_k, E_k)$  subgraful lui  $G$  format din ciclul respectiv. Observați că  $|V_k| = |E_k| = k$ . Dacă  $k < |V|$ , atunci, trebuie să existe un vârf  $v_{k+1} \in V - V_k$  care să fie adiacent unui vârf oarecare  $v_i \in V_k$ , din moment ce  $G$  este conex. Definim  $G_{k+1} = (V_{k+1}, E_{k+1})$  ca fiind subgraful lui  $G$  având  $V_{k+1} = V_k \cup \{v_{k+1}\}$  și  $E_{k+1} = E_k \cup \{(v_i, v_{k+1})\}$ . Observați că  $|V_{k+1}| = |E_{k+1}| = k+1$ . Dacă  $k+1 < n$  putem continua, definind  $G_{k+2}$  în aceeași manieră, și aşa mai departe, până când obținem  $G_n = (V_n, E_n)$ , unde  $n = |V|$ ,  $V_n = V$ , și  $|E_n| = |V_n| = |V|$ . Deoarece  $G_n$  este un subgraf al lui  $G$ , avem  $E_n \subseteq E$  și de aici  $|E| \geq |V|$ , ceea ce contrazice presupunerea că  $|E| = |V| - 1$ . Astfel,  $G$  este aciclic.

(5)  $\Rightarrow$  (6): Să presupunem că  $G$  este aciclic și că  $|E| = |V| - 1$ . Fie  $k$  numărul componentelor conexe ale lui  $G$ . Fiecare componentă conexă este, prin definiție, un arbore liber și, deoarece (1) implică (5), suma tuturor muchiilor din toate componente conexe ale lui  $G$  este  $|V| - k$ . Prin urmare, trebuie să avem  $k = 1$  și  $G$  este de fapt un arbore. Deoarece (1) implică (2), oricare două vârfuri din  $G$  sunt conectate printr-un unic drum elementar. Astfel, adăugarea oricărei muchii la  $G$  formează un ciclu.

(6)  $\Rightarrow$  (1): Să presupunem că  $G$  este aciclic, dar că, dacă adăugăm o muchie arbitrară la  $E$ , creăm un ciclu. Trebuie să arătăm că  $G$  este conex. Fie  $u$  și  $v$  două vârfuri arbitrale din  $G$ . Dacă  $u$  și  $v$  nu sunt deja adiacente, adăugând muchia  $(u, v)$ , creăm un ciclu în care toate muchiile, cu excepția muchiei  $(u, v)$ , aparțin lui  $G$ . Astfel, există un drum de la  $u$  la  $v$  și, deoarece  $u$  și  $v$  au fost alese arbitrar,  $G$  este conex. ■

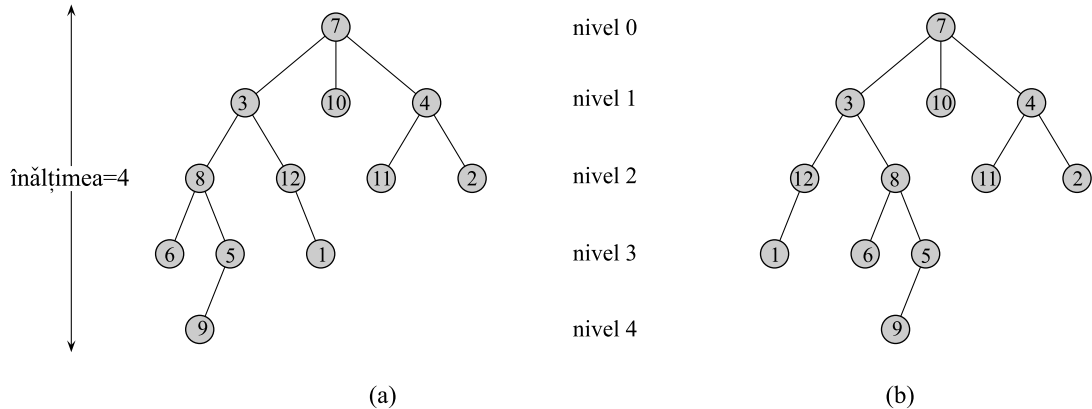
### 5.5.2. Arbori cu rădăcină și arbori ordonați

Un **arbore cu rădăcină** este un arbore liber în care unul dintre vârfuri se deosebește de celelalte. Vârful evidențiat se numește **rădăcina** arborelui. De multe ori ne referim la un vârf al unui arbore cu rădăcină ca la un **nod**<sup>2</sup> al arborelui. Figura 5.6(a) prezintă un arbore cu radăcină pe o mulțime de 12 noduri a cărui rădăcină este 7.

Să luăm un nod  $x$  într-un arbore  $T$  care are rădăcina  $r$ . Orice nod  $y$  pe drumul unic din  $r$  în  $x$  este numit un **strămoș** al lui  $x$ . Dacă  $y$  este un strămoș al lui  $x$ , atunci  $x$  este un **descendent** al lui  $y$ . (Fiecare nod este atât un strămoș cât și un descendant al lui însuși.) Dacă  $y$  este un strămoș al lui  $x$  și  $x \neq y$ , atunci  $y$  este un **strămoș propriu** al lui  $x$ , iar  $x$  este un **descendent propriu** al lui  $y$ . **Subarborele cu rădăcina**  $x$  este arborele induș de către descendenții lui  $x$  și având rădăcina  $x$ . De exemplu, subarborele având ca rădăcină nodul 8, din figura 5.6, conține nodurile 8, 6, 5, și 9.

Dacă ultima muchie de pe drumul de la rădăcina  $r$  a unui arbore  $T$  până la un nod  $x$  este  $(y, x)$ , atunci  $y$  este **părintele** lui  $x$ , iar  $x$  este un **copil** al lui  $y$ . Rădăcina este singurul nod din

<sup>2</sup>Termenul de "nod" este adesea folosit în literatura de teoria grafurilor ca un sinonim pentru "vârf". Vom rezerva folosirea termenului de "nod" pentru a desemna un vârf al unui arbore cu rădăcină.



**Figura 5.6** Arbori cu rădăcină și arbori ordonați. **(a)** Un arbore cu rădăcină având înălțimea egală cu 4. Arboarele este desenat într-un mod standard: rădăcina (nodul 7) se află în partea de sus, copiii ei (nodurile cu adâncimea 1) sub ea, copiii lor (nodurile cu adâncimea 2) sub aceștia și aşa mai departe. Dacă arboarele este ordonat, ordinea relativă de la stânga la dreapta a copiilor unui nod este importantă, altfel ea nu contează. **(b)** Un alt arbore cu rădăcină. Ca arbore cu rădăcină, este identic cu cel din **(a)**, dar privit ca un arbore ordonat el este diferit, din moment ce copiii nodului 3 apar într-o ordine diferită.

$T$  fără nici un părinte. Dacă două noduri au același părinte, atunci ele sunt *frați*. Un nod fără nici un copil se numește *nod extern* sau *frunză*. Un nod care nu este frunză se numește *nod intern*.

Numărul copiilor unui nod  $x$  dintr-un arbore cu rădăcina  $T$  se numește **gradul** lui  $x$ .<sup>3</sup> Lungimea drumului de la rădăcina  $r$  la un nod  $x$  constituie **adâncimea** lui  $x$  în  $T$ . Cea mai mare adâncime a unui nod constituie **înălțimea** lui  $T$ .

Un **arbore ordonat** este un arbore cu rădăcină în care copiii fiecărui nod sunt ordonați. Cu alte cuvinte, dacă un nod are  $k$  copii, atunci există un prim copil, un al doilea copil,... și un al  $k$ -lea copil. Cei doi arbori din figura 5.6 sunt diferenți atunci când sunt priviți ca fiind arbori ordonați, dar sunt identici atunci când sunt considerați a fi doar arbori cu rădăcină.

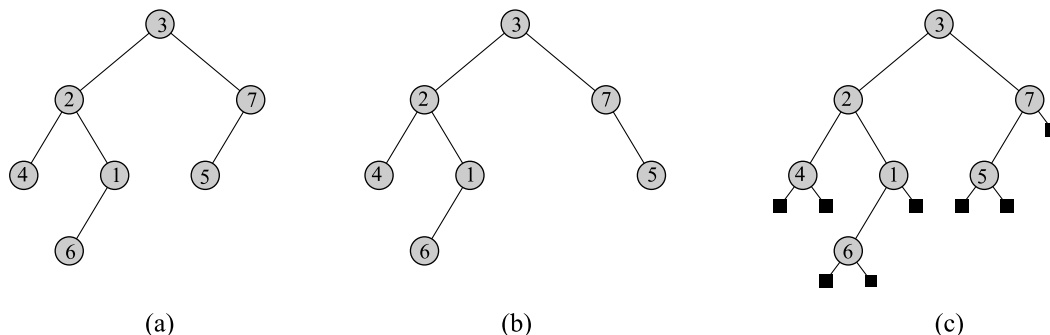
### 5.5.3. Arbori binari și arbori poziționali

Arborii binari pot fi descriși cel mai bine într-o manieră recursivă. Un **arbore binar**  $T$  este o structură definită pe o multime finită de noduri care

- nu conține nici un nod, sau
  - este constituită din trei mulțimi de noduri disjuncte: un nod *rădăcină*, un arbore binar numit *subarborele stâng* al său, și un arbore binar numit *subarborele drept* al lui  $T$ .

Arborele binar care nu conține nici un nod se numește ***arborele vid*** sau ***arborele nul***, notat uneori prin NIL. Dacă subarborele stâng nu este vid, atunci rădăcina acestuia se numește ***copilul***

<sup>3</sup>Observați că gradul unui nod depinde de modul în care este privit  $T$ : ca arbore cu rădăcină sau ca arbore liber. Gradul unui vârf dintr-un arbore liber este, ca în orice graf orientat, numărul vâfurilor adiacente lui. Cu toate acestea, într-un arbore cu rădăcină, gradul este dat de numărul de copii – părintele unui nod nu contează din perspectiva gradului.



**Figura 5.7** Arbori binari. **(a)** Un arbore binar desenat într-un mod standard. Copilul stâng al unui nod este desenat dedesubtul nodului și la stânga. Copilul drept este desenat dedesubt și la dreapta. **(b)** Un arbore binar diferit de cel din **(a)**. În **(a)**, copilul stâng al nodului 7 este 5, iar copilul drept este absent. În **(b)**, copilul stâng al nodului 7 este absent, iar copilul drept este 5. Ca arbori ordonați, acești doi arbori sunt identici, dar, priviți ca arbori binari, ei sunt diferenți. **(c)** Arboarele binar din **(a)** reprezentat prin nodurile interne ale unui arbore binar complet: un arbore ordonat în care fiecare nod intern are gradul 2. Frunzele din arbore sunt reprezentate prin pătrate.

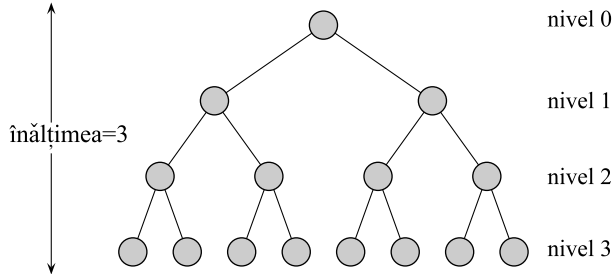
***stâng*** al rădăcinii întregului arbore. În mod asemănător, rădăcina unui subarbore drept nevid este ***copilul drept*** al rădăcinii întregului arbore. Dacă un subarbore este arborele vid NIL, copilul este ***absent*** sau ***lipsește***. Figura 5.7(a) prezintă un arbore binar.

Un arbore binar nu este un simplu arbore ordonat în care fiecare nod are un grad mai mic sau egal cu 2. De exemplu, într-un arbore binar, dacă un nod are doar un copil, poziția copilului – dacă este ***copilul stâng*** sau ***copilul drept*** – contează. Într-un arbore ordonat, un unic copil nu poate fi clasificat ca fiind un copil drept sau un copil stâng. Figura 5.7(b) prezintă un arbore binar care diferă de arborele din figura 5.7(a) din cauza poziției unui singur nod. Cu toate acestea, dacă sunt priviti ca arbori ordonati, cei doi arbori sunt identici.

Informația pozitională dintr-un arbore binar poate fi reprezentată prin nodurile interne ale unui arbore ordonat, după cum se arată în figura 5.7(c). Ideea este să înlătăm fiecare copil absent din arborele binar cu un nod ce nu are nici un copil. Aceste noduri de tip frunză sunt reprezentate, în figură, prin pătrate. Arborele rezultat este un **arbore binar complet**: fiecare nod este fie o frunză, fie are gradul exact 2. Nu există noduri cu gradul egal cu 1. Prin urmare, ordinea copiilor unui nod păstrează informația pozitională.

Informația pozitională care deosebește arborii binari de arborii ordonați poate fi extinsă și la arbori cu mai mult de doi copii corespunzători unui nod. Într-un **arbore pozitional**, copiii unui nod sunt etichetați cu numere întregi pozitive distințe. Al  $i$ -lea copil al unui nod este ***absent*** dacă nici un copil nu este etichetat cu numărul  $i$ . Un **arbore  $k$ -ar** este un arbore pozitional în care, pentru fiecare nod, toți copiii cu etichete mai mari decât  $k$  lipsesc. Astfel, un arbore binar este un arbore  $k$ -ar cu  $k = 2$ .

Un **arbore  $k$ -ar complet** este un arbore  $k$ -ar în care toate frunzele au aceeași adâncime și toate nodurile interne au gradul  $k$ . Figura 5.8 prezintă un arbore binar complet având înălțimea egală cu 3. Câte frunze are un arbore  $k$ -ar complet de înălțime  $h$ ? Rădăcina are  $k$  copii de adâncime 1, fiecare dintre aceștia având  $k$  copii de adâncime 2 etc. Astfel, numărul frunzelor la adâncimea  $h$  este  $k^h$ . Prin urmare, înălțimea unui arbore  $k$ -ar complet care are  $n$  frunze este



**Figura 5.8** Un arbore binar complet de înălțime 3, cu 8 frunze și 7 noduri interne.

$\log_k n$ . Numărul nodurilor interne ale unui arbore  $k$ -ar complet de înălțime  $h$  este

$$1 + k + k^2 + \dots + k^{h-1} = \sum_{i=0}^{h-1} k^i = \frac{k^h - 1}{k - 1}$$

din ecuația (3.3). Astfel, un arbore binar complet are  $2^h - 1$  noduri interne.

### Exerciții

**5.5-1** Desenați toți arborii liberi formați din 3 vârfuri  $A, B, C$ . Desenați toți arborii cu rădăcină având nodurile  $A, B, C$ , cu  $A$  drept rădăcină. Desenați toți arborii ordonați având nodurile  $A, B, C$ , cu  $A$  drept rădăcină. Desenați toți arborii binari având nodurile  $A, B, C$ , cu  $A$  drept rădăcină.

**5.5-2** Arătați că, pentru  $n \geq 7$ , există un arbore liber cu  $n$  noduri astfel încât alegerea fiecărui din cele  $n$  noduri drept rădăcină produce un arbore cu rădăcină diferit.

**5.5-3** Fie  $G = (V, E)$  un graf aciclic orientat în care există un vârf  $v_0 \in V$  astfel încât există un unic drum de la  $v_0$  la fiecare vârf  $v \in V$ . Demonstrați că versiunea neorientată a lui  $G$  formează un arbore.

**5.5-4** Arătați prin inducție că numărul nodurilor cu gradul 2 din orice arbore binar este cu 1 mai mic decât numărul frunzelor.

**5.5-5** Arătați, prin inducție, că un arbore binar cu  $n$  noduri are înălțimea cel puțin egală cu  $\lfloor \lg n \rfloor$ .

**5.5-6 \*** *Lungimea drumului intern* al unui arbore binar complet este suma adâncimilor tuturor nodurilor interne. În mod asemănător, *lungimea drumului exterior* este suma adâncimilor tuturor frunzelor. Se dă un arbore binar complet cu  $n$  noduri interne, având lungimea drumului interior  $i$  și lungimea drumului exterior  $e$ . Demonstrați că  $e = i + 2n$ .

**5.5-7 \*** Asociem un cost  $w(x) = 2^{-d}$  fiecărei frunze  $x$  de adâncimea  $d$  dintr-un arbore binar  $T$ . Demonstrați că  $\sum_x w(x) \leq 1$ , unde  $x$  este orice frunză din  $T$ . (Această relație este cunoscută sub numele de *inegalitatea Kraft*.)

**5.5-8 \*** Arătați că orice arbore binar cu  $L$  frunze conține un subarbore având între  $L/3$  și  $2L/3$  frunze (inclusiv).

## Probleme

### 5-1 Colorarea grafurilor

O  **$k$ -colorare** a unui graf neorientat  $G = (V, E)$  este o funcție  $c : V \rightarrow \{0, 1, \dots, k - 1\}$  astfel încât  $c(u) \neq c(v)$  pentru orice muchie  $(u, v) \in E$ . Cu alte cuvinte, numerele  $0, 1, \dots, k - 1$  reprezintă  $k$  culori, iar nodurile adiacente trebuie să aibă culori diferite.

- a. Demonstrați că orice arbore este 2-colorabil.
- b. Arătați că următoarele afirmații sunt echivalente:
  - (a)  $G$  este bipartit.
  - (b)  $G$  este 2-colorabil.
  - (c)  $G$  nu are cicluri de lungime impară.
- c. Fie  $d$  gradul maxim al oricărui vârf dintr-un graf  $G$ . Arătați că  $G$  poate fi colorat cu  $d + 1$  culori.
- d. Arătați că dacă  $G$  are  $O(|V|)$  muchii, atunci  $G$  poate fi colorat cu  $O(\sqrt{|V|})$  culori.

### 5-2 Grafuri de prieteni

Reformulați fiecare dintre următoarele afirmații sub forma unei teoreme despre grafuri neorientate, iar apoi demonstrați teorema. Puteți presupune că prietenia este simetrică dar nu și reflexivă.

- a. În orice grup de  $n \geq 2$  persoane, există două persoane cu același număr de prieteni în grup.
- b. Orice grup de şase persoane conține fie trei persoane între care există o relație de prietenie reciprocă, fie trei persoane care nu se cunosc nici una pe celalătă.
- c. Orice grup de persoane poate fi împărțit în două subgrupuri astfel încât cel puțin jumătate din prietenii fiecărei persoane să se afle în grupul din care persoana respectivă *nu* face parte.
- d. Dacă toate persoanele dintr-un grup sunt prietene cu cel puțin jumătate din persoanele din grup, atunci grupul poate fi așezat la o masă astfel încât fiecare persoană este așezată între doi prieteni.

### 5-3 Împărțirea arborilor în două

Mulți algoritmi divide și stăpânește care lucrează pe grafuri cer ca graful să fie împărțit în două subgrafuri de dimensiuni aproximativ egale, prin eliminarea unui mic număr de muchii. Această problemă cercetează împărțirea în două a arborilor.

- a. Demonstrați că, prin eliminarea unei singure muchii, putem parta vîrfurile oricărui arbore binar având  $n$  vîrfuri în două mulțimi  $A$  și  $B$  astfel încât  $|A| \leq 3n/4$  și  $|B| \leq 3n/4$ .
- b. Demonstrați că această constantă de  $3/4$  de la punctul (a) este optimală în cel mai favorabil caz, dând un exemplu de arbore simplu a cărui cea mai echilibrată partiție, după eliminarea unei singure muchii, are proprietatea  $|A| = 3n/4$ .

- c. Demonstrați că, prin eliminarea a cel mult  $O(\lg n)$  muchii, putem partitiona vîrfurile oricărui arbore având  $n$  vîrfuri în două mulțimi  $A$  și  $B$  astfel încât  $|A| = \lfloor n/2 \rfloor$  și  $|B| = \lceil n/2 \rceil$ .

---

## Note bibliografice

G. Boole a dus o muncă de pionierat în dezvoltarea logicii simbolice și a introdus multe dintre notațiile de bază pentru mulțimi într-o carte publicată în 1854. Teoria modernă a mulțimilor a fost elaborată de către G. Cantor în timpul perioadei 1874–1895. Cantor s-a concentrat, în special, asupra mulțimilor cu cardinalitate infinită. Termenul de “funcție” este atribuit lui G. W. Leibnitz, care l-a folosit pentru a se referi la mai multe feluri de formule matematice. Definiția sa limitată a fost generalizată de multe ori. Teoria grafurilor datează din anul 1736, când L. Euler a demonstrat că este imposibil ca o persoană să traverseze fiecare din cele 7 poduri din orașul Königsberg exact o singură dată și să se întoarcă în locul de unde a plecat.

Un compendiu folositor, conținând mai multe definiții și rezultate din teoria grafurilor, se află în cartea scrisă de Harary [94].

---

# 6 Numărare și probabilitate

În acest capitol trecem în revistă combinatorica elementară și teoria elementară a probabilităților. Dacă aveți o bună fundamentare în aceste domenii, puteți trece mai ușor peste începutul capitolului și să vă concentrați asupra secțiunilor următoare. Multe dintre capitole nu necesită probabilități, dar pentru anumite capitole ele sunt esențiale.

În secțiunea 6.1 trecem în revistă principalele rezultate ale teoriei numărării (combinatorica, analiza combinatorie), inclusiv formule standard pentru numărarea permutărilor și combinațiilor. În secțiunea 6.2 sunt prezentate axioamele probabilității și rezultatele de bază legate de distribuțiile de probabilitate. Variabilele aleatoare sunt introduse în secțiunea 6.3, unde se dău de asemenea proprietățile mediei și ale dispersiei. Secțiunea 6.4 investighează distribuția geometrică și cea binomială care apar în studiul probelor bernoulliene. Studiul distribuției binomiale este continuat în secțiunea 6.5, care este o discuție avansată despre “cozile” distribuției. În fine, în secțiunea 6.6 ilustrăm analiza probabilistică prin intermediul a trei exemple: paradoxul zilei de naștere, aruncarea aleatoare a bilelor în cutii și câștigarea liniilor (secvențelor).

---

## 6.1. Numărare

Teoria numărării încearcă să răspundă la întrebarea “cât”, fără a număra efectiv. De exemplu, am putea să ne întrebăm “câte numere distințe de  $n$  biți există”, sau “în câte moduri pot fi ordonate  $n$  elemente distințe”. În această secțiune, vom trage în revistă elementele teoriei numărării. Deoarece anumite părți ale materialului necesită înțelegerea noțiunilor și rezultatelor de bază referitoare la mulțimi, cititorul este sfătuit să înceapă prin a revedea materialul din secțiunea 5.1.

### Regulile sumei și produsului

O mulțime ale cărei elemente dorim să le numărăm poate fi exprimată uneori ca o reuniune de mulțimi disjuncte sau ca un produs cartezian de mulțimi.

**Regula sumei** ne spune că numărul de moduri de alegere a unui element din cel puțin una din două mulțimi *disjuncte* este suma cardinalilor mulțimilor. Altfel spus, dacă  $A$  și  $B$  sunt două mulțimi finite fără nici un element comun, atunci  $|A \cup B| = |A| + |B|$ , ceea ce rezultă din ecuația (5.3). De exemplu, fiecare poziție de pe un număr de mașină este o literă sau o cifră. Numărul de posibilități, pentru fiecare poziție, este  $26 + 10 = 36$  deoarece sunt 26 de alegeri pentru o literă și 10 alegeri pentru o cifră.

**Regula produsului** spune că numărul de moduri în care putem alege o pereche ordonată este numărul de alegeri pentru primul element înmulțit cu numărul de alegeri pentru al doilea element. Adică, dacă  $A$  și  $B$  sunt două mulțimi finite, atunci  $|A \times B| = |A| \cdot |B|$ , care este, pur și simplu, ecuația (5.4). De exemplu, dacă un producător de înghețată oferă 28 de arome de înghețată și 4 tipuri de glazuri, numărul total de sortimente cu un glob de înghețată și o glazură este  $28 \cdot 4 = 112$ .

## Siruri

Un *sir* peste o mulțime finită  $S$  este o secvență de elemente din  $S$ . De exemplu, există 8 siruri binare de lungime 3:

$$000, 001, 010, 011, 100, 101, 110, 111.$$

Vom numi, uneori,  **$k$ -sir** un sir de lungime  $k$ . Un **subșir**  $s'$  al unui sir  $s$  este o secvență ordonată de elemente consecutive ale lui  $s$ . Un  **$k$ -subșir** al unui sir este un subșir de lungime  $k$ . De exemplu, 010 este un 3 subșir al lui 01101001 (3-subșirul care începe din poziția 4), dar 111 nu este un subșir al lui 01101001.

Un  $k$ -șir peste o mulțime  $S$  poate fi privit ca un element al produsului cartezian  $S^k$  de  $k$ -tuple; astfel există  $|S|^k$  siruri de lungime  $k$ . De exemplu, numărul de  $k$ -siruri binare este  $2^k$ . Intuitiv, pentru a construi  $k$ -siruri peste o mulțime de  $n$  elemente ( $n$ -mulțime), avem  $n$  moduri de alegere pentru primul element; pentru fiecare dintre aceste alegeri, avem  $n$  moduri de a alege al doilea element; și aşa mai departe de  $k$  ori. Această construcție ne conduce la concluzia că numărul de  $k$ -siruri este produsul a  $k$  factori identici  $n \cdot n \cdots n = n^k$ .

## Permutări

O **permutarea** unei mulțimi finite  $S$  este o secvență ordonată a tuturor elementelor lui  $S$ , cu fiecare element apărând exact o singură dată. De exemplu, dacă  $S = \{a, b, c\}$ , există 6 permutări ale lui  $S$ :

$$abc, acb, bac, bca, cab, cba.$$

Există  $n!$  permutări ale unei mulțimi având  $n$  elemente, deoarece primul element al secvenței poate fi ales în  $n$  moduri, al doilea în  $n - 1$  moduri, al treilea în  $n - 2$  moduri și.a.m.d.

O  **$k$ -permutare**<sup>1</sup> a lui  $S$  este o secvență de  $k$  elemente ale lui  $S$  în care nici un element nu apare mai mult de o singură dată. (Astfel o permutare ordinată este o  $n$ -permutare a unei  $n$ -mulțimi.) Cele douăsprezece 2-permutări ale mulțimii  $\{a, b, c, d\}$  sunt

$$ab, ac, ad, ba, bc, bd, ca, cb, cd, da, db, dc.$$

Numărul de  $k$ -permutări ale unei  $n$ -mulțimi este

$$n(n-1)(n-2) \cdots (n-k+1) = \frac{n!}{(n-k)!}, \quad (6.1)$$

deoarece există  $n$  moduri de a alege primul element,  $n - 1$  moduri de a alege al doilea element și tot aşa, până se selectează  $k$  elemente, ultimul fiind o selecție de  $n - k + 1$  elemente.

## Combinări

O  **$k$ -combinare** a unei  $n$ -mulțimi  $S$  este, pur și simplu, o  $k$ -submulțime a lui  $S$ . Există șase 2-combinări ale unei 4-mulțimi  $\{a, b, c, d\}$ :

$$ab, ac, ad, bc, bd, cd.$$

---

<sup>1</sup>sau **aranjament** – n.t.

(Aici am utilizat prescurtarea  $ab$  pentru a nota mulțimea  $\{a, b\}$  și.a.m.d.) Putem construi o  $k$ -combinare a unei  $n$ -mulțimi alegând  $k$  elemente diferite (distințe) din  $n$ -mulțime.

Numărul de  $k$ -combinări ale unei  $n$ -mulțimi poate fi exprimat cu ajutorul numărului de  $k$ -permutări ale unei  $n$ -mulțimi. Pentru orice  $k$ -combinare, există exact  $k!$  permutări ale elementelor sale, fiecare fiind o  $k$ -permutare distinctă a  $n$ -mulțimii. Astfel, numărul de  $k$ -combinări ale unei  $n$ -mulțimi este numărul de  $k$ -permutări împărțit cu  $k!$ ; din ecuația (6.1), această valoare este

$$\frac{n!}{k!(n-k)!}. \quad (6.2)$$

Pentru  $k = 0$ , această formulă ne spune că numărul de moduri în care putem alege 0 elemente dintr-o  $n$ -multime este 1 (nu 0), deoarece  $0! = 1$ .

### Coeficienți binomiali

Vom utiliza notația  $\binom{n}{k}$  (se citește “combinări de  $n$  luate câte  $k$ ”) pentru a desemna numărul de  $k$ -combinări ale unei  $n$ -mulțimi. Din ecuația (6.2) avem

$$\binom{n}{k} = \frac{n!}{k!(n-k)!}. \quad (6.3)$$

Această formulă este simetrică în  $k$  și  $n - k$ :

$$\binom{n}{k} = \binom{n}{n-k}. \quad (6.4)$$

Acstea numere sunt cunoscute și sub numele de **coeficienți binomiali** deoarece apar în **dezvoltarea binomială** (formula binomului lui Newton):

$$(x + y)^n = \sum_{k=0}^n \binom{n}{k} x^k y^{n-k}. \quad (6.5)$$

Un caz special al dezvoltării binomiale este acela în care  $x = y = 1$ :

$$2^n = \sum_{k=0}^n \binom{n}{k}. \quad (6.6)$$

Această formulă corespunde numărării celor  $2^n$   $n$ -siruri binare după numărul de cifre 1 pe care ele îl contin: există  $\binom{n}{k}$  siruri binare ce conțin exact  $k$  de 1 deoarece există  $\binom{n}{k}$  moduri de a alege  $k$  din cele  $n$  poziții în care vom pune cifre 1.

Există multe identități referitoare la coeficienții binomiali. Exercițiile de la sfârșitul acestei secțiuni vă oferă posibilitatea să demonstrați câteva.

### Margini binomiale

Uneori, avem nevoie să delimităm mărimea unui coeficient binomial. Pentru  $1 \leq k \leq n$ , avem marginea inferioară

$$\binom{n}{k} = \frac{n(n-1)\cdots(n-k+1)}{k(k-1)\cdots 1} = \left(\frac{n}{k}\right) \left(\frac{n-1}{k-1}\right) \cdots \left(\frac{n-k+1}{1}\right) \geq \left(\frac{n}{k}\right)^k. \quad (6.7)$$

Utilizând inegalitatea  $k! \geq (k/e)^k$ , dedusă din formula lui Stirling (2.12), obținem marginea superioară

$$\binom{n}{k} = \frac{n(n-1)\cdots(n-k+1)}{k(k-1)\cdots 1} \leq \frac{n^k}{k!} \leq \quad (6.8)$$

$$\leq \left(\frac{en}{k}\right)^k. \quad (6.9)$$

Pentru orice  $0 \leq k \leq n$ , putem utiliza inducția (vezi exercițiul 6.1-12) pentru a demonstra delimitarea

$$\binom{n}{k} \leq \frac{n^n}{k^k(n-k)^{n-k}}, \quad (6.10)$$

unde, pentru comoditate, am presupus că  $0^0 = 1$ . Pentru  $k = \lambda n$ , unde  $0 \leq \lambda \leq 1$ , această margine se poate scrie sub forma

$$\binom{n}{\lambda n} \leq \frac{n^n}{(\lambda n)^{\lambda n} ((1-\lambda)n)^{(1-\lambda)n}} = \left( \left(\frac{1}{\lambda}\right)^\lambda \left(\frac{1}{1-\lambda}\right)^{1-\lambda} \right)^n \quad (6.11)$$

$$= 2^{nH(\lambda)}, \quad (6.12)$$

unde

$$H(\lambda) = -\lambda \lg \lambda - (1-\lambda) \lg(1-\lambda) \quad (6.13)$$

este **funcția entropie (binară)** și unde, pentru comoditate, am presupus că  $0 \lg 0 = 0$ , astfel că  $H(0) = H(1) = 0$ .

## Exerciții

**6.1-1** Câte  $k$ -subșiruri are un  $n$ -șir? (Considerăm  $k$ -subșirurile identice ce apar pe poziții diferite ca fiind diferite.) Câte subșiruri sunt în total un  $n$ -șir?

**6.1-2** O **funcție booleană** având  $n$  intrări și  $m$  ieșiri este o funcție de la  $\{\text{ADEVĂRAT}, \text{FALS}\}^n$  la  $\{\text{ADEVĂRAT}, \text{FALS}\}^m$ . Câte funcții booleene având  $n$  intrări și o ieșire există? Câte funcții booleene având  $n$  intrări și  $m$  ieșiri există?

**6.1-3** În câte moduri se pot așeza  $n$  profesori în jurul unei mese circulare la o conferință? Considerăm că două așezări sunt identice dacă una poate fi rotită pentru a obține pe celalaltă.

**6.1-4** În câte moduri pot fi alese trei numere distincte din mulțimea  $\{1, 2, \dots, 100\}$  astfel ca suma lor să fie pară?

**6.1-5** Demonstrați identitatea:

$$\binom{n}{k} = \frac{n}{k} \binom{n-1}{k-1} \quad (6.14)$$

pentru  $0 < k \leq n$ .

**6.1-6** Demonstrați identitatea:

$$\binom{n}{k} = \frac{n}{n-k} \binom{n-1}{k}$$

pentru  $0 \leq k < n$ .

**6.1-7** Pentru a alege  $k$  obiecte din  $n$ , puteți marca unul dintre obiecte și să vedeți dacă a fost ales obiectul marcat. Utilizați această abordare pentru a demonstra că

$$\binom{n}{k} = \binom{n-1}{k} + \binom{n-1}{k-1}.$$

**6.1-8** Utilizând rezultatul din exercițiul 6.1-7, construiți o tabelă a coeficienților binomiali,  $\binom{n}{k}$  pentru  $n = 0, 1, \dots, 6$  și  $0 \leq k \leq n$ , cu  $\binom{0}{0}$  în vârf,  $\binom{1}{0}$  și  $\binom{1}{1}$  pe linia următoare și aşa mai departe. O astfel de tabelă de coeficienți binomiali se numește **triunghiul lui Pascal**.

**6.1-9** Demonstrați că

$$\sum_{i=1}^n i = \binom{n+1}{2}.$$

**6.1-10** Arătați că, pentru orice  $n \geq 0$  și  $0 \leq k \leq n$ , maximul valorii lui  $\binom{n}{k}$  se realizează când  $k = \lfloor n/2 \rfloor$  sau  $k = \lceil n/2 \rceil$ .

**6.1-11** \* Argumentați că, pentru orice  $n \geq 0$ ,  $j \geq 0$ ,  $k \geq 0$  și  $j+k \leq n$ ,

$$\binom{n}{j+k} \leq \binom{n}{j} \binom{n-j}{k}. \quad (6.15)$$

Dați atât o demonstrație algebrică cât și una bazată pe o metodă de alegere a celor  $j+k$  elemente din  $n$ . Dați un exemplu în care egalitatea să nu aibă loc.

**6.1-12** \* Utilizați inducția după  $k \leq n/2$  pentru a demonstra inegalitatea (6.10) și utilizați ecuația (6.4) pentru a o extinde pentru orice  $k \leq n$ .

**6.1-13** \* Utilizați aproximarea lui Stirling pentru a demonstra că

$$\binom{2n}{n} = \frac{2^{2n}}{\sqrt{\pi n}} (1 + O(1/n)). \quad (6.16)$$

**6.1-14** \* Derivând funcția entropie  $H(\lambda)$ , arătați că ea își atinge valoarea maximă în  $\lambda = 1/2$ . Cât este  $H(1/2)$ ?

---

## 6.2. Probabilitate

Probabilitatea este un instrument esențial pentru proiectarea și analiza algoritmilor pur probabilisti și a algoritmilor care se bazează pe generarea de numere aleatoare. În această secțiune, se trec în revistă bazele teoriei probabilităților.

Vom defini probabilitatea în termeni de **spațiu de selecție**  $S$ , care este o mulțime ale cărei elemente se numesc **evenimente elementare**. Fiecare eveniment elementar poate fi privit ca un rezultat posibil al unui experiment. Pentru experimentul aruncării a două monede distincte și distinctibile, putem privi spațiul de selecție ca fiind mulțimea tuturor 2-șirurilor peste  $\{S, B\}$ :

$$S = \{\text{SS, SB, BS, BB}\}.$$

Un **eveniment** este o submulțime<sup>2</sup> a spațiului de selecție  $S$ . De exemplu, în experimentul aruncării a două monede, evenimentul de a obține un ban sau o stemă este  $\{\text{SB, BS}\}$ . Evenimentul  $S$  se numește **eveniment sigur**, iar evenimentul  $\emptyset$  se numește **eveniment nul** sau **eveniment imposibil**. Spunem că două evenimente sunt **mutual exclusive** sau **incompatibile** dacă  $A \cap B = \emptyset$ . Vom trata, uneori, un eveniment elementar  $s \in S$  ca fiind evenimentul  $\{s\}$ . Prin definiție, toate evenimentele elementare sunt mutual exclusive.

### Axiomele probabilității

O **distribuție de probabilitate** (probabilitate)  $\Pr\{\cdot\}$  pe spațiul de selecție  $S$  este o aplicație de la mulțimea evenimentelor lui  $S$  la mulțimea numerelor reale care satisfac următoarele **axiome ale probabilității**:

1.  $\Pr\{A\} \geq 0$  pentru orice eveniment  $A$ .
2.  $\Pr\{S\} = 1$ .
3.  $\Pr\{A \cup B\} = \Pr\{A\} + \Pr\{B\}$  pentru oricare două evenimente mutual exclusive  $A$  și  $B$ . Mai general, pentru orice secvență (finită sau infinit numărabilă) de evenimente  $A_1, A_2, \dots$  care sunt două câte două mutual exclusive

$$\Pr\left\{\bigcup_i A_i\right\} = \sum_i \Pr\{A_i\}.$$

Vom numi  $\Pr\{A\}$  **probabilitatea** evenimentului  $A$ . De notat că axioma 2 este o cerință de normalizare: nu este nimic fundamental în alegerea lui 1 ca probabilitate a evenimentului sigur, exceptând faptul că este mai naturală și mai convenabilă.

---

<sup>2</sup>Pentru o distribuție de probabilitate generală, pot exista anumite submulțimi ale lui  $S$  care nu sunt considerate evenimente. Această situație apare de obicei când spațiul de selecție este infinit nenumărabil. Cerința principală este ca mulțimea evenimentelor din spațiul de selecție să fie închisă la operațiile de complementare și la intersecția unui număr finit sau numărabil de evenimente. Cele mai multe dintre distribuțiile pe care le vom întâlni sunt definite peste spații de selecție finite sau numărabile și vom considera toate submulțimile spațiului de selecție ca fiind evenimente. O excepție notabilă va fi distribuția de probabilitate uniformă continuă, pe care o vom prezenta pe scurt.

Anumite rezultate se pot deduce imediat din aceste axiome și din rezultatele de bază ale teoriei mulțimilor (vezi secțiunea 5.1). Evenimentul nul are probabilitatea  $\Pr\{\emptyset\} = 0$ . Dacă  $A \subseteq B$ , atunci  $\Pr\{A\} \leq \Pr\{B\}$ . Utilizând  $\bar{A}$  pentru a nota evenimentul  $S - A$  (**complementul** sau **evenimentul contrar** lui  $A$ ), avem  $\Pr\{\bar{A}\} = 1 - \Pr\{A\}$ . Pentru oricare două evenimente  $A$  și  $B$ ,

$$\Pr\{A \cup B\} = \Pr\{A\} + \Pr\{B\} - \Pr\{A \cap B\} \quad (6.17)$$

$$\leq \Pr\{A\} + \Pr\{B\}. \quad (6.18)$$

În exemplul nostru cu aruncarea monedei presupunem că fiecare eveniment elementar are probabilitatea  $1/4$ . Probabilitatea de a obține cel puțin o stemă este

$$\Pr\{\text{ss, SB, BS}\} = \Pr\{\text{ss}\} + \Pr\{\text{SB}\} + \Pr\{\text{BS}\} = 3/4.$$

Altfel, deoarece probabilitatea de a obține mai puțin de o stemă este  $\Pr\{\text{BB}\} = 1/4$ , probabilitatea de a obține cel puțin o stemă este  $1 - 1/4 = 3/4$ .

## Distribuții discrete de probabilitate

O distribuție de probabilitate este **discretă** dacă este definită peste un spațiu de selecție finit sau numărabil. Fie  $S$  spațiu de selecție. Atunci pentru orice eveniment  $A$ ,

$$\Pr\{A\} = \sum_{s \in A} \Pr\{s\},$$

deoarece evenimentele elementare, mai concret cele din  $A$ , sunt mutual exclusive. Dacă  $S$  este finită și fiecare eveniment elementar  $s \in S$  are probabilitatea

$$\Pr\{s\} = 1/|S|,$$

atunci avem **distribuția de probabilitate uniformă**<sup>3</sup> pe  $S$ . Într-un astfel de caz, experimentul este descris adesea ca “alegerea unui element al lui  $S$  la întâmplare”.

De exemplu, să considerăm procesul de aruncare a unei **monede perfecte** (corecte, ideale), pentru care probabilitatea de a obține stema este aceeași cu probabilitatea de a obține banul, adică  $1/2$ . Dacă aruncăm moneda de  $n$  ori, avem distribuția de probabilitate uniformă definită peste spațiul de selecție  $S = \{\text{s, B}\}^n$ , o mulțime de dimensiune (cardinal)  $2^n$ . Fiecare element din  $S$  poate fi reprezentat ca un sir de lungime  $n$  peste  $\{\text{s, B}\}$  și fiecare apare cu probabilitatea  $1/2^n$ . Evenimentul

$$A = \{\text{stema apare de exact } k \text{ ori și banul apare de } n - k \text{ ori}\}$$

este o submulțime a lui  $S$ , de dimensiune (cardinal)  $|A| = \binom{n}{k}$  deoarece există  $\binom{n}{k}$  siruri de lungime  $n$  peste  $\{\text{s, B}\}$  ce conțin exact  $k$  s-uri. Astfel probabilitatea lui  $A$  este  $\Pr\{A\} = \binom{n}{k}/2^n$ .

---

<sup>3</sup>distribuția uniformă discretă pe  $S$  – n.t.

## Distribuția de probabilitate uniformă continuă

Distribuția de probabilitate uniformă continuă este un exemplu de distribuție de probabilitate în care nu toate submulțimile spațiului de selecție sunt considerate evenimente. Distribuția de probabilitate uniformă continuă este definită pe un interval închis  $[a, b]$  al axei reale, cu  $a < b$ . Intuitiv, dorim ca toate punctele intervalului  $[a, b]$  să fie "echiprobabile". Există, totuși, o infinitate nenumărabilă de puncte, aşa că, dacă atribuim tuturor punctelor aceeași probabilitate finită, pozitivă, nu putem satisface axiomele 2 și 3. Din acest motiv, vom asocia o probabilitate numai *anumitor* submulțimi ale lui  $S$ , astfel ca axiomele să fie satisfăcute pentru astfel de evenimente.

Pentru orice interval închis  $[c, d]$ , unde  $a \leq c \leq d \leq b$ , **distribuția de probabilitate uniformă continuă** definește probabilitatea evenimentului  $[c, d]$  ca fiind

$$\Pr\{[c, d]\} = \frac{d - c}{b - a}.$$

De notat că, pentru orice punct  $x = [x, x]$ , probabilitatea lui  $x$  este 0. Dacă înlăturăm capetele unui interval  $[c, d]$ , obținem un interval deschis  $(c, d)$ . Deoarece  $[c, d] = [c, c] \cup (c, d) \cup [d, d]$ , pe baza axiomei 3 avem  $\Pr\{[c, d]\} = \Pr\{(c, d)\}$ . În general, mulțimea evenimentelor pentru distribuția de probabilitate uniformă continuă este constituită din toate submulțimile lui  $[a, b]$  care pot fi obținute printr-o reuniune finită de intervale deschise sau închise.

## Probabilitate condiționată și independentă

Uneori avem, cu anticipație, unele cunoștințe parțiale despre un experiment. De exemplu, să presupunem că un prieten a aruncat două monede perfecte și că v-a spus că cel puțin una din ele a arătat stema. Care este probabilitatea să obținem două steme? Informația dată elimină posibilitatea de a avea de două ori banul. Cele trei evenimente care au rămas sunt echiprobabile, deci deducem că fiecare din ele apare cu probabilitatea  $1/3$ . Deoarece numai unul dintre acestea înseamnă două steme, răspunsul la întrebarea noastră este  $1/3$ .

Probabilitatea condiționată formalizează noțiunea de a avea cunoștințe parțiale despre rezultatul unui experiment. **Probabilitatea condiționată** a evenimentului  $A$ , știind că un alt eveniment  $B$  a apărut, se definește prin

$$\Pr\{A|B\} = \frac{\Pr\{A \cap B\}}{\Pr\{B\}}, \quad (6.19)$$

ori de câte ori  $\Pr\{B\} \neq 0$ . (Notația  $\Pr\{A|B\}$  se va citi "probabilitatea lui  $A$  condiționată de  $B$ ".) Intuitiv, deoarece se dă că evenimentul  $B$  a apărut, evenimentul ca  $A$  să apară, de asemenea este  $A \cap B$ . Adică,  $A \cap B$  este mulțimea rezultatelor în care apar atât  $A$  cât și  $B$ <sup>4</sup>. Deoarece rezultatul este unul din evenimentele elementare ale lui  $B$ , normalizăm probabilitățile tuturor evenimentelor elementare din  $B$ , împărțindu-le la  $\Pr\{B\}$ , astfel ca suma lor să fie 1. Probabilitatea lui  $A$  condiționată de  $B$  este, de aceea, raportul dintre probabilitatea evenimentului  $A \cap B$  și probabilitatea lui  $B$ . În exemplul de mai sus,  $A$  este evenimentul ca ambele monede să dea stema, iar  $B$  este evenimentul ca să se obțină cel puțin o stemă. Astfel,  $\Pr\{A|B\} = (1/4)/(3/4) = 1/3$ .

Două evenimente sunt *independente* dacă

$$\Pr\{A \cap B\} = \Pr\{A\} \Pr\{B\},$$

---

<sup>4</sup>Elementele lor sau rezultatele lor – n.t.

ceea ce este echivalent, dacă  $\Pr\{B\} \neq 0$ , cu condiția

$$\Pr\{A|B\} = \Pr\{A\}.$$

De exemplu, să presupunem că se aruncă două monede perfecte și că rezultatele sunt independente. Atunci probabilitatea de a obține două steme este  $(1/2)(1/2) = 1/4$ . Presupunem acum că un eveniment este ca prima monedă să dea o stemă și cel de-al doilea este ca monedele să dea rezultate diferite. Fiecare dintre aceste evenimente apare cu probabilitatea  $1/2$ , iar probabilitatea ca să apară ambele evenimente este  $1/4$ ; astfel, conform definiției independenței, evenimentele sunt independente – chiar dacă ne-am putea gândi că ambele depind de prima monedă. În fine, să presupunem că monedele sunt legate, astfel încât pe ambele să cadă fie stema, fie banul și că ambele posibilități sunt egal probabile. Atunci probabilitatea ca fiecare monedă să dea stema este  $1/2$ , dar probabilitatea ca ambele să dea stema este  $1/2 \neq (1/2)(1/2)$ . În consecință, evenimentul ca o monedă să dea stema și evenimentul ca cealaltă să dea stema nu sunt independente.

O colecție de evenimente  $A_1, A_2, \dots, A_n$  se numește **independență pe perechi** (sau spunem că evenimentele sunt **două câte două independente** – n.t.) dacă

$$\Pr\{A_i \cap A_j\} = \Pr\{A_i\} \Pr\{A_j\}$$

pentru orice  $1 \leq i < j \leq n$ . Spunem că evenimentele  $A_1, \dots, A_n$  sunt (*mutual*) **independente** (sau **independente în totalitate**) dacă fiecare  $k$ -submulțime  $A_{i_1}, A_{i_2}, \dots, A_{i_k}$  a colecției, unde  $2 \leq k \leq n$  și  $1 \leq i_1 < i_2 < \dots < i_k \leq n$  satisfacă

$$\Pr\{A_{i_1} \cap A_{i_2} \cap \dots \cap A_{i_k}\} = \Pr\{A_{i_1}\} \Pr\{A_{i_2}\} \dots \Pr\{A_{i_k}\}.$$

De exemplu, să presupunem că aruncăm două monede perfecte. Fie  $A_1$  evenimentul ca prima monedă să dea stema, fie  $A_2$  evenimentul ca a doua monedă să dea stema și  $A_3$  evenimentul ca cele două monede să fie diferite. Avem

$$\begin{aligned} \Pr\{A_1\} &= 1/2, \\ \Pr\{A_2\} &= 1/2, \\ \Pr\{A_3\} &= 1/2, \\ \Pr\{A_1 \cap A_2\} &= 1/4, \\ \Pr\{A_1 \cap A_3\} &= 1/4, \\ \Pr\{A_2 \cap A_3\} &= 1/4, \\ \Pr\{A_1 \cap A_2 \cap A_3\} &= 0. \end{aligned}$$

Deoarece pentru  $1 \leq i < j \leq 3$ , avem  $\Pr\{A_i \cap A_j\} = \Pr\{A_i\} \Pr\{A_j\} = 1/4$ , evenimentele  $A_1$ ,  $A_2$  și  $A_3$  sunt două câte două independente. Ele nu sunt mutual independente, deoarece  $\Pr\{A_1 \cap A_2 \cap A_3\} = 0$  și  $\Pr\{A_1\} \Pr\{A_2\} \Pr\{A_3\} = 1/8 \neq 0$ .

## Teorema lui Bayes

Din definiția probabilității condiționate (6.19) rezultă că, pentru două evenimente  $A$  și  $B$ , fiecare cu probabilitate nenulă, avem

$$\Pr\{A \cap B\} = \Pr\{B\} \Pr\{A|B\} = \Pr\{A\} \Pr\{B|A\} \quad (6.20)$$

Exprimând din ecuațiile de mai sus  $\Pr\{A|B\}$ , obținem

$$\Pr\{A|B\} = \frac{\Pr\{A\} \Pr\{B|A\}}{\Pr\{B\}}, \quad (6.21)$$

relație care este cunoscută sub numele de **teorema lui Bayes**. Numărătorul  $\Pr\{B\}$  este o constantă de normalizare pe care o putem scrie după cum urmează. Deoarece  $B = (B \cap A) \cup (B \cap \bar{A})$  și  $B \cap A$  și  $B \cap \bar{A}$  sunt mutual exclusive,

$$\Pr\{B\} = \Pr\{B \cap A\} + \Pr\{B \cap \bar{A}\} = \Pr\{A\} \Pr\{B|A\} + \Pr\{\bar{A}\} \Pr\{B|\bar{A}\}.$$

Înlocuind în ecuația (6.21), obținem o formă echivalentă a teoremei lui Bayes:

$$\Pr\{A|B\} = \frac{\Pr\{A\} \Pr\{B|A\}}{\Pr\{A\} \Pr\{B|A\} + \Pr\{\bar{A}\} \Pr\{B|\bar{A}\}}.$$

Teorema lui Bayes poate ușura calculul probabilităților condiționate. De exemplu, să presupunem că avem o monedă perfectă și o monedă falsă care cade întotdeauna pe stema. Efectuăm un experiment ce constă din trei evenimente independente: una dintre cele două monede este aleasă la întâmplare, aruncată o dată și apoi aruncată din nou. Să presupunem că moneda aleasă a dat stema la ambele aruncări. Care este probabilitatea ca ea să fie falsă?

Vom rezolva această problemă utilizând teorema lui Bayes. Fie  $A$  evenimentul ca să fie aleasă moneda falsă și fie  $B$  evenimentul ca moneda să ne dea de două ori stema. Dorim să determinăm  $\Pr\{A|B\}$ . Avem  $\Pr\{A\} = 1/2$ ,  $\Pr\{B|A\} = 1$ ,  $\Pr\{\bar{A}\} = 1/2$  și  $\Pr\{B|\bar{A}\} = 1/4$ ; deci

$$\Pr\{A|B\} = \frac{(1/2) \cdot 1}{(1/2) \cdot 1 + (1/2) \cdot (1/4)} = 4/5.$$

## Exerciții

**6.2-1** Demonstrați **inegalitatea lui Boole**: pentru orice secvență finită sau infinit numărabilă de evenimente  $A_1, A_2, \dots$

$$\Pr\{A_1 \cup A_2 \cup \dots\} \leq \Pr\{A_1\} + \Pr\{A_2\} + \dots \quad (6.22)$$

**6.2-2** Profesorul Rosencrantz aruncă o monedă perfectă. Profesorul Guildenstern aruncă două monede perfecte. Care este probabilitatea ca profesorul Rosencrantz să obțină mai multe steme decât profesorul Guildenstern?

**6.2-3** Un pachet de 10 cărți, fiecare conținând un număr distinct de la 1 la 10, este amestecat bine. Se extrag trei cărți din pachet, câte una la un moment dat. Care este probabilitatea ca cele trei cărți selectate să fie sortate (crescător)?

**6.2-4** \* Se dă o monedă falsă, care, atunci când este aruncată, produce stema cu o probabilitate  $p$  (necunoscută), unde  $0 < p < 1$ . Arătați cum poate fi simulată “o aruncare de monedă perfectă” examinând aruncări multiple. (*Indica ie: aruncați moneda de două ori și apoi fie returnați rezultatul, fie repetați experimentul.*) Demonstrați că răspunsul este corect.

**6.2-5** \* Descrieți o procedură acceptă, la intrare, doi întregi  $a$  și  $b$ , astfel încât  $0 < a < b$  și, utilizând aruncări de monede perfecte produceți, la ieșire, stema cu probabilitatea  $a/b$  și banul cu probabilitatea  $(b-a)/b$ . Dați o margine a numărului mediu de aruncări de monede, care poate fi un polinom în  $\lg b$ .

**6.2-6** Demonstrați că

$$\Pr\{A|B\} + \Pr\{\bar{A}|B\} = 1.$$

**6.2-7** Arătați că, pentru orice colecție de evenimente  $A_1, A_2, \dots, A_n$ ,

$$\Pr\{A_1 \cap A_2 \cap \dots \cap A_n\} = \Pr\{A_1\} \cdot \Pr\{A_2|A_1\} \cdot \Pr\{A_3|A_1 \cap A_2\} \cdots \Pr\{A_n|A_1 \cap A_2 \cap \dots \cap A_{n-1}\}.$$

**6.2-8 \*** Arătați cum se poate construi o mulțime de  $n$  evenimente care să fie două câte două independente, dar orice submulțime de  $k > 2$  dintre ele să nu fie mulțime de evenimente mutual independente.

**6.2-9 \*** Două evenimente  $A$  și  $B$  sunt *independente condiționat* dacă

$$\Pr\{A \cap B|C\} = \Pr\{A|C\} \cdot \Pr\{B|C\},$$

unde  $C$  este dat. Dați un exemplu simplu, dar netrivial, de două evenimente care nu sunt independente, dar care sunt independente condiționat, fiind dat un al treilea eveniment.

**6.2-10 \*** Sunteți concurenți într-un joc-spectacol în care un premiu este ascuns în spatele uneia dintre trei cortine. Veți câștiga premiul dacă alegeți cortina corectă. După ce ati ales cortina, dar înainte ca ea să fie ridicată, prezentatorul ridică una dintre celelalte cortine, arătând o scenă goală și vă întrebă dacă doriți să vă schimbați opțiunea curentă pentru cortina rămasă. Care va fi șansa dumneavoastră dacă vă schimbați opțiunea?

**6.2-11 \*** Un director al unei închisori a ales aleator un prizonier din trei pentru a fi eliberat. Ceilalți doi vor fi execuțiați. Gardianul știe care va fi liber, dar îl este interzis să dea oricărui prizonier informații referitoare la starea acestuia. Să numim cei trei prizonieri X, Y și Z. Prizonierul X întrebă gardianul, în particular, care dintre Y și Z vor fi execuțiați, argumentând că, dacă cel puțin unul dintre cei doi trebuie să moară, gardianul nu-i dă nici o informație despre starea sa. Gardianul îl spune lui X că Y va fi executat. Prizonierul X se simte mai fericit acum, deoarece sau el sau Z va fi liber, ceea ce înseamnă că probabilitatea ca el să fie liber este acum  $1/2$ . Are dreptate, sau șansa sa este tot  $1/3$ ? Explicați.

### 6.3. Variabile aleatoare discrete

O variabilă aleatoare (*discretă*)  $X$  este o funcție de la un spațiu de selecție  $S$ , finit sau infinit numărabil, la mulțimea numerelor reale. Ea asociază un număr real fiecărui rezultat al unui experiment, ceea ce ne permite să lucrăm cu distribuția de probabilitate indușă de mulțimea de numere rezultată. Variabilele aleatoare pot fi definite și pentru spații de selecție nenumărabile, dar se ajunge la probleme tehnice a căror rezolvare nu este necesară pentru scopurile noastre. De aceea, vom presupune că variabilele aleatoare sunt discrete.

Pentru o variabilă aleatoare  $X$  și un număr real  $x$ , definim evenimentul  $X = x$  ca fiind  $\{s \in S : X(s) = x\}$ ; astfel

$$\Pr\{X = x\} = \sum_{\{s \in S : X(s) = x\}} \Pr\{s\}.$$

Funcția

$$f(x) = \Pr\{X = x\}$$

este **densitatea de probabilitate**<sup>5</sup> a variabilei aleatoare  $X$ . Din axiomele probabilității,  $\Pr\{X = x\} \geq 0$  și  $\sum_x \Pr\{X = x\} = 1$ .

De exemplu, să considerăm experimentul aruncării unei perechi de zaruri obișnuite, cu 6 fețe. Există 36 de evenimente elementare posibile în spațiul de selecție. Presupunem că distribuția de probabilitate este uniformă, astfel că fiecare eveniment elementar  $s \in S$  are aceeași probabilitate:  $\Pr\{s\} = 1/36$ . Definim variabila aleatoare  $X$  ca fiind *maximul* celor două valori de pe fețele zarurilor. Avem  $\Pr\{X = 3\} = 5/36$ , deoarece  $X$  atribuie valoarea 3 la 5 din cele 36 de evenimente elementare posibile și anume (1,3), (2,3), (3,3), (3,2) și (3,1).

Se obișnuiște ca mai multe variabile aleatoare să fie definite pe același spațiu de selecție. Dacă  $X$  și  $Y$  sunt variabile aleatoare, funcția

$$f(x, y) = \Pr\{X = x \text{ și } Y = y\}$$

este **funcția densitate de probabilitate asociată** lui  $X$  și  $Y$ . Pentru o valoare fixată  $y$ ,

$$\Pr\{Y = y\} = \sum_x \Pr\{X = x \text{ și } Y = y\}$$

și la fel, pentru o valoare fixată  $x$

$$\Pr\{X = x\} = \sum_y \Pr\{X = x \text{ și } Y = y\}.$$

Utilizând definiția (6.19) a probabilității condiționate, avem

$$\Pr\{X = x | Y = y\} = \frac{\Pr\{X = x \text{ și } Y = y\}}{\Pr\{Y = y\}}.$$

Spunem că două variabile aleatoare  $X$  și  $Y$  sunt **independente** dacă, pentru orice  $x$  și  $y$ , evenimentele  $X = x$  și  $Y = y$  sunt independente, sau echivalent, dacă, pentru orice  $x$  și  $y$ , avem  $\Pr\{X = x \text{ și } Y = y\} = \Pr\{X = x\} \Pr\{Y = y\}$ .

Dându-se o mulțime de variabile aleatoare peste același spațiu de selecție, se pot defini noi variabile aleatoare, cum ar fi suma, produsul sau alte funcții de variabilele originale.

### Valoarea medie a unei variabile aleatoare

Cea mai simplă și mai utilă descriere a distribuției unei variabile aleatoare este “media” valorilor pe care le ia. **Valoarea medie** (sau sinonim **speranța** sau **media**) a unei variabile aleatoare discrete  $X$  este

$$\mathbb{E}[X] = \sum_x x \Pr\{X = x\}, \tag{6.23}$$

care este bine definită dacă suma este finită sau absolut convergentă. Uneori media se notează cu  $\mu_X$ , sau când variabila aleatoare este subînțeleasă din context cu  $\mu$ .

Să considerăm un joc în care se aruncă două monede perfecte. Câștigați 3\$ pentru fiecare stemă și pierdeți 2\$ pentru fiecare ban. Valoarea medie a variabilei aleatoare  $X$  ce reprezintă câștigul dumneavoastră este

$$\mathbb{E}[X] = 6 \cdot \Pr\{2S\} + 1 \cdot \Pr\{1S, 1B\} - 4 \cdot \Pr\{2B\} = 6(1/4) + 1(1/2) - 4(1/4) = 1.$$

---

<sup>5</sup>Termenul corect din punctul de vedere al teoriei probabilităților este **funcție de masă** sau **funcție de frecvență** – n.t.

Media sumei a două variabile aleatoare este suma mediilor, adică

$$\mathbb{E}[X + Y] = \mathbb{E}[X] + \mathbb{E}[Y], \quad (6.24)$$

ori de câte ori  $\mathbb{E}[X]$  și  $\mathbb{E}[Y]$  sunt definite. Această proprietate se extinde la sume finite și absolut convergente de medii.

Dacă  $X$  este o variabilă aleatoare, orice funcție  $g(x)$  definește o nouă variabilă aleatoare  $g(X)$ . Dacă valoarea medie a lui  $g(X)$  este definită, atunci

$$\mathbb{E}[g(X)] = \sum_x g(x) \Pr\{X = x\}.$$

Luând  $g(x) = ax$ , avem pentru orice constantă

$$\mathbb{E}[aX] = a\mathbb{E}[X]. \quad (6.25)$$

În consecință, mediile sunt liniare: pentru oricare două variabile aleatoare  $X$  și  $Y$  și orice constantă  $a$ ,

$$\mathbb{E}[aX + Y] = a\mathbb{E}[X] + \mathbb{E}[Y]. \quad (6.26)$$

Când două variabile aleatoare  $X$  și  $Y$  sunt independente și media fiecăreia este definită, avem

$$\begin{aligned} \mathbb{E}[XY] &= \sum_x \sum_y xy \Pr\{X = x \text{ și } Y = y\} = \sum_x \sum_y xy \Pr\{X = x\} \Pr\{Y = y\} = \\ &= \left( \sum_x x \Pr\{X = x\} \right) \left( \sum_y y \Pr\{Y = y\} \right) = \mathbb{E}[X]\mathbb{E}[Y]. \end{aligned}$$

În general, când  $n$  variabile aleatoare  $X_1, X_2, \dots, X_n$  sunt mutual independente

$$\mathbb{E}[X_1 X_2 \dots X_n] = \mathbb{E}[X_1]\mathbb{E}[X_2] \dots \mathbb{E}[X_n]. \quad (6.27)$$

Atunci când o variabilă aleatoare  $X$  ia valori din mulțimea numerelor naturale  $\mathbb{N} = \{0, 1, 2, \dots\}$ , există o formulă convenabilă pentru media sa

$$\mathbb{E}[X] = \sum_{i=0}^{\infty} i \Pr\{X = i\} = \sum_{i=0}^{\infty} i (\Pr\{X \geq i\} - \Pr\{X \geq i+1\}) = \sum_{i=1}^{\infty} \Pr\{X \geq i\}, \quad (6.28)$$

deoarece fiecare termen  $\Pr\{X \geq i\}$  este adunat de  $i$  ori și scăzut de  $i-1$  ori (exceptând  $\Pr\{X \geq 0\}$  care este adunat de 0 ori și nu este scăzut deloc).

## Dispersie și abatere medie pătratică

**Dispersia** unei variabile aleatoare  $X$  cu media  $\mathbb{E}[X]$  este

$$\begin{aligned} \text{Var}[X] &= E[(X - \mathbb{E}[X])^2] = E[X^2 - 2X\mathbb{E}[X] + \mathbb{E}^2[X]] = \\ &= \mathbb{E}[X^2] - 2\mathbb{E}[X]\mathbb{E}[X] + \mathbb{E}^2[X] = \mathbb{E}[X^2] - 2\mathbb{E}^2[X] + \mathbb{E}^2[X] = \\ &= \mathbb{E}[X^2] - \mathbb{E}^2[X]. \end{aligned} \quad (6.29)$$

Justificarea pentru egalitățile  $E[E^2[X]] = E^2[X]$  și  $E[XE[X]] = E^2[X]$  este aceea că  $E[X]$  nu este o variabilă aleatoare, ci pur și simplu un număr real, ceea ce înseamnă că se aplică ecuația (6.25) (cu  $a = E[X]$ ). Ecuația (6.29) poate fi rescrisă pentru a obține o expresie a mediei pătratului unei variabile aleatoare:

$$E[X^2] = \text{Var}[X] + E^2[X]. \quad (6.30)$$

Dispersia unei variabile aleatoare  $X$  și dispersia lui  $aX$  sunt legate prin

$$\text{Var}[aX] = a^2 \text{Var}[X].$$

Când  $X$  și  $Y$  sunt variabile aleatoare independente,

$$\text{Var}[X + Y] = \text{Var}[X] + \text{Var}[Y].$$

În general, dacă  $n$  variabile aleatoare  $X_1, X_2, \dots, X_n$  sunt două câte două independente, atunci

$$\text{Var} \left[ \sum_{i=1}^n X_i \right] = \sum_{i=1}^n \text{Var}[X_i]. \quad (6.31)$$

**Abaterea medie pătratică (deviația standard)** a variabilei aleatoare  $X$  este rădăcina pătrată pozitivă a dispersiei lui  $X$ . Abaterea medie pătratică a unei variabile aleatoare  $X$  se notează uneori cu  $\sigma_X$  sau cu  $\sigma$ , când variabila aleatoare este subînteleasă din context. Cu această notație, dispersia lui  $X$  se notează cu  $\sigma^2$ .

## Exerciții

**6.3-1** Se aruncă două zaruri obișnuite cu 6 fețe. Care este media sumei celor două valori arătate de zaruri? Care este media maximului celor două valori arătate?

**6.3-2** Un tablou  $A[1..n]$  conține  $n$  numere distincte ordonate aleator, fiecare permutare a celor  $n$  numere având aceeași probabilitate de apariție. Care este media indicelui elementului maxim al tabloului? Care este media indicelui elementului minim al tabloului?

**6.3-3** La un joc de carnaval se pun trei zaruri într-o ceașcă. Un jucător poate paria 1\$ pe orice număr de la 1 la 6. Ceașca este scuturată, zarurile sunt aruncate, iar plata se face în modul următor. Dacă numărul jucătorului nu apare pe nici unul din zaruri, el își pierde dolarul. Altfel, dacă numărul său apare pe exact  $k$  din cele trei zaruri,  $k = 1, 2, 3$ , el își păstrează dolarul și mai câștigă  $k$  dolari. Care este câștigul mediu când jocul se joacă o singură dată?

**6.3-4** \* Fie  $X$  și  $Y$  variabile aleatoare independente. Arătați că  $f(X)$  și  $g(X)$  sunt independente pentru orice alegere a funcțiilor  $f$  și  $g$ .

**6.3-5** \* Fie  $X$  o variabilă aleatoare nenegativă și presupunem că  $E[X]$  este bine definită. Demonstrați **inegalitatea lui Markov**:

$$\Pr\{X \geq t\} \leq E[X]/t \quad (6.32)$$

pentru orice  $t > 0$ .

**6.3-6** \* Fie  $S$  un spațiu de selecție și  $X$  și  $X'$  variabile aleatoare astfel încât  $X(s) \geq X'(s)$  pentru orice  $s \in S$ . Demonstrați că pentru orice constantă reală  $t$ ,

$$\Pr\{X \geq t\} \geq \Pr\{X' \geq t\}.$$

**6.3-7** Ce este mai mare: media pătratului unei variabile aleatoare sau pătratul mediei?

**6.3-8** Arătați că, pentru orice variabilă aleatoare  $X$  ce ia numai valorile 0 și 1, avem  $\text{Var}[X] = E[X]E[1 - X]$ .

**6.3-9** Demonstrați că  $\text{Var}[aX] = a^2\text{Var}[X]$  folosind definiția (6.29) a dispersiei.

## 6.4. Distribuția geometrică și distribuția binomială

Aruncarea unei monede este un exemplu de **probă bernoulliană**, care este definită ca un experiment cu numai două rezultate posibile: **succes**, care apare cu probabilitatea  $p$  și **eșec**, care apare cu probabilitatea  $q = 1 - p$ . Când vorbim de **probe bernoulliene** în mod colectiv, înseamnă că probele sunt mutual independente și, dacă nu se specifică altceva, că fiecare are aceeași probabilitate de succes  $p$ . Două distribuții importante derivă din probele bernoulliene: distribuția geometrică și cea binomială.

### Distribuția geometrică

Presupunem că avem o secvență de probe bernoulliene, fiecare cu probabilitatea de succes  $p$  și probabilitatea de eșec  $q = 1 - p$ . Câte încercări apar înainte de a obține un succes? Fie variabila aleatoare  $X$  numărul de încercări necesare pentru a obține un succes. Atunci  $X$  ia valori în domeniul  $\{1, 2, \dots\}$  și pentru  $k \geq 1$

$$\Pr\{X = k\} = q^{k-1}p, \quad (6.33)$$

deoarece avem  $k - 1$  eșecuri înaintea unui succes. O distribuție de probabilitate ce satisface ecuația (6.33) se numește **distribuție geometrică**. Figura 6.1 ilustrează o astfel de distribuție.

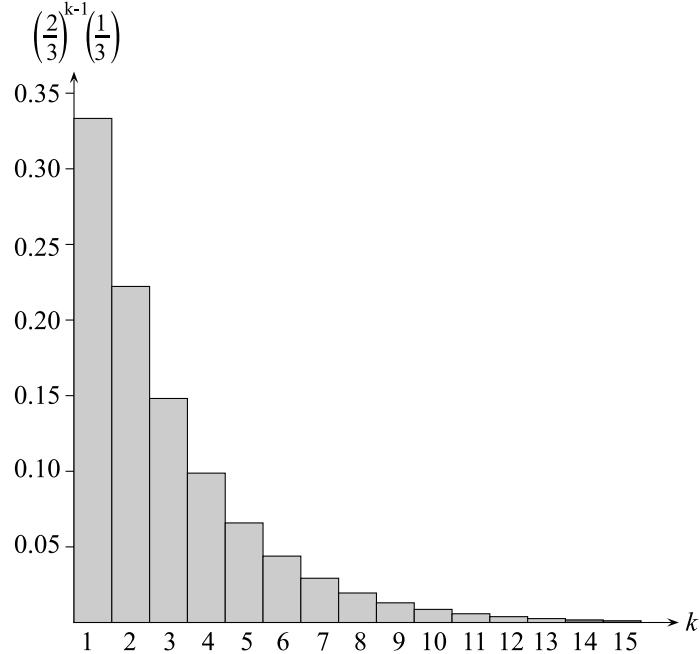
Presupunând că  $p < 1$ , media distribuției geometrice poate fi calculată utilizând identitatea (3.6):

$$E[X] = \sum_{k=1}^{\infty} kq^{k-1}p = \frac{p}{q} \sum_{k=0}^{\infty} kq^k = \frac{p}{q} \cdot \frac{q}{(1-q)^2} = 1/p. \quad (6.34)$$

Astfel, în medie, este nevoie de  $1/p$  încercări pentru a obține un succes, rezultat intuitiv. Dispersia, care se poate calcula în același mod, este

$$\text{Var}[X] = q/p^2. \quad (6.35)$$

De exemplu, să presupunem că aruncăm, repetat, două zaruri până când obținem fie suma șapte, fie suma unsprezece. Din cele 36 de rezultate posibile, 6 ne dau suma șapte și 2 suma unsprezece. Astfel probabilitatea de succes este  $p = 8/36 = 2/9$  și trebuie să aruncăm zarurile, în medie, de  $1/p = 9/2 = 4.5$  ori pentru a obține suma șapte sau unsprezece.



**Figura 6.1** O distribuție geometrică cu probabilitatea de succes  $p = 1/3$  și probabilitatea de eșec  $q = 1 - p$ . Media distribuției este  $1/p = 3$ .

### Distribuția binomială

Câte succese apar în  $n$  probe bernouliene, unde un succes apare cu probabilitatea  $p$  și un eșec cu probabilitatea  $q = 1 - p$ ? Definim variabila aleatoare  $X$  ca fiind numărul de succese în  $n$  probe. Atunci  $X$  ia valori în domeniul  $\{0, 1, \dots, n\}$  și pentru  $k = 0, \dots, n$ ,

$$\Pr\{X = k\} = \binom{n}{k} p^k q^{n-k}, \quad (6.36)$$

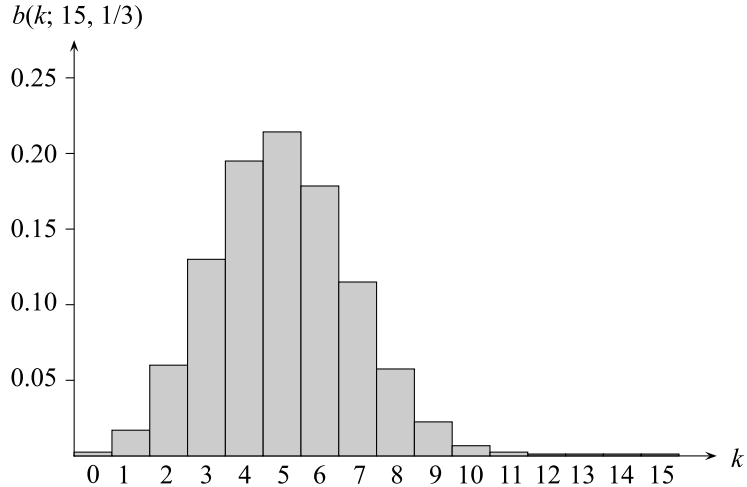
deoarece sunt  $\binom{n}{k}$  moduri de a alege care  $k$  probe din totalul celor  $n$  sunt succese și probabilitatea de apariție a fiecărei dintre ele este  $p^k q^{n-k}$ . O distribuție de probabilitate ce satisface ecuația (6.36) se numește **distribuție binomială**. Pentru comoditate, definim familia distribuțiilor binomiale utilizând notația

$$b(k; n, p) = \binom{n}{k} p^k (1 - p)^{n-k}. \quad (6.37)$$

Figura 6.2 ilustrează o distribuție binomială. Numele de “binomial” vine de la faptul că (6.37) este al  $k$ -lea termen al dezvoltării lui  $(p + q)^n$ . În consecință, deoarece  $p + q = 1$ ,

$$\sum_{k=0}^n b(k; n, p) = 1, \quad (6.38)$$

asa cum cere axioma 2 de probabilitate.



**Figura 6.2** Distribuția binomială  $b(k; 15, 1/3)$  ce rezultă din  $n = 15$  probe bernoulliene, fiecare cu probabilitatea de succes  $p = 1/3$ . Media distribuției este  $np = 5$ .

Putem calcula media unei variabile aleatoare având o distribuție binomială din ecuațiile (6.14) și (6.38). Fie  $X$  o variabilă aleatoare ce urmează distribuția binomială  $b(k; n, p)$  și fie  $q = 1 - p$ . Din definiția mediei avem

$$\begin{aligned} E[X] &= \sum_{k=0}^n kb(k; n, p) = \sum_{k=1}^n k \binom{n}{k} p^k q^{n-k} = np \sum_{k=1}^n \binom{n-1}{k-1} p^{k-1} q^{n-k} = \\ &= np \sum_{k=0}^{n-1} \binom{n-1}{k} p^k q^{(n-1)-k} = np \sum_{k=0}^{n-1} b(k; n-1, p) = np. \end{aligned} \quad (6.39)$$

Utilizând liniaritatea mediei, putem obține același rezultat cu substanțial mai puțină algebră. Fie  $X_i$  o variabilă aleatoare ce descrie numărul de succese la a  $i$ -a probă. Atunci,  $E[X_i] = p \cdot 1 + q \cdot 0 = p$  și, din liniaritatea mediei (6.26), numărul mediu de succese din  $n$  încercări este

$$E[X] = E \left[ \sum_{i=1}^n X_i \right] = \sum_{i=1}^n E[X_i] = \sum_{i=1}^n p = np.$$

Aceeași abordare poate fi folosită la calculul dispersiei. Utilizând ecuația (6.29), avem  $\text{Var}[X_i] = E[X_i^2] - E^2[X_i]$ . Deoarece  $X_i$  ia numai valorile 0 și 1, avem  $E[X_i^2] = E[X_i] = p$  și deci

$$\text{Var}[X_i] = p - p^2 = pq. \quad (6.40)$$

Pentru a calcula dispersia lui  $X$ , vom exploata avantajul independenței celor  $n$  încercări; astfel din ecuația (6.31)

$$\text{Var}[X] = \text{Var} \left[ \sum_{i=1}^n X_i \right] = \sum_{i=1}^n \text{Var}[X_i] = \sum_{i=1}^n pq = npq. \quad (6.41)$$

Conform figurii 6.2, distribuția binomială  $b(k; n, p)$  crește pe măsură ce  $k$  variază de la 0 la  $n$ , până când atinge media  $np$  și apoi scade. Putem demonstra că distribuția se comportă întotdeauna în acest mod, examinând raportul termenilor succesivi

$$\begin{aligned} \frac{b(k; n, p)}{b(k-1; n, p)} &= \frac{\binom{n}{k} p^k q^{n-k}}{\binom{n}{k-1} p^{k-1} q^{n-k+1}} = \frac{n!(k-1)!(n-k+1)!p}{k!(n-k)!n!q} = \\ &= \frac{(n-k+1)p}{kq} = 1 + \frac{(n+1)p - k}{kq}. \end{aligned} \quad (6.42)$$

Acest raport este mai mare decât 1 când  $(n+1)p - k$  este pozitiv. În consecință,  $b(k; n, p) > b(k-1; n, p)$  pentru  $k < (n+1)p$  (distribuția crește) și  $b(k; n, p) < b(k-1; n, p)$  pentru  $k > (n+1)p$  (distribuția descrește). Dacă  $k = (n+1)p$  este întreg, atunci  $b(k; n, p) = b(k-1; n, p)$  și distribuția are două maxime: în  $k = (n+1)p$  și în  $k-1 = (n+1)p-1 = np-q$ . Altfel, distribuția își atinge maximul în întregul  $k$  unic, situat în domeniul  $np-q < k < (n+1)p$ .

Lema următoare ne dă o margine superioară a distribuției binomiale.

**Lema 6.1** Fie  $n \geq 0$ ,  $0 < p < 1$ ,  $q = 1 - p$  și  $0 \leq k \leq n$ . Atunci

$$b(k; n, p) \leq \left(\frac{np}{k}\right)^k \left(\frac{nq}{n-k}\right)^{n-k}.$$

**Demonstrație.** Utilizând ecuația (6.10) avem

$$b(k; n, p) = \binom{n}{k} p^k q^{n-k} \leq \left(\frac{n}{k}\right)^k \left(\frac{n}{n-k}\right)^{n-k} p^k q^{n-k} = \left(\frac{np}{k}\right)^k \left(\frac{nq}{n-k}\right)^{n-k}.$$

■

## Exerciții

**6.4-1** Verificați a doua axiomă a probabilității pentru distribuția geometrică.

**6.4-2** De câte ori trebuie aruncate, în medie, 6 monede perfecte înainte de a obține 3 steme și 3 bani?

**6.4-3** Arătați că  $b(k; n, p) = b(n-k; n, q)$ , unde  $q = 1 - p$ .

**6.4-4** Arătați că valoarea maximă a distribuției binomiale  $b(k; n, p)$  este aproximativ  $1/\sqrt{2\pi npq}$ , unde  $q = 1 - p$ .

**6.4-5** ★ Arătați că probabilitatea de a nu avea nici un succes din  $n$  probe bernoulliene, fiecare cu probabilitatea  $p = 1/n$ , este aproximativ  $1/e$ . Arătați că probabilitatea de a avea exact un succes este, de asemenea, aproximativ  $1/e$ .

**6.4-6** ★ Profesorul Rosencrantz aruncă o monedă perfectă de  $n$  ori și la fel face și profesorul Guildenstern. Arătați că probabilitatea ca ei să obțină același număr de steme este egală cu  $\binom{2n}{n}/4^n$ . (*Indica ie:* pentru profesorul Rosencrantz considerăm stema succes; pentru profesorul Guildenstern considerăm banul succes). Utilizați raționamentul pentru a verifica identitatea

$$\sum_{k=0}^n \binom{n}{k}^2 = \binom{2n}{n}.$$

**6.4-7** \* Arătați că pentru  $0 \leq k \leq n$ ,

$$b(k; n, 1/2) \leq 2^{nH(k/n)-n},$$

unde  $H(x)$  este funcția entropie binară (6.13).

**6.4-8** \* Considerăm  $n$  probe bernoulliene, unde, pentru  $i = 1, 2, \dots, n$ , a  $i$ -a probă are probabilitatea de succes  $p_i$  și fie  $X$  variabila aleatoare ce desemnează numărul total de succese. Fie  $p \geq p_i$  pentru orice  $i = 1, 2, \dots, n$ . Demonstrați că, pentru  $1 \leq k \leq n$ ,

$$\Pr\{X < k\} \leq \sum_{i=0}^{k-1} b(i; n, p).$$

**6.4-9** Fie  $X$  o variabilă aleatoare ce reprezintă numărul total de succese într-o mulțime  $A$  de  $n$  probe bernoulliene, unde a  $i$ -a probă are probabilitatea de succes  $p_i$ , și fie  $X'$  variabila aleatoare ce reprezintă numărul total de succese dintr-o mulțime  $A'$  de  $n$  probe bernoulliene, unde a  $i$ -a probă are o probabilitate de succes  $p'_i \geq p_i$ . Demonstrați că, pentru  $0 \leq k \leq n$ ,

$$\Pr\{X' \geq k\} \geq \Pr\{X \geq k\}.$$

(Indica ie: Arătați cum se pot obține probele bernoulliene din  $A'$  printr-un experiment ce implică probele din  $A$  și utilizăți rezultatul exercițiului 6.3-6.)

## 6.5. Cozile distribuției binomiale

Probabilitatea de a avea cel puțin sau cel mult  $k$  succese în  $n$  probe bernoulliene, fiecare cu probabilitatea de succes  $p$ , este, adesea, de mai mare interes decât probabilitatea de a avea exact  $k$  succese. În această secțiune vom investiga **cozile** distribuției binomiale, adică cele două regiuni ale distribuției  $b(k; n, p)$  care sunt îndepărtate de media  $np$ .<sup>6</sup> Vom demonstra câteva margini importante (ale sumei tuturor termenilor) dintr-o coadă. Vom demonstra, mai întâi, o margine pentru coada dreaptă a distribuției  $b(k; n, p)$ . Marginile pentru coada stângă pot fi determinate din cele pentru coada dreaptă schimbând între ele rolurile succeselor și eșecurilor.

**Teorema 6.2** Considerăm o secvență de  $n$  probe bernoulliene, unde succesul apare cu probabilitatea  $p$ . Fie  $X$  o variabilă aleatoare ce desemnează numărul total de succese. Atunci pentru  $0 \leq k \leq n$ , probabilitatea să avem cel puțin  $k$  succese este

$$\Pr\{X \geq k\} = \sum_{i=k}^n b(i; n, p) \leq \binom{n}{k} p^k.$$

**Demonstrație.** Vom utiliza inegalitatea (6.15)

$$\binom{n}{k+i} \leq \binom{n}{k} \binom{n-k}{i}.$$

<sup>6</sup>Regiuni de forma  $\{X \geq k\}$  sau  $\{X \leq k\}$  – n.t.

Avem

$$\begin{aligned}
 \Pr\{X \geq k\} &= \sum_{i=k}^n b(i; n, p) = \sum_{i=0}^{n-k} b(k+i; n, p) = \sum_{i=0}^{n-k} \binom{n}{k+i} p^{k+i} (1-p)^{n-(k+i)} \\
 &\leq \sum_{i=0}^{n-k} \binom{n}{k} \binom{n-k}{i} p^{k+i} (1-p)^{n-(k+i)} = \binom{n}{k} p^k \sum_{i=0}^{n-k} \binom{n-k}{i} p^i (1-p)^{(n-k)-i} \\
 &= \binom{n}{k} p^k \sum_{i=0}^{n-k} b(i; n-k, p) = \binom{n}{k} p^k,
 \end{aligned}$$

căci  $\sum_{i=0}^{n-k} b(i; n-k, p) = 1$ , din ecuația (6.38). ■

Corolarul următor reformulează teorema pentru coada stângă a distribuției binomiale. În general, vom lăsa în seama cititorului trecerea de la marginea unei cozi la alta.

**Corolarul 6.3** Considerăm o secvență de  $n$  probe bernoulliene, unde succesul apare cu probabilitatea  $p$ . Dacă  $X$  este o variabilă aleatoare ce reprezintă numărul total de succese, atunci, pentru  $0 \leq k \leq n$ , probabilitatea să avem cel mult  $k$  succese este

$$\Pr\{X \leq k\} = \sum_{i=0}^k b(i; n, p) \leq \binom{n}{n-k} (1-p)^{n-k} = \binom{n}{k} (1-p)^{n-k}.$$

Marginea următoare se concentrează asupra cozii stângi a distribuției binomiale. Cu cât ne îndepărțăm de medie, numărul de succese din coada stângă scade exponențial, aşa cum ne arată teorema următoare. ■

**Teorema 6.4** Considerăm o secvență de  $n$  probe bernoulliene, în care succesul apare cu probabilitatea  $p$  și eșecul cu probabilitatea  $q = 1 - p$ . Fie  $X$  o variabilă aleatoare ce reprezintă numărul de succese. Atunci, pentru  $0 < k < np$ , probabilitatea a mai puțin de  $k$  succese este

$$\Pr\{X < k\} = \sum_{i=0}^{k-1} b(i; n, p) < \frac{kq}{np - k} b(k; n, p).$$

**Demonstrație.** Vom majora seria  $\sum_{i=0}^{k-1} b(i; n, p)$  cu o serie geometrică utilizând tehnica din secțiunea 3.2. Pentru  $i = 1, 2, \dots, k$  din ecuația (6.42) avem

$$\frac{b(i-1; n, p)}{b(i; n, p)} = \frac{iq}{(n-i+1)p} < \left(\frac{i}{n-i}\right) \left(\frac{q}{p}\right) \leq \left(\frac{k}{n-k}\right) \left(\frac{q}{p}\right).$$

Dacă luăm

$$x = \left(\frac{k}{n-k}\right) \left(\frac{q}{p}\right) < 1,$$

rezultă că

$$b(i-1; n, p) < xb(i; n, p),$$

pentru  $0 < i \leq k$ . Iterând, obținem

$$b(i; n, p) < x^{k-i} b(k; n, p)$$

pentru  $0 \leq i < k$  și deci

$$\sum_{i=0}^{k-1} b(i; n, p) < \sum_{i=0}^{k-1} x^{k-i} b(k; n, p) < b(k; n, p) \sum_{i=1}^{\infty} x^i = \frac{x}{1-x} b(k; n, p) = \frac{kq}{np - k} b(k; n, p).$$
■

Când  $k \leq np/2$ , avem  $kq/(np - k) \leq 1$ , ceea ce înseamnă că  $b(k; n, p)$  majorează suma tuturor termenilor mai mici decât  $k$ . De exemplu, să presupunem că aruncăm  $n$  monede perfecte. Teorema 6.4 ne spune că, luând  $p = 1/2$  și  $k = n/4$ , probabilitatea de a obține mai puțin de  $n/4$  steme este mai mică decât probabilitatea de a obține  $n/4$  steme. Mai mult, pentru orice  $r \geq 4$ , probabilitatea de a obține mai puțin de  $n/r$  steme este mai mică decât probabilitatea de a obține exact  $n/r$  steme. Teorema 6.4 poate fi, de asemenea, utilă în combinație cu margini superioare ale distribuției binomiale cum ar fi lema 6.1. O margine a cozii drepte se poate determina la fel.

**Corolarul 6.5** Considerăm o secvență de  $n$  probe bernoulliene, în care succesul apare cu probabilitatea  $p$ . Fie  $X$  o variabilă aleatoare ce reprezintă numărul total de succese. Atunci, pentru  $np < k < n$ , probabilitatea de a avea mai mult de  $k$  succese este

$$\Pr\{X > k\} = \sum_{i=k+1}^n b(i; n, p) < \frac{(n-k)p}{k-np} b(k; n, p).$$
■

Teorema următoare consideră  $n$  probe bernoulliene, fiecare cu o probabilitate  $p_i$  de succes, pentru  $i = 1, 2, \dots, n$ . Așa cum ne arată corolarul următor, putem utiliza teorema pentru a furniza o margine superioară a cozii drepte a distribuției binomiale, punând la fiecare încercare  $p = p_i$ .

**Teorema 6.6** Considerăm o secvență de  $n$  probe bernoulliene, unde, la a  $i$ -a probă, pentru  $i = 1, 2, \dots, n$ , succesul apare cu probabilitatea  $p_i$ , iar eșecul cu probabilitatea  $q_i = 1 - p_i$ . Fie  $X$  o variabilă aleatoare ce reprezintă numărul total de succese și fie  $\mu = E[X]$ . Atunci, pentru  $r > \mu$ ,

$$\Pr\{X - \mu \geq r\} \leq \left(\frac{\mu e}{r}\right)^r.$$

**Demonstrație.** Deoarece, pentru orice  $\alpha > 0$ , funcția  $e^{\alpha x}$  este strict crescătoare în  $x$ , avem

$$\Pr\{X - \mu \geq r\} = \Pr\{e^{\alpha(X-\mu)} \geq e^{\alpha r}\},$$

unde  $\alpha$  va fi determinat mai târziu. Utilizând inegalitatea lui Markov (6.32) obținem

$$\Pr\{X - \mu \geq r\} \leq E[e^{\alpha(X-\mu)}] e^{-\alpha r}. \tag{6.43}$$

Partea cea mai consistentă a demonstrației o constituie mărginirea lui  $E[e^{\alpha(X-\mu)}]$  și substituirea lui  $\alpha$  în inegalitatea (6.43) cu o valoare potrivită. Mai întâi evaluăm  $E[e^{\alpha(X-\mu)}]$ . Pentru  $i =$

$1, 2, \dots, n$ , fie  $X_i$  o variabilă aleatoare care are valoarea 1, dacă a  $i$ -a probă bernoulliană este un succes și 0, dacă este un eșec. Astfel

$$X = \sum_{i=1}^n X_i$$

și

$$X - \mu = \sum_{i=1}^n (X_i - p_i).$$

Înlocuind pentru  $X - \mu$ , obținem

$$E[e^{\alpha(X-\mu)}] = E\left[\prod_{i=1}^n e^{\alpha(X_i-p_i)}\right] = \prod_{i=1}^n E\left[e^{\alpha(X_i-p_i)}\right],$$

care rezultă din (6.27) deoarece independența mutuală a variabilelor aleatoare  $X_i$  implică independența mutuală a variabilelor aleatoare  $e^{\alpha(X_i-p_i)}$  (vezi exercițiul 6.3-4). Din definiția mediei

$$\begin{aligned} E\left[e^{\alpha(X_i-p_i)}\right] &= e^{\alpha(1-p_i)}p_i + e^{\alpha(0-p_i)}q_i = p_i e^{\alpha q_i} + q_i e^{-\alpha p_i} \leq \\ &\leq p_i e^\alpha + 1 \leq \exp(p_i e^\alpha), \end{aligned} \quad (6.44)$$

unde  $\exp(x)$  reprezintă funcția exponentială:  $\exp(x) = e^x$ . (Inegalitatea (6.44) rezultă din inegalitățile  $\alpha > 0$ ,  $q_i \leq 1$ ,  $e^{\alpha q_i} \leq e^\alpha$  și  $e^{-\alpha p_i} \leq 1$ , iar ultima linie rezultă din inegalitatea (2.7)). În consecință,

$$E\left[e^{\alpha(X-\mu)}\right] \leq \prod_{i=1}^n \exp(p_i e^\alpha) = \exp(\mu e^\alpha)$$

căci  $\mu = \sum_{i=1}^n p_i$ . Deci, din inegalitatea (6.43), rezultă că

$$\Pr\{X - \mu \geq r\} \leq \exp(\mu e^\alpha - \alpha r). \quad (6.45)$$

Alegând  $\alpha = \ln(r/\mu)$  (vezi exercițiul 6.5-6), obținem

$$\Pr\{X - \mu \geq r\} \leq \exp\left(\mu e^{\ln(r/\mu)} - r \ln(r/\mu)\right) = \exp(r - r \ln(r/\mu)) = \frac{e^r}{(r/\mu)^r} = \left(\frac{\mu e}{r}\right)^r.$$

Când se aplică probelor bernoulliene, în care la fiecare încercare avem aceeași probabilitate de succes, teorema 6.6 ne dă următorul corolar de mărginire a cozii drepte a unei distribuții binomiale.

**Corolarul 6.7** Considerăm o secvență de  $n$  probe bernoulliene, unde, la fiecare probă, succesul apare cu probabilitatea  $p$ , iar eșecul cu probabilitatea  $q = 1 - p$ . Atunci, pentru  $r > np$ ,

$$\Pr\{X - np \geq r\} = \sum_{k=\lceil np+r \rceil}^n b(k; n, p) \leq \left(\frac{npe}{r}\right)^r.$$

**Demonstrație.** Pentru o distribuție binomială, (6.39) implică  $\mu = E[X] = np$ . ■

## Exerciții

**6.5-1** \* Ce este mai puțin probabil: să nu obținem nici o steme când aruncăm o monedă perfectă de  $n$  ori sau să obținem mai puțin de  $n$  steme când aruncăm moneda de  $4n$  ori?

**6.5-2** \* Arătați că

$$\sum_{i=0}^{k-1} \binom{n}{i} a^i < (a+1)^n \frac{k}{na - k(a+1)} b(k; n, a/(a+1)),$$

pentru orice  $a > 0$  și orice  $k$ , astfel încât  $0 < k < n$ .

**6.5-3** \* Demonstrați că, dacă  $0 < k < np$ , unde  $0 < p < 1$  și  $q = 1 - p$ , atunci

$$\sum_{i=0}^{k-1} p^i q^{n-i} < \frac{kq}{np - k} \left( \frac{np}{k} \right)^k \left( \frac{nq}{n-k} \right)^{n-k}.$$

**6.5-4** \* Arătați că ipotezele teoremei 6.6 implică

$$\Pr\{\mu - X \geq r\} \leq \left( \frac{(n-\mu)e}{r} \right)^r.$$

La fel, arătați că ipotezele corolarului 6.7 implică

$$\Pr\{np - X \geq r\} \leq \left( \frac{nqe}{r} \right)^r.$$

**6.5-5** \* Considerăm o secvență de  $n$  probe bernoulliene, unde la a  $i$ -a probă, pentru  $i = 1, 2, \dots, n$  succesul apare cu probabilitatea  $p_i$ , iar eșecul cu probabilitatea  $q_i = 1 - p_i$ . Fie  $X$  o variabilă aleatoare ce reprezintă numărul total de succese și fie  $\mu = E[X]$ . Arătați că, pentru  $r \geq 0$ ,

$$\Pr\{X - \mu \geq r\} \leq e^{-r^2/2n}.$$

(Indica ie: Demonstrați că  $p_i e^{\alpha q_i} + q_i e^{1-\alpha p_i} \leq e^{-\alpha^2/2}$ . Apoi urmați mersul demonstrației teoremei 6.6, utilizând această inegalitate în locul inegalității (6.44).)

**6.5-6** \* Arătați că, alegând  $\alpha = \ln(r/\mu)$ , se minimizează membrul drept al inegalității (6.45).

## 6.6. Analiză probabilistică

Această secțiune utilizează trei exemple pentru a ilustra analiza probabilistică. Primul determină probabilitatea ca, într-o cameră în care sunt  $k$  persoane, să existe o anumită pereche care să-și sărbătorescă ziua de naștere în aceeași zi. Al doilea exemplu ilustrează aruncarea aleatoare a bilelor în cutii. Al treilea investighează secvențele de steme consecutive la aruncarea monedei.

### 6.6.1. Paradoxul zilei de naștere

Un exemplu bun pentru ilustrarea raționamentului probabilist este clasicul ***paradox al zilei de naștere***. Câți oameni trebuie să fie într-o încăpere pentru a avea o bună șansă să găsim doi născuți în aceeași zi a anului? Răspunsul este că trebuie să fie surprinzător de puțini. Paradoxul este acela că, de fapt, trebuie mult mai puțini decât numărul de zile dintr-un an, aşa cum se va vedea. Pentru a răspunde la întrebare, să numerotăm oamenii din cameră cu întregii  $1, 2, \dots, k$ , unde  $k$  este numărul de oameni din încăpere. Vom ignora anii bisecți și vom presupune că toți anii au  $n = 365$  de zile. Pentru  $i = 1, 2, \dots, k$ , fie  $b_i$  ziua din an în care cade ziua de naștere a lui  $i$ , unde  $1 \leq b_i \leq n$ . Presupunem că zilele de naștere sunt uniform distribuite în cele  $n$  zile ale anului, aşa că  $\Pr\{b_i = r\} = 1/n$ , pentru  $i = 1, 2, \dots, k$  și  $r = 1, 2, \dots, n$ .

Probabilitatea ca două persoane  $i$  și  $j$  să aibă aceeași zi de naștere depinde de faptul că selecția aleatoare este dependentă sau independentă. Dacă zilele de naștere sunt independente, atunci probabilitatea ca ziua de naștere a lui  $i$  și ziua de naștere a lui  $j$  să cadă amândouă în ziua  $r$  este

$$\Pr\{b_i = r \text{ și } b_j = r\} = \Pr\{b_i = r\} \Pr\{b_j = r\} = 1/n^2.$$

Astfel, probabilitatea ca ambele să cadă în aceeași zi este

$$\Pr\{b_i = b_j\} = \sum_{r=1}^n \Pr\{b_i = r \text{ și } b_j = r\} = \sum_{r=1}^n \frac{1}{n^2} = 1/n.$$

Intuitiv, o dată ales  $b_i$ , probabilitatea ca  $b_j$  să fie ales același, este  $1/n$ . Astfel, probabilitatea ca  $i$  și  $j$  să aibă aceeași zi de naștere este egală cu probabilitatea ca una dintre zilele de naștere să cadă într-o zi dată. De notat, totuși, că această coincidență depinde de presupunerea că zilele de naștere sunt independente.

Putem analiza probabilitatea ca cel puțin 2 din  $k$  oameni să aibă aceeași zi de naștere, analizând evenimentul complementar. Probabilitatea ca cel puțin două zile de naștere să coincidă este 1 minus probabilitatea ca toate zilele de naștere să fie diferite. Evenimentul ca toate cele  $k$  persoane să aibă zile de naștere distințe este

$$B_k = \bigcap_{i=1}^{k-1} A_i,$$

unde  $A_i$  este evenimentul ca ziua de naștere a persoanei  $(i+1)$  să fie diferită de ziua de naștere a persoanei  $j$ , pentru orice  $j \leq i$ , adică,

$$A_i = \{b_{i+1} \neq b_j : j = 1, 2, \dots, i\}.$$

Deoarece putem scrie  $B_k = A_{k-1} \cap B_{k-1}$ , din ecuația (6.20) obținem recurența

$$\Pr\{B_k\} = \Pr\{B_{k-1}\} \Pr\{A_{k-1}|B_{k-1}\}, \quad (6.46)$$

unde luăm  $\Pr\{B_1\} = 1$  drept condiție inițială. Cu alte cuvinte, probabilitatea ca  $b_1, b_2, \dots, b_k$  să fie zile de naștere distințe este probabilitatea ca  $b_1, b_2, \dots, b_{k-1}$  să fie distințe înmulțită cu probabilitatea ca  $b_k \neq b_i$ , pentru  $i = 1, 2, \dots, k-1$ , știind că  $b_1, b_2, \dots, b_{k-1}$  sunt distințte.

Dacă  $b_1, b_2, \dots, b_{k-1}$  sunt distințe, probabilitatea condiționată ca  $b_k \neq b_i$  pentru  $i = 1, 2, \dots, k-1$  este  $(n-k+1)/n$ , deoarece printre cele  $n$  zile există  $n-(k-1)$  care nu sunt luate în considerare. Iterând recurența (6.46), obținem

$$\begin{aligned}\Pr\{B_k\} &= \Pr\{B_1\} \Pr\{A_1|B_1\} \Pr\{A_2|B_2\} \dots \Pr\{A_{k-1}|B_{k-1}\} = \\ &= 1 \left( \frac{n-1}{n} \right) \left( \frac{n-2}{n} \right) \dots \left( \frac{n-k+1}{n} \right) = \\ &= 1 \left( 1 - \frac{1}{n} \right) \left( 1 - \frac{2}{n} \right) \dots \left( 1 - \frac{k-1}{n} \right).\end{aligned}$$

Inegalitatea (2.7),  $1+x \leq e^x$  ne dă

$$\Pr\{B_k\} \leq e^{-1/n} e^{-2/n} \dots e^{-(k-1)n} = e^{-\sum_{i=1}^{k-1} i/n} = e^{-k(k-1)/2n} \leq 1/2$$

când  $-k(k-1)/2n \leq \ln(1/2)$ . Probabilitatea ca toate cele  $k$  zile de naștere să fie distințe este cel mult  $1/2$  când  $k(k-1) \geq 2n \ln 2$ , adică pentru  $k \geq (1 + \sqrt{1 + (8 \ln 2)n})/2$ , rezultat obținut rezolvând inecuația pătratică. Pentru  $n = 365$ , trebuie să avem  $k \geq 23$ . Astfel, dacă în încăpere sunt cel puțin 23 de oameni, probabilitatea ca cel puțin doi să aibă aceeași zi de naștere este cel puțin  $1/2$ . Pe Marte, unde anul are 669 de zile, este nevoie de 31 de marțieni pentru a obține aceeași probabilitate.

## O altă metodă de analiză

Putem utiliza liniaritatea mediei (ecuația (6.26)) pentru a obține o analiză mai simplă, dar aproximativă, a paradoxului zilei de naștere. Pentru fiecare pereche  $(i, j)$  dintre cele  $k$  persoane din încăpere, să definim variabilele aleatoare  $X_{ij}$ , pentru  $1 \leq i < j \leq k$ , prin

$$X_{ij} = \begin{cases} 1 & \text{dacă persoanele } i \text{ și } j \text{ au aceeași zi de naștere} \\ 0 & \text{în caz contrar.} \end{cases}$$

Probabilitatea ca două persoane să aibă aceeași zi de naștere este  $1/n$  și astfel, conform definiției mediei (6.23),

$$E[X_{ij}] = 1 \cdot (1/n) + 0 \cdot (1 - 1/n) = 1/n.$$

Numărul mediu de perechi de indivizi având aceeași zi de naștere este, conform ecuației (6.24), suma mediilor individuale ale tuturor perechilor, care este

$$\sum_{i=2}^k \sum_{j=1}^{i-1} E[X_{ij}] = \binom{k}{2} \frac{1}{n} = \frac{k(k-1)}{2n}.$$

Când  $k(k-1) \geq 2n$ , numărul mediu de zile de naștere este cel puțin 1. Astfel, dacă avem cel puțin  $\sqrt{2n}$  persoane în încăpere, ne putem aștepta ca cel puțin două să aibă aceeași zi de naștere. Pentru  $n = 365$ , dacă  $k = 28$ , numărul mediu de persoane cu aceeași zi de naștere este  $(28 \cdot 27)/(2 \cdot 365) \approx 1,0536$ . Astfel, dacă avem cel puțin 28 de persoane, ne așteptăm să găsim cel puțin o pereche având aceeași zi de naștere. Pe Marte, unde un an este de 669 de zile, avem nevoie de cel puțin 38 de marțieni.

Prima analiză a determinat numărul de persoane necesar pentru ca probabilitatea existenței unei coincidențe a zilelor de naștere să fie mai mare decât  $1/2$ , iar a două analiză a determinat

numărul de persoane necesar pentru ca numărul mediu de coincidențe de zile de naștere să fie cel puțin 1. Deși numărul de oameni determinat în fiecare din cele două situații diferă, ambele sunt asimptotic la fel:  $\Theta(\sqrt{n})$ .

### 6.6.2. Bile și cutii

Considerăm procesul de aruncare aleatoare a unor bile identice în  $b$  cutii, numerotate cu  $1, 2, \dots, b$ . Aruncările sunt independente și, la fiecare aruncare, bila are aceeași probabilitate de a nimeri în oricare dintre cutii. Probabilitatea ca bila să aterizeze în oricare dintre cutiile date este  $1/b$ . Astfel, procesul de aruncare a bilelor este o secvență de probe bernoulliene cu o probabilitate de succes de  $1/b$ , unde succes înseamnă căderea bilei în cutia dată. Se poate formula o varietate de întrebări interesante referitoare la procesul de aruncare a bilelor.

*Câte bile cad într-o cutie dată?* Numărul de bile care cad într-o cutie dată urmează distribuția binomială  $b(k; n, 1/b)$ . Dacă se aruncă  $n$  bile, numărul mediu de bile care cad în cutia dată este  $n/b$ .

*Cât de multe bile trebuie aruncate, în medie, până când o cutie dată conține o bilă?* Numărul de aruncări, până când cutia dată conține o bilă, urmează distribuția geometrică cu probabilitatea  $1/b$  și astfel numărul mediu de aruncări, până se obține un succes, este  $1/(1/b) = b$ .

*Câte bile trebuie aruncate până când fiecare cutie conține cel puțin o bilă?* Să numim "lovitură" o aruncare în care o bilă cade într-o cutie goală. Dorim să știm numărul mediu  $n$  de aruncări necesare pentru a obține  $b$  lovituri.

Loviturile se pot utiliza pentru a partitura cele  $n$  aruncări în stadii. Al  $i$ -lea stadiu constă din aruncările de după a  $(i-1)$ -a lovitură până la a  $i$ -a lovitură. Primul stadiu constă din prima aruncare, deoarece ni se garantează că avem o lovitură atunci când toate cutiile sunt goale. Pentru fiecare aruncare din timpul celui de-al  $i$ -lea stadiu, există  $i-1$  cutii ce conțin bile și  $b-i+1$  cutii goale. Astfel, pentru toate aruncările din stadiul  $i$ , probabilitatea de a obține o lovitură este  $(b-i+1)/b$ .

Fie  $n_i$  numărul de aruncări la al  $i$ -lea stadiu. Astfel, numărul de aruncări necesare pentru a obține  $b$  lovituri este  $n = \sum_{i=1}^b n_i$ . Fiecare variabilă aleatoare  $n_i$  are o distribuție geometrică cu probabilitatea de succes  $(b-i+1)/b$  și de aceea

$$E[n_i] = \frac{b}{b-i+1}.$$

Din liniaritatea mediei, obținem

$$E[n] = E\left[\sum_{i=1}^b n_i\right] = \sum_{i=1}^b E[n_i] = \sum_{i=1}^b \frac{b}{b-i+1} = b \sum_{i=1}^b \frac{1}{i} = b(\ln b + O(1)).$$

Ultima inegalitate rezultă din marginea (3.5) referitoare la seria armonică. Deci sunt necesare aproximativ  $b \ln b$  aruncări înainte de a ne putea aștepta ca fiecare cutie să conțină o bilă.

### 6.6.3. Linii (secvențe)

Să presupunem că aruncăm o monedă perfectă de  $n$  ori. Care este cea mai lungă linie (secvență) de steme consecutive pe care ne așteptăm să-o obținem? Răspunsul este  $\Theta(\lg n)$ , aşa cum ne arată analiza următoare.

Vom demonstra, întâi, că lungimea celei mai lungi secvențe de steme este  $O(\lg n)$ . Fie  $A_{ik}$  evenimentul ca o secvență de steme de lungime cel puțin  $k$  să înceapă de la a  $i$ -a aruncare sau, mai precis, evenimentul ca cele  $k$  aruncări consecutive,  $i, i+1, \dots, i+k-1$  să ne dea numai steme, unde  $1 \leq k \leq n$  și  $1 \leq i \leq n-k+1$ . Pentru un eveniment dat  $A_{ik}$ , probabilitatea ca toate cele  $k$  aruncări să aibă ca rezultat stema, are o distribuție geometrică cu  $p = q = 1/2$ :

$$\Pr\{A_{ik}\} = 1/2^k. \quad (6.47)$$

Pentru  $k = 2 \lceil \lg n \rceil$ ,

$$\Pr\{A_{i,2\lceil \lg n \rceil}\} = 1/2^{2\lceil \lg n \rceil} \leq 1/2^{2\lg n} = 1/n^2,$$

și, astfel, probabilitatea ca o secvență de steme de lungime cel puțin  $\lceil 2 \lg n \rceil$  să înceapă din poziția  $i$  este chiar mică, considerând că sunt cel mult  $n$  poziții (de fapt  $n - 2\lceil \lg n \rceil + 1$ ) în care secvența ar putea începe. Probabilitatea ca o secvență de steme de lungime cel puțin  $\lceil 2 \lg n \rceil$  să înceapă oriunde este deci

$$\Pr\left\{\bigcup_{i=1}^{n-2\lceil \lg n \rceil+1} A_{i,2\lceil \lg n \rceil}\right\} \leq \sum_{i=1}^n 1/n^2 = \frac{1}{n},$$

deoarece, conform inegalității lui Boole (6.22), probabilitatea unei reuniuni de evenimente este cel mult suma probabilităților evenimentelor individuale. (De notat că inegalitatea lui Boole are loc și pentru evenimente care nu sunt independente.)

Probabilitatea ca orice secvență să aibă lungimea cel puțin  $2\lceil \lg n \rceil$  este cel mult  $1/n$ ; deci probabilitatea ca cea mai lungă secvență să aibă lungimea mai mică decât  $2\lceil \lg n \rceil$  este cel puțin  $1 - 1/n$ . Deoarece fiecare secvență are lungimea cel mult  $n$ , lungimea medie a celei mai lungi secvențe este mărginită superior de

$$(\lceil 2 \lg n \rceil)(1 - 1/n) + n(1/n) = O(\lg n).$$

Șansa ca o secvență de steme să depășească  $r\lceil \lg n \rceil$  se diminuează rapid o dată cu  $r$ . Pentru  $r \geq 1$ , probabilitatea ca o secvență de  $r\lceil \lg n \rceil$  să înceapă în poziția  $i$  este

$$\Pr\{A_{i,r\lceil \lg n \rceil}\} = 1/2^{r\lceil \lg n \rceil} \leq 1/n^r.$$

Astfel, probabilitatea ca cea mai lungă secvență să aibă lungimea cel puțin  $r\lceil \lg n \rceil$  este cel mult  $n/n^r = 1/n^{r-1}$ , sau echivalent, probabilitatea ca cea mai lungă secvență să aibă lungimea mai mică decât  $r\lceil \lg n \rceil$  este cel puțin  $1 - 1/n^{r-1}$ .

De exemplu, pentru  $n = 1000$  de aruncări de monedă, probabilitatea de a avea o secvență de cel puțin  $2\lceil \lg n \rceil = 20$  de steme este de cel mult  $1/n = 1/1000$ . Șansa de a avea o secvență mai lungă de  $3\lceil \lg n \rceil = 30$  de steme este de cel mult  $1/n^2 = 1/1000000$ .

Vom demonstra acum o margine inferioară complementară: lungimea celei mai lungi secvențe de steme în  $n$  aruncări este  $\Omega(\lg n)$ . Pentru a demonstra această margine vom căuta o secvență de lungime  $\lfloor \lg n \rfloor / 2$ . Din ecuația (6.47) avem

$$\Pr\{A_{i,\lfloor \lg n \rfloor / 2}\} = 1/2^{\lfloor \lg n \rfloor / 2} \geq 1/\sqrt{n}.$$

Probabilitatea ca o secvență de lungime cel puțin  $\lfloor \lg n \rfloor / 2$  să nu înceapă în poziția  $i$  este deci cel mult  $1 - 1/\sqrt{n}$ . Putem partitura cele  $n$  aruncări ale monedei în cel puțin  $\lfloor 2n/\lfloor \lg n \rfloor \rfloor$  grupuri

de  $\lfloor \lg n \rfloor / 2$  aruncări consecutive de monede. Deoarece aceste grupuri sunt formate din aruncări mutual exclusive și independente, probabilitatea ca nici unul dintre aceste grupuri să nu fie o secvență de lungime  $\lfloor \lg n \rfloor / 2$  este

$$(1 - 1/\sqrt{n})^{\lfloor 2n/\lfloor \lg n \rfloor \rfloor} \leq (1 - 1/\sqrt{n})^{2n/\lg n - 1} \leq e^{-(2n/\lg n - 1)/\sqrt{n}} = O(e^{-\lg n}) = O(1/n).$$

Pentru a justifica aceasta, am utilizat inegalitatea (2.7),  $1 + x \leq e^x$ . Astfel, probabilitatea ca cea mai lungă linie să depășească  $\lfloor \lg n \rfloor / 2$  este cel puțin  $1 - O(1/n)$ . Deoarece cea mai lungă secvență are lungimea cel puțin 0, lungimea medie a celei mai lungi linii (secvențe) este de cel puțin

$$(\lfloor \lg n \rfloor / 2)(1 - O(1/n)) + 0 \cdot (1/n) = \Omega(\lg n).$$

## Exerciții

**6.6-1** Presupunem că mai multe bile sunt aruncate în  $b$  cutii. Fiecare aruncare este independentă și fiecare bilă are aceeași probabilitate de a ajunge în oricare dintre cutii. Care este numărul mediu de bile aruncate, înainte ca cel puțin una din cutii să conțină două bile?

**6.6-2** \* Pentru analiza paradoxului zilei de naștere, este important ca zilele de naștere să fie independente în totalitate (mutual independente) sau este suficient să fie independente două câte două? Justificați răspunsul.

**6.6-3** \* Câtă oameni trebuie invitați la o petrecere pentru a face verosimilă existența a *trei* dintre ei cu aceeași zi de naștere?

**6.6-4** \* Care este probabilitatea ca un  $k$ -șir peste o mulțime de lungime  $n$  să fie o  $k$ -permutare? Ce legătură este între această chestiune și paradoxul zilei de naștere?

**6.6-5** \* Presupunem că  $n$  bile sunt aruncate în  $n$  cutii, fiecare aruncare este independentă și fiecare bilă are aceeași probabilitate de a nimeri în oricare dintre cutii. Care este numărul mediu de cutii goale? Care este numărul mediu de cutii cu exact o bilă?

**6.6-6** \* Îmbunătățiți marginea inferioară a lungimii unei secvențe arătând că, pentru  $n$  aruncări ale unei monede perfecte, probabilitatea ca să nu apară nici o linie de mai mult de  $\lg n - 2 \lg \lg n$  steme consecutive este mai mică decât  $1/n$ .

## Probleme

### 6-1 Bile și cutii

În această problemă investigăm efectul diverselor ipoteze asupra numărului de moduri de a plasa  $n$  bile în  $b$  cutii distințe.

- a. Să presupunem că cele  $n$  bile sunt distințe și ordinea lor într-o cutie nu contează. Argumentați că numărul de moduri în care se pot așeza bilele în cutii este  $b^n$ .

- b. Să presupunem că bilele sunt distințe și că bilele din fiecare cutie sunt ordonate. Demonstrați că numărul de moduri în care se pot așeza bilele în cutii este  $(b+n-1)!/(b-1)!$ . (*Indica ie:* Considerați numărul de moduri de aranjare a  $n$  bile distințe și  $b-1$  bețișoare nedistinctibile într-un rând.)
- c. Presupunem că bilele sunt identice și că ordinea lor în cutie nu contează. Arătați că numărul de moduri în care se pot așeza bilele în cutii este  $\binom{b+n-1}{n}$ . (*Indica ie:* câte dintre aranjamentele din partea (b) se repetă dacă bilele devin identice?)
- d. Presupunem că bilele sunt identice și că nici o cutie nu conține mai mult de o bilă. Arătați că numărul de moduri în care se pot așeza bilele este  $\binom{b}{n}$ .
- e. Presupunem că bilele sunt identice și că nici o cutie nu poate rămâne goală. Arătați că numărul de moduri în care se pot așeza bilele este  $\binom{n-1}{b-1}$ .

### 6-2 Analiza programului de determinare a maximului

Programul următor determină valoarea maximă dintr-un tablou neordonat  $A[1..n]$ .

```

1: max ← −∞
2: pentru i ← 1, n execută
3:   ▷ Compară  $A[i]$  cu max
4:   dacă  $A[i] > max$  atunci
5:     max ←  $A[i]$ 
```

Dorim să determinăm numărul mediu de execuții ale atribuirii din linia 5. Presupunem că numerele din  $A$  sunt o permutare aleatoare a  $n$  numere distințe.

- a. Dacă un număr  $x$  este ales aleator dintr-o mulțime de  $i$  numere distințe, care este probabilitatea ca  $x$  să fie cel mai mare din mulțime?
- b. Care este relația dintre  $A[i]$  și  $A[j]$  când se execută linia 5 a programului, pentru  $1 \leq j \leq i$ ?
- c. Pentru orice  $i$  din domeniul  $1 \leq i \leq n$ , care este probabilitatea ca linia 5 să fie executată?
- d. Fie  $s_1, s_2, \dots, s_n$  variabile aleatoare, unde  $s_i$  reprezintă numărul de execuții (0 sau 1) ale liniei 5 în timpul celei de-a  $i$ -a iterării a ciclului **pentru**. Ce este  $E[s_i]$ ?
- e. Fie  $s = s_1 + s_2 + \dots + s_n$  numărul total de execuții ale liniei 5 în timpul unei execuții a programului. Arătați că  $E[s] = \Theta(\lg n)$ .

### 6-3 Problema angajării

D-na profesoară Dixon vrea să angajeze un nou asistent cercetător. Ea a aranjat interviuri cu  $n$  solicitanți și vrea să-și bazeze decizia doar pe calificarea lor. Din nefericire, regulile universității cer ca după fiecare interviu candidatul să fie respins sau să i se ofere postul solicitat. Profesoara Dixon a decis să adopte strategia de a selecta un întreg pozitiv  $k < n$ , să intervieweze și să respingă primii  $k$  solicitanți și apoi să-l angajeze pe solicitantul care este mai pregătit decât toți solicitanții precedenți. Dacă cel mai bun este între primii  $k$  interviewați, va fi angajat al  $n$ -lea solicitant. Arătați că d-na profesoară Dixon își maximizează sansa de a angaja cel mai bine pregătit solicitant, alegând  $k$  aproximativ egal cu  $n/e$  și că sansa de a-l angaja pe cel mai bine pregătit este atunci aproximativ  $1/e$ .

#### 6-4 Numărare probabilistică

Cu un contor de  $t$  biți putem număra în mod obișnuit până la  $2^t - 1$ . Cu **numărarea probabilistică** a lui R. Morris putem număra până la valori mult mai mari, cu prețul unei pierderi a preciziei. Vom lua o valoare de contor  $i$  care va reprezenta numărul de  $n_i$ , pentru  $i = 0, 1, \dots, 2^t - 1$ , unde  $n_i$  formează o secvență crescătoare de valori nenegative. Vom presupune că valoarea inițială a contorului este 0, reprezentând numărul de valori  $n_0 = 0$ . Operația INCREMENTEAZĂ lucrează pe un contor ce conține valoarea  $i$  în mod probabilist. Dacă  $i = 2^t - 1$ , se raportează o eroare de tip depășire superioară. Altfel, contorul este incrementat cu 1 cu probabilitatea  $1/(n_{i+1} - n_i)$  și rămâne neschimbat cu probabilitatea  $1 - 1/(n_{i+1} - n_i)$ . Dacă selectăm  $n_i = i$ , pentru orice  $i \geq 0$ , atunci contorul este unul obișnuit. O situație mai interesantă apare dacă selectăm, de exemplu,  $n_i = 2^{i-1}$ , pentru  $i > 0$ , sau  $n_i = F_i$  (al  $i$ -lea număr Fibonacci – vezi secțiunea 2.2). Pentru această problemă să presupunem că  $n_{2^t-1}$  este suficient de mare, astfel ca probabilitatea unei depășiri superioare să fie neglijabilă.

- a. Arătați că valoarea medie reprezentată de contor, după ce au fost efectuate  $n$  operații INCREMENTEAZĂ, este exact  $n$ .
- b. Analiza dispersiei numărului reprezentat de contor depinde de secvența de numere  $n_i$ . Să considerăm un caz simplu:  $n_i = 100i$ , pentru orice  $i \geq 0$ . Estimați dispersia valorii reprezentate de registru după ce au fost efectuate  $n$  operații INCREMENTEAZĂ.

## Note bibliografice

Primele metode generale de rezolvare a problemelor de probabilități au fost discutate în celebra corespondență dintre B. Pascal și P. de Fermat, care a început în 1654 și într-o carte a lui C. Huygens din 1657. Teoria riguroasă a probabilităților a început cu lucrarea lui J. Bernoulli din 1713 și cu cea a lui A. de Moivre din 1730. Dezvoltări ulterioare ale teoriei au fost date de P. S. de Laplace, S.-D. Poisson și C. F. Gauss.

Sumele de variabile aleatoare au fost studiate pentru prima dată de P. L. Chebyshev (Cebîșev) și de A. A. Markov. Teoria probabilităților a fost axiomatizată de A. N. Kolmogorov în 1933. Marginile pentru cozile distribuțiilor au fost date de Chernoff [40] și Hoeffding [99]. Lucrarea de bază referitoare la structurile aleatoare combinatorice a fost dată de P. Erdős.

Knuth [121] și Liu [140] sunt referințe bune pentru combinatorică elementară și numărare. Cărți standard ca Billingsley [28], Chung [41], Drake [57], Feller [66] și Rozanov [171] dau o introducere comprehensivă în teoria probabilităților. Bollobás [30], Hofri [100] și Spencer [179] conțin o mare varietate de tehnici probabilistice avansate.

---

---

## **II Ordonare și statistici de ordine**

---

## Introducere

Această parte prezintă mai mulți algoritmi care rezolvă urmatoarea **problemă de ordonare**:

**Intrare:** Un sir de  $n$  numere  $\langle a_1, a_2, \dots, a_n \rangle$ .

**Ieșire:** O permutare (reordonare)  $\langle a'_1, a'_2, \dots, a'_n \rangle$  a sirului dat astfel încât  $a'_1 \leq \dots \leq a'_n$ .

Sirul de intrare este, de obicei, un tablou cu  $n$  elemente, deși el poate fi reprezentat și în alt mod, de exemplu sub forma unei liste înlănțuite.

## Structura datelor

În practică, numerele care trebuie ordonate sunt rareori valori izolate. De obicei, fiecare număr face parte dintr-o colecție de date numită **articol**. Fiecare articol conține o **cheie**, care este valoarea ce trebuie ordonată, iar restul articoului conține **date adiționale**, care sunt, de obicei, mutate împreună cu cheia. În practică, atunci când un algoritm de ordonare interschimbă cheile, el trebuie să interschimbe și datele adiționale. Dacă fiecare articol include o cantitate mare de date adiționale, de multe ori interschimbăm un tablou de pointeri la articole, în loc să interschimbăm articolele însăși, cu scopul de a minimiza cantitatea de date care este manevrată.

Dintron un anumit punct de vedere, tocmai aceste detalii de implementare disting un algoritm de programul propriu-zis. Faptul că sortăm numere individuale sau articole mari, ce conțin numere, este irelevant pentru *metoda* prin care o procedură de ordonare determină ordinea elementelor. Astfel, atunci când ne concentrăm asupra problemei sortării, presupunem, de obicei, că intrarea constă numai din numere. Implementarea unui algoritm care sortează numere este directă din punct de vedere conceptual, deși, într-o situație practică dată, pot exista și alte subtilități care fac ca implementarea propriu-zisă a algoritmului să fie o sarcină dificilă.

## Algoritmi de sortare

În capitolul 1 am prezentat doi algoritmi care ordonează  $n$  numere naturale. Sortarea prin inserție necesită, în cazul cel mai defavorabil, un timp de ordinul  $\Theta(n^2)$ . Totuși, datorită faptului că buclele sale interioare sunt mici, el este un algoritm rapid de sortare pe loc pentru dimensiuni mici ale datelor de intrare. (Reamintiți-vă faptul că un algoritm de sortare sortează **pe loc** dacă doar un număr constant de elemente ale tabloului de intrare sunt stocate în afara tabloului la un moment dat.) Sortarea prin interclasare are un timp de execuție asimptotic mai bun,  $\Theta(n \lg n)$ , dar procedura MERGE nu sortează în loc.

În această parte, vom introduce doi algoritmi noi de sortare pentru numere reale arbitrar. Heapsort, prezentat în capitolul 7, sortează pe loc  $n$  numere arbitrar într-un timp  $O(n \lg n)$ . Acest algoritm folosește o structură de date importantă, numită heap, pentru a implementa o coadă de prioritate.

Sortarea rapidă, prezentată în capitolul 8, sortează și ea pe loc  $n$  numere, dar timpul său de execuție, pentru cazul cel mai defavorabil, este  $\Theta(n^2)$ . Timpul mediu de execuție este  $\Theta(n \lg n)$  și, de obicei, mai bun decât este, în practică, Heapsort. La fel ca sortarea prin inserție, quicksort are un cod foarte compact, și, deci, factorul constantei ascunse din timpul său de execuție este mic. Sortarea rapidă este un algoritm pentru sortarea tablourilor de dimensiuni foarte mari.

Sortarea prin inserție, sortarea prin interclasare, heapsort și sortarea rapidă sunt toți algoritmi de sortare prin comparare: ei determină ordinea elementelor unui tablou de intrare comparându-i elementele. Capitolul 9 începe prin introducerea modelului arborelui de decizie pentru studiul limitărilor de performanță ale sortărilor prin comparare. Folosind acest model, vom demonstra o limită inferioară de  $\Omega(n \lg n)$  pentru timpul de execuție al celui mai defavorabil caz al oricărei sortări prin comparare a  $n$  elemente, demonstrând astfel că heapsort și sortarea prin interclasare sunt sortări prin comparare, optime din punct de vedere asimptotic.

În capitolul 9, se arată, apoi, că putem învinge această limită inferioară de  $\Omega(n \lg n)$  dacă putem aduna informații despre ordinea elementelor prin alte mijloace decât compararea elementelor. De exemplu, algoritmul de sortare prin numărare presupune că numerele de intrare fac parte din mulțimea  $\{1, 2, \dots, k\}$ . Folosind indexarea tablourilor ca instrument pentru determinarea ordinii relative, sortarea prin numărare poate sorta  $n$  numere într-un timp de ordinul  $O(k + n)$ . Astfel, atunci când  $k = O(n)$ , sortarea prin numărare se execută într-un timp ce depinde, liniar, de numărul elementelor din tabloul de intrare. Un algoritm înrudit, radix sort, poate fi folosit pentru a extinde domeniul ordonării prin numărare. Dacă avem de ordinat  $n$  numere întregi, fiecare număr având  $d$  cifre, cu fiecare cifră aparținând mulțimii  $\{1, 2, \dots, k\}$ , sortarea pe baza cifrelor poate ordona numerele într-un timp de ordinul  $O(d(n + k))$ . Dacă  $d$  este constant și  $k$  este  $O(n)$ , sortarea pe baza cifrelor se execută într-un timp liniar. Un alt treilea algoritm, sortarea pe grupe, necesită informații despre distribuția probabilistică a numerelor din tabloul de intrare. Algoritmul poate sorta  $n$  numere reale, distribuite uniform în intervalul semideschis  $[0, 1]$ , într-un timp mediu de ordinul  $O(n)$ .

## Statistici de ordine

Statistica de ordinul  $i$  a unei mulțimi de  $n$  numere este al  $i$ -lea cel mai mic număr din mulțime. Desigur, o persoană poate determina statistică de ordinul  $i$ , sortând intrarea și selectând elementul cu indicele  $i$  al ieșirii. Fără nici o presupunere despre distribuția elementelor, această metodă rulează într-un timp de ordinul  $\Omega(n \lg n)$ , după cum arată și limita inferioară determinată în capitolul 9.

În capitolul 10, vom arăta că putem determina al  $i$ -lea cel mai mic element în timpul  $O(n)$ , chiar și atunci când elementele sunt numere reale arbitrar. Vom prezenta un algoritm având un pseudocod compact care se execută în timpul  $O(n^2)$  în cazul cel mai defavorabil, dar într-un timp liniar în cazul general. Vom da, de asemenea, și un algoritm mai complicat, care se execută într-un timp  $O(n)$  în cazul cel mai defavorabil.

## Fundamente

Desi cele mai multe lucruri prezentate în această parte nu se bazează pe elemente matematice dificile, anumite secțiuni cer o abordare sofisticată din punct de vedere matematic. În special, analizele timpilor medii de execuție ai algoritmilor de sortare rapida, sortare pe grupe, precum și ai algoritmului bazat pe statistici de ordine folosesc elemente de probabilistică, elemente ce sunt prezentate în capitolul 6. Analiza timpului de execuție al statisticii de ordine pentru cazul cel mai defavorabil necesită elemente matematice puțin mai sofisticate decât celelalte analize pentru timpii de execuție în cazurile cele mai defavorabile din această parte.

---

## 7 Heapsort

În acest capitol vom prezenta un nou algoritm de sortare. Asemănător sortării prin interclasare, dar diferit de sortarea prin inserare, timpul de execuție al algoritmului heapsort este  $O(n \lg n)$ . Asemănător sortării prin inserare și diferit de sortarea prin interclasare, prin heapsort se ordonează elementele în spațiul alocat vectorului: la un moment dat doar un număr constant de elemente ale vectorului sunt păstrate în afara spațiului alocat vectorului de intrare. Astfel, algoritmul heapsort combină calitățile celor doi algoritmi de sortare prezențați deja.

Heapsort introduce o tehnică nouă de proiectare a algoritmilor bazată pe utilizarea unei structuri de date, numită de regulă *heap*<sup>1</sup>. Structura de date heap este utilă nu doar pentru algoritmul heapsort, ea poate fi la fel de utilă și în tratarea eficientă a unei cozi de prioritate. Cu structura de date heap ne vom mai întâlni în algoritmii din capitolele următoare.

Amintim că termenul heap a fost introdus și utilizat inițial în contextul algoritmului heapsort, dar acesta se folosește și în legătură cu alocarea dinamică, respectiv în tratarea memoriei bazate pe “colectarea reziduurilor” (*garbage collected storage*), de exemplu în limbajele de tip Lisp. Structura de date heap *nu* se referă la heap-ul menționat în alocarea dinamică, și ori de câte ori, în această carte vom vorbi despre heap, vom înțelege structura definită în acest capitol.

---

### 7.1. Heap-uri

Structura de date **heap (binar)** este un vector care poate fi vizualizat sub forma unui arbore binar aproape complet (vezi secțiunea 5.5.3), conform figurii 7.1. Fiecare nod al arborelui corespunde unui element al vectorului care conține valorile atașate nodurilor. Arborele este plin, exceptând eventual nivelul inferior, care este plin de la stânga la dreapta doar până la un anumit loc. Un vector  $A$  care reprezintă un heap are două attribute:  $\text{lungime}[A]$ , care reprezintă numărul elementelor din vector și  $\text{dimensiune-heap}[A]$  reprezintă numărul elementelor heap-ului memorat în vectorul  $A$ . Astfel, chiar dacă  $A[1..\text{lungime}[A]]$  conține în fiecare element al său date valide, este posibil ca elementele următoare elementului  $A[\text{dimensiune-heap}[A]]$ , unde  $\text{dimensiune-heap}[A] \leq \text{lungime}[A]$ , să nu aparțină heap-ului. Rădăcina arborelui este  $A[1]$ . Dat fiind un indice  $i$ , corespunzător unui nod, se pot determina ușor indicii părintelui acestuia  $\text{PĂRINTE}(i)$ , al fiului  $\text{STÂNGA}(i)$  și al fiului  $\text{DREAPTA}(i)$ .

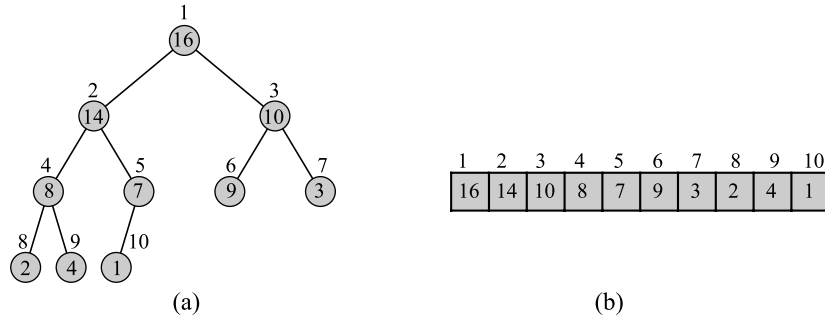
$\text{PĂRINTE}(i)$   
returnează  $\lfloor i/2 \rfloor$

$\text{STÂNGA}(i)$   
returnează  $2i$

$\text{DREAPTA}(i)$   
returnează  $2i + 1$

---

<sup>1</sup>unii autori români, folosesc termenul “ansamblu”.



**Figura 7.1** Un heap reprezentat sub forma unui arbore binar (a) și sub forma unui vector (b). Numerele înscrise în cercurile reprezentând nodurile arborelui sunt valorile atașate nodurilor, iar cele scrise lângă cercuri sunt indicii elementelor corespunzătoare din vector.

În cele mai multe cazuri, procedura STÂNGA poate calcula valoarea  $2i$  cu o singură instrucție, translatănd reprezentarea binară a lui  $i$  la stânga cu o poziție binară. Similar, procedura DREAPTA poate determina rapid valoarea  $2i + 1$ , translatănd reprezentarea binară a lui  $i$  la stânga cu o poziție binară, iar bitul nou intrat pe poziția binară cea mai nesemnificativă va fi 1. În procedura PĂRINTE valoarea  $\lfloor i/2 \rfloor$  se va calcula prin translatarea cu o poziție binară la dreapta a reprezentării binare a lui  $i$ . Într-o implementare eficientă a algoritmului heapsort, aceste proceduri sunt adeseori codificate sub forma unor “macro-uri” sau a unor proceduri “in-line”.

Pentru orice nod  $i$ , diferit de rădăcină, este adevărată următoarea **proprietate de heap**:

$$A[\text{PĂRINTE}(i)] \geq A[i], \quad (7.1)$$

adică valoarea atașată nodului este mai mică sau egală cu valoarea asociată părintelui său. Astfel cel mai mare element din heap este păstrat în rădăcină, iar valorile nodurilor oricărui subarbore al unui nod sunt mai mici sau egale cu valoarea nodului respectiv.

Definim **înălțimea** unui nod al arborelui ca fiind numărul muchiilor aparținând celui mai lung drum care leagă nodul respectiv cu o frunză, iar **înălțimea** arborelui ca fiind **înălțimea rădăcinii**. Deoarece un heap având  $n$  elemente corespunde unui arbore binar complet, **înălțimea** acestuia este  $\Theta(\lg n)$  (vezi exercițiul 7.1-2). Vom vedea că timpul de execuție al operațiilor de bază, care se efectuează pe un heap, este proporțional cu **înălțimea** arborelui și este  $O(\lg n)$ . În cele ce urmează, vom prezenta cinci proceduri și modul lor de utilizare în algoritmul de sortare, respectiv într-o structură de tip coadă de prioritate.

- Procedura RECONSTITUIE-HEAP are timpul de execuție  $O(\lg n)$  și este de primă importanță în întreținerea proprietății de heap (7.1).
- Procedura CONSTRUIEȘTE-HEAP are un timp de execuție liniar și generează un heap dintr-un vector neordonat, furnizat la intrare.
- Procedura HEAPSORT se execută în timpul  $O(n \lg n)$  și ordonează un vector în spațiul alocat acestuia.
- Procedurile EXTRAGE-MAX și INSEREAZĂ se execută în timpul  $O(\lg n)$ , iar cu ajutorul lor se poate utiliza un heap în realizarea unei cozi de prioritate.

## Exerciții

**7.1-1** Care este cel mai mic, respectiv cel mai mare număr de elemente dintr-un heap având înălțimea  $h$ ?

**7.1-2** Arătați că un heap având  $n$  elemente are înălțimea  $\lfloor \lg n \rfloor$ .

**7.1-3** Arătați că în orice subarbore al unui heap, rădăcina subarborelui conține cea mai mare valoare care apare în acel subarbore.

**7.1-4** Unde se poate afla cel mai mic element al unui heap, presupunând că toate elementele sunt distincte?

**7.1-5** Este vectorul în care elementele se succed în ordine descrescătoare un heap?

**7.1-6** Este secvența  $\langle 23, 17, 14, 6, 13, 10, 1, 5, 7, 12 \rangle$  un heap?

## 7.2. Reconstituirea proprietății de heap

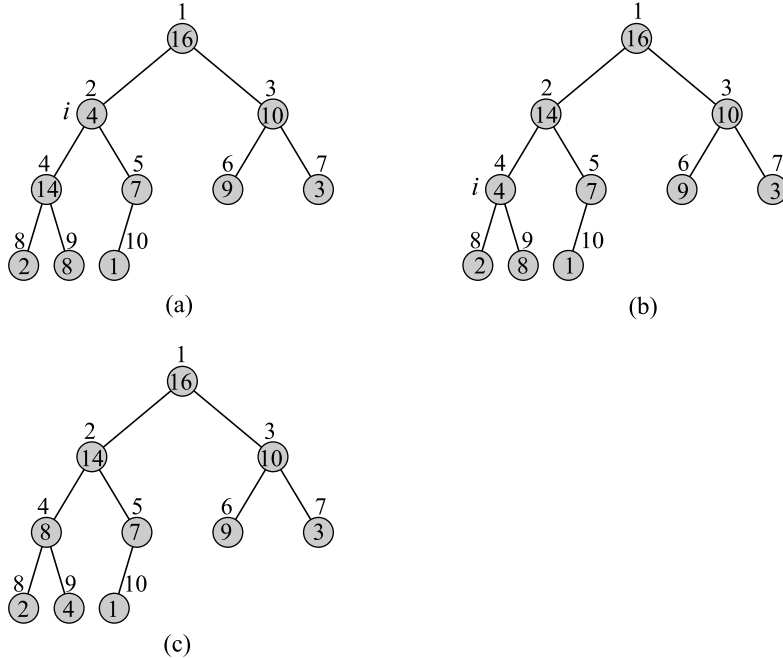
Procedura RECONSTITUIE-HEAP este un subprogram important în prelucrarea heap-urilor. Datele de intrare ale acesteia sunt un vector  $A$  și un indice  $i$  din vector. Atunci când se apelează RECONSTITUIE-HEAP, se presupune că subarborii, având ca rădăcini nodurile  $STÂNGA(i)$  respectiv  $DREAPTA(i)$ , sunt heap-uri. Dar, cum elementul  $A[i]$  poate fi mai mic decât descendenții săi, acesta nu respectă proprietatea de heap (7.1). Sarcina procedurii RECONSTITUIE-HEAP este de a “scufunda” în heap valoarea  $A[i]$ , astfel încât subarborele care are în rădăcină valoarea elementului de indice  $i$ , să devină un heap.

```

RECONSTITUIE-HEAP( $A, i$ )
1:  $l \leftarrow STÂNGA(i)$ 
2:  $r \leftarrow DREAPTA(i)$ 
3: dacă  $l \leq dimesiune-heap[A]$  și  $A[l] > A[i]$  atunci
4:    $maxim \leftarrow l$ 
5: altfel
6:    $maxim \leftarrow i$ 
7: dacă  $r \leq dimesiune-heap[A]$  și  $A[r] > A[maxim]$  atunci
8:    $maxim \leftarrow r$ 
9: dacă  $maxim \neq i$  atunci
10:  schimbă  $A[i] \leftrightarrow A[maxim]$ 
11:  RECONSTITUIE-HEAP( $A, maxim$ )

```

Figura 7.2 ilustrează efectul procedurii RECONSTITUIE-HEAP. La fiecare pas se determină cel mai mare element dintre  $A[i]$ ,  $A[STÂNGA(i)]$  și  $A[DREAPTA(i)]$ , iar indicele său se păstrează în variabila  $maxim$ . Dacă  $A[i]$  este cel mai mare, atunci subarborele având ca rădăcină nodul  $i$  este un heap și procedura se termină. În caz contrar, cel mai mare element este unul dintre cei doi descendenți și  $A[i]$  este interschimbat cu  $A[maxim]$ . Astfel, nodul  $i$  și descendenții săi satisfac proprietatea de heap. Nodul  $maxim$  are acum valoarea inițială a lui  $A[i]$ , deci este posibil ca



**Figura 7.2** Efectul procedurii RECONSTITUIE-HEAP( $A, 2$ ), unde  $\text{dimensiune-heap}[A] = 10$ . (a) Configurația inițială a heap-ului, unde  $A[2]$  (pentru nodul  $i = 2$ ), nu respectă proprietatea de heap deoarece nu este mai mare decât descendenții săi. Proprietatea de heap este restabilită pentru nodul 2 în (b) prin interschimbarea lui  $A[2]$  cu  $A[4]$ , ceea ce anulează proprietatea de heap pentru nodul 4. Apelul recursiv al procedurii RECONSTITUIE-HEAP( $A, 4$ ) poziționează valoarea lui  $i$  pe 4. După interschimbarea lui  $A[4]$  cu  $A[9]$ , aşa cum se vede în (c), nodul 4 ajunge la locul său și apelul recursiv RECONSTITUIE-HEAP( $A, 9$ ) nu mai găsește elemente care nu îndeplinească proprietatea de heap.

subarborele de rădăcină *maxim* să nu îndeplinească proprietatea de heap. Rezultă că procedura RECONSTITUIE-HEAP trebuie apelată recursiv din nou pentru acest subarbore.

Timpul de execuție al procedurii RECONSTITUIE-HEAP, corespunzător unui arbore de rădăcină  $i$  și dimensiune  $n$ , este  $\Theta(1)$ , timp în care se pot analiza relațiile dintre  $A[i]$ ,  $A[\text{STÂNGA}(i)]$  și  $A[\text{DREAPTA}(i)]$  la care trebuie adăugat timpul în care RECONSTITUIE-HEAP se execută pentru subarborele având ca rădăcină unul dintre descendenții lui  $i$ . Dimensiunea acestor subarbore este de cel mult  $2n/3$  – cazul cel mai defavorabil fiind acela în care nivelul inferior al arborelui este plin exact pe jumătate – astfel, timpul de execuție al procedurii RECONSTITUIE-HEAP poate fi descris prin următoarea inegalitate recursivă:

$$T(n) \leq T(2n/3) + \Theta(1).$$

Soluția acestei recurențe se obține pe baza celui de-al doilea caz al teoremei master (teorema 4.1):  $T(n) = O(\lg n)$ . Timpul de execuție al procedurii RECONSTITUIE-HEAP pentru un nod de înălțime  $h$  poate fi exprimat alternativ ca fiind egal cu  $O(h)$ .

## Exerciții

**7.2-1** Utilizând ca model figura 7.2, ilustrați modul de funcționare al procedurii RECONSTITUIE-HEAP( $A, 3$ ) pentru vectorul  $A = \langle 27, 17, 3, 16, 13, 10, 1, 5, 7, 12, 4, 8, 9, 0 \rangle$ .

**7.2-2** Care este efectul apelului procedurii RECONSTITUIE-HEAP( $A, i$ ), dacă elementul  $A[i]$  este mai mare decât descendenții săi?

**7.2-3** Care este efectul procedurii RECONSTITUIE-HEAP( $A, i$ ) pentru  $i > \text{dimesiune-heap}[A]/2$ ?

**7.2-4** Procedura RECONSTITUIE-HEAP poate fi implementată eficient din punct de vedere al timpului constant de execuție, dar se poate întâmpla ca anumite compilatoare să genereze cod inefficient pentru apelul recursiv din linia a 11-a. Elaborați o variantă a procedurii RECONSTITUIE-HEAP, în care recursivitatea este înlocuită cu iterativitate.

**7.2-5** Arătați că timpul de execuție a procedurii RECONSTITUIE-HEAP, în cazul unui heap de dimensiune  $n$ , este, în cel mai defavorabil caz,  $\Omega(\lg n)$ . (*Indica ie:* În cazul unui heap format din  $n$  elemente, determinați valorile atașate nodurilor astfel încât procedura RECONSTITUIE-HEAP să fie apelată recursiv pentru toate nodurile aparținând drumurilor care pornesc de la rădăcină la frunze.)

## 7.3. Construirea unui heap

Procedura RECONSTITUIE-HEAP poate fi utilizată “de jos în sus” pentru transformarea vectorului  $A[1..n]$  în heap, unde  $n = \text{lungime}[A]$ . Deoarece toate elementele subșirului  $A[(\lfloor n/2 \rfloor + 1)..n]$  sunt frunze, acestea pot fi considerate ca fiind heap-uri formate din câte un element. Astfel, procedura CONSTRUIEȘTE-HEAP trebuie să traverseze doar restul elementelor și să execute procedura RECONSTITUIE-HEAP pentru fiecare nod  $i$  încât să formeze heap-uri înainte ca RECONSTITUIE-HEAP să fie executat pentru aceste noduri.

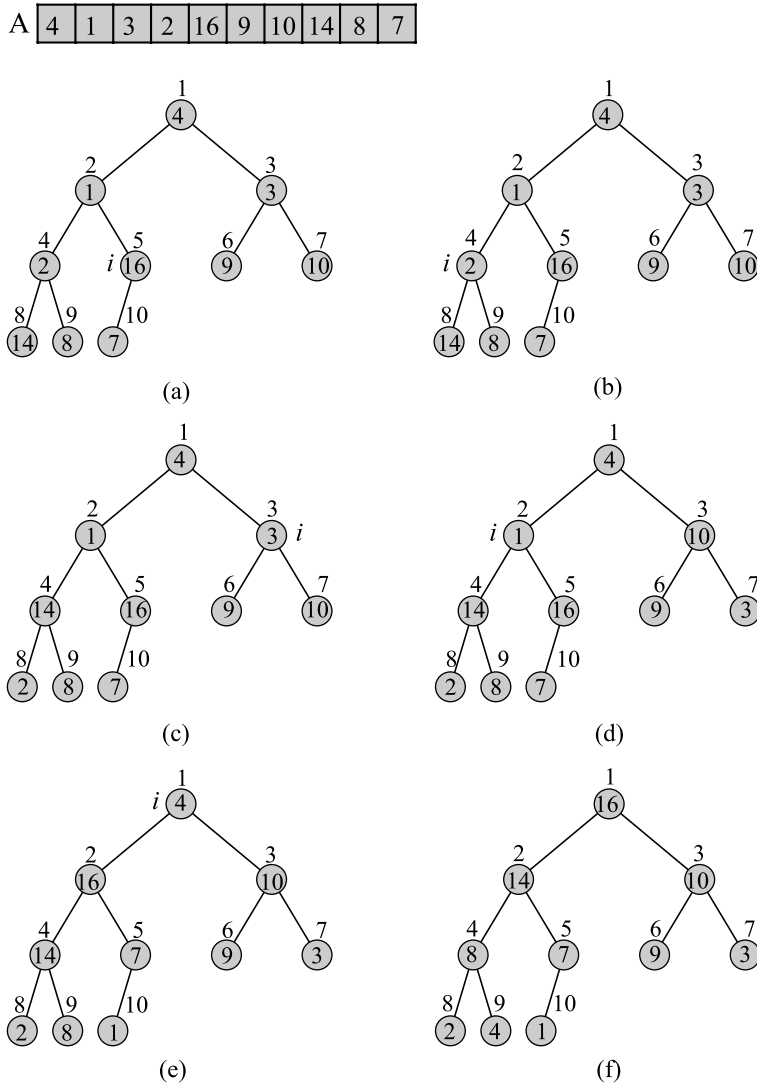
CONSTRUIEȘTE-HEAP( $A$ )

- 1:  $\text{dimesiune-heap}[A] \leftarrow \text{lungime}[A]$
- 2: **pentru**  $i \leftarrow [\text{lungime}[A]/2], 1$  **execută**
- 3:   RECONSTITUIE-HEAP( $A, i$ )

Figura 7.3 ilustrează modul de funcționare al procedurii CONSTRUIEȘTE-HEAP.

Timpul de execuție al procedurii CONSTRUIEȘTE-HEAP poate fi calculat simplu, determinând limita superioară a acestuia: fiecare apel al procedurii RECONSTITUIE-HEAP necesită un timp  $O(\lg n)$  și, deoarece pot fi  $O(n)$  asemenea apeluri, rezultă că timpul de execuție poate fi cel mult  $O(n \lg n)$ . Această estimare este corectă, dar nu este suficient de tare asymptotic.

Vom obține o limită mai tare observând că timpul de execuție a procedurii RECONSTITUIE-HEAP depinde de înălțimea nodului în arbore, aceasta fiind mică pentru majoritatea nodurilor. Estimarea noastră mai riguroasă se bazează pe faptul că un heap având  $n$  elemente are înălțimea  $\lg n$  (vezi exercițiul 7.1-2) și că pentru orice înălțime  $h$ , în heap există cel mult  $\lfloor n/2^{h+1} \rfloor$  noduri de înălțime  $h$  (vezi exercițiul 7.3-3).



**Figura 7.3** Modul de execuție a procedurii CONSTRUIEȘTE-HEAP. În figură se vizualizează structurile de date în starea lor anterioară apelului procedurii RECONSTITUIE-HEAP (linia 3 din procedura CONSTRUIEȘTE-HEAP). (a) Se consideră un vector  $A$  având 10 elemente și arborele binar corespunzător. După cum se vede în figură, variabila de control  $i$  a ciclului, în momentul apelului  $\text{RECONSTITUIE-HEAP}(A, i)$ , indică nodul 5. (b) reprezintă rezultatul; variabila de control  $i$  a ciclului acum indică nodul 4. (c) - (e) vizualizează operațiile succesive ale ciclului **pentru** din CONSTRUIEȘTE-HEAP. Se observă că, atunci când se apelează procedura RECONSTITUIE-HEAP pentru un nod dat, subarborii acestui nod sunt deja heap-uri. (f) reprezintă heap-ul final al procedurii CONSTRUIEȘTE-HEAP.

Timpul de execuție a procedurii RECONSTITUIE-HEAP pentru un nod de înălțime  $h$  fiind  $O(h)$ , obținem pentru timpul de execuție a procedurii CONSTRUIEȘTE-HEAP:

$$\sum_{h=0}^{\lfloor \lg n \rfloor} \left\lceil \frac{n}{2^{h+1}} \right\rceil O(h) = O \left( n \sum_{h=0}^{\lfloor \lg n \rfloor} \frac{h}{2^h} \right). \quad (7.2)$$

Ultima însumare poate fi evaluată prin înlocuirea  $x = 1/2$  în formula (3.6). Obținem

$$\sum_{h=0}^{\infty} \frac{h}{2^h} = \frac{1/2}{(1 - 1/2)^2} = 2. \quad (7.3)$$

Astfel, timpul de execuție al procedurii CONSTRUIEȘTE-HEAP poate fi estimat ca fiind:

$$O \left( n \sum_{h=0}^{\lfloor \lg n \rfloor} \frac{h}{2^h} \right) = O \left( n \sum_{h=0}^{\infty} \frac{h}{2^h} \right) = O(n). \quad (7.4)$$

De aici rezultă că se poate construi un heap dintr-un vector într-un timp liniar.

## Exerciții

**7.3-1** Utilizând ca model figura 7.3, ilustrați modul de funcționare al procedurii CONSTRUIEȘTE-HEAP pentru vectorul  $A = \langle 5, 3, 17, 10, 84, 19, 6, 22, 9 \rangle$ .

**7.3-2** De ce trebuie micșorată variabila de control  $i$  a ciclului în linia 2 a procedurii CONSTRUIEȘTE-HEAP de la  $\lfloor \text{lungime}[A]/2 \rfloor$  la 1, în loc să fie mărită de la 1 la  $\lfloor \text{lungime}[A]/2 \rfloor$ ?

**7.3-3 \*** Arătați că, într-un heap de înălțime  $h$  având  $n$  elemente, numărul nodurilor este cel mult  $\lceil n/2^{h+1} \rceil$ .

## 7.4. Algoritmul heapsort

Algoritmul heapsort începe cu apelul procedurii CONSTRUIEȘTE-HEAP în scopul transformării vectorului de intrare  $A[1..n]$  în heap, unde  $n = \text{lungime}[A]$ . Deoarece cel mai mare element al vectorului este atașat nodului rădăcină  $A[1]$ , acesta va ocupa locul definitiv în vectorul ordonat prin interschimbarea sa cu  $A[n]$ . În continuare, “excluzând” din heap cel de-al  $n$ -lea element (și micșorând cu 1  $dimesiune-heap[A]$ ), restul de  $A[1..(n-1)]$  elemente se pot transforma ușor în heap, deoarece subarborei nodului rădăcină au proprietatea de heap (7.1), cu eventuala excepție a elementului ajuns în nodul rădăcină.

HEAPSORT( $A$ )

- 1: CONSTRUIEȘTE-HEAP( $A$ )
- 2: **pentru**  $i \leftarrow \text{lungime}[A]$ , 2 **execută**
- 3:   schimbă  $A[1] \leftrightarrow A[i]$
- 4:    $dimesiune-heap[A] \leftarrow dimesiune-heap[A] - 1$
- 5: **RECONSTITUIE-HEAP**( $A, 1$ )

Apelând procedura RECONSTITUIE-HEAP( $A, 1$ ) se restabilește proprietatea de heap pentru vectorul  $A[1..(n - 1)]$ . Acest procedeu se repetă micșorând dimensiunea heap-ului de la  $n - 1$  la 2.

Figura 7.4 ilustrează, pe un exemplu, modul de funcționare a procedurii HEAPSORT, după ce în prealabil datele au fost transformate în heap. Fiecare heap reprezintă starea inițială la începutul pasului iterativ (linia 2 din ciclul **pentru**).

Timpul de execuție al procedurii HEAPSORT este  $O(n \lg n)$ , deoarece procedura CONSTRUIEȘTE-HEAP se execută într-un timp  $O(n)$ , iar procedura RECONSTITUIE-HEAP, apelată de  $n - 1$  ori, se execută în timpul  $O(\lg n)$ .

## Exerciții

**7.4-1** Utilizând ca model figura 7.4, ilustrați modul de funcționare al procedurii HEAPSORT pentru vectorul  $A = \langle 5, 13, 2, 25, 7, 17, 20, 8, 4 \rangle$ .

**7.4-2** Care este timpul de execuție al algoritmului heapsort în cazul unui vector  $A$  de dimensiune  $n$ , ordonat crescător? Dar în cazul unui vector ordonat descrescător?

**7.4-3** Arătați că timpul de execuție al algoritmului heapsort este  $\Omega(n \lg n)$ .

## 7.5. Cozi de priorități

Heapsort este un algoritm excelent, dar o implementare bună a algoritmului de sortare rapidă, algoritm prezentat în capitolul 8, se poate dovedi de multe ori mai eficientă. În schimb, structura de date heap este foarte utilă. În această secțiune vom prezenta una din cele mai frecvente aplicații ale unui heap: utilizarea lui sub forma unei cozi de priorități.

**Coadă de priorități** este o structură de date care conține o mulțime  $S$  de elemente, fiecare având asociată o valoare numită **cheie**. Asupra unei cozi de priorități se pot efectua următoarele operații.

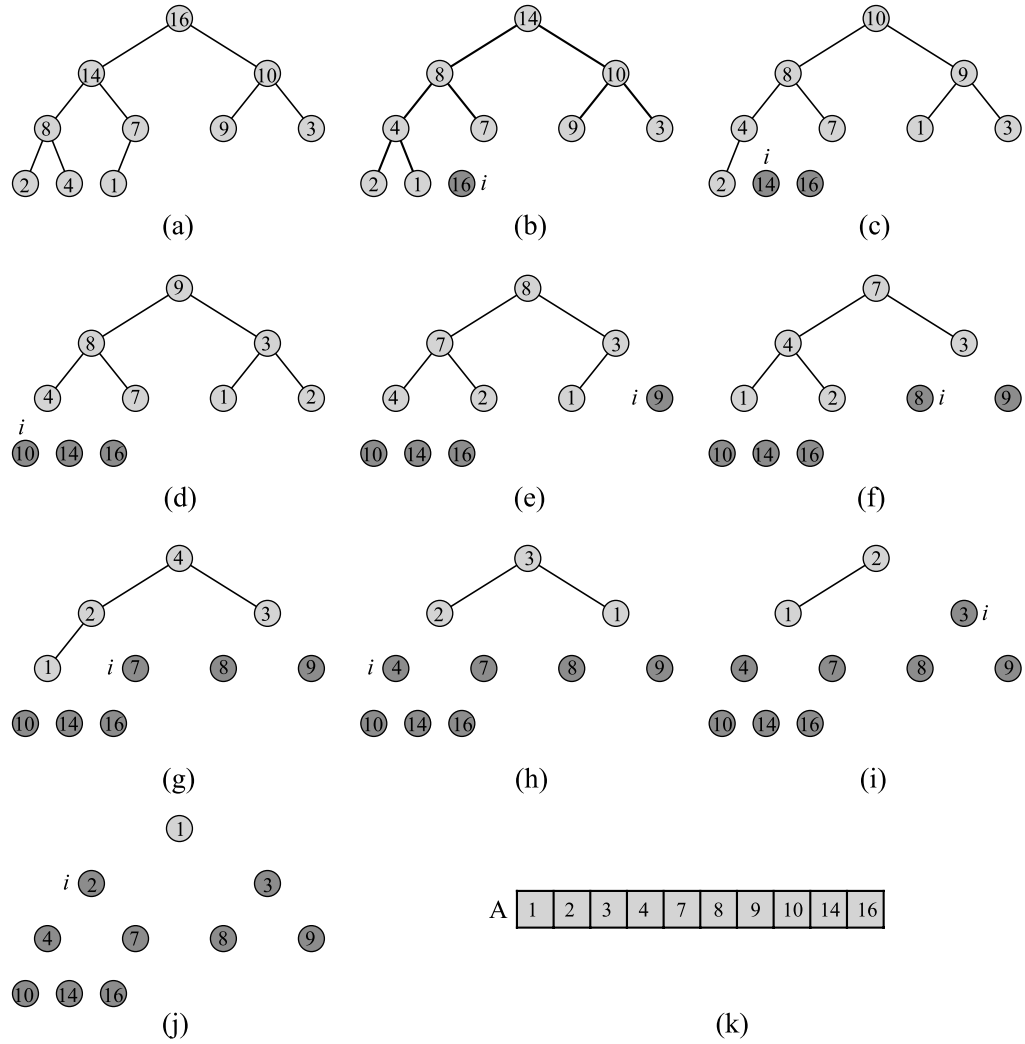
**INSEREAZĂ**( $S, x$ ) inserează elementul  $x$  în mulțimea  $S$ . Această operație poate fi scrisă în felul următor:  $S \leftarrow S \cup \{x\}$ .

**MAXIM**( $S$ ) returnează elementul din  $S$  având cheia cea mai mare.

**EXTRAGE-MAX**( $S$ ) elimină și returnează elementul din  $S$  având cheia cea mai mare.

O aplicație a cozilor de priorități constă în planificarea lucrărilor pe calculatoare partajate. Sarcinile care trebuie efectuate și prioritățile relative se memorează într-o coadă de prioritate. Când o lucrare este terminată sau întreruptă, procedura EXTRAGE-MAX va selecta lucrarea având prioritatea cea mai mare dintre lucrările în aşteptare. Cu ajutorul procedurii INSERARE, în coadă poate fi introdusă oricând o lucrare nouă.

O coadă de priorități poate fi utilizată și în simularea unor evenimente controlate. Din coadă fac parte evenimentele de simulație, fiecare fiind atașându-i-se o cheie reprezentând momentul când va avea loc evenimentul. Evenimentele trebuie simulate în ordinea desfășurării lor în timp, deoarece simularea unui eveniment poate determina necesitatea simulării altuia în viitor. În cazul acestei aplicații, este evident că ordinea evenimentelor în coada de priorități trebuie inversată, iar



**Figura 7.4** Modul de funcționare a algoritmului HEAPSORT. (a) Structura de date heap, imediat după construirea sa de către procedura CONSTRUIEȘTE-HEAP. (b)-(j) Heap-ul, imediat după câte un apel al procedurii RECONSTITUIE-HEAP (linia 5 în algoritm). Figura reprezintă valoarea curentă a variabilei *i*. Din heap fac parte doar nodurile din cercurile nehașurate. (k) Vectorul *A* ordonat, obținut ca rezultat.

procedurile MAXIM și EXTRAGE-MAX se vor înlocui cu MINIM și EXTRAGE-MIN. Programul de simulare va determina următorul eveniment cu ajutorul procedurii EXTRAGE-MIN, iar dacă va trebui introdus un nou element în sir, se va apela procedura INSERARE.

Rezultă în mod firesc faptul că o coadă de priorități poate fi implementată utilizând un heap. Operația MAXIM-HEAP va determina în timpul  $\Theta(1)$  cel mai mare element al heap-ului care, de fapt, este valoarea  $A[1]$ . Procedura EXTRAGE-MAX-DIN-HEAP este similară structurii repetitive pentru (liniile 3–5) din procedura HEAPSORT:

EXTRAGE-MAX-DIN-HEAP( $A$ )

- 1: dacă  $dimesiune-heap[A] < 1$  atunci
- 2:   eroare “depășire inferioară heap”
- 3:    $max \leftarrow A[1]$
- 4:    $A[1] \leftarrow A[dimesiune-heap[A]]$
- 5:    $dimesiune-heap[A] \leftarrow dimesiune-heap[A] - 1$
- 6:   RECONSTITUIE-HEAP( $A, 1$ )
- 7:   returnează  $maxim$

Timpul de execuție al procedurii EXTRAGE-MAX-DIN-HEAP este  $O(\lg n)$ , deoarece conține doar câțiva pași, care se execută în timp constant înainte să se execute procedura RECONSTITUIE-HEAP, care necesită un timp de  $O(\lg n)$ .

Procedura INSEREAZĂ-ÎN-HEAP inserează un nod în heap-ul  $A$ . La prima expandare a heap-ului se adaugă o frunză arborelui. Apoi, la fel ca în structura repetitivă de inserare (liniile 5–7) din SORTARE-PRIN-INSERARE (din secțiunea 1.1), se traversează un drum pornind de la această frunză către rădăcină, în scopul găsirii locului definitiv al noului element.

INSEREAZĂ-ÎN-HEAP( $A, cheie$ )

- 1:  $dimesiune-heap[A] \leftarrow dimesiune-heap[A] + 1$
- 2:  $i \leftarrow dimesiune-heap[A]$
- 3: cât timp  $i > 1$  și  $A[PĂRINTE(i)] < cheie$  execută
- 4:    $A[i] \leftarrow A[PĂRINTE(i)]$
- 5:    $i \leftarrow PĂRINTE(i)$
- 6:    $A[i] \leftarrow cheie$

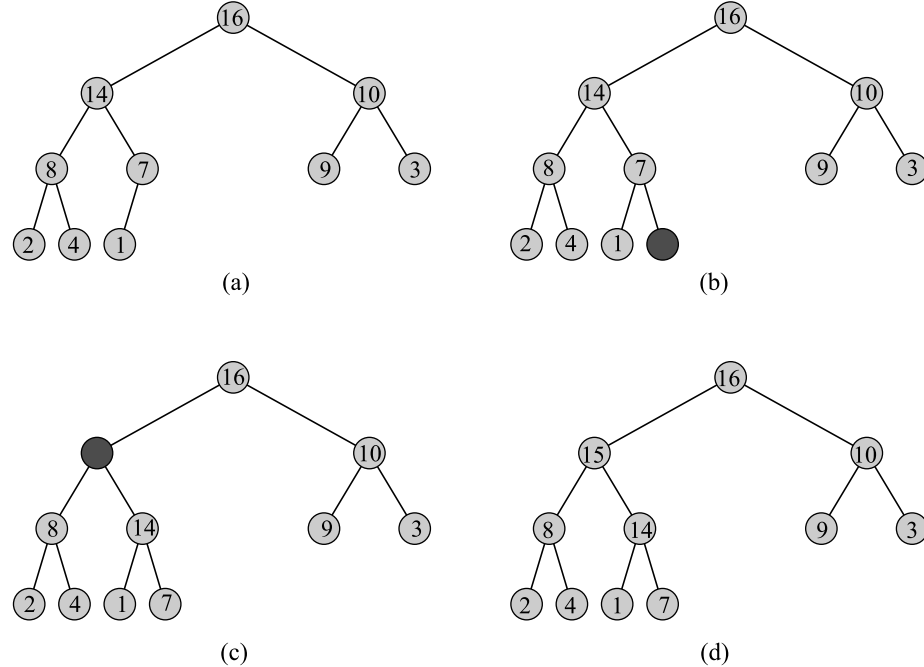
În figura 7.5 este ilustrat un exemplu al operației INSEREAZĂ-ÎN-HEAP. Timpul de execuție al procedurii INSEREAZĂ-ÎN-HEAP, pentru un heap având  $n$  elemente, este  $O(\lg n)$ , deoarece drumul parcurs de la noua frunză către rădăcină are lungimea  $O(\lg n)$ .

În concluzie, pe un heap se poate efectua orice operație specifică unei cozi de priorități, definită pe o mulțime având  $n$  elemente, într-un timp  $O(\lg n)$ .

## Exerciții

**7.5-1** Utilizând ca model figura 7.5, ilustrați operația INSEREAZĂ-ÎN-HEAP( $A, 10$ ) pentru heap-ul  $A = \langle 15, 13, 9, 5, 12, 8, 7, 4, 0, 6, 2, 1 \rangle$ .

**7.5-2** Dat fiind heap-ul  $A = \langle 15, 13, 9, 5, 12, 8, 7, 4, 0, 6, 2, 1 \rangle$ , ilustrați operația EXTRAGE-MAX-DIN-HEAP.



**Figura 7.5** Operația INSEREAZĂ-ÎN-HEAP. (a) Heap-ul din figura 7.4(a) înainte de inserarea nodului având cheia 15. (b) Se adaugă arborelui o frunză nouă. (c) Se “scufundă” valorile de pe drumul dintre frunză și rădăcină până la găsirea nodului corespunzător cheii 15. (d) Se inserează cheia 15.

**7.5-3** Arătați cum se poate implementa o listă de tip FIFO cu ajutorul unei cozi de priorități. Arătați cum se poate implementa o stivă cu ajutorul unei cozi de priorități. (Listele FIFO și stivele vor fi definite în secțiunea 11.1.)

**7.5-4** Scrieți o implementare a procedurii  $\text{HEAP-CU-CHEI-CRESCĂTOARE}(A, i, k)$  de timp  $O(\lg n)$ , care realizează atribuirea  $A[i] \leftarrow \max(A[i], k)$ , și actualizează structura heap în mod corect.

**7.5-5** Operația  $\text{ȘTERGE-DIN-HEAP}(A, i)$  șterge elementul atașat nodului  $i$  din heap-ul  $A$ . Găsiți o implementare pentru operația  $\text{ȘTERGE-DIN-HEAP}$  care se execută pentru un heap având  $n$  elemente într-un timp  $O(\lg n)$ .

**7.5-6** Găsiți un algoritm de timp  $O(n \lg k)$  pentru a interclasă  $k$  liste ordonate, unde  $n$  este numărul total de elemente din listele de intrare. (*Indica ie:* se utilizează un heap)

## Probleme

### 7-1 Construirea unui heap prin inserare

Procedura CONSTRUIEŞTE-HEAP, din secţiunea 7.3, poate fi implementată folosind, în mod repetat, procedura INSERARE-ÎN-HEAP, în scopul inserării elementelor în heap. Fie următoarea implementare:

CONSTRUIEŞTE-HEAP'(A)

- 1:  $dimesiune\text{-}heap[A] \leftarrow 1$
- 2: **pentru**  $i \leftarrow 2$ ,  $lungime[A]$  **execuṭă**
- 3:   INSEREAZĂ-ÎN-HEAP( $A, A[i]$ )

- a. Pentru date de intrare identice, procedurile CONSTRUIEŞTE-HEAP și CONSTRUIEŞTE-HEAP' construiesc același heap? Demonstrați sau găsiți contraexemplu.
- b. Arătați că, în cazul cel mai defavorabil, procedura CONSTRUIEŞTE-HEAP' cere un timp  $\Theta(n \lg n)$  pentru a construi un heap având  $n$  elemente.

### 7-2 Analiza heap-urilor d-are

Un *heap d-ar* este asemănător unui heap binar, dar nodurile nu au doi ci  $d$  descendenți.

- a. Cum se poate reprezenta un heap  $d$ -ar sub forma unui vector?
- b. Care este înălțimea (în funcție de  $n$  și  $d$ ) a unui heap  $d$ -ar, având  $n$  elemente?
- c. Descrieți o implementare eficientă pentru operația EXTRAGE-MAX. Analizați timpul de execuție în funcție de  $n$  și  $d$ .
- d. Descrieți o implementare eficientă pentru operația INSERARE. Analizați timpul de execuție în funcție de  $n$  și  $d$ .
- e. Descrieți o implementare eficientă pentru operația HEAP-CU-CHEI-CRESCĂTOARE( $A, i, k$ ) care realizează  $A[i] \leftarrow \max(A[i], k)$  și actualizează structura heap în mod corect. Analizați timpul de execuție în funcție de  $d$  și  $n$ .

## Note bibliografice

Algoritmul heapsort a fost inventat de Williams [202], care a descris și modul de implementare a unei cozi de priorități printre-un heap. Procedura CONSTRUIEŞTE-HEAP a fost propusă de Floyd [69].

---

## 8 Sortarea rapidă

Sortarea rapidă este un algoritm de sortare care, pentru un sir de  $n$  elemente, are un timp de execuție  $\Theta(n^2)$ , în cazul cel mai defavorabil. În ciuda acestei comportări proaste, în cazul cel mai defavorabil, algoritmul de sortare rapidă este deseori cea mai bună soluție practică, deoarece are o comportare medie remarcabilă: timpul său mediu de execuție este  $\Theta(n \lg n)$ , și constanta ascunsă în formula  $\Theta(n \lg n)$  este destul de mică. Algoritmul are avantajul că sortează pe loc (în spațiul alocat sirului de intrare) și lucrează foarte bine chiar și într-un mediu de memorie virtuală.

În secțiunea 8.1 sunt descriși algoritmul și un subalgoritm important, folosit de sortarea rapidă pentru partitōnare. Deoarece comportarea algoritmului de sortare rapidă este foarte complexă, vom începe studiul performanței lui cu o discuție intuitivă în secțiunea 8.2, și lăsăm analiza precisă la sfârșitul capitolului. În secțiunea 8.3 sunt prezentate două variante ale algoritmului de sortare rapidă, care utilizează un generator de numere aleatoare. Acești algoritmi aleatori au multe proprietăți interesante. Timpul lor mediu de execuție este bun și nu se cunosc date de intrare particulare pentru care să aibă comportarea cea mai proastă. O variantă aleatoare a algoritmului de sortare rapidă este studiată în secțiunea 8.4 și se demonstrează că timpul lui de execuție, în cazul cel mai defavorabil, este  $O(n^2)$ , iar timpul mediu  $O(n \lg n)$ .

---

### 8.1. Descrierea sortării rapide

Algoritmul de sortare rapidă, ca de altfel și algoritmul de sortare prin interclasare, se bazează pe paradigma “divide și stăpânește”, introdusă în secțiunea 1.3.1. Iată un proces “divide și stăpânește” în trei pași, pentru un subșir  $A[p..r]$ .

**Divide:** Sirul  $A[p..r]$  este împărțit (rearanjat) în două subșiruri nevide  $A[p..q]$  și  $A[q + 1..r]$ , astfel încât fiecare element al subșirului  $A[p..q]$  să fie mai mic sau egal cu orice element al subșirului  $A[q + 1..r]$ . Indicele  $q$  este calculat de procedura de partitōnare.

**Stăpânește:** Cele două subșiruri  $A[p..q]$  și  $A[q + 1..r]$  sunt sortate prin apeluri recursive ale algoritmului de sortare rapidă.

**Combină:** Deoarece cele două subșiruri sunt sortate pe loc, nu este nevoie de nici o combinare, sirul  $A[p..r]$  este ordonat.

Descrierea algoritmului este următoarea:

QUICKSORT( $A, p, r$ )

- 1: dacă  $p < r$  atunci
- 2:    $q \leftarrow \text{PARTITIE}(A, p, r)$
- 3:   QUICKSORT( $A, p, q$ )
- 4:   QUICKSORT( $A, q + 1, r$ )

Pentru ordonarea întregului sir  $A$ , inițial se apelează QUICKSORT( $A, 1, \text{lungime}[A]$ ).

## Partiționarea șirului

Cheia algoritmului este procedura PARTITIE, care rearanjează pe loc subșirul  $A[p..r]$ .

PARTITIE( $A, p, r$ )

```

1:  $x \leftarrow A[p]$ 
2:  $i \leftarrow p - 1$ 
3:  $j \leftarrow r + 1$ 
4: cât timp ADEVĂRAT execută
5:   repetă
6:      $j \leftarrow j - 1$ 
7:     până când  $A[j] \leq x$ 
8:   repetă
9:      $i \leftarrow i + 1$ 
10:    până când  $A[i] \geq x$ 
11:    dacă  $i < j$  atunci
12:      interschimbă  $A[i] \leftrightarrow A[j]$ 
13:    altfel
14:      returnează  $j$ 
```

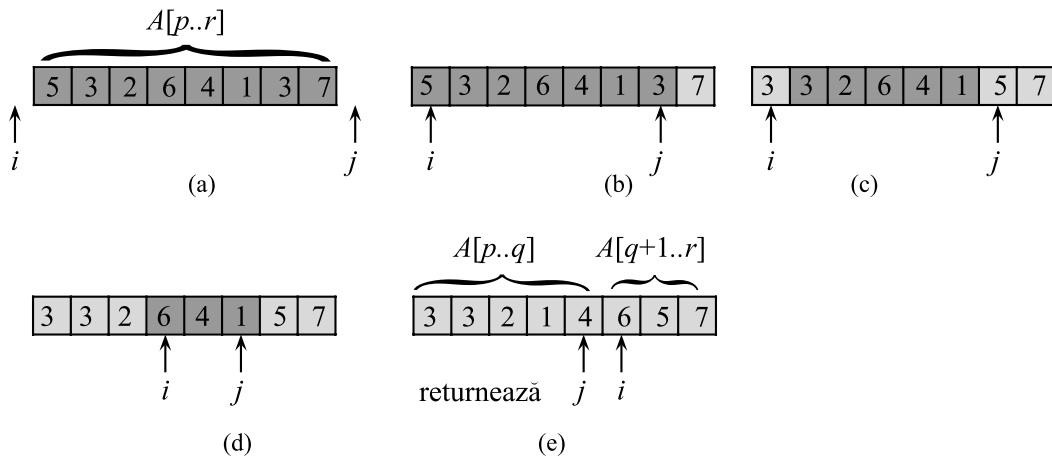
În figura 8.1 este ilustrat modul de funcționare a procedurii PARTITIE. Întâi se selectează un element  $x = A[p]$  din șirul  $A[p..r]$ , care va fi elementul “pivot”, în jurul căruia se face partiționarea șirului  $A[p..r]$ . Apoi, două subșiruri  $A[p..i]$  și  $A[j..r]$  cresc la începutul și respectiv, sfârșitul șirului  $A[p..r]$ , astfel încât fiecare element al șirului  $A[p..i]$  să fie mai mic sau egal cu  $x$ , și orice element al șirului  $A[j..r]$ , mai mare sau egal cu  $x$ . La început  $i = p - 1$  și  $j = r + 1$ , deci cele două subșiruri sunt vide.

În interiorul ciclului **cât timp**, în liniile 5–7, indicele  $j$  se decrementează, iar  $i$  se incrementează până când  $A[i] \geq x \geq A[j]$ . Presupunând că inegalitățile de mai sus sunt stricte,  $A[i]$  este prea mare ca să aparțină primului subșir (cel de la început), iar  $A[j]$  prea mic ca să aparțină celui de al doilea subșir (cel de la sfârșit). Astfel, interschimbând  $A[i]$  cu  $A[j]$  (linia 12), cele două părți cresc. (Interschimbarea se poate face și în cazul în care avem inegalități stricte.)

Ciclul **cât timp** se repetă până când inegalitatea  $i \geq j$  devine adevărată. În acest moment, întregul șir  $A[p..r]$  este partiționat în două subșiruri  $A[p..q]$  și  $A[q+1..r]$ , astfel încât  $p \leq q < r$  și nici un element din  $A[p..q]$  nu este mai mare decât orice element din  $A[q+1..r]$ . Procedura returnează valoarea  $q = j$ .

De fapt, procedura de partiționare execută o operație simplă: pun elementele mai mici decât  $x$  în primul subșir, iar pe cele mai mari decât  $x$  în subșirul al doilea. Există cîteva particularități care determină o comportare interesantă a procedurii PARTITIE. De exemplu, indicii  $i$  și  $j$  nu depășesc niciodată marginile vectorului  $A[p..r]$ , dar acest lucru nu se vede imediat din textul procedurii. Un alt exemplu: este important ca elementul  $A[p]$  să fie utilizat drept element pivot  $x$ . În schimb, dacă se folosește  $A[r]$  ca element pivot, și, întâmplător,  $A[r]$  este cel mai mare element al vectorului  $A[p..r]$ , atunci PARTITIE returnează procedurii QUICKSORT valoarea  $q = r$ , și procedura intră într-un ciclu infinit. Problema 8-1 cere să se demonstreze corectitudinea procedurii PARTITIE.

Timpul de execuție al procedurii PARTITIE, în cazul unui vector  $A[p..r]$ , este  $\Theta(n)$ , unde  $n = r - p + 1$  (vezi exercițiul 8.1-3.).



**Figura 8.1** Operațiile efectuate de procedura PARTITIE pe un exemplu. Elementele hașurate în gri deschis sunt deja plasate în pozițiile lor corecte, iar cele hașurate închis încă nu. (a) Sirul de intrare, cu valorile inițiale ale variabilelor  $i$  și  $j$ , care puncteză în afara sirului. Vom face partiționarea în jurul elementului  $x = A[p] = 5$ . (b) Pozițiile lui  $i$  și  $j$  în linia 11 a algoritmului, după prima parcurgere a ciclului **cât timp**. (c) Rezultatul schimbului de elemente descris în linia 12. (d) Valorile lui  $i$  și  $j$  în linia 11 după a doua parcurgere a ciclului **cât timp**. (e) Valorile lui  $i$  și  $j$  după a treia și ultima iterație a ciclului **cât timp**. Procedura se termină deoarece  $i \geq j$  și valoarea returnată este  $q = j$ . Elementele sirului până la  $A[j]$ , inclusiv, sunt mai mici sau egale cu  $x = 5$ , iar cele de după  $A[j]$ , sunt toate mai mici sau egale cu  $x = 5$ .

## Exercitii

**8.1-1** Folosind figura 8.1 drept model, să se ilustreze operațiile procedurii PARTITIE în cazul vectorului  $A = \langle 13, 19, 9, 5, 12, 8, 7, 4, 11, 2, 6, 21 \rangle$ .

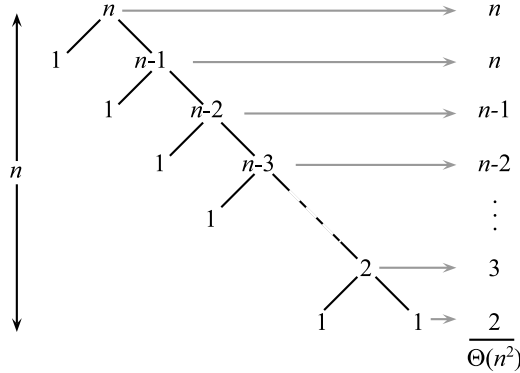
**8.1-2** Ce valoare a lui  $q$  returnează procedura PARTIȚIE, dacă toate elementele vectorului  $A[p..r]$  sunt egale.

**8.1-3** Să se argumenteze, pe scurt, afirmația că timpul de execuție al procedurii PARTIȚIE, pentru un vector de  $n$  elemente, este  $\Theta(n)$ .

**8.1-4** Cum trebuie modificată procedura **QUICKSORT** pentru a ordona descrescător?

## 8.2. Performanța algoritmului de sortare rapidă

Timpul de execuție al algoritmului de sortare rapidă depinde de faptul că partitōnarea este echilibrată sau nu, iar acesta din urmă de elementele alese pentru partitōnare. Dacă partitōnarea este echilibrată, algoritmul asimptotic este la fel de rapid ca sortarea prin interclasare. În cazul în care partitōnarea nu este echilibrată, algoritmul se execută la fel de încet ca sortarea prin inserare. În această secțiune vom investiga, fără rigoare matematică, performanța algoritmului de sortare rapidă în cazul partitionării echilibrate.



**Figura 8.2** Arborele de recursivitate pentru QUICKSORT când procedura PARTIȚIE pune întotdeauna într-o parte a vectorului numai un singur element (cazul cel mai defavorabil). Timpul de execuție în acest caz este  $\Theta(n^2)$ .

### Partiționarea în cazul cel mai defavorabil

Comportarea cea mai defavorabilă a algoritmului de sortare rapidă apare în situația în care procedura de partiționare produce un vector de  $n-1$  elemente și unul de 1 element. (Demonstrația se face în secțiunea 8.4.1) Să presupunem că această partiționare dezechilibrată apare la fiecare pas al algoritmului. Deoarece timpul de partiționare este de  $\Theta(n)$ , și  $T(1) = \Theta(1)$ , formula recursivă pentru timpul de execuție a algoritmului de sortare rapidă este:

$$T(n) = T(n - 1) + \Theta(n).$$

Pentru evaluarea formulei de mai sus, observăm că  $T(1) = \Theta(1)$ , apoi iterăm formula:

$$T(n) = T(n - 1) + \Theta(n) = \sum_{k=1}^n \Theta(k) = \Theta\left(\sum_{k=1}^n k\right) = \Theta(n^2).$$

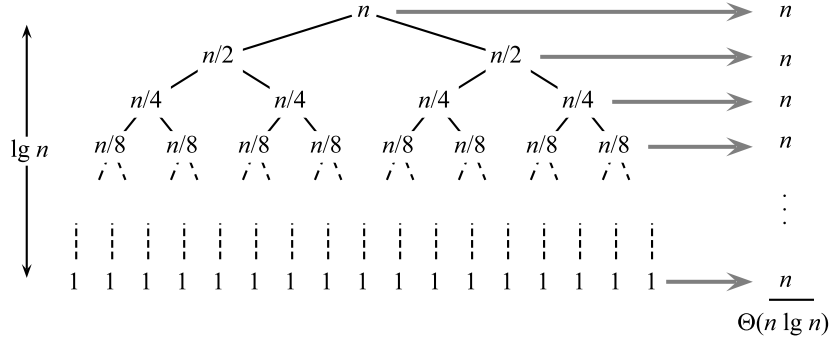
Ultima egalitate se obține din observația că  $\sum_{k=1}^n k$  este o progresie aritmetică (3.2). În figura 8.2 este ilustrat arborele de recursivitate pentru acest cel mai defavorabil caz al algoritmului de sortare rapidă. (Vezi secțiunea 4.2 pentru alte detalii privind arborii recursivi.)

Dacă partiționarea este total dezechilibrată la fiecare pas recursiv al algoritmului, atunci timpul de execuție este  $\Theta(n^2)$ . Deci timpul de execuție, în cazul cel mai defavorabil, nu este mai bun decât al algoritmului de sortare prin inserare. Mai mult, timpul de execuție este  $\Theta(n^2)$  chiar și în cazul în care vectorul de intrare este ordonat – caz în care algoritmul de sortare prin inserare are timpul de execuție  $O(n)$ .

### Partiționarea în cazul cel mai favorabil

Dacă algoritmul de partiționare produce doi vectori de  $n/2$  elemente, algoritmul de sortare rapidă lucrează mult mai repede. Formula de recurență în acest caz este:

$$T(n) = 2T(n/2) + \Theta(n)$$



**Figura 8.3** Arborele de recurență pentru QUICKSORT când procedura PARTIȚIE produce întotdeauna părți egale (cazul cel mai favorabil). Timpul de execuție rezultat este  $\Theta(n \lg n)$ .

a cărei soluție este  $T(n) = \Theta(n \lg n)$  (după cazul 2 al teoremei 4.1). Deci partitōnarea cea mai bună produce un algoritm de sortare mult mai rapid. În figura 8.3 se ilustrează arborele de recursivitate pentru acest cel mai favorabil caz.

### Partitōnarea echilibrată

Analiza din secțiunea 8.4 va arăta că timpul mediu de execuție a algoritmului de sortare rapidă este mult mai apropiat de timpul cel mai bun decât de timpul cel mai rău. Pentru a înțelege de ce este așa, ar trebui să studiem efectul partitōnării echilibrate asupra formulei recursive care descrie timpul de execuție.

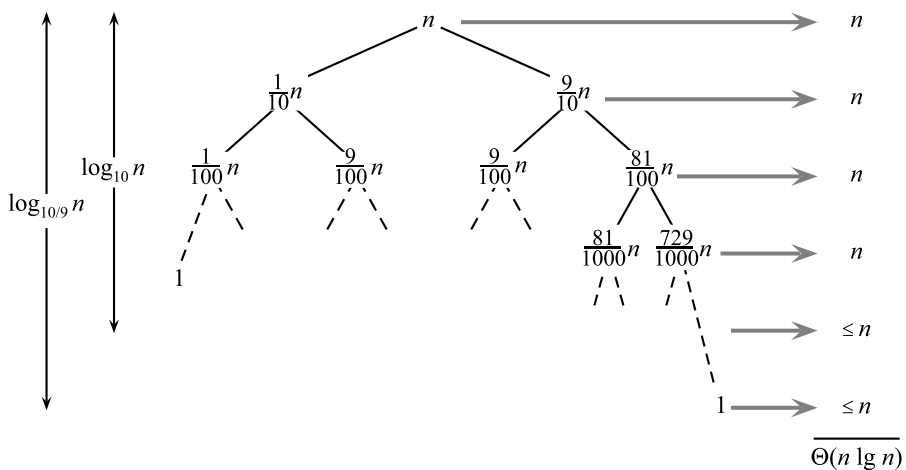
Să presupunem că procedura de partitōnare produce întotdeauna o împărțire în proporție de 9 la 1, care la prima vedere pare a fi o partitōnare dezechilibrată. În acest caz, formula recursivă pentru timpul de execuție al algoritmului de sortare rapidă este:

$$T(n) = T(9n/10) + T(n/10) + n$$

unde, pentru simplificare, în loc de  $\Theta(n)$  s-a pus  $n$ . Arborele de recurență corespunzător se găsește în figura 8.4. Să observăm că la fiecare nivel al arborelui costul este  $n$  până când la adâncimea  $\log_{10} n = \Theta(\lg n)$  se atinge o condiție inițială. În continuare, la celelalte niveluri, costul nu depășește valoarea  $n$ . Apelul recursiv se termină la adâncimea  $\log_{10/9} n = \Theta(\lg n)$ . Costul total al algoritmului de sortare rapidă este deci  $\Theta(n \lg n)$ . Ca urmare, cu o partitōnare în proporție de 9 la 1 la fiecare nivel al partitōnării (care intuitiv pare a fi total dezechilibrată), algoritmul de sortare rapidă are un timp de execuție de  $\Theta(n \lg n)$  – asimptotic același ca în cazul partitōnării în două părți egale. De fapt, timpul de execuție va fi  $O(n \lg n)$  și în cazul partitōnării într-o proporție de 99 la 1. La orice partitōnare într-o proporție *constant*, adâncimea arborelui de recursivitate este  $\Theta(\lg n)$  și costul, la fiecare nivel, este  $O(n)$ . Deci timpul de execuție este  $\Theta(n \lg n)$  la orice partitōnare într-o proporție constantă.

### Intuirea comportării medii

Pentru a avea o idee clară asupra comportării medii a algoritmului de sortare rapidă, trebuie să facem presupuneri asupra frecvenței anumitor intrări. Cea mai evidentă presupunere este că



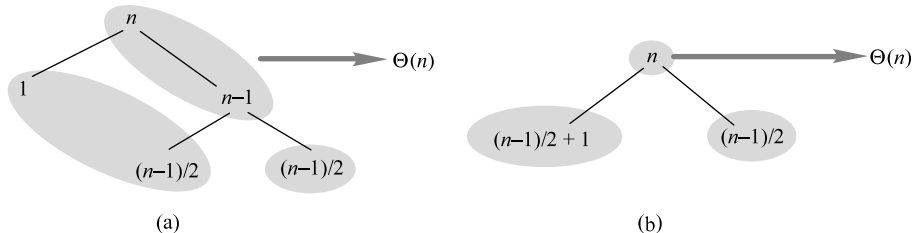
**Figura 8.4** Arboarele de recurență pentru **QUICKSORT**, când procedura **PARTIȚIE** produce întotdeauna părți în proporție de 9 la 1, rezultând un timp de execuție de  $\Theta(n \lg n)$ .

toate permutările elementelor de intrare sunt la fel de probabile. Vom discuta această presupunere în secțiunea următoare, aici vom exploata doar câteva variante.

În situația în care algoritmul de sortare rapidă lucrează pe o intrare aleatoare, probabil că nu va partitura la fel la fiecare nivel, cum am presupus în discuțiile anterioare. Este de așteptat ca unele partiționări să fie echilibrate, altele nu. De exemplu, exercițiul 8.2-5 cere să se demonstreze că procedura PARTIȚIE produce în 80% din cazuri o partiționare mai echilibrată decât proporția de 9 la 1, și, numai în 20% din cazuri, una mai puțin echilibrată.

În cazul mediu, procedura PARTIȚIE produce un amestec de partiționări “bune” și “rele”. Într-un arbore de recurență pentru cazul mediu al procedurii PARTIȚIE, partiționările bune și rele sunt distribuite aleator. Să presupunem, totuși, pentru simplificare, că partiționările bune și rele alternează pe niveluri, și că partiționările bune corespund celui mai bun caz, iar cele rele celui mai defavorabil caz. În figura 8.5 sunt prezentate partiționările la două niveluri consecutive în arborele de recursivitate. Costul partiționării la rădăcina arborelui este  $n$ , iar vectorii obținuți sunt de dimensiune  $n - 1$  și 1: cazul cel mai defavorabil. La nivelul următor, vectorul de  $n - 1$  elemente se împarte în doi vectori de  $(n - 1)/2$  elemente fiecare, potrivit cazului celui mai bun. Să presupunem că pentru un vector de dimensiune 1 (un element) costul este 1.

Combinarea unei partiționări rele și a uneia bune produce trei vectori de dimensiune 1,  $(n-1)/2$  și respectiv  $(n-1)/2$ , cu un cost total de  $2n-1 = \Theta(n)$ . Evident, această situație nu este mai rea decât cea prezentată în figura 8.5(b), adică cea cu un singur nivel, care produce un vector de  $(n-1)/2 + 1$  elemente și unul de  $(n-1)/2$  elemente, cu un cost total de  $n = \Theta(n)$ . Totuși, situația din urmă este aproape echilibrată, cu siguranță mult mai bună decât proporția 9 la 1. Intuitiv, o partiționare defavorabilă de un cost  $\Theta(n)$  poate fi absorbită de una bună tot de un cost  $\Theta(n)$ , și partiționarea rezultată este favorabilă. Astfel timpul de execuție al algoritmului de sortare rapidă, când partiționările bune și rele alternează, este același ca în cazul partiționărilor bune: tot  $O(n \lg n)$ , doar constanta din notația  $O$  este mai mare. O analiză riguroasă a cazului mediu se va face în secțiunea 8.4.2.



**Figura 8.5** (a) Două niveluri ale arborelui de recurență pentru algoritmul de sortare rapidă. Partitionarea la nivelul rădăcinii consumă  $n$  unități de timp și produce o partitionare “proastă”: doi vectori de dimensiune 1 și  $n - 1$ . Partitionarea unui subșir de  $n - 1$  elemente necesită  $n - 1$  unități de timp și este o partitionare “bună”: produce două subșiruri de  $(n - 1)/2$  elemente fiecare. (b) Un singur nivel al arborelui de recurență care este mai rău decât nivelurile combinate de la (a), totuși foarte bine echilibrat.

## Exerciții

**8.2-1** Demonstrați că timpul de execuție al algoritmului QUICKSORT, în cazul unui vector  $A$  cu toate elementele egale între ele, este  $\Theta(n \lg n)$ .

**8.2-2** Demonstrați că, în cazul unui vector  $A$  având  $n$  elemente distincte, ordonate descrescător, timpul de execuție al algoritmului QUICKSORT este  $\Theta(n^2)$ .

**8.2-3** Băncile, de obicei, înregistrează tranzacțiile pe un cont după data tranzacțiilor, dar multora dintre clienți le place să primească extrasele de cont, ordonate după numărul cecurilor, deoarece ei primesc cecurile grupate de la comercianți. Problema convertirii ordonării după data tranzacției în ordonare după numărul de cec este problema sortării unui vector aproape ordonat. Să se argumenteze de ce, în acest caz, algoritmul SORTEAZĂ-PRIN-INSERȚIE este mai bun decât algoritmul QUICKSORT.

**8.2-4** Să presupunem că partitionarea la fiecare nivel, în cadrul algoritmului de sortare rapidă, se face într-o proporție de  $1 - \alpha$  la  $\alpha$ , unde  $0 < \alpha \leq 1/2$  și  $\alpha$  este constantă. Demonstrați că, în arborele de recurență, adâncimea minimă a unui nod terminal este aproximativ  $-\lg n / \lg \alpha$ , pe când adâncimea maximă este aproximativ  $-\lg n / \lg(1 - \alpha)$ . (Nu se va ține cont de rotunjiri.)

**8.2-5** \* Argumentați afirmația că, pentru orice constantă  $0 < \alpha \leq 1/2$ , probabilitatea ca pentru o intrare aleatoare procedura PARTIȚIE să producă o partitionare mai echilibrată decât proporția  $1 - \alpha$  la  $\alpha$ , este aproximativ  $1 - 2\alpha$ . Pentru ce valoare a lui  $\alpha$  partitionarea mai echilibrată are sănse egale cu cea mai puțin echilibrată?

---

## 8.3. Variantele aleatoare ale sortării rapide

În analiza comportării medii a algoritmului de sortare rapidă, am presupus că toate permutările elementelor de intrare sunt la fel de probabile. Mulți consideră că, dacă această presupunere este adevărată, algoritmul de sortare rapidă, este cea mai bună soluție pentru a sorta vectori de dimensiuni mari. Totuși, nu ne putem aștepta ca, în practică aceasta să se întâmple întotdeauna

asa (vezi exercitiul 8.2-3). În această secțiune, vom introduce noțiunea de algoritm aleator și vom prezenta două variante aleatoare ale algoritmului de sortare rapidă, care fac inutilă presupunerea că toate permutările elementelor de intrare sunt la fel de probabile.

O alternativă, la a presupune o distribuție de date de intrare, este de a impune o astfel de distribuție. De exemplu, să presupunem că, înainte să sorteze vectorul de intrare, algoritmul de sortare rapidă permute aleator elementele pentru a asigura astfel proprietatea că fiecare permutare are aceeași probabilitate. (Exercitiul 8.3-4 cere scrierea unui algoritm care permute aleator elementele unui vector de dimensiune  $n$  în  $O(n)$  unități de timp.) Această modificare nu îmbunătățește timpul de execuție a algoritmului în cazul cel mai defavorabil, dar asigură ca timpul de execuție să nu depindă de ordinea elementelor de intrare.

Un algoritm se numește **aleator** dacă comportarea lui depinde nu numai de valorile de intrare, ci și de valorile produse de un **generator de numere aleatoare**. Vom presupune că disponem de un generator de numere aleatoare numit RANDOM. Un apel al procedurii  $\text{RANDOM}(a, b)$  produce un număr întreg între  $a$  și  $b$  inclusiv. Fiecare număr întreg din acest interval  $[a, b]$  este la fel de probabil. De exemplu,  $\text{RANDOM}(0,1)$  produce 0 și 1 cu aceeași probabilitate  $1/2$ . Fiecare întreg generat de RANDOM este independent de valorile generate anterior. Ne-am putea imagina că RANDOM este un zar cu  $(b - a + 1)$  fețe. (Majoritatea mediilor de programare posedă un **generator de numere pseudoaleatoare**, un algoritm determinist care produce numere care “par” a fi aleatoare.)

Această variantă a algoritmului de sortare rapidă (ca de altfel mulți alți algoritmi aleatori) are interesanta proprietate că, practic, *pentru nici o intrare nu are comportarea cea mai defavorabilă*. Din contră, cazul cel mai defavorabil depinde de generatorul de numere aleatoare. Chiar dacă dorim, nu reușim să generăm un vector de intrare prost, deoarece permutarea aleatoare face ca ordinea datelor de intrare să fie irelevantă. Algoritmul aleator poate avea o comportare proastă numai dacă generatorul de numere aleatoare produce o intrare nefericită. În exercitiul 13.4-4 se arată că pentru aproape toate permutările elementelor de intrare, algoritmul de sortare rapidă are o comportare similară cu cazul mediu și această comportare este apropiată de cea mai defavorabilă doar pentru *foarte* puține permutări.

O strategie aleatoare este de obicei utilă când există multe moduri în care un algoritm se poate executa, dar este dificil să determinăm un mod care să fie cu siguranță bun. Dacă multe din aceste alternative sunt bune, alegerea pur și simplu a uneia, la întâmplare, poate reprezenta o strategie bună. Deseori, în timpul execuției sale, un algoritm trebuie să ia multe decizii. Dacă beneficiile unei decizii bune sunt mult mai mari decât costurile unor decizii rele, o selecție aleatoare de decizii bune și rele poate determina un algoritm eficient. În secțiunea 8.2 am arătat că o combinație de partitōnări bune și rele asigură un timp de execuție bun pentru algoritmul de sortare rapidă, și acest fapt sugerează că și algoritmul aleator va avea o comportare bună.

Prin modificarea procedurii PARTIȚIE, se poate obține o variantă nouă a algoritmului de sortare rapidă care folosește această strategie de alegere aleatoare. La fiecare pas al sortării rapide, înainte de partitōnarea vectorului, interschimbăm elementul  $A[p]$  cu un element ales aleator din vectorul  $A[p..r]$ . Această modificare asigură că elementul pivot  $x = A[p]$  să fie, cu aceeași probabilitate, orice element dintre cele  $r - p + 1$  elemente ale vectorului. Astfel, partitōnarea vectorului de intrare poate fi, în medie, rezonabil de echilibrată. Algoritmul aleator, bazat pe permutarea elementelor de intrare, are și el o comportare medie bună, dar ceva mai dificil de studiat decât această versiune.

Modificările asupra procedurilor PARTIȚIE și QUICKSORT sunt minore. În noua procedură de partitōnare inserăm pur și simplu interschimbarea celor două elemente înainte de partitōnare:

PARTIȚIE-ALEATOARE( $A, p, r$ )

- 1:  $i \leftarrow \text{RANDOM}(p, r)$
- 2: interschimbă  $A[p] \leftrightarrow A[i]$
- 3: **returnează** PARTIȚIE ( $A, p, r$ )

Noul algoritm de sortare rapidă folosește în loc de PARTIȚIE procedura PARTIȚIE-ALEATOARE:

QUICKSORT-ALEATOR( $A, p, r$ )

- 1: **dacă**  $p < r$  **atunci**
- 2:    $q \leftarrow \text{PARTIȚIE-ALEATOARE}(A, p, r)$
- 3:   QUICKSORT-ALEATOR( $A, p, q$ )
- 4:   QUICKSORT-ALEATOR( $A, q + 1, r$ )

Analiza algoritmului se va face în secțiunea următoare.

## Exerciții

**8.3-1** De ce, în loc să studiem comportarea cea mai defavorabilă a unui algoritm aleator, studiem comportarea medie?

**8.3-2** De câte ori se apelează generatorul de numere aleatoare RANDOM în timpul execuției procedurii QUICKSORT-ALEATOR în cazul cel mai defavorabil? Cum se schimbă răspunsul în cazul cel mai favorabil?

**8.3-3 \*** Descrieți o implementare a algoritmului RANDOM( $a, b$ ), care folosește numai aruncări de monede perfecte. Care va fi timpul mediu de execuție a procedurii?

**8.3-4 \*** Scrieți un algoritm aleator care rulează în  $\Theta(n)$  unități de timp, are ca intrare un vector  $A[1..n]$  și produce la ieșire o permutare a elementelor de intrare.

## 8.4. Analiza algoritmului de sortare rapidă

Rezultatul studiului intuitiv din secțiunea 8.2 ne face să credem că algoritmul de sortare rapidă are o comportare bună. În această secțiune vom face o analiză mai riguroasă. Începem cu analiza cazului celui mai defavorabil, atât pentru algoritmul QUICKSORT cât și pentru algoritmul QUICKSORT-ALEATOR, și terminăm cu analiza cazului mediu pentru algoritmul QUICKSORT-ALEATOR.

### 8.4.1. Analiza celui mai defavorabil caz

Am văzut, în secțiunea 8.2, că împărțirea cea mai rea la fiecare nivel ne conduce la timpul de execuție al algoritmului  $\Theta(n^2)$ , care, intuitiv, reprezintă comportarea în cazul cel mai defavorabil. În continuare vom demonstra această afirmație.

Folosind metoda substituției (vezi secțiunea 4.1), se poate demonstra că timpul de execuție al algoritmului QUICKSORT este  $O(n^2)$ . Fie  $T(n)$  timpul de execuție al algoritmului de sortare

rapidă, în cazul cel mai defavorabil, pentru o intrare de dimensiunea  $n$ . Avem următoarea formulă de recurență

$$T(n) = \max_{1 \leq q \leq n-1} (T(q) + T(n-q)) + \Theta(n), \quad (8.1)$$

unde parametrul  $q$  parcurge valorile între 1 și  $n-1$ , deoarece procedura PARTIȚIE produce două subșiruri, având fiecare, cel puțin un element. Presupunem că  $T(n) \leq cn^2$ , pentru o constantă  $c$ . Înlocuind în formula (8.1), obținem următoarele:

$$T(n) \leq \max_{1 \leq q \leq n-1} (cq^2 + c(n-q)^2) + \Theta(n) = c \cdot \max_{1 \leq q \leq n-1} (q^2 + (n-q)^2) + \Theta(n).$$

Expresia  $q^2 + (n-q)^2$  atinge valoarea sa maximă în domeniul de valori  $1 \leq q \leq n-1$  la una din extreme, deoarece derivata a două, după  $q$  a expresiei, este pozitivă (vezi exercițiul 8.4-2). Deci, avem

$$\max_{1 \leq q \leq n-1} (q^2 + (n-q)^2) \leq 1^2 + (n-1)^2 = n^2 - 2(n-1).$$

Continuând majorarea lui  $T(n)$ , obținem:

$$T(n) \leq cn^2 - 2c(n-1) + \Theta(n) \leq cn^2,$$

deoarece constanta  $c$  poate fi aleasă suficient de mare, astfel încât termenul  $2c(n-1)$  să domine termenul  $\Theta(n)$ . Rezultă că timpul de execuție (cel mai defavorabil) al algoritmului de sortare rapidă este  $\Theta(n^2)$ .

### 8.4.2. Analiza cazului mediu

Am explicat deja, intuitiv, de ce timpul mediu de execuție al algoritmului QUICKSORT-ALEATOR este  $\Theta(n \lg n)$ : dacă procedura PARTIȚIE-ALEATOARE împarte vectorul, la fiecare nivel, în aceeași proporție, atunci adâncimea arborelui de recurență este  $\Theta(\lg n)$ , și timpul de execuție la fiecare nivel este  $\Theta(n)$ . Pentru a putea analiza mai exact timpul mediu de execuție al algoritmului QUICKSORT-ALEATOR, va trebui să înțelegem esența procedurii de partitioare. În continuare, vom putea găsi o formulă de recurență pentru timpul mediu de execuție, necesar pentru sortarea unui vector de dimensiune  $n$ . Ca parte a procesului de rezolvare a recurenței, vom găsi margini tari pentru o sumă interesantă.

#### Analiza partiționării

La început, facem câteva observații asupra procedurii PARTIȚIE. Când în linia 3 a procedurii PARTIȚIE-ALEATOARE este apelată procedura PARTIȚIE, elementul  $A[p]$  este deja interschimbat cu un element ales aleator din vectorul  $A[p..r]$ . Pentru simplificare, să presupunem că toate elementele de intrare sunt distințe. Dacă elementele de intrare nu sunt distințe, timpul mediu de execuție al algoritmului rămâne tot  $O(n \lg n)$ , dar acest caz necesită o analiză ceva mai complexă.

Prima noastră observație este că valoarea  $q$ , returnată de procedura PARTIȚIE, depinde numai de rangul elementului  $x = A[p]$  în vectorul  $A[p..r]$ . (**Rangul** unui element într-o mulțime este egal cu numărul elementelor care sunt mai mici sau egale cu el.) Dacă notăm cu  $n = r - p + 1$  numărul elementelor vectorului  $A[p..r]$ , și interschimbăm elementul  $x = A[p]$  cu un element ales

aleator din vectorul  $A[p..r]$ , probabilitatea ca  $\text{rang}(x) = i$  (unde  $i = 1, 2, \dots, n$ ) este egală cu  $1/n$ .

Vom calcula, în continuare, probabilitatea diferitelor rezultate ale procedurii de partitioare. Dacă  $\text{rang}(x) = 1$ , atunci, în procedura PARTITIE, la prima execuție a ciclului **cât timp** din liniile 4–14, variabilele  $i$  și  $j$  vor primi aceeași valoare  $p$ . Deci, când procedura returnează valoarea  $q = j$ , în primul subșir, singurul element va fi  $A[p]$ . Probabilitatea acestui caz este  $1/n$ , deoarece aceasta este probabilitatea ca  $\text{rang}(x)$  să fie egal cu 1.

Dacă  $\text{rang}(x) \geq 2$ , atunci, există cel puțin un element care este mai mic decât  $x = A[p]$ . În consecință, la prima trecere prin ciclul **cât timp** variabila  $i$  va avea valoarea egală cu  $p$ , iar  $j$  nu va atinge valoarea  $p$ . Deci, prin interschimbarea a două elemente între ele, elementul  $A[p]$  ajunge în al doilea subșir. Când procedura PARTITIE se termină, fiecare dintre cele  $\text{rang}(x) - 1$  elemente, care se află în primul subșir, vor fi mai mici sau egale cu  $x$ . Deci, când  $\text{rang}(x) \geq 2$ , probabilitatea ca în primul subșir să fie  $i$  elemente (pentru orice  $i = 1, 2, \dots, n - 1$ ) este egală cu  $1/n$ .

Combinând cele două cazuri, putem trage concluzia că dimensiunea  $q-p+1$ , a primului subșir, este egală cu 1, cu probabilitatea  $2/n$ , iar această dimensiune este egală cu  $i$  ( $i = 2, 3, \dots, n - 1$ ), cu probabilitatea  $1/n$ .

### O relație de recurență pentru cazul mediu

Vom da în continuare o formulă de recurență pentru timpul mediu de execuție al algoritmului QUICKSORT-ALEATOR. Fie  $T(n)$  timpul mediu necesar ordonării unui vector având  $n$  elemente. Un vector de 1 element poate fi ordonat cu procedura QUICKSORT-ALEATOR în timp constant, deci  $T(1) = \Theta(1)$ . Procedura QUICKSORT-ALEATOR partionează vectorul  $A[1..n]$  de dimensiune  $n$  în  $\Theta(n)$  unități de timp. Procedura PARTITIE returnează un indice  $q$ , iar QUICKSORT-ALEATOR este apelat recursiv pentru un vector de  $q$  elemente și pentru unul cu  $n - q$  elemente. Deci timpul mediu pentru ordonarea unui vector, având  $n$  elemente, se poate exprima astfel:

$$T(n) = \frac{1}{n} \left( T(1) + T(n-1) + \sum_{q=1}^{n-1} (T(q) + T(n-q)) \right) + \Theta(n). \quad (8.2)$$

Distribuția valorii  $q$  este aproape uniformă, exceptând cazul  $q = 1$  care este de două ori mai probabil decât celelalte valori, cum am văzut anterior. Folosind valorile  $T(1) = \Theta(n)$  și  $T(n-1) = O(n^2)$  (din analiza celui mai defavorabil caz), se poate scrie:

$$\frac{1}{n}(T(1) + T(n-1)) = \frac{1}{n}(\Theta(1) + O(n^2)) = O(n),$$

și astfel termenul  $\Theta(n)$ , în formula (8.2), poate absorbi expresia  $\frac{1}{n}(T(1) + T(n-1))$ . Astfel, formula de recurență (8.2) poate fi scrisă sub forma:

$$T(n) = \frac{1}{n} \sum_{q=1}^{n-1} (T(q) + T(n-q)) + \Theta(n). \quad (8.3)$$

Se poate observa că, pentru  $k = 1, 2, \dots, n-1$ , fiecare termen  $T(k)$  al sumei apare de două ori, o dată ca  $T(q)$ , iar altă dată ca  $T(n-q)$ . Reducând acești termeni, formula finală va fi:

$$T(n) = \frac{2}{n} \sum_{k=1}^{n-1} T(k) + \Theta(n). \quad (8.4)$$

## Rezolvarea ecuației de recurență

Vom putea rezolva ecuația de recurență (8.4) folosind metoda substituției. Să presupunem că  $T(n) \leq an \lg n + b$ , pentru un  $a > 0$  și  $b > 0$ . Valorile  $a$  și  $b$  pot fi alese destul de mari, astfel încât  $an \lg n + b$  să fie mai mare decât  $T(1)$ . Pentru  $n > 1$  avem:

$$\begin{aligned} T(n) &= \frac{2}{n} \sum_{k=1}^{n-1} T(k) + \Theta(n) \leq \frac{2}{n} \sum_{k=1}^{n-1} (ak \lg k + b) + \Theta(n) = \\ &= \frac{2a}{n} \sum_{k=1}^{n-1} k \lg k + \frac{2b}{n}(n-1) + \Theta(n). \end{aligned}$$

Vom arăta, mai târziu, că ultima sumă poate fi majorată astfel:

$$\sum_{k=1}^{n-1} k \lg k \leq \frac{1}{2} n^2 \lg n - \frac{1}{8} n^2. \quad (8.5)$$

Folosind această majorare, se obține:

$$\begin{aligned} T(n) &\leq \frac{2a}{n} \left( \frac{1}{2} n^2 \lg n - \frac{1}{8} n^2 \right) + \frac{2b}{n}(n-1) + \Theta(n) \leq \\ &\leq an \lg n - \frac{a}{4} n + 2b + \Theta(n) = an \lg n + b + \left( \Theta(n) + b - \frac{a}{4} n \right) \leq an \lg n + b, \end{aligned}$$

deoarece valoarea lui  $a$  poate fi aleasă astfel încât  $\frac{a}{4} n$  să domine expresia  $\Theta(n) + b$ . Se poate deci trage concluzia că timpul mediu de execuție a algoritmului de sortare rapidă este  $O(n \lg n)$ .

## Margini strânse pentru însumarea cu chei

Trebuie să mai demonstrăm marginea (8.5) a sumei  $\sum_{k=1}^{n-1} k \lg k$ .

Deoarece fiecare termen al sumei este cel mult  $n \lg n$ , se poate scrie:

$$\sum_{k=1}^{n-1} k \lg k \leq n^2 \lg n,$$

formulă care reprezintă o estimare destul de precisă, abstractie făcând de o constantă, dar nu este suficient de puternică pentru a obține  $T(n) = O(n \lg n)$  ca soluție a recurenței. Pentru a obține soluția de mai sus, avem nevoie de o margine de forma  $\frac{1}{2} n^2 \lg n - \Omega(n^2)$ .

Această margine se poate obține folosind metoda de împărțire a sumei în două, ca în secțiunea 3.2. Vom obține:

$$\sum_{k=1}^{n-1} k \lg k = \sum_{k=1}^{\lceil n/2 \rceil - 1} k \lg k + \sum_{k=\lceil n/2 \rceil}^{n-1} k \lg k.$$

Termenul  $\lg k$  din prima sumă a membrului drept se poate majora prin  $\lg(n/2) = \lg n - 1$ , iar termenul  $\lg k$  din cea de a doua sumă prin  $\lg n$ . Astfel se obține

$$\sum_{k=1}^{n-1} k \lg k \leq (\lg n - 1) \sum_{k=1}^{\lceil n/2 \rceil - 1} k + \lg n \sum_{k=\lceil n/2 \rceil}^{n-1} k = \lg n \sum_{k=1}^{n-1} k - \sum_{k=1}^{\lceil n/2 \rceil - 1} k \leq$$

$$\leq \frac{1}{2}n(n-1)\lg n - \frac{1}{2}\left(\frac{n}{2}-1\right)\frac{n}{2} \leq \frac{1}{2}n^2\lg n - \frac{1}{8}n^2$$

dacă  $n \geq 2$ . Deci am obținut chiar formula (8.5).

## Exerciții

**8.4-1** Demonstrați că timpul de execuție al algoritmului de sortare rapidă, în cazul cel mai favorabil este  $\Omega(n \lg n)$ .

**8.4-2** Demonstrați că expresia  $q^2 + (n-q)^2$ , unde  $q = 1, 2, \dots, n-1$ , atinge maximul pentru  $q=1$  sau  $q=n-1$ .

**8.4-3** Demonstrați că timpul mediu de execuție al lui QUICKSORT-ALEATOR este  $\Omega(n \lg n)$ .

**8.4-4** În practică, timpul de execuție al algoritmului de sortare rapidă se poate îmbunătăți considerabil, ținând cont de execuția mai rapidă a algoritmului de sortare prin inserție pentru date de intrare “aproape” ordonate. Când algoritmul de sortare rapidă este apelat pentru un subșir având mai puțin de  $k$  elemente, impunem ca acesta să returneze vectorul fără a-l sorte. După revenirea din apelul inițial, să se execute algoritmul de sortare prin inserție pentru întregul vector (care este “aproape” ordonat). Argumentați afirmația că acest algoritm de sortare are un timp mediu de execuție  $O(nk + n \lg(n/k))$ . Cum trebuie aleasă valoarea lui  $k$ , teoretic și practic?

**8.4-5** \* Demonstrați următoarea identitate:

$$\int x \ln x dx = \frac{1}{2}x^2 \ln x - \frac{1}{4}x^2,$$

și, folosind metoda de calculul aproximativ al integralei, dați o margine mai bună decât cea din (8.5) pentru  $\sum_{k=1}^{n-1} k \lg k$ .

**8.4-6** \* Modificați procedura PARTIȚIE, alegând aleator trei elemente din vectorul  $A$ , iar dintre acestea elementul de mijloc ca valoare pivot. Aproximați probabilitatea ca, în cazul cel mai defavorabil, să se obțină o partiționare în proporție de  $\alpha$  la  $(1-\alpha)$ , unde  $0 < \alpha < 1$ .

## Probleme

### 8-1 Corectitudinea partiției

Argumentați afirmația că procedura PARTIȚIE din secțiunea 8.1 este corectă. Demonstrați următoarele:

- a. Indicii  $i$  și  $j$  nu se referă niciodată la elemente ale lui  $A$  din afara intervalului  $[p..r]$ .
- b. La terminarea procedurii PARTIȚIE, indicele  $j$  nu va fi niciodată egal cu  $r$  (astfel, partiționarea nu este niciodată trivială).
- c. La terminarea partiționării fiecare element din  $A[p..j]$  este mai mic sau egal cu orice element din  $A[j+1..r]$ .

### 8-2 Algoritmul de partitioare a lui Lomuto

Considerăm următoarea variantă a procedurii PARTIȚIE, dată de N. Lomuto. Vectorul  $A[p..r]$  se împarte în vectorii  $A[p..i]$  și  $A[i + 1..j]$  astfel încât fiecare element din primul vector este mai mic sau egal cu  $x = A[r]$  și fiecare element din cel de al doilea vector este mai mare ca  $x$ .

PARTIȚIE-LOMUTO( $A, p, r$ )

- 1:  $x \leftarrow A[r]$
- 2:  $i \leftarrow p - 1$
- 3: **pentru**  $j \leftarrow p, r$  **execută**
- 4:     **dacă**  $A[j] \leq x$  **atunci**
- 5:          $i \leftarrow i + 1$
- 6:         interschimbă  $A[i] \leftrightarrow A[j]$
- 7: **dacă**  $i < r$  **atunci**
- 8:     **returnează**  $i$
- 9: **altfel**
- 10:   **returnează**  $i - 1$

- a. Argumentați că procedura PARTIȚIE-LOMUTO este corectă.
- b. Cel mult, de câte ori poate fi mutat un element în procedura PARTIȚIE? Dar în procedura PARTIȚIE-LOMUTO?
- c. Argumentați că timpul de execuție al procedurii PARTIȚIE-LOMUTO, ca de altfel și al procedurii PARTIȚIE, pe un subșir de  $n$  elemente, este  $\Theta(n)$ .
- d. Cum afectează, înlocuirea procedurii PARTIȚIE cu procedura PARTIȚIE-LOMUTO, timpul de execuție al algoritmului de sortare rapidă QUICKSORT când toate datele de intrare sunt egale?
- e. Definiți o procedură PARTIȚIE-LOMUTO-ALEATOARE care interschimbă elementul  $A[r]$  cu un element ales aleator din vectorul  $A[p..r]$ , apoi apeleză procedura PARTIȚIE-LOMUTO. Demonstrați că probabilitatea ca procedura PARTIȚIE-LOMUTO-ALEATOARE să returneze valoarea  $q$ , este aceeași cu probabilitatea ca procedura PARTIȚIE-ALEATOARE să returneze valoarea  $p + r - q$ .

### 8-3 Sortare circulară

Profesorii Howard, Fine și Howard au propus următorul algoritm “elegant” pentru sortare:

SORTEAZĂ-CIRCULAR( $A, i, j$ )

- 1: **dacă**  $A[i] > A[j]$  **atunci**
- 2:     interschimbă  $A[i] \leftrightarrow A[j]$
- 3: **dacă**  $i + 1 \geq j$  **atunci**
- 4:     **revenire**
- 5:  $k \leftarrow \lfloor (j - i + 1)/3 \rfloor$  ▷ Trunchiere.
- 6: SORTEAZĂ-CIRCULAR( $A, i, j - k$ ) ▷ Primele două-treimi.
- 7: SORTEAZĂ-CIRCULAR( $A, i + k, j$ ) ▷ Ultimale două-treimi.
- 8: SORTEAZĂ-CIRCULAR( $A, i, j - k$ ) ▷ Primele două-treimi din nou.

- a. Demonstrați că  $\text{SORTEAZĂ-CIRCULAR}(A, 1, \text{lungime}[A])$  ordonează corect vectorul de intrare  $A[1..n]$ , unde  $n = \text{lungime}[A]$ .
- b. Determinați o formulă de recurență, pentru timpul de execuție al procedurii  $\text{SORTEAZĂ-CIRCULAR}$ , și o margine asimptotică tare (folosind notația  $\Theta$ ), pentru timpul de execuție, în cazul cel mai defavorabil.
- c. Comparați timpul de execuție al algoritmului  $\text{SORTEAZĂ-CIRCULAR}$ , în cazul cel mai defavorabil, cu timpii corespunzători ai algoritmilor de sortare prin inserare, sortare prin interclasare, heapsort și sortare rapidă. Merită profesorii să fie felicități?

#### 8-4 Adâncimea stivei pentru algoritmul de sortare rapidă

Algoritmul  $\text{QUICKSORT}$ , prezentat în secțiunea 8.1, se autoapelează de două ori. După apelul procedurii  $\text{PARTITIE}$ , este sortat recursiv primul subșir, apoi subșirul al doilea. Al doilea apel recursiv din  $\text{QUICKSORT}$  nu este neapărat necesar, el poate fi evitat prin folosirea unei structuri de control iterative. Această tehnică, numită **recursivitate de coadă**, este oferită în mod automat de compilatoarele mai bune. Se consideră următoarea variantă a algoritmului de sortare rapidă, care simulează recursivitatea de coadă:

$\text{QUICKSORT}'(A, p, r)$

- 1: **cât timp  $p < r$  execută**
- 2:   ▷ Partiționarea și sortarea primului subșir
- 3:    $q \leftarrow \text{PARTITIE}(A, p, r)$
- 4:    $\text{QUICKSORT}'(A, p, q)$
- 5:    $p \leftarrow q + 1$

- a. Arătați că algoritmul  $\text{QUICKSORT}'(A, 1, \text{lungime}[A])$  sortează corect vectorul  $A$ .

Compilatoarele, de obicei, execută apelurile recursive, folosind o **stivă** care conține informații pertinente, inclusiv valorile parametrilor la fiecare apel. Informațiile referitoare la cel mai recent apel se găsesc în vârful stivei, pe când informațiile referitoare la primul apel se păstrează la baza stivei. Când se apelează o procedură, informațiile sale se depun în vârful stivei (operația **push**), iar la terminarea execuției, aceste informații se scot din stivă (operația **pop**). Deoarece presupunem că parametrii vectorului se reprezintă cu ajutorul pointerilor, informațiile necesare fiecărui apel necesită un spațiu de stivă de  $O(1)$  unități. **Adâncimea stivei** este spațiul maxim utilizat de stivă, în timpul execuției algoritmului.

- b. Descrieți un scenariu în care, pentru un vector de intrare de dimensiune  $n$ , adâncimea stivei algoritmului  $\text{QUICKSORT}'$  este  $\Theta(n)$ .
- c. Modificați textul algoritmului  $\text{QUICKSORT}'$  astfel încât adâncimea stivei, în cazul cel mai defavorabil, să fie  $\Theta(\lg n)$ . Păstrați valoarea  $O(n \lg n)$  pentru timpul mediu de execuție a algoritmului.

#### 8-5 Partiționare mijlocul-din-3

O metodă prin care procedura  $\text{QUICKSORT-ALEATOR}$  poate fi îmbunătățită este de a face partiționarea în jurul unui element  $x$ , ales mai atent decât aleator. O metodă obișnuită poate fi metoda **mijlocul-din-3**, care constă în a alege elementul mijlociu ca mărime, dintre trei elemente

alese la întâmplare din vector. Să considerăm, pentru problema de față, că toate elementele vectorului de intrare  $A[1..n]$  sunt distințe și că  $n \geq 3$ . Să notăm cu  $A'[1..n]$  vectorul sortat rezultat. Fie  $p_i = \Pr\{x = A'[i]\}$  probabilitatea ca elementul pivot  $x$ , ales cu metoda mijlocul-din-3, să fie al  $i$ -lea element în vectorul de ieșire.

- a.** Dați o formulă exactă pentru  $p_i$  în funcție de  $n$  și  $i$ , pentru  $i = 2, 3, \dots, n-1$ . (Să observăm că  $p_1 = p_n = 0$ .)
- b.** Cu cât crește probabilitatea alegerii ca pivot a elementului  $x = A'[\lfloor (n+1)/2 \rfloor]$ , mijlocul vectorului  $A[1..n]$  față de implementarea originală? Calculați limita acestei probabilități când  $n \rightarrow \infty$ .
- c.** Dacă numim partitōnare “bună” acea partitōnare care folosește ca pivot elementul  $x = A'[i]$ , unde  $n/3 \leq i \leq 2n/3$ , atunci cu cât crește probabilitatea obținerii unei împărțiri bune față de implementarea originală? (*Indica ie:* Aproximați suma cu o integrală.)
- d.** Arătați că metoda mijlocul-din-3 afectează numai factorul constant din expresia  $\Omega(n \lg n)$  a timpului de execuție al algoritmului de sortare rapidă.

## Note bibliografice

Algoritmul de sortare rapidă a fost inventat de Hoare [98]. Sedgewick [174] oferă o prezentare bună a detaliilor de implementare a acestui algoritm. Avantajele algoritmilor aleatori au fost tratate de Rabin [165].

---

## 9 Sortare în timp liniar

În capituloanele precedente au fost prezentate câțiva algoritmi de complexitate  $O(n \lg n)$ . Această margine superioară este atinsă de algoritmii de sortare prin interclasare și heapsort în cazul cel mai defavorabil; respectiv pentru quicksort corespunde în medie. Mai mult decât atât, pentru fiecare din acești algoritmi putem efectiv obține căte o secvență de  $n$  numere de intrare care determină execuția algoritmului în timpul  $\Omega(n \lg n)$ .

Acești algoritmi au o proprietate interesantă: *ordinea dorită este determinată în exclusivitate pe baza comparațiilor între elementele de intrare*. Astfel de algoritmi de sortare se numesc **sortări prin comparații**. Toți algoritmii de sortare prezentate până acum sunt de acest tip.

În secțiunea 9.1 vom demonstra că oricare sortare prin comparații trebuie să facă, în cel mai defavorabil caz,  $\Omega(n \lg n)$  comparații pentru a sorta o secvență de  $n$  elemente. Astfel, algoritmul de sortare prin interclasare și heapsort sunt asymptotic optimale și nu există nici o sortare prin comparații care să fie mai rapidă decât cu un factor constant.

Secțiunile 9.2, 9.3 și 9.4 studiază trei algoritmi de sortare – sortare prin numărare, ordonare pe baza cifrelor și ordonare pe grupe – care se execută în timp liniar. Se subîntâlege că acești algoritmi folosesc, pentru a determina ordinea de sortare, alte operații decât comparațiile. În consecință, lor nu li se aplică marginea inferioară  $\Omega(n \lg n)$ .

---

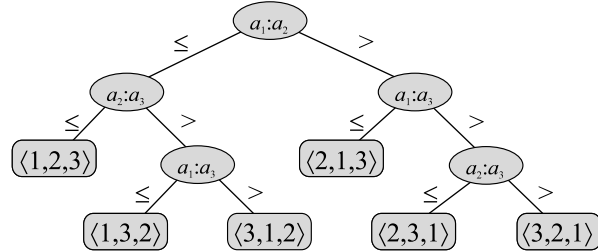
### 9.1. Margini inferioare pentru sortare

Într-o sortare prin comparații folosim numai comparațiile dintre elemente pentru a câștiga informații de ordine despre o secvență de intrare  $\langle a_1, a_2, \dots, a_n \rangle$ . Respectiv, date fiind elementele  $a_i$  și  $a_j$ , facem testele  $a_i < a_j$ ,  $a_i \leq a_j$ ,  $a_i = a_j$ ,  $a_i \geq a_j$ , sau  $a_i > a_j$  pentru a determina ordinea lor relativă. Nu putem să inspectăm valorile elementelor sau să obținem informații asupra ordinii lor în nici un alt mod.

În această secțiune vom presupune, fără a pierde din generalitate, că toate elementele de intrare sunt distincte. Dată fiind această presupunere, comparațiile de tipul  $a_i = a_j$  sunt nefolosite, deci putem să afirmăm că nu sunt făcute comparații de acest fel. Studiind comparațiile  $a_i \leq a_j$ ,  $a_i \geq a_j$ ,  $a_i > a_j$  și  $a_i < a_j$  observăm că acestea sunt echivalente, deoarece aduc informație identică despre ordinea relativă a lui  $a_i$  și  $a_j$ . De aceea vom considera că toate comparațiile au forma  $a_i \leq a_j$ .

#### Modelul arborelui de decizie

Sortările prin comparații pot fi vizualizate în mod abstract în termenii **arborilor de decizie**. Un arbore de decizie reprezintă comparațiile realizate de un algoritm de sortare când acesta operează asupra unor date de intrare având o mărime dată. Controlul, mișcarea datelor și toate celealte aspecte ale algoritmului sunt ignore. Figura 9.1 vizualizează un arbore de decizie corespunzător algoritmului de sortare prin inserție din secțiunea 1.1 ce operează cu o secvență de intrare având trei elemente.



**Figura 9.1** Arborele de decizie corespunzător sortării prin inserție care operează cu trei elemente. Sunt posibile  $3! = 6$  permutări între elementele de intrare, deci arborele de decizie trebuie să aibă cel puțin 6 frunze.

Într-un arbore de decizie fiecare nod intern este etichetat prin  $a_i : a_j$  pentru  $i$  și  $j$  din intervalul  $1 \leq i, j \leq n$ , unde  $n$  este numărul de elemente din secvența de intrare. Fiecare frunză este etichetată cu o permutare  $\langle \pi(1), \pi(2), \dots, \pi(n) \rangle$ . (Vezi secțiunea 6.1 pentru noțiuni de bază asupra permutărilor.) Execuția algoritmului de sortare corespunde trasării unui drum de la rădăcina arborelui de decizie la o frunză. La fiecare nod intern este făcută o comparație  $a_i \leq a_j$ . Subarborele stâng dictează comparațiile următoare pentru  $a_i \leq a_j$ , iar subarborele drept dictează comparațiile următoare pentru  $a_i > a_j$ . Când ajungem la o frunză, algoritmul de sortare a stabilit ordonarea  $a_{\pi(1)} \leq a_{\pi(2)} \leq \dots \leq a_{\pi(n)}$ . Pentru ca algoritmul de sortare să ordeneze adecvat, fiecare dintre cele  $n!$  permutări de  $n$  elemente trebuie să apară în dreptul unei frunze a arborelui de decizie.

### O margine inferioară în cel mai defavorabil caz

Lungimea celui mai lung drum de la rădăcina unui arbore de decizie la oricare dintre frunzele sale reprezintă numărul de comparații, în cel mai defavorabil caz, pe care le realizează algoritmul de sortare. În consecință, numărul de comparații, în cel mai defavorabil caz, pentru o sortare prin comparații corespunde înălțimii arborelui de decizie. O margine inferioară a înălțimilor arborilor de decizie este astfel o margine inferioară a timpului de execuție al oricărui algoritm de sortare prin comparații. Următoarea teoremă stabilește o astfel de margine inferioară.

**Teorema 9.1** Orice arbore de decizie care sortează  $n$  elemente are înălțimea  $\Omega(n \lg n)$ .

**Demonstrație.** Să considerăm un arbore de decizie având înălțimea  $h$  și care sortează  $n$  elemente. Întrucât există  $n!$  permutări ale celor  $n$  elemente, fiecare permutare reprezentând o ordine distinctă de sortare, arborele trebuie să aibă cel puțin  $n!$  frunze. Deoarece un arbore binar având înălțimea  $h$  nu are mai mult de  $2^h$  frunze, avem

$$n! \leq 2^h,$$

iar, prin logaritmare, rezultă

$$h \geq \lg(n!),$$

deoarece funcția  $\lg$  este monoton crescătoare. Din aproximarea lui Stirling (2.11), avem

$$n! > \left(\frac{n}{e}\right)^n,$$

unde  $e = 2.71828\dots$  este baza logaritmilor naturali; astfel

$$h \geq \lg \left( \frac{n}{e} \right)^n = n \lg n - n \lg e = \Omega(n \lg n).$$

■

**Corolarul 9.2** Metoda heapsort și metoda de sortare prin interclasare sunt metode de sortare prin comparații asimptotic optimale.

**Demonstrație.** În cazul metodelor de sortare heapsort și sortarea prin interclasare, marginile superioare  $O(n \lg n)$  asupra duratei timpilor de execuție corespund marginii inferioare  $\Omega(n \lg n)$  stabilite de teorema 9.1 pentru cazul cel mai defavorabil. ■

## Exerciții

**9.1-1** Care este cea mai mică adâncime posibilă a unei frunze într-un arbore de decizie pentru un algoritm de sortare?

**9.1-2** Obțineți margini asimptotic strânse la  $\lg(n!)$  fără a folosi aproximarea Stirling. În loc de această aproximatie, evaluați suma  $\sum_{k=1}^n \lg k$  folosind tehniciile prezentate în cadrul secțiunii 3.2.

**9.1-3** Arătați că nu există nici o sortare prin comparații având timpul de execuție liniar pentru cel puțin jumătate din cele  $n!$  intrări de lungime  $n$ . Ce se poate spune în cazul unei fracțiuni  $1/n$  din datele de intrare de lungime  $n$ ? Dar despre o fracțiune  $1/2^n$ ?

**9.1-4** Profesorul Solomon afirmă că marginea inferioară  $\Omega(n \lg n)$  pentru sortarea a  $n$  numere nu se aplică în cazul mediului de care dispune, unde după o singură comparație  $a_i : a_j$ , programul se ramifică în trei direcții, după cum  $a_i < a_j$ ,  $a_i = a_j$  respectiv  $a_i > a_j$ . Demonstrați că profesorul nu are dreptate demonstrând că numărul comparațiilor tridirectionale cerut de sortarea celor  $n$  elemente este tot  $\Omega(n \lg n)$ .

**9.1-5** Demonstrați că, pentru a interclasă două liste ordonate ce conțin fiecare câte  $n$  elemente, sunt necesare  $2n - 1$  comparații în cazul cel mai defavorabil.

**9.1-6** Se consideră o secvență de  $n$  elemente care trebuie sortate. Datele de intrare sunt formate din  $n/k$  subsecvențe, fiecare conținând  $k$  elemente. Toate elementele dintr-o subsecvență dată sunt mai mici decât elementele din subsecvența următoare și mai mari decât elementele din subsecvența precedentă. Astfel, pentru sortarea întregii secvențe de lungime  $n$  este suficientă sortarea celor  $k$  elemente din fiecare dintre cele  $n/k$  subsecvențe. Găsiți o margine inferioară  $\Omega(n \lg k)$  a numărului de comparații necesar pentru rezolvarea acestei variante a problemei de sortare. (Indica ie: combinarea simplă a marginilor inferioare pentru subsecvențele individuale nu este riguroasă.)

## 9.2. Sortarea prin numărare

**Sortarea prin numărare** presupune că fiecare dintre cele  $n$  elemente ale datelor de intrare este un număr întreg între 1 și  $k$ , pentru un număr întreg  $k$  oarecare. Când  $k = O(n)$ , sortarea se execută în timpul  $O(n)$ .

$A$	1 2 3 4 5 6 7 8
	3 6 4 1 3 4 1 4
$C$	1 2 3 4 5 6

(a)

$C$	1 2 3 4 5 6
	2 2 4 7 7 8

(b)

$B$	1 2 3 4 5 6 7 8
	4
$C$	1 2 3 4 5 6

(c)

$B$	1 2 3 4 5 6 7 8
	1 1 4
$C$	1 2 3 4 5 6

(d)

$B$	1 2 3 4 5 6 7 8
	1 1 4 4
$C$	1 2 3 4 5 6

(e)

$B$	1 2 3 4 5 6 7 8
	1 1 3 3 4 4 4 6
$C$	1 2 3 4 5 6

(f)

**Figura 9.2** Modul de funcționare al algoritmului SORTARE-PRIN-NUMĂRARE pe un tablou  $A[1..8]$  de intrare, unde fiecare element din tabloul  $A$  este un număr întreg pozitiv nu mai mare decât  $k = 6$ . (a) Tabloul  $A$  și tabloul auxiliar  $C$  după linie 4. (b) Tabloul  $C$  după executarea liniei 7. (c)-(e) Tabloul de ieșire  $B$  și tabloul auxiliar  $C$  după unul, două, respectiv trei iterații ale buclei din liniile 9–11. Doar elementele hașurate din tabloul  $B$  au fost completate. (f) Tabloul  $B$  sortat, furnizat la ieșire.

Ideea de bază în sortarea prin numărare este de a determina numărul de elemente mai mici decât  $x$ , pentru fiecare element  $x$  din datele de intrare. Această informație poate fi utilizată pentru a poziționa elementul  $x$  direct pe poziția sa din tabloul de ieșire. De exemplu, dacă există 17 elemente mai mici decât  $x$ , atunci  $x$  va fi pe poziția 18 în tabloul de ieșire. Această schemă trebuie ușor modificată în situația în care există mai multe elemente având aceeași valoare, întrucât nu dorim să le așezăm pe toate în aceeași poziție.

În algoritmul pentru sortarea prin numărare presupunem că datele de intrare formează un tablou  $A[1..n]$ , și deci lungime  $|A| = n$ . Sunt necesare alte două tablouri suplimentare, tabloul  $B[1..n]$ , care cuprinde datele de ieșire sortate, și tabloul  $C[1..k]$ , pentru stocarea temporară în timpul lucrului.

SORTARE-PRIN-NUMĂRARE( $A, B, k$ )

- 1: **pentru**  $i \leftarrow 1, k$  **execută**
- 2:    $C[i] \leftarrow 0$
- 3: **pentru**  $j \leftarrow 1, \text{lungime}[A]$  **execută**
- 4:    $C[A[j]] \leftarrow C[A[j]] + 1$
- 5:  $\triangleright C[i]$  conține acum numărul elementelor egale cu  $i$ .
- 6: **pentru**  $i \leftarrow 2, k$  **execută**
- 7:    $C[i] \leftarrow C[i] + C[i - 1]$
- 8:  $\triangleright C[i]$  conține numărul elementelor mai mici sau egale cu  $i$ .
- 9: **pentru**  $j \leftarrow \text{lungime}[A], 1, -1$  **execută**
- 10:    $B[C[A[j]]] \leftarrow A[j]$
- 11:    $C[A[j]] \leftarrow C[A[j]] - 1$

Algoritmul de sortare prin numărare este ilustrat în figura 9.2. După inițializarea din liniile

1–2, în liniile 3–4 se contorizează fiecare element de intrare. Dacă valoarea unui element de intrare este  $i$ , se incrementează valoarea lui  $C[i]$ . Astfel, după liniile 3–4,  $C[i]$  păstrează un număr de elemente de intrare egal cu  $i$  pentru fiecare număr întreg  $i = 1, 2, \dots, k$ . În liniile 6–7 se determină, pentru fiecare  $i = 1, 2, \dots, k$ , numărul elementelor de intrare mai mici sau egale decât  $i$ ; aceasta se realizează prin păstrarea în  $C[k]$  a sumei primelor  $k$  elemente din tabloul inițial.

În final, în liniile 9–11, fiecare element  $A[j]$  se plasează pe poziția sa corect determinată din tabloul de ieșire  $B$ , astfel încât acesta este ordonat. Dacă toate cele  $n$  elemente sunt distințe, la prima execuție a liniei 9, pentru fiecare  $A[j]$ , valoarea  $C[A[j]]$  este poziția finală corectă a lui  $A[j]$  în tabloul de ieșire, întrucât există  $C[A[j]]$  elemente mai mici sau egale cu  $A[j]$ . Deoarece elementele ar putea să nu fie distințe, decrementăm valoarea  $C[A[j]]$  de fiecare dată când plasăm o valoare  $A[j]$  în tabloul  $B$ ; aceasta face ca următorul element de intrare cu o valoare egală cu  $A[j]$ , dacă există vreunul, să meargă în poziția imediat dinaintea lui  $A[j]$  în tabloul de ieșire.

Cât timp necesită sortarea prin numărare? Bucla **pentru** din liniile 1–2 necesită timpul  $O(k)$ , bucla **pentru** din liniile 3–4 necesită timpul  $O(n)$ , bucla **pentru** din liniile 6–7 necesită timpul  $O(k)$ , iar bucla **pentru** din liniile 9–11 necesită timpul  $O(n)$ . Deci timpul total este  $O(k + n)$ . În practică se utilizează sortarea prin numărare când avem  $k = O(n)$ , caz în care timpul necesar este  $O(n)$ .

Sortarea prin numărare are un timp mai bun decât marginea inferioară egală cu  $\Omega(n \lg n)$  demonstrată în secțiunea 9.1, deoarece nu este o sortare prin comparații. De fapt, în cod nu apar comparații între elementele de intrare. În schimb, sortarea prin numărare folosește valorile elementului ca indice într-un tablou. Marginea inferioară  $\Omega(n \lg n)$  nu se aplică atunci când ne îndepărțăm de modelul sortării prin comparații.

O proprietate importantă a sortării prin numărare este **stabilitatea**: numerele cu aceeași valoare apar în tabloul de ieșire în aceeași ordine în care se găsesc în tabloul de intrare. Adică, legăturile dintre două numere sunt distruse de regula conform căreia oricare număr care apare primul în vectorul de intrare, va apărea primul și în vectorul de ieșire. Desigur, stabilitatea este importantă numai când datele învecinate sunt deplasate împreună cu elementul în curs de sortare. Vom vedea în secțiunea următoare de ce stabilitatea este importantă.

## Exerciții

**9.2-1** Folosind figura 9.2 ca model, ilustrați modul de operare al algoritmului SORTARE-PRIN-NUMĂRARE pe tabloul  $A = \langle 7, 1, 3, 1, 2, 4, 5, 7, 2, 4, 3 \rangle$ .

**9.2-2** Demonstrați că SORTARE-PRIN-NUMĂRARE este stabil.

**9.2-3** Se presupune că bucla **pentru** din linia 9 a procedurii SORTARE-PRIN-NUMĂRARE este rescrisă sub forma:

**pentru**  $j \leftarrow 1$ , *lungime* [ $A$ ] **execută**

Arătați că algoritmul modificat astfel funcționează corect. Algoritmul modificat este stabil?

**9.2-4** Se presupune că ieșirea algoritmului de sortare este un flux de date, de exemplu, o afișare în mod grafic. Modificați algoritmul SORTARE-PRIN-NUMĂRARE pentru a obține rezultatul în ordinea sortată fără a utiliza vectori suplimentari în afara lui  $A$  și  $C$ . (*Indica ie: legați elementele tabloului  $A$  având aceleași chei în liste. Unde există un spațiu “liber” pentru păstrarea pointerilor listei înlățuite?*)

**9.2-5** Date fiind  $n$  numere întregi din intervalul  $[1,k]$ , preprocesați datele de intrare și apoi răspundeți într-un timp  $O(1)$  la orice interogare privind numărul total de valori întregi dintre cele  $n$ , care se situează în intervalul  $[a..b]$ . Algoritmul propus ar trebui să folosească un timp de preprocesare  $O(n + k)$ .

### 9.3. Ordonare pe baza cifrelor

**Ordonarea pe baza cifrelor** este algoritmul folosit de către mașinile de sortare a cartelelor, care se mai găsesc la ora actuală numai în muzeele de calculatoare. Cartele sunt organizate în 80 de coloane, și fiecare coloană poate fi perforată în 12 poziții. Sortatorul poate fi “programat” mecanic să examineze o coloană dată a fiecărei cartele dintr-un pachet și să distribuie fiecare cartela într-una dintre cele 12 cutii, în funcție de poziția perforată. Un operator poate apoi să strângă cartelele cutie cu cutie, astfel încât cartelele care au prima poziție perforată să fie deasupra cartelelor care au a doua poziție perforată și.a.m.d.

Pentru cifre zecimale sunt folosite numai 10 poziții în fiecare coloană. (Celelalte două poziții sunt folosite pentru codificarea caracterelor nenumerice). Un număr având  $d$  cifre ar ocupa un câmp format din  $d$  coloane. Întrucât sortatorul de cartele poate analiza numai o singură coloană la un moment dat, problema sortării a  $n$  cartele în funcție de un număr având  $d$  cifre necesită un algoritm de sortare.

Intuitiv, am putea dori să sortăm numere în funcție de *cea mai semnificativ* cifră, să sortăm recursiv fiecare dintre cutiile ce se obțin, și apoi să combinăm pachetele în ordine. Din nefericire, întrucât cartelele din 9 dintre cele 10 cutii trebuie să fie pastrate pentru a putea sorta fiecare dintre cutii, această procedură generează teancuri intermediare de cartele care trebuie urmărite. (Vezi exercițiul 9.3-5.)

Ordonarea pe baza cifrelor rezolvă problema sortării cartelelor într-un mod care contrazice intuiția, sortând întâi în funcție de *cea mai puin semnificativ* cifră. Cartele sunt apoi combinate într-un singur pachet, cele din cutia 0 precedând cartelele din cutia 1, iar acestea din urmă precedând pe cele din cutia 2 și aşa mai departe. Apoi întregul pachet este sortat din nou în funcție de a doua cifră cea mai puin semnificativă și recombinat apoi într-o manieră asemănătoare. Procesul continuă până când cartelele au fost sortate pe baza tuturor celor  $d$  cifre. De remarcat că în acel moment cartelele sunt complet sortate în funcție de numărul având  $d$  cifre. Astfel, pentru sortare sunt necesare numai  $d$  treceri prin lista de numere. În figura 9.3 este ilustrat modul de operare al algoritmului de ordonare pe baza cifrelor pe un “pachet” de șapte numere de căte trei cifre.

Este esențial ca sortarea cifrelor în acest algoritm să fie stabilă. Sortarea realizată de către un sortator de cartele este stabilă, dar operatorul trebuie să fie atent să nu schimbe ordinea cartelelor pe măsură ce acestea ies dintr-o cutie, chiar dacă toate cartelele dintr-o cutie au aceeași cifră în coloana aleasă.

Într-un calculator care funcționează pe bază de acces secvențial aleator, ordonarea pe baza cifrelor este uneori utilizată pentru a sorta înregistrările de informații care sunt indexate cu chei având câmpuri multiple. De exemplu, am putea dori să sortăm date în funcție de trei parametri: an, lună, zi. Am putea executa un algoritm de sortare cu o funcție de comparare care, considerând două date calendaristice, compară anii, și dacă există o legătură, compară lunile, iar dacă apare din nou o legătură, compară zilele. Alternativ, am putea sorta informația de trei ori cu o sortare

329	720	720	329
457	355	329	355
657	436	436	436
839	$\Rightarrow$	457	$\Rightarrow$
436	657	355	657
720	329	457	720
355	839	657	839
	↑	↑	↑

**Figura 9.3** Modul de funcționare al algoritmului de ordonare pe baza cifrelor pe o listă de şapte numere a căte 3 cifre. Prima coloană este intrarea. Celealte coloane prezintă lista după sortări succesive în funcție de pozițiile cifrelor în ordinea crescătoare a semnificației. Săgețile verticale indică poziția cifrei după care s-a sortat pentru a produce fiecare listă din cea precedentă.

stabilă: prima după zi, următoarea după lună, și ultima după an.

Pseudocodul pentru algoritmul de ordonare pe baza cifrelor este evident. Următoarea procedură presupune că într-un tablou  $A$  având  $n$  elemente, fiecare element are  $d$  cifre; cifra 1 este cifra cu ordinul cel mai mic, iar cifra  $d$  este cifra cu ordinul cel mai mare.

ORDONARE-PE-BAZA-CIFRELOR( $A, d$ )

- 1: **pentru**  $i \leftarrow 1, d$  **execută**
- 2:   folosește o sortare stabilă pentru a sorta tabloul  $A$  după cifra  $i$

Corectitudinea algoritmului de ordonare pe baza cifrelor poate fi demonstrată prin inducție după coloanele care sunt sortate (vezi exercițiul 9.3-3). Analiza timpului de execuție depinde de sortarea stabilă folosită ca algoritm intermediar de sortare. Când fiecare cifră este în intervalul  $[1, k]$ , iar  $k$  nu este prea mare, sortarea prin numărare este opțiunea evidentă. Fiecare trecere printr-o mulțime de  $n$  numere a căte  $d$  cifre se face în timpul  $\Theta(n + k)$ . Se fac  $d$  treceri, astfel încât timpul total necesar pentru algoritmul de ordonare pe baza cifrelor este  $\Theta(dn + kd)$ . Când  $d$  este constant și  $k = O(n)$ , algoritmul de ordonare pe baza cifrelor se execută în timp liniar.

Unii informaticieni consideră că numărul bițiilor într-un cuvânt calculator este  $\Theta(\lg n)$ . Pentru exemplificare, să presupunem că  $d \lg n$  este numărul de biți, unde  $d$  este o constantă pozitivă. Atunci, dacă fiecare număr care va fi sortat începe într-un cuvânt al calculatorului, îl vom putea trata ca pe un număr având  $d$  cifre reprezentat în baza  $n$ . De exemplu, să considerăm sortarea a 1 milion de numere având 64 de biți. Trătând aceste numere ca numere de patru cifre în baza  $2^{16}$ , putem să le sortăm pe baza cifrelor doar prin patru treceri, comparativ cu o sortare clasică prin comparații de timp  $\Theta(n \lg n)$  care necesită aproximativ  $\lg n = 20$  de operații pentru fiecare număr sortat. Din păcate, versiunea algoritmului de ordonare pe baza cifrelor care folosește sortarea prin numărare ca sortare intermediară stabilă nu sortează pe loc, lucru care se întâmplă în cazul multora din sortările prin comparații de timp  $\Theta(n \lg n)$ . Astfel, dacă se dorește ca necesarul de memorie să fie mic, atunci este preferabil algoritmul de sortare rapidă.

## Exerciții

**9.3-1** Folosind figura 9.3 ca model, ilustrați modul de funcționare al algoritmului ORDONARE-PE-BAZA-CIFRELOR pe următoarea listă de cuvinte în limba engleză: COW, DOG, SEA, RUG, ROW, MOB, BOX, TAB, BAR, EAR, TAR, DIG, BIG, TEA, NOW, FOX.

**9.3-2** Care din următorii algoritmi de sortare sunt stabili: sortarea prin inserție, sortarea prin interclasare, heapsort și sortarea rapidă? Realizați o schemă simplă care să facă stabil orice algoritm de sortare. Cât timp și spațiu suplimentar necesită schema realizată?

**9.3-3** Demonstrați prin inducție că algoritmul de ordonare pe baza cifrelor funcționează corect. Unde avem nevoie în demonstrație de presupunere că sortarea intermedieră este stabilă?

**9.3-4** Arătați cum se sortează  $n$  întregi din intervalul  $[1, n^2]$  în timp  $O(n)$ .

**9.3-5 \*** Determinați numărul exact de treceri necesare pentru a sorta numere zecimale având  $d$  cifre, în cel mai defavorabil caz, pentru primul algoritm din acest capitol pentru ordonarea cartelelor. De câte teancuri de cartele ar avea nevoie un operator pentru a urmări această sortare?

## 9.4. Ordinarea pe grupe

**Ordonarea pe grupe** se execută, în medie, în timp liniar. Ca și sortarea prin numărare, Ordinarea pe grupe este rapidă pentru că face anumite presupuneri despre datele de intrare. În timp ce sortarea prin numărare presupune că intrarea constă din întregi dintr-un domeniu mic, ordonarea pe grupe presupune că intrarea este generată de un proces aleator care distribuie elementele în mod uniform în intervalul  $[0, 1)$ . (Vezi secțiunea 6.2 pentru definiția distribuției uniforme.)

Principiul algoritmului de ordonare pe grupe este de a împărți intervalul  $[0, 1)$  în  $n$  subintervale egale, numite **grupe** (engl. *buckets*) și apoi să distribuie cele  $n$  numere de intrare în aceste grupe. Întrucât datele de intrare sunt uniform distribuite în intervalul  $[0, 1)$ , nu ne așteptăm să fie prea multe numere în fiecare grupă. Pentru a obține rezultatul dorit, sortăm numerele din fiecare grupă, apoi trecem prin fiecare grupă în ordine, listând elementele din fiecare.

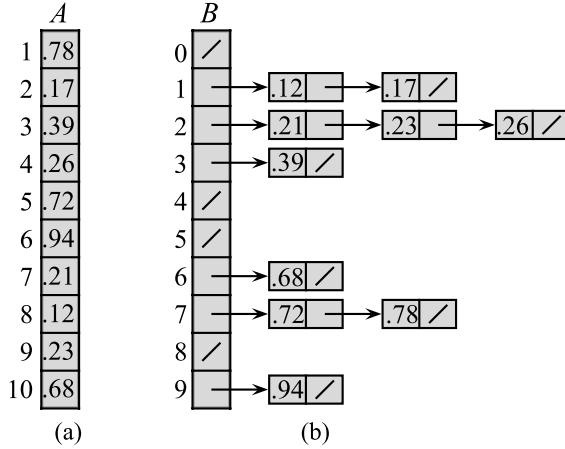
Pseudocodul nostru pentru ordonarea pe grupe presupune că datele de intrare formează un tablou  $A$  având  $n$  elemente și că fiecare element  $A[i]$  satisfac relația  $0 \leq A[i] < 1$ . Codul necesită un tablou auxiliar  $B[0..n - 1]$  de liste înlățuite (reprezentând grupele) și presupune că există un mecanism pentru menținerea acestor liste. (În secțiunea 11.2 se descrie cum se implementează operațiile de bază pe liste înlățuite.)

ORDONARE-PE-GRUPE( $A$ )

- 1:  $n \leftarrow \text{lungime}[A]$
- 2: **pentru**  $i \leftarrow 1, n$  **execută**
- 3:   inserează  $A[i]$  în lista  $B[[nA[i]]]$
- 4: **pentru**  $i \leftarrow 0, n - 1$  **execută**
- 5:   sortează lista  $B[i]$  folosind sortarea prin inserție
- 6: concatenează în ordine listele  $B[0], B[1], \dots, B[n - 1]$

Figura 9.4 ilustrează modul de funcționare al algoritmului de ordonare pe grupe pe un tablou de intrare cu 10 numere.

Pentru a demonstra că acest algoritm funcționează corect, se consideră două elemente  $A[i]$  și  $A[j]$ . Dacă aceste elemente sunt distribuite în aceeași grupă, ele apar în ordinea relativă adecvată în secvența de ieșire, deoarece grupa lor este sortată de sortarea prin inserție. Să presupunem, totuși, că ele sunt distribuite în grupe diferite. Fie aceste grupe  $B[i']$  și respectiv  $B[j']$ , și să



**Figura 9.4** Funcționarea algoritmului ORDONARE-PE-GRUPE. (a) Tabloul de intrare  $A[1..10]$ . (b) Tabloul  $B[0..9]$  al listelor (reprezentând grupele) sortate după linia a cincea a algoritmului. Grupa  $i$  cuprinde valorile din intervalul  $[i/10, (i + 1)/10)$ . Ieșirea sortată constă dintr-o concatenare în ordine a listelor  $B[0]$ ,  $B[1], \dots, B[9]$ .

presupunem, fără a pierde din generalitate, că  $i' < j'$ . Când listele lui  $B$  sunt concatenate în linia 6, elementele grupei  $B[i']$  apar înaintea elementelor lui  $B[j']$ , și astfel  $A[i]$  precede  $A[j]$  în secvența de ieșire. Deci trebuie să arătăm că  $A[i] \leq A[j]$ . Presupunând contrariul, avem

$$i' = \lfloor nA[i] \rfloor \geq \lfloor nA[j] \rfloor = j',$$

ceea ce este o contradicție, întrucât  $i' < j'$ . Așadar, ordonarea pe grupe funcționează corect.

Pentru a analiza timpul de execuție, să observăm mai întâi că toate liniile, cu excepția liniei 5, necesită, în cel mai defavorabil caz, timpul  $O(n)$ . Timpul total pentru a examina în linia 5 toate grupele este  $O(n)$  și, astfel, singura parte interesantă a analizei este timpul consumat de sortările prin inserție din linia 5.

Pentru a analiza costul sortărilor prin inserție, fie  $n_i$  o variabilă aleatoare desemnând numărul de elemente din grupa  $B[i]$ . Întrucât sortarea prin inserție se execută în timp pătratic (vezi secțiunea 1.2), timpul necesar sortării elementelor în grupele  $B[i]$  este  $E[O(n_i^2)] = O(E[n_i^2])$ . În consecință, timpul mediu total necesar sortării tuturor elementelor în toate grupele va fi

$$\sum_{i=0}^{n-1} O(E[n_i^2]) = O\left(\sum_{i=0}^{n-1} E[n_i^2]\right). \quad (9.1)$$

Pentru a evalua această sumă trebuie să determinăm distribuția pentru fiecare variabilă aleatoare  $n_i$ . Avem  $n$  elemente în  $n$  grupe. Probabilitatea ca un element dat să intre într-o grupă  $B[i]$  este  $1/n$ , întrucât fiecare grupă este responsabilă pentru  $1/n$  elemente din intervalul  $[0, 1)$ . Astfel, situația este asemănătoare cu exemplul aruncatului mingii din secțiunea (6.6.2): avem  $n$  mingi (elemente) și  $n$  cutii (reprezentând grupele), și fiecare minge este aruncată independent, cu probabilitatea  $p = 1/n$  de a intra într-o anume grupă. Astfel, probabilitatea ca  $n_i = k$  urmează o distribuție binomială  $b(k; n, p)$  care are media  $E[n_i] = np = 1$  și varianta  $Var[n_i] = np(1-p) =$

$1 - 1/n$ . Pentru fiecare variabilă aleatoare  $X$ , ecuația (6.30) este echivalentă cu

$$E[n_i^2] = Var[n_i] + E^2[n_i] = 1 - \frac{1}{n} + 1^2 = 2 - \frac{1}{n} = \Theta(1).$$

Utilizând acest salt în ecuația (9.1) concluzionăm că timpul mediu pentru sortarea prin inserție este  $O(n)$ . Astfel, întregul algoritm de ordonare pe grupe se execută în timp mediu liniar.

#### 9.4.1. Exerciții

**9.4-1** Utilizând ca model figura 9.4, ilustrați modul de funcționare al algoritmului ORDONARE-PE-GRUPE pe tabloul  $A = \langle .79, .13, .16, .64, .39, .20, .89, .53, .71, .42 \rangle$ .

**9.4-2** Care este timpul de execuție în cazul cel mai defavorabil pentru algoritmul de ordonare pe grupe? Ce modificare simplă a algoritmului păstrează timpul mediu liniar de execuție și face ca timpul de execuție în cazul cel mai defavorabil să fie  $O(n \lg n)$ ?

**9.4-3 \*** Se dau  $n$  puncte în cercul unitate,  $p_i = (x_i, y_i)$ , astfel încât  $0 < x_i^2 + y_i^2 \leq 1$  pentru  $i = 1, 2, \dots, n$ . Presupuneți că punctele sunt uniform distribuite, adică probabilitatea de a găsi un punct în orice regiune a cercului este proporțională cu aria acelei regiuni. Scrieți un algoritm în timpul mediu  $\Theta(n)$  care să sorteze cele  $n$  puncte în funcție de distanțele față de origine  $d_i = \sqrt{x_i^2 + y_i^2}$ . (*Indica ie:* proiectați dimensiunile grupelor din ORDONAREA-PE-GRUPE pentru a reflecta distribuția uniformă a punctelor în cercul unitate.)

**9.4-4 \*** O *funcție de distribuție a probabilității*  $P(x)$  pentru variabila aleatoare  $X$  este definită de  $P(x) = \Pr\{X \leq x\}$ . Considerați o listă de  $n$  numere cu o funcție de distribuție de probabilitate continuă  $P$  care este calculabilă în timpul  $O(1)$ . Arătați cum se sortează numerele în timp mediu liniar.

## Probleme

### 9-1 Marginile inferioare în cazul mediu la sortarea prin comparații

În această problemă demonstrăm o margine inferioară  $\Omega(n \lg n)$  a timpului mediu de execuție pentru orice sortare prin comparații deterministă sau aleatoare efectuată pe  $n$  date de intrare. Începem prin examinarea unei sortări prin comparații deterministe  $A$  având arborele de decizie  $T_A$ . Presupunem că fiecare permutare a intrărilor lui  $A$  apare cu o probabilitate constantă.

- a. Să presupunem că fiecare frunză a lui  $T_A$  este etichetată cu probabilitatea de a fi atinsă în cazul unor date de intrare aleatoare. Demonstrați că exact  $n!$  frunze sunt etichetate cu  $1/n!$  și că restul sunt etichetate cu 0.
- b. Fie  $D(T)$  lungimea drumului extern a arborelui  $T$ ; adică,  $D(T)$  este suma adâncimilor tuturor frunzelor lui  $T$ . Fie  $T$  un arbore având  $k > 1$  frunze, și fie  $LT$  și  $RT$  subarboreii stâng și drept ai lui  $T$ . Arătați că  $D(T) = D(LT) + D(RT) + k$ .
- c. Fie  $d(k)$  valoarea minimă a lui  $D(T)$  pe toți arborii de decizie  $T$  având  $k > 1$  frunze. Arătați că  $d(k) = \min_{1 \leq i \leq k-1} \{d(i) + d(k-i) + k\}$ . (*Indica ie:* Considerați un arbore  $T$  având  $k$  frunze care atinge minimul. Fie  $i$  numărul de frunze din  $LT$  și  $k-i$  numărul de frunze din  $RT$ .)

- d.** Demonstrați că pentru o valoare dată a lui  $k > 1$  și  $i$  din domeniul  $1 \leq i \leq k - 1$ , funcția  $i \lg i + (k - i) \lg(k - i)$  este minimă pentru  $i = k/2$ . Arătați că  $d(k) = \Omega(k \lg k)$ .
- e.** Demonstrați că  $D(T_A) = \Omega(n! \lg(n!))$  pentru  $T_A$ , și concluzionați că timpul mediu pentru sortarea a  $n$  elemente este  $\Omega(n \lg n)$ .

Acum să considerăm o sortare *aleatoare* prin comparații  $B$ . Putem extinde modelul arborelui de decizie pentru a gestiona caracterul aleator prin încorporarea a două feluri de noduri: noduri de comparație și noduri de “randomizare”. Un astfel de nod “modeleză” o selectare aleatoare de forma ALEATOR(1,  $r$ ), făcută de către algoritmul  $B$ ; nodul are  $r$  descendenți, fiecare dintre ei având aceeași probabilitate de a fi selectat în timpul execuției algoritmului.

- f.** Arătați că, pentru orice sortare aleatoare prin comparații  $B$ , există o sortare deterministă prin comparații  $A$  care nu face în medie mai multe comparații decât  $B$ .

### 9-2 Sortarea pe loc în timp liniar

- a.** Să presupunem că avem de sortat un tablou cu  $n$  articole și cheia fiecărui articol are valoarea 0 sau 1. Realizați un algoritm simplu, de timp liniar, care să sorteze pe loc cele  $n$  articole. Pe lângă memoria necesară reprezentării tabloului, puteți folosi un spațiu suplimentar de memorie având dimensiune constantă.
- b.** Poate sortarea realizată la punctul (a) să fie utilizată pentru o ordonare pe baza cifrelor de timp  $O(bn)$  a  $n$  articole având chei de  $b$ -biți? Explicați cum sau de ce nu.
- c.** Să presupunem că cele  $n$  înregistrări au chei în intervalul  $[1, k]$ . Arătați cum se poate modifica sortarea prin numărare astfel încât înregistrările să poată fi sortate pe loc în timpul  $O(n + k)$ . Puteți folosi un spațiu suplimentar de memorie de ordinul  $O(k)$ , pe lângă tabloul de intrare. (*Indica ie:* Cum ați realiza acest lucru pentru  $k = 3$ ?)

### Note bibliografice

Modelul arborelui de decizie pentru studiul sortărilor prin comparații a fost introdus de către Ford și Johnson [72]. Tratatul cuprinzător al lui Knuth asupra sortării [123] acoperă multe variații pe problema sortării, inclusiv marginea inferioară teoretică asupra complexității sortării prezentate aici. Marginile inferioare pentru sortare folosind generalizările modelului arborelui de decizie au fost studiate exhaustiv de către Ben-Or [23].

Knuth îi atribuie lui H.H. Seward inventarea sortării prin numărare în 1954 și a ideii de combinare a sortării prin numărare cu ordonare pe baza cifrelor. Ordonarea pe baza cifrelor după cea mai puțin semnificativă cifră pare să fie un algoritm popular, larg utilizat de către operatorii mașinilor mecanice de sortare a cartelelor. Conform lui Knuth, prima referință publicată a metodei este un document din 1929 aparținând lui L.J. Comrie, ce descrie echipamentul pentru cartele perforate. Ordonarea pe grupe a fost utilizată începând cu 1956, când ideea de bază a fost propusă de E.J. Isaac și R.C. Singleton.

---

# 10 Mediane și statistici de ordine

A *i*-a **statistică de ordine** a unei mulțimi de  $n$  elemente este al  $i$ -lea cel mai mic element. De exemplu, **minimul** unei mulțimi de elemente este prima statistică de ordine ( $i = 1$ ), iar **maximul** este a  $n$ -a statistică de ordine ( $i = n$ ). Intuitiv, o **mediană** este “punctul de la jumătatea drumului” unei mulțimi. Când  $n$  este impar, mediana este unică, și apare pe poziția  $i = (n+1)/2$ . Când  $n$  este par, există două mediane, care apar pe pozițiile  $i = n/2$  și  $i = n/2 + 1$ . Astfel, indiferent de paritatea lui  $n$ , medianele apar pe pozițiile  $i = \lfloor (n+1/2) \rfloor$  (**mediana inferioară**) și  $i = \lceil (n+1/2) \rceil$  (**mediana superioară**). Pentru simplificare, vom folosi de acum înainte termenul “mediană” cu sensul de mediană inferioară.

Acest capitol tratează problema selectării celei de-a  $i$ -a statistici de ordine dintr-o mulțime de  $n$  numere distincte. Presupunem că mulțimea conține numere distincte, deși teoretic tot ce facem se extinde la situația în care o mulțime conține valori nu neapărat distincte. **Problema selecției** poate fi enunțată riguros după cum urmează:

**Date de intrare:** O mulțime  $A$  de  $n$  numere (distincte) și un număr  $i$ , având proprietatea  $1 \leq i \leq n$ .

**Date de ieșire:** Elementul  $x \in A$ , care este mai mare decât exact  $i - 1$  alte elemente ale lui  $A$ .

Problema selecției poate fi rezolvată în timp  $O(n \lg n)$ , încă că numerele se pot sorta utilizând heapsort sau sortarea prin interclasare și apoi, indexând, pur și simplu al  $i$ -lea element din tabloul de ieșire. Există totuși și algoritmi mai rapizi.

În secțiunea 10.1 se examinează problema selectării minimului și maximului unei mulțimi de elemente. Mai interesantă este problema selecției generale, detaliată în următoarele două secțiuni. Secțiunea 10.2 analizează un algoritm practic care atinge o margine  $O(n)$  în timp mediu de execuție. Secțiunea 10.3 conține un algoritm de interes mai mult teoretic care atinge timpul de execuție  $O(n)$  în cel mai defavorabil caz.

---

## 10.1. Minim și maxim

Câte comparații sunt necesare pentru a determina minimul unei mulțimi de  $n$  elemente? Putem obține ușor o margine superioară de  $n - 1$  comparații: se examinează pe rând fiecare element al mulțimii și se reține cel mai mic element vizitat până la momentul curent. În procedura MINIM presupunem că mulțimea constă din tabloul  $A$ , unde  $\text{lungime}[A] = n$ .

MINIM( $A$ )  
1:  $min \leftarrow A[1]$   
2: **pentru**  $i \leftarrow 2, \text{lungime}[A]$  **execută**  
3:   **dacă**  $min > A[i]$  **atunci**  
4:      $min \leftarrow A[i]$   
5: **returnează**  $min$

Determinarea maximului poate fi realizată la fel de bine și prin  $n - 1$  comparații.

Este acesta cel mai bun algoritm? Da, încăputem obține o margine inferioară pentru  $n - 1$  comparații în problema determinării minimului. Să ne gândim la un algoritm care determină minimul în cazul unui campionat. Fiecare comparație reprezintă un meci al campionatului pe care îl câștigă cel mai mic dintre două elemente. Observația cheie este că fiecare element, cu excepția învingătorului, trebuie să piardă cel puțin un meci. Deci, pentru a determina minimul, sunt necesare  $n - 1$  comparații, iar algoritmul MINIM este optim în privința numărului de comparații realizate.

Un punct interesant al analizei este determinarea numărului mediu de execuții ale liniei 4. Problema 6-2 vă cere să demonstrați că această medie este  $\Theta(\lg n)$ .

### Minim și maxim simultane

În unele aplicații trebuie să găsiți simultan minimul și maximul unei multimi de  $n$  elemente. De exemplu, un program grafic poate avea nevoie să scaleze o mulțime de date  $(x, y)$  pentru a le afișa pe un ecran dreptunghiular sau pe un alt dispozitiv de ieșire. Pentru a realiza acest lucru, programul trebuie, mai întâi, să determine minimul și maximul fiecărei coordonate.

Nu este prea dificil de proiectat un algoritm care să poată găsi atât minimul cât și maximul a  $n$  elemente folosind numărul asimptotic optimal de comparații  $\Omega(n)$ . Se determină minimul și maximul independent, folosind  $n - 1$  comparații pentru fiecare, deci un total de  $2n - 2$  comparații.

De fapt, sunt suficiente numai  $3 \lceil n/2 \rceil - 2$  comparații pentru a determina atât minimul cât și maximul. Prima pereche necesită numai o comparație pentru a stabili valorile inițiale pentru minimul și maximul curente, ceea ce justifică termenul  $-2$ . În acest scop, păstrăm minimul și maximul găsite pe măsură ce se lucrează. În loc să prelucrăm fiecare element de intrare comparându-l cu minimul și maximul curent cu un cost de două comparații per element, vom prelucra perechi de elemente. Comparăm perechile de elemente ale datelor de intrare, mai întâi *între ele*, apoi comparăm elementul mai mic cu minimul curent și elementul mai mare cu maximul curent, cu un cost de trei comparații pentru fiecare două elemente.

### Exerciții

**10.1-1** Arătați că al doilea cel mai mic dintre  $n$  elemente poate fi determinat, în cel mai defavorabil caz, prin  $n + \lceil \lg n \rceil - 2$  comparații. (*Indica ie:* Găsiți și cel mai mic element.)

**10.1-2 \*** Arătați că, în cel mai defavorabil caz, sunt necesare  $\lceil 3n/2 \rceil - 2$  comparații pentru a determina maximul și minimul a  $n$  elemente. (*Indica ie:* Studiați câte numere pot fi potențial maximul sau minimul, și cercetați cum afectează o comparație aceste calcule.)

## 10.2. Selecția în timp mediu liniar

Problema generală a selecției pare mai dificilă decât simpla problemă a găsirii unui minim, și în plus, surprinzător, timpul asimptotic de execuție pentru ambele probleme este același:  $\Theta(n)$ . În această secțiune vom prezenta un algoritm care să stăpânește pentru problema selecției. Algoritmul SELECTIE-ALEATOARE este modelat pe baza algoritmului de sortare rapidă din capitolul 8. Ca și la sortarea rapidă, ideea este de a parta recursiv tabloul de intrare. Spre deosebire de sortarea rapidă, care prelucrează recursiv ambele componente ale partitiei,

**SELECTIE-ALEATOARE** lucrează numai cu o componentă. Această diferență se evidențiază la analiză: în timp ce sortarea rapidă are un timp mediu de execuție de  $\Theta(n \lg n)$ , timpul mediu al algoritmului **SELECTIE-ALEATOARE** este  $\Theta(n)$ .

**SELECTIE-ALEATOARE** folosește procedura **PARTIȚIE-ALEATOARE**, prezentată în secțiunea 8.3. Astfel, ca și **QUICKSORT-ALEATOR**, este un algoritm aleator, încrățit comportamentul său este parțial determinat de datele de ieșire ale unui generator de numere aleatoare. Codul următor pentru **SELECTIE-ALEATOARE** returnează al  $i$ -lea cel mai mic element al tabloului  $A[p..r]$ .

**SELECTIE-ALEATOARE**( $A, p, r, i$ )

- 1: **dacă**  $p = r$  **atunci**
- 2:   **returnează**  $A[p]$
- 3:  $q \leftarrow \text{PARTIȚIE-ALEATOARE}(A, p, r)$
- 4:  $k \leftarrow q - p + 1$
- 5: **dacă**  $i \leq k$  **atunci**
- 6:   **returnează** **SELECTIE-ALEATOARE**( $A, p, q, i$ )
- 7: **altfel**
- 8:   **returnează** **SELECTIE-ALEATOARE**( $A, q + 1, r, i - k$ )

După execuția procedurii **PARTIȚIE-ALEATOARE** din linia 3 a algoritmului, tabloul  $A[p..r]$  este partit ionat în două subtablouri nevide  $A[p..q]$  și  $A[q + 1..r]$  astfel încât fiecare element al lui  $A[p..q]$  este mai mic decât fiecare element al lui  $A[q + 1..r]$ . Linia 4 a algoritmului calculează numărul  $k$  de elemente al subtabloului  $A[p..q]$ . Algoritmul determină în care dintre subtablourile  $A[p..q]$  și  $A[q + 1..r]$  se situează al  $i$ -lea cel mai mic element. Dacă  $i \leq k$ , atunci elementul dorit se situează în partea inferioară a partiției, și este selectat recursiv din subtabloul accesat în linia 6. Dacă  $i > k$ , elementul dorit se situează în partea superioară a partiției. Întrucăt cunoaștem deja  $k$  valori mai mici decât al  $i$ -lea cel mai mic element al lui  $A[p..q]$  – adică elementele lui  $A[p..r]$  – elementul căutat este al  $i - k$ -lea cel mai mic element al lui  $A[q + 1..r]$ , care este găsit recursiv în linia 8.

Timpul de execuție, în cazul cel mai defavorabil, pentru **SELECTIE-ALEATOARE** este  $\Theta(n^2)$ , chiar și pentru găsirea minimului, pentru că am putea fi extrem de nenorocoși și să partit ionăm în jurul celui mai mare element rămas. Algoritmul lucrează bine în cazul mediu, deși, deoarece este aleator, nu există date de intrare particulare care să provoace comportamentul celui mai defavorabil caz.

Puteam obține o margine superioară  $T(n)$  pe timpul mediu necesar algoritmului **SELECTIE-ALEATOARE** pe un tablou de intrare de  $n$  elemente, după cum urmează. Am văzut în secțiunea 8.4 că algoritmul **PARTIȚIE-ALEATOARE** produce o partiție a cărei componentă inferioară are un singur element cu probabilitatea  $2/n$  și  $i$  elemente cu probabilitatea  $1/n$  pentru  $i = 2, 3, \dots, n-1$ . Presupunând că  $T(n)$  este monoton crescător, în cazul cel mai defavorabil **SELECTIE-ALEATOARE** este întotdeauna nenorocos în sensul că cel de-al  $i$ -lea element este localizat pe zona cea mai mare a partiției. Astfel, obținem recurența

$$\begin{aligned} T(n) &\leq \frac{1}{n} \left( T(\max(1, n-1)) + \sum_{k=1}^{n-1} T(\max(k, n-k)) \right) + O(n) \\ &\leq \frac{1}{n} \left( T(n-1) + 2 \sum_{k=\lceil n/2 \rceil}^{n-1} T(k) \right) + O(n) = \frac{2}{n} \sum_{k=\lceil n/2 \rceil}^{n-1} T(k) + O(n). \end{aligned}$$

A două linie rezultă din prima întrucât  $\max(1, n - 1) = n - 1$  și

$$\max(k, n - k) = \begin{cases} k & \text{dacă } k \geq \lceil n/2 \rceil, \\ n - k & \text{dacă } k < \lceil n/2 \rceil. \end{cases}$$

Dacă  $n$  este impar, fiecare termen  $T(\lceil n/2 \rceil), T(\lceil n/2 \rceil + 1), \dots, T(n - 1)$  apare de două ori în sumă, și chiar dacă  $n$  este par, fiecare termen  $T(\lceil n/2 \rceil + 1), T(\lceil n/2 \rceil + 2), \dots, T(n - 1)$  apare de două ori, iar termenul  $T(\lceil n/2 \rceil)$  apare o singură dată. În oricare dintre cele două cazuri, suma de pe prima linie este mărginită superior de suma de pe a două linie. În cazul cel mai defavorabil,  $T(n - 1) = O(n^2)$ , și astfel termenul  $\frac{1}{n}T(n - 1)$  poate fi incorporat de către termenul  $O(n)$ .

Demonstrăm recurența prin substituție. Presupunem că  $T(n) \leq cn$  pentru unele constante  $c$  care satisfac condițiile inițiale ale recurenței. Folosind această ipoteză de inducție, avem

$$\begin{aligned} T(n) &\leq \frac{2}{n} \sum_{k=\lceil n/2 \rceil}^{n-1} ck + O(n) = \frac{2c}{n} \left( \sum_{k=1}^{n-1} k - \sum_{k=1}^{\lceil n/2 \rceil - 1} k \right) + O(n) \\ &= \frac{2c}{n} \left( \frac{1}{2}(n-1)n - \frac{1}{2}\left(\lceil \frac{n}{2} \rceil - 1\right)\lceil \frac{n}{2} \rceil \right) + O(n) \\ &\leq c(n-1) - \frac{c}{n} \left( \frac{n}{2} - 1 \right) \left( \frac{n}{2} \right) + O(n) = c\left(\frac{3}{4}n - \frac{1}{2}\right) + O(n) \leq cn, \end{aligned}$$

întrucât putem alege un  $c$  suficient de mare pentru ca  $c(n/4 + 1/2)$  să domine termenul  $O(n)$ .

Astfel, orice statistică de ordine și în special mediana, poate fi determinată într-un timp mediu liniar.

## Exerciții

**10.2-1** Scrieți versiunea iterativă a algoritmului SELECTIE-ALEATOARE.

**10.2-2** Să presupunem că folosim SELECTIE-ALEATOARE pentru a selecta elementul minim al unui tablou  $A = \langle 3, 2, 9, 0, 7, 5, 4, 8, 6, 1 \rangle$ . Descrieți o secvență de partiții care se generează, în cazul cel mai defavorabil, de către SELECTIE-ALEATOARE.

**10.2-3** Amintim că dacă există elemente egale atunci procedura PARTITIE-ALEATOARE partiționează subtabloul  $A[p..r]$  în două subtablouri nevide  $A[p..q]$  și  $A[q+1..r]$ , astfel încât fiecare element din  $A[p..q]$  este mai mic sau egal decât fiecare element din  $A[q+1..r]$ . Dacă există elemente egale, mai funcționează corect procedura SELECTIE-ALEATOARE?

## 10.3. Selecția în timp liniar în cazul cel mai defavorabil

Să examinăm acum un algoritm de selecție al cărui timp de execuție pentru cazul cel mai defavorabil este  $O(n)$ . La fel ca și SELECTIE-ALEATOARE, algoritmul SELECTIE găsește elementul dorit partitioñând recursiv un tablou de intrare. Ideea algoritmului este de a *garanta* o partitioñare bună a tabloului. SELECTIE utilizează algoritmul determinist PARTITIE din algoritmul de sortare rapidă (vezi secțiunea 8.1), modificat astfel încât să preia ca parametru de intrare elementul în jurul căruia este efectuată partajarea.

Algoritmul SELECTIE determină al  $i$ -lea cel mai mic element al unui tablou de intrare de  $n$  elemente, efectuând următorii pași. (Dacă  $n = 1$ , atunci SELECTIE returnează singura dată de intrare a ei, ca fiind a  $i$ -a cea mai mică valoare.)

1. Se împart cele  $n$  elemente ale tabloului de intrare în  $\lfloor n/5 \rfloor$  grupe de câte 5 elemente fiecare și cel mult un grup să conțină restul de  $n \bmod 5$  elemente.
2. Se determină mediana fiecărui din cele  $\lfloor n/5 \rfloor$  grupe cu sortarea prin inserție, ordonând elementele fiecărui grup (care are cel mult 5 elemente) apoi se aleg medianele din listele sortate, corespunzătoare grupelor. (Dacă grupul are un număr par de elemente se va considera cea mai mare dintre cele două mediane.)
3. Se utilizează recursiv SELECTIE pentru a găsi mediana  $x$  din cele  $\lfloor n/5 \rfloor$  mediane găsite la pasul 2.
4. Se partăzonează tabloul de intrare în jurul medianei medianelor  $x$ , utilizând o versiune modificată a algoritmului PARTITIE. Fie  $k$  numărul de elemente de pe latura inferioară a partăției, astfel încât să fie  $n - k$  elemente pe latura superioară.
5. Se utilizează recursiv SELECTIE pentru a găsi al  $i$ -lea cel mai mic element de pe latura inferioară dacă  $i \leq k$ , sau al  $(i - k)$ -lea cel mai mic element de pe latura superioară dacă  $i > k$ .

Pentru a analiza timpul de execuție a lui SELECTIE, determinăm mai întâi o margine inferioară a numărului de elemente care sunt mai mari decât elementul de partăționare  $x$ . Figura 10.1 ajută la vizualizarea acestei contabilizări. Cel puțin jumătate dintre medianele găsite la pasul 2 sunt mai mari sau egale cu mediana medianelor,  $x$ . Astfel, cel puțin jumătate din cele  $\lfloor n/5 \rfloor$  grupe au câte 3 elemente mai mari decât  $x$ , cu excepția singurului grup care are mai puțin de 5 elemente dacă  $n$  nu este divizibil cu 5, și a singurului grup care îl conține pe  $x$ . Eliminând aceste două grupuri, rezultă că numărul elementelor mai mari decât  $x$  este cel puțin

$$3 \left( \left\lceil \frac{1}{2} \left\lceil \frac{n}{5} \right\rceil \right\rceil - 2 \right) \geq \frac{3n}{10} - 6.$$

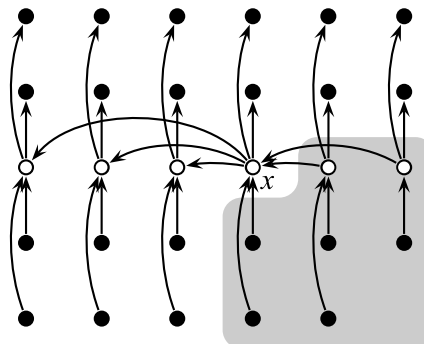
Similar, numărul elementelor mai mici decât  $x$  este cel puțin  $3n/10 - 6$ . Astfel, în cel mai defavorabil caz, SELECTIE este apelat recursiv la pasul 5 pentru cel mult  $7n/10 + 6$  elemente.

Putem construi o recurență pentru timpul de execuție  $T(n)$ , în cazul cel mai defavorabil, al algoritmului SELECTIE. Pașii 1, 2 și 4 necesită timpul  $O(n)$ . (Pasul 2 constă din  $O(n)$  apeluri pentru sortarea prin inserție pe mulțimi de mărimea  $O(1)$ .) Pasul 3 necesită timpul  $T(\lfloor n/5 \rfloor)$ , iar pasul 5 necesită cel mult  $T(7n/10 + 6)$ , presupunând că  $T$  este monoton crescător. De reținut că  $7n/10 + 6 < n$  pentru  $n > 20$  și că orice date de intrare de 80 sau mai puține elemente necesită timpul  $O(1)$ . Obținem deci recurența

$$T(n) \leq \begin{cases} \Theta(1) & \text{dacă } n \leq 80, \\ T(\lfloor n/5 \rfloor) + T(7n/10 + 6) + O(n) & \text{dacă } n > 80. \end{cases}$$

Demonstrăm prin substituție că timpul de execuție este liniar. Presupunem că  $T(n) \leq cn$  pentru o anume constantă  $c$  și toți  $n \leq 80$ . Substituind această ipoteză inductivă în partea dreaptă a recurenței obținem

$$\begin{aligned} T(n) &\leq c \lfloor n/5 \rfloor + c(7n/10 + 6) + O(n) \leq cn/5 + c + 7cn/10 + 6c + O(n) \\ &\leq 9cn/10 + 7c + O(n) \leq cn, \end{aligned}$$



**Figura 10.1** Analiza algoritmului SELECTIE. Cele  $n$  elemente sunt reprezentate prin mici cercuri, și fiecare grup ocupă o coloană. Medianele grupurilor sunt colorate în alb, iar mediana medianelor  $x$  este etichetată. Săgețile sunt trasate de la elementele mai mari spre cele mai mici; se poate vedea că cele 3 elemente din dreapta lui  $x$  din fiecare grup de câte 5 sunt mai mari decât  $x$ , și că cele 3 elemente din stânga lui  $x$  din fiecare grup de câte 5 elemente sunt mai mici decât  $x$ . Elementele mai mari decât  $x$  sunt situate pe un fond mai închis.

întrucât putem să alegem un  $c$  suficient de mare astfel încât  $c(n/10 - 7)$  să fie mai mare decât funcția descrisă de termenul  $O(n)$  pentru orice  $n > 80$ . Timpul de execuție  $T(n)$  al algoritmului SELECTIE, în cazul cel mai defavorabil, este deci liniar.

La fel ca și în cazul sortării prin comparații (vezi secțiunea 9.1), SELECTIE și SELECTIE-ALEATOARE determină informația despre ordinea relativă a elementelor numai prin compararea lor. Astfel, timpul liniar nu este un rezultat al unor presupuneri despre datele de intrare, cum a fost cazul algoritmilor de sortare din capitolul 9. Sortarea necesită timpul  $\Omega(n \lg n)$  în modelul bazat pe comparații, chiar în cazul mediu (vezi problema 9-1), și astfel metoda sortării și indexării prezentată în introducerea acestui capitol este asimptotic ineficientă.

## Exerciții

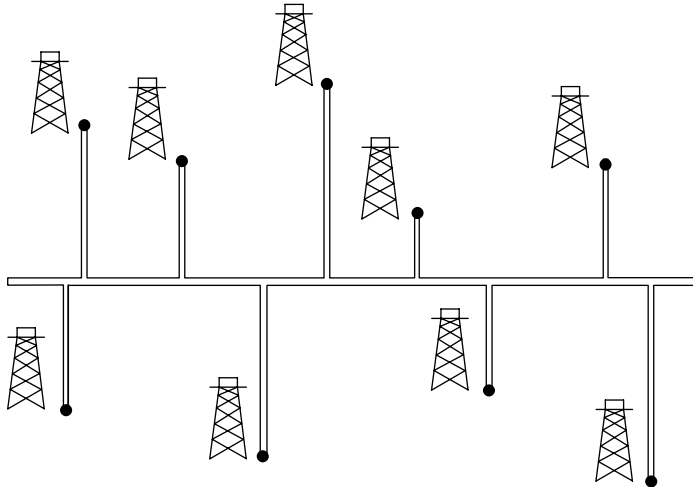
**10.3-1** În algoritmul SELECTIE elementele de intrare sunt împărțite în grupe de câte 5. Va mai funcționa algoritmul în timp liniar dacă ele sunt împărțite în grupe de câte 7? Argumentați că SELECTIE nu se va executa în timp liniar dacă grupele conțin câte 3 elemente.

**10.3-2** Analizați procedura SELECTIE și arătați că numărul elementelor mai mari decât mediana medianelor  $x$  și numărul elementelor mai mici decât  $x$  este cel puțin  $\lceil n/4 \rceil$  dacă  $n \geq 38$ .

**10.3-3** Arătați cum poate fi modificat algoritmul de sortare rapidă astfel încât să se execute în timpul  $O(n \lg n)$  în cel mai defavorabil caz.

**10.3-4** \* Să presupunem că un algoritm utilizează numai comparații pentru a determina al  $i$ -lea cel mai mic element dintr-o mulțime de  $n$  elemente. Arătați că el poate determina și cele  $i - 1$  elemente mai mici și cele  $n - i$  elemente mai mari, fără a mai face nici o comparație în plus.

**10.3-5** Fiind dată o procedură de tip “cutie neagră”, care în cazul cel mai defavorabil determină mediana în timp liniar, proiectați un algoritm simplu, care să rezolve problema selecției pentru orice statistică de ordine în timp liniar.



**Figura 10.2** Vrem să determinăm poziția conductei de petrol est-vest care minimizează lungimea totală a racordurilor nord-sud.

**10.3-6 *k*-cuantilele unei mulțimi de  $n$  elemente sunt cele  $k - 1$  statistici de ordine care împart mulțimea sortată în  $k$  mulțimi de mărimi egale (cu cel puțin un element). Realizați un algoritm în timpul  $O(n \lg k)$  care să listeze  $k$ -cuantilele unei mulțimi.**

**10.3-7** Descrieți un algoritm de timp  $O(n)$  care, fiind dată o mulțime  $S$  de  $n$  numere distincte și un întreg pozitiv  $k \leq n$ , determină cele  $k$  numere din  $S$  care sunt cele mai apropiate de mediana lui  $S$ .

**10.3-8** Fie  $X[1..n]$  și  $Y[1..n]$  două tablouri ce conțin fiecare  $n$  numere deja sortate. Scrieți un algoritm de timp  $O(\lg n)$  care găsește mediana tuturor celor  $2n$  elemente din tablourile  $X$  și  $Y$ .

**10.3-9** Profesorul Olay acordă consultații unei companii petroliere, care planuiește realizarea unei mari conducte ce trece de la est la vest printr-un câmp de petrol cu  $n$  puțuri. La fiecare puț trebuie conectată direct la conducta principală o conductă de pompare (racord) care să fie de-a lungul celui mai scurt drum (fie nord, fie sud), ca în figura 10.2. Cunoscându-se coordonatele  $x$  și  $y$  ale puțurilor, cum trebuie profesorul să localizeze optim conducta principală (cea care minimizează lungimea totală a racordurilor)? Arătați că poziția optimă poate fi determinată în timp liniar.

## Probleme

### 10-1 Cele mai mari $i$ numere în ordine sortată

Fiind dată o mulțime de  $n$  numere, dorim să găsim cele mai mari  $i$  numere în ordinea sortată, folosind un algoritm bazat pe comparații. Descrieți un algoritm optim care implementează fiecare dintre metodele următoare, și analizați timpii de execuție ai metodelor în funcție de  $n$  și  $i$ .

- a. Sortați numerele și listați cele mai mari  $i$  numere.
- b. Construiți o coadă de priorități din numere și apelați EXTRAGE-MAX de  $i$  ori.
- c. Utilizați un algoritm de statistică de ordine pentru a găsi al  $i$ -lea cel mai mare număr, partaționați și sortați cele mai mari  $i$  numere.

### 10-2 Mediana ponderată

Pentru  $n$  elemente distințe  $x_1, x_2, \dots, x_n$  cu ponderile pozitive  $w_1, w_2, \dots, w_n$ , astfel încât  $\sum_{i=1}^n w_i = 1$ , **mediana ponderată** este elementul  $x_k$  ce satisface condițiile

$$\sum_{x_i < x_k} w_i < \frac{1}{2}$$

și

$$\sum_{x_i > x_k} w_i \leq \frac{1}{2}.$$

(Aceasta este de fapt **mediana inferioară ponderată**; **mediana superioară ponderată** se definește similar.)

- a. Argumentați că mediana elementelor  $x_1, x_2, \dots, x_n$  este mediana ponderată a lui  $x_i$  cu ponderile  $w_i = 1/n$  pentru  $i = 1, 2, \dots, n$ .
- b. Arătați cum se calculează mediana ponderată a  $n$  elemente în timpul  $O(n \lg n)$  în cazul cel mai defavorabil, folosind sortarea.
- c. Arătați cum se calculează mediana ponderată în timpul  $\Theta(n)$  în cazul cel mai defavorabil folosind un algoritm de timp mediu liniar cum ar fi, de exemplu, SELECȚIE din secțiunea 10.3.

**Problema amplasării oficiului poștal** este definită în modul următor. Se consideră  $n$  puncte  $p_1, p_2, \dots, p_n$  cu ponderile asociate  $w_1, w_2, \dots, w_n$ . Se dorește determinarea unui punct  $p$  (nu neapărat unul din punctele de intrare) care să minimizeze suma  $\sum_{i=1}^n w_i d(p, p_i)$ , unde  $d(a, b)$  este distanța dintre punctele  $a$  și  $b$ .

- d. Argumentați că mediana ponderată este cea mai bună soluție pentru problema amplasării oficiului poștal în cazul unidimensional în care punctele sunt numere reale simple, iar distanța dintre punctele  $a$  și  $b$  este  $d(a, b) = |a - b|$ .
- e. Găsiți cea mai bună soluție pentru problema amplasării oficiului poștal în cazul bidimensional, în care punctele sunt perechi de coordonate  $(x, y)$  și distanța dintre punctele  $a = (x_1, y_1)$  și  $b = (x_2, y_2)$  este **distanța Manhattan**:  $d(a, b) = |x_1 - x_2| + |y_1 - y_2|$ .

### 10-3 Statistici de ordin mic

Numărul de comparații  $T(n)$  în cazul cel mai defavorabil folosit de către procedura SELECȚIE pentru a alege statistică de a  $i$ -a ordine din  $n$  numere s-a demonstrat că satisface relația  $T(n) = \Theta(n)$ , dar constanta ascunsă de notația  $\Theta$  este destul de mare. Când  $i$  este mic în raport cu  $n$  se poate implementa o procedură diferită care utilizează SELECȚIE ca o subrutină, dar face mai puține comparații în cazul cel mai defavorabil.

- a. Descrieți un algoritm care folosește  $U_i(n)$  comparații pentru a determina al  $i$ -lea cel mai mic element dintre  $n$  elemente, unde  $i \leq n/2$  și

$$U_i(n) = \begin{cases} T(n) & \text{dacă } n \leq 2i, \\ n/2 + U_i(n/2) + T(2i) & \text{în caz contrar.} \end{cases}$$

(Indica ie: Începeți cu  $\lfloor n/2 \rfloor$  comparații pe perechi disjuncte și apelați procedura recursiv pentru multimea conținând elementul mai mic din fiecare pereche.)

- b. Arătați că  $U_i(n) = n + O(T(2i) \lg(n/i))$ .
- c. Arătați că dacă  $i$  este constant, atunci  $U_i(n) = n + O(\lg n)$ .
- d. Arătați că dacă  $i = n/k$  pentru  $k \geq 2$ , atunci  $U_i(n) = n + O(T(2n/k) \lg k)$ .

## Note bibliografice

Algoritmul de timp liniar în cel mai defavorabil caz pentru determinarea medianei a fost inventat de către Blum, Floyd, Pratt, Rivest și Tarjan [29]. Versiunea algoritmului pentru un timp mediu rapid se datorează lui Hoare [97]. Floyd și Rivest [70] au dezvoltat o versiune îmbunătățită a timpului mediu care partajează în jurul unui element selectat recursiv dintr-o moștră mică de elemente.

---

### **III Structuri de date**

---

## Introducere

Mulțimea ca noțiune fundamentală este la fel de importantă în informatică ca și în matematică. În timp ce mulțimile matematice sunt nemodificabile, mulțimile manipulate de algoritmi pot crește, descrește sau, în restul cazurilor, se pot modifica în timp. Astfel de mulțimi se numesc **dinamice**. Următoarele cinci capitole prezintă tehnici de bază pentru reprezentarea mulțimilor dinamice finite și pentru manipularea lor de către calculator.

În funcție de algoritmi, sunt necesare diferite tipuri de operații pentru a fi executate asupra mulțimilor. De exemplu, mulți algoritmi au nevoie doar de posibilitatea de a insera elemente într-o mulțime, de a șterge elemente dintr-o mulțime sau de a testa apartenența la o mulțime. O mulțime dinamică ce suportă aceste operații este numită **dicționar**. Alți algoritmi necesită operații mai complicate. De exemplu, cozile de prioritate, care sunt introduse în capitolul 7 în contextul structurii de date ansamblu, suportă operațiile de inserare a unui element și extragere a celui mai mic element dintr-o mulțime. Deci nu e surprinzător faptul că cea mai bună modalitate de a implementa o mulțime dinamică depinde de operațiile pe care trebuie să le ofere.

## Elementele unei mulțimi dinamice

Într-o implementare tipică a unei mulțimi dinamice, fiecare element este reprezentat de un obiect ale cărui câmpuri pot fi examinate și manipulate dacă avem un pointer (o referință) la acel obiect (capitolul 11 prezintă implementarea obiectelor și pointerilor în medii de programare care nu le conțin ca tipuri de date de bază). Unele categorii de mulțimi dinamice presupun că un câmp al obiectului este un câmp **cheie**, de identificare. Dacă toate cheile sunt diferite, mulțimea dinamică poate fi privită ca o mulțime de valori ale cheilor. Obiectul poate conține **date adiționale**, care sunt gestionate în alte câmpuri ale obiectului, dar sunt de fapt neutilizate de către implementarea mulțimii. De asemenea, obiectul poate avea câmpuri ce sunt manipulate de către operațiile mulțimilor, aceste câmpuri putând conține date sau referințe spre alte obiecte din mulțime.

Unele mulțimi dinamice presupun că valorile cheilor sunt alese dintr-o mulțime total ordonată, ca de exemplu mulțimea numerelor reale sau mulțimea tuturor cuvintelor aflate în ordine (uzuală) lexicografică. (O mulțime total ordonată satisfac proprietatea de trihotomie, definită la pagina 27). O ordine totală ne permite să definim, de exemplu, cel mai mic element în mulțime sau să vorbim despre următorul element mai mare decât un element dat din mulțime.

## Operații pe mulțimi dinamice

Operațiile pe o mulțime dinamică pot fi împărțite în două categorii: **interrogări**, care returnează informații despre mulțime sau **operații de modificare**, care modifică mulțimea. În continuare se prezintă o listă a operațiilor uzuale. Orice aplicație specifică necesită în general doar implementarea unora dintre ele.

**CAUTĂ( $S, k$ )** O interogare care, fiind date o mulțime  $S$  și o valoare cheie  $k$ , returnează un pointer  $x$  la un element din  $S$  astfel încât  $cheie[x] = k$  sau NIL dacă nu există un astfel de element în  $S$ .

**INSEREAZĂ( $S, x$ )** O operație de modificare care adaugă la mulțimea  $S$  elementul referit de  $x$ .

În mod obișnuit se presupune că toate câmpurile din elementul  $x$  necesare implementării mulțimii au fost inițializate în prealabil.

**ȘTERGE( $S, x$ )** O operație de modificare care, fiind dat un pointer  $x$  la un element din mulțimea  $S$ , șterge  $x$  din  $S$ . (Observați că această operație folosește un pointer la un element  $x$  și nu o valoare a cheii).

**MINIM( $S$ )** O interogare pe o mulțime total ordonată  $S$  care returnează elementul din mulțimea  $S$  cu cea mai mică valoare a cheii.

**MAXIM( $S$ )** O interogare pe o mulțime total ordonată  $S$  care returnează elementul din mulțimea  $S$  cu cea mai mare valoare a cheii.

**SUCCESOR( $S, x$ )** O interogare care, fiind dat un element  $x$  a cărui cheie este dintr-o mulțime  $S$  total ordonată, returnează elementul următor mai mare decât  $x$  din  $S$  sau NIL dacă  $x$  este elementul maxim.

**PREDECESOR( $S, x$ )** O interogare care, fiind dat un element  $x$  a cărui cheie este dintr-o mulțime  $S$  total ordonată, returnează elementul următor mai mic decât  $x$  din  $S$  sau NIL dacă  $x$  este elementul minim.

Interogările SUCCESOR și PREDECESOR sunt deseori extinse la mulțimi cu elemente nedisincte. Pentru o mulțime cu  $n$  chei, presupunerea obișnuită este că un apel al lui MINIM urmat de  $n - 1$  apeluri ale lui SUCCESOR enumera elementele din mulțime în ordinea sortării.

Timpul necesar pentru a executa o operație asupra mulțimilor este, în mod obișnuit, măsurat în termenii mărimii mulțimii, dat ca unul dintre argumente. De exemplu, capitolul 14 descrie o structură de date ce poate realiza oricare dintre operațiile descrise mai sus pe o mulțime de dimensiune  $n$  în timpul  $\mathcal{O}(\lg n)$ .

## Sumarul părții a treia

Capitolele 11–15 descriu diferite structuri de date ce pot fi folosite pentru a implementa mulțimi dinamice; multe dintre acestea vor fi utilizate ulterior la construirea unor algoritmi eficienți pentru o diversitate de probleme. O altă structură de date importantă – ansamblul – a fost deja introdusă în capitolul 7.

Capitolul 11 prezintă fundamentele lucrului cu structuri de date simple ca: stive, cozi, liste înlănțuite și arbori cu rădăcină. De asemenea, se arată cum pot fi implementate obiectele sau referințele în medii de programare care nu le posedă ca primitive. O mare parte din acest material ar trebui să fie familiară tuturor celor care au studiat un curs introductiv în programare.

Capitolul 12 introduce tabele de dispersie (hash), care au operații pentru dicționare: INSEREAZĂ, ȘTERGE, CAUTĂ. În cazul cel mai nefavorabil, dispersia necesită timpul  $\Theta(n)$  pentru a executa o operație CAUTĂ, pe când timpul prevăzut pentru operațiile de dispersie este  $\mathcal{O}(1)$ . Analiza dispersiei se bazează pe probabilități, dar cea mai mare parte a capitolului nu necesită cunoștințe despre acest subiect.

Arborii de căutare binară, prezentați în capitolul 13 au toate operațiile pe mulțimi dinamice descrise mai sus. În cazul cel mai defavorabil, fiecare operație necesită un timp  $\Theta(n)$  pe un arbore cu  $n$  elemente, dar pe un arbore binar de căutare construit aleator, timpul mediu pentru fiecare

operație este  $O(\lg n)$ . Arborii de căutare binară au rol de bază pentru multe alte structuri de date.

Arborii roșu–negru, o variantă a arborilor de căutare binară, sunt introdusi în capitolul 14. Spre deosebire de arborii de căutare binară obișnuiți, arborii roșu–negru prezintă garanția unei execuții bune: operațiile necesită un timp  $O(\lg n)$  în cazul cel mai defavorabil. Un arbore roșu–negru este un arbore de căutare echilibrat; capitolul 19 prezintă un alt tip de arbori de căutare echilibrați, numiți B–arbori. Deși mecanismul arborilor roșu–negru este într-o oarecare măsură greu de urmărit, majoritatea proprietăților lor se poate deduce din capitolul respectiv, fără a studia mecanismul în detaliu. Oricum, parcurgerea codului poate fi instructivă în sine.

În capitolul 15 vom arăta cum se pot îmbogăți arborii roșu – negru pentru a suporta alte operații, în afara celor de bază prezentate mai sus. În primul rând, îi vom îmbogăți astfel încât să putem păstra dinamic o statistică de ordine pentru o mulțime de chei. Apoi, îi vom îmbogăți într-o manieră diferită pentru a memora intervale de numere reale.

---

# 11 Structuri de date elementare

În acest capitol vom examina reprezentarea mulțimilor dinamice ca structuri de date simple care utilizează referințe. Deși multe structuri de date complexe pot fi modelate folosind pointeri, le vom prezenta doar pe cele elementare: stive, cozi, liste înlăncuite și arbori cu rădăcină. De asemenea, vom prezenta o metodă prin care obiectele și pointerii pot fi sintetizați din tablouri.

---

## 11.1. Stive și cozi

Stivele și cozile sunt mulțimi dinamice în care elementul care este eliminat din mulțime de către operația **STERGE** este prespecificat. Într-o **stivă**, elementul șters din mulțime este elementul cel mai recent inserat: stiva implementează principiul **ultimul sosit, primul servit** (last-in, first-out) sau **LIFO**. Similar, într-o **coadă**, elementul șters este întotdeauna cel care a stat în mulțime cel mai mult (primul introdus): coada implementează principiul **primul sosit, primul servit** (first-in, first-out) sau **FIFO**. Există mai multe modalități eficiente de a implementa stivele și cozile cu ajutorul calculatorului. În această secțiune vom arăta cum se pot folosi tablourile simple pentru a implementa fiecare dintre aceste structuri.

### Stive

Operația **INSEREAZĂ** asupra stivelor este deseori denumită **PUNE-ÎN-STIVĂ**, iar operația **STERGE**, care nu cere nici un argument, este deseori numită **SCOATE-DIN-STIVĂ**. Aceste nume sunt aluzii la stivele fizice, ca de exemplu un vraf de farfurii. Ordinea în care sunt luate farfurile din vraf este ordinea inversă în care au fost introduse în vraf, deoarece doar ultima farfurie este accesibilă.

Așa cum se vede în figura 11.1, o stivă cu cel mult  $n$  elemente poate fi implementată printr-un tablou  $S[1..n]$ . Tabloul are un atribut  $vârf[S]$  care este indicele celui mai recent introdus element. Stiva constă din elementele  $S[1..vârf[S]]$ , unde  $S[1]$  este elementul de la baza stivei, iar  $S[vârf[S]]$  este elementul din vârful stivei.

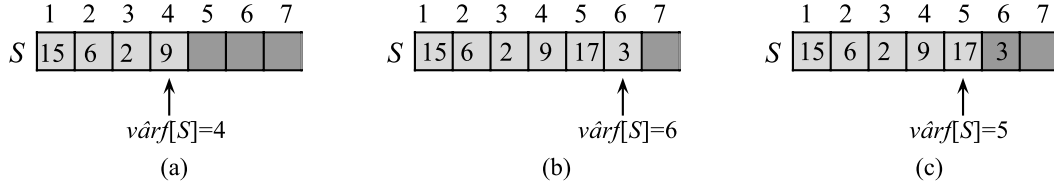
Când  $vârf[S] = 0$ , stiva nu conține nici un element și deci este **vidă**. Se poate testa dacă stiva este vidă prin operația de interogare **STIVĂ-VIDĂ**.

Dacă se încearcă extragerea (se apeleză operația **SCOATE-DIN-STIVĂ**) unui element dintr-o stivă vidă, spunem că stiva are **depășire inferioară**, care în mod normal este o eroare. Dacă  $vârf[S]$  depășește valoarea  $n$ , stiva are **depășire superioară**. (În implementarea noastră în pseudocod, nu ne vom pune problema depășirii stivei.)

Fiecare dintre operațiile stivei pot fi implementate prin doar câteva linii de cod.

#### STIVĂ-VIDĂ( $S$ )

- 1: dacă  $vârf[S] = 0$  atunci
- 2:   returnează ADEVĂRAT
- 3: altfel
- 4:   returnează FALS



**Figura 11.1** Implementarea unei stive  $S$  printr-un tablou. Elementele stivei apar doar în pozițiile hașurate folosind o culoare deschisă. (a) Stiva  $S$  are 4 elemente. Elementul din vârful stivei este 9. (b) Stiva  $S$  după apelurile PUNE-ÎN-STIVĂ( $S, 17$ ) și PUNE-ÎN-STIVĂ( $S, 3$ ). (c) Stiva  $S$  după ce apelul SCOATE-DIN-STIVĂ( $S$ ) a întors ca rezultat elementul 3, care este cel mai recent introdus. Deși elementul 3 apare în continuare în tabel, el nu mai este în stivă; elementul din vârful stivei este 17.

PUNE-ÎN-STIVĂ( $S, x$ )

- 1:  $vârf[S] \leftarrow vârf[S] + 1$
- 2:  $S[vârf[S]] \leftarrow x$

SCOATE-DIN-STIVĂ( $S$ )

- 1: dacă STIVĂ-VIDĂ( $S$ ) atunci
- 2: eroare “depășire inferioară”
- 3: altfel
- 4:  $vârf[S] \leftarrow vârf[S] - 1$
- 5: returnează  $S[vârf[S]+1]$

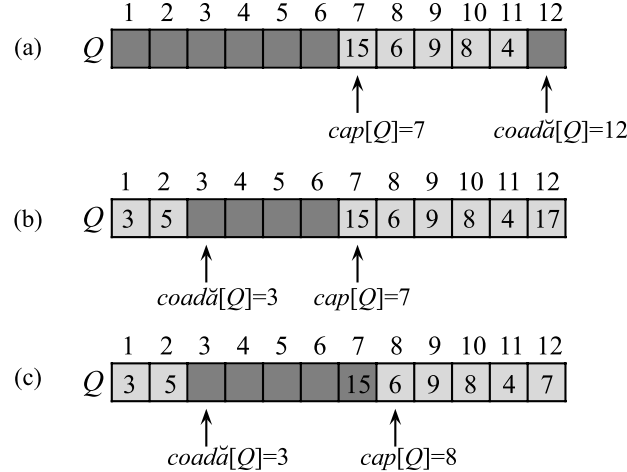
Figura 11.1 ilustrează modificările produse în urma apelurilor operațiilor PUNE-ÎN-STIVĂ și SCOATE-DIN-STIVĂ. Fiecare dintre cele trei operații asupra stivelor necesită un timp  $O(1)$ .

## Cozi

Vom numi PUNE-ÎN-COADĂ operația INSEREAZĂ aplicată asupra unei cozi, iar operația ȘTERGE o vom numi SCOATE-DIN-COADĂ; asemănător operației SCOATE-DIN-STIVĂ aplicată stivei, SCOATE-DIN-COADĂ nu necesită nici un argument. Prințipiu FIFO, propriu cozii, impune ca aceasta să opereze asemănător cu un rând de oameni ce așteaptă la un ghișeu. Coada are un **cap** și o **coadă**. Când un element este pus în coadă, ocupă locul de la sfârșitul cozii, ca și un nou venit ce își ia locul la coada rândului. Elementul scos din coadă este întotdeauna cel din capul cozii, asemănător persoanei din capul rândului care a așteptat cel mai mult. (Din fericire, nu trebuie să ne îngrijorăm din cauza elementelor care “se bagă în față”.)

Figura 11.2 ilustrează o modalitate de a implementa o coadă având cel mult  $n - 1$  elemente, folosind un tablou  $Q[1..n]$ . Coada are un atribut  $cap[Q]$  care conține indicele capului ei. Atributul  $coadă[Q]$  conține indicele noii locații în care se va insera în coadă elementul nou venit. Elementele din coadă se află în locațiile  $cap[Q], cap[Q] + 1, \dots, coadă[Q] - 1$ , iar indicii se parcurg circular, în sensul că locația 1 urmează imediat după locația  $n$ . Când  $cap[Q] = coadă[Q]$  coada este goală. Inițial avem  $cap[Q] = coadă[Q] = 1$ . Când coada este vidă, o încercare de a scoate un element din coadă cauzează o depășire inferioară în coadă. Când  $cap[Q] = coadă[Q] + 1$ , coada este “plină” și o încercare de a pune în coadă cauzează o depășire superioară în coadă.

În PUNE-ÎN-COADĂ și SCOATE-DIN-COADĂ, verificarea erorilor de depășire inferioară a fost omisă. (Exercițiul 11.1-4 cere scrierea codului ce verifică aceste două condiții de eroare.)



**Figura 11.2** O coadă implementată utilizând un tablou  $Q[1..12]$ . Elementele cozii apar doar în pozițiile cu hașură deschisă. (a) Coada are 5 elemente, în locațiile  $Q[7..11]$ . (b) Configurația cozii după apelurile PUNE-ÎN-COADĂ( $Q, 17$ ), PUNE-ÎN-COADĂ( $Q, 3$ ), PUNE-ÎN-COADĂ( $Q, 5$ ). (c) Configurația cozii după ce apelul SCOATE-DIN-COADĂ( $Q$ ) returnează valoarea cheii 15, ce s-a aflat anterior în capul cozii. Noul cap are cheia 6.

PUNE-ÎN-COADĂ( $Q, x$ )

- 1:  $Q[coadă[Q]] \leftarrow x$
- 2: **dacă**  $coadă[Q] = lung[Q]$  **atunci**
- 3:     $coadă[Q] \leftarrow 1$
- 4: **altfel**
- 5:     $coadă[Q] \leftarrow coadă[Q] + 1$

SCOATE-DIN-COADĂ( $Q$ )

- 1:  $x \leftarrow Q[cap[Q]]$
- 2: **dacă**  $cap[Q] = lung[Q]$  **atunci**
- 3:     $cap[Q] \leftarrow 1$
- 4: **altfel**
- 5:     $cap[Q] \leftarrow cap[Q] + 1$
- 6: **returnează**  $x$

În figura 11.2 sunt ilustrate efectele operațiilor PUNE-ÎN-COADĂ și SCOATE-DIN-COADĂ. Fiecare operație necesită un timp  $O(1)$ .

## Exerciții

**11.1-1** Folosind ca model figura 11.1, ilustrați efectul fiecăreia dintre operațiile PUNE-ÎN-STIVĂ( $S, 4$ ), PUNE-ÎN-STIVĂ( $S, 1$ ), PUNE-ÎN-STIVĂ( $S, 3$ ), SCOATE-DIN-STIVĂ( $S$ ), PUNE-ÎN-STIVĂ( $S, 8$ ), SCOATE-DIN-STIVĂ( $S$ ) pe o stivă inițial vidă, memorată într-un tablou  $S[1..6]$ .

**11.1-2** Explicați cum se pot implementa două stive într-un singur tablou  $A[1..n]$  astfel încât nici una dintre stive să nu aibă depășire superioară, cu excepția cazului în care numărul total de elemente din ambele stive (împreună) este  $n$ . Operațiile PUNE-ÎN-STIVĂ și SCOATE-DIN-STIVĂ trebuie să funcționeze într-un timp  $O(1)$ .

**11.1-3** Folosind ca model figura 11.2, ilustrați efectul fiecărei dintre operațiile PUNE-ÎN-COADĂ( $Q, 4$ ), PUNE-ÎN-COADĂ( $Q, 1$ ), PUNE-ÎN-COADĂ( $Q, 3$ ), SCOATE-DIN-COADĂ( $Q$ ), PUNE-ÎN-COADĂ( $Q, 8$ ) și SCOATE-DIN-COADĂ( $Q$ ) pe o coadă  $Q$ , initial vidă, memorată într-un tablou  $Q[1..6]$ .

**11.1-4** Rescrieți PUNE-ÎN-COADĂ și SCOATE-DIN-COADĂ pentru a detecta depășirile unei cozi.

**11.1-5** În timp ce stiva permite inserarea și ștergerea de elemente doar la un singur capăt, iar coada permite inserarea la un capăt și ștergerea la celălalt capăt, o **coadă completă** permite inserări și ștergeri la ambele capete. Scrieți patru proceduri cu timpul de execuție  $O(1)$  pentru inserare de elemente și ștergere de elemente la ambele capete ale unei cozi complete implementată printr-un tablou.

**11.1-6** Arătați cum se poate implementa o coadă prin două stive. Analizați timpul de execuție pentru operațiile cozii.

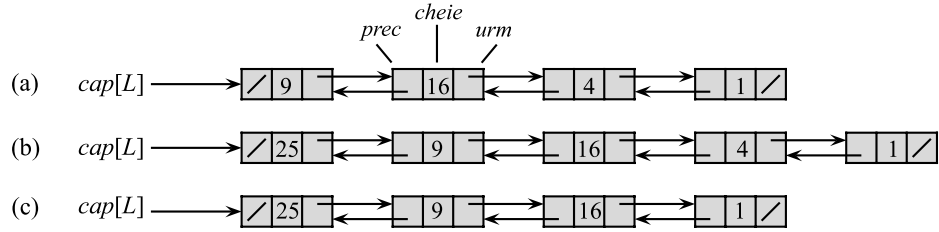
**11.1-7** Arătați cum se poate implementa o stivă prin două cozi. Analizați timpul de execuție pentru operațiile stivei.

## 11.2. Liste înlănuite

O **listă înlănuită** este o structură de date în care obiectele sunt aranjate într-o anumită ordine. Spre deosebire de tablou, în care ordinea este determinată de indicii tabloului, ordinea într-o listă înlănuită este determinată de un pointer conținut în fiecare obiect. Listele înlănuite asigură o reprezentare mai simplă și mai flexibilă pentru mulțimi dinamice, suportând (deși nu neapărat eficient) toate operațiile descrise la pagina 168.

După cum se arată în figura 11.3, fiecare element al unei **liste dublu înlănuite**  $L$  este un obiect cu un câmp *cheie* și alte două câmpuri pointer: *urm* (următor) și *prec* (precedent). Obiectul poate conține și alte date. Fiind dat un element  $x$  din listă, *urm*[ $x$ ] indică spre succesorul său din lista înlănuită, iar *prec*[ $x$ ] indică spre predecesorul său. Dacă *prec*[ $x$ ] = NIL atunci elementul  $x$  nu are nici un predecesor și deci este primul element din listă, sau **capul** listei. Dacă *urm*[ $x$ ] = NIL atunci elementul  $x$  nu are succesor și deci este ultimul element sau **coada** listei. Un atribut *cap*[ $L$ ] referă primul element al listei. Dacă *cap*[ $L$ ] = NIL, lista este vidă.

O listă poate avea una din următoarele forme. Ea poate fi simplu înlănuită sau dublu înlănuită, poate fi sortată sau nu, și poate fi, sau nu, circulară. Dacă o listă este **simplu înlănuită** vom omite pointerul *prec* din fiecare element. Dacă o listă este **sortată**, ordinea din listă corespunde ordinii cheilor memorate în elementele listei; elementul minim este capul listei, iar elementul maxim este coada listei. Dacă lista este **nesortată**, elementele pot apărea în orice ordine. Într-o **listă circulară** referința *prec* a capului listei referă coada iar referința *urm* a cozii listei referă capul ei. Astfel, lista poate fi privită ca un inel de elemente. În restul acestei secțiuni vom presupune că listele cu care lucrăm sunt nesortate și dublu înlănuite.



**Figura 11.3** (a) O listă dublu înlănuită  $L$  reprezentând mulțimea dinamică  $\{1, 4, 9, 16\}$ . Fiecare element din listă este un obiect având câmpuri pentru cheie și doi pointeri (ilustrați prin săgeți) la elementul următor, respectiv anterior. Câmpul  $urm$  al cozii și câmpul  $prec$  al capului sunt NIL, lucru indicat printr-un slash. Atributul  $cap[L]$  referă capul listei. (b) După execuția lui LISTĂ-INSEREAZĂ( $L, x$ ), unde  $cheie[x] = 25$ , capul listei înlănuite este un nou obiect având cheia 25. Acest nou obiect referă vechiul cap având cheia 9. (c) Rezultatul apelului LISTĂ-ȘTERGE( $L, x$ ), unde  $x$  referă obiectul având cheia 4.

### Căutarea într-o listă înlănuită

Procedura LISTĂ-CAUTĂ( $L, k$ ) găsește primul element având cheia  $k$  din lista  $L$  printr-o căutare liniară simplă, returnând pointerul la acest element. Dacă în listă nu apare nici un obiect având cheia  $k$ , atunci se returnează NIL. Pentru lista înlănuită din figura 11.3(a), apelul LISTĂ-CAUTĂ( $L, 4$ ) returnează un pointer la al treilea element, iar apelul LISTĂ-CAUTĂ( $L, 7$ ) returnează NIL.

```
LISTĂ-CAUTĂ( $L, x$ )
1:  $x \leftarrow cap[L]$ 
2: cât timp  $x \neq NIL$  și  $cheie[x] \neq k$  execută
3:    $x \leftarrow urm[x]$ 
4: returnează  $x$ 
```

Pentru a căuta într-o listă având  $n$  obiecte, procedura LISTĂ-CAUTĂ necesită un timp  $\Theta(n)$  în cazul cel mai defavorabil, deoarece va trebui să caute în toată lista.

### Inserarea într-o listă înlănuită

Fiind dat un element  $x$  al cărui câmp  $cheie$  a fost inițializat, procedura LISTĂ-INSEREAZĂ îl plasează pe  $x$  în fața listei înlănuite, după cum se poate observa în figura 11.3(b).

```
LISTĂ-INSEREAZĂ( $L, x$ )
1:  $urm[x] \leftarrow cap[L]$ 
2: dacă  $cap[L] \neq NIL$  atunci
3:    $prec[cap[L]] \leftarrow x$ 
4:    $cap[L] \leftarrow x$ 
5:  $prec[x] \leftarrow NIL$ 
```

Timpul de execuție pentru LISTĂ-INSEREAZĂ pe o listă cu  $n$  elemente este  $O(1)$ .

## Ștergerea dintr-o listă înlănțuită

Procedura LISTĂ-STERGE elimină un element  $x$  dintr-o listă înlănțuită  $L$ . Pentru aceasta, trebuie transmis ca argument un pointer spre  $x$  și  $x$  va fi scos din listă, actualizându-se pointerii. Dacă dorim să ștergem un element cu o cheie dată, mai întâi trebuie să apelăm LISTĂ-CAUTĂ pentru a afla pointerul spre acel element.

```
LISTĂ-STERGE( $L, x$ )
1: dacă  $prec[x] \neq \text{NIL}$  atunci
2:    $urm[prec[x]] \leftarrow urm[x]$ 
3: altfel
4:    $cap[L] \leftarrow urm[x]$ 
5: dacă  $urm[x] \neq \text{NIL}$  atunci
6:    $prec[urm[x]] \leftarrow prec[x]$ 
```

Figura 11.3(c) ilustrează cum se șterge un element dintr-o listă înlănțuită. LISTĂ-STERGE se execută într-un timp  $O(1)$ , dar dacă dorim să ștergem un element având o cheie dată, timpul necesar pentru cazul cel mai defavorabil este  $\Theta(n)$ , pentru că înainte trebuie să apelăm LISTĂ-CAUTĂ.

## Santinele

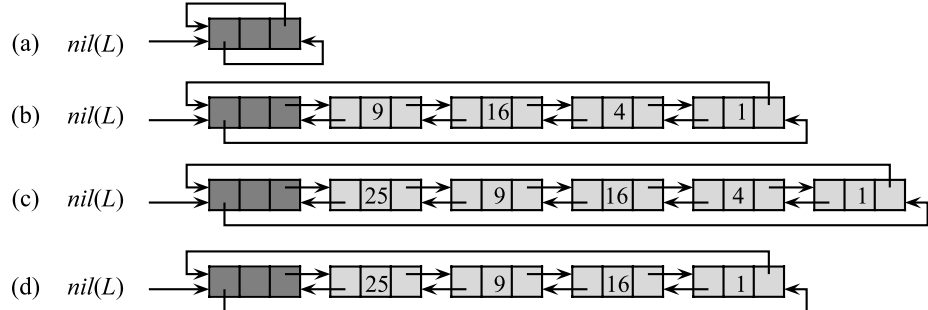
Codul pentru LISTĂ-STERGE ar fi mai simplu dacă am ignora condițiile extreme de la capul și coada listei.

```
LISTĂ-STERGE'( $L, x$ )
1:  $urm[prec[x]] \leftarrow urm[x]$ 
2:  $prec[urm[x]] \leftarrow prec[x]$ 
```

O **santinelă** este un obiect fictiv care ne permite să simplificăm condițiile de la extreame. De exemplu, să presupunem că în lista  $L$  avem la dispoziție un obiect  $nil[L]$ , care reprezintă NIL, dar care are toate câmpurile unui element al listei. De câte ori avem o referință la NIL în codul listei, o vom înlocui cu o referință la santinela  $nil[L]$ . După cum se observă în figura 11.4, santinela transformă o listă dublu înlănțuită într-o listă circulară, cu santinela  $nil[L]$  plasată între cap și coadă; câmpul  $urm[nil[L]]$  indică spre capul listei, iar  $prec[nil[L]]$  indică spre coadă. Similar, atât câmpul  $urm$  al cozii cât și câmpul  $prec$  al capului indică spre  $nil[L]$ . Deoarece  $urm[nil[L]]$  indică spre cap, putem elibera atributul  $cap[L]$ , înlocuind referințele către el cu referințe către  $urm[nil[L]]$ . O listă vidă va conține doar santinela, deoarece atât  $urm[nil[L]]$  cât și  $prec[nil[L]]$  pot fi setate pe  $nil[L]$ .

Codul pentru LISTĂ-CAUTĂ rămâne la fel ca înainte, dar cu referințele spre NIL și  $cap[L]$  schimbate după cum s-a precizat anterior.

```
LISTĂ-CAUTĂ'( $L, k$ )
1:  $x \leftarrow urm[nil[L]]$ 
2: cât timp  $x \neq nil[L]$  și  $cheie[x] \neq k$  execută
3:    $x \leftarrow urm[x]$ 
4: returnează  $x$ 
```



**Figura 11.4** O listă înlăncuită  $L$  ce folosește o santinelă  $nil[L]$  (hașurată cu negru) este o listă dublu înlăncuită obișnuită, transformată într-o listă circulară cu  $nil[L]$  pus între cap și coadă. Atributul  $cap[L]$  nu mai este necesar, deoarece capul listei poate fi accesat prin  $urm[nil[L]]$ . (a) O listă vidă. (b) Lista înlăncuită din figura 11.3(a), având cheia 9 în capul listei și cheia 1 în coada listei. (c) Lista după execuția procedurii LISTĂ-INSEREAZĂ'( $L, x$ ), unde  $cheie[x] = 25$ . Noul obiect devine capul listei. (d) Lista după ștergerea obiectului având cheia 1. Noua coadă este obiectul având cheia 4.

Folosim procedura (cu două linii de cod) LISTĂ-STERGE' pentru a șterge un element din listă. Vom folosi următoarea procedură pentru inserarea unui element în listă.

```
LISTĂ-INSEREAZĂ'( $L, x$ )
1:  $urm[x] \leftarrow urm[nil[L]]$ 
2:  $prec[urm[nil[L]]] \leftarrow x$ 
3:  $urm[nil[L]] \leftarrow x$ 
4:  $prec[x] \leftarrow nil[L]$ 
```

Figura 11.4 ilustrează efectele procedurilor LISTĂ-INSEREAZĂ' și LISTĂ-STERGE' pe un exemplu.

Rareori santinelele reduc marginile asimptotice de timp pentru operațiile structurilor de date, dar pot reduce factorii constanti. Câștigul pe care îl reprezintă folosirea santinelelor în cadrul ciclurilor este de obicei mai mult legat de claritatea codului, decât de viteză; de exemplu, codul pentru lista înlăncuită este simplificat prin utilizarea santinelelor, dar câștigăm doar un timp  $O(1)$  în procedurile LISTĂ-INSEREAZĂ' și LISTĂ-STERGE'. Oricum, în alte situații, folosirea santinelelor ajută la restrângerea codului dintr-un ciclu, reducându-se astfel coeficientul, de exemplu, pentru  $n$  sau  $n^2$  din timpul de execuție.

Santinelele trebuie folosite cu discernământ. Dacă avem multe liste mici, spațiul suplimentar folosit de santinelele acestor liste poate reprezenta o risipă semnificativă de memorie. Astfel, în cartea de față santinelele se vor folosi doar acolo unde se obține o simplificare semnificativă a codului.

## Exerciții

**11.2-1** Se poate implementa operația INSEREAZĂ pentru mulțimi dinamice pe o listă simplu înlăncuită cu un timp de execuție  $O(1)$ ? Dar operația STERGE?

**11.2-2** Implementați o stivă folosind o listă simplu înlăncuită  $L$ . Operațiile PUNE-ÎN-STIVĂ și SCOATE-DIN-STIVĂ ar trebui să necesite tot un timp  $O(1)$ .

**11.2-3** Implementați o coadă folosind o listă simplu înlățuită  $\mathcal{L}$ . Operațiile PUNE-ÎN-COADĂ și SCOATE-DIN-COADĂ ar trebui să necesite tot un timp  $O(1)$ .

**11.2-4** Implementați operațiile specifice dicționarelor INSEREAZĂ, ȘTERGE și CAUTĂ folosind liste simplu înlățuite, respectiv circulare. Care sunt timpii de execuție pentru aceste proceduri?

**11.2-5** Operația pentru mulțimi dinamice REUNEȘTE are ca intrare două mulțimi disjuncte  $S_1$  și  $S_2$  și returnează mulțimea  $S = S_1 \cup S_2$  ce conține toate elementele din  $S_1$  și  $S_2$ . Mulțimile  $S_1$  și  $S_2$  sunt de obicei distruse de către operație. Arătați cum se poate realiza REUNEȘTE într-un timp  $O(1)$  folosind o structură de date de tip listă, adecvată.

**11.2-6** Scrieți o procedură care interclasează două liste simplu înlățuite sortate într-o singură listă simplu înlățuită sortată fără a folosi santinele. Apoi, scrieți o procedură similară folosind o santicelă având cheia  $\infty$  pentru a marca sfârșitul fiecărei liste. Comparați simplitatea codului pentru fiecare din cele două proceduri.

**11.2-7** Creați o procedură nerecursivă de timp de execuție  $\Theta(n)$  care inversează o listă simplu înlățuită având  $n$  elemente. Procedura va folosi un spațiu suplimentar de memorie de mărime constantă.

**11.2-8 \*** Explicați cum se pot implementa liste dublu înlățuite folosind o singură valoare referință  $np[x]$  pentru fiecare obiect, în locul celor două valori uzuale ( $urm$  și  $prec$ ). Se presupune că toate valorile pointerilor pot fi interpretate ca și întregi pe  $k$  biți și se definește  $np[x]$  ca fiind  $np[x] = urm[x] \text{ XOR } prec[x]$ , “sau exclusiv” pe  $k$  biți dintre  $urm[x]$  și  $prec[x]$ . (Valoarea NIL e reprezentată de 0.) Acordați atenție descrierii informației necesare pentru accesarea capului listei. Arătați cum pot fi implementate operațiile CAUTĂ, INSEREAZĂ și ȘTERGE pe o astfel de listă. De asemenea, arătați cum se poate inversa o astfel de listă într-un timp  $O(1)$ .

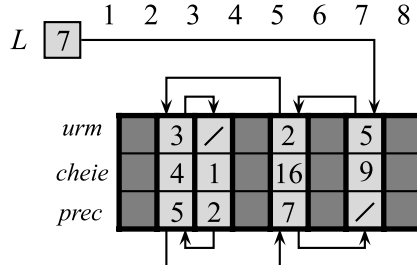
### 11.3. Implementarea pointerilor și obiectelor

Cum implementăm pointerii și obiectele în limbi de date cum ar fi Fortran, care nu asigură lucru cu astfel de date? În această secțiune, vom arăta două modalități de implementare a structurilor de date înlățuite fără un tip de date pointer explicit. Vom sintetiza obiectele și pointerii din tablouri și indicii de tablouri.

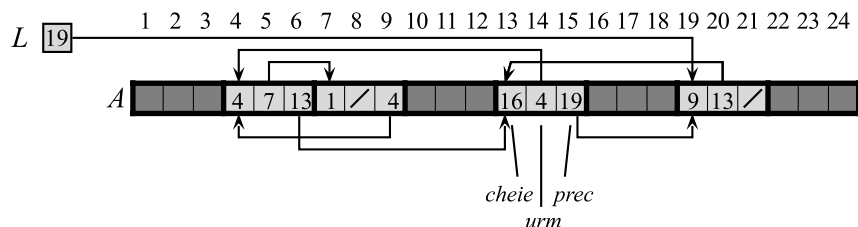
#### O reprezentare multi-tablou a obiectelor

O colecție de obiecte care au aceleași câmpuri se poate reprezenta utilizând câte un tablou pentru fiecare câmp. De exemplu, figura 11.5 ilustrează cum se poate implementa lista înlățuită din figura 11.3(a) prin trei tablouri. Tabloul *cheie* reține valorile curente ale cheilor din mulțimea dinamică, iar pointerii sunt memorați în tablourile *urm* și *prec*. Pentru un indice de tablou  $x$  dat, *cheie*[ $x$ ], *urm*[ $x$ ] și *prec*[ $x$ ] reprezintă un obiect în lista înlățuită. Într-o astfel de implementare, un pointer  $x$  este un simplu indice în tablourile *cheie*, *urm* și *prec*.

În figura 11.3(a), obiectul având cheia 4 urmează după obiectul având cheia 16 în lista înlățuită. În figura 11.5, cheia 4 apare în *cheie*[2], iar cheia 16 apare în *cheie*[5], deci vom avea  $urm[5] = 2$  și  $prec[2] = 5$ . Deși constanta NIL apare în câmpul *urm* al cozii și în câmpul



**Figura 11.5** Lista înlățuită din figura 11.3(a) reprezentată prin tablourile *cheie*, *urm* și *prec*. Fiecare portjune verticală a tablourilor reprezintă un singur obiect. Pointerii memorati corespund indicilor tablourilor ilustrați în partea de sus; săgețile arată cum trebuie interpretata acești indici. Pozițiile cu hașură deschisă ale obiectelor conțin elementele listei. Variabila *L* conține indicele capului.



**Figura 11.6** Lista înlățuită din figura 11.3(a) și figura 11.5 reprezentată printr-un singur tablou *A*. Fiecare element al listei este un obiect care ocupă un subtablou continuu de lungime 3 în cadrul tabloului. Cele trei câmpuri *cheie*, *urm* și *prec* corespund deplasamentelor 0, 1 și respectiv 2. Pointerul la un obiect este indicele primului element al obiectului. Obiectele conținând elementele listei sunt hașurate deschise, iar săgețile indică ordinea în listă.

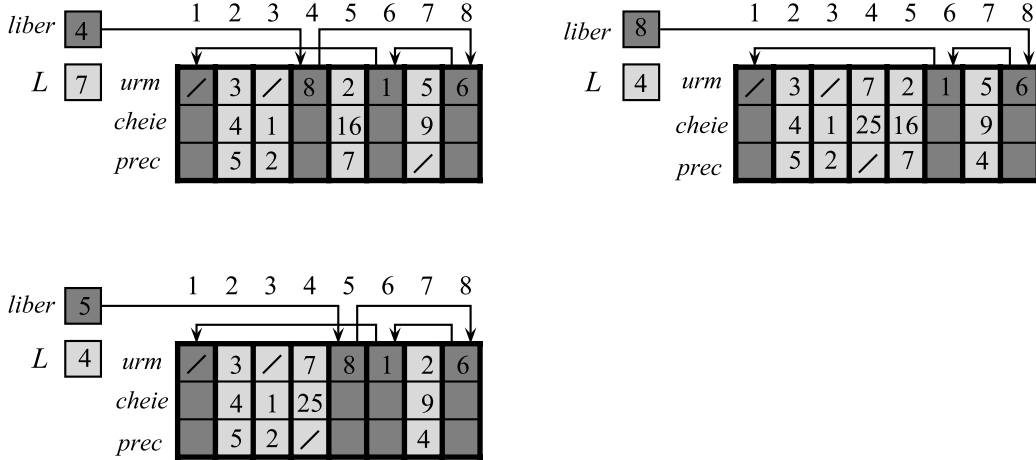
*prec* al capului, de obicei vom folosi un întreg (ca 0 sau -1) care nu poate reprezenta un indice valid în tablouri. O variabilă *L* memorează indicele capului listei.

În pseudocodul nostru, am folosit paranteze pătrate pentru a nota atât indexarea într-un tablou cât și selecția unui câmp (atribut) aparținând unui obiect. În ambele cazuri, semnificația lui *cheie*[*x*], *urm*[*x*] și *prec*[*x*] este consistentă relativ la implementare.

## O reprezentare a obiectelor printr-un tablou unic

Cuvintele din memoria unui calculator sunt în mod obișnuit adresate prin întregi între 0 și *M* – 1, unde *M* este un număr întreg suficient de mare. În multe limbaje de programare, un obiect ocupă o mulțime contiguă de locații în memoria calculatorului. Un pointer este pur și simplu adresa primei locații de memorie a obiectului iar celelalte locații de memorie din cadrul obiectului pot fi indexate adăugând un deplasament la acest pointer.

În medii de programare care nu au tipuri de date pointer explicite putem folosi aceeași strategie pentru implementarea obiectelor. De exemplu, figura 11.6 ilustrează cum se poate folosi un singur tablou *A* pentru a memora lista înlățuită din figura 11.3(a) și figura 11.5. Un obiect ocupă un subtablou contigu *A*[*j..k*]. Fiecare câmp al obiectului corespunde unui deplasament din intervalul *0..k* – *j*, iar un pointer la obiect este indicele *j*. În figura 11.6, deplasamentele



**Figura 11.7** Efectul procedurilor ALOCĂ-OBIECT și ELIBEREAZĂ-OBIECT. (a) Lista din figura 11.5 (partea cu hașură deschisă) și o listă liberă (partea cu hașură închisă). Săgețile indică structura listei libere. (b) Rezultatul apelului ALOCĂ-OBIECT() (care returnează cheia 4), setând *cheie*[4] la 25 și al apelului LISTĂ-INSEREAZĂ( $L$ , 4). Noul cap al listei libere este obiectul 8, care a fost *urm*[4] în lista liberă. (c) După execuția lui LISTĂ-STERGE( $L$ , 5), apelăm ELIBEREAZĂ-OBIECT(5). Obiectul 5 devine noul cap al listei libere, cu obiectul 8 urmându-i în listă.

corespunzătoare lui *cheie*, *urm* și *prec* sunt 0, 1, respectiv 2. Pentru a citi valoarea lui *prec*[*i*] pentru un pointer *i* dat, adăugăm la valoarea *i* a pointerului deplasamentul 2, citind astfel  $A[i+2]$ .

Reprezentarea printr-un singur tablou este flexibilă în sensul că permite memorarea de obiecte cu lungimi diferite în același tablou. Problema gestionării unei astfel de colecții eterogene de obiecte este mult mai dificilă decât problema gestionării unei colecții omogene, în care toate obiectele au aceleași câmpuri. Deoarece majoritatea structurilor de date pe care le luăm în considerare sunt compuse din elemente omogene, pentru scopurile noastre va fi suficient să folosim reprezentarea multi-tablou a obiectelor.

## Alocarea și eliberarea obiectelor

Pentru a insera o cheie într-o mulțime dinamică reprezentată printr-o listă dublu înălțuită, trebuie să alocăm un pointer la un obiect neutilizat la momentul respectiv în reprezentarea listei înălțuite. Prin urmare, este util să ținem evidența obiectelor care nu sunt folosite la un moment dat, în reprezentarea listei înălțuite; astfel, ori de câte ori avem nevoie de un nou obiect, acesta va fi preluat din lista de obiecte nefolosite. În unele sisteme, un aşa numit “*garbage collector*” (colector de reziduuri) este responsabil cu determinarea obiectelor neutilizate. Oricum, sunt multe aplicații, suficient de simple astfel încât își pot asuma responsabilitatea de a returna un obiect neutilizat către gestionarul de obiecte nefolosite. Vom studia acum problema alocării și eliberării (sau dealocării) obiectelor omogene folosind, de exemplu, o listă dublu înălțuită reprezentată prin tablouri multiple.

Să presupunem că tablourile din reprezentarea multi-tablou au lungimea  $m$  și că la un moment dat mulțimea dinamică conține  $n \leq m$  elemente. Atunci  $n$  obiecte vor reprezenta elementele

<i>liber</i>	10	1	2	3	4	5	6	7	8	9	10	
<i>L</i> <sub>2</sub>	9	urm	5	/	6	8	/	2	1	/	7	4
<i>L</i> <sub>1</sub>	3	cheie	<i>k</i> <sub>1</sub>	<i>k</i> <sub>2</sub>	<i>k</i> <sub>3</sub>		<i>k</i> <sub>5</sub>	<i>k</i> <sub>6</sub>	<i>k</i> <sub>7</sub>		<i>k</i> <sub>9</sub>	
		prec	7	6	/		1	3	9		/	

**Figura 11.8** Două liste înlănțuite  $L_1$  (porțiunea cu hașură deschisă) și  $L_2$  (cu hașură medie) și o listă liberă interconectată (cu hașură închisă).

curente din mulțimea dinamică și restul de  $m - n$  obiecte sunt **libere**; obiectele libere pot fi folosite pentru reprezentarea elementelor ce se vor insera în viitor în mulțimea dinamică.

Vom păstra obiectele libere într-o listă simplu înlănțuită, pe care o vom numi **listă liberă**. Lista liberă folosește doar tabloul *urm*, care memorează pointerii *urm* din listă. Capul listei libere este memorat într-o variabilă globală *liber*. În cazul în care mulțimea dinamică reprezentată de lista înlănțuită  $L$  este nevidă, lista liberă se poate întreține cu lista  $L$ , după cum se observă în figura 11.7. Observați că fiecare obiect din reprezentare este fie în lista  $L$ , fie în lista liberă, dar nu în amândouă.

Lista liberă este o stivă: următorul obiect alocat este cel mai recent eliberat. Putem folosi o implementare a operațiilor stivei PUNE-ÎN-STIVĂ și SCOATE-DIN-STIVĂ folosind o listă pentru a construi procedurile pentru alocarea și, respectiv, eliberarea obiectelor. Presupunem că variabila globală *liber* folosită în următoarele proceduri referă primul element al listei libere.

#### ALOCĂ-OBIECT()

- 1: dacă *liber* = NIL atunci
- 2:   eroare “depășire de spațiu”
- 3: altfel
- 4:    $x \leftarrow \text{liber}$
- 5:    $\text{liber} \leftarrow \text{urm}[x]$
- 6:   returnează *x*

#### ELIBEREAZĂ-OBIECT(*x*)

- 1:  $\text{urm}[x] \leftarrow \text{liber}$
- 2:  $\text{liber} \leftarrow x$

Inițial lista liberă conține toate cele  $n$  obiecte nealocate. În cazul în care lista liberă este epuizată, procedura ALOCĂ-OBIECT semnalează o eroare. În mod curent se poate folosi o singură listă liberă care să servească mai multe liste înlănțuite. Figura 11.8 ilustrează două liste înlănțuite și o listă liberă, interconectate prin tablourile *cheie*, *urm* și *prec*.

Cele două proceduri se execută într-un timp  $O(1)$ , ceea ce le face eficiente. Ele pot fi modificate astfel încât să funcționeze pentru orice colecție omogenă de obiecte, lăsând unul din câmpurile obiectului să se comporte ca un câmp *urm* în lista liberă.

## Exerciții

**11.3-1** Desenați o imagine a sirului  $\langle 13, 4, 8, 19, 5, 11 \rangle$  memorată ca o listă dublu înlănțuită folosind reprezentarea multi-tablou. Realizați același lucru pentru reprezentarea cu un tablou unic.

**11.3-2** Scrieți procedurile ALOCĂ-OBIECT și ELIBEREAZĂ-OBIECT pentru o colecție omogenă de obiecte implementată printr-o reprezentare cu un tablou unic.

**11.3-3** De ce nu este necesar să setăm sau să resetăm câmpurile *prec* ale obiectelor din implementarea procedurilor ALOCĂ-OBIECT și ELIBEREAZĂ-OBIECT?

**11.3-4** De multe ori este de dorit să păstrăm toate elementele unei liste dublu înlántuite într-o zonă compactă la memorare, folosind, de exemplu, primele  $m$  locații din reprezentarea multi-tablou. (Aceasta este situația într-un mediu de calcul cu memorie virtuală, paginată.) Explicați, cum se pot implementa procedurile ALOCĂ-OBIECT și ELIBEREAZĂ-OBIECT astfel încât reprezentarea să fie compactă. Presupuneți că nu există pointeri la elementele listei înlántuite în afara listei însăși. (*Indica ie:* Folosiți implementarea stivei printr-un tablou.)

**11.3-5** Fie  $L$  o listă dublu înlántuită de lungime  $m$  memorată în tablourile *cheie*, *prec* și *urm* de lungime  $n$ . Să presupunem că aceste tablouri sunt gestionate de procedurile ALOCĂ-OBIECT și ELIBEREAZĂ-OBIECT, care păstrează o listă liberă dublu înlántuită  $F$ . Mai presupunem că din cele  $n$  locații, sunt exact  $m$  în lista  $L$  și  $n - m$  în lista liberă. Scrieți o procedură COMPACTEAZĂ-LISTĂ( $L, F$ ) care, fiind date lista  $L$  și lista liberă  $F$ , mută elementele din  $L$  astfel încât ele să ocupe pozițiile  $1, 2, \dots, m$  din tablou și ajustează lista liberă  $F$  astfel încât să rămână corectă, ocupând pozițiile  $m + 1, m + 2, \dots, n$  din tablou. Timpul de execuție pentru procedura scrisă trebuie să fie  $\Theta(m)$  și ea trebuie să utilizeze doar un spațiu suplimentar constant. Dați o argumentare atentă a corectitudinii procedurii scrise.

## 11.4. Reprezentarea arborilor cu rădăcină

Metodele pentru reprezentarea listelor date în secțiunea precedentă se extind la orice structură omogenă de date. În această secțiune, vom discuta în mod special problema reprezentării arborilor cu rădăcină prin structuri de date înlántuite. Vom studia mai întâi arborii binari și apoi vom prezenta o metodă pentru arbori cu rădăcină în care nodurile pot avea un număr arbitrar de descendenți.

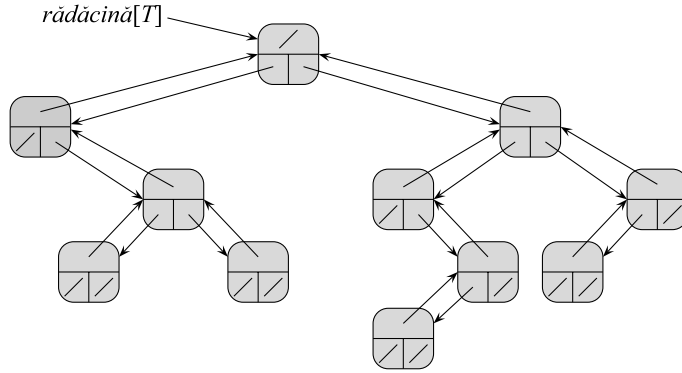
Vom reprezenta fiecare nod al arborilor printr-un obiect. Ca în cazul listelor înlántuite, presupunem că fiecare nod conține un câmp *cheie*. Restul câmpurilor care prezintă interes sunt pointeri către celealte noduri și pot varia în funcție de tipul arborelui.

### Arbore binari

După cum se observă în figura 11.9 câmpurile *p*, *stânga* și *dreapta* se folosesc pentru a memora pointerii pentru părinte, descendental stâng și descendental drept al fiecarui nod din arborele binar  $T$ . Dacă  $p[x] = \text{NIL}$ , atunci  $x$  este rădăcina. Dacă nodul  $x$  nu are descendental stâng, atunci  $stânga[x] = \text{NIL}$  și similar pentru descendental drept. Rădăcina întregului arbore  $T$  este referită de atributul *r d cin* [ $T$ ]. Dacă *r d cin* [ $T$ ] = NIL, atunci arborele este vid.

### Arbore cu rădăcină cu număr nelimitat de ramuri

Schema pentru reprezentarea arborilor binari poate fi extinsă la orice clasă de arbori în care numărul de descendenți ai fiecarui nod nu depășește o constantă  $k$ : vom înlocui câmpurile *stânga*



**Figura 11.9** Reprezentarea unui arbore binar  $T$ . Fiecare nod  $x$  are câmpurile  $p[x]$  (partea de sus),  $stânga[x]$  (partea din stânga jos) și  $dreapta[x]$  (partea din dreapta jos). Câmpurile *cheie* nu sunt ilustrate.

și *dreapta* cu  $fiu_1, fiu_2, \dots, fiu_k$ . Această schemă nu mai funcționează atunci când numărul de descendenți ai unui nod este nemărginit, deoarece nu știm câte câmpuri (tablouri în reprezentarea multi-tablou) să alocăm în avans. Mai mult, chiar dacă numărul  $k$  de descendenți este mărginit de o constantă mare, dar majoritatea nodurilor au un număr mic de descendenți, vom irosi multă memorie.

Din fericire, există o schemă “inteligentă” de a folosi arbori binari pentru a reprezenta arbori cu număr arbitrar de descendenți. Ea are avantajul că utilizează un spațiu de  $O(n)$  pentru orice arbore cu rădăcină și cu  $n$  noduri. **Reprezentarea descendant-stâng, frate-drept** este ilustrată în figura 11.10. Fiecare nod conține un pointer spre părinte  $p$ , iar  $rādăcină[T]$  referă rădăcina arborelui  $T$ . În loc să avem un pointer spre fiecare descendent, fiecare nod  $x$  are doar doi pointeri:

1. *fiu-stâng*[ $x$ ] referă cel mai din stânga descendent al nodului  $x$  și
2. *frate-drept*[ $x$ ] referă fratele lui  $x$ , cel mai apropiat spre dreapta.

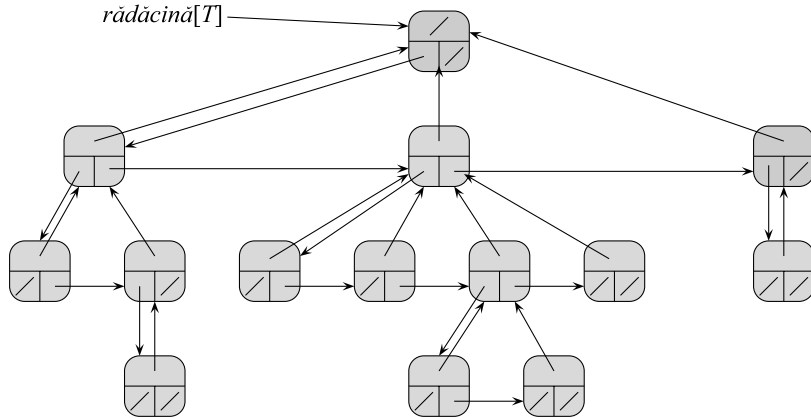
Dacă nodul  $x$  nu are descendenți atunci *fiu-stâng*[ $x$ ] = NIL, iar dacă nodul  $x$  este cel mai din dreapta descendent al părintelui său atunci *frate-drept*[ $x$ ] = NIL.

## Alte reprezentări ale arborilor

Uneori reprezentăm arborii cu rădăcină și în alte moduri. În capitolul 7, de exemplu, am reprezentat un ansamblu, care se bazează pe un arbore binar complet, printr-un singur tablou plus un indice. Arborii care apar în capitolul 22 sunt traversați numai spre rădăcină, de aceea doar pointerii spre părinți sunt prezenti; nu există pointeri spre descendenți. Sunt posibile și multe alte scheme. Care este cea mai bună schemă care depinde de aplicație.

## Exerciții

**11.4-1** Desenați arboarele binar având rădăcina la indicele 6, care este reprezentat de următoarele câmpuri.



**Figura 11.10** Reprezentarea descendant-stâng, frate-drept a unui arbore  $T$ . Fiecare nod  $x$  are câmpurile  $p[x]$  (partea de sus),  $fiu-stāng[x]$  (partea din stânga jos) și  $frate-drept[x]$  (partea din dreapta jos). Cheile nu sunt ilustrate.

indice	cheie	stânga	dreapta
1	12	7	3
2	15	8	NIL
3	4	10	NIL
4	10	5	9
5	2	NIL	NIL
6	18	1	4
7	7	NIL	NIL
8	14	6	2
9	21	NIL	NIL
10	5	NIL	NIL

**11.4-2** Scrieți o procedură recursivă cu timp de execuție  $O(n)$  care, fiind dat un arbore binar cu  $n$  noduri, tipărește cheia fiecărui nod din arbore.

**11.4-3** Scrieți o procedură nerecursivă cu timp de execuție  $O(n)$  care, fiind dat un arbore binar cu  $n$  noduri, tipărește cheia fiecărui nod din arbore. Folosiți o stivă ca o structură auxiliară de date.

**11.4-4** Scrieți o procedură cu timp de execuție  $O(n)$  care tipărește toate cheile unui arbore arbitrar cu rădăcină având  $n$  noduri, dacă arborele este memorat folosind reprezentarea descendant-stâng, frate-drept.

**11.4-5 \*** Scrieți o procedură nerecursivă cu timp de execuție  $O(n)$  care, fiind dat un arbore binar cu  $n$  noduri, tipărește cheile fiecărui nod. Folosiți numai un spațiu suplimentar constant în afara arborelui însuși și nu modificați arborele, nici măcar temporar, în timpul procedurii.

**11.4-6 \*** Reprezentarea descendant-stâng, frate-drept a unui arbore arbitrar cu rădăcină folosește trei pointeri în fiecare nod: *fiu-stâng*, *frate-drept* și *p rinte*. Din fiecare nod se pot atinge și identifica părintele și toți descendenții nodului. Arătați cum se poate obține același efect, folosind doar doi pointeri și o valoare booleană în fiecare nod.

---

## Probleme

### 11-1 Comparării între liste

Pentru fiecare din cele patru tipuri de liste din tabelul următor, care este timpul asimptotic de execuție în cazul cel mai defavorabil pentru fiecare dintre operațiile pe mulțimi dinamice specificate în tabelul următor?

	nesortată, simplu înlănțuită	sortată, simplu înlănțuită	nesortată, dublu înlănțuită	sortată, dublu înlănțuită
CAUTĂ( $L, k$ )				
INSEREAZĂ( $L, x$ )				
ȘTERGE( $L, x$ )				
SUCESOR( $L, x$ )				
PREDECESOR( $L, x$ )				
MINIM( $L$ )				
MAXIM( $L$ )				

### 11-2 Absambluri interclasate folosind liste înlănțuite

Un **ansamblu interclasat** are următoarele operații: CREEAZĂ-ANSAMBLU (care creează un ansamblu interclasat vid), INSEREAZĂ, MINIM, EXTRAGE-MIN și REUNEȘTE. Arătați cum se pot implementa ansamblurile interclasate folosind liste înlănțuite în fiecare din următoarele cazuri. Încercați să realizați fiecare operație cât mai eficient posibil. Analizați timpul de execuție în termenii dimensiunii mulțimii (mulțimilor) dinamice cu care se operează.

- a. Listele sunt sortate.
- b. Listele nu sunt sortate.
- c. Listele nu sunt sortate, iar mulțimile dinamice ce se interclasează sunt disjuncte.

### 11-3 Căutarea într-o listă sortată compactă

Exercițiul 11.3-4 cere modul în care putem menține o listă având  $n$  elemente, compactă în primele  $n$  poziții ale unui tablou. Vom presupune că toate cheile sunt distințe și că lista compactă este de asemenea sortată, adică,  $cheie[i] < cheie[urm[i]]$ , oricare ar fi  $i = 1, 2, \dots, n$  pentru care  $urm[i] \neq \text{NIL}$ . Cu aceste presupuneri ne așteptăm ca următorul algoritm aleator să efectueze căutarea în listă într-un timp  $O(n)$ .

LISTĂ-COMPACTĂ-CAUTĂ( $L, k$ )

- 1:  $i \leftarrow cap[L]$
- 2:  $n \leftarrow lung[L]$
- 3: **cât timp**  $i \neq \text{NIL}$  și  $cheie[i] \leq k$  **execută**
- 4:    $j \leftarrow \text{RANDOM}(1, n)$
- 5:   **dacă**  $cheie[i] < cheie[j]$  și  $cheie[j] < k$  **atunci**
- 6:      $i \leftarrow j$
- 7:      $i \leftarrow urm[i]$
- 8:   **dacă**  $cheie[i] = k$  **atunci**
- 9:     **returnează**  $i$
- 10: **returnează** NIL

Dacă ignorăm liniile 4–6 din procedură, atunci avem algoritmul uzual pentru căutarea într-o listă înlănțuită sortată, în care indicele  $i$  referă pe rând fiecare poziție din listă. Liniile 4–6 încearcă să sară în avans la o poziție  $j$  aleasă aleator. Un astfel de salt este benefic dacă  $cheie[j]$  este mai mare decât  $cheie[i]$  și mai mică decât  $k$ ; într-un astfel de caz  $j$  marchează o poziție în listă prin care  $i$  va trebui să treacă în timpul unei căutări obișnuite în listă. Deoarece lista este compactă, știm că orice alegere a lui  $j$  între 1 și  $n$  referă un obiect din listă și nu o poziție în lista liberă.

- a. De ce presupunem în LISTĂ-COMPACTĂ-CAUTĂ că toate cheile sunt distincte? Argumentați că salturile aleatoare nu ajută neapărat în cazul asimptotic, dacă lista conține dubluri ale cheilor.

Performanța procedurii LISTĂ-COMPACTĂ-CAUTĂ poate fi analizată împărțind execuția sa în două faze. În timpul primei faze, ignorăm orice avans realizat în determinarea lui  $k$ , ce se realizează în liniile 7–9. Deci, faza 1 constă doar în avansul în listă prin salturi aleatoare. Asemănător, faza 2 ignoră avansul ce se realizează în liniile 4–6 și astfel va opera ca o căutare liniară obișnuită.

Fie  $X_t$  variabila aleatoare care descrie distanța în lista înlănțuită (și anume, prin înlănțuirea pointerilor  $urm$ ) de la poziția  $i$  la cheia dorită  $k$  după  $t$  iterații ale fazei 1.

- b. Argumentați că timpul de execuție dorit pentru LISTĂ-COMPACTĂ-CAUTĂ este  $O(t + E[X_t])$ , pentru orice  $t \geq 0$ .
- c. Arătați că  $E[X_t] \leq \sum_{r=1}^n (1 - r/n)^t$ . (*Indica ie:* Folosiți relația (6.28).)
- d. Arătați că  $\sum_{r=1}^{n-1} r^t \leq n^{t+1}/(t+1)$ .
- e. Demonstrați că  $E[X_t] \leq n/(t+1)$  și explicați de ce această formulă este intuitivă.
- f. Arătați că LISTĂ-COMPACTĂ-CAUTĂ se execută într-un timp de  $O(\sqrt{n})$ .

## Note bibliografice

Aho, Hopcroft și Ullman [5] și Knuth [121] sunt referințe excelente pentru structuri de date elementare. Gonnet [90] furnizează date experimentale asupra performanțelor operațiilor pentru multe structuri de date.

Originea stivelor și cozilor ca structuri de date în informatică este neclară, deoarece noțiunile corespunzătoare existau deja în matematică și în prelucrarea tradițională a documentelor înainte de introducerea calculatoarelor digitale. Knuth [121] îl citează pe A. M. Turing pentru folosirea stivelor la legarea subroutinelor în 1947.

De asemenea, structurile de date bazate pe pointeri par a fi o “invenție din folclor”. Conform lui Knuth, pointerii se pare că erau utilizati pe calculatoarele timpurii cu memorie pe tambur magnetic. Limbajul A-1, dezvoltat de G. M. Hopper în 1951 reprezenta formulele algebrice ca arbori binari. Knuth creditează limbajul IPL-II, dezvoltat în 1956 de A. Newell, J. C. Shaw și H. A. Simon, cu recunoașterea importanței și promovarea utilizării pointerilor. Limbajul lor IPL-III, dezvoltat în 1957, include operații explicite asupra stivelor.

---

## 12 Tabele de dispersie

Multe aplicații necesită o mulțime dinamică pentru care să se aplice numai operațiile specifice pentru dicționare INSEREAZĂ, CAUTĂ și ȘTERGE. De exemplu, un compilator pentru un limbaj de programare întreține o tabelă de simboluri, în care cheile elementelor sunt siruri arbitrate de caractere ce corespund identificatorilor din limbaj. O tabelă de dispersie este o structură eficientă de date pentru implementarea dicționarelor. Deși căutarea unui element într-o tabelă de dispersie poate necesita la fel de mult timp ca și căutarea unui element într-o listă înlănțuită – un timp  $\Theta(n)$  în cazul cel mai defavorabil – în practică, dispersia funcționează extrem de bine. Pe baza unor ipoteze rezonabile, timpul preconizat pentru căutarea unui element într-o tabelă de dispersie este  $O(1)$ .

O tabelă de dispersie este o generalizare a noțiunii mai simple de tablou. Adresarea directă într-un tablou folosește abilitatea noastră de a examina o poziție arbitrară în tablou într-un timp  $O(1)$ . Secțiunea 12.1 discută în detaliu despre adresarea directă. Adresarea directă este aplicabilă în cazul în care ne putem permite să alocăm un tablou care are câte o poziție pentru fiecare cheie posibilă.

Când numărul cheilor memorate efectiv este relativ mic față de numărul total de chei posibile, tabelele de dispersie devin o alternativă eficientă la adresarea directă într-un tablou, deoarece o tabelă de dispersie folosește în mod normal un tablou de mărime proporțională cu numărul de chei memorate efectiv. În loc să folosim direct cheia ca indice în tablou, indicele este *calculat* pe baza cheii. În secțiunea 12.2 sunt prezentate ideile principale, iar în secțiunea 12.3 se descrie cum pot fi calculați indicii din tablou pe baza cheilor, folosind funcții de dispersie. Sunt prezentate și analizate diferite variații ale temei de bază; ideea de bază este că dispersia reprezintă o tehnică extrem de eficientă și practică; operațiile de bază pentru dicționare necesită, în medie, doar un timp  $O(1)$ .

---

### 12.1. Tabele cu adresare directă

Adresarea directă este o tehnică simplă care funcționează bine atunci când universul  $U$  al cheilor este rezonabil de mic. Să presupunem că o aplicație necesită o mulțime dinamică în care fiecare element are o cheie aleasă dintr-un univers  $U = \{0, 1, \dots, m - 1\}$ , unde  $m$  nu este foarte mare. Vom presupune că nu există două elemente având aceeași cheie.

Pentru a reprezenta mulțimea dinamică folosim un tablou sau o **tabelă cu adresare directă**  $T[0..m - 1]$ , în care fiecare poziție sau **locatie** corespunde unei chei din universul  $U$ . Figura 12.1 ilustrează această abordare; locația  $k$  referă elementului având cheia  $k$  din mulțime. Dacă mulțimea nu conține un element cu cheia  $k$ , atunci  $T[k] = \text{NIL}$ .

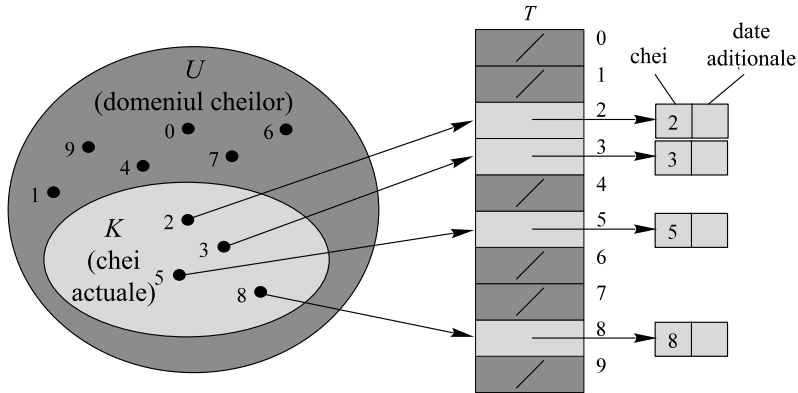
Operațiile pentru dicționare sunt ușor de implementat.

ADRESARE-DIRECTĂ-CAUTĂ( $T, k$ )

returnează  $T[k]$

ADRESARE-DIRECTĂ-INSEREAZĂ( $T, x$ )

$T[\text{cheie}[x]] \leftarrow x$



**Figura 12.1** Implementarea unei mulțimi dinamice printr-un tablou cu adresare directă  $T$ . Fiecare cheie din universul  $U = \{0, 1, \dots, 9\}$  corespunde unui indice în tablou. Mulțimea  $K = \{2, 3, 5, 8\}$  a cheilor efective determină locațiile din tablou care conțin pointeri către elemente. Celelalte locații, hașurate mai întunecat, conțin NIL.

**ADRESARE-DIRECTĂ-ȘTERGE( $T, x$ )**

$T[\text{cheie}[x]] \leftarrow \text{NIL}$

Fiecare dintre aceste operații este rapidă: este necesar doar un timp  $O(1)$ .

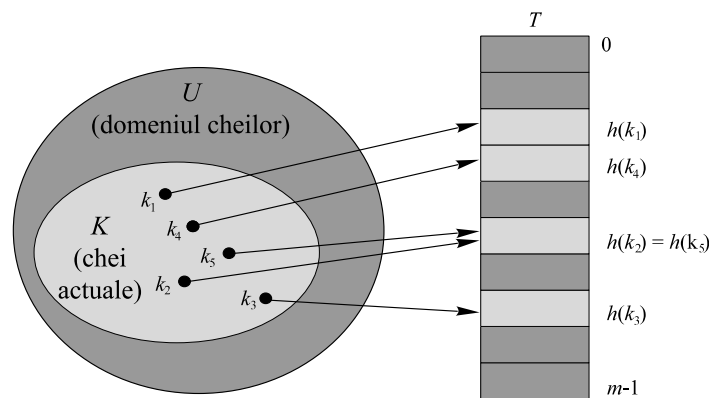
Pentru unele aplicații, elementele din mulțimea dinamică pot fi memorate chiar în tabela cu adresare directă. Aceasta înseamnă că în loc să memorăm cheia elementului și datele adiționale într-un obiect extern tabeliei cu adresare directă, printr-un pointer dintr-o poziție din tabelă către obiect, putem să memorăm obiectul în locația respectivă, economisind astfel spațiu. Mai mult, deseori nu este necesar să memorăm câmpul cheie al obiectului, deoarece dacă avem indicele unui obiect în tabelă avem și cheia sa. Oricum, dacă cheile nu sunt memorate, trebuie să existe o modalitate de a afirma că locația este goală.

## Exerciții

**12.1-1** Se consideră o mulțime dinamică  $S$  care este reprezentată printr-o tabelă  $T$  cu adresare directă, de lungime  $m$ . Descrieți o procedură care găsește elementul maxim din  $S$ . Care este performanța procedurii pentru cazul cel mai defavorabil?

**12.1-2** Un *vector de biți* este un tablou simplu de biți (cu 0 și 1). Un vector de biți de lungime  $m$  ocupă mult mai puțin spațiu decât un tablou de  $m$  pointeri. Descrieți cum se poate folosi un vector de biți pentru a reprezenta o mulțime dinamică având elemente distincte, fără date adiționale. Operațiile pentru dicționare ar trebui să funcționeze într-un timp  $O(1)$ .

**12.1-3** Sugerați cum se poate implementa o tabelă cu adresare directă în care cheile elementelor memorate nu sunt neapărat distincte și elementele pot avea date adiționale. Toate cele trei operații pentru dicționare (INSEREAZĂ, ȘTERGE și CAUTĂ) ar trebui să se execute într-un timp  $O(1)$ . (Nu uitați că ȘTERGE are ca argument un pointer la obiectul ce va fi șters și nu o cheie.)



**Figura 12.2** Folosirea unei funcții de dispersie  $h$  pentru a transforma chei în poziții din tabela de dispersie. Cheile  $k_2$  și  $k_5$  se transformă în aceeași poziție, deci sunt în coliziune.

**12.1-4 \*** Dorim să implementăm un dicționar folosind adresarea directă pe un tablou *uriaș*. La început, intrările în tablou pot conține date nesemnificative, iar inițializarea întregului tablou este nepractică datorită mărimii sale. Descrieți o schemă pentru implementarea unui dicționar cu adresare directă printr-un tablou uriaș. Fiecare obiect memorat ar trebui să utilizeze un spațiu  $O(1)$ ; operațiile CAUTĂ, INSEREAZĂ și ȘTERGE ar trebui să funcționeze fiecare într-un timp  $O(1)$ ; inițializarea structurii de date ar trebui să necesite un timp  $O(1)$ . (*Indică ie:* Folosiți o stivă suplimentară, a cărei mărime să fie numărul de chei efectiv memorate în dicționar, pentru a determina dacă o intrare dată în tabloul uriaș este validă sau nu.)

## 12.2. Tabele de dispersie

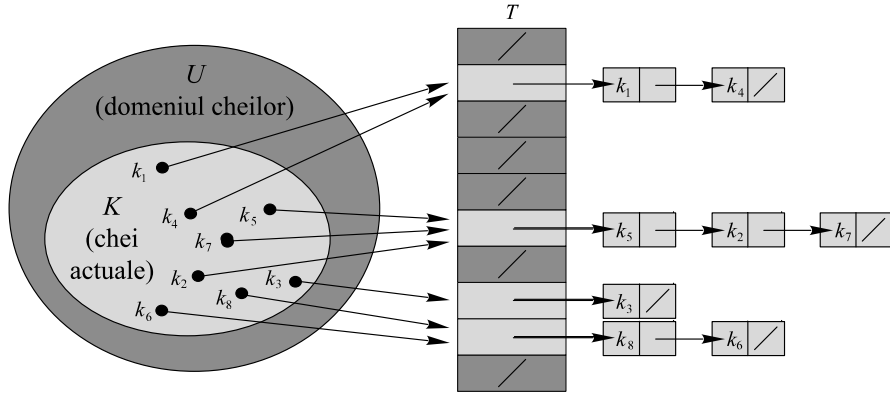
Dificultatea în adresarea directă este evidentă: dacă universul  $U$  este mare, memorarea tabelului  $T$  poate fi nepractică, sau chiar imposibilă, dată fiind memoria disponibilă a unui calculator uzual. Mai mult, mulțimea  $K$  a cheilor *efectiv memorate* poate fi atât de mică relativ la  $U$ , încât majoritatea spațiului alocat pentru  $T$  ar fi irosit.

Când mulțimea  $K$  a cheilor memorate într-un dicționar este mult mai mică decât universul  $U$  al cheilor posibile, o tabelă de dispersie necesită un spațiu de memorie mult mai mic decât o tabelă cu adresare directă. Mai exact, cerințele de memorare pot fi reduse la  $\Theta(|K|)$ , chiar și atunci când căutarea unui element în tabela de dispersie necesită tot un timp  $O(1)$ . (Singurul punct slab este că această margine este stabilită pentru *tempul mediu*, în timp ce pentru adresarea directă ea era valabilă pentru *cazul cel mai defavorabil*.)

Prin adresare directă, un element având cheia  $k$  este memorat în locația  $k$ . Prin dispersie, acest element este memorat în locația  $h(k)$ ; aceasta înseamnă că o **funcție de dispersie**  $h$  este folosită pentru a calcula locația pe baza cheii  $k$ . În acest caz,  $h$  transformă universul  $U$  al cheilor în locații ale unei **tabele de dispersie**  $T[0..m - 1]$ :

$$h : U \rightarrow \{0, 1, \dots, m - 1\}.$$

Vom spune că un element cu cheia  $k$  **se dispersează** în locația  $h(k)$ ; de asemenea vom spune că



**Figura 12.3** Rezolvarea coliziunii prin înlățuire. Fiecare locație din tabela de dispersie  $T[j]$  conține o listă înláțuită a tuturor cheilor a căror valoare de dispersie este  $j$ . De exemplu,  $h(k_1) = h(k_4)$  și  $h(k_5) = h(k_2) = h(k_7)$ .

$h(k)$  este **valoarea de dispersie** a cheii  $k$ . Figura 12.2 ilustrează ideea de bază. Scopul funcțiilor de dispersie este de a reduce domeniul indicilor tabloului care trebuie manipulați. În loc de  $|U|$  valori, va trebui să manipulăm doar  $m$  valori. Cerințele de memorare sunt reduse corespunzător.

Dezavantajul acestei idei frumoase este că două chei se pot dispersa în aceeași locație, adică se produce o **coliziune**. Din fericire, există tehnici eficiente pentru rezolvarea conflictelor create de coliziuni.

Desigur, soluția ideală ar fi să nu existe coliziuni. Putem încerca să atingem acest scop printr-o alegere potrivită a funcției de dispersie  $h$ . O idee este de a-l face pe  $h$  să pară “aleator”, evitând astfel coliziunile sau cel puțin minimizând numărul lor. Termenul de “dispersie”, care evocă imaginea unei fărâmitări și amestecări aleatoare, captează spiritul acestei abordări. (Bineînțeles, o funcție de dispersie  $h$  trebuie să fie deterministă, în sensul că o intrare dată  $k$  trebuie să producă întotdeauna aceeași ieșire  $h(k)$ .) Deoarece  $|U| > m$ , există cu siguranță două chei care să aibă aceeași valoare de dispersie; de aceea, evitarea totală a coliziunilor este imposibilă. Prin urmare, deși o funcție de dispersie “aleatorie”, bine proiectată, poate minimiza numărul coliziunilor, avem în continuare nevoie de o metodă pentru rezolvarea coliziunilor ce apar.

Restul acestei secțiuni prezintă cea mai simplă tehnică de rezolvare a coliziunilor, numită înlățuire. În secțiunea 12.4 se introduce o metodă alternativă de rezolvare a coliziunilor, numită adresare deschisă.

### Rezolvarea coliziunii prin înlățuire

Prin **înlățuire** punem toate elementele ce se dispersează în aceeași locație, într-o listă înláțuită, după cum se arată în figura 12.3. Locația  $j$  conține un pointer către capul listei tuturor elementelor care se dispersează în locația  $j$ ; dacă nu există astfel de elemente, locația  $j$  conține NIL.

Operațiile pentru dicționare sunt ușor de implementat pe o tabelă de dispersie, în cazul în care coliziunile sunt rezolvate prin înlățuire.

**DISPERSIE-CU-INLĂNȚUIRE-INSEREAZĂ( $T, x$ )**  
inserează  $x$  în capul listei  $T[h(\text{cheie}[x])]$

**DISPERSIE-CU-INLĂNȚUIRE-CAUTĂ( $T, k$ )**  
caută un element cu cheia  $k$  în lista  $T[h(k)]$

**DISPERSIE-CU-INLĂNȚUIRE-ȘTERGE( $T, x$ )** indexDispersion-Cu-Inlantuire-Sterge@DISPERSIE-CU-INLĂNȚUIRE-ȘTERGE  
șterge  $x$  din lista  $T[h(\text{cheie}[x])]$

Timpul de execuție pentru inserare în cazul cel mai defavorabil este  $O(1)$ . Pentru căutare, timpul de execuție în cazul cel mai defavorabil este proporțional cu lungimea listei; vom analiza îndeaproape această situație în cele ce urmează. Ștergerea unui element  $x$  poate fi realizată într-un timp  $O(1)$  dacă listele sunt dublu înlănuite. (Dacă listele sunt simplu înlănuite, atunci trebuie întâi să-l găsim pe  $x$  în lista  $T[h(\text{cheie}[x])]$ , astfel încât legătura *next* a predecesorului lui  $x$  să fie modificată corespunzător ca să-l “ocolească” pe  $x$ ; în acest caz, ștergerea și căutarea au în esență același timp de execuție.)

### Analiza dispersiei cu înlănuire

Cât de bine funcționează dispersia prin înlănuire? În particular, cât durează căutarea unui element având o cheie dată?

Fiind dată o tabelă de dispersie  $T$  cu  $m$  locații ce memorează  $n$  elemente, vom defini **factorul de încărcare**  $\alpha$  pentru  $T$  prin  $n/m$ , raport care reprezintă numărul mediu de elemente memorate într-o înlănuire. Analiza noastră se bazează pe  $\alpha$ ; adică, ne imaginăm  $\alpha$  ca fiind fix în timp ce  $n$  și  $m$  tind la infinit. (Se observă că  $\alpha$  poate fi mai mic, egal sau mai mare decât 1.)

Comportamentul, în cazul cel mai defavorabil, al dispersiei prin înlănuire este slabă: toate cele  $n$  chei se dispersează în aceeași locație, creând o listă de lungime  $n$ . Timpul de căutare pentru cazul cel mai defavorabil este astfel  $\Theta(n)$  plus timpul pentru calculul funcției de dispersie – cu nimic mai bun decât în cazul în care am fi folosit o listă înlănuită a tuturor elementelor. Este clar că tabelele de dispersie nu sunt folosite pentru performanța lor în cazul cel mai defavorabil.

Performanța dispersiei în cazul mediu depinde de cât de bine distribuie (în medie) funcția de dispersie  $h$  multimea cheilor ce trebuie memorate în cele  $m$  locații. În secțiunea 12.3 se discută aceste probleme, dar deocamdată vom presupune că orice element se poate dispersa în oricare din cele  $m$  locații cu aceeași probabilitate, independent de locul în care s-au dispersat celelalte elemente. Vom numi această ipoteză de lucru **dispersie uniformă simplă**.

Presupunem că valoarea de dispersie  $h(k)$  poate fi calculată într-un timp  $O(1)$ , astfel încât timpul necesar pentru a căuta un element având cheia  $k$  depinde liniar de lungimea listei  $T[h(k)]$ . Lăsând de o parte timpul  $O(1)$  necesar pentru calculul funcției de dispersie și pentru accesul la locația  $h(k)$ , să luăm în considerare numărul mediu de elemente examineate de algoritmul de căutare, adică, numărul de elemente din lista  $T[h(k)]$  care sunt verificate pentru a vedea dacă cheia lor este egală cu  $k$ . Vom considera două cazuri. În primul caz, căutarea este fără succes: nici un element din tabelă nu are cheia  $k$ . În al doilea caz, căutarea găsește cu succes un element având cheia  $k$ .

**Teorema 12.1** Într-o tabelă de dispersie în care coliziunile sunt rezolvate prin înlănțuire, o căutare fără succes necesită, în medie, un timp  $\Theta(1 + \alpha)$ , în ipoteza dispersiei uniforme simple.

**Demonstrație.** În ipoteza dispersiei uniforme simple, orice cheie  $k$  se poate dispersa cu aceeași probabilitate în oricare din cele  $m$  locații. Astfel, timpul mediu pentru o căutare fără succes, pentru o cheie  $k$ , este timpul mediu pentru căutarea până la coada uneia din cele  $m$  liste. Deci, numărul mediu de elemente examineate într-o căutare fără succes este  $\alpha$  și timpul total necesar (inclusiv timpul pentru calculul lui  $h(k)$ ) este  $\Theta(1 + \alpha)$ . ■

**Teorema 12.2** Într-o tabelă de dispersie în care coliziunile sunt rezolvate prin înlănțuire, o căutare cu succes necesită, în medie, un timp  $\Theta(1 + \alpha)$ , în ipoteza dispersiei uniforme simple.

**Demonstrație.** Presupunem că cheia care este căutată poate fi, cu aceeași probabilitate, oricare din cele  $n$  chei memorate în tabelă. De asemenea, presupunem că procedura DISPERSIE-CU-INLĂNȚUIRE-INSEREAZĂ inserează un nou element la sfârșitul unei liste și nu la începutul ei. (Conform exercițiului 12.2-3, timpul mediu pentru o căutare cu succes este același indiferent dacă noile elemente se inserează la începutul sau la sfârșitul listei.) Numărul mediu de elemente examineate într-o căutare cu succes este cu 1 mai mare decât numărul de elemente examineate în cazul în care elementul căutat a fost inserat (deoarece fiecare nou element se adaugă la sfârșitul listei). În concluzie, pentru a afla numărul mediu de elemente examineate, vom considera media celor  $n$  obiecte din tabelă, ca fiind 1 plus lungimea presupusă a listei în care se adaugă al  $i$ -lea element. Lungimea medie a listei respective este  $(i - 1)/m$  și deci, numărul mediu de elemente examineate într-o căutare cu succes este:

$$\frac{1}{n} \sum_{i=1}^n \left( 1 + \frac{i-1}{m} \right) = 1 + \frac{1}{nm} \sum_{i=1}^n (i-1) = 1 + \left( \frac{1}{nm} \right) \left( \frac{(n-1)n}{2} \right) = 1 + \frac{\alpha}{2} - \frac{1}{2m}.$$

Deci, timpul total necesar unei căutări cu succes (inclusiv timpul pentru calculul funcției de dispersie) este  $\Theta(2 + \alpha/2 - 1/2m) = \Theta(1 + \alpha)$ . ■

Ce semnificație are această analiză? Dacă numărul de locații din tabela de dispersie este cel puțin proporțional cu numărul de elemente din tabelă, avem  $n = O(m)$  și, prin urmare,  $\alpha = n/m = O(m)/m = O(1)$ . Deci, căutarea necesită, în medie, un timp constant. Deoarece inserarea necesită un timp  $O(1)$ , în cazul cel mai defavorabil (vezi exercițiul 12.2-3) iar ștergerea necesită un timp  $O(1)$  în cazul cel mai defavorabil, când listele sunt dublu înlănțuite, toate operațiile pentru dicționare pot fi efectuate în medie într-un timp  $O(1)$ .

## Exerciții

**12.2-1** Presupunând că folosim o funcție de dispersie aleatoare  $h$  pentru a dispersa  $n$  chei distincte într-un tablou  $T$  de dimensiune  $m$ , care este numărul mediu de coliziuni? Mai exact, care este cardinalul probabil al mulțimii  $\{(x, y) : h(x) = h(y)\}$ ?

**12.2-2** Ilustrați inserarea cheilor 5, 28, 19, 15, 20, 33, 12, 17, 10 într-o tabelă de dispersie cu coliziunile rezolvate prin înlănțuire. Tabela are 9 locații, iar funcția de dispersie este  $h(k) = k \bmod 9$ .

**12.2-3** Argumentați că timpul mediu pentru o căutare cu succes prin înlățuire este același indiferent dacă noile elemente se inserează la începutul, respectiv la sfârșitul unei liste. (*Indica ie:* Arătați că timpul mediu pentru o căutare cu succes este același pentru *oricare* două ordine ale unei liste.)

**12.2-4** Profesorul Marley emite ipoteza că se poate îmbunătăți esențial performanța dacă modificăm schema de înlățuire astfel încât fiecare listă să fie păstrată ordonată. În ce mod afectează modificarea profesorului timpul de execuție pentru căutari cu succes, căutări fără succes, inserări și ștergeri?

**12.2-5** Sugerați cum poate fi alocat și dealocat spațiul de gestionare pentru elemente în cadrul tabelei de dispersie prin legarea tuturor locațiilor nefolosite într-o listă liberă. Presupunem că o locație poate memora un “indicator” (engl. *flag*) împreună cu un element și un pointer, sau cu doi pointeri. Toate operațiile pentru dicționare pentru lista liberă trebuie să funcționeze într-un timp  $O(1)$ . Este necesar ca lista liberă să fie dublu înlățuită sau este suficient să fie simplu înlățuită?

**12.2-6** Arătați că dacă  $|U| > nm$ , există o submulțime a lui  $U$  de mărime  $n$  ce conține chei care se dispersează toate în aceeași locație, astfel încât timpul de căutare, pentru dispersie cu înlățuire, în cazul cel mai defavorabil, este  $\Theta(n)$ .

## 12.3. Funcții de dispersie

În această secțiune vom discuta unele aspecte legate de construirea de funcții de dispersie bune, apoi vom prezenta trei scheme pentru crearea lor: dispersia prin diviziune, dispersia prin înmulțire și dispersia universală.

### Ce înseamnă o funcție de dispersie bună?

O funcție de dispersie bună satisface (aproximativ) ipoteza dispersiei uniforme simple: fiecare cheie se poate dispersa cu aceeași probabilitate în oricare dintre cele  $m$  locații. Mai formal, să presupunem că fiecare cheie este aleasă independent din  $U$  conform unei distribuții de probabilitate  $P$ ; deși,  $P(k)$  este probabilitatea de a fi aleasă cheia  $k$ . Atunci ipoteza dispersiei uniforme simple constă în

$$\sum_{k:h(k)=j} P(k) = \frac{1}{m} \text{ pentru } j = 0, 1, \dots, m-1. \quad (12.1)$$

Din păcate, în general, nu este posibilă verificarea acestei condiții, deoarece de regulă distribuția  $P$  nu este cunoscută.

Uneori (relativ rar) distribuția  $P$  este cunoscută. De exemplu, presupunem că se cunoaște faptul că cheile sunt numere reale aleatoare  $k$ , independent și uniform distribuite în intervalul  $0 \leq k < 1$ . În acest caz se poate arăta că funcția de dispersie

$$h(k) = \lfloor km \rfloor$$

satisfac relația (12.1).

În practică, se pot folosi tehnici euristice pentru a crea funcții de dispersie care par a se comporta bine. Informația calitativă despre  $P$  este uneori utilă în procesul de construcție al lor. De exemplu, să considerăm o tabelă de simboluri a unui compilator, în care cheile sunt siruri de caractere arbitrar, reprezentând identificatori dintr-un program. O situație des întâlnită este aceea în care simboluri foarte asemănătoare, ca pt și pts, apar în același program. O funcție de dispersie bună va minimiza posibilitatea ca asemenea variații să se disperze în aceeași locație.

O abordare ușuală este de a obține valoarea de dispersie într-un mod care se vrea independent de orice model sau şablon ce poate exista între date. De exemplu, "metoda diviziunii" (discutată în detaliu mai jos) calculează valoarea de dispersie ca fiind restul împărțirii cheii la un număr prim specificat. În afara cazului în care numărul este într-un fel dependent de şabloanele din distribuția de probabilitate  $P$ , această metodă dă rezultate bune.

În final, să remarcăm faptul că unele aplicații ale funcțiilor de dispersie pot impune proprietăți mai tari decât cele asigurate de dispersia uniformă simplă. De exemplu, am putea dori ca unele chei care sunt "apropiate" într-un anumit sens să producă valori de dispersie care să fie total diferite. (Această proprietate este dorită în special când folosim verificarea liniară, definită în secțiunea 12.4.)

### Interpretarea cheilor ca numere naturale

Majoritatea funcțiilor de dispersie presupun universul cheilor din mulțimea  $\mathbb{N} = \{0, 1, 2, \dots\}$  a numerelor naturale. Astfel, dacă cheile nu sunt numere naturale, trebuie găsită o modalitate pentru a le interpreta ca numere naturale. De exemplu, o cheie care este un sir de caractere poate fi interpretată ca un întreg într-o bază de numerație aleasă convenabil. Prin urmare, identificatorul pt poate fi interpretat ca o pereche de numere zecimale (112, 116), pentru că  $p = 112$  și  $t = 116$  în mulțimea codurilor ASCII; atunci pt exprimat ca un întreg în baza 128 devine  $(112 \cdot 128) + 116 = 14452$ . În mod obișnuit, în orice aplicație se poate crea direct o astfel de metodă simplă de a interpreta fiecare cheie ca un număr natural (posibil mare). În continuare, vom presupune că avem chei numere naturale.

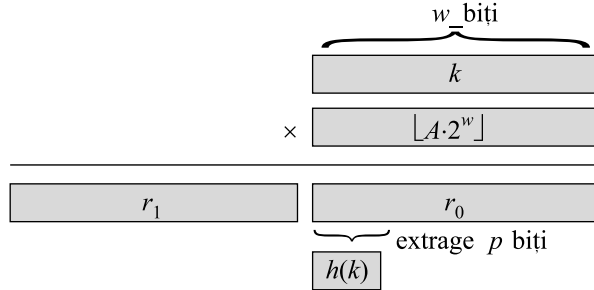
#### 12.3.1. Metoda diviziunii

Prin **metoda diviziunii** pentru crearea funcțiilor de dispersie, transformăm o cheie  $k$  într-o din cele  $m$  locații considerând restul împărțirii lui  $k$  la  $m$ . Prin urmare, funcția de dispersie este

$$h(k) = k \bmod m.$$

De exemplu, dacă tabela de dispersie are dimensiunea  $m = 12$  și cheia este  $k = 100$ , atunci  $h(k) = 4$ . Deoarece necesită doar o singură operație de împărțire, dispersia prin diviziune este rapidă.

Când folosim metoda diviziunii, de obicei evităm anumite valori ale lui  $m$ . De exemplu,  $m$  nu ar trebui să fie o putere a lui 2, pentru că dacă  $m = 2^p$ , atunci  $h(k)$  prezintă doar primii  $p$  biți ai lui  $k$ . În afara cazului în care se cunoaște apriori că distribuția de probabilitate pe chei produce cu aceeași probabilitate oricare dintre şabloanele primilor  $p$  biți, este mai bine să construim funcția de dispersie ca dependentă de toți biții cheii. Puterile lui 10 ar trebui evitate dacă aplicația lucrează cu numere zecimale ca și chei, pentru că în acest caz funcția de dispersie



**Figura 12.4** Metoda înmulțirii pentru dispersie. Reprezentarea pe  $w$  biți a cheii  $k$  este înmulțită cu valoarea pe  $w$  biți  $\lfloor A \cdot 2^w \rfloor$ , unde  $0 < A < 1$  este o constantă aleasă convenabil. Primii  $p$  biți ai celei de a doua jumătăți a produsului, de lungime  $w$  biți, formează valoarea de dispersie  $h(k)$  dorită.

nu depinde de toate cifrele zecimale ale lui  $k$ . În final, se poate arăta că dacă  $m = 2^p - 1$  și  $k$  este un șir de caractere interpretat în baza  $2^p$ , două șiruri de caractere care sunt identice, exceptând o transpoziție a două caractere adiacente, se vor dispersa în aceeași valoare.

Valori bune pentru  $m$  sunt numerele prime nu prea apropiate de puterile exacte ale lui 2. De exemplu, să presupunem că dorim să alocăm o tabelă de dispersie, cu coliziunile rezolvate prin înlățuire, pentru a reține aproximativ  $n = 2000$  șiruri de caractere, unde un caracter are 8 biți. Nu ne deranjează să examinăm în medie 3 elemente într-o căutare fără succes, deci vom aloca o tabelă de dispersie de dimensiune  $m = 701$ . Numărul 701 este ales pentru că este un număr prim apropiat de  $2000/3$ , dar nu este apropiat de nici o putere a lui 2. Tratând fiecare cheie  $k$  ca un întreg, funcția noastră de dispersie va fi

$$h(k) = k \bmod 701.$$

Ca o măsură de precauție, putem să verificăm cât de uniform distribuie această funcție de dispersie mulțimi de chei în locații, unde cheile sunt alese din date “reale”.

### 12.3.2. Metoda înmulțirii

**Metoda înmulțirii** pentru crearea de funcții de dispersie operează în doi pași. În primul pas, înmulțim cheia  $k$  cu o constantă  $A$  din intervalul  $0 < A < 1$  și extragem partea fracționară a lui  $kA$ . Apoi, înmulțim această valoare cu  $m$  și considerăm partea întreagă inferioară a rezultatului. Pe scurt, funcția de dispersie este

$$h(k) = \lfloor m(kA \bmod 1) \rfloor,$$

unde “ $kA \bmod 1$ ” înseamnă partea fracționară a lui  $kA$ , adică,  $kA - \lfloor kA \rfloor$ .

Un avantaj al metodei înmulțirii este că valoarea lui  $m$  nu este critică. De obicei o alegem ca fiind o putere a lui  $2 - m = 2^p$  pentru un întreg  $p$  – pentru că atunci putem implementa funcția pe majoritatea calculatoarelor după cum urmează. Să presupunem că lungimea cuvântului mașinii este de  $w$  biți și că  $k$  încapă pe un singur cuvânt. Referindu-ne la figura 12.4, înmulțim întâi  $k$  cu întregul pe  $w$  biți  $\lfloor A \cdot 2^w \rfloor$ . Rezultatul este o valoare pe  $2w$  biți  $r_1 2^w + r_0$ , unde  $r_1$  este primul cuvânt al produsului și  $r_0$  este al doilea cuvânt al produsului. Valoarea de dispersie de  $p$  biți dorită constă din cei mai semnificativi  $p$  biți ai lui  $r_0$ .

Deși această metodă funcționează cu orice valoare a constantei  $A$ , ea lucrează mai bine cu anumite valori decât cu altele. Alegerea optimă depinde de caracteristicile datelor care sunt disperseate. Knuth [123] discută alegerea lui  $A$  în detaliu și sugerează că

$$A = (\sqrt{5} - 1)/2 \approx 0.6180339887... \quad (12.2)$$

se va comporta relativ bine.

De exemplu, dacă avem  $k = 123456, m = 10000$  și  $A$  din relația (12.2), atunci

$$\begin{aligned} h(k) &= \lfloor 10000 \cdot (123456 \cdot 0.61803... \bmod 1) \rfloor = \lfloor 10000 \cdot (76300.0041151... \bmod 1) \rfloor = \\ &= \lfloor 10000 \cdot 0.0041151... \rfloor = \lfloor 41.151... \rfloor = 41. \end{aligned}$$

### 12.3.3. Dispersia universală

Dacă cheile ce se dispersează sunt alese de un adversar malițios, atunci el poate alege  $n$  chei care toate se vor dispersa în aceeași locație, rezultând un timp mediu de acces  $\Theta(n)$ . În cazul cel mai defavorabil, orice funcție de dispersie fixată este vulnerabilă la acest tip de comportament; singura modalitate eficientă de a îmbunătăți această situație este de a alege funcția de dispersie în mod *aleator* astfel încât alegerea să fie *independent* de cheile care se vor memora. Această abordare, numită **dispersie universală**, produce în medie o performanță bună, indiferent de ce chei sunt alese de către adversar.

Ideea care stă la baza dispersiei universale este de a selecta funcția de dispersie în mod aleator în momentul execuției dintr-o clasă de funcții construită cu atenție. Ca și în cazul sortării rapide, randomizarea asigură că nici o intrare nu va produce comportamentul în cazul cel mai defavorabil. Datorită randomizării, algoritmul se poate comporta diferit la fiecare execuție, chiar pentru o aceeași intrare. Această abordare asigură o performanță bună pentru cazul mediu, indiferent de cheile care sunt date ca intrare. Revenind la exemplul cu tabela de simboluri a unui compilator, descoperim că alegerea identificatorilor de către programator nu poate cauza, din punct de vedere al consistenței, performanțe slabe la dispersie. Performanța slabă apare doar atunci când compilatorul alege o funcție de dispersie aleatoare care provoacă o dispersie slabă a mulțimii identificatorilor, dar probabilitatea ca această situație să apară este mică și este aceeași pentru orice mulțime de identificatori de aceeași mărime.

Fie  $\mathcal{H}$  o colecție finită de funcții de dispersie care transformă un univers dat  $U$  al cheilor, în domeniul  $\{0, 1, \dots, m-1\}$ . O astfel de colecție se numește **universală** dacă pentru fiecare pereche de chei distințe  $x, y \in U$ , numărul de funcții de dispersie  $h \in \mathcal{H}$  pentru care  $h(x) = h(y)$  este exact  $|\mathcal{H}|/m$ . Cu alte cuvinte, cu o funcție de dispersie aleasă aleator din  $\mathcal{H}$ , șansa unei coliziuni între  $x$  și  $y$  când  $x \neq y$  este exact  $1/m$ , care este exact șansa unei coliziuni dacă  $h(x)$  și  $h(y)$  sunt alese aleator din mulțimea  $\{0, 1, \dots, m-1\}$ .

Următoarea teoremă arată că o clasă universală de funcții de dispersie dă un comportament bun în cazul mediu.

**Teorema 12.3** Dacă  $h$  este aleasă dintr-o colecție universală de funcții de dispersie și este folosită pentru a dispersa  $n$  chei într-o tabelă de dimensiune  $m$ , unde  $n \leq m$ , numărul mediu de coliziuni în care este implicată o cheie particulară  $x$ , este mai mic decât 1.

**Demonstrație.** Pentru fiecare pereche  $y, z$  de chei distințe, fie  $c_{yz}$  variabila aleatoare care are valoarea 1 dacă  $h(y) = h(z)$  (adică, dacă  $y$  și  $z$  sunt în coliziune folosind  $h$ ) și 0 în caz contrar.

Deoarece, prin definiție, o singură pereche de chei sunt în coliziune cu probabilitatea  $1/m$ , avem

$$E[c_{yz}] = 1/m.$$

Fie  $C_x$  numărul total de coliziuni în care este implicată cheia  $x$  dintr-o tabelă de dispersie  $T$  de dimensiune  $m$  conținând  $n$  chei. Din relația (6.24) obținem

$$E[C_x] = \sum_{\substack{y \in T \\ y \neq x}} E[c_{xy}] = \frac{n-1}{m}.$$

Deoarece  $n \leq m$ , obținem  $E[C_x] < 1$ . ■

Dar cât de ușor este să construim o clasă universală de funcții de dispersie? Este relativ ușor, după cum se poate demonstra folosind unele cunoștințe din teoria numerelor. Să alegem dimensiunea  $m$  a tabelei noastre ca fiind număr prim (ca și în metoda diviziunii). Descompunem o cheie  $x$  în  $r+1$  octeți (de exemplu, caractere sau subșiruri binare de caractere de lungime fixă), astfel încât  $x = \langle x_0, x_1, \dots, x_r \rangle$ ; singura cerință este ca valoarea maximă a unui octet să fie mai mică decât  $m$ . Notăm prin  $a = \langle a_0, a_1, \dots, a_r \rangle$  un sir de  $r+1$  elemente aleator din multimea  $\{0, 1, \dots, m-1\}$ . Definim o funcție de dispersie corespunzătoare  $h_a \in \mathcal{H}$  astfel:

$$h_a(x) = \sum_{i=0}^r a_i x_i \pmod{m}. \quad (12.3)$$

Cu această definiție,

$$\mathcal{H} = \bigcup_a \{h_a\}. \quad (12.4)$$

are  $m^{r+1}$  elemente.

**Teorema 12.4** Clasa  $\mathcal{H}$  definită de relațiile (12.3) și (12.4) este o clasă universală de funcții de dispersie.

**Demonstrație.** Considerăm o pereche oarecare de chei distincte  $x$  și  $y$ . Presupunem că  $x_0 \neq y_0$ . (O argumentație similară se poate face pentru diferența dintre oricare alte poziții ale octetelor.) Pentru orice valori fixe ale lui  $a_1, a_2, \dots, a_r$  există exact o valoare a lui  $a_0$  care satisfac ecuația  $h(x) = h(y)$ ; acest  $a_0$  este soluția ecuației

$$a_0(x_0 - y_0) \equiv - \sum_{i=1}^r a_i(x_i - y_i) \pmod{m}.$$

Pentru a observa această proprietate să remarcăm faptul că deoarece  $m$  este prim, cantitatea nenulă  $x_0 - y_0$  are un invers față de înmulțirea modulo  $m$  și astfel există o soluție unică pentru  $a_0$  modulo  $m$ . (Vezi secțiunea 33.4.) Prin urmare, fiecare pereche de chei  $x$  și  $y$  este în coliziune pentru exact  $m^r$  valori ale lui  $a$ , deoarece ea este în coliziune exact o dată pentru fiecare valoare posibilă a lui  $\langle a_1, a_2, \dots, a_r \rangle$  (de exemplu, pentru valoarea unică a lui  $a_0$  observată mai sus). Deoarece există  $m^{r+1}$  valori posibile pentru secvența  $a$ , cheile  $x$  și  $y$  sunt în coliziune exact cu probabilitatea  $m^r/m^{r+1} = 1/m$ . În concluzie,  $\mathcal{H}$  este universală. ■

## Exerciții

**12.3-1** Presupunem că dorim să efectuăm o căutare într-o listă înlănțuită de lungime  $n$ , în care fiecare element conține o cheie  $k$  împreună cu o valoare de dispersie  $h(k)$ . Fiecare cheie este un sir lung de caractere. Cum putem profita de valorile de dispersie când căutăm în listă un element cu o cheie dată?

**12.3-2** Presupunem că un sir de  $r$  caractere este dispersat pe  $m$  poziții, fiind considerat ca număr în baza 128, căruia i se aplică metoda diviziunii. Numărul  $m$  este ușor de reprezentat în memorie ca un cuvânt pe 32 de biți, dar sirul de  $r$  caractere, tratat ca un număr în baza 128, necesită multe cuvinte. Cum putem aplica metoda diviziunii pentru a calcula valoarea de dispersie a sirului de caractere fără a folosi mai mult decât un număr suplimentar constant de cuvinte de memorie în afară de sirul propriu-zis?

**12.3-3** Se consideră o versiune a metodei diviziunii în care  $h(k) = k \bmod m$ , unde  $m = 2^p - 1$  și  $k$  este un sir de caractere interpretat în baza  $2^p$ . Arătați că dacă sirul de caractere  $x$  poate fi obținut din sirul de caractere  $y$  prin permutări de caractere, atunci  $x$  și  $y$  se dispersează în aceeași valoare. Dați un exemplu de aplicație în care această proprietate nu este dorită pentru o funcție de dispersie.

**12.3-4** Se consideră o tabelă de dispersie de dimensiune  $m = 1000$  și funcția de dispersie  $h(k) = \lfloor m(kA \bmod 1) \rfloor$  pentru  $A = (\sqrt{5} - 1)/2$ . Calculați locațiile în care se pun cheile 61, 62, 63, 64, și 65.

**12.3-5** Arătați că dacă punem restricția ca fiecare componentă  $a_i$  din  $a$  din relația (12.3) să fie nenulă, atunci mulțimea  $\mathcal{H} = \{h_a\}$  definită ca în relația (12.4) nu este universală. (*Indica ie:* Se consideră cheile  $x = 0$  și  $y = 1$ .)

## 12.4. Adresarea deschisă

Prin **adresare deschisă**, toate elementele sunt memorate în interiorul tăbelei de dispersie. Prin urmare, fiecare intrare în tabelă conține fie un element al mulțimii dinamice, fie NIL. Când căutăm un element, vom examina sistematic locațiile tăbelei fie până când este găsit elementul dorit, fie până când este clar că elementul nu este în tabelă. Nu există liste sau elemente memorate în afara tăbelei, aşa cum se întâmplă în cazul înlănțuirii. Prin urmare, prin adresare deschisă, tăbela de dispersie se poate “umple” astfel încât nici o inserare nu mai este posibilă; factorul de încărcare  $\alpha$  nu poate depăși niciodată valoarea 1.

Desigur, am putea memora listele înlănțuite pentru a crea legăturile în cadrul tăbelei de dispersie, în locațiile altfel neutilizate ale acesteia (vezi exercițiul 12.2-5), dar avantajul adresării deschise este că evită total folosirea pointerilor. Secvența de locații care se examinează nu se determină folosind pointerii, ci se calculează. Spațiul de memorie suplimentar, eliberat prin faptul că nu memorăm pointerii, oferă tăbelei de dispersie un număr mai mare de locații pentru același spațiu de memorie, putând rezulta coliziuni mai puține și acces mai rapid.

Pentru a realiza inserarea folosind adresarea deschisă, examinăm succesiv sau **verificăm** tăbela de dispersie până când găsim o locație liberă în care să punem cheia. În loc să fie fixat în ordinea  $0, 1, \dots, m - 1$  (care necesită un timp de căutare  $\Theta(n)$ ), sirul de poziții examineate

depinde de cheia ce se inserează. Pentru a determina ce locații sunt verificate, extindem funcția de dispersie astfel încât ea să includă și numărul de verificare (începând de la 0) ca un al doilea argument. Astfel, funcția de dispersie devine

$$h : U \times \{0, 1, \dots, m - 1\} \rightarrow \{0, 1, \dots, m - 1\}.$$

În cadrul adresării deschise, cerem ca pentru fiecare cheie  $k$ , **secvența de verificare**

$$\langle h(k, 0), h(k, 1), \dots, h(k, m - 1) \rangle$$

să fie o permutare a lui  $\langle 0, 1, \dots, m - 1 \rangle$ , astfel încât fiecare poziție din tabela de dispersie să fie considerată ca o eventuală locație pentru o nouă cheie pe măsură ce se umple tabela. În algoritmul următor, presupunem că elementele din tabela de dispersie  $T$  sunt chei, fără informații adiționale; cheia  $k$  este identică cu elementul care conține cheia  $k$ . Fiecare locație conține fie o cheie, fie NIL (dacă locația este liberă).

**DISPERSIE-INSEREAZĂ**( $T, k$ )

- 1:  $i \leftarrow 0$
- 2: **repetă**
- 3:    $j \leftarrow h(k, i)$
- 4:   **dacă**  $T[j] = \text{NIL}$  **atunci**
- 5:      $T[j] \leftarrow k$
- 6:     **returnează**  $j$
- 7:   **altfel**
- 8:      $i \leftarrow i + 1$
- 9: **până când**  $i = m$
- 10: **eroare** “depășire tabela de dispersie”

Algoritmul pentru căutarea unei chei  $k$  examinează aceeași secvență de locații pe care o folosește și algoritmul de inserare atunci când s-a inserat cheia  $k$ . Prin urmare, căutarea se poate termina (fără succes) când se întâlnește o locație liberă, pentru că  $k$  ar fi fost inserat în acea locație și nu mai încolo în secvența de verificare. (Se observă că această argumentație presupune că o dată introduse, cheile nu mai sunt sterse din tabela de dispersie.) Procedura **DISPERSIE-CAUTĂ** are ca intrare o tabelă de dispersie  $T$  și o cheie  $k$  și returnează  $j$  dacă locația  $j$  conține cheia  $k$  sau NIL dacă cheia  $k$  nu există în tabela  $T$ .

**DISPERSIE-CAUTĂ**( $T, k$ )

- 1:  $i \leftarrow 0$
- 2: **repetă**
- 3:    $j \leftarrow h(k, i)$
- 4:   **dacă**  $T[j] = k$  **atunci**
- 5:     **returnează**  $j$
- 6:      $i \leftarrow i + 1$
- 7: **până când**  $T[j] = \text{NIL}$  **sau**  $i = m$
- 8: **returnează** NIL

Ștergerea dintr-o tabelă de dispersie cu adresare deschisă este dificilă. Când ștergem o cheie dintr-o locație  $i$ , nu putem marca pur și simplu acea locație ca fiind liberă memorând în ea

valoarea NIL. Procedând astfel, va fi imposibil să accesăm orice cheie  $k$  a cărei inserare a verificat locația  $i$  și a găsit-o ocupată. O soluție este de a marca locația, memorând în ea valoarea specială řTERS în loc de NIL. Apoi vom modifica procedura DISPERSIE-INSEREAZĂ astfel încât să trateze astfel de locații ca și când ar fi libere, astfel încât o nouă cheie să poată fi inserată. Nu este necesară nici o modificare în DISPERSIE-CAUTĂ, deoarece va trece peste valorile řTERS în timpul căutării. Procedând astfel, timpii de căutare nu mai depind de factorul de încărcare  $\alpha$  și din acest motiv în cazul în care cheile trebuie șterse, se preferă, în mod uzual, înlănțuirea ca tehnică de rezolvare a coliziunilor.

În analiza noastră, folosim ipoteza *dispersiei uniforme*: presupunem că fiecare cheie considerată poate avea, cu aceeași probabilitate, oricare dintre cele  $m!$  permutări ale mulțimii  $\{0, 1, \dots, m - 1\}$  ca secvență de verificare. Dispersia uniformă generalizează noțiunea de dispersie uniformă simplă, definită anterior, pentru situația în care funcția de dispersie produce nu doar un singur număr, ci o întreagă secvență de verificare. Oricum, dispersia uniformă reală este dificil de implementat și în practică sunt folosite aproximări convenabile (ca dispersia dublă, definită mai târziu).

În mod obișnuit sunt utilizate trei tehnici pentru a calcula secvențele de verificare necesare adresării deschise: verificarea liniară, verificarea pătratică și dispersia dublă. Toate aceste tehnici garantează că  $\langle h(k, 0), h(k, 1), \dots, h(k, m - 1) \rangle$  este o permutare a lui  $\langle 0, 1, \dots, m - 1 \rangle$  pentru fiecare cheie  $k$ . Nici una din aceste tehnici nu satisface condiția dispersiei uniforme, pentru că nici una dintre ele nu e capabilă să genereze mai mult de  $m^2$  secvențe de verificare diferite (în loc de  $m!$  cât cere dispersia uniformă). Dispersia dublă are cel mai mare număr de secvențe de verificare și, după cum era de așteptat, dă cele mai bune rezultate.

## Verificarea liniară

Fiind dată o funcție de dispersie ordinară  $h' : U \rightarrow \{0, 1, \dots, m - 1\}$ , metoda *verificării liniare* folosește funcția de dispersie

$$h(k, i) = (h'(k) + i) \bmod m$$

pentru  $i = 0, 1, \dots, m - 1$ . Fiind dată o cheie  $k$ , prima locație examinată (verificată) este  $T[h'(k)]$ . Apoi examinăm locația  $T[h'(k) + 1]$  și aşa mai departe până la locația  $T[m - 1]$ . Apoi continuăm circular cu locațiile  $T[0], T[1], \dots$ , până când, în final, verificăm locația  $T[h'(k) - 1]$ . Deoarece poziția de start a verificării determină întreaga secvență de verificare liniară, prin care sunt folosite doar  $m$  secvențe de verificări distințe.

Verificarea liniară este ușor de implementat, dar apare o problemă cunoscută sub numele de *grupare primară*. În acest caz se formează siruri lungi de locații ocupate, crescând timpul mediu de căutare. De exemplu, dacă avem  $n = m/2$  chei într-o tabelă, în care fiecare locație de indice par este ocupată și fiecare locație de indice impar este liberă, atunci căutarea fără succes necesită, 1,5 verificări în cazul mediu. Dacă primele  $n = m/2$  locații sunt cele ocupate, numărul mediu de verificări crește la aproximativ  $n/4 = m/8$ . Grupările au probabilitate mare de apariție, pentru că dacă o locație liberă este precedată de  $i$  locații ocupate, atunci probabilitatea ca locația liberă să fie următoarea completată este  $(i + 1)/m$ , comparativ cu probabilitatea de  $1/m$  pentru cazul în care locația precedentă ar fi fost liberă. Prin urmare, sirurile de locații ocupate tind să se lungească și verificarea liniară nu este o aproximare foarte bună a dispersiei uniforme.

## Verificarea pătratică

*Verificarea pătratică* folosește o funcție de dispersie de forma

$$h(k, i) = (h'(k) + c_1 i + c_2 i^2) \bmod m, \quad (12.5)$$

unde (ca și în cazul verificării liniare)  $h'$  este o funcție de dispersie auxiliară,  $c_1$  și  $c_2 \neq 0$  sunt constante auxiliare și  $i = 0, 1, \dots, m - 1$ . Poziția verificată inițial este  $T[h'(k)]$ ; următoarele poziții examinate sunt decalate cu cantități ce depind într-o manieră pătratică de numărul de verificare  $i$ . Această metodă lucrează mult mai bine decât verificarea liniară, dar pentru a folosi integral tabela de dispersie valorile lui  $c_1, c_2$  și  $m$  trebuie determinate corespunzător. Problema 12-4 ilustrează o modalitate de determinare a acestor parametri. De asemenea, dacă două chei au aceeași poziție de start a verificării, atunci secvențele lor de verificare coincid, pentru că  $h(k_1, 0) = h(k_2, 0)$  implică  $h(k_1, i) = h(k_2, i)$ . Această situație conduce la o formă mai ușoară de grupare, numită **grupare secundară**. Ca și în cazul verificării liniare, verificarea inițială determină întreaga secvență, deci sunt folosite doar  $m$  secvențe de verificare distincte.

## Dispersia dublă

dispersia dublă este una dintre cele mai bune metode disponibile pentru adresarea deschisă, deoarece permutările produse au multe din caracteristicile permutărilor aleator. **dispersia dublă** folosește o funcție de dispersie de forma

$$h(k, i) = (h_1(k) + i h_2(k)) \bmod m,$$

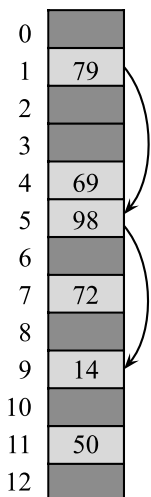
unde  $h_1$  și  $h_2$  sunt funcții de dispersie auxiliare. Poziția examinată inițial este  $T[h_1(k)]$ ; pozițiile succesive de verificare sunt decalate față de pozițiile anterioare cu  $h_2(k)$  modulo  $m$ . Astfel, contrar situației de verificarea liniară sau pătratică, în acest caz secvența de verificare depinde în două moduri de cheia  $k$ , pentru că fie poziția inițială de verificare, fie decalajul, fie amândouă pot varia. Figura 12.5 ilustrează un exemplu de inserare prin dispersie dublă.

Valoarea  $h_2(k)$  și dimensiunea tabelei de dispersie  $m$  trebuie să fie prime între ele pentru a fi parcursă întreaga tabelă de dispersie. În caz contrar, dacă  $m$  și  $h_2(k)$  au un cel mai mare divizor comun  $d > 1$  pentru o cheie  $k$ , atunci o căutare pentru cheia  $k$  va examina doar a  $(1/d)$ -a parte din tabela de dispersie. (Vezi capitolul 33.) O modalitate convenabilă de a asigura această condiție este de a avea un număr  $m$  ca o putere a lui 2 și de a construi  $h_2$  astfel încât să producă întotdeauna un număr impar. O altă modalitate este de a avea  $m$  prim și de a construi  $h_2$  astfel încât să returneze întotdeauna un întreg pozitiv mai mic decât  $m$ . De exemplu, putem alege  $m$  prim și

$$\begin{aligned} h_1(k) &= k \bmod m, \\ h_2(k) &= 1 + (k \bmod m'), \end{aligned}$$

unde  $m'$  este ales să fie un pic mai mic decât  $m$  (să zicem  $m - 1$  sau  $m - 2$ ). De exemplu, dacă  $k = 123456, m = 701$  și  $m' = 700$ , avem  $h_1(k) = 80$  și  $h_2(k) = 257$ , deci prima verificare se află la poziția 80 și fiecare a 257-a locație (modulo  $m$ ) este examinată până când cheia este găsită sau a fost examinată toată tabela.

dispersia dublă reprezintă o îmbunătățire față de verificarea liniară sau pătratică în sensul că sunt folosite  $\Theta(m^2)$  secvențe de verificare, față de  $\Theta(m)$ , pentru că fiecare pereche posibilă  $(h_1(k), h_2(k))$  produce o secvență de verificare distinctă și când cheia variază, poziția inițială



**Figura 12.5** Inserarea prin dispersie dublă. Avem o tabelă de dispersie de dimensiune 13, cu  $h_1(k) = k \bmod 13$  și  $h_2(k) = 1 + (k \bmod 11)$ . Deoarece  $14 \equiv 1 \bmod 13$  și  $14 \equiv 3 \bmod 11$ , cheia 14 va fi inserată în locația liberă 9, după ce locațiile 1 și 5 au fost examinate și găsite ca fiind deja ocupate.

a verificării  $h_1(k)$  și decalajul  $h_2(k)$  pot varia independent. Ca rezultat, performanța dispersiei duble apare ca fiind foarte apropiată de performanța schemei “ideale” a dispersiei uniforme.

### Analiza dispersiei cu adresare deschisă

Analiza noastră pentru adresarea deschisă, este, ca și analiza pentru înlănțuire, exprimată în termenii factorului de încărcare  $\alpha$  al tablei de dispersie, când  $n$  și  $m$  tind spre infinit. Să reamintim că dacă sunt memorate  $n$  elemente într-o tabelă cu  $m$  locații, numărul mediu de elemente pe locație este  $\alpha = n/m$ . Desigur, prin adresare deschisă, avem cel mult un element într-o locație și, prin urmare,  $n \leq m$ , ceea ce implică  $\alpha \leq 1$ .

Presupunem că este folosită dispersia uniformă. În această schemă idealizată, secvența de verificare  $\langle h(k, 0), h(k, 1), \dots, h(k, m - 1) \rangle$  pentru orice cheie  $k$  poate să apară sub forma oricărei permutări a mulțimii  $\{0, 1, \dots, m - 1\}$ . Aceasta înseamnă că fiecare secvență de verificare posibilă poate fi folosită ca secvență de verificare pentru o inserare sau o căutare. Desigur, o cheie dată are o secvență de verificare unică, fixă, asociată ei; considerând distribuția de probabilitate pe spațiul cheilor și operația funcției de dispersie pe chei, fiecare secvență de verificare posibilă are aceeași probabilitate de apariție.

Analizăm acum numărul mediu de verificări pentru dispersia cu adresare deschisă, în ipoteza dispersiei uniforme și începem cu o analiză a numărului de verificări ce apar într-o căutare fără succes.

**Teorema 12.5** Fiind dată o tabelă de dispersie cu adresare deschisă cu factorul de încărcare  $\alpha = n/m < 1$ , în ipoteza dispersiei uniforme, numărul mediu de verificări dintr-o căutare fără succes este cel mult  $1/(1 - \alpha)$ .

**Demonstratie.** Într-o căutare fără succes, fiecare verificare, cu excepția ultimei, accesează o

locație ocupată care nu conține cheia dorită, iar ultima locație examinată este liberă. Definim

$$p_i = \Pr \{ \text{exact } i \text{ verificări acceseză locațiile ocupate} \}$$

pentru  $i = 0, 1, 2, \dots$ . Pentru  $i > n$ , avem  $p_i = 0$ , pentru că putem găsi cel mult  $n$  locații deja ocupate. Astfel, numărul mediu de verificări este

$$1 + \sum_{i=1}^{\infty} ip_i \quad (12.6)$$

Pentru a evalua relația (12.6), definim

$$q_i = \Pr \{ \text{cel puțin } i \text{ verificări acceseză locațiile ocupate} \}$$

pentru  $i = 0, 1, 2, \dots$ . Apoi putem folosi identitatea (6.28):

$$\sum_{i=1}^{\infty} ip_i = \sum_{i=1}^{\infty} q_i .$$

Care este valoarea lui  $q_i$  pentru  $i \geq 1$ ? Probabilitatea ca prima verificare să acceseeze o locație ocupată este  $n/m$ ; prin urmare,

$$q_1 = \frac{n}{m} .$$

Prin dispersie uniformă, a doua verificare, în cazul în care este necesară, va fi la una din cele  $m - 1$  locații rămase neverificate, din care  $n - 1$  sunt ocupate. Facem a doua verificare doar dacă prima verificare acceseză o locație ocupată; prin urmare,

$$q_2 = \left( \frac{n}{m} \right) \left( \frac{n-1}{m-1} \right) .$$

În general, a  $i$ -a verificare este necesară doar dacă primele  $i - 1$  verificări acceseză locații ocupate și locația examinată este cu aceeași probabilitate oricare dintre cele  $m - i + 1$  locații rămase, din care  $n - i + 1$  sunt ocupate. Deci,

$$q_i = \left( \frac{n}{m} \right) \left( \frac{n-1}{m-1} \right) \cdots \left( \frac{n-i+1}{m-i+1} \right) \leq \left( \frac{n}{m} \right)^i = \alpha^i$$

pentru  $i = 1, 2, \dots, n$ , pentru că  $(n - j)/(m - j) \leq n/m$  dacă  $n \leq m$  și  $j \geq 0$ . După  $n$  verificări, toate cele  $n$  locații ocupate au fost vizitate și nu vor fi verificate din nou și astfel  $q_i = 0$  pentru  $i > n$ .

Acum se poate evalua relația (12.6). Presupunând  $\alpha < 1$ , numărul mediu de verificări într-o căutare fără succes este

$$1 + \sum_{i=0}^{\infty} ip_i = 1 + \sum_{i=1}^{\infty} q_i \leq 1 + \alpha + \alpha^2 + \alpha^3 + \dots = \frac{1}{1 - \alpha} . \quad (12.7)$$

Relația (12.7) are o interpretare intuitivă: prima verificare se face întotdeauna, a doua verificare este necesară cu o probabilitate aproximativ egală cu  $\alpha$ , a treia verificare este necesară cu o probabilitate aproximativ egală cu  $\alpha^2$  și aşa mai departe. ■

Dacă  $\alpha$  este o constantă, teorema 12.5 prognosează faptul că o căutare fără succes necesită un timp  $O(1)$ . De exemplu, dacă tabela de dispersie este pe jumătate plină, numărul mediu de verificări într-o căutare fără succes este cel mult  $1/(1 - .5) = 2$ . Dacă este 90% ocupată, numărul mediu de verificări este cel mult  $1/(1 - .9) = 10$ .

Teorema 12.5 ne dă, aproape imediat, performanța procedurii DISPERIE-INSEREAZĂ.

**Corolarul 12.6** Inserarea unui element într-o tabelă de dispersie cu adresare deschisă, cu factorul de încărcare  $\alpha$  necesită, în cazul mediu, cel mult  $1/(1 - \alpha)$  verificări, în ipoteza dispersiei uniforme.

**Demonstratie.** Un element este inserat doar dacă există spațiu în tabelă și, deci,  $\alpha < 1$ . Inserarea unei chei necesită o căutare fără succes, urmată de o plasare a cheii în prima locație găsită liberă. Prin urmare, numărul mediu de verificări este cel mult  $1/(1 - \alpha)$ . ■

Calculul numărului mediu de verificări pentru o căutare cu succes necesită un pic mai mult de lucru.

**Teorema 12.7** Fiind dată o tabelă de dispersie cu adresare deschisă, cu factorul de încărcare  $\alpha < 1$ , numărul mediu de verificări într-o căutare cu succes este cel mult

$$\frac{1}{\alpha} \ln \frac{1}{1 - \alpha},$$

în ipoteza dispersiei uniforme și presupunând că fiecare cheie din tabelă este căutată cu aceeași probabilitate.

**Demonstratie.** O căutare pentru o cheie  $k$  urmează aceeași secvență de verificare ce a fost urmată când elementul având cheia  $k$  a fost inserat. Conform corolarului 12.6, dacă  $k$  a fost a  $i + 1$ -a cheie inserată în tabela de dispersie, numărul mediu de verificări făcute într-o căutare a lui  $k$  este cel mult  $1/(1 - i/m) = m(m - i)$ . Calculând media peste toate cele  $n$  chei din tabela de dispersie, obținem numărul mediu de verificări dintr-o căutare cu succes:

$$\frac{1}{n} \sum_{i=0}^{n-1} \frac{m}{m-i} = \frac{m}{n} \sum_{i=0}^{n-1} \frac{1}{m-i} = \frac{1}{\alpha} (H_m - H_{m-n}),$$

unde  $H_i = \sum_{j=1}^i 1/j$  este al  $i$ -lea număr armonic (definit ca în relația (3.5)). Folosind marginile  $\ln i \leq H_i \leq \ln i + 1$  din relațiile (3.11) și (3.12), obținem

$$\begin{aligned} \frac{1}{\alpha} (H_m - H_{m-n}) &= \frac{1}{\alpha} \sum_{k=m-n+1}^m 1/k \leq \frac{1}{\alpha} \int_{m-n}^m (1/x) dx \\ &= \frac{1}{\alpha} \ln(m/(m-n)) = \frac{1}{\alpha} \ln(1/(1 - \alpha)) \end{aligned}$$

ca mărginire pentru numărul mediu de verificări într-o căutare cu succes. ■

Dacă tabela de dispersie este pe jumătate ocupată, numărul mediu de verificări într-o căutare cu succes este mai mic decât 1,387. Dacă tabela de dispersie este 90% ocupată, numărul mediu de verificări este mai mic decât 2,559.

## Exerciții

**12.4-1** Se consideră că se inserează cheile 10, 22, 31, 4, 15, 28, 17, 88, 59 într-o tabelă de dispersie de lungime  $m = 11$  folosind adresarea deschisă cu funcția primară de dispersie  $h'(k) = k \bmod m$ . Ilustrați rezultatul inserării acestor chei folosind verificarea liniară, verificarea pătratică cu  $c_1 = 1$  și  $c_2 = 3$  și folosind dispersia dublă cu  $h_2(k) = 1 + (k \bmod (m - 1))$ .

**12.4-2** Scrieți un algoritm în pseudocod pentru DISPERSIE-ȘTERGE după descrierea din text și modificați DISPERSIE-INSEREAZĂ și DISPERSIE-CAUTĂ pentru a încorpora valoarea specială ȘTERS.

**12.4-3 \*** Să presupunem că folosim dispersia dublă pentru a rezolva coliziunile; mai exact, folosim funcția de dispersie  $h(k, i) = (h_1(k) + ih_2(k)) \bmod m$ . Arătați că secvența de verificare  $\langle h(k, 0), h(k, 1), \dots, h(k, m - 1) \rangle$  este o permutare a secvenței de locații  $\langle 0, 1, \dots, m - 1 \rangle$  dacă și numai dacă  $h_2(k)$  este relativ prim cu  $m$ . (*Indica ie:* Vezi capitolul 33.)

**12.4-4** Se consideră o tabelă de dispersie cu adresare deschisă și cu dispersie uniformă și factorul de încărcare  $\alpha = 1/2$ . Dați margini superioare pentru numărul mediu de verificări într-o căutare fără succes și pentru numărul mediu de verificări într-o căutare cu succes. Care este numărul mediu de verificări într-o căutare cu succes? Repetați calculele pentru factorii de încărcare  $3/4$  și  $7/8$ .

**12.4-5 \*** Să presupunem că inserăm  $n$  chei într-o tabelă de dispersie de dimensiune  $m$  folosind adresarea deschisă și dispersia uniformă. Notăm  $cup(n, m)$  probabilitatea de a nu apărea nici o coliziune. Arătați că  $p(n, m) \leq e^{-n(n-1)/2m}$ . (*Indica ie:* Vezi relația (2.7).) Argumentați că atunci când  $n$  depășește  $\sqrt{m}$ , probabilitatea evitării coliziunilor descrește rapid către zero.

**12.4-6 \*** Se consideră o tabelă de dispersie cu adresare deschisă având factorul de încărcare  $\alpha$ . Determinați acea valoare nenulă a lui  $\alpha$  pentru care numărul mediu de verificări într-o căutare fără succes este de două ori mai mare decât numărul mediu de verificări dintr-o căutare cu succes. Folosiți estimarea  $(1/\alpha)\ln(1/(1-\alpha))$  pentru numărul de verificări necesare într-o căutare cu succes.

## Probleme

### 12-1 Marginea celei mai lungi verificări pentru dispersie

O tabelă de dispersie de dimensiune  $m$  este folosită pentru a memora  $n$  obiecte, cu  $n \leq m/2$ . Pentru rezolvarea coliziunilor se folosește adresarea deschisă.

- a. În ipoteza dispersiei uniforme, arătați că pentru  $i = 1, 2, \dots, n$ , probabilitatea ca a  $i$ -a inserare să necesite strict mai mult de  $k$  verificări este cel mult  $2^{-k}$ .
- b. Arătați că pentru  $i = 1, 2, \dots, n$ , probabilitatea ca a  $i$ -a inserare să necesite mai mult de  $2 \lg n$  verificări este cel mult  $1/n^2$ .

Fie variabila aleatoare  $X_i$ , semnificând numărul de verificări necesare pentru a  $i$ -a inserare. Ați arătat la punctul (b) că  $\Pr\{X_i > 2 \lg n\} \leq 1/n^2$ . Fie variabila aleatoare  $X = \max_{1 \leq i \leq n} X_i$  care semnifică numărul maxim de verificări necesare oricăreia din cele  $n$  inserări.

- c. Arătați că  $\Pr\{X > 2 \lg n\} \leq 1/n$ .
- d. Arătați că lungimea medie a celei mai lungi secvențe de verificare este  $E[X] = O(\lg n)$ .

### 12-2 Căutarea într-o mulțime statică

Se cere să se implementeze o mulțime dinamică având  $n$  elemente, în care cheile sunt numere. Mulțimea este statică (nu există operațiile INSEREAZĂ și ȘTERGE) și singura operație necesară este CAUTĂ. Se pune la dispoziție un timp arbitrar pentru a preprocesa cele  $n$  elemente, astfel încât operațiile de căutare să se execute rapid.

- a. Arătați că procedura CAUTĂ poate fi implementată astfel încât, în cazul cel mai defavorabil să se execute într-un timp  $O(\lg n)$ , fără a folosi spațiu suplimentar față de cel necesar memorării elementelor.
- b. Se consideră implementarea mulțimii printr-o tabelă de dispersie cu adresare deschisă având  $m$  locații care folosește dispersia uniformă. Care este spațiul minim necesar (de lungime  $m - n$ ) suplimentar pentru ca performanța, în cazul mediu a unei căutări fără succes, să fie cel puțin la fel de bună ca marginea de la punctul (a)? Răspunsul trebuie să fie o mărginire asimptotică a lui  $m - n$  în funcție de  $n$ .

### 12-3 Margini pentru mărimea locației la înlănțuire

Să presupunem că avem o tabelă de dispersie cu  $n$  locații, având coliziuni rezolvate prin înlănțuire și să presupunem că se inserează  $n$  chei în tabelă. Fiecare cheie se poate dispersa, cu aceeași probabilitate, în oricare dintre locații. Fie  $M$  numărul maxim de chei într-o locație, după ce toate cheile au fost inserate. Demonstrați că  $E[M]$ , valoarea medie a lui  $M$ , are o margine superioară egală cu  $O(\lg n / \lg \lg n)$ .

- a. Fie  $Q_k$  probabilitatea ca un număr de  $k$  chei să se disperseze într-o locație particulară. Argumentați că probabilitatea  $Q_k$  este dată de

$$Q_k = \left(\frac{1}{n}\right)^k \left(1 - \frac{1}{n}\right)^{n-k} \binom{n}{k}.$$

- b. Fie  $P_k$  probabilitatea ca  $M = k$ , adică probabilitatea ca locația care conține cele mai multe chei să conțină  $k$  chei. Arătați că  $P_k \leq nQ_k$ .
- c. Folosiți aproximarea Stirling, din relația (2.11), pentru a arăta că  $Q_k < e^k/k^k$ .
- d. Arătați că există o constantă  $c > 1$  astfel încât  $Q_{k_0} < 1/n^3$  pentru  $k_0 = c \lg n / \lg \lg n$ . Deducreți că  $P_k < 1/n^2$  pentru  $k = c \lg n / \lg \lg n$ .
- e. Arătați că

$$E[M] \leq \Pr\left\{M > \frac{c \lg n}{\lg \lg n}\right\} \cdot n + \Pr\left\{M \leq \frac{c \lg n}{\lg \lg n}\right\} \cdot \frac{c \lg n}{\lg \lg n}.$$

Deducreți că  $E[M] = O(\lg n / \lg \lg n)$ .

#### 12-4 Verificarea pătratică

Să presupunem că avem o cheie  $k$ , care trebuie căutată într-o tabelă de dispersie având pozițiile  $0, 1, \dots, m - 1$  și să presupunem că avem o funcție de dispersie  $h$  care transformă spațiul cheilor în mulțimea  $\{0, 1, \dots, m - 1\}$ . Schema de căutare este următoarea.

1. Se calculează valoarea  $i \leftarrow h(k)$  și se initializează  $j \leftarrow 0$ .
2. Se verifică poziția  $i$  pentru cheia dorită  $k$ . Dacă se găsește sau dacă poziția este liberă atunci căutarea se termină.
3. Se fac atribuirile  $j \leftarrow (i + j) \bmod m$  și se revine la pasul 2.

Se presupune că  $m$  este o putere a lui 2.

- a. Arătați că această schemă este o instanțiere a schemei generale de “verificare pătratică” evidențiind valorile specifice ale constantelor  $c_1$  și  $c_2$  din relația (12.5).
- b. Demonstrați că acest algoritm examinează fiecare poziție din tabelă în cazul cel mai defavorabil.

#### 12-5 dispersie $k$ -universală

Fie  $\mathcal{H} = \{h\}$  o clasă de funcții de dispersie în care fiecare  $h$  transformă universul  $U$  al cheilor în  $\{0, 1, \dots, m - 1\}$ . Spunem că  $\mathcal{H}$  este  **$k$ -universală** dacă pentru fiecare secvență fixă de  $k$  chei distințe  $\langle x_1, x_2, \dots, x_k \rangle$  și pentru fiecare funcție  $h$  aleasă aleator din  $\mathcal{H}$ , secvența  $\langle h(x_1), h(x_2), \dots, h(x_k) \rangle$  este, cu aceeași probabilitate, oricare dintre cele  $m^k$  secvențe de lungime  $k$  având elemente din  $\{0, 1, \dots, m - 1\}$ .

- a. Arătați că dacă  $\mathcal{H}$  este 2-universală atunci ea este universală.
- b. Arătați că clasa  $\mathcal{H}$  definită în secțiunea 12.3.3 nu este 2-universală.
- c. Arătați că dacă modificăm definiția lui  $\mathcal{H}$  din secțiunea 12.3.3 astfel încât fiecare funcție să conțină un termen constant  $b$ , adică dacă înlocuim  $h(x)$  cu

$$h_{a,b}(x) = \sum_{i=0}^r a_i x_i + b \bmod m,$$

atunci  $\mathcal{H}$  este 2-universală.

## Note bibliografice

Knuth [123] și Gonnet [90] sunt referințe excelente pentru algoritmi de dispersie. Knuth îl creditează pe H. P. Luhn (1953) cu inventarea tabelelor de dispersie, împreună cu metoda înlanțuirii pentru rezolvarea coliziunilor. Aproximativ în aceeași perioadă, G. M. Amdahl a avut ideea originală a adresării deschise.

---

## 13 Arbori binari de căutare

Arborii de căutare sunt structuri de date ce posedă multe operații specifice mulțimilor dinamice, între care menționăm CAUTĂ, MINIM, MAXIM, PREDECESOR, SUCCESOR, INSEREAZĂ și ȘTERGE. Prin urmare un arbore de căutare se poate folosi atât ca dicționar, cât și pe post de coadă cu priorități.

Operațiile de bază pe arborii binari consumă un timp proporțional cu înălțimea arborelui. Pentru un arbore binar complet cu  $n$  noduri, aceste operații se execută în cazul cel mai defavorabil într-un timp  $\Theta(\lg n)$ . Dacă însă arborele este un lanț liniar de  $n$  noduri, atunci timpul consumat în cazul cel mai defavorabil este  $\Theta(n)$ . În secțiunea 13.4 vom vedea că înălțimea unui arbore binar de căutare construit aleator este  $O(\lg n)$ , deci operațiile de bază pe mulțimile dinamice vor consuma un timp de  $\Theta(\lg n)$ .

În practică nu se poate garanta că arborii binari de căutare se construiesc aleator, însă există diverse tipuri speciale de astfel de structuri de date pentru care se garantează performanțe bune ale operațiilor de bază chiar și în cazurile cele mai defavorabile. Astfel, în capitolul 14 se prezintă un astfel de caz special, arborii roșu-negru, care au înălțimea  $O(\lg n)$ . Capitolul 19 introduce B-arborii, care se folosesc în special la întreținerea bazelor de date cu acces direct, memorate pe suport magnetic extern.

După prezentarea proprietăților de bază ale arborilor binari de căutare, secțiunile următoare vor ilustra cum se traversează un astfel de arbore în scopul listării valorilor sale în ordine crescătoare, cum se caută o valoare memorată în arborele binar de căutare, cum se găsește elementul minim sau maxim, cum se determină succesorul sau predecesorul unui element și cum se inserează (adaugă) sau se șterge un element. Proprietățile matematice de bază ale arborilor au fost prezentate în capitolul 5.

---

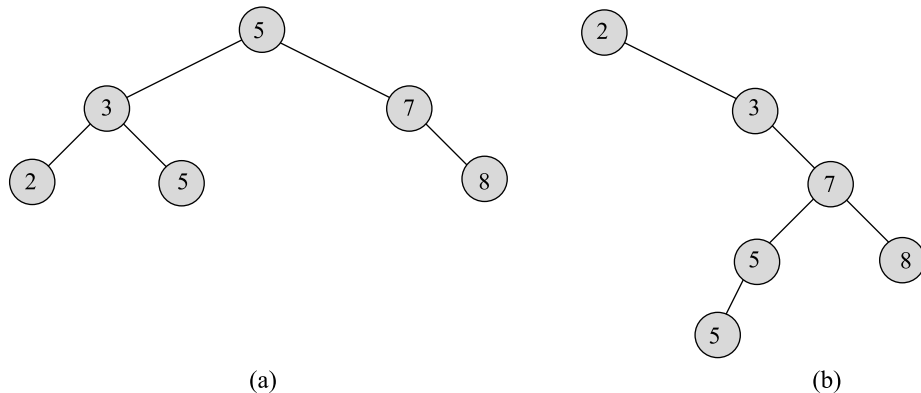
### 13.1. Ce este un arbore binar de căutare?

Așa cum sugerează numele său, un arbore binar de căutare este organizat sub formă de arbore binar, așa cum se observă în figura 13.1. Un astfel de arbore se poate reprezenta printr-o structură de date înlanțuită, în care fiecare nod este un obiect. Pe lângă un câmp *cheie* și date adiționale, fiecare obiect nod conține câmpurile *stânga*, *dreapta* și *p* care punctează spre (referă) nodurile corespunzătoare fiului stâng, fiului drept și respectiv părintelui nodului. Dacă un fiu sau un părinte lipsește, câmpul corespunzător acestuia va conține valoarea NIL. Nodul rădăcină este singurul nod din arbore care are valoarea NIL pentru câmpul părinte *p*.

Într-un arbore binar de căutare, cheile sunt întotdeauna astfel memorate încât ele satisfac **proprietatea arborelui binar de căutare**:

Fie  $x$  un nod dintr-un arbore binar de căutare. Dacă  $y$  este un nod din subarborele stâng al lui  $x$ , atunci  $cheie[y] \leq cheie[x]$ . Dacă  $y$  este un nod din subarborele drept al lui  $x$ , atunci  $cheie[x] \leq cheie[y]$ .

Astfel, în figura 13.1(a) cheia rădăcinii este 5, iar cheile 2, 3 și 5 din subarborele stâng nu sunt mai mari decât 5, pe când cheile 7 și 8 din subarborele drept nu sunt mai mici decât 5. Aceeași



**Figura 13.1** Arbori binari de căutare. Pentru orice nod  $x$ , cheile din subarborele stâng al lui  $x$  au valoarea mai mică sau egală cu  $cheie[x]$ , iar cheile din subarborele drept al lui  $x$  au valoarea mai mare sau egală cu  $cheie[x]$ . Aceeași mulțime de valori se poate reprezenta prin arbori binari de căutare, diferenți. Timpul de execuție, în cazul cel mai defavorabil, pentru majoritatea operațiilor arborilor de căutare este proporțional cu înălțimea arborelui. **(a)** Un arbore binar de căutare cu 6 noduri și de înălțime 2. **(b)** Un arbore binar de căutare mai puțin eficient care conține aceleași chei și are înălțimea 4.

proprietate se verifică pentru fiecare nod din arbore. De exemplu, cheia 3 din figura 13.1(a) nu este mai mică decât cheia 2 din subarborele său stâng și nu este mai mare decât cheia 5 din subarborele său drept.

Proprietatea arborelui binar de căutare ne permite să tipărim toate cheile în ordine crescătoare cu ajutorul unui algoritm recursiv simplu, numit ***traversarea arborelui în inordine***. Numele acestui algoritm derivă din faptul că cheia rădăcinii unui subarbore se tipărește între valorile din subarborele său stâng și cele din subarborele său drept. (Similar, o ***traversare a arborelui în preordine*** va tipări cheia rădăcinii înaintea celor din subarbore, iar o ***traversare a arborelui în postordine*** va tipări cheia rădăcinii după cele din subarbore). Pentru a folosi procedura următoare în scopul tipăririi tuturor elementelor din arborele binar de căutare  $T$  o vom apela cu ARBORE-TRAVERSARE-INORDINE( $r\ d\ cin\ [T]$ ).

## ARBORE-TRAVERSARE-INORDINE( $x$ )

- 1: dacă  $x \neq \text{NIL}$  atunci
  - 2:     ARBORE-TRAVERSARE-INORDINE( $stânga[x]$ )
  - 3:     afisează  $cheie[x]$
  - 4:     ARBORE-TRAVERSARE-INORDINE( $dreapta[x]$ )

Spre exemplu, traversarea în inordine a arborelui afișează cheile fiecăruiu dintre arborii binari de căutare din figura 13.1 în ordinea 2, 3, 5, 5, 7, 8. Corectitudinea algoritmului se demonstrează prin inducție folosind direct proprietatea arborelui binar de căutare. Deoarece după apelul inițial procedura se apelează recursiv de exact două ori pentru fiecare nod din arbore – o dată pentru fiul său stâng și încă o dată pentru fiul său drept – rezultă că este nevoie de un timp  $\Theta(n)$  pentru a traversa un arbore binar de căutare cu  $n$  noduri.

## Exerciții

**13.1-1** Desenați arbori binari de căutare de înălțime 2, 3, 4, 5 și respectiv 6 pentru multimea de chei {1, 4, 5, 10, 16, 17, 21}.

**13.1-2** Care este deosebirea dintre proprietatea arborelui binar de căutare și proprietatea de ansamblu (heap) (7.1)? Se poate folosi proprietatea de ansamblu pentru a afișa cheile unui arbore având  $n$  noduri în ordine crescătoare într-un timp  $O(n)$ ? Explicați cum sau de ce nu.

**13.1-3** Dați un algoritm nerecursiv care efectuează o traversare în inordine a unui arbore. (*Indica ie:* Există o soluție simplă care folosește o stivă pe post de structură de date auxiliară și o soluție mai complicată dar în același timp mai elegantă care nu mai folosește stiva, însă presupune că există o operație care realizează testul de egalitate a doi pointeri.)

**13.1-4** Dați algoritmi recursivi care realizează traversarea în preordine și postordine a unui arbore cu  $n$  noduri într-un timp  $\Theta(n)$ .

**13.1-5** Argumentați că, deoarece sortarea a  $n$  elemente, care folosește modelul comparației are nevoie de un timp de  $\Omega(n \lg n)$ , în cazul cel mai defavorabil, orice algoritm pentru construirea unui arbore binar de căutare care se bazează pe comparații și care folosește la intrare o listă arbitrară având  $n$  elemente, necesită tot un timp de  $\Omega(n \lg n)$  în cazul cel mai defavorabil.

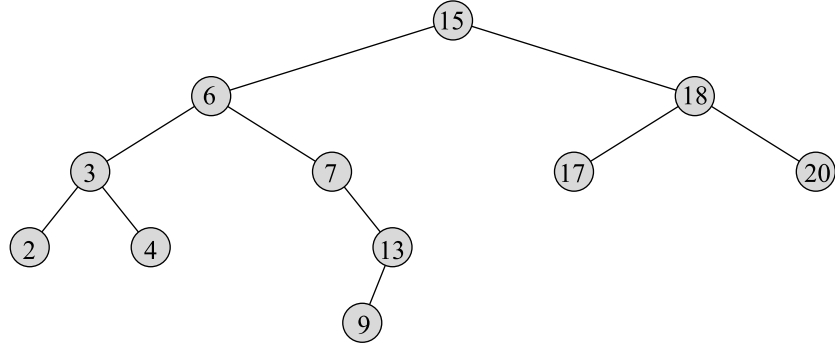
## 13.2. Interrogarea într-un arbore binar de căutare

Principala operație efectuată pe un arbore binar de căutare este căutarea unei chei memorate în acesta. În afară de operația CAUTĂ, arborii binari de căutare permit și alte interogări precum MINIM, MAXIM, SUCCESOR și PREDECESOR. În această secțiune vom examina aceste operații și vom arăta că fiecare dintre ele se poate executa într-un timp  $O(h)$  pe un arbore binar de căutare de înălțime  $h$ .

### Căutarea

Procedura următoare poate fi folosită la căutarea unui nod având cheia cunoscută, într-un arbore binar de căutare. Fiind date un pointer  $x$  la rădăcina arborelui și o valoare  $k$  a cheii, ARBORE-CAUTĂ returnează un pointer la nodul având cheia  $k$  dacă există un asemenea nod în arbore sau NIL în caz contrar.

```
ARBORE-CAUTĂ( $x, k$ )
1: dacă  $x = \text{NIL}$  sau  $k = \text{cheie}[x]$  atunci
2:   returnează  $x$ 
3: dacă  $k < \text{cheie}[x]$  atunci
4:   returnează ARBORE-CAUTĂ( $stânga[x], k$ )
5: altfel
6:   returnează ARBORE-CAUTĂ( $dreapta[x], k$ )
```



**Figura 13.2** Interogări într-un arbore binar de căutare. Pentru a căuta în arbore cheia 13, se parcurge, începând cu rădăcina, drumul  $15 \rightarrow 6 \rightarrow 7 \rightarrow 13$ . Cheia minimă din arbore este 2, care se determină pornind de la rădăcină și urmând pointerii *stânga*. Cheia maximă din arbore este 20, determinată începând cu rădăcina și urmând pointerii *dreapta*. Succesorul nodului având cheia 15 este nodul având cheia 17, deoarece această cheie este cheia minimă din subarborele drept al nodului având cheia 15. Nodul având cheia 13 nu are subarbore drept, prin urmare succesorul său este cel mai de jos nod strămoș al său al cărui fiu stâng este de asemenea strămoș pentru 13. În cazul nodului având cheia 13, succesorul este nodul având cheia 15.

Procedura începe căutarea cu rădăcina și trasează un drum în jos în arbore, așa cum se ilustrează în figura 13.2. Pentru fiecare nod  $x$  întâlnit, se compară cheia  $k$  cu  $cheie[x]$ . Dacă cele două chei sunt egale, căutarea s-a terminat. Dacă  $k$  are o valoare mai mică decât  $cheie[x]$ , căutarea continuă în subarborele stâng al lui  $x$ , deoarece din proprietatea arborelui binar de căutare rezultă că  $k$  nu poate fi memorat în subarborele drept al lui  $x$ . Simetric, dacă  $k$  este mai mare decât  $cheie[x]$ , căutarea continuă în subarborele drept al lui  $x$ . Nodurile traversate în timpul aplicării recursive a acestei proceduri formează un drum în jos, pornind de la rădăcină, deci timpul de execuție al procedurii ARBORE-CAUTĂ este  $O(h)$ , unde  $h$  este înălțimea arborelui.

Aceeași procedură se poate scrie iterativ, prin “derularea” recursivității într-un ciclu **cât timp**. Versiunea iterativă este mai eficientă pe majoritatea calculatoarelor.

**ARBORE-CAUTĂ-ITERATIV**( $x, k$ )  
 1: **cât timp**  $x \neq \text{NIL}$  și  $k \neq cheie[x]$  **execută**  
 2:   **dacă**  $k < cheie[x]$  **atunci**  
 3:      $x \leftarrow \text{stânga}[x]$   
 4:   **altfel**  
 5:      $x \leftarrow \text{dreapta}[x]$   
 6: **returnează**  $x$

### Minimul și maximul

Determinarea elementului având cheia minimă dintr-un arbore binar de căutare se realizează întotdeauna urmând pointerii fiu *stânga* începând cu rădăcina și terminând când se întâlnește NIL, așa cum se ilustrează în figura 13.2. Procedura următoare întoarce un pointer la elementul minim din subarborele a cărui rădăcină este nodul  $x$ .

ARBORE-MINIM( $x$ )

- 1: **cât timp**  $stânga[x] \neq \text{NIL}$  **execută**
- 2:  $x \leftarrow stânga[x]$
- 3: **returnează**  $x$

Proprietatea arborelui binar de căutare garantează corectitudinea algoritmului ARBORE-MINIM. Dacă un nod  $x$  nu are subarbore stâng, atunci din faptul că fiecare cheie din subarborele său drept este cel puțin la fel de mare ca și  $cheie[x]$  rezultă că cheia minimă a subarborelui având rădăcina  $x$  este chiar  $cheie[x]$ . Dacă nodul  $x$  are un subarbore stâng, atunci deoarece orice cheie din subarborele său drept este mai mare sau egală cu  $cheie[x]$  și orice cheie din subarborele său stâng este mai mică sau egală cu  $cheie[x]$ , rezultă că cheia minimă din subarborele având rădăcina  $x$  este cheia minimă a subarborelui având rădăcina  $stânga[x]$ .

Pseudocodul pentru procedura ARBORE-MAXIM este simetric.

ARBORE-MAXIM( $x$ )

- 1: **cât timp**  $dreapta[x] \neq \text{NIL}$  **execută**
- 2:  $x \leftarrow dreapta[x]$
- 3: **returnează**  $x$

Deoarece ambele proceduri trasează drumuri în jos în arbore, ele se execută într-un timp  $O(h)$ , unde  $h$  este înălțimea arborelui în care se face căutarea.

### Succesorul și predecesorul unui nod

Cunoscând un nod dintr-un arbore binar de căutare, este important căteodată să putem determina succesorul său în ordinea de sortare determinată de traversarea în inordine a arborelui. Dacă toate cheile sunt distințe, succesorul unui nod  $x$  este nodul având cea mai mică cheie mai mare decât  $cheie[x]$ . Structura de arbore binar de căutare permite determinarea succesorului unui nod chiar și fără compararea cheilor. Procedura următoare returnează succesorul unui nod  $x$  dintr-un arbore binar de căutare, dacă succesorul există, sau NIL, dacă  $x$  are cea mai mare cheie din arbore.

ARBORE-SUCESOR( $x$ )

- 1: **dacă**  $dreapta[x] \neq \text{NIL}$  **atunci**
- 2:   **returnează** ARBORE-MINIM( $dreapta[x]$ )
- 3:  $y \leftarrow p[x]$
- 4: **cât timp**  $y \neq \text{NIL}$  și  $x = dreapta[y]$  **execută**
- 5:    $x \leftarrow y$
- 6:    $y \leftarrow p[y]$
- 7: **returnează**  $y$

Codul procedurii ARBORE-SUCESOR tratează două alternative. Dacă subarborele drept al nodului  $x$  nu este vid, atunci succesorul lui  $x$  este chiar cel mai din stânga nod din acest subarbore drept, care este determinat în linia 2 prin apelul ARBORE-MINIM( $dreapta[x]$ ). De exemplu, succesorul nodului cu cheia 15 din figura 13.2 este nodul cu cheia 17.

În celălalt caz, când subarborele drept al nodului  $x$  este vid și  $x$  are un succesor  $y$ , atunci  $y$  este cel mai de jos strămoș al lui  $x$  al cărui fiu din stânga este de asemenea strămoș al lui  $x$ .

În figura 13.2, succesorul nodului cu cheia 13 este nodul cu cheia 15. Pentru a-l determina pe  $y$ , se traversează arborele de la  $x$  în sus până când se întâlnește un nod care este fiul stâng al părintelui său; acest lucru se realizează în liniile 3–7 ale codului procedurii ARBORE-SUCESOR.

În cazul unui arbore de înălțime  $h$ , timpul de execuție al procedurii ARBORE-SUCESOR este  $O(h)$  deoarece în ambele situații se urmează fie un drum în josul arborelui, fie unul în susul arborelui. Procedura ARBORE-PREDECESOR, care este similară, se execută tot într-un timp  $O(h)$ .

Rezultatele obținute până acum se pot rezuma în teorema următoare.

**Teorema 13.1** Pe un arbore binar de căutare de înălțime  $h$ , operațiile pe multimi dinamice CAUTĂ, MINIM, MAXIM, SUCSESOR și PREDECESOR se pot executa într-un timp  $O(h)$ . ■

## Exerciții

**13.2-1** Presupunem că avem memorate într-un arbore binar de căutare numere cuprinse între 1 și 1000 și că dorim să căutăm numărul 363. Care dintre următoarele siruri *nu* poate fi secvența nodurilor examineate?

- a. 2, 252, 401, 398, 330, 344, 397, 363.
- b. 924, 220, 911, 244, 898, 258, 362, 363.
- c. 925, 202, 911, 240, 912, 245, 363.
- d. 2, 399, 387, 219, 266, 382, 381, 278, 363.
- e. 935, 278, 347, 621, 299, 392, 358, 363.

**13.2-2** Profesorul Bunyan crede că a descoperit o proprietate remarcabilă a arborilor binari de căutare. Să presupunem că determinarea cheii  $k$  într-un astfel de arbore se termină într-o frunză. Împărțind cheile din nodurile arborelui în trei multimi A, B și C construite astfel: A conține cheile nodurilor de la stânga drumului de căutare, B – cheile de pe drumul de căutare, iar C – cheile de la dreapta drumului de căutare, profesorul Bunyan afirmă că oricare trei chei  $a \in A$ ,  $b \in B$  și  $c \in C$  trebuie să îndeplinească condiția  $a \leq b \leq c$ . Dați un contraexemplu cât mai mic, care să infirme proprietatea descoperită de profesor.

**13.2-3** Folosiți proprietatea arborelui binar de căutare pentru a demonstra riguroas corectitudinea codului pentru procedura ARBORE-SUCESOR.

**13.2-4** Traversarea în inordine pentru un arbore binar de căutare având  $n$  noduri se poate implementa prin găsirea elementului minim din arbore cu procedura ARBORE-MINIM și apoi apelând de  $n - 1$  ori procedura ARBORE-SUCESOR. Demonstrați că acest algoritm se execută într-un timp de  $\Theta(n)$ .

**13.2-5** Demonstrați că, într-un arbore binar de căutare de înălțime  $h$ , prin  $k$  apeluri succesive ale procedurii ARBORE-SUCESOR, se consumă un timp  $O(k + h)$ , indiferent care este nodul de pornire.

**13.2-6** Fie  $T$  un arbore binar de căutare având toate cheile distincte,  $x$  un nod frunză și  $y$  părintele său. Arătați că  $cheie[y]$  este fie cea mai mică cheie din  $T$  care este mai mare decât  $cheie[x]$  fie cea mai mare cheie din  $T$  care este mai mică decât  $cheie[x]$ .

### 13.3. Inserarea și ștergerea

Operațiile de inserare și ștergere provoacă modificarea mulțimii dinamice reprezentată de arborele binar de căutare. Structura de date trebuie modificată în sensul că ea trebuie pe de o parte să reflecte inserarea sau ștergerea, iar pe de altă parte să conserve proprietatea arborelui binar de căutare. Așa cum vom vedea în cele ce urmează, modificarea unui arbore pentru a insera un element nou, este relativ simplă (directă), pe când gestiunea ștergerii unui element este mai complicată.

#### Inserarea

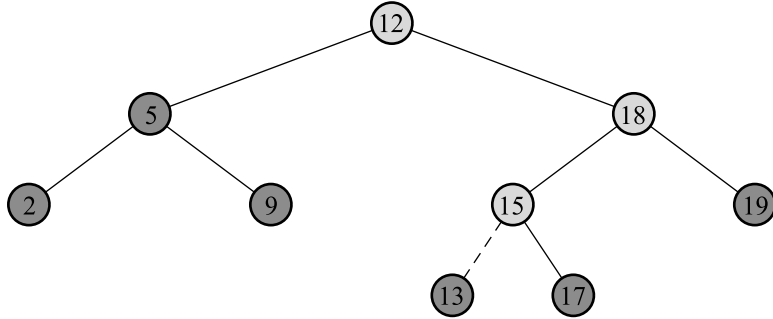
Vom folosi procedura ARBORE-INSEREAZĂ pentru a insera o nouă valoare  $v$  într-un arbore binar de căutare  $T$ . Procedurii îi se transmite un nod  $z$  pentru care  $cheie[z] = v$ ,  $stânga[z] = \text{NIL}$  și  $dreapta[z] = \text{NIL}$ . Ea va modifica arborele  $T$  și unele dintre câmpurile lui  $z$  astfel încât  $z$  va fi inserat pe poziția corespunzătoare în arbore.

ARBORE-INSEREAZĂ( $T, z$ )

- 1:  $y \leftarrow \text{NIL}$
- 2:  $x \leftarrow r\ d\ cin\ [T]$
- 3: **cât timp**  $x \neq \text{NIL}$  **execută**
- 4:    $y \leftarrow x$
- 5:   **dacă**  $cheie[z] < cheie[x]$  **atunci**
- 6:      $x \leftarrow stânga[x]$
- 7:   **altfel**
- 8:      $x \leftarrow dreapta[x]$
- 9:    $p[z] \leftarrow y$
- 10: **dacă**  $y = \text{NIL}$  **atunci**
- 11:    $r\ d\ cin\ [T] \leftarrow z$
- 12: **altfel dacă**  $cheie[z] < cheie[y]$  **atunci**
- 13:      $stânga[y] \leftarrow z$
- 14: **altfel**
- 15:      $dreapta[y] \leftarrow z$

Figura 13.3 ilustrează modul de lucru al procedurii ARBORE-INSEREAZĂ. Ca și ARBORE-CAUTĂ și ARBORE-CAUTĂ-ITERATIV, ARBORE-INSEREAZĂ începe cu rădăcina arborelui și trasează un drum în jos. Pointerul  $x$  va referi nodul din drum, iar pointerul  $y$  va referi părintele lui  $x$ . După inițializare, ciclul **cât timp** din liniile 3–8 asigură deplasarea acestor pointeri în josul arborelui, selectarea alternativei la stânga sau la dreapta realizându-se în funcție de rezultatul comparării cheilor  $cheie[z]$  și  $cheie[x]$ , până când  $x$  este setat pe NIL. Acest NIL ocupă poziția în care trebuie să fie plasat elementul  $z$ . Liniile 9–15 realizează setarea pointerilor pentru a realiza efectiv inserarea lui  $z$ .

Ca și celelalte operații primitive pe arborii de căutare, procedura ARBORE-INSEREAZĂ se execută într-un timp  $O(h)$  pe un arbore de înălțime  $h$ .



**Figura 13.3** Inserarea unui element având cheia 13 într-un arbore binar de căutare. Nodurile hașurate deschis indică drumul în jos, de la rădăcină la poziția în care se inserează elementul. Linia întârziată semnifică legătura adăugată la arbore pentru a insera elementul.

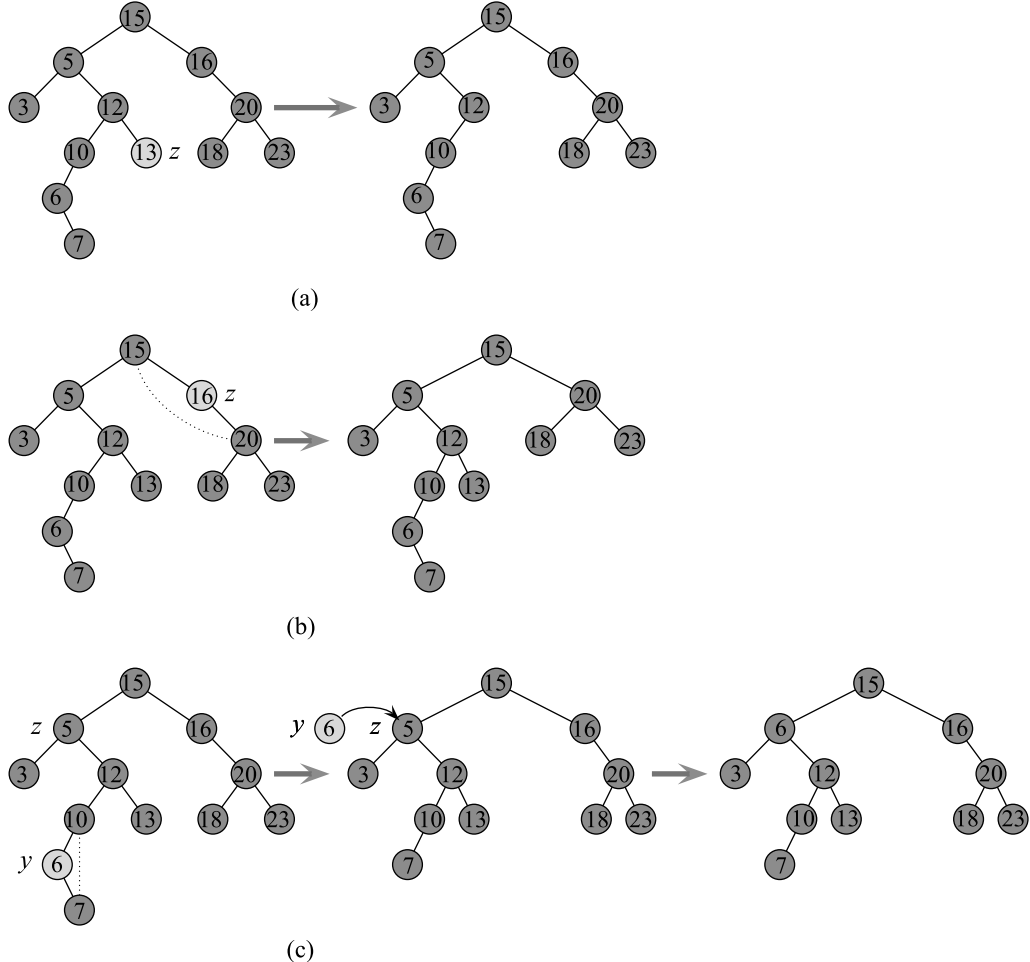
### Ștergerea

Procedura pentru ștergerea unui nod dat  $z$  dintr-un arbore binar de căutare primește ca argument un pointer la  $z$ . Procedura ia în considerare toate cele trei situații ilustrate în figura 13.4. Dacă  $z$  nu are fii, se va modifica părintele său  $p[z]$  pentru a-i înlocui fiul  $z$  cu NIL. Dacă nodul are un singur fiu,  $z$  va fi eliminat din arbore prin inserarea unei legături de la părintele lui  $z$  la fiul lui  $z$ . În sfârșit, dacă nodul are doi fii, se va elimina din arbore succesorul  $y$  al lui  $z$ , care nu are fiu stâng (vezi exercițiul 13.3-4) și apoi se vor înlocui cheia și datele adiționale ale lui  $z$  cu cheia și datele adiționale ale lui  $y$ .

Pseudocodul procedurii ARBORE-STERGE organizează puțin diferit aceste trei situații.

ARBORE-STERGE( $T, z$ )

- 1: **dacă**  $stânga[z] = \text{NIL}$  sau  $dreapta[z] = \text{NIL}$  **atunci**
- 2:    $y \leftarrow z$
- 3: **altfel**
- 4:    $y \leftarrow \text{ARBORE-SUCSESOR}(z)$
- 5: **dacă**  $stânga[y] \neq \text{NIL}$  **atunci**
- 6:    $x \leftarrow stânga[y]$
- 7: **altfel**
- 8:    $x \leftarrow dreapta[y]$
- 9: **dacă**  $x \neq \text{NIL}$  **atunci**
- 10:    $p[x] \leftarrow p[y]$
- 11: **dacă**  $p[y] = \text{NIL}$  **atunci**
- 12:    $r \leftarrow \text{cin}[T] \leftarrow x$
- 13: **altfel dacă**  $y = stânga[p[y]]$  **atunci**
- 14:    $stânga[p[y]] \leftarrow x$
- 15: **altfel**
- 16:    $dreapta[p[y]] \leftarrow x$
- 17: **dacă**  $y \neq z$  **atunci**
- 18:    $cheie[z] \leftarrow cheie[y] \triangleright$  se copiază și datele adiționale ale lui  $y$
- 19: **returnează**  $y$



**Figura 13.4** Sărgerea unui nod *z* dintr-un arbore binar de căutare. În fiecare situație, nodul care se sărgă este hașurat mai deschis decât celelalte. (a) Dacă *z* nu are fiu, pur și simplu se sărgă. (b) Dacă *z* are un singur fiu, *z* se elimină din arbore. (c) Dacă *z* are doi fiu, se elimină succesorul *y* al său, care are cel mult un fiu, și apoi se înlocuiește cheia și datele adiționale ale lui *z* cu cheia și datele adiționale ale lui *y*.

În liniile 1–4, algoritmul determină nodul *y* care se va scoate din arbore. Nodul *y* este fie chiar nodul de intrare *z* (dacă *z* are cel mult un fiu) fie succesorul lui *z* (dacă *z* are doi fiu). Apoi, în liniile 5–8, *x* se setează fie la fiul diferit de NIL al lui *y* fie la NIL dacă *y* nu are fiu. Nodul *y* este eliminat din arbore în liniile 9–16 prin modificarea pointerilor din *p[y]* și *x*. Eliminarea lui *y* este oarecum complicată de necesitatea unei gestionări adecvate a cazurilor extreme când *x* = NIL sau când *y* este rădăcina arborelui. În sfârșit, liniile 17–18 se vor executa când a fost eliminat succesorul *y* al lui *z* și ele realizează mutarea cheii și datelor adiționale ale lui *y* în *z*, scriind peste vechiul conținut al cheii și al datelor adiționale. Nodul *y* este întors ca rezultat de

către procedură în linia 19, pentru ca procedura apelantă să poată să-l recicleze, punându-l în lista de noduri libere. Procedura se execută într-un timp  $O(h)$  pe un arbore de înălțime  $h$ .

Pe scurt, am demonstrat următoarea teoremă.

**Teorema 13.2** Operațiile pe mulțimi dinamice INSEREAZĂ și ȘTERGE se pot executa într-un timp  $O(h)$  pe un arbore de înălțime  $h$ . ■

## Exerciții

**13.3-1** Dați o versiune recursivă a procedurii ARBORE-INSEREAZĂ.

**13.3-2** Presupunem că se construiește un arbore binar de căutare prin inserarea repetată a unor valori distințe. Arătați că numărul de noduri examinate la căutarea unei valori în arbore este cu 1 mai mare decât numărul de noduri examinate la prima inserare a respectivei valori în arbore.

**13.3-3** Fiind dată o mulțime de  $n$  numere, aceasta se poate sorta prin construirea unui arbore binar de căutare (folosind repetat ARBORE-INSEREAZĂ pentru inserarea numerelor unul câte unul) urmată de tipărirea numerelor prin traversarea în inordine a arborelui. Care sunt timpii de execuție corespunzători celui mai defavorabil caz, respectiv celui mai favorabil caz pentru acest algoritm de sortare?

**13.3-4** Arătați că dacă un nod dintr-un arbore binar de căutare are doi fii, atunci succesorul său nu are fiu stâng iar predecesorul său nu are fiu drept.

**13.3-5** Fie o altă structură de date care conține un pointer la un nod  $y$  dintr-un arbore binar de căutare. Ce probleme pot să apară dacă predecesorul  $z$  al lui  $y$  este șters din arbore cu procedura ARBORE-ȘTERGE? Cum s-ar putea scrie această procedură pentru a elimina dificultățile apărute?

**13.3-6** Operația de ștergere este comutativă (în sensul că dacă se șterge prima dată nodul  $x$  și apoi nodul  $y$  se obține același rezultat ca și atunci când se șterge prima dată nodul  $y$  și apoi nodul  $x$ )? Demonstrați sau dați un contraexemplu.

**13.3-7** Când nodul  $z$  din ARBORE-ȘTERGE are doi fii, se poate elimina din arbore predecesorul său și nu succesorul. Unii au demonstrat că o strategie echitabilă, care dă aceeași prioritate (attenție) predecesorului și succesorului produce performanțe empirice mai bune. Cum ar trebui modificat algoritmul ARBORE-ȘTERGE pentru a implementa o astfel de strategie echitabilă?

## 13.4. Arbori binari de căutare construiți aleator

Am demonstrat că toate operațiile de bază pe un arbore binar de căutare se execută într-un timp  $O(h)$ ,  $h$  fiind înălțimea arborelui. Înălțimea unui arbore binar de căutare se schimbă continuu când se fac inserări și ștergeri de noduri în/din arbore. Pentru a analiza comportamentul arborilor binari de căutare, în practică, va trebui să facem anumite ipoteze statistice asupra distribuției cheilor și asupra sirului de inserări și ștergeri.

Din păcate, se știe puțin despre înălțimea medie a unui arbore binar de căutare în cazul când se folosesc atât inserări cât și ștergeri pentru a-l crea. Dacă arboarele ar fi creat numai prin inserări, analiza ar fi mai simplă. Vom defini prin urmare noțiunea de **arbore binar de căutare construit aleator** cu  $n$  chei distințe, ca fiind acel arbore care se construiește prin inserarea într-o ordine aleatoare a cheilor într-un arbore inițial vid, considerând că oricare dintre cele  $n!$  permutări ale celor  $n$  chei este egal probabilă. (Exercițiul 13.4-2 vă va cere să arătați că această noțiune este diferită de cea care presupune că orice arbore binar de căutare cu  $n$  chei are aceeași probabilitate de apariție.) Scopul secțiunii de față este să demonstreze că înălțimea medie a unui arbore binar de căutare construit aleator având  $n$  chei este  $O(\lg n)$ .

Vom începe cu investigarea structurii arborilor binari de căutare care sunt construși folosind numai operații de inserare.

**Lema 13.3** Notăm cu  $T$  arboarele care rezultă prin inserarea a  $n$  chei distințe  $k_1, k_2, \dots, k_n$  (în ordine) într-un arbore binar de căutare inițial vid. Cheia  $k_i$  este un strămoș al cheii  $k_j$  în  $T$ , pentru  $1 \leq i < j \leq n$ , dacă și numai dacă:

$$k_i = \min\{k_l : 1 \leq l \leq i \text{ și } k_l > k_j\}$$

sau

$$k_i = \max\{k_l : 1 \leq l \leq i \text{ și } k_l < k_j\}.$$

**Demonstrație.**  $\Rightarrow$ : Presupunem că  $k_i$  este un strămoș al lui  $k_j$ . Notăm cu  $T_i$  arboarele care rezultă după ce au fost inserate în ordine cheile  $k_1, k_2, \dots, k_i$ . Drumul de la rădăcină la nodul  $k_i$  în  $T_i$  este același cu drumul de la rădăcină la nodul  $k_i$  în  $T$ . De aici rezultă că dacă s-ar inseră în  $T_i$  nodul  $k_j$ , acesta ( $k_j$ ) ar deveni fie fiu stâng, fie fiu drept al nodului  $k_i$ . Prin urmare (vezi exercițiul 13.2-6),  $k_i$  este fie cea mai mică cheie dintre  $k_1, k_2, \dots, k_i$  care este mai mare decât  $k_j$ , fie cea mai mare cheie dintre  $k_1, k_2, \dots, k_i$  care este mai mică decât  $k_j$ .

$\Leftarrow$ : Presupunem că  $k_i$  este cea mai mică cheie dintre  $k_1, k_2, \dots, k_i$  care este mai mare decât  $k_j$ . (Cazul când  $k_i$  este cea mai mare cheie dintre  $k_1, k_2, \dots, k_i$  care este mai mică decât  $k_j$  se tratează simetric). Compararea cheii  $k_j$  cu oricare dintre cheile de pe drumul de la rădăcină la  $k_i$  în arboarele  $T$ , produce aceleași rezultate ca și compararea cheii  $k_i$  cu cheile respective. Prin urmare, pentru inserarea lui  $k_j$  se va parcurge drumul de la rădăcină la  $k_i$ , apoi  $k_j$  se va inseră ca descendant al lui  $k_i$ . ■

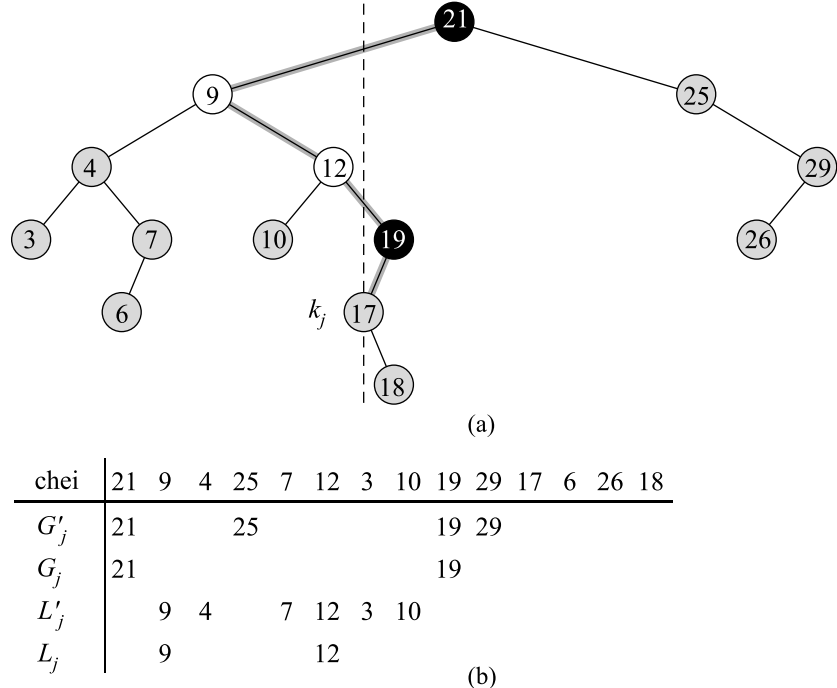
Următorul corolar al lemei 13.3 caracterizează precis adâncimea unei chei în funcție de permutarea de intrare.

**Corolarul 13.4** Fie  $T$  arboarele care rezultă prin inserarea a  $n$  chei distințe  $k_1, k_2, \dots, k_n$  (în ordine) într-un arbore binar de căutare inițial vid. Pentru o cheie  $k_j$  dată, unde  $1 \leq j \leq n$ , definim multimiile:

$$G_j = \{k_i : 1 \leq i < j \text{ și } k_l > k_i > k_j \text{ pentru toți indicii } l < i \text{ cu } k_l > k_j\}$$

și

$$L_j = \{k_i : 1 \leq i < j \text{ și } k_l < k_i < k_j \text{ pentru toți indicii } l < i \text{ cu } k_l < k_j\}.$$



**Figura 13.5** Ilustrarea celor două mulțimi  $G_j$  și  $L_j$  care conțin cheile de pe drumul de la rădăcina unui arbore binar de căutare la cheia  $k_j = 17$ . (a) Nodurile care au cheile în  $G_j$  sunt hașurate cu negru, iar nodurile care au cheile în  $L_j$  sunt albe. Toate celelalte noduri sunt hașurate cu gri. Drumul în jos de la rădăcină la nodul cu cheia  $k_j$  este îngroșat. Cheile care sunt la stânga liniei îngroșate sunt mai mici decât  $k_j$ , iar cele de la dreapta acestei linii sunt mai mari decât  $k_j$ . Arboarele se construiește prin inserarea cheilor în ordinea dată de prima listă din (b). Mulțimea  $G'_j = \{21, 25, 19, 29\}$  conține acele elemente care se inserează înainte de 17 și sunt mai mari decât 17. Mulțimea  $G_j = \{21, 19\}$  conține acele elemente care modifică minimul elementelor din  $G'_j$ . Astfel, 21 este în  $G_j$  deoarece el este primul element din mulțime. Cheia 25 nu este în  $G_j$  deoarece este mai mare decât elementul minim curent, adică 21. Cheia 19 este în  $G_j$  deoarece ea este mai mică decât minimul curent care este 21 și deci noul minim curent va fi 19. Cheia 29 nu este în  $G_j$  deoarece este mai mare decât elementul minim curent, adică 19. Structura mulțimilor  $L'_j$  și  $L_j$  este simetrică.

Atunci cheile de pe drumul de la rădăcină la  $k_j$  sunt chiar cheile din  $G_j \cup L_j$  iar adâncimea oricărei chei  $k_j$  din  $T$  este

$$d(k_j, T) = |G_j| + |L_j|.$$

Figura 13.5 ilustrează cele două mulțimi  $G_j$  și  $L_j$ .  $G_j$  conține toate cheile  $k_i$  inserate înainte de  $k_j$  astfel încât  $k_i$  este cea mai mică cheie din  $k_1, k_2, \dots, k_i$  care este mai mare decât  $k_j$  (structura lui  $L_j$  este simetrică). Pentru a înțelege mai bine mulțimea  $G_j$ , să încercăm să găsim o metodă de enumerare a elementelor sale. Dintre cheile  $k_1, k_2, \dots, k_{j-1}$  vom considera în ordine numai pe acele care sunt mai mari decât  $k_j$ . Aceste chei formează mulțimea notată în figură cu  $G'_j$ .

Pe măsură ce inserăm cheile, vom reține, în timp real, minimul. Multimea  $G_j$  va fi formată din acele chei care suprascriu minimul.

Pentru a facilita analiza, vom simplifica oarecum scenariul actual. Să presupunem că, într-o mulțime dinamică, se inserează pe rând  $n$  numere distincte, câte unul o dată. Dacă toate permutările numerelor respective sunt egal probabile, de câte ori se modifică în medie minimul mulțimii numerelor deja inserate? Pentru a răspunde la această întrebare, să presupunem că al  $i$ -lea număr inserat este  $k_i$ , pentru  $i = 1, 2, \dots, n$ . Probabilitatea ca  $k_i$  să fie minimul primelor  $i$  numere este  $1/i$ , deoarece rangul (poziția) lui  $k_i$  între primele  $i$  numere este egal probabil cu oricare dintre cele  $i$  ranguri posibile. Prin urmare, numărul mediu de modificări ale minimului mulțimii este

$$\sum_{i=1}^n \frac{1}{i} = H_n,$$

unde  $H_n = \ln n + O(1)$  este al  $n$ -lea număr armonic (vezi relația (3.5) și problema 6-2).

Prin urmare, ne așteptăm ca numărul de modificări ale minimului să fie aproximativ egal cu  $\ln n$ , iar lema următoare arată că probabilitatea ca numărul să fie mult mai mare este foarte mică.

**Lema 13.5** Fie  $k_1, k_2, \dots, k_n$  o permutare oarecare a unei mulțimi de  $n$  numere distincte și fie  $|S|$  variabila aleatoare care este cardinalul mulțimii

$$S = \{k_i : 1 \leq i \leq n \text{ și } k_l > k_i \text{ pentru orice } l < i\}. \quad (13.1)$$

Atunci  $Pr\{|S| \geq (\beta+1)H_n\} \leq 1/n^2$ , unde  $H_n$  este al  $n$ -lea număr armonic, iar  $\beta \approx 4,32$  verifică ecuația  $(\ln \beta - 1)\beta = 2$ .

**Demonstratie.** Putem considera că determinarea cardinalului mulțimii  $S$  se face prin  $n$  încercări Bernoulli, având succes la a  $i$ -a încercare dacă  $k_i$  este mai mic decât elementele  $k_1, k_2, \dots, k_{i-1}$ . Probabilitatea de a avea succes la a  $i$ -a încercare este  $1/i$ . Încercările sunt independente deoarece probabilitatea ca  $k_i$  să fie minimul dintre elementele  $k_1, k_2, \dots, k_i$  este independentă de ordonarea relativă a mulțimii  $k_1, k_2, \dots, k_{i-1}$ .

Putem folosi teorema 6.6 pentru a mărgini probabilitatea ca  $|S| \geq (\beta+1)H_n$ . Valoarea medie pentru  $|S|$  este  $\mu = H_n \geq \ln n$ . Deoarece  $\beta > 1$ , din teorema 6.6 rezultă

$$\begin{aligned} Pr\{|S| \geq (\beta+1)H_n\} &= Pr\{|S| - \mu \geq \beta H_n\} \leq \left(\frac{eH_n}{\beta H_n}\right)^{\beta H_n} = e^{(1-\ln \beta)\beta H_n} \\ &\leq e^{-(\ln \beta - 1)\beta \ln n} = n^{-(\ln \beta - 1)\beta} = 1/n^2, \end{aligned}$$

în care am folosit definiția lui  $\beta$ . ■

Acum avem instrumente pentru a mărgini înălțimea unui arbore binar de căutare construit aleator.

**Teorema 13.6** Înălțimea medie a unui arbore binar de căutare construit aleator cu  $n$  chei distincte este  $O(\lg n)$ .

**Demonstratie.** Fie  $k_1, k_2, \dots, k_n$  o permutare oarecare a celor  $n$  chei și fie  $T$  arborele binar de căutare care rezultă prin inserarea cheilor în ordinea specificată pornind de la un arbore inițial vid. Vom discuta prima dată probabilitatea ca adâncimea  $d(k_j, T)$  a unei chei date  $k_j$  să fie cel puțin  $t$ , pentru o valoare  $t$  arbitrară. Conform caracterizării adâncimii  $d(k_j, T)$  din corolarul 13.4, dacă adâncimea lui  $k_j$  este cel puțin  $t$ , atunci cardinalul uneia dintre cele două mulțimi  $G_j$  și  $L_j$  trebuie să fie cel puțin  $t/2$ . Prin urmare,

$$\Pr\{d(k_j, T) \geq t\} \leq \Pr\{|G_j| \geq t/2\} + \Pr\{|L_j| \geq t/2\}. \quad (13.2)$$

Să examinăm la început  $\Pr\{|G_j| \geq t/2\}$ . Avem

$$\begin{aligned} \Pr\{|G_j| \geq t/2\} &= \Pr\{|\{k_i : 1 \leq i < j \text{ și } k_l > k_i > k_j \text{ pentru orice } l < i\}| \geq t/2\} \\ &\leq \Pr\{|\{k_i : i \leq n \text{ și } k_l > k_i \text{ pentru orice } l < i\}| \geq t/2\} \\ &= \Pr\{|S| \geq t/2\}, \end{aligned}$$

unde  $S$  este definit în relația (13.1). În sprijinul acestei afirmații, să observăm că probabilitatea nu va descrește dacă vom extinde intervalul de variație al lui  $i$  de la  $i < j$  la  $i \leq n$ , deoarece prin extindere se vor adăuga elemente noi la mulțime. Analog, probabilitatea nu va descrește dacă se renunță la condiția  $k_i > k_j$ , deoarece prin aceasta se înlocuiește o permutare a (de regulă) mai puțin de  $n$  elemente (și anume acele chei  $k_i$  care sunt mai mari decât  $k_j$ ) cu o altă permutare oarecare de  $n$  elemente.

Folosind o argumentare similară, putem demonstra că

$$\Pr\{|L_j| \geq t/2\} \leq \Pr\{|S| \geq t/2\},$$

și apoi, folosind inegalitatea (13.2) obținem:

$$\Pr\{d(k_j, T) \geq t\} \leq 2\Pr\{|S| \geq t/2\}.$$

Dacă alegem  $t = 2(\beta + 1)H_n$ , unde  $H_n$  este al  $n$ -lea număr armonic iar  $\beta \approx 4.32$  verifică ecuația  $(\ln \beta - 1)\beta = 2$ , putem aplica lema 13.5 pentru a concluziona că

$$\Pr\{d(k_j, T) \geq 2(\beta + 1)H_n\} \leq 2\Pr\{|S| \geq (\beta + 1)H_n\} \leq 2/n^2.$$

Deoarece discutăm despre un arbore binar de căutare construit aleator și cu cel mult  $n$  noduri, probabilitatea ca adâncimea *oricăruia* dintre noduri să fie cel puțin  $2(\beta + 1)H_n$  este, folosind inegalitatea lui Boole (6.22), de cel mult  $n(2/n^2) = 2/n$ . Prin urmare, în cel puțin  $1 - 2/n$  din cazuri, înălțimea arborelui binar de căutare construit aleator este mai mică decât  $2(\beta + 1)H_n$  și în cel mult  $2/n$  din cazuri înălțimea este cel mult  $n$ . În concluzie, înălțimea medie este cel mult  $(2(\beta + 1)H_n)(1 - 2/n) + n(2/n) = O(\lg n)$ . ■

## Exerciții

**13.4-1** Descrieți un arbore binar de căutare cu  $n$  noduri astfel ca adâncimea medie a unui nod în arbore să fie  $\Theta(\lg n)$  iar înălțimea arborelui să fie  $\omega(\lg n)$ . Cât de mare poate fi înălțimea unui arbore binar de căutare având  $n$  noduri dacă adâncimea medie a unui nod este  $\Theta(\lg n)$ ?

**13.4-2** Arătați că notiunea de arbore binar de căutare având  $n$  chei ales arbitrar (suntem în situația în care oricare arbore binar de căutare având  $n$  chei este egal probabil a fi ales), este diferită de notiunea de arbore binar de căutare având  $n$  noduri construit aleator, dată în această secțiune. (*Indica ie:* Analizați toate posibilitățile pentru  $n = 3$ .)

**13.4-3 \*** Fiind dată o constantă  $r \geq 1$ , determinați pe  $t$  astfel încât probabilitatea ca înălțimea arborelui binar de căutare construit aleator să fie cel puțin  $tH_n$ , să fie mai mică decât  $1/n^r$ .

**13.4-4 \*** Considerăm algoritmul QUICKSORT-ALEATOR ce are ca date de intrare un sir de  $n$  numere. Demonstrați că pentru orice constantă  $k > 0$  toate cele  $n!$  permutări, mai puțin  $O(1/n^k)$  dintre ele, se execută într-un timp  $O(n \lg n)$ .

## Probleme

### 13-1 Arbori binari de căutare cu chei egale

Cheile egale pun probleme implementării arborilor binari de căutare.

- a. Care este performanța asimptotică a algoritmului ARBORE-INSEREAZĂ când acesta se folosește pentru a insera  $n$  elemente cu chei identice într-un arbore binar de căutare, inițial vid?

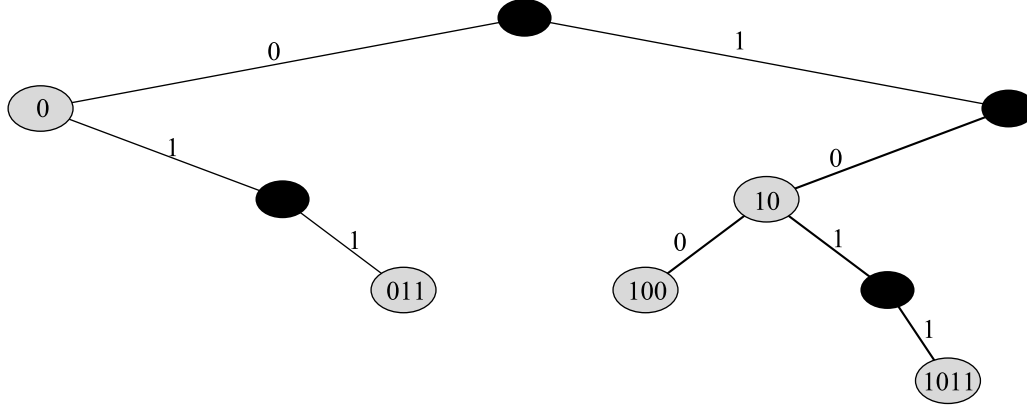
Ne propunem să îmbunătățim algoritmul ARBORE-INSEREAZĂ testând înainte de linia 5 dacă  $cheie[z] = cheie[x]$  și înainte de linia 12 dacă  $cheie[z] = cheie[y]$ . Dacă are loc egalitatea, se va implementa una dintre strategiile descrise în continuare. Găsiți pentru fiecare strategie performanța asimptotică a inserării de  $n$  elemente având chei identice într-un arbore binar de căutare inițial vid (Strategiile sunt descrise pentru linia 5, în care se compară cheile lui  $z$  și  $x$ . Pentru a obține strategiile pentru linia 12, înlocuiți  $x$  cu  $y$ ).

- b. Se folosește un comutator boolean  $b[x]$  pentru nodul  $x$ , și se setează  $x$  la  $stânga[x]$  sau  $dreapta[x]$  în funcție de valoarea lui  $b[x]$ , care va lua alternativ valorile FALSE respectiv ADEVĂRAT la fiecare vizitare a nodului în ARBORE-INSEREAZĂ.
- c. Se memorează o listă de noduri având cheile egale cu cheia din  $x$  și se inserează  $z$  în acea listă.
- d. Se atribuie aleator lui  $x$  fie  $stânga[x]$ , fie  $dreapta[x]$ . (Stabilității performanță în cazul cel mai defavorabil și deduceți intuitiv performanța în cazul mediu).

### 13-2 Arbori cu rădăcină

Fiind date două siruri de caractere  $a = a_0a_1 \dots a_p$  și  $b = b_0b_1 \dots b_q$ , în care fiecare  $a_i$  și fiecare  $b_j$  sunt caractere dintr-o mulțime ordonată de caractere, spunem că sirul de caractere  $a$  este **mai mic lexicografic** decât sirul de caractere  $b$  dacă se verifică una dintre condițiile următoare:

1. există un întreg  $j$ ,  $0 \leq j \leq \min(p, q)$ , astfel încât  $a_i = b_i$  pentru orice  $i = 0, 1, \dots, j - 1$  și  $a_j < b_j$ , sau
2.  $p < q$  și  $a_i = b_i$  pentru orice  $i = 0, 1, \dots, p$ .



**Figura 13.6** Un arbore cu rădăcină care memorează sirurile de biți 1011, 10, 011, 100 și 0. Fiecare cheie a unui nod se poate determina prin traversarea drumului de la rădăcină la nodul respectiv. Prin urmare nu este nevoie să memorăm cheile în noduri; cheile sunt afișate numai în scop ilustrativ. Nodurile sunt hașurate cu negru dacă cheile care le corespund nu sunt în arbore; astfel de noduri sunt prezente numai pentru a stabili un drum spre alte noduri.

De exemplu, dacă  $a$  și  $b$  sunt siruri de biți, atunci  $10100 < 10110$  pe baza regulii 1 (punând  $j = 3$ ), iar  $10100 < 101000$  pe baza regulii 2. Această ordonare este similară celei folosite în dicționarele limbii engleze (și nu numai).

Structura de date **arbore cu rădăcină** ilustrată în figura 13.6 memorează sirurile de biți 1011, 10, 011, 100 și 0. Dacă dorim să căutăm o cheie  $a = a_0a_1\dots a_p$  și ne aflăm într-un nod de adâncime  $i$ , vom merge la stânga dacă  $a_i = 0$  și la dreapta dacă  $a_i = 1$ . Fie  $S$  o mulțime de siruri de caractere binare distințe care au suma lungimilor egală cu  $n$ . Arătați cum se folosește arborele ce rădăcină pentru a sorta lexicografic  $S$  într-un timp  $\Theta(n)$ . De exemplu, în figura 13.6 rezultatul sortării va fi sirul 0, 011, 10, 100, 1011.

**13-3 Adâncimea medie a unui nod într-un arbore binar de căutare construit aleator**  
În această problemă vom demonstra că adâncimea medie a unui nod într-un arbore binar de căutare având  $n$  noduri construit aleator este  $O(\lg n)$ . Cu toate că acest rezultat este mai slab decât cel dat în teorema 13.6, tehnică pe care o vom folosi relevă o similaritate surprinzătoare între construirea unui arbore binar de căutare și execuția algoritmului QUICKSORT-ALEATOR din secțiunea 8.3. Ne reamintim din capitolul 5 că lungimea drumului interior  $P(T)$  al unui arbore binar  $T$  este suma adâncimilor nodurilor  $x$ , notată cu  $d(x, T)$  peste toate nodurile  $x$  din  $T$ .

a. Demonstrați că adâncimea medie a unui nod în  $T$  este

$$\frac{1}{n} \sum_{x \in T} d(x, T) = \frac{1}{n} P(T).$$

Acum dorim să arătăm că valoarea medie pentru  $P(T)$  este  $O(n \lg n)$ .

b. Notăm cu  $T_L$  și respectiv  $T_R$  subarborele stâng, respectiv subarborele drept al arborelui  $T$ . Demonstrați că dacă  $T$  are  $n$  noduri, atunci

$$P(T) = P(T_L) + P(T_R) + n - 1.$$

- c. Notăm cu  $P(n)$  lungimea medie a drumului interior al unui arbore binar de căutare construit aleator având  $n$  noduri. Arătați că

$$P(n) = \frac{1}{n} \sum_{i=0}^{n-1} (P(i) + P(n-i-1) + n-1) .$$

- d. Arătați că  $P(n)$  se poate scrie astfel:

$$P(n) = \frac{2}{n} \sum_{k=1}^{n-1} P(k) + \Theta(n).$$

- e. Reamintindu-vă analiza versiunii aleatoare a algoritmului QUICKSORT, demonstrați că  $P(n) = O(n \lg n)$ .

La fiecare apelare recursivă a algoritmului QUICKSORT, alegem aleator un element pivot pentru a partitura mulțimea elementelor de sortat. Fiecare nod al unui arbore binar de căutare împarte în două mulțimea de elemente care aparțin subarborelui cu rădăcina în respectivul nod.

- f. Descrieți o implementare a algoritmului QUICKSORT în care comparațiile efectuate pentru a sorta o mulțime de elemente sunt exact aceleași care se folosesc pentru a insera elementele într-un arbore binar de căutare. (Ordinea în care se fac comparațiile poate să difere, însă trebuie făcute exact aceleași comparații.)

#### 13-4 Numărul de arbori binari distincți

Notăm cu  $b_n$  numărul de arbori binari distincți având  $n$  noduri. În această problemă veți găsi o formulă pentru  $b_n$  și o estimare asimptotică.

- a. Arătați că  $b_0 = 1$  și că, pentru  $n \geq 1$ ,

$$b_n = \sum_{k=0}^{n-1} b_k b_{n-1-k}.$$

- b. Fie  $B(x)$  funcția generatoare

$$B(x) = \sum_{n=0}^{\infty} b_n x^n$$

(vezi problema 4-6 pentru definiția funcțiilor generatoare). Arătați că  $B(x) = xB(x)^2 + 1$  și de aici că

$$B(x) = \frac{1}{2x}(1 - \sqrt{1 - 4x}).$$

**Dezvoltarea în serie Taylor** a lui  $f(x)$  în vecinătatea punctului  $x = a$  este dată de

$$f(x) = \sum_{k=0}^{\infty} \frac{f^{(k)}(a)}{k!} (x - a)^k,$$

unde  $f^{(k)}(x)$  este derivata de ordinul  $k$  a lui  $f$  în punctul  $x$ .

**c.** Arătați că

$$b_n = \frac{1}{n+1} \binom{2n}{n}$$

(al  $n$ -lea **număr Catalan**) folosind dezvoltarea în serie Taylor a expresiei  $\sqrt{1 - 4x}$  în vecinătatea lui  $x = 0$ . (Dacă doriți, puteți folosi generalizarea dezvoltării binomiale (6.5) pentru exponenti neîntregi  $n$  în locul dezvoltării în serie Taylor, în care pentru orice număr real  $n$  și orice întreg  $k$ , coeficientul binomial  $\binom{n}{k}$  va fi interpretat ca  $n(n-1)\dots(n-k+1)/k!$  dacă  $k \geq 0$  și 0 în caz contrar.)

**d.** Arătați că

$$b_n = \frac{4^n}{\sqrt{\pi} n^{3/2}} (1 + O(1/n)).$$

## Note bibliografice

Knuth [123] conține o discuție pertinentă a arborilor binari de căutare simpli și de asemenea a numeroase variante ale acestora. Se pare că arborii binari de căutare au fost descoperiți independent de mai mulți cercetători la sfârșitul anilor '50.

---

## 14 Arbori roșu-negru

Capitolul 13 a arătat că un arbore binar de căutare de înălțime  $h$  poate implementa oricare dintre operațiile de bază pe mulțimi dinamice – precum CAUTĂ, PREDECESOR, SUCCESOR, MINIM, MAXIM, INSEREAZĂ și ȘTERGE – într-un timp  $O(h)$ . Prin urmare, operațiile pe mulțimi sunt rapide dacă înălțimea arborelui de căutare este mică; dacă însă arborele are înălțimea mare, performanțele operațiilor s-ar putea să nu fie mai bune decât cele ale listelor înlănțuite. Arborii roșu-negru sunt un caz particular de arbori de căutare care sunt “echilibrați” în ideea garantării unui timp  $O(\lg n)$  pentru cazul cel mai defavorabil al execuției operațiilor de bază pe mulțimi dinamice.

---

### 14.1. Proprietățile arborilor roșu-negru

Un **arbore roșu-negru** este un arbore binar de căutare care are un bit suplimentar pentru memorarea fiecărui nod: **culoarea** acestuia, care poate fi ROȘU sau NEGRU. Prin restrângerea modului în care se colorează nodurile pe orice drum de la rădăcină la o frunză, arborii roșu-negru garantează că nici un astfel de drum nu este mai lung decât dublul lungimii oricărui alt drum, deci că arboarele este aproximativ **echilibrat**.

Fiecare nod al arborelui conține astfel câmpurile *culoare*, *cheie*, *stânga*, *dreapta* și *p*. Dacă fiul sau părintele unui nod nu există, câmpul pointer corespunzător din nod are valoarea NIL. Vom considera că aceste valori NIL sunt pointeri la noduri (frunze) externe arborelui binar de căutare și că nodurile obișnuite, care conțin chei, sunt noduri interne ale arborelui.

Un arbore binar de căutare este arbore roșu-negru dacă el îndeplinește următoarele **proprietăți roșu-negru**:

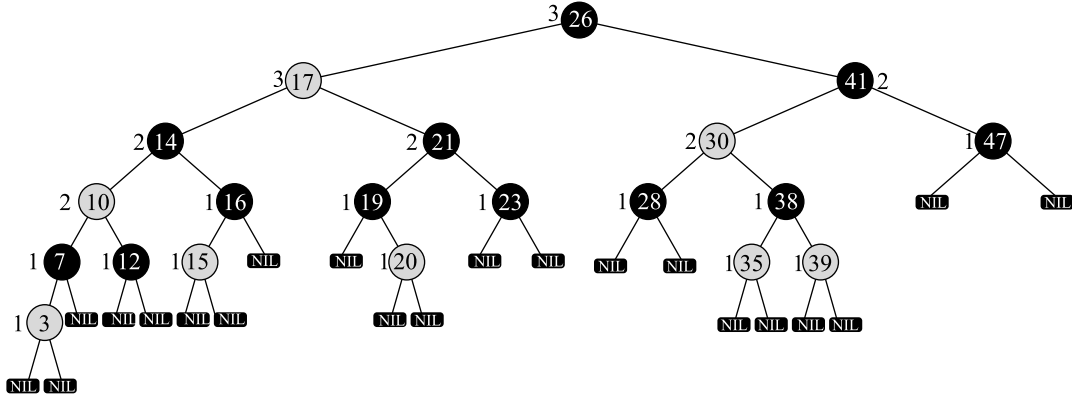
1. Fiecare nod este fie roșu, fie negru.
2. Fiecare frunză (NIL) este neagră.
3. Dacă un nod este roșu, atunci ambii fii ai săi sunt negri.
4. Fiecare drum simplu de la un nod la un descendant care este frunză conține același număr de noduri negre.

În figura 14.1 este prezentat un exemplu de arbore roșu-negru.

Numărul de noduri negre pe orice drum de la un nod (fără a include în numărare și nodul) în jos spre o frunză se va numi **înălțimea neagră** a nodului și se va nota cu  $nh(x)$ . Notiunea de înălțime neagră este bine definită pe baza proprietății 4, conform căreia toate drumurile de la nod în jos au același număr de noduri negre. Vom defini înălțimea neagră a unui arbore roșu-negru ca fiind înălțimea neagră a rădăcinii sale.

Lema următoare va arăta de ce arborii roșu-negru sunt arbori de căutare eficienți.

**Lema 14.1** Un arbore roșu-negru cu  $n$  noduri interne are înălțimea mărginită superior de  $2\lg(n + 1)$ .



**Figura 14.1** Un arbore roșu-negru în care nodurile negre sunt înnegrite, iar nodurile roșii sunt gri. Fiecare nod dintr-un asemenea arbore este fie roșu fie negru, fiecare frunză (NIL) este neagră, fii unui nod roșu sunt ambii negri, iar oricare drum simplu de la un nod la un descendent frunză conține același număr de noduri negre. Fiecare nod diferit de NIL este marcat cu un număr ce reprezintă înălțimea neagră a nodului; nodurile NIL au înălțimea neagră egală cu 0.

**Demonstrație.** Vom arăta la început că subarborele care are ca rădăcină un nod oarecare  $x$  conține cel puțin  $2^{bh(x)} - 1$  noduri interne. Această afirmație va fi demonstrată prin inducție după înălțimea nodului  $x$ . Dacă înălțimea lui  $x$  este 0, atunci  $x$  trebuie să fie frunză (NIL), iar subarborele cu rădăcina  $x$  conține cel puțin  $2^{bh(x)} - 1 = 2^0 - 1 = 0$  noduri interne. Pentru pasul de inducție vom considera un nod  $x$  care are înălțimea pozitivă și este nod intern cu doi fii. Fiecare fiu are înălțimea neagră egală fie cu  $bh(x)$ , fie cu  $bh(x) - 1$ , în funcție de culoarea sa (roșu, respectiv negru). Deoarece înălțimea unui fiu al lui  $x$  este mai mică decât înălțimea lui  $x$ , putem aplica ipoteza inducției pentru a demonstra că fiecare fiu are cel puțin  $2^{bh(x)-1} - 1$  noduri interne. Prin urmare, subarborele cu rădăcina  $x$  conține cel puțin  $(2^{bh(x)-1} - 1) + (2^{bh(x)-1} - 1) + 1 = 2^{bh(x)} - 1$  noduri interne, ceea ce demonstrează afirmația de mai sus.

Pentru a termina demonstrația lemei, notăm cu  $h$  înălțimea arborelui. Conform proprietății 3, cel puțin jumătate dintre nodurile de pe orice drum simplu de la rădăcină la o frunză, fără a număra și rădăcina, trebuie să fie colorate cu negru. Prin urmare, înălțimea neagră a rădăcinii trebuie să fie cel puțin  $h/2$ ; de aici rezultă

$$n \geq 2^{h/2} - 1.$$

Mutând pe 1 în membrul stâng și logaritmând ambele membri, obținem că  $\lg(n+1) \geq h/2$  sau că  $h \leq 2\lg(n+1)$ . ■

O consecință imediată a acestei leme este că operațiile pe mulțimi dinamice CAUTĂ, MINIM, MAXIM, SUCCESOR și PREDECESOR se pot implementa pe arborii roșu-negru într-un timp  $O(\lg n)$ , deoarece pe un arbore binar de căutare de înălțime  $h$  aceste operații se pot executa într-un timp  $O(h)$  (după cum s-a arătat în capitolul 13) și deoarece orice arbore roșu-negru cu  $n$  noduri este un arbore de căutare cu înălțimea  $O(\lg n)$ . Cu toate că algoritmii ARBORE-INSEREZĂ și ARBORE-ȘTERGE prezentați în capitolul 13 se execută într-un timp  $O(\lg n)$  pe un arbore roșu-negru, ei nu sprijină direct operațiile INSEREZĂ și ȘTERGE pe mulțimi dinamice, deoarece ei nu garantează că arboarele binar de căutare rezultat prin aplicarea lor va rămâne

arbore roșu-negru. În secțiunile 14.3 și 14.4 vom vedea că și aceste două operații se pot executa într-un timp  $O(\lg n)$ .

## Exerciții

**14.1-1** Trasați arborele binar de căutare complet de înălțime 3 având cheile  $\{1, 2, \dots, 15\}$ . Adăugați frunze NIL și colorați nodurile în trei moduri diferite astfel încât înălțimile negre ale arborilor roșu-negru rezultați să fie 2, 3 și respectiv 4.

**14.1-2** Presupunem că rădăcina unui arbore roșu-negru are culoarea roșu. Dacă îi schimbăm culoarea în negru, noul arbore este tot roșu-negru?

**14.1-3** Arătați că cel mai lung drum simplu de la un nod  $x$ , dintr-un arbore roșu-negru, la o frunză descendantă are lungimea cel mult dublul lungimii celui mai scurt drum simplu de la nodul  $x$  la o frunză descendantă.

**14.1-4** Care este cel mai mare număr posibil de noduri interne într-un arbore roșu-negru cu înălțimea neagră  $k$ ? Dar cel mai mic?

**14.1-5** Descrieți un arbore roșu-negru având  $n$  chei care are cel mai mare raport posibil dintre numărul de noduri interne roșii și numărul de noduri interne negre. Care este acest raport? Care arbore are cel mai mic raport, și care este acest raport?

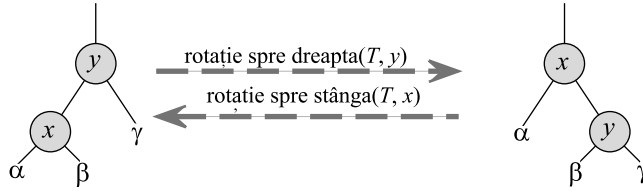
## 14.2. Rotații

Executând pe arbori roșu-negru având  $n$  chei operațiile definite pe arbori de căutare ARBORE-INSEREAZĂ și ARBORE-STERGE va consuma un timp de  $O(\lg n)$ . Deoarece ele modifică arborele, se poate întâmpla ca rezultatul efectuării lor să încalce proprietățile roșu-negru enumerate în secțiunea 14.1. Pentru a reface aceste proprietăți, atât culorile unora dintre nodurile arborelui cât și structura pointerilor trebuie modificate.

Structura pointerilor se modifică prin **rotație**, operație locală într-un arbore de căutare ce conservă ordonarea cheilor în inordine. Figura 14.2 ilustrează cele două tipuri de rotații: rotații la stânga și rotații la dreapta. Când se efectuează o rotație la stânga pe un nod  $x$ , presupunem că fiul drept al acestuia,  $y$ , este diferit de NIL. Rotația la stânga “pivoteară” în jurul legăturii de la  $x$  la  $y$ . Ea transformă pe  $y$  în rădăcină a subarborelui, pe  $x$  în fiu stâng al lui  $y$  și pe fiul stâng al lui  $y$  în fiu drept al lui  $x$ .

Pseudocodul pentru ROTEŞTE-STÂNGA presupune că  $dreapta[x] \neq \text{NIL}$ .

Figura 14.3 ilustrează modul de operare al algoritmului ROTEŞTE-STÂNGA. Codul pentru ROTEŞTE-DREAPTA este similar. Atât ROTEŞTE-STÂNGA cât și ROTEŞTE-DREAPTA se execută în timp  $O(1)$ . Prin rotație se modifică numai pointerii; toate celelalte câmpuri ale nodului rămân aceleași.



**Figura 14.2** Operații de rotație pe un arbore binar de căutare. Operația ROTEŞTE-DREAPTA( $T, y$ ) transformă configurația de două noduri din stânga în configurația prezentată în dreapta prin modificarea unui număr constant de pointeri. Configurația din dreapta se poate transforma în configurația din stânga prin operația inversă ROTEŞTE-STÂNGA( $T, x$ ). Cele două noduri pot să apară oriunde într-un arbore binar de căutare. Literele  $\alpha, \beta$  și  $\gamma$  reprezintă subarbore arbitrari. Operația de rotație conservă ordonarea cheilor în inordine: cheile din  $\alpha$  sunt înaintea lui  $cheie[x]$ , care este înaintea cheilor din  $\beta$ , care la rândul lor sunt mai mici decât  $cheie[y]$  și care, în sfârșit, este mai mică decât cheile din  $\gamma$ .

#### ROTEŞTE-STÂNGA( $T, x$ )

- 1:  $y \leftarrow dreapta[x]$   $\triangleright$  Setează  $y$ .
- 2:  $dreapta[x] \leftarrow stânga[y]$   $\triangleright$  Transformă subarborele stâng al lui  $y$  în subarbore drept al lui  $x$ .
- 3: **dacă**  $stânga[y] \neq \text{NIL}$  **atunci**
- 4:    $p[stânga[y]] \leftarrow x$
- 5:    $p[y] \leftarrow p[x]$   $\triangleright$  Leagă părintele lui  $x$  de  $y$ .
- 6: **dacă**  $p[x] = \text{NIL}$  **atunci**
- 7:    $r \leftarrow cin[T] \leftarrow y$
- 8: **altfel**
- 9:   **dacă**  $x = stânga[p[x]]$  **atunci**
- 10:      $stânga[p[x]] \leftarrow y$
- 11:   **altfel**
- 12:      $dreapta[p[x]] \leftarrow y$
- 13:      $stânga[y] \leftarrow x$   $\triangleright$  Pune pe  $x$  ca fiu stâng al lui  $y$ .
- 14:    $p[x] \leftarrow y$

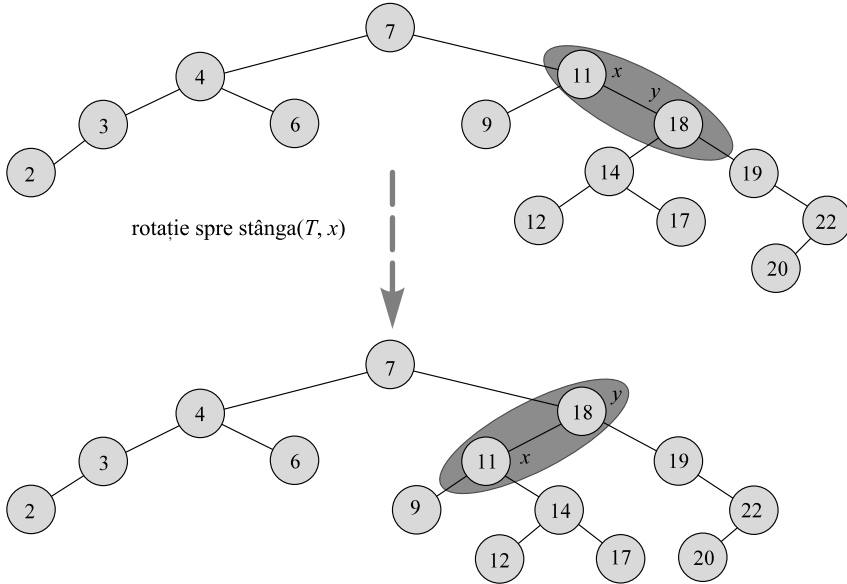
### Exerciții

**14.2-1** Trasați arborele roșu-negru care rezultă după apelul procedurii ARBORE-INSEREAZĂ aplicată arborelui din figura 14.1, pentru cheia 36. Dacă nodul inserat este colorat cu roșu, va fi arborele rezultat un arbore roșu-negru? Dar dacă este colorat cu negru?

**14.2-2** Scrieți pseudocodul pentru ROTEŞTE-DREAPTA.

**14.2-3** Fie  $a, b$  și  $c$  noduri arbitrare în subarborele  $\alpha, \beta$  și respectiv  $\gamma$  din arborele plasat în partea stângă a figurii 14.2. Cum se modifică adâncimile nodurilor  $a, b$  și  $c$  când se efectuează o rotație la dreapta pe nodul  $y$  din figură?

**14.2-4** Arătați că orice arbore binar de căutare având  $n$  noduri poate fi transformat în orice alt arbore binar de căutare având  $n$  noduri, folosind  $O(n)$  rotații. (*Indica ie:* Arătați mai întâi că sunt suficiente cel mult  $n - 1$  rotații la dreapta pentru a transforma arborele într-un lanț spre dreapta).



**Figura 14.3** Un exemplu care ilustrează modul în care procedura ROTEŞTE-STÂNGA( $T, x$ ) modifică un arbore binar de căutare. Frunzele NIL sunt omise. Traversarea în inordine aplicată arborelui de intrare și arborelui modificat produc aceeași listă de valori de chei.

### 14.3. Inserarea

Inserarea unui nod într-un arbore roșu-negru având  $n$  noduri se poate realiza într-un timp  $O(\lg n)$ . Vom utiliza la început procedura ARBORE-INSEREAZĂ (secțiunea 13.3) pentru a insera un nod  $x$  în arborele  $T$  considerând că  $T$  este un arbore binar de căutare obișnuit și apoi îl vom colora pe  $x$  cu roșu. Pentru a garanta conservarea proprietăților roșu-negru, vom reface arborele rezultat prin recolorarea nodurilor și efectuarea de rotații. Majoritatea codului algoritmului RN-INSEREAZĂ gestionează diversele cazuri ce pot apărea în timpul refacerii proprietăților roșu-negru pentru arborele rezultat în urma execuției algoritmului ARBORE-INSEREAZĂ.

Codul algoritmului RN-INSEREAZĂ este mai puțin complicat decât arată și îl vom examina în trei pași majori. La început vom determina ce încălcări ale proprietăților roșu-negru se introduc în liniile 1–2 când se inserează în arbore nodul  $x$  și apoi acesta se colorează cu roșu. Pe urmă vom examina motivația principală a ciclului **cât timp** din liniile 3–19. În sfârșit, vom explora fiecare dintre cele trei cazuri în care se subdivide corpul ciclului **cât timp** și vom vedea cum sunt atinse dezideratele. Figura 14.4 ilustrează modul de funcționare al algoritmului RN-INSEREAZĂ pe un arbore roșu-negru eșantion.

Care dintre proprietățile roșu-negru se pot încărca după execuția liniilor 1–2? În mod sigur proprietatea 1 se conservă, la fel și proprietatea 2, deoarece nouă nod inserat are fiile setați pe NIL. Proprietatea 4, care afirmă că numărul de noduri colorate cu negru este același pe orice drum ce pleacă dintr-un nod dat spre frunze, se păstrează de asemenea, deoarece nodul  $x$  înlocuiește un nod NIL (negru), iar nodul  $x$  este roșu și cu fiile colorați cu negru. Prin urmare, singura proprietate

care ar putea fi distrusă este proprietatea 3, care afirmă că un nod colorat cu roșu nu poate avea un fiu colorat și el cu roșu. Mai exact, proprietatea 3 este încălcată dacă părintele lui  $x$  este colorat cu roșu, deoarece  $x$  este el însuși colorat astfel în linia 2. Figura 14.4(a) ilustrează acest caz după ce nodul  $x$  a fost inserat și colorat cu roșu.

RN-INSEREAZĂ( $T, x$ )

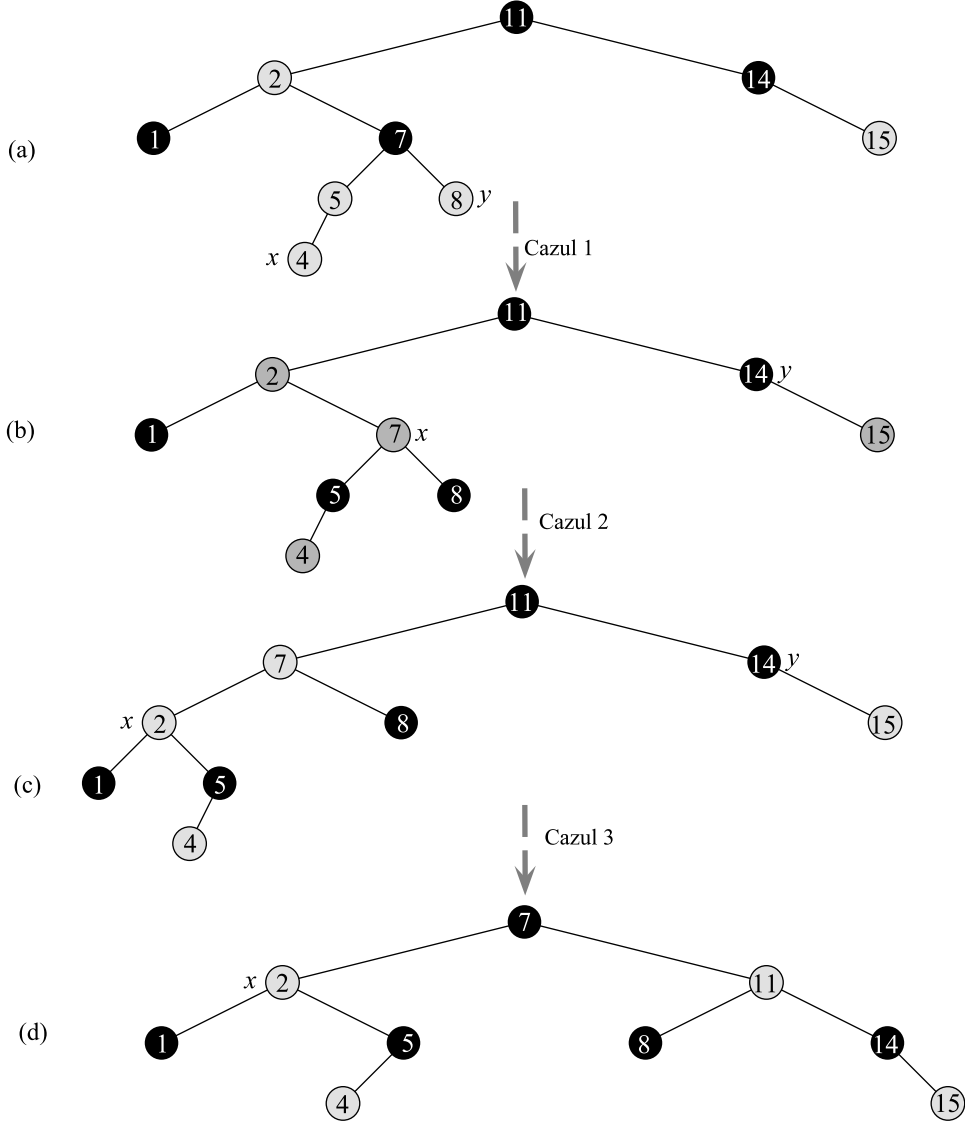
- 1: ARBORE-INSEREAZĂ( $T, x$ )
- 2:  $culoare[x] \leftarrow \text{ROȘU}$
- 3: **cât timp**  $x \neq r \wedge \text{cin}[T] \wedge \text{culoare}[p[x]] = \text{ROȘU}$  **execută**
- 4:   **dacă**  $p[x] = \text{stânga}[p[p[x]]]$  **atunci**
- 5:      $y \leftarrow \text{dreapta}[p[p[x]]]$
- 6:     **dacă**  $\text{culoare}[y] = \text{ROȘU}$  **atunci**
- 7:        $\text{culoare}[p[x]] \leftarrow \text{NEGRU}$                        $\triangleright \text{Cazul 1}$
- 8:        $\text{culoare}[y] \leftarrow \text{NEGRU}$                        $\triangleright \text{Cazul 1}$
- 9:        $\text{culoare}[p[p[x]]] \leftarrow \text{ROȘU}$                        $\triangleright \text{Cazul 1}$
- 10:       $x \leftarrow p[p[x]]$                                $\triangleright \text{Cazul 1}$
- 11:     **altfel**
- 12:       **dacă**  $x = \text{dreapta}[p[x]]$  **atunci**
- 13:          $x \leftarrow p[x]$                                $\triangleright \text{Cazul 2}$
- 14:         ROTEŞTE-STÂNGA( $T, x$ )                       $\triangleright \text{Cazul 2}$
- 15:          $\text{culoare}[p[x]] \leftarrow \text{NEGRU}$                        $\triangleright \text{Cazul 3}$
- 16:          $\text{culoare}[p[p[x]]] \leftarrow \text{ROȘU}$                        $\triangleright \text{Cazul 3}$
- 17:         ROTEŞTE-DREAPTA( $T, p[p[x]]$ )               $\triangleright \text{Cazul 3}$
- 18:     **altfel**
- 19:       (La fel ca în clauza **atunci** interschimbând “dreapta” cu “stânga”)
- 20:       $\text{culoare}[r \wedge \text{cin}[T]] \leftarrow \text{NEGRU}$

Scopul principal al ciclului **cât timp** din liniile 3–19 este să mute în sus în arbore nodul care încalcă proprietatea 3 și în același timp să păstreze ca invariant proprietatea 4. La începutul fiecărei iterații a ciclului,  $x$  va referi un nod colorat cu roșu și care are părintele colorat cu roșu – singura încălcare a proprietăților roșu-negru din arbore. Există două rezultate posibile ale fiecărei iterații din ciclu: ori pointerul  $x$  se mută în sus în arbore, ori se efectuează anumite rotații și ciclul se încheie.

Există de fapt șase cazuri care trebuie considerate în ciclul **cât timp**, însă trei dintre ele sunt simetrice celorlalte trei, în funcție de cum părintele  $p[x]$  al lui  $x$  este fiul stâng sau fiul drept al bunicului  $p[p[x]]$  al lui  $x$ , lucruri care se determină în linia 4. Pseudocodul conține numai cazul în care  $p[x]$  este fiul stâng al părintelui său,  $p[p[x]]$ . S-a făcut o presupunere importantă, că rădăcina arborelui este colorată cu negru – o proprietate care se garantează în linia 20 ori de câte ori algoritmul se termină – deci  $p[x]$  nu este rădăcina arborelui și  $p[p[x]]$  există.

Cazul 1 se deosebește de cazurile 2 și 3 prin culoarea fratelui părintelui lui  $x$  (“unchiul” lui  $x$ ). Linia 5 face pe  $y$  să refere unchiul  $\text{dreapta}[p[p[x]]]$  al lui  $x$  și apoi se face un test în linia 6. Dacă  $y$  este colorat cu roșu, se execută cazul 1. Altfel, se vor executa cazurile 2 sau 3. În toate cele trei cazuri, bunicul  $p[p[x]]$  al lui  $x$  este negru, deoarece părintele  $p[x]$  al lui  $x$  este roșu iar proprietatea 3 este încălcată numai între  $x$  și  $p[x]$ .

Prelucrările corespunzătoare cazului 1 (liniile 7–10) sunt ilustrate în figura 14.5. Acest caz se execută când atât  $p[x]$  cât și  $x$  sunt colorați cu roșu. Deoarece  $p[p[x]]$  este colorat cu negru,



**Figura 14.4** Modul de operare al algoritmului RN-INSEREAZĂ. (a) Nodul  $x$  după inserare. Deoarece  $x$  și părintele său  $p[x]$  sunt ambii colorați cu roșu, proprietatea 3 nu este verificată. Deoarece unchiul  $y$  al lui  $x$  este tot roșu, se poate folosi cazul 1 din cod. Nodurile sunt recolorate și pointerul  $x$  este mutat în sus în arbore, rezultând arborele prezentat în (b). Din nou,  $x$  și părintele său  $p[x]$  sunt ambii colorați cu roșu, însă unchiul  $y$  al lui  $x$  este de data aceasta colorat cu negru. Deoarece  $x$  este fiul drept al lui  $p[x]$ , se poate folosi cazul 2. Se efectuează o rotație la stânga și arborele care rezultă este prezentat în (c). Acum  $x$  este fiul stâng al părintelui său și se va folosi cazul 3. Se efectuează o rotație la dreapta care va produce arborele din (d), care este un arbore roșu-negru valid.

atât  $p[x]$  cât și  $x$  se pot colora cu negru, rezolvând prin urmare conflictul că  $p[x]$  și  $x$  sunt ambii colorați cu roșu, și apoi vom colora pe  $p[p[x]]$  cu roșu, conservând astfel proprietatea 4. Singura problemă care poate să apară este ca  $p[p[x]]$  să aibă la rândul său un părinte colorat cu roșu; prin urmare trebuie să repetăm ciclul **cât timp** cu  $p[p[x]]$  pe postul noului nod  $x$ .

În cazurile 2 și 3, culoarea unchiului  $y$  al lui  $x$  este neagră. Cele două cazuri se deosebesc prin aceea că  $x$  este fiul drept, respectiv fiul stâng al lui  $p[x]$ . Liniile 13–14 corespund cazului 2, care este ilustrat împreună cu cazul 3 în figura 14.6. În cazul 2, nodul  $x$  este fiul drept al părintelui său. Prin folosirea unei rotații la stânga, acest caz se transformă în cazul 3 (liniile 15–17), în care nodul  $x$  este fiul stâng al părintelui său. Deoarece atât  $x$  cât și  $p[x]$  sunt colorați cu roșu, rotația nu afectează nici înălțimea neagră a nodurilor, nici proprietatea 4. Indiferent dacă ajungem la cazul 3 direct sau prin cazul 2, acum unchiul  $y$  al lui  $x$  este colorat cu negru, deoarece altfel am fi executat cazul 1. În cazul 3 se execută două schimbări de culoare și o rotație la dreapta, care conservă proprietatea 4, și apoi, deoarece nu mai avem două noduri consecutive colorate cu roșu, am terminat. Corpul ciclului **cât timp** nu se va mai executa încă o dată deoarece acum  $p[x]$  este colorat cu negru.

Care este timpul de execuție al algoritmului RN-INSEREAZĂ? Deoarece înălțimea unui arbore roșu-negru având  $n$  noduri este  $O(\lg n)$ , apelul lui ARBORE-INSEREAZĂ va consuma un timp  $O(\lg n)$ . Corpul ciclului **cât timp** se repetă numai când se execută cazul 1, și în acest caz pointerul  $x$  urcă în arbore. Prin urmare corpul ciclului **cât timp** se poate repeta tot de  $O(\lg n)$  ori. În concluzie, algoritmul RN-INSEREAZĂ se execută într-un timp total de  $O(\lg n)$ . Este interesant de știut că el nu execută niciodată mai mult de două rotații, deoarece ciclul **cât timp** se termină în oricare din cazurile 2 și 3.

## Exerciții

**14.3-1** În linia 2 a algoritmului RN-INSEREAZĂ se setează la roșu culoarea noului nod inserat  $x$ . Să observăm că dacă s-ar seta la negru culoarea lui  $x$ , atunci proprietatea 3 a arborilor roșu-negru nu ar fi încălcată. De ce nu s-a setat la negru culoarea lui  $x$ ?

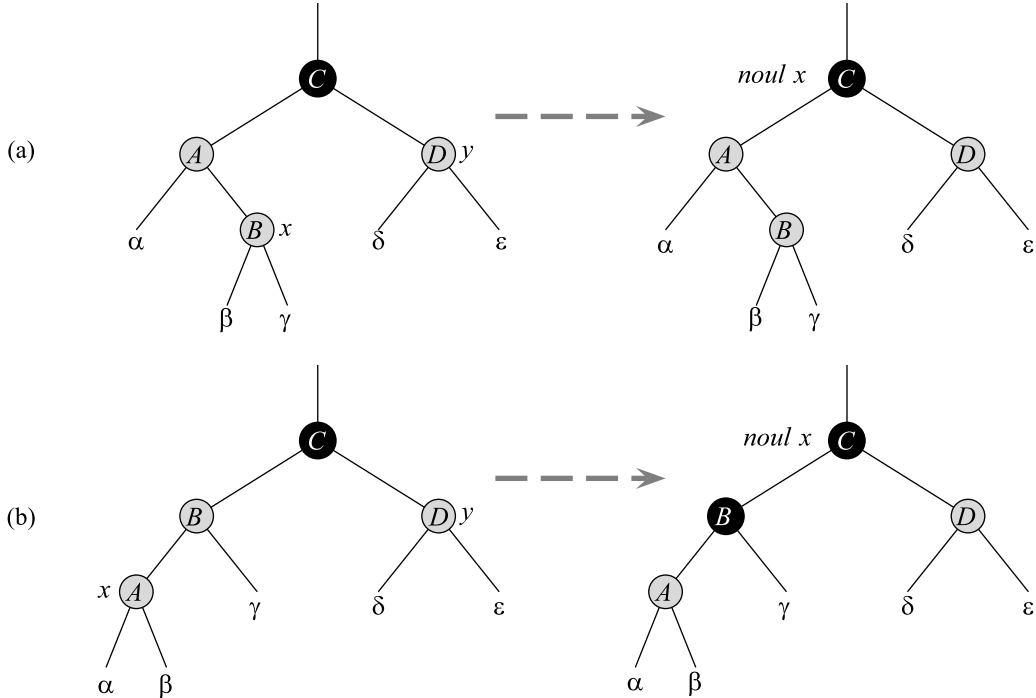
**14.3-2** În linia 20 a algoritmului RN-INSEREAZĂ se setează la negru culoarea rădăcinii. Care este avantajul acestei operații?

**14.3-3** Desenați arborii roșu-negru care rezultă după inserarea succesivă a cheilor 41, 38, 31, 12, 19, 8 într-un arbore roșu-negru inițial vid.

**14.3-4** Presupunem că înălțimea neagră a fiecărui dintre subarborii  $\alpha, \beta, \gamma, \delta$  și  $\varepsilon$  din figurile 14.5 și 14.6 este  $k$ . Etichetați fiecare nod din cele două figuri cu înălțimea neagră a sa pentru a verifica respectarea proprietății 4 prin transformările indicate.

**14.3-5** Considerăm un arbore roșu-negru format prin inserarea a  $n$  noduri, folosind algoritmul RN-INSEREAZĂ. Demonstrați că dacă  $n > 1$  atunci arboarele are cel puțin un nod colorat cu roșu.

**14.3-6** Sugerați o implementare eficientă a algoritmului RN-INSEREAZĂ în cazul în care reprezentarea arborilor roșu-negru nu conține informații despre pointerii părinte.



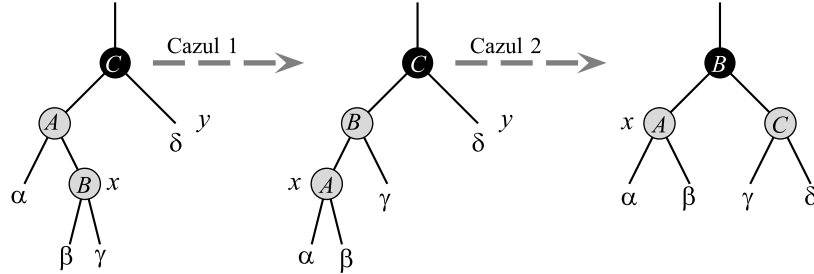
**Figura 14.5** Cazul 1 al procedurii RN-INSEREAZĂ. Proprietatea 3 este încălcată deoarece  $x$  și părintele său  $p[x]$  sunt ambii colorați cu roșu. Aceeași acțiune este efectuată indiferent dacă (a)  $x$  este fiul drept sau (b)  $x$  este fiul stâng. Fiecare dintre subarborii  $\alpha, \beta, \gamma, \delta$  și  $\epsilon$  au rădăcina colorată cu negru și toți au aceeași înălțime neagră. Codul pentru cazul 1 schimbă culorile unor noduri, conservând proprietatea 4: toate drumurile în jos de la un nod fixat la frunze au același număr de noduri colorate cu negru. Ciclul **cât timp** continuă cu bunicul  $p[p[x]]$  al lui  $x$  pe post de noul nod  $x$  inserat. Orice încălcare a proprietății 3 poate să apară acum numai între noul  $x$ , care este colorat cu roșu, și părintele său, dacă și acesta este colorat cu roșu.

## 14.4. Ștergerea

La fel ca și celealte operații de bază pe un arbore roșu-negru cu  $n$  noduri, ștergerea unui nod consumă un timp  $O(\lg n)$ . Ștergerea unui nod dintr-un arbore roșu-negru nu este cu mult mai complicată decât inserarea unui nod într-un astfel de arbore.

Pentru a face mai simple condițiile la limită (extreme) din cod, vom folosi o santinelă pentru a reprezenta NIL (vezi pagina 176). Pentru un arbore roșu-negru  $T$ , santinela  $nil[T]$  este un obiect cu aceleași câmpuri ca și un nod obișnuit din arbore. Câmpul *culoare* al său este NEGRU iar celelalte câmpuri –  $p$ , *stânga*, *dreapta* și *cheie* – se pot seta la valori arbitrară. În arboarele roșu-negru, toți pointerii la NIL vor fi înlocuiți cu pointeri la santinela  $nil[T]$ .

Santinelele se folosesc pentru a trata unitar toate nodurile arborelui: un fiu NIL al unui nod  $x$  se va putea considera ca și nod obișnuit al cărui părinte este  $x$ . Am putea adăuga câte un



**Figura 14.6** Cazurile 2 și 3 ale procedurii RN-INSEREAZĂ. Ca și în cazul 1, proprietatea 3 este încălcată în oricare dintre cazurile 2 și 3 deoarece  $x$  și părintele său  $p[x]$  sunt ambii colorați cu roșu. Fiecare dintre subarborii  $\alpha, \beta, \gamma$  și  $\delta$  au rădăcina colorată cu negru și toți au aceeași înălțime neagră. Cazul 2 se transformă în cazul 3 printr-o rotație la stânga, care conservă proprietatea 4: toate drumurile în jos de la un nod fixat la frunze au același număr de noduri colorate cu negru. Cazul 3 schimbă culorile unor noduri și efectuează o rotație la dreapta, care și ea conservă proprietatea 4. Apoi execuția ciclului **cât timp** se termină, deoarece proprietatea 3 este verificată: nu mai există două noduri consecutive colorate cu roșu.

nod santinelă distinct pentru fiecare nod NIL din arbore, astfel că părintele fiecărui nod NIL ar fi bine definit, însă această strategie ar însemna un consum suplimentar de spațiu. În consecință, vom folosi o singură santinelă  $nil[T]$  pentru a reprezenta toate nodurile NIL. Când vom dori să manipulăm un fiu al unui nod  $x$ , va trebui să nu uităm să setăm în prealabil  $p=nil[T]$  la  $x$ .

RN-STERGE( $T, z$ )

- 1: dacă  $stânga[z] = nil[T]$  sau  $dreapta[z] = nil[T]$  atunci
- 2:    $y \leftarrow z$
- 3: altfel
- 4:    $y \leftarrow ARBORE-SUCESOR(z)$
- 5: dacă  $stânga[y] \neq nil[T]$  atunci
- 6:    $x \leftarrow stânga[y]$
- 7: altfel
- 8:    $x \leftarrow dreapta[y]$
- 9:  $p[x] \leftarrow p[y]$
- 10: dacă  $p[y] = nil[T]$  atunci
- 11:    $r \leftarrow cin[T] \leftarrow x$
- 12: altfel dacă  $y = stânga[p[y]]$  atunci
- 13:    $stânga[p[y]] \leftarrow x$
- 14: altfel
- 15:    $dreapta[p[y]] \leftarrow x$
- 16: dacă  $y \neq z$  atunci
- 17:    $cheie[z] \leftarrow cheie[y]$
- 18:   ▷ copiază și celealte câmpuri ale lui  $y$
- 19: dacă  $culoare[y] = NEGRU$  atunci
- 20:   RN-STERGE-REPĂRĂ( $T, x$ )
- 21: returnează  $y$

Procedura RN-STERGE reprezintă o modificare minoră a procedurii ARBORE-STERGE (secțiunea 13.3). După eliminarea nodului din arbore, ea apelează o procedură ajutătoare RN-STERGE-REPĂRĂ care schimbă culorile și efectuează rotările necesare conservării proprietăților roșu-negru.

Există trei deosebiri între procedurile ARBORE-STERGE și RN-STERGE. În primul rând, toate referirile la NIL din ARBORE-STERGE au fost înlocuite în RN-STERGE prin referințe la  $nil[T]$ . În al doilea rând, testul pentru  $x \neq NIL$  din linia 9 a lui ARBORE-STERGE a fost eliminat, iar atribuirea  $p[x] \leftarrow p[y]$  se face necondiționat în linia 9 a algoritmului RN-STERGE. Astfel, dacă  $x$  este sântinela  $nil[T]$ , pointerul său părinte va referi părintele nodului  $y$  eliminat din arbore. Ultima deosebire constă în apelul procedurii RN-STERGE-REPĂRĂ care se execută în liniile 19–20 când  $y$  este colorat cu negru. Dacă  $y$  este colorat cu roșu, proprietățile roșu-negru sunt conservate chiar dacă  $y$  este eliminat din arbore, deoarece în arbore nu s-au modificat înălțimile negre și nu există noduri adiacente colorate cu roșu. Nodul  $x$  transmis procedurii RN-STERGE-REPĂRĂ este nodul care a fost unicul fiu al lui  $y$  înainte ca  $y$  să fie eliminat, dacă  $y$  a avut un fiu diferit de NIL, sau sântinela  $nil[T]$  în cazul când  $y$  nu a avut fiu. În ultimul caz atribuirea necondiționată din linia 9 garantează că părintele lui  $x$  este acum nodul care a fost anterior părintele lui  $y$ , indiferent dacă  $x$  este un nod intern care conține o cheie sau este sântinela  $nil[T]$ .

Acum putem să examinăm modul în care procedura RN-STERGE-REPĂRĂ restabilește proprietățile roșu-negru ale arborelui de căutare.

RN-STERGE-REPĂRĂ( $T, x$ )

- 1: **cât timp**  $x \neq r \wedge cin [T]$  și  $culoare[x] = NEGRU$  **execută**
- 2:   **dacă**  $x = stânga[p[x]]$  **atunci**
- 3:      $w \leftarrow dreapta[p[x]]$
- 4:     **dacă**  $culoare[w] = ROȘU$  **atunci**
- 5:        $culoare[w] \leftarrow NEGRU$     ▷Cazul 1
- 6:        $culoare[p[x]] \leftarrow ROȘU$                                       ▷Cazul 1
- 7:       ROTEŞTE-STÂNGA( $T, p[x]$ )                                      ▷Cazul 1
- 8:        $w \leftarrow dreapta[p[x]]$     ▷Cazul 1
- 9:     **dacă**  $culoare[stânga[w]] = NEGRU$  și  $culoare[dreapta[w]] = NEGRU$  **atunci**
- 10:        $culoare[w] \leftarrow ROȘU$     ▷Cazul 2
- 11:        $x \leftarrow p[x]$     ▷Cazul 2
- 12:     **altfel**
- 13:       **dacă**  $culoare[dreapta[w]] = NEGRU$  **atunci**
- 14:          $culoare[stânga[w]] \leftarrow NEGRU$                               ▷Cazul 3
- 15:          $culoare[w] \leftarrow ROȘU$     ▷Cazul 3
- 16:         ROTEŞTE-DREAPTA( $T, w$ )                                      ▷Cazul 3
- 17:          $w \leftarrow dreapta[p[x]]$     ▷Cazul 3
- 18:          $culoare[w] \leftarrow culoare[p[x]]$                                       ▷Cazul 4
- 19:          $culoare[p[x]] \leftarrow NEGRU$                                       ▷Cazul 4
- 20:          $culoare[dreapta[w]] \leftarrow NEGRU$                               ▷Cazul 4
- 21:         ROTEŞTE-STÂNGA( $T, p[x]$ )                                      ▷Cazul 4
- 22:          $x \leftarrow r \wedge cin [T]$     ▷Cazul 4
- 23:     **altfel**
- 24:       (La fel ca în clauza **atunci** interschimbând “dreapta” cu “stânga”)
- 25:      $culoare[x] \leftarrow NEGRU$

Dacă nodul  $y$  eliminat în RN-STERGE este negru, ștergerea lui are ca efect micșorarea cu 1 a numărului de noduri negre de pe fiecare drum care a conținut acest nod. Prin urmare, proprietatea 4 nu este respectată pentru toți strămoșii nodului  $y$ . Acest inconvenient se poate corecta considerând că nodul  $x$  are un “negru suplimentar” sau este “dublu colorat cu negru”. Cu alte cuvinte, dacă adăugăm 1 la numărul de noduri colorate cu negru de pe orice drum care îl conține pe  $x$ , atunci, în interpretarea de mai sus, proprietatea 4 este verificată. Când vom elimina nodul  $y$  colorat cu negru, vom “împinge” culoarea sa neagră în fiul său. Singura problemă care apare acum este aceea că nodul  $x$  ar putea fi “dublu colorat cu negru”, ceea ce încalcă proprietatea 1.

Procedura RN-STERGE-REPARĂ încearcă să refacă proprietatea 1. Scopul ciclului **cât timp** din liniile 1–24 este de a muta în sus în arbore nodul “dublu colorat cu negru” până când

1.  $x$  referă un nod colorat cu roșu, caz în care se va colora  $x$  cu negru în linia 25
2.  $x$  referă rădăcina, caz în care nodul “dublu colorat cu negru” este doar “eliminat” sau
3. se pot efectua rotații și recolorări adecvate.

În corpul ciclului **cât timp**,  $x$  referă întotdeauna un nod colorat cu negru, care nu este rădăcină și care este “dublu colorat cu negru”. Linia 2 determină dacă  $x$  este fiul stâng sau drept al părintelui său  $p[x]$ . (Codul este dat pentru situația în care  $x$  este fiul stâng al părintelui său; cazul când  $x$  este fiu drept – plasat în linia 24 – este simetric). Se folosește un pointer  $w$  la fratele lui  $x$ . Deoarece nodul  $x$  este “dublu colorat cu negru”, nodul  $w$  nu poate fi  $nil[T]$ ; dacă ar fi, numărul de noduri colorate cu negru pe drumul de la  $p[x]$  la NIL, ar fi mai mic decât numărul de noduri colorate cu negru pe drumul de la  $p[x]$  la  $x$ .

Cele patru cazuri expuse în cod sunt ilustrate în figura 14.7. Înainte de a examina detaliat fiecare caz în parte, să aruncăm o privire generală asupra modului în care se verifică respectarea proprietății 4 pentru transformările efectuate în toate aceste cazuri. Ideea de bază este aceea că în fiecare caz numărul de noduri colorate cu negru de la rădăcină (incluzând și rădăcina) la fiecare dintre subarborei  $\alpha, \beta, \dots, \zeta$  este conservat prin transformarea efectuată. De exemplu, în figura 14.7(a), care corespunde cazului 1, numărul de noduri colorate cu negru de la rădăcină la oricare dintre subarborei  $\alpha$  sau  $\beta$  este 3, atât înainte cât și după transformare. (Să ne reamintim că pointerul  $x$  referă un nod “dublu colorat cu negru”). Similar, numărul de noduri negre de la rădăcină la oricare dintre subarborei  $\gamma, \delta, \varepsilon$  sau  $\zeta$  este 2, atât înainte, cât și după transformare. În figura 14.7(b) numărarea trebuie să ia în considerare și culoarea  $c$ , care poate fi roșu sau negru. Dacă notăm  $num\ r(\text{ROȘU}) = 0$  și  $num\ r(\text{NEGRU}) = 1$ , atunci numărul de noduri negre de la rădăcină la  $\alpha$  este  $2 + num\ r(c)$ , atât înainte, cât și după transformare. Celelalte cazuri se pot verifica într-o manieră similară (exercițiul 14.4-5).

Cazul 1 (liniile 5–8 din RN-STERGE-REPARĂ și figura 14.7(a)) apare când nodul  $w$ , fratele nodului  $x$ , este colorat cu roșu. Deoarece  $w$  trebuie să aibă fiile colorați cu negru, putem interzice să fie colorați cu negru. Noul frate al lui  $x$ , unul dintre fiile lui  $w$ , este acum colorat cu negru și prin urmare am transformat cazul 1 într-unul din cazurile 2, 3 sau 4.

Cazurile 2, 3 și 4 apar când nodul  $w$  este colorat cu negru; ele se deosebesc prin culorile fiilor lui  $w$ . În cazul 2 (liniile 10–11 din RN-STERGE-REPARĂ și figura 14.7(b)), ambii fiile lui  $w$  sunt colorați cu negru. Deoarece și  $w$  este colorat cu negru, vom “scoate afară un negru” atât de la  $x$  cât și de la  $w$ , lăsând  $x$  numai cu un negru, punând  $w$  pe roșu și adăugând un negru suplimentar

la  $p[x]$ , care va deveni “dublu colorat cu negru” prin eliminarea negrului suplimentar din fiul său. Apoi corpul ciclului **cât timp** se poate repeta cu  $p[x]$  pe post de nod  $x$ . Să observăm că dacă se ajunge la cazul 2 din cazul 1, atunci culoarea  $c$  a noului nod  $x$  este roșu, deoarece nodul  $p[x]$  original a fost roșu, și prin urmare, după execuția cazului 2, ciclul se va termina când se testează condiția de ciclare.

Cazul 3 (liniile 14–17 din RN-STERGE-REPARĂ și figura 14.7(c)) apare când  $w$  este colorat cu negru, fiul său stâng este colorat cu roșu, iar fiul său drept este colorat cu negru. Putem interschimba culorile lui  $w$  și ale fiului său stâng  $stânga[w]$  și apoi să efectuăm o rotație la dreapta în  $w$  fără a încălca proprietățile roșu-negru. Noul frate  $w$  al lui  $x$  este acum un nod colorat cu negru care are un fiu drept colorat cu roșu și prin urmare am transformat cazul 3 în cazul 4.

Cazul 4 (liniile 18–22 din RN-STERGE-REPARĂ și figura 14.7(d)) apare când fratele  $w$  al nodului  $x$  este colorat cu negru, iar fiul drept al lui  $w$  este colorat cu roșu. Efectuând anumite schimbări de culoare și apoi o rotație la stânga în  $p[x]$ , se poate elimina “negrul suplimentar” din  $x$  fără a încălca proprietățile roșu-negru. Setarea lui  $x$  ca rădăcină provoacă terminarea ciclului **cât timp** când se testează condiția de continuare a ciclării.

Care este timpul de execuție al procedurii RN-STERGE? Deoarece înălțimea unui arbore roșu-negru având  $n$  noduri este  $O(\lg n)$ , costul total al procedurii fără a include și apelul lui RN-STERGE-REPARĂ este  $O(\lg n)$ . În RN-STERGE-REPARĂ, fiecare din cazurile 1, 3 și 4 se termină după efectuarea unui număr constant de modificări de culoare urmate de cel mult trei rotații. Singurul caz în care corpul ciclului **cât timp** se repetă este cazul 2, și în acesta pointerul  $x$  se mută în sus în arbore de cel mult  $O(\lg n)$  ori, fără a se efectua rotații. În consecință, RN-STERGE-REPARĂ consumă un timp de  $O(\lg n)$  și efectuează cel mult trei rotații, iar timpul total de execuție pentru RN-STERGE este de  $O(\lg n)$ .

## Exerciții

**14.4-1** Arătați că dacă un arbore roșu-negru are rădăcina colorată cu negru înainte de apelul procedurii RN-STERGE, atunci culoarea rădăcinii rămâne aceeași și după apel.

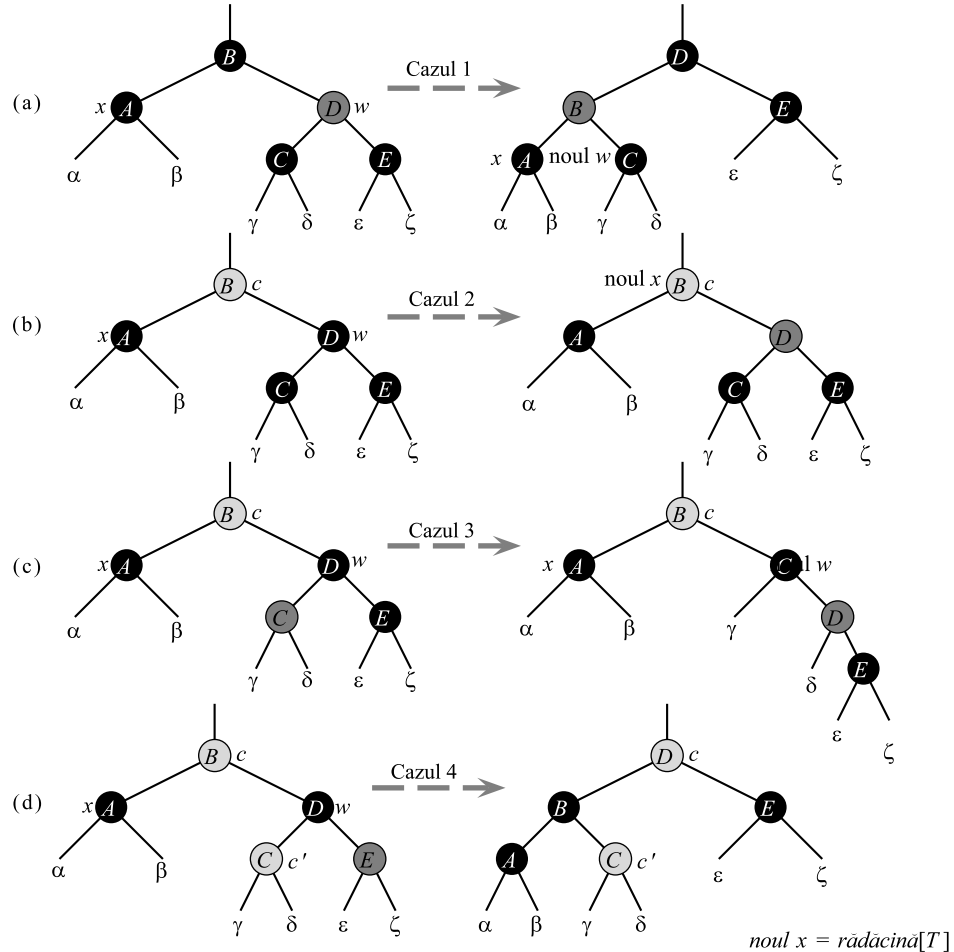
**14.4-2** În exercițiul 14.3-3 ați determinat arborele roșu-negru care rezultă prin inserarea succesivă a cheilor 41, 38, 31, 12, 19, 8 într-un arbore inițial vid. Desenați arborii roșu-negru care rezultă prin ștergerea succesivă a cheilor în ordinea 8, 12, 19, 31, 38, 41.

**14.4-3** În care linii de cod din procedura RN-STERGE-REPARĂ se inspectează sau se modifică santicela  $nil[T]$ ?

**14.4-4** Simplificați codul procedurii ROTEŞTE-STÂNGA prin folosirea unei santinele pentru NIL și a unei alte santinele pentru a memora pointerul la rădăcină.

**14.4-5** Calculați numărul de noduri negre de la rădăcină la fiecare dintre subarborii  $\alpha, \beta, \dots, \zeta$  pentru fiecare din cazurile ilustrate în figura 14.7 și verificați dacă fiecare număr rămâne același după transformare. Dacă un nod are culoarea  $c$  sau  $c'$ , folosiți notația  $num\ r(c)$  sau  $num\ r(c')$  pentru a exprima respectivul număr.

**14.4-6** Presupunem că se inserează un nod  $x$  într-un arbore roșu-negru folosind procedura RN-INSEREAZĂ și apoi acesta este șters imediat cu procedura RN-STERGE. Întrebarea este: arborele care rezultă după ștergerea lui  $x$  este identic cu arborele de dinainte de inserarea lui  $x$ ? Justificați răspunsul.



**Figura 14.7** Cazurile conținute în corpul ciclului **căt timp** al procedurii RN-STERGE. Nodurile înnegrite sunt colorate cu negru, cele hașurate cu gri închis sunt colorate cu roșu, iar cele hașurate cu gri deschis, care pot să fie colorate fie cu roșu, fie cu negru, sunt notate cu  $c$  și  $c'$ . Literele  $\alpha, \beta, \dots, \zeta$  reprezintă subarbore arbitrară. În fiecare caz, configurația din stânga se transformă în configurația din dreapta prin schimbarea unor culori și/sau efectuarea unei rotații. Nodul referit de  $x$  “este dublu colorat cu negru”. Singurul caz care provoacă repetarea ciclării este cazul 2. (a) Cazul 1 se transformă într-unul din cazurile 2, 3 sau 4 prin interschimbarea culorilor nodurilor  $B$  și  $D$  și efectuarea unei rotații la stânga. (b) În cazul 2, negrul suplimentar reprezentat de pointerul  $x$  se mută în sus în arbore prin colorarea nodului  $D$  cu roșu și setarea lui  $x$  pentru a referi nodul  $B$ . Dacă se ajunge la cazul 2 de la cazul 1, ciclul **căt timp** se termină deoarece culoarea  $c$  este roșu. (c) Cazul 3 se transformă în cazul 4 prin interschimbarea culorilor nodurilor  $C$  și  $D$  și efectuarea unei rotații la dreapta. (d) În cazul 4, negrul suplimentar reprezentat de  $x$  se poate elimina prin schimbarea unor culori și efectuarea unei rotații la stânga (fără a încălca proprietățile roșu-negru) și apoi ciclul se termină.

## Probleme

### 14-1 Multimi dinamice persistente

În timpul descrierii unui algoritm avem câteodată nevoie să păstrăm versiunile anterioare ale unei multimi dinamice când aceasta se modifică. O astfel de mulțime se numește ***persistență***. O modalitate de implementare a unei multimi persistente este copierea întregii multimi ori de câte ori aceasta se modifică, însă această abordare poate încetini programul și în același timp consumă mult spațiu. În unele situații putem să procedăm mai eficient.

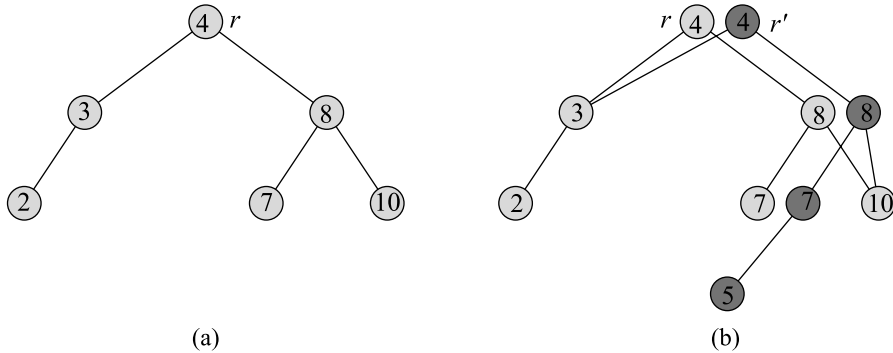
Fie o mulțime persistentă  $S$  cu operațiile INSEREAZĂ, ȘTERGE și CAUTĂ, care este implementată folosind arbori binari de căutare, după cum se arată în figura 14.8(a). Pentru fiecare versiune a mulțimii se memorează o rădăcină distinctă. Pentru a inseră cheia 5 în mulțime, se creează un nod nou având cheia 5. Acest nod devine fiul stâng al unui nod nou cu cheia 7, deoarece nu putem modifica nodul existent având cheia 7. Similar, noul nod având cheia 7 devine fiul stâng al unui nod nou cu cheia 8 al cărui fiu din dreapta este un nod existent având cheia 10. Noul nod cu cheia 8 devine, la rândul său, fiul drept al unei rădăcini noi  $r'$  având cheia 4 al cărei fiu stâng este nodul existent cu cheia 3. Prin urmare se va copia numai o parte din arborele inițial, așa cum se ilustrează în figura 14.8(b).

Presupunem că fiecare nod din arbore are câmpurile *cheie*, *stânga* și *dreapta*, însă nu are un câmp părinte. (Vezi și exercițiul 14.3-6).

- a. Identificați nodurile care trebuie modificate la inserarea unei chei  $k$  și la ștergerea unui nod  $y$  într-un/dintr-un arbore binar de căutare general și persistent.
- b. Scrieți o procedură PERSISTENT-ARBORE-INSEREAZĂ care, pentru un arbore persistent  $T$  și o cheie  $k$  de inserat, întoarce un arbore persistent nou  $T'$  care este rezultatul inserării cheii  $k$  în  $T$ .
- c. Dacă înălțimea unui arbore binar de căutare persistent  $T$  este  $h$ , care sunt cerințele de timp și spațiu pentru implementarea pe care ati dat-o pentru PERSISTENT-ARBORE-INSEREAZĂ? (Cerințele de spațiu sunt proporționale cu numărul de noduri noi alocate).
- d. Presupunem acum că fiecare nod are și un câmp părinte. În acest caz, PERSISTENT-ARBORE-INSEREAZĂ are nevoie de copierea unor informații suplimentare. Demonstrați că PERSISTENT-ARBORE-INSEREAZĂ va avea nevoie de un timp și spațiu  $\Omega(n)$ , unde  $n$  este numărul de noduri din arbore.
- e. Arătați cum se pot folosi arborii roșu-negru pentru a se garanta că cerințele de timp și spațiu în cazul cel mai defavorabil sunt de  $O(\lg n)$  pentru inserare sau ștergere.

### 14-2 Operații de uniune pe arbori roșu-negru

Operația de ***uniune*** are ca argumente două multimi dinamice  $S_1$  și  $S_2$  și un element  $x$  astfel încât pentru orice  $x_1 \in S_1$  și  $x_2 \in S_2$  are loc relația  $cheie[x_1] \leq cheie[x] \leq cheie[x_2]$ . Ea returnează o mulțime  $S = S_1 \cup \{x\} \cup S_2$ . În această problemă investigăm modul de implementare al operației de uniune pe arbori roșu-negru.



**Figura 14.8** (a) Un arbore binar de căutare având cheile 2, 3, 4, 7, 8, 10. (b) Arborele binar de căutare persistent care rezultă prin inserarea cheii 5. Cea mai recentă versiune a multșimii constă din nodurile ce se pot accesa din rădăcina  $r'$ , iar versiunea anterioară este formată din nodurile ce se pot accesa din rădăcina  $r$ . Nodurile hașurate cu gri închis sunt cele adăugate pentru inserarea cheii 5.

- a. Fiind dat un arbore roșu-negru  $T$ , vom memora înălțimea neagră a sa în câmpul  $bh[T]$ . Arătați că acest câmp se poate întreține prin algoritmii RN-INSEREAZĂ și RN-ȘTERGE fără a fi nevoie de spațiu suplimentar de memorie în arbore și fără a mări timpii de execuție asimptotici. Arătați că înălțimea neagră a fiecărui nod se poate determina pe parcursul cobejării în  $T$  într-un timp  $O(1)$  pentru fiecare nod vizitat.

Dorim să implementăm operația RN-UNIUNE( $T_1, x, T_2$ ) care distrugе  $T_1$  și  $T_2$  și întoarce arborele roșu-negru  $T = T_1 \cup \{x\} \cup T_2$ . Notăm cu  $n$  numărul total de noduri din  $T_1$  și  $T_2$ .

- b. Fără a restrânge generalitatea, presupunem că  $bh[T_1] \geq bh[T_2]$ . Descrieți un algoritm de timp  $O(\lg n)$  care determină nodul colorat cu negru din  $T_1$  cu cea mai mare cheie și care are înălțimea neagră egală cu  $bh[T_2]$ .
  - c. Notăm cu  $T_y$  subarborele având rădăcina  $y$ . Descrieți cum se poate înlocui  $T_y$  cu  $T_y \cup \{x\} \cup T_2$  într-un timp  $O(1)$  și fără a distruge proprietatea arborelui binar de căutare.
  - d. Ce culoare trebuie atribuită lui  $x$  pentru a conserva proprietăile roșu-negru 1, 2 și 4? Descrieți cum se poate reface proprietatea 3 într-un timp  $O(\lg n)$ .
  - e. Arătați că timpul de execuție al procedurii RN-UNIUNE este  $O(\lg n)$ .

## Note bibliografice

Ideea echilibrării arborelui de căutare se datorează lui Adel'son-Vel'skii și Landis [2], care au introdus o clasă de arbori de căutare echilibrați numiți "arbori AVL". În arborii AVL, echilibrarea este menținută prin rotații, însă pentru a reface echilibrarea ar putea fi necesare  $\Theta(\lg n)$  rotații după ștergerea unui nod dintr-un arbore având  $n$  noduri. O altă clasă de arbori de căutare, numiți "2-3 arbori", a fost introdusă de J. E. Hopcroft în 1970 (manuscris nepublicat). Într-un 2-3 arbore echilibrarea se menține prin manipularea gradelor nodurilor din arbore. Capitolul 19

se ocupă cu B-arborii, care sunt o generalizare a 2-3 arborilor și au fost introdusi de Bayer și McCreight [18].

Arborii roșu-negru au fost inventați de Bayer [17] sub numele de “B-arbori binari simetrici”. Proprietățile lor au fost studiate în detaliu de Guibas și Sedgewick [93], care au introdus și convenția de colorare roșu/negru.

Dintre celelalte clase de arbori binari echilibrați, probabil cea mai interesantă este cea a “arborilor splay”, introdusi de Sleator și Tarjan [177], care sunt “auto-ajustabili”. (O bună descriere a arborilor splay este data de Tarjan [188]). Arborii splay întrețin echilibrarea fără nici o condiție explicită de echilibrare, cum ar fi de exemplu culoarea. În locul unei astfel de condiții, se execută “operații splay” în arbore (care implică rotații) ori de câte ori se face o accesare. Costul amortizat (vezi capitolul 18) al fiecărei operații pe un arbore cu  $n$  noduri este  $O(\lg n)$ .

---

# 15 Îmbogățirea structurilor de date

În ingineria programării apar uneori situații care nu necesită decât o structură de date “clasică, exact ca în carte” – ca de exemplu lista dublu înlățuită, tabela de dispersie sau arborele binar de căutare – însă majoritatea problemelor care trebuie rezolvate impun o anumită doză de creativitate. Totuși, doar în puține cazuri este nevoie să se creeze un tip complet nou de structură de date. Mult mai frecventă este situația când este suficientă adăugarea de informații (câmpuri) suplimentare la o structură de date clasică pentru ca aceasta să se poată folosi în aplicația dorită. Desigur, îmbogățirea structurilor de date nu este întotdeauna simplă, deoarece informația adăugată trebuie să fie actualizată și întreținută prin operațiile ordinare ale structurii de date respective.

Acest capitol prezintă două structuri de date care se construiesc prin îmbogățirea arborilor roșu-negru. Secțiunea 15.1 descrie o structură de date care posedă operațiile generale de statistică de ordine pe o mulțime dinamică. Cu ajutorul acestora se poate determina rapid al  $i$ -lea cel mai mic număr din mulțime sau rangul unui element dat în ordonarea totală a mulțimii. Secțiunea 15.2 abstractizează procesul de îmbogățire a unei structuri de date și dă o teoremă care poate simplifica îmbogățirea arborilor roșu-negru. Secțiunea 15.3 folosește această teoremă pentru a ușura proiectarea unei structuri de date pentru întreținerea unei mulțimi dinamice de intervale, ca de exemplu intervalele de timp. Fiind dat un interval de interogare, se poate determina rapid un interval din mulțime care se suprapune cu intervalul dat.

---

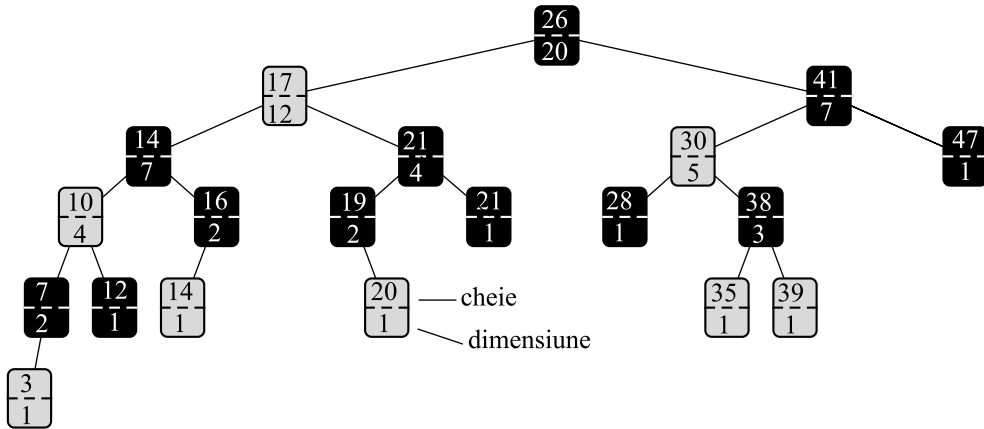
## 15.1. Statistici dinamice de ordine

Capitolul 10 a introdus noțiunea de statistică de ordine. Specific, a  $i$ -a statistică de ordine a unei mulțimi de  $n$  elemente, unde  $i \in \{1, 2, \dots, n\}$ , este elementul din mulțime care are a  $i$ -a cea mai mică cheie. Am arătat că orice statistică de ordine se poate determina într-un timp  $O(n)$  în cazul unei mulțimi neordonate. În această secțiune vom vedea cum se pot modifica arborii roșu-negru pentru ca orice statistică de ordine să se determine într-un timp  $O(\lg n)$  și vom afla cum se determină **rangul** unui element – poziția acestuia în ordonarea liniară a mulțimii – tot într-un timp  $O(\lg n)$ .

Figura 15.1 prezintă o structură de date care posedă operații rapide de statistici de ordine. Un **arbore de statistică de ordine**  $T$  este de fapt un arbore roșu-negru care conține o informație suplimentară în fiecare nod. La câmpurile uzuale pentru un nod  $x$  dintr-un arbore roșu-negru  $cheie[x]$ ,  $culoare[x]$ ,  $p[x]$ ,  $stânga[x]$  și  $dreapta[x]$  se adaugă un câmp nou,  $dimensiune[x]$ . Acest câmp conține numărul de noduri (interne) din subarborele cu rădăcina  $x$  (incluzându-l și pe  $x$ ), adică dimensiunea subarborelui. Dacă facem convenția  $dimensiune[NIL] = 0$ , atunci are loc identitatea:

$$dimensiune[x] = dimensiune[stânga[x]] + dimensiune[dreapta[x]] + 1$$

(Pentru a gestiona adecvat condiția extremă pentru NIL, o implementare efectivă va face explicit testul  $x \neq NIL$  anterior accesării câmpului  $dimensiune$  sau, mai simplu, ca în secțiunea 14.4, va folosi o santinelă  $nil[T]$  pentru a-l reprezenta pe NIL, cu  $dimensiune=nil[T] = 0$ .)



**Figura 15.1** Un arbore de statistică de ordine care este de fapt un arbore roșu-negru îmbogățit. Nodurile hașurate cu gri sunt roșii, iar nodurile hașurate cu negru sunt negre. Pe lângă cîmpurile uzuale, fiecare nod  $x$  are un câmp  $dimensiune[x]$  care reprezintă numărul de noduri din subarborele având rădăcina  $x$ .

### Regăsirea unui element cu rangul cunoscut

Înainte de a arăta cum se întreține informația de dimensiune în timpul inserării și ștergerii, să examinăm implementarea a două interogări de statistică de ordine care folosesc această informație suplimentară. Începem cu o operație care regăsește un element cu rangul cunoscut. Procedura SO-SELECTEAZĂ( $x, i$ ) returnază un pointer la nodul care conține a  $i$ -a cea mai mică cheie din subarborele având rădăcina  $x$ . Pentru a determina a  $i$ -a cea mai mică cheie dintr-un arbore de statistică de ordine  $T$  vom face apelul SO-SELECTEAZĂ( $r \leftarrow \text{cin}[T], i$ ).

```
SO-SELECTEAZĂ( $x, i$ )
1:  $r \leftarrow \text{dimensiune}[\text{stânga}[x]] + 1$ 
2: dacă  $i = r$  atunci
3:   returnează  $x$ 
4: altfel dacă  $i < r$  atunci
5:   returnează SO-SELECTEAZĂ( $\text{stânga}[x], i$ )
6: altfel
7:   returnează SO-SELECTEAZĂ( $\text{dreapta}[x], i - r$ )
```

Ideea pe care se bazează SO-SELECTEAZĂ este similară celei de la algoritmii de selecție prezentate în capitolul 10. Valoarea lui  $\text{dimensiune}[\text{stânga}[x]]$  reprezintă numărul de noduri care sunt inspectate anterior lui  $x$ , la traversarea în inordine a subarborelui având rădăcina  $x$ . Prin urmare,  $\text{dimensiune}[\text{stânga}[x]] + 1$  este rangul lui  $x$  în subarborele având rădăcina  $x$ .

În linia 1 a algoritmului SO-SELECTEAZĂ se calculează  $r$ , rangul nodului  $x$  în subarborele având rădăcina  $x$ . Dacă  $i = r$ , atunci nodul  $x$  este al  $i$ -lea cel mai mic element și  $x$  va fi returnat în linia 3. Dacă  $i < r$ , atunci al  $i$ -lea cel mai mic element se va găsi în subarborele stâng al lui  $x$ , prin urmare se va apela recursiv algoritmul pentru subarborele având rădăcina  $\text{stânga}[x]$  în linia 5. Dacă  $i > r$ , atunci al  $i$ -lea cel mai mic element se va găsi în subarborele drept al lui  $x$ . Deoarece în subarborele având rădăcina  $x$  sunt  $r$  elemente care se inspectează înaintea

subarborelui drept al lui  $x$  la traversarea în inordine a arborelui, al  $i$ -lea cel mai mic element din subarborele având rădăcina  $x$  este al  $(i - r)$ -lea cel mai mic element din subarborele având rădăcina  $\text{dreapta}[x]$ . Acest element se determină recursiv în linia 7.

Pentru a vedea cum funcționează SO-SELECTEAZĂ, să considerăm căutarea pentru al 17-lea cel mai mic element din arborele de statistică de ordine din figura 15.1. Se începe cu  $x$  egal cu rădăcina, a cărei cheie este 26, și cu  $i = 17$ . Deoarece dimensiunea subarborelui stâng al lui 26 este 12, rangul rădăcinii 26 va fi 13. Prin urmare, știm deja că nodul cu rangul 17 este al  $17 - 13 = 4$ -lea cel mai mic element din subarborele drept al lui 26. După apelul recursiv,  $x$  este nodul având cheia 41, iar  $i = 4$ . Deoarece dimensiunea subarborelui stâng al lui 41 este 5, rangul său în subarborele în care acesta este rădăcină, este 6. Prin urmare știm deja că nodul cu rangul 4 este în al 4-lea cel mai mic element al subarborelui stâng al lui 41. După apelul recursiv,  $x$  este nodul având cheia 30, iar rangul său în subarborele pentru care este rădăcină este 2. Prin urmare se face un nou apel recursiv pentru a determina al  $4 - 2 = 2$ -lea cel mai mic element din subarborele având rădăcina 38. La acest apel vom constata că subarborele stâng are dimensiunea 1, ceea ce înseamnă că rădăcina 38 este al 2-lea cel mai mic element. În consecință, acest ultim apel va întoarce un pointer la nodul având cheia 38 și execuția procedurii se termină.

Deoarece fiecare apel recursiv coboară un nivel în arborele de statistică de ordine, timpul total pentru SO-SELECTEAZĂ este în cel mai defavorabil caz proporțional cu înălțimea arborelui. Deoarece arborele este un arbore roșu-negru, înălțimea sa este  $O(\lg n)$ , unde  $n$  este numărul de noduri. Prin urmare, timpul de execuție pentru SO-SELECTEAZĂ este  $O(\lg n)$  pentru o mulțime dinamică având  $n$  elemente.

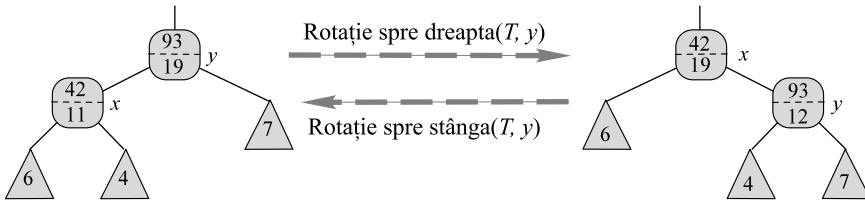
## Determinarea rangului unui element

Fiind dat un pointer la un nod  $x$  dintr-un arbore de statistică de ordine  $T$ , procedura SO-RANG returnnează poziția lui  $x$  în ordinea liniară dată de traversarea în inordine a lui  $T$ .

**SO-RANG( $T, x$ )**

- 1:  $r \leftarrow \text{dimensiune}[\text{stânga}[x]] + 1$
- 2:  $y \leftarrow x$
- 3: **cât timp**  $y \neq r$  *d* **în**  $[T]$  **execută**
- 4:   **dacă**  $y = \text{dreapta}[p[y]]$  **atunci**
- 5:      $r \leftarrow r + \text{dimensiune}[\text{stânga}[p[y]]] + 1$
- 6:      $y \leftarrow p[y]$
- 7: **returnează**  $r$

Procedura funcționează după cum urmează. Rangul lui  $x$  poate fi considerat a fi numărul de noduri inspectate înaintea lui  $x$  la traversarea în inordine a arborelui plus 1. Se folosește următorul invariant: la începutul corpului ciclului **cât timp** din liniile 3–6,  $r$  este rangul lui  $\text{cheie}[x]$  din subarborele având rădăcina  $y$ . Acest invariant se calculează după cum este descris în continuare. În linia 1 se setează  $r$  la rangul lui  $\text{cheie}[x]$  din subarborele având rădăcina  $x$ . Datorită atribuirii  $y \leftarrow x$  din linia 2 invariantul este adeverat pentru prima execuție a testului din linia 3. La fiecare iterație a corpului ciclului **cât timp**, se lucrează cu subarborele care are rădăcina  $p[y]$ . A fost contorizat deja numărul de noduri din subarborele având rădăcina  $y$  care precede pe  $x$  la traversarea în inordine, aşa că va trebui să adunăm la  $r$  numărul de noduri din subarborele având rădăcina fratele lui  $y$  care-l precede pe  $x$  la traversarea în inordine, plus 1, pentru  $p[y]$  dacă și  $p[y]$  îl precede pe  $x$ . Dacă  $y$  este un fiu stâng, atunci atât  $p[y]$ , cât și toate



**Figura 15.2** Actualizarea dimensiunii subarborilor în timpul rotațiilor. Cele două câmpuri *dimensiune* care trebuie actualizate sunt cele care sunt la capetele legăturii în jurul căreia se efectuează rotația. Actualizările sunt locale, necesitând numai informația *dimensiune* memorată în  $x$ ,  $y$  și în rădăcinile subarborilor ilustrați prin triunghiuri.

nodurile din subarborele drept al lui  $p[y]$  sunt inspectate după  $x$  la traversarea în inordine, deci  $r$  nu se modifică. Altfel,  $y$  este un fiu drept și toate nodurile din subarborele stâng al lui  $p[y]$  sunt inspectate înaintea lui  $x$ , ca și  $p[y]$ . Prin urmare, în linia 5 se va aduna la valoarea curentă a lui  $r$  numărul  $\text{dimensiune}[\text{stânga}[p[y]]] + 1$ . Datorită atribuirii  $y \leftarrow p[y]$  invariantul este adevărat pentru următoarea iterație. Când  $y = r$  și  $r$  încearcă să devină  $[T]$ , procedura va returna valoarea lui  $r$ , care este acum rangul lui  $\text{cheie}[x]$ .

De exemplu, execuția algoritmului SO-RANG pe arborele de statistică de ordine din figura 15.1 pentru a determina rangul nodului având cheia 38 va produce următoarea secvență de valori pentru  $\text{cheie}[y]$  și  $r$  înregistrate la începutul ciclului **cât timp**:

iterația	$\text{cheie}[y]$	$r$
1	38	2
2	30	4
3	41	4
4	26	17

Procedura va returna rangul 17.

Deoarece fiecare iterare a ciclului **cât timp** consumă un timp de  $O(1)$ , iar  $y$  urcă un nivel în arbore la fiecare iterare, timpul de execuție al algoritmului SO-RANG este, în cel mai defavorabil caz, proporțional cu înălțimea arborelui:  $O(\lg n)$  pentru un arbore de statistică de ordine având  $n$  noduri.

## Întreținerea dimensiunilor subarborilor

Fiind dată valoarea câmpului *dimensiune* din fiecare nod, procedurile SO-SELECTEAZĂ și SO-RANG pot calcula rapid informația de statistică de ordine. Dacă însă aceste câmpuri nu se pot întreține eficient prin operațiile de bază ce modifică arborii roșu-negru, strădania noastră de până acum a fost în zadar. Vom arăta acum că dimensiunile subarborilor se pot întreține atât pentru inserare cât și pentru ștergere, fără afectarea timpilor asymptotici de execuție ai acestor operații.

Am remarcat în secțiunea 14.3 că operația de inserare a unui nod într-un arbore roșu-negru constă din două faze. În prima fază se coboară în arbore începând de la rădăcină și se inserează nodul nou ca fiu al unui nod existent. A doua fază înseamnă urcarea în arbore, modificând culorile și efectuând la sfârșit rotații pentru a conserva proprietățile roșu-negru.

Pentru a întreține dimensiunile subarborilor în prima fază, se va incrementa câmpul  $\text{dimensiune}[x]$  pentru fiecare nod  $x$  de pe drumul traversat de la rădăcină în jos spre frunze. Noul nod care se adaugă va primi valoarea 1 pentru câmpul său  $\text{dimensiune}$ . Deoarece pe drumul parcurs sunt  $O(\lg n)$  noduri, costul suplimentar pentru întreținerea câmpurilor  $\text{dimensiune}$  va fi și el  $O(\lg n)$ .

În faza a doua, singurele modificări structurale ale arborelui roșu-negru sunt produse de rotații, care sunt cel mult două. Mai mult, rotația este o operație locală: ea invalidează numai câmpurile  $\text{dimensiune}$  din nodurile incidente (de la capetele) legăturii în jurul căreia se efectuează rotația. La codul procedurii ROTEŞTE-STÂNGA( $T, x$ ) dat în secțiunea 14.2, vom adăuga următoarele două linii:

- 1:  $\text{dimensiune}[y] \leftarrow \text{dimensiune}[x]$
- 2:  $\text{dimensiune}[x] \leftarrow \text{dimensiune}[\text{stânga}[x]] + \text{dimensiune}[\text{dreapta}[x]] + 1$

Figura 15.2 ilustrează modul în care sunt actualizate câmpurile  $\text{dimensiune}$ . Pentru procedura ROTEŞTE-DREAPTA modificările sunt simetrice.

Deoarece la inserarea unui nod într-un arbore roșu-negru sunt necesare cel mult două rotații, se consumă suplimentar doar un timp  $O(1)$  pentru actualizarea câmpurilor  $\text{dimensiune}$  în faza a doua a inserării. În concluzie, timpul total necesar pentru inserarea unui nod într-un arbore de statistică de ordine având  $n$  noduri este  $O(\lg n)$  – același din punct de vedere asymptotic cu cel pentru arborii roșu-negru obișnuiți.

Ștergerea unui nod dintr-un arbore roșu-negru are de asemenea două faze: prima operează pe arborele binar de căutare, iar a doua necesită cel mult trei rotații și în rest nu efectuează alte modificări structurale ale arborelui. (Vezi secțiunea 14.4.) Prima fază elimină din arbore un nod  $y$ . Pentru a actualiza dimensiunile subarborilor, vom traversa un drum în sus de la nodul  $y$  la rădăcină și vom decrementa câmpurile  $\text{dimensiune}$  ale nodurilor de pe acest drum. Deoarece drumul are lungimea  $O(\lg n)$  în cazul unui arbore roșu-negru având  $n$  noduri, timpul suplimentar consumat cu întreținerea câmpurilor  $\text{dimensiune}$  în prima fază a ștergerii unui nod este  $O(\lg n)$ . Cele  $O(1)$  rotații din faza a doua a ștergerii sunt gestionate în aceeași manieră ca și în cazul inserării. Prin urmare, atât inserarea cât și ștergerea, inclusiv întreținerea câmpurilor  $\text{dimensiune}$ , consumă un timp  $O(\lg n)$  pentru un arbore de statistică de ordine având  $n$  noduri.

## Exerciții

**15.1-1** Arătați cum operează SO-SELECTEAZĂ( $T, 10$ ) pe arborele roșu-negru  $T$  din figura 15.1.

**15.1-2** Arătați cum operează SO-RANG( $T, x$ ) pe arborele roșu-negru  $T$  din figura 15.1 și nodul  $x$  cu  $\text{cheie}[x] = 35$ .

**15.1-3** Scrieți o versiune nerecursivă a lui SO-SELECTEAZĂ.

**15.1-4** Scrieți o procedură recursivă SO-RANG-CHEIE( $T, k$ ) care are ca date de intrare un arbore de statistică de ordine  $T$  și o cheie  $k$  și întoarce rangul cheii  $k$  în mulțimea dinamică reprezentată prin  $T$ . Presupuneți că valorile cheilor din  $T$  sunt distințe.

**15.1-5** Fiind dat un element  $x$  dintr-un arbore de statistică de ordine având  $n$  noduri și un număr natural  $i$ , cum se poate determina într-un timp  $O(\lg n)$  al  $i$ -lea succesor al lui  $x$  în ordinea liniară a arborelui?

**15.1-6** Să observăm că toate referirile la câmpul *dimensiune* din procedurile SO-SELECTEAZĂ și SO-RANG au ca scop calcularea rangului lui  $x$  în subarborele având rădăcina  $x$ . În consecință, presupunem că memorăm în fiecare nod rangul său în subarborele pentru care el este rădăcină. Arătați cum se poate întreține această informație la inserare și stergere. (Reamintim că aceste operații au nevoie de rotații.)

**15.1-7** Arătați cum se poate folosi un arbore de statistică de ordine pentru a număra inversiunile (vezi problema 1-3) dintr-un tablou de dimensiune  $n$  într-un timp  $O(n \lg n)$ .

**15.1-8 \*** Considerăm  $n$  coarde într-un cerc, fiecare definită de capetele sale. Descrieți un algoritm de timp  $O(n \lg n)$  pentru determinarea numărului de perechi de coarde care se intersectează în interiorul cercului. (De exemplu, dacă cele  $n$  coarde sunt toate diametre, acestea se vor intersecta în centrul cercului și prin urmare răspunsul corect este  $\binom{n}{2}$ .) Presupuneți că nu există două coarde cu același capăt.

## 15.2. Cum se îmbogățește o structură de date

La proiectarea algoritmilor apare frecvent problema îmbogățirii structurilor de date uzuale pentru ca acestea să ofere funcționalitate suplimentară. Acest proces de îmbogățire va fi folosit în secțiunea următoare pentru a proiecta o structură de date care are operații cu intervale. În această secțiune vom examina pașii acestui proces de îmbogățire. De asemenea, vom demonstra o teoremă care ne va permite să îmbogățim mai simplu arborii roșu-negru în multe situații.

Procesul de îmbogățire a unei structuri de date se poate împărți în patru pași:

1. alegerea unei structuri de date suport,
2. determinarea informației suplimentare care trebuie inclusă și întreținută în structura de date de bază,
3. verificarea posibilității întreținerii informației suplimentare în cazul operațiilor de bază care modifică structura suport, și
4. proiectarea noilor operații.

Ca și în cazul altor metode de proiectare prezentate schematic, nu trebuie să respectăm orbește pașii de mai sus în ordinea enumerată. Prin natura ei, munca de proiectare recurge frecvent la încercări și reveniri în caz de eșec, iar realizarea activităților prevăzute în pași se face de regulă în paralel. Nu are nici un rost, de exemplu, să determinăm informația suplimentară și să proiectăm noile operații (pașii 2 și 4) dacă nu vom putea întreține eficient informația suplimentară memorată în structura de date. Totuși, această metodă în patru pași va asigura o abordare ordonată a eforturilor de îmbogățire a unei structuri de date și o schemă de organizare a documentației referitoare la aceasta.

Pașii de mai sus au fost exemplificați în secțiunea 15.1 pentru proiectarea arborilor de statistică de ordine. La pasul 1 am ales ca structură de date suport arborii roșu-negru. O indicație asupra utilității acestor arbori la obținerea statisticilor de ordine este dată de eficiența operațiilor specifice mulțimilor dinamice pe o ordine totală, precum MINIM, MAXIM, SUCCESOR și PREDECESOR.

La pasul 2 am adăugat câmpurile *dimensiune*, care conțin, pentru fiecare nod  $x$ , dimensiunea subarborelui având rădăcina  $x$ . În general, informația suplimentară are ca scop să facă operațiile (proprietățile) mai eficiente. De exemplu, am fi putut implementa operațiile SO-SELECTEAZĂ și SO-RANG folosind numai cheile memorate în arbore, însă în acest caz timpul lor de execuție nu ar fi fost  $O(\lg n)$ . Uneori această informație suplimentară conține referințe și nu date, ca în exercițiul 15.2-1.

Pentru pasul 3, ne-am asigurat că operațiile de inserare și ștergere pot întreține câmpurile *dimensiune* fără a-și altera eficiența asimptotică, ele executându-se tot într-un timp  $O(\lg n)$ . În cazul ideal, un număr mic de modificări ale structurii de date, trebuie să fie suficient pentru a întreține informația suplimentară. De exemplu, dacă am memora în fiecare nod rangul său din arbore, atunci operațiile SO-SELECTEAZĂ și SO-RANG s-ar executa mai rapid, dar inserarea unui nou element minim în arbore, ar provoca modificarea acestei informații (rangul) în fiecare dintre nodurile arborelui. În schimb, dacă memorăm dimensiunea subarborelor în locul rangului, inserarea unui nou element va necesita modificarea informației suplimentare doar în  $O(\lg n)$  noduri.

La pasul 4, am proiectat operațiile SO-SELECTEAZĂ și SO-RANG. De fapt, îmbogățirea structurii de date este impusă tocmai de nevoia de a implementa operațiile noi. Uneori, informația suplimentară se va putea folosi nu numai la proiectarea operațiilor noi, ci și la reproiectarea celor proprii structurii de date suport, ca în exercițiul 15.2-1.

## Îmbogățirea arborilor roșu-negru

În cazul în care o structură de date îmbogățită are la bază arbori roșu-negru, putem să demonstrăm că anumite tipuri de informații suplimentare se pot întreține eficient prin inserare și ștergere, simplificându-se astfel realizarea pasului 3. Demonstrația teoremei următoare este similară argumentării făcute în secțiunea 15.1 referitoare la întreținerea câmpului *dimensiune* pentru arborii de statistică de ordine.

### **Teorema 15.1** (Îmbogățirea unui arbore roșu-negru)

Fie  $T$  un arbore roșu-negru având  $n$  noduri și fie  $f$  un câmp suplimentar al acestuia. Dacă câmpul  $f$  din nodul  $x$  se poate calcula folosind numai informația din nodurile  $x$ ,  $stânga[x]$  și  $dreapta[x]$ , inclusiv  $f[stânga[x]]$  și  $f[dreapta[x]]$ , atunci valorile câmpurilor  $f$  din toate nodurile lui  $T$  se pot întreține în timpul operațiilor de inserare și ștergere fără a fi afectată performanța asimptotică de  $O(\lg n)$  a acestor operații.

**Demonstrație.** Ideea principală a demonstrației se bazează pe faptul că modificarea câmpului  $f$  dintr-un nod  $x$  se propagă numai la strămoșii lui  $x$  din arbore. Astfel, modificarea lui  $f[x]$  s-ar putea să necesite actualizarea lui  $f[p[x]]$ , și doar atât; modificarea lui  $f[p[x]]$  s-ar putea să necesite actualizarea lui  $f[p[p[x]]]$ , și doar atât; și tot așa urcăm în arbore către un nivel la fiecare modificare. Acest proces se va termina când se actualizează  $f[r \text{ d } cin [T]]$ , deoarece nu mai există alt nod care să depindă de noua valoare. Deoarece înălțimea unui arbore roșu-negru este  $O(\lg n)$ , modificarea unui câmp  $f$  dintr-un nod cere un timp de  $O(\lg n)$  pentru actualizarea nodurilor dependente de această modificare.

Inserarea unui nod  $x$  în  $T$  se desfășoară în două faze (vezi secțiunea 14.3). Pe parcursul primei faze  $x$  se inserează ca fiu al unui nod existent  $p[x]$ . Valoarea lui  $f[x]$  se poate calcula într-un timp de  $O(1)$  deoarece, prin ipoteză, această valoare depinde numai de informația existentă în

celealte câmpuri ale lui  $x$  și de informația din fiii lui  $x$ ; în acest caz, ambii fi ai lui  $x$  sunt NIL. O dată calculată valoarea  $f[x]$ , modificarea ei se propagă în sus în arbore. Prin urmare, timpul total pentru prima fază a inserării este  $O(\lg n)$ . În faza a doua singurele modificări structurale ale arborelui provin din rotații. Timpul total de actualizare al câmpurilor  $f$  este  $O(\lg n)$  pentru fiecare rotație deoarece într-o rotație se modifică doar două noduri. Și deoarece la o inserare sunt necesare cel mult două rotații, timpul total pentru inserare este tot  $O(\lg n)$ .

La fel ca inserarea, ștergerea are tot două faze (vezi secțiunea 14.4). În prima fază se produc modificări structurale în arbore în două momente: când nodul care se șterge este înlocuit cu succesorul său și apoi când nodul care se șterge sau succesorul său este eliminat din arbore. Propagarea actualizațiilor lui  $f$  provocate de aceste modificări necesită cel mult  $O(\lg n)$  deoarece modificările sunt locale în arbore. Refacerea arborelui roșu-negru din faza a doua a ștergerii necesită cel mult trei rotații, iar fiecare rotație necesită un timp cel mult egal cu  $O(\lg n)$  pentru a propaga actualizațiile lui  $f$ . În consecință, timpul total consumat pentru ștergere este același cu cel consumat pentru inserare, adică  $O(\lg n)$ . ■

În multe situații, cum ar fi întreținerea câmpurilor *dimensiune* din arborii de statistică de ordine, costul de actualizare după o rotație este  $O(1)$  și nu  $O(\lg n)$ , estimare folosită în demonstrația teoremei 15.1. Exercițiul 15.2-4 conține un astfel de exemplu.

## Exerciții

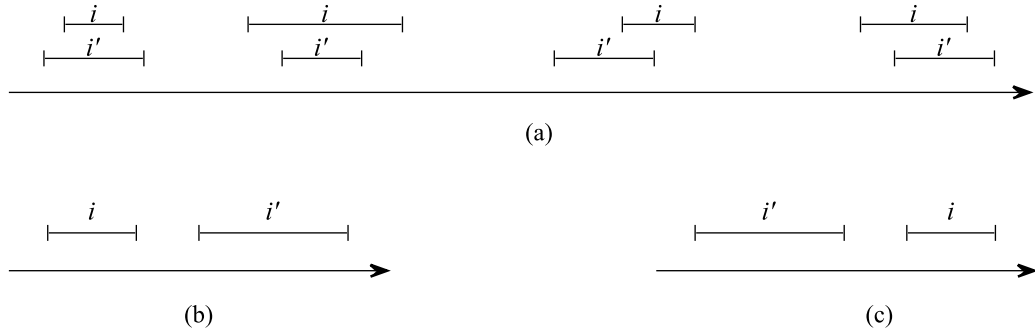
**15.2-1** Arătați cum se pot executa operațiile (interrogările) definite pe mulțimi dinamice MINIM, MAXIM, SUCCESOR și PREDECESOR, într-un timp  $O(1)$ , în cazul cel mai defavorabil, pe un arbore îmbogățit de statistică de ordine. Performanța asimptotică a celorlalte operații pe arborii de statistică de ordine trebuie să rămână aceeași.

**15.2-2** Studiați dacă înălțimile negre ale nodurilor se pot considera câmpuri în nodurile unui arbore, întreținute corespunzător, fără ca performanța asimptotică a oricărei dintre operațiile arborilor roșu-negru să fie afectată. Arătați cum se poate realiza întreținerea, dacă răspunsul este afirmativ sau justificați răspunsul negativ.

**15.2-3** Studiați dacă adâncimile nodurilor dintr-un arbore roșu-negru se pot considera câmpuri ale nodurilor care se pot întreține eficient. Arătați cum se poate realiza întreținerea dacă răspunsul este afirmativ sau justificați răspunsul negativ.

**15.2-4 \*** Fie  $\otimes$  un operator binar asociativ și fie  $a$  câmpul care trebuie întreținut în fiecare nod al unui arbore roșu-negru. Presupunem că dorim să adăugăm fiecărui nod  $x$  din arbore un câmp suplimentar  $f$  astfel încât  $f[x] = a[x_1] \otimes a[x_2] \otimes \dots \otimes a[x_m]$ , unde  $x_1, x_2, \dots, x_m$  este lista în inordine a nodurilor din subarborele având rădăcina  $x$ . Arătați că aceste câmpuri  $f$  se pot actualiza corespunzător într-un timp  $O(1)$  după o rotație. Modificând puțin argumentația, arătați că și câmpurile *dimensiune* din arborii de statistică de ordine se pot întreține într-un timp  $O(1)$  pentru fiecare rotație.

**15.2-5 \*** Dorim să îmbogățim arborii roșu-negru cu o operație numită RN-ENUMERĂ( $x, a, b$ ) care afișează toate cheile  $k$  din arboarele roșu-negru având rădăcina  $x$  care verifică relația  $a \leq k \leq b$ . Descrieți modul în care se poate implementa RN-ENUMERĂ într-un timp  $\Theta(m + \lg n)$ , unde  $m$  este numărul de chei care se afișează, iar  $n$  este numărul de noduri interne din arbore. (Indica ie: Nu este nevoie să se adauge câmpuri suplimentare la nodurile arborelui.)



**Figura 15.3** Trihotomia intervalelor, pentru două intervale închise  $i$  și  $i'$ . (a) Când  $i$  și  $i'$  se suprapun, sunt patru situații posibile; în fiecare dintre ele,  $\text{jos}[i] \leq \text{sus}[i']$  și  $\text{jos}[i'] \leq \text{sus}[i]$ . (b)  $\text{sus}[i] < \text{jos}[i']$ . (c)  $\text{sus}[i'] < \text{jos}[i]$ .

### 15.3. Arbori de intervale

În această secțiune vom îmbogăți arborii roșu-negru pentru a realiza operații pe mulțimi dinamice de intervale. Un **interval închis** este o pereche ordonată de numere reale  $[t_1, t_2]$  cu  $t_1 \leq t_2$ . Intervalul  $[t_1, t_2]$  reprezintă mulțimea  $\{t \in \mathbb{R} : t_1 \leq t \leq t_2\}$ . Intervalele **deschise** sau **semideschise** nu conțin nici una dintre marginile mulțimii, respectiv nu conțin una dintre acestea. În această secțiune vom presupune că intervalele cu care lucrăm sunt închise; extinderea rezultatelor la intervale deschise sau semideschise este imediată.

Intervalele reprezintă un instrument convenabil de reprezentare a evenimentelor care ocupă fiecare un interval continuu de timp. Am putea dori, de exemplu, să interogăm o bază de date de intervale de timp pentru a descoperi ce evenimente au apărut într-un anumit interval. Structura de date prezentată în această secțiune oferă un mijloc eficient de întreținere a unei astfel de baze de date de intervale.

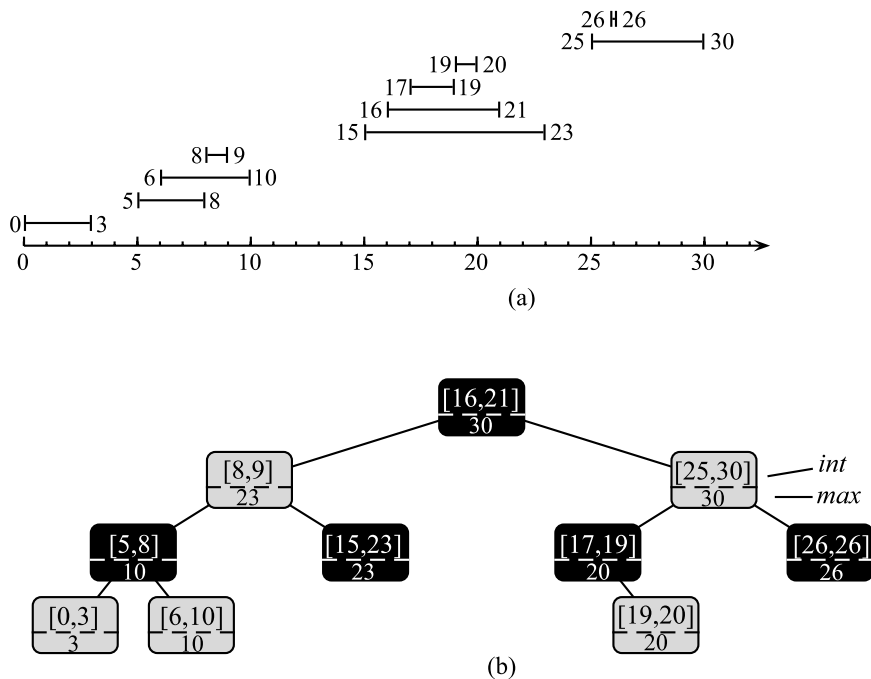
Intervalul  $[t_1, t_2]$  se poate reprezenta sub forma unui obiect  $i$ , care are câmpurile  $\text{jos}[i] = t_1$  (**capătul inferior**) și  $\text{sus}[i] = t_2$  (**capătul superior**). Spunem că intervalele  $i$  și  $i'$  se **suprapun** dacă  $i \cap i' \neq \emptyset$ , adică dacă  $\text{jos}[i] \leq \text{sus}[i']$  și  $\text{jos}[i'] \leq \text{sus}[i]$ . Pentru orice două intervale  $i$  și  $i'$  are loc **trihotomia intervalelor**, adică ele verifică doar una din următoarele trei proprietăți:

- $i$  și  $i'$  se suprapun,
- $\text{sus}[i] < \text{jos}[i']$ ,
- $\text{sus}[i'] < \text{jos}[i]$ .

În figura 15.3 sunt prezentate cele trei posibilități.

Numim **arbore de intervale** un arbore roșu-negru care întreține o mulțime dinamică de elemente, în care fiecare element  $x$  conține un interval  $\text{int}[x]$ . Arborii de intervale au următoarele operații.

INTERVAL-INSEREAZĂ( $T, x$ ) adaugă la arboarele de intervale  $T$  elementul  $x$  care are în câmpul  $\text{int}$  un interval.



**Figura 15.4** Un arbore de intervale. (a) O mulțime de 10 intervale, sortate de jos în sus după capătul din stânga (inferior). (b) Arborele de intervale care le reprezintă. Traversarea în inordine a acestui arbore va produce lista nodurilor sortată după capătul din stânga.

INTERVAL-ȘTERGE( $T, x$ ) șterge elementul  $x$  din arborele de intervale  $T$ .

INTERVAL-CAUTĂ( $T, i$ ) returnează un pointer la un element  $x$  din arborele de intervale  $T$  pentru care  $\text{int}[x]$  se suprapune cu intervalul  $i$ , sau NIL dacă în mulțime nu există un astfel de element.

Figura 15.4 ilustrează modul de reprezentare al unei mulțimi de intervale cu ajutorul unui arbore de intervale. Vom aplica metoda în patru pași descrisă în secțiunea 15.2 pentru a proiecta arborele de intervale și operațiile proprii acestuia.

### Pasul 1: Structura de date suport

Am ales ca structură de date suport un arbore roșu-negru în care fiecare nod  $x$  conține un câmp interval  $\text{int}[x]$  și pentru care cheia nodului  $x$  este capătul inferior,  $\text{jos}[\text{int}[x]]$ , al intervalului. Prin urmare, o traversare în inordine a structurii de date va produce o listă a intervalelor, ordonată după capătul inferior al acestora.

### Pasul 2: Informația suplimentară

Pe lângă câmpul interval  $\text{int}[x]$ , fiecare nod  $x$  va conține o valoare  $\text{max}[x]$  care reprezintă valoarea maximă a capetelor intervalelor memorate în subarborele având rădăcina  $x$ . Deoarece

capătul superior al fiecărui interval este cel puțin la fel de mare ca și capătul inferior al acestuia,  $\max[x]$  va fi de fapt valoarea maximă a capetelor superioare ale intervalelor memorate în subarborele având rădăcina  $x$ .

### Pasul 3: Întreținerea informației suplimentare

Trebuie să verificăm că inserarea și ștergerea se pot executa într-un timp  $O(\lg n)$  pe un arbore de intervale având  $n$  noduri. Valoarea câmpului  $\max[x]$  se poate determina dacă se cunosc intervalul  $\text{int}[x]$  și valorile  $\max$  ale fiilor nodului  $x$ :

$$\max[x] = \max(\text{sus}[\text{int}[x]], \max[\text{stânga}[x]], \max[\text{dreapta}[x]]).$$

Folosind teorema 15.1, rezultă că inserarea și ștergerea se execută într-un timp  $O(\lg n)$ . De fapt, actualizarea câmpurilor  $\max$  după o rotație se poate realiza într-un timp  $O(1)$ , aşa cum se arată în exercițiile 15.2-4 și 15.3-1.

### Pasul 4: Proiectarea noilor operații

Singura operație care trebuie proiectată este INTERVAL-CAUTĂ( $T, i$ ), care găsește un interval din  $T$  suprapus pe intervalul  $i$ . Dacă  $T$  nu conține nici un astfel de interval, se returnează NIL.

INTERVAL-CAUTĂ( $T, i$ )

- 1:  $x \leftarrow \text{r\_cin}[T]$
- 2: **cât timp**  $x \neq \text{NIL}$  și  $i$  nu se suprapune cu  $\text{int}[x]$  **execută**
- 3:   **dacă**  $\text{stânga}[x] \neq \text{NIL}$  și  $\max[\text{stânga}[x]] \geq \text{jos}[i]$  **atunci**
- 4:      $x \leftarrow \text{stânga}[x]$
- 5:   **altfel**
- 6:      $x \leftarrow \text{dreapta}[x]$
- 7: **returnează**  $x$

Căutarea intervalului care se suprapune cu  $i$  începe inițializând  $x$  cu rădăcina arborelui și continuă coborând în arbore. Ea se termină fie când s-a găsit un interval care se suprapune cu  $i$ , fie când  $x$  devine NIL. Deoarece fiecare iterație a ciclului necesită un timp  $O(1)$  și deoarece înălțimea unui arbore roșu-negru având  $n$  noduri este  $O(\lg n)$ , procedura INTERVAL-CAUTĂ va consuma un timp  $O(\lg n)$ .

Înainte de a studia dacă algoritmul INTERVAL-CAUTĂ este corect, să examinăm cum funcționează el pe arborele de intervale din figura 15.4. Presupunem că dorim să determinăm un interval care se suprapune cu intervalul  $i = [22, 25]$ . Se începe inițializând  $x$  cu rădăcina arborelui, care conține intervalul  $[16, 21]$  care nu se suprapune cu  $i$ . Deoarece  $\max[\text{stânga}[x]] = 23$  este mai mare decât  $\text{jos}[i] = 22$ , ciclul continuă cu  $x$  inițializat cu fiul stâng al rădăcinii – noul nod  $x$  care conține intervalul  $[8, 9]$  și care nici el nu se suprapune cu  $i$ . De data aceasta,  $\max[\text{stânga}[x]] = 10$  este mai mic decât  $\text{jos}[i] = 22$ , deci ciclul continuă inițializând  $x$  cu fiul său drept. Intervalul  $[15, 23]$  memorat în acest nod se suprapune cu  $i$ , deci procedura va returna acest nod.

Pentru a da un exemplu de căutare fără succes, să determinăm intervalul care se suprapune cu intervalul  $i = [11, 14]$  în arborele de intervale din figura 15.4. Începem inițializând  $x$  cu rădăcina arborelui. Deoarece intervalul memorat în rădăcină nu se suprapune cu  $i$  și  $\max[\text{stânga}[x]] = 23$  este mai mare decât  $\text{jos}[i] = 11$ , vom continua cu fiul stâng al lui  $x$ , nodul care conține intervalul  $[8, 9]$ . (Să observăm că în subarborele drept nu există nici un interval care să se suprapună

cu  $i$  – vom vedea mai târziu de ce.) Intervalul din  $x$ ,  $[8, 9]$  nu se suprapune cu  $i$ , și deoarece  $\max[\text{stânga}[x]] = 10$  este mai mic decât  $\text{jos}[i] = 11$  vom continua inițializând  $x$  cu fiul său drept. (Să observăm acum că în subarborele stâng nu există nici un interval care să se suprapună cu  $i$ .) Intervalul din nodul  $x$  curent, adică  $[15, 23]$  nu se suprapune cu  $i$ , fiul său stâng este NIL, aşa că vom continua cu fiul său drept, care este și el NIL, deci ciclul se încheie și procedura returnează NIL.

Pentru a studia corectitudinea algoritmului INTERVAL-CAUTĂ, trebuie să înțelegem de ce este suficient să se examineze nodurile de pe un singur drum care pornește de la rădăcină. Ideea de bază este aceea că pentru orice nod  $x$ , dacă  $\text{int}[x]$  nu se suprapune cu  $i$ , atunci căutarea continuă într-o direcție sigură: intervalul care se suprapune cu  $i$  va fi găsit cu siguranță dacă în arbore există un asemenea interval. Teorema următoare exprimă mai riguros această proprietate.

**Teorema 15.2** Considerăm execuția unei iterații a ciclului **cât timp** din algoritmul INTERVAL-CAUTĂ( $T, i$ ).

1. Dacă se execută linia 4 (deci căutarea continuă la stânga), atunci fie că subarborele stâng al lui  $x$  conține intervalul care se suprapune cu  $i$ , fie că în subarborele drept nu există nici un interval care se suprapune cu  $i$ .
2. Dacă se execută linia 6 (deci căutarea continuă la dreapta), atunci în subarborele stâng al lui  $x$  nu există nici un interval care se suprapune cu  $i$ .

**Demonstratie.** Ambele cazuri se demonstrează folosind trihotomia intervalelor. Vom demonstra la început cazul 2, acesta fiind mai simplu. Să remarcăm că dacă se execută linia 6, atunci datorită condiției de ramificare din linia 3, avem fie  $\text{stânga}[x] = \text{NIL}$  fie  $\max[\text{stânga}[x]] < \text{jos}[i]$ . Dacă  $\text{stânga}[x] = \text{NIL}$ , atunci este evident că subarborele având rădăcina  $\text{stânga}[x]$  nu conține nici un interval care să se suprapună cu  $i$  deoarece el nu conține nici un nod, deci nici un interval. Presupunem acum că  $\text{stânga}[x] \neq \text{NIL}$  și că  $\max[\text{stânga}[x]] < \text{jos}[i]$ . Fie  $i'$  un interval din subarborele stâng al lui  $x$  (vezi figura 15.5(a)). Deoarece  $\max[\text{stânga}[x]]$  este cel mai mare capăt de interval din subarborele stâng al lui  $x$ , avem:

$$\text{sus}[i'] \leq \max[\text{stânga}[x]] < \text{jos}[i],$$

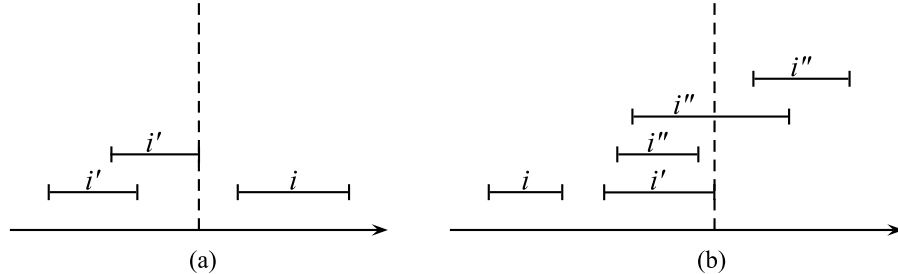
și din trihotomia intervalelor rezultă că  $i$  și  $i'$  nu se suprapun, deci am demonstrat cazul 2.

Pentru a demonstra cazul 1, putem presupune că în subarborele stâng al lui  $x$  nu există intervale care să se suprapună cu  $i$  (dacă ar exista astfel de intervale, am terminat demonstrația) și atunci trebuie doar să demonstrăm că nici în subarborele drept al lui  $x$  nu există intervale care să se suprapună cu  $i$ . Să observăm că dacă se execută linia 4, atunci datorită condiției de ramificare din linia 3, avem  $\max[\text{stânga}[x]] \geq \text{jos}[i]$ . Mai mult, din definiția câmpului  $\max$  rezultă că în subarborele stâng al lui  $x$  trebuie să existe un interval  $i'$  astfel încât:

$$\text{sus}[i'] = \max[\text{stânga}[x]] \geq \text{jos}[i].$$

(Figura 15.5(b) reflectă această situație). Deoarece  $i$  și  $i'$  nu se suprapun și deoarece relația  $\text{sus}[i'] < \text{jos}[i]$  nu este adevărată, din trihotomia intervalelor rezultă că  $\text{sus}[i] < \text{jos}[i']$ . Deoarece arborii de intervale au drept chei capetele din stânga ale intervalelor, din proprietatea arborelui de căutare rezultă că pentru orice interval  $i''$  din subarborele stâng al lui  $x$  are loc inegalitatea

$$\text{sus}[i] < \text{jos}[i'] \leq \text{jos}[i''].$$



**Figura 15.5** Intervalele pentru demonstrația teoremei 15.2. Valoarea lui  $\max[\text{stanga}[x]]$  este marcată în fiecare caz cu o linie întreruptă. (a) Cazul 2: căutarea continuă la dreapta. Nu există nici un interval  $i'$  care să se suprapună cu  $i$ . (b) Cazul 1: căutarea continuă la stânga. Fie că subarborele stâng al lui  $x$  conține un interval care se suprapune cu  $i$  (această situație nu este ilustrată în figură), fie că există un interval  $i'$  în subarborele stâng al lui  $x$  astfel ca  $\text{sus}[i'] = \max[\text{stanga}[x]]$ . Deoarece  $i$  nu se suprapune cu  $i'$ , orice alt interval  $i''$  din subarborele stâng al lui  $x$  nu se va suprapune cu  $i$  deoarece  $\text{jos}[i'] \leq \text{jos}[i'']$ .

Conform trihotomiei intervalelor, rezultă că  $i$  și  $i''$  nu se suprapun. ■

Teorema 15.2 garantează că dacă algoritmul INTERVAL-CAUTĂ continuă cu unul dintre fiile lui  $x$  și nu se găsește nici un interval de suprapunere, atunci căutarea care ar continua cu celălalt fiu al lui  $x$  ar fi de asemenea fără succes.

## Exerciții

**15.3-1** Scrieți pseudocodul procedurii ROTEŞTE-STÂNGA care operează pe nodurile unui arbore de intervale și care actualizează câmpurile  $\max$  într-un timp  $O(1)$ .

**15.3-2** Rescrieți codul pentru INTERVAL-CAUTĂ astfel ca el să funcționeze adecvat în cazul când toate intervalele sunt deschise.

**15.3-3** Descrieți un algoritm eficient care, fiind dat un interval  $i$ , returnează fie un interval care se suprapune cu  $i$  și care are capătul din stânga minim, fie NIL dacă nu există un asemenea interval.

**15.3-4** Fiind dați un arbore de intervale  $T$  și un interval  $i$ , descrieți cum se poate determina lista tuturor intervalelor din  $T$  care se suprapun cu  $i$  într-un timp  $O(\min(n, k \lg n))$ , unde  $k$  este numărul de intervale din listă. (*Op ional:* Găsiți o soluție care nu modifică arborele.)

**15.3-5** Sugerați modificări ale procedurilor pentru arborele de intervale pentru a putea implementa operația INTERVAL-CAUTĂ-EXACT( $T, i$ ), care returnează fie un pointer la un nod  $x$  din arborele de intervale pentru care  $\text{jos}[\text{int}[x]] = \text{jos}[i]$  și  $\text{sus}[\text{int}[x]] = \text{sus}[i]$ , fie NIL dacă  $T$  nu conține un astfel de nod. Toate operațiile, inclusiv INTERVAL-CAUTĂ-EXACT trebuie să se execute într-un timp de  $O(\lg n)$  pe un arbore având  $n$  noduri.

**15.3-6** Arătați cum se poate întreține o mulțime dinamică  $Q$  de numere, care pentru operația MIN-DIF returnează mărimea diferenței dintre cele mai apropiate două numere din  $Q$ . De exemplu, dacă  $Q = \{1, 5, 9, 15, 18, 22\}$ , atunci  $\text{MIN-DIF}(Q)$  va returna  $18 - 15 = 3$ , deoarece 15

și 18 sunt cele mai apropiate numere din  $Q$ . Realizați operațiile INSEREAZĂ, STERGE, CAUTĂ și MIN-DIF cât mai eficient și analizați timpii lor de execuție.

**15.3-7 \*** Bazele de date de circuite VLSI reprezintă un circuit integrat ca o listă de dreptunghiuri. Presupunem că fiecare dreptunghi este orientat rectiliniu (adică are laturile paralele cu axele  $x$  și  $y$  ale sistemului de coordonate), deci reprezentarea unui dreptunghi constă din valorile minime și maxime ale coordonatelor sale  $x$  și  $y$ . Dați un algoritm ce consumă un timp de  $O(n \lg n)$  pentru a decide dacă o mulțime de dreptunghiuri astfel reprezentate conține sau nu două dreptunghiuri care se suprapun. Algoritmul nu trebuie să determine toate perechile de coordonate care se intersectează, ci doar să raporteze că există suprapunere și în cazul când un dreptunghi acoperă în întregime alt dreptunghi, chiar dacă laturile lor nu se intersectează. (*Indica ie:* Deplasați o linie de “baleaj” peste mulțimea de dreptunghiuri.)

## Probleme

### 15-1 Punctul de suprapunere maximă

Presupunem că dorim să memorăm **punctul de suprapunere maximă** asociat unei mulțimi de intervale – punctul conținut în cele mai multe intervale din mulțime. Arătați cum se poate întreține eficient acest punct de suprapunere maximă când se inserează sau se sterg intervale în/din mulțime.

### 15-2 Permutarea Josephus

**Permutarea Josephus** se definește după cum urmează. Presupunem că  $n$  persoane sunt aranjate în cerc și că există un întreg pozitiv  $m \leq n$ . Începând cu o persoană stabilită, se parcurge cercul și fiecare a  $m$ -a persoană se scoate din configurație. După ce persoana a fost eliminată, numărarea continuă cu configurația rămasă. Procesul de eliminare continuă până când toate cele  $n$  persoane au fost scoase din configurație. Ordinea în care se elimină persoanele din configurație va defini **permutarea Josephus**  $(n, m)$  a întregilor  $1, 2, \dots, n$ . De exemplu, permutarea Josephus  $(7, 3)$  este  $\langle 3, 6, 2, 7, 5, 1, 4 \rangle$ .

- a. Presupunem că  $m$  este constant. Descrieți un algoritm ce consumă un timp  $O(n)$  care, fiind dat un întreg  $n$ , produce permutarea Josephus  $(n, m)$ .
- b. Presupunem că  $m$  nu este constant. Descrieți un algoritm ce consumă un timp  $O(n \lg n)$  care, fiind date întregii  $n$  și  $m$ , produce permutarea Josephus  $(n, m)$ .

## Note bibliografice

Preparata și Shamos [160] descriu câteva dintre tipurile de arbori de intervale care apar în literatură. Dintre cei mai importanți din punct de vedere teoretic amintim aici cei descoperiți independent de H. Edelsbrunner (1980) și E.M. McCreight (1981), care, într-o bază de date cu  $n$  intervale, permit enumerarea tuturor celor  $k$  intervale care suprapun un interval de interogare dat într-un timp  $O(k + \lg n)$ .

IV Tehnici avansate de proiectare și analiză

---

## Introducere

Această parte prezintă trei tehnici importante pentru proiectarea și analiza algoritmilor eficienți: programarea dinamică (capitolul 16), algoritmii greedy (capitolul 17) și analiza amortizată (capitolul 18). Părțile anterioare au tratat alte tehnici cu aplicare foarte largă cum ar fi divide și stăpânește, randomizarea și soluții recurente. Noile tehnici sunt oarecum mai sofisticate dar sunt esențiale pentru abordarea eficientă a multor probleme de calcul. Temele introduse în această parte vor reapărea ulterior în carte.

În mod tipic, programarea dinamică este folosită pentru probleme de optimizare în care trebuie făcute un număr finit de alegeri pentru a obține o soluție optimală. Deseori, pe măsură ce facem alegerile apar subprobleme de același tip. Programarea dinamică este eficientă atunci când o subproblemă dată poate apărea din mai multe mulțimi parțiale de alegeri; tehnica cheie este să stocăm sau să “memoizăm” soluția fiecărei subprobleme în cazul în care aceasta reappeare. Capitolul 16 arată cum această idee simplă poate transforma cu ușurință algoritmi exponentiali în algoritmi polinomiali.

La fel ca algoritmii de programare dinamică, algoritmii greedy se folosesc de obicei în probleme de optimizare în care trebuie făcute un număr de alegeri pentru a ajunge la o soluție optimă. Idea unui algoritm greedy este de a face fiecare alegere într-o manieră optimă local. Un exemplu simplu este plata restului cu număr minim de monede: pentru a minimiza numărul de monede necesare pentru a obține restul de la o sumă dată de bani este suficient să selectăm în mod repetat moneda cu cea mai mare valoare, dar nu mai mare decât restul rămas.<sup>1</sup> Există multe astfel de probleme pentru care o abordare greedy duce la găsirea unei soluții optimale mult mai repede decât o abordare prin programare dinamică. Totuși, nu este întotdeauna ușor de stabilit dacă o abordare greedy va fi eficientă. Capitolul 17 recapitulează teoria matroizilor care poate fi de multe ori folosită în stabilirea unei astfel de decizii.

Analiza amortizată este un instrument pentru analiza algoritmilor care execută o secvență de operații similare. În loc să mărginim costul secvenței de operații, mărginind separat costul efectiv al fiecărei operații, o analiză amortizată poate fi folosită pentru a furniza o margine a costului efectiv al întregii secvențe. Un motiv pentru care această idee poate fi eficientă este că, într-o secvență de operații, s-ar putea să fie imposibil ca toate operațiile individuale să poată fi efectuate în limitele cunoscute pentru cazul cel mai defavorabil. În timp ce unele operații sunt costisitoare, multe altele ar putea să nu fie la fel de costisitoare, din punct de vedere al timpului de execuție. Analiza amortizată nu este doar un instrument de analiză; ea este și un mod de gândire referitor la proiectarea algoritmilor deoarece proiectarea unui algoritm și analiza timpului său de execuție sunt adesea strâns legate între ele. Capitolul 18 introduce trei modalități echivalente de efectuare a unei analize amortizate asupra unui algoritm.

---

<sup>1</sup>Pentru a fi siguri că restul poate fi întotdeauna plătit, presupunem că există monedă având valoarea egală cu unitatea.

---

## 16 Programarea dinamică

Programarea dinamică, asemenea metodelor *divide i st pâne te*, rezolvă problemele combinând soluțiile unor subprobleme. (În acest context, termenul de “programare” se referă la o metodă tabelară și nu la scrierea codului pentru un calculator.) După cum am arătat în capitolul 1, algoritmii *divide i st pâne te* partiziionează problema în subprobleme independente, rezolvă recursiv subproblemele și apoi combină soluțiile lor pentru a rezolva problema inițială. Spre deosebire de această abordare, programarea dinamică este aplicabilă atunci când subproblemele nu sunt independente, adică subproblemele au în comun sub-subprobleme. În acest context, un algoritm de tipul *divide i st pâne te* ar presupune mai multe calcule decât ar fi necesar dacă s-ar rezolva în mod repetat sub-subproblemele comune. Un algoritm bazat pe programare dinamică rezolvă fiecare sub-subproblemă o singură dată și, apoi, memorează soluția acesteia într-un tablou, prin aceasta evitând recalcularea soluției ori de câte ori respectiva sub-subproblemă apare din nou.

În general, metoda programării dinamice se aplică **problemelor de optimizare**. Asemenea probleme pot avea mai multe soluții posibile. Fiecare soluție are o valoare, iar ceea ce se dorește este determinarea soluției a cărei valoare este optimă (minimă sau maximă). O asemenea soluție se numește *o soluție optimă* a problemei, prin contrast cu *soluția optimă*, deoarece pot fi mai multe soluții care realizează valoarea optimă.

Dezvoltarea unui algoritm bazat pe programarea dinamică poate fi împărțită într-o secvență de patru pași.

1. Caracterizarea structurii unei soluții optime.
2. Definirea recursivă a valorii unei soluții optime.
3. Calculul valorii unei soluții optime într-o manieră de tip “bottom-up”.
4. Construirea unei soluții optime din informația calculată.

Pașii 1–3 sunt baza unei abordări de tip programare dinamică. Pasul 4 poate fi omis dacă se dorește doar calculul unei singure soluții optime. În vederea realizării pasului 4, deseori se păstrează informație suplimentară de la execuția pasului 3, pentru a ușura construcția unei soluții optimale.

Secțiunile care urmează vor folosi metoda programării dinamice pentru a rezolva unele probleme de optimizare. Secțiunea 16.1 abordează problema înmulțirii unui sir de matrice prin un număr minim de înmulțiri scalare. Pe baza acestui exemplu-problemă abordat prin metoda programării dinamice, secțiunea 16.2 tratează două caracteristici esențiale pe care trebuie să le prezinte problemele pentru ca programarea dinamică să fie o tehnică de soluționare viabilă. Secțiunea 16.3 arată cum poate fi determinat cel mai lung subșir comun a două siruri. În final, secțiunea 16.4 folosește programarea dinamică pentru a găsi o triangulare optimă pentru un poligon convex, problemă care este surprinzătoare înmulțirii unui sir de matrice.

## 16.1. Înmulțirea unui sir de matrice

Primul nostru exemplu de programare dinamică este un algoritm care rezolvă problema înmulțirii unui sir de matrice. Se dă un sir (o secvență)  $\langle A_1, A_2, \dots, A_n \rangle$  de  $n$  matrice care trebuie înmulțite, și se doreșe calcularea produsului

$$A_1 A_2 \cdots A_n \quad (16.1)$$

Expresia (16.1) se poate evalua folosind algoritmul standard de înmulțire a unei perechi de matrice ca subrutină, o dată ce expresia a fost parantezată (parantezarea este necesară pentru a rezolva toate ambiguitățile privind înmulțirile de matrice). Un produs de matrice este **complet parantezat** fie dacă este format dintr-o unică matrice, fie dacă este produsul a două produse de matrice care sunt la rândul lor complet parantezate. Cum înmulțirea matricelor este asociativă, toate parantezările conduc la același produs. De exemplu, dacă sirul de matrice este  $\langle A_1, A_2, A_3, A_4 \rangle$ , produsul  $A_1 A_2 A_3 A_4$  poate fi complet parantezat în cinci moduri distincte, astfel:

$$(A_1(A_2(A_3A_4))), (A_1((A_2A_3)A_4)), ((A_1A_2)(A_3A_4)), ((A_1(A_2A_3))A_4), (((A_1A_2)A_3)A_4).$$

Modul în care parantezăm un sir de matrice poate avea un impact dramatic asupra costului evaluării produsului. Să considerăm mai întâi costul înmulțirii a două matrice. Algoritmul standard este dat de următoarea procedură, descrisă în pseudocod. Prin *linii* și *coloane* sunt referite numărul de linii, respectiv de coloane ale matricei.

**ÎNMULȚIRE-MATRICE( $A, B$ )**

- 1: **dacă** *coloane*[ $A$ ]  $\neq$  *linii*[ $B$ ] **atunci**
- 2:   **mesaj de eroare:** “dimensiuni incompatibile”
- 3:   **altfel**
- 4:   **pentru**  $i \leftarrow 1, \text{linii}[A]$  **execută**
- 5:     **pentru**  $j \leftarrow 1, \text{coloane}[B]$  **execută**
- 6:        $C[i, j] \leftarrow 0$
- 7:     **pentru**  $k \leftarrow 1, \text{coloane}[A]$  **execută**
- 8:        $C[i, j] \leftarrow C[i, j] + A[i, k] \cdot B[k, j]$
- 9:   **returnează**  $C$

Două matrice  $A$  și  $B$  se pot înmulții numai dacă numărul de coloane din  $A$  este egal cu numărul de linii din  $B$ . Astfel, dacă  $A$  este o matrice având dimensiunea  $p \times q$  și  $B$  este o matrice având dimensiunea  $q \times r$ , matricea produsă  $C$  este o matrice având dimensiunea  $p \times r$ . Timpul necesar calculului matricei  $C$  este determinat de numărul de înmulțiri scalare (a se vedea linia 8 din algoritm) care este  $pqr$ . În cele ce urmează, vom exprima timpii de execuție în funcție de numărul de înmulțiri scalare.

Pentru a ilustra modul în care apar costuri diferite la parantezări diferite ale produsului de matrice, să considerăm problema sirului  $\langle A_1, A_2, A_3 \rangle$  de trei matrice. Să presupunem că dimensiunile matricelor sunt  $10 \times 100$ ,  $100 \times 5$  și, respectiv,  $5 \times 50$ . Dacă efectuăm înmulțirile conform parantezării  $((A_1A_2)A_3)$ , atunci vom avea  $10 \cdot 100 \cdot 5 = 5000$  înmulțiri scalare pentru a calcula matricea  $A_1A_2$  de dimensiune  $10 \times 5$ , plus alte  $10 \cdot 5 \cdot 50 = 2500$  înmulțiri scalare pentru a înmulții această matrice cu matricea  $A_3$ . Astfel rezultă un total de 7500 înmulțiri

scalare. Dacă, în schimb, vom efectua înmulțirile conform parantezării ( $A_1(A_2A_3)$ ), vom avea  $100 \cdot 5 \cdot 50 = 25.000$  înmulțiri scalare pentru a calcula matricea  $A_2A_3$  de dimensiuni  $100 \times 50$ , plus alte  $10 \cdot 100 \cdot 50 = 50.000$  înmulțiri scalare pentru a înmulți  $A_1$  cu această matrice. Astfel rezultă un total de 75.000 înmulțiri scalare. Deci, calculând produsul conform primei parantezări, calculul este de 10 ori mai rapid.

**Problema înmulțirii sirului de matrice** poate fi enunțată în următorul mod: dându-se un sir  $\langle A_1, A_2, \dots, A_n \rangle$  de  $n$  matrice, unde, pentru  $i = 1, 2, \dots, n$ , matricea  $A_i$  are dimensiunile  $p_{i-1} \times p_i$ , să se parantezeze complet produsul  $A_1A_2 \cdots A_n$ , astfel încât să se minimizeze numărul de înmulțiri scalare.

### Evaluarea numărului de parantezări

Înainte de a rezolva problema înmulțirii sirului de matrice prin programare dinamică, trebuie să ne convingem că verificarea exhaustivă a tuturor parantezărilor nu conduce la un algoritm eficient. Fie  $P(n)$  numărul de parantezări distincte ale unei secvențe de  $n$  matrice. Deoarece secvența de matrice o putem diviza între matricele  $k$  și  $(k+1)$ , pentru orice  $k = 1, 2, \dots, n-1$ , și, apoi, putem descompune în paranteze, în mod independent, fiecare dintre cele două subsecvențe, obținem recurența:

$$P(n) = \begin{cases} 1 & \text{dacă } n = 1, \\ \sum_{k=1}^{n-1} P(k)P(n-k) & \text{dacă } n \geq 2. \end{cases}$$

Problema 13-4 a cerut să se demonstreze că soluția acestei recurențe este secvența de **numere Catalan**:

$$P(n) = C(n-1),$$

unde

$$C(n) = \frac{1}{n+1} \binom{2n}{n} = \Omega(4^n/n^{3/2}).$$

Numărul de soluții este, deci, exponențial în  $n$ , și metoda forței brute a căutării exhaustive este, prin urmare, o strategie slabă de determinare a modalității de parantezare a sirului de matrice.

### Structura unei parantezări optime

Primul pas din schema generală a metodei programării dinamice constă în caracterizarea structurii unei soluții optimale. Pentru problema înmulțirii sirului de matrice, aceasta este descrisă în continuare. Pentru simplitate, vom adopta convenția de notare  $A_{i..j}$  pentru matricea care rezultă în urma evaluării produsului  $A_iA_{i+1}\cdots A_j$ . O parantezare optimă a produsului  $A_1A_2\cdots A_n$  împarte produsul între  $A_k$  și  $A_{k+1}$  pentru un anumit întreg  $k$  din intervalul  $1 \leq k < n$ . Aceasta înseamnă că, pentru o valoare a lui  $k$ , mai întâi calculăm matricele  $A_{1..k}$  și  $A_{k+1..n}$  și, apoi, le înmulțim pentru a produce rezultatul final  $A_{1..n}$ . Costul acestei parantezări optime este, deci, costul calculului matricei  $A_{1..k}$ , plus costul calculului matricei  $A_{k+1..n}$ , plus costul înmulțirii celor două matrice.

Observația cheie este că parantezarea subșirului “prefix”  $A_1A_2\cdots A_k$ , în cadrul parantezării optime a produsului  $A_1A_2\cdots A_n$ , trebuie să fie o parantezare *optimă* pentru  $A_1A_2\cdots A_k$ .

De ce? Dacă ar fi existat o modalitate mai puțin costisitoare de parantezare a lui  $A_1 A_2 \cdots A_k$ , înlocuirea respectivei parantezări în parantezarea lui  $A_1 A_2 \cdots A_n$  ar produce o altă parantezare pentru  $A_1 A_2 \cdots A_n$ , al cărei cost ar fi mai mic decât costul optimului, ceea ce este o contradicție. O observație asemănătoare este valabilă și pentru parantezarea subșirului  $A_{k+1} A_{k+2} \cdots A_n$  în cadrul parantezării optime a lui  $A_1 A_2 \cdots A_n$ : aceasta trebuie să fie o parantezare optimă pentru  $A_{k+1} A_{k+2} \cdots A_n$ .

Prin urmare, o soluție optimă a unei instanțe a problemei înmulțirii șirului de matrice conține soluții optime pentru instanțe ale subproblemelor. Existența substructurilor optime în cadrul unei soluții optime este una dintre caracteristicile cadrului de aplicare a metodei programării dinamice, aşa cum se va arăta în secțiunea 16.2.

## O soluție recursivă

Al doilea pas în aplicarea metodei programării dinamice este definirea valorii unei soluții optime în mod recursiv, în funcție de soluțiile optime ale subproblemelor. În cazul problemei înmulțirii șirului de matrice, o subproblemă constă în determinarea costului minim al unei parantezări a șirului  $A_i A_{i+1} \cdots A_j$ , pentru  $1 \leq i \leq j \leq n$ . Fie  $m[i, j]$  numărul minim de înmulțiri scalare necesare pentru a calcula matricea  $A_{i..j}$ ; costul modalității optime de calcul a lui  $A_{1..n}$  va fi, atunci,  $m[1, n]$ .

Putem defini  $m[i, j]$  în mod recursiv, după cum urmează. Dacă  $i = j$ , șirul constă dintr-o singură matrice  $A_{i..i} = A_i$  și, pentru calculul produsului nu este necesară nici o înmulțire scalară. Atunci,  $m[i, i] = 0$  pentru  $i = 1, 2, \dots, n$ . Pentru a calcula  $m[i, j]$  când  $i < j$ , vom folosi structura unei soluții optimale găsite la pasul 1. Să presupunem că descompunerea optimă în paranteze împarte produsul  $A_i A_{i+1} \cdots A_j$  între  $A_k$  și  $A_{k+1}$ , cu  $i \leq k < j$ . Atunci,  $m[i, j]$  este egal cu costul minim pentru calculul subprodusului  $A_{i..k}$  și  $A_{k+1..j}$  plus costul înmulțirii acestor două matrice rezultat. Deoarece evaluarea produsului  $A_{i..k} A_{k+1..j}$  necesită  $p_{i-1} p_k p_j$  înmulțiri scalare, vom obține

$$m[i, j] = m[i, k] + m[k + 1, j] + p_{i-1} p_k p_j.$$

Această ecuație recursivă presupune cunoașterea valorii lui  $k$ , lucru care nu este posibil. Există doar  $j - i$  valori posibile pentru  $k$ , și anume  $k = i, i + 1, \dots, j - 1$ . Deoarece parantezarea optimă trebuie să folosească una dintre aceste valori pentru  $k$ , va trebui să le verificăm pe toate pentru a o putea găsi pe cea mai bună. Atunci, definiția recursivă a costului minim a parantezării produsului  $A_i A_{i+1} \cdots A_j$  devine

$$m[i, j] = \begin{cases} 0 & \text{dacă } i = j, \\ \min_{i \leq k < j} \{m[i, k] + m[k + 1, j] + p_{i-1} p_k p_j\} & \text{dacă } i < j. \end{cases} \quad (16.2)$$

Valorile  $m[i, j]$  exprimă costul soluțiilor optime ale subproblemelor. Pentru a putea urmări modul de construcție a soluției optime, să definim  $s[i, j]$  care va conține valoarea  $k$  pentru care împărțirea produsului  $A_i A_{i+1} \cdots A_j$  produce o parantezare optimă. Aceasta înseamnă că  $s[i, j]$  este egal cu valoarea  $k$  pentru care  $m[i, j] = m[i, k] + m[k + 1, j] + p_{i-1} p_k p_j$ .

## Calculul costului optimal

În acest moment, este ușor să scriem un algoritm recursiv bazat pe recurența (16.2) care calculează costul minim  $m[1, n]$  al produsului  $A_1 A_2 \cdots A_n$ . După cum vom vedea în secțiunea

16.2, acest algoritm necesită un timp exponential – nu mai bun decât metoda forței brute folosită pentru verificarea fiecărui mod de descompunere în paranteze a produsului de matrice.

Observația importantă care se impune în acest moment este că avem relativ puține subprobleme: o problemă pentru fiecare alegere a lui  $i$  și  $j$  ce satisfac  $1 \leq i \leq j \leq n$ , adică un total de  $\binom{n}{2} + n = \Theta(n^2)$ . Un algoritm recursiv poate întâlni fiecare subproblemă de mai multe ori pe ramuri diferite ale arborelui său de recurență. Această proprietate de suprapunere a subproblemelor este două caracteristică a programării dinamice.

În loc să calculăm recursiv soluția recurenței (16.2), vom aplica cel de-al treilea pas al schemei generale a metodei programării dinamice și vom calcula costul optimal cu o abordare “bottom-up”. Algoritmul următor presupune că matricea  $A_i$  are dimensiunile  $p_{i-1} \times p_i$  pentru  $i = 1, 2, \dots, n$ . Intrarea este secvența  $\langle p_0, p_1, \dots, p_n \rangle$ , unde  $\text{lungime}[p] = n + 1$ . Procedura folosește un tablou auxiliar  $m[1..n, 1..n]$  pentru costurile  $m[i, j]$  și un tablou auxiliar  $s[1..n, 1..n]$  care înregistrează acea valoare a lui  $k$  pentru care s-a obținut costul optim în calculul lui  $m[i, j]$ .

**ORDINE-ȘIR-MATRICE( $p$ )**

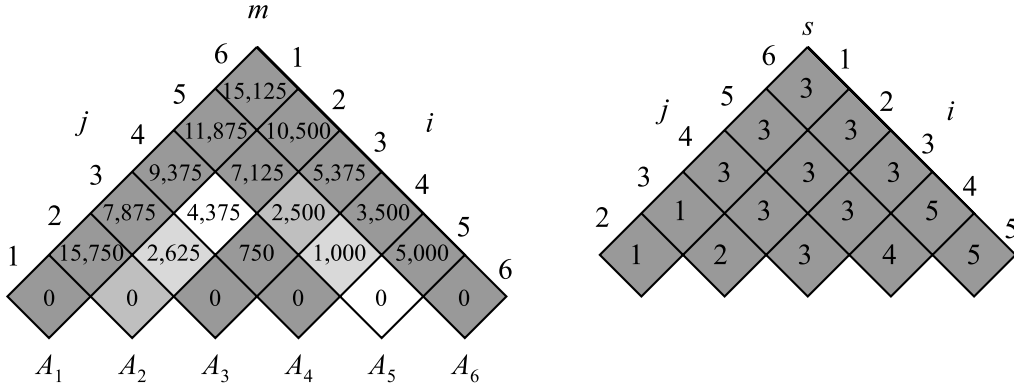
```

1:  $n \leftarrow \text{lungime}[p] - 1$ 
2: pentru  $i \leftarrow 1, n$  execută
3:    $m[i, i] \leftarrow 0$ 
4: pentru  $l \leftarrow 2, n$  execută
5:   pentru  $i \leftarrow 1, n - l + 1$  execută
6:      $j \leftarrow i + l - 1$ 
7:      $m[i, j] \leftarrow \infty$ 
8:     pentru  $k \leftarrow i, j - 1$  execută
9:        $q \leftarrow m[i, k] + m[k + 1, j] + p_{i-1} p_k p_j$ 
10:      dacă  $q < m[i, j]$  atunci
11:         $m[i, j] \leftarrow q$ 
12:         $s[i, j] \leftarrow k$ 
13: returnează  $m, s$ 
```

Algoritmul completează tabloul  $m$  într-un mod ce corespunde rezolvării problemei parantezării unor șiruri de matrice de lungime din ce în ce mai mare. Ecuția (16.2) arată că  $m[i, j]$ , costul de calcul al produsului șirului de  $j - i + 1$  matrice, depinde doar de costurile calculării produselor șirurilor de mai puțin de  $j - i + 1$  matrice. Aceasta înseamnă că, pentru  $k = i, i + 1, \dots, j - 1$ , matricea  $A_{i..k}$  este un produs de  $k - i + 1 < j - i + 1$  matrice, iar matricea  $A_{k+1..j}$  este un produs de  $j - k < j - i + 1$  matrice.

Algoritmul initializează, mai întâi,  $m[i, i] \leftarrow 0$  pentru  $i = 1, 2, \dots, n$  (costul minim al șirurilor de lungime 1) în liniile 2–3. Se folosește, apoi, recurența (16.2) pentru a calcula  $m[i, i + 1]$  pentru  $i = 1, 2, \dots, n - 1$  (costul minim al șirurilor de lungime 2) la prima execuție a ciclului din liniile 4–12. La a doua trecere prin ciclu, se calculează  $m[i, i + 2]$  pentru  $i = 1, 2, \dots, n - 2$  (costul minim al șirurilor de lungime 3) etc. La fiecare pas, costul  $m[i, j]$  calculat pe liniile 9–12 depinde doar de intrările  $m[i, k]$  și  $m[k + 1, j]$  ale tabloului, deja calculate.

Figura 16.1 ilustrează această procedură pe un șir de  $n = 6$  matrice. Deoarece am definit  $m[i, j]$  doar pentru  $i \leq j$ , din tabloul  $m$  folosim doar portiunea situată strict deasupra diagonalei principale. Figura arată tablourile rotite astfel încât diagonala principală devine orizontală, iar șirul de matrice este înscris de-a lungul liniei de jos. Folosind acest model, costul minim  $m[i, j]$  de înmulțire a subșirului  $A_i A_{i+1} \cdots A_j$  de matrice poate fi găsit la intersecția liniilor care pornesc



**Figura 16.1** Tabelele  $m$  și  $s$  calculate de ORDINE-ȘIR-MATRICE pentru  $n = 6$  și matricele cu dimensiunile date mai jos:

matrice	dimensiuni
$A_1$	$30 \times 35$
$A_2$	$35 \times 15$
$A_3$	$15 \times 5$
$A_4$	$5 \times 10$
$A_5$	$10 \times 20$
$A_6$	$20 \times 25$

Tabele sunt rotite astfel încât diagonala principală devine orizontală. În tabloul  $m$  sunt utilizate doar elementele de deasupra diagonalei principale, iar în tabloul  $s$  sunt utilizate doar elementele de sub diagonala principala. Numărul minim de înmulțiri scalare necesare pentru înmulțirea a șase matrice este  $m[1, 6] = 15.125$ . Dintre pătratele hașurate cu gri deschis, perechile care sunt colorate cu aceeași nuanță sunt considerate împreună în linia 9, când calculăm

$$m[2, 5] = \min \left\{ \begin{array}{lll} m[2, 2] + m[3, 5] + p_1 p_2 p_5 & = & 0 + 2500 + 35 \cdot 15 \cdot 20 = 13000 \\ m[2, 3] + m[4, 5] + p_1 p_3 p_5 & = & 2625 + 1000 + 35 \cdot 5 \cdot 20 = 7125 \\ m[2, 4] + m[5, 5] + p_1 p_4 p_5 & = & 4375 + 0 + 35 \cdot 10 \cdot 20 = 11375 \end{array} \right\} = 7125.$$

pe direcția nord-est din  $A_i$  și pe direcția nord-vest din  $A_j$ . Fiecare rând orizontal din tablou conține valorile pentru șiruri de matrice de aceeași lungime. Procedura ORDINE-ȘIR-MATRICE calculează rândurile de jos în sus și de la stânga la dreapta în cadrul fiecărui rând. O valoare  $m[i, j]$  este calculată pe baza folosirii produselor  $p_{i-1} p_k p_j$  pentru  $k = i, i+1, \dots, j-1$  și a tuturor valorilor aflate pe direcția sud-est și sud-vest față de  $m[i, j]$ .

O simplă examinare a structurii de ciclu imbricat din ORDINE-ȘIR-MATRICE conduce la constatarea că timpul de execuție a algoritmului este  $O(n^3)$ . În fiecare dintre cele trei cicluri imbricate, indicii acestora ( $l$ ,  $i$  și  $k$ ) iau cel mult  $n$  valori. Exercițiul 16.1-3 cere să se demonstreze că timpul de execuție al acestui algoritm este  $\Omega(n^3)$ . Algoritmul necesită un spațiu  $\Theta(n^2)$  pentru a stoca tablourile  $m$  și  $s$ . De aceea, algoritmul ORDINE-ȘIR-MATRICE este mult mai eficient decât metoda de enumerare a tuturor variantelor de parantezare a produsului de matrice și de verificare a acestora.

## Construirea unei soluții optime

Deși algoritmul ORDINE-ŞIR-MATRICE determină numărul optim de înmulțiri scalare necesare pentru calculul produsului șirului de matrice, acesta nu prezintă în mod direct, cum trebuie făcută înmulțirea. Pasul 4 al schemei generale a metodei programării dinamice urmărește construirea unei soluții optime din informația disponibilă.

În acest caz particular, vom folosi tabloul  $s[1..n, 1..n]$  pentru a determina modul optim de înmulțire a matricelor. Fiecare element  $s[i, j]$  conține valoarea lui  $k$  pentru care parantezarea optimă a produsului  $A_i A_{i+1} \cdots A_j$  împarte produsul între  $A_k$  și  $A_{k+1}$ . Atunci știm că, în produsul final de calcul al matricei  $A_{1..n}$ , optimul este  $A_{1..s[1,n]} A_{s[1,n]+1..n}$ . Înmulțirile anterioare pot fi determinate recursiv, deoarece  $s[1, s[1, n]]$  determină ultima înmulțire matriceală din calculul lui  $A_{1..s[1,n]}$  și  $s[s[1, n] + 1, n]$  determină ultima înmulțire matriceală din calculul lui  $A_{s[1,n]+1..n}$ . Următoarea procedură recursivă calculează produsul șirului de matrice  $A_{i..j}$ , fiind date matricele  $A = \langle A_1, A_2, \dots, A_n \rangle$ , tabloul  $s$  calculat de ORDINE-ŞIR-MATRICE și indicii  $i$  și  $j$ . Apelul inițial este ÎNMULȚIRE-ŞIR-MATRICE( $A, s, 1, n$ ).

ÎNMULȚIRE-ŞIR-MATRICE( $A, s, i, j$ )

- 1: dacă  $j > i$  atunci
- 2:    $X \leftarrow \text{ÎNMULȚIRE-ŞIR-MATRICE}(A, s, i, s[i, j])$
- 3:    $Y \leftarrow \text{ÎNMULȚIRE-ŞIR-MATRICE}(A, s, s[i, j] + 1, j)$
- 4:   returnează ÎNMULȚIRE-MATRICE( $X, Y$ )
- 5: altfel
- 6: returnează  $A_i$

În exemplul din figura 16.1, apelul ÎNMULȚIRE-ŞIR-MATRICE( $A, s, 1, 6$ ) calculează produsul șirului de matrice conform descompunerii în paranteze

$$((A_1(A_2A_3))((A_4A_5)A_6)). \quad (16.3)$$

## Exerciții

**16.1-1** Găsiți o parantezare optimă a produsului unui șir de matrice al cărui șir de dimensiuni este  $\langle 5, 10, 3, 12, 5, 50, 6 \rangle$ .

**16.1-2** Proiectați un algoritm eficient SCRIE-OPTIM-PĂRINȚI pentru a afișa parantezarea optimă a unui șir de matrice dat de tabloul  $s$  calculat de ORDINE-ŞIR-MATRICE. Analizați algoritmul.

**16.1-3** Fie  $R(i, j)$  numărul de accesări ale elementului  $m[i, j]$  din tabloul  $m$ , de către algoritmul ORDINE-ŞIR-MATRICE, pentru calcularea celorlalte elemente ale tabloului. Arătați că, pentru întregul tablou, numărul total de accesări este

$$\sum_{i=1}^n \sum_{j=i}^n R(i, j) = \frac{n^3 - n}{3}.$$

(Indica ie: Identitatea  $\sum_{i=1}^n i^2 = n(n+1)(2n+1)/6$  poate fi utilă.)

**16.1-4** Arătați că o parantezare completă a unei expresii cu  $n$  elemente are exact  $n - 1$  perechi de paranteze.

## 16.2. Elemente de programare dinamică

Cu toate că am prezentat un exemplu de aplicare a metodei programării dinamice, este posibil să existe, în continuare, întrebări asupra situațiilor în care ea este aplicabilă, sau, altfel spus, când trebuie căutată o soluție de programare dinamică pentru o anumită problemă? În această secțiune se vor examina două componente de bază pe care trebuie să le prezinte problema de optimizare pentru ca programarea dinamică să fie aplicabilă: substructura optimă și subproblemele suprapuse. Se va urmări, însă, și o variantă a metodei, numită memoizare, în care se utilizează proprietatea de suprapunere a subproblemelor.

### Substructura optimă

Primul pas al rezolvării unei probleme de optimizare prin programare dinamică constă în caracterizarea structurii unei soluții optime. Spunem că problema prezintă o **substructură optimă** dacă o soluție optimă a problemei include soluții optime ale subproblemelor. Ori de câte ori o problemă prezintă o structură optimă, acesta este un bun indiciu pentru posibilitatea aplicării programării dinamice. (De asemenea, aceasta înseamnă că se pot, totuși, aplica și strategii greedy; a se vedea capitolul 17).

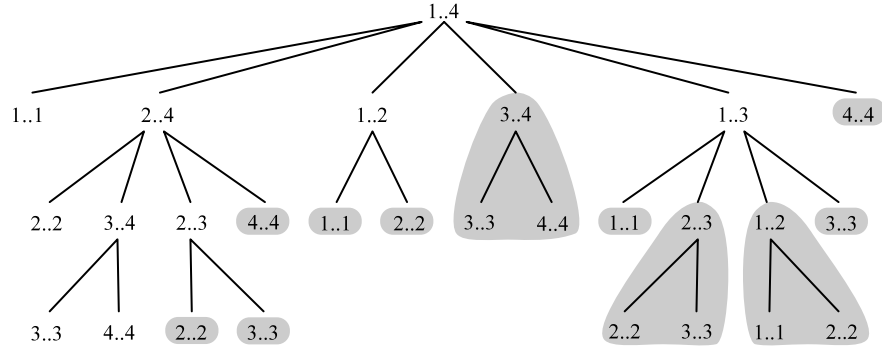
În secțiunea 16.1 am văzut că problema înmulțirii șirului de matrice prezintă o substructură optimă. Am observat că o parantezare optimă pentru  $A_1 A_2 \cdots A_n$ , care separă produsul între  $A_k$  și  $A_{k+1}$ , include soluții optime pentru problemele parantezării matricelor  $A_1 A_2 \cdots A_k$  și  $A_{k+1} A_{k+2} \cdots A_n$ . Tehnica utilizată pentru a arăta că subproblemele au soluții optime este clasică. Presupunem că există o soluție mai bună pentru o subproblemă și arătăm că această presupunere contrazice optimalitatea soluției problemei inițiale.

Substructura optimă a unei probleme sugerează, deseori, un spațiu potrivit al subproblemelor pentru care se poate aplica programarea dinamică. De obicei, există mai multe clase de subprobleme care pot fi considerate “naturale” pentru o problemă. De exemplu, spațiul subproblemelor pe care le-am considerat la înmulțirea șirului de matrice conținea toate subsecvențele șirului de intrare. La fel de bine, am fi putut alege ca spațiu al subproblemelor secvențe arbitrară de matrice din șirul de intrare, dar acest spațiu al subproblemelor ar fi fost prea mare. Un algoritm de programare dinamică bazat pe acest spațiu al subproblemelor ar rezolva mult mai multe probleme decât ar fi necesar.

Investigarea substructurii optime a unei probleme prin iterarea instanțelor subproblemelor acesteia este o metodă bună pentru a găsi un spațiu potrivit de subprobleme pentru programarea dinamică. De exemplu, după examinarea structurii unei soluții optime a problemei înmulțirii șirului de matrice, putem itera și examina structura soluțiilor optime ale subproblemelor, a sub-subproblemelor și aşa mai departe. Descoperim, astfel, că toate subproblemele sunt compuse din subsecvențe ale șirului  $\langle A_1, A_2, \dots, A_n \rangle$ . Deci, mulțimea șirurilor de forma  $\langle A_i, A_{i+1}, \dots, A_j \rangle$  cu  $1 \leq i \leq j \leq n$  este un spațiu de subprobleme natural și rezonabil de utilizat.

### Suprapunerea subproblemelor

O a doua componentă pe care trebuie să o aibă o problemă de optimizare pentru ca programarea dinamică să fie aplicabilă este ca spațiul subproblemelor să fie “restrâns”, în sensul că un algoritm recursiv rezolvă mereu aceleași subprobleme, în loc să genereze subprobleme noi. De



**Figura 16.2** Arborele de recurență pentru calculul apelului řIR-MATRICE-RECURSIV( $p, 1, 4$ ). Fiecare nod conține parametrii  $i$  și  $j$ . Calculele efectuate în subarborii sărăciți sunt înlocuite de apariția unui tablou de echivalență în řIR-MATRICE-MEMORAT( $p, 1, 4$ ).

obicei, numărul total de subprobleme distincte este dependent polinomial de dimensiunea datelor de intrare. Când un algoritm recursiv abordează mereu o aceeași problemă, se spune că problema de optimizare are **subprobleme suprapuse**. Spre deosebire de aceasta, o problemă care se rezolvă cu un algoritm de tip divide și stăpânește generează, la fiecare nouă etapă, probleme noi. În general, algoritmii de programare dinamică folosesc suprapunerea subproblemelor prin rezolvarea o singură dată a fiecărei subprobleme, urmată de stocarea soluției într-un tablou unde poate fi regăsită la nevoie, necesitând pentru regăsire un timp constant.

Pentru a ilustra proprietatea de subprobleme suprapuse, vom reexamina problema înmulțirii řirului de matrice. Revenind la figura 16.1, observăm că algoritmul ORDINE-ŠIR-MATRICE preia, în mod repetat, soluțiile subproblemelor din liniile de jos atunci când rezolvă subproblemele din liniile superioare. De exemplu, valoarea  $m[3, 4]$  este referită de patru ori: în timpul calculelor pentru  $m[2, 4]$ ,  $m[1, 4]$ ,  $m[3, 5]$  și  $m[3, 6]$ . Dacă  $m[3, 4]$  ar fi recalculată de fiecare dată în loc să fie preluată din tablou, creșterea timpului de execuție ar fi dramatică. Pentru a vedea aceasta, să considerăm următoarea procedură recursivă (ineficientă) care determină  $m[i, j]$ , numărul minim de înmulțiri scalare necesare pentru a calcula produsul řirului de matrice  $A_{i..j} = A_i A_{i+1} \dots A_j$ . Procedura este bazată direct pe recurență (16.2).

ŠIR-MATRICE-RECURSIV( $p, i, j$ )

- 1: dacă  $i = j$  atunci
- 2:     returnează 0
- 3:  $m[i, j] \leftarrow \infty$
- 4: pentru  $k \leftarrow i, j - 1$  execută
- 5:      $q \leftarrow \text{ŠIR-MATRICE-RECURSIV}(p, i, k) + \text{ŠIR-MATRICE-RECURSIV}(p, k + 1, j) + p_{i-1} p_k p_j$
- 6:     dacă  $q < m[i, j]$  atunci
- 7:          $m[i, j] \leftarrow q$
- 8: returnează  $m[i, j]$

Figura 16.2 prezintă arborele de recurență produs de apelul řIR-MATRICE-RECURSIV( $p, 1, 4$ ). Fiecare nod este etichetat cu valorile parametrilor  $i$  și  $j$ . Se observă că anumite perechi de valori apar de mai multe ori.

De fapt, putem arăta că timpul de execuție  $T(n)$  necesar pentru calculul lui  $m[1, n]$  prin această procedură recursivă este cel puțin exponential în  $n$ . Să presupunem că executarea liniilor 1–2 și a liniilor 6–7 ia cel puțin un timp egal cu unitatea. Inspectarea procedurii conduce la recurența

$$\begin{aligned} T(1) &\geq 1, \\ T(n) &\geq 1 + \sum_{k=1}^{n-1} (T(k) + T(n-k) + 1), \text{ pentru } n > 1. \end{aligned}$$

Să observăm că pentru  $i = 1, 2, \dots, n-1$ , fiecare termen  $T(i)$  apare o dată ca  $T(k)$  și o dată ca  $T(n-k)$ ; adunând cele  $n-1$  unități cu unitatea din primul termen al sumei, recurența se poate scrie ca

$$T(n) \geq 2 \sum_{i=1}^{n-1} T(i) + n. \quad (16.4)$$

Vom arăta că  $T(n) = \Omega(2^n)$  folosind inducția matematică. Mai precis, vom arăta că  $T(n) \geq 2^{n-1}$  pentru orice  $n \geq 1$ . Pentru  $n = 1$ , este clar că  $T(1) \geq 1 = 2^0$ . Prin inducție, pentru  $n \geq 2$  avem

$$T(n) \geq 2 \sum_{i=1}^{n-1} 2^{i-1} + n = 2 \sum_{i=0}^{n-2} 2^i + n = 2(2^{n-1} - 1) + n = (2^n - 2) + n \geq 2^{n-1},$$

ceea ce completează demonstrația. Atunci, totalul calculelor realizate de apelul **ŞIR-MATRICE-RECURSIV**( $p, 1, n$ ) este cel puțin exponential în  $n$ .

Comparați acest algoritm recursiv, “top-down”, cu algoritmul de programare dinamică “bottom-up”. Aceasta din urmă este mult mai eficient deoarece folosește proprietatea de suprapunere a subproblemelor. Problema are exact  $\Theta(n^2)$  subprobleme distințe, și algoritmul de programare dinamică o rezolvă pe fiecare o singură dată. Pe de altă parte, algoritmul recursiv trebuie să rezolve în mod repetat fiecare subproblemă, ori de câte ori apare în arborele de recurență. Se poate încerca aplicarea programării dinamice ori de câte ori arborele de recurență corespunzător soluției recursive naturale conține, în mod repetat, o aceeași subproblemă, iar numărul total de subprobleme este mic.

## Memoizarea

Vom prezenta în continuare o variantă a programării dinamice, care mărește, deseori, eficiența abordării uzuale a programării dinamice, folosind în același timp o strategie “top-down”. Ideea este de a **memoiza** algoritmul recursiv natural, dar despre care am arătat că este inefficient. Ca și în cazul programării dinamice obișnuite, soluțiile subproblemelor se păstrează într-un tablou, dar structura de control pentru completarea tabloului este mult mai asemănătoare algoritmului recursiv.

Un algoritm recursiv memoizat folosește un element al tabloului pentru fiecare soluție a fiecărei subprobleme. Fiecare element al tabloului conține, la început, o valoare specială care indică faptul că respectivul element trebuie completat. Atunci când sub problema este întâlnită prima oară pe parcursul execuției algoritmului recursiv, soluția sa este calculată și apoi stocată

în tablou. După aceasta, ori de câte ori este întâlnită subproblema respectivă, valoarea stocată în tablou este căutată și regăsită.<sup>1</sup>

Procedura următoare este versiunea memoizată a procedurii ŞIR-MATRICE-RECURSIV.

**ŞIR-MATRICE-MEMOIZAT( $p$ )**

- 1:  $n \leftarrow \text{lungime}[p] - 1$
- 2: **pentru**  $i \leftarrow 1, n$  **execută**
- 3:   **pentru**  $j \leftarrow i, n$  **execută**
- 4:      $m[i, j] \leftarrow \infty$
- 5: **returnează** ŞIR-ECHIVALENT( $p, 1, n$ )

**ŞIR-ECHIVALENT( $p, i, j$ )**

- 1: **dacă**  $m[i, j] < \infty$  **atunci**
- 2:   **returnează**  $m[i, j]$
- 3: **dacă**  $i = j$  **atunci**
- 4:      $m[i, j] \leftarrow 0$
- 5: **altfel**
- 6:   **pentru**  $k \leftarrow i, j - 1$  **execută**
- 7:      $q \leftarrow \text{ŞIR-ECHIVALENT}(p, i, k) + \text{ŞIR-ECHIVALENT}(p, k + 1, j) + p_{i-1}p_kp_j$
- 8:   **dacă**  $q < m[i, j]$  **atunci**
- 9:      $m[i, j] \leftarrow q$
- 10: **returnează**  $m[i, j]$

Algoritmul ŞIR-MATRICE-MEMOIZAT, la fel ca și ORDINE-ŞIR-MATRICE, utilizează tabloul  $m[1..n, 1..n]$  al valorilor calculate pentru  $m[i, j]$ , numărul minim de înmulțiri scalare necesare pentru a calcula matricea  $A_{i..j}$ . Fiecare element al tabloului conține, la început, elementul  $\infty$  pentru a arăta că respectivul element trebuie determinat. Atunci când se execută apelul ŞIR-ECHIVALENT( $p, i, j$ ), dacă  $m[i, j] < \infty$ , pe linia 1, procedura se rezumă la a returna costul deja calculat  $m[i, j]$  (linia 2). Altfel, costul este calculat la fel ca în algoritmul ŞIR-MATRICE-RECURSIV, memorat în  $m[i, j]$  și returnat. (Valoarea  $\infty$  este convenabilă pentru marcarea elementelor necalculate ale tabloului, deoarece este valoarea folosită la inițializarea valorii  $m[i, j]$  în linia 3 din ŞIR-MATRICE-RECURSIV.) Atunci, ŞIR-ECHIVALENT( $p, i, j$ ) returnează, întotdeauna, valoarea  $m[i, j]$ , dar o calculează efectiv numai în cazul primului apel având parametrii  $i$  și  $j$ .

Figura 16.2 ilustrează modul în care algoritmul ŞIR-MATRICE-MEMOIZAT economisește timp în raport cu ŞIR-MATRICE-RECURSIV. Subarborii hașurați reprezintă valori căutate în tablou și care nu sunt calculate.

Asemănător algoritmului de programare dinamică ORDINE-ŞIR-MATRICE, procedura ŞIR-MATRICE-MEMOIZAT are timpul de execuție  $O(n^3)$ . Fiecare dintre cele  $\Theta(n^2)$  elemente ale tabloului este inițializat o singură dată în linia 4 a procedurii ŞIR-MATRICE-MEMOIZAT și completată cu valoarea definitivă printr-un singur apel al procedurii ŞIR-ECHIVALENT. Fiecare dintre aceste  $\Theta(n^2)$  apeluri durează un timp  $O(n)$ , fără a lua în considerare timpul necesar calculării celorlalte elemente ale tabloului, deci, în total, este folosit un timp  $O(n^3)$ . Prin urmare, memoizarea transformă un algoritm  $\Omega(2^n)$  într-un algoritm  $O(n^3)$ .

---

<sup>1</sup> Această abordare presupune că mulțimea parametrilor tuturor subproblemelor posibile este cunoscută și că este stabilită relația dintre pozițiile din tablou și subprobleme. O altă abordare presupune memorarea indexată (hashing), folosind parametrii subproblemelor drept chei de căutare.

În concluzie, problema înmulțirii șirului de matrice se poate rezolva în timp  $O(n^3)$  fie printr-un algoritm “top-down” cu memoizare, fie printr-un algoritm de programare dinamică “bottom-up”. Ambele metode folosesc proprietatea subproblemelor suprapuse. În total există numai  $\Theta(n^2)$  subprobleme distințe și fiecare dintre metodele amintite rezolvă fiecare subproblemă o singură dată. Fără memoizare, algoritmul recursiv natural necesită un timp exponențial, deoarece subproblemele sunt rezolvate în mod repetat.

În practică, dacă toate subproblemele trebuie rezolvate cel puțin o dată, un algoritm de programare dinamică “bottom-up” îmbunătățește cu un factor constant un algoritm “top-down” cu memoizare, deoarece nu apare efortul suplimentar necesitat de recurență, iar pentru gestionarea tabloului, efortul suplimentar este mai mic. Mai mult chiar, există probleme pentru care modul regulat de accesare a tabloului în metoda programării dinamice poate fi folosit pentru a reduce suplimentar timpul sau spațiul necesar. Reciproc, dacă unele subprobleme din spațiul subproblemelor nu trebuie rezolvate deloc, soluția cu memoizare are avantajul de a rezolva numai subproblemele necesare.

## Exerciții

**16.2-1** Comparați recurența (16.4) cu recurența (8.4), apărută în analiza timpului mediu de execuție al algoritmului de sortare rapidă. Explicați, intuitiv, de ce soluțiile celor două recurențe sunt atât de diferite.

**16.2-2** Care este modul cel mai eficient de determinare a numărului optim de înmulțiri în problema produsului de matrice: enumerarea tuturor parantezărilor posibile ale produsului și calculul numărului de înmulțiri pentru fiecare descompunere, sau execuția procedurii **ȘIR-MATRICE-RECURSIV**? Justificați răspunsul.

**16.2-3** Desenați arborele de recurență pentru procedura **SORTEAZĂ-PRIN-INTERCLASARE**, descrisă în secțiunea 1.3.1, pentru un vector de 16 elemente. Explicați de ce memoizarea este inefficientă pentru accelerarea unui algoritm bun de tip divide și stăpânește, aşa cum este **SORTEAZĂ-PRIN-INTERCLASARE**.

## 16.3. Cel mai lung subșir comun

Următoarea problemă pe care o vom lua în considerare este problema celui mai lung subșir comun. Un subșir al unui șir dat este șirul inițial din care lipsesc unele elemente (eventual nici unul). În mod formal, dându-se șirul  $X = \langle x_1, x_2, \dots, x_m \rangle$ , un alt șir  $Z = \langle z_1, z_2, \dots, z_k \rangle$  este un **subșir** al lui  $X$  dacă există un șir strict crescător de indici din  $X$ ,  $\langle i_1, i_2, \dots, i_k \rangle$ , astfel încât, pentru toate valorile  $j = 1, 2, \dots, k$ , avem  $x_{i_j} = z_j$ . De exemplu,  $Z = \langle B, C, D, B \rangle$  este un subșir al lui  $X = \langle A, B, C, B, D, A, B \rangle$ , secvența de indici corespunzătoare fiind  $\langle 2, 3, 5, 7 \rangle$ .

Dându-se două șiruri  $X$  și  $Y$ , spunem că șirul  $Z$  este un **subșir comun** pentru  $X$  și  $Y$  dacă  $Z$  este un subșir atât pentru  $X$  cât și pentru  $Y$ . De exemplu, dacă  $X = \langle A, B, C, B, D, A, B \rangle$  și  $Y = \langle B, D, C, A, B, A \rangle$ , șirul  $\langle B, C, A \rangle$  este un subșir comun pentru  $X$  și  $Y$ . Șirul  $\langle B, C, A \rangle$  nu este *cel mai lung* subșir comun (CMLSC) pentru  $X$  și  $Y$ , deoarece are lungimea 3, iar șirul  $\langle B, C, B, A \rangle$ , care este de asemenea subșir comun lui  $X$  și  $Y$ , are lungimea 4. Șirul  $\langle B, C, B, A \rangle$

este un CMLSC pentru  $X$  și  $Y$ , la fel și sirul  $\langle B, D, A, B \rangle$ , deoarece nu există un subşir comun de lungime cel puțin 5.

În problema **celui mai lung subşir comun**, se dau două siruri  $X = \langle x_1, x_2, \dots, x_m \rangle$  și  $Y = \langle y_1, y_2, \dots, y_n \rangle$  și se dorește determinarea unui subşir comun de lungime maximă pentru  $X$  și  $Y$ . Această secțiune va arăta că problema CMLSC poate fi rezolvată eficient prin metoda programării dinamice.

### Caracterizarea celui mai lung subşir comun

O abordare prin metoda forței brute pentru rezolvarea problemei CMLSC constă în enumerarea tuturor subşirurilor lui  $X$  și verificarea dacă acestea constituie un subşir și pentru  $Y$ , memorând cel mai lung subşir găsit. Fiecare subşir al lui  $X$  corespunde unei submulțimi a indicilor lui  $X$ ,  $\{1, 2, \dots, m\}$ . Există  $2^m$  subşiruri pentru  $X$  și, deci, această abordare necesită un timp exponential, ceea ce o face inabordabilă pentru siruri de lungimi mari.

Problema CMLSC are proprietatea de substructură optimă, aşa cum vom arăta în următoarea teoremă. Clasa naturală de subprobleme corespunde unor perechi de "prefixe" ale celor două siruri de intrare. Mai precis, dându-se un sir  $X = \langle x_1, x_2, \dots, x_m \rangle$ , definim **prefixul**  $i$  al lui  $X$ , pentru  $i = 0, 1, \dots, m$ , ca fiind  $X_i = \langle x_1, x_2, \dots, x_i \rangle$ . De exemplu, dacă  $X = \langle A, B, C, B, D, A, B \rangle$ , atunci  $X_4 = \langle A, B, C, B \rangle$  iar  $X_0$  este sirul vid.

**Teorema 16.1 (Substructura optimală a unui CMLSC)** Fie sirurile  $X = \langle x_1, x_2, \dots, x_m \rangle$  și  $Y = \langle y_1, y_2, \dots, y_n \rangle$  și fie  $Z = \langle z_1, z_2, \dots, z_k \rangle$  un CMLSC pentru  $X$  și  $Y$ .

1. Dacă  $x_m = y_n$ , atunci  $z_k = x_m = y_n$  și  $Z_{k-1}$  este un CMLSC pentru  $X_{m-1}$  și  $Y_{n-1}$ .
2. Dacă  $x_m \neq y_n$ , atunci, din  $z_k \neq x_m$  rezultă că  $Z$  este un CMLSC pentru  $X_{m-1}$  și  $Y$ .
3. Dacă  $x_m \neq y_n$ , atunci, din  $z_k \neq y_n$  rezultă că  $Z$  este un CMLSC pentru  $X$  și  $Y_{n-1}$ .

**Demonstrație.** (1) Dacă  $z_k \neq x_m$ , atunci putem adăuga  $x_m = y_n$  la  $Z$  pentru a obține un subşir comun a lui  $X$  și  $Y$  de lungime  $k + 1$ , contrazicând presupunerea că  $Z$  este *cel mai lung subşir comun* pentru  $X$  și  $Y$ . Deci, va trebui să avem  $z_k = x_m = y_n$ . Prefixul  $Z_{k-1}$  este un subşir comun de lungime  $k - 1$  pentru  $X_{m-1}$  și  $Y_{n-1}$ . Dorim să demonstrăm că este un CMLSC. Să presupunem, prin absurd, că există un subşir  $W$  comun pentru  $X_{m-1}$  și  $Y_{n-1}$ , a cărui lungime este fie mai mare decât  $k - 1$ . Atunci, adăugând la  $W$  elementul  $x_m = y_n$ , se va forma un subşir comun a lui  $X$  și  $Y$  a cărui lungime este mai mare decât  $k$ , ceea ce este o contradicție.

(2) Dacă  $z_k \neq x_m$ , atunci  $Z$  este un subşir comun pentru  $X_{m-1}$  și  $Y$ . Dacă ar exista un subşir comun  $W$  al lui  $X_{m-1}$  și  $Y$ , cu lungime mai mare decât  $k$ , atunci  $W$  ar fi și un subşir comun al lui  $X_m$  și  $Y$ , contrazicând presupunerea că  $Z$  este un CMLSC pentru  $X$  și  $Y$ .

(3) Demonstrația este simetrică celei de la (2). ■

Caracterizarea din teorema 16.1 arată că un CMLSC al două siruri conține un CMLSC pentru prefixele celor două siruri. Atunci, problema CMLSC are proprietatea de substructură optimă. O soluție recursivă are, de asemenea, proprietatea de suprapunere a problemelor, după cum vom arăta în cele ce urmează.

## O soluție recursivă a subproblemelor

Teorema 16.1 implică faptul că există fie una, fie două probleme care trebuie examineate pentru găsirea unui CMLSC pentru  $X = \langle x_1, x_2, \dots, x_m \rangle$  și  $Y = \langle y_1, y_2, \dots, y_n \rangle$ . Dacă  $x_m = y_n$ , trebuie să se găsească un CMLSC pentru  $X_{m-1}$  și  $Y_{n-1}$ . Adăugarea elementului  $x_m = y_n$  la acest CMLSC produce un CMLSC pentru  $X$  și  $Y$ . Dacă  $x_m \neq y_n$ , atunci trebuie rezolvate două subprobleme: găsirea unui CMLSC pentru  $X_{m-1}$  și  $Y$  și găsirea unui CMLSC pentru  $X$  și  $Y_{n-1}$ . Cel mai lung CMLSC dintre acestea două va fi CMLSC pentru  $X$  și  $Y$ .

Se poate observa că problema CMLSC se descompune în subprobleme suprapuse. Pentru a găsi un CMLSC al sirurilor  $X$  și  $Y$ , va trebui, probabil, calculat CMLSC pentru  $X$  și  $Y_{n-1}$ , respectiv, pentru  $X_{m-1}$  și  $Y$ . Dar fiecare dintre aceste subprobleme conține sub-subproblema găsirii CMLSC pentru  $X_{m-1}$  și  $Y_{n-1}$ . Multe alte subprobleme au în comun sub-subprobleme.

Ca și problema înmulțirii sirului de matrice, soluția recursivă pentru problema CMLSC implică stabilirea unei recurențe pentru costul unei soluții optime. Să definim  $c[i, j]$  ca lungimea unui CMLSC al sirurilor  $X_i$  și  $Y_j$ . Dacă  $i = 0$  sau  $j = 0$ , CMLSC are lungimea 0. Substructura optimală a problemei CMLSC produce formula recursivă

$$c[i, j] = \begin{cases} 0 & \text{dacă } i = 0 \text{ sau } j = 0, \\ c[i - 1, j - 1] + 1 & \text{dacă } i, j > 0 \text{ și } x_i = y_j, \\ \max(c[i, j - 1], c[i - 1, j]) & \text{dacă } i, j > 0 \text{ și } x_i \neq y_j. \end{cases} \quad (16.5)$$

## Calculul lungimii unui CMLSC

Pe baza ecuației (16.5) se poate scrie un algoritm recursiv având timp exponențial pentru calculul lungimii unui CMLSC a două siruri. Deoarece există numai  $\Theta(mn)$  subprobleme distincte, vom folosi metoda programării dinamice pentru a calcula soluțiile în mod “bottom-up”.

LUNGIME-CMLSC( $X, Y$ )

- 1:  $m \leftarrow \text{lungime}[X]$
- 2:  $n \leftarrow \text{lungime}[Y]$
- 3: **pentru**  $i \leftarrow 1, m$  **execută**
- 4:    $c[i, 0] \leftarrow 0$
- 5: **pentru**  $j \leftarrow 0, n$  **execută**
- 6:    $c[0, j] \leftarrow 0$
- 7: **pentru**  $i \leftarrow 1, m$  **execută**
- 8:   **pentru**  $j \leftarrow 1, n$  **execută**
- 9:     **dacă**  $x_i = y_j$  **atunci**
- 10:        $c[i, j] \leftarrow c[i - 1, j - 1] + 1$
- 11:        $b[i, j] \leftarrow \nwarrow$
- 12:     **altfel**
- 13:       **dacă**  $c[i - 1, j] \geq c[i, j - 1]$  **atunci**
- 14:          $c[i, j] \leftarrow c[i - 1, j]$
- 15:          $b[i, j] \leftarrow \uparrow$
- 16:       **altfel**
- 17:          $c[i, j] \leftarrow c[i, j - 1]$
- 18:          $b[i, j] \leftarrow \leftarrow$
- 19: **returnează**  $c, b$

Procedura LUNGIME-CMLSC are ca date de intrare două şiruri  $X = \langle x_1, x_2, \dots, x_m \rangle$  şi  $Y = \langle y_1, y_2, \dots, y_n \rangle$ . Procedura memorează valorile  $c[i, j]$  într-un tablou  $c[0..m, 0..n]$  ale cărui elemente sunt calculate în ordinea crescătoare a liniilor. (Aceasta înseamnă că se completează mai întâi prima linie de la stânga la dreapta, apoi a doua linie și aşa mai departe.) De asemenea, se construieşte un tablou  $b[1..m, 1..n]$  care simplifică determinarea unei soluţii optimale. Intuitiv,  $b[i, j]$  indică elementul tabloului care corespunde soluţiei optime a subproblemei alese la calculul lui  $c[i, j]$ . Procedura returnează tablourile  $b$  şi  $c$ ;  $c[m, n]$  conţine lungimea unui CMLSC pentru  $X$  şi  $Y$ .

Figura 16.3 conţine tabloul produs de LUNGIME-CMLSC pentru şirurile  $X = \langle A, B, C, B, D, A, B \rangle$  şi  $Y = \langle B, D, C, A, B, A \rangle$ . Timpul de execuţie al procedurii este  $O(mn)$ , deoarece calculul fiecărui element al tabloului necesită un timp  $O(1)$ .

### Construirea unui CMLSC

Tabelul  $b$  returnat de LUNGIME-CMLSC poate fi folosit pentru construcţia rapidă a unui CMLSC pentru  $X = \langle x_1, x_2, \dots, x_m \rangle$  şi  $Y = \langle y_1, y_2, \dots, y_n \rangle$ . Pur şi simplu, se începe cu  $b[m, n]$  şi se parcurge tabloul conform direcţiilor indicate. Ori de câte ori se întâlneşte un element “ $\nwarrow$ ” pe poziţia  $b[i, j]$ , aceasta înseamnă că  $x_i = y_j$  este un element al CMLSC. Prin această metodă, elementele CMLSC sunt regăsite în ordine inversă. Următoarea procedură recursivă tipăreşte un CMLSC al şirurilor  $X$  şi  $Y$  în ordinea corectă. Apelul iniţial este SCRIE-CMLSC( $b, X, lungime[X], lungime[Y]$ ).

SCRIE-CMLSC( $b, X, i, j$ )

- 1: dacă  $i = 0$  sau  $j = 0$  atunci
- 2:     revenire
- 3:     dacă  $b[i, j] = “\nwarrow”$  atunci
- 4:         SCRIE-CMLSC( $b, X, i - 1, j - 1$ )
- 5:         tipăreşte  $x_i$
- 6:     altfel dacă  $b[i, j] = “\uparrow”$  atunci
- 7:         SCRIE-CMLSC( $b, X, i - 1, j$ )
- 8:     altfel
- 9:         SCRIE-CMLSC( $b, X, i, j - 1$ )

Pentru tabloul  $b$  din figura 16.3, această procedură tipăreşte “ $BCBA$ ”. Procedura necesită un timp de  $O(m + n)$ , deoarece, cel puțin unul dintre  $i$  şi  $j$  este decrementat în fiecare etapă a recurenței.

### Îmbunătățirea codului

O dată ce s-a construit un algoritm, se descoperă că, deseori, timpul de execuţie sau spaţiul folosit pot fi îmbunătățite. Acest lucru este adevarat, mai ales, pentru programarea dinamică clasică. Anumite modificări pot simplifica implementarea şi pot îmbunătăti factorii constanți, dar nu pot aduce o îmbunătățire asimptotică a performanței. Alte modificări pot aduce îmbunătățiri asimptotice substanțiale atât pentru timpul de execuție cât și pentru spațiul ocupat. De exemplu, se poate elimina complet tabloul  $b$ . Fiecare element  $c[i, j]$  depinde de numai trei alte elemente ale tabloului  $c$ :  $c[i - 1, j - 1]$ ,  $c[i - 1, j]$  și  $c[i, j - 1]$ . Dându-se valoarea lui  $c[i, j]$ , se poate determina, în timp  $O(1)$ , care dintre aceste trei valori a fost folosită pentru calculul lui  $c[i, j]$  fără a mai folosi

$i$	$j$	0	1	2	3	4	5	6
	$y_j$	B	D	C	A	B	A	
0	$x_i$	0	0	0	0	0	0	0
1	A	0	0	0	0	1	-1	1
2	B	0	1	-1	-1	1	2	-2
3	C	0	1	1	2	-2	2	2
4	B	0	1	1	2	2	3	-3
5	D	0	1	2	2	2	3	3
6	A	0	1	2	2	3	3	4
7	B	0	1	2	2	3	4	4

**Figura 16.3** Tabelele  $c$  și  $b$  calculate de LUNGIME-CMLSC pentru sirurile  $X = \langle A, B, C, B, D, A, B \rangle$  și  $Y = \langle B, D, C, A, B, A \rangle$ . Patratul din linia  $i$  și coloana  $j$  conține valoarea  $c[i, j]$  precum și săgeata potrivită pentru valoarea lui  $b[i, j]$ . Valoarea 4 a lui  $c[7, 6]$  – colțul cel mai din dreapta jos în tablou – este lungimea unui CMLSC  $\langle B, C, B, A \rangle$  al lui  $X$  și  $Y$ . Pentru  $i, j > 0$ , valoarea  $c[i, j]$  depinde doar de valoarea expresiei  $x_i = y_j$  și de valorile elementelor  $c[i - 1, j]$ ,  $c[i, j - 1]$  și  $c[i - 1, j - 1]$ , care sunt calculate înaintea lui  $c[i, j]$ . Pentru a reconstrui elementele unui CMLSC, se urmăresc săgețile corespunzătoare lui  $b[i, j]$  începând cu colțul cel mai din dreapta; drumul este hașurat. Fiecare “ $\nwarrow$ ” pe acest drum corespunde unui element (care este evidențiat) pentru care  $x_i = y_j$  aparține unui CMLSC.

tabloul  $b$ . Ca o consecință, putem reconstrui un CMLSC în timp  $O(m + n)$  folosind o procedură similară cu SCRIE-CMLSC. (Exercițiul 16.3-2 cere algoritmul corespunzător în pseudocod.) Deși prin această metodă se eliberează un spațiu  $\Theta(mn)$ , spațul auxiliar necesar calculului unui CMLSC nu descrește asimptotic, deoarece este oricum necesar un spațiu  $\Theta(mn)$  pentru tabloul  $c$ .

Totuși, spațul necesar pentru LUNGIME-CMLSC îl putem reduce deoarece, la un moment dat, sunt necesare doar două linii ale tabloului  $c$ : linia care este calculată și linia precedentă. (De fapt, putem folosi doar puțin mai mult spațiu decât cel necesar unei linii a lui  $c$ , pentru a calcula lungimea unui CMLSC; vezi exercițiul 16.3-4.) Această îmbunătățire funcționează doar dacă este necesară numai lungimea unui CMLSC; dacă este nevoie și de reconstruirea elementelor unui CMLSC, tabloul mai mic nu conține destulă informație pentru a reface etapele în timp  $O(m + n)$ .

## Exerciții

**16.3-1** Determinați un CMLSC pentru  $\langle 1, 0, 0, 1, 0, 1, 0, 1 \rangle$  și  $\langle 0, 1, 0, 1, 1, 0, 1, 1, 0 \rangle$ .

**16.3-2** Arătați cum poate fi reconstituit un CMLSC pe baza tabloului  $c$  (completat) și a sirurilor inițiale  $X = \langle x_1, x_2, \dots, x_m \rangle$  și  $Y = \langle y_1, y_2, \dots, y_n \rangle$  în timp  $O(m + n)$ , fără a folosi tabloul  $b$ .

**16.3-3** Dați o versiune cu memoizare a procedurii LUNGIME-CMLSC, care se execută în timp  $O(mn)$ .

**16.3-4** Arătați cum se poate calcula lungimea unui CMLSC folosind doar  $2 \min(m, n)$  elemente din tabloul  $c$  și un spațiu suplimentar de  $O(1)$ . Indicați apoi modul de realizare a acestui calcul folosind doar  $\min(m, n)$  elemente și un spațiu suplimentar  $O(1)$ .

**16.3-5** Dați un algoritm de complexitate în timp  $O(n^2)$  care găsește cel mai lung subșir monoton crescător al unui sir de  $n$  numere.

**16.3-6** \* Scrieți un algoritm cu complexitate în timp  $O(n \lg n)$  care găsește cel mai lung subșir monoton crescător al unui sir de  $n$  numere. (*Indica ie:* observați că ultimul element al unui subșir candidat de lungime  $i$  este cel puțin la fel de mare ca ultimul element al subșirului candidat de lungime  $i - 1$ . Păstrați subșirurile candidate legându-le prin secvența de intrare.)

## 16.4. Triangularea optimă a poligoanelor

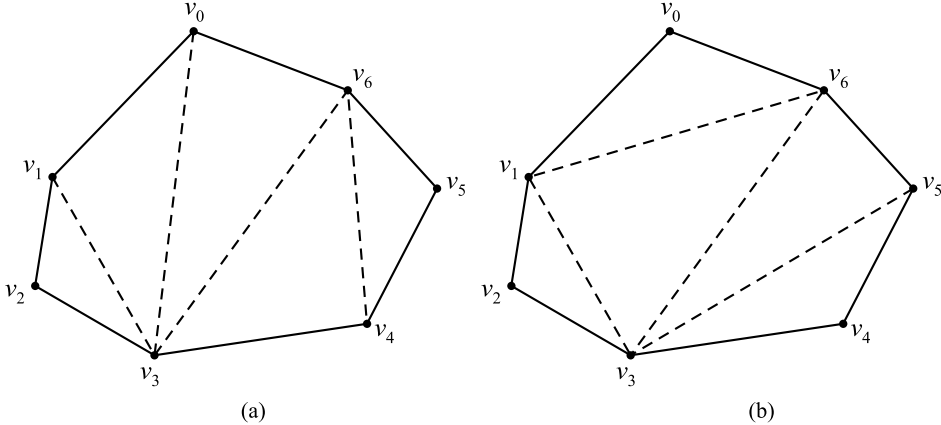
În acest paragraf vom investiga problema determinării unei triangulări optime a unui poligon convex. Această problemă geometrică prezintă multe similarități cu problema parantezării produsului de matrice, chiar dacă aceste asemănări nu sunt evidente.

Un **poligon** este o curbă închisă, liniară pe porțiuni, în plan. Mai explicit, este o curbă având capătul inițial identic cu cel final și formată dintr-o secvență de segmente de dreaptă, numite **laturi** ale poligonului. Un punct care unește două fețe ale poligonului se numește **vârf**. Vom presupune, în continuare, că poligonul este **simplu**, adică nu se auto-intersectează. Multimea de puncte din plan cuprinse de un poligon simplu formează **interiorul** poligonului, multimea punctelor aparținând efectiv poligonului formează **frontiera**, iar multimea de puncte care încadrează poligonul se numește **exterior**. Un poligon simplu este numit **convex** dacă, dându-se oricare două puncte de pe frontieră sau din interiorul său, toate punctele aparținând segmentului care unește aceste două puncte se află fie pe frontieră fie în interiorul poligonului.

Un poligon convex poate fi reprezentat prin precizarea vîrfurilor, de exemplu în sensul acelor de ceasornic. Adică, dacă  $P = \langle v_0, v_1, \dots, v_{n-1} \rangle$  este un poligon convex, atunci cele  $n$  laturi ale sale sunt  $\overline{v_0v_1}, \overline{v_1v_2}, \dots, \overline{v_{n-1}v_n}$ , unde vom considera  $v_n$  ca fiind  $v_0$ . (În general, vom presupune, implicit, că toate operațiile aritmetice asupra indicilor vîrfurilor poligonului sunt efectuate modulo numărul de vîrfuri.)

Dându-se două vîrfuri neadiacente  $v_i$  și  $v_j$ , segmentul  $\overline{v_iv_j}$  se numește **coardă** a poligonului. O coardă  $\overline{v_iv_j}$  împarte poligonul în două poligoane:  $\langle v_i, v_{i+1}, \dots, v_j \rangle$  și  $\langle v_j, v_{j+1}, \dots, v_i \rangle$ . O **triangulare** a poligonului este o mulțime  $T$  de coarde ale poligonului care îl împart în **triunghiuri** disjuncte (poligoane cu 3 laturi). Figura 16.4 prezintă două modalități de triangulare a unui poligon având 7 laturi. Într-o triangulare, coardele nu se intersectează (cu excepția capetelor lor), iar mulțimea  $T$  este maximală, adică orice coardă care nu aparține mulțimii  $T$  va intersecta o coardă din  $T$ . Laturile triunghiurilor produse de triangulare sunt fie coarde în triangulare, fie laturi ale poligonului. Fiecare triangulare a unui poligon convex cu  $n$  vîrfuri are  $n - 3$  coarde și împarte poligonul în  $n - 2$  triunghiuri.

Pentru problema **triangulării optime a unui poligon**, se dau un poligon convex  $P = \langle v_0, v_1, \dots, v_{n-1} \rangle$  și o funcție de ponderare  $w$  definită pe triunghiurile formate de laturile și



**Figura 16.4** Două modalități de triangulare ale unui poligon convex. Fiecare triangulare a acestui poligon având 7 laturi are  $7 - 3 = 4$  coarde și împarte poligonul în  $7 - 2 = 5$  triunghiuri.

coardele lui  $P$ . Problema care se pune este găsirea unei triangulări care minimizează suma ponderilor triunghiurilor din triangulare. O funcție de ponderare care pare naturală este

$$w(\Delta v_i v_j v_k) = |v_i v_j| + |v_j v_k| + |v_k v_i|,$$

unde  $|v_i v_j|$  reprezintă distanța euclidiană de la  $v_i$  la  $v_j$ . Algoritmul pe care îl vom descrie este independent de alegerea funcției de ponderare.

### Corespondența cu parantezarea

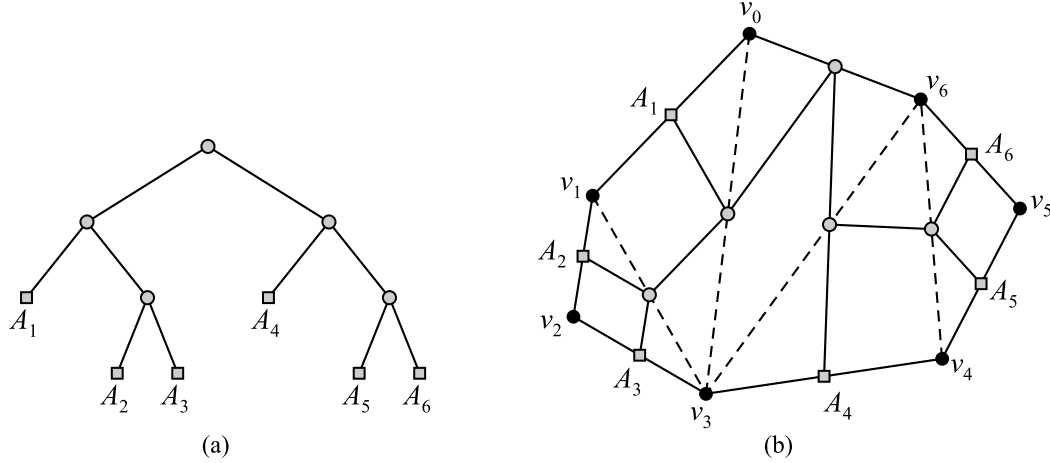
Există o surprinzătoare corespondență între triangularea unui poligon și parantezarea unei expresii cum ar fi produsul unui sir de matrice. Această corespondență poate fi explicată cel mai bine folosind arbori.

O parantezare completă a unei expresii corespunde unui arbore binar complet, uneori numit și *arbore de analiză gramaticală* a unei expresii. Figura 16.5(a) prezintă un arbore de analiză gramaticală pentru parantezarea produsului sirului de matrice

$$((A_1(A_2A_3))(A_4(A_5A_6))). \quad (16.6)$$

Fiecare frunză a arborelui de analiză gramaticală este etichetată cu unul dintre elementele atomice din expresie (în cazul de față matrice). Dacă rădăcina unui subarbore al arborelui de analiză are un subarbore stâng reprezentând o expresie  $E_s$  și un subarbore drept reprezentând o expresie  $E_d$ , atunci subarborele însuși reprezintă expresia  $(E_s E_d)$ . Aceasta este o corespondență biunivocă între arborii de analiză gramaticală și expresiile complet parantezate având  $n$  elemente atomice.

O triangulare a unui poligon convex  $\langle v_0, v_1, \dots, v_{n-1} \rangle$  poate fi reprezentată, de asemenea, printr-un arbore de analiză gramaticală. Figura 16.5(b) prezintă un astfel de arbore corespunzător triangulării poligonului din figura 16.4(a). Nodurile interne ale arborelui sunt coarde în triangulare, iar latura  $\overline{v_0 v_6}$  este rădăcina. Frunzele sunt celelalte laturi ale poligonului. Rădăcina  $\overline{v_0 v_6}$  este o latură a triunghiului  $\Delta v_0 v_3 v_6$ . Acest triunghi determină fiile rădăcinii: unul este



**Figura 16.5** Arbori de analiză gramaticală. (a) Arbore de analiză pentru parantezarea produsului  $((A_1(A_2A_3))(A_4(A_5A_6)))$  și pentru triangularea poligonului având 7 laturi din figura 16.4(a). (b) Triangularea poligonului, suprapusă cu arborele de analiză. Fiecare matrice  $A_i$  corespunde laturii  $\overline{v_{i-1}v_i}$  pentru  $i = 1, 2, \dots, 6$ .

coarda  $\overline{v_0v_3}$ , iar celălalt este coarda  $\overline{v_3v_6}$ . Să observăm că acest triunghi împarte poligonul dat în trei părți: triunghiul  $\triangle v_0v_3v_6$  însuși, poligonul  $\langle v_0, v_1, \dots, v_3 \rangle$  și poligonul  $\langle v_3, v_4, \dots, v_6 \rangle$ . Mai mult, cele două subpoligoane sunt formate, în întregime, din laturi ale poligonului considerat, cu excepția rădăcinilor arborilor asociați lor, care sunt coardele  $\overline{v_0v_3}$  și  $\overline{v_3v_6}$ . Într-o manieră recursivă, poligonul  $\langle v_0, v_1, \dots, v_3 \rangle$  conține subarborele stâng al rădăcinii arborelui de analiză, iar poligonul  $\langle v_3, v_4, \dots, v_6 \rangle$  conține subarborele drept.

În general, o triangulare a unui poligon având  $n$  laturi corespunde unui arbore de analiză având  $n - 1$  frunze. Prinț-un mecanism invers, se poate realiza o triangulare plecând de la un arbore de analiză. Astfel există o corespondență biunivocă între arborii de analiză și triangulați.

Cum un produs de  $n$  matrice complet parantezat corespunde unui arbore de analiză având  $n$  frunze, el corespunde, de asemenea, unei triangulații a unui poligon având  $(n + 1)$  vrăjuri. Figurile 16.5(a) și (b) ilustrează această corespondență. Fiecare matrice  $A_i$  dintr-un produs  $A_1A_2 \cdots A_n$  corespunde unei laturi  $\overline{v_{i-1}v_i}$  a unui poligon având  $n + 1$  vrăjuri. O coardă  $\overline{v_iv_j}$ , unde  $i < j$ , corespunde unei matrice  $A_{i+1..j}$  calculată în timpul evaluării produsului.

De fapt, problema înmulțirii unui șir de matrice este un caz special al problemei triangulației optime. Aceasta înseamnă că fiecare instanță a produsului unui șir de matrice poate fi transformată într-o problemă de triangulare optimă. Dându-se un produs al unui șir de matrice  $A_1A_2 \cdots A_n$ , vom defini un poligon convex cu  $n + 1$  vrăjuri,  $P = \langle v_0, v_1, \dots, v_n \rangle$ . Dacă matricea  $A_i$  are dimensiunile  $p_{i-1} \times p_i$  pentru  $i = 1, 2, \dots, n$ , vom defini funcția de cost a triangulației astfel

$$w(\Delta v_i v_j v_k) = p_i p_j p_k.$$

O triangulare optimă a lui  $P$  relativă la această funcție de cost produce un arbore de analiză pentru o parantezare optimă a produsului  $A_1A_2 \cdots A_n$ .

Cu toate că reciprocă nu este adevărată, adică problema triangulației optime nu este un

caz special al problemei înmulțirii unui șir de matrice, se poate arăta că procedura ORDINE-ŞIR-MATRICE din secțiunea 16.1, cu anumite modificări minore, rezolvă problema triangulării optime pentru un poligon având  $n + 1$  vârfuri. Trebuie doar să înlocuim secvența  $\langle p_0, p_1, \dots, p_n \rangle$  a dimensiunilor matricelor cu secvența  $\langle v_0, v_1, \dots, v_n \rangle$  a vârfurilor, să schimbăm toate referirile la  $p$  în referiri la  $v$  și să schimbăm linia 9 astfel:

$$9: q \leftarrow m[i, k] + m[k + 1, j] + w(\Delta v_{i-1} v_k v_j)$$

După execuția algoritmului, elementul  $m[1, n]$  conține ponderea unei triangulări optime. În continuare vom justifica această afirmație.

## Substructura unei triangulări optime

Să considerăm o triangulare optimă  $T$  a unui poligon având  $n + 1$  vârfuri  $P = \langle v_0, v_1, \dots, v_n \rangle$  care conține triunghiul  $\Delta v_0 v_k v_n$  pentru un anumit  $k$  cu  $1 \leq k \leq n - 1$ . Ponderea asociată lui  $T$  este suma ponderilor triunghiului  $\Delta v_0 v_k v_n$  și a triunghiurilor corespunzătoare triangulării celor două subpoligoane  $\langle v_0, v_1, \dots, v_k \rangle$  și  $\langle v_k, v_{k+1}, \dots, v_n \rangle$ . Triangularea subpoligoanelor determinate de  $T$  trebuie, deci, să fie optimă, deoarece, dacă s-ar obține pentru unul dintre ele o pondere de valoare mai mică, s-ar contrazice minimalitatea ponderii lui  $T$ .

## O soluție recursivă

Așa cum, conform definiției,  $m[i, j]$  este costul minim al calculului subprodusului șirului de matrice  $A_i A_{i+1} \cdots A_j$ , fie  $t[i, j]$ , pentru  $1 \leq i < j \leq n$ , ponderea triangulării optime a poligonului  $\langle v_{i-1}, v_i, \dots, v_j \rangle$ . Prin convenție, vom considera poligonul degenerat  $\langle v_{i-1}, v_i \rangle$  ca având pondere 0. Ponderea unei triangulări optime a poligonului  $P$  este dată de  $t[1, n]$ .

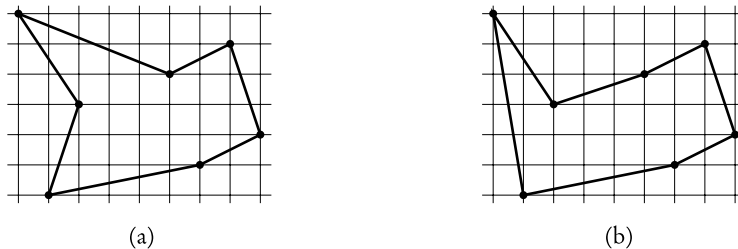
Următorul pas este definirea recursivă a lui  $t[i, j]$ . Punctul de plecare este poligonul degenerat, cel cu două vârfuri:  $t[i, i] = 0$  pentru  $i = 1, 2, \dots, n$ . Când  $j - i \geq 1$ , poligonul  $\langle v_{i-1}, v_i, \dots, v_j \rangle$  are cel puțin trei vârfuri. Dorim să minimizăm suma dintre ponderea triunghiului  $\Delta v_{i-1} v_k v_j$  și ponderile triangulărilor optime pentru poligoanele  $\langle v_{i-1}, v_i, \dots, v_k \rangle$  și  $\langle v_k, v_{k+1}, \dots, v_j \rangle$ , relativ la toate vârfurile  $v_k$ , pentru  $k = i, i + 1, \dots, j - 1$ . În concluzie, funcția recursivă este

$$t[i, j] = \begin{cases} 0 & \text{dacă } i = j, \\ \min_{i \leq k \leq j-1} \{t[i, k] + t[k + 1, j] + w(\Delta v_{i-1} v_k v_j)\} & \text{dacă } i < j. \end{cases} \quad (16.7)$$

Să comparăm această recurență cu (16.2), recurență pe care am construit-o pentru numărul  $m[i, j]$ , reprezentând numărul de înmulțiri scalare necesare pentru a calcula  $A_i A_{i+1} \cdots A_j$ . Cu excepția funcției de ponderare, recurențele sunt identice, aşadar, cu modificările minore menționate mai sus, procedura ORDINE-ŞIR-MATRICE poate calcula ponderea unei triangulări optime. La fel ca ORDINE-ŞIR-MATRICE, procedura de triangulare optimă se execută într-un timp de ordinul  $\Theta(n^3)$  și folosește un spațiu de memorie de ordinul  $\Theta(n^2)$ .

## Exerciții

**16.4-1** Demonstrați că orice triangulare a unui poligon convex având  $n$  vârfuri are  $n - 3$  coarde și împarte poligonul în  $n - 2$  triunghiuri.



**Figura 16.6** Șapte puncte în plan poziționate pe o rețea unitară. (a) Cel mai scurt circuit închis, de lungime 24,88 .... Acest circuit nu este bitonic. (b) Circuitul bitonic cel mai scurt pentru aceeași mulțime de puncte. Lungimea sa este 25,58 ....

**16.4-2** Profesorul Guinevere sugerează că un algoritm mai rapid pentru rezolvarea problemei triangulării optime poate exista în cazul particular în care ponderea triunghiului este chiar aria sa. Este această afirmație adevărată?

**16.4-3** Să presupunem că funcția de ponderare  $w$  este definită pe coardele triangulării și nu pe triunghiuri. Ponderea unei triangulări relative la  $w$  este suma ponderilor coardelor triangulării. Arătați că problema triangulării optime cu coarde ponderate este doar un caz particular al problemei triangulării optime cu triunghiuri ponderate.

**16.4-4** Determinați o triangulare optimă pentru un octogon regulat, având laturi egale cu unitatea. Utilizați funcția de ponderare:

$$w(\Delta v_i v_j v_k) = |v_i v_j| + |v_j v_k| + |v_k v_i|,$$

unde  $|v_i v_j|$  este distanța euclidiană de la  $v_i$  la  $v_j$ . (Un poligon regulat este un poligon cu laturi și unghiuri interne egale.)

## Probleme

### 16-1 Problema euclidiană bitonică a comis-voiajorului

**Problema euclidiană a comis-voiajorului** este problema determinării celui mai scurt circuit care leagă o mulțime dată de  $n$  puncte în plan. Figura 16.6(a) prezintă soluția unei probleme în care avem șapte puncte. În cazul general, problema este NP-completă, deci determinarea soluției nu se poate face în timp polinomial (a se vede capitolul 36).

J. L. Bentley a sugerat că problema poate fi simplificată prin restricționarea tipului de circuite căutate, și anume la **circuite bitonice**, adică circuite care încep din punctul cel mai din stânga, merg numai de la stânga la dreapta către punctul cel mai din dreapta, iar apoi merg numai către stânga, înapoi spre punctul de plecare. Figura 16.6(b) prezintă cel mai scurt circuit bitonic pentru cele șapte puncte. Determinarea unui astfel de circuit se poate face în timp polinomial.

Descrieți un algoritm, având un timp de execuție  $O(n^2)$ , pentru determinarea unui circuit bitonic optim. Se va presupune că două puncte distincte nu au aceeași abscisă. (*Indica ie:* Parcuați de la stânga la dreapta, ținând minte posibilitățile optime pentru cele două părți ale circuitului.)

### 16-2 Tipărire uniformă

Să considerăm problema tipăririi uniforme a unui paragraf cu ajutorul unei imprimante. Textul de intrare este o succesiune de  $n$  cuvinte, de lungimi  $l_1, l_2, \dots, l_n$ , lungimea fiind măsurată în caractere. Se dorește tipărirea “uniformă” a paragrafului pe un anumit număr de linii, fiecare linie având cel mult  $M$  caractere. Acest criteriu de “uniformitate” funcționează după cum urmează: dacă o linie conține cuvintele de la cuvântul  $i$  la cuvântul  $j$ , cu  $i \leq j$  iar între cuvinte se lasă exact un spațiu, numărul de spații suplimentare de la sfârșitul unei linii este  $M - j + i - \sum_{k=i}^j l_k$ , număr care trebuie să fie nenegativ, astfel încât cuvintele să încapă pe linie. Dorim să minimizăm suma cuburilor numărului de spații suplimentare de la sfârșitul liniilor, în raport cu toate liniile, mai puțin ultima. Elaborați un algoritm folosind metoda programării dinamice, care să tipărească uniform la imprimantă un paragraf de  $n$  cuvinte. Analizați timpul de execuție și spațiul de memorie necesare algoritmului.

### 16-3 Distanța de editare

Există mai multe modalități prin care un terminal “intelligent” actualizează o linie dintr-un text, înlocuind un sir “sursă”  $x[1..m]$  cu un sir “destinație”  $y[1..n]$ : un singur caracter al sirului sursă poate fi șters, înlocuit cu un alt caracter sau copiat în sirul destinație; sau două caractere adiacente ale sirului sursă pot fi interschimbate în timp ce sunt copiate în sirul destinație. După ce au fost realizate toate operațiile, un întreg sufix al sirului sursă poate fi șters, o astfel de operație fiind cunoscută sub numele de “ștergere până la sfârșitul liniei” (sau, mai pe scurt, eliminare).

De exemplu, o modalitate de transformare a sirului sursă **algoritm** în sirul destinație **altruist** utilizează următoarea secvență de operații.

Operatie	Sir destinație	Sir sursă
copiază a	a	lgoritm
copiază l	al	goritm
înlocuiește g cu t	alt	oritm
șterge o	alt	ritm
copiază r	altr	itm
inserează u	altru	itm
inserează i	altrui	itm
inserează ş	altruiş	itm
schimbă it în ti	altruisti	m
elimină m	altruisti	

Pentru a obține același rezultat operațiile pot fi executate în diverse ordini.

Fiecare dintre aceste operații: ștergerea, înlocuirea, copierea, inserarea, interschimbarea și eliminarea, au asociate un cost. (Presupunem costul asociat înlocuirii unui caracter ca fiind mai mic decât costurile combinate ale ștergerii și inserării; în caz contrar operația de înlocuire nu va fi utilizată). Costul unei secvențe date de transformări este suma costurilor transformărilor individuale. Pentru secvența de mai sus, costul transformării cuvântului **algoritm** în **altruist** este

$$(3 \cdot \text{cost(copiere)}) + \text{cost(înlocuire)} + \text{cost(ștergere)} + (4 \cdot \text{cost(inserare)}) + \text{cost(interschimbare)} + \text{cost(eliminare)}.$$

Dându-se două secvențe  $x[1..m]$  și  $y[1..n]$  și o mulțime dată de costuri asociate operațiilor, **distanța de editare** de la  $x$  la  $y$  este costul celei mai puțin costisoatoare secvențe de transformări care îl convertește pe  $x$  în  $y$ . Elaborați un algoritm, folosind metoda programării dinamice, pentru a determina distanța de editare de la  $x[1..m]$  la  $y[1..n]$  și pentru a afișa succesiunea optimă de transformări. Analizați timpul de execuție și spațiul de memorie necesare.

#### **16-4 Planificarea unei receptii de către o companie**

Profesorul McKenzie este consultantul președintelui Corporației A.-B., care intenționează să ofere o recepție pentru companiile ce o compun. Corporația are o structură ierarhică, relațiile de subordonare formează un arbore orientat, în care rădăcina este președintele. Fiecare angajat are atașat un coeficient de "conviețuire", care este un număr real. Pentru a organiza o petrecere plăcută pentru toți participanții, președintele dorește ca nici un angajat să nu se întâlnească cu șeful său direct.

- Descrieți un algoritm pentru alcătuirea listei invitaților. Scopul este de a maximiza suma coeficienților de conviețuire a invitaților. Analizați timpul de execuție al algoritmului.
- Cum poate profesorul să se asigure că președintele va fi invitat la propria sa petrecere?

#### **16-5 Algoritmul Viterbi**

Programarea dinamică poate fi utilizată în cazul unui graf orientat  $G = (V, E)$  pentru recunoașterea vorbirii. Fiecare muchie  $(u, v) \in E$  este etichetată cu un sunet  $\sigma(u, v)$  dintr-o mulțime finită  $\Sigma$  de sunete. Graful etichetat este un model formal al unei persoane care vorbește o limbă cu anumite restricții. Fiecare drum în graf care începe într-un vîrf dat  $v_0 \in V$  corespunde unei secvențe posibile de sunete produse de model. Eticheta unui drum este definită de concatenarea etichetelor muchiilor care compun drumul respectiv.

- Fie un graf  $G$  cu muchiile etichetate, un vîrf  $v_0 \in V$  și o secvență  $s = \langle \sigma_1, \sigma_2, \dots, \sigma_k \rangle$  de caractere din  $\Sigma$ . Descrieți un algoritm eficient care returnează un drum din  $G$ , dacă există un astfel de drum, care începe din  $v_0$  și are eticheta  $s$ ; în caz contrar, algoritmul va returna NU-EXISTĂ-DRUM. Analizați timpul de execuție al algoritmului. (*Indica ie:* pot fi utile noțiunile din capitolul 23.)

Să presupunem acum că fiecare muchie  $(u, v) \in E$  are asociată, de asemenea, o probabilitate nenegativă  $p(u, v)$  de traversare a muchiei  $(u, v)$  dinspre vîrful  $u$  și de producere a sunetului corespunzător. Suma probabilităților asociate muchiilor care pleacă din orice vîrf este 1. Probabilitatea asociată unui drum se definește ca fiind produsul probabilităților asociate muchiilor care îl compun. Putem interpreta probabilitatea asociată unui drum care pleacă din  $v_0$ , ca fiind probabilitatea ca un "traseu aleator" care începe în  $v_0$  să urmeze drumul specificat; selectarea muchiei care pleacă dintr-un vîrf  $u$  se face probabilistic, conform probabilităților muchiilor care pleacă din  $u$ .

- Extindeți răspunsurile de la punctul (a) astfel încât, dacă este returnat un drum, acesta este cel mai probabil drum plecând din  $v_0$  și având eticheta  $s$ . Analizați timpul de execuție al algoritmului.

---

## Note bibliografice

R. Bellman a început studiul sistematic al metodei programării dinamice în 1955. Cuvântul “programare”, ca și în programarea liniară, face referire la utilizarea unei metode care furnizează soluții în mod tabelar. Cu toate că tehniciile de optimizare care încorporează elemente de programare dinamică erau cunoscute anterior, Bellman a îmbogățit domeniul cu o bază matematică solidă [21].

Hu și Shing [106] au propus un algoritm având timp de execuție  $O(n \lg n)$  pentru problema înmulțirii sirului de matrice. Ei au demonstrat, de asemenea, corespondența între problema triangulării optime a poligoanelor și problema înmulțirii unui sir de matrice.

Algoritmul având timp de execuție  $O(mn)$  pentru determinarea celui mai lung subșir comun pare a avea mai mulți autori. Knuth [43] a pus întrebarea dacă există algoritmi având timp de execuție mai redus decât timp pătratic pentru problema CMLSC. Masek și Paterson [143] au răspuns afirmativ acestei întrebări propunând un algoritm cu timp de execuție  $O(mn / \lg n)$  unde  $n \leq m$ , iar secvențele sunt extrase dintr-o mulțime mărginită. Pentru cazul particular în care nici un element nu apare mai mult decât o dată într-o secvență de intrare, Szymanski [184] a arătat că problema poate fi rezolvată într-un timp de ordinul  $O((n+m) \lg (n+m))$ . Multe dintre aceste rezultate se extind la problema calculării distanțelor de editare (problema 16-3).

---

# 17 Algoritmi greedy

Algoritmii aplicați problemelor de optimizare sunt, în general, compuși dintr-o secvență de pași, la fiecare pas existând mai multe alegeri posibile. Pentru multe probleme de optimizare, utilizarea metodei programării dinamice pentru determinarea celei mai bune soluții se dovedește a fi o metodă prea complicată. Un **algoritm greedy** va alege la fiecare moment de timp soluția ce pare a fi cea mai bună la momentul respectiv. Deci este vorba despre o alegere optimă, făcută local, cu speranța că ea va conduce la un optim global. Acest capitol tratează probleme de optimizare ce pot fi rezolvate cu ajutorul algoritmilor greedy.

Algoritmii greedy conduc în multe cazuri la soluții optime, dar nu întotdeauna... În secțiunea 17.1 vom prezenta mai întâi o problemă simplă dar netrivială, problema selectării activităților, a cărei soluție poate fi calculată în mod eficient cu ajutorul unei metode de tip greedy. În secțiunea 17.2 se recapitulează câteva elemente de bază ale metodei greedy. În secțiunea 17.3 este descrisă o aplicație importantă a metodei greedy: proiectarea unor coduri pentru compactarea datelor și anume codurile Huffman. În secțiunea 17.4 sunt investigate structuri combinatoriale numite "matroizi" pentru care algoritmii greedy produc întotdeauna soluție optimă. În încheiere, în secțiunea 17.5 se exemplifică utilizarea matroizilor pentru problema planificării sarcinilor de timp unitar, sarcini având anumiți termeni limită de realizare și anumite penalizări în caz de neîndeplinire.

Metoda greedy este destul de puternică și se aplică cu succes unui spectru larg de probleme. Capitolele următoare vor prezenta mai mulți algoritmi ce pot fi priviți ca aplicații ale metodei greedy, cum ar fi algoritmii de determinare a arborelui parțial de cost minim (capitolul 24), algoritmul lui Dijkstra pentru determinarea celor mai scurte drumuri pornind dintr-un vârf (capitolul 25) și algoritmul lui Chvatal, o euristică pentru determinarea acoperirii unei mulțimi (capitolul 37). Arborii parțiali de cost minim sunt un exemplu clasic pentru metoda greedy. Cu toate că acest capitol și capitolul 24 pot fi studiate independent, cititorul poate găsi utilă parcurgerea lor paralelă.

---

## 17.1. O problemă de selectare a activităților

Primul exemplu pe care îl vom considera este o problemă de repartizare a unei resurse mai multor activități care concurează pentru a obține resursa respectivă. Vom vedea că un algoritm de tip greedy reprezintă o metodă simplă și elegantă pentru selectarea unei mulțimi maximale de activități mutual compatibile.

Să presupunem că disponem de o mulțime  $S = 1, 2, \dots, n$  de  $n$  **activități** care doresc să folosească o aceeași resursă (de exemplu o sală de lectură). Această resursă poate fi folosită de o singură activitate la un anumit moment de timp. Fiecare activitate  $i$  are un **temp de pornire**  $s_i$  și un **temp de oprire**  $f_i$ , unde  $s_i \leq f_i$ . Dacă este selecționată activitatea  $i$ , ea se desfășoară pe durata intervalului  $[s_i, f_i]$ . Spunem că activitățile  $i$  și  $j$  sunt **compatibile** dacă intervalele  $[s_i, f_i]$  și  $[s_j, f_j]$  nu se intersecțează (adică  $i$  și  $j$  sunt compatibile dacă  $s_i \geq f_j$  sau  $s_j \geq f_i$ ). **Problema selectării activităților** constă din selectarea unei mulțimi maximale de activități mutual compatibile.

Un algoritm greedy pentru această problemă este descris de următoarea procedură, prezentată în pseudocod. Vom presupune că activitățile (adică datele de intrare) sunt ordonate crescător după timpul de terminare:

$$f_1 \leq f_2 \leq \dots \leq f_n. \quad (17.1)$$

În caz contrar această ordonare poate fi făcută în timp  $O(n \lg n)$ . Algoritmul de mai jos presupune că datele de intrare  $s$  și  $f$  sunt reprezentate ca vectori.

**SELECTOR-ACTIVITĂȚI-GREEDY( $s, f$ )**

- 1:  $n \leftarrow \text{lungime}[s]$
- 2:  $A \leftarrow \{1\}$
- 3:  $j \leftarrow 1$
- 4: **pentru**  $i \leftarrow 2, n$  **execută**
- 5:   **dacă**  $s_i \geq f_j$  **atunci**
- 6:      $A \leftarrow A \cup \{i\}$
- 7:      $j \leftarrow i$
- 8: **returnează**  $A$

Operațiile realizate de algoritm pot fi vizualizate în figura 17.1. În mulțimea  $A$  se introduc activitățile selectate. Variabila  $j$  identifică ultima activitate introdusă în  $A$ . Deoarece activitățile sunt considerate în ordinea nedescrescătoare a timpilor lor de terminare,  $f_j$  va reprezenta întotdeauna timpul maxim de terminare a oricărei activități din  $A$ . Aceasta înseamnă că

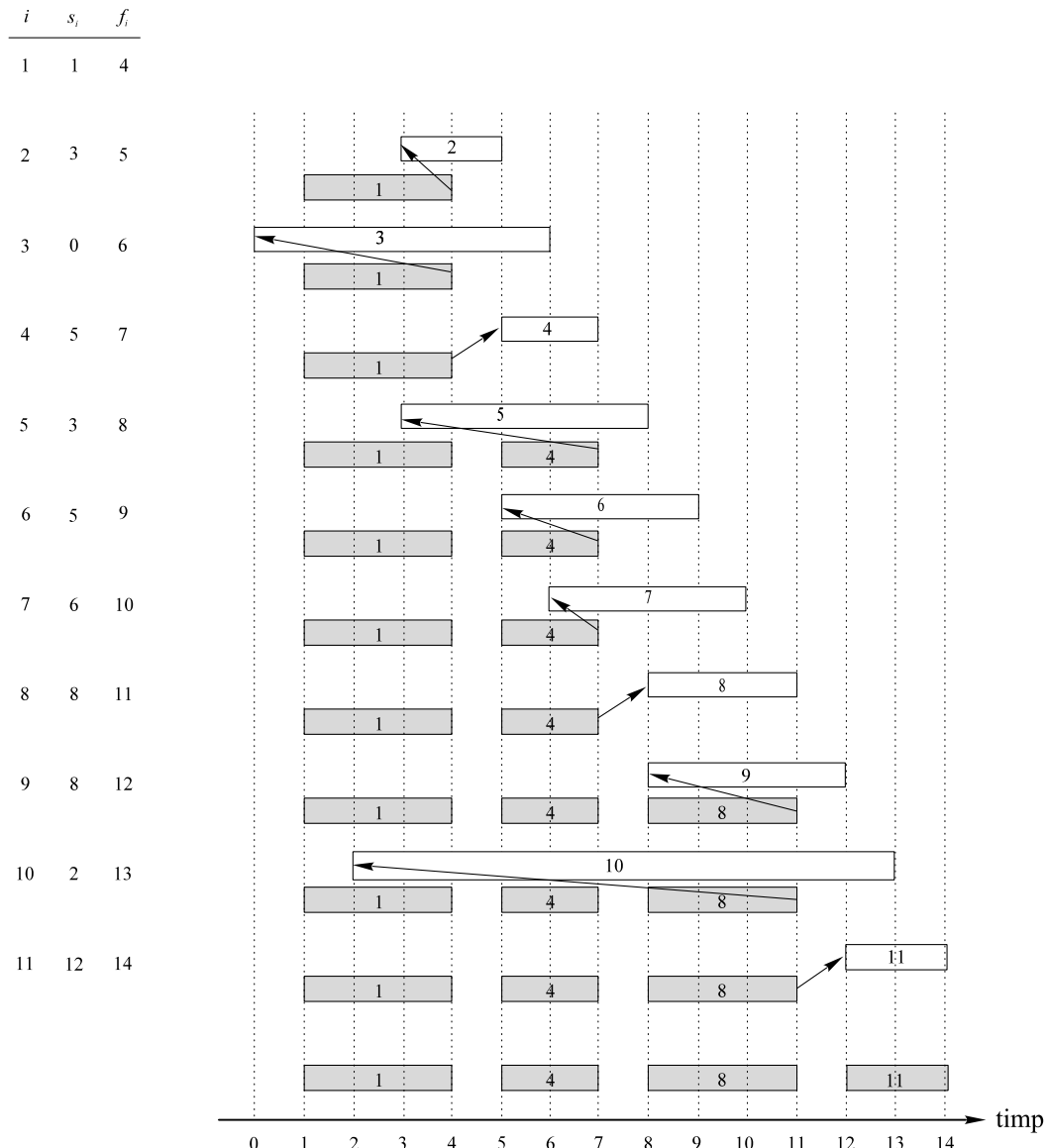
$$f_j = \max\{f_k : k \in A\} \quad (17.2)$$

În liniile 2–3 din algoritm se selectează activitatea 1, se inițializează  $A$  astfel încât să nu conțină decât această activitate, iar variabila  $j$  ia ca valoare această activitate. În continuare liniile 4–7 consideră pe rând fiecare activitate  $i$  și o adaugă mulțimii  $A$  dacă este compatibilă cu toate celelalte activități deja selectate. Pentru a vedea dacă activitatea  $i$  este compatibilă cu toate celelalte activități existente la momentul curent în  $A$ , este suficient, conform ecuației (17.2), să fie îndeplinită condiția din linia 5 adică momentul de pornire  $s_i$  să nu fie mai devreme decât momentul de oprire  $f_j$  al activității cel mai recent adăugate mulțimii  $A$ . Dacă activitatea  $i$  este compatibilă, atunci în liniile 6–7 ea este adăugată mulțimii  $A$ , iar variabila  $j$  este actualizată. Procedura SELECTOR-ACTIVITĂȚI-GREEDY este foarte eficientă. Ea poate planifica o mulțime  $S$  de  $n$  activități în  $\Theta(n)$ , presupunând că activitățile au fost deja ordonate după timpul lor de terminare. Activitatea aleasă de procedura SELECTOR-ACTIVITĂȚI-GREEDY este întotdeauna cea cu primul timp de terminare care poate fi planificată legal. Activitatea astfel selectată este o alegere “greedy” (lacomă) în sensul că, intuitiv, ea lasă posibilitatea celorlalte activități rămase pentru a fi planificate. Cu alte cuvinte, alegerea greedy maximizează cantitatea de timp neplanificată rămasă.

### Demonstrarea corectitudinii algoritmului greedy

Algoritmii de tip greedy nu furnizează întotdeauna soluțiile optime. Cu toate acestea, algoritmul SELECTOR-ACTIVITĂȚI-GREEDY determină întotdeauna o soluție optimă pentru o instanță a problemei selectării activităților.

**Teorema 17.1** Algoritmul SELECTOR-ACTIVITĂȚI-GREEDY furnizează soluții de dimensiune maximă pentru problema selectării activităților.



**Figura 17.1** Operațiile algoritmului SELECTOR-ACTIVITĂȚI-GREEDY asupra celor 11 activități date în stânga. Fiecare linie a figurii corespunde unei operații din ciclul **pentru** din liniile 4–7. Activitățile care au fost selectate pentru a fi incluse în mulțimea  $A$  sunt hașurate, iar activitatea curentă  $i$  este nehașurată. Dacă timpul de pornire  $s_i$  al activității  $i$  este mai mic decât timpul de terminare al activității  $j$  (săgeata dintre ele este spre stânga), activitatea este ignorată. În caz contrar (săgeata este îndreptată spre dreapta), activitatea este acceptată și este adăugată mulțimii  $A$ .

**Demonstrație.** Fie  $S = \{1, 2, \dots, n\}$  mulțimea activităților care trebuie planificate. Deoarece presupunem că activitățile sunt ordonate după timpul de terminare, activitatea 1 se va termina

cel mai devreme. Vrem să arătăm că există o soluție optimă care începe cu activitatea 1, conform unei alegeri greedy.

Să presupunem că  $A \subseteq S$  este o soluție optimă pentru o instanță dată a problemei selectării activităților. Vom ordona activitățile din  $A$  după timpul de terminare. Mai presupunem că prima activitate din  $A$  este activitatea  $k$ . Dacă  $k = 1$ , planificarea mulțimii  $A$  începe cu o alegere greedy. Dacă  $k \neq 1$  vrem să arătăm că există o altă soluție optimă  $B$  a lui  $S$  care începe conform alegerii greedy, cu activitatea 1. Fie  $B = A - \{k\} \cup \{1\}$ . Deoarece  $f_1 \leq f_k$ , activitățile din  $B$  sunt distincte, și cum  $B$  are același număr de activități ca și  $A$ ,  $B$  este de asemenea optimă. Deci  $B$  este o soluție optimă pentru  $S$ , care conține alegerea greedy a activității 1. Am arătat astfel că există întotdeauna o planificare optimă care începe cu o alegere greedy.

Mai mult, o dată ce este făcută alegerea greedy a activității 1, problema se reduce la determinarea soluției optime pentru problema selectării celor activități din  $S$  care sunt compatibile cu activitatea 1. Aceasta înseamnă că dacă  $A$  este o soluție optimă pentru problema inițială, atunci  $A' = A - \{1\}$  este o soluție optimă pentru problema selectării activităților  $S' = \{i \in S : s_i \geq f_1\}$ . De ce? Dacă am putea găsi o soluție  $B'$  pentru  $S'$  cu mai multe activități decât  $A'$ , adăugarea activității 1 la  $B'$  va conduce la o soluție  $B$  a lui  $S$  cu mai multe activități decât  $A$ , contrazicându-se astfel optimalitatea mulțimii  $A$ . În acest mod, după ce este făcută fiecare alegere greedy, ceea ce rămâne este o problemă de optimizare de aceeași formă ca problema inițială. Prin inducție după numărul de alegeri făcute, se arată că realizând o alegere greedy la fiecare pas, se obține o soluție optimă. ■

## Exerciții

**17.1-1** Elaborați un algoritm conform metodei programării dinamice pentru problema selectării activităților, bazat pe calcularea valorilor  $m_i$ , iterativ pentru  $i = 1, 2, \dots, n$ , unde  $m_i$  este dimensiunea celei mai mari mulțimi de activități compatibile dintre activitățile  $\{1, 2, \dots, i\}$ . Se va presupune că datele de intrare au fost ordonate conform ecuației (17.1). Comparați timpul de execuție al algoritmului găsit cu cel al procedurii SELECTOR-ACTIVITĂȚI-GREEDY.

**17.1-2** Să presupunem că avem o mulțime de activități de planificat pentru un număr mare de săli de lectură. Se dorește planificarea tuturor activităților folosindu-se cât mai puține săli de lectură posibil. Elaborați un algoritm greedy eficient pentru a determina ce activitate trebuie să utilizeze o sală de lectură și care anume.

(Această problemă este cunoscută de asemenea sub numele de **problema colorării grafurilor interval**. Putem crea un graf interval ale cărui vârfuri sunt activitățile date și ale cărui muchii conectează activitățile incompatibile. Determinarea celui mai mic număr de culori necesare pentru a colora fiecare vârf, astfel încât două vârfuri adjacente să nu aibă aceeași culoare, este echivalentă cu determinarea numărului minim de săli de lectură necesare planificării tuturor activităților date.)

**17.1-3** Nu orice algoritm de tip greedy aplicat problemei selectării activităților produce o mulțime maximală de activități compatibile. Dați un exemplu care să arate că tehnica selectării activității cu timpul de executare cel mai scurt dintre activitățile compatibile cu cele deja selectate, nu este corectă. Se cere același lucru pentru încercarea de a selecta întotdeauna activitatea care se suprapune cu cele mai puține dintre activitățile rămase.

---

## 17.2. Elemente ale strategiei greedy

Un algoritm greedy determină o soluție optimă a unei probleme în urma unei succesiuni de alegeri. La fiecare moment de decizie din algoritm este aleasă opțiunea care pare a fi cea mai potrivită. Această strategie euristică nu produce întotdeauna soluția optimă, dar există și cazuri când aceasta este obținută, ca în cazul problemei selectării activităților. În acest paragraf vom prezenta câteva proprietăți generale ale metodei greedy.

Cum se poate decide dacă un algoritm greedy poate rezolva o problemă particulară de optimizare? În general nu există o modalitate de a stabili acest lucru, dar există două caracteristici pe care le au majoritatea problemelor care se rezolvă prin tehnici greedy: proprietatea de alegere greedy și substructura optimă.

### Proprietatea de alegere greedy

Prima caracteristică a unei probleme este aceea de a avea *proprietatea alegerii greedy*, adică se poate ajunge la o soluție optimă global, realizând alegeri (greedy) optime local. Aici intervine diferența dintre algoritmii greedy și programarea dinamică. La rezolvarea unei metode prin metoda programării dinamice la fiecare pas al algoritmului se face căte o alegere dar ea depinde de soluțiile subproblemelor. Într-un algoritm greedy se realizează orice alegere care pare a fi cea mai bună la momentul respectiv, iar subproblema rezultată este rezolvată după ce alegerea este făcută. Alegera realizată de un algoritm greedy poate depinde de alegerile făcute până în momentul respectiv, dar nu poate depinde de alegerile ulterioare sau de soluțiile subproblemelor. Astfel, spre deosebire de programarea dinamică prin care se rezolvă subproblemele în manieră “bottom-up”, o strategie greedy de obicei progresează în manieră “top-down”, realizând alegeri greedy successive și reducând iterativ dimensiunea problemei respective.

Desigur, trebuie să demonstrăm că o alegere greedy la fiecare pas conduce la o soluție optimă global, și aceasta este o problemă mai delicată. De obicei, ca în cazul teoremei 17.1, demonstrația examinează o soluție optimă globală. Apoi se arată că soluția poate fi modificată astfel încât la fiecare pas este realizată o alegere greedy, iar această alegere reduce problema la una similară dar de dimensiuni mai reduse. Se aplică apoi principiul inducției matematice pentru a arăta că o alegere greedy poate fi utilizată la fiecare pas. Faptul că o alegere greedy conduce la o problemă de dimensiuni mai mici reduce demonstrația corectitudinii la demonstrarea faptului că o soluție optimă trebuie să evidențieze o substructură optimă.

### Substructură optimă

O problemă evidențiază o *substructură optimă* dacă o soluție optimă a problemei conține soluții optime ale subproblemelor. Această proprietate este cheia pentru aplicarea programării dinamice sau a unui algoritm greedy. Ca exemplu al unei structuri optime, să ne reamintim demonstrația teoremei 17.1, unde se arată că dacă o soluție optimă  $A$  a problemei selectării activităților începe cu activitatea 1, atunci multimea activităților  $A' = A - \{1\}$  este o soluție optimă pentru problema selectării activităților  $S' = \{i \in S : s_i \geq f_1\}$ .

## Comparație între metoda Greedy și metoda programării dinamice

Deoarece proprietatea de substructură optimă este exploatată atât de metoda greedy cât și de cea a programării dinamice, poate exista tentația de a genera o soluție prin metoda programării dinamice, cu toate că un algoritm greedy ar fi suficient, sau invers, se poate crede că un algoritm greedy poate produce o soluție optimă în timp ce corect ar trebui aplicată metoda programării dinamice. Pentru a ilustra diferențele dintre cele două metode vom analiza în continuare două variante ale unei probleme clasice de optimizare.

**Problema 0–1 a rucsacului** se formulează după cum urmează. Un hoț care jefuiește un magazin găsește  $n$  obiecte; obiectul  $i$  are valoarea  $v_i$  și greutatea  $w_i$ , unde  $v_i$  și  $w_i$  sunt numere întregi. El dorește să ia o încărcătură cât mai valoroasă posibil, dar nu poate căra în sac o greutate totală mai mare decât  $W$ , unde  $W$  este și el un număr întreg. Ce obiecte trebuie să ia? (Această problemă poartă numele de problema 0–1 a rucsacului pentru că un obiect fie este luat în întregime fie deloc; hoțul nu poate lua o parte din obiect sau un același obiect de mai multe ori).

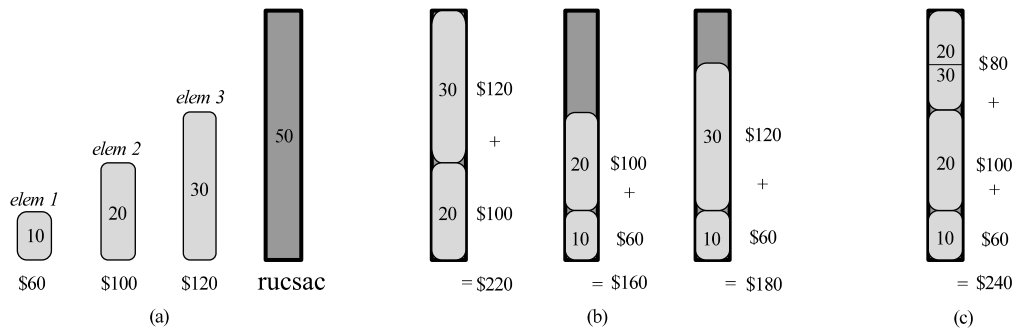
În **problema fracționară a rucsacului** hoțului îi este permis să ia și părți din obiecte. Un obiect din problema 0–1 a rucsacului poate fi gândit ca un lingou de aur, iar un obiect din problema fracționară a rucsacului poate fi imaginat ca o anumită cantitate de praf de aur.

La ambele probleme se evidențiază proprietatea de substructură optimă. Pentru problema 0–1, considerăm încărcătura cea mai valoroasă cea având greutatea cel mult  $W$ . Dacă din încărcătură se scoate obiectul  $j$ , ceea ce rămâne trebuie să fie o încărcătură având greutatea cel mult  $W - w_j$  pe care hoțul o poate lua dintre cele  $n - 1$  obiecte inițiale, mai puțin  $j$ . Pentru problema fracționară vom considera că dacă îndepărțăm un obiect  $j$  de greutate  $w$  din încărcătura optimă, ceea ce rămâne trebuie să fie cea mai valoroasă încărcătură având greutatea cel mult  $W - w$  pe care hoțul o poate lua dintre cele  $n - 1$  obiecte inițiale, plus greutatea  $w_j - w$  din obiectul  $j$ .

Cu toate că problemele sunt similare, problema fracționară a rucsacului poate fi rezolvată printr-un algoritm de tip greedy, în timp ce pentru problema 0–1 nu este corectă o astfel de rezolvare. Pentru a rezolva problema fracționară calculăm mai întâi valoarea  $v_i/w_i$  (valoare per greutate) pentru fiecare obiect. Respectând o strategie greedy, hoțul începe prin a lua cât poate de mult din obiectul având valoarea per greutate maximă. În cazul în care obiectul respectiv a fost epuizat iar hoțul mai poate căra, el va lua cât de mult posibil din obiectul cu următoarea valoare per greutate, în ordine descrescătoare și aşa mai departe, până nu mai poate încărca în rucsac. Astfel, prin ordonarea valorilor per greutate, algoritmul greedy se execută în  $O(n \lg n)$  unități de timp. Lăsăm ca exercițiu demonstrarea faptului că problema fracționară a rucsacului are proprietatea alegerii greedy.

Pentru a arăta că pentru problema 0–1 a rucsacului nu se poate folosi o strategie greedy, vom considera instanța problemei ilustrată în figura 17.2(a). În această figură există trei obiecte, iar rucsacul are capacitatea 50 de unități. Primul obiect cântărește 10 și valorează 60. Obiectul al doilea are greutatea 20 și valoarea 100, iar al treilea cântărește 30 și are o valoare de 120. Astfel, valoarea/greutate a primului obiect este 6 care este mai mare decât valoarea/greutatea a celui de-al doilea obiect (2) sau a celui de-al treilea obiect (4). Conform strategiei greedy, la început va fi selectat obiectul 1. Cu toate acestea, după cum se poate vedea din analiza din figura 17.2(b) soluția optimă alege obiectele 2 și 3 și lasă obiectul 1 deoparte. Nici una din cele două soluții posibile care conțin obiectul 1 nu sunt optime.

Pentru problema fracționară similară, strategia greedy consideră mai întâi obiectul 1 și



**Figura 17.2** Strategia greedy nu funcționează pentru problema 0–1 a rucsacului. (a) Hoțul trebuie să selecteze o submulțime a celor trei obiecte din figură a căror greutate nu trebuie să depășească 50 de unități. (b) Submulțimea optimă cuprinde elementele 2 și 3. Orice soluție care conține obiectul 1 nu este optimă, chiar dacă obiectul 1 are valoarea cea mai mare a câtului valoare/greutate. (c) Pentru problema fracționară a rucsacului strategia considerării obiectelor în ordinea celei mai mari valori a câtului valoare/greutate conduce la soluția optimă.

conduce la o soluție optimă aşa cum se vede în figura 17.2(c).

Considerarea obiectului 1 nu este valabilă în problema rucsacului 0–1 deoarece hoțul nu poate să umple rucsacul până la capacitatea lui maximă, iar spațiul liber micșorează câtul valoare/greutate a încăr căturii sale. În problema 0–1, atunci când luăm în considerare un obiect pentru a-l pune în rucsac, trebuie să comparăm soluția subproblemei în care obiectul este inclus cu soluția subproblemei în care obiectul lipsește. Comparăția trebuie realizată înainte de a face alegerea. Problema formulată în acest mod produce o serie de subprobleme care se suprapun – o caracteristică a programării dinamice, care poate fi într-adevăr folosită (vezi exercițiul 17.2-2).

## Exerciții

**17.2-1** Arătați că problema rucsacului fracționar are proprietatea alegerii greedy.

**17.2-2** Rezolvați prin metoda programării dinamice problema 0–1 a rucsacului. Soluția trebuie să fie calculată în  $O(nW)$  unități de timp, unde  $n$  este numărul de obiecte, iar  $W$  este greutatea maximă a obiectelor pe care hoțul le poate încărca în rucsac.

**17.2-3** Să presupunem că în problema 0–1 a rucsacului, ordinea obiectelor după sortarea crescătoare după greutate este aceeași ca și după sortarea descrescătoare după valoare. Elaborați un algoritm eficient pentru a determina o soluție optimă a acestei variante a problemei rucsacului și argumentați corectitudinea algoritmului.

**17.2-4** Profesorul Midas conduce un automobil de la Newark la Reno pe autostrada 80. Mașina sa are un rezervor de benzină care, dacă este plin, asigură călătoria pentru  $n$  kilometri. Harta pe care profesorul o are indică distanța în kilometri între stațiile de benzină de pe drum. El dorește să se opreasă de cât mai puține ori. Descrieți o metodă eficientă prin care profesorul Midas poate să determine stațiile de benzină la care trebuie să se opreasă și arătați că strategia respectivă conduce la o soluție optimă.

	a	b	c	d	e	f
Frecvență (în mii)	45	13	12	16	9	5
Cuvânt codificat; lungime fixă	000	001	010	011	100	101
Cuvânt codificat; lungime variabilă	0	101	100	111	1101	1100

**Figura 17.3** O problemă de codificare a caracterelor. Un fișier de 100.000 de caractere conține doar caracterele **a-f**, cu frecvențele indicate. Dacă fiecărui caracter îi este asociat un cuvânt de cod pe 3 biți, fișierul codificat va avea 300.000 de biți. Folosind codificarea cu lungime variabilă, fișierul codificat va ocupa doar 224.000 de biți.

**17.2-5** Fie dată o mulțime  $\{x_1, x_2, \dots, x_n\}$  de puncte de pe dreapta reală. Descrieți un algoritm eficient care determină cea mai mică mulțime de intervale închise de lungime egală cu unitatea, care conțin toate punctele date. Argumentați corectitudinea algoritmului.

**17.2-6 \*** Arătați cum se poate rezolva problema fracționară a rucsacului în  $O(n)$  unități de timp. Presupuneți că aveți deja o soluție pentru problema 10-2.

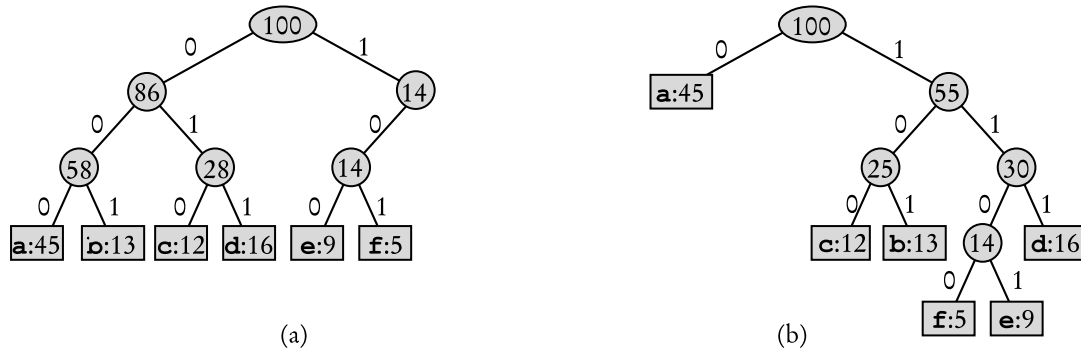
### 17.3. Coduri Huffman

Codurile Huffman reprezintă o tehnică foarte utilizată și eficientă pentru compactarea datelor; în funcție de caracteristicile fișierului care trebuie comprimat, spațiul economisit este între 20% și 90%. Algoritmul greedy pentru realizarea acestei codificări utilizează un tabel cu frecvențele de apariție ale fiecărui caracter. Ideea este de a utiliza o modalitate optimă pentru reprezentarea fiecarui caracter sub formă unui sir binar.

Să presupunem că avem un fișier ce conține 100.000 de caractere, pe care dorim să îl memorăm într-o formă compactată. Frecvențele de apariție ale caracterelor în text sunt date de figura 17.3: există doar șase caractere diferenți și fiecare dintre ele apare de 45.000 de ori.

Există mai multe modalități de reprezentare a unui astfel de fișier. Vom considera problema proiectării unui **cod binar al caracterelor** (pe scurt **cod**) astfel încât fiecare caracter este reprezentat printr-un sir binar unic. Dacă utilizăm un **cod de lungime fixă**, avem nevoie de 3 biți pentru a reprezenta șase caractere: **a=000**, **b=001**, ..., **f=101**. Această metodă necesită 300.000 de biți pentru a codifica tot fișierul. Se pune problema dacă se poate face o compactare și mai bună.

O **codificare cu lungime variabilă** poate îmbunătăți semnificativ performanțele, atribuind caracterelor cu frecvențe mai mari cuvinte de cod mai scurte iar celor cu frecvențe mai reduse cuvinte de cod mai lungi. Figura 17.3 prezintă o astfel de codificare; sirul 0 având lungimea de 1 bit reprezintă caracterul **a** în timp ce sirul 1100 de lungime 4 reprezintă caracterul **f**. Această codificare necesită  $(45 \cdot 1 + 13 \cdot 3 + 12 \cdot 3 + 16 \cdot 3 + 9 \cdot 4 + 5 \cdot 4) \cdot 1.000 = 224.000$  biți pentru a reprezenta un fișier și economisește aproximativ 25% din spațiu. Vom vedea că aceasta este de fapt o codificare-caracter optimă pentru acest fișier.



**Figura 17.4** Arborii corespunzători schemelor de codificare din figura 17.3. Fiecare frunză este etichetată cu un caracter și cu frecvența de apariție a acestuia. Fiecare nod intern este etichetat cu suma ponderilor frunzelor din subarborele aferent. (a) Arborele corespunzător codificării de lungime fixă  $a=000, \dots, f=101$  (b) Arborele asociat codificării prefix optime  $a=0, b=101, \dots, f=1100$ .

### Coduri prefix

Vom considera în continuare doar codificările în care nici un cuvânt de cod nu este prefixul altui cuvânt. Astfel de codificări se numesc **codificări prefix**<sup>1</sup>. Se poate arăta (cu toate că nu vom proceda astfel în cazul de față) că o compresie optimă a datelor, realizată prin codificarea caracterelor, poate fi realizată și prin codificarea prefix, deci considerarea codificării prefix nu scade din generalitate.

Codificarea prefix este utilă deoarece simplifică atât codificarea (deci compactarea) cât și decodificarea. Codificarea este întotdeauna simplă pentru orice codificare binară a caracterelor; se concatenează cuvintele de cod reprezentând fiecare caracter al fișierului. De exemplu, prin codificarea prefix având lungime variabilă din figura 17.3, putem codifica un fișier de 3 caractere abc astfel:  $0 \cdot 101 \cdot 100 = 0101100$ , unde semnul “.” reprezintă operația de concatenare.

Decodificarea este de asemenea relativ simplă pentru codurile prefix. Cum nici un cuvânt de cod nu este prefixul altuia, începutul oricărui fișier codificat nu este ambiguu. Putem deci să identificăm cuvântul inițial de cod, să îl “traducem” în caracterul original, să-l îndepărtem din fișierul codificat și să repetăm procesul pentru fișierul codificat rămas. În exemplul nostru, sirul 001011101 se translatează automat în 0·0·101·1101, secvență care se decodifică în aabe.

Procesul de decodificare necesită o reprezentare convenabilă a codificării prefix astfel încât cuvântul inițial de cod să poată fi ușor identificat. O astfel de reprezentare poate fi data de un arbore binar ale căruia frunze sunt caracterele date. Interpretăm un cuvânt de cod binar pentru un caracter ca fiind drumul de la rădăcină până la caracterul respectiv, unde 0 reprezintă “mergi la fiul stâng” iar 1 “mergi la fiul drept”. În figura 17.4 sunt prezentate arborii pentru cele două codificări ale exemplului nostru. Observați că aceștia nu sunt arbori binari de căutare, deoarece frunzele nu trebuie să fie ordonate, iar nodurile interne nu conțin chei pentru caractere.

O codificare optimă pentru un fișier este întotdeauna reprezentată printr-un arbore binar *complet*, în care fiecare vârf care nu este frunză are doi fi (vezi exercițiul 17.3-1).

Codificarea cu lungime fixă din exemplul de mai sus nu este optimă deoarece arborele asociat,

<sup>1</sup>“Codificare independentă de prefix” este probabil o denumire mai potrivită, dar termenul de “codificare prefix” este cel cunoscut în literatura de specialitate.

prezentat în figura 17.4(a), nu este un arbore binar complet: există două cuvinte de cod care încep cu 10..., dar nici unul care să înceapă cu 11.... Conform celor de mai sus ne putem restrângе atenția numai asupra arborilor binari compleți, deci dacă  $C$  este alfabetul din care fac parte caracterele, atunci arborele pentru o codificare prefix optimă are exact  $|C|$  frunze, una pentru fiecare literă din alfabet, și exact  $|C| - 1$  noduri interne.

Dându-se un arbore  $T$ , corespunzător unei codificări prefix, este foarte simplu să calculăm numărul de biți necesari pentru a codifica un fișier. Pentru fiecare caracter  $c$  din alfabet, fie  $f(c)$  frecvența lui  $c$  în fișier și să notăm cu  $d_T(c)$  adâncimea frunzei în arbore (adică nivelul pe care se află). Să observăm că  $d_T(c)$  reprezintă de asemenea cuvântul de cod pentru caracterul  $c$ . Numărul de biți necesari pentru a codifica un fișier este

$$B(T) = \sum_{c \in C} f(c)d_T(c), \quad (17.3)$$

Vom numi acest număr **costul** arborelui  $T$ .

### Construcția unui cod Huffman

Huffman a inventat un algoritm greedy care construiește o codificare prefix optimă numită **codul Huffman**. Algoritmul construiește arboarele corespunzător codificării optime, într-o manieră “bottom-up”. Se începe cu o mulțime de  $|C|$  frunze și se realizează o secvență de  $|C| - 1$  operații de “fuzionări” pentru a crea arboarele final.

În algoritmul în pseudocod care urmează, vom presupune că  $C$  este o mulțime de  $n$  caractere și fiecare caracter  $c \in C$  este un obiect având o frecvență dată  $f[c]$ . Va fi folosită o coadă de priorități pentru a identifica cele două obiecte cu frecvența cea mai redusă care vor fuziona. Rezultatul fuzionării celor două obiecte este un nou obiect a cărui frecvență este suma frecvențelor celor două obiecte care au fuzionat.

```

HUFFMAN( $C$ )
1:  $n \leftarrow |C|$ 
2:  $Q \leftarrow C$ 
3: pentru  $i \leftarrow 1, n - 1$  execută
4:    $z \leftarrow \text{ALOCĂ-NOD}()$ 
5:    $x \leftarrow \text{stânga}[z] \leftarrow \text{EXTRAGE-MIN}(Q)$ 
6:    $y \leftarrow \text{dreapta}[z] \leftarrow \text{EXTRAGE-MIN}(Q)$ 
7:    $f[z] \leftarrow f[x] + f[y]$ 
8:    $\text{INSEREAZĂ}(Q, z)$ 
9: returnează EXTRAGE-MIN( $Q$ )

```

Pentru exemplul nostru, algoritmul lui Huffman lucrează ca în figura 17.5. Deoarece există 6 litere în alfabet, dimensiunea inițială a cozii este  $n = 6$ , iar pentru a construi arboarele sunt necesari 5 pași de fuzionare. Arboarele final reprezintă codificarea prefix optimă. Codificarea unei litere este secvența etichetelor nodurilor ce formează drumul de la rădăcină la literă.

În linia 2, coada de priorități  $Q$  este inițializată cu caracterele din  $C$ . Ciclul **pentru** din liniile 3–8 extrage în mod repetat două noduri  $x$  și  $y$  cu cea mai mică frecvență din coadă, și le înlocuiește în coadă cu un nou nod  $z$ , reprezentând fuziunea lor. Frecvența lui  $z$  este calculată în linia 7 ca fiind suma frecvențelor lui  $x$  și  $y$ . Nodul  $z$  are pe  $x$  ca fiu stâng și pe  $y$  ca fiu drept. (Această ordine este arbitrară; interschimbarea fiilor stâng și drept ai oricărui nod conduce la

o codificare diferită, dar de același cost.) După  $n - 1$  fuzionări, unicul nod rămas în coadă – rădăcina arborelui de codificare – este returnat în linia 9.

Analiza timpului de execuție pentru algoritmul lui Huffman presupune implementarea lui  $Q$  sub forma unui heap binar (vezi capitolul 7). Pentru o mulțime  $C$  de  $n$  caractere, inițializarea lui  $Q$  în linia 2 poate fi realizată în  $O(n)$  unități de timp utilizând procedura CONSTRUIEȘTE-HEAP din secțiunea 7.3. Ciclul **pentru** din liniile 3–8 se execută de exact  $|n| - 1$  ori, și cum fiecare operație asupra stivei necesită un timp  $O(n \lg n)$ , ciclul contribuie cu  $O(n \lg n)$  la timpul de execuție. Deci timpul total de execuție a procedurii HUFFMAN pe o mulțime de  $n$  caractere este  $O(n \lg n)$ .

### Corectitudinea algoritmului lui Huffman

Pentru a demonstra că algoritmul de tip greedy al lui Huffman este corect, vom arăta că problema determinării unei codificări prefix optime implică alegeri greedy și are o substructură optimă. Următoarea lemă se referă la proprietatea alegerii greedy.

**Lema 17.2** Fie  $C$  un alfabet în care fiecare caracter  $c \in C$  are frecvența  $f[c]$ . Fie  $x$  și  $y$  două caractere din  $C$  având cele mai mici frecvențe. Atunci există o codificare prefix optimă pentru  $C$  în care cuvintele de cod pentru  $x$  și  $y$  au aceeași lungime și diferă doar pe ultimul bit.

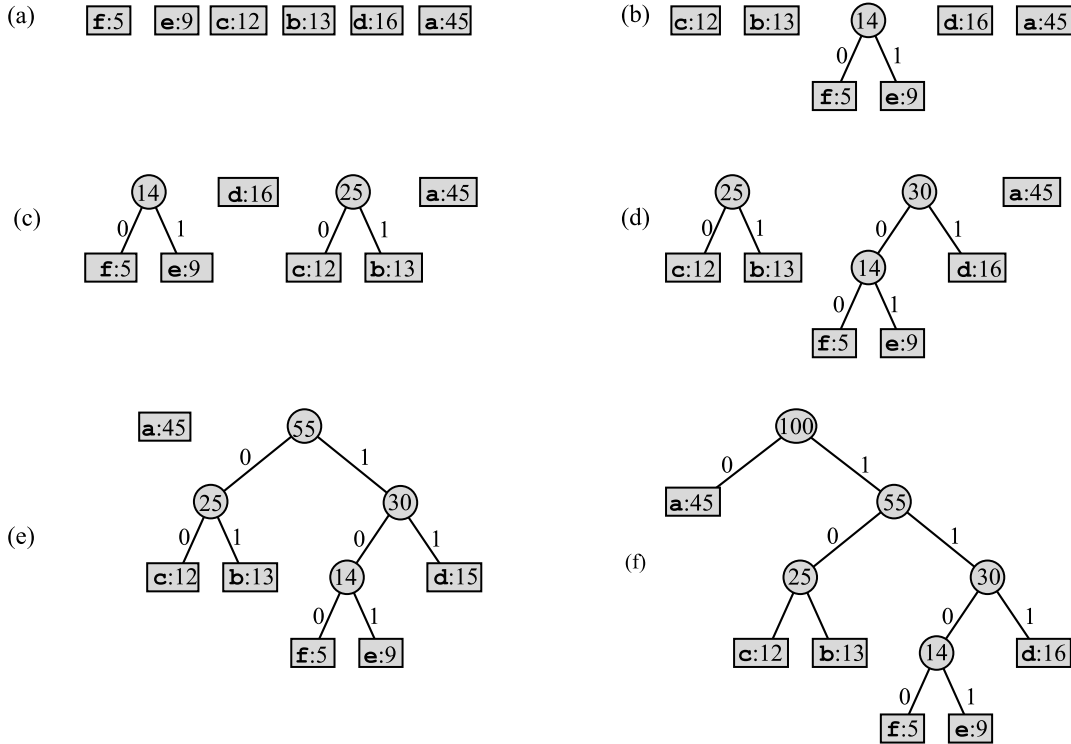
**Demonstrație.** Ideea demonstrației este de a lua arborele  $T$  reprezentând o codificare prefix optimă și a-l modifica pentru a realiza un arbore reprezentând o altă codificare prefix optimă. În noul arbore, caracterele  $x$  și  $y$  vor apărea ca frunze cu același tată și se vor afla pe nivelul maxim în arbore. Dacă putem realiza acest lucru, atunci cuvintele lor de cod vor avea aceeași lungime și vor difera doar pe ultimul bit.

Fie  $b$  și  $c$  două caractere reprezentând noduri terminale (frunze) frați situate pe nivelul maxim al arborelui  $T$ . Fără a restrânge generalitatea, vom presupune că  $f[b] \leq f[c]$  și  $f[x] \leq f[y]$ . Cum  $f[x]$  și  $f[y]$  sunt frunzele cu frecvențele cele mai scăzute, în această ordine, iar  $f[b]$  și  $f[c]$  sunt deci frecvențe arbitrarе, în ordine, avem  $f[x] \leq f[b]$  și  $f[y] \leq f[c]$ . După cum se vede în figura 17.6, vom schimba în  $T$  pozițiile lui  $b$  și  $x$  pentru a produce arborele  $T'$ , iar apoi vom schimba în  $T'$  pozițiile lui  $c$  și  $y$  pentru a obține arborele  $T''$ . Conform ecuației (17.3), diferența costurilor lui  $T$  și  $T'$  este

$$\begin{aligned} B(T) - B(T') &= \sum_{c \in C} f(c)d_T(c) - \sum_{c \in C} f(c)d_{T'}(c) \\ &= f[x]d_T(x) + f[b]d_T(b) - f[x]d_{T'}(x) - f[b]d_{T'}(b) \\ &= f[x]d_T(x) + f[b]d_T(b) - f[x]d_{T'}(b) - f[b]d_{T'}(x) \\ &= (f[b] - f[x])(d_T(b) - d_{T'}(x)) \geq 0, \end{aligned}$$

deoarece atât  $f[b] - f[x]$  și  $d_T(b) - d_{T'}(x)$  sunt nenegative. Mai precis,  $f[b] - f[x]$  este nenegativ deoarece  $x$  este frunza având frecvența minimă iar  $d_T(b) - d_{T'}(x)$  este nenegativ pentru că  $b$  este o frunză aflată pe nivelul maxim în  $T$ . În mod analog, deoarece interschimbarea lui  $y$  cu  $c$  nu mărește costul, diferența  $B(T) \leq B(T'')$  este nenegativă. Astfel  $B(T) \leq B(T'')$ , ceea ce implică  $B(T'') = B(T)$ . Așadar  $T''$  este un arbore optim în care  $x$  și  $y$  apar ca noduri terminale frați, și se află pe nivelul maxim, ceea ce trebuie demonstrat. ■

Din lema 17.2 se deduce faptul ca procesul de construcție a unui arbore optim prin fuzionări poate, fără a restrângе generalitatea, să înceapă cu o alegere greedy a fuzionării celor două

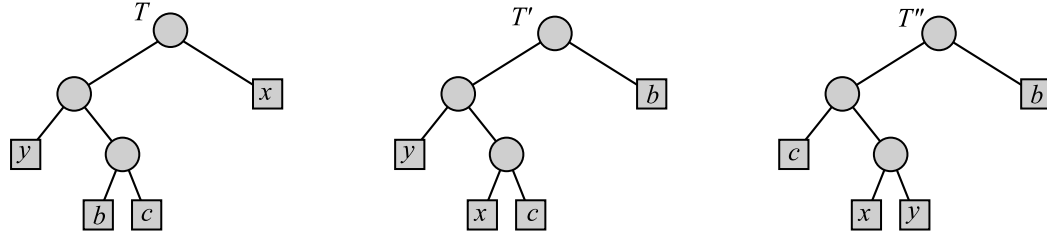


**Figura 17.5** Pașii algoritmului Huffman pentru frecvențele date în figura 17.3. Fiecare parte ilustrează conținutul cozii ordonate crescător după frecvență. La fiecare pas, cei doi arbori cu cele mai scăzute frecvențe fusionează. Frunzele figurează ca dreptunghiuri ce conțin un caracter și frecvența sa. Nodurile interne figurează ca cercuri ce conțin suma frecvențelor fililor lor. O muchie care leagă un nod intern cu fiile ei este etichetată cu 0 dacă este o muchie către un fiu stâng, respectiv cu 1 dacă este către fiul drept. Cuvântul de cod pentru o literă este secvența etichetelor de pe muchiile care leagă rădăcina de frunza asociată caracterului respectiv. (a) Multimea inițială de  $n = 6$  noduri, unul pentru fiecare literă. (b)–(e) Etape intermediare. (f) Arborele final.

caractere cu cea mai redusă frecvență. De ce este aceasta o alegere greedy? Putem interpreta costul unei singure fuzionări ca fiind suma frecvențelor celor două obiecte care fusionează. Exercițiul 17.3-3 arată cum costul total al arborelui construit este suma costurilor obiectelor din care a fuzionat. La fiecare pas, dintre toate fuzionările posibile, algoritmul HUFFMAN o alege pe aceea care determină costul minim.

Următoarea lemă arată că problema construirii unei codificări prefix optimă are proprietatea substructurii optimale.

**Lema 17.3** Fie  $T$  un arbore binar complet reprezentând o codificare prefix optimă peste un alfabet  $C$ , unde frecvența  $f[c]$  este definită pentru fiecare caracter  $c \in C$ . Considerăm două caractere  $x$  și  $y$  oarecare care apar ca noduri terminale frați în  $T$ , și fie  $z$  tatăl lor. Atunci, considerând  $z$  ca un caracter având frecvența  $f[z] = f[x] + f[y]$ , arborele  $T' = T - \{x, y\}$  reprezintă o codificare prefix optimă pentru alfabetul  $C' = C - \{x, y\} \cup \{z\}$ .



**Figura 17.6** O ilustrare a pasului cheie din demonstrația lemei 17.2. În arborele optim  $T$ ,  $b$  și  $c$  sunt două dintre frunzele aflate pe cel mai de jos nivel în arbore; aceste noduri se consideră frați.  $x$  și  $y$  sunt două frunze pe care algoritmul Huffman le fuzionează primele; ele apar în poziții arbitrară în  $T$ . Frunzele  $b$  și  $x$  sunt interschimbate pentru a obține arborele  $T'$ . Apoi, frunzele  $c$  și  $y$  sunt interschimbate pentru a obține arborele  $T''$ . Cum cele două interschimbări nu măresc costul, arborele rezultat  $T''$  este de asemenea un arbore optim.

**Demonstrație.** Vom arăta mai întâi că  $B(T)$ , costul arborelui  $T$ , poate fi exprimat în funcție de costul  $B(T')$  al arborelui  $T'$  considerând costurile componente din ecuația (17.3). Pentru fiecare  $c \in C - \{x, y\}$ , avem  $d_T(c) = d_{T'}(c)$ , și  $f[c]d_t(c) = f[c]d_{T'}(c)$ . Cum  $d_T(x) = d_T(y) = d_{T'}(z) + 1$ , avem

$$f[x]d_T(x) + f[y]d_T(y) = (f[x] + f[y])(d_{T'}(z) + 1) = f[z]d_{T'}(z) + (f[x] + f[y]),$$

de unde deducem că

$$B(T) = B(T') + f[x] + f[y].$$

Dacă  $T'$  reprezintă o codificare prefix care nu este optimă pentru alfabetul  $C'$ , atunci există un arbore  $T''$  ale cărui frunze sunt caractere în  $C'$  astfel încât  $B(T'') < B(T')$ . Cum  $z$  este tratat ca un caracter în  $C'$ , el va apăra ca frunză în  $T''$ . Dacă adăugăm  $x$  și  $y$  ca fiind frunze în  $T''$ , atunci vom obține o codificare prefix pentru  $C$  având costul  $B(T'') + f[x] + f[y] < B(T)$ , ceea ce intră în contradicție cu optimalitatea lui  $T$ . Deci  $T'$  trebuie să fie optim pentru alfabetul  $C'$ . ■

**Teorema 17.4** Procedura HUFFMAN realizează o codificare prefix optimă.

**Demonstrație.** Este imediată, din lemele 17.2 și 17.3. ■

### Execlii

**17.3-1** Demonstrați că un arbore binar care nu este complet nu poate corespunde unei codificări prefix optime.

**17.3-2** Stabiliți o codificare Huffman optimă pentru următoarea secvență de frecvențe bazată pe primele 8 numere din sirul lui Fibonacci

a:1 b:1 c:2 d:3 e:5 f:8 g:13 h:21

Puteți generaliza răspunsul astfel încât să determinați codificarea optimă când frecvențele sunt primele  $n$  numere din sirul lui Fibonacci?

**17.3-3** Demonstrați că, pentru o codificare, costul arborelui asociat poate fi calculat, de asemenea, ca sumă peste toate nodurile interne, ale frecvențelor combinate ale celor doi fi ai nodului respectiv.

**17.3-4** Arătați că pentru o codificare optimă, dacă sortăm caracterele în ordinea necrescătoare a frecvențelor lor, lungimile cuvintelor de cod asociate sunt în ordine nedescrescătoare.

**17.3-5** Fie  $C = \{0, 1, \dots, n - 1\}$  o mulțime de caractere. Arătați că orice codificare prefix optimală pe  $C$  poate fi reprezentată sub forma unei secvențe de  $2n - 1 + n \lceil \lg n \rceil$  biți. (*Indica ie:* Pentru a specifica structura arborelui, utilizați  $2n - 1$  biți, conform parcurgerii acestuia.)

**17.3-6** Generalizați algoritmul lui Huffman pentru cuvinte de cod ternare (adică acele cuvinte de cod care folosesc simbolurile 0, 1 și 2) și arătați că aceasta conduce la codificări ternare optime.

**17.3-7** Fie dat un fișier de date conținând un sir de caractere de 8 biți, astfel încât toate cele 256 de caractere apar aproximativ cu aceeași frecvență: frecvența maximă este mai mică decât dublul frecvenței minime. Arătați că, în acest caz, codificarea Huffman nu este mai eficientă decât utilizarea unui cod obișnuit având lungimea fixă de 8 biți.

**17.3-8** Arătați că de la nici o modalitate de comprimare nu se poate aștepta să compacteze un fișier care conține caractere alese aleator, reprezentate pe 8 biți, prin schimbarea unui singur caracter. (*Indica ie:* Comparați numărul de fișiere cu numărul posibil de fișiere codificate).

## 17.4. Bazele teoretice ale metodei greedy

În această secțiune vom prezenta teoria care stă la baza algoritmilor greedy. Această teorie poate fi utilizată pentru a determina cazurile în care algoritmul greedy va conduce la soluție optimă. Ea necesită cunoașterea unor structuri combinatoriale numite “matroizi”. Cu toate că această teorie nu acoperă toate cazurile pentru care se poate aplica o metodă greedy (de exemplu nu acoperă problema selectării activităților din secțiunea 17.1 sau problema codificării Huffman din secțiunea 17.3), ea cuprinde multe cazuri de interes practic. Mai mult, această teorie s-a dezvoltat într-un timp scurt și a fost extinsă pentru a acoperi cât mai multe aplicații (a se vedea și notele de la sfârșitul capitolului).

### 17.4.1. Matroizi

Un **matroid** este o pereche ordonată  $M = (S, \mathcal{I})$  care satisfac următoarele condiții:

1.  $S$  este o mulțime finită nevidă.
2.  $\mathcal{I}$  este o familie nevidă de submulțimi ale lui  $S$ , numite submulțimi **independente** ale lui  $S$ , astfel încât dacă  $B \in \mathcal{I}$  și  $A \subseteq B$ , atunci  $A \in \mathcal{I}$ . Spunem că  $\mathcal{I}$  este **ereditară** dacă satisfac această proprietate. Să observăm că mulțimea vidă  $\emptyset$  este automat un element al lui  $\mathcal{I}$ .

3. Dacă  $A \in \mathcal{I}$ ,  $B \in \mathcal{I}$  și  $|A| < |B|$  atunci există un element  $x \in B - a$  astfel încât  $A \cup \{x\} \in \mathcal{I}$ . Spunem că  $M$  satisface **proprietatea de schimb**.

Cuvântul “matroid” a fost introdus de Hassel Whitney. El a studiat **matroizii matriceali**, în care elementele lui  $S$  sunt liniile dintr-o matrice dată și o mulțime de linii este independentă dacă liniile din mulțime sunt liniar independente în sensul ușual. Este ușor de arătat că această structură definește un matroid (vezi exercițiul 17.4-2).

Un alt exemplu de matroid este următorul: considerăm **matroidul grafic**  $M_G = (S_G, \mathcal{I}_G)$  definit în termenii unui graf neorientat  $G = (V, E)$  după cum urmează:

- Mulțimea  $S_G$  este mulțimea  $E$  a muchiilor grafului  $G$ .
- Dacă  $A$  este o submulțime a lui  $E$  atunci  $A \in \mathcal{I}_G$  dacă și numai dacă  $A$  nu are cicluri. Aceasta înseamnă că o mulțime de muchii este independentă dacă și numai dacă formează o pădure.

Matroidul grafic este strâns legat de problema arborelui de acoperire minimă care este prezentată în detaliu în capitolul 24.

**Teorema 17.5** Dacă  $G$  este un graf neorientat, atunci  $M_G = (S_G, \mathcal{I}_G)$  este un matroid.

**Demonstrație.** Evident  $S_G = E$  este mulțime finită. Mai mult,  $\mathcal{I}_G$  este ereditară deoarece o submulțime a unei păduri este o pădure. Altfel spus, eliminarea unor muchii dintr-o mulțime de muchii ce nu formează cicluri nu poate crea cicluri noi. Astfel, rămâne de arătat că  $M_G$  satisface proprietatea de schimb. Să presupunem că  $A$  și  $B$  sunt păduri ale lui  $G$  și  $|B| > |A|$ . Cu alte cuvinte,  $A$  și  $B$  sunt mulțimi aciclice de muchii și  $B$  are mai multe muchii decât  $A$ .

Atunci, conform teoremei 5.2 o pădure având  $k$  muchii conține exact  $|V| - k$  arbori. (Pentru a arăta acest lucru în alt mod se pleacă cu  $|V|$  arbori și nici o muchie. Apoi fiecare muchie care este adăugată pădurii, reduce cu 1 numărul de arbori). Astfel, pădurea conține  $|V| - |A|$  arbori și pădurea  $B$  conține  $|V| - |B|$  arbori.

Cum pădurea  $B$  are mai puțini arbori decât  $A$ , ea trebuie să conțină un arbore  $T$  cu vârfuri aflate în arbori diferenți din pădurea  $A$ . Mai mult, deoarece  $T$  este conex, el trebuie să conțină o muchie  $(u, v)$  astfel încât vârfurile  $u$  și  $v$  să fie în arbori diferenți din pădurea  $A$ . Cum muchia  $(u, v)$  leagă vârfuri în doi arbori diferenți din pădurea  $A$ , ea poate fi adăugată pădurii  $A$  fără a forma un ciclu. Atunci,  $M_G$  satisface proprietatea de schimb, ceea ce încheie demonstrația faptului că  $M_G$  este un matroid. ■

Dându-se un matroid  $M = (S, \mathcal{I})$ , un element  $x \notin A$  se numește **extensie** a lui  $A \in \mathcal{I}$  dacă  $x$  poate fi adăugat la  $A$  cu păstrarea în același timp a independentei; aceasta înseamnă că  $x$  este o extensie a lui  $A$  dacă  $A \cup \{x\} \in \mathcal{I}$ . Drept exemplu, să considerăm un matroid grafic  $M_G$ . Dacă  $A$  este o mulțime independentă de muchii, atunci muchia  $e$  este o extensie a lui  $A$  dacă și numai dacă  $e$  nu este în  $A$  și adăugarea ei la  $A$  nu creează un ciclu.

Dacă  $A$  este o submulțime independentă într-un matroid  $M$ , spunem că  $A$  este maximală dacă nu are extensii. Aceasta înseamnă că  $A$  este maximală dacă nu este inclusă în nici o submulțime independentă mai mare a lui  $M$ . Următoarea proprietate este utilizată frecvent.

**Teorema 17.6** Toate submulțimile independente maximale dintr-un matroid au aceeași dimensiune.

**Demonstrație.** Presupunem, prin reducere la absurd, că  $A$  este o submulțime independentă maximală a lui  $M$  și există o altă submulțime  $B$  a lui  $M$  cu aceleași proprietăți. Atunci, din proprietatea de schimb, rezultă că  $A$  este extensibilă la o mulțime mai mare  $A \cup \{x\}$  pentru un  $x \in B - A$ , ceea ce contrazice presupunerea că  $A$  este maximală. ■

Pentru a ilustra această teoremă, să construim matroidul grafic  $M_G$  pentru un graf conex neorientat  $G$ . Fiecare submulțime independentă maximală a lui  $M_G$  poate fi un arbore liber cu exact  $|V| - 1$  muchii ce leagă toate vârfurile din  $G$ . Un astfel de arbore se numește **arbore de acoperire** al lui  $G$ .

Spunem că un matroid  $M = (S, \mathcal{I})$  este **ponderat** dacă are asociată o funcție de ponderare  $w$  care atribuie o pondere pozitivă  $w(x)$  fiecărui element  $x \in S$ . Funcția de ponderare  $w$  se extinde la submulțimile din  $S$  prin însumare:

$$w(A) = \sum_{x \in A} w(x)$$

pentru orice  $A \subseteq S$ . De exemplu, dacă  $w(e)$  desemnează lungimea unei muchii  $e$  într-un matroid grafic  $M_G$ , atunci  $w(A)$  este lungimea totală a muchiilor din  $A$ .

#### 17.4.2. Algoritmi greedy pe un matroid ponderat

Numerouse probleme pentru care un algoritm greedy furnizează soluții optime pot fi formulate astfel încât să conducă la determinarea unei submulțimi independente de pondere maximă într-un matroid ponderat. Cu alte cuvinte, se dă un matroid ponderat  $M = (S, \mathcal{I})$  și se dorește determinarea unei mulțimi independente  $A \in \mathcal{I}$  astfel încât  $w(A)$  să fie maximizată. Vom spune că o astfel de submulțime, independentă și de pondere maximă posibilă este submulțimea **optimă** a matroidului. Deoarece ponderea  $w(x)$  a oricărui element  $x$  din  $S$  este pozitivă, o submulțime optimă este întotdeauna o submulțime maximală independentă. Este util ca  $A$  să fie cât mai mare cu puțință.

De exemplu, în cazul **arborelui de acoperire minim** se consideră un graf neorientat, conex,  $G = (V, E)$  și o funcție lungime  $w$  astfel încât  $w(e)$  este lungimea (pozitivă) a muchiei  $e$ . (Vom folosi termenul de "lungime" pentru ponderi în matroidul asociat). Se cere determinarea unei submulțimi de muchii care unește toate vârfurile și are lungime totală minimă. Pentru a privi aceasta ca o problemă de determinare a submulțimii optime a unui matroid, să considerăm matroidul  $M_G$  cu funcția de ponderare  $w'$ , unde  $w'(e) = w_0 - w(e)$  și  $w_0$  este mai mare decât lungimea maximă a oricărei muchii. În acest matroid ponderat, toate ponderile sunt pozitive și o submulțime optimă este un arbore de acoperire având lungimea minimă în graful original. Mai precis, fiecare submulțime independentă maximală  $A$  corespunde unui arbore de acoperire și deoarece

$$w'(A) = (|V| - 1)w_0 - w(A)$$

pentru orice submulțime independentă maximală  $A$ , submulțimea independentă ce maximizează  $w'(A)$  trebuie să minimizeze  $w(A)$ . În consecință, orice algoritm care poate găsi o submulțime optimă  $A$  într-un matroid arbitrar poate rezolva problema arborelui de acoperire minimă.

În capitolul 24 sunt prezentate algoritmi pentru problema arborelui de acoperire minimă, dar în acest paragraf vom descrie un algoritm greedy ce funcționează pentru orice matroid ponderat. Algoritmul folosește ca date de intrare matroidul ponderat  $M = (S, \mathcal{I})$  cu o funcție asociată  $w$

de pondere pozitivă  $w$  și întoarce o submulțime optimă  $A$ . În algoritmul descris în pseudocod, vom nota componentele lui  $M$  cu  $S[M]$  și  $\mathcal{I}[M]$ , iar funcția de ponderare cu  $w$ . Algoritmul este de tip greedy deoarece ia în considerare pe rând fiecare element  $x \in S$  în ordinea necrescătoare a ponderilor și îl adaugă imediat la mulțimea  $A$  deja obținută dacă  $A \cup \{x\}$  este independentă.

**GREEDY( $M, w$ )**

- 1:  $A \leftarrow \emptyset$
- 2: ordenează  $S[M]$  necrescător după ponderile  $w$
- 3: pentru fiecare  $x \in S[M]$ , în ordine necrescătoare după ponderea  $w(x)$  execută
- 4:   dacă  $A \cup \{x\} \in \mathcal{I}(M)$  atunci
- 5:      $A \leftarrow A \cup \{x\}$
- 6: returnează  $A$

Elementele lui  $S$  sunt considerate pe rând, în ordinea necrescătoare a ponderilor. Elementul considerat  $x$  poate fi adăugat la  $A$  dacă menține independenta lui  $A$ . În caz contrar  $x$  este abandonat. Deoarece mulțimea vidă este independentă conform definiției unui matroid, și cum  $x$  este adăugat la  $A$  doar dacă  $A \cup \{x\}$  este independentă, prin inducție, submulțimea  $A$  este întotdeauna independentă. Deci algoritmul GREEDY returnează întotdeauna o submulțime independentă  $A$ . Vom vedea în continuare că  $A$  este o submulțime de pondere maximă posibilă, deci că  $A$  este o submulțime optimă.

Timpul de execuție al algoritmului GREEDY este ușor de calculat. Fie  $n = |S|$ . Etapa de sortare se realizează în  $O(n \lg n)$ .

Linia 4 este executată exact de  $n$  ori, o dată pentru fiecare element din  $S$ . Fiecare execuție a liniei 4 necesită verificarea independentei mulțimii  $A \cup \{x\}$ . Cum fiecare astfel de verificare se realizează în  $O(f(n))$ , întregul algoritm necesită  $O(n \lg n + nf(n))$  unități de timp.

Vom arăta în cele ce urmează că algoritmul GREEDY returnează o submulțime optimă.

**Lema 17.7 (Matroizii evidențiază proprietatea alegării greedy)** Să presupunem că  $M = (S, \mathcal{I})$  este un matroid ponderat cu o funcție de ponderare  $w$  și că  $S$  este ordonată necrescător după ponderi. Fie  $x$  primul element din  $S$  astfel încât  $\{x\}$  este independentă, dacă un astfel de  $x$  există. Dacă  $x$  există, atunci există o submulțime optimă  $A$  a lui  $S$  care îl conține pe  $x$ .

**Demonstrație.** Dacă un astfel de  $x$  nu există atunci singura submulțime independentă este submulțimea vidă și demonstrația se încheie. Altfel, fie  $B$  o submulțime nevidă, optimă oarecare. Presupunem că  $x \notin B$ ; altfel luăm  $A = B$  și demonstrația se încheie.

Nici un element din  $B$  nu are ponderea mai mare decât  $w(x)$ . Să observăm că  $y \in B$  implică  $\{y\}$  este independentă deoarece  $B \in \mathcal{I}$  și  $\mathcal{I}$  este ereditară. Alegerea făcută asupra lui  $x$  asigură  $w(x) \geq w(y)$  pentru orice  $y \in B$ .

Mulțimea  $A$  se construiește după cum urmează. Se pleacă cu  $A = \{x\}$ . Din alegerea lui  $x$ ,  $A$  este independentă. Folosind proprietatea de schimb în mod repetat, se găsește un nou element al lui  $B$  care poate fi adăugat la  $A$  până când  $|A| = |B|$ , astfel încât independenta lui  $A$  este mereu păstrată. Atunci,  $A = B - \{y\} \cup \{x\}$  pentru  $y \in B$  și deci

$$w(A) = w(B) - w(y) + w(x) \geq w(B)$$

Deoarece  $B$  este optimă,  $A$  trebuie să fie de asemenea optimă și cum  $x \in A$  lema este demonstrată. ■

**Lema 17.8** Fie  $M = (S, \mathcal{I})$  un matroid oarecare. Dacă  $x$  este un element al lui  $S$  astfel încât  $x$  nu este o extensie a lui  $\emptyset$ , atunci  $x$  nu este o extensie a nici unei submulțimi independente  $A$  a lui  $S$ .

**Demonstrație.** Demonstrația se face prin reducere la absurd. Presupunem că  $x$  este o extensie a lui  $A$  dar nu a mulțimii vide  $\emptyset$ . Cum  $x$  este o extensie a lui  $A$  rezultă că  $A \cup \{x\}$  este independentă. Deoarece  $\mathcal{I}$  este ereditară,  $\{x\}$  trebuie să fie independentă, ceea ce contrazice presupunerea că  $x$  nu este o extensie a lui  $\emptyset$ . ■

Lema 17.8 arată că orice element care nu poate fi folosit la un anumit moment nu mai poate fi folosit niciodată ulterior. De aici se deduce că algoritmul GREEDY nu poate greși, trecând peste elementele inițiale din  $S$  care nu sunt extensii ale lui  $\emptyset$ , deoarece ele nu mai pot fi niciodată folosite.

**Lema 17.9 (Matroizii pun în evidență proprietatea de substructură optimală)** Fie  $x$  primul element ales de algoritmul GREEDY din  $S$  pentru matroidul ponderat  $M = (S, \mathcal{I})$ . Problema rămasă, de determinare a unei submulțimi independente de pondere maximă care îl conține pe  $x$ , se reduce la găsirea unei submulțimi independente de pondere maximă a matroidului ponderat  $M' = (S', \mathcal{I}')$ , unde

$$S' = \{y \in S : \{x, y\} \in \mathcal{I}\}, \quad \mathcal{I}' = \{B \subseteq S - \{x\} : B \cup \{x\} \in \mathcal{I}\},$$

și funcția de ponderare pentru  $M'$  este funcția de ponderare pentru  $M$  restricționată la  $S'$ . (Numim  $M'$  **contracția** lui  $M$  prin elementul  $x$ .)

**Demonstrație.** Dacă  $A$  este o submulțime oarecare independentă de pondere maximă a lui  $M$ , care conține elementul  $x$ , atunci  $A' = A - \{x\}$  este o submulțime independentă a lui  $M'$ . Invers, orice submulțime independentă  $A'$  a lui  $M'$  conduce la o submulțime independentă  $A = A' \cup \{x\}$  a lui  $M$ . Cum în ambele cazuri avem  $w(A) = w(A') + w(x)$ , o soluție de pondere maximă în  $M$ , care îl conține pe  $x$ , conduce la o soluție de pondere maximă în  $M'$  și invers. ■

**Teorema 17.10 (Corectitudinea algoritmului greedy pe matroizi)** Dacă  $M = (S, \mathcal{I})$  este un matroid ponderat cu funcția de ponderare  $w$ , atunci apelul  $\text{GREEDY}(M, w)$  returnează o submulțime optimă.

**Demonstrație.** Conform lemei 17.8 orice elemente care nu sunt considerate inițial, deoarece nu sunt extensii ale mulțimii vide  $\emptyset$ , pot fi uitate definitiv, deoarece ele nu mai sunt folositoare. O dată ce primul element  $x$  este selectat, din lema 17.7 rezultă că algoritmul GREEDY nu poate greși adăugând pe  $x$  la  $A$  pentru că există o submulțime optimă ce îl conține pe  $x$ . În final lema 17.9 implică faptul că problema rămasă este una de determinare a unei submulțimi optime în matroidul  $M'$  care este contracția lui  $M$  prin  $x$ . După ce procedura GREEDY atribuie lui  $A$  mulțimea  $x$  toți ceilalți pași pot fi interpretați ca acționând în matroidul  $M' = (S', \mathcal{I}')$  deoarece  $B$  este independentă în  $M'$  dacă și numai dacă  $B \cup \{x\}$  este independentă în  $M$ , pentru orice mulțime  $B \in \mathcal{I}'$ . În consecință, operațiile din algoritmul GREEDY vor determina o submulțime independentă de pondere maximă pentru  $M'$  și toate operațiile din algoritmul GREEDY vor găsi o submulțime independentă de pondere maximă pentru  $M$ . ■

## Exerciții

**17.4-1** Arătați că  $(S, \mathcal{I}_k)$  este un matroid, unde  $S$  este o mulțime finită, iar  $\mathcal{I}_k$  este mulțimea tuturor submulțimilor lui  $S$  de dimensiune cel mult  $k$ , unde  $k \leq |S|$ .

**17.4-2** \* Dându-se o matrice  $T$  de  $n \times n$  numere reale, arătați că  $(S, \mathcal{I})$  este un matroid, unde  $S$  este mulțimea coloanelor lui  $T$  și  $A \in \mathcal{I}$ , dacă și numai dacă în  $A$  coloanele sunt liniar independente.

**17.4-3** \* Arătați că dacă  $(S, \mathcal{I})$  este un matroid, atunci și  $(S, \mathcal{I}')$  este un matroid, unde  $\mathcal{I}' = \{A' : S - S' \text{ conține mulțimi maximale } A \in \mathcal{I}\}$ . Aceasta înseamnă că mulțimile independente maximale ale lui  $(S', \mathcal{I}')$  sunt exact complementarele mulțimilor independente maximale ale lui  $(S, \mathcal{I})$ .

**17.4-4** \* Fie  $S$  o mulțime finită și fie  $S_1, S_2, \dots, S_k$  o partitie a lui  $S$  în submulțimi nevide disjuncte. Definim structura  $(S, \mathcal{I})$  prin condiția ca  $\mathcal{I} = \{A : |A \cap S_i| \leq 1 \text{ pentru } i = 1, 2, \dots, k\}$ . Arătați că  $(S, \mathcal{I})$  este un matroid. Aceasta înseamnă că matricea tuturor mulțimilor  $A$ , care conține cel mult un element în fiecare bloc al partitiei, determină o mulțime independentă de matroizi.

**17.4-5** Arătați cum se transformă o funcție de ponderare a unei probleme cu matroizi ponderați când soluția optimă dorită este o submulțime independentă, maximală de pondere maximă, pentru a o aduce la o problemă standard de matroizi ponderați. Argumentați că transformarea este corectă.

## 17.5. O problemă de planificare a activităților

O problemă interesantă ce poate fi rezolvată folosind matroizi este problema planificării optime pe un singur procesor a unor activități care se execută într-o unitate de timp. Fiecare activitate are un termen de finalizare și o penalizare care trebuie plătită dacă se depășește termenul. Problema pare complicată dar poate fi rezolvată într-o manieră surprinzătoare de simplă, folosind un algoritm greedy.

O **activitate într-o unitate de timp** este o sarcină, de exemplu un program care se execută pe un calculator, care necesită exact o unitate de timp pentru a fi îndeplinită. Dându-se o submulțime finită  $S$  a unor astfel de activități, o **planificare** pentru  $S$  este o permutare a lui  $S$  ce specifică ordinea în care aceste sarcini trebuie realizate. Prima activitate din planificare începe la momentul 0 și se termină la momentul 1, cea de-a doua începe la momentul 1 și se termină la momentul 2 și.a.m.d.

Problema **planificării pe un singur procesor a activităților într-o unitate de timp cu termen de finalizare și penalizări** are următoarele date de intrare:

- o mulțime  $S = \{1, 2, \dots, n\}$  de  $n$  activități care se execută într-o unitate de timp;
- o mulțime de  $n$  întregi reprezentând **termenele de finalizare**  $d_1, d_2, \dots, d_n$  astfel încât  $1 \leq d_i \leq n$  și se presupune că activitatea  $i$  se termină la momentul  $d_i$ ;

- o mulțime de  $n$  ponderi nenegative **de penalizări**  $w_1, w_2, \dots, w_n$  astfel încât o penalizare  $W_i$  este utilizată numai dacă activitatea  $i$  nu se termină la momentul  $d_i$ .

Se cere determinarea unei planificări pentru  $S$  care minimizează penalizarea totală pentru activitatea neterminată.

Considerăm o planificare dată. Spunem că o activitate este **prematură** în această planificare dacă se termină după termenul de finalizare. În caz contrar activitatea este **în timp** în planificare. O planificare arbitrară poate fi pusă întotdeauna într-o **formă prematură**, în care fiecare activitate care se termină la timp precede activitățile întârziate. Să observăm că dacă o activitate prematură  $x$ , urmează unei activități întârziate  $y$  atunci pozițiile lui  $x$  și  $y$  pot fi schimbate fără a afecta faptul că  $x$  este prematură și  $y$  este întârziată.

Analog, afirmăm că o planificare arbitrară poate fi întotdeauna pusă sub **forma canonica**, în care activitățile premature preced pe cele întârziate și sunt planificate în ordine nedescrescătoare a termenelor de terminare. Pentru a realiza acest lucru se pune planificarea într-o primă formă prematură. Apoi, atâtă timp cât există două activități în timp  $i$  și  $j$  care se termină la momentele  $k$  și  $k+1$  în planificare cu termenele  $d_j < d_i$ , interschimbăm poziția lui  $i$  cu cea a lui  $j$ . Cum activitatea  $j$  este prematură, înainte de interschimbare,  $k+1 \leq d_j$ . Atunci  $k+1 < d_i$  și astfel activitatea  $i$  este tot prematură după interschimbare. Activitatea  $j$  este mutată mai devreme în planificare, deci ea va fi de asemenea prematură după interschimbare.

Deci, căutarea unei planificări optime se reduce la determinarea unei mulțimi  $A$  de activități premature. O dată determinată  $A$ , putem crea planificarea curentă, listând întâi elementele din  $A$  în ordine nedescrescătoare a timpilor de terminare, apoi activitățile întârziate (adică  $S - A$ ) în orice ordine, producând astfel oordonare canonica a planificării optime.

Spunem că mulțimea  $A$  de activități este **independentă** dacă există o planificare pentru aceste activități astfel încât nici o activitate nu este întârziată. Evident, mulțimea activităților în timp pentru o planificare formează o mulțime independentă de activități. Fie  $\mathcal{I}$  mulțimea tuturor mulțimilor independente de activități.

Considerăm problema determinării independenței unei mulțimi date de activități  $A$ . Pentru  $t = 1, 2, \dots, n$ , fie  $N_t(A)$  numărul de activități în  $A$  a căror termen de terminare este cel mult  $t$ .

**Lema 17.11** Pentru orice mulțime de activități  $A$ , următoarele afirmații sunt echivalente:

1.  $A$  este mulțime independentă.
2. pentru  $t = 1, 2, \dots, n$  avem  $N_t(A) \leq t$ .
3. dacă activitățile din  $A$  sunt planificate în ordinea nedescrescătoare a timpilor de terminare, atunci nici o activitate nu este întârziată.

**Demonstrație.** Evident, dacă există  $t$  astfel încât  $N_t(A) > t$ , atunci nu există nici o modalitate de a face o planificare cu toate activitățile în timp pentru  $A$ , deoarece există mai mult de  $t$  activități care trebuie să se termine înainte de momentul  $t$ . Atunci (1) implică (2). Dacă (2) este adevărată atunci rezultă (3): nu există nici o modalitate de a ne bloca atunci când planificăm activitățile în ordinea nedescrescătoare a timpilor de terminare, deoarece din (2) rezultă că cel mai îndepărtat timp de terminare  $i$  este cel mult  $i$ . În sfârșit, evident, (3) implică (1). ■

Folosind proprietatea 2 din lema 17.11 putem calcula cu ușurință dacă o mulțime dată de activități este independentă (vezi exercițiul 17.5-2).

	Activitate						
	1	2	3	4	5	6	7
$d_i$	4	2	4	3	1	4	6
$w_i$	70	60	50	40	30	20	10

**Figura 17.7** O instanță a problemei planificării activităților într-o unitate de timp cu termen de finalizare și penalizări pe un singur procesor

Problema minimizării sumei de penalizare a activităților întârziate este aceeași cu problema maximizării sumei de penalizări ale activităților premature. Următoarea teoremă asigură corectitudinea utilizării algoritmului greedy pentru a determina o mulțime independentă  $A$  de activități cu penalizare totală maximă.

**Teorema 17.12** Dacă  $S$  este o mulțime de activități într-o unitate de timp și  $\mathcal{I}$  este mulțimea tuturor mulțimilor independente de activități, atunci sistemul corespunzător  $(S, \mathcal{I})$  este un matroid.

**Demonstrație.** Fiecare submulțime a unei mulțimi independente de activități este evident independentă. Pentru a demonstra proprietatea de schimb să presupunem că  $B$  și  $A$  sunt mulțimi independente de activități și  $|B| > |A|$ . Fie  $k$  cel mai mare timp  $t$  astfel încât  $N_t(B) \leq N_t(A)$ . Cum  $N_n(B) = |B|$  și  $N_n(A) = |A|$ , dar  $|B| > |A|$  trebuie să avem  $k < n$  și  $N_j(B) > N_j(A)$  pentru orice  $j$  din intervalul  $k + 1 \leq j \leq n$ . Atunci  $B$  conține mai multe activități cu timpul de terminare  $k + 1$  decât  $A$ . Fie  $x$  o activitate în  $B - A$  cu timpul de terminare  $k + 1$ . Fie  $A' = A \cup \{x\}$ .

Arătăm acum, folosind proprietatea 2 din lema 17.11, că  $A'$  trebuie să fie independentă. Pentru  $1 \leq t \leq k$  avem  $N_t(A') \leq N_t(B) \leq t$ , deoarece  $B$  este independentă. Atunci  $A'$  este independentă ceea ce încheie demonstrația faptului că  $(S, \mathcal{I})$  este matroid. ■

Conform teoremei 17.10 putem utiliza un algoritm greedy pentru a determina o mulțime independentă de pondere maximă de activități  $A$ . Putem atunci crea o planificare optimă având activitățile din  $A$  ca fiind activități premature. Această metodă este un algoritm eficient pentru planificarea activităților într-o unitate de timp cu termen de terminare și penalizări pentru un singur procesor. Timpul de execuție este  $O(n^2)$  folosind algoritmul GREEDY deoarece fiecare din cele  $O(n)$  verificări independente făcute de algoritm consumă  $O(n)$  unități de timp (vezi exercițiul 17.5-2). O implementare mai rapidă este dată în problema 17-3.

Figura 17.7 prezintă un exemplu pentru problema planificării activităților într-o unitate de timp cu termene de finalizare și penalizări pe un singur procesor. În acest exemplu, algoritmul greedy selectează activitățile 1, 2, 3 și 4, respinge activitățile 5 și 6, iar în final acceptă activitatea 7. Planificarea optimă finală este

$$\langle 2, 4, 1, 3, 7, 5, 6 \rangle,$$

care are o penalizare totală egală cu  $w_5 + w_6 = 50$ .

## Exerciții

**17.5-1** Rezolvați instanța problemei planificării dată în figura 17.7 dar cu fiecare penalizare  $w_i$  înlocuită cu  $80 - w_i$ .

**17.5-2** Arătați cum se utilizează proprietatea 2 din lema 17.1 pentru a determina în timpul  $O(|A|)$  dacă o mulțime  $A$  de activități este independentă sau nu.

## Probleme

### 17-1 Schimb de monede

Să considerăm problema schimbării a  $n$  centi utilizând cel mai mic număr de monede.

- a. Descrieți un algoritm greedy pentru a realiza schimbul în monede de 25, 50, 2 și 1. Demonstrați că algoritmul conduce la o soluție optimă.
- b. Să presupunem că monedele disponibile au valorile  $c^0, c^1, \dots, c^k$  pentru întregii  $c > 1$  și  $k \geq 1$ . Arătați că algoritmul greedy conduce mereu la soluție optimă.
- c. Dați o mulțime de valori de monede pentru care algoritmul greedy nu conduce la o soluție optimă.

### 17-2 Subgrafuri aciclice

- a. Fie  $G = (X, E)$  un graf neorientat. Folosind definiția unui matroid, arătați că  $(E, \mathcal{I})$  este un matroid, unde  $A \in \mathcal{I}$  dacă și numai dacă  $A$  este o submulțime aciclică a lui  $E$ .
- b. **Matricea de incidentă** a unui graf neorientat  $G = (X, E)$  este o matrice  $M$ , de dimensiuni  $|X| \times |E|$  astfel încât  $M_{ve} = 1$  dacă muchia  $e$  este incidentă vârfului  $v$  și  $M_{ve} = 0$  altfel. Argumentați că o mulțime de coloane ale lui  $M$  este liniar independentă dacă și numai dacă mulțimea corespunzătoare de muchii este aciclică. Utilizați apoi rezultatul exercițiului 17.4-2 pentru a furniza o altă demonstrație a faptului că  $(E, \mathcal{I})$  de la punctul a este matroid.
- c. Să presupunem că o pondere nenegativă  $w(e)$  este asociată fiecărei muchii într-un graf neorientat  $G = (X, E)$ . Elaborați un algoritm eficient pentru a determina o submulțime aciclică a lui  $E$  de pondere totală maximă.
- d. Fie  $G = (V, E)$  un graf orientat oarecare și fie  $(E, \mathcal{I})$  definit astfel încât  $A \in \mathcal{I}$  dacă și numai dacă  $A$  nu conține cicluri directe. Dați un exemplu de graf orientat  $G$  astfel încât sistemul asociat  $(E, \mathcal{I})$  nu este un matroid. Specificați ce condiție din definiția unui matroid nu este îndeplinită.
- e. **Matricea de incidentă** pentru un graf orientat  $G = (V, E)$  este o matrice  $M$  de dimensiuni  $|V| \times |E|$  astfel încât  $M_{ve} = -1$  dacă muchia  $e$  pleacă din vârful  $v$ ,  $M_{ve} = 1$  dacă muchia  $e$  intră în vârful  $v$  și  $M_{ve} = 0$  altfel. Argumentați că dacă o mulțime de muchii ale lui  $G$  este liniar independentă atunci mulțimea corespunzătoare de muchii nu conține cicluri orientate.

- f.** În exercițiul 17.4-2 se afirmă că mulțimea mulțimilor liniar independente ale coloanelor oricărei matrice  $M$  formează un matroid. Explicați pe larg de ce rezultatele punctelor d) și e) nu sunt în contradicție. De ce nu poate exista o corespondență perfectă între o mulțime de muchii ca fiind aciclică și mulțimea coloanelor corespunzătoare ale matricei de incidentă ca fiind liniar independentă.

### 17-3 Planificarea variațiilor

Să considerăm următorul algoritm pentru rezolvarea problemei din secțiunea 17.5 a planificării activităților într-o unitate de timp cu termene de finalizare și penalizări. Fie  $n$  intervale de timp, inițial vide, unde un interval de timp  $i$  este perioada de timp măsurată în unități ce se termină la momentul  $i$ . Considerăm activitățile în ordinea monoton descrescătoare a penalizărilor. Dacă la considerarea activității  $j$  există un interval de timp înainte sau cel târziu la termenul de finalizare  $d_j$  al lui  $j$  care este încă liber, se atribuie activitatea  $j$  celui mai din urmă astfel de interval, ocupându-l totodată. Dacă nu există un astfel de interval, activitatea  $j$  se atribuie celui mai din urmă interval neocupat.

- Argumentați faptul că acest algoritm furnizează întotdeauna răspunsul corect.
- Utilizați mulțimea disjunctă a pădurilor, prezentată în secțiunea 22.3 pentru a implementa eficient algoritmul. Presupuneți că mulțimea activităților de intrare a fost ordonată monoton descrescător după penalizări. Analizați timpul de execuție pentru această implementare.

---

## Note bibliografice

Material bibliografic referitor la metoda greedy și matroizi poate fi găsit în Lawler [132] și Papadimitriou și Steiglitz [154].

Algoritmii de tip greedy au apărut mai întâi în literatura referitoare la optimizarea combinatorială în 1971 într-un articol al lui Edmonds [62], cu toate că teoria matroizilor datează încă din 1935, ea fiind prezentată într-un articol al lui Whitney [200].

Demonstrația corectitudinii algoritmului greedy pentru problema selectării activităților urmează ideea lui Gavril [80]. Problema planificării activităților este studiată în Lawler [132], Horowitz și Sahni [105] și Brassard și Bratley [33].

Codificarea Huffman a fost inventată în 1952 [107]; lucrările lui Lelever și Hirschberg [136] despre tehnici de compactare a datelor sunt cunoscute din 1987.

O extensie a teoriei matroizilor la teoria greedoizilor a fost introdusă de Korte și Lovász [127, 128, 129, 130]; ea generalizează teoria prezentată în acest capitol.

---

## 18 Analiza amortizată

Într-o **analiză amortizată** timpul necesar execuției unei secvențe de operații asupra unei structuri de date este măsurat, în medie, pentru toate operațiile efectuate. Analiza amortizată poate fi folosită pentru a arăta că, determinând media pentru o secvență de operații, costul unei operații este mic, chiar dacă o anumită operație este costisitoare. Analiza amortizată diferă de analiza pentru cazul mediu prin faptul că nu este luată în calcul probabilitatea; o analiză amortizată garantează *performanța medie a fiecărui operație pentru cazul cel mai defavorabil*.

Primele trei secțiuni din acest capitol prezintă cele mai uzuale trei tehnici folosite în analiza amortizată. Secțiunea 18.1 începe cu metoda de agregare în care se determină o margine superioară  $T(n)$  a costului total al unei secvențe de  $n$  operații. Costul amortizat pe operație va fi deci  $T(n)/n$ .

În secțiunea 18.2 se prezintă metoda de cotare, în care se determină costul amortizat al fiecărei operații. Dacă există mai multe tipuri de operații, fiecare astfel de tip poate avea un cost de amortizare distinct. Metoda de cotare supracotează unele operații la începutul secvenței, memorând supracotarea ca pe un “credit plătit de la început” pentru anumite obiecte din structura de date. Acest credit este folosit ulterior pentru operații care sunt cotate sub costul lor real.

În secțiunea 18.3 se prezintă metoda de potențial, asemănătoare cu metoda de cotare prin faptul că se determină costul amortizat pentru fiecare operație, iar la început operațiile pot fi supracotate pentru a compensa subcotările ulterioare. Metoda de potențial păstrează creditul drept “energie potențială” a structurii de date, în loc să îl asocieze obiectelor individuale din structura de date.

Pentru ilustrarea celor trei metode vor fi prezentate două exemple. Primul se referă la o stivă cu operația suplimentară SCOATERE-MULTIPLĂ-DIN-STIVĂ, care poate extrage mai multe obiecte din stivă. Al doilea este un contor binar care numără începând de la 0 prin intermediul unei operații INCREMENTEAZĂ.

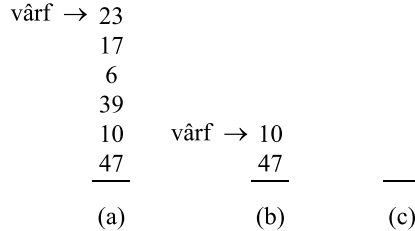
Trebuie reținut că, peste tot în acest capitol, cotările asociate în cadrul analizei amortizate sunt făcute doar pentru această analiză. Ele nu vor apărea în programe. Dacă, de exemplu, un credit este asociat obiectului  $x$  în cadrul analizei amortizate, aceasta nu înseamnă că în program va apărea vreodată variabilă  $credit[x]$ .

Aplicarea analizei amortizate pentru o structură de date particulară poate servi la optimizarea proiectării. Astfel, în secțiunea 18.4 vom folosi metoda de potențial pentru analiza tabelelor care își măresc și își micșorează dinamic dimensiunile.

---

### 18.1. Metoda de agregare

În **metoda de agregare** a analizei amortizate, vom arăta că, pentru orice  $n$ , o secvență de  $n$  operații necesită timpul  $T(n)$  în *cazul cel mai defavorabil*. Drept urmare, în cazul cel mai defavorabil, costul mediu pe operație, numit și **cost amortizat**, va fi  $T(n)/n$ . Să remarcăm că acest cost amortizat se aplică fiecărei operații, chiar dacă în secvență apar mai multe tipuri de operații. Celelalte două metode studiate în acest capitol (metoda de cotare și metoda de potențial) pot asocia costuri de amortizare diferite la tipuri de operații diferite.



**Figura 18.1** Modul de acțiune al lui SCOATERE-MULTIPLĂ-DIN-STIVĂ pe o stivă  $S$ , al cărei conținut inițial apare în (a). SCOATERE-MULTIPLĂ-DIN-STIVĂ( $S, 4$ ) extrage 4 obiecte din vârful stivei, al cărei conținut devine cel din (b). Următoarea operație este SCOATERE-MULTIPLĂ-DIN-STIVĂ( $S, 7$ ), care conduce la stiva vidă - vezi (c) - deoarece în stivă rămăseseră mai puțin de 7 obiecte

## Operatori de stivă

Ca prim exemplu pentru metoda de agregare, vom analiza stive pentru care se adaugă o nouă operație. În secțiunea 11.1 au fost introdusi cei doi operatori de stivă fundamentali, fiecare necesitând timpul  $O(1)$ :

PUNE-ÎN-STIVĂ( $S, x$ ) – introduce în stiva  $S$  obiectul  $x$ ;

SCOATE-DIN-STIVĂ( $s$ ) – extrage un obiect din vârful stivei  $S$  și îl returnează ca rezultat.

Cum fiecare dintre acești operatori necesită un timp  $O(1)$ , costul fiecărui va fi considerat egal cu 1. De aceea, costul total al unei secvențe de  $n$  operații PUNE-ÎN-STIVĂ și SCOATE-DIN-STIVĂ este  $n$ , iar timpul real pentru execuția a  $n$  operatori este  $\Theta(n)$ .

Lucrurile devin mai interesante dacă adăugăm operatorul SCOATERE-MULTIPLĂ-DIN-STIVĂ( $S, k$ ) care extrage  $k$  obiecte din vârful stivei  $S$ ; dacă stiva are mai puțin de  $k$  obiecte, este extras întreg conținutul stivei. În următorul algoritm scris în pseudocod, operatorul STIVĂ-VIDĂ returnează ADEVĂRAT dacă stiva este vidă, respectiv FALS în caz contrar.

SCOATERE-MULTIPLĂ-DIN-STIVĂ( $S, k$ )

- 1: **cât timp** nu STIVĂ-VIDĂ( $S$ ) și  $k \neq 0$  **execută**
- 2:    SCOATE-DIN-STIVĂ( $S$ )
- 3:     $k \leftarrow k - 1$

În figura 18.1 este prezentat un exemplu de SCOATERE-MULTIPLĂ-DIN-STIVĂ.

Care este timpul de execuție pentru operatorul SCOATERE-MULTIPLĂ-DIN-STIVĂ( $S, k$ ) pentru o stivă cu  $s$  obiecte? Timpul real de execuție este liniar în numărul de operații SCOATE-DIN-STIVĂ efectiv executate, deci este suficient să analizăm operatorul SCOATERE-MULTIPLĂ-DIN-STIVĂ în funcție de costul abstract 1 asociat fiecărui dintre operatorii PUNE-ÎN-STIVĂ și SCOATE-DIN-STIVĂ. Numărul de iterații din ciclul **pentru** este numărul minim  $\min(s, k)$  al obiectelor extrase din stivă. La fiecare iterație, în linia 2 are loc un apel SCOATE-DIN-STIVĂ. Ca urmare, costul total pentru SCOATERE-MULTIPLĂ-DIN-STIVĂ este  $\min(s, k)$ , iar timpul de execuție real este o funcție liniară în acest cost.

Să analizăm acum o secvență de  $n$  operații PUNE-ÎN-STIVĂ, SCOATE-DIN-STIVĂ și SCOATERE-MULTIPLĂ-DIN-STIVĂ pentru o stivă inițială vidă. În cazul cel mai defavorabil, costul unui operator SCOATERE-MULTIPLĂ-DIN-STIVĂ din secvență este  $O(n)$  deoarece mărimea stivei este cel mult  $n$ . De aceea, în cazul cel mai defavorabil, timpul este  $O(n)$  și, drept urmare,

costul unei secvențe de  $n$  operatori este  $O(n^2)$ , deoarece pot exista un număr de  $O(n)$  operatori SCOATERE-MULTIPLĂ-DIN-STIVĂ, fiecare având costul  $O(n)$ . Deși această analiză este corectă, rezultatul  $O(n^2)$  obținut, considerând costul în cazul cel mai defavorabil pentru fiecare operator în parte, poate fi îmbunătățit.

Prin utilizarea metodei de agregare a analizei amortizate, putem obține o margine superioară mai bună prin considerarea întregii secvențe de  $n$  operatori. Într-adevăr, deși o operație SCOATERE-MULTIPLĂ-DIN-STIVĂ poate fi costisitoare, orice secvență de  $n$  operații PUNE-ÎN-STIVĂ, SCOATE-DIN-STIVĂ și SCOATERE-MULTIPLĂ-DIN-STIVĂ plecând de la stiva vidă poate avea cel mult costul  $O(n)$ . De ce? Fiecare obiect poate fi extras cel mult o dată după introducerea sa. De aceea, numărul de apeluri SCOATE-DIN-STIVĂ, pentru stivă nevidă, inclusiv apelurile cuprinse în SCOATERE-MULTIPLĂ-DIN-STIVĂ, este cel mult egal cu numărul de operații PUNE-ÎN-STIVĂ, care este cel mult  $n$ . Pentru orice  $n$ , orice secvență de  $n$  operatori PUNE-ÎN-STIVĂ, SCOATE-DIN-STIVĂ și SCOATERE-MULTIPLĂ-DIN-STIVĂ va avea costul total  $O(n)$ . Costul amortizat al unui operator va fi media corespunzătoare:  $O(n)/n = O(1)$ .

Precizăm din nou că, deși timpul de execuție și costul mediu al unui operator de stivă este  $O(1)$ , nu s-a folosit un raționament probabilist. Am determinat o margine  $O(n)$  pentru *cazul cel mai defavorabil* pentru o secvență de  $n$  operatori. Împărțind acest cost total la  $n$ , am obținut costul mediu pe operator, adică tocmai costul amortizat.

## Un contor binar pentru incrementare

Pentru încă o exemplificare a metodei de agregare, vom considera un contor binar pe  $k$  biți care își incrementează valoarea, plecând de la 0. Vom folosi un tablou de biți  $A[0..k - 1]$  pentru acest contor;  $\text{lungime}[A] = k$ . Un număr binar  $x$  memorat în contor are cifra cea mai nesemnificativă memorată în  $A[0]$ , și cea mai semnificativă memorată în  $A[k - 1]$ , astfel încât  $x = \sum_{i=0}^{k-1} A[i] \cdot 2^i$ . Inițial  $x = 0$ , deci  $A[i] = 0$  pentru orice  $i = 0, 1, \dots, k - 1$ . Pentru a mări cu o unitate (modulo  $2^k$ ) valoarea contorului, folosim următoarea procedură:

**INCREMENTEAZĂ**( $A$ )

- 1:  $i \leftarrow 0$
- 2: **cât timp**  $i < \text{lungime}[A]$  și  $A[i] = 1$  **execută**
- 3:    $A[i] \leftarrow 0$
- 4:    $i \leftarrow i + 1$
- 5: **dacă**  $i < \text{lungime}[A]$  **atunci**
- 6:    $A[i] \leftarrow 1$

Acest algoritm este, în esență, cel implementat în hardware de un contor ripple-carry (vezi secțiunea 29.2.1). Figura 18.2 arată cum un contor binar este incrementat de 16 ori, plecând de la valoarea inițială 0 și terminând cu valoarea 16. La începutul fiecărei iterării a ciclului **cât timp**, în liniile 2–4 dorim să adunăm 1 pe poziția  $i$ . Dacă  $A[i] = 1$ , atunci, prin adunarea lui 1, bitul de pe poziția  $i$  devine 0 și se obține cifra de transport 1, care va fi adunată pe poziția  $i + 1$  la următoarea iterare a ciclului. În caz contrar, ciclul se termină; dacă  $i < k$ , știm că  $A[i] = 0$ , astfel încât adăugarea lui 1 pe poziția  $i$ , comutând 0 în 1, se realizează pe linia 6. Costul fiecărei operații INCREMENTEAZĂ este liniar în numărul de biți a căror valoare a fost comutată.

Asemănător exemplului cu stivă, o analiză brută produce o margine care este corectă, dar nu suficient de bună. O singură execuție a lui INCREMENTEAZĂ are, în cazul cel mai defavorabil,

Valoarea contorului	$A[7]$	$A[6]$	$A[5]$	$A[4]$	$A[3]$	$A[2]$	$A[1]$	$A[0]$	Costul total
0	0	0	0	0	0	0	0	0	0
1	0	0	0	0	0	0	0	1	1
2	0	0	0	0	0	0	1	0	3
3	0	0	0	0	0	0	1	1	4
4	0	0	0	0	0	1	0	0	7
5	0	0	0	0	0	1	0	1	8
6	0	0	0	0	0	1	1	0	10
7	0	0	0	0	0	1	1	1	11
8	0	0	0	0	1	0	0	0	15
9	0	0	0	0	1	0	0	1	16
10	0	0	0	0	1	0	1	0	18
11	0	0	0	0	1	0	1	1	19
12	0	0	0	0	1	1	0	0	22
13	0	0	0	0	1	1	0	1	23
14	0	0	0	0	1	1	1	0	25
15	0	0	0	0	0	1	1	1	26
16	0	0	0	1	0	0	0	0	31

**Figura 18.2** Configurația unui contor binar pe 8 biți a cărui valoare crește de la 0 la 16 ca urmare a 16 operații INCREMENTEAZĂ. Biții evidențiați sunt cei care sunt afectați la obținerea următoarei valori a contorului. Costul măsurat în numărul de biți care își schimbă valoarea, este scris în dreapta. Este de remarcat că valoarea costului total nu depășește de două ori numărul total de operații INCREMENTEAZĂ.

timpul  $\Theta(k)$ , corespunzător situației în care toate componentele lui  $A$  sunt egale cu 1. Ca urmare, o secvență de  $n$  operații INCREMENTEAZĂ, plecând de la valoarea inițială 0 a contorului, necesită în cazul cel mai defavorabil timpul  $O(nk)$ .

Putem îmbunătăți analiza și obține costul  $O(n)$  în cazul cel mai defavorabil pentru o secvență de  $n$  operații INCREMENTEAZĂ, observând că nu toți biții comută (își schimbă valoarea din 0 în 1 sau invers) la fiecare apel al procedurii INCREMENTEAZĂ. Așa cum se arată în figura 18.2,  $A[0]$  comută la fiecare apel al procedurii INCREMENTEAZĂ. Bitul  $A[1]$  comută la fiecare două incrementări: o secvență de  $n$  operații INCREMENTEAZĂ, pentru un contor inițial egal cu zero, face ca  $A[1]$  să comute de  $\lfloor n/2 \rfloor$  ori. Similar, bitul  $A[2]$  comută la fiecare patru INCREMENTEAZĂri, deci de  $\lfloor n/4 \rfloor$  ori. Mai general, pentru  $i = 0, 1, \dots, \lfloor \lg n \rfloor$ , bitul  $A[i]$  comută de  $\lfloor n/2^i \rfloor$  ori într-o secvență de  $n$  operatori INCREMENTEAZĂ pentru un contor binar cu valoarea inițială 0. Pentru  $i > \lfloor \lg n \rfloor$ , bitul  $A[i]$  nu comută niciodată. Numărul de comutări pentru secvență este, ca urmare:

$$\sum_{i=0}^{\lfloor \lg n \rfloor} \left\lfloor \frac{n}{2^i} \right\rfloor < n \cdot \sum_{i=0}^{\infty} \frac{1}{2^i} = 2n,$$

conform ecuației (3.4). Rezultă că, pentru o secvență de  $n$  operatori INCREMENTEAZĂ pentru un contor binar cu valoarea inițială zero, timpul, în cazul cel mai defavorabil, este  $O(n)$  și, prin urmare, costul amortizat al fiecărei operații este  $O(n)/n = O(1)$ .

## Exerciții

**18.1-1** Dacă am include un operator INSERARE-MULTIPLĂ-ÎN-STIVĂ printre operatorii de stivă, s-ar păstra marginea  $O(1)$  pentru costul amortizat al operațiilor pe stivă?

**18.1-2** Arătați că, dacă s-ar include un operator DECREMENT în exemplul cu contorul binar pe  $k$  biți,  $n$  operații ar putea necesita timpul  $\Theta(nk)$ .

**18.1-3** Considerăm o secvență de  $n$  operații ce se execută pe o structură de date. Presupunem că operația  $i$  are costul  $i$  dacă  $i$  este o putere a lui 2, respectiv, are costul egal cu 1 în caz contrar. Aplicați o metodă de agregare pentru a determina costul de amortizare pe operație.

## 18.2. Metoda de cotare

În **metoda de cotare** a analizei amortizate, atribuim operațiilor diferite, cotări diferite, unele unele operații fiind supracotate sau subcotate față de costul real. Valoarea cu care cotăm o operație se numește **costul amortizat**. Când costul amortizat al unei operații depășește costul real, diferența este atribuită la anumite obiecte din structura de date drept **credit**. Acest credit poate fi folosit mai târziu pentru a ajuta să plătim pentru operațiile al căror cost amortizat este mai mic decât costul lor real. Astfel, putem considera costul amortizat al unei operații ca fiind format din costul real și creditul, care este fie depozitat, fie folosit. Aici apare deosebirea față de metoda de agregare, în care toate operațiile au același cost amortizat.

Costurile amortizate ale operațiilor trebuie alese cu grijă. Dacă dorim ca analiza cu costuri amortizate să evidențieze că, în cel mai defavorabil caz, costul mediu pe operație este mic, costul amortizat total al unei secvențe de operații trebuie să fie o margine superioară pentru costul real total al secvenței. Mai mult, la fel ca în metoda de agregare, această relație trebuie să aibă loc pentru toate secvențele de instrucțiuni. În acest mod, creditul total asociat structurii de date trebuie să fie, în permanentă, nenegativ, deoarece reprezintă cantitatea cu care costurile amortizate totale depășesc costurile reale totale. Dacă s-ar admite valori negative pentru creditul total (ca rezultat al subcotării initiale a operațiilor, în speranța de a returna acest aconto mai târziu), atunci costurile amortizate totale suportate la acel moment ar fi sub costurile totale reale suportate; pentru secvența de operații până la acel moment, costul total amortizat nu va constitui o margine superioară pentru costul real total. De aceea, trebuie să avem grijă ca în structura de date creditul să nu devină negativ.

## Operații de stivă

Pentru a ilustra metoda de cotare a analizei amortizate, să ne întoarcem la exemplul referitor la stive. Reamintim costurile reale ale operațiilor:

PUNE-ÎN-STIVĂ	1,
SCOATE-DIN-STIVĂ	1,
SCOATERE-MULTIPLĂ-DIN-STIVĂ	$\min(k, s)$ ,

unde  $k$  este argumentul furnizat la apelarea subprogramului **SCOATERE-MULTIPLĂ-DIN-STIVĂ**, iar  $s$  este mărimea stivei la apelare. Vom ataşa următoarele costuri amortizate:

PUNE-ÎN-STIVĂ	2,
SCOATE-DIN-STIVĂ	0,
SCOATERE-MULTIPLĂ-DIN-STIVĂ	0.

Să remarcăm că **SCOATERE-MULTIPLĂ-DIN-STIVĂ** are drept cost amortizat o constantă (0), în timp ce costul real este variabil. Aici toate cele trei costuri amortizate sunt de ordinul  $O(1)$ , deși, în general, costurile amortizate ale operațiilor considerate pot să difere asimptotic.

Vom arăta în continuare că vom putea “plăti” pentru orice secvență de operații de stivă prin cotarea costurilor amortizate. Presupunem că vom folosi o hârtie de 1\$ pentru fiecare unitate de cost. Pornim cu stiva vidă. Să ne reamintim de analogia din secțiunea 11.1 între structura de date stivă și un vraf de farfurii. Când adăugăm o farfurie în stivă, plătim 1\$ pentru costul real al adăugării în stivă și rămânem cu un credit de 1\$ (din cei 2\$ cotați) pe care îl punem pe farfurie. La orice moment de timp, pe fiecare farfurie din stivă apare creditul de 1\$.

Dolarul depus pe farfurie este o plată anticipată pentru costul extragerii ei din stivă. La execuția unei operații **SCOATE-DIN-STIVĂ**, cotăm operația cu 0 și plătim costul ei real folosind creditul depus pe stivă. Pentru a extrage o farfurie, luăm dolarul de pe acea farfurie și îl folosim pentru a plăti costul real al operației. Astfel, cotând un pic mai mult operația **PUNE-ÎN-STIVĂ**, nu trebuie să cotăm cu ceva operația **SCOATE-DIN-STIVĂ**.

Mai mult, nu trebuie să mai cotăm cu ceva operațiile **SCOATERE-MULTIPLĂ-DIN-STIVĂ**. Pentru a extrage prima farfurie, luăm dolarul aflat pe ea și îl folosim pentru a plăti costul real al operației **SCOATE-DIN-STIVĂ**. Pentru a extrage a doua farfurie, avem din nou la dispoziție un credit de 1\$ pe farfurie pentru a plăti operația **SCOATE-DIN-STIVĂ** și aşa mai departe. În acest mod am cotat (platit) suficient înainte de a executa operații **SCOATERE-MULTIPLĂ-DIN-STIVĂ**. Cu alte cuvinte, cum fiecare farfurie din stivă are pe ea un credit de 1\$ și cum stiva conține un număr nenegativ de farfurii, ne-am asigurat că valoarea creditului este întotdeauna nenegativă. Astfel, pentru *orice* secvență de  $n$  operații **PUNE-ÎN-STIVĂ**, **SCOATE-DIN-STIVĂ** și **SCOATERE-MULTIPLĂ-DIN-STIVĂ**, costul total amortizat este o margine superioară a costului real total. Cum costul amortizat total este  $O(n)$ , costul real total are același ordin de mărime.

### Incrementarea unui contor binar

Ca o a doua ilustrare a metodei de cotare, vom analiza acțiunea operației **INCREMENTEAZĂ** asupra unui contor binar inițializat cu zero. Așa cum s-a arătat mai sus, timpul de execuție al acestei operații este proporțional cu numărul de biți ce comută; acest număr va fi folosit drept cost pentru acest exemplu. Vom folosi, din nou, o hârtie de 1\$ pentru a reprezenta fiecare unitate de cost (comutarea unui bit în cazul nostru).

Pentru analiza amortizată vom cota cu 2\$, drept cost amortizat, setarea unui bit pe 1. La setarea unui bit, vom folosi 1\$ (din cei 2\$) pentru a plăti setarea efectivă a bitului și vom plasa celălalt dolar pe bit, drept credit. În fiecare moment, fiecărui 1 din contorul binar i s-a asociat un credit de 1\$, astfel încât nu trebuie plătit nimic pentru resetarea bitului pe 0: plătim resetarea cu dolarul aflat pe bit.

Putem determina acum costul amortizat al subprogramului **INCREMENTEAZĂ**. Costul resetării bitilor în cadrul ciclului **cât timp** este plătit cu dolarii aflați pe biții care sunt resetați. Cel mult un bit este setat, pe linia 6 a procedurii **INCREMENTEAZĂ**, și, prin urmare, costul amortizat al

unei operații INCREMENTEAZĂ este de cel mult 2 dolari. Deoarece numărul de 1 din contor nu este niciodată negativ, suma de credit este întotdeauna nenegativă. Rezultă, că pentru  $n$  operații INCREMENTEAZĂ, costul amortizat total este  $O(n)$ , care mărginește costul real total.

### Exerciții

**18.2-1** Se efectuează  $n$  operații asupra unei stive a cărei mărime este întotdeauna cel mult egală cu  $k$ . După fiecare  $k$  operații, se copiază întreaga stivă în scopul salvării ei. Arătați că, pentru  $n$  operații de stivă, inclusiv salvarea ei, costul este  $O(n)$  dacă stabilim în mod judicios costuri amortizate pentru diferitele operații de stivă.

**18.2-2** Reluați exercițiul 18.1-3 folosind metoda de cotare.

**18.2-3** Să presupunem că dorim nu doar să incrementăm contorul, dar să îl și resetăm la zero (adică să inițializăm toți biții cu 0). Arătați cum poate fi implementat un contor sub forma unui vector de biți, astfel încât orice secvență de  $n$  operații INCREMENTEAZĂ și RESET să necesite timpul  $O(n)$ , presupunând că inițial contorul este zero. (*Indica ie:* Folosiți un pointer la cifra cea mai semnificativă egală cu 1.)

## 18.3. Metoda de potențial

În loc de a considera efortul plătit la început, sub forma unui credit repartizat anumitor obiecte din structura de date, **metoda de potențial** a analizei amortizate tratează acest efort ca “energie potențială” sau, pe scurt, “potențial”. Aceasta va fi folosit pentru a plăti următoarele operații. Potențialul este asociat structurii de date considerată ca un tot, în loc să fie repartizat anumitor obiecte din structura de date.

Descriem, în continuare, cum lucrează metoda de potențial. Plecăm de la o structură de date inițială  $D_0$  asupra căreia se execută  $n$  operații. Pentru fiecare  $i = 1, 2, \dots, n$ , fie  $c_i$  costul real al operației  $i$  și fie  $D_i$  structura de date obținută din  $D_{i-1}$  după aplicarea operației  $i$ . O **funcție de potențial**  $\Phi$  atașeză fiecărei structuri de date  $D_i$  numărul real  $\Phi(D_i)$ , care este **potențialul** asociat structurii de date  $D_i$ . **Costul amortizat**  $\hat{c}_i$  al operației  $i$  pentru funcția de potențial  $\Phi$  este definit prin

$$\hat{c}_i = c_i + \Phi(D_i) - \Phi(D_{i-1}). \quad (18.1)$$

Prin urmare, costul amortizat al fiecărei operații este costul real plus creșterea de potențial datorată operației. Conform ecuației (18.1), costul amortizat total al celor  $n$  operații este:

$$\sum_{i=1}^n \hat{c}_i = \sum_{i=1}^n (c_i + \Phi(D_i) - \Phi(D_{i-1})) = \sum_{i=1}^n c_i + \Phi(D_n) - \Phi(D_0). \quad (18.2)$$

A doua relație rezultă din ecuația (3.7), deoarece  $\Phi(D_i)$  telescopează.

Dacă putem defini o funcție de potențial  $\Phi$ , astfel încât  $\Phi(D_n) \geq \Phi(D_0)$ , atunci costul amortizat total  $\sum_{i=1}^n \hat{c}_i$  este o margine superioară pentru costul real total. În practică, nu știm întotdeauna câte operații vor fi efectuate. De aceea, dacă cerem ca  $\Phi(D_i) \geq \Phi(D_0)$  pentru orice  $i$ , atunci garantăm, ca în metoda de cotare, că plătim în avans. De multe ori, este convenabil să

definim  $\Phi(D_0)$  ca fiind 0 și să arătăm că  $\Phi(D_i) \geq 0$  pentru toți  $i$ . (Vezi exercițiul 18.3-1 pentru a deindeună un mod simplu de tratare a cazurilor în care  $\Phi(D_0) \neq 0$ ).

Intuitiv, dacă diferența de potențial  $\Phi(D_i) - \Phi(D_{i-1})$  a operației  $i$  este pozitivă, atunci costul amortizat  $\hat{c}_i$  reprezintă o supracotare a operației  $i$ , iar potențialul structurii de date crește. Dacă diferența de potențial este negativă, atunci costul amortizat reprezintă o subcotare a operației  $i$ , iar costul real al operației este plătit prin descreșterea potențialului.

Costurile amortizate definite de ecuațiile (18.1) și (18.2) depind de alegerea funcției de potențial  $\Phi$ . Funcții de potențial diferite pot conduce la costuri amortizate diferite, care rămân însă margini superioare ale costurilor reale. De multe ori are loc o “negociere” la alegerea funcției de potențial: cea mai bună funcție de potențial depinde de limitele de timp dorite.

## Operații de stivă

Pentru ilustrarea metodei de potențial, ne întoarcem din nou la exemplul cu operatorii de stivă PUNE-ÎN-STIVĂ, SCOATE-DIN-STIVĂ și SCOATERE-MULTIPLĂ-DIN-STIVĂ. Definim funcția de potențial  $\Phi$  pe stivă ca fiind numărul de obiecte din stivă. Pentru stiva vidă, de la care se pleacă, avem  $\Phi(D_0) = 0$ . Deoarece numărul de elemente din stivă nu este niciodată negativ, stiva  $D_i$  la care se ajunge după operația  $i$  are un potențial nenegativ și, ca urmare,

$$\Phi(D_i) \geq 0 = \Phi(D_0).$$

Rezultă că pentru  $n$  operații costul amortizat total în raport cu  $\Phi$  reprezintă o margine superioară a costului real.

Calculăm, în continuare, costurile amortizate ale diferitelor operații de stivă. Dacă operația  $i$  este efectuată pe o stivă conținând  $s$  obiecte și are tipul PUNE-ÎN-STIVĂ, atunci diferența de potențial este

$$\Phi(D_i) - \Phi(D_{i-1}) = (s + 1) - s = 1.$$

Conform ecuației (18.1), costul amortizat al operației PUNE-ÎN-STIVĂ este

$$\hat{c}_i = c_i + \Phi(D_i) - \Phi(D_{i-1}) = 1 + 1 = 2.$$

Să presupunem acum că operația  $i$  efectuată pe stivă este SCOATERE-MULTIPLĂ-DIN-STIVĂ( $S, k$ ) și că un număr de  $k' = \min(k, s)$  obiecte sunt extrase din stivă. Costul real al operației este  $k'$ , iar diferența de potențial este

$$\Phi(D_i) - \Phi(D_{i-1}) = -k'.$$

Deci costul amortizat al operației SCOATERE-MULTIPLĂ-DIN-STIVĂ este

$$\hat{c}_i = c_i + \Phi(D_i) - \Phi(D_{i-1}) = k' - k' = 0.$$

În mod analog, obținem un cost amortizat egal cu 0 pentru o operație SCOATE-DIN-STIVĂ.

Costurile amortizate ale fiecărei dintre cele trei operații este  $O(1)$  și, deci, costul amortizat total al unei secvențe de  $n$  operații este  $O(n)$ . Deoarece stim că  $\Phi(D_i) \geq \Phi(D_0)$ , costul amortizat total a  $n$  operații constituie o margine superioară pentru costul real total. Costul celor  $n$  operații, în cazul cel mai defavorabil, este egal cu  $O(n)$ .

## Incrementarea contorului binar

Pentru a prezenta încă un exemplu de aplicare a metodei de potențial, vom considera din nou problema incrementării unui contor binar. De această dată vom defini potențialul contorului după  $i$  operații INCREMENTEAZĂ ca fiind  $b_i$  = numărul de cifre 1 din contor după operația  $i$ .

Să calculăm acum costul amortizat al operației INCREMENTEAZĂ. Să presupunem că cea de a  $i$ -a operație INCREMENTEAZĂ resetează  $t_i$  biți. Costul real al operației este cel mult  $t_i + 1$  deoarece, pe lângă resetarea a  $t_i$  biți, este setat la 1 cel mult un bit. Numărul de cifre 1 din contor, după a  $i$ -a operație INCREMENTEAZĂ, este egal cu  $b_i \leq b_{i-1} - t_i + 1$ , iar diferența de potențial este

$$\Phi(D_i) - \Phi(D_{i-1}) \leq (b_{i-1} - t_i + 1) - b_{i-1} = 1 - t_i.$$

Drept urmare, costul amortizat este

$$\widehat{c}_i = c_i + \Phi(D_i) - \Phi(D_{i-1}) \leq (t_i + 1) + (1 - t_i) = 2.$$

Contorul pornește de la zero, deci  $\Phi(D_0) = 0$ . Cum  $\Phi(D_i) \geq 0$  pentru orice  $i$ , costul amortizat total al unei secvențe de  $n$  operații INCREMENTEAZĂ este o margine superioară pentru costul real total; rezultă că, în cazul cel mai defavorabil, costul a  $n$  operații INCREMENTEAZĂ este  $O(n)$ .

Metoda de potențial ne furnizează o modalitate simplă de analiză a contorului chiar și în cazul în care acesta nu pornește de la zero. Inițial, există  $b_0$  de 1, iar după  $n$  operații INCREMENTEAZĂ sunt  $b_n$  de 1, unde  $0 \leq b_0, b_n \leq k$ . Putem scrie ecuația (18.2) astfel

$$\sum_{i=1}^n c_i = \sum_{i=1}^n \widehat{c}_i - \Phi(D_n) + \Phi(D_0). \quad (18.3)$$

Avem  $\widehat{c}_i \leq 2$  pentru orice  $1 \leq i \leq n$ . Cum  $\Phi(D_0) = b_0$  și  $\Phi(D_n) = b_n$ , costul real total a  $n$  operații INCREMENTEAZĂ este

$$\sum_{i=1}^n c_i \leq \sum_{i=1}^n 2 - b_n + b_0 = 2n - b_n + b_0.$$

În particular, ținând cont de faptul că  $b_0 \leq k$ , dacă executăm cel puțin  $n = \Omega(k)$  operații INCREMENTEAZĂ, costul real total va fi  $O(n)$ , indiferent de valoarea inițială a contorului.

## Exerciții

**18.3-1** Fie  $\Phi$  o funcție de potențial cu  $\Phi(D_i) \geq \Phi(D_0)$  pentru orice  $i$ , dar  $\Phi(D_0) \neq 0$ . Arătați că există o funcție de potențial  $\Phi'$  astfel încât  $\Phi'(D_0) = 0$ ,  $\Phi'(D_i) \geq 0$  pentru orice  $i \geq 1$ , iar costurile amortizate corespunzătoare lui  $\Phi'$  sunt aceleași ca și costurile amortizate corespunzătoare lui  $\Phi$ .

**18.3-2** Reluați exercițiul 18.1-3 folosind pentru analiză o metodă de potențial.

**18.3-3** Să considerăm o structură de date de tip ansamblu binar cu  $n$  elemente, pentru care instrucțiunile INSEREAZĂ și EXTRAGE-MINIM cer timpul  $O(\lg n)$  în cazul cel mai defavorabil. Determinați o funcție de potențial  $\Phi$  astfel încât costul amortizat al procedurii INSEREAZĂ este  $O(\lg n)$ , costul amortizat al procedurii EXTRAGE-MINIM este  $O(1)$  și demonstrați acest lucru.

**18.3-4** Care este costul total al execuției a  $n$  operații PUNE-ÎN-STIVĂ, SCOATE-DIN-STIVĂ și SCOATERE-MULTIPLĂ-DIN-STIVĂ pentru o stivă care conține inițial  $s_0$  obiecte, iar în final  $s_n$  obiecte?

**18.3-5** Să considerăm un contor care nu pornește de la 0, ci pleacă de la un număr a cărui reprezentare în baza 2 conține  $b$  de 1. Arătați că, pentru execuția a  $n$  operații INCREMENTEAZĂ costul este  $O(n)$  dacă  $n = \Omega(b)$ . (Valoarea  $b$  nu trebuie considerată ca fiind o constantă.)

**18.3-6** Arătați cum poate fi implementată o coadă folosind două stive (exercițiul 11.1-6), astfel încât costul amortizat al fiecărei operații PUNE-ÎN-COADĂ și a fiecărei operații SCOATE-DIN-COADĂ să fie  $O(1)$ .

## 18.4. Tabele dinamice

În unele aplicații, nu știm de la început câte obiecte vor fi memorate într-un tablou. Alocând un anumit spațiu pentru tablou, riscăm să descooperim mai târziu că acest spațiu este insuficient. Trebuie să facem o reallocare pentru un nou tablou de dimensiuni mai mari și să copiem toate elementele din tabloul inițial în tabloul nou creat. În mod similar, dacă mai multe obiecte au fost șterse dintr-un tablou, poate fi convenabil să creăm un nou tablou, de dimensiuni mai mici, și să copiem tabloul curent în cel nou creat. În această secțiune vom studia problema măririi (expandării) și micșorării (comprimării) dinamice a unui tablou. Folosind analiza amortizată vom arăta că, pentru inserare și ștergere, costul este  $O(1)$ , chiar și atunci când costul real al unei operații este mai mare, atunci când are loc o mărire sau o micșorare a dimensiunilor. De asemenea vom arăta cum se poate garanta că spațiul nefolosit dintr-un tablou dinamic nu va depăși o subdiviziune constantă a spațiului total.

Vom presupune că tabloul dinamic permite operațiile INSEREZĂ-TABLOU și ȘTERGE-TABLOU. Operația INSEREZĂ-TABLOU inserează în tablou un articol care ocupă o singură locație, adică spațiul necesar memorării unui articol. În mod analog, operația ȘTERGE-TABLOU poate fi gândită ca fiind îndepărarea unui articol din tablou, eliberând astfel o locație. Detaliile referitoare la structura de date folosită pentru organizarea tabloului nu au aici importanță: putem folosi o stivă (secțiunea 11.1), un ansamblu (secțiunea 7.1) sau un tabel de dispersie (capitolul 12). Putem, de asemenea, să folosim un vector sau o colecție de vectori pentru a implementa memorarea obiectelor, aşa cum s-a procedat în secțiunea 11.

Este convenabil să folosim un concept introdus în analiza dispersiei (capitolul 12). Definim **factorul de încărcare**  $\alpha(T)$  al unui tablou  $T$  nevid ca fiind numărul de articole memorate în tablou, împărțit la dimensiunea (numărul de locații ale) tabloului. Tabloul vid (cu nici un articol) are dimensiunea 0 și definim factorul său de încărcare ca fiind 1. Dacă factorul de încărcare al unui tablou dinamic este mărginit inferior de o constantă, spațiul nefolosit din tablou nu depășește niciodată o subdiviziune constantă a dimensiunii spațiului total.

Începem prin a analiza un tablou dinamic asupra căruia se execută numai operații de inserare. Vom trece apoi la cazul general în care sunt permise atât inserări, cât și ștergeri.

### 18.4.1. Expandarea tabloului

Presupunem că pentru alocarea memoriei pentru un tablou se folosește un vector de locații. Un tablou este considerat plin dacă toate locațiile sale au fost folosite, adică atunci când factorul

său de încărcare este 1.<sup>1</sup> În unele medii software, dacă se face o încercare de a introduce un articol într-un tablou plin, singura alternativă posibilă este de a termina programul, împreună cu afișarea unui mesaj de eroare. Vom presupune aici că lucrăm într-un mediu modern care dispune de un sistem de gestiune a memoriei, care poate aloca și elibera, la cerere, blocuri de memorie. Astfel, atunci când se încearcă inserarea unui articol într-un tablou plin, putem **expanda** (mări) tabloul prin alocarea unui nou tablou cu mai multe locații decât cel curent și prin copierea elementelor din tabloul curent în cel nou.

O metodă euristică uzuală este de a aloca un nou tablou, care să aibă de două ori mai multe locații decât precedentul. Dacă se efectuează doar inserări, factorul de încărcare este, întotdeauna, cel puțin egal cu  $1/2$  și, astfel, spațiul disponibil nu depășește niciodată jumătate din spațiul total alocat tabloului.

În pseudocodul care urmează, vom presupune că  $T$  este un obiect ce reprezintă tabloul. Câmpul  $ref[T]$  conține un pointer la blocul de memorie reprezentând tabloul. Câmpul  $num[T]$  conține numărul de articole din tablou, iar câmpul  $dim[T]$  conține numărul total de articole ce pot fi memorate în tablou. Inițial, tabloul este vid:  $num[T] = dim[T] = 0$ .

#### INSEREAZĂ-TABLOU( $T, x$ )

- 1: **dacă**  $dim[T] = 0$  **atunci**
- 2:   alocă pentru  $ref[T]$  o locație de memorie
- 3:    $dim[T] \leftarrow 1$
- 4: **dacă**  $num[T] = dim[T]$  **atunci**
- 5:   alocă pentru  $tablou-nou$  un număr de  $2 \cdot dim[T]$  locații
- 6:   inserează toate articolele din  $ref[T]$  în  $tablou - nou$
- 7:   eliberează  $ref[T]$
- 8:    $ref[T] \leftarrow tablou_nou$
- 9:    $dim[T] \leftarrow 2 \cdot dim[T]$
- 10: inserează  $x$  în  $ref[T]$
- 11:  $num[T] \leftarrow num[T] + 1$

Să observăm că avem, de fapt, două proceduri de “inserare”: procedura INSEREAZĂ-TABLOU și **inserarea elementară** în tablou, realizată în liniile 6 și 10. Putem analiza timpul de execuție al algoritmului INSEREAZĂ-TABLOU în funcție de numărul de inserări elementare, atribuind costul 1 fiecărei inserări elementare. Vom presupune că timpul de execuție real al lui INSEREAZĂ-TABLOU este liniar în funcție de timpul cerut pentru inserarea unui singur articol, astfel încât efortul suplimentar pentru alocarea unui tablou inițial în linia 2, este constant, iar efortul suplimentar pentru alocarea și eliberarea de memorie, în liniile 5 și 7, este mai mic decât costul transferării articolelor, realizat în linia 6. Vom numi **expandare** evenimentul care are loc atunci când este executată clauza **atunci** din liniile 5–9.

Să considerăm acum o secvență de  $n$  operații INSEREAZĂ-TABLOU efectuate asupra unui tablou inițial vid. Care este costul  $c_i$  al operației  $i$ ? Dacă mai există loc în tabloul curent (sau dacă este vorba de prima operație), atunci  $c_i = 1$ , deoarece trebuie efectuată doar inserarea elementară din linia 10. Dacă tabloul curent este plin și deci are loc o expandare, atunci  $c_i = i$ : inserarea elementară din linia 10 are costul 1, iar cele  $i - 1$  mutări din tabloul curent în cel nou

---

<sup>1</sup> În unele situații, ca de exemplu pentru un tabel de dispersie cu adresare liberă, e posibil să dorim să considerăm un tablou ca fiind plin atunci când factorul său de încărcare este o constantă strict mai mică decât 1. (Vezi exercițiul 18.4-2.)

creat, efectuate în linia 6, au fiecare costul 1. Dacă sunt executate  $n$  operații, costul pentru o operație, în cazul cel mai defavorabil, este  $O(n)$ , ceea ce conduce la o margine superioară  $O(n^2)$  pentru timpul de execuție total al celor  $n$  operații.

Această margine nu este cea mai convenabilă, deoarece costul expandării tabloului nu intervine foarte des în timpul efectuării celor  $n$  operații INSEREAZĂ-TABLOU. Mai precis, operația  $i$  conduce la o expandare numai dacă  $i - 1$  este o putere a lui 2. Costul amortizat al unei operații este, de fapt,  $O(1)$ , aşa cum se poate arăta dacă folosim metoda de agregare. Costul operației  $i$  este:

$$c_i = \begin{cases} i & \text{dacă } i - 1 \text{ este o putere a lui 2,} \\ 1 & \text{altfel.} \end{cases}$$

Costul total a  $n$  operații INSEREAZĂ-TABLOU este prin urmare:

$$\sum_{i=1}^n c_i \leq n + \sum_{j=0}^{\lfloor \lg n \rfloor} 2^j < n + 2n = 3n,$$

deoarece există cel mult  $n$  operații de cost 1, iar costul celorlalte operații formează o progresie geometrică. Deoarece costul total a  $n$  operații INSEREAZĂ-TABLOU este  $3n$ , costul amortizat al unei singure operații este 3.

Folosind metoda de cotare, ne dăm seama mai ușor de ce costul amortizat al unei operații INSEREAZĂ-TABLOU este 3. Intuitiv, fiecare articol are de plătit pentru 3 inserări elementare: inserarea propriu-zisă în tablou, mutarea sa efectuată atunci când tabloul este expandat și mutarea unui alt articol care a fost deja mutat o dată atunci când tabloul a fost expandat. De exemplu, să presupunem că, imediat după o expandare, dimensiunea tabloului este  $m$ . Atunci numărul efectiv de articole este  $m/2$  și tabloul nu conține vreun credit. Cotăm cu 3 dolari fiecare inserare. Inserarea elementară care urmează imediat costă 1 dolar. Un al doilea dolar este plasat drept credit pe articolul inserat. Un al treilea dolar este plasat drept credit pe unul dintre cele  $m/2$  articole existente deja în tablou. Umplerea tabloului cere  $m/2$  inserări suplimentare și, ca urmare, la momentul în care tabloul devine plin și are deci  $m$  articole efective, fiecare articol are plasat pe el un dolar care va fi plătit la reinserarea sa în timpul următoarei expandări.

Pentru analiza unei secvențe de  $n$  operații INSEREAZĂ-TABLOU, putem folosi și metoda de potențial; o vom folosi în secțiunea 18.4.2 pentru proiectarea unei operații řSTERGE-TABLOU care va avea, de asemenea, costul amortizat  $O(1)$ . Începem prin a defini o funcție de potențial (a cărei valoare este 0 imediat după o expandare, dar crește până la dimensiunea tabloului atunci când acesta devine plin), astfel încât putem plăti din potențial pentru efectuarea expandării. Funcția

$$\Phi(T) = 2 \cdot \text{num}[T] - \text{dim}[T] \tag{18.4}$$

reprezintă una dintre variantele posibile. Imediat după o expandare, avem  $\text{num}[T] = \text{dim}[T]/2$  și astfel  $\Phi(T) = 0$ , aşa cum dorim. În momentul dinaintea unei expandări, avem  $\text{num}[T] = \text{dim}[T]$  și, deci,  $\Phi(T) = \text{num}[T]$ , aşa cum dorim. Valoarea inițială a potențialului este 0 și deoarece tabloul este întotdeauna plin cel puțin pe jumătate,  $\text{num}[T] \geq \text{dim}[T]/2$ , de unde rezultă că  $\Phi(T)$  este întotdeauna nenegativă. Prin urmare suma costurilor amortizate a celor  $n$  operații INSEREAZĂ-TABLOU este o margine superioară pentru suma costurilor reale.

Pentru a analiza costul amortizat al celei de a  $i$ -a operații INSEREAZĂ-TABLOU, vom nota prin  $\text{num}_i$  numărul de articole memorate în tablou după această operație, prin  $\text{dim}_i$  dimensiunea

tabloului după această operație, iar prin  $\Phi_i$  potențialul după această operație. Inițial avem  $num_0 = 0$ ,  $dim_0 = 0$ ,  $\Phi_0 = 0$ .

Dacă operația  $i$  nu conduce la o expandare, atunci  $dim_i = dim_{i-1}$  și costul amortizat al operației este

$$\begin{aligned}\hat{c}_i &= c_i + \Phi_i - \Phi_{i-1} = 1 + (2 \cdot num_i - dim_i) - (2 \cdot num_{i-1} - dim_{i-1}) \\ &= 1 + (2 \cdot num_i - dim_i) - (2 \cdot (num_i - 1) - dim_i) = 3.\end{aligned}$$

Dacă operația  $i$  conduce la o expandare, atunci  $dim_i/2 = dim_{i-1} = num_i - 1$ , iar costul amortizat al operației este

$$\begin{aligned}\hat{c}_i &= c_i + \Phi_i - \Phi_{i-1} = num_i + (2 \cdot num_i - dim_i) - (2 \cdot num_{i-1} - dim_{i-1}) \\ &= num_i + (2 \cdot num_i - (2 \cdot num_i - 2)) - (2 \cdot (num_i - 1) - (num_i - 1)) \\ &= num_i + 2 - (num_i - 1) = 3.\end{aligned}$$

În figura 18.3 se arată cum variază valorile  $num_i$ ,  $dim_i$  și  $\Phi_i$  în funcție de  $i$ . Observați modul în care potențialul este folosit pentru a plăti expandarea tabloului.

#### 18.4.2. Expandarea și contractarea tabloului

Pentru a implementa o operație **STERGE-TABLOU** este suficient să îndepărtem articolul specificat din tablou. Totuși, uneori este de dorit să **contractăm** tabloul atunci când factorul de încărcare devine prea mic, pentru ca spațiul nefolosit să nu fie exagerat de mare. Contractarea tabloului este analogă expandării sale: când numărul de articole din tablou scade prea mult, alocăm un nou tablou, mai mic, și copiem articolele din vechiul tablou în noul tablou. Spațiul de memorie ocupat de vechiul tablou poate fi acum eliberat prin transmiterea sa sistemului de gestiune a memoriei. Ideal, ar trebui să satisfacă întotdeauna două proprietăți:

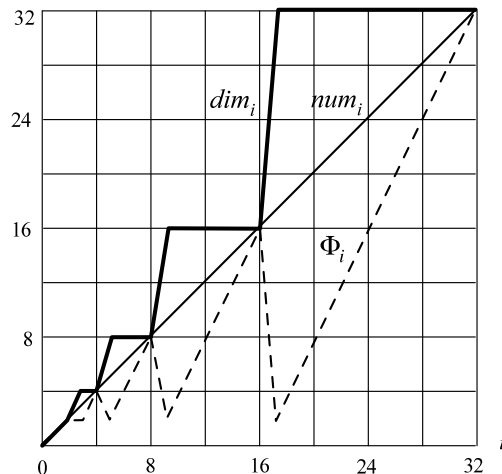
- factorul de încărcare al tabloului dinamic să fie mărginit inferior de o constantă și
- costul amortizat al unei operații asupra tabloului să fie mărginit superior de o constantă.

Vom presupune că putem măsura costul în funcție de inserările și ștergerile elementare.

O strategie naturală pentru expandare și contractare este cea de a dubla mărimea tabloului atunci când un articol trebuie introdus într-un tablou plin și de a-i înjumătăți dimensiunea atunci când o ștergere ar face ca tabloul să devină mai puțin plin decât jumătate. Această strategie garantează că factorul de încărcare al tabloului nu scade niciodată sub  $1/2$ , dar, din păcate, poate conduce la situația în care costul amortizat al unei operații să fie prea mare. Vom considera următorul scenariu. Efectuăm  $n$  operații asupra unui tablou  $T$ , unde  $n$  este o putere a lui 2. Primele  $n/2$  operații sunt inserări care, conform unei analize anterioare, costă în total  $\Phi(n)$ . După această secvență de inserări,  $num[T] = dim[T] = n/2$ . Pentru ultimele  $n/2$  operații, presupunem că ele se efectuează în următoarea ordine:

I, §, §, I, I, §, §, I, I, …,

unde prin I am notat o inserare, iar prin § o ștergere. Prima inserare produce o expandare a tabloului la dimensiunea  $n$ . Următoarele două ștergeri conduc la o contractare a tabloului înapoi la dimensiunea  $n/2$ . Următoarele două inserări conduc la o expandare și aşa mai departe. Există



**Figura 18.3** Efectul unei secvențe de  $n$  operații INSEREAZĂ-TABLOU asupra numărului  $num_i$  de articole din tablou, numărului  $dim_i$  de locații din tablou și potențialului  $\Phi_i = 2 \cdot num_i - dim_i$ , fiecare fiind măsurat după operația  $i$ . Linia subțire îi corespunde lui  $num_i$ , linia groasă îi corespunde lui  $dim_i$ , iar cea punctată îi corespunde lui  $\Phi_i$ . Observați că, în momentul dinaintea unei expandări, potențialul a crescut până la numărul de articole din tablou, și, de aceea, este suficient pentru a plăti pentru mutarea articolelor în noul tablou. Apoi potențialul scade la 0, dar crește imediat la 2 atunci când articolul care a produs expandarea este efectiv inserat.

$\Theta(n)$  expandări și contractări, costul fiecăreia fiind  $\Theta(n)$ . Ca urmare, costul total al celor  $n$  operații este  $\Theta(n^2)$ , iar costul amortizat al unei operații este  $\Theta(n)$ .

Dificultatea legată de această strategie este evidentă: după o expandare nu se efectuează suficiente ștergeri pentru a putea plăti pentru contractare. În mod analog, după o contractare nu se efectuează suficiente inserări pentru a plăti pentru o expandare.

Putem îmbunătăți această strategie permitând factorului de încărcare să scadă sub 1/2. Mai precis, vom dubla în continuare dimensiunea tabloului atunci când un articol urmează să fie inserat într-un tablou plin, dar vom înjumătăți dimensiunea tabloului atunci când o ștergere ar face ca el să fie plin sub un sfert, în loc de pe jumătate plin ca înainte. Factorul de încărcare al tabloului este, deci, mărginit inferior de constanta 1/4. După o expandare, factorul de încărcare devine 1/2. Astfel, jumătate din articolele tabloului trebuie șterse înainte ca să aibă loc o contractare, deoarece contractarea intervine numai când factorul de încărcare scade sub 1/4. Analog, după o contractare factorul de încărcare al tabloului este de asemenea 1/2. Din acest motiv, numărul de articole din tablou trebuie să se dubleze prin inserări pentru a urma o contractare, deoarece contractarea intervine doar dacă factorul de încărcare devine mai mare decât 1.

Nu vom prezenta codul pentru ȘTERGE-TABLOU, deoarece este analog cu INSEREAZĂ-TABLOU. Totuși, în analiza pe care o facem este convenabil să presupunem că dacă numărul de articole din tablou devine 0, atunci memoria alocată tabloului este eliberată. Cu alte cuvinte, dacă  $num[T] = 0$ , atunci  $dim[T] = 0$ .

Putem folosi acum metoda de potențial pentru a analiza costul unei secvențe de  $n$  operații INSEREAZĂ-TABLOU și ȘTERGE-TABLOU. Începem prin a defini o funcție de potențial  $\Phi$  care ia valoarea 0 imediat după ce are loc o expandare și se mărește atunci când factorul de încărcare

crește la 1 sau scade la 1/4. Vom defini factorul de încărcare al unui tablou  $T$  nevid prin  $\alpha(T) = \text{num}[T]/\dim[T]$ . Deoarece pentru un tablou vid avem  $\text{num}[T] = \dim[T] = 0$  și  $\alpha(T) = 1$ , vom avea întotdeauna  $\text{num}[T] = \alpha(t) \cdot \dim[T]$ , indiferent dacă tabloul este vid sau nu. Vom folosi următoarea funcție de potențial:

$$\Phi(T) = \begin{cases} 2 \cdot \text{num}[T] - \dim[T] & \text{dacă } \alpha(T) \geq 1/2, \\ \dim[T]/2 - \text{num}[T] & \text{dacă } \alpha(T) < 1/2. \end{cases} \quad (18.5)$$

Să observăm că funcția de potențial pentru un tablou vid este 0 și că potențialul nu este niciodată negativ. Ca urmare, costul amortizat total al unei secvențe de operații relative la  $\Phi$  este o margine superioară pentru costul real.

Înainte de a trece la o analiză mai detaliată, ne oprim pentru a remarcă unele proprietăți ale funcției de potențial. Să observăm că, dacă factorul de încărcare este 1/2, atunci potențialul este 0. Când el devine 1, avem  $\dim[T] = \text{num}[T]$ , de unde  $\Phi(T) = \text{num}[T]$  și deci potențialul este suficient pentru a plăti pentru expandare atunci când este inserat un articol. Când factorul de încărcare este 1/4, avem  $\dim[T] = 4 \cdot \text{num}[T]$ , de unde rezultă că  $\Phi(T) = \text{num}[T]$  și, deci, potențialul este suficient pentru a plăti pentru o contractare atunci când un articol este sters. Figura 18.4 ilustrează modul în care se comportă potențialul pentru o secvență de operații.

Pentru a analiza o secvență de  $n$  operații INSEREAZĂ-TABLOU și ȘTERGE-TABLOU, notăm prin  $c_i$  costul real al operației  $i$ , prin  $\hat{c}_i$  costul său amortizat relativ la  $\Phi$ , prin  $\text{num}_i$  numărul de articole memorate în tablou după operația  $i$ , prin  $\dim_i$  mărimea tabloului după operația  $i$ , prin  $\alpha_i$  factorul de încărcare al tabloului după operația  $i$ , iar prin  $\Phi_i$  potențialul după operația  $i$ . Inițial,  $\text{num}_0 = 0$ ,  $\dim_0 = 0$ ,  $\alpha_0 = 1$ , și  $\Phi_0 = 0$ .

Începem cu cazul în care operația  $i$  este INSEREAZĂ-TABLOU. Dacă  $\alpha_{i-1} \geq 1/2$ , atunci analiza este identică cu cea pentru expandarea tabloului, prezentată în secțiunea 18.4.1. Indiferent dacă tabloul se expandează sau nu, costul amortizat  $\hat{c}_i$  al operației este cel mult egal cu 3. Dacă  $\alpha_{i-1} < 1/2$ , tabloul nu poate fi expandat ca urmare a efectuării unei operații, deoarece expandarea se produce numai dacă  $\alpha_{i-1} = 1$ . Dacă și  $\alpha_i < 1/2$ , costul amortizat al operației  $i$  este

$$\begin{aligned} \hat{c}_i &= c_i + \Phi_i - \Phi_{i-1} = 1 + (\dim_i/2 - \text{num}_i) - (\dim_{i-1}/2 - \text{num}_{i-1}) \\ &= 1 + (\dim_i/2 - \text{num}_i) - (\dim_i/2 - (\text{num}_i - 1)) = 0. \end{aligned}$$

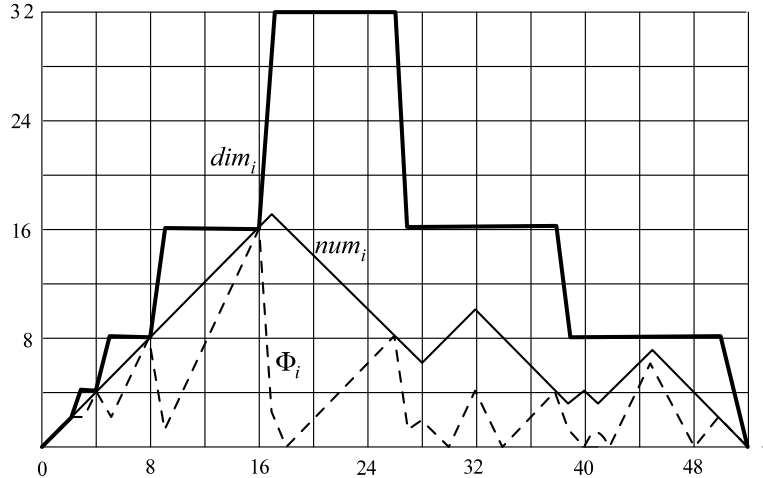
Dacă  $\alpha_{i-1} < 1/2$  dar  $\alpha_i \geq 1/2$ , atunci

$$\begin{aligned} \hat{c}_i &= c_i + \Phi_i - \Phi_{i-1} = 1 + (2 \cdot \text{num}_i - \dim_i) - (\dim_{i-1}/2 - \text{num}_{i-1}) \\ &= 1 + (2 \cdot (2/\text{num}_{i-1} + 1) - \dim_{i-1}) - (\dim_{i-1}/2 - \text{num}_{i-1}) \\ &= 3 \cdot \text{num}_{i-1} - \frac{3}{2} \cdot \dim_{i-1} + 3 = 3 \cdot \alpha_{i-1} \cdot \dim_{i-1} - \frac{3}{2} \cdot \dim_{i-1} + 3 \\ &< \frac{3}{2} \cdot \dim_{i-1} - \frac{3}{2} \cdot \dim_{i-1} + 3 = 3. \end{aligned}$$

Rezultă că operația INSEREAZĂ-TABLOU are un cost amortizat mai mic sau egal cu 3.

Ne întoarcem acum la cazul în care operația  $i$  este ȘTERGE-TABLOU. În acest caz,  $\text{num}_i = \text{num}_{i-1} - 1$ . Dacă  $\alpha_{i-1} < 1/2$ , trebuie să luăm în considerare situația în care are loc o contractare. Dacă aceasta are loc, atunci  $\dim_i = \dim_{i-1}$  și costul amortizat al operației este

$$\begin{aligned} \hat{c}_i &= c_i + \Phi_i - \Phi_{i-1} = 1 + (\dim_i/2 - \text{num}_i) - (\dim_{i-1}/2 - \text{num}_{i-1}) \\ &= 1 + (\dim_i/2 - \text{num}_i) - (\dim_i/2 - (\text{num}_i + 1)) = 2. \end{aligned}$$



**Figura 18.4** Efectul unei secvențe de  $n$  operații INSEREAZĂ-TABLOU și ȘTERGE-TABLOU asupra numărului  $num_i$  de articole din tablou, numărului  $dim_i$  de locații din tablou, potențialului

$$\Phi_i = \begin{cases} 2 \cdot num_i - dim_i & \text{dacă } \alpha_i \geq 1/2, \\ dim_i/2 - num_i & \text{dacă } \alpha_i < 1/2, \end{cases}$$

fiecare fiind măsurat după operația  $i$  din secvență. Linia subțire corespunde lui  $num_i$ , linia groasă corespunde lui  $dim_i$ , iar linia punctată corespunde lui  $\Phi_i$ . Să observăm că imediat înainte de expandare, potențialul a crescut la numărul de articole din tablou și de aceea el este suficient pentru a plăti pentru mutarea tuturor articolelor în noul tablou. Analog, imediat înainte de a avea loc o contractare, potențialul a crescut la numărul de articole din tablou.

Dacă  $\alpha_{i-1} < 1/2$  și operația  $i$  nu implică o contractare, atunci costul real al operației este  $c_i = num_i + 1$ , deoarece este șters un articol și sunt mutate  $num_i$  articole. Avem  $dim_i/2 = dim_{i-1}/4 = num_i + 1$ , iar costul amortizat al operației este

$$\begin{aligned} \hat{c}_i &= c_i + \Phi_i - \Phi_{i-1} = (num_i + 1) + (dim_i/2 - num_i) - (dim_{i-1}/2 - num_{i-1}) \\ &= (num_i + 1) + ((num_i + 1) - num_i) - ((2 \cdot num_i + 2) - (num_i + 1)) = 1. \end{aligned}$$

Când operația  $i$  este ȘTERGE-TABLOU și  $\alpha_{i-1} \geq 1/2$ , costul amortizat este, de asemenea, mărginit superior de o constantă. Analiza este propusă spre rezolvare cititorului în exercițiul 18.4-3.

Recapitulând, deoarece costul amortizat al fiecărei operații este mărginit superior de o constantă, timpul real pentru orice secvență de  $n$  operații asupra unui tablou dinamic este  $O(n)$ .

## Exerciții

**18.4-1** Argumentați de ce dacă  $\alpha_{i-1} \leq 1/2$  și  $\alpha_i \leq 1/2$ , atunci costul amortizat al unei operații INSEREAZĂ-TABLOU este 0.

**18.4-2** Să presupunem că dorim să implementăm un tablou de dispersie dinamic, cu adresare liberă. De ce am putea considera tabloul plin dacă factorul său de încărcare atinge o valoare  $\alpha$  strict mai mică decât 1? Descrieți pe scurt cum trebuie făcută inserarea într-un asemenea tablou, astfel încât valoarea așteptată a costului de amortizare pentru fiecare inserare să fie  $O(1)$ . De

ce valoarea așteptată a costului de amortizare nu este în mod obligatoriu  $O(1)$  pentru toate inserările?

**18.4-3** Arătați că, dacă operația  $i$  pe un tablou dinamic este **ȘTERGE-TABLOU** și  $\alpha_{i-1} \geq 1/2$ , atunci costul amortizat al operației, în raport cu funcția de potențial (18.5), este mărginit superior de o constantă.

**18.4-4** Să presupunem că, în loc să contractăm tabloul prin înjumătățirea dimensiunii sale atunci când factorul de încărcare scade sub  $1/4$ , îl contractăm prin îmărtuirea dimensiunii sale cu  $2/3$  atunci când factorul de încărcare scade sub  $1/3$ . Folosind funcția de potențial

$$\Phi(T) = |2 \cdot \text{num}[T] - \text{dim}[T]|,$$

arătați că, pentru o operație **ȘTERGE-TABLOU**, costul amortizat care folosește această strategie este mărginit superior de o constantă.

## Probleme

### 18-1 Contor binar pe biți inversi

În capitolul 32 este prezentat un algoritm important, numit Transformarea Fourier Rapidă (pe scurt TFR). Primul pas al algoritmului TFR realizează o **permutare cu inversarea bițiilor** a unui vector de intrare  $A[0..n-1]$ , a cărui lungime este  $n = 2^k$  pentru un anumit  $k$  nenegativ. Această permutare interschimbă elementele de pe pozițiile ale căror reprezentări binare sunt una inversa celeilalte.

Putem exprima fiecare indice  $a$  ca o secvență de  $k$  biți  $\langle a_{k-1}, a_{k-2}, \dots, a_0 \rangle$  unde  $a = \sum_{i=0}^{k-1} a_i 2^i$ . Definim

$$\text{rev}_k(\langle a_{k-1}, a_{k-2}, \dots, a_0 \rangle) = \langle a_0, a_1, \dots, a_{k-1} \rangle;$$

și, deci,

$$\text{rev}_k(a) = \sum_{i=0}^{k-1} a_{k-i-1} 2^i.$$

De exemplu, dacă  $n = 16$  (adică  $k = 4$ ), atunci  $\text{rev}_k(3) = 12$ , deoarece reprezentarea pe 4 biți a lui 3 este 0011, a cărei inversă este 1100, care este tocmai reprezentarea pe 4 biți a lui 12.

- a. Presupunând că funcția  $\text{rev}_k$  necesită timpul  $\Theta(k)$ , scrieți un algoritm care să realizeze permutarea pe biți inversi a unui vector de lungime  $n = 2^k$  în timpul  $O(nk)$ .

Putem folosi un algoritm bazat pe analiza amortizată pentru a îmbunătăți timpul de execuție a permutării cu inversarea bițiilor. Folosim un “contor cu inversarea bițiilor” și o procedură **INCREMENTEAZĂ-CU-INVERSAREA-BIȚILOR** care, dată fiind o valoare  $a$  a contorului cu inversarea bițiilor, produce  $\text{rev}_k(\text{rev}_k(a) + 1)$ . De exemplu, pentru  $k = 4$  și contorul cu inversarea bițiilor inițializat cu 0, apelurile succesive ale procedurii **INCREMENTEAZĂ-CU-INVERSAREA-BIȚILOR** produc secvența:

$$0000, 1000, 0100, 1100, 0010, 1010, \dots = 0, 8, 4, 12, 2, 10, \dots$$

- b. Presupunem că pe calculatorul cu care lucrăm cuvintele sunt memorate ca valori pe  $k$  biți și că o unitate de timp este suficientă pentru a executa asupra lor operații de tipul deplasări la stânga și la dreapta cu o valoare dată, ȘI și SAU pe biți etc. Scrieți o implementare a lui INCREMENTEAZĂ-CU-INVERSAREA-BIȚILOR care să realizeze o permutare cu inversarea biților asupra unui vector cu  $n$  elemente în timpul  $O(n)$ .
- c. Să presupunem că putem efectua o deplasare la stânga sau la dreapta cu un bit într-o unitate de timp. Mai este posibil să implementăm o permutare cu inversarea biților în timpul  $O(n)$ ?

### 18-2 Varianta dinamică a căutării binare

Căutarea binară într-un vector ordonat necesită timp logaritmic, dar timpul necesitat de inserarea unui nou element este liniar în dimensiunea vectorului. Putem îmbunătăți timpul pentru inserare prin memorarea mai multor vectori ordonați.

Mai precis, să presupunem că dorim să implementăm CĂUTARE și INSEREZĂ pe o mulțime cu  $n$  elemente. Fie  $k = \lceil \lg(n+1) \rceil$  și fie  $\langle n_{k-1}, n_{k-2}, \dots, n_0 \rangle$  reprezentarea binară a lui  $n$ . Folosim  $k$  vectori ordonați  $A_0, A_1, \dots, A_{k-1}$ , unde pentru fiecare  $i = 0, 1, \dots, k-1$  lungimea vectorului  $A_i$  este  $2^i$ . Fiecare tablou poate fi doar vid sau plin, după cum  $n_i = 1$  sau  $n_i = 0$ . Numărul total de elemente din cei  $k$  vectori va fi deci  $\sum_{i=0}^{k-1} n_i 2^i = n$ . Deși fiecare vector în parte este ordonat, nu există o dependență anume între elementele din vectori diferenți.

- a. Arătați cum se poate realiza operația CĂUTARE pentru această structură de date. Analizați timpul de execuție pentru cazul cel mai defavorabil.
- b. Arătați cum poate fi inserat un element nou în această structură. Analizați timpii de execuție pentru cazul cel mai defavorabil, precum și timpul amortizat de execuție.
- c. Studiați modul în care poate fi implementată operația ȘTERGERE.

### 18-3 Arbori amortizați cu ponderi echilibrate

Să considerăm un arbore de căutare binar obișnuit, care are atașată în plus, pentru fiecare nod  $x$ , valoarea  $\dim[x]$  care memorează numărul de chei din subarborele de rădăcină  $x$ . Fie  $\alpha$  o constantă cu  $1/2 \leq \alpha < 1$ . Un nod  $x$  se numește  $\alpha$ -echilibrat dacă

$$\dim[\text{stânga}[x]] \leq \alpha \cdot \dim[x] \text{ și } \dim[\text{dreapta}[x]] \leq \alpha \cdot \dim[x]$$

Întregul arbore este  $\alpha$ -echilibrat dacă fiecare nod din arbore este  $\alpha$ -echilibrat. Următoarea abordare amortizată pentru a păstra caracteristica de arbori cu ponderi echilibrate a fost sugerată de G. Varghese.

- a. Un arbore  $1/2$ -echilibrat este, într-un anumit sens, atât de echilibrat pe cât este posibil. Fiind dat un nod  $x$ , într-un arbore binar de căutare oarecare, arătați cum poate fi reconstituit subarborele de rădăcină  $x$  astfel încât să devină  $1/2$ -echilibrat. Algoritmul trebuie să se încadreze în timpul  $\Theta(\dim[x])$  și poate folosi o memorie auxiliară de ordinul  $O(\dim[x])$ .
- b. Arătați că o căutare binară într-un arbore  $\alpha$ -echilibrat având  $n$  noduri poate fi realizată în timpul  $O(\lg n)$ , pentru cazul cel mai defavorabil.

Pentru ceea ce urmează în această problemă, vom presupune că  $\alpha$  este strict mai mare decât 1/2. Presupunem că operațiile INSEREAZĂ și ȘTERGERE sunt implementate în modul ușor pentru un arbore de căutare binar având  $n$  noduri, cu următoarea excepție: după fiecare astfel de operație, dacă toate nodurile din arbore nu mai sunt  $\alpha$ -echilibrate, atunci subarborele având rădăcina în nodul de acest tip, situat pe cel mai de sus nivel în arbore, este “reconstituit” astfel încât devine 1/2-echilibrat.

Vom analiza schema de reconstituire folosind metoda de potențial. Pentru un nod  $x$  oarecare din arborele de căutare binară  $T$ , definim

$$\Delta(x) = |\dim[\text{stânga}[x]] - \dim[\text{dreapta}[x]]|$$

și definim potențialul lui  $T$  prin

$$\Phi(T) = c \cdot \sum_{x \in T: \Delta(x) \geq 2} \Delta(x),$$

unde  $c$  este o constantă suficient de mare, care depinde de  $\alpha$ .

- c. Arătați că orice arbore de căutare binar are potențial nenegativ și că un arbore 1/2-echilibrat are potențialul 0.
- d. Să presupunem că  $m$  unități de potențial sunt suficiente pentru a plăti reconstituirea unui subarbore având  $m$  noduri. Cât de mare trebuie să fie  $c$ , în funcție de  $\alpha$ , pentru ca timpul amortizat necesar reconstituirii unui subarbore care nu este  $\alpha$ -echilibrat să fie  $O(1)$ .
- e. Arătați că, pentru un arbore  $\alpha$ -echilibrat având  $n$  noduri, inserarea și ștergerea unui nod  $\alpha$ -echilibrat necesită un timp amortizat de ordinul  $O(\lg n)$ .

## Note bibliografice

Metoda de agregare a analizei amortizate a fost folosită de Aho, Hopcroft și Ullman [4]. Tarjan [189] trece în revistă metodele de cotare și de potențial ale analizei amortizate și prezintă mai multe aplicații. El atribuie paternitatea metodei de cotare mai multor autori, printre care M. R. Brown, R. E. Tarjan, S. Huddleston și K. Mehlhorn. Tot el atribuie paternitatea metodei de potențial lui D. D. Sleator. Termenul “amortizat” este datorat lui D. D. Sleator și lui R. E. Tarjan.



V Structuri de date avansate

---

## Introducere

În această parte reluăm, la un nivel mai avansat decât în partea a III-a, structurile de date care permit operații pe mulțimi dinamice. De exemplu, două dintre capitolele părții folosesc, extensiv, tehniciile de analiză amortizată prezentate în capitolul 18.

Capitolul 19 prezintă structura de B-arbore, care este arborele echilibrat folosit la memorarea pe disc magnetic. Deoarece discul magnetic operează mult mai încet decât memoria RAM, performanțele B-arborilor vor fi măsurate nu numai prin timpul consumat cu operațiile de căutare dinamice, ci și prin numărul de accese la disc efectuate. Pentru fiecare operație, numărul de accese la disc este proporțional cu înălțimea B-arborelui.

Capitolele 20 și 21 prezintă implementări ale heap-urilor fuzionabile, care permit operațiile INSEREAZĂ, MINIMUM, EXTRAGE-MIN și REUNEȘTE. Operația REUNEȘTE permite fuzionarea a două heap-uri. Pe structurile de date din aceste capitole se pot executa, de asemenea, operațiile ȘTERGE și DESCRIEȘTE-CHEIE.

Heap-urile binomiale, descrise în capitolul 20, execută fiecare dintre aceste operații, în cazul cel mai defavorabil, în timp  $O(\lg n)$ , unde  $n$  este numărul total de elemente din heap-ul de intrare (sau în cele două heap-uri de intrare în cazul REUNEȘTE). Se vede că operația REUNEȘTE din heap-ul binomial este superioară operației definite pentru heap-ul binar prezentat în capitolul 7, acesta din urmă efectuând, în cel mai defavorabil caz,  $\Theta(n)$  unități de timp pentru a fuziona.

Heap-urile Fibonacci din capitolul 21 sunt superioare heap-urilor binomiale, cel puțin în sens teoretic. Pentru măsurarea performanțelor heap-urilor Fibonacci se folosesc margini de timp amortizate. Se va vedea că operațiile INSEREAZĂ, MINIMUM și REUNEȘTE consumă în cazul heap-urilor Fibonacci, timp amortizat de numai  $O(1)$ , în timp ce EXTRAGE-MIN și ȘTERGE consumă un timp amortizat de  $O(\lg n)$ . Cel mai mare avantaj al heap-urilor Fibonacci este acela că DESCRIEȘTE-CHEIE consumă un timp amortizat de numai  $O(1)$ . Operația DESCRIEȘTE-CHEIE definită pentru heap-urile Fibonacci este asimptotic mai slabă decât operațiile similare la diversele algoritmi specifici de grafuri, motiv pentru care aceștia o folosesc mai rar.

În sfârșit, capitolul 22 prezintă structuri de date pentru mulțimi disjuncte. Se dă un univers de  $n$  elemente care sunt grupate în mulțimi dinamice. Inițial, fiecare element este singur într-o mulțime. Operația REUNEȘTE fuzionează două mulțimi, iar cererea GĂSEȘTE-MULȚIME identifică mulțimea care conține un anumit element la un moment dat. Reprezentând fiecare mulțime printr-un arbore cu rădăcină, vom obține operații surprinzătoare de rapide: o secvență de  $m$  operații se execută în timp  $O(m\alpha(m, n))$ , unde  $\alpha(m, n)$  este o funcție incredibil de încet crescătoare – în ipoteza că  $n$  reprezintă numărul de atomi din întregul univers,  $\alpha(m, n)$  este cel mult 4. Analiza amortizată care determină această limită de timp este pe atât de complexă pe cât de simplă este structura de date. Capitolul 22 furnizează o limitare de timp interesantă și relativ simplă.

Tematica abordată în această parte conține nu numai exemple de structuri de date “avansate”. Printre altele, mai sunt incluse și următoarele:

- O structură de date, inventată de van Emde Boas [194], care admite operațiile MINIMUM, MAXIMUM, INSEREAZĂ, ȘTERGE, CAUTĂ, EXTRAGE-MIN, EXTRACT-MAX, PREDECESOR, SUCCESOR. Acestea, în mulțimea de chei  $\{1, 2, \dots, n\}$  necesită, în cel mai defavorabil caz, timpul ( $O(\lg \lg n)$ ).
- *Arbore dinamici*, definite de către Sleator și Tarjan [177] și apoi reluată de Tarjan [188]. Cu ajutorul lor se întreține o pădure de arbori cu rădăcini disjuncte. Fiecare arc din fiecare

arbore are atașat, drept cost, un număr real. În arborii dinamici se pot efectua operațiile de vedere a flăcării părinților, rădăcinilor, costurilor arcelor, costului minim al unui drum de la un nod la o rădăcină. Arboarele pot fi manevrați prin tăierea de arce, modificarea costurilor arcelor de pe un drum de la un nod la o rădăcină, legarea unei rădăcini la un alt arbore etc. Una dintre implementările arborilor dinamici necesită un timp amortizat de  $O(\lg n)$  pentru fiecare operație. O altă implementare, mai sofisticată, necesită timp  $O(\lg n)$  în cel mai defavorabil caz.

- *Arborii splay (Oblici)*, dezvoltăți de către Sleator și Tarjan [178] și apoi reluați de Tarjan [188], sunt un tip de arbori binari de căutare care dau un timp amortizat  $O(\lg n)$  pentru toate operațiile standard. Una dintre aplicațiile acestor arbori permite simplificarea arborilor dinamici.
- Structurile de date ***persistente*** permit atât cereri, cât și, uneori, actualizări ale versiunilor vechi ale structurii. Sunt prezentate tehniciile de creare a structurilor de date înlănuite persistente descrise de către Driscoll, Sarnak, Sleator și Tarjan în [59]. Acestea sunt eficiente deoarece consumă foarte puțin timp și spațiu. Problema 14-1 dă un exemplu simplu de multime (de arbori) dinamică persistentă.

## 19 B-arbori

Un B-arbore este un arbore echilibrat, destinat căutării de informații memorate pe disc magnetic sau pe alt tip de suport adresabil direct. B-arborii sunt similari cu arborii roșu-negru (capitolul 14), dar ei minimizează operațiile de intrare/ieșire disc.

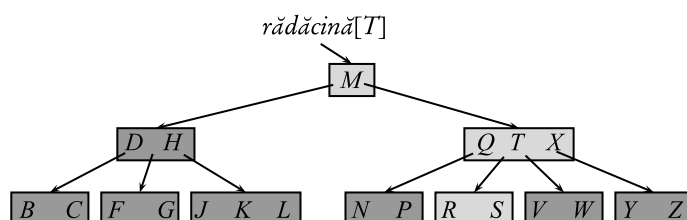
Diferența esențială față de arborii roșu-negru este aceea că fiecare nod dintr-un B-arbore poate avea un număr mare de fi, până la ordinul miilor. Astfel, "factorul de ramificare" poate fi foarte mare și este, de regulă, determinat doar de caracteristicile unității de disc utilizate. Similaritatea cu arborii roșu-negru constă în faptul că ambii au înălțimea  $O(\lg n)$ , unde  $n$  este numărul de noduri, deși înălțimea unui B-arbore poate fi considerabil mai mică din cauza factorului de ramificare mult mai mare. Din această cauză, B-arborii, pot fi, de asemenea, folosiți pentru a implementa în timp  $O(\lg n)$  diverse operații pe multimi dinamice.

B-arborii sunt o generalizare naturală a arborilor binari, după cum se poate vedea și din figura 19.1 în care este ilustrat un B-arbore. Dacă un nod  $x$  al unui B-arbore conține  $n[x]$  chei, atunci  $x$  are  $n[x] + 1$  fi. Cheile nodului  $x$  sunt folosite pentru a separa domeniul de chei vizibile din  $x$  în  $n[x] + 1$  subdomenii, fiecare dintre acestea fiind vizibile prin unul dintre fiile lui  $x$ . Când se caută o cheie într-un B-arbore, există  $n[x] + 1$  posibilități de parcursere, în funcție de rezultatul comparării cu cele  $n[x]$  chei memorate în nodul  $x$ .

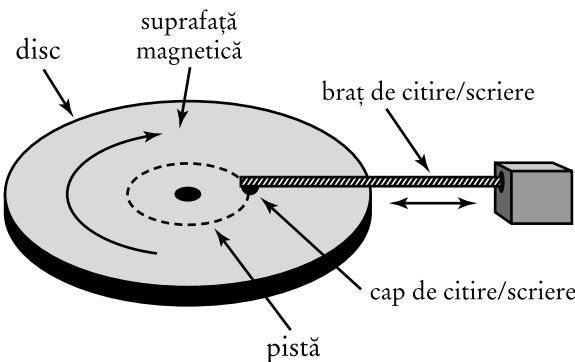
În secțiunea 19.1 se dă definiția exactă a B-arborelui și se demonstrează că înălțimea lui crește logaritmic cu numărul de noduri. Secțiunea 19.2 descrie căutarea și inserarea într-un B-arbore, iar secțiunea 19.3 prezintă ștergerea. Înainte de acestea, vom discuta despre structurile de date, proiectate să lucreze pe disc magnetic și vom evidenția diferențele de proiectare față de structurile de acces din memoria internă.

### Structuri de date în memoria secundară

Există o mulțime de tehnologii dezvoltate pentru a permite exploatarea eficientă a memoriei unui sistem de calcul. **Memoria internă (memoria principală)** a unui sistem este compusă din chip-uri de memorie din silicon, fiecare dintre ele putând să păstreze circa un milion de biți de informație. Costul acestei tehnologii este mai scump per bit de informație decât costul similar al tehnologiei magnetice: discuri sau benzi. Din această cauză sistemele de calcul au și o **memorie secundară**, rezidentă de obicei pe disc magnetic. Capacitatea acestui tip de suport depășește



**Figura 19.1** Un B-arbore în care cheile sunt consoane ale alfabetului latin. Un nod intern  $x$  conține  $n[x]$  chei și are  $n[x] + 1$  fi. Toate frunzele sunt pe același nivel în arbore. Nodurile hașurate deschis indică traseul de căutare a literei R.



**Figura 19.2** Schema unei unități de disc

cu câteva ordine de mărime capacitatea memoriei principale.

În figura 19.2 este prezentată, schematic, o unitate de disc magnetic clasică. Suprafața discului este acoperită cu o peliculă de material magnetizabil. Capul de citire/scrivere poate citi/scrie de pe/pe această suprafață în timpul rotației acesteia. Brațul de citire/scrivere poate poziționa capul la diferite distanțe de centrul discului. Atunci când brațul staționează, partea din suprafață, care trece în timpul rotației prin fața unui cap de citire/scrivere poartă numele de **pistă**. Adesea, informațiile înmagazinate pe o pistă sunt împărțite într-un număr fixat de bucăți de lungime egală, numite **pagini**; de obicei pagina unui disc are lungimea de 2048 octetăi. Pagina este unitatea de bază a schimbului dintre disc și memoria internă. **Timpul de acces** la o pagină constă din timpul necesar poziționării capului pe pistă, urmat de așteptarea trecerii paginii prin fața capului. Acest timp (de exemplu 20ms) este mult mai mare decât timpul necesar citirii/scririi respective, deoarece poziționarea este o activitate mecanică, pe când citirea/scririerea este una electronică. Din această cauză, o dată ce poziționarea este corectă, citirea/scririerea unei mari cantități de informație de pe pistă respectivă se face foarte rapid.

De regulă, timpul de citire a unei pagini este mai mare decât timpul necesar examinării și prelucrării complete a informațiilor citite. De aceea, în această secțiune vom analiza separat cele două componente ale timpului de execuție:

- numărul de accese la disc;
- timpul de calcul al CPU.

Numărul de accese la disc va fi exprimat în funcție de numărul de pagini citite sau scrise pe disc. Trebuie reținut că accesul la disc nu este constant, ci depinde de distanța dintre poziția curentă și pistă, ca și de starea curentă a mișcării de rotație. Pentru a simplifica lucrurile, vom approxima numărul de pagini citite prin numărul de accese la disc.

Într-o aplicație clasică de B-arbori, cantitatea de informație manipulată depășește cu mult capacitatea memoriei interne. Algoritmii specifici B-arborilor copiază, de pe disc în memorie, acele pagini de care este strictă nevoie și le scriu înapoi pe cele care au fost modificate. Acești algoritmi presupun prezența simultană în memorie a unui număr constant de pagini, motiv pentru care dimensiunea memoriei principale nu limitează dimensiunile B-arborilor care sunt manevrați.

În continuare, vom descrie, în pseudocod schema cadru de utilizare a discului. Fie  $x$  un pointer la un obiect. Dacă obiectul se află în memoria internă, atunci ne vom referi la el în mod obișnuit:  $cheie[x]$ . Dacă obiectul este momentan pe disc, atunci, mai întâi, trebuie să efectuăm operația CITEȘTE-DISC( $x$ ) pentru aducerea lui  $x$  în memoria internă înainte de a-i putea referi câmpurile. Dacă  $x$  este în memorie, atunci el nu mai trebuie citit. În mod analog, vom folosi operația SCRIE-DISC( $x$ ) dacă s-au efectuat modificări asupra componentelor lui  $x$ , pentru a le salva. Astfel, scenariul clasic de prelucrare a unui obiect este:

- 1: ...
- 2:  $x \leftarrow$  un pointer la un obiect
- 3: CITEȘTE-DISC( $x$ )
- 4: operații de acces și/sau de modificare a câmpurilor lui  $x$
- 5: SCRIE-DISC( $x$ ) ▷ se omite dacă  $x$  nu s-a modificat
- 6: alte operații de acces care nu modifică câmpul lui  $x$
- 7: ...

În fiecare moment, sistemul poate păstra în memoria internă numai un număr limitat de pagini. Algoritmii specifici B-arborilor presupun că există suficient spațiu în memoria internă în acest scop.

Pe cele mai multe sisteme, timpii de execuție ai algoritmilor de B-arbori sunt extrem de sensibili la numărul de operații CITEȘTE-DISC și SCRIE-DISC. Din acest motiv ar fi normal ca un nod în B-arbore să aibă lungimea unei pagini disc. De asemenea, numărul de fii ai unui nod este bine să fie cât mai mare.

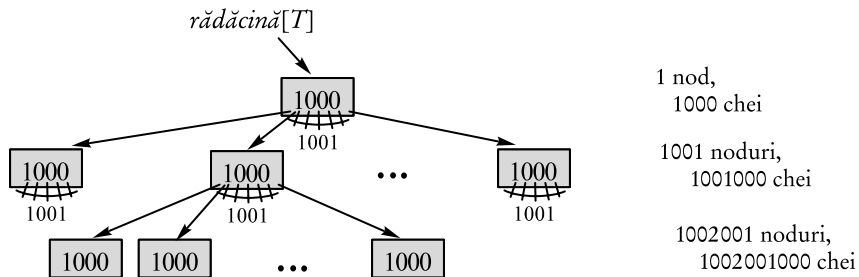
De obicei, factorul de ramificare este între 50 și 2000, în funcție de lungimea cheii și de lungimea unei pagini. Un factor de ramificare mare reduce drastic înălțimea arborelui și numărul de accese la disc pentru accesul la o cheie. De exemplu, în figura 19.3 este prezentat un B-arbore cu factorul de ramificare 1001 și înălțimea 2, care permite memorarea unui miliard de chei. Cu toate acestea, deoarece nodul rădăcină poate fi păstrat permanent în memorie, sunt necesare numai *două* accese la disc pentru a găsi orice cheie din acest arbore.

## 19.1. Definiția B-arborelui

Pentru a simplifica lucrurile, vom presupune, ca și la arborii binari și la cei roșu-negru, că “informația adițională” asociată unei chei este memorată în același loc cu cheia. În practică, fiecarei chei îi este atașat un pointer care reperează informația adițională atașată cheii. De asemenea, la B-arbore se obișnuiește, tocmai pentru a crește factorul de ramificare, ca, în nodurile interne să se memoreze numai chei și pointeri spre fii, iar informația adițională (pointer la ea) să fie înregistrată doar în frunze.

Un **B-arbore**  $T$  este un arbore cu rădăcină (cu rădăcina  $rădăcină[T]$ ) care are următoarele proprietăți:

1. Fiecare nod  $x$  are următoarele câmpuri:
  - a.  $n[x]$ , numărul curent de chei memorate în  $x$ ,
  - b. cele  $n[x]$  chei, memorate în ordine nedescrescătoare  $cheie_1[x] \leq cheie_2[x] \leq \dots \leq cheie_{n[x]}[x]$  și



**Figura 19.3** Un B-arbore de înălțime 2 conține peste un miliard de chei. Fiecare nod intern sau frunză conține 1000 de chei. Există 1001 noduri pe nivelul 1 și peste un milion de frunze pe nivelul 2. Numărul scris în interiorul fiecărui nod  $x$  indică numărul  $n[x]$  de chei din  $x$ .

- c. valoarea booleană  $frunză[x]$ , care este ADEVĂRAT dacă nodul  $x$  este frunză și FALS dacă nodul este intern.
- 2. Dacă  $x$  este un nod intern, el mai conține  $n[x] + 1$  pointeri spre fiii lui  $c_1[x], c_2[x], \dots, c_{n[x]+1}[x]$ . Nodurile frunză nu au fi, astfel cămpurile lor  $c_i$  sunt nedefinite.
- 3. Cheile  $cheie_i[x]$  separă domeniile de chei aflate în fiecare subarbore: dacă  $k_i$  este o cheie oarecare memorată într-un subarbore cu rădăcina  $c_i[x]$ , atunci

$$k_1 \leq cheie_1[x] \leq k_2 \leq cheie_2[x] \leq \dots \leq cheie_{n[x]}[x] \leq k_{n[x]+1}.$$

- 4. Fiecare frunză se află la aceeași adâncime, care este înălțimea  $h$  a arborelui.
- 5. Există o limitare inferioară și una superioară a numărului de chei ce pot fi conținute într-un nod. Aceste margini pot fi exprimate printr-un întreg fixat  $t \geq 2$ , numit **grad minim** al B-arborelui:

- a. Fiecare nod, cu excepția rădăcinii, trebuie să aibă cel puțin  $t - 1$  chei și în consecință fiecare nod intern, cu excepția rădăcinii, trebuie să aibă cel puțin  $t$  fi. Dacă arborele este nevid, atunci rădăcina trebuie să aibă cel puțin o cheie.
- b. Fiecare nod poate să conțină cel mult  $2t - 1$  chei. De aceea, orice nod intern poate avea cel mult  $2t$  fi. Un nod cu  $2t - 1$  chei se va numi nod **plin**.

Cel mai simplu B-arbore apare când  $t = 2$ . Orice nod intern poate avea 2, 3 sau 4 fi, motiv pentru care i se mai spune **2-3-4 arbore**. Cu toate acestea, în practică, se folosesc valori mult mai mari pentru  $t$ .

## Înălțimea unui B-arbore

Numărul de accese la disc cerute de cele mai multe operații în B-arbore este proporțional cu înălțimea B-arborelui. Vom analiza acum cazul cel mai defavorabil pentru înălțime.

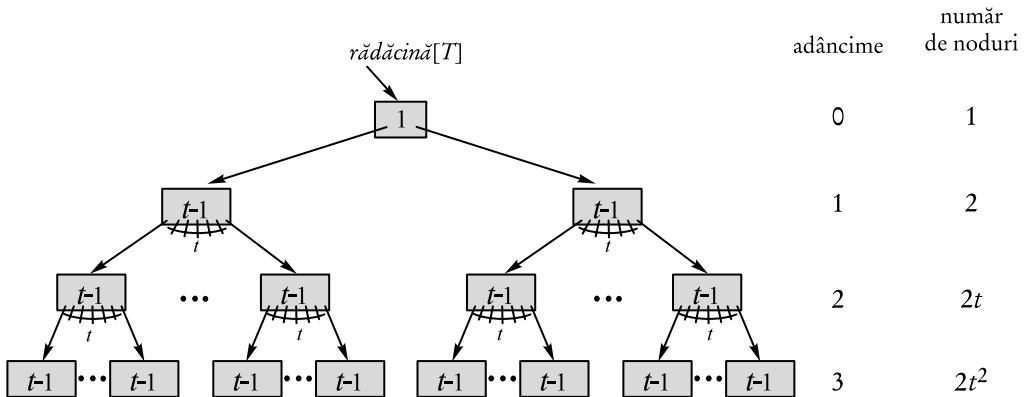
**Teorema 19.1** Dacă  $n \geq 1$ , atunci, pentru orice B-arbore  $T$  cu  $n$  chei de înălțime  $h$  și gradul minim  $t \geq 2$ ,

$$h \leq \log_t \frac{n+1}{2}.$$

**Demonstrație.** Dacă un B-arbore are înălțimea  $h$ , va avea număr minim de chei dacă rădăcina conține doar o cheie și toate celelalte noduri câte  $t - 1$  chei. În acest caz, există două noduri pe nivelul 1,  $2t$  noduri pe nivelul 2,  $2t^2$  noduri pe nivelul 3 și.a.m.d.,  $2t^{h-1}$  noduri pe nivelul  $h$ . Figura 19.4 prezintă un astfel de arbore pentru  $h = 3$ . De aceea, numărul  $n$  al cheilor satisface inegalitatea

$$n \geq 1 + (t-1) \sum_{i=1}^h 2t^{i-1} = 1 + 2(t-1) \left( \frac{t^h - 1}{t-1} \right) = 2t^h - 1,$$

ceea ce demonstrează teorema. ■



**Figura 19.4** Un B-arbore de înălțime 3 care conține numărul minim posibil de chei. În fiecare nod  $x$  este scris numărul efectiv de chei din nod,  $n[x]$ .

Aici se vede puterea B-arborilor în comparație cu arborii roșu-negru. Deși înălțimea ambilor crește proporțional cu  $O(\lg n)$ ,  $t$  fiind o constantă, baza logaritmului la B-arbore poate fi, de multe ori, mai mare. De aceea, numărul nodurilor examineate la B-arbore scade cu factorul  $\lg t$  față de arborii roșu-negru pentru majoritatea operațiilor asupra arborilor. Astfel, numărul de accese la disc pentru B-arbore se reduce, automat, cu acest factor.

## Exerciții

**19.1-1** De ce nu se permite gradul minim  $t = 1$ ?

**19.1-2** Pentru ce valori ale lui  $t$ , arboarele din figura 19.1 este un B-arbore în conformitate cu definiția?

**19.1-3** Ilustrați toți B-arborii corecți cu gradul minim 2 care reprezintă mulțimea  $\{1, 2, 3, 4, 5\}$ .

**19.1-4** Determinați, în funcție de gradul minim  $t$ , o margine superioară minimă a numărului de chei care pot fi memorate într-un B-arbore de înălțime  $h$ .

**19.1-5** Descrieți structura de date care rezultă când fiecare nod negru dintr-un arbore roșu-negru absoarbe fiul lui roșu, încorporând fiul lui cu el însuși.

## 19.2. Operații de bază în B-arbore

În această secțiune, vom prezenta în detaliu, operațiile CAUTĂ-B-ARBORE, CREEAZĂ-B-ARBORE și INEREAZĂ-B-ARBORE. Pentru aceste proceduri facem următoarele convenții:

- Rădăcina B-arborelui se află întotdeauna în memoria internă, astfel că, pentru ea nu este necesară operația CITEȘTE-DISC. Operația SCRIE-DISC se impune, totuși, atunci când se modifică rădăcina.
- Fiecare nod transmis ca parametru trebuie să fi fost citit cu ajutorul procedurii CITEȘTE-DISC.

Procedurile prezentate sunt toate “dintr-o singură trecere”, arborele fiind parcurs de la rădăcină spre frunze, fără reveniri.

### Căutarea în B-arbore

Căutarea într-un B-arbore este analogă cu căutarea într-un arbore binar. Evident, în locul unei decizii “binare” care indică una dintre cele două căi posibile, aici vom avea de-a face cu o ramificare multiplă spre nodurile fi. Mai exact, la fiecare nod intern  $x$ , se ia o decizie din  $n[x] + 1$  alternative.

CAUTĂ-B-ARBORE este o generalizare naturală a procedurii CAUTĂ-ARBORE definită pentru arborii binari. CAUTĂ-B-ARBORE primește la intrare un pointer la nodul rădăcină  $x$  și o cheie  $k$  ce trebuie căutată în subarborele de rădăcină  $x$ . La cel mai de sus nivel se va apela sub forma: CAUTĂ-B-ARBORE( $rădăcină[T], k$ ). Dacă  $k$  este în B-arbore, atunci CAUTĂ-B-ARBORE returnează perechea ordonată  $(y, i)$  reprezentând un nod  $y$  și un indice  $i$ , astfel încât  $cheie_i[y] = k$ . În caz contrar, returnează valoarea NIL.

Folosind o procedură de căutare liniară, liniile 1–3 găsesc cel mai mic  $i$  pentru care  $k \leq cheie_i[x]$  sau lui  $i$  valoarea  $n[x] + 1$  în caz contrar. Liniile 4–5 verifică dacă cheia a fost descoperită și, în caz afirmativ, returnează valoarea corespunzătoare. Liniile 6–10 ori termină operația cu insucces (dacă  $x$  este o frunză), ori repealează recursiv căutarea acestui fiu în subarborele corespunzător, după citirea prealabilă a acestuia.

În figura 19.1 se ilustrează operația de căutare CAUTĂ-B-ARBORE a cheii  $R$  într-un B-arbore. Sunt evidențiate nodurile vizitate în acest caz.

La fel ca la procedura CAUTĂ-ARBORE definită pentru arbori binari, în timpul apelurilor recursive, sunt parcuse nodurile pe o cale de la rădăcină în jos. Din această cauză, numărul paginilor disc accesate de CAUTĂ-B-ARBORE sunt  $\Theta(h) = \Theta(\log_t n)$ , unde  $h$  este înălțimea B-arborelui, și  $n$  numărul de chei. Deoarece  $n[x] < 2t$ , timpul consumat în ciclul **cât timp** din liniile 2–3, pentru fiecare nod, este  $O(t)$  și timpul total CPU este  $O(th) = O(t \log_t n)$ .

## Crearea unui B-arbore vid

Pentru a construi un B-arbore  $T$ , mai întâi, se aplică procedura CREEAZĂ-B-ARBORE pentru a crea un nod rădăcină vid. Apoi, se apelează procedura INEREAZĂ-B-ARBORE pentru a adăuga câte o cheie nouă. Fiecare dintre aceste două proceduri folosește o procedură auxiliară ALOCĂ-NOD, care, în timp  $O(1)$ , alocă o pagină disc spre a fi folosită drept nod nou. Presupunem că nodul creat prin ALOCĂ-NOD nu necesită CITEŞTE-DISC deoarece pentru crearea unui nod nou nu sunt necesare informații de pe disc. Operația CREEAZĂ-B-ARBORE necesită  $O(1)$  accesări de disc și  $O(1)$  timp CPU.

CAUTĂ-B-ARBORE( $x, k$ )

- 1:  $i \leftarrow 1$
- 2: **cât timp**  $i \leq n[x]$  și  $k > cheie_i[x]$  **execută**
- 3:    $i \leftarrow i + 1$
- 4: **dacă**  $i \leq n[x]$  și  $k = cheie_i[x]$  **atunci**
- 5:     **returnează**  $(x, i)$
- 6: **dacă**  $frunză[x]$  **atunci**
- 7:     **returnează** NIL
- 8: **altfel**
- 9:     CITEŞTE-DISC( $c_i[x]$ )
- 10:   **returnează** CAUTĂ-B-ARBORE( $c_i[x], k$ )

CREEAZĂ-B-ARBORE( $T$ )

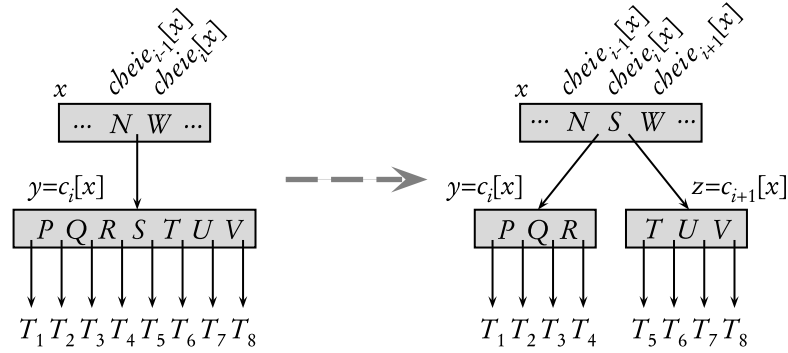
- 1:  $x \leftarrow \text{ALOCĂ-NOD}()$
- 2:  $frunză[x] \leftarrow \text{ADEVĂRAT}$
- 3:  $n[x] \leftarrow 0$
- 4: SCRIE-DISC( $x$ )
- 5:  $rădăcină[T] \leftarrow x$

## Divizarea unui nod

Inserarea într-un B-arbore este, în mod esențial, mai complicată decât inserarea unei chei într-un arbore binar de căutare. Una dintre operațiile fundamentale folosite în timpul inserării este **divizarea** unui nod plin  $y$  (care are  $2t - 1$  chei) în două noduri în jurul **cheii mediane**  $cheie_t[y]$ , având câte  $t - 1$  chei fiecare. Cheia mediană se deplasează la locul potrivit în nodul părinte (care înainte de deplasare nu trebuie să fie plin) spre a repeta fiecare dintre cei doi subarbore obținuți prin divizarea lui  $y$ . Dacă nodul  $y$  nu are părinte, atunci înălțimea B-arborelui crește cu unu. Deci divizarea este cea care provoacă creșterea înălțimii.

Procedura DIVIDE-FIU-B-ARBORE primește ca intrare un nod intern  $x$  care *nu este plin* (presupusă a fi în memoria principală), un indice  $i$  și un nod  $y$  astfel încât  $y = c_i[x]$  este un fiu *plin* al lui  $x$ . Procedura divide nodul  $y$  în două și rearanjează  $x$  astfel încât acesta va avea încă un fiu.

Figura 19.5 ilustrează acest proces. Nodul plin  $y$  este divizat după cheia lui mediană  $S$  care este mutată în nodul părinte  $x$ . Cheile mai mari decât  $S$  din  $y$  sunt mutate într-un nod nou  $z$  care devine un nou fiu al lui  $x$ .



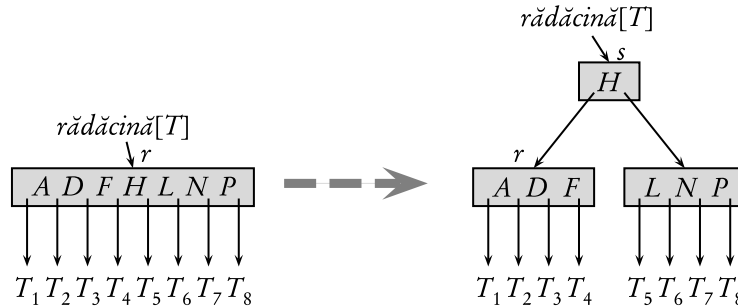
**Figura 19.5** Divizarea unui nod cu  $t = 4$ . Nodul  $y$  este divizat în două noduri  $y$  și  $z$ , iar cheia mediană  $S$  este mutată în părintele lui  $y$ .

DIVIDE-FIU-B-ARBORE( $x, i, y$ )

- 1:  $z \leftarrow \text{ALOCĂ-NOD}()$
- 2:  $\text{frunză}[z] \leftarrow \text{frunză}[y]$
- 3:  $n[z] \leftarrow t - 1$
- 4: **pentru**  $j \leftarrow 1, t - 1$  **execută**
  - 5:  $\text{cheie}_j[z] \leftarrow \text{cheie}_{j+t}[y]$
  - 6: **dacă** nu  $\text{frunză}[y]$  atunci
  - 7:   **pentru**  $j \leftarrow 1, t$  **execută**
  - 8:      $c_j[z] \leftarrow c_{j+t}[y]$
  - 9:      $n[y] \leftarrow t - 1$
- 10: **pentru**  $j \leftarrow n[x] + 1, i + 1, -1$  **execută**
- 11:    $c_{j+1}[x] \leftarrow c_j[x]$
- 12:    $c_{i+1}[x] \leftarrow z$
- 13: **pentru**  $j \leftarrow n[x], i, -1$  **execută**
- 14:    $\text{cheie}_{j+1}[x] \leftarrow \text{cheie}_j[x]$
- 15:    $\text{cheie}_i[x] \leftarrow \text{cheie}_t[y]$
- 16:    $n[x] \leftarrow n[x] + 1$
- 17: **SCRIE-DISC**( $y$ )
- 18: **SCRIE-DISC**( $z$ )
- 19: **SCRIE-DISC**( $x$ )

Procedura DIVIDE-FIU-B-ARBORE lucrează într-o manieră obișnuită “cut and paste”. Astfel  $y$ , al  $i$ -lea fiu al lui  $x$ , este nodul care va fi divizat. Nodul  $y$  are inițial  $2t - 1$  fii, dar după divizare îi mai rămân doar primii  $t - 1$  fii. Nodul  $z$  “adoptă” ultimii  $t - 1$  fii ai lui  $y$ , în timp ce cheia mediană este deplasată în părintele  $x$ , spre a separa nodurile  $y$  și  $z$ .

Liniile 1–8 creează nodul  $z$ , deplasează ultimele  $t - 1$  chei și cei  $t$  subarbore corespunzători din nodul  $y$ . Liniile 9 actualizează numărul de chei din  $y$ . Liniile 10–16 inserează  $z$  ca fiu al lui  $x$ , mută cheia mediană din  $y$  în  $x$  spre a separa nodurile  $y$  și  $z$  și actualizează numărul de chei din  $x$ . În sfârșit, liniile 17–19 cer scrierea paginilor disc modificate. Timpul CPU consumat de DIVIDE-FIU-B-ARBORE este  $\Theta(t)$  datorită ciclurilor din liniile 4–5 și 7–8 (celelalte cicluri au cel mult  $t$  iterări).



**Figura 19.6** Divizarea rădăcinii cu  $t = 4$ . Nodul rădăcină  $r$  este divizat în două și se creează un nou nod rădăcină  $s$ . Noul nod conține cheia mediană din  $r$  și ca fii cele două jumătăți ale lui  $r$ . Înălțimea B-arboreului crește cu 1 când rădăcina este divizată.

### Inserarea unei chei într-un B-arbore

Operația de inserare a unei chei  $k$  într-un B-arbore de înălțime  $h$  se execută într-o singură parcurgere, coborând în arbore, și cere  $O(h)$  acesei disc. Timpul CPU cerut este  $O(th) = O(t \log_t n)$ . Procedura INSEREAZĂ-B-ARBORE folosește procedura DIVIDE-FIU-B-ARBORE spre a se asigura că nici un descendant nu va deveni nod plin.

```

INSEREAZĂ-B-ARBORE( $T, k$ )
1:  $r \leftarrow rădăcină[T]$ 
2: dacă  $n[r] = 2t - 1$  atunci
3:    $s \leftarrow \text{ALOCĂ-NOD}()$ 
4:    $rădăcină[T] \leftarrow s$ 
5:    $\text{frunză}[s] \leftarrow \text{FALS}$ 
6:    $n[s] \leftarrow 0$ 
7:    $c_1[s] \leftarrow r$ 
8:   DIVIDE-FIU-B-ARBORE( $s, 1, r$ )
9:   INSEREAZĂ-B-ARBORE-NEPLIN( $s, k$ )
10: altfel
11:   INSEREAZĂ-B-ARBORE-NEPLIN( $r, k$ )

```

Liniile 3–9 tratează cazul în care nodul rădăcină  $r$  este plin: se creează o rădăcină nouă  $s$  cu doi descendenti și este divizată vechea rădăcină  $r$ . Divizarea rădăcinii este singura operație care determină creșterea înălțimii B-arboreului. În figura 19.6 este ilustrată această situație. Spre deosebire de arborii binari, care cresc în jos (spre frunze), B-arborele crește în partea de sus, prelungind rădăcina. Procedura se încheie apelând INSEREAZĂ-B-ARBORE-NEPLIN pentru a inseră cheia  $k$  într-un arbore cu o rădăcină care nu este plină. Această din urmă procedură parcurge arborele recursiv spre frunze, garantându-se faptul că, după parcurgere, nu vor rămâne noduri pline (dacă este cazul se va apela DIVIDE-FIU-B-ARBORE).

Procedura recursivă auxiliară INSEREAZĂ-B-ARBORE-NEPLIN inseră cheia  $k$  în nodul  $x$  despre care se presupune că nu este plin la momentul apelului. Împreună cu INSEREAZĂ-B-ARBORE, se asigură această condiție pentru toate nodurile parcuse.

```

INSEREAZĂ-B-ARBORE-NEPLIN( $x, k$ )
1:  $i \leftarrow n[x]$ 
2: dacă  $frunză[x]$  atunci
3:   cât timp  $i \geq 1$  și  $k < cheie_i[x]$  execută
4:      $cheie_{i+1}[x] \leftarrow cheie_i[x]$ 
5:      $i \leftarrow i - 1$ 
6:    $cheie_{i+1}[x] \leftarrow k$ 
7:    $n[x] \leftarrow n[x] + 1$ 
8:   SCRIE-DISC( $x$ )
9: altfel
10:  cât timp  $i \geq 1$  și  $k < cheie_i[x]$  execută
11:     $i \leftarrow i - 1$ 
12:     $i \leftarrow i + 1$ 
13:    CITEȘTE-DISC( $c_i[x]$ )
14:    dacă  $n[c_i[x]] = 2t - 1$  atunci
15:      DIVIDE-FIU-B-ARBORE( $x, i, c_i[x]$ )
16:      dacă  $k > cheie_i[x]$  atunci
17:         $i \leftarrow i + 1$ 
18:      INSEREAZĂ-B-ARBORE-NEPLIN( $c_i[x], k$ )

```

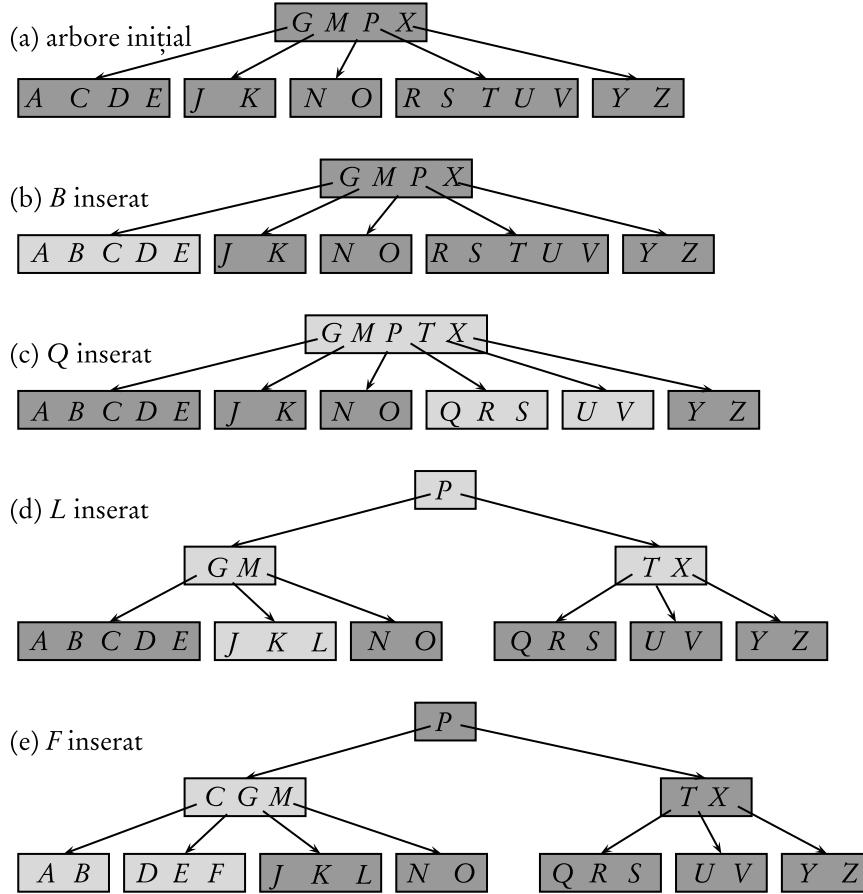
Procedura INSEREAZĂ-B-ARBORE-NEPLIN lucrează după cum urmează. Liniile 3–8 inserează  $k$  în  $x$  când  $x$  este un nod frunză. Dacă  $x$  nu este frunză, atunci  $k$  trebuie inserată în frunza potrivită, într-un subarbore al lui  $x$ . În acest caz, liniile 9–12, determină fiul lui  $x$  de la care trebuie mers descendant. Linia 14 detectează dacă apare un nod plin, caz în care linia 15 apelează divizarea, iar în liniile 16–17 se alege nodul pe care se coboară în arbore, dintre cei doi fi obținuți prin divizare. Trebuie remarcat că, după incrementarea lui  $i$  din linia 17, nu mai trebuie apelat CITEȘTE-DISC( $c_i[x]$ ) deoarece apelul recursiv asigură că fiul este deja citit în urma creării lui prin DIVIDE-FIU-B-ARBORE. Ca urmare a acțiunii liniilor 14–17, se garantează că nu vor mai apărea noduri pline. Linia 18 intră în recursivitate pentru a insera  $k$  în subarborele potrivit. În figura 19.7 se ilustrează câteva dintre cazurile care pot să apară la inserarea în B-arbore.

Numărul de accesări de disc efectuate de INSEREAZĂ-B-ARBORE este  $O(h)$ , unde  $h$  este înălțimea B-arborelui, deoarece între apelurile INSEREAZĂ-B-ARBORE-NEPLIN sunt efectuate numai  $O(1)$  accese la disc. Timpul total CPU este  $O(th) = O(t \log t n)$ . Deoarece INSEREAZĂ-B-ARBORE-NEPLIN folosește recursivitatea de coadă, ea poate fi transformată într-un ciclu **cât timp**, ceea ce arată că, în fiecare moment, numărul de pagini din memoria internă este  $O(1)$ .

## Exerciții

**19.2-1** Arătați rezultatul inserării cheilor F, S, Q, K, C, L, H, T, V, W, M, R, N, P, A, B, X, Y, D, Z, E, în această ordine, într-un B-arbore, inițial vid. Desenați configurațiile din arbore care preced divizări de noduri și desenați configurația finală.

**19.2-2** Explicați în ce condiții pot fi (sunt) executate operații redundante de acces la disc la apelarea procedurii INSEREAZĂ-B-ARBORE. (O operație CITEȘTE-DISC este redundantă dacă pagina este deja în memorie, iar o operație SCRIE-DISC este redundantă dacă informația scrisă din memorie este identică cu cea de pe disc.)



**Figura 19.7** Inserarea de chei într-un B-arbore. Acesta are gradul minim  $t = 3$ , deci un nod poate avea cel mult 5 chei. Nodurile modificate prin inserări sunt hașurate mai deschis. (a) Arborele inițial. (b) Rezultatul inserării cheii  $B$  – introducerea ei în frunză. (c) Introducerea cheii  $Q$  în arborele precedent: nodul  $RSTUV$  este divizat în două noduri conținând  $RS$  și  $UV$ , cheia  $T$  este mutată în rădăcină, iar  $Q$  este inserat în partea stângă a nodului  $RS$ . (d) Rezultatul inserării cheii  $L$  în arborele precedent. Rădăcina este divizată, iar înălțimea B-arborelui crește cu 1. Apoi  $L$  este inserat în frunza care conține  $JK$ . (e) Rezultatul inserării cheii  $F$  în arborele anterior. Nodul  $ABCDE$  este divizat înainte ca  $F$  să fie inserat în nodul  $DE$ .

**19.2-3** Explicați cum se poate găsi cheia minimă memorată într-un B-arbore și cum se poate găsi predecesorul unei chei memorate într-un B-arbore.

**19.2-4** \* Presupunem că cheile  $\{1, 2, \dots, n\}$  sunt inserate într-un B-arbore inițial vid cu gradul minim 2. Câte noduri va avea în final acest B-arbore?

**19.2-5** Deoarece nodurile frunză nu conțin pointeri la subarbori fii, se poate concepe folosirea în frunze a unei valori  $t$  diferite (mai mari) decât la nodurile interne pentru a ocupa mai eficient

paginile disc. Arătați cum se modifică procedurile de creare și inserare într-un B-arbore în acest caz.

**19.2-6** Presupunem că algoritmul CAUTĂ-B-ARBORE este implementat folosind, în interiorul nodurilor, căutarea binară în locul celei liniare. Arătați că, prin aceasta, timpul CPU este  $O(\lg n)$ , independent de  $t$  ca funcție de  $n$ .

**19.2-7** Presupunem că echipamentul disc permite să se aleagă arbitrar lungimea paginii, dar că timpul de citire a unei pagini, cu o lungime selectată, este  $a + bt$ , unde  $a$  și  $b$  sunt constante date, iar  $t$  este gradul minim al B-arborelui. Descrieți cum trebuie ales  $t$ , astfel încât să minimizeze (aproximativ) timpul de căutare în B-arbore. Căutați, de exemplu, o valoare optimă pentru  $t$  în cazul  $a = 30$  milisecunde și  $b = 40$  microsecunde.

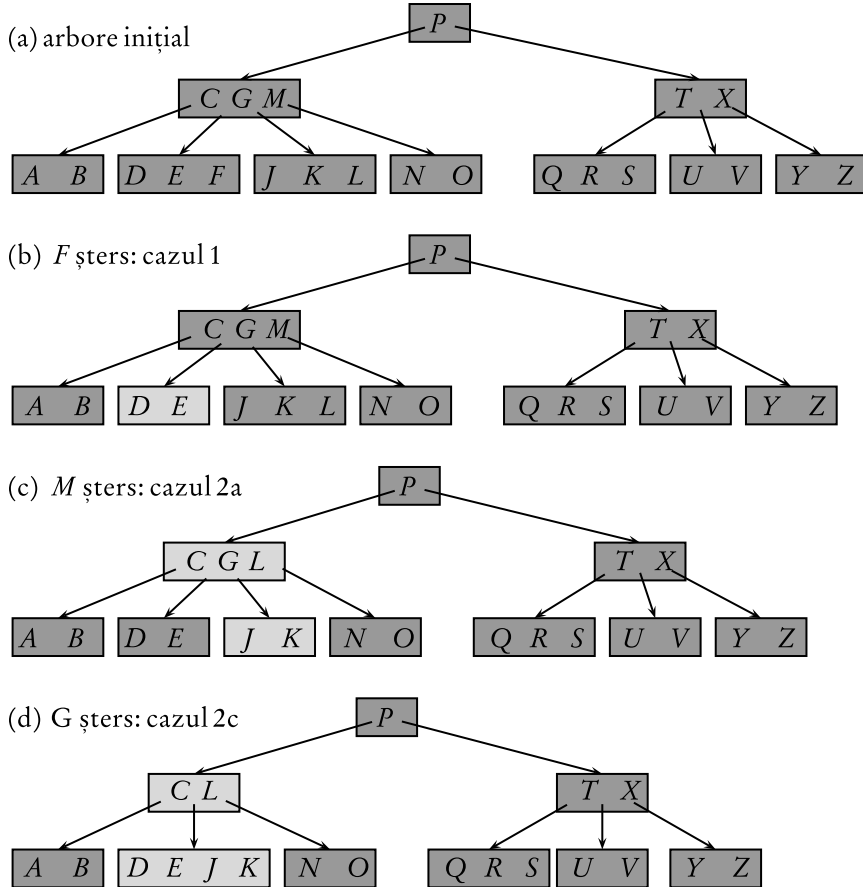
### 19.3. Ștergerea unei chei dintr-un B-arbore

Operația de ștergere dintr-un B-arbore este analogă celei de inserare, însă este puțin mai complicată. În loc să descriem complet algoritmii necesari, vom schița doar modul de lucru.

Presupunem că procedurii ȘTERGE-B-ARBORE î se cere să șteargă cheia  $k$  din subarborele de rădăcină  $x$ . Procedura trebuie să asigure (recursiv) faptul că numărul de chei din  $x$  este cel puțin  $t$ . Această cerință apare din faptul că, în urma unei ștergeri, se diminuează cu 1 numărul cheilor dintr-un nod, deci este posibil să nu mai poată avea  $t$  chei în el. În acest caz, poate avea loc un proces de **fuziune** (invers divizării), caz în care o cheie coboară într-un fiu înainte de a î se aplica acestuia (recursiv) procedura de ștergere. Dacă într-un astfel de proces rădăcina rămâne fără nici o cheie, deci cu un singur fiu, atunci se șterge rădăcina veche, iar unicul fiu devine noua rădăcină a arborelui, scăzând înălțimea arborelui cu 1 și păstrând proprietatea arborelui cel puțin o cheie (doar dacă arborele nu este vid).

Figura 19.8 ilustrează câteva cazuri de ștergere de chei dintr-un B-arbore.

1. Dacă cheia  $k$  este într-un nod  $x$  care este frunză, atunci se șterge cheia  $k$  din nodul  $x$ .
2. Dacă cheia  $k$  este în nodul interior  $x$ , atunci:
  - a. Dacă fiul  $y$  care precede cheia  $k$  are cel puțin  $t$  chei, atunci se caută predecesorul  $k'$  al cheii  $k$  în subarborele de rădăcină  $y$ . Se șterge  $k'$  și se înlocuiește  $k$  din  $x$  cu  $k'$ , după care se aplică mai departe, recursiv, aceeași regulă. (Găsirea cheii  $k'$  și ștergerea ei se poate face într-un singur pas.)
  - b. În manieră simetrică, dacă fiul  $z$  care succede cheia  $k$  în nodul  $x$  are cel puțin  $t$  chei, atunci se caută succesorul  $k'$  al cheii  $k$  în subarborele de rădăcină  $z$ . Se șterge  $k'$  și se înlocuiește  $k$  din  $x$  cu  $k'$ , după care se aplică mai departe, recursiv, aceeași regulă. (Găsirea cheii  $k'$  și ștergerea ei se poate face într-un singur pas.)
  - c. În caz contrar, dacă atât  $y$  cât și  $z$  au numai câte  $t - 1$  chei, cele două noduri fuzionează în sensul că în  $y$  intră  $k$  și toate cheile din  $z$ , după care  $y$  va conține  $2t - 1$  chei. Apoi se eliberează nodul  $z$  și recursiv, se șterge cheia  $k$  din  $y$ .



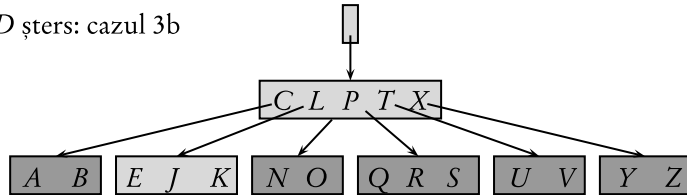
**Figura 19.8** Ștergerea de chei dintr-un B-arbore. Gradul lui minim este  $t = 3$  astfel că nodurile, cu excepția rădăcinii, nu pot avea mai puțin de 2 chei. Nodurile modificate sunt hașurate mai deschis. (a) B-arborele din figura 19.7(e). (b) Ștergerea cheii  $F$  corespunde cazului 1: ștergere din frunză. (c) Ștergerea cheii  $M$ : cazul 2a, cheia  $L$  care îl precede pe  $M$  este mutată în vechiul loc al lui  $M$ . (d) Ștergerea cheii  $G$ : cazul 2c, cheia  $G$  este pusă mai jos și se formează prin fuziune nodul  $DEGJK$ , după care  $G$  este șters din frunză (cazul 1). (e) Ștergerea cheii  $D$ : cazul 3b, recurența nu poate să coboare din nodul  $CL$  deoarece are numai două chei, deci  $P$  este împins în jos și prin fuzionarea cu  $CL$  și  $TX$  se obține nodul  $CLPTX$ ; apoi se șterge  $D$  din frunză (cazul 1). (e') După (d) se șterge rădăcina și înălțimea scade cu 1. (f) Ștergerea cheii  $B$ : cazul 3a,  $C$  este mutat în vechiul loc al lui  $B$  și  $E$  este mutat în locul lui  $C$ .

3. Dacă cheia  $k$  nu este prezentă în nodul intern  $x$ , se determină rădăcina  $c_i[x]$  care indică subarborele în care se află cheia  $k$ , dacă aceasta se află în arbore. Dacă  $c_i[x]$  are numai  $t - 1$  chei, se execută pașii 3a sau 3b, necesari pentru a se păstra în noduri numărul minim de  $t$  chei. Apoi se reaplică recursiv procedura la fiul potrivit al lui  $x$ .

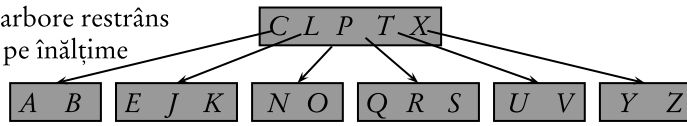
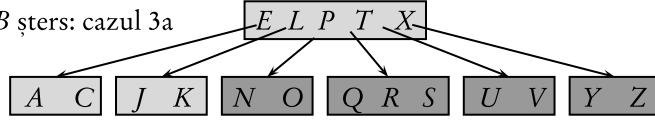
- a. Dacă  $c_i[x]$  are numai  $t - 1$  chei, dar are un nod frate în stânga sau în dreapta lui care

are  $t$  chei, are loc mutarea unei chei din  $x$  în  $c_i[x]$ , apoi mutarea unei chei în  $x$  din frațele din stânga sau dreapta a lui  $c_i[x]$ .

- b. Dacă  $c_i[x]$  și frații lui au câte  $t - 1$  chei, fuzionează  $c_i$  cu unul dintre frați, ceea ce implică mutarea unei chei din  $x$  în nodul nou fuzionat ca și cheie mediană.

(e)  $D$  șters: cazul 3b

(e') arbore restrâns pe înălțime

(f)  $B$  șters: cazul 3a

Deoarece majoritatea cheilor dintr-un B-arbore sunt în frunze, ne așteptăm ca, în practică, cele mai multe ștergeri să aibă loc în frunze. Procedura de ștergere **STERGE-B-ARBORE** acționează descendant și fără reveniri. Când se șterge o cheie dintr-un nod intern, au loc o serie de înlocuire de chei, astfel încât ștergerea efectivă să se facă în frunză (cazurile 2a sau 2b).

Deși procedura pare complicată, ea presupune numai  $O(h)$  accese la disc pentru un B-arbore de înălțime  $h$ , deoarece între două apeluri recursive au loc numai  $O(1)$  accese la disc. Timpul CPU necesar este de  $O(th) = O(t \log_t n)$ .

## Exerciții

**19.3-1** Prezentați rezultatele obținute după ștergerea, în această ordine, a cheilor C, P și V din B-arborele din figura 19.8(f).

**19.3-2** Descrieți, în pseudocod, procedura **STERGE-B-ARBORE**.

## Probleme

### 19-1 Stive în memoria secundară

Considerăm implementarea unei stive pentru un sistem de calcul care are o memorie internă rapidă relativ mică și o memorie secundară pe disc lentă, dar practic oricât de mare. Operațiile specifice **PUNE-ÎN-STIVĂ** și **SCOATE-DIN-STIVĂ** au ca operand un cuvânt. Se admite creșterea oricât de mare a acestei stive; ceea ce depășește memoria internă, se extinde automat pe disc.

O implementare simplă, dar neficientă, păstrează întreaga stivă pe disc. În memorie se păstrează doar un pointer la stivă, care este adresa elementului din vârful stivei. Dacă  $p$  este valoarea acestui pointer,  $m$  este numărul de cuvinte dintr-o pagină, atunci  $\lfloor p/m \rfloor$  este numărul paginii de pe disc, iar primul element este al  $p \bmod m$ -lea cuvânt din pagină.

Pentru implementarea procedurii PUNE-ÎN-STIVĂ, se incrementează pointerul de stivă, se citește pagina disc corespunzătoare, se copiază conținutul cuvântului în vârful paginii din vârful stivei, după care pagina se rescrie pe disc. Operația SCOATE-DIN-STIVĂ este similară: se decrementează pointerul de stivă, se citește pagina corespunzătoare, se extrage elementul din vârful stivei după care pagina se rescrie pe disc.

Deoarece operațiile cu discul sunt relativ costisoare, vom folosi numărul de operații disc ca măsură a eficienței. Vom contoriza timpul CPU și vom cere  $\Theta(m)$  pentru fiecare acces disc la o pagină de  $m$  cuvinte.

- a. Care este valoarea asimptotică a numărului de accese disc la o stivă cu  $n$  operații asupra stivei, în cel mai defavorabil caz? Care este timpul CPU pentru  $n$  operații pe stivă? (Răspunsul se va exprima în funcție de  $m$  și  $n$ ).

Să considerăm o implementare în care se păstrează permanent în memoria internă o pagină a stivei. (Evident, vom ști copia cărei pagini disc se află în memorie). Se pot face operații asupra stivei numai dacă pagina respectivă se află în memorie. Dacă este cazul, pagina curentă de pe disc se rescrie și se recitește alta. Dacă pagina este deja în memorie, nu se mai accesează discul pentru ea.

- b. Care este, în cel mai defavorabil caz, numărul de accese la disc și timpul CPU pentru  $n$  operații PUNE-ÎN-STIVĂ?
- c. Care este, în cel mai defavorabil caz, numărul de accese la disc și timpul CPU pentru  $n$  operații asupra stivei?

Presupunem că realizăm o implementare a stivei în care se păstrează două pagini disc în memorie (cu gestiunea aferentă lor).

- d. Descrieți cum se gestioneză, în acest caz, paginile stivei, astfel încât numărul amortizat al acceselor de disc să fie  $O(1/m)$ , iar timpul mediu amortizat CPU să fie  $O(1)$ .

### 19-2 Fuzionarea și divizarea 2-3-4 arborilor

Operația de **fuzionare** necesită două multimi dinamice  $S'$  și  $S''$  și un element  $x$ , astfel încât, pentru orice  $x' \in S'$  și  $x'' \in S''$ , avem  $cheie[x'] < cheie[x] < cheie[x'']$ . În urma operației, se returnează o mulțime  $S = S' \cup \{x\} \cup S''$ . Operația de **divizare** este oarecum “înversă” fuziunii: se dă o mulțime dinamică  $S$  și un element  $x \in S$  și se creează o mulțime  $S'$  care conține toate elementele din  $S - \{x\}$  cu cheile mai mici decât  $cheie[x]$  și o mulțime  $S''$  cu elementele din  $S - \{x\}$  care au cheile mai mari decât  $cheie[x]$ . În acest sens vom examina cum se pot implementa aceste operații la 2-3-4 arbori. Pentru simplificare, presupunem că toate cheile sunt distințe.

- a. Arătați cum se întreține un câmp  $în / ime[x]$  care, pentru un nod  $x$  al unui 2-3-4 arbore, reprezintă mulțimea subarborelui de rădăcină  $x$ . Desigur, soluția nu trebuie să afecteze timpii asimptotici de execuție ai operațiilor de căutare, inserare și ștergere.

- b.** Arătați cum se implementează operația de fuzionare. Fiind dați 2-3-4 arborii  $T'$  și  $T''$  și o cheie  $k$ , operația de fuziune trebuie să se execute în timp  $O(|h' - h''|)$ , unde  $h'$  și  $h''$  sunt înălțimile arborilor  $T'$  și, respectiv,  $T''$ .
- c.** Într-un 2-3-4 arbore  $T$ , considerăm un drum  $p$  de la rădăcină la o cheie  $k$ , mulțimea  $S'$  formată din cheile din  $T$  mai mici decât  $k$  și mulțimea  $S''$  formată din cheile din  $T$  mai mari decât  $k$ . Arătați că  $p$  împarte mulțimea  $S'$  într-o mulțime de arbori  $\{T'_0, T'_1, \dots, T'_m\}$  și o mulțime de chei  $\{k'_1, k'_2, \dots, k'_m\}$ , unde, pentru  $i = 1, 2, \dots, m$ , avem  $y < k'_i < z$ , pentru orice cheie  $y \in T'_{i-1}$  și  $z \in T'_i$ . Care este relația dintre înălțimile arborilor  $T'_{i-1}$  și  $T'_i$ ? Descrieți cum împarte  $p$  mulțimea  $S''$  în submulțimi de arbori și chei.
- d.** Arătați cum se poate implementa operația de diviziune în  $T$ . Folosiți operația de fuziune pentru a asambla cheile din  $S'$  într-un singur 2-3-4 arbore  $T'$  și cheile din  $S''$  într-un singur 2-3-4 arbore  $T''$ . Timpul de execuție trebuie să fie  $O(\lg n)$ , unde  $n$  este numărul de chei din  $T$ . (*Indica ie:* Costurile reunirii ar trebui să telescopze.)

## Note bibliografice

Knuth [123], Aho, Hopcroft și Ullman [4], Sedgewick [175] au tratat diverse aspecte ale schemelor de arbori echilibrați și B-arbori. O sinteză exhaustivă asupra B-arborilor a fost realizată de Comer [48]. Guibas și Sedgewick [93] au tratat relațiile între diversele scheme de arbori echilibrați, inclusiv arbori roșu-negru și 2-3-4 arbori.

În 1970, J. E. Hopcroft a inventat 2-3 arborii, precursori ai B-arborilor și 2-3-4 arborilor, în care fiecare nod intern are doi sau trei fii. B-arborii au fost definiți de Bayer și McCreight în 1972 [18]; ei nu au explicitat sursa alegerii acestui nume.

---

## 20 Heap-uri binomiale

Acet capitol și capitolul 21 prezintă structuri de date cunoscute sub numele de **heap-uri interclasabile**, caracterizate de următoarele cinci operații.

CREEAZĂ-HEAP() creează și returnează un heap nou care nu conține elemente.

INSEREAZĂ( $H, x$ ) inserează nodul  $x$ , a cărui *cheie* a fost inițializată, în heap-ul  $H$ .

MINIMUM( $H$ ) returnează un pointer la nodul cu cea mai mică cheie din  $H$ .

EXTRAGE-MIN( $H$ ) șterge nodul cu cheia minimă din  $H$  și returnează un pointer la acest nod.

REUNEȘTE( $H_1, H_2$ ) creează și returnează un heap nou care conține toate nodurile heap-urilor  $H_1$  și  $H_2$ . Heap-urile  $H_1$  și  $H_2$  sunt “distruse” în urma acestei operații.

În plus, pe structurile de date din aceste capitole se pot defini și următoarele două operații.

DESCREȘTE-CHEIE( $H, x, k$ ) atribuie nodului  $x$  din heap-ul  $H$  valoarea  $k$  pentru cheie, valoare presupusă a nu fi mai mare decât valoarea curentă a cheii.

ȘTERGE( $H, x$ ) șterge nodul  $x$  din heap-ul  $H$ .

Tabelul din figura 20.1 arată că heap-urile binare obișnuite, folosite, de exemplu, în heapsort (capitolul 7), suportă bine aceste operații, cu excepția operației REUNEȘTE. În cazul heap-urilor binare, pentru fiecare operație, exceptând REUNEȘTE, timpul de execuție în cazul cel mai defavorabil este  $O(\lg n)$  (sau mai bun). Dacă totuși un heap binar trebuie să execute operația REUNEȘTE aceasta va fi lentă. Prin concatenarea celor două tablouri care memorează heap-urile binare care se interclasază și apoi aplicarea operației RECONSTITUIE-HEAP, timpul de execuție, în cazul cel mai defavorabil, pentru operația REUNEȘTE este  $\Theta(n)$ .

În acest capitol vom examina “heap-urile binomiale” a căror margini pentru timpii de execuție, în cazurile cele mai defavorabile, sunt prezentate în figura 20.1. În particular, operația REUNEȘTE pentru interclasarea a două heap-uri binomiale cu  $n$  elemente va fi de complexitate  $O(\lg n)$ .

În capitolul 21 vom examina heap-urile Fibonacci care pentru anumite operații au estimări chiar mai bune a timpilor de execuție. Să notăm aici că estimările din figura 20.1 pentru heap-urile Fibonacci sunt amortizate și nu reprezintă margini ale timpilor de execuție, în cazurile cele mai defavorabile.

În acest capitol vor fi ignorate operațiile de alocare a nodurilor înainte de o inserare și de eliberare a nodurilor după o ștergere. Presupunem că de aceste detalii este responsabil codul care apelează operațiile heap-ului.

Heap-urile binare, binomiale și Fibonacci sunt ineficiente în raport cu operația de CĂUTARE; pentru găsirea unui nod care conține o anumită valoare nu se poate stabili o cale de căutare directă în aceste structuri. Din acest motiv, operațiile DESCREȘTE-CHEIE și ȘTERGE care se referă la un anumit nod reclamă ca parametru de intrare un pointer la nodul respectiv. În cele mai multe aplicații această cerință nu ridică probleme.

În secțiunea 20.1 se definesc heap-urile binomiale, după ce în prealabil se definesc arborii binomiali. Se introduce, de asemenea, și o reprezentare particulară a heap-urilor binomiale. În secțiunea 20.2 se prezintă modul în care se pot implementa operațiile pe heap-uri binomiale pentru a obține estimările de timp din figura 20.1.

Procedură	Heap binar (cazul cel mai defavorabil)	Heap binomial (cazul cel mai defavorabil)	Heap Fibonacci (amortizat)
CREEAZĂ-HEAP	$\Theta(1)$	$\Theta(1)$	$\Theta(1)$
INSEREAZĂ	$\Theta(\lg n)$	$O(\lg n)$	$\Theta(1)$
MINIMUM	$\Theta(1)$	$O(\lg n)$	$\Theta(1)$
EXTRAGE-MIN	$\Theta(\lg n)$	$\Theta(\lg n)$	$O(\lg n)$
REUNEȘTE	$\Theta(n)$	$O(\lg n)$	$\Theta(1)$
DESCREȘTE-CHEIE	$\Theta(\lg n)$	$\Theta(\lg n)$	$\Theta(1)$
ȘTERGE	$\Theta(\lg n)$	$\Theta(\lg n)$	$O(\lg n)$

**Figura 20.1** Timpi de execuție a operațiilor pentru trei implementări ale heap-urilor interclasabile. Numărul elementelor din heap-ul sau heap-urile folosite de o operație este notat cu  $n$ .

## 20.1. Arbori binomiali și heap-uri binomiale

Deoarece un heap binomial este o colecție de arbori binomiali, această secțiune începe prin definirea arborilor binomiali și demonstrarea unor proprietăți esențiale ale acestora. Vom defini apoi heap-urile binomiale și vom arăta cum pot fi reprezentate acestea.

### 20.1.1. Arbori binomiali

*Arborele binomial*  $B_k$  este un arbore ordonat definit recursiv (a se vedea secțiunea 5.5.2). După cum arată figura 20.2(a), arborele binomial  $B_0$  constă dintr-un singur nod. Arborele binomial  $B_k$  constă din doi arbori binomiali  $B_{k-1}$  care sunt *înlățuți*: rădăcina unuia dintre ei este fiul situat cel mai în stânga rădăcinii celuilalt arbore. Figura 20.2(b) prezintă arborii binomiali de la  $B_0$  la  $B_4$ .

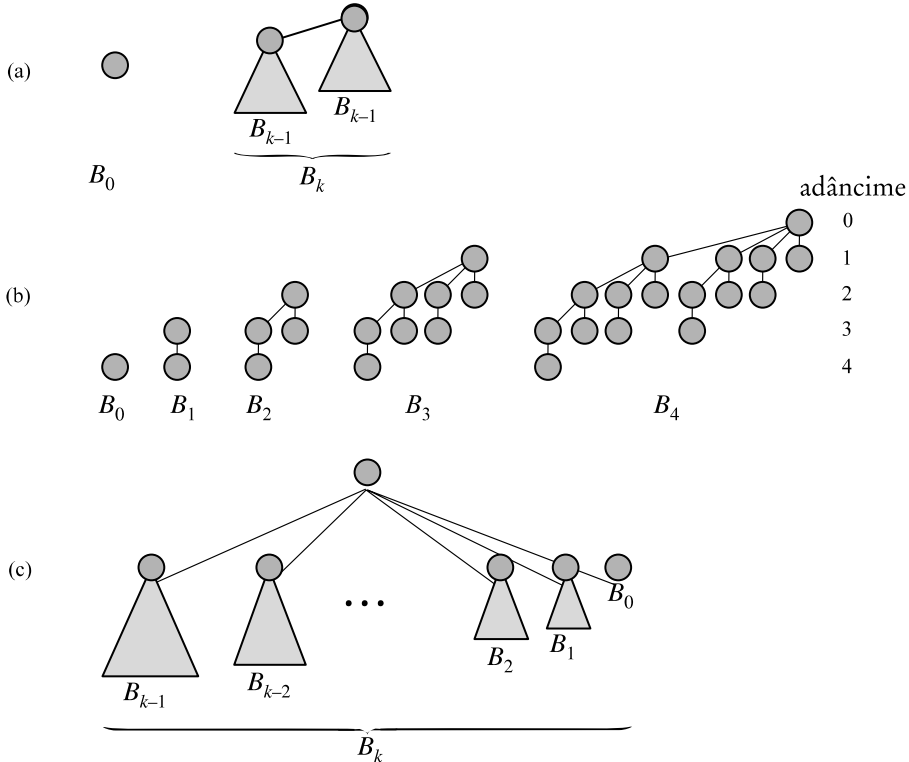
Lema următoare conține câteva proprietăți ale arborilor binomiali.

**Lema 20.1 (Proprietăți ale arborilor binomiali)** Arborele binomial  $B_k$  are:

1.  $2^k$  noduri,
2. înălțimea  $k$ ,
3. exact  $\binom{k}{i}$  noduri, la adâncimea  $i$ , pentru  $i = 0, 1, \dots, k$ ,
4. rădăcina de grad  $k$ , grad mai mare decât a oricărui alt nod; mai mult, dacă fiii rădăcinii sunt numerotați de la stânga spre dreapta prin  $k-1, k-2, \dots, 0$ , atunci fiul  $i$  este rădăcina subarborelui  $B_i$ .

**Demonstrație.** Demonstrația este inductivă în raport cu  $k$ . Pasul inițial pentru fiecare proprietate îl constituie arborele binomial  $B_0$ . Verificarea proprietăților pentru  $B_0$  este imediată. Presupunem că lema are loc pentru arborile  $B_{k-1}$ .

1. Arboarele binomial  $B_k$  are  $2^{k-1} + 2^{k-1} = 2^k$  noduri, deoarece el constă din două copii ale arborelui  $B_{k-1}$ .



**Figura 20.2** (a) Definiția recursivă a arborelui binomial  $B_k$ . Triunghiurile reprezintă subarborii rădăcinii. (b) Arborii binomiali  $B_0$  până la  $B_4$ . Este redată și adâncimea nodurilor lui  $B_4$ . (c) Un alt mod de a privi arborele binomial  $B_k$ .

2. Înținând cont de modul în care sunt înlăntuite cele două copii ale lui  $B_{k-1}$  pentru a forma  $B_k$ , rezultă că adâncimea maximă a lui  $B_k$  este cu unu mai mare decât adâncimea maximă a lui  $B_{k-1}$ . Din ipoteza de inducție obținem valoarea  $(k - 1) + 1 = k$  pentru adâncimea maximă a lui  $B_k$ .
3. Fie  $D(k, i)$  numărul nodurilor situate pe nivelurile  $i$  al arborelui binomial  $B_k$ . Deoarece  $B_k$  este compus din două copii înlăntuite ale lui  $B_{k-1}$ , un nod de pe nivelul  $i$  din  $B_{k-1}$  apare în  $B_k$  pe nivelele  $i$  și  $i + 1$ . Altfel spus, numărul nodurilor situate pe nivelul  $i$  în  $B_k$  este egal cu numărul nodurilor de pe nivelul  $i$  din  $B_{k-1}$  plus numărul nodurilor de pe nivelul  $i - 1$  din  $B_{k-1}$ . Astfel,

$$D(k, i) = D(k - 1, i) + D(k - 1, i - 1) = \binom{k - 1}{i} + \binom{k - 1}{i - 1} = \binom{k}{i}.$$

A doua egalitate rezultă din ipoteza de inducție, iar egalitatea a treia rezultă din exercițiul 6.1-7.

4. Singurul nod cu grad mai mare în  $B_k$  decât în  $B_{k-1}$  este rădăcina, care are un fiu mai mult decât în  $B_{k-1}$ . Deoarece rădăcina lui  $B_{k-1}$  are gradul  $k - 1$ , rădăcina lui  $B_k$  are

gradul  $k$ . Din ipoteza de inducție și după cum ilustrează figura 20.2(c), fiii lui  $B_{k-1}$  (de la stânga la dreapta) sunt rădăcinile arborilor  $B_{k-2}, B_{k-3}, \dots, B_0$ . Când  $B_{k-1}$  este legat la  $B_{k-1}$ , fiii rădăcinii rezultate sunt rădăcini pentru  $B_{k-1}, B_{k-2}, \dots, B_0$ . ■

**Corolarul 20.2** Gradul maxim al nodurilor unui arbore binomial având  $n$  noduri este  $\lg n$ .

**Demonstrație.** Rezultă imediat din proprietățile 1 și 4 ale lemei 20.1. ■

Proprietatea 3 a lemei 20.1 justifică termenul de “arbore binomial” prin faptul că  $\binom{k}{i}$  sunt coeficienții binomiali. O justificare în plus a acestui termen este oferită de exercițiul 20.1-3.

### 20.1.2. Heap-uri binomiale

Un **heap binomial**  $H$  este format dintr-o mulțime de arbori binomiali care satisfac următoarele **proprietăți de heap binomial**.

1. Fiecare arbore binomial din  $H$  satisfacă **proprietatea de ordonare a unui heap**: cheia unui nod este mai mare sau egală decât cheia părintelui său.
2. Există cel mult un arbore binomial în  $H$  a cărui rădăcină are un grad dat.

Conform primei proprietăți, rădăcina unui arbore cu proprietatea de heap ordonat, conține cea mai mică cheie din arbore.

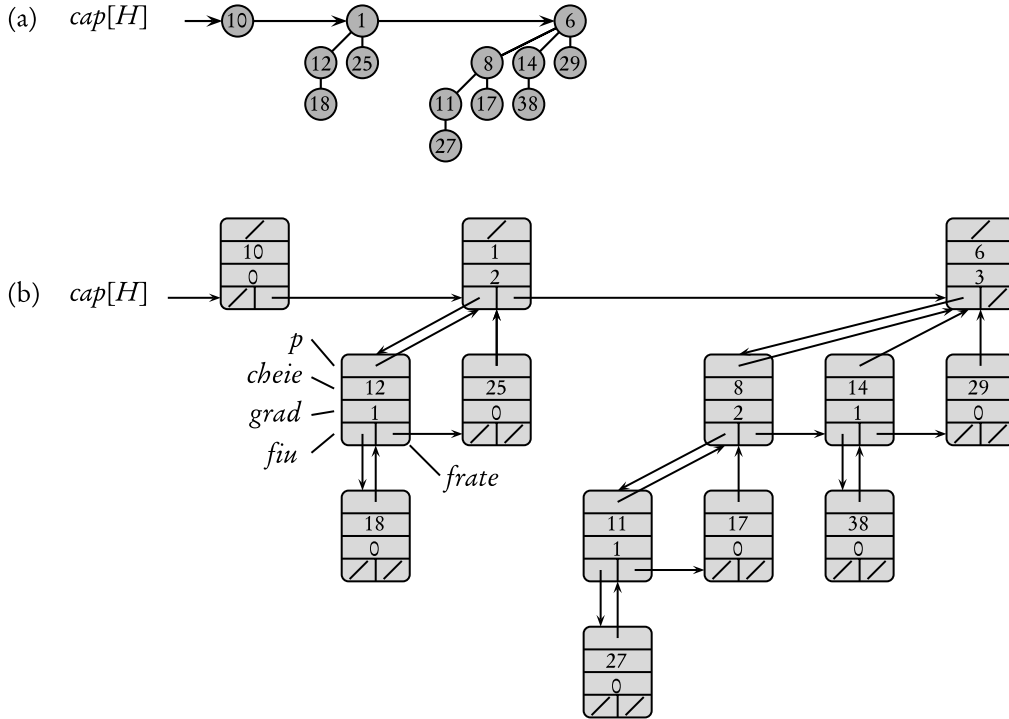
Proprietatea a doua implică faptul că un heap binomial  $H$  având  $n$  noduri conține cel mult  $\lfloor \lg n \rfloor + 1$  arbori binomiali. Pentru o justificare a acestei afirmații observați că reprezentarea binară a lui  $n$  are  $\lfloor \lg n \rfloor + 1$  biți, fie aceștia  $\langle b_{\lfloor \lg n \rfloor}, b_{\lfloor \lg n \rfloor - 1}, \dots, b_0 \rangle$ , astfel încât  $n = \sum_{i=0}^{\lfloor \lg n \rfloor} b_i 2^i$ . Din proprietatea 1 a lemei 20.1 rezultă că arboarele binomial  $B_i$  apare în  $H$  dacă și numai dacă bitul  $b_i = 1$ . Astfel, heap-ul binomial  $H$  conține cel mult  $\lfloor \lg n \rfloor + 1$  arbori binomiali.

Figura 20.3(a) prezintă un heap binomial  $H$  având 13 noduri. Reprezentarea binară a numărului 13 este  $\langle 1101 \rangle$ , iar  $H$  conține arborii binomiali cu proprietatea de heap  $B_3, B_2$  și  $B_0$ , având 8, 4 și respectiv 1 nod, în total fiind 13 noduri.

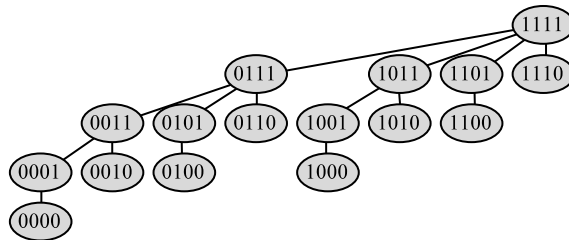
### Reprezentarea heap-urilor binomiale

După cum ilustrează și figura 20.3(b), fiecare arbore binomial al unui heap binomial este memorat conform reprezentării stânga-fiu, dreapta-frate prezentată în secțiunea 11.4. Fiecare nod are un câmp *cheie* plus alte informații specifice aplicației care folosesc heap-ul. În plus, fiecare nod  $x$  conține pointerii  $p[x]$  spre părintele lui,  $fiu[x]$  spre fiul situat cel mai în stânga și  $frate[x]$  spre fratele lui  $x$  situat imediat în dreapta. Dacă nodul  $x$  este o rădăcină atunci  $p[x] = NIL$ . Dacă nodul  $x$  nu are fiu atunci  $fiu[x] = NIL$ , iar dacă  $x$  este fiul situat cel mai în dreapta, atunci  $frate[x] = NIL$ . Fiecare nod conține de asemenea câmpul *grad*[ $x$ ], care reprezintă numărul filor lui  $x$ .

Rezultă din figura 20.3 că rădăcinile arborilor binomiali conținuți de un heap binomial sunt păstrate într-o listă înlănțuită pe care o vom numi în continuare *listă de rădăcini*. La o traversare a listei de rădăcini, gradul rădăcinilor formează un sir strict crescător. Din a doua proprietate de heap binomial, rezultă că gradele rădăcinilor unui heap binomial având  $n$  noduri formează o submulțime a mulțimii  $\{0, 1, \dots, \lfloor \lg n \rfloor\}$ . Câmpul *frate* are semnificații diferite după



**Figura 20.3** Un heap binomial  $H$  având  $n = 13$  noduri. (a) Heap-ul constă din arborii binomiali  $B_0$ ,  $B_2$  și  $B_3$ , arbori care au 1, 4 și respectiv 8 noduri, în total fiind  $n = 13$  noduri. Deoarece fiecare arbore binomial satisfac proprietatea de ordonare a unui heap, cheia fiecărui nod nu este mai mică decât cheia părintelui său. Este redată de asemenea și lista de rădăcini, care este o listă înlănțuită conținând rădăcinile în ordine crescătoare a gradelor lor. (b) O reprezentare mai detaliată a heap-ului binomial  $H$ . Fiecare arbore binomial este memorat conform reprezentării stânga-fiu, dreapta-frate. Fiecare nod memorează de asemenea și gradul lui.



**Figura 20.4** Arborele binomial  $B_4$  cu nodurile etichetate prin secvențe binare corespunzătoare parcurgerii în postordine.

cum nodurile sunt rădăcini sau nu. Dacă  $x$  este rădăcină atunci  $frate[x]$  referă rădăcina următoare în lista de rădăcini. (Dacă  $x$  este ultima rădăcină din listă atunci, ca de obicei,  $frate[x] = \text{NIL}$ .)

Un heap binomial dat  $H$  este referit prin pointerul  $cap[H]$  spre prima rădăcină din lista de

rădăcini a lui  $H$ . Dacă heap-ul binomial  $H$  nu are elemente, atunci  $cap[H] = \text{NIL}$ .

### Exerciții

**20.1-1** Presupunem că  $x$  este un nod al unui arbore binomial dintr-un heap binomial și că  $frate[x] \neq \text{NIL}$ . Ce relație există între  $grad[frate[x]]$  și  $grad[x]$ , dacă  $x$  nu este o rădăcină? Dar dacă  $x$  este o rădăcină?

**20.1-2** Dacă  $x$  nu este nodul rădăcină al unui arbore binomial dintr-un heap binomial, ce relație există între  $grad[p[x]]$  și  $grad[x]$ ?

**20.1-3** Presupunem că etichetăm nodurile arborelui binomial  $B_k$  prin secvențe binare corespunzătoare parcurgerii în postordine a arborelui, conform figurii 20.4. Considerăm un nod  $x$  de pe nivelul  $i$  etichetat cu  $l$  și fie  $j = k - i$ . Arătați că eticheta asociată nodului  $x$  are  $j$  cifre de 1. Câte siruri binare de lungime  $k$  conțin exact  $j$  cifre binare de 1? Arătați că gradul lui  $x$  este egal cu numărul cifrelor 1 situate în dreapta celui mai din dreapta 0 din reprezentarea binară a lui  $l$ .

## 20.2. Operații pe heap-uri binomiale

În această secțiune vom arăta cum putem efectua operațiile pe heap-uri binomiale respectând marginile de timp prezentate în figura 20.1. Vom demonstra numai rezultatele privind marginile superioare; justificarea rezultatelor referitoare la marginile inferioare cuprinsă în exercițiul 20.2-10.

### Crearea unui heap binomial nou

Pentru a crea un heap binomial vid, procedura CREEAZĂ-HEAP-BINOMIAL va aloca și returna un obiect  $H$ , pentru care  $cap[H] = \text{NIL}$ . Timpul de execuție este  $\Theta(1)$ .

### Găsirea cheii minime

Procedura HEAP-BINOMIAL-MIN returnează un pointer la nodul cu cea mai mică cheie dintr-un heap binomial  $H$  având  $n$  noduri. Această implementare presupune că nu există chei cu valoarea  $\infty$ . (A se vedea Exercițiul 20.2-5.)

HEAP-BINOMIAL-MIN( $H$ )

- 1:  $y \leftarrow \text{NIL}$
- 2:  $x \leftarrow cap[H]$
- 3:  $min \leftarrow \infty$
- 4: **cât timp**  $x \neq \text{NIL}$  **execută**
- 5:   **dacă**  $cheie[x] < min$  **atunci**
- 6:      $min \leftarrow cheie[x]$
- 7:      $y \leftarrow x$
- 8:      $x \leftarrow frate[x]$
- 9: **returnează**  $y$

Cheia minimă a unui heap binomial se află într-o rădăcină deoarece este un heap ordonat. Procedura HEAP-BINOMIAL-MIN verifică toate rădăcinile (în număr de cel mult  $\lfloor \lg n \rfloor + 1$ ) și reține minimul curent în  $min$ , respectiv un pointer la acest minim în  $y$ . Apelată pentru heap-ul binomial din figura 20.3 procedura va returna un pointer la nodul care conține cheia 1.

Timpul de execuție al procedurii HEAP-BINOMIAL-MIN este  $O(\lg n)$  deoarece există cel mult  $\lfloor \lg n \rfloor + 1$  rădăcini verificate.

## Reuniunea a două heap-uri binomiale

Operația de reuniune a două heap-uri binomiale este folosită de aproape toate celelalte operații rămase. Procedura HEAP-BINOMIAL-REUNEȘTE înlănțuie repetat arborii binomiali care au rădăcini de același grad. Procedura următoare leagă arborele  $B_{k-1}$  având nodul rădăcină  $y$  la arborele  $B_{k-1}$  având nodul rădăcină  $z$ ; mai precis,  $z$  va fi părintele lui  $y$ . Nodul  $z$  devine astfel rădăcina unui arbore  $B_k$ .

**BINOMIAL-LEGĂTURĂ**( $y, z$ )

- 1:  $p[y] \leftarrow z$
- 2:  $frate[y] \leftarrow fiu[z]$
- 3:  $fiu[z] \leftarrow y$
- 4:  $grad[z] \leftarrow grad[z] + 1$

Procedura BINOMIAL-LEGĂTURĂ plasează nodul  $y$  în capul listei înlănțuite care conține fiii nodului  $z$  într-un timp  $O(1)$ . Reprezentarea stânga-fiu, dreapta-frate a fiecărui arbore binomial asigură succesul acestei proceduri deoarece fiecare arbore binomial are proprietatea de ordonare a arborelui: fiul cel mai din stânga al rădăcinii unui arbore  $B_k$  este rădăcina unui arbore  $B_{k-1}$ .

Procedura HEAP-BINOMIAL-REUNEȘTE unește două heap-uri binomiale  $H_1$  și  $H_2$  și returnează heap-ul rezultat. Pe parcursul efectuării operației, reprezentările heap-urilor  $H_1$  și  $H_2$  sunt distruse. Procedura folosește pe lângă procedura BINOMIAL-LEGĂTURĂ încă o procedură auxiliară ANSAMBLU-BINOMIAL-INTERCLASEAZĂ, care interclasează liste de rădăcini ale heap-urilor  $H_1$  și  $H_2$  într-o singură listă simplu înlănțuită ordonată crescător după gradul nodurilor. Procedura HEAP-BINOMIAL-INTERCLASEAZĂ, a cărei descriere în pseudocod se cere în exercițiul 20.2-2, este similară procedurii INTERCLASEAZĂ din secțiunea 1.3.1.

Figura 20.5 prezintă un exemplu pentru care se petrec toate cele patru cazuri indicate prin comentarii în procedura HEAP-BINOMIAL-REUNEȘTE.

Procedura HEAP-BINOMIAL-REUNEȘTE se desfășoară în două faze. În prima fază se interclasează (prin apelul HEAP-BINOMIAL-INTERCLASEAZĂ) liste de rădăcini ale heap-urilor binomiale  $H_1$  și  $H_2$  într-o listă simplu înlănțuită  $H$  care este ordonată crescător în raport cu gradul nodurilor rădăcină. Lista formată poate conține cel mult două rădăcini cu același grad. Astfel, în faza a doua sunt unite toate rădăcinile care au același grad, astfel încât să nu existe două noduri cu același grad. Deoarece lista înlănțuită  $H$  este ordonată după grad, operațiile de înlănțuire din faza a doua sunt efectuate rapid.

Detaliem cele două faze ale procedurii. Liniile 1–3 încep prin interclasarea celor două liste ale heap-urilor binomiale  $H_1$  și  $H_2$  într-o singură listă de rădăcini  $H$ . Listele de rădăcini ale lui  $H_1$  și  $H_2$  sunt ordonate strict crescător după grad, iar HEAP-BINOMIAL-INTERCLASEAZĂ returnează o listă de rădăcini  $H$ , ordonată crescător după grad. Dacă listele  $H_1$  și  $H_2$  au împreună  $m$  noduri, atunci timpul de execuție pentru HEAP-BINOMIAL-INTERCLASEAZĂ este  $O(m)$ , datorat

examinării repetate a rădăcinilor din capul listelor și adăugării rădăcinii având gradul mai mic în lista de rădăcini rezultat, eliminând această rădăcină din lista dată la intrare.

#### HEAP-BINOMIAL-REUNEȘTE( $H_1, H_2$ )

```

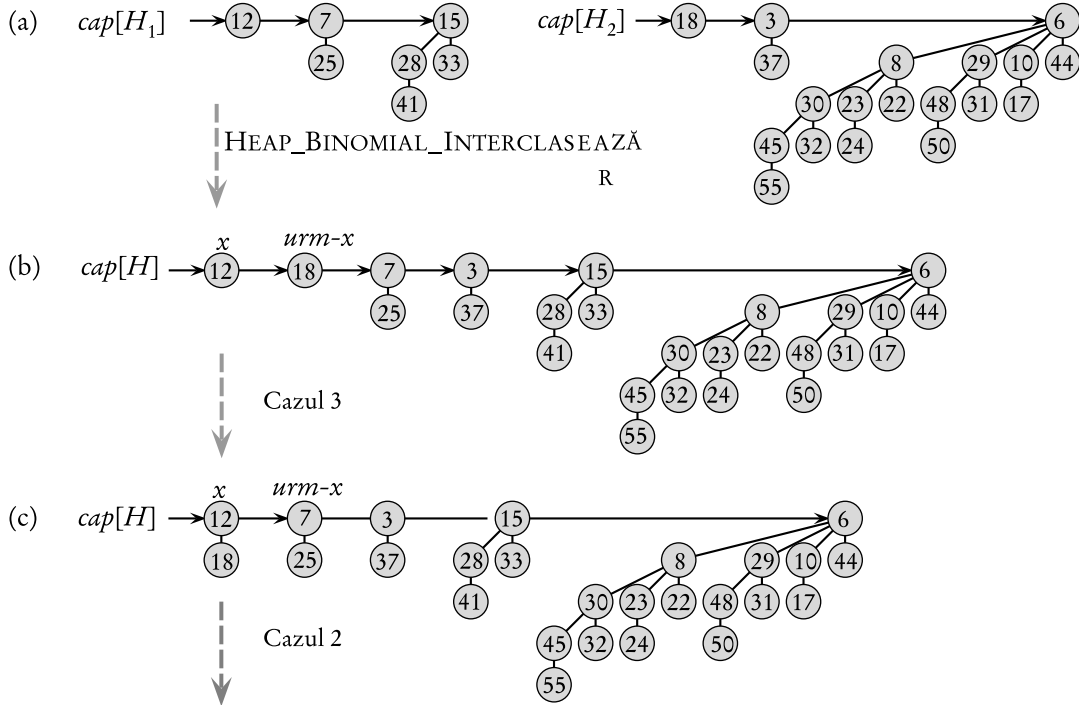
1:  $H \leftarrow \text{CREEAZĂ-HEAP-BINOMIAL}()$ 
2:  $\text{cap}[H] \leftarrow \text{HEAP-BINOMIAL-INTERCLASEAZĂ}(H_1, H_2)$ 
3: eliberează obiectele  $H_1$  și  $H_2$  dar nu și listele referite de ele
4: dacă  $\text{cap}(H) = \text{NIL}$  atunci
5:   returnează  $H$ 
6:  $\text{prec-}x \leftarrow \text{NIL}$ 
7:  $x \leftarrow \text{cap}[H]$ 
8:  $\text{urm-}x \leftarrow \text{frate}[x]$ 
9: cât timp  $\text{urm-}x \neq \text{NIL}$  execută
10:   dacă ( $\text{grad}[x] \neq \text{grad}[\text{urm-}x]$ )
        sau ( $\text{frate}[\text{urm-}x] \neq \text{NIL}$  și  $\text{grad}[\text{frate}[\text{urm-}x]] = \text{grad}[x]$ ) atunci
11:      $\text{prec-}x \leftarrow x \triangleright$  Cazurile 1 și 2
12:      $x \leftarrow \text{urm-}x \triangleright$  Cazurile 1 și 2
13:   altfel
14:     dacă  $\text{cheie}[x] \leq \text{cheie}[\text{urm-}x]$  atunci
15:        $\text{frate}[x] \leftarrow \text{frate}[\text{urm-}x] \triangleright$  Cazul 3
16:        $\text{BINOMIAL-LEGĂTURĂ}(\text{urm-}x, x) \triangleright$  Cazul 3
17:     altfel
18:       dacă  $\text{prec-}x = \text{NIL}$  atunci
19:          $\text{cap}[H] \leftarrow \text{urm-}x \triangleright$  Cazul 4
20:       altfel
21:          $\text{frate}[\text{prec-}x] \leftarrow \text{urm-}x \triangleright$  Cazul 4
22:        $\text{BINOMIAL-LEGĂTURĂ}(x, \text{urm-}x) \triangleright$  Cazul 4
23:        $x \leftarrow \text{urm-}x \triangleright$  Cazul 4
24:      $\text{urm-}x \leftarrow \text{frate}[x] \triangleright$  Cazul 4
25: returnează  $H$ 
```

În continuare procedura HEAP-BINOMIAL-REUNEȘTE initializează câțiva pointeri în lista de rădăcini  $H$ . Dacă heap-urile binomiale date la intrare sunt vide, atunci în liniile 4–5 se ieșe din procedură. Începând cu linia 6 ne situăm în cazul în care  $H$  conține cel puțin o rădăcină. Din acest punct se păstrează trei pointeri în lista de rădăcini:

- $x$  indică rădăcina curentă examinată,
- $\text{prec-}x$  indică rădăcina precedentă lui  $x$  în lista de rădăcini:  $\text{frate}[\text{prec-}x] = x$ , și
- $\text{urm-}x$  indică rădăcina următoare lui  $x$  în listă:  $\text{frate}[x] = \text{urm-}x$ .

$H$  poate conține inițial, cel mult două rădăcini cu un grad dat: deoarece  $H_1$  și  $H_2$  sunt heap-uri binomiale, ele nu au două rădăcini având același grad. Mai mult, procedura HEAP-BINOMIAL-INTERCLASEAZĂ ne garantează că dacă  $H$  conține două rădăcini având același grad, atunci ele sunt adiacente în lista de rădăcini.

În timpul execuției procedurii HEAP-BINOMIAL-REUNEȘTE, de fapt, pot exista trei rădăcini având același grad. Vom vedea imediat când se produce această situație. La fiecare iterație a



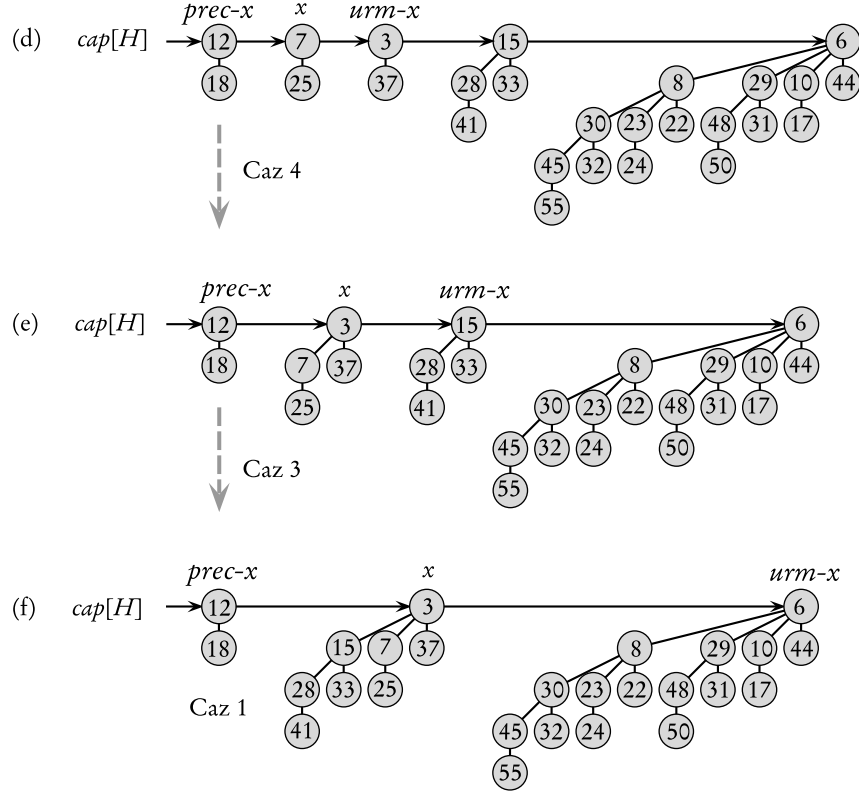
**Figura 20.5** Execuția procedurii `HEAP-BINOMIAL-REUNEȘTE`. (a) Heapurile binomiale  $H_1$  și  $H_2$ . (b) Heap-ul binomial  $H$  este rezultatul operației `HEAP-BINOMIAL-REUNEȘTE`( $H_1, H_2$ ). Inițial  $x$  este prima rădăcină din lista de rădăcini a lui  $H$ . Se aplică cazul 3, deoarece atât  $x$  cât și  $urm-x$  au același grad 0 și  $cheie[x] < cheie[urm-x]$ . (c) După realizarea legăturii se aplică cazul 2, deoarece  $x$  este prima din cele trei rădăcini cu același grad. (d) După ce toți pointerii au avansat cu o poziție în lista de rădăcini, se aplică cazul 4 deoarece  $x$  este prima din cele două rădăcini cu grad egal. (e) După apariția legăturii se aplică cazul 3. (f) După stabilirea unei noi legături se aplică cazul 1 pentru că  $x$  are gradul 3, iar  $urm-x$  are gradul 4. Aceasta este ultima iterare a ciclului **cât timp**, deoarece după deplasarea pointerilor în lista de rădăcini,  $urm-x = \text{NIL}$ .

ciclului **cât timp** din liniile 9–24 se decide dacă se poate lega  $x$  și  $urm-x$  în funcție de gradul lor și de gradul lui  $frate[urm-x]$ . Un invariant al acestui ciclu este faptul că la fiecare reluare a corpului ciclului atât  $x$  cât și  $urm-x$  sunt diferiți de NIL.

Cazul 1, prezentat în figura 20.6(a), se produce atunci când  $grad[x] \neq grad[urm-x]$ , adică  $x$  este rădăcina unui arbore  $B_k$  și  $urm-x$  este rădăcina unui arbore  $B_l$  pentru un  $l > k$ . Această situație este tratată în liniile 11–12. Deoarece nu trebuie să legăm  $x$  și  $urm-x$ , nu rămâne decât să deplasăm pointerii în listă. Actualizarea pointerului  $urm-x$  pentru a referi nodul ce urmează noului nod  $x$  este efectuată în linia 24, deoarece aceasta este comună tuturor cazurilor.

Cazul 2, prezentat în figura 20.6(b), are loc atunci când  $x$  este prima rădăcină din cele trei care au același grad, adică atunci când  $grad[x] = grad[urm-x] = grad[frate[urm-x]]$ .

Acest caz este tratat similar cu cazul 1: efectuăm doar o deplasare a pointerilor în listă. Testul din linia 10 este comun cazurilor 1 și 2, la fel cum liniile 11–12 tratează amândouă cazurile.



Cazurile 3 și 4 se produc atunci când  $x$  este prima rădăcină din două rădăcini succesive având același grad, adică

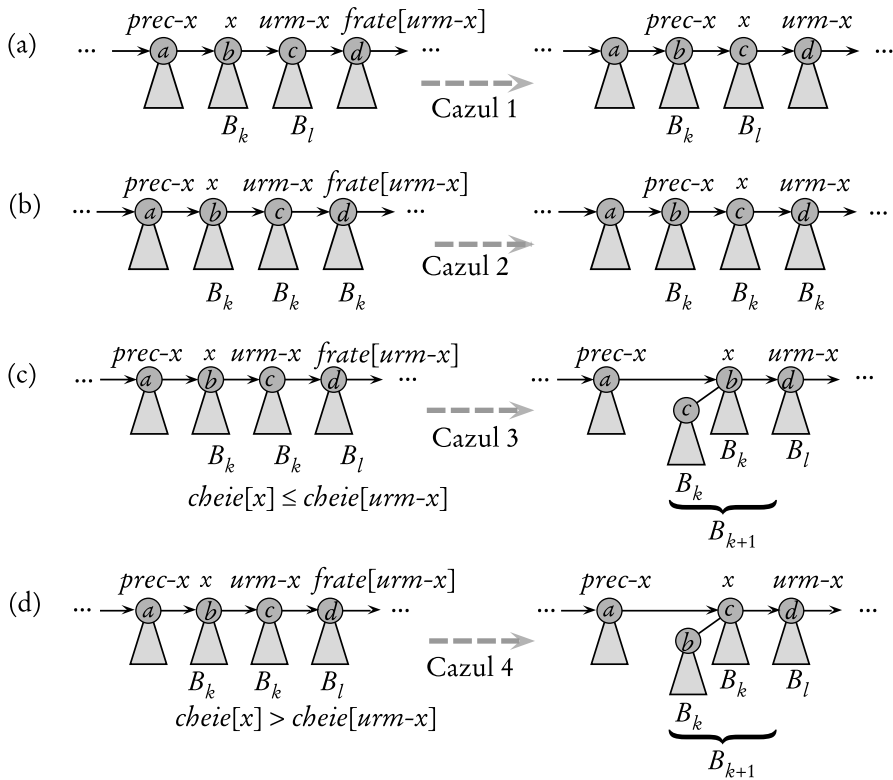
$$grad[x] = grad[urm-x] \neq grad[frate[urm-x]].$$

Aceste cazuri apar la iterația următoare după fiecare caz, dar unul din ele urmează imediat după cazul 2. În cazurile 3 și 4 vom înlăntui  $x$  și  $urm-x$ . Aceste cazuri diferă între ele după cum  $x$  sau  $urm-x$  au cheia mai mică, fapt ce determină care din noduri va fi rădăcină în procesul de legare a lor.

În cazul 3, prezentat în figura 20.6(c),  $cheie[x] \leq cheie[urm-x]$ , astfel că  $urm-x$  va fi legat la  $x$ . Linia 15 sterge  $urm-x$  din lista de rădăcini, iar în linia 16  $urm-x$  devine fiul situat cel mai în stânga lui  $x$ .

În cazul 4, prezentat în figura 20.6(d), cheia mai mică o are  $urm-x$ , deci  $x$  este legat la  $urm-x$ . Liniile 17–21 sterg  $x$  din lista de rădăcini. Există două subcazuri, după cum  $x$  este (linia 19) sau nu (linia 21) prima rădăcină din listă. În linia 22,  $x$  devine fiul situat cel mai în stânga lui  $urm-x$ , iar linia 23 actualizează  $x$  pentru iterația următoare.

Pregătirea iterației următoare a ciclului **cât timp** este aceeași pentru ambele cazuri 3 și 4.  $x$  referă un arbore  $B_{k+1}$  obținut prin legarea a doi arbori  $B_k$ . După operația HEAP-BINOMIAL-INTERCLASEAZĂ în lista de rădăcini existau zero, unul sau doi arbori  $B_{k+1}$ , deci  $x$  este acum prima rădăcină din lista de rădăcini pentru un număr de unu, doi sau trei arbori  $B_{k+1}$ . În cazul existenței unui singur arbore ( $x$  referindu-l pe acesta), la iterația următoare se va produce cazul 1:



**Figura 20.6** Cele patru cazuri care se pot produce în HEAP-BINOMIAL-REUNEŞTE. Etichetele  $a, b, c$  și  $d$  servesc aici doar la identificarea rădăcinilor; ele nu reprezintă gradele sau cheile acestor rădăcini. În fiecare din cazuri,  $x$  este rădăcina unui arbore  $B_k$  și  $l > k$ . **(a)** Cazul 1:  $grad[x] \neq grad[urm-x]$ . Pointerii se deplasează în lista de rădăcini cu o poziție în jos. **(b)** Cazul 2:  $grad[x] = grad[urm-x] = grad[frate[urm-x]]$ . Din nou, pointerii se deplasează în lista de rădăcini cu o poziție spre dreapta și la iterată următoare se execută unul din cazurile 3 sau 4. **(c)** Cazul 3:  $grad[x] = grad[urm-x] \neq grad[frate[urm-x]]$  și  $cheie[x] \leq cheie[urm-x]$ . Stergem  $urm-x$  din lista de rădăcini și îl legăm de  $x$ , creând astfel un arbore  $B_{k+1}$ . **(d)** Cazul 4:  $grad[x] = grad[urm-x] \neq grad[frate[urm-x]]$  și  $cheie[urm-x] \leq cheie[x]$ . Stergem  $x$  din lista de rădăcini și îl legăm la  $urm-x$ , creând astfel din nou un arbore  $B_{k+1}$ .

$\text{grad}[x] \neq \text{grad}[\text{urm}-x]$ . Dacă  $x$  referă primul arbore din doi existenți atunci la iterația următoare are loc unul din cazurile 3 sau 4. În sfârșit, dacă  $x$  referă primul arbore din trei existenți atunci la iterația următoare are loc cazul 2.

Timpul de execuție pentru HEAP-BINOMIAL-REUNEȘTE este  $O(\lg n)$ , unde  $n$  este numărul total de noduri din heap-urile binomiale  $H_1$  și  $H_2$ . Justificăm acest rezultat după cum urmează. Fie  $n_1$  și  $n_2$  numărul nodurilor heap-urilor  $H_1$ , respectiv  $H_2$  astfel încât  $n = n_1 + n_2$ . Atunci numărul maxim de rădăcini conținute de  $H_1$  și  $H_2$  este  $\lfloor \lg n_1 \rfloor + 1$ , respectiv  $\lfloor \lg n_2 \rfloor + 1$ . Astfel, imediat după apelul HEAP-BINOMIAL-INTERCLASEAZĂ,  $H$  conține cel mult  $\lfloor \lg n_1 \rfloor + \lfloor \lg n_2 \rfloor + 2 \leq 2\lfloor \lg n \rfloor + 2 = O(\lg n)$  rădăcini. Rezultă că timpul de execuție pentru HEAP-BINOMIAL-INTERCLASEAZĂ este  $O(\lg n)$ . Fiecare iterație a ciclului **cât timp** se execută într-un timp  $O(1)$  și pot exista cel mult  $\lfloor \lg n_1 \rfloor + \lfloor \lg n_2 \rfloor + 2$  iterații deoarece de la fiecare iterație fie pointerii avansează cu o poziție în lista  $H$ , fie se elimină o rădăcină din lista de rădăcini. Astfel, timpul total de execuție este  $O(\lg n)$ .

### Inserarea unui nod

Procedura următoare inserează nodul  $x$  în heap-ul binomial  $H$ . Se presupune că nodul  $x$  este creat și câmpul  $\text{cheie}[x]$  este inițializat.

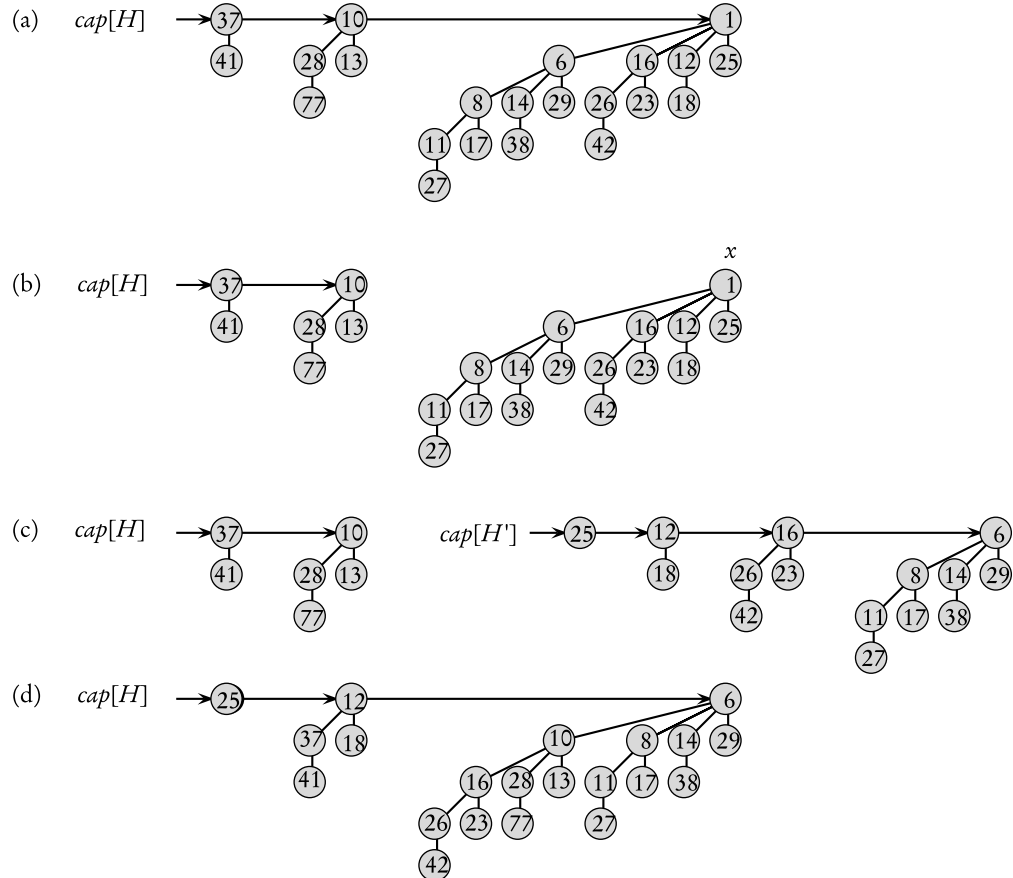
```
HEAP-BINOMIAL-INSEREAZĂ( $H, x$ )
1:  $H' \leftarrow \text{CREEAZĂ-HEAP-BINOMIAL}()$ 
2:  $p[x] \leftarrow \text{NIL}$ 
3:  $fiu[x] \leftarrow \text{NIL}$ 
4:  $frate[x] \leftarrow \text{NIL}$ 
5:  $\text{grad}[x] \leftarrow 0$ 
6:  $cap[H'] \leftarrow x$ 
7:  $H \leftarrow \text{HEAP-BINOMIAL-REUNEȘTE}(H, H')$ 
```

Procedura creează un heap binomial  $H'$  cu un nod într-un timp  $O(1)$  pe care îl reunește apoi cu heap-ul binomial  $H$  având  $n$  noduri într-un timp  $O(\lg n)$ . Procedura HEAP-BINOMIAL-REUNEȘTE eliberează spațiul alocat heap-ului binomial temporar  $H'$ . (O implementare directă care nu folosește HEAP-BINOMIAL-REUNEȘTE se cere în exercițiul 20.2-8.)

### Extragerea nodului având cheia minimă

Procedura următoare extrage nodul având cheia minimă din heap-ul binomial  $H$  și returnează un pointer la nodul extras.

```
HEAP-BINOMIAL-EXTRAGE-MIN( $H$ )
1: caută rădăcina  $x$  cu cheia minimă în lista de rădăcini și șterge  $x$  din lista de rădăcini a lui  $H$ 
2:  $H' \leftarrow \text{CREEAZĂ-HEAP-BINOMIAL}()$ 
3: inversează ordinea memorării fiilor lui  $x$  în lista înlănțuită asociată și atribuie lui  $cap[H']$  capul listei rezultate
4:  $H \leftarrow \text{HEAP-BINOMIAL-REUNEȘTE}(H, H')$ 
5: returnează  $x$ 
```



**Figura 20.7** Actiunile procedurii **HEAP-BINOMIAL-EXTRAGE-MIN**. **(a)** Un heap binomial  $H$ . **(b)** Rădăcina  $x$  având cheia minimă este eliminată din lista de rădăcini a lui  $H$ . **(c)** Lista înlățuită ce conține fiii lui  $x$  este inversată, obținându-se un alt heap binomial  $H'$ . **(d)** Rezultatul reunirii heap-urilor  $H$  și  $H'$ .

Modul de funcționare al procedurii este ilustrat în figura 20.7. Heap-ul binomial  $H$  dat ca parametru de intrare este ilustrat în figura 20.7(a). Figura 20.7(b) prezintă situația obținută după linia 1: rădăcina  $x$  având cheia minimă a fost eliminată din lista de rădăcini a lui  $H$ . Dacă  $x$  este rădăcina unui arbore  $B_k$ , atunci din proprietatea 4 a lemei 20.1 rezultă că fiile lui  $x$ , de la stânga la dreapta, sunt rădăcinile unor arbori  $B_{k-1}, B_{k-2}, \dots, B_0$ . În figura 20.7(c) se ilustrează faptul că inversând lista fiilor lui  $x$  (în linia 3) obținem un heap binomial  $H'$  care conține toate nodurile din arboarele corespunzător lui  $x$ , exceptându-l pe  $x$ . Deoarece în linia 1 arborele lui  $x$  este șters din  $H$ , heap-ul binomial rezultat prin reunirea în linia 4 a lui  $H$  și  $H'$ , conform figurii 20.7(d), va conține toate nodurile care existau inițial în  $H$ , exceptându-l desigur pe  $x$ . În final, în linia 5 se returnează  $x$ .

HEAP-BINOMIAL-EXTRAGE-MIN se execută într-un timp  $O(\lg n)$  deoarece fiecare din liniile 1–4 se execută într-un timp  $O(\lg n)$ .

### Descreșterea unei chei

Procedura HEAP-BINOMIAL-DESCREȘTE-CHEIE micșorează valoarea cheii nodului  $x$  din heap-ul binomial  $H$ , atribuindu-i valoarea  $k$ . Dacă  $k$  este mai mare decât valoarea curentă a cheii lui  $x$ , se semnalează o eroare.

HEAP-BINOMIAL-DESCREȘTE-CHEIE( $H, x, k$ )

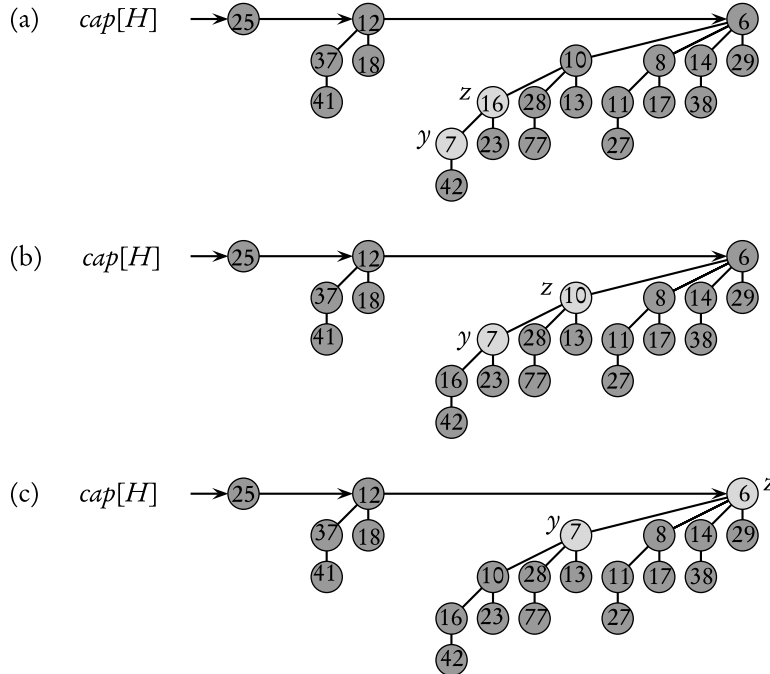
- 1: **dacă**  $k > \text{cheie}[x]$  **atunci**
- 2:   **eroare** “cheia nouă este mai mare decât cheia existentă”
- 3:    $\text{cheie}[x] \leftarrow k$
- 4:    $y \leftarrow x$
- 5:    $z \leftarrow p[y]$
- 6:   **cât timp**  $z \neq \text{NIL}$  și  $\text{cheie}[y] < \text{cheie}[z]$  **execută**
- 7:     interschimbă  $\text{cheie}[y] \leftrightarrow \text{cheie}[z]$
- 8:     ▷ Dacă  $y$  și  $z$  au și alte câmpuri atunci interschimbă și aceste câmpuri.
- 9:      $y \leftarrow z$
- 10:     $z \leftarrow p[y]$

Această procedură descrește o cheie în mod similar cu metoda aplicată pentru un heap binar: prin “ridicarea” cheii în heap, după cum arată figura 20.8. După ce procedura se asigură că noua cheie nu este mai mare decât cea curentă și apoi actualizează cheia curentă a lui  $x$ , urmează un proces de căutare în sus, iar  $y$  referă inițial nodul  $x$ . La fiecare iterare a ciclului **cât timp**, în liniile 6–10, se compară  $\text{cheie}[y]$  cu cheia părintelui  $z$  a lui  $y$ . Dacă  $y$  este chiar rădăcina sau  $\text{cheie}[y] \geq \text{cheie}[z]$ , atunci arboarele binomial este un heap ordonat. În caz contrar nodul  $y$  încalcă proprietatea de ordonare pentru heap, astfel cheile lui  $y$  și  $z$  se interschimbă, împreună cu alte informații, apoi procedura deplasează  $y$  și  $z$  cu un nivel mai sus în arbore și continuă iterările.

Timpul de execuție HEAP-BINOMIAL-DESCREȘTE-CHEIE este  $O(\lg n)$ . Numărul maxim de iterări pentru ciclul **cât timp** (liniile 6–10) este  $\lfloor \lg n \rfloor$  deoarece, din proprietatea 2 a lemei 20.1 rezultă că înălțimea maximă a lui  $x$  este  $\lfloor \lg n \rfloor$ .

### Stergerea unei chei

Stergerea cheii și a altor informații asociate unui nod  $x$  aparținând unui heap binomial  $H$  se poate desfășura fără dificultate într-un timp  $O(\lg n)$ . Implementarea următoare presupune că



**Figura 20.8** Acțiunile procedurii HEAP-BINOMIAL-DESCRESTE-CHEIE. (a) Situația înainte de linia 5 la prima iterare a ciclului **cât timp**. Cheia nodului  $y$  este micșorată la 7, valoare mai mică decât a cheii părintelui  $z$  a lui  $y$ . (b) Cheile celor două noduri sunt interschimbate; este ilustrată situația existentă înainte de linia 5 la iterația a doua. Pointerii  $y$  și  $z$  au fost mutați cu un nivel mai sus în arbore, dar încă este încălcată proprietatea de ordonare a heap-ului. (c) După o interschimbare și o deplasare a pointerilor în arbore mai sus cu un nivel, constatăm că proprietatea de ordonare a heap-ului este satisfăcută, deci ciclul **cât timp** se încheie.

nodurile din heap-ul binomial nu au chei având valoarea  $-\infty$ .

HEAP-BINOMIAL-STERGE( $H, x$ )

- 1: HEAP-BINOMIAL-DESCRESTE-CHEIE( $H, x, -\infty$ )
- 2: HEAP-BINOMIAL-EXTRAGE-MIN( $H$ )

După ce în procedura HEAP-BINOMIAL-STERGE se atribuie valoarea  $-\infty$  cheii nodului  $x$ , acesta devine nodul având cheia minimă în heap-ul binomial. (Exercițiul 20.2-6 tratează situația în care  $-\infty$  nu poate fi valoarea unei chei, nici măcar temporar.) Urmează apoi ca această cheie și eventual alte informații asociate să fie ridicate până la o rădăcină prin apelul HEAP-BINOMIAL-DESCRESTE-CHEIE. Această rădăcină este apoi eliminată din  $H$  prin apelul HEAP-BINOMIAL-EXTRAGE-MIN.

Timpul de execuție pentru HEAP-BINOMIAL-STERGE este  $O(\lg n)$ .

## Exerciții

**20.2-1** Dați un exemplu de două heap-uri *binare* fiecare având  $n$  elemente, astfel încât CREEAZĂ-HEAP să necesite un timp  $\Theta(n)$  pentru a concatena tablourile heap-urilor.

**20.2-2** Descrieți în pseudocod operația HEAP-BINOMIAL-INTERCLASEAZĂ.

**20.2-3** Determinați heap-ul binomial care rezultă după inserarea unui nod având cheia 24 în heap-ul binomial din figura 20.7(d).

**20.2-4** Determinați heap-ul binomial care rezultă după ștergerea nodului având cheia 28 din heap-ul binomial prezentat în figura 20.8(c).

**20.2-5** Explicați de ce procedura HEAP-BINOMIAL-MIN nu funcționează corect în cazul în care pot exista chei având valoarea  $\infty$ . Rescrieți procedura astfel încât să funcționeze corect și în aceste cazuri.

**20.2-6** Presupunem că nu putem reprezenta valoarea  $-\infty$  pentru o cheie. Rescrieți procedura HEAP-BINOMIAL-ȘTERGE astfel încât să funcționeze corect în această situație. Timpul de execuție ar trebui păstrat de asemenea  $O(\lg n)$ .

**20.2-7** Examinați relația între inserarea într-un heap binomial și incrementarea unui număr binar și de asemenea, relația între reunirea a două heap-uri binomiale și adunarea a două numere binare.

**20.2-8** Luând în considerare exercițiul 20.2-7, rescrieți HEAP-BINOMIAL-INSEREAZĂ pentru a insera un nod într-un heap binomial direct, fără a apela HEAP-BINOMIAL-REUNEŞTE.

**20.2-9** Arătați că dacă listele de rădăcini sunt păstrate în ordine strict descrescătoare după grad (în locul ordinii strict crescătoare), atunci fiecare operație a heap-urilor binomiale poate fi implementată fără a modifica timpul de execuție.

**20.2-10** Găsiți intrări potrivite pentru HEAP-BINOMIAL-EXTRAGE-MIN, HEAP-BINOMIAL-DESCREŞTE-CHEIE și HEAP-BINOMIAL-ȘTERGE astfel încât acestea să se execute într-un timp  $\Omega(\lg n)$ . Explicați de ce timpii de execuție în cazurile cele mai defavorabile pentru HEAP-BINOMIAL-INSEREAZĂ, HEAP-BINOMIAL-MIN și HEAP-BINOMIAL-REUNEŞTE sunt  $\tilde{\Omega}(\lg n)$  și nu  $\Omega(\lg n)$ . (A se vedea problema 2-5.)

## Probleme

### 20-1 Heap-uri 2-3-4

Capitolul 19 a introdus arborii 2-3-4, în care fiecare nod intern (nod diferit de rădăcină) are doi, trei sau patru fiu și toate nodurile frunză sunt la aceeași adâncime. În această problemă vom implementa *heap-uri 2-3-4* pentru care se definesc operațiile pe heap-uri interclasabile.

Heapurile 2-3-4 diferă de arborii 2-3-4 după cum urmează. Într-un heap 2-3-4 doar nodurile frunză memorează chei, fiecare frunză  $x$  memorând o singură cheie  $cheie[x]$ . Cheile nu sunt memorate ordonat în frunze; adică, de la stânga spre dreapta cheile pot apărea în orice ordine. Fiecare nod intern  $x$  conține o valoare  $mic[x]$  care este egală cu cea mai mică cheie memorată în frunzele subarborelui cu rădăcina  $x$ . Rădăcina  $r$  conține un câmp  $în / ime[r]$  care reprezintă înălțimea arborelui. În sfârșit, un heap 2-3-4 va fi păstrat în memorie, astfel că operațiile de citire și scriere nu sunt necesare.

Implementați operațiile următoare pe heap-uri 2-3-4. Fiecare operație din lista (a)–(e) trebuie să se execute pe un heap 2-3-4 având  $n$  elemente într-un timp  $O(\lg n)$ . Operația REUNEȘTE specificată la punctul (f) trebuie să se execute într-un timp  $O(\lg n)$ , unde  $n$  este numărul de elemente din heapurile date ca intrare.

- a. MINIMUM – returnează un pointer la frunza cu cea mai mică cheie.
- b. DESCREȘTE-CHEIE – descrește cheia unei frunze date  $x$  la o valoare  $k \leq cheie[x]$ .
- c. INSEREAZĂ – care inserează frunza  $x$  având cheia  $k$ .
- d. ȘTERGE – care șterge o frunză dată  $x$ .
- e. EXTRAGE-MIN – care extrage frunza având cheia cea mai mică.
- f. REUNEȘTE – care reunește două heap-uri 2-3-4, returnând un singur heap 2-3-4 și distrugând heapurile date ca intrare.

## 20-2 Algoritmul arborelui de acoperire minim folosind heap-uri interclasabile

Capitolul 24 prezintă doi algoritmi pentru găsirea unui arbore de acoperire minim pentru un graf neorientat. Vom vedea cum se pot folosi heap-uri interclasabile pentru a obține încă un algoritm de determinare a arborelui de acoperire minim.

Fie un graf neorientat  $G = (V, E)$  cu o funcție de cost  $w : E \rightarrow \mathbb{R}$ . Vom numi  $w(u, v)$ , costul asociat muchiei  $(u, v)$ . Dorim să găsim un arbore parțial de cost minim pentru  $G$ : o submulțime aciclică  $T \subseteq E$  care unește toate vârfurile din  $V$  și al cărei cost total  $w(T)$  este minim, unde

$$w(T) = \sum_{(u, v) \in T} w(u, v).$$

AAM-HEAP-INTERCLASABIL( $G$ )

- 1:  $T \leftarrow \emptyset$
- 2: **pentru** fiecare vârf  $v_i \in V[G]$  **execută**
- 3:    $V_i \leftarrow \{v_i\}$
- 4:    $E_i \leftarrow \{(v_i, v) \in E[G]\}$
- 5: **cât timp** există mai mult decât o mulțime  $V_i$  **execută**
- 6:   alege oricare din mulțimile  $V_i$
- 7:   extrage muchia  $(u, v)$  de pondere minimă din  $E_i$
- 8:   fără a pierde generalitatea presupunem că  $u \in V_i$  și  $v \in V_j$
- 9:   **dacă**  $i \neq j$  **atunci**
- 10:      $T \leftarrow T \cup \{(u, v)\}$
- 11:      $V_i \leftarrow V_i \cup V_j$ , distrugând  $V_j$
- 12:      $E_i \leftarrow E_i \cup E_j$

Procedura precedentă, descrisă în pseudocod, construiește un arbore de acoperire minim  $T$ . Demonstrarea corectitudinii ei se poate face cu metoda descrisă în secțiunea 24.1. Procedura construiește o partiție  $\{V_i\}$  de vârfuri ale lui  $V$  și pentru fiecare  $V_i$ , o mulțime

$$E_i \subseteq \{(u, v) : u \in V_i \text{ sau } v \in V_i\}$$

de muchii incidente vârfurilor din  $V_i$ .

Descrieți cum se poate implementa acest algoritm folosind operațiile pe heap-uri interclasabile prezentate în figura 20.1. Calculați timpul de execuție pentru implementarea găsită, presupunând că operațiile pe heap-uri interclasabile sunt implementate de heap-urile binomiale.

---

## Note bibliografice

Heap-urile binomiale au fost introduse în 1978 de Vuillemin [196]. Brown [36, 37] a studiat în detaliu proprietățile acestora.

---

## 21 Heap-uri Fibonacci

Am văzut în capitolul 20 că heapurile binomiale suportă operațiile INSEREAZĂ, MINIM, EXTRAGE-MIN și REUNEȘTE, plus operațiile DESCRIEȘTE-CHEIE și ȘTERGE cu un timp de execuție, în cazul cel mai defavorabil, de  $O(\lg n)$ . În acest capitol vom examina heapurile Fibonacci care suportă aceleași operații și au avantajul că operațiile care nu implică ștergerea unui element, se execută într-un timp amortizat  $O(1)$ .

Heapurile Fibonacci sunt preferabile, din punct de vedere teoretic, atunci când numărul operațiilor EXTRAGE-MIN și ȘTERGE este relativ mic în raport cu celelalte operații efectuate. Această situație se regăsește în multe aplicații. De exemplu, mulți algoritmi pentru probleme pe grafuri apelează DESCRIEȘTE-CHEIE o singură dată pentru fiecare muchie. Pentru grafuri dense, care au muchii multe, timpul amortizat  $O(1)$ , pentru fiecare apel DESCRIEȘTE-CHEIE înseamnă o îmbunătățire considerabilă în raport cu  $\Theta(\lg n)$ , timpul, în cazul cel mai defavorabil, pentru implementările prin heap-uri binare sau binomiale. Pentru probleme ca și calcularea arborilor de acoperire minimă (capitolul 24) și determinarea drumurilor de lungime minimă de sursă unică (capitolul 25), algoritmii actuali cei mai rapizi (asimptotic) folosesc heap-uri Fibonacci.

Totuși, din punct de vedere practic, factorii constanți și complexitatea programării heap-urilor Fibonacci fac ca pentru multe aplicații să fie preferate heapurile binare obișnuite (sau  $k$ -are) în locul celor Fibonacci. Astfel, heapurile Fibonacci prezintă, în special, un interes teoretic. Descoperirea unei structuri de date mai simplă dar care să aibă margini amortizate de timp la fel ca și heapurile Fibonacci, ar fi de o importanță practică considerabilă.

Un heap Fibonacci, la fel ca și un heap binomial, este format dintr-o colecție de arbori. Heapurile Fibonacci se bazează de fapt pe heap-uri binomiale. Dacă pe un heap Fibonacci nu sunt invocate niciodată DESCRIEȘTE-CHEIE și ȘTERGE, atunci fiecare arbore din heap este asemănător unui arbore binomial. Heapurile Fibonacci diferă totuși de heapurile binomiale prin faptul că au o structură mai relaxată, permitând astfel o îmbunătățire asimptotică a marginilor de timp. Întreținerea structurii poate fi amânătă până când acest lucru se poate efectua convenabil.

Heapurile Fibonacci se constituie a fi, la fel ca și tabelele dinamice din secțiunea 18.4, un exemplu bun de structură de date proiectată având în vedere o analiză amortizată. Metoda de potențial din secțiunea 18.3 va constitui în cele ce urmează suportul intuiției și analizei operațiilor pe heap-uri Fibonacci.

Expunerea din acest capitol presupune că ați parcurs capitolul 20 despre heap-uri binomiale. Specificarea operațiilor este dată în acel capitol, iar tabelul din figura 20.1 prezintă și marginile de timp pentru operațiile pe heap-uri binare, binomiale și Fibonacci. În prezentarea structurii unui heap Fibonacci ne vom baza pe structura de heap binomial. Veți observa că unele operații efectuate pe heap-uri Fibonacci sunt similare cu cele efectuate pe heap-uri binomiale.

La fel ca și heapurile binomiale, heapurile Fibonacci nu sunt proiectate pentru a oferi un suport eficient operației CAUTĂ; operațiile care se referă la un anumit nod vor necesita astfel un pointer la acel nod.

Secțiunea 21.1 definește heapurile Fibonacci, discută reprezentarea lor și prezintă funcția de potențial care va fi folosită în analiza amortizată. Secțiunea 21.2 prezintă modul de implementare a operațiilor pe heap-uri interclasabile, astfel încât să obținem marginile de timp prezentate în figura 20.1. Cele două operații rămase, DESCRIEȘTE-CHEIE și ȘTERGE, sunt prezentate în secțiunea 21.3. La final, secțiunea 21.4 încheie o parte esențială a analizei.

## 21.1. Structura heap-urilor Fibonacci

Similar cu un heap binomial, un **heap Fibonacci** este o colecție de arbori care au proprietatea de ordonare de heap. Totuși, arborii dintr-un heap Fibonacci nu trebuie să fie arbori binomiali. Figura 21.1(a) prezintă un exemplu de heap Fibonacci.

Spre deosebire de arborii dintr-un heap binomial, care sunt ordonați, arborii aparținând unui heap Fibonacci sunt arbori cu rădăcină, dar neordonatați. După cum prezintă figura 21.1(b), fiecare nod  $x$  conține un pointer  $p[x]$  spre părintele lui și un pointer  $fiu[x]$  la unul din fiile lui. Fiile lui  $x$  sunt înlăntuiri circulară printr-o listă dublu înlăntuită, numită **lista fililor** lui  $x$ . Fiecare fiu  $y$  dintr-o listă de fii are pointerii  $stânga[y]$  și  $dreapta[y]$  care indică fratele stâng, respectiv drept al lui  $y$ . Dacă nodul  $y$  este singurul fiu, atunci  $stânga[y] = dreapta[y] = y$ . Ordinea în care apar fiile în lista de fii este arbitrară.

Folosirea listelor dublu înlăntuite și circulare (a se vedea secțiunea 11.2) pentru heap-uri Fibonacci au două avantaje. În primul rând, putem șterge un nod dintr-o listă dublu înlăntuită și circulară într-un timp  $O(1)$ . În al doilea rând, putem concatena două liste de acest tip, obținând o singură listă dublu înlăntuită și circulară tot într-un timp  $O(1)$ . În descrierea operațiilor pe heap-uri Fibonacci ne vom referi informal la aceste operații pe liste, lăsând cititorul să completeze detaliile lor de implementare.

Fiecare nod va conține încă două câmpuri utile. Numărul de fii din lista fililor nodului  $x$  este memorat în  $grad[x]$ . Câmpul de tip boolean  $marcat[x]$  va indica dacă nodul  $x$  a pierdut un fiu după ultima operație în care  $x$  a fost transformat în fiul unui alt nod. Până în secțiunea 21.3 nu ne vom îngriji de marcarea nodurilor. Nodurile nou create sunt nemarcate, iar un nod  $x$  devine nemarcat atunci când este transformat în fiul unui alt nod.

Un heap Fibonacci  $H$  este referit printr-un pointer  $min[H]$  al rădăcinii arborelui care conține cheia minimă; acest nod este numit **nodul minim** al heap-ului Fibonacci. Dacă un heap Fibonacci este vid atunci  $min[H] = \text{NIL}$ .

Rădăcinile tuturor arborilor dintr-un heap Fibonacci sunt înlăntuite prin pointerii  $stânga$  și  $dreapta$ , formând o listă dublu înlăntuită și circulară, numită **listă de rădăcini** a heap-ului Fibonacci. Astfel, pointerul  $min[H]$  indică acel nod din lista de rădăcini care are cheia minimă. Ordinea nodurilor în lista de rădăcini este arbitrară.

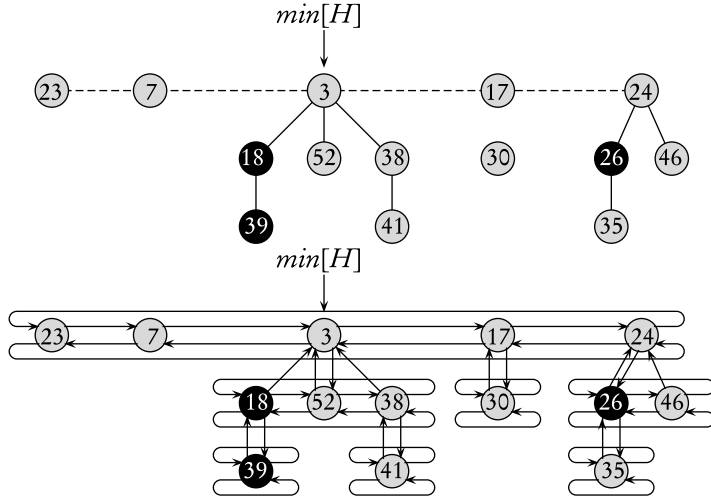
Un atribut pe care ne vom baza este și numărul nodurilor  $n[H]$  al unui heap Fibonacci  $H$ .

### Funcția de potențial

După cum am menționat, vom folosi în analiza complexității operațiilor pe heap-uri Fibonacci metoda de potențial din secțiunea 18.3. Pentru un heap Fibonacci  $H$ , vom indica prin  $t(H)$  numărul rădăcinilor din lista de rădăcini a lui  $H$ , iar prin  $m(H)$  numărul nodurilor marcate din  $H$ . Potențialul unui heap Fibonacci este definit prin

$$\Phi(H) = t(H) + 2m(H). \quad (21.1)$$

De exemplu, potențialul heap-ului Fibonacci din figura 21.1 este  $5 + 2 \cdot 3 = 11$ . Potențialul unei mulțimi de heap-uri Fibonacci este egal cu suma potențialelor heap-urilor Fibonacci conținute. Vom presupune că o unitate de potențial corespunde unui volum de calcul constant, cu o constantă suficient de mare care acoperă orice calcul necesar care se execută într-un timp constant.



**Figura 21.1 (a)** Un heap Fibonacci constând din cinci arbori, ce satisfac proprietatea de heap ordonat, și care este din 14 noduri. Linia punctată indică lista de rădăcini. Nodul care conține valoarea 3 este nodul minim din heap. Nodurile marcate sunt hașurate cu negru. Potențialul acestui heap Fibonacci este  $5 + 2 \cdot 3 = 11$ . **(b)** O reprezentare mai completă care arată pointerii *p* (săgețile orientate în sus), *fiu* (săgețile în jos), și *stâng* și *drept* (săgețile laterale). Aceste detalii vor fi omise în celelalte figuri ale capitolului, deoarece toate informațiile prezentate aici pot fi determinate din ceea ce apare în partea (a).

Vom presupune că aplicațiile pentru heap-uri Fibonacci nu pornesc de la nici un heap. Astfel, potențialul initial este 0 și conform ecuației (21.1), potențialul este nenegativ la orice moment de timp ulterior. Din ecuația (18.2), o margine superioară a costului amortizat total este și o margine superioară a costului actual pentru secvența de operații.

### Grad maxim

În secțiunile următoare ale capitolului vom efectua o analiză amortizată care se va baza pe cunoașterea unei margini superioare  $D(n)$  a gradului maxim al oricărui nod dintr-un arbore Fibonacci având  $n$  noduri. Exercițiul 21.2-3 arată că  $D(n) = \lfloor \lg n \rfloor$  atunci când avem doar operații de interclasare pe heap-uri. În secțiunea 21.3 vom arăta că, dacă includem și operațiile DESCRIEȘTE-CHEIE și ȘTERGE,  $D(n) = O(\lg n)$ .

## 21.2. Operațiile heap-urilor interclasabile

În această secțiune vom descrie și analiza operațiile heap-urilor interclasabile precum și implementări pe heap-uri Fibonacci. Dacă se au în vedere doar aceste operații – CREEAZĂ-HEAP, INSEREAZĂ, MINIM, EXTRAGE-MIN și REUNEȘTE – fiecare heap Fibonacci este o colecție de arbori binomiali “neordonati”. Un **arbore binomial neordonat** este asemănător unui arbore binomial și se definește de asemenea recursiv. Arboarele binomial neordonat  $U_0$  constă dintr-un singur nod, iar un arbore binomial neordonat  $U_k$  constă din doi arbori binomiali neordonati  $U_{k-1}$ ,

rădăcina unuia din ei fiind (*oricare*) fiu al rădăcinii celuilalt. Proprietățile arborilor binomiali – lema 20.1, sunt adevărate și pentru arborii binomiali neordonatați, înlocuind însă proprietatea 4 (a se vedea exercițiul 21.2-2) cu:

- 4'. Gradul rădăcinii arborelui binomial neordonat  $U_k$  este  $k$ , grad mai mare decât al oricărui alt nod. Într-o ordine oarecare, descendenții rădăcinii sunt rădăcinile unor subarbori  $U_0, U_1, \dots, U_{k-1}$ .

Astfel, deoarece un heap Fibonacci având  $n$  noduri este o colecție de arbori binomiali neordonatați,  $D(n) = \lg n$ .

Ideea de bază, aplicată la definirea operațiilor heap-urilor interclasabile pe heap-uri Fibonacci este de a întârzi prelucrările cât se poate de mult. Obținerea unor operații performante poate fi în detrimentul altora. Dacă numărul arborilor unui heap Fibonacci este mic, atunci nodul minim necesar operației EXTRAGE-MIN este determinat eficient. Dar, după cum s-a văzut și pentru heap-uri binomiale – exercițiul 20.2-10, costul asigurării unui număr mic de arbori este ridicat: pentru inserarea unui nod într-un heap binomial, sau pentru reuniunea a două heap-uri binomiale, timpul de execuție se poate ridica până la  $\Omega(\lg n)$ . După cum se va vedea, la inserarea unui nod nou sau la reuniunea a două heap-uri nu vom încerca să consolidăm arborii din heap-ul Fibonacci. Consolidarea va fi lăsată în seama operației EXTRAGE-MIN, operație care necesită găsirea nodului minim.

### Crearea unui heap Fibonacci

Pentru a crea un heap Fibonacci vid, procedura CREEAZĂ-HEAP-FIB, creează și returnează un obiect heap Fibonacci  $H$ , cu  $n[H] = 0$  și  $\min[H] = \text{NIL}$ ;  $H$  nu conține arbori. Deoarece  $t(H) = 0$  și  $m(H) = 0$ , potențialul heap-ului Fibonacci vid este  $\Phi(H) = 0$ . Costul amortizat al operației CREEAZĂ-HEAP-FIB este astfel egal cu costul ei actual  $O(1)$ .

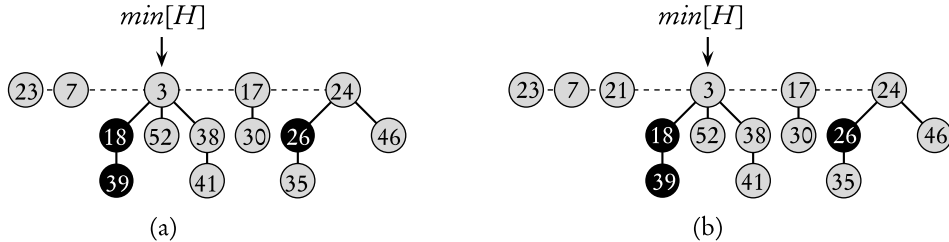
### Inserarea unui nod

Procedura următoare inserează nodul  $x$  în heap-ul Fibonacci  $H$ , presupunând că nodul a fost alocat în prealabil și că  $\text{cheie}[x]$  a fost de asemenea inițializată.

HEAP-FIB-INSEREAZĂ( $H, x$ )

- 1:  $\text{grad}[x] \leftarrow 0$
- 2:  $\rho[x] \leftarrow \text{NIL}$
- 3:  $\text{fiu}[x] \leftarrow \text{NIL}$
- 4:  $\text{stânga}[x] \leftarrow x$
- 5:  $\text{dreapta}[x] \leftarrow x$
- 6:  $\text{marcat}[x] \leftarrow \text{FALS}$
- 7: concatenează lista de rădăcini care îl conține pe  $x$  cu lista de rădăcini a lui  $H$
- 8: dacă  $\min[H] = \text{NIL}$  sau  $\text{cheie}[x] < \text{cheie}[\min[H]]$  atunci
- 9:      $\min[H] \leftarrow x$
- 10:  $n[H] \leftarrow n[H] + 1$

După inițializarea câmpurilor nodului  $x$  în liniile 1–6, făcându-l circular și dublu înlănțuit, în linia 7  $x$  este adăugat listei de rădăcini a lui  $H$  într-un timp actual  $O(1)$ . Astfel nodul  $x$  devine un arbore cu un singur nod și care are proprietatea de ordonare de heap, deci un arbore



**Figura 21.2** Inserarea unui nod într-un ansamblu Fibonacci. (a) Un heap Fibonacci  $H$  (b) Heap-ul Fibonacci  $H$  după ce nodul având cheia 21 a fost inserat. Nodul devine un arbore cu proprietatea de heap și este apoi adăugat listei de rădăcini, devenind fratele stâng al rădăcinii.

binomial neordonat aparținând heap-ului Fibonacci. Acest arbore nu are fii și nu este marcat. În continuare în liniile 8–9 este actualizat, dacă este necesar, pointerul la nodul minim din heap-ul Fibonacci  $H$ . În final, linia 10 incrementează  $n[H]$  marcând inserarea unui nod nou. Figura 21.2 prezintă inserarea nodului având cheia 21 în heap-ul Fibonacci din figura 21.1.

Spre deosebire de HEAP-BINOMIAL-INSEREAZĂ, HEAP-FIB-INSEREAZĂ nu consolidează arborii din heap-ul Fibonacci. Dacă procedura HEAP-FIB-INSEREAZĂ este apelată consecutiv de  $k$  ori atunci se adaugă listei de rădăcini  $k$  arbori cu un singur nod.

Pentru a determina costul amortizat al operației HEAP-FIB-INSEREAZĂ, fie  $H$  heap-ul Fibonacci dat ca intrare și  $H'$  heap-ul Fibonacci rezultat. Atunci  $t(H') = t(H) + 1$  și  $m(H') = m(H)$  și creșterea potențialului este

$$((t(H) + 1) + 2m(H)) - (t(h) + 2m(H)) = 1.$$

Deoarece costul actual este  $O(1)$ , costul amortizat este  $O(1) + 1 = O(1)$ .

## Găsirea nodului minim

Nodul minim al unui heap Fibonacci  $H$  este dat de pointerul  $\min[H]$ , de unde costul actual al operației este  $O(1)$ . Deoarece potențialul lui  $H$  nu se schimbă, costul amortizat al operației este egal cu costul ei actual  $O(1)$ .

## Reuniunea a două heap-uri Fibonacci

Procedura următoare reunește heap-urile Fibonacci  $H_1$  și  $H_2$ , distrugând  $H_1$  și  $H_2$  în timpul desfășurării procesului.

HEAP-FIB-REUNEȘTE( $H_1, H_2$ )

- 1:  $H \leftarrow \text{CREEAZĂ-HEAP-FIB}$
- 2:  $\min[H] \leftarrow \min[H_1]$
- 3: concatenează lista de rădăcini a lui  $H_2$  cu lista de rădăcini a lui  $H$
- 4: **dacă** ( $\min[H_1] = \text{NIL}$ ) sau ( $\min[H_2] \neq \text{NIL}$  și  $\min[H_2] < \min[H_1]$ ) **atunci**
- 5:      $\min[H] \leftarrow \min[H_2]$
- 6:  $n[H] \leftarrow n[H_1] + n[H_2]$
- 7: eliberează obiectele  $H_1$  și  $H_2$
- 8: **returnează**  $H$

Liniile 1–3 concatenează listele de rădăcini ale lui  $H_1$  și  $H_2$  obținându-se o listă de rădăcini nouă  $H$ . Liniile 2, 4 și 5 stabilesc nodul minim al lui  $H$ , iar linia 6 initializează  $n[H]$  cu numărul total de noduri. Obiectele  $H_1$  și  $H_2$  sunt dealocate în linia 7, iar linia 8 returnează heap-ul Fibonacci  $H$  rezultat. Arborii nu sunt consolidați, la fel ca și în procedura HEAP-FIB-INSEREAZĂ. Potențialul rămâne neschimbat și anume:

$$\begin{aligned}\Phi(H) - (\Phi(H_1) + \Phi(H_2)) \\ = (t(H) + 2m(H)) - ((t(H_1) + 2m(H_1)) + (t(H_2) + 2m(H_2))) = 0,\end{aligned}$$

deoarece  $t(H) = t(H_1) + t(H_2)$  și  $m(H) = m(H_1) + m(H_2)$ . Costul amortizat al operației HEAP-FIB-REUNEȘTE este astfel egal cu costul actual  $O(1)$ .

### Extragerea nodului minim

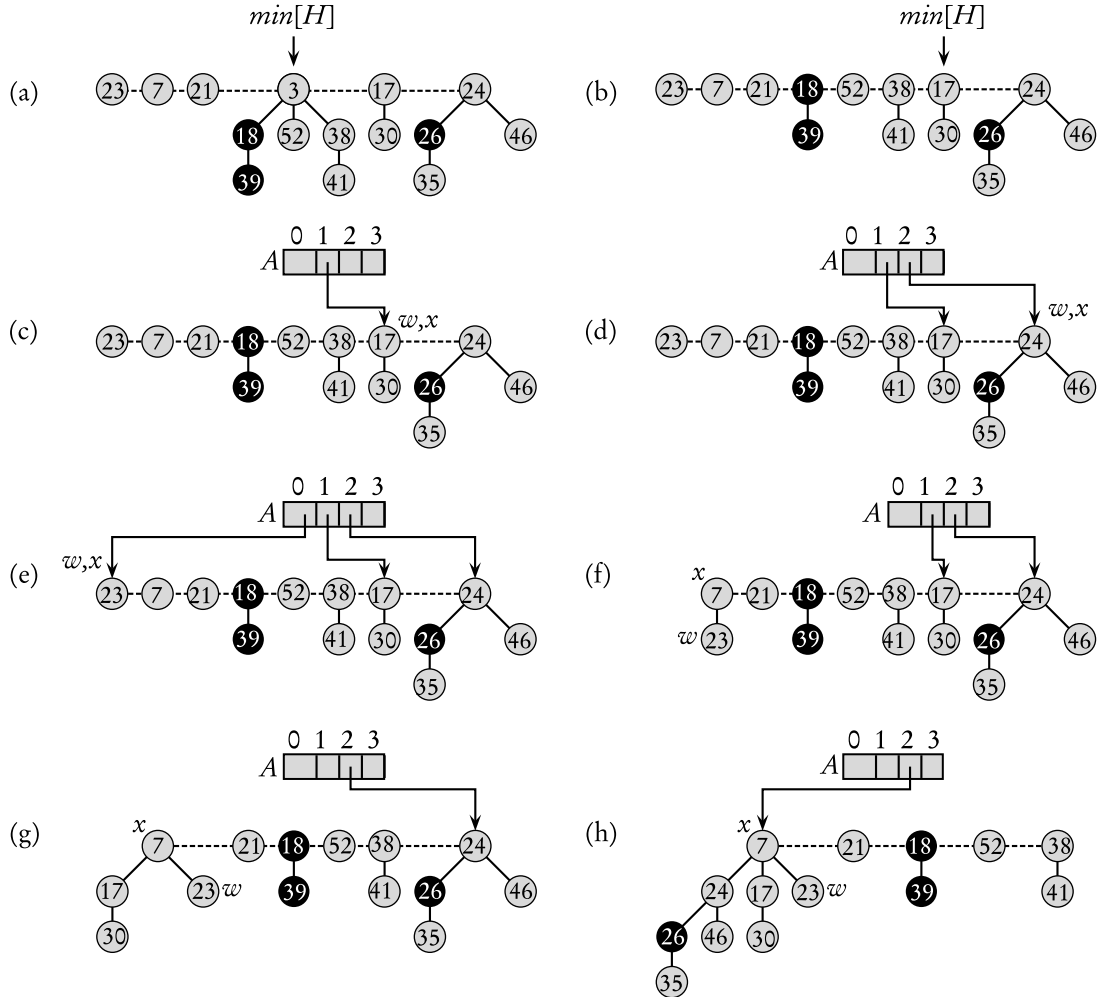
Procesul de extragere al nodului minim este cel mai complicat dintre toate operațiile prezente în această secțiune. Consolidarea arborilor din lista de rădăcini este efectuată în cadrul acestei operații. Următorul algoritm scris în pseudocod extrage nodul minim. Algoritmul presupune că atunci când se sterge un nod dintr-o listă înlănțuită, pointerii rămași în listă sunt actualizați, dar pointerii din nodul eliminat sunt lăsați neschimbați. În algoritm se folosește o procedură auxiliară CONSOLIDEAZĂ care va fi prezentată pe scurt.

HEAP-FIB-EXTRAGE-MIN( $H$ )

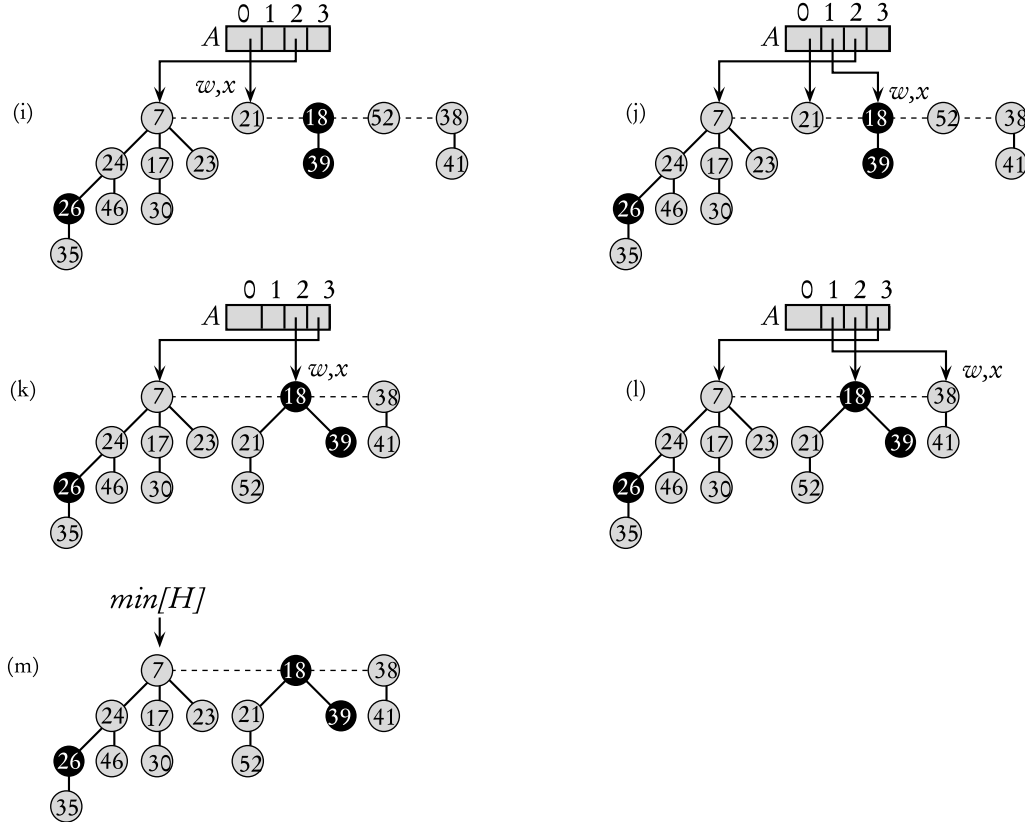
- 1:  $z \leftarrow min[H]$
- 2: **dacă**  $z \neq NIL$  **atunci**
- 3:   **pentru** fiecare fiu  $x$  al lui  $z$  **execută**
- 4:     adaugă  $x$  la lista de rădăcini a lui  $H$
- 5:      $p[x] \leftarrow NIL$
- 6:     sterge  $z$  din lista de rădăcini a lui  $H$
- 7:     **dacă**  $z = dreapta[z]$  **atunci**
- 8:        $min[H] \leftarrow NIL$
- 9:     **altfel**
- 10:       $min[H] \leftarrow dreapta[z]$
- 11:      CONSOLIDEAZĂ( $H$ )
- 12:      $n[H] \leftarrow n[H] - 1$
- 13: **returnează**  $z$

Conform figurii 21.3, procedura HEAP-FIB-EXTRAGE-MIN rupe legăturile între nodul rădăcină minim respectiv fiilor săi și sterge nodul minim din lista de rădăcini. Apoi consolidează lista de rădăcini prin înlănțuirea rădăcinilor de același grad, până când rămâne cel mult o rădăcină de fiecare grad.

Pornim în linia 1 prin reținerea unui pointer  $z$  la nodul minim; în final se va returna acest pointer. Dacă  $z = NIL$  atunci heap-ul Fibonacci  $H$  este vid și prelucrarea este încheiată. În caz contrar, la fel ca și în procedura HEAP-BINOMIAL-EXTRAGE-MIN, nodul  $z$  este șters din  $H$  în liniile 3–5 prin transformarea filor lui  $z$  în rădăcini și stergerea lui  $z$  din lista de rădăcini (linia 6). Dacă  $z = dreapta[z]$  atunci  $z$  fusese singurul nod din lista de rădăcini și nu avusesese nici un fiu, astfel încât, mai întâi, trebuie să facem heap-ul  $H$  vid, înainte. În caz contrar, stabilim pointerul  $min[H]$  în lista de rădăcini astfel încât să indice nodul minim rămas (în acest caz,



**Figura 21.3** Acțiunile procedurii HEAP-FIB-EXTRAGE-MIN. **(a)** Un heap Fibonacci  $H$ . **(b)** Situația obținută după ștergerea nodului minim  $z$  din lista de rădăcini și adăugarea la lista de rădăcini a filor lui  $z$ . **(c)–(e)** Tabloul  $A$  și arborii după primele trei iterații ale ciclului **pentru** din liniile 3–13 ale procedurii CONSOLIDEAZĂ. Lista de rădăcini este procesată pornind de la nodul minim și urmând pointerii *dreapta*. Fiecare parte arată valorile lui  $w$  și  $x$  la sfârșitul unei iterații. **(f)–(h)** Iterația următoare a ciclului **pentru**, cu valorile lui  $w$  și  $x$  obținute la sfârșitul fiecărei iterații a ciclului **cât timp** din liniile 6–12. Partea (f) arată situația obținută la prima trecere prin ciclul **cât timp**. Nodul cu cheia 23 a fost legat la nodul având cheia 7, nod care este indicat acum de  $x$ . În partea (g) nodul având cheia 17 a fost legat la nodul având cheia 7, spre care încă indică  $x$ . În partea (h) nodul având cheia 24 a fost legat la nodul având cheia 7. Deoarece  $A[3]$  nu indică nici un nod, la sfârșitul iterației ciclului **pentru**  $A[3]$  va indica rădăcina arborelui rezultat. **(i)–(l)** Situația obținută după următoarele patru iterații ale ciclului **cât timp**. **(m)** Heap-ul Fibonacci  $H$  după reconstruirea listei de rădăcini din tabloul  $A$  și după determinarea pointerului  $\min[H]$ .



$dreapta[z]$ ) diferit de  $z$ . Figura 21.3(b) prezintă heap-ul Fibonacci din figura 21.3(a) după executarea instrucțiunii din linia 9.

Pasul următor în care reducem numărul de arbori din heap-ul Fibonacci constă în **consolidarea** listei de rădăcini a lui  $H$ ; acesta este efectuat prin apelul  $\text{CONSOLIDEAZĂ}(H)$ . Consolidarea listei de rădăcini constă din efectuarea repetată a pașilor următori, până când fiecare rădăcină din lista de rădăcini are o valoare distinctă pentru *gradul* său.

1. Găsește două rădăcini  $x$  și  $y$  din lista de rădăcini având același grad și  $cheie[x] \leq cheie[y]$ .
2. Înlănțuie  $y$  la  $x$ : șterge  $y$  din lista de rădăcini și include nodul  $y$  printre fiili lui  $x$ . Această operație este efectuată prin procedura  $\text{HEAP-FIB-ÎNLĂNTUIE}$ . Câmpul  $grad[x]$  este incrementat, iar marcajul nodului  $y$ , dacă există, este șters.

Procedura  $\text{CONSOLIDEAZĂ}$  folosește un tablou auxiliar  $A[0..D(n[H])]$ ; dacă  $A[i] = y$  atunci  $y$  este o rădăcină cu  $grad[y] = i$ . Aceasta funcționează după cum urmează. În liniile 1–2 se inițializează  $A$  atribuind fiecarui element valoarea NIL. Procesarea fiecarui nod  $w$  se încheie cu un nod  $x$  care poate fi, sau nu, identic cu  $w$ . Astfel, elementele tabloului  $A[grad[w]]$  sunt inițializate cu  $x$ . În ciclul **pentru** din liniile 3–13 este examinat fiecare nod  $w$  din lista de rădăcini. Invariantul la fiecare iterație în ciclul **for** este că nodul  $x$  este rădăcina celui de-al doilea arbore care conține nodul  $w$ .

$\text{CONSOLIDEAZĂ}(H)$

```

1: pentru  $i \leftarrow 0$ ,  $D(n[H])$  execută
2:    $A[i] \leftarrow \text{NIL}$ 
3: pentru fiecare nod  $w$  din lista de rădăcini a lui  $H$  execută
4:    $x \leftarrow w$ 
5:    $d \leftarrow \text{grad}[x]$ 
6:   cât timp  $A[d] \neq \text{NIL}$  execută
7:      $y \leftarrow A[d]$ 
8:     dacă  $\text{cheie}[x] > \text{cheie}[y]$  atunci
9:       interschimbă  $x \leftrightarrow y$ 
10:    HEAP-FIB-ÎNLĂNȚUIE( $H, y, x$ )
11:     $A[d] \leftarrow \text{NIL}$ 
12:     $d \leftarrow d + 1$ 
13:     $A[d] \leftarrow x$ 
14:  $\min[H] \leftarrow \text{NIL}$ 
15: pentru  $i \leftarrow 0$ ,  $D(n[H])$  execută
16:   dacă  $A[i] \neq \text{NIL}$  atunci
17:     adaugă  $A[i]$  listei de rădăcini a lui  $H$ 
18:   dacă  $\min[H] = \text{NIL}$  sau  $\text{cheie}[A[i]] < \text{cheie}[\min[H]]$  atunci
19:      $\min[H] \leftarrow A[i]$ 

```

HEAP-FIB-ÎNLĂNȚUIE( $H, y, x$ )

- 1: șterge  $y$  din lista de rădăcini a lui  $H$
- 2: înlănțuie  $y$  ca fiu al lui  $x$  și incrementează  $\text{grad}[x]$
- 3:  $\text{marcat}[x] \leftarrow \text{FALS}$

Ciclul **cât timp** din liniile 6–12 are predicatul invariant  $d = \text{grad}[x]$  (cu excepția liniei 11 după cum vom vedea imediat). La fiecare iterare a ciclului **cât timp**  $A[d]$  indică o anumită rădăcină  $y$ . Deoarece  $d = \text{grad}[x] = \text{grad}[y]$ , vom înlănțui  $x$  și  $y$ . Cel care are cheia mai mică dintre  $x$  și  $y$  devine părintele celuilalt, în urma operației de înlănțuire; astfel dacă este necesar, pointerii  $x$  și  $y$  sunt interschimbați în liniile 8–9. În continuare  $y$  este legat la  $x$  prin apelul din linia 10, HEAP-FIB-ÎNLĂNȚUIE( $H, y, x$ ). În urma apelului,  $\text{grad}[x]$  este incrementat, iar  $\text{grad}[y]$  rămâne  $d$ . Deoarece nodul  $y$  nu mai este rădăcină, pointerul spre el din tabloul  $A$  este șters în linia 11. Deoarece după apelul HEAP-FIB-ÎNLĂNȚUIE valoarea  $\text{grad}[x]$  este incrementată, în linia 12 este restabilită proprietatea invariantului  $d = \text{grad}[x]$ . Ciclul **cât timp** este executat repetat până când  $A[d] = \text{NIL}$ , situație în care nu există alte rădăcini având același grad ca și  $x$ . În linia 13 inițializăm  $A[d]$  cu  $x$  și efectuăm iterarea următoare a ciclului **pentru**. Figurile 21.3(c)–(e) prezintă tabloul  $A$  și arborii rezultați după primele trei iterări ale ciclului **pentru** din liniile 3–13. La iterarea următoare a ciclului **pentru** sunt realizate trei legături; rezultatele lor se pot vedea în figurile 21.3(f)–(h). Figurile 21.3(i)–(l) prezintă rezultatele următoarelor patru iterării ale ciclului **pentru**.

Rămâne să definitivăm operațiile începute. După execuția ciclului **pentru** din liniile 3–13, linia 14 videază lista de rădăcini iar în liniile 15–19 aceasta este reconstruită. Heap-ul Fibonacci rezultat este redat în figura 21.3(m). După consolidarea listei de rădăcini, operațiile efectuate de HEAP-FIB-EXTRAGE-MIN se încheie cu decrementarea valorii  $n[H]$  în linia 11 și returnarea în linia 12 a unui pointer la nodul șters  $z$ .

Observăm că dacă anterior apelului HEAP-FIB-EXTRAGE-MIN toți arborii din heap-ul

Fibonacci sunt arbori binomiali neordonati, atunci arborii rezultați după apel sunt de asemenea binomiali neordonati. Arborii sunt modificări în două feluri. În primul rând, în liniile 3–5 din HEAP-FIB-EXTRAGE-MIN, fiecare fiu  $x$  al rădăcinii  $z$  devine o rădăcină. Conform exercițiului 21.2-2 fiecare arbore nou va fi un arbore binomial neordonat. În al doilea rând, arborii sunt înlănțuiți prin HEAP-FIB-ÎNLĂNȚUIE doar dacă sunt de același grad. Deoarece înainte de crearea legăturilor toți arborii sunt binomiali și neordonati, cei doi arbori cu  $k$  fi au fiecare o structură de tip  $U_k$ . Rezultă că arborele obținut va avea o structură  $U_{k+1}$ .

Acum vom arăta că extragerea nodului minim dintr-un heap Fibonacci având  $n$  noduri are un cost amortizat  $O(D(n))$ . Fie  $H$  heap-ul Fibonacci pentru care aplicăm operația HEAP-FIB-EXTRAGE-MIN.

Calcularea costului actual al extragerii nodului minim poate fi făcută după cum urmează. O contribuție  $O(D(n))$  provine din faptul că nodul minim are cel mult  $D(n)$  fi care sunt procesați de HEAP-FIB-EXTRAGE-MIN și din calculurile efectuate în liniile 1–2 și 14–19 în procedura CONSOLIDEAZĂ. Ne rămâne să analizăm contribuția din partea ciclului **pentru** din liniile 3–13. După apelul procedurii CONSOLIDEAZĂ lungimea listei de rădăcini este cel mult  $D(n) + t(H) - 1$ , deoarece constă din nodurile inițiale ale listei în număr de  $t(H)$ , mai puțin nodul rădăcină extras și plus numărul fiilor nodului extras care pot fi cel mult  $D(n)$ . De fiecare dată, în ciclul **cât timp** din liniile 6–12 una din rădăcini este înlănțuită cu alta, astfel calculul total efectuat de ciclul **pentru** este cel mult proporțional cu  $D(n) + t(H)$ . Astfel, timpul total de execuție este  $O(D(n) + t(H))$ .

Înaintea extragerii nodului minim potențialul este  $t(H) + 2m(H)$ , iar după extragere acesta este cel mult egal cu  $(D(n) + 1) + 2m(H)$ , deoarece rămân cel mult  $D(n) + 1$  rădăcini și nu se marchează noduri în timpul efectuării operațiilor. Astfel costul amortizat este cel mult

$$\begin{aligned} &O(D(n) + t(H)) + ((D(n) + 1) + 2m(H)) - (t(H) + 2m(H)) \\ &= O(D(n)) + O(t(H)) - t(H) = O(D(n)), \end{aligned}$$

deoarece putem scala unitățile de potențial pentru a depăși constanta ascunsă în  $O(t(H))$ . Intuitiv, costul efectuării fiecărei legături se datorează reducerii potențialului în urma înlănțuirilor care micșorează cu unu numărul de rădăcini.

## Exerciții

**21.2-1** Determinați heap-ul Fibonacci rezultat după apelul HEAP-FIB-EXTRAGE-MIN asupra heap-ului Fibonacci din figura 21.3(m).

**21.2-2** Arătați că lema 20.1 are loc și pentru arbori binomiali neordonati înlocuind însă proprietatea 4 cu 4'.

**21.2-3** Arătați că dacă sunt suportate doar operațiile pe heap-uri interclasabile, atunci gradul maxim  $D(n)$  într-un heap Fibonacci având  $n$  noduri este cel mult  $\lfloor \lg n \rfloor$ .

**21.2-4** Profesorul McGee a descoperit o nouă structură de date bazată pe heap-uri Fibonacci. Un heap McGee are aceeași structură ca și un heap Fibonacci și suportă operațiile pe heap-uri interclasabile. Implementările operațiilor sunt aceleași, cu mențiunea că inserarea și reunirea efectuează ca ultim pas operația de consolidare. Care sunt timpii de execuție, în cazul cel mai defavorabil, ai operațiilor pe heap-uri McGee? Este nouă structura descoperită de profesor?

**21.2-5** Argumentați faptul că dacă singurele operații asupra cheilor sunt cele de comparare a două chei (ca în acest capitol), atunci nu toate operațiile pe heap-uri interclasabile pot fi efectuate într-un timp amortizat  $O(1)$ .

### 21.3. Descreșterea unei chei și ștergerea unui nod

În această secțiune vom arăta cum putem descrește cheia unui nod dintr-un heap Fibonacci într-un timp amortizat  $O(1)$  și cum putem șterge oricare dintre nodurile unui heap Fibonacci având  $n$  noduri într-un timp amortizat  $O(D(n))$ . Aceste operații nu păstrează proprietatea că toți arborii din heap sunt arbori binomiali neordonați. Putem mărgini gradul maxim  $D(n)$  prin  $O(\lg n)$ , aceste valori fiind suficient de apropriate. Demonstrarea acestei margini va implica faptul că procedura HEAP-FIB-EXTRAGE-MIN și HEAP-FIB-STERGE se execută într-un timp amortizat  $O(\lg n)$ .

#### Descreșterea unei chei

În algoritmul pseudocod descris în continuare pentru HEAP-FIB-DESCREȘTE-CHEIE vom presupune din nou că ștergerea unui nod dintr-o listă înlăntuită nu modifică câmpurile nodului sters.

HEAP-FIB-DESCREȘTE-CHEIE( $H, x, k$ )

- 1: **dacă**  $k > \text{cheie}[x]$  **atunci**
- 2:   **eroare** “cheia nouă este mai mare decât cheia curentă”
- 3:    $\text{cheie}[x] \leftarrow k$
- 4:    $y \leftarrow p[x]$
- 5: **dacă**  $y \neq \text{NIL}$  și  $\text{cheie}[x] < \text{cheie}[y]$  **atunci**
- 6:    TAIE( $H, x, y$ )
- 7:    TAIE-ÎN-CASCADĂ( $H, y$ )
- 8: **dacă**  $\text{cheie}[x] < \text{cheie}[\min[H]]$  **atunci**
- 9:     $\min[H] \leftarrow x$

TAIE( $H, x, y$ )

- 1: șterge  $x$  din lista de fii ai lui  $y$  și decrementează  $\text{grad}[y]$
- 2: adaugă  $x$  la lista de rădăcini a lui  $H$
- 3:  $p[x] \leftarrow \text{NIL}$
- 4:  $\text{marcat}[x] \leftarrow \text{FALS}$

TAIE-ÎN-CASCADĂ( $H, y$ )

- 1:  $z \leftarrow p[y]$
- 2: **dacă**  $z \neq \text{NIL}$  **atunci**
- 3:   **dacă**  $\text{marcat}[y] = \text{FALS}$  **atunci**
- 4:      $\text{marcat}[y] \leftarrow \text{ADEVĂRAT}$
- 5:   **altfel**
- 6:     TAIE( $H, y, z$ )
- 7:     TAIE-ÎN-CASCADĂ( $H, z$ )

HEAP-FIB-DESCREȘTE-CHEIE procedează după cum urmează. Liniile 1–3 asigură faptul că noua cheie nu este mai mare decât cheia curentă a lui  $x$  și apoi atribuie această valoare lui  $x$ . Dacă  $x$  este o rădăcină sau dacă  $cheie[x] \geq cheie[y]$ , unde  $y$  este părintele lui  $x$ , atunci nu sunt necesare modificări structurale, deoarece proprietatea de heap ordonat nu este încălcată. Această condiție este testată în liniile 4–5.

Dacă este încălcată proprietatea de heap ordonat, se pot petrece multe schimbări. Începem prin a **tăia** nodul  $x$  în linia 6. Procedura TAIE “taie” legătura dintre  $x$  și părintele  $y$  al lui, transformându-l pe  $x$  în rădăcină.

Folosim câmpul *marcat* pentru a obține marginile de timp dorite. Acestea ne ajută să obținem următorul efect. Presupunem că  $x$  este un nod caracterizat de următoarele:

1.  $x$  fusese rădăcină la un anumit moment,
2. apoi  $x$  a fost legat la un alt nod,
3. apoi doi fii ai lui  $x$  au fost șterși prin tăiere.

Imediat după ce și-a pierdut și al doilea fiu, lui  $x$  i se taie legătura cu părintele și devine o nouă rădăcină. Câmpul *marcat*[ $x$ ] este ADEVĂRAT dacă au avut loc pașii 1 și 2 și un fiu al lui  $x$  a fost eliminat. Astfel, îndeplinind pasul 1, procedura TAIE șterge *marcat*[ $x$ ] în linia 4. (Putem observa acum de ce linia 3 din HEAP-FIB-ÎNLĂNȚUIE șterge *marcat*[ $y$ ]: nodul  $y$  este legat la un alt nod și astfel este efectuat pasul 2. Data următoare când se taie un fiu al lui  $y$ , lui *marcat*[ $y$ ] i se atribuie valoarea ADEVĂRAT.)

Încă nu am terminat, deoarece  $x$  ar putea fi al doilea fiu înlăturat al părintelui lui  $y$ , din momentul în care  $y$  a fost legat de un alt nod. Așadar linia 7 din HEAP-FIB-DESCREȘTE-CHEIE efectuează o operație de **tăiere în cascadă** relativ la  $y$ . Dacă  $y$  este o rădăcină, atunci testul din linia 2 a operației TAIE-ÎN-CASCADĂ are ca efect ieșirea din procedură. Dacă  $y$  nu este marcat, atunci procedura îl marchează în linia 4, deoarece primul lui fiu a fost tocmai tăiat, și apelul se încheie. Totuși, dacă  $y$  este marcat, înseamnă că tocmai și-a pierdut al doilea fiu; în linia 6,  $y$  este înlăturat și TAIE-ÎN-CASCADĂ se apelează recursiv în linia 7 asupra părintelui  $z$  al lui  $y$ . Apelul recursiv al procedurii TAIE-ÎN-CASCADĂ se desfășoară ascendent în arbore până se întâlnește fie o rădăcină, fie un nod nemarcat.

O dată încheiat procesul de tăiere în cascadă, liniile 8–9 încheie HEAP-FIB-DESCREȘTE-CHEIE prin actualizarea lui *min*[ $H$ ], dacă este necesar.

Figura 21.4 prezintă rezultatul a două apeluri HEAP-FIB-DESCREȘTE-CHEIE aplicate pentru heap-ul Fibonacci din figura 21.4(a). Primul apel, redat în figura 21.4(b) nu implică tăieri în cascadă. Al doilea apel implică două tăieri în cascadă și este redat în figurile 21.4(c)–(e).

Vom arăta acum că timpul amortizat pentru HEAP-FIB-DESCREȘTE-CHEIE este doar  $O(1)$ . Începem prin determinarea costului actual. Procedura HEAP-FIB-DESCREȘTE-CHEIE necesită un timp  $O(1)$  plus timpul necesar efectuării tăierilor în cascadă. Presupunem că procedura TAIE-ÎN-CASCADĂ este apelată recursiv de  $c$  ori de la o anumită invocare a procedurii HEAP-FIB-DESCREȘTE-CHEIE. Fiecare apel TAIE-ÎN-CASCADĂ necesită un timp  $O(1)$  fără a lua în considerare apelurile recursive. Astfel, timpul actual pentru HEAP-FIB-DESCREȘTE-CHEIE este  $O(c)$  incluzând aici toate apelurile recursive.

În continuare vom calcula modificarea potențialului. Fie  $H$  heap-ul Fibonacci înainte de apelul procedurii HEAP-FIB-DESCREȘTE-CHEIE. Fiecare apel recursiv al procedurii TAIE-ÎN-CASCADĂ, exceptându-l pe ultimul, înlătură un nod marcat și șterge marcajul nodului. După

aceea, există  $t(H) + c$  arbori ( $t(H)$  arbori inițiali,  $c - 1$  arbori produși de tăierea în cascadă și arborele cu rădăcina  $x$ ) și cel mult  $m(H) - c + 2$  noduri marcate ( $c - 1$  au fost demarcate prin tăierea în cascadă, iar la ultimul apel, TAIE-ÎN-CASCADĂ marchează un nod). De unde, potențialul se modifică cu cel mult

$$((t(H) + c) + 2(m(H) - c + 2)) - (t(H) + 2m(H)) = 4 - c.$$

Astfel, costul amortizat pentru HEAP-FIB-DESCREȘTE-CHEIE este cel mult

$$O(c) + 4 - c = O(1),$$

deoarece putem scala unitatea de potențial astfel încât să dominăm constanta ascunsă în  $O(c)$ .

Putem observa acum de ce funcția potențial a fost definită să conțină un termen care este de două ori mai mare decât nodurile marcate. Atunci când un nod marcat  $y$  este înălțat la tăierea în cascadă, marcajul lui este șters, astfel că potențialul se reduce cu 2. O unitate de potențial este cheltuită pentru tăiere și ștergerea marcajului, iar cealaltă unitate compensează creșterea în unități de potențial datorată faptului că nodul  $y$  a devenit o rădăcină.

### Ștergerea unui nod

A șterge un nod dintr-un heap Fibonacci având  $n$  noduri într-un timp amortizat  $O(D(n))$  este ușor, după cum arată algoritmul pseudocod următor. Presupunem că heap-ul Fibonacci nu conține chei de valoare  $-\infty$ .

**HEAP-FIB-STERGE( $H, x$ )**

- 1: HEAP-FIB-DESCREȘTE-CHEIE( $H, x, -\infty$ )
- 2: HEAP-FIB-EXTRAGE-MIN( $H$ )

Procedura HEAP-FIB-STERGE este analogă cu HEAP-BINOMIAL-STERGE. Atribuind cheii nodului  $x$  valoarea  $-\infty$ , nodul  $x$  devine nodul minim din heap. Nodul  $x$  este șters apoi din heap prin apelul procedurii HEAP-FIB-EXTRAGE-MIN. Timpul amortizat pentru HEAP-FIB-STERGE este suma dintre timpul amortizat  $O(1)$  al procedurii HEAP-FIB-DESCREȘTE-CHEIE, respectiv  $O(D(n))$  al lui HEAP-FIB-EXTRAGE-MIN.

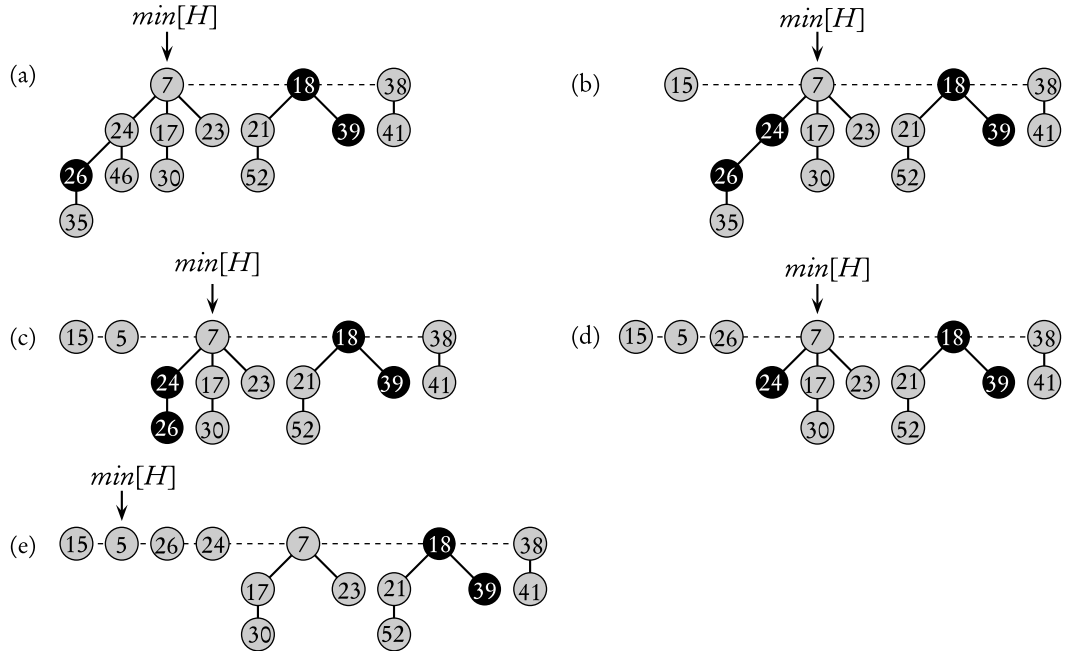
### Exerciții

**21.3-1** Presupunem că într-un heap Fibonacci o rădăcină  $x$  este marcată. Explicați cum a devenit  $x$  o rădăcină marcată. Justificați că pentru analiză nu are importanță acest fapt, chiar dacă nu este o rădăcină care a fost întâi legată la un alt nod și apoi și-a pierdut fiul stâng.

**21.3-2** Demonstrați timpul amortizat  $O(1)$  pentru HEAP-FIB-DESCREȘTE-CHEIE, folosind metoda agregării din secțiunea 18.1.

## 21.4. Mărginirea gradului maxim

Pentru a demonstra că timpul amortizat al operațiilor HEAP-FIB-EXTRAGE-MIN și HEAP-FIB-STERGE este  $O(\lg n)$ , trebuie să arătăm că marginea superioară  $D(n)$  a gradului oricărui



**Figura 21.4** Două apeluri ale procedurii HEAP-FIB-DESCRESTE-CHEIE. (a) Heap-ul Fibonacci inițial. (b) Nodului având cheia 46 i se micșorează cheia la 15. Nodul devine o rădăcină și părintele lui (având cheia 24) se marchează (anterior fusese nemarcat). (c)–(e) Nodului având cheia 35 i se micșorează cheia la 5. În partea (c), nodul (acum având cheia 5) devine o rădăcină. Părintele lui (având cheia 26) este marcat, urmând astfel o tăiere în cascadă. Nodul având cheia 26 este înlăturat de la părintele lui și devine o rădăcină nemarcată (partea (d)). Are loc încă o tăiere în cascadă, deoarece nodul având cheia 24 este de asemenea marcat. Acest nod este înlăturat de la părintele lui și devine o rădăcină nemarcată (partea (e)). Tăierile în cascadă se opresc aici deoarece nodul având cheia 7 este o rădăcină. (Chiar dacă nodul nu ar fi o rădăcină, procesul de tăiere s-ar fi încheiat, deoarece nodul este nemarcat.) Rezultatul operației HEAP-FIB-DESCRESTE-CHEIE este redat în partea (e), având  $\min[H]$  indicând noul nod minim.

nod dintr-un heap Fibonacci având  $n$  noduri este  $O(\lg n)$ . Conform exercițiului 21.2-3, atunci când toți arborii din heap-ul Fibonacci sunt arbori binomiali neordonatați,  $D(n) = \lfloor \lg n \rfloor$ . Totuși, tăierile care se efectuează în HEAP-FIB-DESCRESTE-CHEIE pot genera arbori care nu respectă proprietățile arborilor binomiali neordonatați. În această secțiune vom arăta că prin înlăturarea unui nod de la părintele lui, dacă acesta pierde doi fii, atunci  $D(n)$  este  $O(\lg n)$ . Mai precis, vom arăta că  $D(n) \leq \lfloor \log_{\phi} n \rfloor$ , unde  $\phi = (1 + \sqrt{5})/2$ .

Idee de bază a analizei este următoarea. Pentru fiecare nod  $x$  dintr-un heap Fibonacci fie  $\dim(x)$  numărul nodurilor subarborelui cu rădăcina  $x$ , inclusiv și pe  $x$ . (Să observăm că  $x$  nu trebuie să fie în lista de rădăcini – poate fi orice nod.) Vom arăta că  $\dim(x)$  depinde exponențial de  $\text{grad}[x]$ . Să reținem că  $\text{grad}[x]$  este actualizat pentru a exprima cu precizie gradul lui  $x$ .

**Lema 21.1** Fie  $x$  un nod oarecare dintr-un heap Fibonacci și presupunem că  $\text{grad}[x] = k$ . Notăm cu  $y_1, y_2, \dots, y_k$  fiii lui  $x$  în ordinea în care au fost legați la  $x$ , de la cel mai devreme spre cel mai recent. Atunci,  $\text{grad}[y_1] \geq 0$  și  $\text{grad}[y_i] \geq i - 2$  pentru  $i = 2, 3, \dots, k$ .

**Demonstrație.** Este evident că  $\text{grad}[y_1] \geq 0$ .

Pentru  $i \geq 2$ , să observăm că atunci când  $y_i$  a fost legat la  $x$ , celelalte noduri  $y_1, y_2, \dots, y_{i-1}$  erau deja fii ai lui  $x$ , astfel că  $\text{grad}[x] \geq i-1$ . Nodul  $y_i$  este legat la  $x$  numai dacă  $\text{grad}[x] = \text{grad}[y_i]$ , de unde rezultă că la acel moment are loc de asemenea  $\text{grad}[y_i] \geq i-1$ . Din acel moment nodul  $y_i$  poate pierde cel mult un fiu, deoarece, dacă și-ar fi pierdut ambii fii, ar fi fost tăiată legătura sa cu  $x$ . În concluzie,  $\text{grad}[y_i] \geq i-2$ . ■

Ajungem în sfârșit la acea parte a analizei care justifică numele “heap-uri Fibonacci”. Să ne amintim din secțiunea 2.2 că pentru  $k = 0, 1, 2, \dots$ , al  $k$ -lea număr Fibonacci este definit prin relația de recurență

$$F_k = \begin{cases} 0 & \text{dacă } k = 0, \\ 1 & \text{dacă } k = 1, \\ F_{k-1} + F_{k-2} & \text{dacă } k \geq 2. \end{cases}$$

Lema următoare oferă un alt mod de a exprima  $F_k$ .

**Lema 21.2** Pentru orice  $k \geq 0$ ,

$$F_{k+2} = 1 + \sum_{i=0}^k F_i.$$

**Demonstrație.** Demonstrația este prin inducție după  $k$ . Dacă  $k = 0$ ,

$$1 + \sum_{i=0}^0 F_i = 1 + F_0 = 1 + 0 = 1 = F_2.$$

Presupunând acum că are loc ipoteza inducției,  $F_{k+1} = 1 + \sum_{i=0}^{k-1} F_i$ , avem

$$F_{k+2} = F_k + F_{k+1} = F_k + \left(1 + \sum_{i=0}^k F_i\right) = 1 + \sum_{i=0}^k F_i.$$

Lema următoare și corolarul ei completează analiza. Lema folosește inegalitatea (demonstrată în exercițiul 2.2-8)

$$F_{k+2} \geq \phi^k,$$

unde  $\phi$  este raportul de aur definit prin ecuația (2.14) ca fiind  $\phi = (1 + \sqrt{5})/2 = 1.61803 \dots$

**Lema 21.3** Fie  $x$  un nod oarecare dintr-un heap Fibonacci și fie  $k = \text{grad}[x]$ . Atunci,  $\dim(x) \geq F_{k+2} \geq \phi^k$ , unde  $\phi = (1 + \sqrt{5})/2$ .

**Demonstrație.** Notăm cu  $s_k$  valoarea minimă posibilă pentru  $\dim(z)$  pentru toate nodurile  $z$  care au proprietatea  $\text{grad}[z] = k$ . Evident că,  $s_0 = 1$ ,  $s_1 = 2$  și  $s_2 = 3$ . Numărul  $s_k$  este cel mult  $\dim(x)$ . Ca și în lema 21.1, notăm cu  $y_1, y_2, \dots, y_k$  fiile lui  $x$  în ordinea în care au fost legați la  $x$ . Pentru a calcula o margine inferioară pentru  $\dim(x)$  adunăm unu pentru  $x$  și unu pentru primul fiu  $y_1$  (pentru care  $\dim(y_1) \geq 1$ ) și aplicăm apoi lema 21.1 pentru ceilalți fii. Avem astfel

$$\dim(x) \geq s_k \geq 2 + \sum_{i=2}^k s_{i-2}.$$

Arătăm acum, prin inducție în raport cu  $k$ , că  $s_k \geq F_{k+2}$ , pentru orice  $k$  întreg nenegativ. Cazurile de bază pentru  $k = 0$  și  $k = 1$  sunt evidente. Pentru pasul inductiv, presupunem că  $k \geq 2$  și că  $s_i \geq F_{i+2}$ , pentru  $i = 0, 1, \dots, k - 1$ . Avem

$$s_k \geq 2 + \sum_{i=2}^k s_{i-2} \geq 2 + \sum_{i=2}^k F_i = 1 + \sum_{i=0}^k F_i = F_{k+2}.$$

Ultima egalitate rezultă din lema 21.2.

Am arătat astfel că  $\dim(x) \geq s_k \geq F_{k+2} \geq \phi^k$ . ■

**Corolarul 21.4** Gradul maxim  $D(n)$  al oricărui nod dintr-un heap Fibonacci cu  $n$  noduri, este  $O(\lg n)$ .

**Demonstrație.** Fie  $x$  un nod oarecare al unui heap Fibonacci cu  $n$  noduri și fie  $k = \text{grad}[x]$ . Din lema 21.3 obținem că  $n \geq \dim(x) \geq \phi^k$ . Logaritmând în baza  $\phi$  obținem  $k \leq \log_\phi n$ . (De fapt  $k \leq \lfloor \log_\phi n \rfloor$  deoarece  $k$  este întreg.) Gradul maxim  $D(n)$  al oricărui nod este astfel  $O(\lg n)$ . ■

## Exerciții

**21.4-1** Profesorul Pinocchio afirmă că înălțimea unui heap Fibonacci având  $n$  noduri este  $O(\lg n)$ . Demonstrați că presupunerea profesorului este greșită descriind pentru orice număr întreg pozitiv  $n$  o secvență de operații ale heap-urilor Fibonacci care creează un heap Fibonacci constând dintr-un singur arbore care are cele  $n$  noduri înlántuite liniar.

**21.4-2** Presupunem că generalizăm regula de tăiere în cascadă a unui nod de la părintele lui, imediat ce acesta își pierde al  $k$ -lea fiu, pentru o constantă întreagă  $k$  fixată. (Regula din secțiunea 21.3 folosește  $k = 2$ .) Pentru ce valori ale lui  $k$  avem  $D(n) = O(\lg n)$ ?

## Probleme

### 21-1 Implementare alternativă pentru ștergere

Profesorul Pisano a propus următoarea variantă pentru procedura HEAP-FIB-STERGE, afirmând că execuția este mai rapidă atunci când nodul care se șterge nu este nodul indicat de  $\min[H]$ .

PISANO-STERGE( $H, x$ )

- 1: **dacă**  $x = \min[H]$  **atunci**
- 2:   HEAP-FIB-EXTRAGE-MIN( $H$ )
- 3: **altfel**
- 4:    $y \leftarrow p[x]$
- 5:   **dacă**  $y \neq \text{NIL}$  **atunci**
- 6:     TAIE( $H, x, y$ )
- 7:     TAIE-ÎN-CASCADĂ( $H, y$ )
- 8:   adaugă lista de fii ai lui  $x$  la lista de rădăcini a lui  $H$
- 9:   șterge  $x$  din lista de rădăcini a lui  $H$

- a. Afirmația profesorului privind execuția mai rapidă se bazează în parte pe presupunerea că linia 8 poate fi executată într-un timp actual  $O(1)$ . Ce este greșit în această presupunere?
- b. Dați o margine superioară bună pentru timpul actual al operației PISANO-ȘTERGE în cazul  $x \neq \min[H]$ . Marginea găsită ar trebui exprimată în termeni de  $\text{grad}[x]$  și numărul  $c$  de apeluri al procedurii TĂIERE-ÎN-CASCADĂ.
- c. Fie  $H'$  heap-ul Fibonacci rezultat după apelul PISANO-ȘTERGE( $H, x$ ). Presupunând că  $x$  nu este o rădăcină, estimați o margine pentru potențialul lui  $H'$  în termeni de  $\text{grad}[x]$ ,  $c$ ,  $t(H)$  și  $m(H)$ .
- d. Arătați că timpul amortizat pentru PISANO-ȘTERGE nu este asymptotic mai bun decât pentru HEAP-FIB-ȘTERGE, chiar dacă  $x \neq \min[H]$ .

### 21-2 Alte operații pe heap-uri Fibonacci

Dorim să îmbunătățim un heap Fibonacci  $H$  prin adăugarea a două operații fără a schimba timpul amortizat de execuție al celorlalte operații pe heap-uri Fibonacci.

- a. Dați o implementare eficientă a operației HEAP-FIB-SCHIMBĂ-CHEIE( $H, x, k$ ), care schimbă cheia nodului  $x$  atribuindu-i valoarea  $k$ . Analizați timpul amortizat de execuție a implementării găsite pentru cazurile în care  $k$  este mai mare, mai mică, sau egală cu  $\text{cheie}[x]$ .
- b. Dați o implementare eficientă a operației HEAP-FIB-TRUNCHIAZĂ( $H, r$ ), care șterge  $\min(r, n[H])$  noduri din  $H$ . Nodurile care se șterg pot fi alese arbitrar. Analizați timpul amortizat de execuție pentru implementarea găsită. (*Indica ie:* Este posibil să fie necesară modificarea structurii de date sau a funcției potențial.)

## Note bibliografice

Heap-urile Fibonacci au fost introduse de Fredman și Tarjan [75]. Articolul lor descrie, de asemenea, aplicarea heap-urilor Fibonacci problemelor de drum minim de sursă unică și respectiv a tuturor perechilor, problemelor de potrivire bipartită ponderată și problemei arboreului de acoperire minim.

În continuare Driscoll, Gabow, Shrairman și Tarjan [58] au dezvoltat “heap-uri relaxate” ca o alternativă la heap-uri Fibonacci. Există două tipuri de heap-uri relaxate. Unul din ele oferă aceleși margini pentru timpul amortizat de execuție ca și heap-urile Fibonacci. Celălalt permite operației DESCREȘTE-CHEIE, în cazul cel mai defavorabil (nu amortizat) o execuție într-un timp  $O(1)$ , iar operațiilor EXTRAGE-MIN și ȘTERGE, în cazul cel mai defavorabil, o execuție într-un timp  $O(\lg n)$ . În algoritmi paraleli heap-urile relaxate au de asemenea unele avantaje față de cele Fibonacci.

---

## 22 Structuri de date pentru mulțimi disjuncte

Unele aplicații implică gruparea a  $n$  elemente distințe într-o colecție de mulțimi disjuncte. Pentru o astfel de colecție există două operații importante: căutarea mulțimii căreia îi aparține un element dat și reuniunea a două mulțimi. Acest capitol propune metode pentru realizarea unei structuri de date care suportă aceste operații.

În secțiunea 22.1 se descriu operațiile caracteristice unei structuri de date mulțimi disjuncte și prezintă o aplicație simplă. În secțiunea 22.2, urmărим o implementare simplă pentru mulțimile disjuncte, bazată pe liste înlănuite. O implementare mai eficientă folosind arbori cu rădăcină este prezentată în secțiunea 22.3. Timpul de execuție, în cazul implementării bazate pe arbori cu rădăcină, este liniar pentru toate scoperile practice, dar teoretic este supraliniar. În secțiunea 22.4 se definește și se analizează funcția lui Ackermann și inversa sa, care are o creștere foarte încreată; aceasta funcție apare în evaluarea timpului de execuție al operațiilor, în cazul implementării bazate pe arbori. Se demonstrează apoi, folosind o analiză amortizată, existența unei margini superioare mai puțin exactă pentru timpul de execuție.

---

### 22.1. Operații pe mulțimi disjuncte

O *structură de date pentru mulțimi disjuncte* memorează o colecție  $S = \{S_1, S_2, \dots, S_k\}$  de mulțimi disjuncte dinamice. Fiecare mulțime este identificată printr-un **reprezentant**, care este unul din elementele mulțimii. În anumite aplicații, nu are importanță care membru este folosit ca reprezentant; ne interesează doar să-l alegem astfel încât dacă cerem reprezentantul unei mulțimi de două ori, fară să modificăm mulțimea între cele două cereri, să obținem același răspuns de fiecare dată. În alte aplicații poate exista o regulă predefinită pentru alegerea reprezentantului, cum ar fi alegerea celui mai mic element din mulțime (presupunând bineînțeles că elementele pot fi ordonate).

Ca și în celealte implementări ale mulțimilor dinamice pe care le-am studiat, fiecare element al unei mulțimi este reprezentat printr-un obiect. Notând cu  $x$  un obiect, definim următoarele operații.

**FORMEAZĂ-MULȚIME( $x$ )** creează o mulțime nouă cu un singur element  $x$  (care este și reprezentant). Deoarece mulțimile sunt disjuncte, cerem ca  $x$  să nu fie deja în altă mulțime.

**REUNEȘTE( $x, y$ )** reuneste mulțimile dinamice  $S_x$  și  $S_y$ , care conțin pe  $x$ , respectiv pe  $y$ , într-o nouă mulțime care este reuniunea celor două mulțimi. Se presupune că înaintea aplicării operației cele două mulțimi sunt disjuncte. Reprezentatul mulțimii rezultate este un element oarecare al reuniunii  $S_x \cup S_y$ , deși multe implementări ale operației REUNEȘTE aleg fie reprezentantul lui  $S_x$ , fie al lui  $S_y$ , ca reprezentant al noii mulțimi. Pentru că noi cerem ca mulțimile din colecție să fie disjuncte, “distrugem” mulțimile  $S_x$  și  $S_y$ , stergându-le din colecție.

**GĂSEȘTE-MULTIME( $x$ )** returnează un pointer spre reprezentantul (unic) al mulțimii care-l conține pe  $x$ .

Pe parcursul acestui capitol, vom analiza timpul de execuție pentru structurile de date mulțimi disjuncte, în termenii a doi parametri:  $n$ , numărul de operații FORMEAZĂ-MULTIME și  $m$ , numărul total de operații FORMEAZĂ-MULTIME, REUNEȘTE și GĂSEȘTE-MULTIME. Deoarece mulțimile sunt disjuncte, fiecare operație REUNEȘTE reduce numărul de mulțimi cu unu. Astfel după  $n - 1$  operații REUNEȘTE, rămâne o singură mulțime. Numărul de operații REUNEȘTE este deci cel mult  $n - 1$ . Observați de asemenea că numărul total de operații  $m$  include operațiile FORMEAZĂ-MULTIME, deci vom avea  $m \geq n$ .

## O aplicație a structurilor de date mulțimi disjuncte

Una dintre aplicațiile structurilor de date mulțimi disjuncte este determinarea componentelor conexe ale unui graf neorientat (vezi secțiunea 5.4). De exemplu, figura 22.1(a) prezintă un graf cu patru componente conexe.

Următoarea procedură COMPONENTE-CONEXE folosește operațiile pe mulțimi disjuncte pentru a determina componentele conexe ale unui graf. După ce COMPONENTE-CONEXE a fost executată ca un pas de preprocesare, procedura ACEEAȘI-COMPONENTĂ răspunde la cereri care verifică dacă două vârfuri sunt în aceeași componentă conexă.<sup>1</sup> (Mulțimea de vârfuri a unui graf  $G$  este notată cu  $V[G]$  și mulțimea muchiilor e notată cu  $E[G]$ .)

**COMPONENTE-CONEXE( $G$ )**

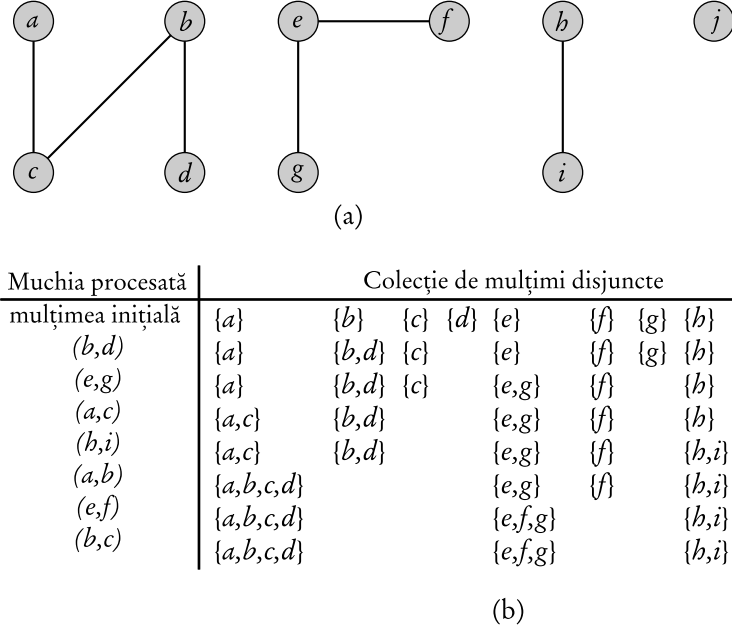
- 1: **pentru** fiecare vârf  $v \in V[G]$  **execută**
- 2:   FORMEAZĂ-MULTIME( $v$ )
- 3: **pentru** fiecare muchie  $(u, v) \in E(G)$  **execută**
- 4:   **dacă**  $\text{GĂSEȘTE-MULTIME}(u) \neq \text{GĂSEȘTE-MULTIME}(v)$  **atunci**
- 5:     REUNEȘTE( $u, v$ )

**ACEEAȘI-COMPONENTĂ( $u, v$ )**

- 1: **dacă**  $\text{GĂSEȘTE-MULTIME}(u) = \text{GĂSEȘTE-MULTIME}(v)$  **atunci**
- 2:   **returnează** ADEVĂRAT
- 3: **altfel**
- 4:   **returnează** FALS

Procedura COMPONENTE-CONEXE plasează inițial fiecare vârf  $v$  într-o mulțime proprie. Apoi, pentru fiecare muchie  $(u, v)$ , se reunesc mulțimile care conțin pe  $u$  și pe  $v$ . Conform exercițiului 22.1-2, după ce toate muchiile sunt procesate, două vârfuri sunt în aceeași componentă conexă dacă și numai dacă obiectele corespunzătoare sunt în aceeași mulțime. Prin urmare, COMPONENTE-CONEXE calculează mulțimile astfel încât procedura ACEEAȘI-COMPONENTĂ poate determina dacă două vârfuri sunt în aceeași componentă conexă. Figura 22.1(b) ilustrează modul în care COMPONENTE-CONEXE calculează mulțimile disjuncte.

<sup>1</sup> Atunci când vârfurile unui graf sunt “statice” – nu se schimbă în timp – componentele conexe pot fi calculate mai rapid, folosind căutarea în adâncime (exercițiul 23.3-9). Uneori, totuși, muchiile sunt adăugate “dinamic” și avem nevoie să menținem componentele conexe pe măsură ce fiecare muchie este adăugată. În acest caz, implementarea prezentată aici poate fi mai eficientă decât execuția din nou a căutării în adâncime, pentru fiecare muchie nouă.



**Figura 22.1** (a) Un graf cu patru componente conexe:  $\{a, b, c, d\}$ ,  $\{e, f, g\}$ ,  $\{h, i\}$  și  $\{j\}$ . (b) Colecția de mulțimi disjuncte după procesarea fiecărei muchii.

### Exerciții

**22.1-1** Presupunem că procedura COMPONENTE-CONEXE se execută pentru graful neorientat  $G = (V, E)$ , unde  $V = \{a, b, c, d, e, f, g, h, i, j, k\}$  și muchiile din  $E$  sunt procesate în următoarea ordine:  $(d, i), (f, k), (g, i), (b, g), (a, h), (i, j), (d, k), (b, j), (d, f), (g, j), (a, e), (i, d)$ . Scrieți vârfurile din fiecare componentă conexă după fiecare iterație a liniilor 3–5.

**22.1-2** Arătați că după ce toate muchiile sunt procesate de către COMPONENTE-CONEXE, două vârfuri sunt în aceeași componentă conexă dacă și numai dacă ele sunt în aceeași mulțime.

**22.1-3** De câte ori este apelată procedura GĂSEȘTE-MULTIME în timpul execuției procedurii COMPONENTE-CONEXE pe un graf neorientat  $G = (V, E)$  având  $k$  componente conexe? De câte ori este apelată procedura REUNEȘTE? Exprimăți răspunsurile în funcție de  $|V|, |E|$  și  $k$ .

---

## 22.2. Reprezentarea mulțimilor disjuncte prin liste înlăncuite

Un mod simplu de a implementa o structură de date mulțimi disjuncte este de a reprezenta fiecare mulțime printr-o listă înlăncuită. Reprezentantul unei mulțimi se consideră a fi primul obiect din lista corespunzătoare acelei mulțimi. Fiecare obiect din lista înlăncuită conține un element al mulțimii, un pointer spre un obiect care conține următorul element al mulțimii și un pointer înapoi spre reprezentant. Figura 22.2(a) prezintă două mulțimi. În interiorul fiecărei liste înlăncuite, obiectele pot apărea în orice ordine (exceptând faptul că primul obiect din fiecare listă

este reprezentantul ei). Pentru fiecare listă se va reține un pointer la primul obiect din listă și un pointer spre ultimul obiect din listă.

În reprezentarea cu liste înlățuite, atât FORMEAZĂ-MULTIME cât și GĂSEȘTE-MULTIME sunt operații simple, care necesită un timp  $O(1)$ . Pentru a realiza operația FORMEAZĂ-MULTIME( $x$ ), vom crea o nouă listă înlățuită al cărei singur obiect este  $x$ . GĂSEȘTE-MULTIME( $x$ ) returnează doar pointerul de la  $x$  înapoi la reprezentant.

## O implementare simplă pentru reuniune

Cea mai simplă implementare pentru operația REUNEȘTE, folosind reprezentarea mulțimilor prin liste înlățuite, ia un timp semnificativ mai mare decât FORMEAZĂ-MULTIME sau GĂSEȘTE-MULTIME. Așa cum arată figura 22.2(b), realizăm REUNEȘTE( $x, y$ ) prin adăugarea listei lui  $x$  la sfârșitul listei lui  $y$ . Reprezentantul noii mulțimi este elementul care a fost inițial reprezentantul mulțimii care îl conține pe  $y$ . Din păcate trebuie să actualizăm pointerul spre reprezentant pentru fiecare obiect originar din lista lui  $x$ , operație care consumă un timp liniar în lungimea listei lui  $x$ .

Se ajunge ușor la o secvență de  $m$  operații care necesită un timp  $\Theta(m^2)$ . Fie  $n = \lceil m/2 \rceil + 1$  și  $q = m - n + 1 = \lfloor m/2 \rfloor$  și presupunem că avem obiectele  $x_1, x_2, \dots, x_n$ . Apoi executăm secvența de  $m = n + q - 1$  operații prezentate în figura 22.3. Este necesar un timp de  $\Theta(n)$  pentru realizarea a  $n$  operației FORMEAZĂ-MULTIME. Deoarece a  $i$ -a operație REUNEȘTE actualizează  $i$  obiecte, numărul total de obiecte actualizate de către toate operațiile REUNEȘTE este

$$\sum_{i=1}^{q-1} i = \Theta(q^2).$$

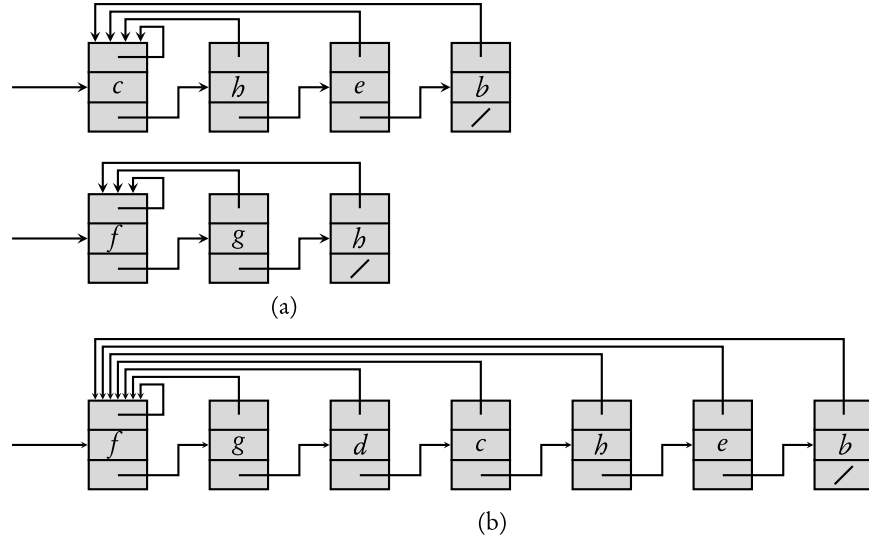
În concluzie, timpul total cheltuit este  $\Theta(n + q^2)$ , care este  $\Theta(m^2)$  deoarece  $n = \Theta(m)$  și  $q = \Theta(m)$ . Astfel, în medie, fiecare operație cere un timp  $\Theta(m)$ . Aceasta înseamnă că timpul amortizat de execuție al unei operații este  $\Theta(m)$ .

## O euristică a reuniunii ponderate

Implementarea de mai sus pentru procedura REUNEȘTE cere în medie, un timp  $\Theta(m)$  pentru un apel, deoarece noi putem adăuga o listă mai lungă la o listă mai scurtă; trebuie să actualizăm pointerul spre reprezentant pentru fiecare obiect al listei lungi. Putem presupune că fiecare reprezentant include de asemenea și lungimea listei sale (care e ușor de reținut) și că la fiecare reuniune se adaugă lista mai scurtă la lista mai lungă. În caz de egalitate adăugarea se face arbitrar. Cu această simplă **euristică a reuniunii ponderate**, o operație REUNEȘTE poate să necesite totuși un timp  $\Omega(m)$ , dacă ambele mulțimi au  $\Omega(m)$  elemente. Totuși aşa cum arată teorema următoare, o secvență de  $m$  operații FORMEAZĂ-MULTIME, REUNEȘTE și GĂSEȘTE-MULTIME, dintre care  $n$  sunt operații FORMEAZĂ-MULTIME, consumă un timp  $O(m + n \lg n)$ .

**Teorema 22.1** Folosind reprezentarea cu liste înlățuite pentru mulțimile disjuncte și euristică reuniunii ponderate, o secvență de  $m$  operații FORMEAZĂ-MULTIME, REUNEȘTE și GĂSEȘTE-MULTIME, dintre care  $n$  sunt operații FORMEAZĂ-MULTIME, consumă un timp  $O(m + n \lg n)$ .

**Demonstrație.** Începem prin a calcula, pentru fiecare obiect dintr-o mulțime de mărime  $n$ , o margine superioară pentru numărul de actualizări ale pointerului spre reprezentant al acelui



**Figura 22.2** (a) Reprezentările prin liste înlățuite a două mulțimi. Una conține obiectele *b*, *c*, *e* și *h* cu reprezentantul *c* și cealaltă conține obiectele *d*, *f* și *g*, cu *f* ca reprezentant. Fiecare obiect din listă conține un element al mulțimii, un pointer spre următorul obiect din listă și un pointer înapoi spre primul obiect din listă, care este reprezentantul. (b) Rezultatul operației *REUNEȘTE*(*e*, *g*). Reprezentantul mulțimii rezultate este *f*.

obiect. Considerăm un obiect fix *x*. Știm că de fiecare dată când este actualizat pointerul spre reprezentant, trebuie ca *x* să aparțină mulțimii cu elemente mai puține. Prima dată când se actualizează pointerul lui *x* spre reprezentant, mulțimea rezultat are cel puțin 2 elemente. Similar, a doua oară când pointerul lui *x* spre reprezentant este actualizat, mulțimea rezultată trebuie să aibă cel puțin 4 elemente. Continuând aşa, observăm că pentru orice  $k \leq n$ , după ce pointerul spre reprezentant al lui *x* a fost actualizat de  $\lceil \lg k \rceil$  ori, mulțimea rezultat are cel puțin  $k$  elemente. Deoarece cea mai mare mulțime are cel mult  $n$  membri, rezultă că fiecare pointer spre reprezentant al unui obiect poate fi modificat de cel mult  $\lceil \lg n \rceil$  ori în toate operațiile *REUNEȘTE*. Timpul total folosit pentru a actualiza cele  $n$  obiecte este deci  $O(n \lg n)$ .

Timpul total pentru executarea întregii secvențe de  $m$  operații se poate calcula ușor. Fiecare operație *FORMEAZĂ-MULȚIME* și *GĂSEȘTE-MULȚIME* necesită un timp  $O(1)$  și sunt  $O(m)$  operații de acest fel. Astfel, timpul total pentru întreaga secvență de operații este  $O(m + n \lg n)$ . ■

## Exerciții

**22.2-1** Scrieți procedurile *FORMEAZĂ-MULȚIME*, *GĂSEȘTE-MULȚIME* și *REUNEȘTE*, folosind reprezentarea cu liste înlățuite și euristica reununii ponderate. Fiecare obiect *x* are atributele: *rep[x]* care indică reprezentantul mulțimii care îl conține pe *x*, *ultim[x]* care indică ultimul obiect din lista înlățuită care îl conține pe *x* și *dim[x]* care ne dă cardinalul mulțimii care îl conține pe *x*. Considerați că *ultim[x]* și *dim[x]* sunt corecte doar dacă *x* este un reprezentant.

**22.2-2** Determinați ce structură de date și ce răspunsuri returnează operațiile *GĂSEȘTE-MULȚIME* din următorul program. Folosiți reprezentarea prin liste înlățuite cu euristica

Operația	Număr de obiecte actualizate
FORMEAZĂ-MULTIME( $x_1$ )	1
FORMEAZĂ-MULTIME( $x_2$ )	1
$\vdots$	$\vdots$
FORMEAZĂ-MULTIME( $x_n$ )	1
REUNEȘTE( $x_1, x_2$ )	1
REUNEȘTE( $x_2, x_3$ )	2
REUNEȘTE( $x_3, x_4$ )	3
$\vdots$	$\vdots$
REUNEȘTE( $x_{q-1}, x_q$ )	$q - 1$

**Figura 22.3** O secvență de  $m$  operații care se execută într-un timp  $\Theta(m^2)$ , folosind reprezentarea cu liste înlăntuite și implementarea directă pentru REUNEȘTE. Pentru acest exemplu  $n = \lceil m/2 \rceil + 1$  și  $q = m - n$ .

reuniunii ponderate.

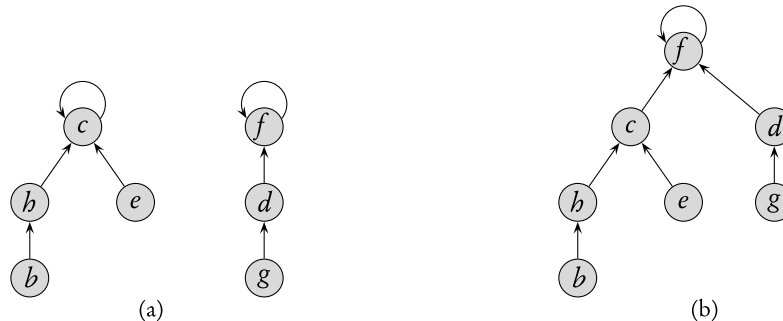
- 1: **pentru**  $i \leftarrow 1, 16$  **execută**
- 2: FORMEAZĂ-MULTIME( $x_i$ )
- 3: **pentru**  $i \leftarrow 1, 15, 2$  **execută**
- 4: REUNEȘTE( $x_i, x_{i+1}$ )
- 5: **pentru**  $i \leftarrow 1, 13, 4$  **execută**
- 6: REUNEȘTE( $x_i, x_{i+2}$ )
- 7: REUNEȘTE( $x_1, x_5$ )
- 8: REUNEȘTE( $x_{11}, x_{13}$ )
- 9: REUNEȘTE( $x_1, x_{10}$ )
- 10: GĂSEȘTE-MULTIME( $x_2$ )
- 11: GĂSEȘTE-MULTIME( $x_9$ )

**22.2-3** Adaptați demonstrația teoremei 22.1 pentru a obține margini amortizate de timp  $O(1)$  pentru FORMEAZĂ-MULTIME și GĂSEȘTE-MULTIME și  $O(\lg n)$  pentru REUNEȘTE, folosind reprezentarea prin liste înlăntuite și euristica reuniunii ponderate.

**22.2-4** Dați o margine asimptotică cât mai precisă pentru timpul de execuție al secvenței de operații din figura 22.3, presupunând o reprezentare prin liste înlăntuite și euristica reuniunii ponderate.

## 22.3. Păduri de mulțimi disjuncte

Într-o implementare mai rapidă a mulțimilor disjuncte, reprezentăm mulțimile prin arbori cu rădăcină, în care fiecare nod conține un membru și fiecare arbore reprezintă o mulțime. Într-o *pădure de mulțimi disjuncte*, ilustrată în figura 22.4(a), fiecare membru indică doar spre părintele lui. Rădăcina fiecărui arbore conține reprezentantul mulțimii, care este propriul său



**Figura 22.4** O pădure de mulțimi disjuncte. (a) Doi arboare care reprezintă cele două mulțimi din figura 22.2. Arboarele din stânga reprezintă mulțimea  $\{b, c, e, h\}$  cu  $c$  ca reprezentant, iar arboarele din dreapta reprezintă mulțimea  $\{d, f, g\}$  cu reprezentantul  $f$ . (b) Rezultatul operației  $\text{REUNEȘTE}(e, g)$ .

părinte. După cum vom vedea, deși algoritmii direcți care folosesc această reprezentare nu sunt mai rapizi decât cei care folosesc reprezentarea cu liste înlățuite, prin introducerea a două euristici – “reuniune după rang” și “comprimarea drumului” – putem obține structura de date mulțimi disjuncte cea mai rapidă asimptotic, din cele cunoscute.

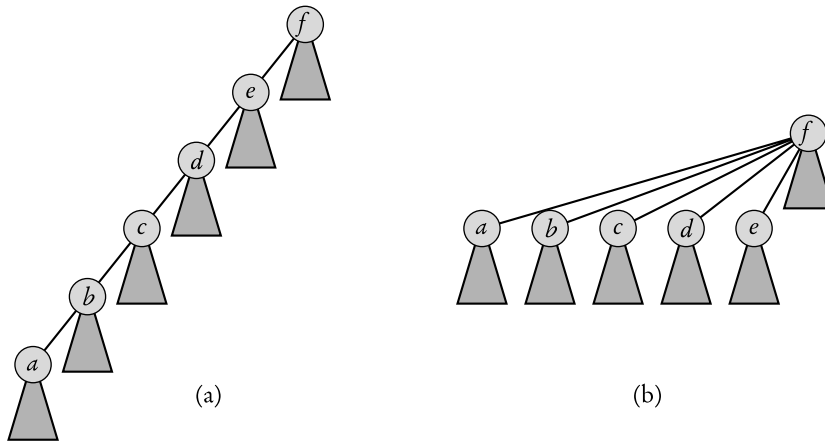
Vom realiza cele trei operații pe mulțimi disjuncte după cum urmează. Operația **FORMEAZĂ-MULTIME** creează un arbore cu un singur nod. Operația **GĂSEȘTE-MULTIME** o executăm prin urmărirea pointerilor spre părinti până când găsim rădăcina arborelui. Nodurile vizitate pe drumul spre rădăcină constituie **drumul de căutare**. O operație **REUNEȘTE** va avea efectul că rădăcina unui arbore va pointa spre rădăcina celuilalt arbore, așa cum se arată în figura 22.4(b).

### Euristici care îmbunătățesc timpul de execuție

Până acum nu am îmbunătățit implementarea cu liste înlățuite. O secvență de  $n - 1$  operații **REUNEȘTE** poate crea un arbore care este un lanț liniar de  $n$  noduri. Totuși, prin folosirea a două euristici, putem obține un timp de execuție care este aproape liniar în raport cu numărul total de operații  $m$ .

Prima euristică, **reuniune după rang**, este similară cu euristică reunioane ponderată pe care am folosit-o la reprezentarea cu liste înlățuite. Ideea este ca rădăcina arborelui cu mai puține noduri să indice spre rădăcina arborelui cu mai multe noduri. În loc de a păstra explicit dimensiunea subarborelui cu rădăcină în fiecare nod, vom folosi o abordare care ușurează analiza. Pentru fiecare nod vom menține un **rang** care aproximează logaritmul dimensiunii subarborelui și care este de asemenea o margine superioară a înălțimii nodului. Folosind reunioane după rang în timpul operației **REUNEȘTE**, rădăcina cu rangul cel mai mic va indica spre rădăcina cu rang mai mare.

A doua euristică, **comprimarea drumului**, este de asemenea foarte simplă și foarte eficientă. Așa cum arată figura 22.5, o folosim în timpul operației **GĂSEȘTE-MULTIME**, pentru ca fiecare nod de pe drumul de căutare să pointeze direct spre rădăcină. Comprimarea drumului nu modifică nici un rang.



**Figura 22.5** Comprimarea drumului în timpul operației GĂSEȘTE-MULTIME. Sunt omise săgețile și buclele. (a) Un arbore care reprezintă o mulțime, înaintea operației GĂSEȘTE-MULTIME( $a$ ). Triunghiurile reprezintă subarbori ale căror rădăcini sunt nodurile afișate. Fiecare nod are un pointer spre părintele său. (b) Aceeași mulțime după executarea operației GĂSEȘTE-MULTIME( $a$ ). Fiecare nod de pe drumul de căutare pointează acum direct spre rădăcină.

Algoritmi (în pseudocod) pentru păduri de multimi disjuncte

Pentru a implementa o pădure de mulțimi disjuncte cu euristica reunii după rang, trebuie să păstrăm valorile rangurilor. Pentru fiecare nod  $x$ , reținem valoarea întregă  $rang[x]$ , care este o margine superioară a înălțimii lui  $x$  (numărul de muchii al celui mai lung drum de la  $x$  la o frunză descendenta). Atunci când FORMEAZĂ-MULȚIME creează o mulțime cu un element, rangul inițial al singurului nod în arborele corespunzător este 0. Fiecare operație GĂSEȘTE-MULȚIME lasă toate rangurile neschimbate. În urma aplicării operației REUNEȘTE pentru doi arbori, transformăm rădăcina cu rang mai mare în părinte al rădăcinii cu rang mai mic. În caz de egalitate, alegem arbitrar una dintre rădăcini și incrementăm rangul său.

Vom scrie această metodă în pseudocod. Reținem părțile nodului  $x$  în  $p[x]$ . REUNEȘTE apelează o subrutină, procedura UNEȘTE, care are parametrii de intrare pointeri spre două rădăcini.

Procedura GĂSEŞTE-MULTIME este o **metodă în două trecheri**: face un pas în sus pe drumul de căutare pentru a găsi rădăcina și face al doilea pas în jos pe drumul de căutare pentru a actualiza fiecare nod astfel încât să pointeze direct spre rădăcină. Fiecare apel al procedurii GĂSEŞTE-MULTIME( $x$ ) returnează  $p[x]$  în linia 3. Dacă  $x$  este rădăcină, atunci linia 2 nu este executată și este returnată valoarea  $p[x] = x$ . În acest moment recurența coboară. Altfel, linia 2 este executată și apelul recursiv cu parametrul  $p[x]$  returnează un pointer spre rădăcină. Linia 2 actualizează nodul  $x$  astfel încât să indice direct spre rădăcină și acest pointer este returnat în linia 3.

FORMEAZĂ-MULTIME( $x$ )

- 1:  $p[x] \leftarrow x$
  - 2:  $rang[x] \leftarrow 0$

**REUNEŞTE**( $x, y$ )

1: **UNEŞTE**(GĂSEŞTE-MULTIME( $x$ ), GĂSEŞTE-MULTIME( $y$ ))

**UNEŞTE**( $x, y$ )

- 1: **dacă**  $rang[x] > rang[y]$  **atunci**
- 2:     $p[y] \leftarrow x$
- 3: **altfel**
- 4:     $p[x] \leftarrow y$
- 5: **dacă**  $rang[x] = rang[y]$  **atunci**
- 6:     $rang[y] \leftarrow rang[y] + 1$

Procedura GĂSEŞTE-MULTIME cu comprimarea drumului este simplă.

**GĂSEŞTE-MULTIME**( $x$ )

- 1: **dacă**  $x \neq p[x]$  **atunci**
- 2:     $p[x] \leftarrow \text{GĂSEŞTE-MULTIME}(p[x])$
- 3: **returnează**  $p[x]$

### Efectul euristicilor asupra timpului de execuție

Fiecare heuristică separat, atât reuniunea după rang cât și comprimarea drumului, îmbunătățește timpul de execuție al operațiilor pe păduri de mulțimi disjuncte și această îmbunătățire este chiar mai mare atunci când sunt folosite împreună. Numai reuniunea după rang conduce la același timp de execuție pe care l-am obținut folosind heuristică reuniunii ponderate pentru reprezentarea cu liste înlănțuite: implementarea rezultată se execută într-un timp  $O(m \lg n)$  (vezi exercițiul 22.4-3). Această mărginire este strictă (vezi exercițiul 22.3-3). Deși nu vom demonstra acest fapt, dacă există  $n$  operații FORMEAZĂ-MULTIME (și deci cel mult  $n-1$  operații REUNEŞTE) și  $f$  operații GĂSEŞTE-MULTIME, heuristică compresiei drumului, singură, ne dă un timp de execuție, în cazul cel mai defavorabil, de  $\Theta(f \log_{(1+f/n)} n)$ , dacă  $f \geq n$  și  $\Theta(n + f \lg n)$  dacă  $f < n$ .

Atunci când folosim atât reuniunea după rang cât și comprimarea drumului, timpul de execuție în cazul cel mai defavorabil este  $O(m\alpha(m, n))$ , unde  $\alpha(m, n)$  este inversa funcției lui Ackermann, cu o creștere foarte încreată, definită în secțiunea 22.4. Aplicațiile structurii de date mulțimi disjuncte, care pot fi luate în considerare, satisfac  $\alpha(m, n) \leq 4$ ; astfel putem considera timpul de execuție ca fiind liniar în  $m$ , în toate situațiile practice. În secțiunea 22.4, construim o margine mai puțin precisă de  $O(m \lg^* n)$ .

### Exerciții

**22.3-1** Rezolvați exercițiul 22.2-2, folosind o pădure de mulțimi disjuncte cu euristicile reuniune după rang și comprimarea drumului.

**22.3-2** Scrieți o versiune nerecursivă pentru GĂSEŞTE-MULTIME cu comprimarea drumului.

**22.3-3** Dați o secvență de  $m$  operații FORMEAZĂ-MULTIME, REUNEŞTE și GĂSEŞTE-MULTIME, dintre care  $n$  sunt operații FORMEAZĂ-MULTIME, care se execută într-un timp  $\Omega(m \lg n)$ , dacă se folosește doar reuniunea după rang.

	$j=1$	$j=2$	$j=3$	$j=4$
$i=1$	$2^1$	$2^2$	$2^2$	$2^2$
$i=2$	$2^2$	$2^{2^2}$	$2^{2^{2^2}}$	$2^{2^{2^{2^2}}}$
$i=3$	$2^{2^2}$	$2^{2^{2^2}}\}^{16}$	$2^{2^{2^{2^2}}}\}^{16}$	$2^{2^{2^{2^{2^2}}}}\}^{16}$

**Figura 22.6** Valorile lui  $A(i, j)$  pentru valori mici ale lui  $i$  și  $j$ .

**22.3-4 \*** Arătați că orice secvență de  $m$  operații FORMEAZĂ-MULTIME, GĂSEȘTE-MULTIME și UNEȘTE, în care toate operațiile UNEȘTE apar înaintea oricărei operații GĂSEȘTE-MULTIME, se execută doar într-un timp  $O(m)$ , dacă se folosește atât reuniunea după rang cât și comprimarea drumului. Ce se întâmplă în aceeași situație dacă se folosește doar euristică comprimării drumului?

## 22.4. Analiza reuniunii după rang comprimând drumul

Așa cum am observat în secțiunea 22.3, pentru  $m$  operații pe mulțimi disjuncte având  $n$  elemente, timpul de execuție, în cazul folosirii euristicii combinate reuniune după rang și comprimarea drumului, este  $O(m\alpha(m, n))$ . În această secțiune vom analiza funcția  $\alpha$  pentru a vedea cât de încet crește. Apoi, vom da o demonstrație pentru o margine superioară mai puțin exactă de  $O(m \lg^* n)$ , care este puțin mai simplă decât demonstrația foarte complexă pentru timpul de execuție  $O(m\alpha(m, n))$ .

### Funcția lui Ackermann și inversa sa

Pentru a înțelege funcția lui Ackermann și inversa sa  $\alpha$ , introducem o notație pentru exponentierea repetată. Dacă  $i \geq 0$  este un număr întreg, notația

$$2^{2^{\cdot^{\cdot^2}}}\}^i$$

se folosește pentru funcția  $g(i)$  definită recursiv astfel

$$g(i) = \begin{cases} 2^1 & \text{dacă } i = 0, \\ 2^2 & \text{dacă } i = 1, \\ 2^{g(i-1)} & \text{dacă } i > 1. \end{cases}$$

Parametrul  $i$  exprimă intuitiv “înlătima stive de 2” care reprezintă exponentul. De exemplu

$$2^{2^{\cdot^{\cdot^2}}}\}^4 = 2^{2^{2^2^2}} = 2^{65536}.$$

Reamintim definiția funcției  $\lg^*$  în termenii funcțiilor  $\lg^{(i)}$  definite pentru orice număr întreg  $i \geq 0$ :

$$\begin{aligned}\lg^{(i)} n &= \begin{cases} n & \text{dacă } i = 0, \\ \lg(\lg^{(i-1)} n) & \text{dacă } i > 0 \text{ și } \lg^{(i-1)} n > 0, \\ \text{nedefinit} & \text{dacă } i > 0 \text{ și } \lg^{(i-1)} n \leq 0 \text{ sau } \lg^{(i-1)} n \text{ este nefinidit}; \end{cases} \\ \lg^* n &= \min\{i \geq 0 : \lg^{(i)} n \leq 1\}.\end{aligned}$$

Funcția  $\lg^*$  este în esență inversa exponențierii repetate:

$$\lg^* 2^{2^{\dots^{2^2}}}_n = n + 1.$$

Putem acum să scriem funcția lui Ackermann, care e definită pentru întregii  $i, j \geq 1$  prin

$$\begin{aligned}A(1, j) &= 2^j && \text{pentru } j \geq 1, \\ A(i, 1) &= A(i - 1, 2) && \text{pentru } i \geq 2, \\ A(i, j) &= A(i - 1, A(i, j - 1)) && \text{pentru } i, j \geq 2.\end{aligned}$$

Figura 22.6 conține valorile funcției pentru valori mici ale lui  $i$  și  $j$ .

Figura 22.7 ilustrează într-un mod sistematic, de ce funcția lui Ackermann are o creștere atât de rapidă. Prima linie, exponențială în numărul de coloane  $j$ , are deja o creștere rapidă. A două linie constă din submulțimea “spațiată” de coloane  $2, 2^2, 2^{2^2}, 2^{2^{2^2}}, \dots$  din prima linie. Segmentele dintre liniile adiacente indică acele coloane din linia cu număr mai mic care aparțin submulțimii descrise în linia cu număr mai mare. A treia linie constă dintr-o submulțime de coloane și mai

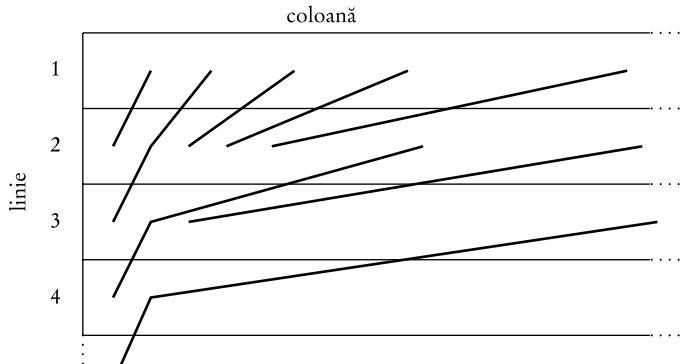
larg “spațiată”  $2, 2^{2^2}, 2^{2^{2^2}}, 2^{2^{2^{2^2}}}, \dots$  din a doua linie și este la rândul ei o submulțime și mai rară de coloane din prima linie. În general spațierea între coloanele liniei  $i - 1$  care apar în linia  $i$  crește dramatic atât în numărul de coloane cât și în numărul de linii. Observați că  $A(2, j) = 2^{2^{\dots^{2^2}}}_j$  pentru orice număr întreg  $j \geq 1$ . Astfel, pentru  $i > 2$ , funcția  $A(i, j)$  crește chiar mai rapid decât  $2^{2^{\dots^{2^2}}}_j$ .

Definim inversa funcției Ackermann prin<sup>2</sup>

$$\alpha(m, n) = \min\{i \geq 1 : A(i, \lfloor m/n \rfloor) > \lg n\}.$$

Dacă fixăm valoarea lui  $n$ , atunci pe măsură ce  $m$  crește, funcția  $\alpha(m, n)$  este monoton descrescătoare. Pentru a înțelege această proprietate, observați că  $\lfloor m/n \rfloor$  este monoton crescătoare pentru  $m$  crescător; de aici, deoarece  $n$  este fix, cea mai mică valoare a lui  $i$  pentru care  $A(i, \lfloor m/n \rfloor)$  este mai mare decât  $\lg n$  este monoton descrescătoare. Această proprietate corespunde intuitiv pădurilor de mulțimi disjuncte cu comprimarea drumului: pentru un număr dat de  $n$  elemente distincte, dacă numărul de operații  $m$  crește, ne așteptăm ca lungimea drumului mediu de căutare să scadă datorită comprimării drumului. Dacă realizăm  $m$  operații într-un timp  $O(m\alpha(m, n))$ ,

<sup>2</sup>Deși această funcție nu este inversa funcției lui Ackermann în sens matematic, totuși această funcție are calitățile inversei în privința creșterii, care este pe atât de încrezătoare de rapidă este creșterea funcției lui Ackermann. Motivul pentru care se folosește pragul surprinzător  $\lg n$  este relevat în demonstrația pentru timpul de execuție  $O(m\alpha(m, n))$ , care este în afara scopului acestei cărți.



**Figura 22.7** Creșterea explozivă a funcției lui Ackermann. Segmentele dintre liniile  $i - 1$  și  $i$  indică intrări din linia  $i - 1$  în linia  $i$ . Datorită creșterii explozive, spațierea orizontală nu poate fi scalată. Spațiile orizontale dintre intrările liniei  $i - 1$  apar în linia  $i$  mult mărite pe măsură ce crește numărul de linie și coloană. Creșterea este chiar mai evidentă dacă urmărim intrările liniei  $i$  de la apariția lor originală în linia 1.

atunci timpul mediu pentru o operație este  $O(\alpha(m, n))$ , care este monoton descrescător, atunci când  $m$  crește.

Pentru a ne întoarce la afirmația că  $\alpha(m, n) \leq 4$ , în toate cazurile practice, observăm mai întâi că valoarea  $\lfloor m/n \rfloor$  este cel puțin 1, deoarece  $m \geq n$ . Pentru că funcția lui Ackermann este strict crescătoare în fiecare argument,  $\lfloor m/n \rfloor \geq 1$  implică  $A(i, \lfloor m/n \rfloor) \geq A(i, 1)$  pentru orice  $i \geq 1$ . În particular,  $A(4, \lfloor m/n \rfloor) \geq A(4, 1)$ . Dar avem de asemenea că

$$A(4, 1) = A(3, 2) = 2^{\overbrace{2}^{2}} \cdots \overbrace{2}^{16},$$

care este cu mult mai mare decât numărul estimat de atomi, din universul observabil (aproximativ  $10^{80}$ ). Inegalitatea are loc doar pentru valori ale lui  $n$  impracticabil de mari, pentru care  $A(4, 1) \leq \lg n$  și astfel  $\alpha(m, n) \leq 4$ , în toate cazurile practice. Observați că diferența de precizie dintre marginea  $O(m \lg^* n)$  și marginea  $O(m\alpha(m, n))$  este foarte mică;  $\lg^* 65536 = 4$  și  $\lg^* 2^{65536} = 5$ , deci  $\lg^* n \leq 5$  în toate cazurile practice.

## Proprietățile rangurilor

Demonstrăm în continuarea acestei secțiuni că  $O(m \lg^* n)$  reprezintă o margine superioară a timpului de execuție a operațiilor pe mulțimi disjuncte cu reuniune după rang și comprimarea drumului. Pentru a demonstra acest lucru, demonstrăm mai întâi câteva proprietăți simple ale rangurilor.

**Lema 22.2** Pentru toate nodurile  $x$ , avem  $rang[x] \leq rang[p[x]]$  cu inegalitate strictă dacă  $x \neq p[x]$ . Valoarea  $rang[x]$  inițial este 0 și crește în timp până ce  $x \neq p[x]$ ; după aceea  $rang[x]$  nu se mai modifică. Valoarea  $rang[p[x]]$  este o funcție monoton crescătoare în timp.

**Demonstrație.** Demonstrația este o inducție directă după numărul de operații, folosind implementările operațiilor FORMEAZĂ-MULTIME, REUNEȘTE și GĂSEȘTE-MULTIME, care apar în secțiunea 22.3. Este propusă spre rezolvare în exercițiul 22.4-1. ■

Definim  $\dim(x)$  ca fiind numărul de noduri din arborele cu rădăcina  $x$ , inclusiv nodul  $x$ .

**Lema 22.3** Pentru toate rădăcinile  $x$  de arbori,  $\dim(x) \geq 2^{\text{rang}[x]}$ .

**Demonstrație.** Demonstrația se face prin inducție după numărul de operații UNEȘTE. Observați că operațiile GĂSEȘTE-MULTIME nu schimbă nici rangul unei rădăcini al unui arbore și nici dimensiunea arborelui său.

*Baza:* Lema este adevărată înainte de prima operație UNEȘTE, deoarece rangurile sunt inițial 0 și fiecare arbore conține cel puțin un nod.

*Pasul inductiv:* Presupunem că lema este adevărată înaintea execuției operației UNEȘTE( $x, y$ ). Fie  $\text{rang}$  rangul chiar de dinainte de UNEȘTE și fie  $\text{rang}'$  rangul chiar după UNEȘTE. Definim similar  $\dim$  și  $\dim'$ .

Dacă  $\text{rang}[x] \neq \text{rang}[y]$ , presupunem fără să pierdem generalitatea că  $\text{rang}[x] < \text{rang}[y]$ . Nodul  $y$  este rădăcina arborelui format de operația UNEȘTE și

$$\dim'(y) = \dim(x) + \dim(y) \geq 2^{\text{rang}[x]} + 2^{\text{rang}[y]} \geq 2^{\text{rang}[y]} = 2^{\text{rang}'[y]}.$$

În afară de nodul  $y$  nici un alt nod nu își schimbă valorile pentru rang și dimensiune.

Dacă  $\text{rang}[x] = \text{rang}[y]$ , nodul  $y$  este din nou rădăcina unui nou arbore și

$$\dim'(y) = \dim(x) + \dim(y) \geq 2^{\text{rang}[x]} + 2^{\text{rang}[y]} = 2^{\text{rang}[y]+1} = 2^{\text{rang}'[y]}.$$

■

**Lema 22.4** Pentru orice întreg  $r \geq 0$  există cel mult  $n/2^r$  noduri de rang  $r$ .

**Demonstrație.** Fixăm o valoare particulară pentru  $r$ . Presupunem că atunci când atribuim un rang  $r$  unui nod  $x$  (în linia 2 din FORMEAZĂ-MULTIME sau în linia 5 din UNEȘTE), atașăm o etichetă  $x$  fiecărui nod din arborele cu rădăcina  $x$ . Conform lemei 22.3, cel puțin  $2^r$  noduri sunt etichetate de fiecare dată. Presupunem că rădăcina arborelui care conține nodul  $x$  se schimbă. Lema 22.2 ne asigură că rangul noii rădăcini (sau de fapt, al fiecărui strămoș al lui  $x$ ) este cel puțin  $r + 1$ . Deoarece atașăm etichete doar atunci când unei rădăcini i se atribuie rangul  $r$ , nici un nod din acest arbore nou nu va mai fi etichetat din nou. Astfel fiecare nod este etichetat cel mult o dată, atunci când rădăcinii lui îi este atribuit rangul  $r$ . Pentru că sunt  $n$  noduri, sunt cel mult  $n$  noduri etichetate, cu cel puțin  $2^r$  etichete atașate pentru fiecare nod de rang  $r$ . Dacă au fost mai mult decât  $n/2^r$  noduri de rang  $r$ , atunci vor fi etichetate mai mult decât  $2^r \cdot (n/2^r) = n$  noduri de către un nod de rang  $r$ , ceea ce este o contradicție. Rezultă că cel mult  $n/2^r$  noduri vor avea rangul  $r$ . ■

**Corolarul 22.5** Orice nod are rangul cel mult  $\lfloor \lg n \rfloor$ .

**Demonstrație.** Dacă presupunem că  $r > \lg n$ , atunci sunt cel mult  $n/2^r < 1$  noduri cu rangul  $r$ . Deoarece rangurile sunt numere naturale, corolarul este demonstrat. ■

### Demonstrarea marginii de timp

Vom folosi o metodă de analiză amortizată (vezi secțiunea 18.1) pentru a demonstra marginea de timp de  $O(m \lg^* n)$ . Pentru realizarea analizei amortizate este convenabil să presupunem că se folosesc mai degrabă operația UNEȘTE, decât operația REUNEȘTE. Aceasta presupune execuția,

dacă este necesar, a operațiilor GĂSEȘTE-MULTIME corespunzătoare, deoarece parametrii procedurii UNEȘTE sunt pointeri spre două rădăcini. Lema următoare arată că și dacă numărăm operațiile GĂSEȘTE-MULTIME suplimentare, timpul asimptotic de execuție rămîne neschimbăt.

**Lema 22.6** Presupunem că transformăm o secvență  $S'$  de  $m'$  operații FORMEAZĂ-MULTIME, REUNEȘTE și GĂSEȘTE-MULTIME într-o secvență  $S$  de  $m$  operații FORMEAZĂ-MULTIME, UNEȘTE și GĂSEȘTE-MULTIME prin înlocuirea fiecărei operații REUNEȘTE cu două operații GĂSEȘTE-MULTIME urmate de o operație UNEȘTE. Dacă secvența  $S$  se execută într-un timp  $O(m \lg^* n)$ , atunci secvența  $S'$  se execută într-un timp  $O(m' \lg^* n)$ .

**Demonstrație.** Deoarece fiecare operație REUNEȘTE din secvența  $S'$  este convertită în trei operații în  $S$ , avem  $m' \leq m \leq 3m'$ . Pentru că  $m = O(m')$ , o margine de timp de  $O(m \lg^* n)$  pentru secvența convertită  $S$  implică o margine de timp  $O(m' \lg^* n)$  pentru secvența originală  $S'$ . ■

În continuare, în această secțiune, vom presupune că secvența inițială de  $m'$  operații FORMEAZĂ-MULTIME, REUNEȘTE și GĂSEȘTE-MULTIME a fost convertită într-o secvență de  $m$  operații FORMEAZĂ-MULTIME, UNEȘTE și GĂSEȘTE-MULTIME. Vom demonstra acum o margine de timp de  $O(m \lg^* n)$  pentru secvența convertită și vom apela la lema 22.6 pentru a demonstra timpul de execuție de  $O(m' \lg^* n)$  pentru secvența originală cu  $m'$  operații.

**Teorema 22.7** O secvență de  $m$  operații FORMEAZĂ-MULTIME, UNEȘTE și GĂSEȘTE-MULTIME, dintre care  $n$  sunt operații FORMEAZĂ-MULTIME, poate fi executată pe o pădure de mulțimi disjuncte cu reuniune după rang și cu comprimarea drumului într-un timp  $O(m \lg^* n)$ , în cazul cel mai defavorabil.

**Demonstrație.** Atribuim **ponderile** corespunzătoare costului real pentru fiecare operație pe mulțime și calculăm numărul total de ponderi atribuite după ce întreaga secvență de operații a fost executată. Acesta ne va da costul real pentru toate operațiile pe mulțime.

Ponderile atribuite pentru operațiile FORMEAZĂ-MULTIME și UNEȘTE sunt simple: o pondere pe operație. Pentru că fiecare operație necesită un timp real de  $O(1)$ , ponderile atribuite sunt egale cu costurile reale ale operațiilor.

Înainte de a evalua ponderile atribuite pentru operațiile GĂSEȘTE-MULTIME, partionăm rangurile nodurilor în **blocuri** prin introducerea rangului  $r$  în blocul  $\lg^* r$  pentru  $r = 0, 1, \dots, \lfloor \lg n \rfloor$ . (Reamintim că  $\lfloor \lg n \rfloor$  este rangul maxim.) Deci blocul cu număr maxim este blocul  $\lg^*(\lg n) = \lg^* n - 1$ . Pentru simplificarea notării, definim pentru numerele întregi  $j \geq -1$ ,

$$B(j) = \begin{cases} -1 & \text{dacă } j = -1, \\ 1 & \text{dacă } j = 0, \\ 2 & \text{dacă } j = 1, \\ 2^2 \cdots 2^{j+1} & \text{dacă } j \geq 2. \end{cases}$$

Apoi, pentru  $j = 0, 1, \dots, \lg^* n - 1$ , al  $j$ -lea bloc constă din mulțimea rangurilor

$$\{B(j-1) + 1, B(j-1) + 2, \dots, B(j)\}.$$

Folosim două tipuri de ponderi pentru o operație GĂSEȘTE-MULTIME: **ponderi bloc** și **ponderi drum**. Presupunem că GĂSEȘTE-MULTIME începe la nodul  $x_0$  și că drumul de căutare

constă din nodurile  $x_0, x_1, \dots, x_l$ , unde pentru  $i = 1, 2, \dots, l$ , nodul  $x_i$  este  $p[x_{i-1}]$  și  $x_l$  (o rădăcină) este  $p[x_l]$ . Pentru  $j = 0, 1, \dots, \lg^* n - 1$  atribuim o pondere bloc pentru *ultimul* nod din drum cu rangul în blocul  $j$ . (Observați că din lema 22.2 se deduce că pe orice drum de căutare, nodurile cu rangul într-un anumit bloc dat sunt consecutive.) Atribuim de asemenea o pondere bloc pentru fiul rădăcinii, care este  $x_{l-1}$ . Deoarece rangurile sunt strict crescătoare de-a lungul oricărui drum de căutare, o formulare echivalentă stabilește o pondere bloc fiecărui nod  $x_i$  astfel încât  $p[x_i] = x_l$  ( $x_i$  este rădăcina sau fiul ei) sau  $\lg^* \text{rang}[x_i] < \lg^* \text{rang}[x_{i+1}]$  (blocul cu rangul lui  $x_i$  diferă de cel al părintelui său). Fiecarui nod de pe drumul de căutare căruia nu îi stabilim o pondere bloc, îi stabilim o pondere drum.

O dată ce unui nod, altul decât rădăcina sau fiul ei, îi sunt stabilite ponderi bloc, nu-i vor mai fi stabilite mai departe ponderi drum. Pentru a vedea motivul să observăm că de fiecare dată când apare o comprimare de drum, rangul unui nod  $x_i$  pentru care  $p[x_i] \neq x_l$ , rămâne același, dar nouă părinte al lui  $x_i$  are rangul strict mai mare decât rangul vechiului părinte al lui  $x_i$ . Diferența dintre rangurile lui  $x_i$  și al părintelui său este o funcție monoton crescătoare în timp. Astfel, diferența dintre  $\lg^* \text{rang}[p[x_i]]$  și  $\lg^* \text{rang}[x_i]$  este deasemenea o funcție monoton crescătoare în timp. O dată ce  $x_i$  și părintele lui ajung să aibă rangurile în blocuri diferite, vor avea mereu rangurile în blocuri diferite și astfel lui  $x_i$  nu i se va mai asocia o pondere drum.

Deoarece am atribuit pondere o dată pentru fiecare nod vizitat în fiecare operație GĂSEȘTE-MULTIME, numărul total de ponderi stabilite este numărul total de noduri vizitate în toate operațiile GĂSEȘTE-MULTIME; acest total reprezintă costul real pentru toate operațiile GĂSEȘTE-MULTIME. Vrem să arătăm că acest total este  $O(m \lg^* n)$ .

Numărul de ponderi bloc este ușor de mărginit. Există cel mult o pondere bloc asociată fiecărui număr de bloc de pe drumul de căutare dat, plus o pondere bloc pentru fiul rădăcinii. Deoarece numerele de bloc aparțin intervalului de la 0 la  $\lg^* n - 1$ , sunt cel mult  $\lg^* n + 1$  ponderi de bloc pentru fiecare operație GĂSEȘTE-MULTIME. Astfel, sunt cel mult  $m(\lg^* n + 1)$  ponderi bloc asociate în toate operațiile GĂSEȘTE-MULTIME.

Mărginirea ponderilor drum este mai puțin directă. Începem prin a observa că dacă nodului  $x_i$  îi este asociată o pondere drum, atunci  $p[x_i] \neq x_l$  înaintea comprimării drumului, deci lui  $x_i$  i se va atribui un părinte nou în timpul comprimării drumului. Mai mult, aşa cum am observat înainte, nouă părinte al lui  $x_i$  are rangul mai mare decât vechiul părinte. Presupunem că rangul nodului  $x_i$  este în blocul  $j$ . De căte ori i se poate atribui lui  $x_i$  un nou părinte, și astfel să i se asociază o pondere drum, înainte ca să i se atribuie un părinte al căruia rang este într-un bloc diferit (după care nu i se va mai asocia vreo pondere drum)? Acest număr este maxim atunci când  $x_i$  are cel mai mic rang din blocul său, și anume  $B(j-1) + 1$  și rangurile părintilor săi succesivi iau valorile  $B(j-1) + 2, B(j-1) + 3, \dots, B(j)$ . Deoarece sunt  $B(j) - B(j-1) - 1$  astfel de ranguri, deducem că unui vârf i se pot asocia cel mult  $B(j) - B(j-1) - 1$  ponderi drum, atât timp cât rangul său este în blocul  $j$ .

Pasul următor în mărginirea ponderilor drum este mărginirea numărului de noduri care au rangurile în blocul  $j$  pentru  $j \geq 0$ . (Reamintim că, pe baza lemei 22.2 că un nod nu-și mai schimbă rangul după ce devine fiul altui nod.) Notăm cu  $N(j)$  numărul de noduri ale căror ranguri sunt în blocul  $j$ . Apoi, din lema 22.4 avem

$$N(j) \leq \sum_{r=B(j-1)+1}^{B(j)} \frac{n}{2^r}.$$

Pentru  $j = 0$ , această sumă se evaluează la

$$N(0) = n/2^0 + n/2^1 = 3n/2 = 3n/2B(0).$$

Pentru  $j \geq 1$  avem

$$N(j) \leq \frac{n}{2^{B(j-1)+1}} \sum_{r=0}^{B(j)-(B(j-1)+1)} \frac{1}{2^r} < \frac{n}{2^{B(j-1)+1}} \sum_{r=0}^{\infty} \frac{1}{2^r} = \frac{n}{2^{B(j-1)}} = \frac{n}{B(j)}.$$

Astfel,  $N(j) \leq n/B(j)$  pentru orice număr întreg  $j \geq 0$ .

Încheiem mărginirea ponderilor drum prin însumarea peste blocuri a produsului dintre numărul maxim de noduri cu rangurile într-un bloc și numărul maxim de ponderi drum pentru un nod din acel bloc. Notând cu  $P(n)$  numărul total de ponderi drum avem

$$P(n) \leq \sum_{j=0}^{\lg^* n - 1} \frac{n}{B(j)} (B(j) - B(j-1) - 1) \leq \sum_{j=0}^{\lg^* n - 1} \frac{n}{B(j)} \cdot B(j) = n \lg^* n.$$

Deci numărul total de ponderi impuse de operațiile GĂSEȘTE-MULTIME este  $O(m(\lg^* n + 1) + n \lg^* n)$ , care este  $O(m \lg^* n)$  deoarece  $m \geq n$ . Deoarece avem  $O(n)$  operații FORMEAZĂ-MULTIME și UNEȘTE, cu câte o pondere fiecare, timpul total este  $O(m \lg^* n)$ . ■

**Corolarul 22.8** O secvență de  $m$  operații FORMEAZĂ-MULTIME, REUNEȘTE și GĂSEȘTE-MULTIME, dintre care  $n$  sunt operații FORMEAZĂ-MULTIME, pot fi executate pe o pădure de mulțimi disjuncte cu reuniune după rang și comprimarea drumului într-un timp  $O(m \lg^* n)$ , în cazul cel mai defavorabil.

**Demonstrație.** Este imediată din teorema 22.7 și lema 22.6. ■

## Exerciții

**22.4-1** Demonstrați lema 22.2.

**22.4-2** Câți biți sunt necesari pentru a memora  $\dim(x)$ , pentru fiecare nod  $x$ ? Dar pentru  $\text{rang}[x]$ ?

**22.4-3** Folosind lema 22.2 și corolarul 22.5, dați o demonstrație simplă pentru timpul de execuție  $O(m \lg n)$  pentru operațiile pe o pădure de mulțimi disjuncte cu reuniune după rang, dar fără comprimarea drumului.

**22.4-4** \* Să presupunem că modificăm regula de atribuire a ponderilor astfel încât să atribuim o pondere bloc pentru ultimul nod din drumul de căutare al cărui rang este în blocul  $j$  pentru  $j = 0, 1, \dots, \lg^* n - 1$ . Altfel atribuim nodului o pondere drum. Dacă un nod este un fiu al rădăcinii și nu este ultimul nod al unui bloc, îi este asociată o pondere drum și nu o pondere bloc. Arătați că pot fi atribuite  $\Omega(m)$  ponderi drum unui nod dat cât timp rangul său este în blocul dat  $j$ .

---

## Probleme

### 22-1 Minim off-line

Problema **minimului off-line** impune menținerea unei mulțimi dinamice  $T$  de elemente din domeniul  $\{1, 2, \dots, n\}$ , asupra căreia se pot face operații INSEREAZĂ și EXTRAGE-MIN. Se consideră o secvență  $S$  de  $n$  apeluri INSEREAZĂ și  $m$  apeluri EXTRAGE-MIN, prin care fiecare cheie din mulțimea  $\{1, 2, \dots, n\}$  este inserată exact o dată. Dorim să determinăm ce cheie este returnată la fiecare apel al operației EXTRAGE-MIN. Mai exact, dorim să completăm un tablou  $extrase[1..m]$ , unde  $extrase[i]$  este cheia returnată de al  $i$ -lea apel EXTRAGE-MIN, pentru  $i = 1, 2, \dots, m$ . Problema este “off-line” în sensul că ne este permisă procesarea întregii secvențe  $S$  înainte de determinarea valorii vreunei chei returnate.

- a. În următorul exemplu al problemei de minim off-line, fiecare operație INSEREAZĂ este reprezentată de un număr și fiecare operație EXTRAGE-MIN este reprezentată de litera  $E$ :

4, 8, E, 3, E, 9, 2, 6, E, E, 1, 7, E, 5.

Completați tabloul  $extrase$  cu valorile corecte.

Pentru a dezvolta un algoritm pentru această problemă, împărțim secvența  $S$  în subsecvențe omogene. Astfel reprezentăm  $S$  prin

$I_1, E, I_2, E, I_3, \dots, I_m, E, I_{m+1},$

unde fiecare  $E$  reprezintă un singur apel EXTRAGE-MIN și fiecare  $I_j$  reprezintă o secvență (posibil vidă) de apeluri INSEREAZĂ. La început, pentru fiecare subsecvență  $I_j$ , formăm o mulțime  $K_j$  care conține cheile inserate prin operațiile corespunzătoare; mulțimea  $K_j$  este vidă dacă  $I_j$  este vidă. Apoi executăm următorul algoritm.

MINIM-OFF-LINE( $m, n$ )

- 1: **pentru**  $i \leftarrow 1, n$  **execută**
- 2:   determină  $j$  astfel încât  $i \in K_j$
- 3:   **dacă**  $j \neq m + 1$  **atunci**
- 4:      $extrase[j] \leftarrow i$
- 5:     fie  $l$  cea mai mică valoare mai mare decât  $j$  pentru care mulțimea  $K_l$  există
- 6:      $K_l \leftarrow K_j \cup K_l$ , distrugând  $K_j$
- 7: **returnează**  $extrase$

- b. Argumentați corectitudinea tabloului  $extrase$ , returnat de algoritmul MINIM-OFF-LINE.
- c. Descrieți cum poate fi folosită structura de date mulțimi disjuncte, pentru a implementa eficient MINIM-OFF-LINE. Dați o margine cât mai precisă pentru timpul de execuție, în cazul cel mai defavorabil, al implementării voastre.

### 22-2 Determinarea adâncimii

În problema **determinării adâncimii** reținem o pădure  $\mathcal{F} = \{T_j\}$  de arbori cu rădăcină asupra căreia se execută trei operații:

FORMEAZĂ-ARBORE( $v$ ) creează un arbore al cărui singur nod este  $v$ .

GĂSEȘTE-ADÂNCIME( $v$ ) returnează adâncimea nodului  $v$  în arborele care îl conține.

ADAUGĂ-SUBARBORE( $r, v$ ) face ca nodul  $r$ , ce este presupus a fi rădăcina unui arbore, să devină fiu al nodului  $v$ , care aparține altui arbore decât  $r$ , dar nu este obligatoriu rădăcina aceluia arbore.

- a. Presupunem că folosim o reprezentare a arborilor similară cu cea a pădurilor de mulțimi disjuncte:  $p[v]$  este părintele nodului  $v$ , exceptie făcând rădăcina pentru care  $p[v] = v$ . Dacă implementăm ADAUGĂ-SUBARBORE( $r, v$ ) prin setarea  $p[r] \leftarrow v$  și GĂSEȘTE-ADÂNCIME( $v$ ) prin parcurgerea drumului de căutare în sus spre rădăcină, returnând numărul tuturor nodurilor întâlnite, diferite de  $v$ , arătați că timpul de execuție, în cazul cel mai defavorabil, al secvenței de  $m$  operații FORMEAZĂ-ARBORE, GĂSEȘTE-ADÂNCIME și ADAUGĂ-SUBARBORE este  $\Theta(m^2)$ .

Putem reduce timpul de execuție, în cazul cel mai defavorabil, folosind euristicile reunii după rang și comprimării drumului. Folosim o pădure de mulțimi disjuncte  $\mathcal{S} = \{\mathcal{S}_j\}$ , unde fiecare mulțime  $\mathcal{S}_i$  (care este un arbore) corespunde unui arbore  $T_i$  din pădurea  $\mathcal{F}$ . Totuși, structura arborelui din mulțimea  $\mathcal{S}_i$  nu corespunde în mod obligatoriu structurii arborelui  $T_i$ . De fapt, implementarea lui  $\mathcal{S}_i$  nu înregistrează exact relațiile părinte-fiu, dar ne permite să determinăm adâncimea oricărui nod din  $T_i$ .

Ideea de bază este de a menține în fiecare nod  $v$  o “pseudodistanță”  $d[v]$ , care este definită astfel încât suma pseudodistanțelor de-a lungul drumului de la  $v$  la rădăcina mulțimii  $\mathcal{S}_i$  din care face parte  $v$ , să fie egală cu adâncimea lui  $v$  în  $T_i$ . Aceasta înseamnă că, dacă drumul de la  $v$  la rădăcina sa din  $\mathcal{S}_i$  este  $v_0, v_1, \dots, v_k$ , unde  $v_0 = v$  și  $v_k$  este rădăcina lui  $\mathcal{S}_i$ , atunci adâncimea lui  $v$  în  $T_i$  este  $\sum_{j=0}^k d[v_j]$ .

- b. Dați o implementare pentru FORMEAZĂ-ARBORE.
- c. Arătați cum trebuie modificată operația GĂSEȘTE-MULȚIME pentru a implementa procedura GĂSEȘTE-ADÂNCIME. Implementarea trebuie să realizeze comprimarea drumului și timpul de execuție trebuie să fie liniar, relativ la lungimea drumului de căutare. Asigurați-vă că implementarea actualizează corect pseudodistanțele.
- d. Arătați cum trebuie modificate procedurile REUNEȘTE și UNEȘTE pentru a implementa ADAUGĂ-SUBARBORE( $r, v$ ), ce combină mulțimile care conțin pe  $r$  și pe  $v$ . Asigurați-vă că implementarea actualizează corect pseudodistanțele. Observați că rădăcina unei mulțimi  $\mathcal{S}_i$  nu este în mod necesar rădăcina arborelui  $T_i$  corespunzător.
- e. Dați o margine cât mai precisă pentru timpul de execuție, în cazul cel mai defavorabil, pentru o secvență de  $m$  operații FORMEAZĂ-ARBORE, GĂSEȘTE-ADÂNCIME și ADAUGĂ-SUBARBORE, dintre care  $n$  sunt operații FORMEAZĂ-ARBORE.

### 22-3 Algoritm off-line al lui Tarjan pentru calculul celui mai apropiat strămoș

Cel mai apropiat strămoș a două noduri  $u$  și  $v$ , într-un arbore cu rădăcină  $T$  este nodul  $w$  care este strămoș al ambelor noduri  $u$  și  $v$  și are cea mai mare adâncime în  $T$ . În problema off-line de determinare a celui mai apropiat strămoș, se dă un arbore  $T$  cu rădăcină și

o mulțime arbitrară  $P = \{\{u, v\}\}$  de perechi neordonate de noduri din  $T$ ; dorim să determinăm cel mai apropiat strămoș al fiecărei perechi din  $P$ .

Pentru a rezolva această problemă, procedura următoare realizează o parcurgere a arborelui  $T$  la apelul inițial SCMA( $r d \text{ cin } [T]$ ). Presupunem că fiecare nod este colorat ALB înainte de parcurgere.

SCMA( $u$ )

- 1: FORMEAZĂ-MULTIME( $u$ )
- 2: *str mo* [GĂSEȘTE-MULTIME ( $u$ )]  $\leftarrow u$
- 3: **pentru** fiecare fiu  $v$  al lui  $u$  din  $T$  **execută**
- 4:     SCMA( $v$ )
- 5:     REUNEȘTE( $u, v$ )
- 6:     *str mo* [GĂSEȘTE-MULTIME( $u$ )]  $\leftarrow u$
- 7:     *culoare*[ $u$ ]  $\leftarrow$  NEGRU
- 8: **pentru** fiecare nod  $v$  pentru care  $\{u, v\} \in P$  **execută**
- 9:     **dacă** *culoare*[ $v$ ] = NEGRU **atunci**
- 10:         afișează “cel mai apropiat strămoș pentru”  $u$  “și”  $v$  “este” *str mo* [GĂSEȘTE-MULTIME( $v$ )]

- a. Argumentați de ce linia 10 este executată exact o dată pentru fiecare pereche  $\{u, v\} \in P$ .
- b. Demonstrați că la momentul apelului SCMA( $u$ ), numărul de mulțimi din structura de date mulțimi disjuncte este egal cu adâncimea lui  $u$  în  $T$ .
- c. Demonstrați că procedura SCMA afișează corect strămoșul cel mai apropiat al lui  $u$  și  $v$ , pentru fiecare pereche  $\{u, v\} \in P$ .
- d. Analizați timpul de execuție al procedurii SCMA, presupunând că se folosește implementarea pentru structura de date mulțimi disjuncte din secțiunea 22.3.

## Note bibliografice

Majoritatea rezultatelor importante legate de structura de date mulțimi disjuncte se datorează, măcar în parte, lui R. E. Tarjan. Marginea superioară de  $O(m\alpha(m, n))$  a fost dată prima dată de Tarjan [186, 188]. Marginea superioară  $O(m \lg^* n)$  a fost demonstrată anterior de Hopcroft și Ullman [4, 103]. Tarjan și van Leeuwen [190] analizează variante ale euristicii comprimării drumului, incluzând “metode cu o singură trecere”, care oferă uneori factori constanți mai buni ca performanță decât metodele cu două treceri. Gabow și Tarjan [76] arată că în anumite aplicații, operațiile cu mulțimi disjuncte pot fi executate într-un timp  $O(m)$ .

Tarjan [187] arată că este necesară o margine inferioară de timp  $\Omega(m\alpha(m, n))$  pentru operațiile pe orice structură de date mulțimi disjuncte care satisfac anumite condiții tehnice. Această margine inferioară a fost mai târziu generalizată de către Fredman și Saks [74], care arată că în cazul cel mai defavorabil, trebuie să fie accesate  $\Omega(m\alpha(m, n))$  cuvinte de memorie de lungime ( $\lg n$ ) biți.



## VI Algoritmi de grafuri

---

## Introducere

Grafurile sunt structuri de date foarte răspândite în știința calculatoarelor, iar algoritmii de grafuri sunt fundamentali în acest domeniu. Există sute de probleme de calcul definite în termeni de grafuri. În această parte, ne vom ocupa de câteva dintre cele mai semnificative.

În capitolul 23 se discută modurile de reprezentare a grafurilor pe calculator și se tratează câțiva algoritmi bazați pe căutarea într-un graf, folosind căutarea în lățime sau cea în adâncime. Sunt prezentate două aplicații ale căutării în adâncime: sortarea topologică a unui graf orientat aciclic și descompunerea unui graf orientat în componentele sale tare conexe.

În capitolul 24 se descrie determinarea unui arbore de acoperire minim al unui graf. Un astfel de arbore este definit ca fiind cea mai “ieftină” cale de a conecta toate vîrfurile atunci când fiecare muchie are un cost asociat. Algoritmii de determinare a arborilor minimi de acoperire sunt exemple foarte bune de algoritmi greedy (vezi capitolul 17).

În capitolele 25 și 26 se tratează problema determinării drumurilor minime între vîrfuri, când fiecare muchie are asociată o lungime sau un cost. În capitolul 25 se tratează determinarea drumurilor minime de la un nod sursă dat la toate celelalte vîrfuri, iar în capitolul 26 se tratează determinarea drumurilor minime între orice pereche de vîrfuri.

În final, în capitolul 27 se discută modul de calculare a unui flux maxim de material într-o rețea (graf orientat) având specificate sursa de material, destinația și cantitățile de material care pot traversa fiecare muchie orientată (arc). Această problemă generală se regăsește sub multe forme, iar un algoritm bun pentru a calcula fluxuri maxime poate fi folosit pentru rezolvarea eficientă a unei game variate de probleme înrudite.

Pentru evaluarea timpului de execuție al unui algoritm de grafuri pe un graf dat  $G = (V, E)$ , de obicei, vom măsura dimensiunea intrării în funcție de numărul de vîrfuri  $|V|$  și al numărului de muchii  $|E|$  al grafului. Rezultă că există doi parametri relevanți care descriu dimensiunea intrării, și nu unul singur. Vom adopta o convenție de notație răspândită pentru acești parametri. În cadrul notației asymptotice (de exemplu, notația  $O$  sau  $\Theta$  și *numai* în cadrul acesteia) simbolul  $V$  înseamnă  $|V|$ , iar simbolul  $E$  înseamnă  $|E|$ . De exemplu, putem scrie “algoritmul are ordinul de complexitate  $O(VE)$ ”, aceasta însemnând, de fapt, “algoritmul are ordinul de complexitate  $O(|V||E|)$ ”. Această notație permite obținerea unor formule mai lizibile pentru ordinul de complexitate al algoritmilor, fără riscul unor ambiguități.

O altă convenție pe care o vom adopta apare în pseudocod. Vom nota multimea vîrfurilor unui graf  $G$  cu  $V[G]$  și multimea muchiilor sale cu  $E[G]$ . Cu alte cuvinte, din punctul de vedere al pseudocodului, multimea vîrfurilor și cea a muchiilor sunt atribuite ale unui graf.

---

## 23 Algoritmi elementari de grafuri

Acest capitol prezintă câteva metode de reprezentare a unui graf precum și unele metode de căutare într-un graf. Căutarea într-un graf înseamnă parcurgerea, în mod sistematic, a muchiilor grafului astfel încât să parcurgem vârfurile grafului. Un algoritm de căutare într-un graf poate descoperi multe informații despre structura grafului respectiv. Mulți algoritmi de grafuri încep prin a căuta în graful de intrare pentru a obține această informație structurală. Alți algoritmi de grafuri sunt simple rafinări ale unor algoritmi de căutare de bază.

În secțiunea 23.1 se discută cele mai uzuale două moduri de reprezentare a grafurilor, ca structuri de date: liste de adiacență și matrice de adiacență. În secțiunea 23.2 este prezentat un algoritm simplu de căutare în grafuri numit căutarea în lățime și se prezintă modul de creare al arborelui de lățime. În secțiunea 23.3, se prezintă căutarea în adâncime și se demonstrează câteva rezultate consacrate despre ordinea în care căutarea în adâncime vizitează vârfurile. În secțiunea 23.4, se prezintă prima aplicație a căutării în adâncime: sortarea topologică a unui graf orientat aciclic. O a doua aplicație a căutării în adâncime, găsirea componentelor tare conexe ale unui graf orientat, este prezentată în secțiunea 23.5.

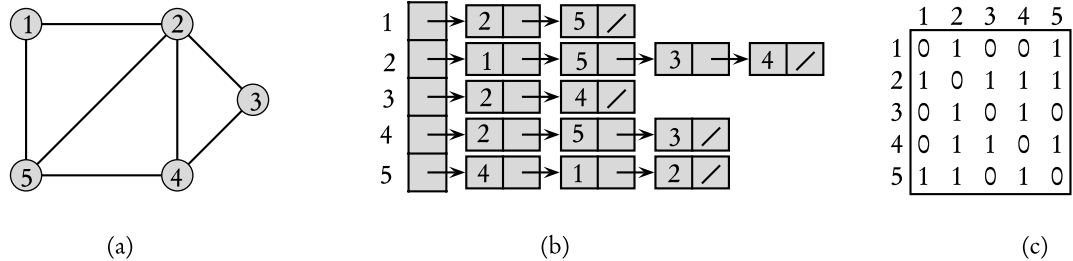
---

### 23.1. Reprezentările grafurilor

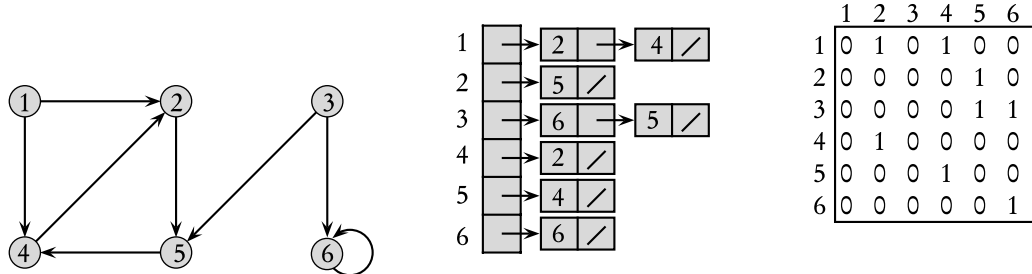
Există două moduri standard de reprezentare a unui graf  $G = (V, E)$ : ca o mulțime de liste de adiacență sau ca o matrice de adiacență. Reprezentarea prin liste de adiacență este, de obicei, preferată, pentru că oferă un mod compact de reprezentare a grafurilor **rare** – acelea pentru care  $|E|$  este mult mai mic decât  $|V|^2$ . Majoritatea algoritmilor de grafuri prezentați în această carte presupun că un graf de intrare este reprezentat în forma cu liste de adiacență. Totuși, o reprezentare cu matrice de adiacență poate fi preferată atunci când graful este **dens** –  $|E|$  este aproximativ egal cu  $|V|^2$  – sau atunci când trebuie să decidem, rapid, dacă există o mulțime ce conectează două vârfuri date. De exemplu, doi dintre algoritmii de drum minim între toate perechile de vârfuri, presupun că grafurile lor de intrare sunt reprezentate prin matrice de adiacență.

**Reprezentarea prin liste de adiacență** a unui graf  $G = (V, E)$  constă într-un tablou  $Adj$  cu  $|V|$  liste, una pentru fiecare vârf din  $V$ . Pentru fiecare  $u \in V$ , lista de adiacență  $Adj[u]$  conține (pointeri la) toate vârfurile  $v$  pentru care există o mulțime  $(u, v) \in E$ . Cu alte cuvinte,  $Adj[u]$  este formată din totalitatea vârfurilor adiacente lui  $u$  în  $G$ . De obicei, vârfurile din fiecare listă de adiacență sunt memorate într-o ordine arbitrară. Figura 23.1(b) ilustrează o reprezentare prin liste de adiacență a grafului neorientat din figura 23.1(a). În mod similar, figura 23.2(b) ilustrează o reprezentare prin liste de adiacență a grafului orientat din figura 23.2(a).

Dacă  $G$  este un graf orientat, suma lungimilor tuturor listelor de adiacență este  $|E|$ , deoarece un arc de forma  $(u, v)$  este reprezentat prin apariția lui  $v$  în  $Adj[u]$ . Dacă  $G$  este un graf neorientat, suma lungimilor tuturor listelor de adiacență este  $2|E|$ , deoarece, dacă  $(u, v)$  este o mulțime, atunci  $u$  apare în lista de adiacență a lui  $v$  și invers. Indiferent dacă un graf este orientat sau nu, reprezentarea prin liste de adiacență are proprietatea dezirabilă că dimensiunea memoriei necesare este  $O(\max(V, E)) = O(V + E)$ .



**Figura 23.1** Două reprezentări ale unui graf neorientat. (a) Un graf neorientat  $G$  având cinci vârfuri și săpte muchii. (b) O reprezentare prin liste de adiacență a lui  $G$ . (c) Reprezentarea prin matrice de adiacență a lui  $G$ .



**Figura 23.2** Două reprezentări ale unui graf orientat. (a) Un graf orientat  $G$  având şase vârfuri și opt muchii. (b) O reprezentare prin liste de adiacență a lui  $G$ . (c) Reprezentarea prin matrice de adiacență a lui  $G$ .

Listele de adiacență pot fi ușor adaptate în scopul reprezentării *grafurilor cu costuri*,<sup>1</sup> adică acele grafuri în care fiecare muchie i s-a asociat un *cost* dat, de obicei, de o *funcție de cost*  $w : E \rightarrow \mathbb{R}$ . De exemplu, fie  $G = (V, E)$  un graf cu costuri având funcția de cost  $w$ . Costul  $w(u, v)$  al muchiei  $(u, v) \in E$  este memorat pur și simplu împreună cu vârful  $v$  în lista de adiacență a lui  $u$ . Reprezentarea prin liste de adiacență este foarte robustă în sensul că poate fi modificată pentru a suporta multe alte variante de grafuri.

Un dezavantaj al reprezentării prin liste de adiacență este acela că nu există altă cale mai rapidă pentru a determina dacă o muchie dată  $(u, v)$  aparține grafului, decât căutarea lui  $v$  în lista de adiacență  $Adj[u]$ . Acest dezavantaj poate fi remediat folosind o reprezentare a grafului prin matrice de adiacență, dar folosind asimptotic mai multă memorie.

Pentru *reprezentarea prin matrice de adiacență* a unui graf  $G = (V, E)$ , presupunem că vârfurile sunt numerotate cu  $1, 2, \dots, |V|$  într-un mod arbitrar. Reprezentarea prin matrice de adiacență a grafului  $G$  constă într-o matrice  $A = (a_{ij})$  de dimensiuni  $|V| \times |V|$  astfel încât:

$$a_{ij} = \begin{cases} 1 & \text{dacă } (i, j) \in E, \\ 0 & \text{altfel.} \end{cases}$$

În figurile 23.1(c) și 23.2(c) sunt prezentate matricele de adiacență ale grafurilor neorientate și orientate din figurile 23.1(a) și, respectiv, 23.2(a). Necesarul de memorie pentru matricea de

<sup>1</sup>În literatura de specialitate în limba română se folosesc uneori și termenul de “graf ponderat” – n. t.

adiacență a unui graf este  $\Theta(V^2)$  și nu depinde de numărul de muchii ale grafului.

Se poate observa simetria față de diagonala principală a matricei de adiacență din figura 23.1(c). Se definește ***transpusa*** unei matrice  $A = (a_{ij})$  ca fiind matricea  $A^T = (a_{ij}^T)$ , dată de  $a_{ij}^T = a_{ji}$ . Deoarece într-un graf neorientat  $(u, v)$  și  $(v, u)$  reprezintă aceeași muchie, matricea de adiacență  $A$  a unui graf neorientat este propria sa transpusă:  $A = A^T$ . În anumite aplicații, este avantajos să stocăm numai elementele situate pe și deasupra diagonalei principale, reducând astfel memoria necesară pentru stocarea grafului cu aproape 50 de procente.

La fel ca reprezentarea prin liste de adiacență, reprezentarea prin matrice de adiacență poate fi folosită și pentru grafuri cu cost. De exemplu, dacă  $G = (V, E)$  este un graf cu cost, având costul unei muchii dat de funcția  $w$ , costul  $w(u, v)$  al muchiei  $(u, v) \in E$  este memorat pur și simplu ca un element din linia  $u$  și coloana  $v$  a matricei de adiacență. Dacă o muchie nu există, elementul corespunzător în matrice poate fi NIL, deși pentru multe probleme este convenabilă folosirea unei valori ca 0 sau  $\infty$ .

Deși reprezentarea prin liste de adiacență este asimptotic cel puțin la fel de eficientă ca reprezentarea prin matrice de adiacență, simplitatea matricei de adiacență o poate face preferabilă, atunci când grafurile au un număr relativ mic de vârfuri. Mai mult, dacă graful este fără costuri, există un avantaj suplimentar de stocare pentru reprezentarea prin matrice de adiacență. În locul folosirii unui cuvânt de memorie pentru fiecare element din matrice, matricea de adiacență folosește doar un bit pentru fiecare element.

## Exerciții

**23.1-1** Dată fiind o reprezentare prin liste de adiacență a unui graf orientat, cât timp durează calcularea gradului exterior al fiecărui vârf? Cât timp durează calcularea gradelor interioare?

**23.1-2** Dați o reprezentare prin liste de adiacență pentru un arbore binar complet cu 7 vârfuri. Dați o reprezentare prin matrice de adiacență echivalentă. Presupuneți că vârfurile sunt numerotate de la 1 la 7 ca într-o mulțime binară.

**23.1-3 Transpusul** unui graf orientat  $G = (V, E)$  este graful  $G^T = (V, E^T)$ , unde  $E^T = \{(v, u) \in V \times V : (u, v) \in E\}$ . Astfel,  $G^T$  este  $G$  cu toate muchiile sale inverse. Descrieți câțiva algoritmi eficienți pentru calcularea lui  $G^T$  din  $G$ , pentru reprezentarea prin liste de adiacență și prin matrice de adiacență a lui  $G$ . Analizați timpii de execuție ai algoritmilor.

**23.1-4** Dată fiind o reprezentare prin liste de adiacență a unui multigraf  $G = (V, E)$ , descrieți un algoritm care să ruleze într-un timp  $O(V + E)$ , care să calculeze reprezentarea prin liste de adiacență a grafului neorientat "echivalent"  $G' = (V, E')$ , unde în  $E'$  toate muchiile multiple între două vârfuri din  $E$  sunt înlocuite printr-o singură muchie și toate ciclurile de la un nod la el însuși sunt anulate.

**23.1-5 Pătratul** unui graf orientat  $G = (V, E)$  este graful  $G^2 = (V, E^2)$  în care  $(u, w) \in E^2$  dacă și numai dacă pentru un vârf oarecare  $v \in V$ , atât  $(u, v)$ , cât și  $(v, w)$  aparțin lui  $E$ . Aceasta înseamnă că  $G^2$  conține o muchie între  $u$  și  $w$  dacă  $G$  conține un drum cu exact două muchii între  $u$  și  $w$ . Descrieți câțiva algoritmi eficienți pentru a calcula  $G^2$  din  $G$ , folosind reprezentarea prin liste de adiacență respectiv reprezentarea prin matrice de adiacență a lui  $G$ . Analizați timpii de execuție ai algoritmilor propuși.

**23.1-6** Când se folosește o reprezentare prin matrice de adiacență, cei mai mulți algoritmi de grafuri necesită timpul  $\Theta(V^2)$ , dar există și exceptii. Arătați că, pentru a determina dacă un graf orientat are sau nu o **destinație** – un vârf cu numărul muchiilor ce intră în el egal cu  $|V| - 1$  și numărul muchiilor ce ies din el egal cu 0 – există un algoritm de timp  $O(V)$ , chiar dacă se folosește o reprezentare prin matrice de adiacență.

**23.1-7 Matricea de incidentă** a unui graf orientat  $G = (V, E)$  este o matrice  $B = (b_{ij})$  de dimensiuni  $|V| \times |E|$  astfel încât

$$b_{ij} = \begin{cases} -1 & \text{dacă muchia } j \text{ pleacă din vârful } i, \\ 1 & \text{dacă muchia } j \text{ intră în vârful } i, \\ 0 & \text{altfel.} \end{cases}$$

Arătați ce reprezintă elementele produsului matriceal  $BB^T$ , unde  $B^T$  este transpusa lui  $B$ .

## 23.2. Căutarea în lățime

**Căutarea în lățime** este unul din cei mai simpli algoritmi de căutare într-un graf și arhetipul pentru mulți algoritmi de grafuri importanți. Algoritmul lui Dijkstra pentru determinarea drumurilor minime de la un nod sursă la toate celelalte (capitolul 25) și algoritmul lui Prim pentru determinarea arborelui parțial de cost minim (secțiunea 24.2) folosesc idei similare celor din algoritmul de căutare în lățime.

Dacă fiind un graf  $G = (V, E)$  și un nod **sursă**  $s$ , căutarea în lățime explorează sistematic muchiile lui  $G$  pentru a “descoperi” fiecare nod care este accesibil din  $s$ . Algoritmul calculează distanța (cel mai mic număr de muchii) de la  $s$  la toate aceste vârfuri accesibile. El produce un “arbore de lățime” cu rădăcina  $s$ , care conține toate aceste vârfuri accesibile. Pentru fiecare vârf  $v$  accesibil din  $s$ , calea din arborele de lățime de la  $s$  la  $v$  corespunde unui “cel mai scurt drum” de la  $s$  la  $v$  în  $G$ , adică un drum care conție un număr minim de muchii. Algoritmul funcționează atât pe grafuri orientate cât și pe grafuri neorientate.

Căutarea în lățime este numită astfel pentru că lărgește, uniform, frontieră dintre nodurile descoperite și cele nedescoperite, pe lățimea frontierei. Aceasta înseamnă că algoritmul descoperă toate vârfurile aflate la distanța  $k$  față de  $s$  înainte de a descoperi vreun vârf la distanța  $k + 1$ .

Pentru a ține evidență avansării, căutarea în lățime colorează fiecare nod cu alb, gri sau negru. Toate vârfurile sunt colorate la început cu alb și pot deveni apoi gri sau negre. Un vârf este **descoperit** când este întâlnit prima dată în timpul unei căutări, moment în care nu mai este alb. De aceea, vârfurile gri și negre sunt descoperite, dar algoritmul face diferență între ele pentru a fi sigur că procesul de căutare are loc pe lățime. Dacă  $(u, v) \in E$  și vârful  $u$  este negru, atunci vârful  $v$  este sau gri sau negru, adică toate vârfurile adiacente unui nod negru au fost descoperite. Vârfurile gri pot avea vârfuri adiacente albe. Acestea reprezintă frontieră dintre vârfurile descoperite și cele nedescoperite.

Algoritmul de căutare în lățime construiește un arbore de lățime ce conține, inițial, numai rădăcina sa, care este vârful  $s$ . Oricând un vârf alb  $v$  este descoperit în cursul parcurgerii listei de adiacență a unui vârf  $u$  deja descoperit, vârful  $v$  și muchia  $(u, v)$  sunt adăugate în arbore. În acest caz, spunem că  $u$  este **predecesorul** sau **părintele** lui  $v$  în arborele de lățime. Deoarece un vârf este descoperit cel mult o dată, el poate avea cel mult un părinte. Relațiile de strămoș

și descendent, din arborele de lățime, sunt definite relativ la rădăcina  $s$  în mod obișnuit: dacă  $u$  se află pe un drum din arbore de la rădăcina  $s$  la vârful  $v$ , atunci  $u$  este un strămoș al lui  $v$ , iar  $v$  este un descendant al lui  $u$ .

Procedura de căutare în lățime CL, de mai jos, presupune că graful de intrare  $G = (V, E)$  este reprezentat folosind liste de adiacență. Algoritmul întreține mai multe structuri de date adiționale pentru fiecare vârf din graf. Culoarea fiecărui vârf  $u \in V$  este memorată în variabila  $color[u]$ , și predecesorul lui  $u$  este memorat în variabila  $\pi[u]$ . Dacă  $u$  nu are nici un predecesor (de exemplu, dacă  $u = s$  sau  $u$  nu a fost descoperit), atunci  $\pi[u] = \text{NIL}$ . Distanța de la sursa  $s$  la vârful  $u$ , calculată de algoritm, este memorată în  $d[u]$ . De asemenea, algoritmul folosește o coadă  $Q$  de tipul primul sosit, primul servit (a se vedea secțiunea 11.1) pentru a prelucra multimea de vârfuri gri.

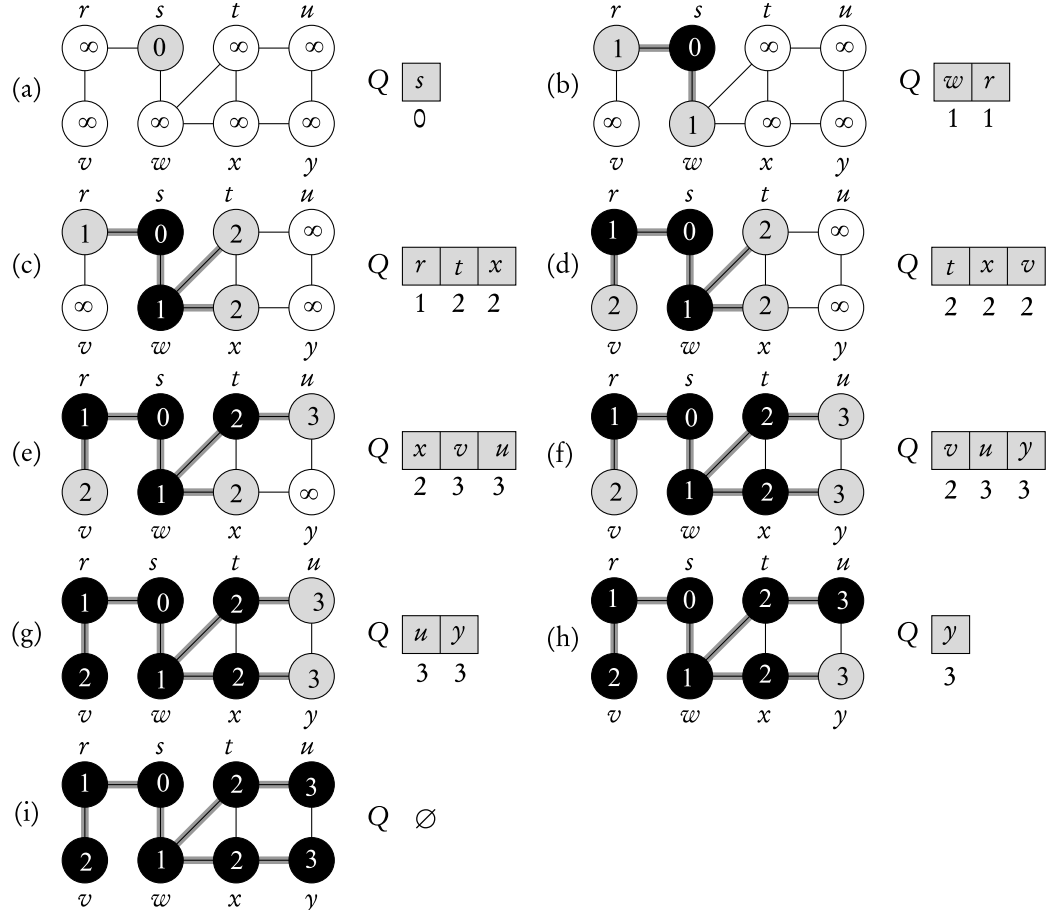
```

CL( $G, s$ )
1: pentru fiecare vârf  $u \in V[G] - \{s\}$  execută
2:    $color[u] \leftarrow \text{ALB}$ 
3:    $d[u] \leftarrow \infty$ 
4:    $\pi[u] \leftarrow \text{NIL}$ 
5:    $color[s] \leftarrow \text{GRI}$ 
6:    $d[s] \leftarrow 0$ 
7:    $\pi[s] \leftarrow \text{NIL}$ 
8:    $Q \leftarrow \{s\}$ 
9: cât timp  $Q \neq \emptyset$  execută
10:   $u \leftarrow cap[Q]$ 
11:  pentru fiecare vârf  $v \in Adj[u]$  execută
12:    dacă  $color[v] = \text{ALB}$  atunci
13:       $color[v] \leftarrow \text{GRI}$ 
14:       $d[v] \leftarrow d[u] + 1$ 
15:       $\pi[v] \leftarrow u$ 
16:      PUNE-ÎN-COADĂ( $Q, v$ )
17:    SCOATE-DIN-COADĂ( $Q$ )
18:     $color[u] \leftarrow \text{NEGRU}$ 
```

Figura 23.3 ilustrează efectele algoritmului CL pe un graf de test.

Procedura CL lucrează în felul următor: Liniile 1–4 colorează fiecare vârf în alb, atribuie lui  $d[u]$  valoarea  $\infty$  pentru fiecare vârf  $u$  și setează părintele fiecărui vârf pe NIL. Linia 5 colorează vârful sursă  $s$  cu gri, deoarece el este considerat descoperit atunci când procedura începe. Linia 6 inițializează  $d[s]$  cu 0, iar linia 7 inițializează predecesorul sursei cu NIL. Linia 8 inițializează  $Q$  ca fiind o coadă ce conține un singur vârf, și anume  $s$ . Ulterior,  $Q$  conține multimea vârfurilor gri.

Bucla principală a programului este conținută în liniile 9–18. Iterația are loc cât timp mai există vârfuri gri, adică vârfuri descoperite a căror listă de adiacență nu a fost examinată în întregime. Linia 10 determină vârful gri  $u$  din capul cozii  $Q$ . Bucla **pentru**, din liniile 11–16, consideră fiecare vârf  $v$  din lista de adiacență a lui  $u$ . Dacă  $v$  este alb, atunci el nu a fost încă descoperit, și algoritmul îl descoperă executând liniile 13–16. La început, el este colorat cu gri, iar distanța  $d[v]$  este inițializată cu  $d[u] + 1$ . Apoi,  $u$  este înregistrat ca părinte al său. În final, vârful  $v$  este plasat la sfârșitul cozii  $Q$ . Când toate vârfurile din lista de adiacență a lui  $u$  au fost examineate,  $u$  este scos din  $Q$  și colorat cu negru în liniile 17–18.



**Figura 23.3** Execuția algoritmului CL pe un graf neorientat. Muchiile arborilor sunt prezentate hașurat și sunt produse de CL. Împreună cu fiecare vârf  $u$ , este prezentată  $d[u]$ . Coada  $Q$  este prezentată la începutul fiecărei iterări a buclei **cât timp** din liniile 9–18. Distanțele vârfurilor sunt prezentate lângă vârfurile din coadă.

### Analiză

Înainte de a descrie variantele proprietăți ale căutării în lățime, vom aborda o problemă mai ușoară, și anume, analiza timpului de execuție a acestui algoritm pe un graf de intrare  $G = (V, E)$ . După inițializare, nici un vârf nu este făcut vreodată alb, și, astfel, testul din linia 12 asigură faptul că fiecare vârf este pus în coadă cel mult o dată și, de aceea, acesta va fi scos din coadă cel mult o dată. Operațiile de punere și de extragere a unui element din coadă se fac într-un timp  $O(1)$ , deci timpul total alocat operațiilor efectuate cu coada este  $O(V)$ . Pentru că lista de adiacență a fiecărui vârf este examinată doar atunci când vârful este scos din coadă, lista de adiacență a fiecărui vârf este examinată cel mult o dată. Deoarece suma lungimilor tuturor listelor de adiacență este  $\Theta(E)$ , timpul cel mai defavorabil pentru parcurgerea tuturor listelor de adiacență este  $O(E)$ . Timpul pentru inițializare este  $O(V)$  și, astfel, timpul total de execuție a

algoritmului CL este  $O(V + E)$ . Astfel, căutarea în lățime rulează într-un timp liniar, ce depinde de mărimea reprezentării prin liste de adiacență a grafului  $G$ .

## Drumuri de lungime minimă

La începutul acestei secțiuni, am afirmat că algoritmul de căutare în lățime determină distanța de la un nod sursă dat,  $s \in V$ , la fiecare nod accesibil dintr-un graf  $G = (V, E)$ . Definim **lungimea celui mai scurt drum**  $\delta(s, v)$ , din  $s$  în  $v$ , ca fiind numărul minim de muchii ale oricărui drum din vârful  $s$  în vârful  $v$ , sau  $\infty$  dacă nu există nici un drum de la  $s$  la  $v$ . Un drum de lungime  $\delta(s, v)$ , de la  $s$  la  $v$ , se numește **drum de lungime minimă**<sup>2</sup> de la  $s$  la  $v$ . Înainte de a demonstra că algoritmul de căutare în lățime calculează, de fapt, lungimile drumurilor minime, vom studia o proprietate importantă a lungimilor drumurilor minime.

**Lema 23.1** Fie  $G = (V, E)$  un graf orientat sau neorientat, și fie  $s \in V$  un vârf arbitrar. Atunci, pentru orice muchie  $(u, v) \in E$ ,

$$\delta(s, v) \leq \delta(s, u) + 1.$$

**Demonstrație.** Dacă  $u$  este accesibil din  $s$ , atunci și  $v$  este accesibil din  $s$ . În acest caz, cel mai scurt drum de la  $s$  la  $v$  nu poate fi mai lung decât cel mai scurt drum de la  $s$  la  $u$ , la care se adaugă muchia  $(u, v)$ , și astfel inegalitatea este adevărată. Dacă  $u$  nu este accesibil din  $s$ , atunci  $\delta(s, u) = \infty$ , și inegalitatea este adevărată. ■

Dorim să demonstrăm că procedura CL calculează corect  $d[v] = \delta(s, v)$  pentru fiecare vârf  $v \in V$ . Vom demonstra întâi că  $d[v]$  mărginește superior  $\delta(s, v)$ .

**Lema 23.2** Fie  $G = (V, E)$  un graf orientat sau neorientat și să presupunem că CL este rulat pe  $G$  pentru un vârf sursă  $s \in V$  dat. Atunci, la terminare, pentru fiecare vârf  $v \in V$ , valoarea  $d[v]$  calculată de CL satisfacă inegalitatea  $d[v] \geq \delta(s, v)$ .

**Demonstrație.** Vom folosi inducția după numărul de plasări ale unui vârf în coada  $Q$ . Ipoteza inducțivă este că  $d[v] \geq \delta(s, v)$  pentru orice  $v \in V$ . Baza acestei inducții este situația imediat următoare momentului când, în linia 8 din CL,  $s$  este plasat în  $Q$ . Ipoteza inducțivă este adevărată, pentru că  $d[s] = 0 = \delta(s, s)$  și  $d[v] = \infty \geq \delta(s, v)$ , pentru orice  $v \in V - \{s\}$ .

Pentru pasul inducțiv, vom considera un vârf alb  $v$  care este descoperit în timpul parcurgerii listei vecinilor unui vârf  $u$ . Ipoteza inducțivă implică faptul că  $d[u] \geq \delta(s, u)$ . Din atribuirea efectuată în linia 14 și din lema 23.1, obținem:

$$d[v] = d[u] + 1 \geq \delta(s, u) + 1 \geq \delta(s, v).$$

Apoi, vârful  $v$  este inserat în coada  $Q$  și nu va mai fi introdus niciodată pentru că este colorat gri și clauza **atunci** din liniile 13–16 este executată numai pentru vârfurile albe. Astfel valoarea  $d[v]$  nu se mai schimbă niciodată și ipoteza inducțivă este verificată. ■

Pentru a demonstra că  $d[v] = \delta(s, v)$ , trebuie, mai întâi, să studiem mai exact cum lucrează coada  $Q$  în timpul execuției CL. Următoarea lemă arată că, în orice moment, există în coadă cel mult două valori distincte  $d$ .

<sup>2</sup>În capitolele 25 și 26 vom generaliza studiul nostru referitor la drumurile de lungime minimă la grafurile cu costuri, în care fiecare muchie are un cost exprimat printr-o valoare reală, iar costul unui drum este dat de suma costurilor muchiilor constitutive. Grafurile luate în considerare în prezentul capitol sunt fără costuri.

**Lema 23.3** Să presupunem că în timpul execuției lui CL pe un graf  $G = (V, E)$ , coada  $Q$  conține vârfurile  $\langle v_1, v_2, \dots, v_r \rangle$ , unde  $v_1$  este primul element al lui  $Q$  și  $v_r$  este ultimul. Atunci  $d[v_r] \leq d[v_1] + 1$  și  $d[v_i] \leq d[v_{i+1}]$  pentru  $i = 1, 2, \dots, r - 1$ .

**Demonstrație.** Demonstrația se face prin inducție după numărul de operații cu coada. Inițial, când coada îl conține doar pe  $s$ , lema este evident adevărată.

Pentru pasul inductiv, trebuie să demonstrăm că lema este adevărată după ce am scos un vârf din listă, respectiv, am pus unul. Dacă vârful  $v_1$  din capul listei este scos din listă, noul cap al listei este  $v_2$ . (În cazul în care coada devine vidă, lema este evident adevărată.) Dar atunci, avem  $d[v_r] \leq d[v_1] + 1 \leq d[v_2] + 1$ , iar inegalitățile rămase sunt neafectate. Astfel, lema continuă cu  $v_2$  pe post de cap al listei. Punerea unui vârf în listă necesită o examinare mai atentă a codului. În linia 16 a CL, când vârful  $v$  este pus în listă, devenind astfel  $v_{r+1}$ , capul  $v_1$  al lui  $Q$  este, de fapt, vârful  $u$  a cărui listă de adiacență este examinată în acel moment. Astfel  $d[v_{r+1}] = d[v] = d[u] + 1 = d[v_1] + 1$ . Avem, de asemenea,  $d[v_r] \leq d[v_1] + 1 = d[u] + 1 = d[v] = d[v_{r+1}]$  și inegalitățile rămase sunt neafectate. Astfel lema este adevărată când  $v$  este pus în coadă. ■

Putem, acum, demonstra că algoritmul de căutare în lățime calculează corect lungimile celor mai scurte drumuri.

**Teorema 23.4 (Corectitudinea căutării în lățime)** Fie  $G = (V, E)$  un graf orientat sau neorientat și să presupunem că CL este rulat pe  $G$  pentru un vârf sursă  $s \in V$  dat. Atunci, în timpul execuției sale, CL descoperă fiecare vârf  $v \in V$  care este accesibil din nodul sursă  $s$  și, după terminare,  $d[v] = \delta(s, v)$  pentru orice  $v \in V$ . Mai mult, pentru orice vârf  $v \neq s$ , accesibil din  $s$ , unul din cele mai scurte drumuri de la  $s$  la  $v$  este cel mai scurt drum de la  $s$  la  $\pi[v]$  urmat de muchia  $(\pi[v], v)$ .

**Demonstrație.** Începem cu cazul în care  $v$  nu este accesibil din  $s$ . Deoarece lema 23.2 afirmă că  $d[v] \geq \delta(s, v) = \infty$ , valorii  $d[v]$  a vârfului  $v$  nu i se poate atribui niciodată o valoare finită în linia 14. Prin inducție, nu poate exista un prim vârf a cărui camp  $d$  să primească valoarea  $\infty$  în linia 14. De aceea, linia 14 este executată doar pentru vârfurile cu valori  $d$  finite. Astfel, dacă  $v$  nu este accesibil, nu este niciodată descoperit.

Partea principală a demonstrației analizează cazul vârfurilor accesibile din  $s$ . Fie  $V_k$  mulțimea vârfurilor aflate la distanța  $k$  de  $s$ , adică  $V_k = \{v \in V : \delta(s, v) = k\}$ . Demonstrația începe cu o inducție după  $k$ . Presupunem, ca ipoteză inductivă, că, pentru fiecare vârf  $v \in V_k$ , există exact un moment în timpul execuției lui CL în care

- $v$  este gri,
- lui  $d[v]$  i se atribuie valoarea  $k$ ,
- dacă  $v \neq s$  atunci lui  $\pi[v]$  i se atribuie valoarea  $u$ , pentru un  $u \in V_{k-1}$  arbitrar și
- $v$  este inserat în coada  $Q$ .

După cum am observat mai devreme, există cu siguranță cel mult un astfel de moment.

Baza inducției este cazul  $k = 0$ . Deoarece  $s$  este singurul vârf la distanța 0 de  $s$ , avem  $V_0 = \{s\}$ . În timpul initializării,  $s$  este colorat cu gri,  $d[s]$  primește valoarea 0, iar  $s$  este plasat în  $Q$ , deci ipoteza inductivă este adevărată.

Pentru pasul inductiv, observăm că, evident, coada  $Q$  nu este niciodată vidă până când algoritmul nu se termină și că, o dată ce un vârf  $u$  este inserat în coadă, nici  $d[u]$  nici  $\pi[u]$  nu

se schimbă vreodata. De aceea, din lema 23.3, dacă vârfurile sunt inserate în coadă în timpul execuției algoritmului în ordinea  $v_1, v_2, \dots, v_r$ , atunci sirul de distanțe este crescător:  $d[v_i] \leq d[v_{i+1}]$  pentru  $i = 1, 2, \dots, r - 1$ .

Acum, să considerăm un vârf arbitrar  $v \in V_k$ , unde  $k \geq 1$ . Proprietatea de monotonie, combinată cu faptul că  $d[v] \geq k$  (din lema 23.2) și cu ipoteza inducțivă, implică faptul că  $v$  trebuie descoperit, dacă este descoperit vreodata, după ce toate vârfurile din  $V_{k-1}$  sunt puse în coadă.

Deoarece  $\delta(s, v) = k$ , există un drum de  $k$  muchii de la  $s$  la  $v$ , și, astfel, există un vârf  $u \in V_{k-1}$  așa încât  $(u, v) \in E$ . Fără a reduce generalitatea, fie  $u$  primul astfel de vârf colorat în gri, care trebuie să existe deoarece, prin inducție, toate vârfurile din  $V_{k-1}$  sunt gri. Codul din CL pune în coadă toate vârfurile gri și de aici  $u$  trebuie să apară în cele din urmă în postura de cap al cozii  $Q$  în linia 10. Când  $u$  apare în postura de cap al listei, lista sa de adiacență este examinată și  $v$  este descoperit. (Vârful  $v$  nu ar fi putut fi descoperit mai devreme deoarece nu este adiacent vreunui vârf din  $V_j$  pentru  $j < k - 1$  – altfel,  $v$  nu ar putea apartine lui  $V_k$  – și, prin presupunerea anterioară,  $u$  este primul vârf descoperit din  $V_{k-1}$  căruia  $v$  îi este adiacent. În linia 13  $v$  este colorat în gri, în linia 14 se face atribuirea  $d[v] = d[u] + 1 = k$ , în linia 15 lui  $\pi[v]$  îi este atribuită valoarea  $u$ , iar în linia 16  $v$  este inserat în coadă. Deoarece  $v$  este un vârf arbitrar din  $V_k$ , ipoteza inducțivă este astfel demonstrată.

Pentru a termina demonstrația teoremei, să observăm că dacă  $v \in V_k$  atunci pe baza celor deja demonstate,  $\pi[v] \in V_{k-1}$ . Astfel putem obține un drum de lungime minimă de la  $s$  la  $v$ , luând un drum de lungime minimă de la  $s$  la  $\pi[v]$  și traversând apoi muchia  $(\pi[v], v)$ . ■

## Arbore de lățime

Procedura CL construiește un arbore de lățime pe măsură ce caută în graf, așa cum este ilustrat în figura 23.3. Arboarele este reprezentat de câmpul  $\pi$  în fiecare vârf. Mai formal, pentru un graf  $G = (V, E)$  cu sursa  $s$ , definim **subgraful predecesor** al lui  $G$  ca fiind  $G_\pi = (V_\pi, E_\pi)$ , unde

$$V_\pi = \{v \in V : \pi[v] \neq \text{NIL}\} \cup \{s\}$$

și

$$E_\pi = \{(\pi[v], v) \in E : v \in V_\pi - \{s\}\}.$$

Subgraful predecesor  $G_\pi$  este un **arbore de lățime** dacă mulțimea  $V_\pi$  este formată din vârfurile accesibile din  $s$  și, pentru orice  $v \in V_\pi$ , există în  $G_\pi$  un unic drum simplu de la  $s$  la  $v$ , care este, de asemenea, un drum de lungime minimă în  $G$  de la  $s$  la  $v$ . Un arbore de lățime este de fapt un arbore, deoarece este conex și  $|E_\pi| = |V_\pi| - 1$  (vezi teorema 5.2). Muchiile din  $E_\pi$  se numesc **muchii de arbore**.

După ce CL a fost rulat pe un graf  $G$ , pentru un vârf sursă  $s$ , următoarea lemă arată faptul că subgraful predecesor este un arbore de lățime.

**Lema 23.5** Când este rulată pe un graf orientat sau neorientat  $G = (V, E)$ , procedura CL construiește  $\pi$  astfel încât subgraful predecesor  $G_\pi = (V_\pi, E_\pi)$  este un arbore de lățime.

**Demonstrație.** În linia 15 din CL se face atribuirea  $\pi[v] = u$ , doar dacă  $(u, v) \in E$  și  $\delta(s, v) < \infty$  – adică dacă  $v$  este accesibil din  $s$  – și astfel  $V_\pi$  este constituit din vârfurile din  $V$  accesibile din

*s.* Deoarece  $G_\pi$  formează un arbore, el conține un unic drum de la  $s$  la fiecare vârf din  $V_\pi$ . Aplicând inductiv teorema 23.4, tragem concluzia că fiecare astfel de drum este un drum de lungime minimă. ■

Următoarea procedură tipărește vâfurile de pe un drum de lungime minimă de la  $s$  la  $v$ , presupunând că algoritmul CL a fost deja rulat pentru a calcula arborele de drumuri de lungime minimă.

**TIPĂREȘTE-CALE**( $G, s, v$ )

- 1: **dacă**  $v = s$  **atunci**
- 2:   tipărește  $s$
- 3: **altfel dacă**  $\pi[v] = \text{NIL}$  **atunci**
- 4:   tipărește “nu există nici un drum de la ”  $s$  “ la ”  $v$
- 5: **altfel**
- 6:   TIPĂREȘTE-CALE( $G, s, \pi[v]$ )
- 7:   tipărește  $v$

Această procedură rulează într-un timp liniar ce depinde de numărul de vârfuri din drumul care este tipărit, deoarece fiecare apel recursiv se face pentru un drum mai scurt cu un vârf.

## Exerciții

**23.2-1** Precizați rezultatul rulării algoritmului de căutare în lățime pe graful orientat din figura 23.2(a) folosind vârful 3 pe post de sursă.

**23.2-2** Precizați rezultatul rulării algoritmului de căutare în lățime pe graful orientat din figura 23.3 folosind vârful  $u$  pe post de sursă.

**23.2-3** Care este timpul de execuție al CL dacă graful său de intrare este reprezentat printr-o matrice de adiacență și algoritmul este modificat să suporte această formă de intrare?

**23.2-4** Argumentați faptul că, pentru o căutare în lățime, valoarea  $d[u]$  atribuită unui vârf  $u$  este independentă de ordinea în care sunt date vâfurile din fiecare listă de adiacență.

**23.2-5** Dați un exemplu de graf orientat  $G = (V, E)$ , un vârf sursă  $s \in V$  și o mulțime de muchii de arbore  $E_\pi \subseteq E$  astfel încât, pentru fiecare vârf  $v \in V$ , drumul unic din  $E_\pi$  de la  $s$  la  $v$  este un drum de lungime minimă în  $G$ , și, totuși, mulțimea de muchii  $E_\pi$  nu poate fi obținută rulând CL pe  $G$ , indiferent de modul în care sunt aranjate nodurile în fiecare listă de adiacență.

**23.2-6** Elaborați un algoritm eficient pentru a determina dacă un graf neorientat este bipartit.

**23.2-7**  $\star$  **Diametrul** unui arbore  $T = (V, E)$  este dat de

$$\max_{u,v \in V} \delta(u, v),$$

adică diametrul este cel mai lung drum dintre toate drumurile de lungime minimă din arbore. Elaborați un algoritm eficient pentru a determina diametrul unui arbore și analizați timpul de execuție al algoritmului propus.

**23.2-8** Fie  $G = (V, E)$  un graf neorientat. Dați un algoritm care să ruleze într-un timp  $O(V + E)$  pentru a determina un drum în  $G$  care să traverseze fiecare muchie din  $E$  exact o dată în fiecare direcție. Descrieți cum se poate găsi calea de ieșire dintr-un labirint, presupunând că vi se dă o cantitate suficientă de bănuți.

### 23.3. Căutarea în adâncime

Strategia folosită de căutarea în adâncime este, după cum ne arată și numele, de a căuta “mai adânc” în graf oricând acest lucru este posibil. În căutarea în adâncime, muchiile sunt explorate pornind din vârful  $v$  cel mai recent descoperit care mai are încă muchii neexplorate, care pleacă din el. Când toate muchiile care pleacă din  $v$  au fost explorate, căutarea “revine” pe propriile urme, pentru a explora muchiile care pleacă din vârful din care  $v$  a fost descoperit. Această operație continuă până când sunt descoperite toate vârfurile accesibile din vârful sursă inițial. Întregul proces este repetat până când toate vârfurile sunt descoperite.

La fel ca în cazul căutării în lățime, de fiecare dată când un vârf  $v$  este descoperit în timpul unei examinări a listei de adiacență a unui vârf  $u$ , deja descoperit, căutarea în adâncime înregistrează acest eveniment punându-l pe  $u$  în câmpul predecesorului lui  $v$ ,  $\pi[v]$ . Spre deosebire de căutarea în lățime, unde subgraful predecesor formează un arbore, subgraful predecesor produs de căutarea în adâncime poate fi compus din mai mulți arbori, deoarece căutarea poate fi repetată pentru surse multiple. De aceea, **subgraful predecesor** al unei căutări în lățime este definit într-un mod ușor diferit față de acela al unei căutări în lățime: vom nota  $G_\pi = (V, E_\pi)$ , unde

$$E_\pi = \{(\pi[v], v) : v \in V \text{ și } \pi[v] \neq \text{NIL}\}.$$

Subgraful predecesor al unei căutări în adâncime formează o **pădure de adâncime** compusă din mai mulți **arbori de adâncime**. Muchiile din  $E_\pi$  se numesc **muchii de arbore**.

Ca în cazul căutării în lățime, vârfurile sunt colorate în timpul căutării pentru a indica starea lor. Inițial fiecare vârf este alb, pentru ca el să fie făcut, apoi, gri când este **descoperit** în timpul căutării, și negru când este **terminat**, adică atunci când lista lui de adiacență a fost examinată în întregime. Această tehnică garantează faptul că fiecare vârf ajunge exact într-un arbore de adâncime, astfel încât acești arbori sunt disjuncți.

Pe lângă crearea unei păduri de adâncime, căutarea în adâncime creează pentru fiecare vârf și **marcaje de timp**. Fiecare vârf  $v$  are două astfel de marcaje: primul marcat de timp  $d[v]$  memorează momentul când  $v$  este descoperit pentru prima oară (și colorat gri), iar al doilea marcat  $f[v]$  memorează momentul când căutarea termină de examinat lista de adiacență a lui  $v$  (și îl colorează pe  $v$  în negru). Aceste marcaje de timp sunt folosite în mulți algoritmi de grafuri și sunt, în general, folositoare în argumentarea comportării căutării în adâncime.

Procedura CA de mai jos memorează în  $d[u]$  momentul când  $u$  este descoperit și în  $f[u]$  momentul când  $u$  este terminat. Aceste marcaje de timp sunt valori întregi între 1 și  $2|V|$ , deoarece există un eveniment de descoperire și unul de terminare pentru fiecare din cele  $|V|$  vârfuri. Pentru fiecare vârf  $u$ ,

$$d[u] < f[u]. \tag{23.1}$$

Vârful  $u$  este ALB înainte de momentul  $d[u]$ , GRI între momentul  $d[u]$  și momentul  $f[u]$  și NEGRU după aceea.

Următorul pseudocod este algoritmul de bază al căutării în adâncime. Graful de intrare  $G$  poate fi orientat sau neorientat. Variabila  $temp$  este o variabilă globală pe care o folosim pentru aplicarea marcajelor de timp.

CA( $G$ )

- ```

1: pentru fiecare vîrf  $u \in V[G]$  execută
2:   culoare[ $u$ ]  $\leftarrow$  ALB
3:    $\pi[u] \leftarrow$  NIL
4:  $temp \leftarrow 0$ 
5: pentru fiecare vîrf  $u \in V[G]$  execută
6:   dacă culoare[ $u$ ] = ALB atunci
7:     CA-VIZITĂ( $u$ )

```

## CA-VIZITĂ( $u$ )

- 1:  $cupoare[u] \leftarrow \text{GRI}$  ▷ Vârful alb  $u$  tocmai a fost descoperit.
  - 2:  $d[u] \leftarrow \text{temp} \leftarrow \text{temp} + 1$
  - 3: **pentru** fiecare  $v \in Adj[u]$  **execută** ▷ Explorează muchia  $(u, v)$ .
  - 4:   **dacă**  $cupoare[v] = \text{ALB}$  **atunci**
  - 5:      $\pi[v] \leftarrow u$
  - 6:     CA-VIZITĂ( $v$ )
  - 7:  $cupoare[u] \leftarrow \text{NEGRU}$  ▷ Vârful  $u$  este colorat în negru. El este terminat.
  - 8:  $f[u] \leftarrow \text{temp} \leftarrow \text{temp} + 1$

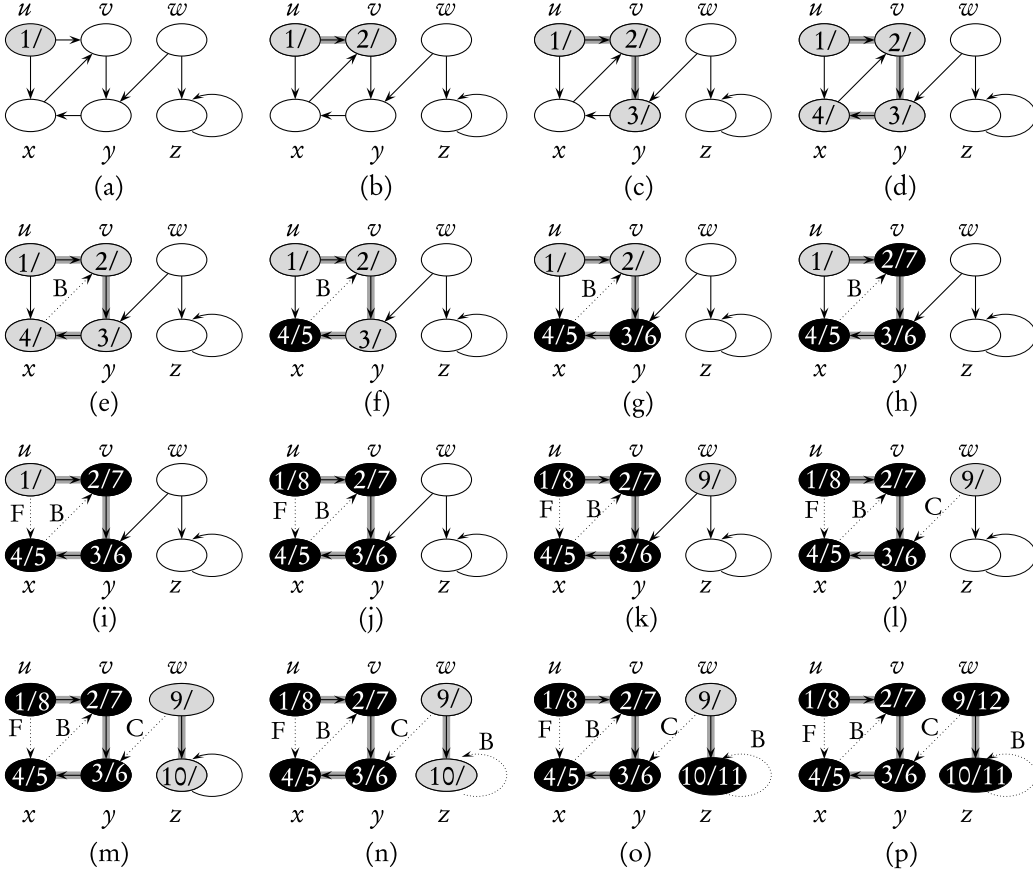
Figura 23.4 ilustrează execuția lui CA pe graful prezentat în figura 23.2.

Procedura CA funcționează după cum urmează. În liniile 1–3 se colorează toate vârfurile în alb și se inițializează câmpurile  $\pi$  ale lor cu NIL. În linia 4 contorul de timp global este resetat. În liniile 5–7 se verifică fiecare vârf din  $V$  căruia îi vine rândul și, când este găsit un vârf alb, el este vizitat folosind CA-VIZITĂ. De fiecare dată când procedura CA-VIZITĂ( $u$ ) este apelată în linia 7, vârful  $u$  devine rădăcina unui nou arbore din pădurea de adâncime. Când CA-VIZITĂ se termină, fiecărui vârf  $u$  i-a fost atribuit un timp de descoperire  $d[u]$  și un timp de terminare  $f[u]$ .

În fiecare apel al procedurii CA-VIZITĂ( $u$ ), vârful  $u$  este inițial alb. În linia 1 vârful  $u$  este colorat în gri, iar în linia 2 se memorează timpul de descoperire  $d[u]$  incrementând și salvând variabila globală  $temp$ . În liniile 3–6 este examinat fiecare vârf  $v$ , adiacent lui  $u$ , care este vizitat recursiv dacă acesta este alb. Pe măsură ce fiecare vârf  $v \in Adj[u]$  este examinat în linia 3, spunem că muchia  $(u, v)$  este **explorată** de către căutarea în adâncime. În final, după ce fiecare muchie ce pleacă din  $u$  a fost explorată, în liniile 7–8  $u$  este colorat în negru și timpul de terminare este memorat în  $f[u]$ .

Care este timpul de execuție al procedurii CA? Buclele din liniile 1–3 și din liniile 5–7 ale procedurii CA necesită un timp  $\Theta(V)$ , pe lângă cel necesar executării apelurilor către CA-VIZITĂ. Procedura CA-VIZITĂ este apelată exact o dată pentru fiecare vârf  $v \in V$ , deoarece CA-VIZITĂ este invocată numai pentru vârfurile albe și primul lucru pe care îl face este să coloreze fiecare vârf în gri. În timpul unei execuții a CA-VIZITĂ( $v$ ), bucla din liniile 3–6 este executată de  $|Adj[v]|$  ori. Deoarece

$$\sum_{v \in V} |Adj[v]| = \Theta(E),$$



**Figura 23.4** Progresul algoritmului de căutare în adâncime CA pe un graf orientat. Pe măsură ce muchiile sunt explorate de algoritm, ele sunt prezentate fie cu culoarea gri (dacă sunt muchii de arbori), fie cu linie punctată (altfel). Muchiile care nu aparțin arborilor sunt etichetate cu B, C, F, în funcție de tipul lor (ele pot fi muchii înapoiai, muchii transversale sau muchii înainte). Vârfurilor le sunt aplicate marcaje de timp, corespunzătoare timpului de descoperire, respectiv terminare.

costul total al execuției liniilor 3–6 ale CA-VIZITĂ este  $\Theta(E)$ . De aceea, timpul de execuție al CA-VIZITĂ este  $\Theta(V + E)$ .

### Proprietățile căutării în adâncime

Căutarea în adâncime oferă multe informații despre structura unui graf. Proprietatea fundamentală a căutării în adâncime este că subgraful său predecesor  $G_\pi$  formează într-adevăr o pădure de arbori, deoarece structura arborilor de adâncime oglindește exact structura apelurilor recursive ale CA-VIZITĂ. Cu alte cuvinte,  $u = \pi[v]$  dacă și numai dacă CA-VIZITĂ( $v$ ) a fost apelată în timpul unei căutări în lista de adiacență a lui  $u$ .

O altă proprietate importantă a căutării în adâncime este că timpii de descoperire și terminare au o **structură de paranteză**. Dacă reprezentăm descoperirea unui vârf  $u$  printr-o paranteză

deschisă “( $u$ ” și terminarea sa printr-o paranteză închisă “ $u$ ”), atunci istoria descoperirilor și a terminărilor formează o expresie corectă, în sensul că parantezele sunt corect împerecheate. De exemplu, căutarea în adâncime din figura 23.5(a) corespunde parantezării din figura 23.5(b). O altă cale de a enunța condiția structurii parantezelor este dată în următoarea teoremă:

**Teorema 23.6 (Teorema parantezelor)** În orice căutare în adâncime a unui graf (orientat sau neorientat)  $G = (V, E)$ , pentru orice două vârfuri  $u$  și  $v$ , exact una din următoarele trei condiții este adevărată:

- intervalele  $[d[u], f[u]]$  și  $[d[v], f[v]]$  sunt total disjuncte,
- intervalul  $[d[u], f[u]]$  este conținut, în întregime, în intervalul  $[d[v], f[v]]$ , iar  $u$  este un descendant al lui  $v$  în arborele de adâncime, sau
- intervalul  $[d[v], f[v]]$  este conținut, în întregime, în intervalul  $[d[u], f[u]]$ , iar  $v$  este un descendant al lui  $u$  în arborele de adâncime.

**Demonstrație.** Începem cu cazul în care  $d[u] < d[v]$ . În funcție de valoarea de adevăr a inegalității  $d[v] < f[u]$ , există două subcazuri care trebuie considerate. În primul subcaz  $d[v] < f[u]$ , deci  $v$  a fost descoperit în timp ce  $u$  era încă gri. Aceasta implică faptul că  $v$  este un descendant al lui  $u$ . Mai mult, deoarece  $v$  a fost descoperit înaintea lui  $u$ , toate muchiile care pleacă din el sunt explorate, iar  $v$  este terminat, înainte ca algoritmul să revină pentru a-l termina pe  $u$ . De aceea, în acest caz, intervalul  $[d[v], f[v]]$  este conținut în întregime în intervalul  $[d[u], f[u]]$ . În celălalt subcaz  $f[u] < d[v]$  și inegalitatea (23.1) implică faptul că intervalele  $[d[u], f[u]]$  și  $[d[v], f[v]]$  sunt disjuncte.

Cazul în care  $d[v] < d[u]$  este similar, inversând rolurile lui  $u$  și  $v$  în argumentația de mai sus. ■

**Corolarul 23.7 (Interclasarea intervalelor descendente)** Vârful  $v$  este un descendant normal al lui  $u$  în pădurea de adâncime pentru un graf  $G$  orientat sau neorientat dacă și numai dacă  $d[u] < d[v] < f[v] < f[u]$ .

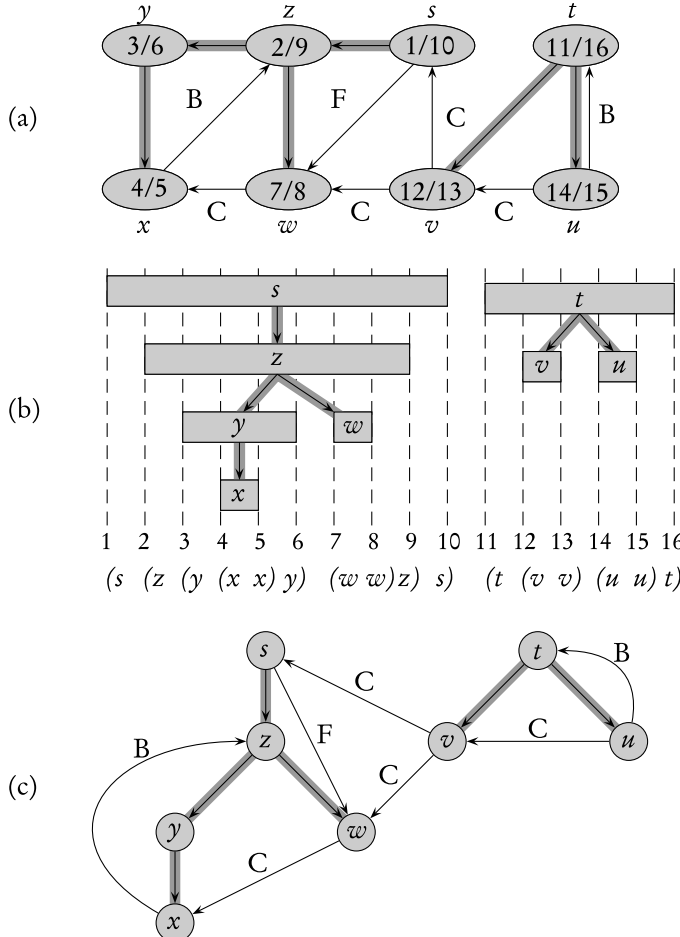
**Demonstrație.** Este imediată din teorema 23.6. ■

Următoarea teoremă oferă o altă caracterizare importantă a situației în care un vârf este descendant al unui alt vârf în cadrul pădurii de adâncime.

**Teorema 23.8 (Teorema drumului alb)** Într-o pădure de adâncime a unui graf  $G = (V, E)$  orientat sau neorientat, vârful  $v$  este un descendant al vârfului  $u$  dacă și numai dacă la momentul  $d[u]$ , când căutarea îl descoperă pe  $u$ , vârful  $v$  este accesibil din  $u$  printr-un drum format în întregime din vârfuri albe.

**Demonstrație.**  $\Rightarrow$ : Să presupunem că  $v$  este un descendant al lui  $u$ . Fie  $w$  un vârf oarecare pe drumul dintre  $u$  și  $v$  în arborele de adâncime, astfel încât  $w$  este un descendant al lui  $u$ . Din corolarul 23.7,  $d[u] < d[w] < f[w] < f[v]$ , și astfel  $w$  este alb la momentul  $d[u]$ .

$\Leftarrow$ : Să presupunem că vârful  $v$  este accesibil din  $u$  printr-un drum alcătuit din vârfuri albe la momentul  $d[u]$ , dar  $v$  nu devine un descendant al lui  $u$  în arborele de adâncime. Fără a pierde din generalitate, vom presupune că fiecare din celelalte vârfuri din drumul respectiv devine un descendant al lui  $u$ . (Altfel, fie  $v$  cel mai apropiat vârf al lui  $u$  de pe drumul respectiv care nu devine un descendant al lui  $u$ .) Fie  $w$  predecesorul lui  $v$  de pe drum, astfel încât  $w$



**Figura 23.5** Proprietățile căutării în adâncime. (a) Rezultatul căutării în adâncime pe un graf orientat. Vârfurile li se atașează marcaje de timp și tipul muchiilor este indicat ca în figura 23.4. (b) Intervalele pentru timpii de descoperire și de terminare ai fiecărui vârf corespund parantezării prezentate. Fiecare dreptunghi acoperă intervalul dat de timpii de descoperire și terminare ai vârfului corespunzător. Muchiile de arbori sunt afișate. Dacă două intervale se suprapun, atunci unul este încadrat în celalalt, iar vârful corespunzător intervalului mai mic este un descendant al vârfului corespunzător celui mai mare. (c) Graful din partea (a) redesenat cu muchiile de arbori și muchiile înainte mergând în jos în cadrul unei păduri de adâncime și toate muchiile înapoi mergând în sus de la un strămoș.

este un descendant al lui  $u$  ( $w$  și  $u$  pot fi de fapt unul și același vârf) și, din corolarul 23.7,  $f[w] \leq f[u]$ . Să observăm că  $v$  trebuie descoperit după  $u$ , dar înainte ca  $w$  să fie terminat. De aceea,  $d[u] < d[v] < f[w] \leq f[u]$ . Atunci teorema 23.6 implică faptul că intervalul  $[d[v], f[v]]$  este conținut în întregime în intervalul  $[d[u], f[u]]$ . Din corolarul 23.7,  $v$  trebuie să fie un descendant al lui  $u$ . ■

## Clasificarea muchiilor

O altă proprietate interesantă a căutării în adâncime este aceea că algoritmul de căutare poate fi folosit pentru clasificarea muchiilor grafului de intrare  $G = (V, E)$ . Această clasificare a muchiilor poate fi folosită pentru a afla informații importante despre un graf. De exemplu, în secțiunea următoare, vom vedea că un graf orientat este aciclic dacă și numai dacă o căutare în adâncime nu produce nici o muchie “înapoi” (lema 23.10).

Potrivit definiției patru tipuri de muchii în funcție de pădurea de adâncime  $G_\pi$  produsă de o căutare în adâncime pe  $G$ .

1. **Muchiile de arbore** sunt muchii din pădurea de adâncime  $G_\pi$ . Muchia  $(u, v)$  este o muchie de arbore dacă  $v$  a fost descoperit explorând muchia  $(u, v)$ .
2. **Muchiile înapoi** sunt acele muchii  $(u, v)$  care unesc un vârf  $u$  cu un strămoș  $v$  într-un arbore de adâncime. Buclele (muchii de la un vârf la el însuși) care pot apărea într-un graf orientat sunt considerate muchii înapoi.
3. **Muchiile înainte** sunt acele muchii  $(u, v)$  ce nu sunt muchii de arbore și conectează un vârf  $u$  cu un descendant  $v$  într-un arbore de adâncime.
4. **Muchiile transversale** sunt toate celelalte muchii. Ele pot uni vârfuri din același arbore de adâncime, cu condiția ca unul să nu fie strămoșul celuilalt, sau pot uni vârfuri din arbori, de adâncime, diferenți.

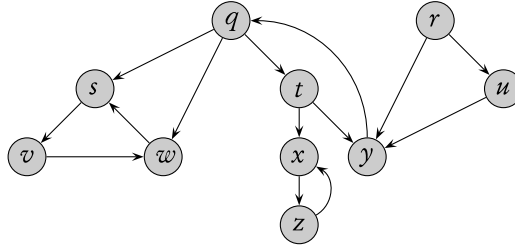
În figurile 23.4 și 23.5, muchiile sunt etichetate pentru a indica tipul lor. Figura 23.5(c) arată, de asemenea, cum graful din figura 23.5(a) poate fi redesenat astfel încât toate muchiile de arbori și cele înainte se întreprind în jos într-un arbore de adâncime și toate muchiile înapoi merg în sus. Orice graf poate fi redesenat în această manieră.

Algoritmul CA poate fi modificat pentru a clasifica muchiile pe măsură ce le întâlnește. Ideea principală este aceea că fiecare muchie  $(u, v)$  poate fi clasificată după culoarea vârfului  $v$  care este atins când muchia  $(u, v)$  este explorată pentru prima dată (cu excepția faptului că nu se poate face distincția între muchiile înainte și cele transversale):

1. ALB indică o muchie de arbore,
2. GRI indică o muchie înapoi, și
3. NEGRU indică o muchie înainte sau una transversală.

Primul caz este imediat din specificațiile algoritmului. Pentru cel de-al doilea caz, se observă că vârfurile gri formează, întotdeauna, un lanț liniar de descendenți corespunzând stivei de apeluri active ale procedurii CA-VIZITĂ; numărul de vârfuri gri este cu unu mai mare decât adâncimea din pădurea de adâncime a vârfului celui mai recent descoperit. Explorarea începe întotdeauna din cel mai adânc vârf gri, deci o muchie care ajunge într-un alt vârf gri ajunge la un strămoș. Al treilea caz tratează posibilitatea rămasă. Se poate demonstra că o astfel de muchie  $(u, v)$  este o muchie înainte dacă  $d[u] < d[v]$  și o muchie transversală dacă  $d[u] > d[v]$ . (Vezi exercițiul 23.3-4.)

Într-un graf neorientat poate exista o oarecare ambiguitate în clasificarea muchiilor, deoarece  $(u, v)$  și  $(v, u)$  reprezintă, de fapt, aceeași muchie. În acest caz, muchia este clasificată ca fiind de *primul* tip din clasificare ale cărui condiții sunt îndeplinite. În mod echivalent (vezi exercițiul



**Figura 23.6** Un graf orientat pentru folosirea în exercițiile 23.3-2 și 23.5-2.

23.3-5), muchia este clasificată în funcție de care din perechile  $(u, v)$  și  $(v, u)$  apare prima în cursul execuției algoritmului.

Vom arăta acum că muchiile înainte și cele transversale nu apar niciodată într-o căutare în adâncime într-un graf neorientat.

**Teorema 23.9** Într-o căutare în adâncime într-un graf neorientat  $G$ , fiecare muchie a lui  $G$  este fie o muchie de arbore fie o muchie înapoi.

**Demonstrație.** Fie  $(u, v)$  o muchie arbitrară a lui  $G$  și să presupunem, fără a pierde din generalitate, că  $d[u] < d[v]$ . Atunci  $v$  trebuie descoperit și terminat înainte ca  $u$  să fie terminat, deoarece  $v$  este pe lista de adiacență a lui  $u$ . Dacă muchia  $(u, v)$  este explorată prima dată în direcția de la  $u$  la  $v$ , atunci  $(u, v)$  devine o muchie de arbore. Dacă  $(u, v)$  este explorată prima dată în direcția de la  $v$  la  $u$ , atunci  $(u, v)$  este o muchie înapoi, deoarece  $u$  este încă gri în momentul când muchia este explorată pentru prima oară. ■

În următoarele secțiuni vom vedea multe aplicații ale acestor teoreme.

## Exerciții

**23.3-1** Desenați un tabel de dimensiuni  $3 \times 3$  și etichetați liniile și coloanele cu ALB, GRI și NEGRU. În fiecare poziție  $(i, j)$  indicați dacă, la vreun moment dat în timpul unei căutări în adâncime a unui graf orientat, poate exista o muchie de la un vârf de culoare  $i$  la un vârf de culoare  $j$ . Pentru fiecare muchie posibilă, indicați de ce tip poate fi ea. Faceți un al doilea astfel de tabel pentru căutarea în adâncime într-un graf orientat.

**23.3-2** Arătați cum funcționează căutarea în adâncime pe graful din figura 23.6. Presupuneți că bucla **pentru** din liniile 5–7 din procedura CA consideră vârfurile în ordine alfabetică și că fiecare listă de adiacență este ordonată alfabetic. Determinați timpii de descoperire și terminare pentru fiecare vârf și prezentați clasificarea fiecărei muchii.

**23.3-3** Specificați structura parantezelor determinată de căutarea în adâncime prezentată în figura 23.4.

**23.3-4** Arătați că muchia  $(u, v)$  este

- o muchie de arbore dacă și numai dacă  $d[u] < d[v] < f[v] < f[u]$ ,
- o muchie înapoi dacă și numai dacă  $d[v] < d[u] < f[u] < f[v]$  și

c. o muchie transversală dacă și numai dacă  $d[v] < f[v] < d[u] < f[u]$ .

**23.3-5** Arătați că, într-un graf neorientat, clasificarea unei muchii  $(u, v)$  ca fiind o muchie de arbore sau o muchie înapoi, pe baza faptului că muchia  $(u, v)$  este întâlnită înaintea muchiei  $(v, u)$  în timpul căutării în adâncime, este echivalentă cu clasificarea ei în funcție de prioritățile tipurilor în schema de clasificare.

**23.3-6** Dați un contraexemplu pentru afirmația conform căreia, dacă într-un graf orientat  $G$  există un drum de la  $u$  la  $v$  și într-o căutare în adâncime în  $G$ ,  $d[u] < d[v]$ , atunci  $v$  este un descendant al lui  $u$  în pădurea de adâncime produsă.

**23.3-7** Modificați pseudocodul pentru căutarea în adâncime, astfel încât să tipărească fiecare muchie într-un graf orientat  $G$ , împreună cu tipul acesteia. Arătați ce modificări trebuie făcute (în cazul în care trebuie făcută vreo modificare) dacă  $G$  este neorientat.

**23.3-8** Explicați cum poate ajunge un vârf  $u$  al unui graf orientat într-un arbore de adâncime ce îl conține numai pe  $u$ , deși există în  $G$  atât muchii care intră în  $u$  cât și muchii care ies din  $u$ .

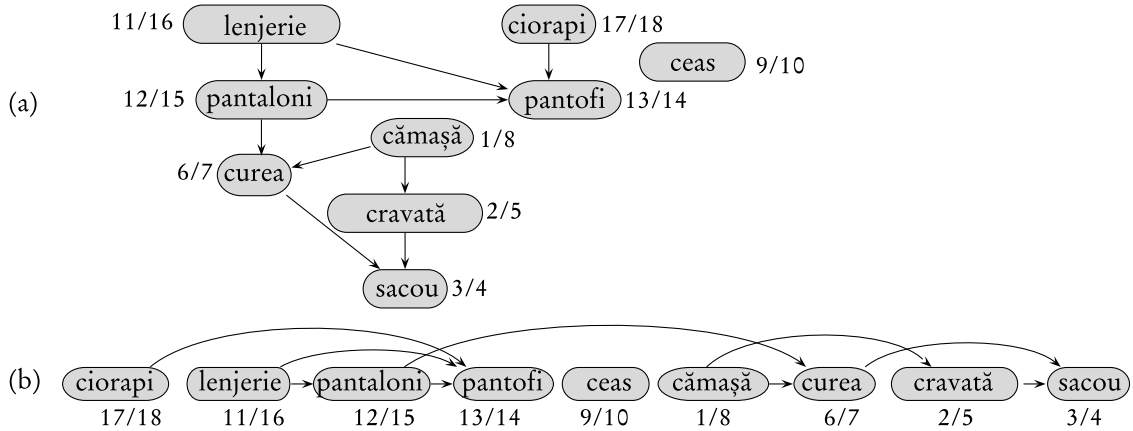
**23.3-9** Arătați că o căutare în adâncime, într-un graf neorientat  $G$ , poate fi folosită pentru a determina componentele conexe ale lui  $G$ , și că numărul de arbori din pădurea de adâncime este egal cu numărul componentelor conexe ale lui  $G$ . Mai exact, arătați cum trebuie modificat algoritmul de căutare în adâncime, astfel încât fiecare vârf  $v$  este etichetat cu o valoare întreagă  $cc[v]$  între 1 și  $k$ , unde  $k$  este numărul de componente conexe ale lui  $G$ , astfel încât  $cc[u] = cc[v]$  dacă și numai dacă  $u$  și  $v$  sunt în aceeași componentă conexă.

**23.3-10 \*** Un graf orientat  $G = (V, E)$  este **unic conex** dacă  $u \sim v$  implică faptul că există cel mult un drum simplu de la  $u$  la  $v$  pentru toate vârfurile  $u, v \in V$ . Elaborați un algoritm eficient pentru a determina dacă un graf orientat este sau nu unic conex.

## 23.4. Sortarea topologică

Această secțiune prezintă modul în care căutarea în adâncime poate fi folosită pentru a executa sortări topologice ale unor grafuri orientate aciclice. O **sortare topologică** a unui graf orientat aciclic  $G = (V, E)$  este o ordonare liniară a tuturor vârfurilor sale astfel încât, dacă  $G$  conține o muchie  $(u, v)$ , atunci  $u$  apare înaintea lui  $v$  în ordonare. (Dacă un graf nu este aciclic, atunci nu este posibilă nici o ordonare liniară). O sortare topologică a unui graf poate fi vizată ca o ordonare a vârfurilor sale de-a lungul unei linii orizontale, astfel încât toate muchiile sale orientate merg de la stânga la dreapta. Sortarea topologică este deci diferită de tipul normal de “ordonare” studiată în partea a II-a.

Grafurile orientate aciclice sunt folosite în multe aplicații pentru a indica precedența între evenimente. Figura 23.7 prezintă un exemplu care apare când profesorul Bumstead se îmbrăcă dimineață. Profesorul trebuie să îmbrace anumite lucruri înaintea altora (de exemplu, ciorapii înaintea pantofilor). O muchie orientată  $(u, v)$  din graful orientat aciclic din figura 23.7(a) indică faptul că articolul de îmbrăcăminte  $u$  trebuie îmbrăcat înaintea articolului  $v$ . De aceea, o sortare topologică a acestui graf orientat aciclic ne dă o ordine pentru îmbrăcare. Figura 23.7(b) prezintă



**Figura 23.7 (a)** Profesorul Bumstead își sortează topologic îmbrăcămintea când se îmbrăcă. Fiecare muchie  $(u, v)$  înseamnă că articolul  $u$  trebuie îmbrăcat înaintea articolului  $v$ . Timpii de descoperire și de terminare dintr-o căutare în adâncime sunt prezentați alături de fiecare vârf. **(b)** Același graf sortat topologic. Vârfurile lui sunt aranjate de la stânga la dreapta în ordinea descrescătoare a timpului de terminare. Se observă că toate muchiile orientate merg de la stânga la dreapta.

graful orientat aciclic sortat topologic ca o ordonare a vârfurilor de-a lungul unei linii orizontale, astfel încât toate muchiile orientate merg de la stânga la dreapta.

Următorul algoritm simplu sortează topologic un graf orientat aciclic.

#### SORTARE-TOPOLOGICĂ( $G$ )

- 1: apeleză CA( $G$ ) pentru a calcula timpii de terminare  $f[v]$  pentru fiecare vârf  $v$
- 2: pe măsură ce fiecare vârf este terminat, inserează-l în capul unei liste înlănțuite
- 3: **returnează** lista înlănțuită de vârfuri

Figura 23.7(b) arată cum vârfurile sortate topologic apar în ordine inversă față de timpii lor de terminare.

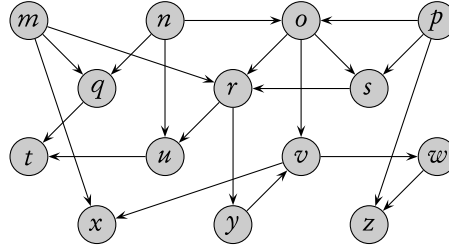
Putem executa o sortare topologică într-un timp  $\Theta(V + E)$ , deoarece căutarea în adâncime necesită un timp  $\Theta(V + E)$ , iar inserarea fiecărui din cele  $|V|$  vârfuri în capul listei înlănțuite necesită un timp  $O(1)$ .

Vom demonstra corectitudinea acestui algoritm folosind următoarea lemă cheie, care caracterizează grafurile orientate aciclice.

**Lema 23.10** Un graf orientat  $G$  este aciclic dacă și numai dacă în urma unei căutări în adâncime în  $G$ , nu rezultă nici o muchie înapoi.

**Demonstrație.**  $\Rightarrow$ : Să presupunem că există o muchie înapoi  $(u, v)$ . Atunci vârful  $v$  este un strămoș al vârfului  $u$  în pădurea de adâncime. Există deci în  $G$  o cale de la  $v$  la  $u$ , iar muchia înapoi  $(u, v)$  completează un ciclu.

$\Leftarrow$ : Să presupunem că  $G$  conține un ciclu  $c$ . Vom arăta că, în urma unei căutări în adâncime, în  $G$  rezultă o muchie înapoi. Fie  $v$  primul vârf descoperit în  $c$ , și fie  $(u, v)$  muchia precedentă în  $c$ . La momentul  $d[v]$ , există un drum de vârfuri albe de la  $v$  la  $u$ . Din teorema drumului alb



**Figura 23.8** Un graf orientat aciclic pentru sortarea topologică.

rezultă că  $u$  devine un descendant al lui  $v$  în pădurea de adâncime. De aceea,  $(u, v)$  este o muchie înapoi. ■

**Teorema 23.11** Procedura SORTARE-TOPOLOGICĂ( $G$ ) determină o sortare topologică a unui graf orientat aciclic  $G$ .

**Demonstrație.** Să presupunem că algoritmul CA este rulat pe un graf orientat aciclic  $G = (V, E)$  dat, pentru a determina timpul de terminare pentru vârfurile sale. Este suficient să arătăm că, pentru orice pereche de vârfuri distincte  $u, v \in V$ , dacă există o muchie în  $G$  de la  $u$  la  $v$ , atunci  $f[v] < f[u]$ . Să considerăm o muchie oarecare  $(u, v)$  explorată de procedura CA( $G$ ). Când această muchie este explorată,  $v$  nu poate fi gri deoarece  $v$  ar fi un strămoș al lui  $u$  și  $(u, v)$  ar fi o muchie înapoi, contrazicând lema 23.10. De aceea,  $v$  trebuie să fie alb sau negru. Dacă  $v$  este alb, el devine un descendant al lui  $u$  și, astfel,  $f[v] < f[u]$ . Dacă  $v$  este negru, atunci de asemenea  $f[v] < f[u]$ . Astfel, pentru orice muchie  $(u, v)$  din graful orientat aciclic, avem  $f[v] < f[u]$ , demonstrând teorema. ■

## Exerciții

**23.4-1** Arătați ordinea vârfurilor produsă de procedura SORTARE-TOPOLOGICĂ atunci când aceasta este rulată pe graful orientat aciclic din figura 23.8, luând în considerare presupunerile de la exercițiul 23.3-2.

**23.4-2** Elaborați un algoritm care determină dacă un graf neorientat  $G = (V, E)$  dat conține sau nu un ciclu. Algoritmul propus trebuie să ruleze într-un timp  $O(V)$ , indiferent de  $|E|$ .

**23.4-3** Demonstrați sau contrademonstrați că, dacă un graf orientat  $G$  conține cicluri, atunci, procedura SORTARE-TOPOLOGICĂ( $G$ ) produce o ordine a vârfurilor care minimizează numărul de muchii “rele” care sunt în dezacord cu ordinea produsă.

**23.4-4** O altă cale de a efectua o sortare topologică pe un graf orientat aciclic  $G = (V, E)$  este de a găsi, în mod repetat, un vârf cu gradul interior egal cu 0 care este afișat, iar apoi eliminat din graf împreună cu toate muchiile care pleacă din el. Explicați cum se poate implementa această idee, astfel încât să ruleze într-un timp  $O(V + E)$ . Ce se întâmplă cu acest algoritm dacă  $G$  are cicluri?

### 23.5. Componente tare conexe

Vom considera acum o aplicație clasică a căutării în adâncime: descompunerea unui graf orientat în componente sale tare conexe. Această secțiune prezintă un mod de a face această descompunere folosind două căutări în adâncime. Multii algoritmi care lucrează cu grafuri orientate încep cu o astfel de descompunere. Această abordare permite, de multe ori, divizarea problemei originale în mai multe subprobleme, una pentru fiecare componentă tare conexă. Combinarea soluțiilor subproblemelor urmează structura legăturilor dintre componente tare conexe. Această structură poate fi reprezentată printr-un graf numit graful "componentelor", definit în exercițiul 23.5-4.

Să ne reamintim, din capitolul 5, că o componentă tare conexă a unui graf orientat  $G = (V, E)$  este o mulțime maximală de vârfuri  $U \subseteq V$ , astfel încât, pentru fiecare pereche de vârfuri  $u$  și  $v$  din  $U$ , avem atât  $u \sim v$  cât și  $v \sim u$ . Cu alte cuvinte, vâfurile  $u$  și  $v$  sunt accesibile unul din celălalt. În figura 23.9 este prezentat un exemplu.

Algoritmul nostru pentru găsirea componentelor tare conexe ale unui graf  $G = (V, E)$  folosește transpusul lui  $G$ , care este definit în exercițiul 23.1-3 ca fiind graful  $G^T = (V, E^T)$ , unde  $E^T = \{(u, v) : (v, u) \in E\}$ . Cu alte cuvinte,  $E^T$  este constituită din muchiile din  $G$  cu sensurile lor inverse. Dată fiind o reprezentare prin liste de adjacență a lui  $G$ , timpul necesar creării lui  $G^T$  este  $O(V + E)$ . Este interesant de observat că  $G$  și  $G^T$  au exact aceeași componentă tare conexă:  $u$  și  $v$  sunt accesibile unul din celălalt în  $G$  dacă și numai dacă sunt accesibile unul din celălalt în  $G^T$ . Figura 23.9(b) prezintă transpusul grafului din figura 23.9(a), cu componente tare conexe colorate în gri.

Următorul algoritm de timp liniar (adică  $\Theta(V + E)$ ) determină componentele tare conexe ale unui graf orientat  $G = (V, E)$  folosind două căutări în adâncime, una în  $G$  și una în  $G^T$ .

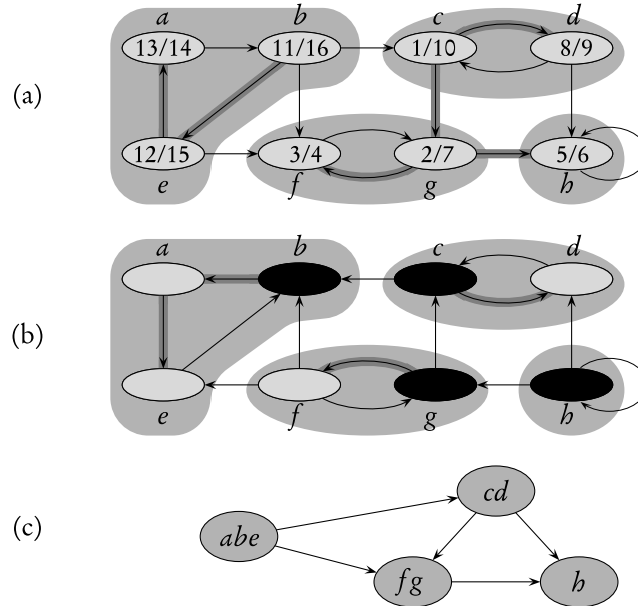
#### COMPONENTE-TARE-CONEXE( $G$ )

- 1: apeleză CA( $G$ ) pentru a calcula timpii de terminare  $f[u]$  pentru fiecare vârf  $u$
- 2: calculează  $G^T$
- 3: apeleză CA( $G^T$ ), dar în bucla principală a lui CA, consideră vâfurile în ordinea descrescătoare a timpilor  $f[u]$  (calculați în linia 1)
- 4: afișează vâfurile fiecarui arbore în pădurea de adâncime din pasul 3 ca o componentă tare conexă separată

Acest algoritm, care arată foarte simplu, pare a nu avea nimic de-a face cu componente tare conexe. În ceea ce urmează vom clarifica misterele alcătuirii sale și îi vom demonstra corectitudinea. Începem cu două observații folosite.

**Lema 23.12** Dacă două vârfuri se află în aceeași componentă tare conexă, atunci nici un drum între ele nu părăsește, vreodată, componenta tare conexă.

**Demonstrație.** Fie  $u$  și  $v$  două vârfuri din aceeași componentă tare conexă. Din definiția componente tare conexe, există drumi de la  $u$  la  $v$  și de la  $v$  la  $u$ . Fie vârful  $w$  de-a lungul unui drum  $u \sim w \sim v$ , astfel încât  $w$  este accesibil din  $u$ . Mai mult, deoarece există un drum  $v \sim u$ , știm că  $u$  este accesibil din  $w$  prin drumul  $w \sim v \sim u$ . De aceea,  $u$  și  $w$  fac parte din aceeași componentă conexă. Deoarece  $w$  a fost ales în mod arbitrar, teorema este demonstrată. ■



**Figura 23.9** (a) Un graf orientat  $G$ . Componentele tare conexe ale lui  $G$  sunt prezentate în culoarea gri. Fiecare vârf este etichetat cu timpii săi de descoperire și de terminare. Muchiile de arbore sunt prezentate în gri. (b). Graful  $G^T$ , transpusul lui  $G$ . Este prezentat și arborele de adâncime determinat în linia 3 a algoritmului COMPONENTE-TARE-CONEXE, cu muchiile de arbore în gri. Fiecare componentă tare conexă corespunde unui arbore de adâncime. Vârfurile  $b$ ,  $c$ ,  $g$  și  $h$ , care sunt prezentate cu culoarea neagră, sunt strămoșii fiecărui vârf din componenta lor tare conexă; de asemenea, aceste vârfuri sunt rădăcinile arborilor de adâncime produși de căutarea în adâncime în  $G^T$ . (c) Graful de componente aciclic  $G^{CTC}$  obținut prin reducerea fiecărei componente tare conexe a lui  $G$  la un singur vârf.

**Teorema 23.13** În orice căutare în adâncime, toate vârfurile din aceeași componentă tare conexă sunt situate în același arbore de adâncime.

**Demonstrație.** Dintre vârfurile din componenta tare conexă, fie  $r$  primul descoperit. Deoarece  $r$  este primul, celelalte vârfuri din componenta tare conexă sunt albe în momentul când el este descoperit. Există drumuri de la  $r$  la toate celelalte vârfuri din componenta tare conexă; pentru că aceste drumuri nu părăsesc niciodată componenta tare conexă (din lema 23.12), toate vârfurile de pe ele sunt albe. Astfel, din teorema drumului alb, fiecare vârf din componenta tare conexă devine un descendant al lui  $r$  în componenta tare conexă. ■

În restul acestei secțiuni, notațiile  $d[u]$  și  $f[u]$  se referă la timpii de descoperire și terminare determinați de prima căutare în adâncime din linia 1 a algoritmului COMPONENTE-TARE-CONEXE. În mod similar, notația  $u \sim v$  se referă la existența unui drum în  $G$  și nu în  $G^T$ .

Pentru a demonstra că algoritmul COMPONENTE-TARE-CONEXE este corect, introducem noțiunea de **predecesor**  $\phi(u)$  al unui vârf  $u$ , care este vârful  $w$ , accesibil din  $u$ , care e terminat ultimul în căutarea în adâncime din linia 1. Cu alte cuvinte,

$$\phi(u) = \text{acel vârf } w \text{ pentru care } u \sim w \text{ și } f[w] \text{ este maximizat.}$$

Să observăm că relația  $\phi(u) = u$  este posibilă, deoarece  $u$  este accesibil din el însuși, și de aici

$$f[u] \leq f[\phi(u)]. \quad (23.2)$$

De asemenea, putem demonstra că  $\phi(\phi(u)) = \phi(u)$ , deoarece, pentru oricare vârfuri  $u, v \in V$ ,

$$u \rightsquigarrow v \text{ implică } f[\phi(v)] \leq f[\phi(u)], \quad (23.3)$$

deoarece  $\{w : v \rightsquigarrow w\} \subseteq \{w : u \rightsquigarrow w\}$  și predecesorul are timpul de terminare maxim dintre toate vârfurile accesibile. Deoarece  $\phi(u)$  este accesibil din  $u$ , formula (23.3) implică faptul că  $f[\phi(\phi(u))] \leq f[\phi(u)]$ . Avem, de asemenea,  $f[\phi(u)] \leq f[\phi(\phi(u))]$ , din inegalitatea (23.2). Astfel,  $f[\phi(\phi(u))] = f[\phi(u)]$ , și astfel obținem  $\phi(\phi(u)) = \phi(u)$ , deoarece două vârfuri care sunt terminate în același moment reprezintă de fapt același vârf.

După cum vom vedea, fiecare componentă tare conexă are un vârf care este predecesorul fiecărui vârf din componenta tare conexă respectivă; acest predecesor este un “vârf reprezentativ” pentru acea componentă tare conexă. În căutarea în adâncime pe  $G$ , el este primul vârf al componentei tare conexe care este descoperit și este ultimul vârf al acelei componente tare conexe care este terminat. În căutarea în adâncime a lui  $G^T$ , el este rădăcina unui arbore de adâncime. Vom demonstra acum aceste proprietăți.

Prima teoremă justifică denumirea lui  $\phi(u)$  de “predecesor” al lui  $u$ .

**Teorema 23.14** Într-un graf orientat  $G = (V, E)$ , predecesorul  $\phi(u)$  al oricărui vârf  $u \in V$  din orice căutare în adâncime a lui  $G$  este un strămoș al lui  $u$ .

**Demonstrație.** Dacă  $\phi(u) = u$ , teorema este evident adevărată. Dacă  $\phi(u) \neq u$ , vom considera culorile vârfurilor la momentul  $d[u]$ . Dacă  $\phi(u)$  este negru, atunci  $f[\phi(u)] < f[u]$ , contrazicând inegalitatea (23.2). Dacă  $\phi(u)$  este gri, atunci el este un strămoș al lui  $u$ , și teorema este demonstrată.

Astfel ne rămâne de demonstrat că  $\phi(u)$  nu este alb. Există două cazuri, în funcție de culorile vârfurilor intermediare de pe drumul de la  $u$  la  $\phi(u)$ , dacă aceste vârfuri intermediare există.

1. Dacă fiecare vârf intermediar este alb, atunci  $\phi(u)$  devine un descendant al lui  $u$ , din teorema drumului alb. Dar atunci  $f[\phi(u)] < f[u]$ , contrazicând inegalitatea (23.2).
2. Dacă vreun vârf intermediar nu este alb, fie  $t$  ultimul vârf care nu este alb de pe drumul de la  $u$  la  $\phi(u)$ . Atunci  $t$  trebuie să fie gri, deoarece nu există niciodată o muchie de la un vârf negru la unul alb, iar succesorul lui  $t$  este alb. Dar atunci există un drum de la  $t$  la  $\phi(u)$  format din vârfuri albe, și astfel  $\phi(u)$  este un descendant al lui  $t$ , din teorema drumului alb. Aceasta implică faptul că  $f[t] > f[\phi(u)]$ , contrazicând alegerea lui  $\phi(u)$ , deoarece există un drum de la  $u$  la  $t$ . ■

**Corolarul 23.15** În orice căutare în adâncime într-un graf  $G = (V, E)$ , vârfurile  $u$  și  $\phi(u)$ , pentru orice  $u \in V$ , fac parte din aceeași componentă tare conexă.

**Demonstrație.** Avem  $u \rightsquigarrow \phi(u)$ , din definiția predecesorului, și  $\phi(u) \rightsquigarrow u$ , deoarece  $\phi(u)$  este un strămoș al lui  $u$ . ■

Următoarea teoremă oferă un rezultat mai puternic care face legătura între predecesori și componente tare conexe.

**Teorema 23.16** Într-un graf orientat  $G = (V, E)$ , două vârfuri  $u, v \in V$  fac parte din aceeași componentă tare conexă dacă și numai dacă au același predecesor într-o căutare în adâncime în  $G$ .

**Demonstrație.**  $\Rightarrow$ : Să presupunem că  $u$  și  $v$  fac parte din aceeași componentă tare conexă. Fiecare vârf accesibil din  $u$  este accesibil din  $v$  și invers, deoarece există drumuri în ambele direcții între  $u$  și  $v$ . Atunci, din definiția predecesorului, tragem concluzia că  $\phi(u) = \phi(v)$ .

$\Leftarrow$ : Să presupunem că  $\phi(u) = \phi(v)$ . Din corolarul 23.15,  $u$  face parte din aceeași componentă tare conexă ca  $\phi(u)$ , iar  $v$  face parte din aceeași componentă tare conexă ca  $\phi(v)$ . De aceea,  $u$  și  $v$  fac parte din aceeași componentă tare conexă. ■

Având teorema 23.16 la îndemână, structura algoritmului COMONENTE-TARE-CONEXE poate fi înțeleasă mai ușor. Componentele tare conexe sunt mulțimi de vârfuri cu același predecesor. Mai mult, din teorema 23.14 și din teorema parantezelor (teorema 23.6), în timpul căutării în adâncime în linia 1 a algoritmului COMONENTE-TARE-CONEXE un predecesor este atât primul vârf descoperit cât și ultimul vârf terminat din componenta lui tare conexă.

Pentru a înțelege de ce facem căutarea în adâncime în  $G^T$  din linia 3 a algoritmului COMONENTE-TARE-CONEXE, vom considera vârful  $r$  cu cel mai mare timp de terminare calculat de căutarea în adâncime din linia 1. Din definiția predecesorului, vârful  $r$  trebuie să fie un predecesor, deoarece este propriul său predecesor: este accesibil din el însuși, și nici un alt vârf din graf nu are un timp de terminare mai mare. Care sunt celelalte vârfuri din componenta tare conexă a lui  $r$ ? Sunt acele vârfuri care îl au pe  $r$  drept predecesor – acelea din care  $r$  este accesibil, dar nici un vârf cu un timp de terminare mai mare decât  $f[r]$  nu este accesibil din ele. Dar timpul de terminare al lui  $r$  este maxim dintre toate vârfurile din  $G$ . Din această cauză, componenta tare conexă a lui  $r$  este constituită din acele vârfuri din care  $r$  este accesibil. În mod echivalent, *componenta tare conexă a lui r constă din vârfurile accesibile din r în  $G^T$* . Astfel, căutarea în adâncime din linia 3 identifică toate vârfurile din componenta tare conexă a lui  $r$  și le face negre. (O căutare în lățime, sau *oricare* căutare a vârfurilor accesibile, ar fi putut identifica această mulțime la fel de ușor.)

După ce căutarea în adâncime din linia 3 este efectuată, identificând componenta tare conexă a lui  $r$ , algoritmul începe cu vârful  $r'$  cu cel mai mare timp de terminare, care nu se află în componenta tare conexă a lui  $r$ . Vârful  $r'$  trebuie să fie propriul lui predecesor, deoarece nici un alt vârf cu un timp de terminare mai mare nu este accesibil din el (altfel, ar fi fost inclus în componenta tare conexă a lui  $r$ ). Printron un raționament similar, orice vârf din care  $r'$  este accesibil și care nu este deja negru, trebuie să fie în componenta tare conexă a lui  $r'$ . Astfel, pe măsură ce căutarea în adâncime din linia 3 continuă, algoritmul identifică și înnegrește fiecare vârf din componenta tare conexă a lui  $r'$  căutând din  $r'$  în  $G^T$ .

Astfel, căutarea în adâncime din linia 3 “decojește” componente tare conexe una câte una. Fiecare componentă este identificată în linia 7 a CA printr-un apel către procedura CA-VIZITĂ cu predecesorul componentei ca argument. Apelurile recursive din cadrul CA-VIZITĂ înnegresc, în cele din urmă, fiecare vârf din componentă. Când CA-VIZITĂ revine în CA, întreaga componentă este înnegrită și “decojitată”. Apoi CA găsește vârful cu timpul de terminare maxim care n-a fost încă înnegrit; acest vârf este predecesorul unei alte componente, și procedeul continuă.

Următoarea teoremă formalizează această argumentație.

**Teorema 23.17** Algoritmul COMPONENTE-TARE-CONEXE( $G$ ) calculează corect componentele tare conexe ale unui graf  $G$ .

**Demonstrație.** Vom argumenta prin inducție, după numărul de arbori de adâncime găsiți în timpul căutării în adâncime a lui  $G^T$ , că vîrfurile din fiecare arbore formează o componentă tare conexă. Fiecare pas al demonstrației inducțive demonstrează că un arbore format în timpul căutării în adâncime a lui  $G^T$  este o componentă tare conexă, presupunând că toți arborii produși înainte sunt componente tare conexe. Baza pentru această inducție este trivială, din moment ce pentru primul arbore rezultat nu există arbori anteriori, și de aici presupunerea este evident adevărată.

Să considerăm un arbore de adâncime  $T$  cu rădăcina  $r$  rezultat în timpul căutării în adâncime a lui  $G^T$ . Vom nota cu  $C(r)$  mulțimea vîrfurilor cu strămoșul  $r$ :

$$C(r) = \{v \in V : \phi(v) = r\}.$$

Vom demonstra acum că un vîrf  $u$  este plasat în  $T$  dacă și numai dacă  $u \in C(r)$ .

$\Leftarrow$ : Teorema 23.13 implică faptul că fiecare vîrf din  $C(r)$  ajunge în același arbore de adâncime. Deoarece  $r \in C(r)$  și  $r$  este rădăcina lui  $T$ , fiecare element al lui  $C(r)$  ajunge în  $T$ .

$\Rightarrow$ : Vom arăta că orice vîrf  $w$ , astfel încât  $f[\phi(w)] > f[r]$  sau  $f[\phi(w)] < f[r]$ , nu este plasat în  $T$ , considerând aceste două cazuri separat. Prin inducție după numărul de arbori găsiți, orice vîrf  $w$ , astfel încât  $f[\phi(w)] > f[r]$ , nu este plasat în arborele  $T$ , deoarece, la momentul când  $r$  este selectat,  $w$  va fi fost deja pus în arborele cu rădăcina  $\phi(w)$ . Orice vîrf  $w$ , astfel încât  $f[\phi(w)] < f[r]$ , nu poate fi plasat în  $T$ , deoarece o astfel de plasare ar implica  $w \sim r$ . Astfel, din formula (23.3) și din proprietatea că  $r = \phi(r)$ , obținem că  $f[\phi(w)] \geq f[\phi(r)] = f[r]$ , ceea ce contrazice  $f[\phi(w)] < f[r]$ .

De aceea,  $T$  conține doar acele vîrfuri  $u$  pentru care  $\phi(u) = r$ . Cu alte cuvinte,  $T$  este identic cu componenta tare conexă  $C(r)$ , ceea ce completează demonstrația inducțivă. ■

## Exerciții

**23.5-1** Cum se schimbă numărul componentelor tare conexe ale unui graf dacă este adăugată o nouă muchie?

**23.5-2** Arătați cum lucrează procedura COMPONENTE-TARE-CONEXE pe graful din figura 23.6. Mai exact, determinați timpii de terminare calculați în linia 1 și pădurea produsă de linia 3. Presupuneți că bucla din liniile 5–7 a CA consideră vîrfurile în ordine alfabetică și că listele de adjacență sunt în ordine alfabetică.

**23.5-3** Profesorul Deaver pretinde că algoritmul pentru determinarea componentelor tare conexe poate fi simplificat, folosind graful original (în locul celui transpus) în cea de-a doua căutare în adâncime și parcurgând vîrfurile în ordinea *cresc toare* a timpilor de terminare. Are dreptate profesorul?

**23.5-4** Notăm **graful componentelor** lui  $G = (V, E)$  cu  $G^{CTC} = (V^{CTC}, E^{CTC})$ , unde  $V^{CTC}$  conține un vîrf pentru fiecare componentă tare conexă a lui  $G$  și  $E^{CTC}$  conține o muchie  $(u, v)$  dacă există o muchie orientată de la un vîrf din componenta tare conexă a lui  $G$  corespunzătoare lui  $u$  la un vîrf din componenta tare conexă a lui  $G$  corespunzătoare lui  $v$ . În figura 23.9(c) este prezentat un exemplu. Demonstrați că  $G^{CTC}$  este un graf orientat aciclic.

**23.5-5** Elaborați un algoritm care să ruleze într-un timp  $O(V + E)$  și care să calculeze graful componentelor unui graf orientat  $G = (V, E)$ . Asigurați-vă că există, cel mult, o muchie între două vârfuri în graful componentelor pe care îl determină algoritmul vostru.

**23.5-6** Dat fiind un graf orientat  $G = (V, E)$ , explicați cum se poate crea un alt graf  $G' = (V, E')$ , astfel încât (a)  $G'$  are aceleași componente tare conexe ca  $G$ , (b)  $G'$  are același graf al componentelor ca  $G$ , și (c)  $E'$  este cât mai mică posibil. Elaborați un algoritm rapid pentru determinarea lui  $G'$ .

**23.5-7** Un graf orientat  $G = (V, E)$  se numește **semiconex** dacă, pentru toate perechile de vârfuri  $u, v \in V$ , avem  $u \rightsquigarrow v$  sau  $v \rightsquigarrow u$ . Elaborați un algoritm eficient pentru a determina dacă  $G$  este sau nu semiconex. Demonstrați că algoritmul vostru este corect și analizați timpul său de execuție.

## Probleme

### 23-1 Clasificarea muchiilor în funcție de căutarea în lățime

O pădure de adâncime clasifică muchiile unui graf în muchii de arbore, înapoi, înainte și transversale. Un arbore de lățime poate fi folosit, de asemenea, pentru a clasifica muchiile accesibile din sursa căutării în aceleași patru categorii.

a. Demonstrați că într-o căutare în lățime într-un graf neorientat, următoarele proprietăți sunt adevărate:

1. Nu există muchii înapoi sau muchii înainte.
2. Pentru orice muchie  $(u, v)$ , avem  $d[v] = d[u] + 1$ .
3. Pentru orice muchie transversală  $(u, v)$ , avem  $d[v] = d[u]$  sau  $d[v] = d[u] + 1$ .

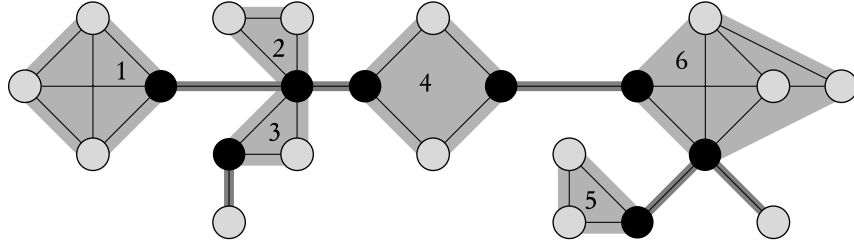
b. Demonstrați că într-o căutare în lățime într-un graf orientat, următoarele proprietăți sunt adevărate:

1. Nu există muchii înainte.
2. Pentru orice muchie de arbore  $(u, v)$ , avem  $d[v] = d[u] + 1$ .
3. Pentru orice muchie transversală  $(u, v)$ , avem  $d[v] \leq d[u] + 1$ .
4. Pentru orice muchie înapoi  $(u, v)$ , avem  $0 \leq d[v] < d[u]$ .

### 23-2 Puncte de articulație, punți și componente biconexe

Fie  $G = (V, E)$  un graf neorientat, conex. Un **punct de articulație** al lui  $G$  este un vârf a căruia eliminare face ca  $G$  să-și piardă proprietatea de conexitate. O **punte** este o muchie a cărei eliminare face ca  $G$  să-și piardă proprietatea de conexitate. O **componentă biconexă** a lui  $G$  este o mulțime maximală de muchii, astfel încât oricare două muchii fac parte dintr-un ciclu simplu comun. Figura 23.10 ilustrează aceste definiții. Putem determina puncte de articulație, punți și componente biconexe folosind căutarea în adâncime. Fie  $G_\pi = (V, E_\pi)$  un arbore de adâncime al lui  $G$ .

a. Demonstrați că rădăcina lui  $G_\pi$  este un punct de articulație al lui  $G$  dacă și numai dacă are cel puțin doi descendenti în  $G_\pi$ .



**Figura 23.10** Punctele de articulație, punctile și componentele biconexe ale unui graf neorientat, conex, pentru a fi folosite în problema 23-2. Punctele de articulație sunt vîrfurile de culoare neagră, punctile sunt muchiile de culoare gri închis, iar componentele biconexe sunt muchiile din zonele de culoare gri deschis, împreună cu care este prezentată și o numerotare a lor.

**b.** Fie  $v$  un vîrf al lui  $G_\pi$  care nu este rădâcina acestuia. Demonstrați că  $v$  este un punct de articulație al lui  $G$  dacă și numai dacă  $v$  are un descendant  $s$ , astfel încât nu există nici o muchie înapoi de la  $s$  sau orice descendant al lui  $s$  la un strămoș nedegenerat al lui  $v$ .

**c.** Fie

$$jos[v] = \min \left\{ \begin{array}{l} d[v], \\ \{d[w] : (u, w) \text{ este o muchie înapoi pentru un descendant} \\ \text{oarecare } u \text{ al lui } v\}. \end{array} \right.$$

Arătați cum se poate calcula  $jos[v]$  pentru toate vîrfurile  $v \in V$  într-un timp  $O(E)$ .

**d.** Arătați cum se pot determina toate punctele de articulație într-un timp  $O(E)$ .

**e.** Demonstrați că o muchie a lui  $G$  este o punte dacă și numai dacă nu face parte dintr-un ciclu simplu al lui  $G$ .

**f.** Arătați cum se pot determina toate punctile lui  $G$  într-un timp  $O(E)$ .

**g.** Demonstrați următoarea afirmație: Componentele biconexe ale lui  $G$  partaționează muchiile lui  $G$  care nu sunt punți.

**h.** Elaborați un algoritm care să ruleze într-un timp  $O(E)$  care să eticheteze fiecare muchie  $e$  a lui  $G$  cu un număr pozitiv  $cb[e]$  astfel încât  $cb[e] = cb[e']$  dacă și numai dacă  $e$  și  $e'$  fac parte din aceeași componentă biconexă.

### 23-3 Tur Euler

Un **tur Euler** al unui graf orientat, conex  $G = (V, E)$  este un ciclu care traversează fiecare muchie a lui  $G$  exact o dată, deși s-ar putea ca un vîrf să fie vizitat de mai multe ori.

**a.** Arătați că  $G$  are un tur Euler dacă și numai dacă  $\text{grad-interior}(v) = \text{grad-exterior}(v)$  pentru orice vîrf  $v \in V$ .

**b.** Elaborați un algoritm care să ruleze într-un timp  $O(E)$  și care să determine un tur Euler al lui  $G$  dacă el există. (*Indica ie: uniți ciclurile cu muchii disjuncte.*)

---

## Note bibliografice

Even [65] și Tarjan [188] constituie referințe excelente pentru algoritmi de grafuri.

Căutarea în lățime a fost descoperită de către Moore [150] în contextul căutării de drumuri în labirinturi. Lee [134] a descoperit, în mod independent, același algoritm în contextul stabilirii traseelor firelor de pe plăcile de circuite.

Hopcroft și Tarjan [102] au argumentat folosirea reprezentării prin liste de adiacență în defavoarea reprezentării prin matrice de adiacență, pentru grafurile rare, și au fost primii care au recunoscut importanța algoritmică a căutării în adâncime. Căutarea în adâncime a fost folosită pe scară largă începând cu sfârșitul anilor '50, în special în programele din domeniul inteligenței artificiale.

Tarjan [185] a elaborat un algoritm liniar pentru determinarea componentelor tare conexe. Algoritmul pentru componente tare conexe din secțiunea 23.5 este adaptat din Aho, Hopcroft și Ullman [5], care îl atribuie lui S. R. Kosaraju și M. Sharir. Knuth [121] a fost primul care a dat un algoritm liniar pentru sortarea topologică.

---

## 24 Arbori de acoperire minimi

În proiectarea circuitelor electronice, este de multe ori necesar să facem pinii mai mulțor componente echivalenți electronic, conectându-i împreună. Pentru interconectarea unei multimi de  $n$  pinii, putem folosi un aranjament de  $n - 1$  fir, fiecare conectând doi pini. Dintre toate aceste aranjamente, cel care folosește cantitatea cea mai mică de fir este de obicei cel mai dezirabil.

Putem modela această problemă a conectării folosind un graf neorientat, conex  $G = (V, E)$ , unde  $V$  este multimea pinilor, iar  $E$  este multimea interconectărilor posibile între perechile de pinii, și, pentru fiecare pereche de pini  $(u, v) \in E$ , avem un cost  $w(u, v)$  specificând cantitatea de fir necesară pentru conectarea lui  $u$  și  $v$ . Dorim, apoi, să găsim o submultime aciclică  $T \subseteq E$  care conectează toate vârfurile și al cărei cost total

$$w(T) = \sum_{(u,v) \in T} w(u, v)$$

este minimizat. Deoarece multimea  $T$  este aciclică și conectează toate vârfurile, ea trebuie să formeze un arbore, pe care îl vom numi **arbore de acoperire**<sup>1</sup> deoarece “acoperă” graful  $G$ . Problema determinării arborelui  $T$  o vom numi **problema arborelui de acoperire minim**.<sup>2</sup> Figura 24.1 prezintă un exemplu de graf conex împreună cu arborele său minim de acoperire.

În acest capitol vom examina doi algoritmi pentru rezolvarea problemei arborelui parțial de acoperire minim: algoritmul lui Kruskal și algoritmul lui Prim. Fiecare poate fi determinat ușor să ruleze într-un timp de ordinul  $O(E \lg V)$  folosind heap-uri binare obișnuite. Folosind heap-uri Fibonacci, algoritmul lui Prim poate fi optimizat pentru a rula într-un timp de ordinul  $O(E + V \lg V)$ , care este o îmbunătățire dacă  $|V|$  este mult mai mic decât  $|E|$ .

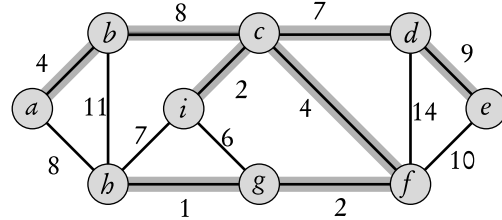
Cei doi algoritmi ilustrează, de asemenea, o metodă euristică pentru optimizare, numită strategia “greedy”. La fiecare pas al algoritmului, trebuie făcută una dintre alegerile posibile. Strategia greedy susține faptul că trebuie făcută alegerea care este cea mai bună la momentul dat. În general, o astfel de strategie nu garantează obținerea unei soluții optime global pentru o anumită problemă. Totuși, pentru problema arborelui de acoperire minim, putem demonstra că anumite strategii greedy produc un arbore de acoperire de cost minim. Strategiile greedy sunt discutate pe larg în capitolul 17. Deși prezentul capitol poate fi citit independent de capitolul 17, metodele greedy prezentate în acest capitol sunt aplicații clasice ale noțiunilor teoretice introduse acolo.

Secțiunea 24.1 introduce un algoritm “generic” de arbore de acoperire minim, care dezvoltă arborele de acoperire adăugând o muchie o dată. Secțiunea 24.2 prezintă două moduri de implementare a algoritmului generic. Primul algoritm, datorat lui Kruskal, este similar cu algoritmul de componente conexe din secțiunea 22.1. Cel de-al doilea algoritm, datorat lui Prim, este similar cu algoritmul lui Dijkstra pentru drumuri de lungime minimă (secțiunea 25.2).

---

<sup>1</sup>În literatura de specialitate în limba română se folosește uneori și termenul de “arbore parțial” – n. t.

<sup>2</sup>Expresia “arbore de acoperire minim” este o formă prescurtată pentru “arbore de acoperire de cost minim”. De exemplu, nu minimizăm numărul de muchii din  $T$ , deoarece toți arborii de acoperire au exact  $|V| - 1$  muchii, conform teoremei 5.2.



**Figura 24.1** Un arbore de acoperire minim pentru un graf conex. Sunt prezentate costurile muchiilor, iar muchiile arborelui de acoperire minim sunt hașurate cu gri. Costul total al arborelui prezentat este 37. Arborele nu este unic: dacă eliminăm muchia  $(b, c)$  și o înlocuim cu muchia  $(a, h)$ , obținem un alt arbore de acoperire de cost 37.

## 24.1. Dezvoltarea unui arbore de acoperire minim

Să presupunem că avem un graf neorientat, conex  $G = (V, E)$  cu o funcție de cost  $w : E \rightarrow \mathbb{R}$  și dorim să găsim un arbore de acoperire minim pentru  $G$ . Cei doi algoritmi, pe care îi prezentăm în acest capitol, folosesc o abordare greedy a problemei, deși diferă prin modul în care implementează această abordare.

Această strategie greedy este implementată de următorul algoritm “generic”, care dezvoltă arborele de acoperire minim adăugând o muchie o dată. Algoritmul folosește o mulțime  $A$  care este întotdeauna o submulțime a unui arbore de acoperire minim. La fiecare pas este determinată o muchie  $(u, v)$ , care poate fi adăugată la  $A$ , respectând proprietatea de mai sus, în sensul că  $A \cup \{(u, v)\}$  este, de asemenea, o submulțime a unui arbore de acoperire minim. Numim o astfel de muchie o **muchie sigură** pentru  $A$ , deoarece poate fi adăugată, în siguranță, mulțimii  $A$ , respectând proprietatea de mai sus.

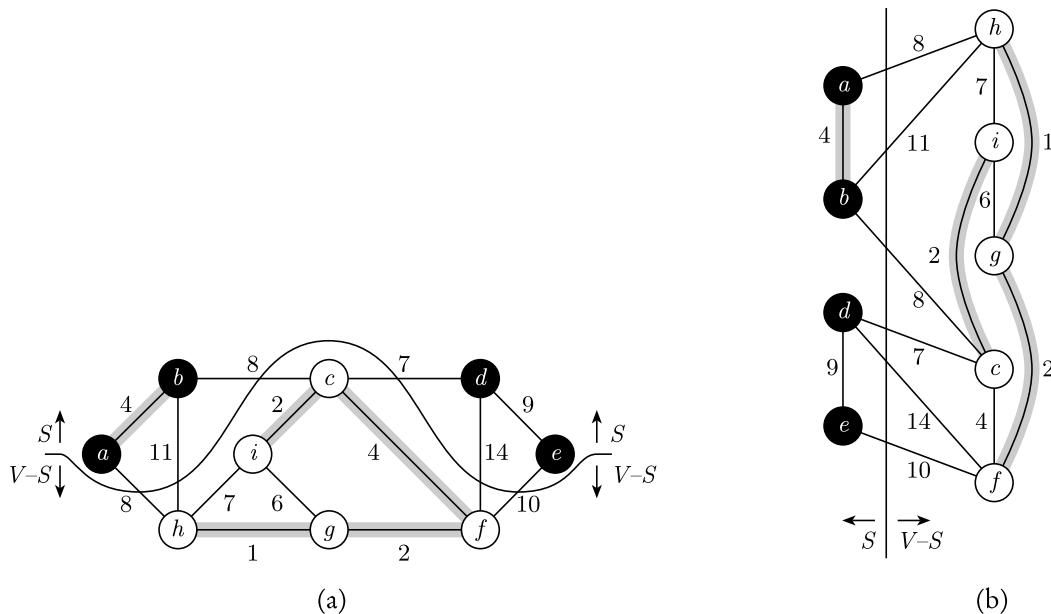
AAM-GENERIC( $G, w$ )

- 1:  $A \leftarrow \emptyset$
- 2: **cât timp**  $A$  nu formează un arbore de acoperire **execută**
- 3:   găsește o muchie  $(u, v)$  care este sigură pentru  $A$
- 4:    $A \leftarrow A \cup \{(u, v)\}$
- 5: **returnează**  $A$

Observați că, după linia 1, mulțimea  $A$  satisfacă, într-un mod trivial, condiția ca ea să fie o submulțime a arborelui de acoperire minim. Bucla din liniile 2–4 menține condiția. De aceea, când mulțimea  $A$  este returnată în linia 5, ea trebuie să fie un arbore minim de acoperire. Partea mai dificilă este, desigur, găsirea unei muchii sigure în linia 3. Una trebuie să existe, deoarece, atunci când linia 3 este executată, condiția dictează faptul că există un arbore de acoperire minim  $T$ , astfel încât  $A \subseteq T$ , și, dacă există o muchie  $(u, v) \in T$ , astfel încât  $(u, v) \notin A$ , atunci  $(u, v)$  este sigură pentru  $A$ .

În ceea ce urmează, vom da o regulă (teorema 24.1) pentru a recunoaște muchiile sigure. Următoarea secțiune descrie doi algoritmi care folosesc această regulă pentru a găsi eficient muchiile sigure.

În primul rând, avem nevoie de câteva definiții. O **tăietură**  $(S, V - S)$  a unui graf neorientat



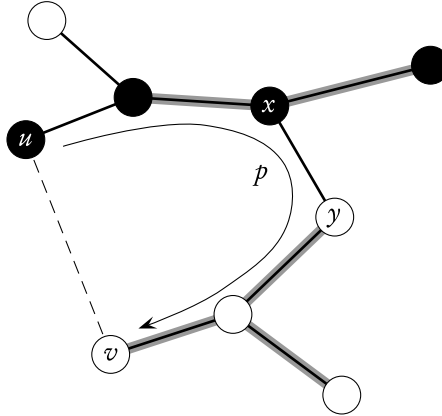
**Figura 24.2** Două moduri de a privi o tăietură  $(S, V - S)$  a grafului din figura 24.1. **(a)** Vârfurile din multimea  $S$  sunt colorate cu negru, iar cele din  $V - S$  cu alb. Muchiile care traversează tăietura sunt cele care unesc vârfurile albe cu cele negre. Muchia  $(d, c)$  este unică muchie usoară care traversează tăietura. O submultime de muchii  $A$  este hașurată cu gri. Observați că tăietura  $(S, V - S)$  respectă multimea  $A$ , deoarece nici o muchie din  $A$  nu traversează tăietura. **(b)** Același graf cu vârfurile din multimea  $S$  dispuse pe partea stângă și cele din multimea  $V - S$  în dreapta. O muchie traversează tăietura dacă unește un vârf din stânga cu un vârf din dreapta.

$G = (V, E)$  este o partiție a lui  $V$ . Figura 24.2 ilustrează această noțiune. Spunem că o muchie  $(u, v) \in E$  traversează tăietura  $(S, V - S)$  dacă unul din punctele sale terminale este în  $S$ , și celălalt în  $V - S$ . Spunem că o tăietură respectă mulțimea de muchii  $A$  dacă nici o muchie din  $A$  nu traversează tăietura. O muchie este o **muchie ușoară** care traversează o tăietură dacă are costul minim dintre toate muchiile care traversează tăietura. Observați că pot exista mai multe muchii ușoare care traversează o tăietură în cazul în care ele au costuri egale. Generalizând, spunem că o muchie este o **muchie ușoară** care satisfac o proprietate dată dacă are costul minim dintre toate muchiile care satisfac acea proprietate.

Regula noastră pentru recunoașterea muchiilor sigure este dată de următoarea teoremă.

**Teorema 24.1** Fie  $G = (V, E)$  un graf neorientat, conex cu o funcție de cost  $w$  cu valori reale, definită pe  $E$ . Fie  $A$  o submulțime a lui  $E$  care este inclusă într-un arbore de acoperire minim al lui  $G$ , fie  $(S, V - S)$  orice tăietură a lui  $G$  care respectă mulțimea  $A$  și fie  $(u, v)$  o muchie ușoară care travesează tăietura  $(S, V - S)$ . Atunci muchia  $(u, v)$  este sigură pentru  $A$ .

**Demonstrație.** Fie  $T$  un arbore minim de acoperire care include multimea  $A$ . Să presupunem că  $T$  nu conține muchia ușoară  $(u, v)$ , deoarece, dacă o conține, demonstrația este gata. Vom construi un alt arbore minim de acoperire  $T'$  care include multimea  $A \cup \{(u, v)\}$  folosind o tehnică de tăiere și lipire, arătând astfel că  $(u, v)$  este o muchie sigură pentru  $A$ .



**Figura 24.3** Demonstrația teoremei 24.1. Vârfurile din  $S$  sunt negre, iar cele din  $V - S$  sunt albe. Muchiile din arborele de acoperire minim  $T$  sunt prezentate, însă muchiile din graful  $G$  nu. Muchiile din  $A$  sunt hașurate cu gri, iar  $(u, v)$  este o muchie ușoară care traversează tăietura  $(S, V - S)$ . Muchia  $(x, y)$  este o muchie pe drumul unic  $p$ , de la  $u$  la  $v$ , din arborele  $T$ . Un arbore minim de acoperire  $T'$  care conține  $(u, v)$  este format eliminând muchia  $(x, y)$  din  $T$  și adăugând muchia  $(u, v)$ .

Muchia  $(u, v)$  formează un ciclu cu muchiile de pe drumul  $p$ , de la  $u$  la  $v$ , din arborele  $T$ , după cum se vede în figura 24.3. Deoarece  $u$  și  $v$  se află în părți opuse ale tăieturii  $(S, V - S)$ , există, cel puțin, o muchie din  $T$  pe drumul  $p$ , care traversează, de asemenea, tăietura. Fie  $(x, y)$  orice astfel de muchie. Muchia  $(x, y)$  nu se află în  $A$  pentru că tăietura respectă mulțimea  $A$ . Deoarece  $(x, y)$  se află pe unicul drum de la  $u$  la  $v$  din arborele  $T$ , eliminarea lui  $(x, y)$  îl rupe pe  $T$  în două componente. Adăugarea muchiei  $(u, v)$  le reconectează pentru a forma un nou arbore de acoperire  $T' = T - \{(x, y)\} \cup \{(u, v)\}$ .

Vom arăta, acum, că  $T'$  este un arbore de acoperire minim. Deoarece  $(u, v)$  este o muchie ușoară care traversează  $(S, V - S)$  și  $(x, y)$  traversează, de asemenea, această tăietură, rezultă că  $w(u, v) \leq w(x, y)$ . De aceea,

$$w(T') = w(T) - w(x, y) + w(u, v) \leq w(T).$$

Dar  $T$  este un arbore de acoperire minim, astfel încât  $w(T) \leq w(T')$ ; astfel,  $T'$  este, de asemenea, un arbore de acoperire minim.

Mai rămâne de arătat că  $(u, v)$  este, într-adevăr, o muchie sigură pentru  $A$ . Avem  $A \subseteq T'$ , deoarece  $A \subseteq T$  și  $(x, y) \notin A$ . Astfel,  $A \cup \{(u, v)\} \subseteq T'$ . În concluzie, deoarece  $T'$  este un arbore minim de acoperire,  $(u, v)$  este o muchie sigură pentru  $A$ . ■

Teorema 24.1 ne ajută să înțelegem, mai bine, modul de lucru al algoritmului AAM-GENERIC pe un graf conex  $G = (V, E)$ . Când algoritmul începe, mulțimea  $A$  este întotdeauna aciclică. Altfel, un arbore de acoperire minim care îl include pe  $A$  ar conține un ciclu, ceea ce este o contradicție. În orice moment al execuției algoritmului, graful  $G_A = (V, A)$  este o pădure și fiecare din componentele conexe ale lui  $G_A$  este un arbore. (Unii arbori pot conține doar un singur vârf, cum se întâmplă în momentul în care algoritmul începe:  $A$  este vidă și pădurea conține  $|V|$  arbori, câte unul pentru fiecare vârf.) Mai mult, orice muchie  $(u, v)$  sigură pentru  $A$  unește componentele distincte ale lui  $G_A$ , deoarece mulțimea  $A \cup \{(u, v)\}$  trebuie să fie aciclică.

Bucla din liniile 2–4 ale algoritmului AAM-GENERIC este executată de  $|V| - 1$  ori deoarece fiecare din cele  $|V| - 1$  muchii ale arborelui minim de acoperire este determinată succesiv. Inițial, când  $A = \emptyset$ , există  $|V|$  arbori în  $G_A$  și fiecare iterație reduce acest număr cu 1. Când pădurea conține doar un singur arbore, algoritmul se termină.

Cei doi algoritmi din secțiunea 24.2 folosesc următorul corolar la teorema 24.1.

**Corolarul 24.2** Fie  $G = (V, E)$  un graf neorientat conex, cu o funcție de cost  $w$  având valori reale, definită pe  $E$ . Fie  $A$  o submulțime a lui  $E$  care este inclusă într-un arbore minim de acoperire al lui  $G$ , și fie  $C$  o componentă conexă (arbore) din pădurea  $G_A = (V, A)$ . Dacă  $(u, v)$  este o muchie ușoară care unește componenta  $C$  cu o altă componentă din  $G_A$ , atunci  $(u, v)$  este sigură pentru  $A$ .

**Demonstrație.** Tăietura  $(C, V - C)$  respectă mulțimea  $A$ , și, de aceea,  $(u, v)$  este o muchie ușoară pentru această tăietură. ■

## Exerciții

**24.1-1** Fie  $(u, v)$  o muchie de cost minim dintr-un graf  $G$ . Demonstrați că  $(u, v)$  aparține unui arbore minim de acoperire al lui  $G$ .

**24.1-2** Profesorul Sabatier formulează următoarea reciprocă a teoremei 24.1: fie  $G = (V, E)$  un graf neorientat, conex cu o funcție de cost  $w$  având valori reale, definită pe  $E$ . Fie  $A$  o submulțime a lui  $E$  care este inclusă într-un arbore minim de acoperire oarecare al lui  $G$ , fie  $(S, V - S)$  orice tăietură a lui  $G$  care respectă mulțimea  $A$  și fie  $(u, v)$  o muchie sigură pentru  $A$  care traversează  $(S, V - S)$ . Atunci  $(u, v)$  este o muchie ușoară pentru tăietura respectivă. Arătați, dând un contraexemplu, că această reciprocă nu este adevărată.

**24.1-3** Arătați că, dacă o muchie  $(u, v)$  este conținută într-un arbore minim de acoperire, atunci ea este o muchie ușoară care traversează o tăietură oarecare a grafului.

**24.1-4** Dați un exemplu simplu de graf, astfel încât mulțimea tuturor muchiilor ușoare care traversează o tăietură oarecare din graf nu formează un arbore minim de acoperire.

**24.1-5** Fie  $e$  o muchie de cost maxim dintr-un ciclu al grafului  $G = (V, E)$ . Demonstrați că există un arbore minim de acoperire al lui  $G' = (V, E - \{e\})$  care este, de asemenea, un arbore minim de acoperire pentru  $G$ .

**24.1-6** Arătați că un graf are un arbore minim de acoperire unic dacă, pentru fiecare tăietură a grafului, există o unică muchie ușoară care traversează tăietura. Arătați, dând un contraexemplu, că reciproca nu este adevărată.

**24.1-7** Argumentați faptul că, dacă toate costurile muchiilor unui graf sunt pozitive, atunci orice submulțime de muchii care conectează toate vârfurile și are un cost total minim este un arbore. Dați un exemplu pentru a arăta că aceeași concluzie nu este adevărată dacă acceptăm și costuri negative.

**24.1-8** Fie  $T$  un arbore minim de acoperire al unui graf  $G$  și fie  $L$  lista ordonată a costurilor muchiilor din  $T$ . Arătați că, pentru orice alt arbore minim de acoperire  $T'$  al lui  $G$ , lista  $L$  este, de asemenea, lista ordonată a costurilor muchiilor lui  $T'$ .

**24.1-9** Fie  $T$  un arbore minim de acoperire al unui graf  $G = (V, E)$  și fie  $V'$  o submulțime a lui  $V$ . Fie  $T'$  subgraful lui  $T$  inducă de  $V'$  și fie  $G'$  subgraful lui  $G$  inducă de  $V'$ . Arătați că, dacă  $T'$  este conex, atunci  $T'$  este un arbore minim de acoperire al lui  $G'$ .

## 24.2. Algoritmii lui Kruskal și Prim

Cei doi algoritmi pentru determinarea unui arbore de acoperire minim descriși în această secțiune sunt rafinări ale algoritmului generic. Fiecare folosește o regulă specifică pentru determinarea unei muchii sigure din linia 3 a algoritmului AAM-GENERIC. În algoritmul lui Kruskal, mulțimea  $A$  este o pădure. Muchia sigură adăugată la  $A$  este, întotdeauna, o muchie de cost minim din graf care unește două componente distincte. În algoritmul lui Prim, mulțimea  $A$  formează un singur arbore. Muchia sigură adăugată la  $A$  este, întotdeauna, o muchie de cost minim care unește arborele cu un vârf care nu se află în el.

### Algoritmul lui Kruskal

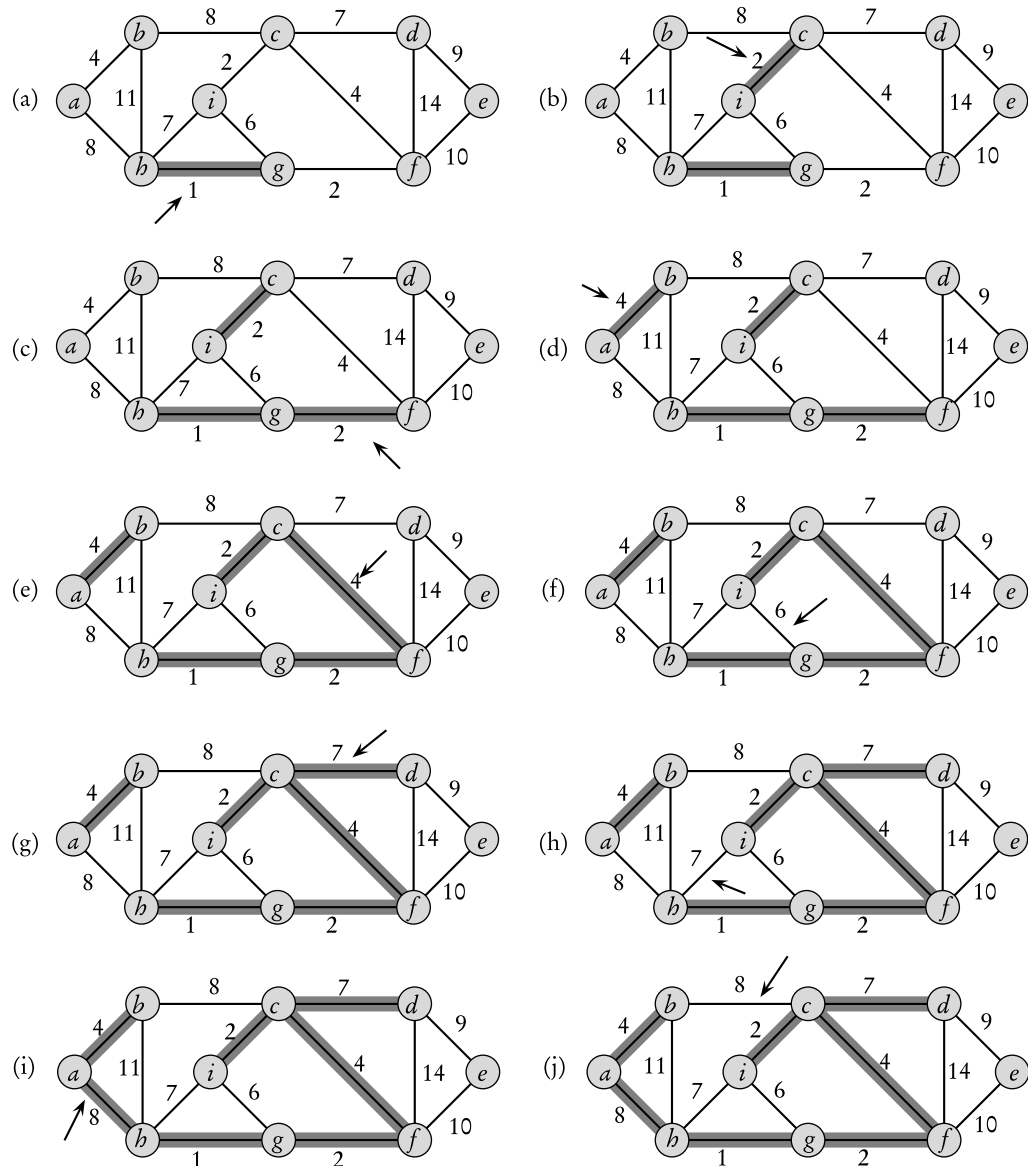
Algoritmul lui Kruskal se bazează, direct, pe algoritmul generic pentru determinarea unui arbore minim de acoperire, prezentat în secțiunea 24.1. Algoritmul găsește o muchie sigură, pentru a o adăuga la pădurea dezvoltată, căutând muchia  $(u, v)$  de cost minim dintre toate muchiile care unesc doi arbori din pădurea respectivă. Fie  $C_1$  și  $C_2$  cei doi arbori care sunt uniți de muchia  $(u, v)$ . Deoarece  $(u, v)$  trebuie să fie o muchie ușoară care unește pe  $C_1$  cu un alt arbore, corolarul 24.2 implică faptul că  $(u, v)$  este o muchie sigură pentru  $C_1$ . Algoritmul lui Kruskal este un algoritm greedy pentru că la fiecare pas adaugă păduri o muchie cu cel mai mic cost posibil.

Această implementare a algoritmului lui Kruskal se asemănă cu cea a algoritmului pentru calcularea componentelor conexe din secțiunea 22.1. Este folosită o structură de date pentru mulțimi disjuncte pentru reprezentarea mai multor mulțimi de elemente disjuncte. Fiecare mulțime conține vârfurile unui arbore din pădurea curentă. Funcția  $\text{GĂSEȘTE-MULȚIME}(u)$  returnează un element reprezentativ din mulțimea care îl conține pe  $u$ . Astfel, putem determina dacă două vârfuri  $u$  și  $v$  aparțin același arbore testând dacă  $\text{GĂSEȘTE-MULȚIME}(u)$  este egal cu  $\text{GĂSEȘTE-MULȚIME}(v)$ . Combinarea arborilor este realizată de procedura  $\text{UNEȘTE}$ .

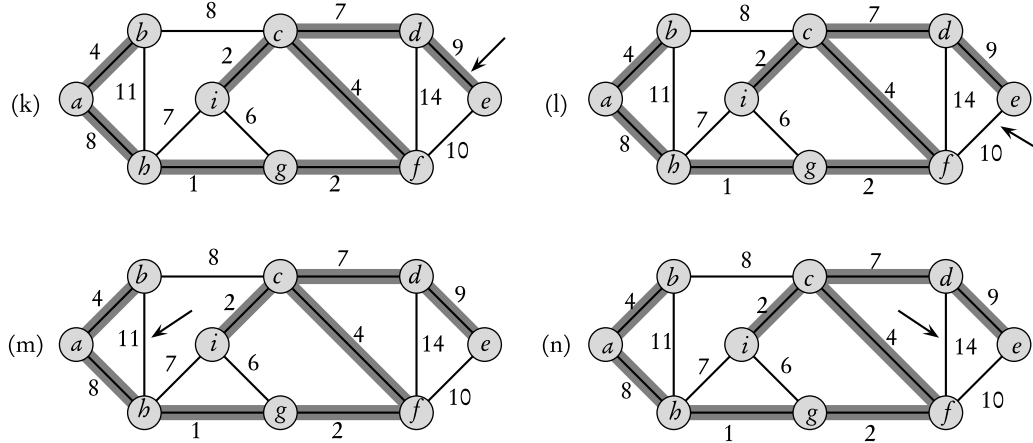
**AAM-KRUSKAL( $G, w$ )**

- 1:  $A \leftarrow \emptyset$ .
- 2: **pentru** fiecare vârf  $v \in V[G]$  **execută**
- 3:     **FORMEAZĂ-MULȚIME**( $v$ )
- 4:     sortează muchiile din  $E$  în ordinea crescătoare a costului  $w$
- 5: **pentru** fiecare muchie  $(u, v) \in E$ , în ordinea crescătoare a costului **execută**
- 6:     **dacă**  $\text{GĂSEȘTE-MULȚIME}(u) \neq \text{GĂSEȘTE-MULȚIME}(v)$  **atunci**
- 7:          $A \leftarrow A \cup \{(u, v)\}$
- 8:         **UNEȘTE**( $u, v$ )
- 9: **returnează**  $A$

Modul de lucru al algoritmului lui Kruskal este prezentat în figura 24.4. Liniile 1–3 inițializează mulțimea  $A$  cu mulțimea vidă și creează  $|V|$  arbori, unul pentru fiecare vârf. Muchiile



**Figura 24.4** Execuția algoritmului lui Kruskal pe graful din figura 24.1. Muchiile hașurate aparțin pădurii  $A$  care este dezvoltată. Muchiile sunt luate în considerare în ordinea crescătoare a costurilor. O săgeată arată muchia care este luată în considerare la fiecare pas al algoritmului. Dacă muchia unește doi arbori distincți din pădure, ea este adăugată la pădure, unind astfel cei doi arbori.



din  $E$  sunt ordonate crescător după cost, în linia 4. Bucla **pentru** din liniile 5–8 verifică, pentru fiecare muchie  $(u, v)$ , dacă punctele terminale  $u$  și  $v$  aparțin aceluiași arbore. Dacă fac parte din același arbore, atunci muchia  $(u, v)$  nu poate fi adăugată la pădure fără a se forma un ciclu și ea este abandonată. Altfel, cele două vârfuri aparțin unor arbori diferenți, și muchia  $(u, v)$  este adăugată la  $A$  în linia 7, vâfurile din cei doi arbori fiind reunite în linia 8.

Timpul de execuție al algoritmului lui Kruskal pentru un graf  $G = (V, E)$  depinde de implementarea structurilor de date pentru mulțimi disjuncte. Vom presupune că se folosește implementarea de pădure cu mulțimi distințe, din secțiunea 22.3, cu tehnici euristice de uniune după rang și de comprimare a drumului, deoarece este cea mai rapidă implementare cunoscută, din punct de vedere asymptotic. Inițializarea se face într-un timp de ordinul  $O(V)$ , iar timpul necesar pentru sortarea muchiilor în linia 4 este de ordinul  $O(E \lg E)$ . Există  $O(E)$  operații pe pădurea cu mulțimi distințe, care necesită un timp total de ordinul  $O(E \alpha(E, V))$ , unde  $\alpha$  este inversa funcției lui Ackermann definită în secțiunea 22.4. Deoarece  $\alpha(E, V) = O(\lg E)$ , timpul total de execuție pentru algoritmul lui Kruskal este de ordinul  $O(E \lg E)$ .

### Algoritmul lui Prim

La fel ca algoritmul lui Kruskal, algoritmul lui Prim este un caz particular al algoritmului generic pentru determinarea unui arbore de acoperire minim prezentat în secțiunea 24.1. Modul de operare al algoritmului lui Prim se asemănă foarte mult cu modul de operare al algoritmului lui Dijkstra pentru determinarea drumurilor de lungime minimă dintr-un graf. (Vezi secțiunea 25.2.) Algoritmul lui Prim are proprietatea că muchiile din mulțimea  $A$  formează întotdeauna un singur arbore. Conform figurii 24.5, arboarele pornește dintr-un vârf arbitrar  $r$  și crește până când acoperă toate vâfurile din  $V$ . La fiecare pas, se adaugă arborelui o muchie ușoară care unește mulțimea  $A$  cu un vârf izolat din  $G_A = (V, A)$ . Din corolarul 24.2, această regulă adaugă numai muchii care sunt sigure pentru  $A$ . De aceea, când algoritmul se termină, muchiile din  $A$  formează un arbore minim de acoperire. Aceasta este o strategie “greedy”, deoarece arborelui îi este adăugată, la fiecare pas, o muchie care adaugă cel mai mic cost la costul total al arborelui.

Cheia implementării eficiente a algoritmului lui Prim este să procedăm în aşa fel încât să fie ușor să selectăm o nouă muchie pentru a fi adăugată la arboarele format de muchiile din  $A$ . În pseudocodul de mai jos, graful conex  $G$  și rădăcina  $r$  a arborelui minim de acoperire,

care urmează a fi dezvoltat, sunt private ca date de intrare pentru algoritm. În timpul execuției algoritmului, toate vârfurile care nu sunt în arbore se află într-o coadă de prioritate  $Q$  bazată pe un câmp  $cheie$ . Pentru fiecare vârf  $v$ ,  $cheie[v]$  este costul minim al oricărei muchii care îl unește pe  $v$  cu un vârf din arbore. Prin convenție,  $cheie[v] = \infty$  dacă nu există nici o astfel de muchie. Câmpul  $\pi[v]$  reține “părintele” lui  $v$  din arbore. În timpul algoritmului, multimea  $A$  din algoritmul AAM-GENERIC este păstrată implicit ca

$$A = \{(v, \pi[v]) : v \in V - \{r\} - Q\}.$$

Când algoritmul se termină, coada de prioritate  $Q$  este vidă. Arborele minim de acoperire  $A$  al lui  $G$  este astfel

$$A = \{(v, \pi[v]) : v \in V - \{r\}\}.$$

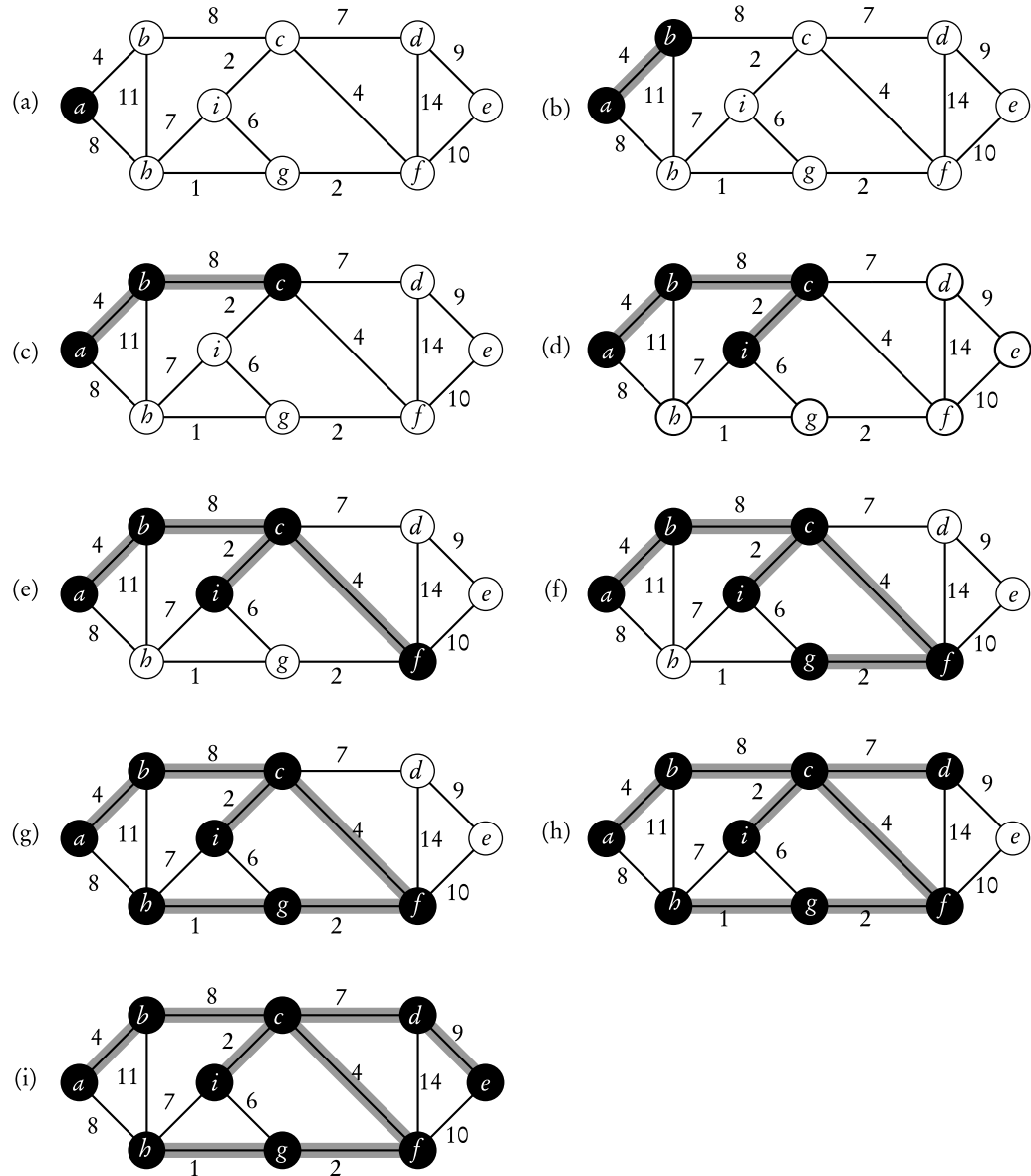
Modul de lucru al algoritmului lui Prim este prezentat în figura 24.5. În liniile 1–4 se inițializează coada de prioritate  $Q$ , astfel încât aceasta să conțină toate vârfurile și se inițializează câmpul  $cheie$  al fiecarui vârf cu  $\infty$ , exceptie facând rădăcina  $r$ , al cărei câmp  $cheie$  este inițializat cu 0. În linia 5 se inițializează  $\pi[r]$  cu NIL, deoarece rădăcina  $r$  nu are nici un părinte. Pe parcursul algoritmului, multimea  $V - Q$  conține vârfurile arborelui curent. În linia 7 este identificat un vârf  $u \in Q$  incident unei muchii ușoare care traversează tăietura  $(V - Q, Q)$  (cu excepția primei iterații, în care  $u = r$  datorită liniei 4). Eliminarea lui  $u$  din multimea  $Q$  îl adaugă pe acesta multumii  $V - Q$  a vârfurilor din arbore. În liniile 8–11 se actualizează câmpurile  $cheie$  și  $\pi$  ale fiecarui vârf  $v$  adjacente lui  $u$ , dar care nu se află în arbore. Actualizarea respectă condițiile  $cheie[v] = w(v, \pi[v])$ , și  $(v, \pi[v])$  să fie o muchie ușoară care îl unește pe  $v$  cu un vârf din arbore.

AAM-PRIM( $G, w, r$ )

- 1:  $Q \leftarrow V[G]$
- 2: **pentru** fiecare  $u \in Q$  **execută**
- 3:    $cheie[u] \leftarrow \infty$
- 4:    $cheie[r] \leftarrow 0$
- 5:    $\pi[r] \leftarrow \text{NIL}$
- 6: **cât timp**  $Q \neq \emptyset$  **execută**
- 7:    $u \leftarrow \text{EXTRAGE-MIN}(Q)$
- 8:   **pentru** fiecare  $v \in Adj[u]$  **execută**
- 9:     **dacă**  $v \in Q$  și  $w(u, v) < cheie[v]$  **atunci**
- 10:        $\pi[v] \leftarrow u$
- 11:        $cheie[v] \leftarrow w(u, v)$

Performanța algoritmului lui Prim depinde de modul în care implementăm coada de prioritate  $Q$ . Dacă  $Q$  este implementată folosind heap-uri binare (vezi capitolul 7), putem folosi procedura CONSTRUIEȘTE-HEAP pentru a executa inițializarea din liniile 1–4 într-un timp de ordinul  $O(V)$ . Bucla este executată de  $|V|$  ori și, deoarece fiecare procedură EXTRAGE-MIN are nevoie de un timp de ordinul  $O(\lg V)$ , timpul total pentru toate apelurile către EXTRAGE-MIN este  $O(V \lg V)$ . Bucla **pentru** din liniile 8–11 este executată în total de  $O(E)$  ori, deoarece suma tuturor listelor de adiacență este  $2|E|$ . În cadrul buclei **pentru**, testul pentru apartenența la  $Q$  din linia 9 poate fi implementat într-un timp constant, păstrând un bit pentru fiecare vârf, care ne spune dacă vârful respectiv se află în  $Q$  sau nu, și reactualizând bitul când vârful este eliminat din  $Q$ .

Atribuirea din linia 11 implică o procedură explicită MICȘOREAZĂ-CHEIE asupra heap-ului, care poate fi implementată în cadrul unui heap binar într-un timp de ordinul  $O(\lg V)$ . Astfel,



**Figura 24.5** Execuția algoritmului lui Prim pe graful din figura 24.1. Vârful rădăcină este *a*. Muchiile hașurate cu gri fac parte din arborele care este dezvoltat, iar vârfurile din arbore au culoarea neagră. La fiecare pas al algoritmului, vârfurile din arbore determină o tăietură a grafului, și o muchie ușoară care traversează tăietura este adăugată arborelui. În pasul al doilea, de exemplu, algoritmul are de ales între a adăuga arborelui fie muchia  $(b, c)$ , fie muchia  $(a, h)$ , deoarece ambele sunt muchii ușoare care traversează tăietura.

timpul total necesar pentru algoritmul lui Prim este  $O(V \lg V + E \lg V) = O(E \lg V)$ , care este același, din punct de vedere asimptotic, cu cel al algoritmului lui Kruskal.

Totuși, timpul asimptotic de execuție al algoritmului lui Prim poate fi îmbunătățit, folosind heap-uri Fibonacci. În capitolul 21 se arată că dacă  $|V|$  elemente sunt organizate în heap-uri Fibonacci, putem efectua o operație EXTRAGE-MIN într-un timp amortizat  $O(\lg V)$  și o operație MICȘOREAZĂ-CHEIE (pentru a implementa linia 11) într-un timp amortizat  $O(1)$ . De aceea, dacă folosim un ansamblu Fibonacci pentru a implementa coada de prioritate  $Q$ , timpul de rulare al algoritmului lui Prim se îmbunătățește ajungând la  $O(E + V \lg V)$ .

## Exerciții

**24.2-1** Algoritmul lui Kruskal poate returna arbori minimi de acoperire diferenți pentru același graf de intrare  $G$ , în funcție de modul în care muchiile având costuri egale sunt aranjate atunci când ele sunt ordonate. Arătați că, pentru fiecare arbore minim de acoperire  $T$  al unui graf  $G$ , există o ordonare a muchiilor lui  $G$ , astfel încât algoritmul lui Kruskal returnează  $T$ .

**24.2-2** Să presupunem că graful  $G = (V, E)$  este reprezentat printr-o matrice de adiacență. Dați o implementare simplă a algoritmului lui Prim pentru acest caz care rulează în timpul  $O(V^2)$ .

**24.2-3** Este implementarea folosind heap-uri Fibonacci mai rapidă asimptotic decât reprezentarea folosind heap-uri binare pentru un graf rar  $G = (V, E)$ , unde  $|E| = \Theta(V)$ ? Dar în cazul unui graf dens, unde  $|E| = \Theta(V^2)$ ? În ce relație trebuie să fie  $|E|$  și  $|V|$  pentru ca implementarea folosind heap-uri Fibonacci să fie mai rapidă decât implementarea folosind heap-uri binare?

**24.2-4** Să presupunem că toate muchiile dintr-un graf au costurile reprezentate prin numere întregi cuprinse între 1 și  $|V|$ . Cât de rapid poate deveni algoritmul lui Kruskal? Dar în cazul în care costurile muchiilor sunt întregi între 1 și  $W$ , unde  $W$  este o constantă dată?

**24.2-5** Presupuneți că toate muchiile dintr-un graf au costurile reprezentate prin numere întregi cuprinse între 1 și  $|V|$ . Cât de rapid poate deveni algoritmul lui Prim? Dar în cazul în care costurile muchiilor sunt întregi între 1 și  $W$ , unde  $W$  este o constantă dată?

**24.2-6** Descrieți un algoritm eficient care, dat fiind un graf neorientat  $G$ , determină un arbore de acoperire al lui  $G$  în care costul maxim al unei muchii este minim dintre toți arborii de acoperire ai lui  $G$ .

**24.2-7 \*** Să presupunem că într-un graf costurile muchiilor sunt uniform distribuite de-a lungul intervalului semideschis  $[0, 1)$ . Care algoritm poate deveni mai rapid, al lui Kruskal sau al lui Prim?

**24.2-8 \*** Să presupunem că un graf  $G$  are un arbore minim de acoperire deja calculat. Cât de rapid poate fi actualizat arboarele minim de acoperire dacă lui  $G$  i se adaugă un nou vârf și muchii incidente?

## Probleme

### 24-1 Al doilea arbore de acoperire minim

Fie  $G = (V, E)$  un graf conex, neorientat cu funcția de cost  $w : E \rightarrow \mathbb{R}$ , și presupunem că  $|E| \geq |V|$ .

- a. Fie  $T$  un arbore minim de acoperire al lui  $G$ . Demonstrați că există muchiile  $(u, v) \in T$  și  $(x, y) \notin T$ , astfel încât  $T - \{(u, v)\} \cup \{(x, y)\}$  este un al doilea arbore minim de acoperire al lui  $G$ .
- b. Fie  $T$  un arbore de acoperire al lui  $G$  și, pentru oricare două vârfuri  $u, v \in V$ , fie  $\max[u, v]$  muchia de cost maxim pe drumul unic de la  $u$  la  $v$  din arborele  $T$ . Descrieți un algoritm care să ruleze într-un timp de ordinul  $O(V^2)$  care, dat fiind  $T$ , calculează  $\max[u, v]$  pentru toate vârfurile  $u, v \in V$ .
- c. Elaborați algoritmul care calculează cel de-al doilea arbore de acoperire minim al lui  $G$ .

#### 24-2 Arbore de acoperire minim în grafuri rare

Pentru un graf conex foarte rar  $G = (V, E)$ , putem îmbunătăți timpul de execuție  $O(E + V \lg V)$  al algoritmului lui Prim cu heap-uri Fibonacci “preprocesând” graful  $G$  pentru a micșora numărul de vârfuri înaintea rulării algoritmului lui Prim.

AAM-REDUCERE( $G, T$ )

- 1: **pentru** fiecare  $v \in V[G]$  **execută**
- 2:     $marcaj[v] \leftarrow \text{FALS}$
- 3:    CONSTRUIEȘTE-MULTIME( $v$ )
- 4: **pentru** fiecare  $u \in V[G]$  **execută**
- 5:    **dacă**  $marcaj[u] = \text{FALS}$  **atunci**
- 6:     alege  $v \in Adj[u]$  astfel încât  $w[u, v]$  este minimizat
- 7:     UNIRE( $u, v$ )
- 8:      $T \leftarrow T \cup \{\text{orig}[u, v]\}$
- 9:      $marcaj[u] \leftarrow marcaj[v] \leftarrow \text{ADEVĂRAT}$
- 10:  $V[G'] \leftarrow \{\text{GĂSEȘTE-MULTIME}(v) : v \in V[G]\}$
- 11:  $E[G'] \leftarrow \emptyset$
- 12: **pentru** fiecare  $(x, y) \in E[G]$  **execută**
- 13:     $u \leftarrow \text{GĂSEȘTE-MULTIME}(x)$
- 14:     $v \leftarrow \text{GĂSEȘTE-MULTIME}(y)$
- 15:    **dacă**  $(u, v) \notin E[G']$  **atunci**
- 16:      $E[G'] \leftarrow E[G'] \cup \{(u, v)\}$
- 17:      $\text{orig}[u, v] \leftarrow \text{orig}[x, y]$
- 18:      $w[u, v] \leftarrow w[x, y]$
- 19:    **altfel dacă**  $w[x, y] < w[u, v]$  **atunci**
- 20:      $\text{orig}[u, v] \leftarrow \text{orig}[x, y]$
- 21:      $w[u, v] \leftarrow w[x, y]$
- 22: construiește listele de adiacență  $Adj$  pentru  $G'$
- 23: **returnează**  $G'$  și  $T$

Procedura AAM-REDUCERE primește ca argument de intrare un graf cu costuri  $G$  și returnează o versiune “contractată” a lui  $G$ , având adăugate câteva muchii la arborele minim de acoperire  $T$  curent. Inițial, pentru fiecare muchie  $(u, v) \in E$ , presupunem că  $\text{orig}[u, v] = (u, v)$  și că  $w[u, v]$  este costul muchiei.

- a. Fie  $T$  mulțimea de muchii returnată de AAM-REDUCERE și fie  $T'$  un arbore minim de acoperire  $G'$  returnat de procedură. Demonstrați că  $T \cup \{orig[x, y] : (x, y) \in T'\}$  este un arbore minim de acoperire al lui  $G$ .
- b. Argumentați că  $|V[G']| \leq |V|/2$ .
- c. Arătați cum se poate implementa AAM-REDUCERE, astfel încât să ruleze în timpul  $O(E)$ . (*Indica ie:* Folosiți structuri de date simple.)
- d. Să presupunem că rulăm  $k$  faze ale AAM-REDUCERE, folosind graful produs de una din faze ca intrare pentru următoarea și acumulând muchiile în  $T$ . Argumentați faptul că timpul total de rulare al celor  $k$  faze este  $O(kE)$ .
- e. Să presupunem că, după ce rulăm  $k$  faze ale algoritmului AAM-REDUCERE, rulăm algoritmul lui Prim pe graful produs de ultima fază. Arătați cum trebuie ales  $k$  pentru că timpul total de execuție să fie  $O(E \lg \lg V)$ . Argumentați că alegerea lui  $k$  minimizează timpul de rulare asimptotic total.
- f. Pentru ce valori ale lui  $|E|$  (relativ la  $|V|$ ) este mai rapid asimptotic algoritmul lui Prim cu preprocesare decât algoritmul lui Prim fără preprocesare?

## Note bibliografice

Tarjan [188] analizează problema arborelui de acoperire minim și oferă un material avansat excelent. Un istoric al problemei arborelui de acoperire minim a fost scris de către Graham și Hell [92].

Tarjan atribuie prima problemă a arborelui minim de acoperire unei lucrări din 1926 a lui O. Boruvka. Algoritmul lui Kruskal a fost anunțat de către Kruskal [131] în 1956. Algoritmul cunoscut, de obicei, sub numele de algoritmul lui Prim a fost într-adevăr inventat de către Prim [163], dar a fost, de asemenea, inventat mai înainte de către V. Jarník în 1930.

Motivul pentru care algoritmii greedy sunt efectivi în determinarea arborilor minimi de acoperire este că mulțimea arborilor unui graf formează un matroid grafic. (Vezi secțiunea 17.4.)

Cel mai rapid algoritm pentru determinarea unui arbore minim de acoperire în cazul când  $|E| = \Omega(V \lg V)$  este algoritmul lui Prim implementat cu heap-uri Fibonacci. Pentru grafuri mai rare, Fredman și Tarjan [75] dau un algoritm care rulează în timpul  $O(E \lg \beta(|E|, |V|))$ , unde  $\beta(|E|, |V|) = \min\{i : \lg^{(i)} |V| \leq |E|/|V|\}$ . Faptul că  $|E| \geq |V|$  implică faptul că algoritmul lor rulează în timpul  $O(E \lg^* V)$ .

---

## 25 Drumuri minime de sursă unică

Să presupunem că un automobilist dorește să găsească cel mai scurt drum de la Chicago la Boston, utilizând o hartă rutieră a Statelor Unite pe care sunt indicate distanțele între fiecare două intersecții adiacente.

Un mod posibil de rezolvare a acestei probleme este de a enumera toate drumurile de la Chicago la Boston și, pe baza lungimilor drumurilor, de a selecta unul din cele de lungime minimă. Este ușor de văzut, chiar și în cazul în care sunt considerate numai drumurile care nu conțin cicluri, că numărul variantelor este enorm, și în plus, majoritatea lor nu pot fi luate în considerare. De exemplu, un drum de la Chicago la Boston via Houston este evident o soluție de neacceptat, deoarece Houston se află la distanța de 1000 de mile de orașele considerate.

În acest capitol și în capitolul 26, vom arăta cum poate fi rezolvată această problemă în mod eficient. Într-o **problemă de drum minim**, este dat un graf orientat cu costuri  $G = (V, E)$ , funcția de cost  $w : E \rightarrow \mathbb{R}$  asociind fiecărei muchii câte un cost exprimat printr-un număr real. **Costul** unui drum  $p = \langle v_0, v_1, \dots, v_k \rangle$  este suma costurilor corespunzătoare muchiilor componente:

$$w(p) = \sum_{i=1}^k w(v_{i-1}, v_i).$$

**Costul unui drum minim (costul optim)** de la  $u$  la  $v$  se definește prin:

$$\delta(u, v) = \begin{cases} \min\{w(p) : u \xrightarrow{p} v\} & \text{dacă există drum de la } u \text{ la } v, \\ \infty & \text{altfel.} \end{cases}$$

Un **drum minim** de la  $u$  la  $v$  este orice drum  $p$  cu proprietatea  $w(p) = \delta(u, v)$ .

În cazul exemplului Chicago-Boston, putem modela harta rutieră printr-un graf: vârfurile reprezintă punctele de intersecție, muchiile și costurile acestora reprezintă segmentele de drum, respectiv distanțele între intersecții. Scopul pe care ni-l propunem este de a găsi drumul minim între o intersecție din Chicago (de exemplu Clark Street cu Addison Avenue) și o intersecție dată din Boston (Brookline Avenue cu Yawkey Way).

Costurile muchiilor trebuie interpretate mai curând ca metrice decât ca distanțe, ele fiind utilizate frecvent pentru a reprezenta timpul, costul, penalități sau alte mărimi care se acumulează liniar de-a lungul unui drum și pe care, de regulă, dorim să le minimizăm.

Algoritmul de căutare în lățime prezentat în secțiunea 23.2 este un algoritm pentru determinarea drumurilor minime în grafuri fără costuri, adică, grafuri ale căror muchii sunt considerate având costul egal cu unitatea. Deoarece multe dintre concepții utilizate în cadrul descrierii algoritmului de căutare în lățime vor fi considerate și în studiul drumurilor minime în grafuri cu costuri, sfătuim cititorul ca înainte de a continua lectura acestui capitol, să revada secțiunea 23.3.

### Variante

În acest capitol ne vom concentra pe **problema drumurilor minime de sursă unică**: fiind dat un graf  $G = (V, E)$ , dorim să găsim pentru un vârf **sursă**  $s \in V$  dat, câte un drum

minim de la  $s$  la fiecare vârf  $v \in V$ . Pe baza unui algoritm care rezolvă această problemă, pot fi rezolvate o serie de probleme reductibile la aceasta, dintre care menționăm următoarele variante.

**Problema drumurilor minime de destinație unică:** Să se determine pentru fiecare vârf  $v \in V$ , câte un drum minim de la  $v$  la un vârf **destinație**  $t$  prestabilit. Inversând orientarea fiecărei muchii a grafului, problema se reduce la o problemă de determinare a drumurilor minime de sursă unică.

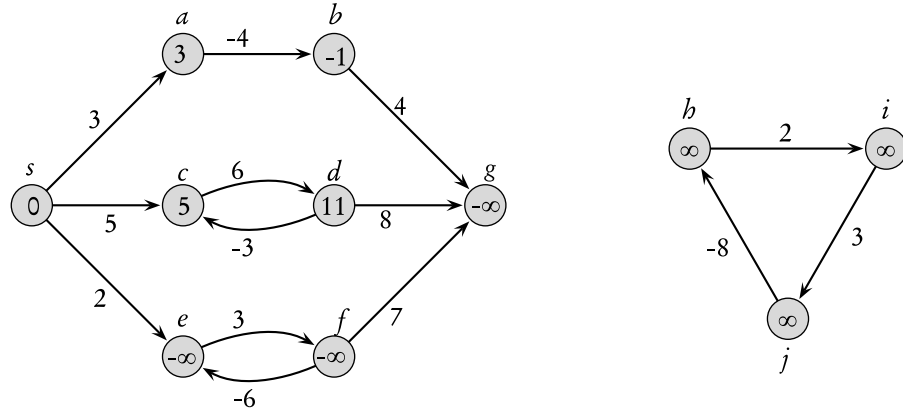
**Problema drumurilor minime de sursă și destinație unică:** Să se determine un drum minim de la  $u$  la  $v$  pentru  $u$  și  $v$  date. Dacă rezolvăm problema drumurilor minime de sursă unică pentru vârful  $u$  atunci rezolvăm și această problemă. Mai mult decât atât, nu se cunosc algoritmi pentru rezolvarea acestei probleme care să fie asimptotic mai rapizi decât cel mai bun algoritm pentru determinarea drumurilor minime de sursă unică, în cazul cel mai defavorabil.

**Problema drumurilor minime pentru surse și destinații multiple:** Pentru fiecare pereche de vârfuri  $u$  și  $v$ , să se determine câte un drum minim de la  $u$  la  $v$ . Problema poate fi rezolvată, de exemplu, prin aplicarea algoritmului pentru sursă unică, pentru fiecare vârf al grafului. În mod obișnuit, această problemă poate fi rezolvată mai eficient și structura ei este interesantă prin ea însăși. În cadrul capitolului 26, problema drumurilor minime între perechile de vârfuri ale unui graf va fi reluată și analizată în detaliu.

## Muchii de cost negativ

În cazul algoritmului pentru determinarea drumurilor minime de sursă unică, anumite muchii ale grafului pot avea asociate costuri negative. Dacă graful  $G = (V, E)$  nu conține cicluri accesibile din vârful sursă  $s$  și care să fie de cost negativ, atunci pentru orice  $v \in V$ , costul optim  $\delta(s, v)$  este bine definit, chiar dacă este de valoare negativă. Dacă însă există cel puțin un ciclu de cost negativ accesibil din  $s$ , costurile optimale nu sunt bine definite. Într-adevăr nici un drum de la  $s$  la un vârf component al ciclului nu poate fi un drum minim deoarece întotdeauna se poate construi un drum “mai scurt” și anume de-a lungul drumului considerat urmat de o traversare a ciclului de cost negativ. În cazul în care există cel puțin un drum de la  $s$  la  $v$  care să conțină un ciclu de cost negativ, prin definiție  $\delta(s, v) = -\infty$ .

În figura 25.1 este ilustrat efectul costurilor negative asupra costurilor drumurilor minime. Deoarece există un singur drum de la  $s$  la  $a$  (și anume drumul  $\langle s, a \rangle$ ),  $\delta(s, a) = w(s, a) = 3$ . De asemenea, există un singur drum de la  $s$  la  $b$  și deci  $\delta(s, b) = w(s, a) + w(a, b) = 3 + (-4) = -1$ . Evident, există o infinitate de drumuri de la  $s$  la  $c$ :  $\langle s, c \rangle$ ,  $\langle s, c, d, c \rangle$ ,  $\langle s, c, d, c, d, c \rangle$  etc. Deoarece ciclul  $\langle c, d, c \rangle$  are costul  $6 + (-3) = 3 > 0$ , drumul minim de la  $s$  la  $c$  este  $\langle s, c \rangle$  de cost  $\delta(s, c) = 5$ . De asemenea, drumul minim de la  $s$  la  $d$  este  $\langle s, c, d \rangle$  de cost  $\delta(s, d) = w(s, c) + w(c, d) = 11$ . În mod analog, există o infinitate de drumuri de la  $s$  la  $e$ :  $\langle s, e \rangle$ ,  $\langle s, e, f, e \rangle$ ,  $\langle s, e, f, e, f, e \rangle$  etc. Evident ciclul  $\langle e, f, e \rangle$  este de cost  $3 + (-6) = -3 < 0$  dar nu există un drum minim de la  $s$  la  $e$  deoarece prin traversarea repetată a ciclului de cost negativ  $\langle e, f, e \rangle$  rezultă drumuri de la  $s$  la  $e$  de costuri negative oricât de mari și deci  $\delta(s, e) = -\infty$ . Același argument justifică  $\delta(s, f) = -\infty$ . Deoarece  $g$  este accesibil din  $f$ , există drumuri de la  $s$  la  $g$  de costuri negative oricât de mari, deci  $\delta(s, g) = -\infty$ . Vârfurile  $h, i$  și  $j$  compun de asemenea un ciclu având cost negativ. Deoarece încă nici unul dintre aceste vârfuri nu este accesibil din  $s$ , rezultă  $\delta(s, h) = \delta(s, i) = \delta(s, j) = \infty$ .



**Figura 25.1** Costuri negative într-un graf orientat. Pe fiecare vârf este scris costul drumului minim dintre acesta și sursa  $s$ . Deoarece vâfurile  $e$  și  $f$  formează un ciclu de cost negativ accesibil din  $s$ , ele au costurile pentru drumul minim egale cu  $-\infty$ . Deoarece vârful  $g$  este accesibil dintr-un vârf pentru care costul drumului minim este  $-\infty$ , și acesta are costul drumului minim egal cu  $-\infty$ . Vâfurile ca  $h$ ,  $i$ , și  $j$  nu sunt accesibile din  $s$ , și de aceea costurile lor pentru drumul minim sunt egale cu  $\infty$ , deși fac parte dintr-un ciclu având cost negativ.

O serie de algoritmi pentru determinarea drumurilor, cum este de exemplu algoritmul Dijkstra, impun ca toate costurile muchiilor grafului de intrare să fie nenegative, ca în cazul exemplului cu harta rutieră. Alți algoritmi, cum este de exemplu algoritmul Bellman-Ford, acceptă ca graful de intrare să aibă muchii cu costuri negative și produc răspunsuri corecte în cazul în care nici un ciclu de cost negativ nu este accesibil din vârful sursă considerat. În mod obișnuit, acești algoritmi detectează și semnalează prezența ciclurilor de costuri negative.

## Reprezentarea drumurilor minime

Frecvent, dorim să determinăm nu numai costurile optimale, dar și vâfurile care compun un drum minim. Pentru reprezentarea unui drum minim vom utiliza o reprezentare similară celei considerate în cazul arborilor de lățime în secțiunea 23.2. Fiind dat un graf  $G = (V, E)$ , se reține pentru fiecare vârf  $v \in V$  un **precedesor**  $\pi[v]$  care este fie un alt vârf, fie NIL. Algoritmii pentru determinarea drumurilor minime prezentați în cadrul acestui capitol determină  $\pi$  astfel încât pentru orice vârf  $v$ , lanțul de precedenți care începe cu  $v$  să corespundă unei traversări în ordine inversă a unui drum minim de la  $s$  la  $v$ . Astfel, pentru orice vârf  $v$ , pentru care  $\pi[v] \neq \text{NIL}$ , procedura **TIȚĂREȘTE-DRUM**( $G, s, v$ ) din secțiunea 23.2 poate fi utilizată pentru tipărire unui drum minim de la  $s$  la  $v$ .

Pe durata execuției unui algoritm pentru determinarea drumurilor minime, valorile lui  $\pi$  nu indică în mod necesar drumurile minime. Ca și în cazul căutării în lățime, vom considera **subgraful precedesor**  $G_\pi = (V_\pi, E_\pi)$  induș de valorile lui  $\pi$ , unde  $V_\pi$  este multimea vâfurilor din  $G$  având proprietatea că au predecesor diferit de NIL, reunită cu multimea constând din vârful sursă  $s$ :

$$V_\pi = \{v \in V : \pi[v] \neq \text{NIL}\} \cup \{s\}$$

Multimea de muchii orientate  $E_\pi$  este multimea de muchii indușă de valorile lui  $\pi$  pentru vârfurile din  $V_\pi$ :

$$E_\pi = \{(\pi[v], v) \in E : v \in V_\pi \setminus \{s\}\}$$

Vom demonstra că valorile  $\pi$  determinate de algoritmii ce vor fi prezentati în acest capitol asigură ca la terminare,  $G_\pi$  să fie un “arbore al drumurilor minime” – în sensul că este un arbore cu rădăcină conținând câte un drum minim de la sursa  $s$  la fiecare vârf al grafului care este accesibil din  $s$ . Un arbore al drumurilor minime este similar arborelui de lățime din secțiunea 23.2, cu diferența că el conține câte un drum minim calculat în termenii costurilor muchiilor și nu a numărului de muchii. Mai exact, fie  $G = (V, E)$  un graf orientat cu costuri, având funcția de cost  $w : E \rightarrow \mathbb{R}$ ; presupunem că  $G$  nu conține cicluri de cost negativ accesibile din vârful sursă  $s$ , deci drumurile minime sunt bine definite. Un **arbore al drumurilor minime** de rădacină  $s$  este un subgraf orientat  $G' = (V', E')$ , unde  $V' \subseteq V$ ,  $E' \subseteq E$  astfel încât următoarele condiții sunt îndeplinite:

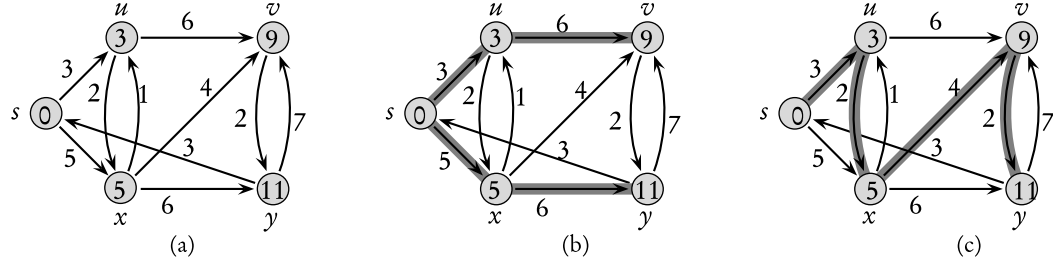
1.  $V'$  este multimea vârfurilor accesibile din  $s$  în  $G$ ,
2.  $G'$  este un arbore orientat cu rădăcină, având rădăcina  $s$ ,
3. pentru orice  $v \in V'$  unicul drum de la  $s$  la  $v$  în  $G'$  este un drum minim de la  $s$  la  $v$  în  $G$ .

Drumurile minime nu sunt în mod necesar unice și în consecință există mai mulți arbori de drumuri minime. De exemplu, în figura 25.2 este prezentat un graf orientat cu costuri și doi arbori de drumuri minime având aceeași rădăcină.

## Prezentarea generală a capitolului

Algoritmii pentru determinarea drumurilor minime de sursă unică prezentati în cadrul acestui capitol sunt bazați pe o tehnică cunoscută sub numele de relaxare. În cadrul secțiunii 25.1 sunt demonstate o serie de proprietăți generale ale algoritmilor de determinare a drumurilor minime și sunt stabilite concluzii relativ la algoritmii bazați pe relaxare. Algoritmul Dijkstra pentru rezolvarea problemei drumurilor minime de sursă unică, în cazul în care toate muchiile au costuri nenegative, este prezentat în secțiunea 25.2. Secțiunea 25.3 prezintă algoritmul Bellman-Ford utilizat în cazul mai general în care muchiile pot avea și costuri negative. Algoritmul Bellman-Ford permite detectarea existenței unui ciclu de cost negativ, accesibil din vârful sursă. În cadrul secțiunii 25.4 este prezentat un algoritm de timp liniar pentru determinarea drumurilor minime de sursă unică într-un graf aciclic orientat. În secțiunea 25.5 este demonstrat modul în care algoritmul Bellman-Ford poate fi utilizat pentru rezolvarea unui caz special de “programare liniară”.

Analiza noastră impune adoptarea unor convenții de calcul în care unul sau ambii operanzi sunt  $\pm\infty$ . Vom presupune că pentru orice număr real  $a \neq -\infty$ , avem  $a + \infty = \infty + a = \infty$ . De asemenea, pentru ca argumentele utilizate în demonstrații să fie valabile și în cazul existenței ciclurilor de cost negativ, presupunem că pentru orice număr real  $a \neq \infty$ , avem  $a + (-\infty) = (-\infty) + a = (-\infty)$ .



**Figura 25.2** (a) Un graf orientat cu costuri împreună cu costurile drumurilor minime de la sursă  $s$ . (b) Muchile hașurate formează un arbore de drumuri minime având drept rădăcină sursa  $s$ . (c) Un alt arbore de drumuri minime având aceeași rădăcină.

## 25.1. Drumuri minime și relaxare

Pentru înțelegerea algoritmilor de determinare a drumurilor minime de sursă unică, este utilă înțelegerea tehnicii pe care acestia le utilizează și a proprietăților drumurilor minime care sunt exploataate de aceste tehnici. Tehnica principală utilizată de algoritmii descriși în cadrul acestui capitol este relaxarea, metodă care revine la decrementarea repetată a unei margini superioare pentru determinarea costului corespunzător unui drum minim pentru fiecare vârf, până când marginea superioară devine egală cu costul unui drum optimă. În cadrul acestei secțiuni vom analiza modul în care operează relaxarea și vom demonstra formal mai multe proprietăți pe care aceasta le conservă.

Apreciem că la prima lectură a acestui capitol demonstrațiile teoremetelor pot fi eventual omise – este suficientă reținerea doar a enunțurilor – și în continuare să fie abordați algoritmii prezenți în secțiunea 25.2 și 25.3. Atragem atenția însă asupra importanței rezultatului stabilit de lema 25.7, deoarece acesta este esențial în înțelegerea algoritmilor pentru determinarea drumurilor minime prezenți în cadrul acestui capitol. De asemenea, sugerăm cititorului că la prima lectură pot fi ignorate lemele referitoare la subgraful predecesor și arborii de drumuri minime (lemele 25.8 și 25.9); în schimb ar trebui să-și concentreze atenția asupra lemelor care se referă la costurile drumurilor minime.

### Structura optimală a unui drum minim

De regulă, algoritmii pentru determinarea drumurilor minime exploatează proprietatea că un drum minim între două vârfuri conține alte subdrumuri optimale. Această proprietate de optimalitate substructurală este o caracteristică atât a programării dinamice (capitolul 16) cât și a metodei greedy (capitolul 17). În fapt, algoritmul Dijkstra este un algoritm greedy, iar algoritmul Floyd-Warshall pentru determinarea drumurilor minime pentru toate perechile de vârfuri (vezi capitolul 26) este un algoritm de programare dinamică. Următoarea lemă și corolarul ei stabilesc mai precis proprietatea de optimalitate substructurală a drumurilor minime.

**Lema 25.1 (Subdrumurile unui drum minim sunt drumuri optimale)** Fiind dat un graf orientat cu costuri  $G = (V, E)$  cu funcția de cost  $w : E \rightarrow \mathbb{R}$ , fie  $p = \langle v_1, v_2, \dots, v_k \rangle$  un drum minim de la vârful  $v_1$  la vârful  $v_k$  și pentru orice  $i$  și  $j$  astfel încât  $1 \leq i \leq j \leq k$  fie

$p_{ij} = \langle v_i, v_{i+1}, \dots, v_j \rangle$  subdrumul lui  $p$  de la vârful  $v_i$  la vârful  $v_j$ . Atunci,  $p_{ij}$  este un drum minim de la  $v_i$  la  $v_j$ .

**Demonstratie.** Dacă descompunem drumul  $p$  în  $v_1 \xrightarrow{p_{1i}} v_i \xrightarrow{p_{ij}} v_j \xrightarrow{p_{jk}} v_k$ , atunci  $w(p) = w(p_{1i}) + w(p_{ij}) + w(p_{jk})$ . Presupunem acum că există un drum  $p'_{ij}$  de la  $v_i$  la  $v_j$  de cost  $w(p'_{ij}) < w(p_{ij})$ .

Atunci,  $v_1 \xrightarrow{p_{1i}} v_i \xrightarrow{p'_{ij}} v_j \xrightarrow{p_{jk}} v_k$  este un drum de la  $v_1$  la  $v_k$  al cărui cost  $w(p_{1i}) + w(p'_{ij}) + w(p_{jk})$  este strict mai mic decât  $w(p)$  ceea ce contrazice presupunerea că  $p$  este un drum minim de la  $v_1$  la  $v_k$ . ■

În cadrul căutării în lățime (secțiunea 23.2), rezultatul stabilit de lema 23.1 este o proprietate simplă a celor mai scurte distanțe în grafuri fără costuri. Corolarul următor al lemei 25.1 generalizează această proprietate în cazul grafurilor cu costuri.

**Corolarul 25.2** Fie  $G = (V, E)$  un graf orientat cu costuri cu funcția de cost  $w : E \rightarrow \mathbb{R}$ . Presupunem că un drum minim  $p$  de la sursa  $s$  la vârful  $v$  poate fi descompus în  $s \xrightarrow{p'} u \rightarrow v$  pentru un anume vârf  $u$  și un drum  $p'$ . Atunci, costul unui drum minim de la  $s$  la  $v$  este  $\delta(s, v) = \delta(s, u) + w(u, v)$ .

**Demonstratie.** Conform lemei 25.1, subdrumul  $p'$  este un drum minim de la sursa  $s$  la vârful  $u$ . Rezultă

$$\delta(s, v) = w(p) = w(p') + w(u, v) = \delta(s, u) + w(u, v).$$

Următoarea lemă stabilăște o proprietate simplă, dar utilă, a costurilor drumurilor minime.

**Lema 25.3** Fie  $G = (V, E)$  un graf orientat cu costuri cu funcția de cost  $w : E \rightarrow \mathbb{R}$  și vârful sursă  $s$ . Atunci, pentru toate muchiile  $(u, v) \in E$  avem  $\delta(s, v) \leq \delta(s, u) + w(u, v)$ .

**Demonstratie.** Un drum minim  $p$  de la sursa  $s$  la vârful  $v$  are costul mai mic sau egal cu costul oricărui alt drum de la  $s$  la  $v$ . În particular, costul drumului  $p$  este mai mic sau egal cu costul oricărui drum de la sursa  $s$  la vârful  $u$  și care conține muchia  $(u, v)$ . ■

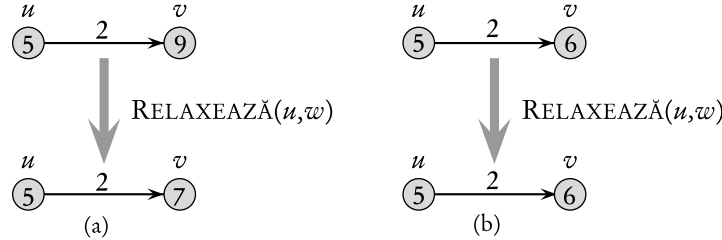
## Relaxare

Algoritmii prezentați în cadrul acestui capitol utilizează tehnica de **relaxare**. Pentru fiecare vârf  $v \in V$  păstrăm un atribut  $d[v]$ , reprezentând o margine superioară a costului unui drum minim de la sursa  $s$  la  $v$ . Numim  $d[v]$  o **estimare a drumului minim**. Estimările drumurilor minime și predecesorii sunt inițializați prin următoarea procedură:

INITIALIZEAZĂ-SURSA-UNICĂ( $G, s$ )

- 1: **pentru** fiecare vârf  $v \in V[G]$  **execută**
- 2:    $d[v] \leftarrow \infty$
- 3:    $\pi[v] \leftarrow \text{NIL}$
- 4:    $d[s] \leftarrow 0$

După inițializare  $\pi[v] = \text{NIL}$  pentru orice  $v \in V$ ,  $d[v] = 0$  pentru  $v = s$  și  $d[v] = \infty$  pentru  $v \in V - \{s\}$ .



**Figura 25.3** Relaxarea unei muchii  $(u, v)$  cu costul  $w(u, v) = 2$ . Împreună cu fiecare vârf este prezentată și estimarea pentru drumul minim. **(a)** Deoarece, înainte de relaxare,  $d[v] > d[u] + w(u, v)$ , valoarea lui  $d[v]$  descrește. **(b)** Aici, înainte de pasul de relaxare,  $d[v] \leq d[u] + w(u, v)$ , și deci valoarea lui  $d[v]$  nu este modificată de relaxare

În procesul de **relaxare**<sup>1</sup> a unei muchii  $(u, v)$  se verifică dacă drumul minim la  $v$ , determinat până la acel moment, poate fi îmbunătățit pe baza vârfului  $u$  și, dacă da, atunci se reactualizează  $d[v]$  și  $\pi[v]$ . Un pas de relaxare poate determina descreșterea valorii estimării drumului minim  $d[v]$  și reactualizarea câmpului  $\pi[v]$  ce conține predecesorul vârfului  $v$ . Pseudocodul următor realizează un pas de relaxare pe muchia  $(u, v)$ .

RELAXEAZĂ( $u, v, w$ )

- 1: dacă  $d[v] > d[u] + w(u, v)$  atunci
- 2:     $d[v] \leftarrow d[u] + w(u, v)$
- 3:     $\pi[v] \leftarrow u$

În figura 25.3 sunt prezentate două exemple de relaxare a unei muchii, în unul dintre exemple estimarea drumului minim descrește, în cel de al doilea nici o estimare nu este modificată.

Fiecare algoritm din cadrul acestui capitol apelează INITIALIZEAZĂ-SURSA-UNICĂ după care trece la relaxarea repetată a muchiilor. Mai mult decât atât, relaxarea este unică modalitate prin care estimările drumurilor minime și predecesorii sunt modificați. Algoritmii din acest capitol diferă în ceea ce privește numărul relaxărilor efectuate și ordinea în care muchiile sunt relaxate. În algoritmul Dijkstra și în algoritmul pentru determinarea drumurilor minime în grafurile aciclice orientate, fiecare muchie este relaxată o singură dată. În cazul algoritmului Bellman-Ford, fiecare muchie este relaxată de mai multe ori.

### Proprietăți ale operației de relaxare

Corectitudinea algoritmilor din acest capitol depinde de o serie de proprietăți ale relaxării care sunt prezentate în cadrul următoarelor leme. Majoritatea lemelor se referă la rezultatele efectuării unei secvențe de pași de relaxare asupra muchiilor unui graf orientat cu costuri, inițializat prin INITIALIZEAZĂ-SURSA-UNICĂ. Cu excepția lemei 25.9, aceste leme sunt aplicabile oricărei secvențe de pași de relaxare, nu numai acelor care produc valorile drumurilor minime.

<sup>1</sup>Poate părea ciudat faptul că termenul de "relaxare" este utilizat pentru a desemna o operatie care determină decrementarea unei margini superioare. Utilizarea termenului este justificată de considerente de ordin istoric. Rezultatul unui pas de relaxare poate fi văzut ca o relaxare a restricției  $d[v] \leq d[u] + w(u, v)$  care, prin lema 25.3, trebuie satisfăcută dacă  $d[u] = \delta(s, u)$  și  $d[v] = \delta(s, v)$ . Cu alte cuvinte, dacă  $d[v] \leq d[u] + w(u, v)$  atunci nu există "presiune" pentru satisfacerea acestei restricții, deci restricția poate fi "relaxată".

**Lema 25.4** Fie  $G = (V, E)$  un graf orientat cu costuri cu funcția de cost  $w : E \rightarrow \mathbb{R}$  și fie  $(u, v) \in E$ . Atunci, după relaxarea muchiei  $(u, v)$  prin executarea procedurii  $\text{RELAXEAZĂ}(u, v, w)$ , rezultă  $d[v] \leq d[u] + w(u, v)$ .

**Demonstrație.** Dacă înaintea relaxării muchiei  $(u, v)$  avem  $d[v] > d[u] + w(u, v)$ , atunci prin relaxare rezultă  $d[v] = d[u] + w(u, v)$ . Dacă înaintea aplicării relaxării  $d[v] \leq d[u] + w(u, v)$ , atunci nici  $d[v]$  și nici  $d[u]$  nu se modifică, deci, în continuare, după aplicarea relaxării avem  $d[v] \leq d[u] + w(u, v)$ . ■

**Lema 25.5** Fie  $G = (V, E)$  un graf orientat cu costuri cu funcția de cost  $w : E \rightarrow \mathbb{R}$ . Fie  $s \in V$  un vârf sursă și presupunem că graful este inițializat prin  $\text{INITIALIZEAZĂ-SURSA-UNICĂ}(G, s)$ . Atunci,  $d[v] \geq \delta(s, v)$  pentru orice  $v \in V$  și relația se păstrează pentru orice secvență de pași de relaxare efectuată asupra muchiilor lui  $G$ . Mai mult decât atât, o dată ce  $d[v]$  își atinge marginea inferioară  $\delta(s, v)$ , valoarea lui nu se mai modifică.

**Demonstrație.** Relația  $d[v] \geq \delta(s, v)$  este cu certitudine îndeplinită după inițializare deoarece  $d[s] = 0 \geq \delta(s, s)$  (a se observă că  $\delta(s, s)$  este  $-\infty$  dacă  $s$  se află pe un ciclu de cost negativ și este egală cu 0 altfel) și  $d[v] = \infty$  implică  $d[v] \geq \delta(s, v)$  pentru orice  $v \in V - \{s\}$ . Vom demonstra prin reducere la absurd că relația se menține pentru orice secvență de pași de relaxare. Fie  $v$  primul vârf pentru care un pas de relaxare a muchiei  $(u, v)$  determină  $d[v] < \delta(s, v)$ . Atunci, după relaxarea muchiei  $(u, v)$  obținem

$$d[u] + w(u, v) = d[v] < \delta(s, v) \leq \delta(s, u) + w(u, v) \quad (\text{prin lema 25.3}),$$

ceea ce implică  $d[u] < \delta(s, u)$ . Deoarece, însă, relaxarea muchiei  $(u, v)$  nu modifică  $d[u]$ , această inegalitate ar fi trebuit să fie adevărată înainte de relaxarea muchiei, ceea ce contrazice alegerea lui  $v$  ca fiind primul vârf pentru care  $d[v] < \delta(s, v)$ . Rezultă astfel că relația  $d[v] \geq \delta(s, v)$  se păstrează pentru orice  $v \in V$ .

Pentru a vedea că valoarea lui  $d[v]$  nu se mai modifică o dată ce  $d[v] = \delta(s, v)$ , să observăm că dacă și-a atins marginea inferioară, deoarece am demonstrat că  $d[v] \geq \delta(s, v)$ , rezultă că  $d[v]$  nu mai poate descrește și, de asemenea,  $d[v]$  nu poate nici să crească, fiindcă pașii de relaxare nu determină incrementarea valorilor lui  $d$ . ■

**Corolarul 25.6** Presupunem că, în graful orientat cu costuri  $G = (V, E)$ , având funcția de cost  $w : E \rightarrow \mathbb{R}$ , nu există drum de la vârful sursă  $s \in V$  la un vârf dat  $v \in V$ . Atunci, după inițializarea grafului prin  $\text{INITIALIZEAZĂ-SURSA-UNICĂ}(G, s)$ , avem  $d[v] = \delta(s, v)$  și egalitatea se păstrează pentru orice secvență de pași de relaxare asupra muchiilor lui  $G$ .

**Demonstrație.** Prin lema 25.5, avem  $\infty = \delta(s, v) \leq d[v]$ , atunci  $d[v] = \infty = \delta(s, v)$ . ■

Următoarea lemă joacă un rol important în demonstrarea corectitudinii algoritmilor pentru determinarea drumurilor minime care vor fi prezentate în continuare în acest capitol. Ea va furniza condiții suficiente pentru ca estimarea unui drum minim, obținut prin relaxare, să conveargă la costul unui drum minim.

**Lema 25.7** Fie  $G = (V, E)$  un graf orientat cu costuri cu funcția de cost  $w : E \rightarrow \mathbb{R}$ . Fie  $s \in V$  un vârf sursă și  $s \rightsquigarrow u \rightarrow v$  un drum minim în  $G$  pentru  $u, v \in V$ . Presupunem că  $G$  este inițializat cu  $\text{INITIALIZEAZĂ-SURSA-UNICĂ}(G, s)$  după care este efectuată o secvență de pași de relaxare care include apelul procedurii  $\text{RELAXEAZĂ}(u, v, w)$  asupra muchiilor lui  $G$ . Dacă  $d[u] = \delta(s, u)$  la un moment care precede acest apel, atunci  $d[v] = \delta(s, v)$  la orice moment ulterior acestui apel.

**Demonstratie.** Prin lema 25.5, dacă  $d[u] = \delta(s, u)$  la un moment dat înainte ca muchia  $(u, v)$  să fie relaxată, atunci egalitatea se păstrează în continuare. În particular, după relaxarea muchiei  $(u, v)$  avem,

$$\begin{aligned} d[v] &\leq d[u] + w(u, v) \text{ (prin lema 25.4)} \\ &= \delta(s, u) + w(u, v) \\ &= \delta(s, v) \text{ (prin corolarul 25.2).} \end{aligned}$$

Prin lema 25.5,  $\delta(s, v)$  este un minorant pentru  $d[v]$ , deci  $d[v] = \delta(s, v)$  și egalitatea se va menține la toate momentele ulterioare. ■

## Arbore de drumuri minime

Până în acest moment, am demonstrat că relaxarea determină că estimările drumurilor minime descresc monoton la costurile adevărate corespunzătoare drumurilor minime. De asemenea, vom arăta că, dacă o secvență de relaxări a determinat costurile drumurilor minime, subgraful predecesorilor  $G_\pi$  induc de valorile  $\pi$  rezultate este un arbore al drumurilor minime pentru  $G$ . Pentru început, următoarea lemă stabilește că subgraful predecesorilor este un arbore având drept rădăcină vârful sursă considerat.

**Lema 25.8** Fie  $G = (V, E)$  un graf orientat cu costuri cu funcția de cost  $w : E \rightarrow \mathbb{R}$  și  $s \in V$  vârful sursă. Presupunem că  $G$  nu are cicluri de cost negativ care să poată fi atinse din  $s$ . În aceste condiții, după ce graful a fost inițializat prin INITIALIZĂ-SURSA-UNICĂ( $G, s$ ), graful predecesorilor  $G_\pi$  este un arbore cu rădăcină având rădăcina  $s$  pentru orice secvență de pași de relaxare aplicată muchiilor lui  $G$ .

**Demonstratie.** La momentul initial singurul vârf din  $G_\pi$  este vârful sursă, deci afirmația formulată este evident adevărată. Fie  $G_\pi$  graful predecesorilor rezultat după efectuarea unei secvențe de pași de relaxare. Demonstrăm prin reducere la absurd că  $G_\pi$  este graf aciclic. Să presupunem că un anumit pas de relaxare determină apariția unui ciclu în graful  $G_\pi$ , fie acesta  $c = \langle v_0, v_1, \dots, v_k \rangle$ ,  $v_k = v_0$ . Atunci,  $\pi[v_i] = v_{i-1}$  pentru  $i = 1, 2, \dots, k$ , și fără restrângere generalității putem presupune că acest ciclu a rezultat în  $G_\pi$  prin relaxarea muchiei  $(v_{k-1}, v_k)$ .

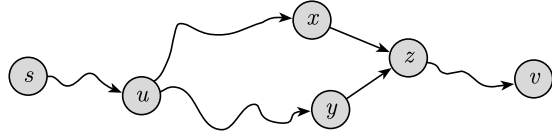
Afirmăm că toate vârfurile ciclului  $c$  pot fi atinse din vârful sursă  $s$ . De ce? Fiecare vârf al ciclului  $c$ , în momentul în care i-a fost atribuită o valoare diferită de NIL a valorii  $\pi$ , are de asemenea asociată și o estimare a unui drum minim. Prin lema 25.5, fiecare vârf al ciclului  $c$  are costul unui drum minim finit, din care rezultă că vârful este accesibil din  $s$ .

Să examinăm acum estimările drumurilor minime ale vârfurilor din  $c$  existente înaintea efectuării apelului RELAXEAZĂ( $v_{k-1}, v_k, w$ ) și să arătăm că  $c$  este un ciclu de cost negativ, fapt care va contrazice presupunerea că  $G$  nu conține cicluri de cost negativ care să poată fi atinse din vârful sursă. Înainte de efectuarea apelului, avem  $\pi[v_i] = v_{i-1}$  pentru  $i = 1, 2, \dots, k-1$ . Rezultă că pentru  $i = 1, 2, \dots, k-1$  ultima reactualizare a valorii  $d[v_i]$  a fost prin atribuirea  $d[v_i] \leftarrow d[v_{i-1}] + w(v_i, v_{i-1})$ . Dacă din acest moment  $d[v_{i-1}]$  a fost modificat, atunci noua valoare va fi mai mică, deci imediat înaintea efectuării apelului RELAXEAZĂ( $v_{k-1}, v_k, w$ ) avem

$$d[v_i] \geq d[v_{i-1}] + w(v_{i-1}, v_i) \text{ pentru orice } i = 1, 2, \dots, k-1. \quad (25.1)$$

Deoarece  $\pi[v_k]$  a fost modificat prin apel, înainte de apel avem inegalitatea strictă

$$d[v_k] > d[v_{k-1}] + w(v_{k-1}, v_k).$$



**Figura 25.4** Ilustrarea unicității drumului în  $G_\pi$  de la sursa  $s$  la vârful  $v$ . Dacă ar exista două drumuri  $p_1(s \rightsquigarrow u \rightsquigarrow x \rightarrow z \rightsquigarrow v)$  și  $p_2(s \rightsquigarrow u \rightsquigarrow y \rightarrow z \rightsquigarrow v)$ , unde  $x \neq y$ , atunci  $\pi[z] = x$  și  $\pi[z] = y$  ceea ce conduce la o contradicție.

Prin însumarea acestei inegalități stricte cu cele  $k - 1$  inegalități (25.1), obținem suma estimărilor drumurilor minime de-a lungul ciclului  $c$ :

$$\sum_{i=1}^k d[v_i] > \sum_{i=1}^k (d[v_{i-1}] + w(v_{i-1}, v_i)) = \sum_{i=1}^k d[v_{i-1}] + \sum_{i=1}^k w(v_{i-1}, v_i).$$

Dar,

$$\sum_{i=1}^k d[v_i] = \sum_{i=1}^k d[v_{i-1}],$$

deoarece fiecare vârf din ciclul  $c$  apare exact o dată în fiecare dintre cele două sume. Aceasta implică

$$0 > \sum_{i=1}^k w(v_{i-1}, v_i).$$

Astfel suma costurilor de-a lungul ciclului  $c$  este negativă, ceea ce reprezintă o contradicție.

Rezultă astfel că  $G_\pi$  este un graf orientat, aciclic. Pentru a arăta că el este un arbore cu rădăcină având rădăcina  $s$ , este suficient (vezi exercițiul 5.5-3) să arătăm că, pentru fiecare vârf  $v \in V_\pi$ , există un drum unic de la  $s$  la  $v$  în  $G_\pi$ .

Trebuie să arătăm mai întâi că pentru orice vârf din  $V_\pi$  există un drum de la  $s$  către acel vârf. Multimea  $V_\pi$  este formată din vârfurile care au valori  $\pi$  diferite de NIL și din vârful  $s$ . Ideea este de a demonstra prin inducție că există un drum de la  $s$  către toate vârfurile din  $V_\pi$ . Detaliile sunt lăsate pe seama cititorului, în exercițiul 25.1-6.

Pentru completarea demonstrației lemei, trebuie arătat că pentru orice vârf  $v \in V_\pi$ , există cel mult un drum de la  $s$  la  $v$  în graful  $G_\pi$ . Să presupunem contrariul. Cu alte cuvinte, să presupunem că există două drumuri simple de la  $s$  la un anume vârf  $v : p_1$ , care poate fi descompus în  $s \rightsquigarrow u \rightsquigarrow x \rightarrow z \rightsquigarrow v$  și  $p_2$  care poate fi descompus în  $s \rightsquigarrow u \rightsquigarrow y \rightarrow z \rightsquigarrow v$  unde  $x \neq y$ . (Vezi figura 25.4). În acest caz, rezultă  $\pi[z] = x$  și  $\pi[z] = y$  ceea ce conduce la contradicția  $x = y$ . În consecință, există un singur drum în  $G_\pi$  de la  $s$  la  $v$ , deci  $G_\pi$  este un arbore al drumurilor minime de rădăcină  $s$ . ■

Acum putem demonstra că, dacă după efectuarea unei secvențe de pași de relaxare, tuturor vârfurilor le-au fost asociate adevăratele costuri corespunzătoare drumurilor minime, atunci subgraful predecesorilor  $G_\pi$  este un arbore al drumurilor minime.

**Lema 25.9** Fie  $G = (V, E)$  un graf orientat cu costuri cu funcția de cost  $w : E \rightarrow \mathbb{R}$  și  $s \in V$  vârful sursă. Presupunem că  $G$  nu are cicluri de cost negativ care să poată fi atinse din  $s$ . Să

efectuăm apelul INITIALIZĂ-SURSA-UNICĂ( $G, s$ ) și să presupunem în continuare că a fost efectuată o secvență de pași de relaxare asupra muchiilor lui  $G$  care determină  $d[v] = \delta(s, v)$  pentru orice  $v \in V$ . Atunci subgraful predecesorilor  $G_\pi$  este un arbore al drumurilor minime de rădăcină  $s$ .

**Demonstrație.** Trebuie să demonstrăm că cele trei proprietăți ale arborilor drumurilor minime sunt îndeplinite de către  $G_\pi$ . Pentru demonstrarea primei proprietăți, trebuie să arătam că  $V_\pi$  este mulțimea vârfurilor care pot fi atinse din  $s$ . Prin definiție, un cost  $\delta(s, v)$  al unui drum minim este finit, dacă și numai dacă  $v$  poate fi atins din  $s$  și deci vârfurile care pot fi atinse din  $s$  sunt exact vârfurile care au valori  $d$  finite. Dar unui vârf  $v \in V - \{s\}$  i-a fost atribuită o valoare finită pentru câmpul  $d[v]$  dacă și numai dacă  $\pi[v] \neq \text{NIL}$ . Rezultă că vârfurile din  $V_\pi$  sunt exact vârfurile care pot fi atinse din  $s$ .

Cea de a doua proprietate rezultă direct din lema 25.8. Mai rămâne de demonstrat ultima proprietate a arborilor drumurilor minime și anume: pentru orice  $v \in V_\pi$ , unicul drum elementar  $s \xrightarrow{p} v$  în  $G_\pi$  este un drum minim de la  $s$  la  $v$  în  $G$ . Fie  $p = \langle v_0, v_1, \dots, v_k \rangle$ , unde  $v_0 = s$  și  $v_k = v$ . Pentru  $i = 1, 2, \dots, k$ , avem simultan relațiile  $d[v_i] = \delta(s, v_i)$  și  $d[v_i] \geq d[v_{i-1}] + w(v_{i-1}, v_i)$  din care rezultă  $w(v_{i-1}, v_i) \leq \delta(s, v_i) - \delta(s, v_{i-1})$ . Prin însumarea costurilor de-a lungul drumului  $p$  obținem

$$w(p) = \sum_{i=1}^k w(v_{i-1}, v_i) \leq \sum_{i=1}^k (\delta(s, v_i) - \delta(s, v_{i-1})) = \delta(s, v_k) - \delta(s, v_0) = \delta(s, v_k).$$

Obținem astfel  $w(p) \leq \delta(s, v_k)$ . Deoarece  $\delta(s, v_k)$  este o margine inferioară pentru costul oricărui drum de la  $s$  la  $v_k$ , rezultă că  $w(p) = \delta(s, v_k)$  și deci  $p$  este un drum minim de la  $s$  la  $v = v_k$ . ■

## Exerciții

**25.1-1** Obțineți doi arbori ai drumurilor minime pentru graful orientat din figura 25.2 distincți de arborii deja ilustrați.

**25.1-2** Dați un exemplu de graf orientat cu costuri  $G = (V, E)$  având funcția de cost  $w : E \rightarrow \mathbb{R}$  și sursa  $s$  astfel încât  $G$  să satisfacă următoarea proprietate: pentru orice muchie  $(u, v) \in E$ , există un arbore al drumurilor minime de rădăcină  $s$  care conține  $(u, v)$  și există un arbore al drumurilor minime de rădăcină  $s$  care nu conține  $(u, v)$ .

**25.1-3** Extindeți demonstrația lemei 25.3 astfel încât să includă și cazurile în care costurile drumurilor minime sunt  $\infty$  sau  $-\infty$ .

**25.1-4** Fie  $G = (V, E)$  un graf orientat cu costuri, cu vârful sursă  $s$  și presupunem că  $G$  este inițializat prin INITIALIZĂ-SURSA-UNICĂ( $G, s$ ). Demonstrați că dacă o secvență de pași de relaxare determină ca  $\pi[s]$  să fie diferit de NIL, atunci  $G$  conține un ciclu de cost negativ.

**25.1-5** Fie  $G = (V, E)$  un graf orientat cu costuri, care nu conține muchii de cost negativ. Fie  $s \in V$  vârful sursă și definim  $\pi[v]$  în mod obișnuit și anume  $\pi[v]$  este predecesor al lui  $v$  pe un drum minim de la sursa  $s$  la  $v \in V - \{s\}$  dacă  $v$  poate fi atins din  $s$  și NIL în caz contrar. Dați un exemplu de astfel de graf  $G$  și o atribuire a valorilor  $\pi$  care să producă un ciclu în  $G_\pi$ . (Prin lema 25.8, o astfel de atribuire nu poate fi realizată pe baza unei secvențe de pași de relaxare).

**25.1-6** Fie  $G = (V, E)$  un graf orientat cu costuri cu funcția de cost  $w : E \rightarrow \mathbb{R}$  și care nu are cicluri de cost negativ. Fie  $s \in V$  vârful sursă și presupunem că  $G$  este inițializat prin INITIALIZĂ-SURSA-UNICĂ( $G, s$ ). Demonstrați că pentru orice vârf  $v \in V_\pi$ , există drum de la  $s$  la  $v$  în  $G_\pi$  și că această proprietate se păstrează pentru orice secvență de pași de relaxare.

**25.1-7** Fie  $G = (V, E)$  un graf orientat cu costuri, care nu conține nici un ciclu de cost negativ, accesibil din vârful sursă  $s$ . Fie  $s$  vârful sursă, și să presupunem că  $G$  a fost inițializat de procedura INITIALIZĂ-SURSA-UNICĂ( $G, s$ ). Arătați că există un sir de  $|V| - 1$  pași de relaxare care produce  $d[v] = \delta(s, v)$  pentru orice  $v \in V$ .

**25.1-8** Fie  $G$  un graf orientat cu costuri oarecare și cu un ciclu de cost negativ accesibil din vârful sursă  $s$ . Arătați că întotdeauna se poate construi un sir infinit de relaxări ale muchiilor lui  $G$  astfel încât fiecare relaxare face ca estimarea drumului minim să se schimbe.

## 25.2. Algoritmul Dijkstra

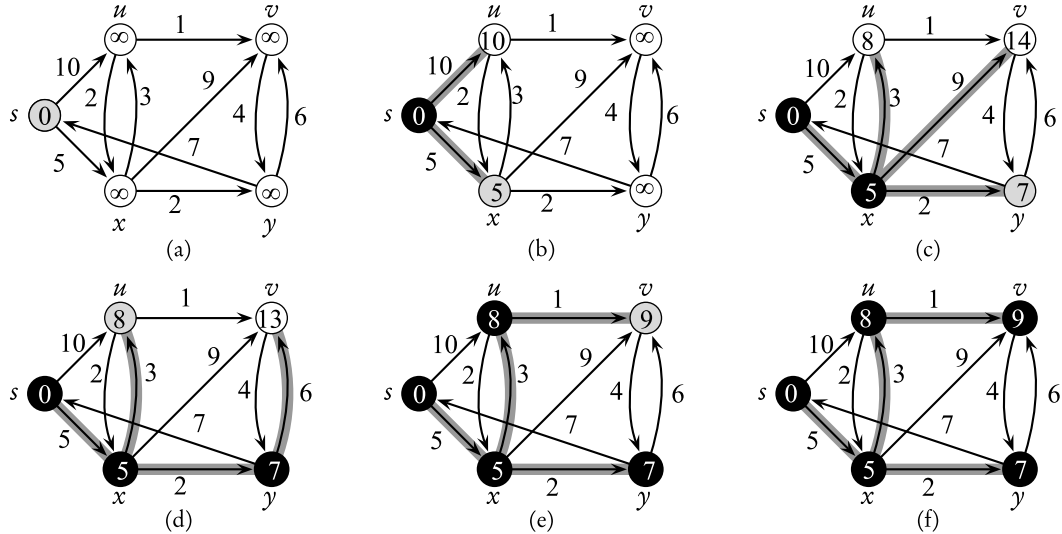
Algoritmul Dijkstra rezolvă problema drumurilor minime de sursă unică într-un graf orientat cu costuri  $G = (V, E)$  pentru care toate costurile muchiilor sunt nenegative. În cadrul acestei secțiuni vom presupune că  $w(u, v) \geq 0$  pentru fiecare muchie  $(u, v) \in E$ .

DIJKSTRA( $G, w, s$ )

- 1: INITIALIZĂ-SURSA-UNICĂ( $G, s$ )
- 2:  $S \leftarrow \emptyset$
- 3:  $Q \leftarrow V[G]$
- 4: **cât timp**  $Q \neq \emptyset$  **execută**
- 5:    $u \leftarrow \text{EXTRAGE-MIN}(Q)$
- 6:    $S \leftarrow S \cup \{u\}$
- 7:   **pentru** fiecare vârf  $v \in \text{Adj}[u]$  **execută**
- 8:     RELAXEAZĂ( $u, v, w$ )

Algoritmul Dijkstra operează prin menținerea unei multimi  $S$  de vârfuri pentru care costurile finale corespunzătoare drumurilor minime de la sursa  $s$  au fost deja determinate, respectiv pentru toate vârfurile  $v \in S$  avem  $d[v] = \delta(s, v)$ . Algoritmul iterează selectarea unui vârf  $u \in V - S$  pentru care estimarea drumului minim este minimă, introduce  $u$  în  $S$  și relaxează muchiile divergente din  $u$ . În implementarea care va fi prezentată se va menține o coadă de priorități  $Q$  conținând toate vârfurile din  $V - S$  indexate prin valorile  $d$  corespunzătoare. Implementarea presupune că graful  $G$  este reprezentat prin liste de adiacență.

Algoritmul Dijkstra relaxează muchiile în modul prezentat în figura 25.5. Linia 1 realizează inițializarea obișnuită a valorilor  $d$  și  $\pi$ , iar linia 2 inițializează multimea  $S$  cu multimea vidă. În continuare, coada de priorități  $Q$  este inițializată în linia 3 pentru a conține toate vârfurile din  $V - S = V - \emptyset = V$ . La fiecare iterare a buclei **cât timp** din liniile 4–8, este extras câte un vârf  $u$  din  $Q = V - S$  și introduc în multimea  $S$ . (La prima iterare a acestei bucle  $u = s$ ). Astfel, vârful  $u$  are cea mai mică estimare a drumului minim dintre vârfurile din  $V - S$ . În continuare, liniile 7–8 relaxează fiecare muchie  $(u, v)$  divergentă din  $u$  și reactualizează estimarea  $d[v]$  și predecesorul  $\pi[v]$  în cazul în care drumul minim către  $v$  poate fi ameliorat prin trecerea prin  $u$ .



**Figura 25.5** Evoluția algoritmului Dijkstra. Vârful sursă este vârful cel mai din stânga. Estimările drumurilor minime sunt indicate în interiorul vârfurilor, muchiile hașurate reprezintă valorile predecesorilor: dacă muchia  $(u, v)$  este hașurată, atunci  $\pi[v] = u$ . Vârfurile marcate cu negru aparțin mulțimii  $S$  iar vârfurile marcate cu alb aparțin cozii de prioritate  $Q = V - S$ . (a) Configurația existentă imediat înaintea primei iterării a buclei **cât timp** din liniile 4–8. Vârful hașurat are valoarea  $d$  minimă și este vârful selectat ca vârf  $u$  în linia 5. (b)–(f) Configurația rezultată după fiecare iterare a buclei **cât timp**. Vârful hașurat este selectat ca vârf  $u$  la linia 5 a iterării următoare. Valorile  $d$  și  $\pi$  prezentate în (f) sunt valorile finale.

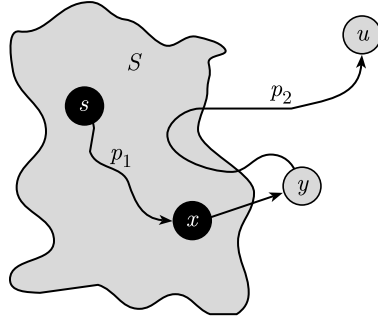
Trebuie observat că nici un vârf nu mai este introdus în  $Q$  după linia 3 și că fiecare vârf este extras din  $Q$  și inserat în  $S$  o singură dată, deci bucla **cât timp** din liniile 4–8 efectuează  $|V|$  iterării.

Deoarece algoritmul Dijkstra alege întotdeauna “cel mai ușor” sau “apropiat” vârf din  $V - S$  pentru a-l introduce în  $S$ , spunem că el utilizează o strategie de tip greedy. Strategiile greedy sunt prezentate detaliat în capitolul 17, dar considerăm că este posibilă înțelegerea algoritmului Dijkstra chiar dacă acest capitol nu a fost lecturat. În general strategiile greedy nu asigură obținerea soluției optimale, dar aşa după cum va fi demonstrat de teorema următoare și corolarul acesta, algoritmul Dijkstra determină într-adevăr drumurile minime. Cheia demonstrației este de a arăta că în momentul la care vârful  $u$  este introdus în mulțimea  $S$  avem  $d[u] = \delta(s, u)$  pentru toate vârfurile  $u \in V$ .

**Teorema 25.10 (Corectitudinea algoritmului Dijkstra)** Dacă algoritmul Dijkstra este aplicat unui graf orientat, cu costuri  $G = (V, E)$  cu funcție de cost nenegativă  $w$  și vârf sursă  $s$ , atunci la terminare  $d[u] = \delta(s, u)$  pentru toate vârfurile  $u \in V$ .

**Demonstrație.** Vom demonstra prin reducere la absurd că pentru fiecare vârf  $u \in V$ , în momentul la care  $u$  este introdus în mulțimea  $S$ ,  $d[u] = \delta(s, u)$  și egalitatea se menține la toate momentele de timp ulterioare.

Presupunem că  $u$  este primul vârf pentru care  $d[u] \neq \delta(s, u)$  în momentul la care el este



**Figura 25.6** Demonstrația teoremei 25.10. Înainte ca vârful  $u$  să fie introdus în  $S$ , mulțimea  $S$  este nevidă. Un drum minim  $p$  de la vârful sursă  $s$  la vârful  $u$  poate fi descompus în  $s \xrightarrow{p_1} x \rightarrow y \xrightarrow{p_2} u$ , unde  $y$  este primul vârf al drumului care nu aparține mulțimii  $S$  și  $x \in S$  precede  $y$ . Vârfurile  $x$  și  $y$  sunt distințe, dar este posibil să avem  $s = x$  sau  $y = u$ . Este posibil ca drumul  $p_2$  să reentre în mulțimea  $S$  după cum este posibil ca el să nu mai reentre în această mulțime.

introdus în mulțimea  $S$ . Să examinăm configurația existentă la începutul iterației din bucla **cât timp** care determină introducerea vârfului  $u$  în  $S$  și prin examinarea unui drum minim de la  $s$  la  $u$  să obținem concluzia  $d[u] = \delta(s, u)$ . Deoarece  $s$  este primul vârf care este introdus în  $S$ , și  $d[s] = \delta(s, s) = 0$ , în acest moment, rezultă  $u \neq s$ . Deoarece  $u \neq s$ , avem  $S \neq \emptyset$  în momentul la care  $u$  este introdus în  $S$ . În mod necesar există un drum de la  $s$  la  $u$ , deoarece în caz contrar, prin corolarul 25.6 am avea  $d[u] = \delta(s, u) = \infty$  ceea ce ar contrazice ipoteza  $d[u] \neq \delta(s, u)$ . Deoarece există cel puțin un drum de la  $s$  la  $u$ , există și un drum minim  $p$  de la  $s$  la  $u$ . Drumul  $p$  conectează un vârf  $s$  din  $S$  cu un vârf  $u$  din  $V - S$ . Fie  $y$  primul vârf de-a lungul lui  $p$  astfel încât  $y \in V - S$  și fie  $x \in V$  predecesorul lui  $y$ . Atunci, aşa cum rezultă din figura 25.6, drumul  $p$  poate fi descompus ca  $s \xrightarrow{p_1} x \rightarrow y \xrightarrow{p_2} u$ .

Afirmăm că  $d[y] = \delta(s, y)$  în momentul la care  $u$  este introdus în  $S$ . Pentru a demonstra această afirmație, observăm că  $x \in S$ . Deoarece  $u$  este primul vârf pentru care  $d[u] \neq \delta(s, u)$  în momentul la care el este introdus în  $S$ , rezultă  $d[x] = \delta(s, x)$  în momentul la care  $x$  este introdus în  $S$ . Muchia  $(x, y)$  a fost însă relaxată în acest moment, deci afirmația rezultă pe baza lemei 25.7.

Acum putem deriva o contradicție care să conducă la justificarea concluziei formulate în teorema. Deoarece  $y$  precede  $u$  pe un drum minim de la  $s$  la  $u$  și toate costurile muchiilor sunt nenegative (în particular și cele care compun drumul  $p_2$ ), avem  $\delta(s, y) \leq \delta(s, u)$  și deci

$$d[y] = \delta(s, y) \leq \delta(s, u) \leq d[u] \quad (\text{prin lema 25.5}). \quad (25.2)$$

Dar, deoarece ambele vârfuri  $u$  și  $y$  se aflau deja în  $V - S$  în momentul la care  $u$  a fost selectat în linia 5, avem  $d[u] \leq d[y]$ . Astfel, ambele inegalități din (25.2) sunt de fapt egalități, deci

$$d[y] = \delta(s, y) = \delta(s, u) = d[u].$$

În consecință,  $d[u] = \delta(s, u)$  ceea ce contrazice alegerea vârfului  $u$ . În concluzie, în momentul în care fiecare vârf  $u \in V$  este inserat în mulțimea  $S$ , avem  $d[u] = \delta(s, u)$  și conform lemei 25.5 egalitatea se menține la toate momentele ulterioare de timp. ■

**Corolarul 25.11** Dacă algoritmul Dijkstra este aplicat unui graf orientat cu costuri  $G = (V, E)$  cu funcție de cost nenegativă  $w$  și vârf sursă  $s$ , atunci la terminare subgraful predecesorilor  $G_\pi$  este un arbore al drumurilor minime de rădăcină  $s$ .

**Demonstrație.** Rezultă direct din teorema 25.10 și lema 25.9. ■

## Analiză

Cât de rapid este algoritmul Dijkstra? Să considerăm mai întâi cazul în care reprezentăm coada de priorități  $Q = V - S$  printr-un tablou de tip listă. În cazul unei astfel de implementări, fiecare operație EXTRAGE-MIN necesită un timp  $O(V)$  și cum sunt  $|V|$  operații, timpul total necesar pentru EXTRAGE-MIN este  $O(V^2)$ . Fiecare vârf  $v \in V$  este inserat în mulțimea  $S$  o singură dată, deci pe durata evoluției algoritmului, fiecare muchie din lista de adiacență  $Adj[v]$  este examinată de asemenea o singură dată în cadrul buclei **pentru** din liniile 7–8. Deoarece numărul total de muchii în listele de adiacență este  $|E|$ , vor fi în total  $|E|$  iterații pentru această buclă **pentru**, fiecare operație necesitând timp  $O(1)$ . Timpul total de execuție al algoritmului este astfel  $O(V^2 + E) = O(V^2)$ .

Dacă graful este “rar”, atunci este preferabilă implementarea listei de priorități  $Q$  ca heap binar. Algoritmul rezultat este uneori referit ca **algoritmul Dijkstra modificat**. În acest caz, fiecare operație EXTRAGE-MIN necesită timp  $O(\lg V)$ . Ca și în varianta inițială sunt  $|V|$  astfel de operații. Timpul necesar generării heap-ului binar este  $O(V)$ . Atribuirile  $d[v] \rightarrow d[u] + w(u, v)$  în RELAXEAZĂ sunt realizate prin apelul DECREȘTE-CHEIE( $Q, v, d[u] + w(u, v)$ ) care necesită timp  $O(\lg V)$  (vezi exercițiul 7.5-4) și sunt cel mult  $|E|$  astfel de operații. Astfel, timpul de execuție este  $O((V + E) \lg V)$ , care devine  $O(E \lg V)$  în cazul în care toate vârfurile pot fi atinse din vârful sursă. De fapt, putem obține un timp de execuție  $O(V \lg V + E)$  implementând coada de priorități  $Q$  prin intermediul unui heap Fibonacci (vezi capitolul 21). Costul amortizat al fiecăreia dintre cele  $|V|$  operații EXTRAGE-MIN este  $O(\lg V)$  și fiecare dintre cele  $|E|$  apeluri DESCRIEȘTE-CHEIE necesită numai  $O(1)$  timp amortizat. Din punct de vedere istoric, dezvoltarea heap-urilor Fibonacci a fost motivată de observația că în algoritmul Dijkstra modificat sunt în general mai multe apeluri DESCRIEȘTE-CHEIE decât apeluri EXTRAGE-MIN, deci orice metodă de reducere a timpului amortizat a fiecărei operații DESCRIEȘTE-CHEIE la  $o(\lg V)$  fără să crească timpul amortizat corespunzător unui apel EXTRAGE-MIN ar determina o implementare asimptotic mai rapidă.

Algoritmul Dijkstra prezintă similitudini atât cu căutarea în lățime (vezi secțiunea 23.2) cât și cu algoritmul lui Prim pentru determinarea arborelui parțial minim (vezi secțiunea 24.2). El este similar cu algoritmul de căutare în lățime, deoarece mulțimea de vârfuri  $S$  corespunde mulțimii de vârfuri “negre” utilizate în căutarea în lățime; exact așa cum vârfurile din  $S$  au costurile finale corespunzătoare drumurilor minime, vârfurilor “negre” din cazul căutării în lățime le corespund distanțele corecte ale căutării în lățime. Algoritmul Dijkstra este similar cu algoritmul Prim deoarece ambii algoritmi utilizează cozi de priorități pentru găsirea celui mai “ușor” vârf din complementara unei mulțimi date (mulțimea  $S$  în algoritmul Dijkstra și arborele generat de algoritmul Prim), insereză acest vârf într-o anumită mulțime și ajustează în mod corespunzător costurile vârfurilor rezidente în continuare în complementara mulțimii.

## Exerciții

**25.2-1** Aplicați algoritmul Dijkstra grafului orientat prezentat în figura 25.2, mai întâi cu  $s$  ca vârf sursă și apoi considerând vârf sursă pe  $y$ . În stilul prezentat în figura 25.5, indicați valorile  $d$  și  $\pi$  și vârfurile din mulțimea  $S$  după fiecare iterație a buclei **cât timp**.

**25.2-2** Dați un exemplu de graf orientat având muchii de costuri negative pentru care algoritmul Dijkstra produce rezultate incorecte. De ce nu mai funcționează demonstrația teoremei 25.10 în cazul în care sunt acceptate muchii de costuri negative?

**25.2-3** Să presupunem că modificăm linia 4 din algoritmul Dijkstra în modul următor:

4: **cât timp** $|Q| > 1$

Această modificare determină ca bucla **cât timp** să aibă  $|V| - 1$  iterări în loc de  $|V|$ . Este acest algoritm corect?

**25.2-4** Presupunem că  $G = (V, E)$  este un graf orientat astfel încât fiecărei muchii  $(u, v) \in E$  îi este asociată o valoare  $r(u, v)$ , număr real în domeniul  $0 \leq r(u, v) \leq 1$  reprezentând fiabilitatea unui canal de comunicație de la vârful  $u$  la vârful  $v$ . Considerăm valoarea  $r(u, v)$  ca fiind probabilitatea de a nu se defecta canalul de la vârful  $u$  la vârful  $v$ . Mai presupunem că aceste probabilități sunt independente. Propuneți un algoritm eficient pentru determinarea celui mai sigur drum între două vârfuri.

**25.2-5** Fie  $G = (V, E)$  graf orientat cu costuri cu funcția de cost  $w : E \rightarrow \{0, 1, \dots, W - 1\}$  pentru  $W$  număr întreg nenegativ dat. Modificați algoritmul Dijkstra astfel încât să determine drumurile minime de sursă  $s$  unică în timp  $O(WV + E)$ .

**25.2-6** Modificați algoritmul pe care l-ați propus pentru rezolvarea exercițiului 25.2-5 astfel încât timpul de execuție să fie  $O((V + E) \lg W)$ . (*Indica ie: Câte estimări distincte pentru drumurile minime pot exista în timp pentru punctele din  $V - S$ ?*)

## 25.3. Algoritmul Bellman-Ford

**Algoritmul Bellman-Ford** rezolvă problema drumurilor minime de sursă unică în cazul mai general în care costurile muchiilor pot fi negative. Fiind dat un graf orientat cu costuri  $G = (V, E)$  cu vârful sursă  $s$  și funcția de cost  $w : E \rightarrow \mathbb{R}$ , algoritmul Bellman-Ford returnează o valoare booleană indicând dacă există sau nu un ciclu de cost negativ accesibil din vârful sursă considerat. În cazul în care un astfel de ciclu există, algoritmul semnalează că nu există soluție, respectiv dacă nu există un astfel de ciclu, algoritmul produce drumurile minime și costurile corespunzătoare lor.

Ca și algoritmul Dijkstra, algoritmul Bellman-Ford utilizează tehnica de relaxare, procedând la descreșterea estimării  $d[v]$  a drumului minim de la sursă  $s$  la fiecare vârf  $v \in V$  până când este obținut costul adevărat  $\delta(s, v)$  corespunzător unui drum minim. Algoritmul returnează ADEVĂRAT dacă și numai dacă nu conține cicluri de cost negativ accesibile din sursă.

În figura 25.7 este prezentat modul în care operează algoritmul Bellman-Ford pe un graf cu 5 vârfuri. După efectuarea inițializării, algoritmul efectuează  $|V| - 1$  treceri prin muchiile

grafului. Fiecare trecere este o iterație a buclei **pentru** din liniile 2–4 și efectuează relaxarea fiecărei muchii câte o singură dată. Figurile 25.7(b)–(e) prezintă starea algoritmului după fiecare dintre cele patru treceri prin mulțimea muchiilor. După efectuarea a  $|V| - 1$  treceri, liniile 5–8 verifică existența unui ciclu de cost negativ și returnează valoarea booleană corespunzătoare. (Vom vedea puțin mai târziu de ce această verificare este operantă.)

BELLMAN-FORD( $G, w, s$ )

- 1: INITIALIZEAZĂ-SURSA-UNICĂ( $G, s$ )
- 2: **pentru**  $i \rightarrow 1, |V[G]| - 1$  **execută**
- 3:   **pentru** fiecare muchie  $(u, v) \in E[G]$  **execută**
- 4:     RELAXEAZĂ( $u, v, w$ )
- 5:   **pentru** fiecare muchie  $(u, v) \in E[G]$  **execută**
- 6:     dacă  $d[v] > d[u] + w(u, v)$  **atunci**
- 7:       returnează FALSE
- 8: **returnează** ADEVĂRAT

Algoritmul Bellman-Ford este de complexitate temporală  $O(VE)$  deoarece inițializarea din linia 1 necesită timp  $\Theta(V)$ , fiecare dintre cele  $|V| - 1$  treceri prin mulțimea muchiilor inițiate de liniile 2–4 necesită un timp  $O(E)$ , iar bucla **pentru** din liniile 5–7 se realizează tot în timpul  $O(E)$ .

Pentru demonstrarea corectitudinii algoritmului Bellman-Ford începem prin a arăta că dacă nu există cicluri de cost negativ, atunci algoritmul determină costurile corecte corespunzătoare drumurilor minime pentru toate vîrfurile care pot fi atinse din sursă. Demonstrația lemei următoare aduce argumentul de ordin intuitiv pe care este bazat acest algoritm.

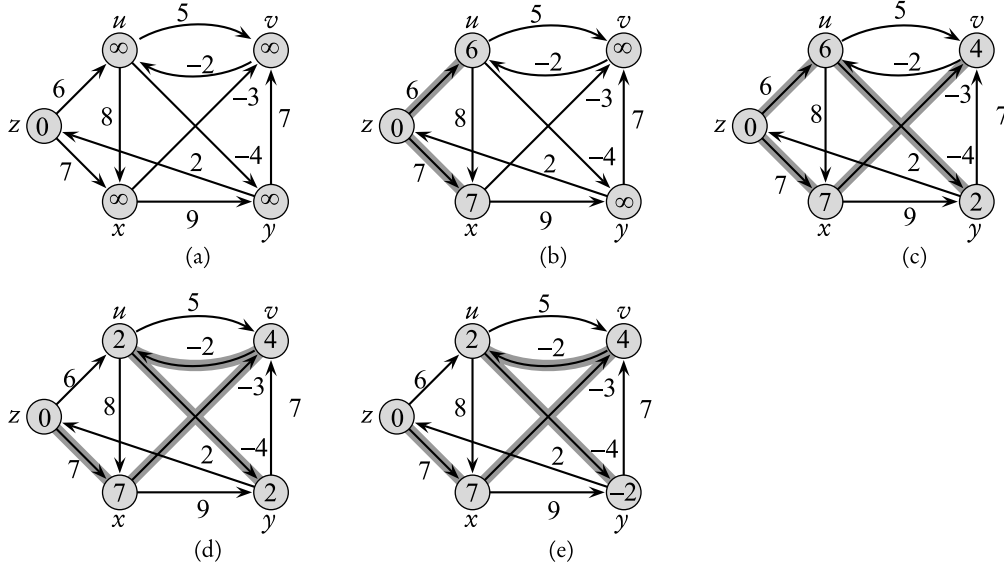
**Lema 25.12** Fie  $G = (V, E)$  un graf orientat cu costuri cu vîrful sursă  $s$  și funcția de cost  $w : E \rightarrow \mathbb{R}$  și presupunem că  $G$  nu conține cicluri de cost negativ care să poată fi atinși din  $s$ . În aceste condiții, la terminarea calculului inițiat de BELLMAN-FORD avem  $d[v] = \delta(s, v)$  pentru toate vîrfurile  $v$  accesibile din  $s$ .

**Demonstrație.** Fie  $v$  un vîrf care poate fi atins din  $s$  și fie  $p = \langle v_0, v_1, \dots, v_k \rangle$  un drum minim de la  $s$  la  $v$ , unde  $v_0 = s$  și  $v_k = v$ . Drumul  $p$  este simplu, deci  $k \leq |V| - 1$ . Demonstrăm prin inducție că pentru a  $i$ -a trecere prin muchiile lui  $G$ ,  $i = 0, 1, \dots, k$ , avem  $d[v_i] = \delta(s, v_i)$  și această egalitate se păstrează la toate momentele de timp ulterioare. Deoarece numărul total de treceri este  $|V| - 1$ , stabilirea acestei proprietăți este suficientă pentru demonstrație. După inițializare avem  $d[v_0] = \delta(s, v_0) = 0$  și prin lema 25.5, egalitatea se menține în continuare. Pentru demonstrarea pasului inductiv, presupunem că după cea de a  $(i - 1)$ -a trecere,  $d[v_{i-1}] = \delta(s, v_{i-1})$ . Muchia  $(v_{i-1}, v_i)$  este relaxată la cea de a  $i$ -a trecere, deci prin lema 25.7 rezultă  $d[v_i] = \delta(s, v_i)$  după cea de a  $i$ -a trecere și la toate momentele de timp ulterioare, ceea ce încheie demonstrația. ■

**Corolarul 25.13** Fie  $G = (V, E)$  un graf orientat cu costuri, cu vîrful sursă  $s$  și funcția de cost  $w : E \rightarrow \mathbb{R}$ . Atunci, pentru fiecare vîrf  $v \in V$ , există drum de la  $s$  la  $v$  dacă și numai dacă prin aplicarea algoritmului BELLMAN-FORD asupra grafului  $G$ , la terminare avem  $d[v] < \infty$ .

**Demonstrație.** Demonstrarea este similară cu cea a lemei 25.12 și este propusă spre rezolvare în exercițiul 25.3-2. ■

**Teorema 25.14 (Corectitudinea algoritmului Bellman-Ford)** Presupunem că algoritmul BELLMAN-FORD este aplicat grafului orientat  $G = (V, E)$  cu vîrful sursă  $s$  și funcția de cost



**Figura 25.7** Evoluția determinată de algoritmul Bellman-Ford. Sursa este vârful  $z$ . Valorile  $d$  sunt indicate în interiorul vârfurilor, iar muchiile hașurate indică valorile  $\pi$ . În acest exemplu, la fiecare trecere muchiile sunt relaxate în ordine lexicografică:  $(u, v)$ ,  $(u, x)$ ,  $(u, y)$ ,  $(v, u)$ ,  $(x, v)$ ,  $(x, y)$ ,  $(y, v)$ ,  $(y, z)$ ,  $(z, u)$ ,  $(z, x)$ . (a) Starea imediat anterioară primei trecceri prin multimea muchiilor. (b)-(e) Starea după fiecare dintre treccările consecutive prin multimea muchiilor. Valorile  $d$  și  $\pi$  din (e) sunt valorile finale. Pentru acest exemplu, algoritmul Bellman-Ford returnează ADEVĂRAT.

$w : E \rightarrow \mathbb{R}$ . Dacă  $G$  nu conține cicluri de cost negativ, accesibile din  $s$ , atunci algoritmul returnează ADEVĂRAT și avem  $d[v] = \delta(s, v)$  pentru toate vârfurile  $v \in V$ , iar subgraful predecesorilor  $G_\pi$  este un arbore al drumurilor minime cu rădăcină  $s$ . Dacă  $G$  conține cel puțin un ciclu de cost negativ, accesibil din  $s$ , atunci algoritmul returnează FALS.

**Demonstrație.** Presupunem că graful  $G$  nu conține cicluri de cost negativ care pot fi atinși din sursa  $s$ . Demonstrăm mai întâi că la terminare  $d[v] = \delta(s, v)$  pentru toate vârfurile  $v \in V$ . Dacă vârful  $v$  este accesibil din  $s$ , atunci afirmația formulată rezultă pe baza lemei 25.12. Dacă  $v$  nu este accesibil din  $s$ , atunci afirmația rezultă din corolarul 25.6. Rezultă că afirmația formulată este demonstrată pentru toate vârfurile grafului. Lema 25.9, împreună cu această proprietate, implică faptul că  $G_\pi$  este un arbore al drumurilor minime. Să folosim acum această proprietate pentru a demonstra că BELLMAN-FORD returnează ADEVĂRAT. La terminare, avem pentru toate muchiile  $(u, v) \in E$ ,

$$\begin{aligned} d[v] &= \delta(s, v) \\ &\leq \delta(s, u) + w(u, v) \text{ (prin lema 25.3)} \\ &= d[u] + w(u, v), \end{aligned}$$

și ca atare niciunul din testeile din linia 6 nu va determina ca BELLMAN-FORD să returneze FALS, deci va fi returnat ADEVĂRAT.

Reciproc, să presupunem că graful  $G$  conține un ciclu  $c = \langle v_0, v_1, \dots, v_k \rangle$  de cost negativ, accesibil din sursa  $s$ , unde  $v_0 = v_k$ . Atunci

$$\sum_{i=1}^k w(v_{i-1}, v_i) < 0. \quad (25.3)$$

Să presupunem prin absurd că algoritmul BELLMAN-FORD returnează ADEVĂRAT. Atunci  $d[v_i] \leq d[v_{i-1}] + w(v_{i-1}, v_i)$  pentru  $i = 1, 2, \dots, k$ . Însumând aceste relații de-a lungul ciclului  $c$  obținem

$$\sum_{i=1}^k d[v_i] \leq \sum_{i=1}^k d[v_{i-1}] + \sum_{i=1}^k w(v_{i-1}, v_i).$$

Ca și în cazul demonstrației lemei 25.8, fiecare vârf din  $c$  apare exact o singură dată în fiecare dintre cele două sume, deci

$$\sum_{i=1}^k d[v_i] = \sum_{i=1}^k d[v_{i-1}].$$

Deoarece prin corolarul 25.13,  $d[v_i]$  este finită pentru  $i = 1, 2, \dots, k$ , rezultă

$$0 \leq \sum_{i=1}^k w(v_{i-1}, v_i),$$

ceea ce contrazice inegalitatea (25.3). În concluzie, algoritmul BELLMAN-FORD returnează ADEVĂRAT dacă graful  $G$  nu conține cicluri de cost negativ, accesibile din sursă  $s$  și FALSE în caz contrar. ■

## Exerciții

**25.3-1** Aplicați algoritmul Bellman-Ford grafului orientat reprezentat în figura 25.7, utilizând vârful  $y$  ca vârf sursă. Să se relaxeze muchiile în ordine lexicografică la fiecare trecere și să se afișeze valorile  $d$  și  $\pi$  după fiecare trecere. În continuare, modificați costul muchiei  $(y, v)$  astfel încât noul cost să fie egal cu 4 și aplicați din nou algoritmul, utilizând vârful  $z$  ca vârf sursă.

**25.3-2** Demonstrați corolarul 25.13.

**25.3-3** Fiind dat un graf  $G = (V, E)$  orientat, cu costuri, care nu conține cicluri de cost negativ, fie  $m$  valoarea maximă peste toate perechile de vârfuri  $u, v \in V$  a numărului minim de muchii care compun un drum minim de la  $u$  la  $v$ . (Un drum minim se referă la cost și nu la numărul de muchii.) Propuneți o modificare simplă a algoritmului Bellman-Ford pentru calculul valorii  $m$  în  $m + 1$  treceri.

**25.3-4** Modificați algoritmul Bellman-Ford astfel încât să atribuie  $-\infty$  ca valoare pentru  $d[v]$  tuturor vâfurilor  $v$  cu proprietatea că există un ciclu de cost negativ pe cel puțin un drum de la sursă la  $v$ .

**25.3-5** Fie  $G = (V, E)$  un graf orientat cu costuri, cu funcția de cost  $w : E \rightarrow \mathbb{R}$ . Obțineți un algoritm de timp  $O(VE)$  pentru determinarea valorii  $\delta^*(v) = \min_{u \in V} \{\delta(u, v)\}$ , pentru fiecare vârf  $v \in V$ .

**25.3-6** \* Presupunem că graful orientat cu costuri  $G = (V, E)$  are un ciclu de cost negativ. Propuneți un algoritm eficient pentru listarea vârfurilor unui astfel de ciclu. Demonstrați corectitudinea algoritmului propus.

## 25.4. Drumuri minime de sursă unică în grafuri orientate aciclice

Prin relaxarea muchiilor unui graf orientat aciclic cu costuri  $G = (V, E)$ , putem determina drumurile minime de sursă unică în timp  $\Theta(V + E)$ . Drumurile minime sunt întotdeauna bine definite într-un astfel de graf datorită faptului că acesta nu poate avea cicluri de cost negativ, chiar dacă graful conține muchii de cost negativ.

Algoritmul începe prin sortarea topologică a grafului (vezi secțiunea 23.4) pentru impunerea unei ordini liniare a vârfurilor. Dacă există un drum de la vârful  $u$  la vârful  $v$  atunci  $u$  precede  $v$  în ordinea topologică. În continuare, se efectuează o singură trecere peste vârfurile sorteate topologic și pe măsură ce fiecare vârf este procesat, sunt relaxate toate muchiile divergente din acel vârf.

**GOA-DRUMURI-MINIME**( $G, w, s$ )

- 1: sortează în ordine topologică vârfurile din  $G$
- 2: **INITIALIZEAZĂ-SURSA-UNICĂ**( $G, s$ )
- 3: **pentru** fiecare vârf  $u$  în ordinea dată de sortarea topologică **execută**
- 4:   **pentru** fiecare vârf  $v \in \text{Adj}[u]$  **execută**
- 5:     **RELAXEAZĂ**( $u, v, w$ )

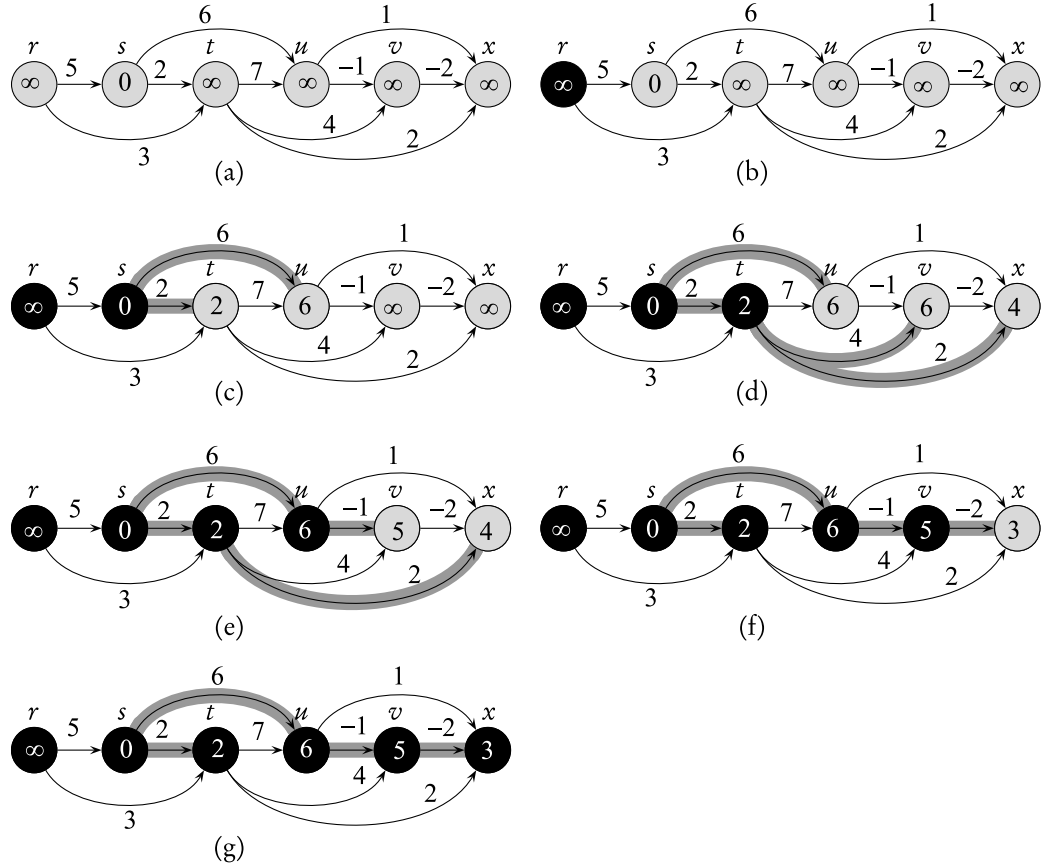
Un exemplu de aplicare a acestui algoritm este prezentat în figura 25.8.

Timpul de execuție al acestui algoritm este determinat de linia 1 și de bucla **pentru** din liniile 3–5. Conform demonstrației din secțiunea 23.4, sortarea topologică poate fi realizată în timp  $\Theta(V + E)$ . În bucla **pentru** din liniile 3–5, ca și în algoritmul Dijkstra, este efectuată o singură iterație pentru fiecare vârf. Pentru fiecare vârf, fiecare muchie divergentă din acel vârf este examinată o singură dată. Spre deosebire de algoritmul Dijkstra, nu există nici o coadă de priorități și, astfel, pentru fiecare muchie este necesar un timp  $O(1)$ . În concluzie, timpul total necesar este  $\Theta(V + E)$ , deci algoritmul este liniar în dimensiunea unei reprezentări prin lista de adiacență a grafului.

Următoarea teoremă stabilește că procedura GOA-DRUMURI-MINIME determină corect drumurile minime.

**Teorema 25.15** Dacă graful orientat cu costuri  $G = (V, E)$  și de sursă  $s$  nu are cicluri, atunci la terminarea procedurii GOA-DRUMURI-MINIME,  $d[v] = \delta(s, v)$  pentru toate vârfurile  $v \in V$  și subgraful predecesorilor  $G_\pi$  este un arbore al drumurilor minime.

**Demonstrație.** Începem prin a demonstra că la terminare  $d[v] = \delta(s, v)$  pentru toate vârfurile  $v \in V$ . Dacă  $v$  nu este accesibil din  $s$ , atunci pe baza corolarului 25.6 rezultă  $d[v] = \delta(s, v) = \infty$ . Să presupunem că  $v$  este accesibil din  $s$  deci există un drum minim  $p = \langle v_0, v_1, \dots, v_k \rangle$  unde  $v_0 = s$  și  $v_k = v$ . Deoarece vârfurile sunt procesate în ordine topologică, muchiile lui  $p$  vor fi procesate în ordinea  $(v_0, v_1), (v_1, v_2), \dots, (v_{k-1}, v_k)$ . Utilizând un argument de tip inductiv și



**Figura 25.8** Aplicarea algoritmului pentru determinarea drumurilor minime ale unui graf aciclic orientat. Vârfurile sunt sortate topologic de la stânga la dreapta. Vârful sursă este  $s$ . Valorile  $d$  sunt indicate în interiorul vârfurilor, iar muchiile hașurate reprezintă valorile  $\pi$ . (a) Starea existentă înainte de prima iterare a buclei **pentru** din liniile 3–5. (b)–(g) Stările rezultate după fiecare iterare a buclei **pentru** din liniile 3–5. Vârful marcat la fiecare iterare a fost utilizat ca vârf  $u$  la iterarea respectivă. Valorile finale sunt prezentate în (g).

utilizând lema 25.7 (similar demonstrației lemei 25.12) obținem la terminare,  $d[v_i] = \delta(s, v_i)$  pentru  $i = 0, 1, \dots, k$ . În final, pe baza lemei 25.9, rezultă că  $G_\pi$  este un arbore al drumurilor minime. ■

O aplicație interesantă a acestui algoritm este în determinarea drumurilor critice în analiza **graficelor PERT**<sup>2</sup>. Muchiile reprezintă lucrările ce trebuie efectuate, iar costurile exprimă timpii necesari efectuării diferitelor lucrări. Dacă muchia  $(u, v)$  intră în vârful  $v$  și muchia  $(v, x)$ iese din vârful  $v$ , atunci efectuarea lucrării  $(u, v)$  trebuie realizată înaintea lucrării  $(v, x)$ . Un drum în acest graf orientat aciclic reprezintă o anumită secvență de lucrări și ordinea în care ele trebuie efectuate. Un **drum critic** este un *cel mai lung* drum în acest graf orientat aciclic,

<sup>2</sup>“PERT” este un acronim pentru “program evaluation and review technique”

reprezentând timpul maxim necesar efectuării unei secvențe de lucrări într-o anumită ordine. Costul unui drum critic este o margine inferioară a timpului total necesar efectuării tuturor lucrărilor. Putem determina un drum critic fie

- asociind muchiilor costurile rezultate prin amplificarea cu  $(-1)$  a costurilor inițiale și aplicând GOA-DRUMURI-MINIME sau
- aplicând GOA-DRUMURI-MINIME în care înlocuim  $\infty$  cu  $-\infty$  în linia 2 a procedurii INITIATEAZĂ-SURSA-UNICĂ și  $>$  prin  $<$  în procedura RELAXEAZĂ.

## Exerciții

**25.4-1** Aplicați algoritmul GOA-DRUMURI-MINIME grafului orientat prezentat în figura 25.8 utilizând ca sursă vârful  $r$ .

**25.4-2** Presupunem că modificăm linia 3 din GOA-DRUMURI-MINIME în modul următor:

3: pentru primele  $|V| - 1$  vârfuri luate în ordine topologică

Demonstrați că procedura rezultată este de asemenea corectă.

**25.4-3** Analiza PERT prezentată mai sus este destul de neintuitivă. Ar fi mult mai natural ca vârfurile să reprezinte lucrările, iar muchiile restricțiile asupra ordinii în care acestea trebuie să fie efectuate, adică muchia  $(u, v)$  indică faptul că lucrarea  $u$  trebuie efectuată înaintea lucrării  $v$ . În acest caz costurile nu vor mai fi asociate muchiilor, ci vor fi asociate vârfurilor. Modificați procedura GOA-DRUMURI-MINIME astfel încât să determine în timp liniar un cel mai lung drum într-un graf orientat aciclic cu vârfurile având costuri date.

**25.4-4** Propuneți un algoritm eficient pentru calculul numărului total de drumuri într-un graf orientat și aciclic. Analizați algoritmul propus și comentați asupra aspectelor de ordin practic.

## 25.5. Constrângeri cu diferențe și drumurile minime

În cadrul unei probleme de programare liniară, în general, dorim să optimizăm o funcție liniară supusă unor constrângeri formulate matematic prin intermediul unui sistem de inecuații liniare. În cadrul acestei secțiuni vom investiga un caz special de programare liniară care poate fi redus la determinarea drumurilor minime de sursă unică. Problema determinării drumurilor minime de sursă unică, astfel rezultată, poate fi rezolvată utilizând algoritmul Bellman-Ford, obținând astfel soluția problemei de programare liniară considerată.

### Programare liniară

Într-o problemă generală de **programare liniară** sunt date o matrice  $A$  de dimensiune  $m \times n$ , un vector  $b$  de dimensiune  $m$  și un vector  $c$  de dimensiune  $n$ . Se dorește determinarea unui vector  $x$  cu  $n$  componente care maximizează **funcția obiectiv**  $\sum_{i=1}^n c_i x_i$  supusă la  $m$  constrângeri date de  $Ax \leq b$ .

Multitudinea problemelor care pot fi formulate ca programe liniare justifică interesul deosebit acordat obținerii de algoritmi pentru programarea liniară. În practică, **algoritmul simplex**<sup>3</sup> rezolvă rapid programe liniare, dar pot fi imaginate date de intrare pentru care algoritmul să necesite timp de execuție exponențial. Programele liniare generale pot fi rezolvate în timp polinomial fie prin **algoritmul elipsoidului**, care însă în practică se dovedește a fi destul de lent, fie prin **algoritmul Karmarkar** care, în mod frecvent, în practică, este competitiv cu metoda simplex.

Datorită dezvoltărilor de ordin matematic, necesare pentru înțelegerea și analiza acestor algoritmi, în cadrul secțiunii de față nu vor fi prezentate algoritmii de programare liniară generali. Totuși, din mai multe motive este importantă înțelegerea elementelor esențiale în cadrul abordărilor pe baza tehniciilor de programare liniară. În primul rând, dacă se cunoaște ca o anumită problemă poate fi identificată ca o problemă de programare liniară de tip polinomial, rezultă că există un algoritm de complexitate temporală polinomială pentru rezolvarea acestei probleme. În al doilea rând, există o serie de cazuri speciale de probleme de programare liniară pentru care sunt cunoscuți algoritmi mai rapizi. De exemplu, conform considerațiilor care urmează să fie efectuate în cadrul acestei secțiuni, problema drumurilor minime de sursă unică este un caz special de programare liniară. Din clasa problemelor ce pot fi identificate ca probleme de programare liniară menționăm problema drumului minim de extremități date (exercițiul 25.5-4) și problema fluxului maxim (exercițiul 27.1-8).

În anumite cazuri, de fapt, nu ne interesează funcția obiectiv și dorim doar să determinăm o **soluție admisibilă** oarecare, adică orice vector  $x$  care verifică sistemul  $Ax \leq b$  sau să demonstrăm că nu există soluții admisibile. În cele ce urmează ne vom concentra pe o astfel de **problemă de admisibilitate**.

## Sisteme de constrângeri cu diferențe

Într-un **sistem de constrângeri cu diferențe**, fiecare linie a matricei  $A$  are toate componente egale cu 0, cu excepția a două componente, una dintre ele egală cu 1 și cealaltă egală cu  $-1$ . În acest fel, constrângările reprezentate de sistemul  $Ax \leq b$  revin la  $m$  **constrângeri cu diferențe** asupra a  $n$  necunoscute, fiecare constrângere fiind o inegalitate de expresie

$$x_j - x_i \leq b_k$$

unde  $1 \leq i, j \leq n$  și  $1 \leq k \leq m$ .

De exemplu, să considerăm problema determinării unui vector 5-dimensional  $x = (x_i)$  astfel încât să satisfacă

---

<sup>3</sup> Algoritmul simplex determină o soluție optimală a unei probleme de programare liniară prin examinarea unei secvențe de puncte în regiunea admisibilă – submulțimea spațiului  $n$ -dimensional, soluție a sistemului  $Ax \leq b$ . Algoritmul se bazează pe faptul că o soluție care maximizează funcția obiectiv în regiunea admisibilă este plasată într-un “punct extrem” sau “colț” al regiunii admisibile. Algoritmul simplex determină trecerea de la un vîrf la altul al regiunii admisibile până când nu se mai realizează nici o ameliorare a funcției obiectiv. Un “simplex” este închiderea convexă (vezi secțiunea 35.3) a  $d + 1$  puncte în spațiul  $d$ -dimensional (de exemplu, triunghiul în plan sau tetraedrul în spațiu cu 3 dimensiuni). Conform cu Dantzig [53], operația de deplasare de la un vîrf la altul poate fi văzută ca o operație pe un simplex derivat dintr-o interpretare “duală” a problemei de programare liniară – ceea ce justifică termenul de “metoda simplex”.

$$\begin{pmatrix} 1 & -1 & 0 & 0 & 0 \\ 1 & 0 & 0 & 0 & -1 \\ 0 & 1 & 0 & 0 & -1 \\ -1 & 0 & 1 & 0 & 0 \\ -1 & 0 & 0 & 1 & 0 \\ 0 & 0 & -1 & 1 & 0 \\ 0 & 0 & -1 & 0 & 1 \\ 0 & 0 & 0 & -1 & 1 \end{pmatrix} \begin{pmatrix} x_1 \\ x_2 \\ x_3 \\ x_4 \\ x_5 \end{pmatrix} \leq \begin{pmatrix} 0 \\ -1 \\ 1 \\ 5 \\ 4 \\ -1 \\ -3 \\ -3 \end{pmatrix}$$

Această problemă este echivalentă cu problema determinării valorilor  $x_i$ ,  $i = 1, 2, \dots, 5$  astfel încât următoarele 8 constrângeri cu diferențe să fie îndeplinite,

$$\begin{aligned} x_1 - x_2 &\leq 0, \\ x_1 - x_5 &\leq -1, \\ x_2 - x_5 &\leq 1, \\ x_3 - x_1 &\leq 5, \\ x_4 - x_1 &\leq 4, \\ x_4 - x_3 &\leq -1, \\ x_5 - x_3 &\leq -3, \\ x_5 - x_4 &\leq -3. \end{aligned} \tag{25.4}$$

Deoarece  $x = (-5, -3, 0, -1, -4)$  verifică fiecare dintre inegalitățile precedente, rezultă că  $x$  este o soluție a acestei probleme. De fapt, problema admite mai mult de o singură soluție; de exemplu  $x' = (0, 2, 5, 4, 1)$  este de asemenea soluție a acestei probleme. Se observă că între aceste două soluții există o anumită legătură și anume fiecare componentă a lui  $x'$  este suma dintre componenta pereche din  $x$  și numărul 5 și acest fapt nu este o simplă coincidență.

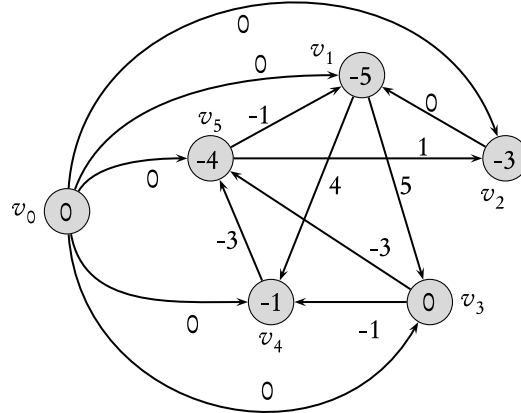
**Lema 25.16** Fie  $x = (x_1, x_2, \dots, x_n)$  o soluție a sistemului de constrângeri cu diferențe  $Ax \leq b$  și  $d$  o constantă arbitrară. Atunci  $x + d = (x_1 + d, x_2 + d, \dots, x_n + d)$  este de asemenea o soluție a sistemului  $Ax \leq b$ .

**Demonstratie.** Pentru fiecare  $x_i$  și  $x_j$  avem  $(x_j + d) - (x_i + d) = x_j - x_i$ . Deci, dacă  $x$  satisfacă sistemul  $Ax \leq b$  atunci și  $x + d$  îl satisfacă. ■

Sistemele de constrângeri cu diferențe apar în cadrul multor aplicații practice. De exemplu, necunoscutele  $x_i$  pot reprezenta momentele de timp la care survin anumite evenimente. Fiecare constrângere poate exprima faptul că un eveniment nu poate apărea mult mai târziu decât un alt eveniment. Posibil ca evenimentele să corespundă lucrărilor ce trebuie executate pe durata construcției unei clădiri. Dacă săpatul fundației clădirii începe în momentul  $x_1$  și necesită 3 zile și turnatul betonului pentru fundație începe în momentul  $x_2$ , atunci poate fi formulată constrângerea  $x_2 \geq x_1 + 3$  ceea ce poate fi scrisă în mod echivalent  $x_1 - x_2 \leq -3$ . Cu alte cuvinte, constrângerea relativă în momentele începerii celor două acțiuni poate fi exprimată ca o constrângere cu diferențe.

## Grafuri de constrângere

Este preferabilă interpretarea sistemului de constrângeri cu diferențe și din punctul de vedere al teoriei grafurilor. Ideea este că într-un sistem de constrângeri cu diferențe  $Ax \leq b$ , matricea  $A$



**Figura 25.9** Graful constrângerilor corespunzător sistemului de constrângerile cu diferențe (25.4). Valoarea  $\delta(v_0, v_i)$  este reprezentată în fiecare vîrf  $v_i$ . O soluție admisibilă a sistemului este  $x = (-5, -3, 0, -1, -4)$ .

având dimensiunea  $n \times m$  poate fi interpretată ca matricea de incidență (vezi exercițiul 23.1-7) a unui graf având  $n$  vîrfuri și  $m$  muchii. Fiecare vîrf  $v_i$  al grafului,  $i = 1, 2, \dots, n$  corespunde uneia dintre cele  $n$  variabile necunoscute  $x_i$  și fiecare muchie orientată corespunde uneia dintre cele  $m$  inegalități în care sunt implicate două necunoscute.

Exprimat în termeni formali, unui sistem de constrângerile cu diferențe  $Ax \leq b$ , î se atâșează **graful constrângerilor**, un graf orientat cu costuri  $G = (V, E)$  unde

$$V = \{v_0, v_1, \dots, v_n\}$$

și

$$E = \{(v_i, v_j) : x_j - x_i \leq b_k \text{ este o constrângere}\} \cup \{(v_0, v_1), (v_0, v_2), (v_0, v_3), \dots, (v_0, v_n)\}.$$

Vîrful suplimentar  $v_0$  este introdus, conform discuției următoare, pentru a garanta că orice alt vîrf este accesibil din  $v_0$ . Astfel, mulțimea de vîrfuri  $V$  constă din câte un vîrf  $v_i$  pentru fiecare necunoscută  $x_i$  și vîrful suplimentar  $v_0$ . Mulțimea de muchii  $E$  conține câte o muchie pentru fiecare constrângere cu diferențe și în plus câte o muchie  $(v_0, v_i)$  pentru fiecare necunoscută  $x_i$ . Dacă  $x_j - x_i \leq b_k$  este o constrângere cu diferențe, atunci costul muchiei  $(v_i, v_j)$  este  $w(v_i, v_j) = b_k$ . Costul fiecărei muchii divergente din  $v_0$  este egal cu 0. În figura 25.9 este reprezentat graful constrângerilor pentru sistemul de constrângerile cu diferențe (25.4).

Următoarea teoremă stabilește că o soluție a sistemului de constrângerile cu diferențe poate fi obținută prin determinarea costurilor drumurilor minime în graful constrângerilor atașat.

**Teorema 25.17** Fie dat un sistem de constrângerile cu diferențe  $Ax \leq b$  și fie  $G = (V, E)$  graful constrângerilor atașat. Dacă  $G$  nu conține cicluri de cost negativ, atunci

$$x = (\delta(v_0, v_1), \delta(v_0, v_2), \delta(v_0, v_3), \dots, \delta(v_0, v_n)) \quad (25.5)$$

este o soluție admisibilă a sistemului. Dacă  $G$  conține cicluri de cost negativ, atunci sistemul nu are soluții admisibile.

**Demonstrație.** Demonstrăm mai întâi că, dacă graful constrângerilor nu conține cicluri de cost negativ, atunci  $x$  definit de (25.5) este o soluție admisibilă. Fie o muchie arbitrară  $(v_i, v_j) \in E$ . Prin lema 25.3,  $\delta(v_0, v_j) \leq \delta(v_0, v_i) + w(v_i, v_j)$ , sau echivalent,  $\delta(v_0, v_j) - \delta(v_0, v_i) \leq w(v_i, v_j)$ . Rezultă că pentru  $x_i = \delta(v_0, v_i)$  și  $x_j = \delta(v_0, v_j)$  constrângerea  $x_j - x_i \leq w(v_i, v_j)$  corespunzătoare muchiei  $(v_i, v_j)$  este satisfăcută.

Să demonstrăm acum că dacă graful constrângerilor are cicluri de cost negativ, atunci sistemul de constrângerii cu diferențe nu are soluție. Fără restrângerea generalității putem presupune că ciclul de cost negativ este  $c = \langle v_1, v_2, \dots, v_k \rangle$ , unde  $v_1 = v_k$ . (Vârful  $v_0$  nu poate apartine ciclului  $c$  deoarece nu există muchii care intră în acest vârf.) Atunci, ciclul  $c$  corespunde următoarelor constrângerii cu diferențe:

$$\begin{aligned} x_2 - x_1 &\leq w(v_1, v_2), \\ x_2 - x_2 &\leq w(v_2, v_3), \\ &\vdots \\ x_k - x_{k-1} &\leq w(v_{k-1}, v_k), \\ x_1 - x_k &\leq w(v_k, v_1). \end{aligned}$$

Deoarece orice soluție  $x$  trebuie să satisfacă fiecare dintre aceste  $k$  inegalități, orice soluție va satisface și inegalitatea rezultată prin însumarea acestora. Deoarece în membrul stâng fiecare necunoscută  $x_i$  este o dată adunată și o dată scăzută, prin însumare, membrul stâng este egal cu 0. Prin însumarea membrilor drepti rezultă  $w(c)$  deci obținem  $0 \leq w(c)$ . Deoarece  $c$  este un ciclu de cost negativ  $w(c) < 0$ , deci orice soluție trebuie să satisfacă  $0 \leq w(c) < 0$  ceea ce este imposibil. ■

## Rezolvarea sistemelor de constrângerii cu diferențe

Teorema 25.17 permite aplicarea algoritmului Bellman-Ford pentru rezolvarea sistemelor de constrângerii cu diferențe. Deoarece vârful sursă  $v_0$  este conectat cu fiecare dintre celealte vârfuri din graful constrângerilor, rezultă că orice ciclu de cost negativ este accesibil din  $v_0$ . Astfel, dacă algoritmul Bellman-Ford returnează ADEVĂRAT, atunci costurile unui drum minim determină o soluție admisibilă a sistemului. De exemplu, în figura 25.9 costurile unui drum minim determină soluția  $x = (-5, -3, 0, -1, -4)$  și prin lema 25.16,  $x = (d - 5, d - 3, d, d - 1, d - 4)$  este de asemenea o soluție, pentru orice constantă  $d$ . Dacă algoritmul Bellman-Ford returnează FALSE, atunci sistemul de constrângerii cu diferențe nu are soluție admisibilă.

Graful constrângerilor atașat unui sistem de constrângerii cu diferențe cu  $m$  constrângerii și  $n$  necunoscute are  $n + 1$  vârfuri și  $n + m$  muchii. Rezultă că pe baza algoritmului Bellman-Ford, sistemul poate fi rezolvat în timp  $O((n+1)(n+m)) = O(n^2 + nm)$ . Exercițiul 25.5-5 vă cere să demonstrezi că în realitate acest algoritm se execută în timp  $O(nm)$  chiar dacă  $m$  este mult mai mic decât  $n$ .

## Exerciții

**25.5-1** Determinați o soluție admisibilă sau decideți că nu există soluție pentru următorul sistem de constrângeri cu diferențe:

$$\begin{aligned}x_1 - x_2 &\leq 1, \\x_1 - x_4 &\leq -4, \\x_2 - x_3 &\leq 2, \\x_2 - x_5 &\leq 7, \\x_2 - x_6 &\leq 5, \\x_3 - x_6 &\leq 10, \\x_4 - x_2 &\leq 2, \\x_5 - x_1 &\leq -1, \\x_5 - x_4 &\leq 3, \\x_6 - x_3 &\leq -8.\end{aligned}$$

**25.5-2** Determinați o soluție admisibilă sau decideți că nu există soluție pentru următorul sistem de constrângeri cu diferențe:

$$\begin{aligned}x_1 - x_2 &\leq 4, \\x_1 - x_5 &\leq 5, \\x_2 - x_4 &\leq -6, \\x_3 - x_2 &\leq 1, \\x_4 - x_1 &\leq 3, \\x_4 - x_3 &\leq 5, \\x_4 - x_5 &\leq 10, \\x_5 - x_3 &\leq -4, \\x_5 - x_4 &\leq -8.\end{aligned}$$

**25.5-3** Este posibil ca toate drumurile minime de la vârful  $v_0$  într-un graf de constrângeri să fie pozitive? Justificați.

**25.5-4** Exprimăți problema drumului minim de extremități date ca un program liniar.

**25.5-5** Arătați cum poate fi modificat algoritmul Bellman-Ford, astfel încât, aplicat pentru rezolvarea unui sistem de constrângeri cu diferențe de  $m$  inegalități și  $n$  necunoscute, să se execute în timp  $O(mn)$ .

**25.5-6** Arătați cum poate fi rezolvat un sistem de constrângeri cu diferențe pe baza algoritmului Bellman-Ford aplicat unui graf care nu are vârful suplimentar  $v_0$ .

**25.5-7 \*** Fie  $Ax \leq b$  un sistem de  $m$  constrângeri cu diferențe asupra  $n$  necunoscute. Arătați că algoritmul Bellman-Ford, aplicat grafului constrângerilor maximizează  $\sum_{i=1}^n x_i$  pe domeniul  $Ax \leq b, x_i \leq 0$ , pentru orice  $x_i$ .

**25.5-8 \*** Arătați că algoritmul Bellman-Ford aplicat grafului constrângerilor atașat sistemului de constrângeri cu diferențe  $Ax \leq b$ , minimizează  $(\max\{x_i\} - \min\{x_i\})$  pe domeniul  $Ax \leq b$ . Explicați utilitatea acestei proprietăți în cazul în care algoritmul este aplicat pentru planificarea lucrărilor în construcții.

**25.5-9** Presupunem că fiecare linie a matricei  $A$  a programului liniar  $Ax \leq b$  corespunde unei constrângeri cu diferențe, de o singură variabilă, în forma  $x_i \leq b_k$  sau în forma  $-x_i \leq b_k$ . Arătați că algoritmul Bellman-Ford poate fi adaptat pentru rezolvarea acestui tip de sistem de constrângeri.

**25.5-10** Să presupunem că vrem să adăugăm și constrângeri de tip egalitate  $x_i = x_j + b_k$  la un sistem de constrângeri cu diferențe. Arătați cum poate fi adaptat algoritmul Bellman-Ford pentru rezolvarea acestui tip de constrângeri.

**25.5-11** Propuneți un algoritm eficient pentru rezolvarea unui sistem de constrângeri cu diferențe  $Ax \leq b$  unde toate componentele vectorului  $b$  sunt numere reale și toate valorile  $x_i$  trebuie să fie numere întregi.

**25.5-12 \*** Propuneți un algoritm eficient pentru rezolvarea unui sistem de constrângeri cu diferențe  $Ax \leq b$  unde toate componentele vectorului  $b$  sunt numere reale și o parte, dar nu în mod necesar toate, dintre valorile  $x_i$  trebuie să fie numere întregi.

## Probleme

### 25-1 Varianta Yen a algoritmului Bellman-Ford

Să presupunem că, la fiecare trecere a algoritmului Bellman-Ford, relaxarea muchiilor este realizată în ordinea descrisă în continuare. Înainte de prima trecere, atribuim o ordine liniară arbitrară  $v_1, v_2, \dots, v_{|V|}$  vîrfurilor grafului de intrare  $G = (V, E)$ . În continuare, partiziționăm multimea de muchii  $E$  în  $E_f \cup E_b$  unde  $E_f = \{(v_i, v_j) \in E : i < j\}$  și  $E_b = \{(v_i, v_j) \in E : i > j\}$ . Definim  $G_f = (V, E_f)$  și  $G_b = (V, E_b)$ .

- a. Demonstrați că  $G_f$  este graf aciclic cu ordinea topologică  $\langle v_1, v_2, \dots, v_{|V|} \rangle$  și  $G_b$  este aciclic cu ordinea topologică  $\langle v_{|V|}, v_{|V|-1}, \dots, v_1 \rangle$ .

Să presupunem că dorim să implementăm fiecare trecere a algoritmului Bellman-Ford în modul următor. Vizităm vîrfurile în ordinea  $v_1, v_2, \dots, v_{|V|}$ , relaxând muchiile multimediei  $E_f$ . Apoi vizităm fiecare vîrf în ordinea  $v_{|V|}, v_{|V|-1}, \dots, v_1$ , relaxând fiecare muchie a multimediei  $E_b$  care pleacă din vîrf.

- b. Demonstrați pentru schema descrisă, că dacă  $G$  nu conține cicluri de cost negativ accesibile din vîrful sursă  $s$ , atunci după numai  $\lceil |V|/2 \rceil$  treceri prin multimedie muchiilor, avem  $d[v] = \delta(s, v)$  pentru orice vîrf  $v \in V$ .
- c. Cum se modifică, în acest caz, timpul de execuție al algoritmului Bellman-Ford?

### 25-2 Imbricarea cutiilor

Spunem că o cutie  $d$ -dimensională, având dimensiunile  $(x_1, x_2, \dots, x_d)$  este **imbricată** într-o a doua cutie de dimensiuni  $(y_1, y_2, \dots, y_d)$  dacă există o permutare  $\pi$  a multimediei  $\{1, 2, \dots, d\}$  astfel încât,  $x_{\pi(1)} < y_1, x_{\pi(2)} < y_2, \dots, x_{\pi(d)} < y_d$ .

- a. Justificați că relația de imbricare este tranzitivă.

- b. Propuneți o metodă eficientă pentru a decide dacă o cutie  $d$ -dimensională este imbricată sau nu într-o a două cutie.
- c. Presupunem că este dată o mulțime de cutii  $d$ -dimensionale,  $\{B_1, B_2, \dots, B_n\}$ . Descrieți un algoritm eficient pentru determinarea celei mai lungi secvențe de cutii  $\{B_{i_1}, B_{i_2}, \dots, B_{i_k}\}$  cu proprietatea că  $B_{i_j}$  este imbricată în  $B_{i_{j+1}}$  pentru  $j = 1, 2, \dots, k - 1$ . Evaluați timpul de execuție al algoritmului propus în termenii valorilor  $n$  și  $d$ .

### 25-3 Arbitraj

Prin **arbitraj** înțelegem utilizarea discrepanțelor existente între ratele de schimb pentru transformarea unei unități dintr-un anumit tip de valută în una sau mai multe unități de același tip. De exemplu, să presupunem că 1 dolar american poate cumpăra 0,7 lire englezesti; 1 liră englezescă poate cumpăra 9,5 franci francezi și 1 franc francez poate cumpăra 0,16 dolari americani. Atunci, prin conversia descrisă, cu 1 dolar american se pot cumpăra  $0,7 \times 9,5 \times 0,16 = 1,064$  dolari americani, deci se obține un profit de 6,4 procente.

Presupunem că sunt date  $n$  tipuri de valută  $c_1, c_2, \dots, c_n$  și un tabel  $R$  de dimensiune  $n \times n$  a ratelor de schimb astfel încât o unitate din tipul  $c_i$  poate cumpăra  $R[i, j]$  unități din tipul  $c_j$

- a. Propuneți un algoritm eficient pentru a decide dacă există sau nu o secvență  $\langle c_{i_1}, c_{i_2}, \dots, c_{i_k} \rangle$  astfel încât

$$R[i_1, i_2] \cdot R[i_2, i_3] \cdots R[i_{k-1}, i_k] \cdot R[i_k, i_1] > 1.$$

Analizați timpul de execuție al algoritmului propus.

- b. Să se propuna un algoritm eficient pentru tipărirea unei astfel de secvențe în cazul în care există. Analizați timpul de execuție al algoritmului propus.

### 25-4 Algoritmul de scalare Gabow pentru drumurile minime de sursă unică

Un algoritm de **scalare** rezolvă o problemă prin considerarea în momentul inițial numai a bitului de ordin maxim din fiecare dată de intrare relevantă (cum este, de exemplu, costul unei muchii). Soluția inițială este rafinată prin luarea în considerare a bitului de ordin imediat următor, în continuare procesul fiind iterat, la fiecare etapă fiind efectuată o nouă rafinare a soluției, până când toți bitii sunt utilizati și s-a calculat soluția corectă.

În această problemă, ne interesează un algoritm pentru determinarea drumurilor minime de sursă unică prin scalarea costurilor muchiilor. Presupunem că avem un graf orientat  $G = (V, E)$ , ale cărui muchii au drept costuri numere întregi nenegative  $w$ . Fie  $W = \max_{(u,v) \in E} \{w(u, v)\}$ . Ne propunem să obținem un algoritm cu timpul de execuție  $O(E \lg W)$ . Presupunem că toate vârfurile pot fi atinse din sursă.

Algoritmul elimină, unul câte unul, bitii din reprezentarea binară corespunzătoare costurilor muchiilor, începând cu bitul cel mai semnificativ și terminând cu cel mai puțin semnificativ. Mai exact, fie  $k = \lceil \lg(W + 1) \rceil$  numărul de biți din reprezentarea binară a lui  $W$  și pentru  $i = 1, 2, \dots, k$ , fie  $w_i(u, v) = \lfloor w(u, v)/2^{k-i} \rfloor$ . Cu alte cuvinte,  $w_i(u, v)$  este versiunea “scalată cu un factor negativ” a lui  $w(u, v)$  dacă  $i$  este cel mai semnificativ bit al lui  $w(u, v)$ . (Rezultă astfel,  $w_k(u, v) = w(u, v)$  pentru toate muchiile  $(u, v) \in E$ .) De exemplu, dacă  $k = 5$  și  $w(u, v) = 25$ , a cărui reprezentare binară este  $\langle 11001 \rangle$ , atunci  $w_3(u, v) = \langle 110 \rangle = 6$ . De asemenea, dacă  $k = 5$  și  $w(u, v) = \langle 00100 \rangle = 4$ , atunci  $w_3(u, v) = \langle 001 \rangle = 1$ . Definim  $\delta_i(u, v)$  costul unui drum minim de la vârful  $u$  la vârful  $v$  utilizând funcția de cost  $w_i$ . Rezultă că pentru toate vârfurile  $u, v \in V$ ,

$\delta_k(u, v) = \delta(u, v)$ . Pentru vârful sursă  $s$  dat, algoritmul de scalare calculează mai întâi costurile drumurilor minime  $\delta_1(s, v)$ , pentru orice  $v \in V$ , în continuare calculează  $\delta_2(s, v)$ , pentru orice  $v \in V$  și aşa mai departe până se ajunge la  $\delta_k(s, v)$ , pentru orice  $v \in V$ . Vom presupune în cele ce urmează că  $|E| \geq |V| - 1$  și vom demonstra că evaluarea lui  $\delta_i$  pe baza lui  $\delta_{i-1}$  necesită un timp  $O(E)$ , deci acest algoritm se execută într-un timp  $O(kE) = O(E \lg W)$ .

- a. Să presupunem că pentru toate vârfurile  $v \in V$  avem  $\delta(s, v) \leq |E|$ . Demonstrați că timpul necesar pentru calculul valorilor  $\delta(s, v)$  pentru orice  $v \in V$  este  $O(E)$ .
- b. Demonstrați că putem calcula  $\delta_1(s, v)$  pentru orice  $v \in V$ , într-un timp  $O(E)$ . Ne preocupăm în continuare de calculul lui  $\delta_i$  pe baza lui  $\delta_{i-1}$ .
- c. Demonstrați că pentru  $i = 2, 3, \dots, k$ , sau  $w_i(u, v) = 2w_{i-1}(u, v)$  sau  $w_i(u, v) = 2w_{i-1}(u, v) + 1$ . Demonstrați că pentru orice  $v \in V$ ,

$$2\delta_{i-1}(s, v) \leq \delta_i(s, v) \leq 2\delta_{i-1}(s, v) + |V| - 1.$$

- d. Pentru  $i = 2, 3, \dots, k$  și fiecare muchie  $(u, v) \in E$ , definim

$$\hat{w}_i(u, v) = w_i(u, v) + 2\delta_{i-1}(s, u) - 2\delta_{i-1}(s, v).$$

Demonstrați că pentru  $i = 2, 3, \dots, k$  și pentru toate vârfurile  $u, v \in V$ ,  $\hat{w}_i(u, v)$  este un număr întreg nenegativ.

- e. Fie  $\hat{\delta}_i(s, v)$  costul drumului minim de la  $s$  la  $v$  în cazul utilizării funcției de cost  $\hat{w}_i$ . Demonstrați că pentru  $i = 2, 3, \dots, k$  și pentru toate vârfurile  $v \in V$ ,

$$\delta_i(s, v) = \hat{\delta}_i(s, v) + 2\delta_{i-1}(s, v)$$

și că  $\hat{\delta}_i(s, v) \leq |E|$ .

- f. Arătați modul în care valorile  $\delta_i(s, v)$  se pot calcula pe baza valorilor  $\delta_{i-1}(s, v)$  pentru toate vârfurile  $v \in V$ , în timp  $O(E)$  și obțineți că valorile  $\delta(s, v)$  pentru orice  $v \in V$  pot fi calculate în timp  $O(E \lg W)$ .

### 25-5 Algoritmul Karp pentru determinarea ciclului de cost mediu minim

Fie  $G = (V, E)$  un graf orientat având funcția de cost  $w : E \rightarrow \mathbb{R}$  și fie  $n = |V|$ . **Costul mediu** al unui ciclu  $c = \langle e_1, e_2, \dots, e_k \rangle$  format din muchii din  $E$  este definit prin

$$\mu(c) = \frac{1}{k} \sum_{i=1}^k w(e_i).$$

Fie  $\mu^* = \min_c \mu(c)$  unde minimul este considerat peste mulțimea tuturor ciclurilor orientate din  $G$ . Spunem că ciclul  $c$  este un **ciclu de cost mediu minim**, dacă  $\mu(c) = \mu^*$ . În cadrul acestei probleme ne interesează obținerea unui algoritm eficient pentru calculul lui  $\mu^*$ .

Putem presupune, fără restrângerea generalității, că orice vârf  $v \in V$  este accesibil dintr-un vârf sursă  $s \in V$ . Fie  $\delta(s, v)$  costul unui drum minim de la  $s$  la  $v$  și fie  $\delta_k(s, v)$  costul unui drum minim de la  $s$  la  $v$  constând din exact  $k$  muchii. Dacă nu există nici un drum de la  $s$  la  $v$  constând din exact  $k$  muchii, atunci  $\delta_k(s, v) = \infty$ .

a. Arătați că dacă  $\mu^* = 0$ , atunci  $G$  nu conține cicluri de cost negativ și pentru toate vârfurile  $v \in V$ ,  $\delta(s, v) = \min_{0 \leq k \leq n-1} \delta_k(s, v)$ .

b. Arătați că dacă  $\mu^* = 0$ , atunci, pentru toate vârfurile  $v \in V$ ,

$$\max_{0 \leq k \leq n-1} \frac{\delta_n(s, v) - \delta_k(s, v)}{n - k} \geq 0.$$

(Indica ie: Utilizați ambele proprietăți de la punctul (a).)

c. Fie  $c$  un ciclu de cost 0 și fie  $u, v$  două vârfuri din  $c$ . Fie  $x$  costul drumului de la  $u$  la  $v$  de-a lungul ciclului. Demonstrați că  $\delta(s, v) = \delta(s, u) + x$ . (Indica ie: Costul drumului de la  $v$  la  $u$  de-a lungul ciclului este  $-x$ .)

d. Arătați că dacă  $\mu^* = 0$ , atunci există un vârf  $v$  pe ciclul de cost mediu minim, astfel încât

$$\max_{0 \leq k \leq n-1} \frac{\delta_n(s, v) - \delta_k(s, v)}{n - k} = 0.$$

(Indica ie: Arătați că un drum minim către orice vârf aflat pe ciclul de cost mediu minim poate fi extins de-a lungul ciclului pentru a rezulta un drum minim la următorul vârf în acest ciclu.)

e. Arătați că dacă  $\mu^* = 0$ , atunci

$$\min_{v \in V} \max_{0 \leq k \leq n-1} \frac{\delta_n(s, v) - \delta_k(s, v)}{n - k} = 0.$$

f. Arătați că dacă adunăm o constantă  $t$  la costul fiecărei muchii din  $G$ , atunci valoarea lui  $\mu^*$  este incrementată cu  $t$ . Utilizând această proprietate demonstrați că

$$\mu^* = \min_{v \in V} \max_{0 \leq k \leq n-1} \frac{\delta_n(s, v) - \delta_k(s, v)}{n - k}.$$

g. Propuneți un algoritm de timp  $O(VE)$  pentru calculul lui  $\mu^*$ .

## Note bibliografice

Algoritmul Dijkstra [55] a apărut în 1959, dar în varianta inițială nu a fost menționată coada de priorități. Algoritmul Bellman-Ford este bazat pe doi algoritmi distincți și anume Bellman [22] și Ford [71]. Bellman descrie relația dintre drumurile minime și constrângările cu diferențe. Lawler [132] descrie algoritmul în timp liniar pentru drumurile minime într-un graf orientat aciclic pe care îl consideră în general cunoscut.

Când costurile muchiilor sunt numere întregi relativ mici, rezolvarea problemei drumurilor minime de sursă unică poate fi realizată pe baza unor algoritmi mai eficienți. Ahuja, Mehlhorn, Orlin și Tarjan [6] au propus un algoritm de complexitate temporală  $O(E + V\sqrt{\lg W})$  pentru grafuri având costurile muchiilor numere nenegative, unde  $W$  este valoarea maximă a costurilor

muchiilor grafului. De asemenea, ei au propus un algoritm ușor de programat de timp  $O(E + V \lg W)$ . Pentru grafuri având costurile muchiilor numere nenegative, algoritmul propus de către Gabow și Tarjan [77] se execută într-un timp  $O(\sqrt{V}E \lg(VW))$  unde  $W$  este valoarea maximă a costurilor muchiilor grafului.

Papadimitriou și Steiglitz [154] prezintă considerații interesante asupra metodei simplex și algoritmul elipsoidului ca și asupra mai multor algoritmi corelați cu programarea liniară. Algoritmul simplex pentru programarea liniară a fost inventat de G. Danzig în 1947. Diferitele varianțe ale algoritmului simplex sunt și astăzi cele mai frecvent utilizate metode pentru rezolvarea problemelor de programare liniară. Algoritmul elipsoidului este datorat lui L. G. Khachian care l-a introdus în 1979 și este bazată pe o lucrare mai veche publicată de N. Z. Shor, D. B. Judin și A. S. Nemirovskii. Algoritmul Karmarkar este descris în [115].

---

## 26 Drumuri minime între toate perechile de vârfuri

În acest capitol vom studia problema determinării drumurilor minime dintre toate perechile de vârfuri ale unui graf. Această problemă poate apărea dacă dorim să creăm un tabel al distanțelor dintre toate perechile de orașe care sunt desenate pe o hartă. La fel ca în capitolul 25, se dă un graf orientat, cu costuri  $G = (V, E)$ , cu o funcție de cost  $w : E \rightarrow \mathbb{R}$ , care pune în corespondență arcele cu anumite costuri care sunt valori reale. Dorim să găsim, pentru fiecare pereche de vârfuri  $u, v \in V$ , un drum de cost minim de la  $u$  la  $v$ , unde costul drumului este suma costurilor arcelor care formează acel drum. De obicei, dorim ca ieșirea să apară sub forma unui tabel: elementul din linia  $u$  și coloana  $v$  ar trebui să conțină costul drumului minim de la  $u$  la  $v$ .

Putem rezolva problema determinării drumurilor minime între toate perechile de vârfuri, rulând, pentru fiecare vârf din  $|V|$ , un algoritm de căutare a drumului minim de la acel vârf la toate celelalte. Dacă toate costurile arcelor sunt nenegative, putem folosi algoritmul lui Dijkstra. Dacă folosim implementarea unei cozi de prioritate sub formă de vector, timpul de execuție este  $O(V^3 + VE) = O(V^3)$ . Implementarea cozii de prioritate, folosind heap-uri binare, duce la un timp de execuție de ordinul  $O(VE \lg V)$ , ceea ce reprezintă o îmbunătățire dacă graful este rar. Dacă implementăm coada de prioritate folosind un heap Fibonacci, atunci timpul de execuție va fi  $O(V^2 \lg V + VE)$ .

Dacă sunt permise arce având costuri negative nu mai putem folosi algoritmul lui Dijkstra. În locul acestuia, putem folosi algoritmul Bellman-Ford pentru fiecare vârf. Timpul de execuție rezultat este  $O(V^2E)$ , adică  $O(V^4)$  pe un graf dens. În acest capitol vom vedea cum putem implementa algoritmi mai eficienți. De asemenea, vom cerceta relația dintre problema drumurilor minime între toate perechile de vârfuri și înmulțirea matricelor și îi vom cerceta structura algebraică.

Spre deosebire de algoritmii de drum minim de sursă unică care folosesc reprezentarea grafului ca listă de adiacență, majoritatea algoritmilor din acest capitol vor folosi reprezentarea prin matrice de adiacență. (Algoritmul lui Johnson pentru grafuri rare folosește liste de adiacență.) Intrarea este o matrice  $W$ , de dimensiune  $n \times n$ , reprezentând costurile arcelor unui graf orientat  $G = (V, E)$  având  $n$  vârfuri. Adică  $W = (w_{ij})$  unde

$$w_{ij} = \begin{cases} 0 & \text{dacă } i = j, \\ \text{costul arcului } (i, j) & \text{dacă } i \neq j \text{ și } (i, j) \in E, \\ \infty & \text{dacă } i \neq j \text{ și } (i, j) \notin E. \end{cases} \quad (26.1)$$

Sunt permise arce cu costuri negative, dar, pentru moment, presupunem că graful de intrare nu conține cicluri de cost negativ.

Ieșirea sub formă de tabel a algoritmilor de căutare a drumurilor minime între toate perechile de vârfuri este o matrice  $D = (d_{ij})$  de dimensiuni  $n \times n$ , ale cărei elemente reprezintă costul drumului minim de la  $i$  la  $j$ . Aceasta înseamnă că, dacă notăm cu  $\delta(i, j)$  costul minim al drumului de la  $i$  la  $j$  (la fel ca în capitolul 25), atunci, la final, vom avea  $d_{ij} = \delta(i, j)$ .

Pentru a rezolva problema căutării drumurilor de cost minim între toate perechile de vârfuri, trebuie să calculăm, pe lângă costurile drumurilor minime, și **matricea predecesorilor**  $\Pi = (\pi_{ij})$ , unde  $\pi_{ij}$  este NIL în cazul în care  $i = j$  sau nu există drum de la  $i$  la  $j$ . În celelalte

cazuri, elementul  $\pi_{ij}$  este predecesorul lui  $j$  într-un drum minim de la  $i$ . La fel cum subgraful predecesorilor  $G_\pi$  din capitolul 25 este un arbore al drumurilor minime, subgraful produs de a  $i$ -a linie a matricei  $\Pi$  ar trebui să fie un arbore al drumurilor minime cu rădăcina  $i$ . Pentru fiecare vârf  $i \in V$ , definim **subgraful predecesorilor** al lui  $G$  pentru vârful  $i$  ca  $G_{\pi,i} = (V_{\pi,i}, E_{\pi,i})$ , unde

$$V_{\pi,i} = \{j \in V : \pi_{ij} \neq \text{NIL}\} \cup \{i\} \text{ și } E_{\pi,i} = \{(\pi_{ij}, j) : j \in V_{\pi,i} \text{ și } \pi_{ij} \neq \text{NIL}\}.$$

Dacă  $G_{\pi,i}$  este un arbore de drumuri minime, atunci următoarea procedură, care este o versiune modificată a procedurii TIPĂREŞTE-DRUM din capitolul 23, tipărește un drum minim de la vârful  $i$  la vârful  $j$ .

TIPĂREŞTE-DRUMURILE-MINIME-DINTRE-TOATE-PERECHILE( $\Pi, i, j$ )

- 1: dacă  $i = j$  atunci
- 2: tipărește  $i$
- 3: altfel
- 4: dacă  $\pi_{ij} = \text{NIL}$  atunci
- 5: tipărește "Nu există drum de la"  $i$  "la"  $j$
- 6: altfel
- 7: TIPĂREŞTE-DRUMURILE-MINIME-DINTRE-TOATE-PERECHILE ( $\Pi, i, \pi_{ij}$ )
- 8: tipărește  $j$

Pentru a scoate în evidență trăsăturile esențiale ale algoritmilor, pentru toate perechile din acest capitol, nu vom studia detaliat crearea și proprietățile matricei predecesorilor aşa cum am făcut pentru subgrafurile predecesorilor din capitolul 25. Elementele de bază sunt acoperite de câteva dintre exerciții.

## Rezumatul capitolului

În secțiunea 26.1 este prezentat un algoritm de programare dinamică, bazat pe înmulțirea matricelor pentru a rezolva problema găsirii drumurilor minime dintre toate perechile de drumuri. Folosind tehnica "ridicării repetitive la patrat", acest algoritm poate fi făcut să ruleze în timp  $\Theta(V^3 \lg V)$ . Un alt algoritm de programare dinamică, algoritmul Floyd-Warshall, rulează în timp  $\Theta(V^3)$ . În secțiunea 26.2 se acoperă, de asemenea, problema găsirii drumurilor minime dintre toate perechile de vârfuri. Algoritmul lui Johnson este prezentat în secțiunea 26.3. Spre deosebire de alții algoritmi prezentați în acest capitol, algoritmul lui Johnson folosește reprezentarea grafurilor ca liste de adiacență. Acest algoritm rezolvă problema în timp  $O(V^2 \lg V + VE)$ , ceea ce îl face eficient pentru grafuri mari, rare. În final, în secțiunea 26.4 vom studia o structură algebraică numită "semiinel închis" care permite multor algoritmi de drum minim să fie aplicăți ca gazde pentru alte probleme pentru toate perechile care nu implică drumuri minime.

Înainte de a merge mai departe, trebuie să stabilim câteva convenții pentru reprezentarea prin matrice de adiacență. În primul rând, vom presupune că graful de intrare  $G = (V, E)$  are  $n$  vârfuri, deci  $n = |V|$ . În al doilea rând, vom nota matricele cu majusculă:  $W$ ,  $D$ , și elementele lor cu litere mici și indici inferiori:  $w_{ij}$ ,  $d_{ij}$ . Unele matrice pot avea indici superiori între paranteze pentru a indica iterațiile:  $D^{(m)} = (d_{ij}^{(m)})$ . Pentru o matrice  $A$  de dimensiuni  $n \times n$ , vom presupune că atributul *linii*[ $A$ ] conține valoarea  $n$ .

---

## 26.1. Drumuri minime și înmulțirea matricelor

În această secțiune este prezentat un algoritm de programare dinamică pentru problema drumurilor minime dintre toate perechile de vârfuri pe un graf orientat  $G = (V, E)$ . Fiecare buclă majoră a programului dinamic va apela o operație care este similară înmulțirii matricelor, astfel încât acest algoritm va arăta ca o înmulțire repetată de matrice. Vom începe prin proiectarea unui algoritm în timp  $\Theta(V^4)$  pentru problema drumurilor minime dintre toate perechile de vârfuri și vom îmbunătăți acest algoritm, astfel încât să ruleze în timp  $\Theta(V^3 \lg V)$ .

Înainte de a merge mai departe, să recapitulăm pașii din capitolul 16 pentru dezvoltarea unui algoritm de programare dinamică.

1. Se caracterizează structura unei soluții optime.
2. Se definește recursiv valoarea unei soluții optime.
3. Se calculează valoarea soluției optime într-o manieră bottom-up.

(Al patrulea pas, obținerea unei soluții optime din informațiile deja calculate, este tratat în cadrul exercițiilor.)

### Structura unui drum minim

Începem prin a caracteriza structura unei soluții optime. Pentru problema drumurilor minime pentru toate perechile dintr-un graf  $G = (V, E)$ , am demonstrat (lema 25.1) că toate subdrumurile unui drum minim sunt drumuri minime. Să presupunem că graful este reprezentat printr-o matrice de adiacență  $W = (w_{ij})$ . Să considerăm un drum minim  $p$  de la vârful  $i$  la vârful  $j$  și să presupunem că  $p$  conține cel mult  $m$  arce. Presupunând că nu există cicluri de cost negativ,  $m$  este finit. Dacă  $i = j$ , atunci  $p$  are costul 0 și nu conține nici un arc. Dacă vârfurile  $i$  și  $j$  sunt distințe, atunci descompunem drumul  $p$  în  $i \xrightarrow{p'} k \rightarrow j$ , unde drumul  $p'$  conține, acum, cel mult  $m - 1$  arce. Mai mult, conform lemei 25.1,  $p'$  este un drum minim de la  $i$  la  $k$ . În concluzie, datorită corolarului 25.2, avem  $\delta(i, j) = \delta(i, k) + w_{kj}$ .

### O soluție recursivă pentru problema drumurilor minime dintre toate perechile

Fie  $d_{ij}^{(m)}$  costul minim al drumului de la  $i$  la  $j$  care conține cel mult  $m$  arce. Când  $m = 0$ , există un drum minim de la  $i$  la  $j$  care nu conține nici o muchie, dacă și numai dacă  $i = j$ . În concluzie,

$$d_{ij}^{(0)} = \begin{cases} 0 & \text{dacă } i = j, \\ \infty & \text{dacă } i \neq j. \end{cases}$$

Pentru  $m \geq 1$ , calculăm  $d_{ij}^{(m)}$  ca fiind minimul dintre  $d_{ij}^{(m-1)}$  (costul celui mai scurt drum de la  $i$  la  $j$  care conține cel mult  $m - 1$  arce) și costul minim al oricărui drum de la  $i$  la  $j$  care conține

cel mult  $m$  arce și este obținut luând în considerare toți predecesorii  $k$  ai lui  $j$ . Deci putem defini recursiv

$$d_{ij}^{(m)} = \min \left( d_{ij}^{(m-1)}, \min_{1 \leq k \leq n} \left\{ d_{ik}^{(m-1)} + w_{kj} \right\} \right) = \min_{1 \leq k \leq n} \left\{ d_{ik}^{(m-1)} + w_{kj} \right\}. \quad (26.2)$$

Ultima egalitate rezultă din faptul că  $w_{jj} = 0$  oricare ar fi  $j$ .

Care sunt costurile  $\delta(i, j)$  ale drumurilor minime? Dacă graful nu conține nici un ciclu de cost negativ, atunci toate drumurile minime sunt elementare și conțin, cel mult,  $n - 1$  arce. Un drum de la vârful  $i$  la vârful  $j$  cu mai mult de  $n - 1$  arce nu poate avea un cost mai mic decât cel mai scurt drum de la  $i$  la  $j$ . În concluzie, valorile costurilor drumurilor minime sunt date de:

$$\delta(i, j) = d_{ij}^{(n-1)} = d_{ij}^{(n)} = d_{ij}^{(n+1)} = \dots \quad (26.3)$$

### Determinarea ascendentă a costurilor drumurilor minime

Considerând ca intrare matricea  $W = (w_{ij})$ , vom determina o serie de matrice  $D^{(1)}$ ,  $D^{(2)}$ , ...,  $D^{(n-1)}$ , unde, pentru  $m = 1, 2, \dots, n - 1$ , avem  $D^{(m)} = (d_{ij}^{(m)})$ . Matricea finală  $D^{(n-1)}$  va conține costurile drumurilor minime. Observați că, deoarece  $d_{ij}^{(1)} = w_{ij}$  pentru toate vârfurile  $i, j \in V$ , avem  $D^{(1)} = W$ .

Esența algoritmului constă în următoarea procedură care, dându-se matricele  $D^{(m-1)}$  și  $W$ , returnează matricea  $D^{(m)}$ . Cu alte cuvinte, extinde drumurile minime determinate anterior cu încă un arc.

#### EXTINDE-DRUMURI-MINIME( $D, W$ )

- 1:  $n \leftarrow \text{lini}[D]$
- 2: fie  $D' = (d'_{ij})$  o matrice de dimensiuni  $n \times n$
- 3: **pentru**  $i \leftarrow 1, n$  **execută**
- 4:   **pentru**  $j \leftarrow 1, n$  **execută**
- 5:      $d'_{ij} \leftarrow \infty$
- 6:     **pentru**  $k \leftarrow 1, n$  **execută**
- 7:        $d'_{ij} \leftarrow \min(d'_{ij}, d_{ik} + w_{kj})$
- 8: **returnează**  $D'$

Procedura determină matricea  $D' = (d'_{ij})$  pe care o returnează la sfârșit. Acest lucru este realizat calculând ecuația (26.2) pentru orice  $i$  și  $j$ , folosind  $D$  pentru  $D^{(m-1)}$  și  $D'$  pentru  $D^{(m)}$ . (Procedura este scrisă fără indici superiori pentru ca matricele de intrare și de ieșire să fie independente de  $m$ .) Timpul de execuție al procedurii este  $\Theta(n^3)$  datorită celor trei bucle **pentru** imbricate.

Putem observa, acum, legătura cu înmulțirea matricelor. Să presupunem că dorim să calculăm produsul  $C = A \cdot B$  a două matrice  $A$  și  $B$  de dimensiuni  $n \times n$ . Atunci, pentru  $i, j = 1, 2, \dots, n$ , vom calcula

$$c_{ij} = \sum_{k=1}^n a_{ik} \cdot b_{kj}. \quad (26.4)$$

Observați că, dacă în ecuația (26.2) vom face substituțiile

$$d^{(m-1)} \rightarrow a, w \rightarrow b, d^{(m)} \rightarrow c, \min \rightarrow +, + \rightarrow \cdot$$

vom obține ecuația (26.4). Ca urmare, dacă efectuăm aceste schimbări în EXTINDE-DRUMURI-MINIME și înlocuim  $\infty$  (elementul neutru pentru min) cu 0 (elementul neutru pentru +), obținem, direct procedura în timp  $\Theta(n^3)$  pentru înmulțirea matricelor.

#### ÎNMULȚIRE-MATRICE( $A, B$ )

- 1:  $n \leftarrow \text{linii}[A]$
- 2: fie  $C$  o matrice de dimensiuni  $n \times n$
- 3: **pentru**  $i \leftarrow 1, n$  **execută**
- 4:   **pentru**  $j \leftarrow 1, n$  **execută**
- 5:      $c_{ij} \leftarrow 0$
- 6:     **pentru**  $k \leftarrow 1, n$  **execută**
- 7:        $c_{ij} \leftarrow c_{ij} + a_{ik} \cdot b_{kj}$
- 8: **returnează**  $C$

Întorcându-ne la problema drumurilor minime între toate perechile, determinăm costurile drumurilor minime extinzând drumurile minime arc cu arc. Notând cu  $A \cdot B$  matricea “produs” returnată de EXTINDE-DRUMURI-MINIME( $A, B$ ), determinăm sirul de  $n - 1$  matrice

$$\begin{aligned} D^{(1)} &= D^{(0)} \cdot W = W, \\ D^{(2)} &= D^{(1)} \cdot W = W^2, \\ D^{(3)} &= D^{(2)} \cdot W = W^3, \\ &\vdots \\ D^{(n-1)} &= D^{(n-2)} \cdot W = W^{n-1}. \end{aligned}$$

După cum am arătat anterior, matricea  $D^{(n-1)} = W^{n-1}$  conține costurile drumurilor minime. Următoarea procedură determină acest sir în timp  $\Theta(n^4)$ .

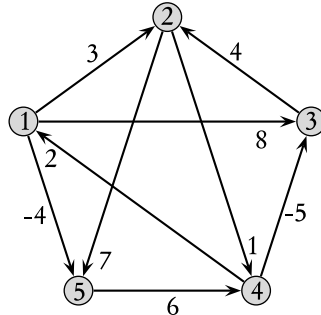
#### DRUMURI-MINIME-ÎNTRE-TOATE-PERECHILE-LENT( $W$ )

- 1:  $n \leftarrow \text{linii}[W]$
- 2:  $D^{(1)} \leftarrow W$
- 3: **pentru**  $m \leftarrow 2, n - 1$  **execută**
- 4:    $D^{(m)} \leftarrow \text{EXTINDE-DRUMURI-MINIME}(D^{(m-1)}, W)$
- 5: **returnează**  $D^{(n-1)}$

În figura 26.1 se poate vedea un graf și matricele  $D^{(m)}$  determinate de procedura DRUMURI-MINIME-ÎNTRE-TOATE-PERECHILE-LENT.

### Îmbunătățirea timpului de execuție

Scopul nostru nu este determinarea *tuturor* matricelor  $D^{(m)}$ : ne interesează numai matricea  $D^{(n-1)}$ . Să ne reamintim că, în absența ciclurilor cu cost negativ, ecuația (26.3) implică  $D^{(m)} = D^{(n-1)}$  pentru toate numerele întregi  $m \geq n - 1$ . Putem determina  $D^{(n-1)}$  cu ajutorul a numai  $\lceil \lg(n - 1) \rceil$  produse de matrice determinând sirul:



$$D^{(1)} = \begin{pmatrix} 0 & 3 & 8 & \infty & -4 \\ \infty & 0 & \infty & 1 & 7 \\ \infty & 4 & 0 & \infty & \infty \\ 2 & \infty & -5 & 0 & \infty \\ \infty & \infty & \infty & 6 & 0 \end{pmatrix} \quad D^{(2)} = \begin{pmatrix} 0 & 3 & 8 & 2 & -4 \\ 3 & 0 & -4 & 1 & 7 \\ \infty & 4 & 0 & 5 & 11 \\ 2 & -1 & -5 & 0 & -2 \\ 8 & \infty & 1 & 6 & 0 \end{pmatrix}$$

$$D^{(3)} = \begin{pmatrix} 0 & 3 & -3 & 2 & -4 \\ 3 & 0 & -4 & 1 & -4 \\ 7 & 4 & 0 & 5 & 1 \\ 2 & -1 & -5 & 0 & -2 \\ 8 & 5 & 1 & 6 & 0 \end{pmatrix} \quad D^{(4)} = \begin{pmatrix} 0 & 1 & -3 & 2 & -4 \\ 3 & 0 & -4 & 1 & -1 \\ 7 & 4 & 0 & 5 & 3 \\ 2 & -1 & -5 & 0 & -2 \\ 8 & 5 & 1 & 6 & 0 \end{pmatrix}$$

**Figura 26.1** Un graf orientat și sirul de matrice  $D^{(m)}$  determinat de DRUMURI-MINIME-ÎNTRE-TOATE-PERECHILE-LENT. Cititorul poate verifica faptul că  $D^{(5)} = D^{(4)} \cdot W$  este egală cu  $D^{(4)}$ , deci  $D^{(m)} = D^{(4)}$  pentru orice  $m \geq 4$ .

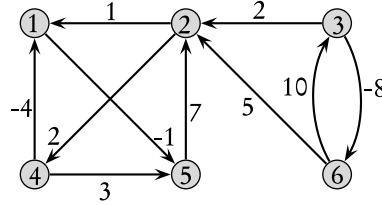
$$\begin{aligned} D^{(1)} &= W, \\ D^{(2)} &= W^2 &= W \cdot W, \\ D^{(4)} &= W^4 &= W^2 \cdot W^2, \\ D^{(8)} &= W^8 &= W^4 \cdot W^4, \\ &\vdots \\ D^{(2^{\lceil \lg(n-1) \rceil})} &= W^{2^{\lceil \lg(n-1) \rceil}} &= W^{2^{\lceil \lg(n-1) \rceil}-1} \cdot W^{2^{\lceil \lg(n-1) \rceil}-1}. \end{aligned}$$

Deoarece  $2^{\lceil \lg(n-1) \rceil} \geq n-1$ , produsul final  $D^{(2^{\lceil \lg(n-1) \rceil})}$  este egal cu  $D^{(n-1)}$ .

Următoarea procedură determină sirul anterior de matrice folosind o tehnică numită **ridicare repetată la patrat**.

DRUMURI-MINIME-ÎNTRE-TOATE-PERECHILE-MAI-RAPID( $W$ )

- 1:  $n \leftarrow \text{lini}[W]$
- 2:  $D^{(1)} \leftarrow W$
- 3:  $m \leftarrow 1$
- 4: **cât timp**  $n-1 > m$  **execută**
- 5:     $D^{(2m)} \leftarrow \text{EXTINDE-DRUMURI-MINIME}(D^{(m)}, D^{(m)})$



**Figura 26.2** Un graf orientat cu costuri pentru exercițiile 26.1-1, 26.2-1 și 26.3-1.

6:  $m \leftarrow 2m$   
 7: returnează  $D^{(m)}$

La fiecare iterație a buclei **cât timp** din liniile 4–6, calculăm  $D^{(2m)} = (D^{(m)})^2$ , începând cu  $m = 1$ . La sfârșitul fiecărei iterații, dublăm valoarea lui  $m$ . În ultima iterație este determinată  $D^{(n-1)}$  calculându-se, de fapt,  $D^{(2m)}$  pentru un anumit  $n - 1 \leq 2m < 2n - 2$ . Din ecuația (26.3), rezultă că  $D^{(2m)} = D^{(n-1)}$ . La următoarea testare a condiției din linia 4,  $m$  a fost dublat, deci vom avea  $n - 1 \leq m$ , aşadar condiția nu va fi adevărată și procedura va returna ultima matrice determinată.

Timpul de execuție al procedurii DRUMURI-MINIME-ÎNTRE-TOATE-PERECHILE-MAI-RAPID este  $\Theta(n^3 \lg n)$  deoarece fiecare dintre cele  $\lceil \lg(n - 1) \rceil$  înmulțiri de matrice are nevoie de un timp  $\Theta(n^3)$ . Observați că avem un cod scurt care nu conține structuri de date complicate, deci constanta ascunsă în notația  $\Theta$  este mică.

## Exerciții

**26.1-1** Execuțați algoritmul DRUMURI-MINIME-ÎNTRE-TOATE-PERECHILE-LENT pe graful orientat cu costuri din figura 26.2 arătând care sunt matricele care rezultă pentru fiecare iterație a buclei respective. Realizați același lucru pentru algoritm algoritmului DRUMURI-MINIME-ÎNTRE-TOATE-PERECHILE-MAI-RAPID.

**26.1-2** De ce este nevoie ca  $w_{ii}$  să fie egal cu 0 pentru orice  $1 \leq i \leq n$ ?

**26.1-3** Cărei matrice din înmulțirea obișnuită a matricelor îi corespunde matricea

$$D^{(0)} = \begin{pmatrix} 0 & \infty & \infty & \cdots & \infty \\ \infty & 0 & \infty & \cdots & \infty \\ \infty & \infty & 0 & \cdots & \infty \\ \vdots & \vdots & \vdots & \ddots & \vdots \\ \infty & \infty & \infty & \cdots & 0 \end{pmatrix}$$

folosită în algoritmii de drum minim.

**26.1-4** Arătați cum poate fi exprimată problema drumului minim de la un vîrf la restul vîrfurilor cu ajutorul unui produs de matrice și un vector. Descrieți modul în care calculul acestui produs corespunde unui algoritm de genul Bellman-Ford (vezi 25.3).

**26.1-5** Să presupunem că dorim să determinăm și vâfurile care compun drumurile minime în algoritmii din această secțiune. Arătați modul în care se determină, în timp  $O(n^3)$ , matricea predecesorilor  $\Pi$  cu ajutorul matricei  $D$  a costurilor drumurilor minime.

**26.1-6** Vâfurile care compun drumurile minime pot fi determinate în același timp cu costurile drumurilor minime. Definim  $\pi_{ij}^{(m)}$  ca fiind predecesorul vârfului  $j$  pe oricare drum de cost minim de la  $i$  la  $j$  care conține cel mult  $m$  arce. Modificați EXTINDE-DRUMURI-MINIME și DRUMURI-MINIME-ÎNTRE-TOATE-PERECHILE-LENT pentru a determina matricele  $\Pi^{(1)}, \Pi^{(2)}, \dots, \Pi^{(n-1)}$  pe măsură ce sunt determinate matricele  $D^{(1)}, D^{(2)}, \dots, D^{(n-1)}$ .

**26.1-7** Procedura DRUMURI-MINIME-ÎNTRE-TOATE-PERECHILE-MAI-RAPID, aşa cum a fost scrisă, necesită stocarea a  $\lceil \lg(n - 1) \rceil$  matrice, fiecare având  $n^2$  elemente, deci spațiul necesar de memorie este  $\Theta(n^2 \lg n)$ . Modificați procedura pentru ca ea să necesite numai un spațiu  $\Theta(n^2)$  folosind doar două matrice de dimensiuni  $n \times n$ .

**26.1-8** Modificați DRUMURI-MINIME-ÎNTRE-TOATE-PERECHILE-MAI-RAPID pentru a detecta prezența unui ciclu de cost negativ.

**26.1-9** Dați un algoritm eficient pentru a găsi, într-un graf, lungimea (numărul de muchii) unui ciclu de lungime minimă al căruia cost este negativ.

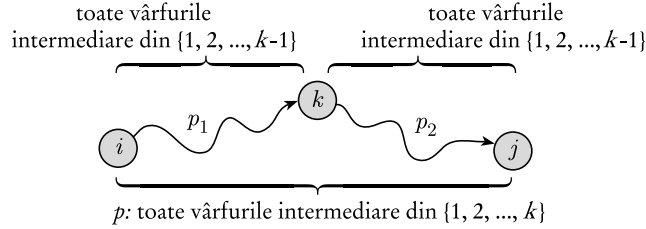
## 26.2. Algoritmul Floyd-Warshall

În această secțiune vom folosi o formulare diferită a programării dinamice pentru a rezolva problema drumului minim între toate perechile pe un graf orientat  $G = (V, E)$ . Algoritmul rezultat, cunoscut sub numele de **algoritmul Floyd-Warshall**, se execută în timp  $\Theta(V^3)$ . Ca și anterior, pot apărea arce cu costuri negative, dar vom presupune că nu există cicluri de cost negativ. La fel ca în secțiunea 26.1, vom urma pașii programării dinamice pentru a dezvolta algoritmul. După ce vom studia algoritmul rezultat, vom prezenta o metodă similară pentru a găsi închiderea tranzitivă a unui graf orientat.

### Structura unui drum minim

În algoritmul Floyd-Warshall folosim o caracterizare diferită a structurii unui drum minim față de cea folosită în algoritmii de drum minim bazați pe înmulțirea matricelor. Algoritmul ia în considerare vâfurile “intermediare” ale unui drum minim, unde un vârf **intermediar** al unui drum elementar  $p = \langle v_1, v_2, \dots, v_l \rangle$  este oricare vârf  $p$  diferit de  $v_1$  și de  $v_l$ , adică orice vârf din mulțimea  $\{v_2, v_3, \dots, v_{l-1}\}$ .

Algoritmul Floyd-Warshall este bazat pe următoarea observație. Fie  $V = \{1, 2, \dots, n\}$  mulțimea vâfurilor lui  $G$ . Considerăm submulțimea  $\{1, 2, \dots, k\}$  pentru un anumit  $k$ . Pentru oricare pereche de vârfuri  $i, j \in V$ , considerăm toate drumurile de la  $i$  la  $j$  ale căror vârfuri intermediare fac parte din mulțimea  $\{1, 2, \dots, k\}$ . Fie  $p$  drumul de cost minim dintre aceste drumuri. (Drumul  $p$  este elementar deoarece presupunem că  $G$  nu conține cicluri de cost negativ.) Algoritmul Floyd-Warshall exploatează o relație între drumul  $p$  și drumul minim de la  $i$  la  $j$  cu toate vâfurile intermediare în mulțimea  $\{1, 2, \dots, k-1\}$ . Relația depinde de statutul lui  $k$ : acesta poate fi sau nu un vârf intermediar al lui  $p$ .



**Figura 26.3** Drumul \$p\$ este un drum minim de la vârful \$i\$ la vârful \$j\$ și \$k\$ este vârful intermediar al lui \$p\$ cu numărul cel mai mare. Drumul \$p\_1\$, porțiunea din drumul \$p\$ de la vârful \$i\$ la vârful \$k\$, are toate vârfurile intermediare în mulțimea \$\{1, 2, \dots, k-1\}\$. Aceasta este valabil și pentru drumul \$p\_2\$ de la vârful \$k\$ la vârful \$j\$.

- Dacă \$k\$ nu este un vârf intermediar al drumului \$p\$, atunci toate vârfurile intermediare ale drumului \$p\$ fac parte din mulțimea \$\{1, 2, \dots, k-1\}\$. Ca urmare, un drum minim de la vârful \$i\$ la vârful \$j\$ cu toate vârfurile intermediare în mulțimea \$\{1, 2, \dots, k-1\}\$ este, de asemenea, un drum minim de la \$i\$ la \$j\$ cu toate vârfurile intermediare în mulțimea \$\{1, 2, \dots, k\}\$.
- Dacă \$k\$ este un vârf intermediar al drumului \$p\$, atunci vom împărți \$p\$ în \$i \xrightarrow{p\_1} k \xrightarrow{p\_2} j\$ după cum se poate vedea în figura 26.3. Din lema 25.1 rezultă că \$p\_1\$ este drumul minim de la \$i\$ la \$k\$ cu toate vârfurile intermediare în mulțimea \$\{1, 2, \dots, k\}\$. De fapt, vârful \$k\$ nu este un vârf intermediar al drumului \$p\_1\$, deci \$p\_1\$ este un drum minim de la \$i\$ la \$k\$ cu toate vârfurile intermediare în mulțimea \$\{1, 2, \dots, k-1\}\$. În mod similar, arătăm că \$p\_2\$ este un drum minim de la vârful \$k\$ la vârful \$j\$ cu toate vârfurile intermediare în mulțimea \$\{1, 2, \dots, k-1\}\$.

### O soluție recursivă la problema drumurilor minime între toate perechile de vârfuri

Bazându-ne pe observația anterioară, definim o formulare recursivă a estimărilor drumului minim față de cea din secțiunea 26.1. Fie \$d\_{ij}^{(k)}\$ costul drumului minim de la vârful \$i\$ la vârful \$j\$, cu toate vârfurile intermediare în mulțimea \$\{1, 2, \dots, k\}\$. Când \$k = 0\$, un drum de la vârful \$i\$ la vârful \$j\$, cu nici un vârf intermediar al căruia număr este mai mare decât 0, nu are, de fapt, nici un vârf intermediar. În concluzie, acest drum conține cel mult un arc, deci \$d\_{ij}^{(0)} = w\_{ij}\$. O definiție recursivă este dată de:

$$d_{ij}^{(k)} = \begin{cases} w_{ij} & \text{dacă } k = 0, \\ \min(d_{ij}^{(k-1)}, d_{ik}^{(k-1)} + d_{kj}^{(k-1)}) & \text{dacă } k \geq 1. \end{cases} \quad (26.5)$$

Matricea \$D^{(n)} = (d\_{ij}^{(n)})\$ conține răspunsul final, \$d\_{ij}^{(n)} = \delta(i, j)\$ pentru orice \$i, j \in V\$, deoarece toate vârfurile intermediare se află în mulțimea \$\{1, 2, \dots, n\}\$.

### Determinarea ascendentă a costurilor drumurilor minime

Următoarea procedură ascendentă este bazată pe recurența (26.5) și poate fi folosită pentru a determina valorile \$d\_{ij}^{(k)}\$ în ordinea valorilor crescătoare \$k\$. Intrarea ei este o matrice \$W\$ de

dimensiuni  $n \times n$  definită aşa cum se arată în ecuația (26.1). Procedura returnează matricea  $D^{(n)}$  a costurilor drumurilor minime.

#### FLOYD-WARSHALL( $W$ )

```

1:  $n \leftarrow \text{linii}[W]$ 
2:  $D^{(0)} \leftarrow W$ 
3: pentru  $k \leftarrow 1, n$  execută
4:   pentru  $i \leftarrow 1, n$  execută
5:     pentru  $j \leftarrow 1, n$  execută
6:        $d_{ij}^{(k)} \leftarrow \min(d_{ij}^{(k-1)}, d_{ik}^{(k-1)} + d_{kj}^{(k-1)})$ 
7: returnează  $D^{(n)}$ 
```

În figura 26.4 sunt prezentate matricele  $D^{(k)}$  determinate de algoritmul Floyd-Warshall, aplicat grafului din figura 26.1.

Timpul de execuție al algoritmului Floyd-Warshall este determinat de cele trei cicluri **pentru** imbricate din linile 3–6. Fiecare execuție a liniei 6 necesită un timp  $O(1)$ , deci algoritmul se execută în timp  $\Theta(n^3)$ . La fel ca în cazul ultimului algoritm din secțiunea 26.1, codul este scurt, fără structuri de date complicate, deci constanta ascunsă în notația  $\Theta$  este mică. În concluzie, algoritmul Floyd-Warshall este destul de practic, chiar dacă grafurile de intrare au dimensiune medie.

### Construirea unui drum minim

Există o varietate de metode diferite pentru construirea drumurilor minime în algoritmul Floyd-Warshall. O modalitate este de a determina matricea  $D$  a costurilor drumurilor minime și de a construi, apoi, matricea  $\Pi$  a predecesorilor cu ajutorul matricei  $D$ . Această metodă poate fi implementată, astfel încât să ruleze în timp  $O(n^3)$  (exercițiul 26.1-5). Dându-se matricea  $\Pi$  a predecesorilor, procedura TIPĂREȘTE-DRUMURILE-MINIME-DINTRE-TOATE-PERECHILE poate fi folosită pentru a tipări vârfurile unui drum minim dat.

Putem determina matricea  $\Pi$  “în timp real” la fel cum algoritmul Floyd-Warshall determină matricea  $D^{(k)}$ . Mai exact, determinăm un sir de matrice  $\Pi^{(0)}, \Pi^{(1)}, \dots, \Pi^{(n)}$ , unde  $\Pi = \Pi^{(n)}$  și  $\pi_{ij}^{(k)}$  este definit ca fiind predecesorul vârfului  $j$  în drumul minim de la vârful  $i$  cu toți predecesorii în mulțimea  $\{1, 2, \dots, k\}$ .

Putem da o formulă recursivă pentru  $\pi_{ij}^{(k)}$ . Când  $k = 0$ , un drum minim de la  $i$  la  $j$  nu are nici un vârf intermediu. Deci

$$\pi_{ij}^{(0)} = \begin{cases} \text{NIL} & \text{dacă } i = j \text{ sau } w_{ij} = \infty, \\ i & \text{dacă } i \neq j \text{ sau } w_{ij} < \infty. \end{cases} \quad (26.6)$$

Pentru  $k \geq 1$ , dacă luăm în considerare drumul  $i \rightsquigarrow k \rightsquigarrow j$ , atunci predecesorul lui  $j$  pe care îl alegem este același cu predecesorul lui  $j$  pe care îl alegem pe un drum minim de la  $k$  cu toate vârfurile intermedii în mulțimea  $\{1, 2, \dots, k-1\}$ . Altfel, alegem același predecesor al lui  $j$  pe care l-am ales într-un drum minim de la  $i$ , cu toate vârfurile intermedii din mulțimea  $\{1, 2, \dots, k-1\}$ . Mai exact, pentru  $k \geq 1$ ,

$$\pi_{ij}^{(k)} = \begin{cases} \pi_{ij}^{(k-1)} & \text{dacă } d_{ij}^{(k-1)} \leq d_{ik}^{(k-1)} + d_{kj}^{(k-1)}, \\ \pi_{kj}^{(k-1)} & \text{dacă } d_{ij}^{(k-1)} > d_{ik}^{(k-1)} + d_{kj}^{(k-1)}. \end{cases} \quad (26.7)$$

$$\begin{array}{ll}
 D^{(0)} = \begin{pmatrix} 0 & 3 & 8 & \infty & -4 \\ \infty & 0 & \infty & 1 & 7 \\ \infty & 4 & 0 & \infty & \infty \\ 2 & \infty & -5 & 0 & \infty \\ \infty & \infty & \infty & 6 & 0 \end{pmatrix} & \Pi^{(0)} = \begin{pmatrix} \text{NIL} & 1 & 1 & \text{NIL} & 1 \\ \text{NIL} & \text{NIL} & \text{NIL} & 2 & 2 \\ \text{NIL} & 3 & \text{NIL} & \text{NIL} & \text{NIL} \\ 4 & \text{NIL} & 4 & \text{NIL} & \text{NIL} \\ \text{NIL} & \text{NIL} & \text{NIL} & 5 & \text{NIL} \end{pmatrix} \\
 \\ 
 D^{(1)} = \begin{pmatrix} 0 & 3 & 8 & \infty & -4 \\ \infty & 0 & \infty & 1 & 7 \\ \infty & 4 & 0 & \infty & \infty \\ 2 & 5 & -5 & 0 & -2 \\ \infty & \infty & \infty & 6 & 0 \end{pmatrix} & \Pi^{(1)} = \begin{pmatrix} \text{NIL} & 1 & 1 & \text{NIL} & 1 \\ \text{NIL} & \text{NIL} & \text{NIL} & 2 & 2 \\ \text{NIL} & 3 & \text{NIL} & \text{NIL} & \text{NIL} \\ 4 & 1 & 4 & \text{NIL} & 1 \\ \text{NIL} & \text{NIL} & \text{NIL} & 5 & \text{NIL} \end{pmatrix} \\
 \\ 
 D^{(2)} = \begin{pmatrix} 0 & 3 & 8 & 4 & -4 \\ \infty & 0 & \infty & 1 & 7 \\ \infty & 4 & 0 & 5 & 11 \\ 2 & 5 & -5 & 0 & -2 \\ \infty & \infty & \infty & 6 & 0 \end{pmatrix} & \Pi^{(2)} = \begin{pmatrix} \text{NIL} & 1 & 1 & 2 & 1 \\ \text{NIL} & \text{NIL} & \text{NIL} & 2 & 2 \\ \text{NIL} & 3 & \text{NIL} & 2 & 2 \\ 4 & 1 & 4 & \text{NIL} & 1 \\ \text{NIL} & \text{NIL} & \text{NIL} & 5 & \text{NIL} \end{pmatrix} \\
 \\ 
 D^{(3)} = \begin{pmatrix} 0 & 3 & 8 & 4 & -4 \\ \infty & 0 & \infty & 1 & 7 \\ \infty & 4 & 0 & 5 & 11 \\ 2 & -1 & -5 & 0 & -2 \\ \infty & \infty & \infty & 6 & 0 \end{pmatrix} & \Pi^{(3)} = \begin{pmatrix} \text{NIL} & 1 & 1 & 2 & 1 \\ \text{NIL} & \text{NIL} & \text{NIL} & 2 & 2 \\ \text{NIL} & 3 & \text{NIL} & 2 & 2 \\ 4 & 3 & 4 & \text{NIL} & 1 \\ \text{NIL} & \text{NIL} & \text{NIL} & 5 & \text{NIL} \end{pmatrix} \\
 \\ 
 D^{(4)} = \begin{pmatrix} 0 & 3 & -1 & 4 & -4 \\ 3 & 0 & -4 & 1 & -1 \\ 7 & 4 & 0 & 5 & 3 \\ 2 & -1 & -5 & 0 & -2 \\ 8 & 5 & 1 & 6 & 0 \end{pmatrix} & \Pi^{(4)} = \begin{pmatrix} \text{NIL} & 1 & 4 & 2 & 1 \\ 4 & \text{NIL} & 4 & 2 & 1 \\ 4 & 3 & \text{NIL} & 2 & 1 \\ 4 & 3 & 4 & \text{NIL} & 1 \\ 4 & 3 & 4 & 5 & \text{NIL} \end{pmatrix} \\
 \\ 
 D^{(5)} = \begin{pmatrix} 0 & 1 & -3 & 4 & -4 \\ 3 & 0 & -4 & 1 & -1 \\ 7 & 4 & 0 & 5 & 3 \\ 2 & -1 & -5 & 0 & -2 \\ 8 & 5 & 1 & 6 & 0 \end{pmatrix} & \Pi^{(5)} = \begin{pmatrix} \text{NIL} & 3 & 4 & 5 & 1 \\ 4 & \text{NIL} & 4 & 2 & 1 \\ 4 & 3 & \text{NIL} & 2 & 1 \\ 4 & 3 & 4 & \text{NIL} & 1 \\ 4 & 3 & 4 & 5 & \text{NIL} \end{pmatrix}
 \end{array}$$

**Figura 26.4** Sirurile de matrice  $D^{(k)}$  și  $\Pi^{(k)}$  determinat de algoritmul Floyd-Warshall pentru graful din figura 26.1.

Lăsăm includerea determinării matricei  $\Pi^{(k)}$  în cadrul procedurii FLOYD-WARSHALL pe seama exercițiului 26.2-3. În figura 26.4 se arată sirul  $\Pi^{(k)}$  pe care algoritmul rezultat îl determină pentru graful din figura 26.1. Exercițiul vă cere, de asemenea, să demonstrați că subgraful  $G_{\pi,i}$  al predecesorilor este un arbore de drumuri minime cu rădăcina  $i$ . Un alt mod de a reconstituire drumurile minime se cere în exercițiul 26.2-6.

## Închiderea tranzitivă a unui graf orientat

Dându-se un graf orientat  $G = (V, E)$  cu mulțimea vârfurilor  $V = \{1, 2, \dots, n\}$ , am putea dori să aflăm dacă în  $G$  există un drum de la  $i$  la  $j$  pentru toate perechile  $i, j \in V$ . **Închiderea tranzitivă** a lui  $G$  este definită ca fiind graful  $G^* = (V, E^*)$ , unde

$$E^* = \{(i, j) : \text{există un drum de la vârful } i \text{ la vârful } j \text{ în } G\}.$$

O modalitate de a determina închiderea tranzitivă a unui graf în timp  $\Theta(n^3)$  este de a atribui costul 1 tuturor muchiilor din  $E$  și a rula algoritmul Floyd-Warshall. Dacă există un drum de la vârful  $i$  la vârful  $j$ , obținem  $d_{ij} < n$ . În caz contrar, obținem  $d_{ij} = \infty$ .

Există o altă modalitate similară de a determina închiderea tranzitivă a lui  $G$  în timp  $\Theta(n^3)$  care, în practică, poate economisi timp și spațiu. Această metodă implică înlăturarea operațiilor logice  $\wedge$  (și logic) și  $\vee$  (SAU logic) cu operațiile aritmetice min și + în algoritmul Floyd-Warshall. Pentru  $i, j, k = 1, 2, \dots, n$  definim  $t_{ij}^{(k)}$  ca fiind 1, dacă în graf  $G$  există un drum de la vârful  $i$  la vârful  $j$  cu toate vârfurile intermediare în mulțimea  $\{1, 2, \dots, k\}$ , și 0 în caz contrar. Construim închiderea tranzitivă  $G^* = (V, E^*)$  adăugând arcul  $(i, j)$  la  $E^*$  dacă și numai dacă  $t_{ij}^{(n)} = 1$ . O definiție recursivă pentru  $t_{ij}^{(k)}$ , analogă recurenței (26.5), este

$$t_{ij}^{(0)} = \begin{cases} 0 & \text{dacă } i \neq j \text{ și } (i, j) \notin E, \\ 1 & \text{dacă } i = j \text{ sau } (i, j) \in E, \end{cases}$$

și pentru  $k \geq 1$ ,

$$t_{ij}^{(k)} = t_{ij}^{(k-1)} \vee (t_{ik}^{(k-1)} \wedge t_{kj}^{(k-1)}). \quad (26.8)$$

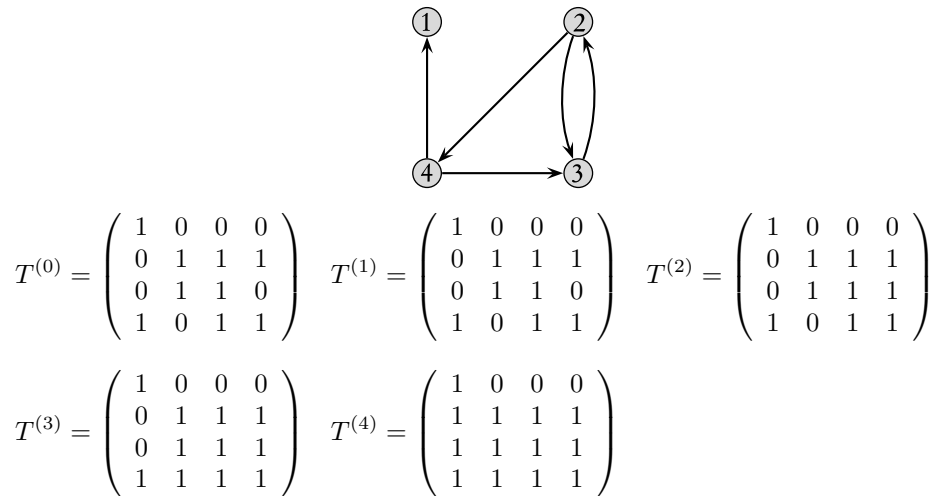
La fel ca în cazul algoritmului Floyd-Warshall, determinăm matricele  $T^{(k)} = (t_{ij}^{(k)})$  în ordinea crescătoare a lui  $k$ .

### ÎNCHIDERE-TRANZITIVĂ( $G$ )

```

1:  $n \leftarrow |V[G]|$ 
2: pentru  $i \leftarrow 1, n$  execută
3:   pentru  $j \leftarrow 1, n$  execută
4:     dacă  $i = j$  sau  $(i, j) \in E[G]$  atunci
5:        $t_{ij}^{(0)} \leftarrow 1$ 
6:     altfel
7:        $t_{ij}^{(0)} \leftarrow 0$ 
8:   pentru  $k \leftarrow 1, n$  execută
9:     pentru  $i \leftarrow 1, n$  execută
10:      pentru  $j \leftarrow 1, n$  execută
11:         $t_{ij}^{(k)} \leftarrow t_{ij}^{(k-1)} \vee (t_{ik}^{(k-1)} \wedge t_{kj}^{(k-1)})$ 
12: returnează  $T^{(n)}$ 
```

În figura 26.5 este prezentată matricea  $T^{(k)}$  determinată de procedura ÎNCHIDERE-TRANZITIVĂ pe un graf dat. La fel ca în algoritmul Floyd-Warshall, timpul de execuție pentru procedura ÎNCHIDERE-TRANZITIVĂ este  $\Theta(n^3)$ . Pe unele calculatoare operațiile logice cu valori de dimensiune un bit sunt executate mai rapid decât operațiile cu date de dimensiune un cuvânt.



**Figura 26.5** Un graf orientat și matricea  $T^{(k)}$  calculată folosind algoritmul închiderii tranzitive.

Mai mult, deoarece algoritmul direct de determinare a închiderii tranzitive folosește numai valori logice și nu valori întregi, spațiul de memorie necesar este mai mic decât spațiul necesar în cazul algoritmului Floyd-Warshall cu un factor corespunzător mărimii unui cuvânt de memorie.

În secțiunea 26.4 vom vedea că această corespondență între FLOYD-WARSHALL și ÎNCHIDERE-TRANZITIVĂ este mai mult decât o simplă coincidență. Ambii algoritmi se bazează pe o structură algebraică numită “semiinel închis”.

## Exerciții

**26.2-1** Executați algoritmul Floyd-Warshall pe graful orientat cu costuri din figura 26.2. Precizați care este matricea  $D^{(k)}$  care rezultă după fiecare iterație a buclei exterioare.

**26.2-2** După cum am arătat anterior, algoritmul Floyd-Warshall necesită un spațiu  $\Theta(n^3)$  deoarece calculăm  $d_{ij}^{(k)}$  pentru  $i, j, k = 1, 2, \dots, n$ . Arătați că următoarea procedură, care pur și simplu renunță la indicii superiori, este corectă, deci este necesar doar un spațiu  $\Theta(n^2)$ .

FLOYD-WARSHALL'( $W$ )

- 1:  $n \leftarrow \text{linii}[W]$
- 2:  $D \leftarrow W$
- 3: **pentru**  $k \leftarrow 1, n$  **execută**
- 4:   **pentru**  $i \leftarrow 1, n$  **execută**
- 5:     **pentru**  $j \leftarrow 1, n$  **execută**
- 6:        $d_{ij} \leftarrow \min(d_{ij}, d_{ik} + d_{kj})$
- 7: **returnează**  $D$

**26.2-3** Modificați procedura FLOYD-WARSHALL incluzând determinarea matricelor  $\Pi^{(k)}$  în conformitate cu ecuațiile (26.6) și (26.7). Demonstrați riguros că, pentru orice  $i \in V$ , graful

$G_{\pi,i}$  al predecesorilor este un arbore de drumuri minime cu rădăcina  $i$ . (*Indica ie:* Pentru a arăta că  $G_{\pi,i}$  este aciclic arătați, mai întâi, că  $\pi_{ij}^{(k)} = l$  implică  $d_{ij}^{(k)} \geq d_{il}^{(k-1)} + w_{lj}$ . Adaptați apoi demonstrația lemei 25.8.)

**26.2-4** Să presupunem că modificăm felul în care este tratată egalitatea în ecuația (26.7):

$$\pi_{ij}^{(k)} = \begin{cases} \pi_{ij}^{(k-1)} & \text{dacă } d_{ij}^{(k-1)} < d_{ik}^{(k-1)} + d_{kj}^{(k-1)}, \\ \pi_{kj}^{(k-1)} & \text{dacă } d_{ij}^{(k-1)} \geq d_{ik}^{(k-1)} + d_{kj}^{(k-1)}. \end{cases}$$

Este corectă această definiție alternativă a matricei II a predecesorilor?

**26.2-5** Cum poate fi folosită ieșirea algoritmului FLOYD-WARSHALL pentru a detecta prezența unui ciclu de cost negativ?

**26.2-6** O altă modalitate de a reconstitui drumurile minime, în cazul algoritmului Floyd-Warshall, este folosirea valorilor  $\phi_{ij}^{(k)}$  pentru  $i, j, k = 1, 2, \dots, n$ , unde  $\phi_{ij}^{(k)}$  este vârful intermediu din drumul de la  $i$  la  $j$ , numerotat cu cel mai mare număr. Dați o definiție recursivă pentru  $\phi_{ij}^{(k)}$ , modificați procedura FLOYD-WARSHALL pentru a determina valorile  $\phi_{ij}^{(k)}$  și rescrieți TIPĂREȘTE-DRUMURILE-MINIME-ÎNTRE-TOATE-PERECHILE pentru a avea ca intrare matricea  $\Phi = (\phi_{ij}^{(n)})$ . În ce măsură seamănă matricea  $\Phi$  cu tabelul  $s$  din problema înmulțirii lanțului de matrice din secțiunea 16.1?

**26.2-7** Dați un algoritm de timp  $O(VE)$  pentru determinarea închiderii tranzitive a unui graf orientat  $G = (V, E)$ .

**26.2-8** Să presupunem că închiderea tranzitivă a unui graf orientat aciclic poate fi determinată într-un timp  $f(|V|, |E|)$ , unde  $f$  este monoton crescătoare care depinde  $|V|$  și  $|E|$ . Demonstrați că timpul necesar determinării închiderii tranzitive  $G^* = (V, E^*)$  a unui graf orientat obișnuit  $G = (V, E)$  este  $f(|V|, |E|) + O(V + E^*)$ .

### 26.3. Algoritmul lui Johnson pentru grafuri rare

Algoritmul lui Johnson găsește drumurile minime între toate perechile de vârfuri, de timp  $O(V^2 \lg V + VE)$ ; deci este asimptotic, mai bun și decât ridicarea repetată la patrat, și decât algoritmul Floyd-Warshall pentru grafuri rare. Algoritmul returnează o matrice a costurilor drumurilor minime pentru toate perechile de vârfuri sau un mesaj care indică faptul că există cicluri de costuri negative. Algoritmul lui Johnson folosește ca subruteine atât algoritmul lui Dijkstra cât și algoritmul Bellman-Ford care sunt descrise în capitolul 25.

Algoritmul lui Johnson folosește o tehnică de **schimbare a costurilor** care funcționează după cum urmează. Dacă toate arcele grafului  $G = (V, E)$  au costuri  $w$  nenegative, putem găsi drumurile minime dintre toate perechile de vârfuri, executând algoritmul lui Dijkstra pentru fiecare vârf: cu ajutorul cozii de prioritate implementată cu un heap Fibonacci, timpul de execuție al acestui algoritm este  $O(V^2 \lg V + VE)$ . Dacă  $G$  are arce cu costuri negative determinăm o nouă mulțime de arce care au costuri nenegative, mulțime care ne permite să folosim aceeași metodă. Noua mulțime  $\hat{w}$  trebuie să satisfacă două proprietăți importante.

1. Pentru toate perechile de vârfuri  $u, v \in V$ , un drum minim de la  $u$  la  $v$ , folosind funcția de cost  $w$  este, de asemenea, un drum minim de la  $u$  la  $v$  folosind funcția de cost  $\widehat{w}$ .
2. Pentru toate arcele  $(u, v)$ , noul cost  $\widehat{w}(u, v)$  este nenegativ.

După cum vom vedea foarte curând, preprocesarea lui  $G$  pentru a determina funcția de cost  $\widehat{w}$  poate fi efectuată într-un timp  $O(VE)$ .

### Menținerea drumurilor minime prin schimbarea costurilor

După cum arată următoarea lemă, este destul de ușor să facem o schimbare a costurilor care să respecte prima dintre proprietățile anterioare. Notăm prin  $\delta$  costurile drumurilor minime determinate pentru funcția de cost  $w$  și prin  $\widehat{\delta}$  costurile drumurilor minime determinate pentru funcția de cost  $\widehat{w}$ .

**Lema 26.1 (Schimbarea costurilor nu schimbă drumurile minime)** Dându-se un graf orientat cu costuri  $G = (V, E)$  a cărui funcție de cost este  $w : E \rightarrow \mathbb{R}$ , fie  $h : V \rightarrow \mathbb{R}$  o funcție care pune în corespondență vârfurile cu numere reale. Pentru fiecare arc  $(u, v) \in E$ , definim

$$\widehat{w}(u, v) = w(u, v) + h(u) - h(v). \quad (26.9)$$

Fie  $p = \langle v_0, v_1, \dots, v_k \rangle$  un drum de la vârful  $v_0$  la vârful  $v_k$ . Atunci  $w(p) = \delta(v_0, v_k)$  dacă și numai dacă  $\widehat{w}(p) = \widehat{\delta}(v_0, v_k)$ . De asemenea,  $G$  are cicluri de cost negativ folosind funcția  $w$  dacă și numai dacă are un ciclu de cost negativ, folosind funcția  $\widehat{w}$ .

**Demonstrație.** Începem prin a arăta că

$$\widehat{w}(p) = w(p) + h(v_0) - h(v_k). \quad (26.10)$$

Avem

$$\begin{aligned} \widehat{w}(p) &= \sum_{i=1}^k \widehat{w}(v_{i-1}, v_i) = \sum_{i=1}^k (w(v_{i-1}, v_i) + h(v_{i-1}) - h(v_i)) \\ &= \sum_{i=1}^k w(v_{i-1}, v_i) + h(v_0) - h(v_k) = w(p) + h(v_0) - h(v_k). \end{aligned}$$

A treia egalitate rezultă în urma efectuării sumei din cea de-a doua egalitate.

Arătăm acum prin reducere la absurd că  $w(p) = \delta(v_0, v_k)$  implică  $\widehat{w}(p) = \widehat{\delta}(v_0, v_k)$ . Să presupunem că există un drum mai scurt  $p'$  de la  $v_0$  la  $v_k$  folosind funcția de cost  $\widehat{w}$ . Atunci  $\widehat{w}(p') < \widehat{w}(p)$ . Din ecuația (26.10) rezultă că

$$w(p') + h(v_0) - h(v_k) = \widehat{w}(p') < \widehat{w}(p) = w(p) + h(v_0) - h(v_k),$$

ceea ce implică  $w(p') < w(p)$ . Însă aceasta contrazice ipoteza că  $p$  este drumul minim de la  $u$  la  $v$  folosind  $w$ . Demonstrația reciprocei este similară.

În final, arătăm că  $G$  are cicluri de cost negativ folosind funcția de cost  $w$  dacă și numai dacă  $G$  are cicluri de cost negativ folosind funcția de cost  $\widehat{w}$ . Să considerăm orice ciclu  $c = \langle v_0, v_1, \dots, v_k \rangle$ , unde  $v_0 = v_k$ . Din ecuația (26.10) rezultă că

$$\widehat{w}(c) = w(c) + h(v_0) - h(v_k) = w(c),$$

deci  $c$  are cost negativ folosind  $w$  dacă și numai dacă are cost negativ folosind  $\widehat{w}$ . ■

## Obținerea costurilor nenegative prin schimbarea costurilor

Următorul scop este să ne asigurăm că este respectată a doua proprietate: vrem ca  $\hat{w}(u, v)$  să fie nenegativă pentru toate arcele  $(u, v) \in E$ . Dându-se un graf orientat cu costuri  $G = (V, E)$  cu funcția de cost  $w : E \rightarrow \mathbb{R}$ , construim un nou graf  $G' = (V', E')$ , unde  $V' = V \cup \{s\}$  pentru un vârf nou  $s \notin V$  și  $E' = E \cup \{(s, v) : v \in V\}$ . Extindem funcția de cost  $w$ , astfel încât  $w(s, v) = 0$  oricare ar fi  $v \in V$ . Observați că, deoarece  $s$  nu are nici o muchie care intră în el, nu există drumuri minime în  $G'$  care îl conțin pe  $s$  în afară de cele care pornesc din  $s$ . Mai mult,  $G'$  nu are cicluri de cost negativ dacă și numai dacă  $G$  nu are cicluri de cost negativ. În figura 26.6(a) este prezentat graful  $G'$  corespunzător grafului  $G$  din figura 26.1.

Să presupunem acum că  $G$  și  $G'$  nu au cicluri de cost negativ. Definim  $h(v) = \delta(s, v)$  pentru orice  $v \in V'$ . Din lema 25.3 rezultă că  $h(v) \leq h(u) + w(u, v)$  pentru toate arcele  $(u, v) \in E'$ . În concluzie, dacă definim noile costuri  $\hat{w}$  în concordanță cu ecuația (26.9), avem  $\hat{w}(u, v) = w(u, v) + h(u) - h(v) \geq 0$ , și cea de-a doua proprietate este satisfăcută. În figura 26.6(b) este prezentat graful  $G'$  din figura 26.6(a) cu muchiile având costuri schimbate.

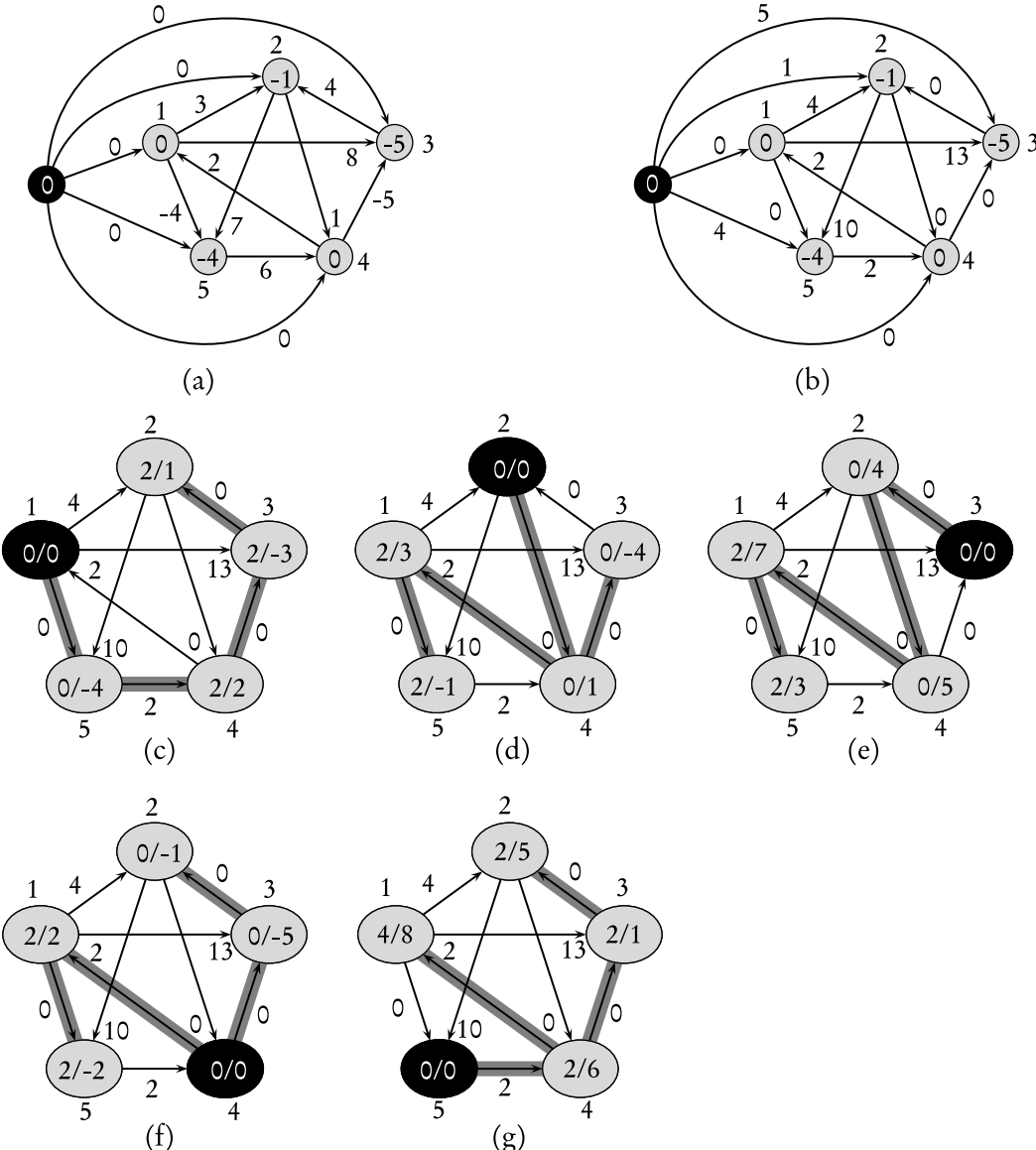
## Determinarea drumurilor minime între toate perechile de vârfuri

Algoritmul lui Johnson pentru determinarea drumurilor minime dintre toate perechile de vârfuri folosește algoritmul Bellman-Ford (secțiunea 25.3) și algoritmul lui Dijkstra (secțiunea 25.2) ca subroutine. Algoritmul presupune că muchiile sunt păstrate în liste de adiacență. Algoritmul returnează obișnuita matrice  $D = d_{ij}$  de dimensiuni  $|V| \times |V|$ , unde  $d_{ij} = \delta(i, j)$  sau un mesaj corespunzător pentru cazul în care graful conține cicluri de cost negativ. (Pentru ca indicii matricei  $D$  să aibă sens, presupunem că vârfurile sunt numerotate de la 1 la  $|V|$ .)

**JOHNSON( $G$ )**

- 1: determină  $G'$ , unde  $V[G'] = V[G] \cup \{s\}$  și  $E[G'] = E[G] \cup \{(s, v) : v \in V[G]\}$
- 2: **dacă** BELLMAN-FORD( $G'$ ,  $w$ ,  $s$ )=**FALS** **atunci**
- 3:   tipărește “Graful de intrare conține cel puțin un ciclu de cost negativ”
- 4: **altfel**
- 5:   **pentru** fiecare vârf  $v \in V[G']$  **execută**
- 6:     multimea  $h(v)$  primește valoarea  $\delta(s, v)$  determinată de algoritmul Bellman-Ford
- 7:   **pentru** fiecare arc  $(u, v) \in E[G']$  **execută**
- 8:      $\hat{w}(u, v) \leftarrow w(u, v) + h(u) - h(v)$
- 9:   **pentru** fiecare vârf  $u \in V[G]$  **execută**
- 10:     execută DIJKSTRA( $G$ ,  $\hat{w}$ ,  $u$ ) pentru a determina  $\hat{\delta}(u, v)$  pentru orice  $v \in V[G]$
- 11:     **pentru** fiecare vârf  $v \in V[G]$  **execută**
- 12:        $d_{uv} \leftarrow \hat{\delta}(u, v) + h(v) - h(u)$
- 13: **returnează**  $D$

Acest cod efectuează acțiunile specificate anterior. Linia 1 determină  $G'$ . Linia 2 execută algoritmul Bellman-Ford pe  $G'$  cu funcția de cost  $w$ . Dacă  $G'$ , deci și  $G$ , conține un ciclu de cost negativ, linia 3 raportează problema apărută. În liniile 4–11, se presupune că  $G'$  nu conține cicluri de cost negativ. Liniile 4–6 atribuie lui  $h(v)$  costul  $\delta(s, v)$  al drumului minim determinat de algoritmul Belmann-Ford pentru toate vârfurile  $v \in V'$ . Liniile 7–8 determină noile costuri  $\hat{w}$ . Pentru fiecare pereche de vârfuri  $u, v \in V$ , bucla **pentru** din liniile 9–12 determină costul  $\hat{\delta}(u, v)$ , apelând algoritmul lui Dijkstra pentru fiecare vârf din  $V$ . Linia 12 stochează, în matrice,



**Figura 26.6** Algoritmul lui Johnson de determinare a drumurilor minime între toate perechile de vârfuri, executat pe graful din figura 26.1. (a) Graful  $G'$  cu funcția originală  $w$ . Noul vârf  $s$  este negru. Pentru fiecare vârf  $v$ , avem  $h(v) = \delta(s, v)$ . (b) Costul fiecărui arc  $(u, v)$  este schimbat folosind funcția de cost  $\widehat{w}(u, v) = w(u, v) + h(u) - h(v)$ . (c)-(g) Rezultatul executării algoritmului lui Dijkstra pe fiecare vârf al lui  $G$  folosind funcția de cost  $\widehat{w}$ . În fiecare secțiune, vârful sursă  $u$  este negru. În interiorul fiecărui vârf  $v$  sunt scrise valorile  $\widehat{\delta}(u, v)$  și  $\delta(u, v)$  separate printr-un slash. Valoarea  $d_{uv} = \delta(u, v)$  este egală cu  $\widehat{\delta}(u, v) + h(v) - h(u)$ .

elementul  $d_{uv}$  corespunzător din matricea  $D$ , costul corect, al drumului minim calculat  $\delta(u, v)$  folosind ecuația (26.10). În final, linia 13 returnează matricea  $D$  completată. În figura 26.6 este ilustrată execuția algoritmului lui Johnson.

Se poate observa destul de ușor că timpul de execuție al algoritmului lui Johnson este  $O(V^2 \lg V + VE)$  dacă în algoritmul lui Dijkstra implementăm coada de prioritate cu ajutorul unui heap Fibonacci. Implementarea mai simplă folosind un heap binar duce la un timp de execuție  $O(VE \lg V)$ , deci algoritmul este, asymptotic, mai rapid decât algoritmul Floyd-Warshall dacă graful este rar.

## Exerciții

**26.3-1** Folosiți algoritmul lui Johnson pentru a găsi drumurile minime dintre toate perechile de vârfuri în graful din figura 26.2. Specificați care sunt valorile lui  $h$  și  $\hat{w}$  determinate de algoritm.

**26.3-2** Care este scopul adăugării noului vârf  $s$  la  $V$  pentru a obține  $V'$ ?

**26.3-3** Să presupunem că  $w(u, v) \geq 0$  pentru toate arcele  $(u, v) \in E$ . Care este legătura dintre funcțiile de cost  $w$  și  $\hat{w}$ ?

## 26.4. O modalitate generală pentru rezolvarea problemelor de drum în grafuri orientate

În această secțiune vom studia “semiinilele închise”, o structură algebrică ce duce la o modalitate generală de a rezolva problemele de drum în grafuri orientate. Începem prin a defini semiinilele închise și a discuta legătura lor cu determinarea drumurilor orientate. Vom arăta apoi câteva exemple de semiinile închise și un algoritm “generic” pentru determinarea informațiilor referitoare la drumurile între toate perechile. Atât algoritmul Floyd-Warshall cât și algoritmul de determinare a închiderii tranzitive din secțiunea 26.2 sunt instanțe ale acestui algoritm generic.

### Definiția semiinilelor închise

Un **semiinel închis** este un tuplu  $(S, \oplus, \odot, \bar{0}, \bar{1})$  unde  $S$  este mulțimea elementelor,  $\oplus$  (**operatorul de însumare**) și  $\odot$  (**operatorul de extindere**) sunt operații binare peste  $S$ , și  $\bar{0}$  și  $\bar{1}$  sunt elemente din  $S$  care satisfac următoarele 8 proprietăți:

1.  $(S, \oplus, \bar{0})$  este un **monoid**:

- $S$  este **închisă** față de  $\oplus$ :  $a \oplus b \in S$  pentru orice  $a, b \in S$ .
- $\oplus$  este **asociativă**:  $a \oplus (b \oplus c) = (a \oplus b) \oplus c$  pentru orice  $a, b, c \in S$ .
- $\bar{0}$  este un **element neutru** pentru  $\oplus$ :  $a \oplus \bar{0} = \bar{0} \oplus a = a$  pentru orice  $a \in S$ .

De asemenea,  $(S, \odot, \bar{1})$  este un monoid.

2.  $\bar{0}$  este un **anihilator**:  $a \odot \bar{0} = \bar{0} \odot a = \bar{0}$ , pentru orice  $a \in S$ .

3.  $\oplus$  este **comutativă**:  $a \oplus b = b \oplus a$ , pentru orice  $a, b \in S$ .

4.  $\oplus$  este **idempotentă**:  $a \oplus a = a$  pentru orice  $a \in S$ .
5.  $\odot$  este **distributivă** față de  $\oplus$ :  $a \odot (b \oplus c) = (a \odot b) \oplus (a \odot c)$  și  $(b \oplus c) \odot a = (b \odot a) \oplus (c \odot a)$  pentru orice  $a, b, c \in S$
6. Dacă  $a_1, a_2, a_3, \dots$  este un sir numărabil de elemente din  $S$ , atunci elementul  $a_1 \oplus a_2 \oplus a_3 \oplus \dots$  este bine definit și face parte din  $S$ .
7. Asociativitatea, comutativitatea și idempotența se aplică pentru însumări infinite. (Deci orice însumare infinită poate fi rescrisă ca o însumare infinită în cadrul căreia fiecare termen apare numai o dată și ordinea evaluării este arbitrară.)
8.  $\odot$  este distributivă față de însumarea infinită:  $a \odot (b_1 \oplus b_2 \oplus b_3 \oplus \dots) = (a \odot b_1) \oplus (a \odot b_2) \oplus (a \odot b_3) \oplus \dots$  și  $(a_1 \oplus a_2 \oplus a_3 \oplus \dots) \odot b = (a_1 \odot b) \oplus (a_2 \odot b) \oplus (a_3 \odot b) \oplus \dots$ .

## O determinare a drumurilor în grafuri orientate

Cu toate că proprietățile semiinelor închise par abstracte, ele pot fi puse în legătură cu drumurile în grafuri orientate. Să presupunem că se dă un graf orientat  $G = (V, E)$  și o **funcție de etichetare**  $\lambda : V \times V \rightarrow S$  care pune în corespondență toate perechile ordonate de vârfuri cu elemente din  $S$ . **Eticheta arcului**  $(u, v) \in E$  este notată prin  $\lambda(u, v)$ . Deoarece  $\lambda$  este definită peste domeniul  $V \times V$ , eticheta  $\lambda(u, v)$  are, de obicei, valoarea  $\bar{0}$  dacă  $(u, v)$  nu este un arc de-al lui  $G$  (vom vedea imediat motivul acestei alegeri).

Folosim operatorul asociativ de extindere  $\odot$  pentru a extinde noțiunea de etichete pentru drumuri. **Eticheta drumului**  $p = \langle v_1, v_2, \dots, v_k \rangle$  este

$$\lambda(p) = \lambda(v_1, v_2) \odot \lambda(v_2, v_3) \odot \dots \odot \lambda(v_{k-1}, v_k).$$

Elementul neutru  $\bar{1}$  față de  $\odot$  va fi eticheta drumului vid.

Ca un exemplu pentru o aplicație a semiinelor închise, vom folosi drumuri minime pentru grafuri cu arce de costuri nenegative. Codomeniul  $S$  este  $\mathbb{R}^{\geq 0} \cup \{\infty\}$ , unde  $\mathbb{R}^{\geq 0}$  este multimea numerelor reale nenegative și  $\lambda(i, j) = w_{ij}$  pentru orice  $i, j \in V$ . Operatorul de extindere  $\odot$  corespunde operatorului aritmetic  $+$ , deci eticheta drumului  $p = \langle v_1, v_2, \dots, v_k \rangle$  este

$$\lambda(p) = \lambda(v_1, v_2) \odot \lambda(v_2, v_3) \odot \dots \odot \lambda(v_{k-1}, v_k) = w_{v_1, v_2} + w_{v_2, v_3} + \dots + w_{v_{k-1}, v_k} = w(p).$$

Nu este surprinzător faptul că rolul lui  $\bar{1}$ , elementul neutru pentru  $\odot$ , este luat de 0, elementul neutru pentru  $+$ . Notăm drumul vid prin  $\varepsilon$ ; eticheta lui este  $\lambda(\varepsilon) = w(\varepsilon) = 0 = \bar{1}$ .

Deoarece operația de extindere  $\odot$  este asociativă, putem defini eticheta concatenării a două drumuri într-un mod natural. Dându-se drumurile  $p_1 = \langle v_1, v_2, \dots, v_k \rangle$  și  $p_2 = \langle v_k, v_{k+1}, \dots, v_l \rangle$  **concatenarea** lor este

$$p_1 \circ p_2 = \langle v_1, v_2, \dots, v_k, v_{k+1}, \dots, v_l \rangle,$$

și eticheta concatenării lor este

$$\begin{aligned} \lambda(p_1 \circ p_2) &= \lambda(v_1, v_2) \odot \lambda(v_2, v_3) \odot \dots \odot \lambda(v_{k-1}, v_k) \odot \lambda(v_k, v_{k+1}) \odot \lambda(v_{k+1}, v_{k+2}) \odot \dots \odot \lambda(v_{l-1}, v_l) \\ &= (\lambda(v_1, v_2) \odot \lambda(v_2, v_3) \odot \dots \odot \lambda(v_{k-1}, v_k)) \odot (\lambda(v_k, v_{k+1}) \odot \lambda(v_{k+1}, v_{k+2}) \odot \dots \odot \lambda(v_{l-1}, v_l)) \\ &= \lambda(p_1) \odot \lambda(p_2). \end{aligned}$$

Operatorul de însumare  $\oplus$ , care este atât comutativ cât și asociativ, este folosit pentru a **însuma** etichetele drumurilor. Aceasta înseamnă că valoarea  $\lambda(p_1) \oplus \lambda(p_2)$  dă o însumare a etichetelor drumurilor  $p_1$  și  $p_2$ , însumare a cărei semantică este specifică aplicației.

Scopul nostru este de a determina, pentru toate perechile de vârfuri  $i, j \in V$ , însumarea tuturor etichetelor drumurilor de la  $i$  la  $j$ :

$$l_{ij} = \bigoplus_{\substack{p \\ i \xrightarrow{p} j}} \lambda(p) \quad (26.11)$$

Avem nevoie de comutativitatea și asociativitatea lui  $\oplus$  pentru ca ordinea în care sunt însumate drumurile să nu conteze. Deoarece folosim anihilatorul  $\bar{0}$  ca etichetă a unei perechi ordonate  $(u, v)$ , care nu este arc în graf, orice drum care încearcă să treacă printr-un arc absent va avea eticheta  $\bar{0}$ .

Pentru drumurile minime, folosim min ca operator de însumare  $\oplus$ . Elementul neutru pentru min este  $\infty$ , și  $\infty$  este, într-adevăr, un anihilator pentru  $+$ :  $a + \infty = \infty + a = \infty$  pentru orice  $a \in \mathbb{R}^{>0} \cup \{\infty\}$ . Arcele absente vor avea costul  $\infty$  și, dacă oricare arc al unui drum va avea costul  $\infty$ , drumul va avea același cost.

Dorim ca operatorul de însumare  $\oplus$  să fie idempotent, deoarece, din ecuația (26.11), observăm că  $\oplus$  ar trebui să însumeze etichetele unei multimi de drumuri. Dacă  $p$  este un drum, atunci  $\{p\} \cup \{p\} = \{p\}$ ; dacă însumăm drumul  $p$  cu el însuși, eticheta rezultată ar trebui să fie eticheta lui  $p$ :  $\lambda(p) \oplus \lambda(p) = \lambda(p)$ .

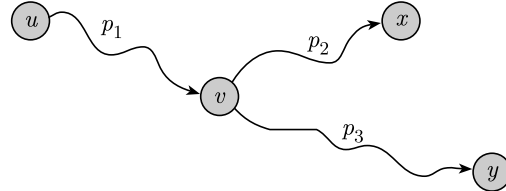
Deoarece considerăm și drumuri care s-ar putea să nu fie elementare, mulțimea etichetelor drumurilor dintr-un graf poate fi infinită, dar numărabilă. (Fiecare drum, elementar sau nu, conține un număr finit de arce.) În concluzie, operatorul  $\oplus$  ar trebui să poată fi aplicat pentru o mulțime infinită, dar numărabilă, de etichete ale drumurilor. Aceasta înseamnă că, dacă  $a_1, a_2, a_3, \dots$  este un sir numărabil de elemente din codomeniul  $S$ , atunci eticheta  $a_1 \oplus a_2 \oplus a_3 \oplus \dots$  ar trebui să fie bine definită și să facă parte din  $S$ . Nu ar trebui să conteze ordinea în care însumăm etichetele drumurilor, deci asociativitatea și comutativitatea ar trebui să fie respectate pentru însumări infinite. Mai mult, dacă însumăm aceeași etichetă de drum  $a$  de un număr infinit de ori, rezultatul ar trebui să fie  $a$ , deci idempotența ar trebui respectată și pentru însumări infinite.

Întorcându-ne la exemplul drumurilor minime, vrem să stim dacă min este aplicabilă la un sir infinit de valori din  $\mathbb{R}^{>0} \cup \{\infty\}$ . De exemplu, este bine definită valoarea  $\min_{k=1}^{\infty} \{1/k\}$ ? Răspunsul este afirmativ dacă ne gădim la operatorul min ca returnând cel mai mare minorant (infimul) al argumentelor sale, caz în care obținem  $\min_{k=1}^{\infty} \{1/k\} = 0$ .

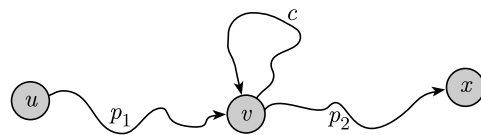
Pentru a determina etichete ale unor drumuri divergente avem nevoie de distributivitatea operatorului de extindere  $\odot$  față de operatorul de însumare  $\oplus$ . După cum se arată în figura 26.7, presupunem că avem drumurile  $u \xrightarrow{p_1} v$ ,  $v \xrightarrow{p_2} x$  și  $v \xrightarrow{p_3} y$ . Cu ajutorul distributivității, putem însuma etichetele drumurilor  $p_1 \circ p_2$  și  $p_1 \circ p_3$  calculând fie  $(\lambda(p_1) \odot \lambda(p_2)) \oplus (\lambda(p_1) \odot \lambda(p_3))$  sau  $\lambda(p_1) \odot (\lambda(p_2) \oplus \lambda(p_3))$ .

Deoarece pot exista un număr infinit, dar numărabil de drumuri într-un graf,  $\odot$  ar trebui să fie distributivă atât față de însumări infinite, cât și față de însumări finite. În figura 26.8 pot fi văzute drumurile  $u \xrightarrow{p_1} v$  și  $v \xrightarrow{p_2} x$  precum și ciclul  $v \xrightarrow{c} v$ . Trebuie să putem însuma drumurile  $p_1 \circ p_2$ ,  $p_1 \circ c \circ p_2$ ,  $p_1 \circ c \circ c \circ p_2$ , .... Distributivitatea lui  $\odot$  față de însumări infinite, dar numărabile, ne dau

$$\begin{aligned} & (\lambda(p_1) \odot \lambda(p_2)) \oplus (\lambda(p_1) \odot \lambda(c) \odot \lambda(p_2)) \oplus (\lambda(p_1) \odot \lambda(c) \odot \lambda(c) \odot \lambda(p_2)) \oplus \dots \\ &= \lambda(p_1) \odot (\lambda(p_2) \oplus (\lambda(c) \odot \lambda(p_2)) \oplus (\lambda(c) \odot \lambda(c) \odot \lambda(p_2))) \oplus \dots \\ &= \lambda(p_1) \odot (\bar{1} \oplus \lambda(c) \oplus (\lambda(c) \odot \lambda(c)) \oplus (\lambda(c) \odot \lambda(c) \odot \lambda(c)) \oplus \dots) \odot \lambda(p_2). \end{aligned}$$



**Figura 26.7** Folosirea distributivității lui  $\odot$  față de  $\oplus$ . Pentru a însuma etichetele drumurilor  $p_1 \circ p_2$  și  $p_1 \circ p_3$ , putem calcula fie  $(\lambda(p_1) \odot \lambda(p_2)) \oplus (\lambda(p_1) \odot \lambda(p_3))$ , fie  $\lambda(p_1) \odot (\lambda(p_2) \oplus \lambda(p_3))$ .



**Figura 26.8** Distributivitatea lui  $\odot$  față de însumări infinite, dar numărabile, ale lui  $\oplus$ . Datorită ciclului  $c$ , pot exista un număr infinit, dar numărabil, de drumuri de la vârful  $v$  la vârful  $x$ . Trebuie să putem însuma drumurile  $p_1 \circ p_2$ ,  $p_1 \circ c \circ p_2$ ,  $p_1 \circ c \circ c \circ p_2$ , ...

Trebuie să folosim o notație specială pentru eticheta unui ciclu care poate fi traversat de un anumit număr de ori. Să presupunem că avem un ciclu  $c$  cu eticheta  $\lambda(c) = a$ . Putem traversa  $c$  de zero ori, eticheta fiind, în acest caz,  $\lambda(\varepsilon) = \bar{1}$ . Dacă traversăm ciclul o dată, eticheta va fi  $\lambda(c) = a$ , dacă îl traversăm de două ori, eticheta va fi  $\lambda(c) \odot \lambda(c) = a \odot a$ , și aşa mai departe. Eticheta pe care o obținem însumând un număr infinit de traversări ale ciclului  $c$  este **închiderea** lui  $a$ , definită prin

$$a^* = \bar{1} \oplus a \oplus (a \odot a) \oplus (a \odot a \odot a) \oplus (a \odot a \odot a \odot a) \oplus \dots$$

În concluzie, pentru figura 26.8, vrem să calculăm  $\lambda(p_1) \odot (\lambda(c))^* \odot \lambda(p_2)$ .

Pentru exemplul drumurilor minime, pentru orice număr real nenegativ din mulțimea  $a \in \mathbb{R}^{\geq 0} \cup \{\infty\}$ ,

$$a^* = \min_{k=0}^{\infty} \{ka\} = 0.$$

Interpretarea acestei proprietăți este aceea că, deoarece toate ciclurile au costuri nenegative, nici un drum minim nu trebuie să traverseze un ciclu întreg.

### Exemple de semiinile închise

Am văzut deja un exemplu de semiinel,  $S_1 = (\mathbb{R}^{\geq 0} \cup \{\infty\}, \min, +, \infty, 0)$ , pe care l-am folosit pentru drumuri minime cu arce de costuri nenegative. (După cum am amintit anterior, operatorul  $\min$  returnează, de fapt, cel mai mare minorant al argumentelor sale. Am arătat, de asemenea, că  $a^* = 0$  pentru orice  $a \in \mathbb{R}^{\geq 0} \cup \{\infty\}$ ).

Am susținut că, chiar dacă există arce de cost negativ, algoritmul Floyd-Warshall determină costurile drumurilor minime atâtă timp cât nu există cicluri de cost negativ. Adăugând operatorul de închidere potrivit și extinzând codomeniul etichetelor la  $\mathbb{R} \cup \{-\infty, +\infty\}$  putem găsi un semiinel

închis care să trateze ciclurile de cost negativ. Folosind  $\min$  pentru  $\oplus$  și  $+$  pentru  $\odot$ , cititorul poate verifica faptul că închiderea lui  $a \in \mathbb{R} \cup \{-\infty, +\infty\}$  este

$$a^* = \begin{cases} 0 & \text{dacă } a \geq 0, \\ -\infty & \text{dacă } a < 0. \end{cases}$$

Al doilea caz ( $a < 0$ ) modelează situația în care putem traversa un ciclu de cost negativ de un număr infinit de ori pentru a obține costul  $-\infty$  pentru orice drum care conține cicluri. În concluzie, semiinelul închis care trebuie folosit pentru algoritmul Floyd-Warshall cu arce de cost negativ este  $S_2 = (\mathbb{R} \cup \{-\infty, +\infty\}, \min, +, +\infty, 0)$ . (Vezi exercițiul 26.4-3.)

Pentru închiderea tranzitivă, folosim semiinelul închis  $S_3 = (\{0, 1\}, \vee, \wedge, 0, 1)$ , unde  $\lambda(i, j) = 1$  dacă  $(i, j) \in E$ , și  $\lambda(i, j) = 0$  în caz contrar. Aici avem  $0^* = 1^* = 1$ .

### Un algoritm de programare dinamică pentru determinarea etichetelor drumurilor orientate

Să presupunem că se dă un graf orientat  $G = (V, E)$  cu funcția de etichetare  $\lambda : V \times V \rightarrow S$ . Vârfurile sunt numerotate de la 1 la  $n$ . Pentru fiecare pereche de vârfuri  $i, j \in V$ , vrem să calculăm ecuația (26.11)

$$l_{ij} = \bigoplus_{i \xrightarrow{p} j} \lambda(p),$$

care este rezultatul însumării tuturor drumurilor de la  $i$  la  $j$ , folosind operatorul de însumare  $\oplus$ . Pentru drumurile minime, vrem să calculăm

$$l_{ij} = \delta(i, j) = \min_{i \xrightarrow{p} j} \{w(p)\}.$$

Există un algoritm de programare dinamică pentru rezolvarea acestei probleme și acesta seamănă foarte mult cu algoritmul Floyd-Warshall și cu algoritmul de determinare a închiderii tranzitive. Fie  $Q_{ij}^{(k)}$  mulțimea drumurilor de la vârful  $i$  la vârful  $j$  cu toate vârfurile intermedii în mulțimea  $\{1, 2, \dots, k\}$ . Definim

$$l_{ij}^{(k)} = \bigoplus_{p \in Q_{ij}^{(k)}} \lambda(p).$$

Observați analogia cu definiția lui  $d_{ij}^{(k)}$  din algoritmul Floyd-Warshall și cu  $t_{ij}^{(k)}$  din algoritmul de determinare a închiderii tranzitive. Putem defini recursiv  $l_{ij}^{(k)}$  prin

$$l_{ij}^{(k)} = l_{ij}^{(k-1)} \oplus \left( l_{ik}^{(k-1)} \odot (l_{kk}^{(k-1)})^* \odot l_{kj}^{(k-1)} \right). \quad (26.12)$$

Recurența (26.12) seamănă cu recurențele (26.5) și (26.8), dar conține un nou factor:  $(l_{kk}^{(k-1)})^*$ . Acest factor reprezintă însumarea tuturor ciclurilor care trec prin vârful  $k$  și au toate celealte vârfuri în mulțimea  $\{1, 2, \dots, k-1\}$ . (Când presupunem, în algoritmul Floyd-Warshall, că nu există cicluri de cost negativ,  $(l_{kk}^{(k-1)})^*$  este 0, corespunzător lui  $\bar{1}$ , costul unui ciclu vid.) În cadrul algoritmului de determinare a închiderii tranzitive, drumul vid de la  $k$  la  $k$  ne dă  $(l_{kk}^{(k-1)})^* =$

$1 = \bar{1}$ . Deci, pentru fiecare dintre acești doi algoritmi, putem ignora factorul  $(l_{kk}^{(k-1)})^*$  deoarece reprezintă elementul neutru pentru  $\odot$ . Baza definiției recursive este

$$l_{ij}^{(0)} = \begin{cases} \lambda(i, j) & \text{dacă } i \neq j, \\ \bar{1} \oplus \lambda(i, j) & \text{dacă } i = j, \end{cases}$$

pe care o putem vedea după cum urmează. Eticheta unui drum care conține un singur arc  $\langle i, j \rangle$  este, simplu,  $\lambda(i, j)$  (care este egală cu  $\bar{0}$  dacă  $(i, j)$  nu este o muchie din  $E$ ). Dacă  $i = j$ , atunci  $\bar{1}$  este eticheta drumului vid de la  $i$  la  $i$ .

Algoritmul de programare dinamică determină valorile  $l_{ij}^{(k)}$  în ordinea crescătoare a lui  $k$ . El returnează matricea  $L^{(n)} = (l_{ij}^{(n)})$ .

CALCULEAZĂ-ÎNSUMĂRI( $\lambda, V$ )

```

1:  $n \leftarrow |V|$ 
2: pentru  $i \leftarrow 1, n$  execută
3:   pentru  $j \leftarrow 1, n$  execută
4:     dacă  $i = j$  atunci
5:        $l_{ij}^{(0)} \leftarrow \bar{1} \oplus \lambda(i, j)$ 
6:     altfel
7:        $l_{ij}^{(0)} \leftarrow \lambda(i, j)$ 
8:   pentru  $k \leftarrow 1, n$  execută
9:     pentru  $i \leftarrow 1, n$  execută
10:      pentru  $j \leftarrow 1, n$  execută
11:         $l_{ij}^{(k)} \leftarrow l_{ij}^{(k-1)} \oplus (l_{ik}^{(k-1)} \odot (l_{kk}^{(k-1)})^* \odot l_{kj}^{(k-1)})$ 
12: returnează  $L^{(n)}$ 
```

Timpul de execuție al acestui algoritm depinde de timpul necesar calculării lui  $\odot, \oplus$  și  $*$ . Dacă  $T_\odot, T_\oplus$  și  $T_*$  reprezintă acești timpi, atunci timpul de execuție al algoritmului CALCULEAZĂ-ÎNSUMĂRI este  $\Theta(n^3(T_\odot + T_\oplus + T_*))$  ceea ce reprezintă  $\Theta(n^3)$  dacă toate aceste trei operații necesită un timp  $O(1)$ .

## Exerciții

**26.4-1** Verificați că  $S_1 = (\mathbb{R}^{\geq 0} \cup \{\infty\}, \min, +, \infty, 0)$  și  $S_3 = (\{0, 1\}, \vee, \wedge, 0, 1)$  sunt semiinenele închise.

**26.4-2** Verificați că  $S_2 = (\mathbb{R} \cup \{-\infty, +\infty\}, \min, +, +\infty, 0)$  este un semiinel închis. Care este valoarea lui  $a + (-\infty)$  pentru  $a \in \mathbb{R}$ ? Dar a lui  $(-\infty) + (+\infty)$ ?

**26.4-3** Rescrieți procedura CALCULEAZĂ-ÎNSUMĂRI pentru a folosi semiinelul închis  $S_2$  astfel încât să implementeze algoritmul Floyd-Warshall. Care ar trebui să fie valoarea lui  $-\infty + \infty$ ?

**26.4-4** Este tuplul  $S_4 = (\mathbb{R}, +, \cdot, 0, 1)$  un semiinel închis?

**26.4-5** Putem folosi un semiinel închis arbitrar pentru algoritmul lui Dijkstra? Dar pentru algoritmul Bellman-Ford? Dar pentru procedura DRUMURI-MINIME-ÎNTRE-TOATE-PERECHILE-MAI-RAPID?

**26.4-6** O firmă de transport dorește să trimită din Castroville la Boston un camion încărcat până la refuz cu anumite articole. Fiecare șosea din Statele Unite are o anumită limită pentru camioanele care pot folosi acea șosea. Modelați această problemă pe un graf orientat  $G = (V, E)$  și un semiinel închis adecvat și dați un algoritm eficient pentru rezolvarea ei.

## Probleme

### 26-1 Închiderea tranzitivă a unui graf dinamic

Să presupunem că dorim să menținem închiderea tranzitivă a unui graf orientat  $G = (V, E)$  în timp ce inserăm noi arce în  $E$ . Mai precis, după ce a fost inserat un arc, vrem să actualizăm închiderea tranzitivă a arcelor inserate până în acel moment. Să presupunem că, inițial, graful  $G$  nu are nici un arc și că închiderea tranzitivă este reprezentată de o matrice booleană.

- a. Arătați modul în care închiderea tranzitivă  $G^* = (V, E^*)$  a unui graf  $G = (V, E)$  poate fi actualizată în timp  $O(V^2)$  când în  $G$  se adaugă un arc nou.
- b. Dați un exemplu de graf  $G$  și de o muchie  $e$ , astfel încât să fie nevoie de un timp  $\Omega(V^2)$  pentru actualizarea închiderii tranzitive după inserarea lui  $e$  în  $G$ .
- c. Descrieți un algoritm eficient pentru actualizarea închiderii tranzitive pe măsură ce noi arce sunt adăugate grafului. Pentru orice secvență de  $n$  inserări, algoritmul ar trebui să se execute într-un timp total  $\sum_{i=1}^n t_i = O(V^3)$ , unde  $t_i$  este timpul necesar pentru actualizarea închiderii tranzitive când al  $i$ -lea arc este inserat. Demonstrați că algoritmul atinge această limită de timp.

### 26-2 Drumuri minime în grafuri $\epsilon$ -dense

Un graf  $G = (V, E)$  este  $\epsilon$ -dens dacă  $|E| = \Theta(V^{1+\epsilon})$  pentru o anumită constantă  $\epsilon$  din domeniul  $0 < \epsilon \leq 1$ . Folosind un heap  $d$ -ar (vezi problema 7-2) în algoritmii de drumuri minime pe grafuri  $\epsilon$ -dense, putem obține timpi de execuție la fel de buni ca în cazul algoritmilor bazați pe heap-uri Fibonacci fără să folosim o structură de date atât de complicată.

- a. Care este timpul de execuție asimptotic pentru INSEREAZĂ, EXTRAGE-MIN și DESCREȘTE-CHEIE ca funcție de  $d$  și de numărul  $n$  al elementelor din heap-ul  $d$ -ar? Care sunt acești timpi de execuție dacă alegem  $d = \Theta(n^\alpha)$  pentru o anumită constantă  $0 < \alpha \leq 1$ ? Comparați costul amortizat al acestor operații folosind un heap Fibonacci cu timpii de execuție determinați anterior.
- b. Arătați modul în care pot fi determinate, în timp  $O(E)$ , drumuri minime de la o singură sursă pe un graf orientat  $G = (V, E)$   $\epsilon$ -dens fără arce de cost negativ. (*Indica ie:* Alegeți  $d$  ca fiind o funcție de  $\epsilon$ .)
- c. Arătați modul în care poate fi rezolvată, în timp  $O(VE)$ , problema drumurilor minime pe un graf orientat  $G = (V, E)$   $\epsilon$ -dens fără arce de cost negativ.
- d. Arătați modul în care poate fi rezolvată, în timp  $O(VE)$ , problema drumurilor minime între toate perechile de vârfuri pe un graf orientat  $G = (V, E)$   $\epsilon$ -dens care poate avea arce de cost negativ, dar nu are nici un ciclu de cost negativ.

### 26-3 Arbore parțial minim ca semiinel închis

Fie  $G = (V, E)$  un graf neorientat conex cu funcția de cost  $w : E \rightarrow \mathbb{R}$ . Fie  $V = \{1, 2, \dots, n\}$  mulțimea vârfurilor, unde  $n = |V|$  și să presupunem că toate costurile  $w(i, j)$  ale muchiilor sunt unice. Fie  $T$  unicul arbore parțial minim (vezi exercițiul 24.1-6) al grafului  $G$ . În cadrul acestei probleme, vom determina  $T$  folosind un semiinel închis după cum au sugerat B. M. Maggs și S. A. Plotkin. Determinăm, mai întâi, pentru fiecare pereche de vârfuri  $i, j \in V$ , costul **minimax**

$$m_{ij} = \min_{\substack{i \sim_p j}} \max_{\text{muchii } e \text{ din } p} w(e).$$

- a. Justificați, pe scurt, afirmația că  $S = (\mathbb{R} \cup \{-\infty, \infty\}, \min, \max, \infty, -\infty)$  este un semiinel închis.

Deoarece  $S$  este un semiinel închis, putem folosi procedura CALCULEAZĂ-ÎNSUMĂRI pentru a determina costurile minimax  $m_{ij}$  în graful  $G$ . Fie  $m_{ij}^{(k)}$  costul minimax peste toate drumurile de la  $i$  la  $j$  cu toate vârfurile intermediare în mulțimea  $\{1, 2, \dots, k\}$ .

- b. Dați o recurență pentru  $m_{ij}^{(k)}$ , unde  $k \geq 0$ .
- c. Fie  $T_m = \{(i, j) \in E : w(i, j) = m_{ij}\}$ . Demonstrați că muchiile din  $T_m$  formează un arbore parțial al lui  $G$ .
- d. Arătați că  $T_m = T$ . (*Indica ie:* Luati în considerare efectul adăugării la  $T$  a unei muchii  $(i, j)$  și al eliminării unei muchii de pe un alt drum de la  $i$  la  $j$ . De asemenea, luați în considerare efectul eliminării unei muchii  $(i, j)$  din  $T$  și înlocuirii ei cu o altă muchie.)

## Note bibliografice

Lawler [132] tratează foarte bine problema drumurilor minime între toate perechile de vârfuri, cu toate că nu analizează soluțiile pentru grafuri rare. El atribuie folclorului algoritmul de înmulțire a matricelor. Algoritmul Floyd-Warshall este datorat lui Floyd [68] care s-a bazat pe o teoremă a lui Warshall [198] care descrie modul în care poate fi determinată închiderea tranzitivă pe matrice booleene. Structura algebraică a semiinelului închis apare în Aho, Hopcroft și Ullman [4]. Algoritmul lui Johnson este preluat din [114].

---

## 27 Flux maxim

Așa cum se poate modela o hartă rutieră printr-un graf orientat pentru a afla cel mai scurt drum de la un punct la un altul, graful orientat poate fi considerat ca o "rețea de transport" care dă răspunsuri la întrebări referitoare la fluxuri materiale. Să ne imaginăm o situație în care un material este transportat într-un sistem de la sursă, unde este produs, la destinație, unde este consumat. La sursă se produce materialul într-un ritm constant, iar la destinația se consumă în același ritm. Intuitiv, "fluxul" materialului, în orice punct al sistemului, este ritmul în care materialul se deplasează. Rețelele de transport pot modela scurgerea lichidului în sisteme cu țevi, deplasarea pieselor pe benzi rulante, scurgerea curentului prin rețele electrice, deplasare informațiilor prin rețele de comunicații, și multe alte.

Fiecare arc în rețea de transport poate fi considerat drept conductă pentru material. Fiecare conductă are o capacitate dată, care este de fapt ritmul maxim cu care lichidul se poate deplasa în conductă. De exemplu, printr-o țeavă pot curge cel mult 2000 litri de apă pe oră, sau pe un fir conductor un curent electric de maximum 20 amperi. Vârfurile (nodurile) sunt joncțiunile conductelor și în afara vârfului sursă și destinație, materialul nu se poate acumula în nici un vârf. Altfel spus, cantitatea de material care intră într-un vârf trebuie să fie egală cu cea careiese din vârf. Această proprietate se numește "conservarea fluxului" și este identică cu legea lui Kirchoff în cazul curentului electric.

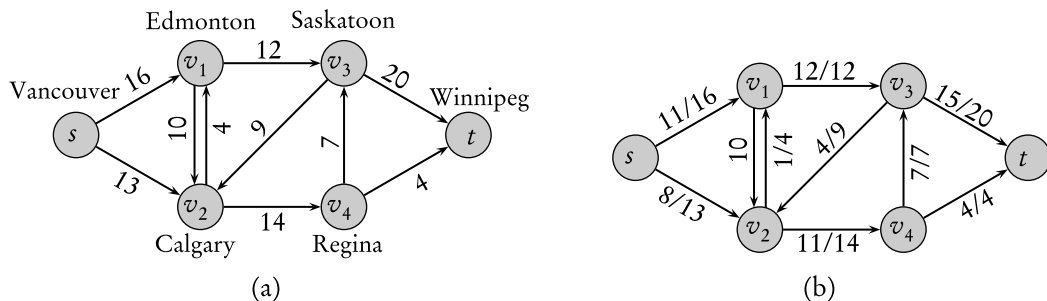
Problema fluxului maxim este cea mai simplă problemă legată de rețele de transport, care cere să se determine cantitatea maximă de material care poate fi transportată de la sursă la destinație ținând cont de restricțiile de capacitate. După cum vom vedea în acest capitol, problema se poate rezolva prin algoritmi eficienți. Mai mult, tehniciile de bază ale acestor algoritmi pot fi adaptate la rezolvarea altor tipuri de probleme în rețele de transport.

Acest capitol prezintă două metode generale pentru rezolvarea problemei fluxului maxim. Secțiunea 27.1 prezintă formalizarea noțiunilor de rețea de transport și flux în rețea, definind formal și problema fluxului maxim. Secțiunea 27.2 descrie metoda clasică a lui Ford-Fulkerson pentru găsirea fluxului maxim. O aplicație a acestei metode este cea de găsire a cuplajului maxim într-un graf bipartit neorientat care se prezintă în secțiunea 27.3. Secțiunea 27.4 se ocupă de metoda preflux, care este cea mai rapidă metodă referitoare la probleme de flux. În secțiunea 27.5 se tratează o implementare particulară a algoritmului preflux, care are complexitatea  $O(V^3)$ . Cu toate că acesta nu este cel mai rapid algoritm cunoscut, el ilustrează bine unele tehnici folosite în algoritmi care asymptotic sunt cei mai rapizi și are o comportare rezonabilă în practică.

---

### 27.1. Rețele de transport

În această secțiune vom da o definiție cu ajutorul grafurilor a rețelelor de transport, vom discuta proprietățile lor și vom defini problema fluxului maxim. Vom introduce și unele notații utile.



**Figura 27.1** (a) O rețea  $G = (V, E)$  pentru problema de transport al firmei Lucky Puck Company. Fabrica de pucuri din Vancouver este sursa  $s$ , iar depozitul din Winnipeg destinația  $t$ . Pucurile sunt transportate prin localitățile intermediare, dar numai  $c(u, v)$  lazi pe zi pot fi transportate din localitatea  $u$  în localitatea  $v$ . Fiecare arc este marcat cu valoarea capacitații respective. (b) Un flux  $f$  în  $G$  de valoare  $|f| = 19$ . Numai fluxurile de rețea pozitive sunt marcate pe arce. Dacă  $f(u, v) > 0$  atunci arcul  $(u, v)$  se marchează cu  $f(u, v)/c(u, v)$ . (Aici notația / se folosește pentru a separa cele două valori – fluxul și capacitatea –, și nicidcum nu înseamnă împărțire.) Dacă  $f(u, v) \leq 0$  atunci arcul  $(u, v)$  este marcat numai cu capacitate.

## Rețele de transport și fluxuri

O **rețea de transport**  $G = (V, E)$  este un graf orientat în care fiecărui arc  $(u, v) \in E$  îi este asociată o **capacitate** nenegativă  $c(u, v) \geq 0$ . Dacă  $(u, v) \notin E$  vom considera că  $c(u, v) = 0$ . Vom distinge două vârfuri în rețea: un vârf **sursă**  $s$  și un vârf **destinație**  $t$ . Vom presupune că fiecare vârf se găsește pe cel puțin un drum de la sursă la destinație. Adică, pentru orice vârf  $v \in V$  există un drum  $s \leadsto v \leadsto t$ . Graful este deci conex și  $|E| \geq |V| - 1$ . Figura 27.1 prezintă un exemplu de rețea de transport.

Acum suntem pregătiți să dăm o definiție mai formală a fluxului. Fie  $G = (V, E)$  o rețea de transport cu o funcție de capacitate  $c$ . Fie  $s$  vârful sursă și  $t$  vârful destinație. **Fluxul** în  $G$  este o funcție  $f : V \times V \rightarrow \mathbb{R}$  cu valori reale care satisface următoarele trei condiții:

**Restricție de capacitate:** Pentru orice  $u, v \in V$  avem  $f(u, v) \leq c(u, v)$ .

**Antisimetrie:** Pentru orice  $u, v \in V$  avem  $f(u, v) = -f(v, u)$ .

**Conservarea fluxului:** Pentru orice  $u \in V - \{s, t\}$  avem

$$\sum_{v \in V} f(u, v) = 0.$$

Cantitatea  $f(u, v)$  care poate fi pozitivă sau negativă se numește **fluxul net** de la vârful  $u$  la vârful  $v$ , sau pur și simplu **fluxul** pe arcul  $(u, v)$ . **Valoarea** fluxului  $f$  se definește ca:

$$|f| = \sum_{v \in V} f(s, v), \quad (27.1)$$

adică fluxul total care pleacă din vârful sursă. (Aici prin semnul  $|\cdot|$  se notează valoarea fluxului și nu valoarea absolută sau cardinalul unei mulțimi.) Fiind dată o rețea de transport  $G$  cu sursa  $s$  și destinația  $t$ , **problema fluxului maxim** cere găsirea unui flux de valoare maximă de la  $s$  la  $t$ .

Înainte de a vedea un exemplu de problemă de rețea de transport, să studiem pe scurt cele trei proprietăți ale fluxului. Restricția de capacitate impune pur și simplu ca fluxul de la un vârf la altul să nu depășească valoarea capacității date. Antisimetria impune ca fluxul de la un vârf  $u$  la un vârf  $v$  să fie egal cu opusul fluxului de la vârful  $v$  la  $u$ . Astfel, fluxul de la un vârf la el însuși este egal cu 0, deoarece pentru orice  $u \in V$  avem  $f(u, u) = -f(u, u)$ , care implică  $f(u, u) = 0$ . Proprietatea de conservare a fluxului cere ca fluxul total ce pleacă dintr-un vârf diferit de sursă și destinație să fie egal cu 0. Plecând de la antisimetrie, putem descrie proprietatea de conservare a fluxului ca

$$\sum_{u \in V} f(u, v)$$

pentru orice  $v \in V - \{s, t\}$ . Adică, în fiecare vârf fluxul total este egal cu 0.

Să observăm că fluxul între vârfurile  $u$  și  $v$  care nu sunt legate prin nici un arc nu poate fi decât zero. Dacă  $(u, v) \notin E$  și  $(v, u) \notin E$  atunci  $c(u, v) = c(v, u) = 0$ . Își atunci, din cauza restricției de capacitate avem  $f(u, v) \leq 0$  și  $f(v, u) \leq 0$ . Dar, deoarece  $f(u, v) = -f(v, u)$  din cauza antisimetriei, rezultă că  $f(u, v) = f(v, u) = 0$ . Deci, existența fluxului nenul între vârfurile  $u$  și  $v$  implică  $(u, v) \in E$  sau  $(v, u) \in E$  sau ambele.

Ultima noastră observație, privind proprietățile fluxului, se referă la fluxuri pozitive. **Fluxul pozitiv** care intră în vârful  $v$  se definește ca

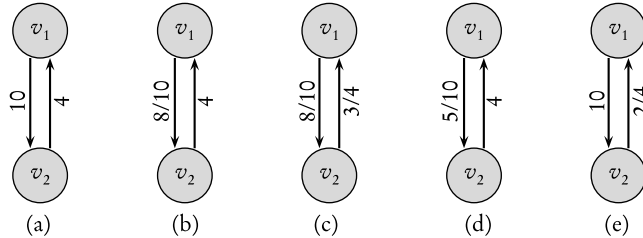
$$\sum_{\substack{u \in V \\ f(u, v) > 0}} f(u, v). \quad (27.2)$$

Se poate defini în mod asemănător și fluxul pozitiv care pleacă dintr-un vârf. O interpretare a conservării fluxului poate fi următoarea: fluxul pozitiv care intră într-un vârf trebuie să fie egal cu fluxul pozitiv careiese din vârf.

## Un exemplu de rețea de transport

O rețea de transport poate modela problema de transport din figura 27.1. Firma Lucky Puck Company are o fabrică (sursa  $s$ ) în orașul Vancouver care fabrică pucuri pentru hockei pe gheată, și are un depozit (destinația  $t$ ) în orașul Winnipeg unde le stochează. Firma închiriază spațiu în camioane de la o altă firmă pentru a transporta pucurile de la fabrică la depozit. Pentru că spațiul este limitat, firma poate transporta zilnic între oricare două localități  $u$  și  $v$  numai  $c(u, v)$  lăzi de pucuri (figura 27.1(a)). Firma Lucky Puck Company nu poate controla nici rutele de transport și nici capacitatele, deci nu poate modifica rețeaua dată în figura 27.1(a). Scopul firmei este de a determina numărul maxim de lăzi  $p$  care pot fi transportate zilnic la depozit pentru a fabrică exact cantitatea respectivă, deoarece la fabrică nu au spațiu pentru depozitare.

Ritmul cu care se deplasează pucurile de-alungul rutelor este un flux. Pucurile sunt transmise din fabrică cu un ritm de  $p$  lăzi pe zi, și  $p$  lăzi trebuie să ajungă la depozit în fiecare zi. Firma Lucky Puck Company nu se ocupă de timpul de deplasare a pucurilor prin rețea, ei asigură doar ca  $p$  lăzi să părăsească zilnic fabrică și  $p$  lăzi să ajungă la depozit. Restricția de capacitate impune ca fluxul  $f(u, v)$  de la orașul  $u$  la orașul  $v$  să nu depășească  $c(u, v)$  lăzi pe zi. Ritmul cu care ajung lăzile într-un oraș intermediu trebuie să fie identic cu ritmul cu care ele părăsesc orașul respectiv, altfel s-ar îngămădi. Deci, conservarea fluxului este respectată. Astfel, fluxul maxim în rețea determină numărul maxim  $p$  de lăzi transportate zilnic.



**Figura 27.2** Anulare. (a) Vârfurile  $v_1$  și  $v_2$  cu  $c(v_1, v_2) = 10$  și  $c(v_2, v_1) = 4$ . (b) Indicarea faptului că se transportă 8 lăzi pe zi de la  $v_1$  la  $v_2$ . (c) Se mai transportă 3 lăzi pe zi de la  $v_2$  la  $v_1$ . (d) Prin anularea fluxului care merge în direcție opusă se poate reprezenta situația din (c) prin numai fluxuri pozitive într-o singură direcție. (e) Alte 7 lăzi care sunt transportate de la  $v_2$  la  $v_1$ .

Figura 27.1(b) ilustrează un flux posibil în rețea care modelează transportul lăzilor. Pentru oricare două vârfuri  $u$  și  $v$ , fluxul  $f(u, v)$  corespunde numărului lăzilor care pot fi transportate între  $u$  și  $v$  pe zi. Dacă  $f(u, v)$  este 0 sau negativ, atunci nu există transport de la  $u$  la  $v$ . În figura 27.1(b) sunt marcate cu două valori (flux/capacitate) doar arcele cu flux pozitiv.

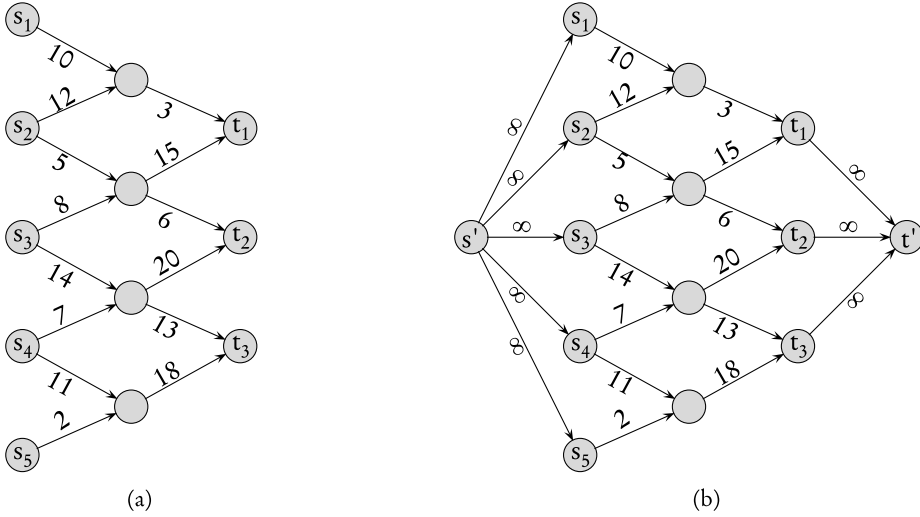
Relația dintre flux și transport se poate înțelege mai bine dacă ne concentrăm atenția asupra transportului între două vârfuri. Figura 27.2(a) ne arată subgraful induș de vârfurile  $v_1$  și  $v_2$  din rețea de transport din figura 27.1. Dacă firma Lucky Puck transportă 8 lăzi pe zi de la  $v_1$  la  $v_2$  rezultatul este arătat în figura 27.2(b): fluxul de la  $v_1$  la  $v_2$  este de 8 lăzi pe zi. Din cauza antisimetriei se poate spune că fluxul în direcție opusă, adică de la  $v_2$  la  $v_1$ , este  $-8$  lăzi pe zi, chiar dacă nu se transportă nimic de la  $v_2$  la  $v_1$ . În general, fluxul de la  $v_1$  la  $v_2$  este exprimat prin numărul de lăzi transportate zilnic de la  $v_1$  la  $v_2$  din care se scade numărul de lăzi transportate de la  $v_2$  la  $v_1$ . Convenția noastră este de a reprezenta numai fluxuri pozitive, deoarece ele indică un transport real, astfel în figură apare numararea 8, fără numararea corespunzătoare  $-8$ .

Să mai adăugăm un transport de 3 lăzi pe zi de la  $v_2$  la  $v_1$ . O reprezentare naturală a acestei situații se găsește în figura 27.2(c). Apare acum o situație în care avem transport în ambele direcții. Se transportă zilnic 8 lăzi de la  $v_1$  la  $v_2$  și 3 lăzi de la  $v_2$  la  $v_1$ . Fluxul de la  $v_1$  la  $v_2$  este acum de  $8 - 3 = 5$  lăzi pe zi, iar fluxul de la  $v_2$  la  $v_1$  este de  $3 - 8 = -5$  lăzi.

Situată, datorită rezultatului, este echivalentă cu cea arătată în figura 27.2(d), unde sunt transportate 5 lăzi de la  $v_1$  la  $v_2$ , și nimic de la  $v_2$  la  $v_1$ . De fapt, 3 lăzi pe zi de la  $v_2$  la  $v_1$  sunt **anulate** de 3 lăzi din 8 transportate de la  $v_1$  la  $v_2$ . În ambele situații, fluxul de la  $v_1$  la  $v_2$  este de 5 lăzi pe zi, dar în figura (d) sunt arătate numai transporturile într-o singură direcție.

În general, anularile ne permit să reprezentăm transportul între două vârfuri printr-un flux pozitiv de-alungul a cel mult unui dintre cele două arce. Dacă există flux zero sau negativ de la un vârf la altul, nu se face nici un transport în direcția respectivă. Astfel, dacă există transport în ambele direcții între două vârfuri, prin procesul de anulare situația poate fi transformată într-o echivalentă în care există transport numai într-o singură direcție: direcția fluxului pozitiv. Restricția de capacitate nu este încălcată în această situație, deoarece fluxul între cele două vârfuri rămâne aceeași.

Continuând cu exemplul nostru, să determinăm efectul transportării a încă 7 lăzi pe zi de la  $v_2$  la  $v_1$ . Figura 27.2(e) ne arată rezultatul, ținând cont de convenția de reprezentare numai a fluxului pozitiv. Fluxul de la  $v_1$  la  $v_2$  devine  $5 - 7 = -2$ , iar fluxul de la  $v_2$  la  $v_1$  devine  $7 - 5 = 2$ . Deoarece fluxul de la  $v_2$  la  $v_1$  este pozitiv, el reprezintă un transport de 2 lăzi pe zi de la  $v_2$  la



**Figura 27.3** Transformarea unei probleme de flux maxim cu mai multe surse și destinații într-o problemă de flux maxim cu o singură sursă și destinație. (a) O rețea de transport cu cinci surse  $S = \{s_1, s_2, s_3, s_4, s_5\}$  și trei destinații  $T = \{t_1, t_2, t_3\}$ . (b) O rețea de transport echivalentă care are o singură sursă și o singură destinație. Adăugăm o sursă nouă  $s'$  care este legat cu fiecare sursă originală printr-un arc de capacitate  $\infty$ . De asemenea, adăugăm o nouă destinație  $t'$  și arce având capacitatea  $\infty$ , de la fiecare destinație inițială la cea nouă.

$v_1$ . Fluxul de la  $v_1$  la  $v_2$  este  $-2$  lăzi pe zi, și, deoarece fluxul nu este pozitiv, nu se realizează nici un transport în această direcție. Sau, putem considera că  $5$  lăzi din cele  $7$  lăzi adiționale pe zi de la  $v_2$  la  $v_1$  sunt anulate de cele  $5$  lăzi de la  $v_1$  la  $v_2$ , ceea ce ne conduce la un transport de  $2$  lăzi pe zi de la  $v_2$  la  $v_1$ .

### Rețele cu mai multe surse și destinații

O problemă de flux maxim poate avea mai multe surse și mai multe destinații în loc de exact una din fiecare. De exemplu, firma Lucky Puck poate avea o mulțime de  $m$  fabrici  $\{s_1, s_2, \dots, s_m\}$  și o mulțime de  $n$  depozite  $\{t_1, t_2, \dots, t_n\}$  cum se arată în figura 27.3. Din fericire, această problemă nu este mai grea decât cea inițială.

Problema găsirii unui flux maxim într-o rețea de transport cu mai multe surse și destinații o vom putea reduce la problema de flux maxim într-o rețea cu o singură sursă și destinație. Figura 27.3(b) ilustrează transformarea rețelei de transport cu mai multe surse și destinații din figura 27.3(a) într-una cu o singură sursă și destinație. Adăugăm o sursă nouă (**supersursă**)  $s$  și arcele orientate  $(s, s_i)$  cu capacitatea  $c(s, s_i) = \infty$  pentru fiecare  $i = 1, 2, \dots, m$ . De asemenea, se adaugă o nouă destinație (**superdestinație**)  $t$  și arcele orientate  $(t_i, t)$  cu capacitatea  $c(t_i, t) = \infty$  pentru fiecare  $i = 1, 2, \dots, n$ . Intuitiv, oricărui flux în rețea din (a) îi corespunde un flux în rețea din (b) și viceversa. Sursa  $s$  produce cantitatea cerută de sursele  $s_i$ , iar destinația  $t$  consumă cantitatea cerută de destinațiile  $t_i$ . Exercițiul 27.1-3 cere demonstrarea formală a echivalenței de mai sus.

### Câteva egalități referitoare la flux

Ne vom ocupa în continuare de unele funcții (asemănătoare funcției  $f$ ) care au ca argumente două vârfuri din rețea de transport. Vom folosi, în acest capitol, o **notație de însumare implicită** în care oricare din argumentele funcției (chiar și ambele) pot fi *mulimi* de vârfuri, cu interpretarea că valoarea respectivă este suma tuturor valorilor funcției pe toate perechile de elemente posibile din cele două mulțimi argumente. De exemplu, dacă  $X$  și  $Y$  sunt mulțimi de vârfuri, atunci

$$f(X, Y) = \sum_{x \in X} \sum_{y \in Y} f(x, y).$$

Ca un alt exemplu, se poate exprima cu ajutorul acestei notații restricția de conservare a fluxului în felul următor:  $f(u, V) = 0$  pentru orice  $u \in V - \{s, t\}$ . Pentru o scriere mai simplă vom omite acoladele când multimea are un singur element (cum am și făcut-o în exemplul anterior). În formula  $f(s, V - s) = f(s, V)$ , de exemplu, termenul  $V - s$  înseamnă  $V - \{s\}$ .

Această notație simplifică formulele în care intervin fluxuri. Lema următoare, a cărei demonstrație este lăsată ca exercițiu (vezi exercițiul 27.1-4), cuprinde majoritatea identităților care intervin în probleme de flux și folosesc notația de însumare implicită.

**Lema 27.1** Fie  $G = (V, E)$  o rețea de transport și  $f$  un flux în  $G$ . Atunci, pentru  $X \subseteq V$ , avem  $f(X, X) = 0$ .

Pentru  $X, Y \subseteq V$ , avem  $f(X, Y) = -f(Y, X)$ .

Pentru  $X, Y, Z \subseteq V$ , cu  $X \cap Y = \emptyset$ , avem  $f(X \cup Y, Z) = f(X, Z) + f(Y, Z)$  și  $f(Z, X \cup Y) = f(Z, X) + f(Z, Y)$ . ■

Ca exemplu de folosire a notației de însumare implicită să demonstrăm că valoarea fluxului este egală cu fluxul total ce ajunge în vârful destinație, adică

$$|f| = f(V, t). \quad (27.3)$$

Se vede intuitiv că această formulă este adevărată. Toate vârfurile diferite de sursă și de destinație au un flux 0 prin conservarea fluxului și astfel vârful destinație este singurul care poate avea un flux diferit de 0 pentru a echivala fluxul diferit de 0 al sursei. O demonstrație formală este următoarea:

$$\begin{aligned} |f| &= f(s, V) && \text{(pe baza definiției)} \\ &= f(V, V) - f(V - s, V) && \text{(pe baza lemei 27.1)} \\ &= f(V, V - s) && \text{(pe baza lemei 27.1)} \\ &= f(V, t) + f(V, V - s - t) && \text{(pe baza lemei 27.1)} \\ &= f(V, t) && \text{(pe baza legii de conservare a fluxului)} \end{aligned}$$

Acest rezultat va fi generalizat mai târziu (lema 27.5).

### Exerciții

**27.1-1** Date fiind vârfurile  $u$  și  $v$  într-o rețea de transport, având capacitațile  $c(u, v) = 5$  și  $c(v, u) = 8$ , să presupunem că avem un flux egal cu 3 unități de la  $u$  la  $v$  și un flux egal cu 4 unități de la  $v$  la  $u$ . Care este fluxul de la  $u$  la  $v$ ? Desenați situația în stilul figurii 27.2.

**27.1-2** Verificați toate cele trei proprietăți pentru fluxul  $f$  din figura 27.1(b).

**27.1-3** Extindeți proprietățile fluxului pentru cazul rețelei cu mai multe surse și destinații. Arătați că orice flux într-o rețea de transport cu mai multe surse și destinații corespunde unui flux cu aceeași valoare într-o rețea cu o singură sursă și o singură destinație, prin adăugarea unei supersurse și a unei superdestinații.

**27.1-4** Demonstrați lema 27.1

**27.1-5** Fie rețeaua de transport  $G = (V, E)$  din figura 27.1(b). Găsiți o pereche de submulțimi  $X, Y \subseteq V$  pentru care  $f(X, Y) = -f(V - X, Y)$ . Apoi, găsiți o pereche de submulțimi  $X, Y \subseteq V$  pentru care  $f(X, Y) \neq -f(V - X, Y)$ .

**27.1-6** Fiind dată o rețea de transport  $G = (V, E)$  fie  $f_1$  și  $f_2$  două funcții din  $V \times V$  în  $\mathbb{R}$ . **Fluxul sumă**  $f_1 + f_2$  este funcția din  $V \times V$  în  $\mathbb{R}$  definită prin

$$(f_1 + f_2)(u, v) = f_1(u, v) + f_2(u, v) \quad (27.4)$$

pentru orice  $u, v \in V$ . Dacă  $f_1$  și  $f_2$  sunt fluxuri în  $G$ , care dintre cele trei proprietăți ale fluxului trebuie să fie satisfăcută de  $f_1 + f_2$  și care poate fi încălcată?

**27.1-7** Fie  $f$  un flux într-o rețea de transport, și fie  $\alpha$  un număr real. **Produsul scalar de flux**  $\alpha f$  este o funcție din  $V \times V$  în  $\mathbb{R}$  definită prin

$$(\alpha f)(u, v) = \alpha \cdot f(u, v).$$

Demonstrați că fluxurile într-o rețea de transport formează o mulțime convexă, arătând că dacă  $f_1$  și  $f_2$  sunt fluxuri, atunci și  $\alpha f_1 + (1 - \alpha) f_2$  este flux pentru orice  $\alpha$  pentru care  $0 \leq \alpha \leq 1$ .

**27.1-8** Formulați problema fluxului maxim sub forma unei probleme de programare liniară.

**27.1-9** Modelul de rețea de transport prezentat în această secțiune permite lucrul cu fluxuri cu un singur tip de produs. O **rețea de transport multiprodus** permite lucrul cu fluxuri cu  $p$  produse între o mulțime de  $p$  **vârfuri sursă**  $S = \{s_1, s_2, \dots, s_p\}$  și o mulțime de  $p$  **vârfuri destinație**  $T = \{t_1, t_2, \dots, t_p\}$ . Fluxul celui de al  $i$ -lea produs de la  $u$  la  $v$  se notează prin  $f_i(u, v)$ . Pentru produsul al  $i$ -lea singura sursă este  $s_i$  și singura destinație este  $t_i$ . Proprietatea de conservare este valabilă independent pentru fiecare produs în parte: fluxul pentru fiecare produs este zero în fiecare vârf diferit de sursa și destinația produsului respectiv. Suma fluxurilor de la  $u$  la  $v$  pentru toate produsele nu poate depăși valoarea de capacitate  $c(u, v)$ , fluxurile pentru diferitele produse interacționează numai în acest sens. **Valoarea** fluxului pentru fiecare produs este fluxul în vârful sursă pentru produsul respectiv. **Valoarea fluxului total** este suma valorilor pentru cele  $p$  fluxuri. Demonstrați că există un algoritm polinomial care rezolvă problema găsirii valorii fluxului total maxim într-o rețea de transport multiprodus prin formularea problemei ca o problemă de programare liniară.

---

## 27.2. Metoda lui Ford-Fulkerson

Această secțiune prezintă metoda lui Ford-Fulkerson pentru rezolvarea problemei de flux maxim. Vorbim mai degrabă de “metodă” decât de “algoritm” deoarece ea cuprinde mai multe implementări cu diferiți timpi de execuție. Metoda lui Ford-Fulkerson se bazează pe trei idei importante, care depășesc cadrul metodei și sunt utilizate și în multe alte probleme legate de fluxuri: rețele reziduale, drumuri de ameliorare și tăieturi. Aceste idei sunt esențiale în demonstrarea teoremei de flux maxim–tăietură minimă (teorema 27.7), care caracterizează valoarea fluxului maxim cu ajutorul tăieturilor în rețele de transport. La sfârșitul acestei secțiuni vom prezenta o implementare a metodei lui Ford-Fulkerson și vom analiza timpul ei de execuție.

Metoda lui Ford-Fulkerson este iterativă. Vom începe cu un flux  $f(u, v) = 0$  pentru orice  $u, v \in V$ , ca un flux inițial de valoare 0. La fiecare pas al iterației vom mări valoarea fluxului prin găsirea unui “drum de ameliorare”, care este un drum de-alungul căruia se poate mări fluxul, deci și valoarea lui. Vom repeta acești pași până când nu se mai găsește nici un drum de ameliorare. Teorema de flux maxim–tăietură minimă va demonstra că în acest caz obținem fluxul maxim.

### METODA-FORD-FULKERSON

- 1: fie  $f$  fluxul identic 0
- 2: **cât timp** există un drum  $p$  de ameliorare **execută**
- 3: mărește fluxul  $f$  de-a lungul drumului  $p$
- 4: **returnează**  $f$

### Rețele reziduale

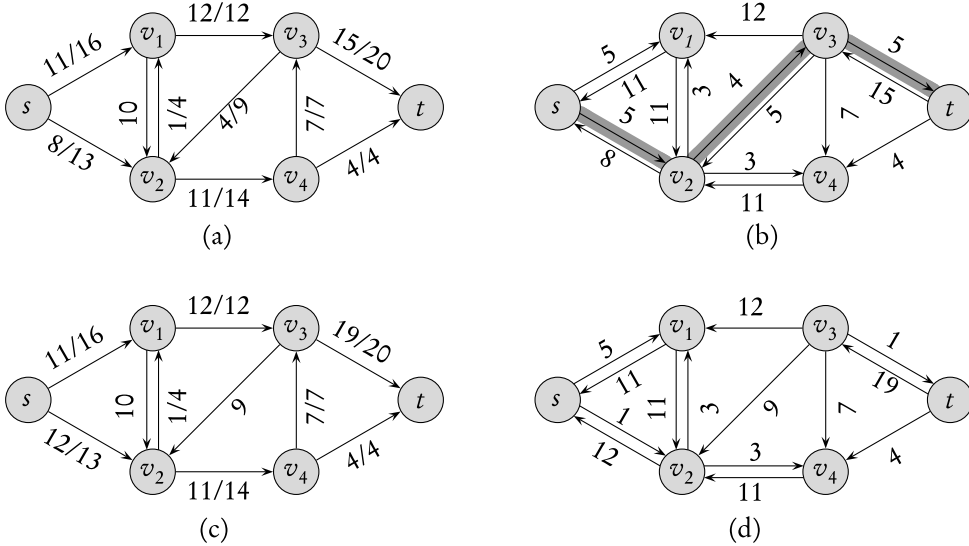
Dacă se dă o rețea de transport și un flux, se poate spune intuitiv că rețeaua reziduală constă din arcele care admit flux mai mare. Mai formal, să presupunem că avem o rețea de transport  $G = (V, U)$  cu sursa  $s$  și destinația  $t$ . Fie  $f$  un flux în  $G$  și să considerăm o pereche de vârfuri  $u, v \in V$ . Cantitatea de flux *aditional* care poate fi transportat de la  $u$  la  $v$ , fără a depăși capacitatea  $c(u, v)$ , este **capacitatea reziduală** a arcului  $(u, v)$  definită prin

$$c_f(u, v) = c(u, v) - f(u, v). \quad (27.5)$$

De exemplu, dacă  $c(u, v) = 16$  și  $f(u, v) = 11$  vom putea transporta în plus  $c_f(u, v) = 5$  unități de produs fără a depăși capacitatea dată a arcului  $(u, v)$ . Dacă fluxul  $f(u, v)$  este negativ, capacitatea reziduală  $c_f(u, v)$  este mai mare dacă capacitatea  $c(u, v)$ . De exemplu, dacă  $c(u, v) = 16$  și  $f(u, v) = -4$ , atunci capacitatea reziduală  $c_f(u, v)$  este egală cu 20. Vom putea interpreta această situație în felul următor. Există un flux de 4 unități de la  $v$  la  $u$ , care poate fi anulat prin 4 unități de flux de la  $u$  la  $v$ . Apoi, se pot transporta alte 16 unități de la  $u$  la  $v$  fără a încălca restricția de capacitate pe arcul  $(u, v)$ . Deci am transportat 20 unități, pornind de la un flux  $f(u, v) = -4$ , fără a depăși capacitatea arcului.

Fiind dată o rețea de transport  $G = (V, E)$  și un flux  $f$ , **rețeaua reziduală** a lui  $G$  induș de  $f$  este  $G_f = (V, E_f)$ , unde

$$E_f = \{(u, v) \in V \times V : c_f(u, v) > 0\}.$$



**Figura 27.4** (a) Rețeaua de transport  $G$  și fluxul  $f$  din figura 27.1(b) (b) Rețeaua reziduală  $G_f$  cu drumul de ameliorare  $p$  hașurat; capacitatea lui reziduală este  $c_f(p) = c(v_2, v_3) = 4$ . (c) Fluxul în  $G$  care rezultă prin mărirea fluxului de-a lungul drumului  $p$  având capacitatea reziduală 4. (d) Rețeaua reziduală indușă de fluxul din (c).

Deci, fiecare arc al rețelei reziduale, sau **arc rezidual**, admite o creștere de flux strict pozitiv. În figura 27.4(a) reluăm rețeaua  $G$  și fluxul  $f$  din figura 27.1(b), iar figura 27.4(b) ne arată rețeaua reziduală  $G_f$ .

Să observăm că  $(u, v)$  poate fi un arc rezidual în  $E_f$  chiar dacă el nu este arc în  $E$ . Altfel spus, se poate întâmpla ca  $E_f \not\subseteq E$ . Rețeaua reziduală din figura 27.4(b) include arce de acest fel care nu apar în rețeaua inițială, cum ar fi de exemplu arcele  $(v_1, s)$  și  $(v_2, v_3)$ . Un astfel de arc  $(u, v)$  poate să apară în  $G_f$  numai dacă  $(v, u) \in E$  și există flux pozitiv de la  $v$  la  $u$ . Deoarece fluxul  $f(u, v)$  de la  $u$  la  $v$  este negativ,  $c_f(u, v) = c(u, v) - f(u, v)$  este pozitiv și  $(u, v) \in E_f$ . Deoarece arcul  $(u, v)$  poate să apară în rețeaua reziduală numai dacă cel puțin unul din arcele  $(u, v)$  și  $(v, u)$  apar în rețeaua originală, avem  $|E_f| \leq 2|E|$ .

Să observăm că însăși rețeaua reziduală  $G_f$  este o rețea de transport cu funcția de capacitate  $c_f$ . Lema următoare ne arată legătura dintre un flux din rețeaua reziduală și fluxul din rețeaua originală.

**Lema 27.2** Fie  $G = (V, E)$  o rețea cu vârful sursă  $s$ , respectiv vârful destinație  $t$  și fie  $f$  un flux în  $G$ . Fie  $G_f$  rețeaua reziduală indușă de fluxul  $f$  și fie  $f'$  un flux în  $G_f$ . Atunci fluxul sumă  $f + f'$  definit prin formula (27.4) este un flux în  $G$  cu valoarea  $|f + f'| = |f| + |f'|$ .

**Demonstratie.** Trebuie să verificăm că antisimetria, restricția de capacitate și proprietatea de conservare sunt verificate. Pentru a arăta antisimetria, să observăm că pentru orice  $u, v \in V$  avem

$$\begin{aligned} (f + f')(u, v) &= f(u, v) + f'(u, v) = -f(v, u) - f'(v, u) \\ &= -(f(u, v) + f'(v, u)) = -(f + f')(v, u). \end{aligned}$$

Pentru restricția de capacitate să observăm că  $f'(u, v) \leq c_f(u, v)$  pentru orice  $u, v \in V$ . Înănd cont de formula (27.5) avem

$$(f + f')(u, v) = f(u, v) + f'(u, v) \leq f(u, v) + (c(u, v) - f(u, v)) = c(u, v).$$

Pentru proprietatea de conservare avem, pentru orice  $u \in V - \{s, t\}$

$$\sum_{v \in V} (f + f')(u, v) = \sum_{v \in V} f(u, v) + f'(u, v) = \sum_{v \in V} f(u, v) + \sum_{v \in V} f'(u, v) = 0 + 0 = 0.$$

În final avem

$$\begin{aligned} |f + f'| &= \sum_{v \in V} (f + f')(s, v) = \sum_{v \in V} (f(s, v) + f'(s, v)) \\ &= \sum_{v \in V} f(s, v) + \sum_{v \in V} f'(s, v) = |f| + |f'|. \end{aligned}$$

■

## Drumuri de ameliorare

Dându-se o rețea de transport  $G = (V, E)$  și un flux  $f$ , un **drum de ameliorare**  $p$  este un drum simplu de la  $s$  la  $t$  în rețeaua reziduală  $G_f$ . După definiția rețelei reziduale, fiecare arc  $(u, v)$  pe un drum de ameliorare admite un flux pozitiv adițional, fără să încalce restricția de capacitate.

Drumul hașurat în figura 27.4(b) este un drum de ameliorare. Tratând rețeaua reziduală  $G_f$  din figură ca o rețea de transport, vom putea transporta 4 unități de flux adițional pe fiecare arc de-a lungul acestui drum de ameliorare, fără a încălca restricția de capacitate, pentru că cea mai mică capacitate reziduală pe acest drum este  $c_f(v_2, v_3) = 4$ . Vom numi **capacitate reziduală** a lui  $p$  cantitatea maximă a fluxului care se poate transporta de-a lungul drumului de ameliorare  $p$ , dată de formula

$$c_f(p) = \min\{c_f(u, v) : (u, v) \text{ este pe drumul } p\}.$$

Lema următoare, a cărei demonstrație este lăsată ca un exercițiu (vezi exercițiul 27.2-7), fundamentează cele de mai sus.

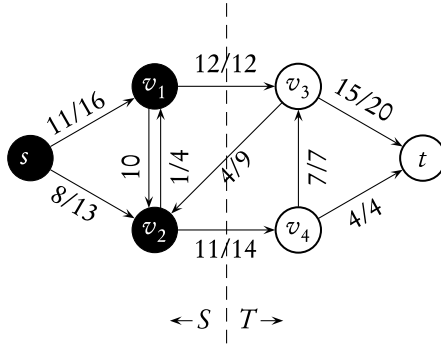
**Lema 27.3** Fie  $G = (V, E)$  o rețea de transport,  $f$  un flux în  $G$  și  $p$  un drum de ameliorare în  $G_f$ . Definim funcția  $f_p : V \times V \rightarrow \mathbb{R}$  prin

$$f_p(u, v) = \begin{cases} c_f(p) & \text{dacă } (u, v) \text{ este pe drumul } p, \\ -c_f(p) & \text{dacă } (v, u) \text{ este pe drumul } p, \\ 0 & \text{altfel.} \end{cases} \quad (27.6)$$

Atunci  $f_p$  este un flux în  $G_f$  cu valoarea  $|f_p| = c_f(p) > 0$ .

■

Corolarul următor ne arată că dacă adunăm  $f_p$  la  $f$  obținem un alt flux în  $G$  a cărei valoare este mai aproape de valoarea maximă. În figura 27.4(c) se vede rezultatul adunării lui  $f_p$  din figura 27.4(b) la fluxul  $f$  din figura 27.4(a).



**Figura 27.5** O tăietură  $(S, T)$  în rețeaua de transport din figura 27.1(b), unde  $S = \{s, v_1, v_2\}$  și  $T = \{v_3, v_4, t\}$ . Vârfurile din  $S$  sunt negre, iar cele din  $T$  sunt albe. Fluxul tăieturii  $(S, T)$  este  $f(S, T) = 19$ , iar capacitatea tăieturii  $c(S, T) = 26$ .

**Corolarul 27.4** Fie  $G = (V, E)$  o rețea de transport,  $f$  un flux în  $G$  și  $p$  un drum de ameliorare în  $G_f$ . Fie funcția  $f_p$  definită ca în formula (27.6). Definim funcția  $f' : V \times V \rightarrow \mathbb{R}$ ,  $f' = f + f_p$ . Atunci  $f'$  este un flux în  $G$  cu valoarea  $|f'| = |f| + |f_p| > |f|$ .

**Demonstrație.** Demonstrația este imediată pe baza lemelor 27.2 și 27.3. ■

### Tăieturi în rețele de transport

Metoda lui Ford-Fulkerson mărește fluxul în mod repetat de-a lungul drumurilor de ameliorare până când ajungem la un flux maxim. Teorema de flux maxim–tăietură minimă, pe care o vom demonstra pe scurt, ne exprimă faptul că un flux este maxim dacă și numai dacă în rețeaua lui reziduală nu există nici un drum de ameliorare. Pentru a demonstra această teoremă trebuie să discutăm mai înainte noțiunea de tăietură într-o rețea de transport.

O **tăietură**  $(S, T)$  a unei rețele de transport  $G = (V, E)$  este o partiție a mulțimii  $V$  în mulțimile  $S$  și  $T = V - S$  astfel încât  $s \in S$  și  $t \in T$ . (Această definiție seamănă cu definiția “tăieturii” folosită pentru arborele parțial minim în capitolul 24, exceptând faptul că aici avem o tăietură într-un graf orientat și nu neorientat ca acolo, și că aici neapărat trebuie ca  $s \in S$  și  $t \in T$ .) Dacă  $f$  este un flux, atunci **fluxul** tăieturii  $(S, T)$  este definit ca fiind egal cu  $f(S, T)$ . De asemenea **capacitatea** tăieturii  $(S, T)$  este  $c(S, T)$ . O **tăietură minimă** este acea tăietură care are cea mai mică capacitate dintre toate tăieturile rețelei.

În figura 27.5 se poate vedea tăietura  $(\{s, v_1, v_2\}, \{v_3, v_4, t\})$  al rețelei de transport din figura 27.1(b). Fluxul prin această tăietură este

$$f(v_1, v_3) + f(v_2, v_3) + f(v_2, v_4) = 12 + (-4) + 11 = 19,$$

iar capacitatea ei este

$$c(v_1, v_3) + c(v_2, v_4) = 12 + 14 = 26.$$

Să observăm că fluxul unei tăieturi poate avea și fluxuri negative între vârfuri, dar capacitatea unei tăieturi este compusă numai din valori nenegative.

După lema următoare valoarea unui flux într-o rețea este egală cu fluxul oricărei tăieturi.

**Lema 27.5** Fie  $f$  un flux într-o rețea de transport  $G$  cu vârful sursă  $s$  și vârful destinație  $t$ , și fie  $(S, T)$  o tăietură în  $G$ . Atunci fluxul prin tăietura  $(S, T)$  este  $f(S, T) = |f|$ .

**Demonstrație.** Din lema 27.1 rezultă

$$f(S, T) = f(S, V) - f(S, S) = f(S, V) = f(s, V) + f(S - s, V) = f(s, V) = |f|. \quad \blacksquare$$

Un corolar imediat al lemei 27.5 este rezultatul deja demonstrat – formula (27.3) – și anume că valoarea fluxului este fluxul în vârful sursă.

O altă consecință al lemei 27.5, exprimat în corolarul următor, ne spune cum se poate folosi capacitatea tăieturii pentru mărginirea valorii fluxului.

**Corolarul 27.6** Valoarea oricărui flux  $f$  într-o rețea  $G$  este mărginită superior de capacitatea oricărei tăieturi în  $G$ .

**Demonstrație.** Fie  $(S, T)$  o tăietură a rețelei  $G$  și  $f$  un flux oarecare în  $G$ . Pe baza lemei 27.5 și folosind restricția de capacitate, avem:

$$|f| = f(S, T) = \sum_{u \in S} \sum_{v \in T} f(u, v) \leq \sum_{u \in S} \sum_{v \in T} c(u, v) = c(S, T). \quad \blacksquare$$

Avem acum toate informațiile pentru a demonstra importanta teorema de flux maxim-tăietură minimă.

**Teorema 27.7 (Teorema de flux maxim-tăietură minimă)** Dacă  $f$  este un flux în rețeaua  $G = (V, E)$  cu vârful sursă  $s$  și vârful destinație  $t$ , atunci următoarele condiții sunt echivalente:

1.  $f$  este un flux maxim în  $G$ .
2. Rețeaua reziduală  $G_f$  nu conține nici un drum de ameliorare.
3. Există o tăietură  $(S, T)$  în  $G$  pentru care  $|f| = c(S, T)$ .

**Demonstrație.** (1)  $\Rightarrow$  (2): Să presupunem prin absurd că  $f$  este un flux maxim în  $G$  și totuși  $G_f$  are un drum  $p$  de ameliorare. Atunci, conform corolarului 27.4 suma  $f + f_p$ , unde  $f_p$  este dat de formula (27.6) este un flux în  $G$  cu valoare strict mai mare decât  $|f|$ , contrazicând presupunerea că  $f$  este un flux maxim.

(2)  $\Rightarrow$  (3): Să presupunem că  $G_f$  nu are nici un drum de ameliorare, adică în  $G_f$  nu există drum de la  $s$  la  $t$ . Să definim mulțimile  $S$  și  $T$  în felul următor:

$$S = \{v \in V : \text{există drum de la } s \text{ la } v \text{ în } G_f\}$$

și  $T = V - S$ . Partiția  $(S, T)$  este o tăietură: avem, evident,  $s \in S$  și  $t \notin S$ , pentru că nu există drum de la  $s$  la  $t$  în  $G_f$ . Pentru orice pereche de vârfuri  $u$  și  $v$  astfel încât  $u \in S$  și  $v \in T$ , avem  $f(u, v) = c(u, v)$ , deoarece altfel am avea  $(u, v) \in E_f$  și deci  $v \in S$ . Conform lemei 27.5 avem atunci  $|f| = f(S, T) = c(S, T)$ .

(3)  $\Rightarrow$  (1): Din corolarul 27.6 avem  $|f| \leq c(S, T)$  pentru orice tăietură  $(S, T)$ . Condiția  $|f| = c(S, T)$  implică atunci că  $f$  este un flux maxim.  $\blacksquare$

## Algoritmul de bază al lui Ford-Fulkerson

În fiecare iterație a metodei lui Ford-Fulkerson căutăm un drum *oarecare* de ameliorare  $p$  și mărim fluxul  $f$  de-a lungul drumului  $p$  cu capacitatea reziduală  $c_f(p)$ . Următoarea implementare a metodei calculează fluxul maxim în graful  $G = (V, E)$ , actualizând fluxul  $f[u, v]$  între oricare două vârfuri care sunt legate printr-un arc.<sup>1</sup> Dacă  $u$  și  $v$  nu sunt legate printr-un arc în nici o direcție, presupunem că  $f[u, v] = 0$ . Presupunem că valoarea capacitatii între vârfurile  $u$  și  $v$  este dată de funcția  $c(u, v)$  calculabilă în timp constant și că  $c(u, v) = 0$  dacă  $(u, v) \notin E$ . (Într-o implementare obișnuită valorile  $c(u, v)$  sunt păstrate în câmpurile unei liste de adiacență.) Capacitatea reziduală se calculează conform formulei (27.5). În descrierea algoritmului,  $c_f(p)$  este variabila care păstrează capacitatea reziduală a drumului  $p$ .

FORD-FULKERSON( $G, s, t$ )

- 1: **pentru** fiecare arc  $(u, v) \in E[G]$  **execută**
- 2:    $f[u, v] \leftarrow 0$
- 3:    $f[v, u] \leftarrow 0$
- 4: **cât timp** există un drum  $p$  de la  $s$  la  $t$  în rețeaua reziduală  $G_f$  **execută**
- 5:    $c_f(p) \leftarrow \min\{c_f(u, v) : (u, v)$  este pe drumul  $p\}$
- 6: **pentru** fiecare arc  $(u, v)$  din  $p$  **execută**
- 7:    $f[u, v] \leftarrow f[u, v] + c_f(p)$
- 8:    $f[v, u] \leftarrow -f[v, u]$

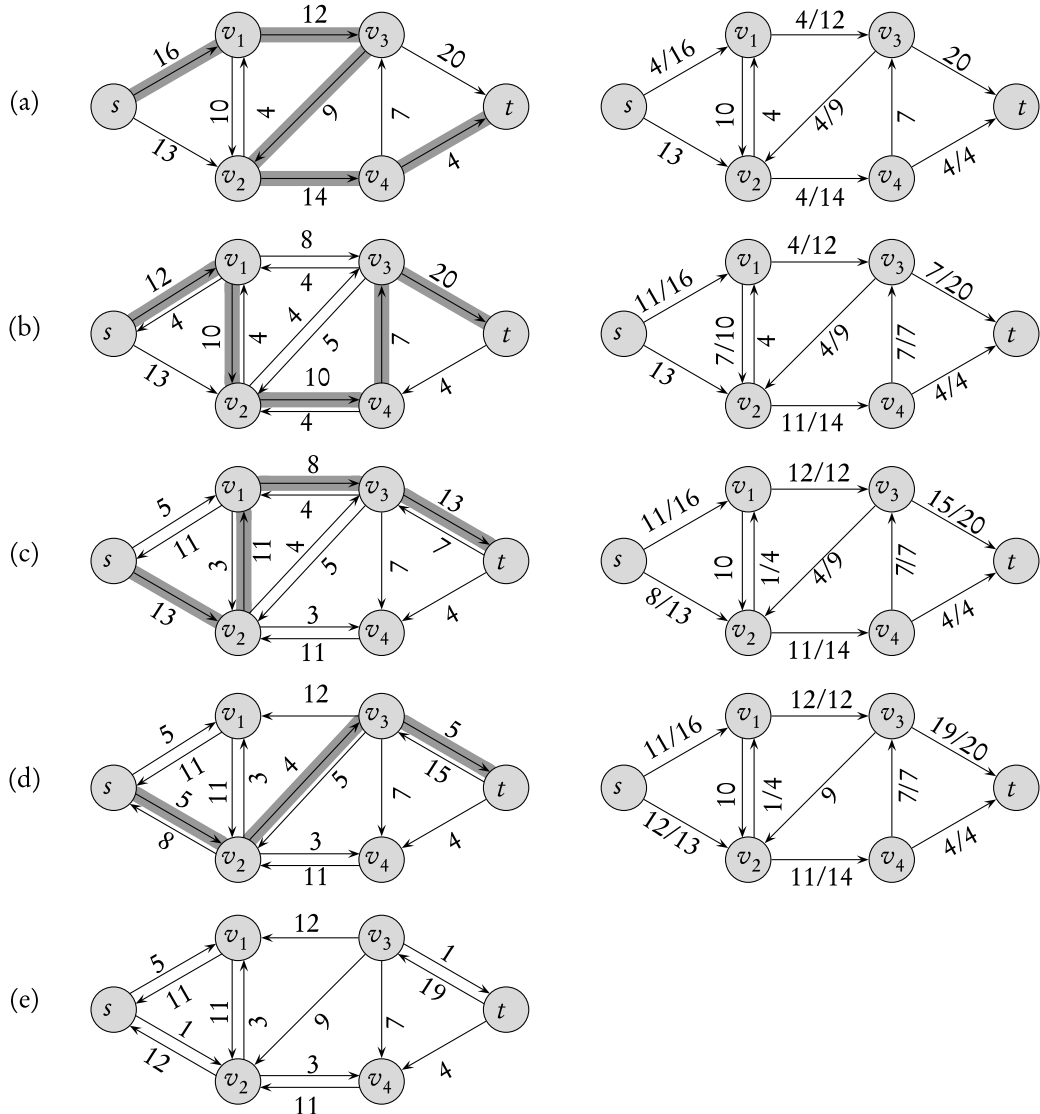
Acest algoritm FORD-FULKERSON pur și simplu detaliază pseudocodul METODA-FORD-FULKERSON descris la începutul secțiunii. Figura 27.6 ilustrează rezultatul fiecărei iterații la o execuție a algoritmului. Liniile 1–3 initializează fluxul  $f$  cu valoarea 0. Ciclul **cât timp** din liniile 4–8 găsește pe rând câte un drum de ameliorare  $p$  în  $G_f$  și mărește fluxul  $f$  de-a lungul lui  $p$  cu valoarea capacitatii reziduale  $c_f(p)$ . Când nu mai există drum de ameliorare atunci  $f$  este un flux maxim.

## Analiza algoritmului FORD-FULKERSON

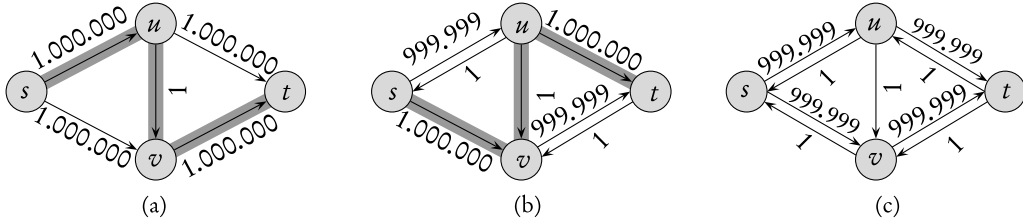
Timpul de execuție a algoritmului FORD-FULKERSON depinde de modul de determinare (în linia 4) a drumului de ameliorare  $p$ . Dacă drumul este ales într-un mod nepotrivit, se poate întâmpla că algoritmul nu se oprește: valoarea fluxului crește succesiv, dar nu converge către valoarea maximă. Dacă însă drumul de ameliorare se alege folosind un algoritm de căutare în lățime (secțiunea 23.2) atunci timpul de execuție a algoritmului este polinomial. Înainte de a demonstra acest lucru vom da o margine superioară în cazul în care drumul este ales arbitrar și toate capacitatile sunt întregi.

În practică problemele de flux maxim apar de obicei cu capacitatii care sunt numere întregi. Dacă capacitatile sunt numere rationale, cu o scalare potrivită, ele pot fi transformate în numere întregi. Cu această presupunere, o implementare directă a algoritmului FORD-FULKERSON are un timp de execuție  $O(E|f^*|)$ , unde  $f^*$  este fluxul maxim obținut de algoritm. Timpul de execuție al liniilor 1–3 este  $\Theta(E)$ . Ciclul **cât timp** din liniile 4–8 este executat de cel mult  $|f^*|$  ori, deoarece valoarea fluxului crește la fiecare pas cu cel puțin o unitate.

<sup>1</sup>Folosim paranteze drepte, când este de vorba de o variabilă de program (a cărei valoare se modifică) și paranteze rotunde când este vorba de funcție.



**Figura 27.6** Execuția algoritmului de bază al lui Ford-Fulkerson. (a)–(d) Iterații succesive ale ciclului **cât timp**. În partea stângă se află rețelele reziduale  $G_f$  din linia 4 al algoritmului; drumurile de ameliorare  $p$  sunt hașurate. În partea dreaptă se găsesc noile fluxuri  $f$ , rezultate prin adunarea lui  $f_p$  la  $f$ . Rețeaua reziduală din (a) este rețeaua de intrare  $G$ . (e) Rețeaua reziduală la ultimul test al ciclului **cât timp**. Această rețea nu mai are nici un drum de ameliorare, deci fluxul  $f$  de la (d) este un flux maxim.



**Figura 27.7** (a) O rețea de transport pentru care algoritmul FORD-FULKERSON are un timp de execuție  $\Theta(E|f^*|)$ , unde  $f^*$  este fluxul maxim, aici  $|f^*| = 2.000.000$ . Se arată și un drum de ameliorare cu capacitatea reziduală egală cu 1. (b) Rețeaua reziduală obținută cu un alt drum de ameliorare având capacitatea reziduală egală cu 1. (c) Rețeaua reziduală obținută.

Ciclul **cât timp** poate fi executat eficient dacă structura de date folosită la implementarea rețelei  $G = (V, E)$  se gestionează eficient. Să presupunem că păstrăm o structură de date corespunzătoare unui graf orientat  $G' = (V, E')$ , unde  $E' = \{(u, v) : (u, v) \in E \text{ sau } (v, u) \in E\}$ . Arcele din  $G$  sunt arce și în  $G'$ , deci este ușor să se gestioneze capacitatele și fluxurile într-o astfel de structură. Dându-se un flux  $f$  în  $G$ , arcele în rețeaua reziduală  $G_f$  costau din toate arcele  $(u, v)$  din  $G'$  pentru care  $c(u, v) - f[u, v] \neq 0$ . Timpul de găsire a unui drum în rețeaua reziduală este deci  $O(E') = O(E)$ , indiferent dacă folosim căutare în adâncime sau în lățime. Fiecare iterație a ciclului **cât timp** se execută în  $O(E)$  unități de timp, timpul total de execuție a algoritmului FORD-FULKERSON este deci  $O(E|f^*|)$ .

Când capacitatele sunt numere întregi și valoarea optimală  $|f^*|$  a fluxului este mică, timpul de execuție a algoritmului lui Ford-Fulkerson este bun. Figura 27.7(a) ne arată ce se poate întâmpla chiar într-o rețea simplă, dacă valoarea  $|f^*|$  este mare. Un flux maxim în acest caz are valoarea 2.000.000. Pe drumul  $s \rightarrow u \rightarrow t$  sunt transportate 1.000.000 unități, iar pe drumul  $s \rightarrow v \rightarrow t$  alte 1.000.000 unități. Dacă primul drum de ameliorare ales de algoritmul FORD-FULKERSON este drumul  $s \rightarrow u \rightarrow v \rightarrow t$ , cum se arată în figura 27.7(a), valoarea fluxului după prima iterăție este 1. Rețeaua reziduală corespunzătoare este dată în figura 27.7(b). Dacă în iterăția a 2-a drumul de ameliorare ales este cel  $s \rightarrow v \rightarrow u \rightarrow t$ , aşa cum se arată în figura 27.7(b) atunci valoarea fluxului va fi 2. Figura 27.7(c) ne arată rețeaua reziduală rezultată. În continuare vom putea alege alternativ drumurile  $s \rightarrow u \rightarrow v \rightarrow t$  respectiv  $s \rightarrow v \rightarrow u \rightarrow t$ . Vom avea astfel 2.000.000 de iterății, fluxul crescând la fiecare, cu câte o unitate.<sup>2</sup>

Performanța algoritmului FORD-FULKERSON poate fi îmbunătățită dacă implementăm căutarea drumului de ameliorare  $p$  printr-o căutare în lățime, adică dacă drumul de ameliorare conține cele mai puine arce de la  $s$  la  $t$  (*cel mai scurt drum*, considerând că fiecare arc are ponderea 1). Vom numi această implementare a metodei lui Ford-Fulkerson ca fiind **algoritmul lui Edmonds-Karp**. Vom demonstra în continuare că timpul de execuție al algoritmului lui Edmonds-Karp este  $O(VE^2)$ .

Analiza algoritmului depinde de distanța dintre vârfuri în rețeaua reziduală  $G_f$ . Lema următoare folosește notația  $\delta_f(u, v)$  pentru cea mai scurtă distanță de la vârful  $u$  la vârful  $v$  în  $G_f$ , unde fiecare arc are ponderea 1.

**Lema 27.8** Dacă algoritmul lui Edmonds-Karp se folosește pentru o rețea de transport  $G = (V, E)$  care are sursa  $s$  și destinația  $t$ , atunci pentru orice vârf  $v \in V - \{s, t\}$  distanța  $\delta_f(s, v)$  în

<sup>2</sup>Problema se poate rezolva în numai două iterății, dacă se aleg drumurile  $s \rightarrow u \rightarrow t$  și  $s \rightarrow v \rightarrow t$  (n.t.).

rețeaua reziduală  $G_f$  crește monoton cu fiecare ameliorare.

**Demonstrație.** Presupunem prin absurd că pentru unele vârfuri  $v \in V - \{s, t\}$  există mărire de flux pentru care  $\delta_f(s, v)$  descrește. Fie  $f$  fluxul înainte de mărire și  $f'$  după. Atunci, conform presupunerii, avem

$$\delta_{f'}(s, v) < \delta_f(s, v).$$

Vom putea presupune, fără a pierde din generalitate, că  $\delta_{f'}(s, v) \leq \delta_{f'}(s, u)$  pentru orice vârf  $u \in V - \{s, t\}$  pentru care  $\delta_{f'}(s, u) < \delta_f(u, v)$ . Sau, ceea ce este același lucru, vom putea spune că

$$\delta_{f'}(s, u) < \delta_{f'}(s, v) \text{ implică } \delta_f(s, u) \leq \delta_{f'}(s, u). \quad (27.7)$$

Să considerăm acum un drum de lungime minimă (un cel mai scurt drum)  $p'$  în  $G_f$  de forma  $s \rightsquigarrow u \rightarrow v$ , unde  $u$  precede vârful  $v$ . Trebuie să avem  $\delta_{f'}(s, u) = \delta_{f'}(s, v) - 1$  pe baza corolarului 25.2, deoarece  $(u, v)$  este un arc pe drumul  $p'$ , care este un drum de lungime minimă de la  $s$  la  $v$ . Dar atunci din (27.7) avem

$$\delta_f(s, u) \leq \delta_{f'}(s, u).$$

Cu aceste vârfuri  $v$  și  $u$  considerăm fluxul  $f$  de la  $u$  la  $v$  înainte de mărire a fluxului în  $G_f$ . Dacă  $f[u, v] < c(u, v)$  avem

$$\begin{aligned} \delta_f(s, v) &\leq \delta_f(s, u) + 1 \quad (\text{pe baza lemei 25.3}) \\ &\leq \delta_{f'}(s, u) + 1 = \delta_{f'}(s, v), \end{aligned}$$

ceea ce contrazice presupunerea că mărirea fluxului descrește distanța de la  $s$  la  $v$ .

Deci trebuie să avem  $f[u, v] = c(u, v)$ , ceea ce înseamnă că  $(u, v) \notin E_f$ . Atunci drumul de ameliorare  $p$ , ales în  $G_f$  pentru a produce  $G_{f'}$  trebuie să conțină arcul  $(v, u)$  orientat de la  $v$  la  $u$ , deoarece  $(u, v) \in E_{f'}$  (din ipoteză) și tocmai am demonstrat că  $(u, v) \notin E_f$ . Deci, pe drumul de ameliorare  $p$  transportăm flux *înapoi* pe arcul  $(u, v)$  și  $v$  apare înaintea lui  $u$  pe drumul  $p$ . Deoarece  $p$  este un drum de lungime minimă de la  $s$  la  $t$ , toate subdrumurile lui (vezi lema 25.1) sunt de lungime minimă, și deci vom avea  $\delta_f(s, u) = \delta_f(s, v) + 1$ . Deci

$$\delta_f(s, v) = \delta_f(s, u) - 1 \leq \delta_{f'}(s, u) - 1 = \delta_{f'}(s, v) - 2 < \delta_{f'}(s, v),$$

ceea ce contrazice ipoteza noastră inițială. ■

Următoarea teoremă ne dă o marginie superioară pentru numărul de iterații în algoritmul lui Edmonds-Karp.

**Teorema 27.9** Dacă algoritmul lui Edmonds-Karp este aplicat pentru rețeaua de transport  $G = (V, E)$  cu vârful sursă  $s$  și destinație  $t$ , atunci fluxul se mărește de cel mult  $O(VE)$  ori.

**Demonstrație.** Vom spune că un arc  $(u, v)$  în rețeaua reziduală  $G_f$  este un arc **critic** pe drumul de ameliorare  $p$  dacă capacitatea reziduală a drumului  $p$  este egală cu capacitatea reziduală a arcului  $(u, v)$ , adică  $c_f(p) = c_f(u, v)$ . După mărirea fluxului de-a lungul drumului de ameliorare toate arcele critice dispar din rețeaua reziduală. Mai mult, pe orice drum de ameliorare trebuie să existe cel puțin un arc critic.

Fie  $u$  și  $v$  două vârfuri din  $V$  legate printr-un arc din  $E$ . De câte ori poate fi critic acest arc  $(u, v)$  în timpul execuției algoritmului lui Edmonds-Karp? Pentru că drumul de ameliorare este un drum de lungime minimă, când arcul  $(u, v)$  este critic de prima dată, avem egalitatea

$$\delta_f(s, v) = \delta_f(s, u) + 1.$$

O dată ce fluxul este mărit, arcul  $(u, v)$  dispare din rețeaua reziduală. El nu poate să reapară pe un alt drum de ameliorare decât dacă fluxul pe arcul  $(u, v)$  descrește, ceea ce se poate întâmpla numai dacă  $(v, u)$  apare pe un drum de ameliorare. Dacă  $f'$  este fluxul în  $G$ , atunci în acest caz

$$\delta_{f'}(s, u) = \delta_{f'}(s, v) + 1.$$

Deoarece  $\delta_f(s, v) \leq \delta_{f'}(s, v)$  conform lemei 27.8 avem

$$\delta_{f'}(s, u) = \delta_{f'}(s, v) + 1 \geq \delta_f(s, v) + 1 = \delta_f(s, u) + 2.$$

În consecință, din momentul în care arcul  $(u, v)$  devine critic până în momentul când a două oară devine critic, distanța lui  $u$  de la vârful sursă crește cu cel puțin 2. Inițial, distanța lui  $u$  de la sursă este cel puțin 0, și în momentul când nu mai poate fi atins din sursă (dacă acest lucru se întâmplă vreodată) distanța lui va fi cel mult  $|V| - 2$ . Deci, arcul  $(u, v)$  poate deveni critic de cel mult  $O(V)$  ori. Deoarece există  $O(E)$  perechi de vârfuri care pot fi legate prin arce în graful rezidual, numărul total de arce critice în timpul execuției algoritmului lui Edmonds-Karp este  $O(VE)$ . Deoarece fiecare drum de ameliorare are cel puțin un arc critic, teorema este demonstrată. ■

Deoarece fiecare iterație în algoritmul FORD-FULKERSON poate fi implementată în  $O(E)$  unități de timp, când drumul de ameliorare este găsit prin căutare în lățime, timpul total de execuție al algoritmului lui Edmonds-Karp este  $O(VE^2)$ . Algoritmul din secțiunea 27.4 ne va da o metodă cu timpul de execuție  $O(V^2E)$ , care va fi baza algoritmului din secțiunea 27.5 cu timpul de execuție  $O(V^3)$ .

## Exerciții

**27.2-1** Cât este fluxul ce trece prin tăietura  $(\{s, v_2, v_4\}, \{v_1, v_3, t\})$  din figura 27.1(b)? Cât este capacitatea acestei tăieturi?

**27.2-2** Care sunt pașii algoritmului lui Edmonds-Karp aplicat pentru rețeaua din figura 27.1(a)?

**27.2-3** Care este tăietura minimă corespunzătoare fluxului din figura 27.6? Care două dintre drumurile de ameliorare care apar din exemplu micșorează fluxul pe vreun arc?

**27.2-4** Demonstrați că pentru orice pereche de vârfuri  $u$  și  $v$ , și pentru orice funcție de capacitate  $c$  și funcție flux  $f$  avem  $c_f(u, v) + c_f(v, u) = c(u, v) + c(v, u)$ .

**27.2-5** După construcția din secțiunea 27.1 o rețea cu mai multe surse și destinații se poate transforma într-o rețea echivalentă cu o sursă unică și destinație unică, adăugând arce având capacitate infinit. Demonstrați că orice flux în rețeaua rezultată are o valoare finită dacă arcele în rețeaua originală au capacitate finite.

**27.2-6** Să presupunem că într-o problemă de flux cu surse multiple și destinații multiple, fiecare sursă  $s_i$  produce  $p_i$  unități de flux, adică  $f(s_i, V) = p_i$ . Să presupunem de asemenea că fiecare destinație  $t_j$  consumă exact  $q_j$  unități de flux, adică  $f(V, t_j) = q_j$ , unde  $\sum_i p_i = \sum_j q_j$ . Arătați cum se poate transforma problema determinării fluxului  $f$  cu aceste condiții suplimentare într-o problemă de flux într-o rețea cu o sursă unică și destinație unică.

**27.2-7** Demonstrați lema 27.3.

**27.2-8** Arătați că fluxul maxim într-o rețea  $G = (V, E)$  totdeauna poate fi găsit printr-o secvență de cel mult  $|E|$  drumuri de ameliorare. (*Indica ie:* Determinați drumurile după obținerea fluxului maxim.)

**27.2-9 Conexiunea de muchii** într-un graf neorientat este numărul minim  $k$  de muchii care trebuie eliminate pentru ca graful să devină neconex. De exemplu, conexiunea de muchii a unui arbore este 1, iar conexiunea de muchii a unui ciclu este 2. Arătați cum poate fi determinată conexiunea de muchii a unui graf neorientat  $G = (V, E)$  aplicând un algoritm de flux maxim pe cel mult  $|V|$  rețele de transport, fiecare având  $O(V)$  vârfuri și  $O(E)$  muchii.

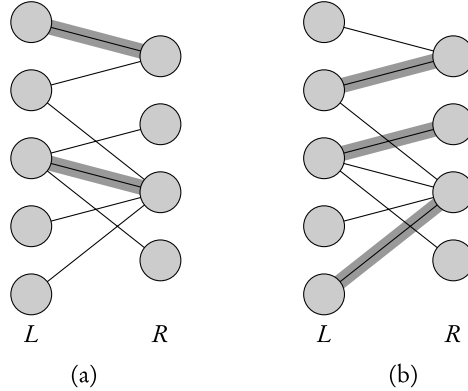
**27.2-10** Presupunem că o rețea de transport  $G = (V, E)$  are muchii simetrice, cu alte cuvinte  $(u, v) \in E$  dacă și numai dacă  $(v, u) \in E$ ). Arătați că algoritmul lui Edmonds-Karp se termină după cel mult  $|V||E|/4$  iterații. (*Indica ie:* Verificați pentru orice arc  $(u, v)$  cum se schimbă valorile  $\delta(s, u)$  și  $\delta(v, t)$  între două momente când arcul este critic.)

## 27.3. Cuplaj bipartit maxim

Anumite probleme de combinatorică pot fi considerate ca fiind probleme de flux maxim. Problema de flux maxim cu surse multiple și destinații multiple din secțiunea 27.1 este un astfel de exemplu. Există și alte probleme de combinatorică care, la prima vedere, nu par să aibă prea multe lucruri în comun cu rețele de transport, dar, de fapt, pot fi reduse la probleme de flux maxim. Acest paragraf prezintă o astfel de problemă: găsirea unui cuplaj maxim într-un graf bipartit (vezi secțiunea 5.4). Pentru a rezolva această problemă, vom folosi o proprietate de integralitate a metodei Ford-Fulkerson. De asemenea, vom vedea cum metoda Ford-Fulkerson poate fi folosită pentru a rezolva problema unui cuplaj bipartit maxim pentru un graf  $G = (V, E)$  într-un timp  $O(VE)$ .

### Problema cuplajului bipartit maxim

Fiind dat un graf neorientat  $G = (V, E)$ , un **cuplaj** este o submulțime de muchii  $M \subseteq E$  astfel încât pentru toate vârfurile  $v \in V$ , există cel mult o muchie în  $M$  incidentă în  $v$ . Spunem că un vârf  $v \in V$  este **cuplat** de cuplajul  $M$  dacă există o muchie în  $M$  incidentă în  $v$ ; altfel, spunem că  $v$  este **neconectată**. Un **cuplaj maxim** este un cuplaj de cardinalitate maximă, adică, un cuplaj  $M$  astfel încât pentru orice alt cuplaj  $M'$ , avem  $|M| \geq |M'|$ . În acest paragraf, ne vom îndrepta atenția asupra găsirii cupajelor maxime în grafe bipartite. Vom presupune că mulțimea de vârfuri poate fi partionată în  $V = L \cup R$ , unde  $L$  și  $R$  sunt disjuncte și toate muchiile din  $E$  sunt între  $L$  și  $R$ . Presupunem, de asemenea, că nu există vârfuri izolate în  $V$ . Figura 27.8 ilustrează noțiunea de cuplaj.



**Figura 27.8** Un graf bipartit  $G = (V, E)$  cu partitia vîrfurilor  $V = L \cup R$ . (a) Un cuplaj de cardinalitate 2. (b) Un cuplaj maxim de cardinalitate 3.

Problema găsirii unui cuplaj maxim într-un graf bipartit are multe aplicații practice. De exemplu, putem considera conectarea unei multimi de  $L$  mașini cu o multime de  $R$  task-uri care trebuie executate simultan. Vom considera că prezența muchiei  $(u, v)$  în  $E$  semnifică faptul că o anumită mașină  $u \in L$  este capabilă să execute task-ul  $v \in R$ . Un cuplaj maxim va asigura funcționarea a cât mai multor mașini posibile.

### Determinarea cuplajului bipartit maxim

Putem folosi metoda Ford-Fulkerson pentru a determina cuplajul maxim într-un graf neorientat bipartit  $G = (V, E)$ , într-un timp polinomial în  $|V|$  și  $|E|$ . Soluția constă în a construi o rețea de transport în care fluxurile reprezintă cuplaje, conform figurii 27.9. Vom defini **rețeaua de transport corespunzătoare**  $G' = (V', E')$  pentru un graf bipartit  $G$  astfel. Vom alege sursa  $s$  și destinația  $t$  ca fiind noi vîrfuri care nu sunt în  $V$  și vom construi  $V' = V \cup \{s, t\}$ . Dacă partitia vîrfurilor în  $G$  este  $V = L \cup R$ , atunci arcele orientate ale lui  $G'$  sunt date de:

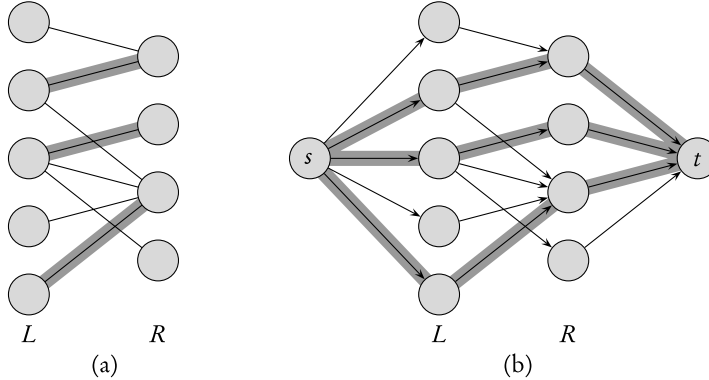
$$E' = \{(s, u) : u \in L\} \cup \{(u, v) : u \in L, v \in R \text{ și } (u, v) \in E\} \cup \{(v, t) : v \in R\}.$$

Pentru a completa construcția, vom atribui fiecărei muchii din  $E'$  capacitatea unitate.

Teorema următoare exprimă faptul că un cuplaj în  $G$  corespunde în mod direct unui flux din rețeaua de transport a lui  $G'$ . Spunem că un flux  $f$  dintr-o rețea de transport  $G = (V, E)$  este de valoare întreagă dacă  $f(u, v)$  este un număr întreg pentru orice  $(u, v) \in V \times V$ .

**Lema 27.10** Fie  $G = (V, E)$  un graf bipartit cu partitia vîrfurilor  $V = L \cup R$  și fie  $G' = (V', E')$  rețeaua de transport corespunzătoare acestui graf. Dacă  $M$  este un cuplaj în  $G$ , atunci există un flux  $f$  de valoare întreagă în  $G'$  cu valoarea  $|f| = |M|$ . Reciproc, dacă  $f$  este un flux de valoare întreagă în  $G'$ , atunci există un cuplaj  $M$  în  $G$  de cardinalitate  $|M| = |f|$ .

**Demonstrație.** Vom arăta prima dată că un cuplaj  $M$  în  $G$  corespunde unui flux de valoare întreagă în  $G'$ . Definim  $f$  astfel. Dacă  $(u, v) \in M$  atunci  $f(s, u) = f(u, v) = f(v, t) = 1$  și  $f(u, s) = f(v, u) = f(t, v) = -1$ . Pentru toate celelalte arce  $(u, v) \in E'$ , vom defini  $f(u, v) = 0$ .



**Figura 27.9** Rețea de transport corespunzătoare unui graf bipartit. (a) Graful bipartit  $G = (V, E)$  cu partitia vârfurilor  $V = L \cup R$  din figura 27.8. Un cuplaj maxim este ilustrat prin muchii îngroșate. (b) Rețea de transport  $G'$  corespunzătoare, cu un flux maxim evidențiat. Fiecare arc are capacitatea unitate. Arcele îngroșate au un flux egal cu 1 și toate celelalte arce nu transportă nici un flux. Arcele îngroșate de la  $L$  la  $R$  corespund celor dintr-un cuplaj maxim al unui graf bipartit.

Intuitiv, fiecare muchie  $(u, v) \in M$  corespunde unei unități de flux în  $G'$  care traversează drumul  $s \rightarrow u \rightarrow v \rightarrow t$ . Mai mult, drumurile determinate de muchii din  $M$  conțin vârfuri diferite, exceptând  $s$  și  $t$ . Pentru a verifica faptul că intr-adevăr  $f$  satisfac simetria oblică, constrângerile de capacitate și conservarea fluxului, trebuie doar să observăm că  $f$  poate fi obținut prin mărirea fluxului de-a lungul fiecărui astfel de drum. Fluxul net de-a lungul tăieturii  $L \cup \{s\}, R \cup \{t\}$  este egal cu  $|M|$ ; astfel, conform lemei 27.5, valoarea fluxului este  $|f| = |M|$ .

Pentru a demonstra reciproca, fie  $f$  un flux de valoare întreagă în  $G'$  și fie

$$M = \{(u, v) : u \in L, v \in R \text{ și } f(u, v) > 0\}.$$

Fiecare vârf  $u \in L$  are o singură muchie incidentă, fie ea  $(s, u)$  și capacitatea ei este 1. Astfel, fiecare vârf  $u \in L$  are cel mult o unitate de flux net pozitiv care intră în el. Deoarece  $f$  este de valoare întreagă, pentru fiecare  $u \in L$ , o unitate de flux net pozitiv intră în  $u$  dacă și numai dacă există exact un vârf  $v \in R$  astfel încât  $f(u, v) = 1$ . Deci, există cel mult o muchie careiese din fiecare vârf  $u \in L$  care transportă flux net pozitiv. O argumentare similară poate fi făcută pentru fiecare vârf  $v \in R$ . Prin urmare, mulțimea  $M$  definită în enunțul teoremei este un cuplaj.

Pentru a arăta că  $|M| = |f|$ , să observăm că pentru fiecare vârf  $u \in L$  conectat, avem  $f(s, u) = 1$  și pentru fiecare muchie  $(u, v) \in E - M$  avem  $f(u, v) = 0$ . În consecință, folosind lema 27.1, simetria oblică și faptul că nu există nici o muchie de la un vârf din  $L$  la  $t$ , obținem:

$$|M| = f(L, R) = f(L, V') - f(L, L) - f(L, s) - f(L, t) = 0 - 0 + f(s, L) - 0 = f(s, V') = |f|. \quad \blacksquare$$

Intuitiv putem spune că un cuplaj maxim într-un graf bipartit  $G$  corespunde unui flux maxim în rețeaua de transport  $G'$  corespunzătoare. Deci, putem calcula un cuplaj maxim în  $G$  printr-un algoritm de flux maxim în  $G'$ . Singurul dezavantaj al acestei abordări este că algoritmul de flux maxim poate produce ca rezultat un flux în  $G'$  care conține valori care nu sunt întregi. Următoarea teoremă asigură faptul că dacă folosim metoda Ford-Fulkerson evităm această dificultate.

**Teorema 27.11 (Teorema de integralitate)** Dacă funcția de capacitate  $c$  ia numai valori întregi, atunci fluxul maxim  $f$  produs de metoda Ford-Fulkerson are proprietatea că  $|f|$  este de valoare întreagă. În plus, pentru toate vârfurile  $u$  și  $v$ , valoarea  $f(u, v)$  este un număr întreg.

**Demonstrație.** Demonstrația se face prin inducție după numărul de iterații. O lăsăm pe seama cititorului în exercițiul 27.3-2. ■

Putem acum demonstra următorul corolar al lemei 27.10.

**Corolarul 27.12** Cardinalitatea unui cuplaj maxim într-un graf bipartit  $G$  este valoarea fluxului maxim din rețeaua de transport  $G'$  corespunzătoare.

**Demonstrație.** Folosim noțiunile din lema 27.10. Presupunem că  $M$  este un cuplaj maxim în  $G$  și că fluxul  $f$  corespunzător în  $G'$  nu este maxim. Atunci, există un flux maxim  $f'$  în  $G'$  astfel încât  $|f'| > |f|$ . Deoarece capacitatele din  $G'$  sunt valori întregi, conform teoremei 27.11 putem presupune că  $f'$  este de valoare întreagă. Prin urmare,  $f'$  corespunde unui cuplaj  $M'$  în  $G$  cu cardinalitatea  $|M'| = |f'| > |f| = |M|$ , contrazicând maximalitatea lui  $M$ . Similar, putem arăta că dacă  $f$  este un flux maxim în  $G'$ , atunci cuplajul corespunzător este un cuplaj maxim în  $G$ . ■

În concluzie, fiind dat un graf  $G$  neorientat bipartit, putem determina un cuplaj maxim prin construcția rețelei de transport  $G'$ , apoi prin aplicarea metodei Ford-Fulkerson și obținând, în mod direct, un cuplaj maxim  $M$  dintr-un flux maxim  $f$  de valoare întreagă determinat. Deoarece orice cuplaj într-un graf bipartit are cardinalitatea cel mult  $\min(L, R) = O(V)$ , rezultă că valoarea fluxului maxim în  $G'$  este  $O(V)$ . Prin urmare, putem determina un cuplaj maxim într-un graf bipartit într-un timp  $O(VE)$ .

## Exerciții

**27.3-1** Execuați algoritmul Ford-Fulkerson pe rețeaua de transport din figura 27.9(b) și ilustrați rețeaua obținută după fiecare mărire a fluxului. Numerotați vârfurile din  $L$  de sus în jos de la 1 la 5 și în  $R$  de sus în jos de la 6 la 9. Pentru fiecare iterație, alegeti drumul mărit care este cel mai mic în ordine lexicografică.

**27.3-2** Demonstrați teorema 27.11.

**27.3-3** Fie  $G = (V, E)$  un graf bipartit cu partitia vârfurilor  $V = L \cup R$  și fie  $G'$  rețeaua de transport corespunzătoare. Determinați o margine superioară pentru lungimea oricărui drum mărit găsit în  $G'$  în timpul execuției lui FORD-FULKERSON.

**27.3-4 \*** Un **cuplaj perfect** este un cuplaj în care fiecare vârf este cuplat. Fie  $G = (V, E)$  un graf neorientat bipartit cu partitia vârfurilor  $V = L \cup R$ , unde  $|L| = |R|$ . Pentru oricare  $X \subseteq V$ , definim **vecinătatea** lui  $X$  ca fiind

$$N(X) = \{y \in V : (x, y) \in E \text{ pentru } x \in X\},$$

adică mulțimea de vârfuri adiacente cu un anumit membru al lui  $X$ . Demonstrați **teorema lui Hall**: există un cuplaj perfect în  $G$  dacă și numai dacă  $|A| \leq |N(A)|$  pentru fiecare submulțime  $A \subseteq L$ .

**27.3-5 \*** Un graf bipartit  $G = (V, E)$ , în care  $V = L \cup R$ , este **d-regular** dacă fiecare vârf  $v \in V$  are exact gradul  $d$ . În oricare graf bipartit d-regular avem  $|L| = |R|$ . Demonstrați că orice graf bipartit d-regular are un cuplaj de cardinalitate  $|L|$ , argumentând faptul că o tăietură minimă a rețelei de transport corespunzătoare are capacitatea  $|L|$ .

## 27.4. Algoritmi de preflux

În acest paragraf vom prezenta abordarea prin preflux a calculului fluxurilor maxime. Cei mai rapizi algoritmi de flux maxim până la ora actuală sunt algoritmii de preflux, cu ajutorul căror se pot rezolva eficient și alte probleme de flux, cum ar fi problema fluxului de cost minim. În acest paragraf vom introduce algoritmul “generic” de flux maxim al lui Goldberg, care are o implementare simplă ce se execută într-un timp  $O(V^2E)$ , îmbunătățind astfel limita de  $O(VE^2)$  al algoritmului Edmonds-Karp. Secțiunea 27.5 rafinează algoritmul generic pentru a obține un alt algoritm de preflux cu timp de execuție  $O(V^3)$ .

Algoritmii de preflux lucrează într-o manieră mai localizată decât metoda Ford-Fulkerson. În loc să examineze întreaga rețea rezultată  $G = (V, E)$  pentru a determina drumul mărit, algoritmii de preflux acționează asupra unui singur vârf la un moment dat, examinând doar vecinii vârfului din rețeaua rezultată. Mai mult, spre deosebire de metoda Ford-Fulkerson, algoritmii de preflux nu păstrează proprietatea de conservare a fluxului de-a lungul execuției lor. Totuși, acești algoritmi gestionează un **preflux**, care este o funcție  $f : V \times V \rightarrow \mathbb{R}$  care satisfac simetria oblică, constrângerile de capacitate și următoarea relaxare a conservării fluxului:  $f(V, u) \geq 0$  pentru toare vârfurile  $u \in V - \{s\}$ . Această condiție semnifică faptul că fluxul net în oricare vârf diferit de sursă este nenegativ. Numim **exces de flux** în  $u$  fluxul net în vârful  $u$  dat de

$$e(u) = f(V, u). \quad (27.8)$$

Spunem că un vârf  $u \in V - \{s, t\}$  este **cu exces de flux** dacă  $e(u) > 0$ .

Vom începe acest paragraf prin a descrie intuitiv metoda de preflux. Vom studia apoi cele două operații implicate în această metodă: “pomparea prefluxului” și “ridicarea” unui vârf. În final, vom prezenta algoritmul generic de preflux și vom analiza corectitudinea și timpul său de execuție.

### Intuiția

Intuiția din spatele metodei de preflux este, probabil, mai bine înțeleasă în termenii fluxurilor de fluide: considerăm o rețea de transport  $G = (V, E)$  ca fiind un sistem de țevi interconectate de capacitați date. Aplicând această analogie metodei Ford-Fulkerson, putem spune că fiecare drum mărit în rețea produce o scurgere adițională de fluid, fără puncte de ramificare, care curge de la sursă spre destinație. Metoda Ford-Fulkerson adaugă iterativ mai multe surgeri de flux până când nu se mai pot adăuga alte surgeri.

Algoritmul generic de preflux are o intuiție oarecum diferită. Ca și mai înainte, arcele orientate corespund unor țevi. Vârfurile, care sunt îmbinări de țevi, au două proprietăți interesante. Prima, pentru a gestiona excesul de flux, constă în faptul că fiecare vârf are o țeavă pentru scurgere într-un rezervor arbitrar suficient de mare care poate înmagazina fluid. A doua ne spune că,

fiecare vîrf, de fapt, rezervorul corespunzător și toate îmbinările sale cu alte țevi se află pe o platformă a cărei înălțime crește proporțional cu execuția algoritmului.

Înălțimile vârfurilor determină modul în care este pompat fluxul: vom pompa fluxul doar de sus în jos, adică, de la un vîrf mai înalt spre un vîrf mai jos. Poate există un flux net pozitiv de la un vîrf mai jos spre un vîrf mai sus, dar operațiile care pompează fluxul vor împinge doar de sus în jos. Înălțimea sursei este fixată la  $|V|$ , iar înălțimea destinației este 0. Toate celelalte înălțimi ale vârfurilor sunt inițial 0 și cresc în timp. La început, algoritmul trimite cât mai mult flux posibil de la sursă spre destinație. Cantitatea trimisă este exact cea necesară pentru a umple fiecare țeavă ce pleacă de la sursă la întreaga capacitate; de fapt, trimite capacitatea tăietuii  $(s, V - s)$ . În momentul în care fluxul intră pentru prima dată într-un vîrf intermedian, el este colectat în rezervorul vârfului. De acolo este, eventual, pompat în jos.

Este posibil ca singurele țevi care pleacă din vârful  $u$  și nu sunt încă saturate cu flux să fie conectate cu vârfuri situate pe același nivel ca și  $u$  sau pe un nivel mai sus decât  $u$ . În acest caz, pentru a goli vârful  $u$  de excesul de flux, trebuie să-i mărim înălțimea – operație numită “ridicare” vârfului  $u$ . Înălțimea sa este mărită cu o unitate față de înălțimea celui mai jos dintre vecinii săi, cu care este conectat printr-o țeavă nesaturată. Prin urmare, după ce un vîrf a fost ridicat, există cel puțin o țeavă de ieșire prin care poate fi pompat mai mult flux.

În final, toate fluxurile care au putut trece prin destinație au ajuns la ea. Nu mai pot ajunge alte fluxuri, pentru că țevile satisfac constrângerile de capacitate; cantitatea de flux de-a lungul oricărei tăieturi este în continuare limitată de capacitatea tăieturii. Pentru a transforma prefluxul într-un flux “valid”, algoritmul trimite apoi excesul colectat în rezervoarele vârfurilor cu exces de flux înapoi la sursă, continuând să ridice vârfurile deasupra înălțimii fixate  $|V|$  a sursei. (Transportul excesului înapoi la sursă este realizat, de fapt, prin anularea fluxurilor care au generat excesul). După cum vom vedea, în momentul în care toate rezervoarele au fost golite, prefluxul nu numai că este un flux “valid”, el este totodată și un flux maxim.

## Operațiile de bază

Din prezentarea anterioară observăm că există două operații de bază care se execută într-un algoritm de preflux: pomparea excesului de flux dintr-un vîrf către unul din vecinii săi și ridicarea unui vîrf. Aplicabilitatea acestor operații depinde de înălțimile vârfurilor, pe care le vom defini acum formal.

Fie  $G = (V, E)$  o rețea de transport cu sursa  $s$  și destinația  $t$  și fie  $f$  un preflux în  $G$ . O funcție  $h : V \rightarrow \mathbb{N}$  este o **funcție de înălțime** dacă  $h(s) = |V|$ ,  $h(t) = 0$  și

$$h(u) \leq h(v) + 1$$

pentru fiecare muchie rezultată  $(u, v) \in E_f$ . Obținem următoarea lemă.

**Lema 27.13** Fie  $G = (V, E)$  o rețea de transport, fie  $f$  un preflux în  $G$  și fie  $h$  o funcție de înălțime pe  $V$ . Pentru oricare două vârfuri  $u, v \in V$ , dacă  $h(u) > h(v) + 1$ , atunci  $(u, v)$  nu este o muchie în graful rezultat. ■

Operația de bază POMPEAZĂ( $u, v$ ) poate fi aplicată dacă  $u$  este un vîrf cu exces de flux,  $c_f(u, v) > 0$  și  $h(u) = h(v) + 1$ . Pseudocodul următor actualizează prefluxul  $f$  într-o rețea  $G = (V, E)$ . Se presupune că sunt date capacitățile printr-o funcție  $c$  constantă în timp și că

fiind date  $c$  și  $f$ , capacitatele rezultate se pot calcula în timp constant. Excesul de flux stocat în vîrful  $u$  este gestionat de  $e[u]$ , iar înălțimea lui  $u$  este dată de  $h[u]$ . Expresia  $d_f(u, v)$  este o variabilă temporară care memorează cantitatea de flux care poate fi pompată de la  $u$  la  $v$ .

#### POMPEAZĂ( $u, v$ )

- 1:  $\triangleright$  **Precondiții:**  $u$  este excedentar,  $c_f[u, v] > 0$  și  $h[u] = h[v] + 1$ .
- 2:  $\triangleright$  **Acțiune:** pompează  $d_f(u, v) = \min(e[u], c_f(u, v))$  unități de flux de la  $u$  la  $v$
- 3:  $d_f(u, v) \leftarrow \min(e[u], c_f(u, v))$
- 4:  $f[u, v] \leftarrow f[u, v] + d_f(u, v)$
- 5:  $f[v, u] \leftarrow -f[u, v]$
- 6:  $e[u] \leftarrow e[u] - d_f(u, v)$
- 7:  $e[v] \leftarrow e[v] + d_f(u, v)$

Algoritmul POMPEAZĂ operează în felul următor: se presupune că vîrful  $u$  are un exces pozitiv  $e[u]$  și capacitatea rezultată a lui  $(u, v)$  este pozitivă. Astfel, putem transporta până la  $d_f(u, v) = \min(e[u], c_f(u, v))$  unități de flux de la  $u$  la  $v$  fără a cauza o valoare negativă pentru  $e[u]$  și fără a depăși valoarea pentru capacitatea  $c(u, v)$ . Această valoare este calculată în linia 3. Fluxul este mutat de la  $u$  la  $v$ , actualizând valoarea lui  $f$  în liniile 4–5 și valoarea lui  $e$  în liniile 6–7. Prin urmare, dacă  $f$  este un preflux înaintea apelului procedurii POMPEAZĂ, va rămâne un preflux și după aceea.

După cum se observă, codul algoritmului POMPEAZĂ nu depinde în nici un moment de înălțimile lui  $u$  și  $v$ , dar interzicem apelul ei dacă condiția  $h[u] = h[v] + 1$  nu este satisfăcută. Astfel, excesul de flux este pompat de sus în jos la o diferență de înălțime egală cu 1. Conform lemei 27.13 nu există muchii rezultate între două vîrfuri cu diferență între înălțimi mai mare decât 1 și, deci, nu se obține nici un beneficiu permisând fluxului să fie pompat de sus în jos la o diferență de înălțime mai mare decât 1.

Operația POMPEAZĂ( $u, v$ ) o vom numi **pompare** de la  $u$  la  $v$ . Dacă o operație de pompare este aplicată unei muchii  $(u, v)$  care pleacă dintr-un vîrf  $u$ , putem spune și că operația de pompare este aplicată lui  $u$ . O **pompare saturată** este cea prin care muchia  $(u, v)$  devine **saturată** (în continuare  $c_f(u, v) = 0$ ), altfel este o **pompare nesaturată**. Dacă o muchie nu este saturată atunci nu va apărea în rețeaua rezultată.

Operația de bază RIDICĂ( $u$ ) se aplică dacă  $u$  are exces de flux (este excedentar) și dacă  $c_f(u, v) > 0$  implică  $h[u] \leq h[v]$  pentru toate vîrfurile  $v$ . Cu alte cuvinte, putem ridica un vîrf excedentar dacă pentru fiecare vîrf  $v$  pentru care există o capacitate rezultată de la  $u$  la  $v$ , fluxul nu poate fi pompat de la  $u$  la  $v$ , deoarece  $v$  este situat mai jos decât  $u$ . (Să reamintim că, pe baza definiției, sursa  $s$  și destinația  $t$  nu pot fi excedentare și, deci,  $s$  și  $t$  nu pot fi ridicate.)

#### RIDICĂ( $u$ )

- 1:  $\triangleright$  **Precondiții:**  $u$  este excedentar și pentru orice  $v \in V$ ,  $(u, v) \in E_f$  implică  $h[u] \leq h[v]$ .
- 2:  $\triangleright$  **Acțiune:** Mărește înălțimea lui  $u$ .
- 3:  $h[u] \leftarrow 1 + \min\{h[v] : (u, v) \in E_f\}$

Când apelăm operația RIDICĂ( $u$ ), spunem că vîrful  $u$  este **ridicat**. Este important să menționăm că atunci când  $u$  este ridicat,  $E_f$  trebuie să conțină cel puțin o muchie care iese din  $u$ , astfel ca minimul calculat în codul procedurii să corespundă unei multimi nevide. Această observație este dedusă din precondiția ca  $u$  să fie excedentar. Deoarece  $e[u] > 0$ , avem

$e[u] = f[V, u] > 0$  și, deci, trebuie să existe cel puțin un vârf  $v$  astfel încât  $f[v, u] > 0$ . Dar atunci  $c_f(u, v) = c(u, v) - f[u, v] = c(u, v) + f[v, u] > 0$ ,

ceea ce implică  $(u, v) \in E_f$ . Astfel, operația RIDICĂ( $u$ ) îi atribuie lui  $u$  cea mai mare înălțime permisă de constrângerile funcțiilor de înălțime.

### Algoritmul generic

Algoritmul generic de preflux folosește următoarea subrutină pentru a crea prefluxul inițial într-o rețea de transport.

```
INIȚIALIZEAZĂ-PREFLUX( $G, s$ )
1: pentru fiecare vârf  $u \in V[G]$  execută
2:    $h[u] \leftarrow 0$ 
3:    $e[u] \leftarrow 0$ 
4: pentru fiecare muchie  $(u, v) \in E[G]$  execută
5:    $f[u, v] \leftarrow 0$ 
6:    $f[v, u] \leftarrow 0$ 
7:  $h[s] \leftarrow V[G]$ 
8: pentru fiecare vârf  $u \in Adj[s]$  execută
9:    $f[s, u] \leftarrow c(s, u)$ 
10:   $f[u, s] \leftarrow -c(s, u)$ 
11:   $e[u] \leftarrow c(s, u)$ 
```

INIȚIALIZEAZĂ-PREFLUX creează un preflux inițial  $f$  definit de:

$$f[u, v] = \begin{cases} c(u, v) & \text{dacă } u = s, \\ -c(v, u) & \text{dacă } v = s, \\ 0 & \text{altfel.} \end{cases}$$

Aceasta înseamnă că fiecare muchie care pleacă din vârful sursă este umplut la întreaga capacitate și toate celealte muchii nu transportă flux. Pentru fiecare vârf adjacent sursei avem inițial  $e[v] = c(s, v)$ . De asemenea, algoritmul generic începe cu o funcție de înălțime inițială dată de

$$h[u] = \begin{cases} |V| & \text{dacă } u = s, \\ 0 & \text{altfel.} \end{cases}$$

Aceasta este o funcție de înălțime pentru că singurele muchii  $(u, v)$  pentru care  $h[u] > h[v] + 1$  sunt cele pentru care  $u = s$  și aceste muchii sunt saturate, ceea ce înseamnă că nu vor fi în rețea rezultată.

Următorul algoritm tipizează metoda de preflux.

PREFLUX-GENERIC( $G$ )

- 1: INIȚIALIZEAZĂ-PREFLUX( $G, s$ )
- 2: **cât timp** există o operație de pompare sau de ridicare ce se poate aplica **execută**
- 3: selectează o operație de pompare sau de ridicare ce se poate aplica și execută

După initializarea fluxului, algoritmul generic aplică repetat, în orice ordine, operațiile de bază ori de câte ori acest lucru este posibil. Următoarea lemă precizează faptul că atât timp cât există un vârf cu exces de flux, se poate aplica cel puțin una din cele două operații de bază.

**Lema 27.14 (Un vârf excedentar poate fi pompat sau ridicat)** Fie  $G = (V, E)$  o rețea de transport cu sursa  $s$  și destinația  $t$ , fie  $f$  un preflux și fie  $h$  o funcție arbitrară de înălțime pentru  $f$ . Dacă  $u$  este un vârf excedentar oarecare, atunci i se poate aplica fie o operație de pompăre, fie una de ridicare.

**Demonstrație.** Pentru orice muchie rezultată  $(u, v)$  avem  $h(u) \leq h(v) + 1$  deoarece  $h$  este o funcție de înălțime. Dacă lui  $u$  nu i se poate aplica o operație de pompăre atunci pentru toate muchiile rezultante  $(u, v)$  trebuie să avem  $h(u) < h(v) + 1$ , ceea ce implică  $h(u) \leq h(v)$ . Prin urmare, lui  $u$  i se poate aplica o operație de ridicare. ■

### Corectitudinea metodei de preflux

Pentru a arăta că algoritmul generic de preflux rezolvă problema fluxului maxim, vom demonstra mai întâi că dacă se termină, prefluxul  $f$  este fluxul maxim. Apoi, vom demonstra că se termină. Vom începe cu unele observații relative la funcția de înălțime  $h$ .

**Lema 27.15 (Înălțimile vârfurilor nu scad niciodată)** În timpul execuției algoritmului PREFLUX-GENERIC asupra unei rețele de transport  $G = (V, E)$ , înălțimile  $h[u]$ , pentru fiecare vârf  $u \in V$ , nu scad niciodată. Mai mult, ori de câte ori se aplică o operație de ridicare asupra unui vârf  $u$ , înălțimea sa  $h[u]$  crește cu cel puțin 1.

**Demonstrație.** Deoarece înălțimile vârfurilor se modifică doar în timpul operațiilor de ridicare, este suficient să demonstrăm a doua afirmație a lemei. Dacă vârful este ridicat, atunci pentru toate vârfurile  $v$  astfel încât  $(u, v) \in E_f$ , avem  $h[u] \leq h[v]$ ; aceasta implică  $h[u] < 1 + \min\{h[v] : (u, v) \in E_f\}$  și deci operația trebuie să mărească  $h[u]$ . ■

**Lema 27.16** Fie  $G = (V, E)$  o rețea de transport cu sursa  $s$  și destinația  $t$ . În timpul execuției algoritmului PREFLUX-GENERIC asupra lui  $G$ , atributul  $h$  este gestionat ca o funcție de înălțime.

**Demonstrație.** Demonstrația se face prin inducție după numărul de operații de bază executate. După cum am observat deja, inițial,  $h$  este o funcție de înălțime.

Cerem că dacă  $h$  este o funcție de înălțime, atunci operația RIDICĂ( $u$ ) să păstreze  $h$  ca funcție de înălțime. Dacă studiem muchia rezultată  $(u, v) \in E_f$  care pleacă din  $u$ , atunci operația RIDICĂ( $u$ ) asigură că  $h[u] \leq h[v] + 1$  după aplicarea ei. Să studiem acum muchia rezultată  $(w, u)$  care intră în vârful  $u$ . Conform lemei 27.15,  $h[w] \leq h[u] + 1$  înaintea aplicării operației RIDICĂ( $u$ ), implică  $h[w] < h[u] + 1$  după aplicarea ei. Deci, operația RIDICĂ( $u$ ) păstrează  $h$  ca funcție de înălțime.

Să considerăm acum operația POMPEAZĂ( $u, v$ ). Această operație poate adăuga muchia  $(v, u)$  la  $E_f$  sau poate elimina  $(u, v)$  din  $E_f$ . În primul caz, avem  $h[v] = h[u] - 1$  și astfel  $h$  rămâne o funcție de înălțime. În al doilea caz, eliminarea muchiei  $(u, v)$  din rețea rezultată conduce la eliminarea constrângerilor corespunzătoare și, din nou,  $h$  rămâne o funcție de înălțime. ■

Următoarea lemă prezintă o proprietate importantă a funcțiilor de înălțime.

**Lema 27.17** Fie  $G = (V, E)$  o rețea de transport cu sursa  $s$  și destinația  $t$ , fie  $f$  un preflux în  $G$  și fie  $h$  o funcție arbitrară de înălțime pe  $V$ . Atunci, nu există nici un drum de la sursa  $s$  la destinația  $t$  în rețeaua rezultată  $G_f$ .

**Demonstrație.** Vom folosi metoda reducerii la absurd. Pentru aceasta, presupunem că există un drum  $p = \langle v_0, v_1, \dots, v_k \rangle$  de la  $s$  la  $t$  în  $G_f$ , unde  $v_0 = s$  și  $v_k = t$ . Fără a pierde din generalitate, putem presupune că  $p$  este un drum elementar și deci  $k < |V|$ . Pentru  $i = 0, 1, \dots, k-1$ , muchia  $(v_i, v_{i+1}) \in E_f$ . Deoarece  $h$  este o funcție de înălțime, avem  $h(v_i) \leq h(v_{i+1}) + 1$ , pentru  $i = 0, 1, \dots, k-1$ . Combinând aceste inegalități de-a lungul drumului  $p$  obținem  $h(s) \leq h(t) + k$ . Dar, deoarece  $h(t) = 0$ , avem  $h(s) \leq k < |V|$ , ceea ce contrazice cerința ca  $h(s) = |V|$  pentru o funcție de înălțime. ■

Suntem acum pregătiți să arătăm că dacă algoritmul generic de preflux se termină, atunci prefluxul pe care îl calculează este un flux maxim.

**Teorema 27.18 (Corectitudinea algoritmului generic preflux)** Dacă execuția algoritmului PREFLUX-GENERIC se termină, pentru o rețea de transport  $G = (V, E)$  având sursa  $s$  și destinația  $t$ , atunci prefluxul  $f$  calculat este un flux maxim pentru  $G$ .

**Demonstrație.** Dacă algoritmul generic se termină, atunci fiecare vârf din  $V - \{s, t\}$  trebuie să aibă un exces nul, datorită lemelor 27.14 și 27.16 și invariantului că  $f$  este tot timpul un preflux, deci nu există vârfuri excedentare. Prin urmare,  $f$  este un flux. Deoarece  $h$  este o funcție de înălțime, conform lemei 27.17, nu există nici un drum de la  $s$  la  $t$  în rețeaua rezultată  $G_f$ . Conform teoremei flux maxim-tăietură minimă, rezultă că  $f$  este un flux maxim. ■

### Analiza metodei de preflux

Pentru a arăta că într-adevăr algoritmul generic de preflux se termină, vom stabili o limită pentru numărul de operații pe care le execută. Fiecare dintre cele trei tipuri de operații – ridicări, pompări saturate și pompări nesaturate – este mărginită separat. Cunoscând aceste limite, este ușor să construim un algoritm care se execută într-un timp  $O(V^2E)$ . Înaintea începerii analizei, vom demonstra o lemă importantă.

**Lema 27.19** Fie  $G = (V, E)$  o rețea de transport cu sursa  $s$  și destinația  $t$  și fie  $f$  un preflux în  $G$ . Atunci, pentru orice vârf excedentar  $u$ , există un drum elementar de la  $u$  la  $s$  în rețeaua rezultată  $G_f$ .

**Demonstrație.** Folosim metoda reducerii la absurd. Fie  $U = \{v : \text{există un drum elementar de la } u \text{ la } v \text{ în } G_f\}$  și presupunem că  $s \notin U$ . Fie  $\bar{U} = V - U$ .

Presupunem că pentru fiecare pereche de vârfuri  $v \in U$  și  $w \in \bar{U}$  avem  $f(w, v) \leq 0$ . De ce? Dacă  $f(w, v) > 0$ , atunci  $f(v, w) < 0$ , ceea ce implică  $c_f(v, w) = c(v, w) - f(v, w) > 0$ . Prin urmare, există o muchie  $(v, w) \in E_f$  și un drum elementar de forma  $u \rightsquigarrow v \rightarrow w$  în  $G_f$ , ceea ce contrazice alegerea noastră relativă la  $w$ .

Astfel, trebuie să avem  $f(\bar{U}, U) \leq 0$ , deoarece fiecare termen din această sumă este nepozitiv. Astfel, din formula (27.8) și lema 27.1, putem deduce că

$$e(U) = f(V, U) = f(\bar{U}, U) + f(U, U) = f(\bar{U}, U) \leq 0.$$

Excesele sunt nenegative pentru toate vârfurile din  $V - \{s\}$ ; deoarece am presupus că  $U \subseteq V - \{s\}$ , trebuie să avem  $e(v) = 0$  pentru toate vârfurile  $v \in U$ . În particular,  $e(u) = 0$ , ceea ce contrazice presupunerea că  $u$  este excedentar. ■

Următoarea lemă mărginește înălțimea vârfurilor și corolarul ei stabilește o margine pentru numărul total de operații de ridicare care sunt executate.

**Lema 27.20** Fie  $G = (V, E)$  o rețea de transport cu sursa  $s$  și destinația  $t$ . În orice moment, în timpul execuției lui PREFLUX-GENERIC asupra lui  $G$ , avem  $h[u] \leq 2|V| - 1$  pentru toate vârfurile  $u \in V$ .

**Demonstrație.** Înălțimile sursei  $s$  și destinației  $t$  nu se modifică niciodată deoarece aceste vârfuri sunt prin definiție neexcedentare. Deci, întotdeauna vom avea  $h[s] = |V|$  și  $h[t] = 0$ .

Datorită faptului că un vârf este ridicat doar atunci când este excedentar, putem considera orice vârf excedentar  $u \in V - \{s, t\}$ . Conform lemei 27.19, există un drum elementar  $p$  de la  $u$  la  $s$  în  $G_f$ . Fie  $p = \langle v_0, v_1, \dots, v_k \rangle$ , unde  $v_0 = u$ ,  $v_k = s$  și  $k \leq |V| - 1$ , deoarece  $p$  este elementar. Avem  $(v_i, v_{i+1}) \in E_f$ , pentru  $i = 0, 1, \dots, k - 1$  și, prin urmare, conform lemei 27.16,  $h[v_i] \leq h[v_{i+1}] + 1$ . Dezvoltând aceste inegalități peste drumul  $p$  obținem  $h[u] = h[v_0] \leq h[v_k] + k \leq h[s] + (|V| - 1) = 2|V| - 1$ . ■

**Corolarul 27.21 (Limita pentru operații de ridicare)** Fie  $G = (V, E)$  o rețea de transport cu sursa  $s$  și destinația  $t$ . Atunci, în timpul execuției algoritmului PREFLUX-GENERIC asupra lui  $G$ , numărul de operații de ridicare este cel mult  $2|V| - 1$  pentru un vârf și cel mult  $(2|V| - 1)(|V| - 2) < 2|V|^2$  în total.

**Demonstrație.** Doar vârfurile din  $V - \{s, t\}$ , în număr de  $|V| - 2$ , pot fi ridicate. Fie  $u \in V - \{s, t\}$ . Operația RIDICĂ( $u$ ) mărește  $h[u]$ . Valoarea  $h[u]$  este inițial 0 și, conform lemei 27.20, crește până la cel mult  $2|V| - 1$ . Deci, fiecare vârf  $u \in V - \{s, t\}$  este ridicat de cel mult  $2|V| - 1$  ori și numărul total de operații de ridicare executate este cel mult  $(2|V| - 1)(|V| - 2) < 2|V|^2$ . ■

Lema 27.20 ne ajută să mărginim și numărul de pompări saturate.

**Lema 27.22 (Limita pentru pompări saturate)** În timpul execuției algoritmului PREFLUX-GENERIC asupra oricărei rețele de transport  $G = (V, E)$ , numărul de pompări saturate este cel mult  $2|V||E|$ .

**Demonstrație.** Pentru orice pereche de vârfuri  $u, v \in V$ , luăm în considerare pompăriile saturate de la  $u$  la  $v$  și de la  $v$  la  $u$ . Dacă astfel de pompări există, cel puțin una dintre  $(u, v)$  și  $(v, u)$  este o muchie în  $E$ . Să presupunem că a apărut o pompă saturată de la  $u$  la  $v$ . Pentru ca să fie posibil să apară altă pompă de la  $u$  la  $v$ , algoritmul trebuie mai întâi să pompeze fluxul de la  $v$  la  $u$ , ceea ce nu este posibil decât după ce  $h[v]$  crește cu cel puțin 2. Asemănător,  $h[u]$  trebuie să crească cu cel puțin 2 între două pompări saturate de la  $v$  la  $u$ .

Considerăm secvența  $A$  de numere întregi date de  $h[u] + h[v]$  pentru fiecare pompă saturată care apare între vârfurile  $u$  și  $v$ . Dorim să mărginim lungimea acestei secvențe. Când apare prima pompă în oricare dintre direcții între  $u$  și  $v$ , trebuie să avem  $h[u] + h[v] \geq 1$ ; deci primul întreg din  $A$  este cel puțin 1. Când apare ultima astfel de pompă, avem  $h[u] + h[v] \leq (2|V| - 1) + (2|V| - 2) = 4|V| - 3$ , conform lemei 27.20; prin urmare, ultimul întreg din  $A$  este cel mult  $4|V| - 3$ . Înțând cont de argumentația din paragraful anterior, în  $A$  pot apărea cel mult toți

ceilalți întregi. În concluzie, numărul de întregi din  $A$  este cel mult  $((4|V|-3)-1)/2+1 = 2|V|-1$ . (Adăugăm 1 pentru a fi siguri că ambele capete ale secvenței sunt numărate.) Numărul total de pompări saturate între vârfurile  $u$  și  $v$  este cel mult  $2|V|-1$ . Înmulțind cu numărul total de muchii, obținem că numărul total de pompări saturate poate fi cel mult  $(2|V|-1)|E| < 2|V||E|$ . ■

Următoarea lemă stabilește o margine pentru numărul de pompări nesaturate din algoritmul generic de preflux.

**Lema 27.23 (Limita pentru pompări nesaturate)** În timpul execuției algoritmului PREFLUX-GENERIC asupra oricărei rețele de transport  $G = (V, E)$ , numărul de pompări nesaturate este cel mult  $4|V|^2(|V| + |E|)$ .

**Demonstrație.** Definim o funcție de potențial  $\Phi = \sum_{v \in X} h[v]$ , unde  $X \subseteq V$  este o mulțime de vârfuri excedentare. Inițial,  $\Phi = 0$ . Se observă că ridicarea unui vârf  $u$  mărește  $\Phi$  cu cel mult  $2|V|$ , deoarece mulțimea peste care se face însumarea este aceeași și  $u$  nu poate fi ridicat mai mult decât înălțimea sa maximă posibilă, care, conform lemei 27.20, este cel mult  $2|V|$ . De asemenea, o pompă saturată de la vârful  $u$  la vârful  $v$  mărește  $\Phi$  cu cel mult  $2|V|$ , deoarece înălțimile nu se modifică și doar vârful  $v$ , a cărui înălțime este cel mult  $2|V|$ , poate, eventual, deveni excedentar. În fine, să observăm că o pompă nesaturată de la  $u$  la  $v$  micșorează  $\Phi$  cu cel puțin 1, deoarece  $u$  nu mai este excedentar după pompăre,  $v$  devine excedentar după pompăre chiar dacă nu era înaintea operației, iar  $h[v] - h[u] = -1$ .

Deci, pe parcursul algoritmului, numărul total de creșteri în  $\Phi$  este constrâns de corolarul 27.21 și lema 27.22, la valoarea  $(2|V|)(2|V|^2) + (2|V|)(2|V||E|) = 4|V|^2(|V| + |E|)$ . Deoarece  $\Phi \geq 0$ , rezultă că numărul total de descrescări și deci numărul total de pompări nesaturate este cel mult  $4|V|^2(|V| + |E|)$ . ■

Suntem acum capabili să realizăm analiza procedurii PREFLUX-GENERIC și a oricărui algoritm care se bazează pe metoda de preflux.

**Teorema 27.24** În timpul execuției algoritmului PREFLUX-GENERIC asupra oricărei rețele de transport  $G = (V, E)$ , numărul de operații de bază este  $O(V^2E)$ .

**Demonstrație.** Pe baza corolarului 27.21 și a lemelor 27.22 și 27.23, demonstrația este imediată. ■

**Corolarul 27.25** Există o implementare a algoritmului generic de preflux care se execută într-un timp  $O(V^2E)$  pentru orice rețea de transport  $G = (V, E)$ .

**Demonstrație.** Cerința exercițiului 27.4-1 este să demonstrezi cum se poate implementa algoritmul generic cu limite de  $O(V)$  pentru operația de ridicare și  $O(1)$  pentru pompăre. În aceste condiții, demonstrația corolarului este imediată.

## Exerciții

**27.4-1** Arătați cum se poate implementa algoritmul generic de preflux, folosind un timp  $O(V)$  pentru operația de ridicare și  $O(1)$  pentru pompăre, pentru a obține un timp total de  $O(V^2E)$ .

**27.4-2** Arătați că algoritmul generic de preflux necesită un timp total de doar  $O(VE)$  pentru a executa toate cele  $O(V^2)$  operații de ridicare.

**27.4-3** Presupunând că a fost determinat un flux maxim într-o rețea de transport  $G = (V, E)$  folosind algoritmul de preflux, construiți un algoritm rapid pentru a determina o tăietură minimă în  $G$ .

**27.4-4** Construiți un algoritm de preflux pentru a determina un cuplaj maxim într-un graf bipartit. Analizați acest algoritm.

**27.4-5** Presupunând că toate capacitatele muchiilor dintr-o rețea de transport  $G = (V, E)$  sunt din multimea  $\{1, 2, \dots, k\}$ , analizați timpul de execuție al algoritmului generic de preflux în funcție de  $|V|, |E|$  și  $k$ . (*Indica ie:* De câte ori se pot aplica pompări nesaturate asupra fiecărei muchii înainte ca ea să devină saturată?)

**27.4-6** Arătați că linia 7 din algoritmul INITIALIZĂ-PREFLUX poate fi modificată astfel:

$$h[s] \leftarrow |V[G]| - 2$$

fără a afecta corectitudinea, respectiv performanța în cazul asimptotic pentru algoritmul generic de preflux.

**27.4-7** Fie  $\delta_f(u, v)$  distanța (numărul de muchii) de la  $u$  la  $v$  în rețeaua rezultată  $G_f$ . Arătați că PREFLUX-GENERIC respectă proprietatea:  $h[u] < |V|$  implică  $h[u] \leq \delta_f(u, t)$  și  $h[u] \geq |V|$  implică  $h[u] - |V| \leq \delta_f(u, s)$ .

**27.4-8 \*** La fel ca în exercițiu anterior,  $\delta_f(u, v)$  notează distanța de la  $u$  la  $v$  în rețeaua rezultată  $G_f$ . Arătați cum se poate modifica algoritmul generic de preflux pentru a satisface următoarea proprietate:  $h[u] < |V|$  implică  $h[u] = \delta_f(u, t)$  și  $h[u] \geq |V|$  implică  $h[u] - |V| = \delta_f(u, s)$ . Timpul total necesar ca implementarea să satisfacă această cerință trebuie să fie  $O(VE)$ .

**27.4-9** Arătați că numărul de pompări nesaturate executate de algoritmul PREFLUX-GENERIC pentru o rețea de transport  $G = (V, E)$  este cel mult  $4|V|^2|E|$  pentru  $|V| \geq 4$ .

## 27.5. Algoritmul mutare-în-față

Metoda prefluxului permite aplicarea operațiilor de bază în absolut orice ordine. Se poate rezolva totuși problema fluxului maxim mai repede decât marginea  $O(V^2E)$  dată de corolarul 27.25 prin alegerea atentă a ordinii și administrarea eficientă a structurii de date corespunzătoare rețelei. Vom examina acum algoritmul **mutare-în-față**, care este un algoritm de preflux de complexitate temporală  $O(V^3)$ , care este asimptotic cel puțin la fel de bun ca și  $O(V^2E)$ .

Algoritmul mutare-în-față gestionează o listă a vârfurilor rețelei. Algoritmul parcurge lista începând din față, selectând repetat un vârf  $u$  la care apare depășire și apoi “descarcându-l”, adică realizând operațiile de pompări și ridicare până când  $u$  nu mai are un exces pozitiv. Indiferent care vârf este ridicat, el este mutat în capul listei (de aici și numele de “mutare-în-față”) după care algoritmul reia parcurgerea listei.

Corectitudinea și analiza algoritmului mutare-în-față depind de noțiunea de muchii “admisibile”: acele muchii din rețeaua reziduală prin care poate fi pompat fluxul. După demonstrarea unor proprietăți despre rețeaua muchiilor admisibile, vom investiga operația de descarcare și apoi vom prezenta analiza algoritmului mutare-în-față.

## Muchii și rețele admisibile

Dacă  $G = (V, E)$  este o rețea de transport cu sursa  $s$  și destinația  $t$ ,  $f$  este un preflux în  $G$ , iar  $h$  este funcția de înălțime, atunci spunem că  $(u, v)$  este o **muchie admisibilă** dacă  $c_f(u, v) > 0$  și  $h(u) = h(v) + 1$ . În caz contrar  $(u, v)$  este **inadmisibilă**. **Rețeaua admisibilă** este  $G_{f,h} = (V, E_{f,h})$ , unde  $E_{f,h}$  este mulțimea muchiilor admisibile.

Rețeaua admisibilă constă din acele muchii prin care poate fi pompat fluxul. Lema următoare demonstrează că această rețea este un graf orientat aciclic.

**Lema 27.26 (Rețeaua admisibilă este aciclică)** Dacă  $G = (V, E)$  este o rețea de transport,  $f$  este un preflux din  $G$  și  $h$  este funcția de înălțime pe  $G$ , atunci rețeaua admisibilă  $G_{f,h} = (V, E_{f,h})$  este aciclică.

**Demonstrație.** Demonstrația se va face prin reducere la absurd. Se presupune că  $G_{f,h}$  conține un ciclu  $p = \langle v_0, v_1, \dots, v_k \rangle$ , unde  $v_0 = v_k$  și  $k > 0$ . Întrucât fiecare muchie din  $p$  este admisibilă, avem  $h(v_i - 1) = h(v_i) + 1$  pentru  $i = 1, 2, \dots, k$ . Însumând de-a lungul ciclului obținem

$$\sum_{i=1}^k h(v_i - 1) = \sum_{i=1}^k (h(v_i) + 1) = \sum_{i=1}^k h(v_i) + k.$$

Deoarece fiecare vârf din ciclul  $p$  apare o dată în fiecare sumă, rezultă că  $0 = k$ , ceea ce constituie o contradicție. ■

Următoarele două leme arată modul în care operațiile de ridicare și pompare schimbă rețeaua admisibilă.

**Lema 27.27** Fie  $G = (V, E)$  o rețea de transport,  $f$  un preflux în  $G$  și  $h$  o funcție de înălțime. Dacă la un vârf  $u$  apare depășire și  $(u, v)$  este o muchie admisibilă, atunci se aplică POMPEAZĂ( $u, v$ ). Operația nu produce nici o muchie admisibilă nouă, dar poate transforma muchia  $(u, v)$  într-o inadmisibilă.

**Demonstrație.** Din definiția unei muchii admisibile rezultă că fluxul poate fi pompat de la  $u$  la  $v$ . Întrucât  $u$  este de depășire, se aplică operația POMPEAZĂ( $u, v$ ). Singura muchie reziduală nouă care poate fi creată prin pomparea fluxului de la  $u$  la  $v$  este muchia  $(v, u)$ . Întrucât  $h(v) = h(u) - 1$ , muchia  $(v, u)$  nu poate deveni admisibilă. Dacă operația este de pompare saturată, atunci  $c_f(u, v) = 0$  după care  $(u, v)$  devine inadmisibilă. ■

**Lema 27.28** Fie  $G = (V, E)$  o rețea de transport,  $f$  un preflux din  $G$  și  $h$  o funcție de înălțime. Dacă un vârf  $u$  este de depășire și nu există muchii admisibile ce pleacă din  $u$ , atunci se aplică RIDICĂ( $u$ ). După o operație de ridicare există cel puțin o muchie admisibilă ce pleacă din  $u$ , dar nici o muchie admisibilă ce intră în  $u$ .

**Demonstrație.** Dacă  $u$  este de depășire, conform lemei 27.14 î se aplică o operație fie de pompare, fie de ridicare. Dacă nu există muchii admisibile ce pleacă din  $u$ , nu poate fi pompat nici un flux dinspre  $u$  și se aplică operația RIDICĂ( $u$ ). După operația de ridicare avem  $h[u] = 1 + \min\{h[v] : (u, v) \in E_f\}$ . Astfel, dacă  $v$  este un vârf care realizează minimul în această mulțime, muchia  $(u, v)$  devine admisibilă. Deci, după ridicare există cel puțin o muchie admisibilă ce pleacă din  $u$ .

Pentru a arăta că nici o muchie admisibilă nu intră în  $u$  după o operație de ridicare, să presupunem că există un vârf  $v$ , astfel încât  $(v, u)$  să fie admisibilă. Atunci  $h[v] = h[u] + 1$  după ridicare și deci,  $h[v] > h[u] + 1$  imediat înaintea ridicării. Dar din lema 27.13 rezultă că nu există nici o muchie reziduală între vârfuri a căror înălțime diferă cu mai mult de 1. Mai mult, ridicarea unui vârf nu schimbă rețeaua reziduală. Astfel  $(v, u)$  nu este în rețeaua reziduală și deci nu poate fi în rețeaua admisibilă. ■

### Liste de adiacență

Muchiile dintr-un algoritm mutare-în-față sunt organizate în “liste de adiacență”. Fiind dată o rețea de transport  $G = (V, E)$ , lista de adiacență  $N[u]$  pentru vârful  $u \in V$  este o listă simplu înlanțuită a vârfurilor adiacente lui  $u$  în  $G$ . Astfel, vârful  $v$  apare în lista  $N[u]$  dacă  $(u, v) \in E$  sau dacă  $(v, u) \in E$ . Lista de adiacență  $N[u]$  conține exact acele vârfuri  $v$  pentru care poate exista o muchie reziduală  $(u, v)$ . Primul vârf din  $N[u]$  este indicat de  $cap[N[u]]$ . Vârful ce urmează lui  $v$  în lista de adiacență este indicat de  $urm-adjacent[v]$ ; acest pointer este NIL dacă  $v$  este ultimul vârf în lista de adiacență.

Algoritmul mutare-în-față ciclează prin fiecare listă de adiacență într-o ordine arbitrară fixată de execuția algoritmului. Pentru fiecare vârf  $u$ , câmpul  $actual[u]$  indică vârful curent luat în considerare din  $N[u]$ . La început  $actual[u]$  este inițializat cu  $cap[N[u]]$ .

### Descărcarea unui vârf de depășire

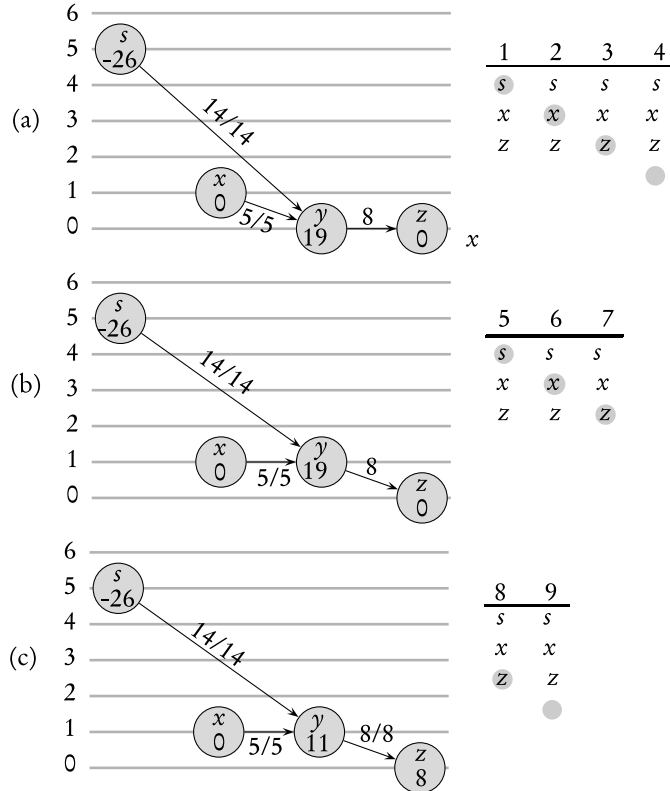
Un vârf de depășire este **descărcat** prin pomparea întregului său exces de flux prin muchiile admisibile spre vârfurile adiacente, ridicând  $u$  cât este necesar pentru a obține ca muchiile ce pleacă din  $u$  să devină admisibile. Pseudocodul este prezentat în continuare.

**DESCARCĂ**( $u$ )

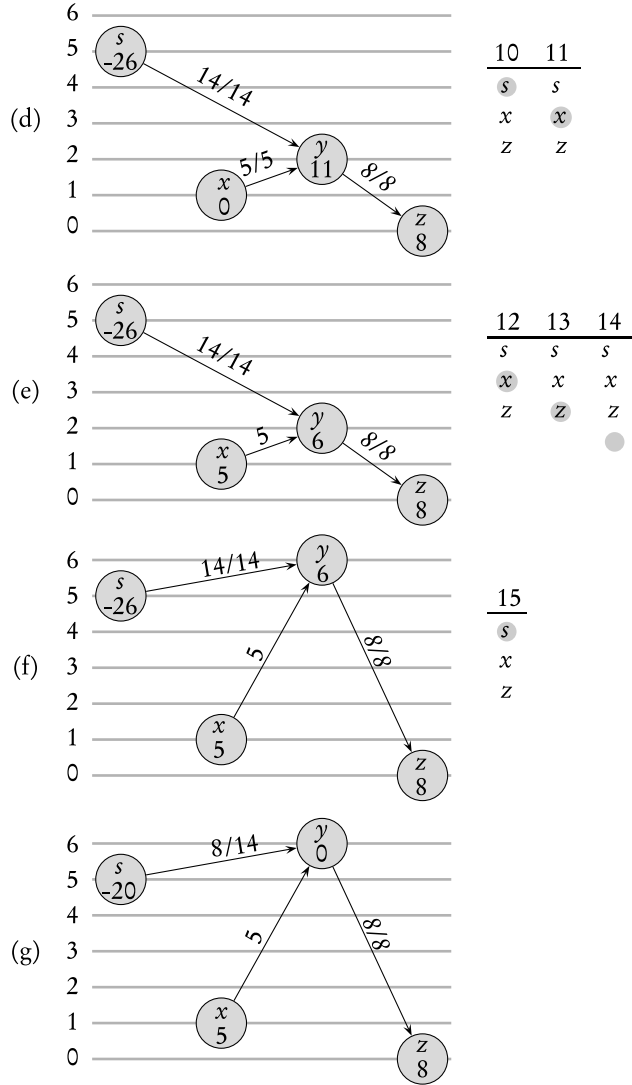
- 1: **cât timp**  $e[u] > 0$  **execută**
- 2:    $v \leftarrow actual[u]$
- 3:   **dacă**  $v = NIL$  **atunci**
- 4:     RIDICĂ( $u$ )
- 5:      $actual[u] \leftarrow cap[N[u]]$
- 6:   **altfel**
- 7:     **dacă**  $c_f(u, v) > 0$  și  $h[u] = h[v] + 1$  **atunci**
- 8:       POMPEAZĂ( $u, v$ )
- 9:     **altfel**
- 10:       $actual[u] \leftarrow urm-adjacent[v]$

Figura 27.10 prezintă parcurgerea câtorva iterații ale ciclului **cât timp** din liniile 1–10 care se execută cât timp vârful  $u$  are un exces pozitiv. Fiecare iterație realizează exact una dintre cele trei acțiuni, depinzând de vârful actual  $v$  din lista de adiacență  $N[u]$ .

1. Dacă  $v$  este NIL, atunci am trecut de ultimul element din  $N[u]$ . Linia 4 ridică vârful  $u$  și atunci linia 5 resetează vârful adiacent actual al lui  $u$  pentru a fi primul din  $N[u]$ . (Lema 27.29 afirmă că în această situație se aplică operația de ridicare.)
2. Dacă  $v$  nu este NIL și  $(u, v)$  este o muchie admisibilă (determinată de testul din linia 7), atunci linia 8 pompează o parte (posibil și integral) din excesul lui  $u$  spre vârful  $v$ .



**Figura 27.10** Descărcarea unui vârf. Necesită 15 operații ale ciclului **cât timp** din DESCARCĂ pentru a pompa tot excesul de flux din vârful  $y$ . Doar vecinii lui  $y$  și muchiile care intră în  $y$  sunt desenate. În fiecare componentă, numărul din interiorul fiecărui vârf este excesul său de la începutul fiecărei operații desenate în componenta respectivă și fiecare vârf este desenat la înălțimea componentei sale. La dreapta este lista de adiacență  $N[y]$  la începutul fiecărei operații, cu numărul operației sus. Vârful adiacent hașurat este  $actual[y]$ . (a) Inițial sunt de pompat 19 unități de flux din  $y$ , iar  $actual[y] = s$ . Operațiile 1, 2 și 3 doar îl avansează pe  $actual[y]$ , însă nu există muchii admisibile ce pleacă din  $y$ . În operația 4  $actual[y] = \text{NIL}$  (reprezentat hașurat) și astfel  $y$  este ridicat, iar  $actual[y]$  este resetat la capul listei de adiacență. (b) După ridicare vârful  $y$  are înălțimea 1. În operațiile 5, 6, muchiile  $(y, s)$  și  $(y, x)$  sunt găsite și fi inadmisibile, dar 8 unități de flux în exces sunt pompeate din  $y$  în  $z$  în operația 7. Din cauza pompării,  $actual[y]$  nu este avansat în această operație. (c) Deoarece pomparea din operația 7 a saturat muchia  $(y, z)$  ea este găsită inadmisibilă în operația 8. În operația 9  $actual[y] = \text{NIL}$  și astfel vârful  $y$  este din nou ridicat, iar  $actual[y]$  resetat. (d) În operația 10,  $(y, s)$  este inadmisibilă, dar în operația 11 sunt pompeate 5 unități de flux în exces din  $y$  în  $x$ . (e) Deoarece  $actual[y]$  nu a fost avansat în operația 11, operația 12 găsește  $(y, x)$  inadmisibilă. Operația 13 găsește  $(y, z)$  inadmisibilă, iar operația 14 ridică vârful  $y$  și resetează  $actual[y]$ . (f) Operația 15 împinge 6 unități de flux în exces din  $y$  în  $s$ . (g) Vârful  $y$  nu mai are exces de flux și DESCARCĂ se încheie. În acest exemplu DESCARCĂ începe și se termină cu pointerul curent la capul listei de adiacență, dar în general nu este cazul.



3. Dacă  $v$  nu este NIL, dar  $(u, v)$  este inadmisibilă, atunci linia 10 **avanseză**  $actual[u]$  cu o poziție mai departe în lista de adiacență  $N[u]$ .

De remarcat că dacă algoritmul DESCARCA este apelat pentru un vârf de depăşire  $u$ , atunci ultima acţiune realizată de DESCARCA trebuie să fie o pompare din  $u$ . De ce? Procedura se termină numai când  $e[u]$  devine zero și nici operaţia de ridicare, nici avansarea pointerului  $actual[u]$  nu afectează valoarea lui  $e[u]$ .

Trebuie să ne asigurăm de faptul că atunci când POMPEAZĂ sau RIDICĂ este apelat de către DESCARCA, operaţia se aplică. Următoarea lemă va dovedi acest lucru.

**Lema 27.29** Dacă DESCARCĂ apelează POMPEAZĂ( $u, v$ ) în linia 8, atunci o operație de pompare se aplică lui  $(u, v)$ . Dacă DESCARCĂ apelează RIDICĂ( $u$ ) în linia 4, atunci lui  $u$  i se aplică o operație de ridicare.

**Demonstrație.** Testele din liniile 1 și 7 asigură că o operație de pompare apare numai dacă operația se aplică, ceea ce demonstrează prima afirmație din lemă.

Pentru a demonstra a doua afirmație, conform testului din linia 1 și lemei 27.28, e nevoie să arătăm doar că toate muchiile care pleacă din  $u$  sunt inadmisibile. Se observă că pe măsură ce DESCARCĂ( $u$ ) este apelată repetat, pointerul  $actual[u]$  se mișcă în josul listei  $N[u]$ . Fiecare “trecere” începe la capul lui  $N[u]$  și se termină cu  $actual[u] = \text{NIL}$ , moment în care  $u$  este ridicat și începe o nouă trecere. Pentru ca pointerul  $actual[u]$  să avanseze dincolo de un vârf  $v \in N[u]$  în timpul unei treceri, muchia  $(u, v)$  trebuie să fie considerată inadmisibilă de către testul din linia 7. Astfel, în momentul în care trecerea se termină, fiecare muchie plecând din  $u$  a fost determinată ca fiind inadmisibilă la un moment dat în timpul trecerii. Observația cheie este că la sfârșitul trecerii, fiecare muchie care pleacă din  $u$  este încă inadmisibilă. De ce? Conform lemei 27.27 a pompării, nu pot crea nici o muchie admisibilă, lăsând una singură ce pleacă din  $u$ . Astfel, orice muchie admisibilă trebuie să fie întâi creată printr-o operație de ridicare. Dar vârful  $u$  nu este ridicat în timpul trecerii și din lema 27.28 nici un alt vârf  $v$  care este ridicat în timpul trecerii nu are muchii admisibile ce intră în el. Astfel, la sfârșitul fiecărei treceri toate muchiile care pleacă din  $u$  rămân inadmisibile, deci lema este demonstrată. ■

### Algoritmul mutare-în-față

În algoritmul mutare-în-față gestionăm o listă înlănțuită  $L$ , formată din toate vârfurile din  $V - \{s, t\}$ . O proprietate cheie este că vârfurile din  $L$  sunt sortate topologic conform rețelei admisibile. (Amintim din lema 27.26 că rețeaua admisibilă este un graf orientat aciclic.)

Pseudocodul pentru algoritmul mutare-în-față presupune că listele de adiacență  $N[u]$  au fost deja create pentru fiecare vârf  $u$ . El presupune și că  $urm[u]$  indică spre vârful care urmează lui  $u$  în lista  $L$  și că  $urm[u] = \text{NIL}$  dacă  $u$  este ultimul vârf din listă.

#### MUTĂ-ÎN-FAȚĂ( $G, s, t$ )

- 1: INITIALIZEAZĂ-PREFLUX( $G, s$ )
- 2:  $L \leftarrow V[G] - \{s, t\}$ , în orice ordine
- 3: **pentru** fiecare vârf  $u \in V[G] - \{s, t\}$  **execută**
- 4:    $actual[u] \leftarrow cap[N[u]]$
- 5:    $u \leftarrow cap[L]$
- 6: **cât** **temp**  $u \neq \text{NIL}$  **execută**
- 7:    $vechea\text{-}în / ime \leftarrow h[u]$
- 8:   DESCARCĂ( $u$ )
- 9:   **dacă**  $h[u] > vechea\text{-}în / ime$  **atunci**
- 10:     mută  $u$  în capul listei  $L$
- 11:      $u \leftarrow urm[u]$

Algoritmul mutare-în-față lucrează după cum urmează. Linia 1 initializează prefluxul și înălțimile la aceleași valori la fel ca și algoritmul generic de preflux. Linia 2 initializează lista  $L$  astfel încât să conțină toate vârfurile potențiale de depășire, în orice ordine. Liniile 3–4 initializează pointerul curent al fiecărui vârf  $u$  spre primul vârf din lista de adiacență a lui  $u$ .

După cum se arată în figura 27.11, ciclul **cât timp** din liniile 6–11 parcurge lista  $L$ , descărcând vârfuri. Linia 5 ne asigură că parcurgerea începe cu primul vârf din listă. De fiecare dată de-a lungul ciclului este descărcat un vârf  $u$  în linia 8. Dacă  $u$  a fost ridicat de către procedura DESCARCĂ, linia 10 îl mută în capul listei  $L$ . Această determinare este făcută prin salvarea înălțimii lui  $u$  în variabila *vechea-înime* înainte de operația de descărcare (linia 7) și compararea acestei înălțimi salvate cu înălțimea lui  $u$  de după aceea (linia 9). Linia 11 utilizează vârful următor lui  $u$  din lista  $L$  pentru a face următoarea iterare a ciclului **cât timp**. Dacă  $u$  a fost mutat în capul listei, vârful folosit în următoarea iterare este cel ce urmează lui  $u$  în noua sa poziție din listă.

Pentru a arăta că MUTĂ-ÎN-FAȚĂ calculează un flux maxim, vom arăta că el este o implementare a algoritmului generic de preflux. Mai întâi, se observă că el realizează numai operație de pompare și ridicare când ele se aplică, întrucât lema 27.29 garantează că DESCARCĂ le realizează numai când ele se aplică. Rămâne de arătat că atunci când MUTĂ-ÎN-FAȚĂ se termină, nu se aplică nici o operație de bază. Se observă că dacă  $u$  ajunge la sfârșitul lui  $L$ , fiecare vârf din  $L$  (cu posibila excepție a primului vârf, care poate avea exces) trebuie descărcat fără a produce o ridicare. Lema 27.30, pe care o vom demonstra imediat, afirmă că lista  $L$  este gestionată ca o sortare topologică a rețelei admisibile. Astfel, o operație de pompare are ca efect mișcarea fluxului în exces spre vârfuri mai în josul listei (sau spre  $s$  sau  $t$ ). Dacă pointerul  $u$  ajunge la sfârșitul listei, excesul fiecărui vârf este 0 și nici una din operațiile de bază nu se aplică.

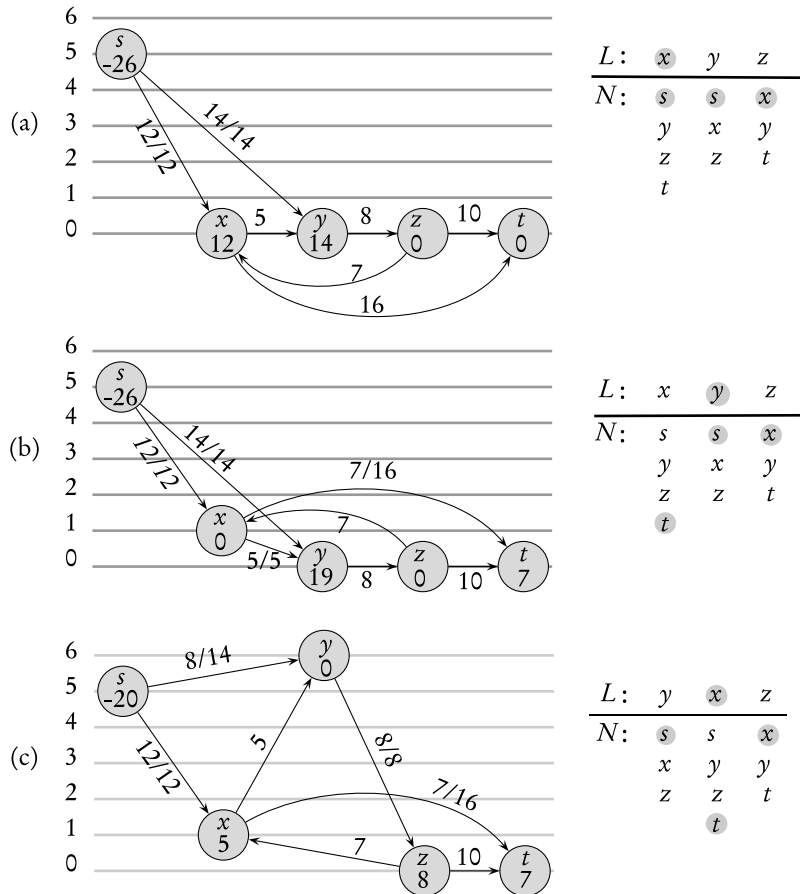
**Lema 27.30** Dacă executăm MUTĂ-ÎN-FAȚĂ pe o rețea de transport  $G = (V, E)$  cu sursa  $s$  și destinația  $t$ , atunci fiecare iterare a ciclului **cât timp** din liniile 6–11 menține invariant faptul că  $L$  este o sortare topologică a vârfurilor din rețeaua admisibilă  $G_{f,h} = (V, E_{f,h})$ .

**Demonstrație.** Imediat după ce INITIALIZEAZĂ-PREFLUX a fost executat,  $h[s] = |V|$  și  $h[v] = 0$  pentru oricare  $v \in V - \{s\}$ . Întrucât  $|V| \geq 2$  (deoarece el îl conține cel puțin pe  $s$  și  $t$ ), nici o muchie nu poate fi admisibilă. Astfel  $E_{f,h} = \emptyset$  și orice ordonare a lui  $V - \{s, t\}$  este o sortare topologică a lui  $G_{f,h}$ .

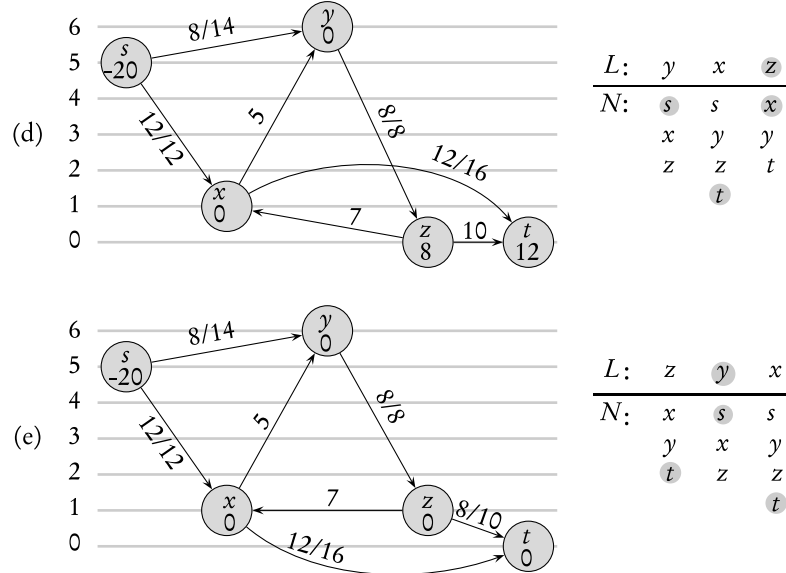
Vom demonstra acum că invariantul este menținut prin fiecare iterare a ciclului **cât timp**. Rețeaua admisibilă este schimbată numai prin operații de pompare și ridicare. Conform lemei 27.27 operațiile de pompare produc numai muchii inadmisibile. Astfel, muchii admisibile pot fi create numai prin operații de ridicare. După ce un vârf este ridicat, totuși, lema 27.28 afirmă că nu există muchii admisibile ce intră în  $u$ , dar pot există muchii admisibile ce pleacă din  $u$ . Astfel, prin deplasarea lui  $u$  în capul listei  $L$ , algoritmul asigură că orice muchie admisibilă plecând din  $u$  satisfac ordonarea sortării topologice. ■

## Analiză

Vom arăta acum că timpul de execuție a algoritmului MUTĂ-ÎN-FAȚĂ este  $O(V^3)$  pe orice rețea de transport  $G = (V, E)$ . Întrucât algoritmul este o implementare a algoritmului de preflux, vom folosi corolarul 27.21, care furnizează o margine  $O(V)$  pentru numărul de operații de ridicare executate pentru fiecare vârf și o margine  $O(V^2)$  pentru numărul total de ridicări. În plus, exercițiul 7.4-2 furnizează o margine  $O(VE)$  pentru timpul total consumat cu efectuarea operațiilor de ridicare, iar lema 27.22 furnizează o margine  $O(VE)$  pentru numărul total de operații de pompare saturate.



**Figura 27.11** Acțiunea algoritmului MUTĂ-ÎN-FAȚĂ. **(a)** O rețea de transport imediat înainte de prima iterare a ciclului **cât timp**. Inițial 26 de unități de flux părăsesc sursa  $s$ . La dreapta este dată lista inițială,  $L = \langle x, y, z \rangle$  cu  $u = x$ . Sub fiecare vârf din lista  $L$  este lista sa de adiacență, cu vecinul curent colorat cu negru. Vârful  $x$  este descărcat. El este ridicat la înălțimea 1, sunt pompată spre  $y$  5 unități de flux, iar cele 7 unități rămase în exces sunt pompată spre destinația  $t$ . Deoarece  $x$  este ridicat, el este mutat în capul lui  $L$ , care în cazul acesta nu schimbă structura lui  $L$ . **(b)** Următorul vârf care este descărcat este  $y$  deoarece el urmează în  $L$  după  $x$ . Figura 27.10 arată acțiunea detaliată a descărcării lui  $y$  în această situație. Deoarece  $y$  este ridicat, el este mutat în capul lui  $L$ . **(c)** Vârful  $x$  îi urmează acum lui  $y$  în  $L$  și astfel el este din nou descărcat, pompând toate cele 5 unități de flux în exces spre  $t$ . Deoarece vârful  $x$  nu este ridicat în această operație de descărcare, el rămâne pe loc în lista  $L$ . **(d)** Întrucât vârful  $z$  urmează după vârful  $x$  în  $L$ , el este descărcat. El este ridicat la înălțimea 1 și toate cele 8 unități de flux în exces sunt pompată spre  $t$ . Deoarece  $z$  este ridicat, el este mutat în capul listei  $L$ . **(e)** Vârful  $y$  îi urmează acum lui  $z$  în  $L$  și de aceea el este din nou descărcat. Deoarece  $y$  nu are exces, DESCARCĂ se întoarce imediat și  $y$  rămâne pe loc în  $L$ . Vârful  $x$  este apoi descărcat. Deoarece nici el nu are exces, DESCARCĂ se întoarce din nou și  $x$  rămâne pe loc în  $L$ . **MUTĂ-ÎN-FAȚĂ** a atins sfârșitul listei  $L$  și se termină. Nu mai există vârfuri cu depășire și prefluxul este un flux maxim.



**Teorema 27.31** Timpul de execuție al algoritmului MUTĂ-ÎN-FAȚĂ pe orice rețea de transport  $G = (V, E)$  este  $O(V^3)$ .

**Demonstratie.** Să considerăm o “fază” a algoritmului mutare-în-față ca fiind durata dintre două operații consecutive de ridicare. Există  $O(V^2)$  faze, deoarece sunt  $O(V^2)$  operații de ridicare. Fiecare fază constă din cel mult  $|V|$  apelări ale procedurii DESCARCĂ, după cum urmează. Dacă DESCARCĂ nu realizează o operație de ridicare, următorul apel al procedurii DESCARCĂ este mai în josul listei  $L$  și lungimea lui  $L$  este mai mică decât  $|V|$ . Dacă DESCARCĂ realizează o ridicare, următoarea apelare a lui DESCARCĂ aparține unei faze diferite. Deoarece fiecare fază conține cel mult  $|V|$  apelări ale lui DESCARCĂ și sunt  $O(V^2)$  faze, numărul de apeluri ale procedurii DESCARCĂ în linia 8 din procedura MUTĂ-ÎN-FAȚĂ este  $O(V^3)$ . Astfel, lucrul total realizat de ciclul **cât timp** în MUTĂ-ÎN-FAȚĂ, excludând cel realizat în DESCARCĂ, este cel mult  $O(V^3)$ .

Trebuie acum să evaluăm volumul de calcul realizat de DESCARCĂ în timpul execuției algoritmului. Fiecare iterație a ciclului **cât timp** din DESCARCĂ realizează una dintre trei acțiuni. Vom analiza volumul total de calcul realizat de fiecare dintre aceste acțiuni.

Începem cu operațiile de ridicare (liniile 4–5). Exercițiul 27.4-2 furnizează o margine a timpului  $O(VE)$  pentru toate cele  $O(V^2)$  ridicări care sunt executate.

Să presupunem acum că acțiunea actualizează pointerul  $actual[u]$  din linia 8. Această acțiune se produce de  $O(\text{grad}(u))$  ori de câte ori un vârf  $u$  este ridicat și de  $O(V \cdot \text{grad}(u))$  ori global pentru acel vârf. Deci, pentru toate vârfurile, volumul total de calcul necesar pentru avansarea pointerelor în lista de adiacență este  $O(VE)$  conform lemei strângerii de mâna (exercițiul 5.4-1).

Al treilea tip de acțiune realizată de DESCARCĂ este o operație de pompăre (linia 7). Știm deja că numărul total de operații de pompăre saturate este  $O(VE)$ . Se observă că dacă este executată o pompăre nesaturată, DESCARCĂ se termină imediat, întrucât pompărea reduce excesul la 0. Astfel, există cel mult o pompăre nesaturată pentru fiecare apel al procedurii DESCARCĂ. După cum am observat, DESCARCĂ este apelată de  $O(V^3)$  ori și astfel timpul total consumat realizând pompări nesaturante este  $O(V^3)$ .

Timpul de execuție al algoritmului MUTĂ-ÎN-FAȚĂ este deci  $O(V^3 + VE)$ , care este  $O(V^3)$ . ■

## Exerciții

**27.5-1** Ilustrați execuția algoritmului MUTĂ-ÎN-FAȚĂ în stilul figurii 27.11 pentru rețeaua de transport din figura 27.1(a). Presupuneți că ordinea inițială a vârfurilor în lista  $L$  este  $\langle v_1, v_2, v_3, v_4 \rangle$  și că listele de adiacență sunt

$$\begin{aligned} N[v_1] &= \langle s, v_2, v_3 \rangle, \\ N[v_2] &= \langle s, v_1, v_3, v_4 \rangle, \\ N[v_3] &= \langle v_1, v_2, v_4, t \rangle, \\ N[v_4] &= \langle v_2, v_3, t \rangle. \end{aligned}$$

**27.5-2** \* Dorim să implementăm un algoritm de preflux în care gestionăm o structură de tip coadă de vârfuri de depășire. Algoritmul descarcă repetat vârful din capul cozii și oricare vârfuri, care nu sunt de depășire înainte de descărcare, dar sunt de depășire după aceea, sunt plasate la sfârșitul cozii. După ce vârful din capul cozii este descărcat, el este eliminat. Când coada se golește, algoritmul se termină. Arătați că acest algoritm poate fi implementat să calculeze un flux maxim în timpul  $O(V^3)$ .

**27.5-3** Arătați că algoritmul generic funcționează și dacă RIDICĂ actualizează  $h[u]$  calculând simplu  $h[u] \leftarrow h[u] + 1$ . Cum afectează această schimbare analiza lui MUTĂ-ÎN-FAȚĂ?

**27.5-4** \* Demonstrați că dacă descărcăm întotdeauna un cel mai înalt vârf de depășire, metoda prefluxului poate fi făcută să se execute în timpul  $O(V^3)$ .

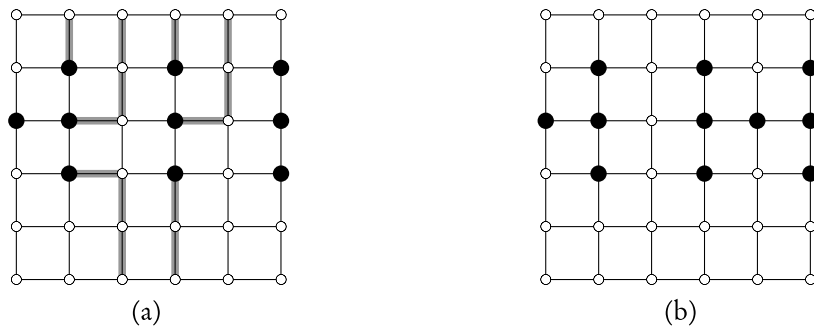
## Probleme

### 27-1 Problema evadării

O **rețea**  $n \times n$  este un graf neorientat format din  $n$  linii și  $n$  coloane de vârfuri, conform figurii 27.12. Notăm vârful din al  $i$ -lea rând și a  $j$ -a coloană prin  $(i, j)$ . Toate vâfurile dintr-o rețea au exact patru vecini, cu excepția vâfurilor marginale, care sunt punctele  $(i, j)$  pentru care  $i = 1$ ,  $i = n$ ,  $j = 1$  sau  $j = n$ .

Fiind date  $m \leq n^2$  puncte de plecare  $(x_1, y_1), (x_2, y_2), \dots, (x_m, y_m)$  pe rețea, **problema evadării** constă în a determina dacă există sau nu drumuri disjuncte compuse din câte  $m$  vârfuri din punctele de plecare spre oricare  $m$  puncte diferite de pe frontieră. De exemplu, rețeaua din figura 27.12(a) are o evadare, dar rețeaua din figura 27.12(b) nu are nici una.

- a. Să considerăm o rețea de transport în care vâfurile, la fel ca și muchiile, au asociate capacitate. Adică fluxul pozitiv al rețelei care intră în orice vârf dat este constrâns la o capacitate. Arătați că determinarea fluxului maxim într-o rețea cu muchii și vârfuri având asociate capacitate poate fi redusă la o problemă obișnuită de flux maxim pe o rețea de transport de mărime comparabilă.
- b. Descrieți un algoritm eficient pentru rezolvarea problemei evadării și analizați timpul său de execuție.



**Figura 27.12** Rețele pentru problema evadării. Punctele de plecare sunt negre, iar celelalte vârfuri ale rețelei sunt albe. **(a)** O rețea cu o evadare, schițată prin drumuri înnegrite. **(b)** O rețea fără nici o evadare.

## *27-2 Acoperire cu drumuri minime*

O **acoperire cu drumuri** a unui graf orientat  $G = (V, E)$  este o multime  $P$  de drumuri disjuncte astfel încât fiecare vîrf din  $V$  este inclus în exact un drum din  $P$ . Drumurile pot începe și se pot termina oriunde și pot avea orice lungime, inclusiv 0. O **acoperire cu drumuri minime** a lui  $G$  este o acoperire de drumuri ce conține cât mai puține drumuri posibile.

- a. Realizați un algoritm eficient pentru găsirea unei acoperiri cu drumuri minime a unui graf orientat aciclic  $G = (V, E)$ . (Indica ie: Presupunând că  $V = \{1, 2, \dots, n\}$ , construiți un graf  $G' = (V', E')$ , pentru care

$$\begin{aligned} V' &= \{x_0, x_1, \dots, x_n\} \cup \{y_0, y_1, \dots, y_n\}, \\ E' &= \{(x_0, x_i) : i \in V\} \cup \{(y_i, y_0) : i \in V\} \cup \{(x_i, y_j) : (i, j) \in E\}, \end{aligned}$$

și aplicați un algoritm de flux maxim.)

- b.** Functionează algoritmul creat și pe grafuri orientate care conțin cicluri? Argumentați.

### *27-3 Experimentele navetei spațiale*

Profesorul Spock este consultant la NASA, unde se planifică o serie de zboruri ale navetei spațiale și trebuie să se decidă ce experimente comerciale să realizeze și ce instrumente să aibă la bord fiecare zbor. Pentru fiecare zbor, NASA ia în considerare o mulțime  $E = \{E_1, E_2, \dots, E_m\}$  de experimente, iar sponsorul experimentului comercial  $E_j$  a fost de acord să plătească  $p_j$  dolari pentru rezultatele acestui experiment. Experimentele utilizează o mulțime  $I = \{I_1, I_2, \dots, I_n\}$  de instrumente; fiecare experiment  $E_j$  necesită toate instrumentele dintr-o submulțime  $R_j \subseteq I$ . Costul transportării instrumentului  $I_k$  este  $c_k$  dolari. Rolul profesorului este de a găsi un algoritm eficient care să determine ce experimente să se realizeze și care instrumente să fie transportate de un anumit zbor, cu scopul de a mări venitul net la maximum, care este venitul total rezultat din experimente minus costul total al instrumentelor transportate.

Să considerăm următoarea rețea  $G$ . Rețeaua conține un vârf sursă  $s$ , vârfurile  $I_1, I_2, \dots, I_n$ , vârfurile  $E_1, E_2, \dots, E_m$  și un vârf de destinație  $t$ . Pentru  $k = 1, 2, \dots, n$ , există o muchie  $(s, I_k)$  de capacitate  $c_k$ , iar pentru  $j = 1, 2, \dots, m$  există o muchie  $(E_j, t)$  de capacitate  $p_j$ . Pentru

$k = 1, 2, \dots, n$  și  $j = 1, 2, \dots, m$ , dacă  $I_k \in R_j$ , atunci există o muchie  $(I_k, E_j)$  de capacitate infinită.

- a. Arătați că dacă  $E_j \in T$  pentru o tăietură de capacitate finită  $(S, T)$  a lui  $G$ , atunci  $I_k \in T$  pentru orice  $I_k \in R_j$ .
- b. Arătați cum se determină câștigul net maxim a lui NASA pe baza capacitații tăieturii minime a lui  $G$  și valorilor date  $p_j$ .
- c. Construiți un algoritm eficient pentru a determina care experimente să fie realizate și care instrumente să fie transportate. Analizați timpul de execuție al algoritmului construit în termenii  $m, n$  și  $r = \sum_{j=1}^m |R_j|$ .

#### 27-4 Actualizarea fluxului maxim

Fie  $G = (V, E)$  o rețea de transport cu sursa  $s$ , destinația  $t$  și capacitați numere întregi. Să presupunem că este dat un flux maxim în  $G$ .

- a. Presupunem că se mărește cu 1 capacitatea unei singure muchii  $(u, v) \in E$ . Realizați un algoritm cu timp de execuție  $O(V + E)$  pentru a actualiza fluxul maxim.
- b. Presupunem că se micșorează cu 1 capacitatea unei singure muchii  $(u, v) \in E$ . Realizați un algoritm cu timp de execuție  $O(V + E)$  pentru a actualiza fluxul maxim.

#### 27-5 Fluxul maxim prin scalare

Fie  $G = (V, E)$  o rețea de transport cu sursa  $s$ , destinația  $t$  și o capacitate număr întreg  $c(u, v)$  pe fiecare muchie  $(u, v) \in E$ . Fie  $C = \max_{(u,v) \in E} c(u, v)$ .

- a. Arătați că o tăietură minimă a lui  $G$  are cel mult capacitatea  $C|E|$ .
- b. Pentru un număr dat  $K$ , arătați că un drum de ameliorare de capacitate cel puțin egală cu  $K$  poate fi găsit în timp  $O(E)$ , dacă există un astfel de drum.

Următoarea modificare a algoritmului METODA-FORD-FULKERSON poate fi utilizată să calculeze un flux maxim în  $G$ .

FLUX-MAXIM-PRIN-SCALARE( $G, s, t$ )

- 1:  $C \leftarrow \max_{(u,v) \in E} c(u, v)$
- 2: inițializează fluxul  $f$  cu 0
- 3:  $K \leftarrow 2^{\lfloor \lg C \rfloor}$
- 4: **cât timp**  $K \geq 1$  **execută**
- 5:   **cât timp** există un drum de ameliorare  $p$  de capacitate cel puțin  $K$  **execută**
- 6:     mărește fluxul  $f$  de-a lungul lui  $p$
- 7:      $K \leftarrow K/2$
- 8: **returnează**  $f$

- c. Argumentați că FLUX-MAXIM-PRIN-SCALARE returnează fluxul maxim.
- d. Arătați că valoarea capacitații reziduale a unei tăieturi minime a grafului rezidual  $G_f$  este cel mult  $2K|E|$  de fiecare dată când este executată linia 4.

- e. Argumentați că ciclul interior **cât timp** din liniile 5–6 este executat de  $O(E)$  ori pentru fiecare valoare a lui  $K$ .
- f. Demonstrați că FLUX-MAXIM-PRIN-SCALARE poate fi implementat să se execute în timpul  $O(E^2 \lg C)$ .

### **27-6 Fluxul maxim cu restricții de capacitate superioară și inferioară**

Să presupunem că fiecare muchie  $(u, v)$  dintr-o rețea de transport  $G = (V, E)$  nu are numai o margine superioară  $c(u, v)$  pentru fluxul de la  $u$  la  $v$ , ci și o margine inferioară  $b(u, v)$ . Adică orice flux  $f$  în rețea trebuie să satisfacă  $b(u, v) \leq f(u, v) \leq c(u, v)$ . Este posibil ca într-o astfel de rețea să nu existe nici un flux.

- a. Demonstrați că dacă  $f$  este un flux în  $G$ , atunci  $|f| \leq c(S, T) - b(T, S)$  pentru orice tăietură  $(S, T)$  a lui  $G$ .
- b. Demonstrați că valoarea unui flux maxim în rețea, dacă există, este valoarea minimă a lui  $c(S, T) - b(T, S)$  pe toate tăieturile  $(S, T)$  din rețea.

Fie  $G = (V, E)$  o rețea de transport cu funcțiile de capacitate superioară și inferioară  $c$  și  $b$  și fie  $s$  și  $t$  sursa și respectiv destinația lui  $G$ . Construjiți rețeaua obișnuită de flux  $G' = (V', E')$  cu funcția de capacitate superioară  $c'$ , sursa  $s'$  și destinația  $t'$  după cum urmează:

$$\begin{aligned} V' &= V \cup \{s', t'\}, \\ E' &= E \cup \{(s', v) : v \in V\} \cup \{(u, t') : u \in V\} \cup \{(s, t), (t, s)\}. \end{aligned}$$

Atribuim capacitatea muchiilor după cum urmează. Pentru fiecare muchie  $(u, v) \in E$  atribuim  $c'(u, v) = c(u, v) - b(u, v)$ . Pentru fiecare vârf  $u \in V$ , atribuim  $c'(s', u) = b(V, u)$  și  $c'(u, t') = b(u, V)$ . De asemenea, vom avea și  $c'(s, t) = c'(t, s) = \infty$ .

- c. Demonstrați că există un flux în  $G$  dacă și numai dacă există un flux maxim în  $G'$ , astfel încât toate muchiile către destinația  $t'$  sunt saturate.
- d. Realizați un algoritm care să găsească un flux maxim într-o rețea cu capacitate superioară și inferioară sau demonstrați că nu există nici un flux. Analizați timpul de execuție al algoritmului construit.

## Note bibliografice

Referințe bune pentru rețele de transport și algoritmi relativ la rețele de transport sunt Even [65], Lawler [132], Papadimitriou și Steiglitz [154] și Tarjan [188]. Goldberg, Tardos și Tarjan [83] realizează o bună analiză a algoritmilor pentru probleme cu rețele de flux.

Metoda Ford-Fulkerson se datorează lui Ford și Fulkerson [71], care au construit multe probleme în domeniul rețelelor de transport, inclusiv problemele fluxului maxim și a cuplajului bipartit. Multe din implementările mai vechi ale metodei Ford-Fulkerson au găsit drumul de ameliorare folosind căutarea în lățime; Edmonds și Karp [63] au demonstrat că această strategie

duce la un algoritm în timp polinomial. Karzanov [119] a dezvoltat ideea prefluxurilor. Metoda prefluxului se datorează lui Goldberg [82]. Cel mai rapid algoritm de preflux la ora actuală este realizat de Goldberg și Tarjan [85], care au atins timpul de execuție  $O(VE \lg(V^2/E))$ . Cel mai bun algoritm în prezent pentru cuplajul bipartit maxim, descoperit de Hopcroft și Karp [101], se execută în timpul  $O(\sqrt{V}E)$ .

---

---

---

## VII Capitole speciale

---

## Introducere

În această parte, sunt prezentate probleme speciale de algoritmi care extind și completează materialul tratat până acum în carte. Astfel, unele capitole introduc modele noi de calcul, cum ar fi circuite combinatoriale și calculatoare paralele, altele acoperă domenii speciale, cum ar fi geometria computațională sau teoria numerelor. Ultimele două capitole pun în discuție câteva dintre limitele cunoscute ale proiectării algoritmilor eficienți și introduc tehnici care tratează aceste limite.

În capitolul 28, se prezintă primul nostru model de calcul paralel: rețelele de comparare. Într-o formulare mai puțin precisă, se poate spune că o rețea de comparare este un algoritm care ne permite să efectuăm mai multe comparații simultan. În acest capitol, se arată cum se poate realiza o astfel de rețea de comparare, care sortează  $n$  numere în  $O(\lg^2 n)$  unități de timp.

În capitolul 29, se introduce un alt model de calcul paralel: circuite combinatoriale. În acest capitol se arată cum se pot aduna două numere de câte  $n$  biți în  $O(\lg n)$  unități de timp, cu ajutorul unui circuit combinatorial. Deasemenea același model ne arată cum se înmulțesc două numere de câte  $n$  biți în  $O(\lg n)$  unități de timp.

În capitolul 30, se introduce un model general de calcul paralel, numit model PRAM. Capitolul prezintă tehniciile paralele de bază, inclusiv saltul de pointeri, calculul prefixului și tehnica turului Euler. Majoritatea tehniciilor sunt ilustrate pe structuri de date simple, inclusiv liste și arbori. Capitolul tratează, de asemenea, problemele generale ale calculului paralel, inclusiv atât eficiența lucrului cu memorie partajată cât și a accesului concurent la acesta. Se demonstrează teorema lui Brent, care ne arată cum poate fi simulația, eficient, un circuit combinatorial de un calculator paralel. Capitolul se termină cu un algoritm aleator eficient pentru list ranking și cu un algoritm deterministic cu o eficiență remarcabilă pentru ruperea simetriei într-o listă.

În capitolul 31, se studiază eficiența algoritmilor de calcul matriceal. Se începe cu algoritmul lui Strassen, care poate înmulții două matrice de dimensiune  $n \times n$  în  $O(n^{2.81})$  unități de timp. Se prezintă apoi două metode generale – descompunerea LU și descompunerea LUP – pentru rezolvarea sistemelor de ecuații liniare, prin metoda de eliminare a lui Gauss în  $O(n^3)$  unități de timp. Se va arăta că metoda lui Strassen poate conduce la algoritmi mai rapizi, pentru rezolvarea sistemelor liniare, și, de asemenea, că inversarea matricilor și produsul matricilor se pot realiza la fel de repede ca și asimptotic. La sfârșitul capitolului, se arată cum se poate obține o soluție aproximativă cu ajutorul metodei celor mai mici pătrate, atunci când sistemul de ecuații nu are soluție exactă.

În capitolul 32, se studiază operațiile cu polinoame, și prezintă cum, o bine cunoscută metodă pentru prelucrarea semnalelor – transformata Fourier rapidă (TFR) – poate fi utilizată la înmulțirea a două polinoame de grad  $n$  în  $O(n \lg n)$  unități de timp. Se studiază, de asemenea, implementările eficiente ale metodei TFR, inclusiv un circuit paralel.

În capitolul 33, se prezintă algoritmi din teoria numerelor. După o scurtă trecere în revistă a rezultatelor teoriei elementare a numerelor, se prezintă algoritmul lui Euclid pentru calculul celui mai mare divizor comun. Apoi, sunt prezentate metode de rezolvare a sistemelor de congruențe liniare și metode de ridicare la putere modulo  $n$ . Se prezintă, apoi, un rezultat interesant al teoriei numerelor: criptosistemul RSA cu cheie publică. Acest criptosistem nu numai că permite cifrarea textelor, dar este capabil să realizeze și semnături digitale. Capitolul tratează, apoi, testul aleator de primalitate de tip Miller-Rabin, care poate fi utilizat pentru a obține, într-un

mod eficient, numere prime mari – cerință esențială în sistemul RSA. La sfârșitul capitolului, se prezintă algoritmul euristic “rho” al lui Pollard pentru factorizarea întregilor și totă problema factorizării întregilor.

În capitolul 34, se studiază problema găsirii tuturor aparițiilor unei secvențe de caractere într-un text, problemă frecventă în editarea textelor. Se începe cu o abordare elegantă datorată lui Rabin și Carp. Apoi, după examinarea unei soluții eficiente bazată pe automate finite, se trece la prezentarea algoritmului Knuth-Morris-Pratt, care găsește soluția eficient printr-o preprocesare intelligentă a secvenței ale cărei apariții se caută. Capitolul se încheie cu prezentarea algoritmului euristic Boyer-Moore pentru rezolvarea acestei probleme.

Tema capitolului 35 este geometria computațională. După discutarea problemelor de bază ale geometriei computaționale, se prezintă o metodă de “baleiere” cu ajutorul căreia se poate determina, eficient, dacă o mulțime de segmente de linii conține sau nu, segmente care se intersecțează. Puterea algoritmului de baleiere este ilustrată și de doi algoritmi eficienți – elaborați de Graham și Jarvis – pentru găsirea înfășurătorii convexe a unei mulțimi de puncte. La sfârșitul capitolului, se prezintă un algoritm eficient pentru găsirea perechii de puncte cele mai apropiate dintr-o mulțime de puncte în plan.

Capitolul 36 este dedicat problemelor NP-complete. Multe probleme computaționale sunt NP-complete și, deci, nu se cunosc algoritmi polinomiali pentru rezolvarea lor. Sunt prezentate tehnici pentru a afla dacă o problemă este NP-completă sau nu. Multe probleme clasice sunt NP-complete: determinarea dacă un graf conține un ciclu hamiltonian, determinarea dacă o formulă booleană este satisfiabilă, și determinarea dacă într-o mulțime de numere există o submulțime astfel încât suma elementelor submulțimii să fie egală cu o valoare dată. În acest capitol se demonstrează, de asemenea, că faimoasa problemă a comis-voiajorului este NP-completă.

În capitolul 37, se arată cum pot fi utilizati într-un mod eficient algoritmi de aproximare, pentru a găsi soluții aproape optime. Pentru multe probleme NP-complete există soluții aproximative (aproape optime), relativ ușor de obținut. Pentru alte probleme, chiar cei mai buni algoritmi de aproximare cunoscuți au randament din ce în ce mai scăzut odată cu creșterea dimensiunilor datelor problemei. Sunt și probleme la care, cu cât timpul de rezolvare crește, obținem soluții aproximative din ce în mai bune. Capitolul de față ilustrează astfel de posibilități pentru problema mulțimii exterior stabile, a comis-voiajorului, a acoperirii cu mulțimi și a submulțimilor de sumă dată.

---

## 28 Rețele de sortare

În partea a II-a a cărții, am studiat algoritmii de sortare pentru calculatoare seriale (RAM adică “random access machine”) care permit executarea, la un moment dat, numai a unei singure operații. În acest capitol, vom investiga algoritmii de sortare bazați pe modelul de calcul al rețelelor de comparare, în care se pot efectua simultan mai multe operații de comparare.

Rețelele de comparare diferă de calculatoarele RAM în două aspecte esențiale. În primul rând, ele pot efectua numai comparații. Astfel, un algoritm cum ar fi sortarea prin numărare (vezi secțiunea 9.2) nu se poate realiza cu ajutorul rețelelor de comparare. În al doilea rând, spre deosebire de calculatoarele RAM, unde operațiile sunt efectuate secvențial – adică una după alta –, în rețele de comparare operațiile pot fi efectuate simultan, adică în “paralel”. Așa cum vom vedea mai târziu, această caracteristică ne permite realizarea unor rețele de comparare care sortează  $n$  valori într-un timp subliniar.

În secțiunea 28.1, definim rețelele de comparare și rețelele de sortare. Vom da, de asemenea, o definiție naturală a “timpului de execuție” în cazul rețelelor de comparare, în funcție de adâncimea rețelei. În secțiunea 28.2, se demonstrează “principiul zero-unu”, care ne va ușura mult analiza corectitudinii rețelelor de sortare.

Rețeaua eficientă de sortare pe care o vom proiecta, este, de fapt, o variantă paralelă a algoritmului de sortare prin interclasare, studiat în secțiunea 1.3.1. Construcția rețelei se va realiza în trei pași. Secțiunea 28.3 prezintă proiectarea așa-numitului algoritm de sortare bitonic, care va fi celula de bază în construcția rețelei de sortare. Modificăm acest algoritm în secțiunea 28.4 ca să poată interclasă două secvențe ordonate într-o singură secvență ordonată. În final, în secțiunea 28.5, vom asambla aceste rețele de interclasare într-o rețea de sortare, care sortează  $n$  elemente în  $O(\lg^2 n)$  unități de timp.

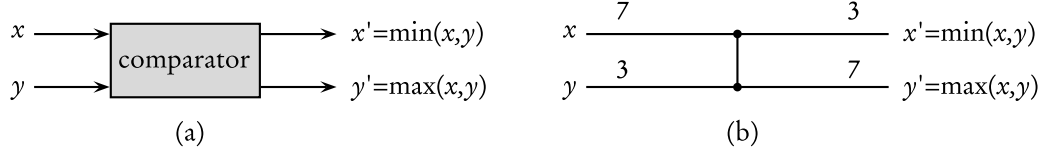
---

### 28.1. Rețele de comparare

Rețelele de sortare sunt rețele de comparare care, întotdeauna, își sortează datele se intrare, deci are sens să începem discuția noastră cu rețelele de comparare și caracteristicile lor. O rețea de comparare este compusă numai din fire și comparatori. Un **comparator**, cum este prezentat în figura 28.1(a), este un aparat cu două intrări,  $x$  și  $y$ , și două ieșiri,  $x'$  și  $y'$ , care realizează următoarea funcție:

$$\begin{aligned}x' &= \min(x, y), \\y' &= \max(x, y).\end{aligned}$$

În loc de reprezentarea unui comparator, dată în figura 28.1(a), vom folosi una mai simplă, adoptând convenția ca, în loc de comparator, să desenăm, pur și simplu, o bară verticală, ca în figura 28.1(b). Intrările se află în partea stângă, ieșirile în partea dreaptă cu precizarea că, la ieșire, valoarea mai mică se află în partea de sus, iar cea mai mare în partea de jos. Comparatorul poate fi privit ca un aparat care sortează cele două intrări ale sale.



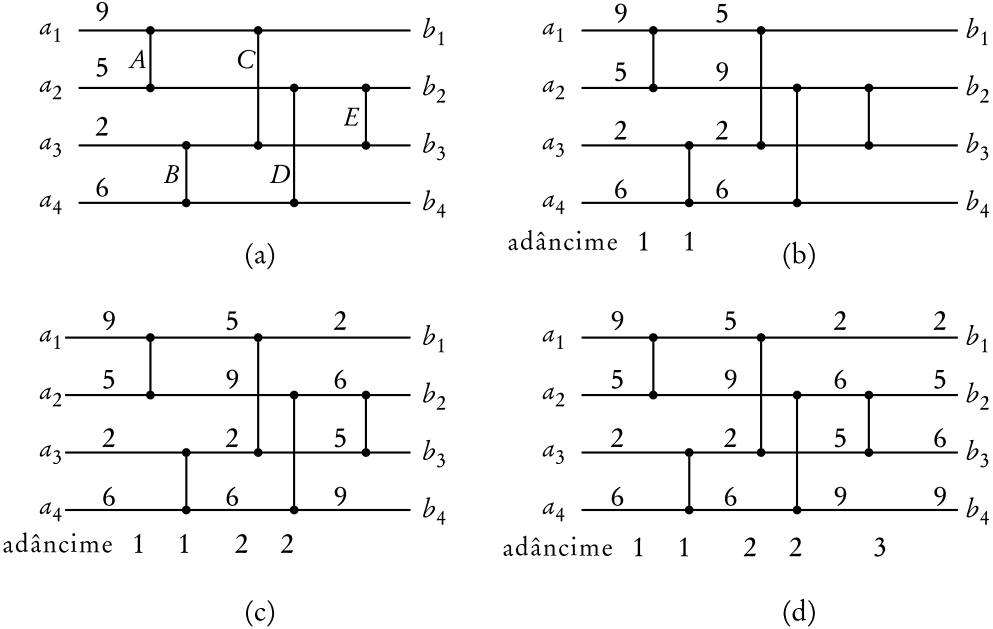
**Figura 28.1** (a) Un comparator cu două intrări,  $x$  și  $y$ , și două ieșiri,  $x'$  și  $y'$ . (b) Același comparator desenat ca o simplă bară verticală. Intrări:  $x = 7$ ,  $y = 3$ , ieșiri:  $x' = 3$ ,  $y' = 7$ .

Vom presupune că fiecare comparator operează în  $O(1)$  unități de timp. Cu alte cuvinte, presupunem că timpul scurs de la apariția intrărilor  $x$  și  $y$  până la producerea ieșirilor  $x'$  și  $y'$  este constant.

Un **fir** transmite informații dintr-un loc într-altul. Firele de ieșire ale unui comparator pot fi legate la intrările unui alt comparator, în rest, firele sunt sau fire de intrare în rețea, sau fire de ieșire din rețea. În tot acest capitol, presupunem că o rețea de comparare conține  $n$  **fire de intrare**, notate cu  $a_1, a_2, \dots, a_n$ , prin care datele de sortat intră în rețea, și  $n$  **fire de ieșire**, notate cu  $b_1, b_2, \dots, b_n$ , prin care sunt furnizate datele rezultat. De asemenea se poate vorbi de **secvența de intrare**  $\langle a_1, a_2, \dots, a_n \rangle$  și de **secvența de ieșire**  $\langle b_1, b_2, \dots, b_n \rangle$  care sunt valorile atașate firelor de intrare, respectiv de ieșire. Deci nu facem deosebire între fire și valorile firelor, ceea ce nu va conduce însă la nici o confuzie.

În figura 28.2 se poate vedea o **rețea de comparare**, constă dintr-o mulțime de comparatori interconectați prin fire. Reprezentăm o rețea de comparare cu  $n$  intrări prin  $n$  **linii** orizontale, dintre care unele sunt unite prin bare verticale, reprezentând comparatorii. Să remarcăm că o linie *nu* este un singur fir, ci mai degrabă o secvență de fire distințe, care leagă diferenți comparatori. De exemplu, linia de sus, în figura 28.2, reprezintă trei fire: firul de intrare  $a_1$ , care este legat la o intrare a comparatorului  $A$ ; firul care leagă ieșirea de sus a comparatorului  $A$  cu o intrare a comparatorului  $C$ ; și, în fine, firul de ieșire  $b_1$ , care reprezintă ieșirea de sus a comparatorului  $C$ . Fiecare intrare a unui comparator este legată la un fir care, fie este unul din cele  $n$  fire de intrare  $a_1, a_2, \dots, a_n$  ale rețelei de comparare, fie este conectată la una dintre ieșirile unui alt comparator. În mod similar, fiecare ieșire a unui comparator este legată la un fir care, fie este unul din cele  $n$  fire de ieșire  $b_1, b_2, \dots, b_n$  ale rețelei, fie este conectată la una dintre intrările unui alt comparator. Cerința principală, la interconectarea comparatorilor, este că graful interconexiunilor să fie aciclic: respectiv, dacă pornim de la ieșirea unui comparator și ajungem la intrarea unui alt comparator, trecând prin alte ieșiri și intrări, nu putem ajunge niciodată înapoi de unde am pornit și nu putem trece niciodată prin același comparator de două ori. Astfel se poate desena o rețea de comparare, ca în figura 28.2, cu intrările la stânga și ieșirile la dreapta, datele mișcându-se de la stânga la dreapta.

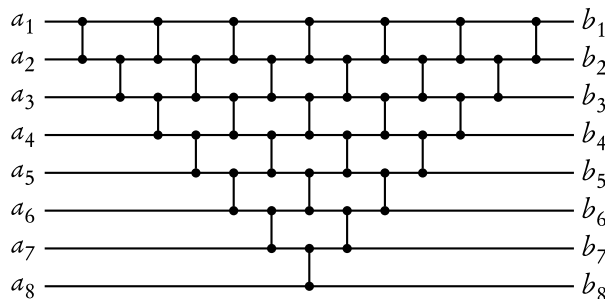
Fiecare comparator produce valoarea sa de ieșire în momentul în care are la dispoziție ambele intrări. În figura 28.2(a), de exemplu, presupunem că, în momentul 0, apare la intrare secvența  $\langle 9, 5, 2, 6 \rangle$ . În momentul 0, numai comparatorii  $A$  și  $B$  dispun de intrarea lor. Presupunând că fiecare comparator necesită o unitate de timp pentru producerea ieșirii, comparatorii  $A$  și  $B$  produc ieșirile lor în momentul 1; rezultatul se poate vedea în figura 28.2(b)). Să observăm că ieșirile comparatorilor  $A$  și  $B$  sunt produse “în paralel”. În momentul 1, comparatorii  $C, D$  au la dispoziție intrările lor, dar  $E$  încă nu. Un moment mai târziu, acești comparatori produc ieșirile lor, cum se vede în figura 28.2(c). Comparatorii  $C$  și  $D$  lucrează, de asemenea, în paralel. Ieșirea de sus a comparatorului  $C$  și cea de jos a comparatorului  $D$  sunt conectate la ieșirile  $b_1$ , respectiv,



**Figura 28.2** (a) O rețea de comparare cu 4 intrări și 4 ieșiri, care este de fapt o rețea de sortare. La momentul 0, datele de intrare sunt scrise pe cele patru fire de intrare. (b) În momentul 1, datele scrise pe fire sunt ieșirile comparatorilor  $A$  și  $B$ , care se găsesc la adâncimea 1. (c) În momentul 2, datele scrise pe fire sunt ieșirile comparatorilor  $C$  și  $D$ , care sunt la adâncimea 2. Firele de ieșire  $b_1$  și  $b_4$  au deja valorile lor finale, pe când firele  $b_2$  și  $b_3$  încă nu. (d) În momentul 3, datele scrise pe fire sunt ieșirile comparatorului  $E$  de adâncime 3. Pe firele de ieșire  $b_2$  și  $b_3$  se află deja valorile lor finale.

$b_4$  ale rețelei de comparare, și, ca atare, acestea au valoarea lor finală în momentul 2. Între timp comparatorul  $E$ , având la dispoziție intrările lui, produce în momentul 3 ieșirile corespunzătoare, cum se poate vedea în figura 28.2(d). Aceste valori vor fi ieșirile  $b_2$  și  $b_3$  ale rețelei de comparare și, astfel, se obține secvența completă de ieșire  $\langle 2, 5, 6, 9 \rangle$ .

Presupunând că fiecare comparator, pentru a produce ieșirile sale, are nevoie de o unitate de timp, se poate defini “timpul de execuție” al rețelei de comparare ca fiind timpul necesar producerii tuturor ieșirilor din momentul în care datele inițiale sunt pe firele de intrare. Acest timp, este de fapt, numărul maxim de comparatori prin care o valoare de la un fir de intrare trebuie să treacă ca să ajungă la un fir de ieșire. Mai precis, se poate defini **adâncimea** unui fir după cum urmează. Un fir de intrare al unei rețele de comparare are adâncimea 0. Dacă un comparator are două fire de intrare cu adâncimea  $d_x$ , respectiv,  $d_y$ , atunci firele sale de ieșire au adâncimea  $\max(d_x, d_y) + 1$ . Pentru că într-o rețea de comparare nu există cicluri, adâncimea fiecărui fir este precis definită, și vom defini adâncimea unui comparator ca fiind egală cu adâncimea firelor sale de ieșire. Figura 28.2 ilustrează adâncimea comparatorilor. Adâncimea unei rețele de comparare este adâncimea maximă a unui fir de ieșire sau, altfel spus, adâncimea maximă a unui comparator din rețea. De exemplu, rețeaua de comparare din figura 28.2 are adâncimea 3, deoarece comparatorul  $E$  are adâncimea 3. Dacă fiecare comparator are nevoie de o unitate de timp pentru producerea ieșirilor, și intrările unei rețele de comparare apar în



**Figura 28.3** O rețea de sortare bazată pe metode de sortare prin inserare pentru a fi folosită în exercițiul 28.1-6.

momentul 0, rețeaua de comparare cu adâncimea  $d$  are nevoie de  $d$  unități de timp pentru a produce toate ieșirile sale. Adâncimea unei rețele de comparare este, deci, egală cu timpul necesar producerii tuturor valorilor pe toate firele de ieșire.

O **rețea de sortare** este o rețea de comparare care produce, la ieșire, secvențe monoton crescătoare (adică,  $b_1 \leq b_2 \leq \dots \leq b_n$ ) pentru orice secvență de intrare. Evident, nu orice rețea de comparare este și rețea de sortare, dar rețeaua din figura 28.2 este. Pentru a demonstra de ce este așa, să observăm că, după o unitate de timp, minimul celor patru valori va fi fie la ieșirea de sus a comparatorului  $A$ , fie la ieșirea de sus a comparatorului  $B$ . După 2 unități de timp, acest minim va fi la ieșirea de sus a comparatorului  $C$ . Un argument similar ne arată că maximul celor patru valori, după 2 unități de timp, ajunge la ieșirea de jos a comparatorului  $D$ . Comparatorul  $E$  asigură ca cele două valori de mijloc să ajungă în poziția lor corectă, după momentul 3.

O rețea de comparare seamănă cu o procedură în care se specifică cum se fac comparațiile, dar nu seamănă cu o procedură în care dimensiunea ei (numărul comparatorilor) depinde de numărul intrărilor și ieșirilor. De aceea vom descrie “familii” de rețele de comparare. În acest capitol vom dezvolta o familie SORTATOR, a rețelelor de sortare eficiente. În cadrul unei familii o anumită rețea va fi denumită după numele familiei și numărul firelor de intrare (care ce este egal cu numărul firelor de ieșire). De exemplu, o rețea cu  $n$  intrări și  $n$  ieșiri în familia SORTATOR se va numi SORTATOR[ $n$ ].

## Exerciții

**28.1-1** Arătați ce valori apar pe toate firele rețelei din figura 28.2 dacă la intrare se dă secvența  $\langle 9, 6, 5, 2 \rangle$ .

**28.1-2** Fie  $n$  o putere a lui 2. Arătați cum se poate construi o rețea de comparare cu  $n$  intrări și  $n$  ieșiri de adâncime  $\lg n$ , în care ieșirea de sus să conțină totdeauna valoarea minimă, iar ieșirea de jos totdeauna valoarea maximă.

**28.1-3** Profesorul Nielsen afirmă că, dacă inserăm un comparator oriunde într-o rețea de sortare, rețeaua obținută va sorta corect orice secvență de intrare. Arătați că, inserând un comparator în rețeaua din figura 28.2, profesorul greșește, pentru că rețeaua obținută nu mai sortează corect orice permutare a intrării.

**28.1-4** Arătați că orice rețea de sortare cu  $n$  intrări are adâncimea cel puțin  $\lg n$ .

**28.1-5** Arătați că numărul de comparații în orice rețea de sortare este  $\Omega(n \lg n)$ .

**28.1-6** Demonstrați că rețeaua de comparare din figura 28.3 este, de fapt, o rețea de sortare. Să se arate în ce măsură structura acestei rețele seamănă cu cea a algoritmului de sortare prin inserare (secțiunea 1.1).

**28.1-7** O rețea de comparare cu  $n$  intrări și  $c$  comparatori se poate reprezenta printr-o listă de  $c$  perechi de numere întregi de la 1 la  $n$ . Dacă două perechi au un număr în comun, ordinea comparatorilor respectivi în rețea se poate determina prin ordinea perechilor în listă. Pornind de la această reprezentare, descrieți un algoritm (secvențial) de complexitate  $O(n + c)$  pentru determinarea adâncimii rețelei de comparare.

**28.1-8 \*** Să presupunem că, pe lângă comparatorii standard, folosim și comparatori “inversați”, adică comparatori la care valoarea minimă apare pe firul de jos, și cea maximă pe firul de sus. Arătați cum se poate converti o rețea de sortare care folosește  $c$  comparatori standard și inversați într-o rețea de sortare care folosește numai  $c$  comparatori standard. Arătați că metoda de conversie găsită este corectă.

## 28.2. Principiul zero-unu

**Principiul zero-unu** exprimă faptul că, dacă o rețea de sortare funcționează corect pentru intrări din mulțimea  $\{0, 1\}$ , atunci, funcționează corect pentru orice numere de intrare. (Numerele de intrare pot fi numere întregi, reale, sau, în general, orice numere dintr-o mulțime ordonată liniar.) Principiul zero-unu ne permite ca, la construcția rețelelor de sortare și a altor rețele de comparare, să ne concentrăm atenția numai asupra operațiilor care se execută cu numerele 0 și 1. După ce am construit o rețea care sortează corect orice secvență de 0 și 1, pe baza principiului zero-unu, putem afirma că ea sortează, corect, orice secvență de intrare.

Demonstrația principiului zero-unu se bazează pe noțiunea de funcție monoton crescătoare (secțiunea 2.2).

**Lema 28.1** Dacă o rețea de comparare transformă secvența de intrare  $a = \langle a_1, a_2, \dots, a_n \rangle$  în secvența de ieșire  $b = \langle b_1, b_2, \dots, b_n \rangle$ , atunci, pentru orice funcție  $f$  monoton crescătoare, rețeaua va transforma secvența de intrare  $f(a) = \langle f(a_1), f(a_2), \dots, f(a_n) \rangle$  în secvența de ieșire  $f(b) = \langle f(b_1), f(b_2), \dots, f(b_n) \rangle$ .

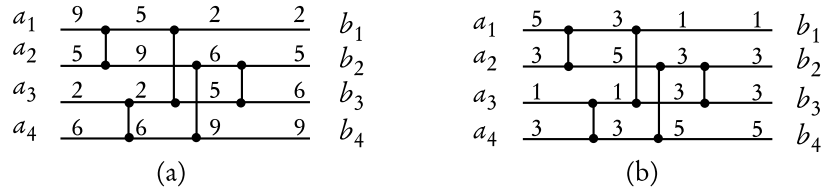
**Demonstrație.** La început vom demonstra că dacă  $f$  este o funcție monoton crescătoare, atunci un singur comparator cu intrările  $f(x)$  și  $f(y)$  ne va da ca rezultat  $f(\min(x, y))$  și  $f(\max(x, y))$ . După aceasta, lema se va demonstra folosind inducția matematică.

Pentru a demonstra afirmația de mai sus, să considerăm un comparator cu intrările  $x$  și  $y$ . Ieșirea de sus a comparatorului va produce  $\min(x, y)$ , iar cea de jos  $\max(x, y)$ . Să presupunem acum că aplicăm, la intrare, valorile  $f(x)$  și  $f(y)$ , cum se arată în figura 28.4. Se obține astfel la ieșirea de sus a comparatorului valoarea  $\min(f(x), f(y))$ , iar la ieșirea de jos valoarea  $\max(f(x), f(y))$ . Deoarece funcția  $f$  este monoton crescătoare,  $x \leq y$  implică  $f(x) \leq f(y)$ . Prin urmare, obținem următoarele:

$$\min(f(x), f(y)) = f(\min(x, y)), \quad \max(f(x), f(y)) = f(\max(x, y)).$$

$$\begin{array}{c} f(x) \xrightarrow{\quad} \text{---} \bullet \text{---} \min(f(x), f(y)) = f(\min(x, y)) \\ f(y) \xrightarrow{\quad} \text{---} \bullet \text{---} \max(f(x), f(y)) = f(\max(x, y)) \end{array}$$

**Figura 28.4** Operația de comparare folosită în demonstrarea lemei 28.1. Funcția  $f$  este monoton crescătoare.



**Figura 28.5** (a) Rețeaua de sortare din figura 28.2 cu secvența de intrare  $\langle 9, 5, 2, 6 \rangle$ . (b) Aceeași rețea de sortare când se aplică la intrare funcția monoton crescătoare  $f(x) = \lceil x/2 \rceil$ . Valoarea pe fiecare fir este egală cu valoarea lui  $f$  aplicată pe valoarea firului corespunzător din rețeaua (a).

Deci, comparatorul produce valorile  $f(\min(x, y))$  și  $f(\max(x, y))$  dacă intrările sunt  $f(x)$  și  $f(y)$ , și afirmația este demonstrată.

Aplicând inducția matematică pentru adâncimea unui fir oarecare dintr-o rețea de comparare, se poate demonstra o afirmație mai tare decât cea a lemei: dacă valoarea unui fir este  $a_i$  când secvența de intrare este  $a$ , atunci, valoarea ei va fi  $f(a_i)$  când intrarea este secvența  $f(a)$ . Deoarece această afirmație este adevărată și pentru firele de ieșire, demonstrăm și lema.

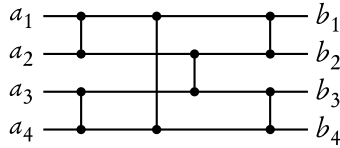
La început, să considerăm un fir de adâncime 0, adică un fir de intrare  $a_i$ . Afirmația, în acest caz, este trivială: dacă  $f(a)$  este secvența de intrare, atunci valoarea pe firul respectiv este  $f(a_i)$ . Să considerăm acum pentru pasul inductiv un fir de adâncime  $d$  ( $d \geq 1$ ). Acest fir este ieșirea unui comparator de adâncime  $d$ , ale căruia fire de intrare sunt de adâncime strict mai mică de  $d$ . Din ipoteza inducției rezultă că dacă valorile de intrare ale comparatorului sunt  $a_i$  și  $a_j$  când intrarea rețelei este secvența  $a$ , atunci valorile de intrare vor fi  $f(a_i)$  și  $f(a_j)$  când secvența de intrare este  $f(a)$ . Conform afirmației anterioare, pe firele de ieșire ale comparatorului apar valorile  $f(\min(a_i, a_j))$  și  $f(\max(a_i, a_j))$ . Deoarece atunci când secvența de intrare este  $a$ , pe aceste fire apar valorile  $\min(a_i, a_j)$ , respectiv  $\max(a_i, a_j)$ , lema este demonstrată. ■

Figura 28.5 exemplifică aplicarea lemei. Ca rețea de sortare se folosește cea din figura 28.2, la care se aplică la intrare funcția monoton crescătoare  $f(x) = \lceil x/2 \rceil$ . Valoarea pe fiecare fir este valoarea aplicării funcției  $f$  pe același fir în rețeaua din figura 28.2.

Dacă rețeaua de comparare este o rețea de sortare, lema 28.1 ne permite demonstrarea următorului rezultat remarcabil.

**Teorema 28.2 (Prințipiu zero-unu)** Dacă o rețea de comparare cu  $n$  intrări sortează corect toate cele  $2^n$  secvențe formate numai din 0-uri și 1-uri, atunci va sorta corect orice secvență de  $n$  elemente.

**Demonstrație.** Demonstrăm prin reducere la absurd. Să presupunem că rețeaua sortează corect toate secvențele formate numai din 0-uri și 1-uri, dar există o secvență de valori arbitrară pe care nu o sortează corect. Adică, există o secvență de intrare  $\langle a_1, a_2, \dots, a_n \rangle$  astfel încât pentru



**Figura 28.6** O rețea de sortare pentru sortarea a 4 numere.

valorile  $a_i$  și  $a_j$  avem  $a_i < a_j$ , și totuși rețeaua îl plasează pe  $a_j$  înaintea lui  $a_i$  în secvența de ieșire. Să definim următoarea funcție  $f$  monoton crescătoare:

$$f(x) = \begin{cases} 0, & \text{dacă } x \leq a_i, \\ 1, & \text{dacă } x > a_i. \end{cases}$$

Dacă în secvența de intrare  $\langle a_1, a_2, \dots, a_n \rangle$  elementul  $a_j$  este înaintea lui  $a_i$ , atunci, pe baza lemei 28.1, rețeaua plasează, în secvența de ieșire  $\langle f(a_1), f(a_2), \dots, f(a_n) \rangle$  pe  $f(a_j)$  înaintea lui  $f(a_i)$ . Dar, deoarece  $f(a_j) = 1$  și  $f(a_i) = 0$ , obținem contradicția că rețeaua nu sortează corect secvența  $\langle f(a_1), f(a_2), \dots, f(a_n) \rangle$  formată numai din 0-uri și 1-uri. ■

### Exerciții

**28.2-1** Demonstrați că, dacă se aplică o funcție monoton crescătoare unei secvențe sortate, se obține tot o secvență sortată.

**28.2-2** Demonstrați că o rețea de comparare cu  $n$  intrări sortează corect secvența de intrare  $\langle n, n-1, \dots, 1 \rangle$  numai dacă sortează corect cele  $n-1$  secvențe  $\langle 1, 0, 0, \dots, 0, 0 \rangle, \langle 1, 1, 0, \dots, 0, 0 \rangle, \dots, \langle 1, 1, 1, \dots, 1, 0 \rangle$ .

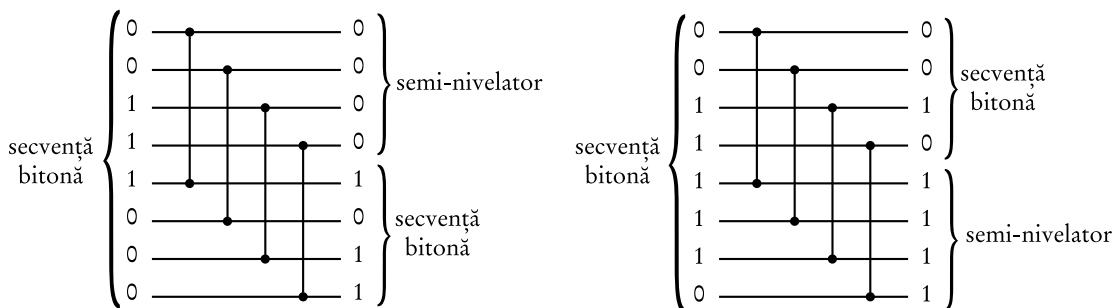
**28.2-3** Folosiți principiul zero-unu pentru a demonstra că rețeaua de comparare din figura 28.6 este o rețea de sortare.

**28.2-4** Enunțați și demonstrați un principiu analog principiului zero-unu pentru modelul arborelui de decizie. (*Indica ie: Atenție la folosirea corectă a egalității.*)

**28.2-5** Demonstrați că o rețea de sortare cu  $n$  intrări trebuie să conțină cel puțin un comparator între liniile  $i$  și  $(i+1)$  pentru orice  $i = 1, 2, \dots, n-1$ .

## 28.3. O rețea de sortare a secvențelor bitone

În construirea unei rețele eficiente de sortare, primul pas este realizarea unei rețele de comparare care sortează orice **secvență bitonă**, secvență care crește monoton, apoi descrește monoton, sau poate fi redusă la o astfel de secvență prin permutări circulare. De exemplu, secvențele  $\langle 1, 4, 6, 8, 3, 2 \rangle, \langle 6, 9, 4, 2, 3, 5 \rangle$  și  $\langle 9, 8, 3, 2, 4, 6 \rangle$  sunt secvențe bitone. Secvențele bitone formate numai din 0-uri și 1-uri au o structură foarte simplă. Ele au forma  $0^i 1^j 0^k$  sau  $1^i 0^j 1^k$  pentru anumite  $i, j, k \geq 0$ . De remarcat că secvențele monoton crescătoare sau monoton descrescătoare sunt și ele secvențe bitone.



**Figura 28.7** Rețeaua de comparare SEMI-NIVELATOR[8]. Se văd diferitele intrări și ieșiri de 0-uri și 1-uri. Un semi-nivelator asigură că în jumătatea de sus a ieșirii elementele nu sunt mai mari decât elementele din jumătatea de jos. Mai mult, ambele jumătăți sunt bitone, și cel puțin una din ele este constantă.

Un sortator bitonic, care va fi construit în continuare, este o rețea de comparare care sortează secvențe bitone formate numai din 0-uri și 1-uri. Exercițiul 28.3-6 cere demonstrarea faptului că un sortator bitonic sortează corect secvențe bitone de numere arbitrate.

### Semi-nivelatorul

Sortatorul bitonic este compus din aşa-numite **semi-nivelatoare**. Fiecare semi-nivelator este o rețea de comparare de adâncime 1, în care linia de intrare  $i$  se compară cu linia  $i + n/2$  pentru  $i = 1, 2, \dots, n/2$ . (Presupunem că  $n$  este par.) Figura 28.7 ne arată un semi-nivelator cu 8 intrări și 8 ieșiri: SEMI-NIVELATOR[8].

Când intrarea unui semi-nivelator este o secvență bitonă formată numai din 0-uri și 1-uri, semi-nivelatorul produce o secvență în care valorile mai mici sunt în jumătatea de sus, iar valorile mai mari în jumătatea de jos. De fapt, cel puțin una din cele două jumătăți este **constantă**, adică conține numai sau 0-uri, sau numai 1-uri, de aici și numele de “semi-nivelator”. (De remarcat că orice secvență constantă este bitonă.) Următoarea lemă demonstrează această proprietate a semi-nivelatoarelor.

**Lema 28.3** Dacă intrarea unui semi-nivelator este o secvență bitonă formată numai din 0-uri și 1-uri, atunci secvența de ieșire are următoarele proprietăți: ambele jumătăți (atât cea de sus cât și cea de jos) sunt bitone, fiecare element din jumătatea de sus este mai mic sau egal cu fiecare element din jumătatea de jos, cel puțin una din cele două jumătăți este constantă.

**Demonstrație.** Rețeaua de comparare SEMI-NIVELATOR[ $n$ ] compară intrările  $i$  și  $i + n/2$  pentru  $i = 1, 2, \dots, n/2$ . Fără a pierde din generalitate, se poate presupune că intrarea are forma  $00\dots011\dots100\dots0$ . (Cazul când intrarea este de forma  $11\dots100\dots011\dots1$  este simetric.) Există trei cazuri posibile depinzând de blocul de 0-uri sau 1-uri consecutive în care se află elementul de mijloc  $n/2$ . Cazul în care acest element de mijloc se află în blocul de 1-uri, se împarte în două subcazuri. Cele patru cazuri sunt arătate în figura 28.8. În toate cazurile lema este adeverată. ■

## Sortatorul bitonic

Combinând recursiv semi-nivelatoare ca în figura 28.9, se poate construi un **sortator bitonic**, care este o rețea care poate sorta secvențe bitone. Prima parte a unui SORTATOR-BITONIC[n] este un SEMI-NIVELATOR[n], care, după lema 28.3, produce două secvențe bitone având dimensiunea jumătate din cea inițială, astfel încât fiecare element din jumătatea de sus este mai mic sau egal cu orice element din jumătatea de jos. Astfel, se poate completa sortarea folosind două copii ale lui SORTATOR-BITONIC[n/2] pentru a sorta recursiv cele două jumătăți. În figura 28.9(a) se poate vedea, explicit, recurența, iar în figura 28.9(b) sunt evidențiate apelurile recursive consecutive, unde se pot vedea semi-nivelatoarele din ce în ce mai mici, care rezolvă sortarea. Adâncimea  $D(n)$  a rețelei SORTATOR-BITONIC[n] este dată de formula recursivă:

$$D(n) = \begin{cases} 0 & \text{dacă } n = 1, \\ D(n/2) + 1 & \text{dacă } n = 2^k \text{ și } k \geq 1, \end{cases}$$

a cărei soluție este  $D(n) = \lg n$ .

Astfel o secvență bitonă de elemente 0 și 1 se poate sorta cu ajutorul unei rețele SORTATOR-BITONIC care are adâncimea  $\lg n$ . Pe baza unui principiu analog cu principiul zero-unu prezentat în exercițiul 28.3-6, rezultă că această rețea poate sorta secvențe bitone de numere arbitrate.

## Exerciții

**28.3-1** Câte secvențe bitone de lungime  $n$  formate numai din 0-uri și 1-uri există?

**28.3-2** Demonstrați că rețeaua SORTATOR-BITONIC[n], unde  $n$  este o putere a lui 2, conține  $\Theta(n \lg n)$  comparațiori.

**28.3-3** Descrieți cum se poate construi un sortator bitonic de adâncime  $O(\lg n)$ , când  $n$  nu este o putere a lui 2.

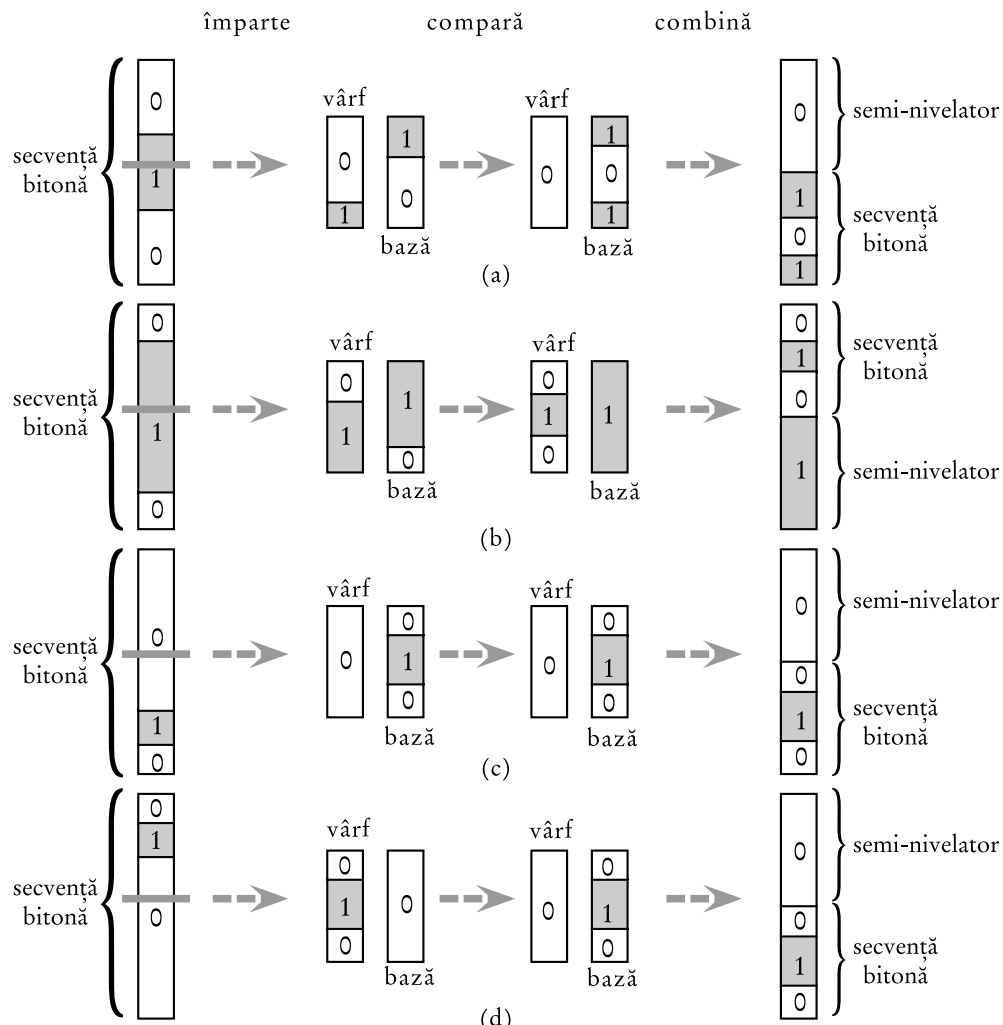
**28.3-4** Dacă intrarea unui semi-nivelator este o secvență bitonă de numere arbitrate, demonstrați că ieșirea satisfac următoarele proprietăți: atât jumătatea de sus, cât și cea de jos sunt bitone și fiecare element din jumătatea de sus este mai mic sau egal cu orice element din jumătatea de jos.

**28.3-5** Se consideră două secvențe de 0-uri și 1-uri. Demonstrați că, dacă fiecare element dintr-o secvență este mai mic sau egal cu orice element din cealaltă secvență, atunci una din cele două secvențe este constantă.

**28.3-6** Demonstrați următorul principiu pentru rețelele de sortare bitonă analog principiului zero-unu: o rețea de comparare, care sortează corect orice secvență bitonă de elemente 0 și 1, sortează corect orice secvență bitonă de numere arbitrate.

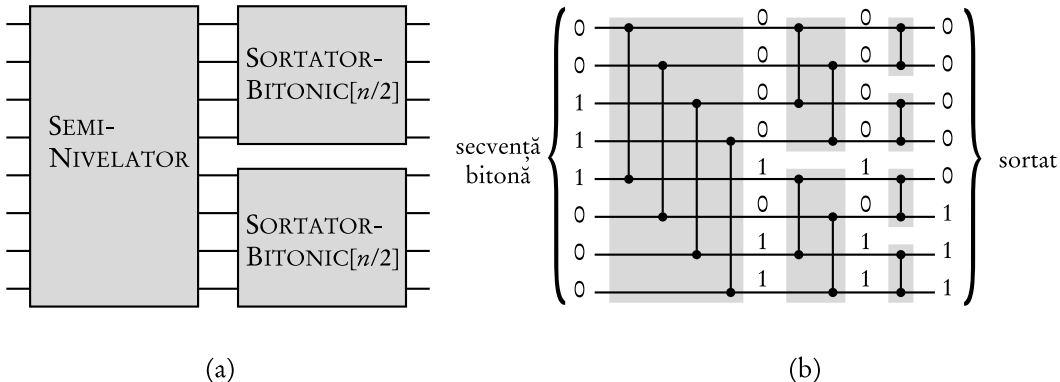
## 28.4. Rețeaua de interclasare

Rețeaua noastră de sortare va fi realizată din **rețele de interclasare** care sunt rețele capabile să interclaseze două secvențe de intrare sortate într-o singură ieșire sortată. Modificăm rețeaua



**Figura 28.8** Comparările posibile în rețeaua SEMI-NIVELATOR[n]. Presupunem că secvența de intrare este bitonă cu elemente 0 și 1, și fără a pierde din generalitate presupunem că această secvență este de forma 00...011...100...0. Subsecvențele formate numai din 0-uri sunt desenate în alb, iar cele formate numai din 1-uri în gri. Cele  $n$  elemente sunt divizate în două și elementele  $i$  și  $i + n/2$  sunt comparate ( $i = 1, 2, \dots, n/2$ ). (a)–(b) Cazurile în care divizarea este la mijlocul secvenței de 1-uri. (c)–(d) Cazurile în care divizarea este la mijlocul secvenței de 0-uri. În toate cazurile, fiecare element din jumătatea de sus este mai mic sau egal cu orice element din jumătatea de jos. Ambele jumătăți sunt bitone și cel puțin una din cele două jumătăți este constantă.

SORTATOR-BITONIC[n] pentru a obține o rețea INTERCLASOR[n]. Ca și în cazul sortatorului bitonic, vom demonstra corectitudinea rețelei de interclasare pentru secvențe de intrare formate numai din 0-uri și 1-uri. În exercițiul 28.4-1 se cere extinderea demonstrației pentru secvențe



**Figura 28.9** Rețeaua de comparare SORTATOR-BITONIC[ $n$ ] pentru  $n = 8$ . **(a)** Construcția recursivă: SEMI-NIVELATOR[ $n$ ] urmat de două copii ale lui SORTATOR-BITONIC[ $n/2$ ] care lucrează în paralel. **(b)** Rețeaua după desfășurarea apelurilor recursive. Semi-nivelatoarele sunt hașurate. Pe fire sunt trecute ca exemple elemente 0 și 1.

arbitrare.

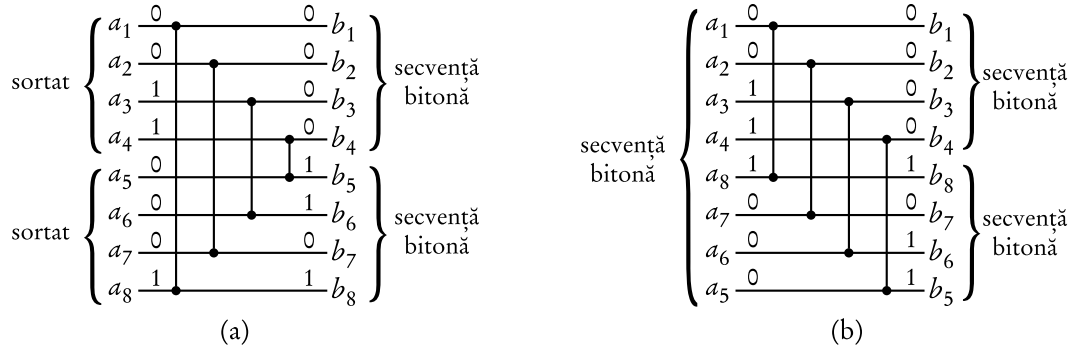
Rețeaua de interclasare se bazează pe următoarea observație. Dacă avem două secvențe sortate, inversăm ordinea elementelor din cea de a doua și le concatenăm, obținând astfel o secvență bitonă. De exemplu, fiind date secvențele sortate  $X = 00000111$  și  $Y = 00001111$ , după inversarea lui  $Y$ , obținem  $Y^R = 11110000$ . Concatenând  $X$  cu  $Y^R$  se obține secvența  $000001111110000$ , care evident este o secvență bitonă. Deci, pentru a interclasă două secvențe de intrare  $X$  și  $Y$ , este suficientă o sortare bitonă pe secvența concatenată  $X$  cu  $Y^R$ .

Se poate realiza rețeaua INTERCLASOR $[n]$  prin modificarea primului semi-nivelator din SORTATOR-BITONIC $[n]$ . Esențial este de a inversa, implicit, a doua jumătate a intrării. Fiind date două secvențe de intrare sortate  $\langle a_1, a_2, \dots, a_{n/2} \rangle$  și  $\langle a_{n/2+1}, a_{n/2+2}, \dots, a_n \rangle$  care trebuie interclasate, ne interesează efectul sortării bitone a secvenței  $\langle a_1, a_2, \dots, a_{n/2}, a_n, a_{n-1}, \dots, a_{n/2+1} \rangle$ . Deoarece semi-nivelatorul rețelei SORTATOR-BITONIC $[n]$  compară intrările  $i$  și  $(n/2+i)$  pentru  $i = 1, 2, \dots, n/2$ , proiectăm prima etapă a rețelei de interclasare astfel încât să compare intrările  $i$  și  $n-i+1$ . Figura 28.10 ilustrează corespondența. Singura subtilitate este că elementele de ieșire în partea de jos a primei etape a rețelei SORTATOR $[n]$  sunt comparate în ordine inversă față de semi-nivelatorul inițial. Deoarece inversa unei secvențe bitone este tot bitonă, atât partea de sus cât și cea de jos a ieșirii primei etape a rețelei de interclasare satisfac condițiile lemei 28.3, și, astfel, atât partea de sus cât și partea de jos pot fi sortate în paralel pentru a produce ieșirea sortată a rețelei de interclasare.

Rețeaua de interclasare rezultată este ilustrată în figura 28.11. Numai prima etapă a rețelei  $\text{INTERCLASOR}[n]$  diferă de  $\text{SORTATOR-BITONIC}[n]$ . În consecință, adâncimea rețelei  $\text{INTERCLASOR}[n]$  este  $\lg n$ , adică aceeași ca la  $\text{SORTATOR-BITONIC}[n]$ .

## Exerciții

**28.4-1** Demonstrați un principiu analog principiului zero-unu pentru rețele de interclasare. Mai precis, arătați că, dacă o rețea de comparare poate interclasă două secvențe monoton crescătoare formate numai din 0-uri și 1-uri, atunci poate interclasă orice alte două secvențe monoton



**Figura 28.10** Compararea primei etape a rețelei  $\text{INTERCLASOR}[n]$  cu cea a rețelei  $\text{SEMI-NIVELATOR}[n]$  pentru  $n = 8$ . (a) Prima etapă a lui  $\text{INTERCLASOR}[n]$  transformă cele două secvențe monotone de intrare  $\langle a_1, a_2, \dots, a_{n/2} \rangle$  și  $\langle a_{n/2+1}, a_{n/2+2}, \dots, a_n \rangle$  în secvențe bitone  $\langle b_1, b_2, \dots, b_{n/2} \rangle$  și  $\langle b_{n/2+1}, b_{n/2+2}, \dots, b_n \rangle$ . (b) Operațiile echivalente ale rețelei  $\text{SEMI-NIVELATOR}[n]$ . Secvența bitonă de intrare  $\langle a_1, a_2, \dots, a_{n/2-1}, a_{n/2}, a_n, a_{n-1}, \dots, a_{n/2+2}, a_{n/2+1} \rangle$  este transformată în două secvențe bitone  $\langle b_1, b_2, \dots, b_{n/2} \rangle$  și  $\langle b_n, b_{n-1}, \dots, b_{n/2+1} \rangle$ .

crescătoare de numere arbitrară.

**28.4-2** Câte secvențe de intrare diferite, formate numai din 0-uri și 1-uri, trebuie aplicate la intrarea unei rețele de comparare pentru a verifica dacă este o rețea de interclasare?

**28.4-3** Demonstrați că o rețea oarecare, care poate interclasă un element cu  $n - 1$  elemente sortate, pentru a produce o secvență sortată cu  $n$  elemente, trebuie să aibă adâncimea cel puțin  $\lg n$ .

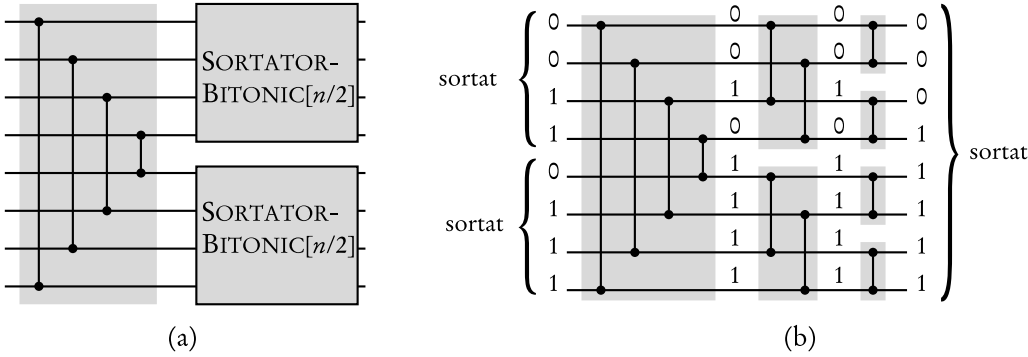
**28.4-4 \*** Se consideră o rețea de interclasare cu intrările  $a_1, a_2, \dots, a_n$ , unde  $n$  este o putere a lui 2 și în care cele două secvențe, care trebuie sortate, sunt  $\langle a_1, a_3, \dots, a_{n-1} \rangle$  și  $\langle a_2, a_4, \dots, a_n \rangle$ . Demonstrați că în astfel de rețele de interclasare numărul comparatorilor este  $\Omega(n \lg n)$ . De ce este interesantă această margine inferioară? (*Indica ie:* Să se partioneze comparatorii în trei multimi.)

**28.4-5 \*** Demonstrați că orice rețea de interclasare, indiferent de ordinea intrărilor, necesită  $\Omega(n \lg n)$  comparatori.

## 28.5. Rețeaua de sortare

Avem acum la dispoziție toate elementele necesare realizării unei rețele care poate sorta orice secvență de intrare. Rețeaua de sortare  $\text{SORTATOR}[n]$  folosește rețeaua de interclasare pentru a implementa o versiune paralelă a algoritmului de sortare prin interclasare din secțiunea 1.3.1. Construirea și modul de funcționare ale rețelei de sortare sunt ilustrate în figura 28.12.

Figura 28.12(a) ilustrează construirea recursivă a rețelei  $\text{SORTATOR}[n]$ . Cele  $n$  elemente de intrare sunt sortate recursiv de două copii ale rețelei  $\text{SORTATOR}[n/2]$ , care sortează fiecare



**Figura 28.11** O rețea care interclasează două secvențe de intrare sortate într-o singură secvență de ieșire sortată. Rețeaua INTERCLASOR $[n]$  poate fi privită ca o rețea SORTATOR-BITONIC $[n]$  în care primul semi-nivelator este modificat astfel încât să compare intrările  $i$  și  $n - i + 1$  pentru  $i = 1, 2, \dots, n/2$ . Aici  $n = 8$ . (a) Prima parte a rețelei este urmată de două copii paralele ale rețelei SORTATOR-BITONIC $[n/2]$ . (b) Aceeași rețea după desfășurarea apelului recursiv. Pe fire sunt trecute exemple de valori zero-unu, iar etapele sunt hașurate.

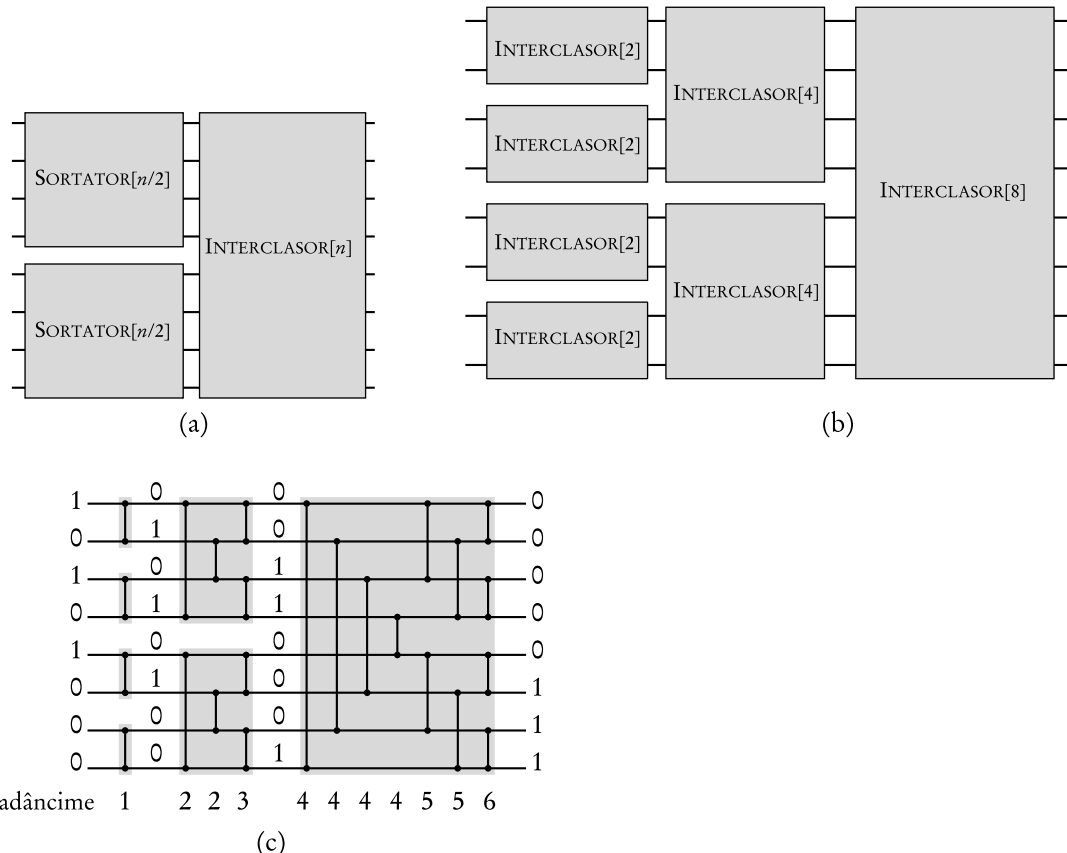
$n/2$  elemente în paralel. Cele două secvențe sunt, pe urmă, interclasate de INTERCLASOR $[n]$ . Condiția de oprire este  $n = 1$ , când se poate folosi un singur fir pentru a sorta o secvență de 1 element, deoarece această secvență este deja sortată. Figura 28.12(b) ilustrează rezultatul desfășurării apelului recursiv, iar figura 28.12(c) ilustrează rețeaua obținută prin înlocuirea modulelor INTERCLASOR din figura 28.12(b) cu rețelele de interclasare corespunzătoare.

Datele în rețeaua SORTATOR $[n]$  trec prin  $\lg n$  etape. Fiecare intrare individuală în rețea este o secvență de lungime 1 deja sortată. Prima etapă a rețelei SORTATOR $[n]$  este formată din  $n/2$  copii de rețele INTERCLASOR $[2]$ , care sortează în paralel secvențe de lungime 1 pentru a obține secvențe de lungime 2. A doua etapă este formată din  $n/4$  copii ale rețelei INTERCLASOR $[4]$ , care interclasează perechi de secvențe de lungime 2 pentru a obține secvențe de lungime 4. În general, pentru  $k = 1, 2, \dots, \lg n$ , etapa  $k$  este formată din  $n/2^k$  copii ale rețelei INTERCLASOR $[2^k]$  care interclasează perechi de secvențe de lungime  $2^{k-1}$  pentru a obține secvențe de lungime  $2^k$ . În etapa finală, se obține o singură secvență sortată din toate elementele de intrare. Se poate demonstra prin inducție că această rețea de sortare sortează secvențele zero-unu, și, astfel, pe baza principiului zero-unu (teorema 28.2), sortează secvențe de valori arbitrară.

Adâncimea unei rețele de sortare poate fi studiată recursiv. Adâncimea  $D(n)$  a rețelei SORTATOR $[n]$  este adâncimea  $D(n/2)$  a rețelei SORTATOR $[n/2]$  (există două copii ale lui SORTATOR $[n/2]$ , dar ele lucrează în paralel) plus adâncimea  $\lg n$  a rețelei INTERCLASOR $[n]$ . Deci, adâncimea rețelei SORTATOR $[n]$  este dată de formula de recurență:

$$D(n) = \begin{cases} 0 & \text{dacă } n = 1, \\ D(n/2) + \lg n & \text{dacă } n = 2^k \text{ și } k \geq 1, \end{cases}$$

a cărei soluție este  $D(n) = \Theta(\lg^2 n)$ . Deci,  $n$  numere pot fi sortate în paralel în  $O(\lg^2 n)$  unități de timp.



**Figura 28.12** Rețeaua de sortare  $SORTATOR[n]$  construită prin combinarea recursivă a rețelelor de interclasare. (a) Construirea recursivă. (b) Desfășurarea recursivă. (c) Înlocuirea modulelor  $INTERCLASOR$  cu rețelele de interclasare corespunzătoare. S-a indicat adâncimea fiecărui comparator și s-au folosit exemple de valori 0 și 1 pe fire.

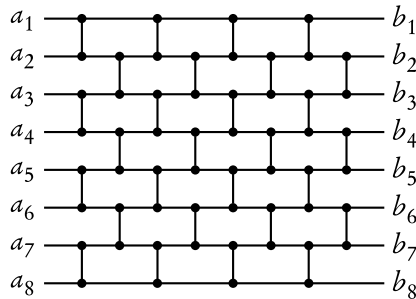
### Exerciții

**28.5-1** Câți comparațiori există în  $SORTATOR[n]$ ?

**28.5-2** Demonstrați că adâncimea rețelei  $SORTATOR[n]$  este exact  $(\lg n)(\lg n + 1)/2$ .

**28.5-3** Presupunem că modificăm un comparațor astfel încât să primească la intrare două secvențe sortate, de căte  $k$  elemente fiecare, și să furnizeze la ieșirea “max” cele mai mari  $k$  elemente, și la ieșirea “min” cele mai mici  $k$  elemente. Arătați că o rețea de sortare cu  $n$  intrări, care are astfel de comparațori modificati, poate sorta  $nk$  numere, în ipoteza că fiecare intrare a rețelei este o listă sortată de lungime  $k$ .

**28.5-4** Se dău  $2n$  elemente  $\langle a_1, a_2, \dots, a_{2n} \rangle$ , pe care dorim să le partaționăm în  $n$  cele mai mari și  $n$  cele mai mici elemente. Arătați că acest lucru se poate face în timp constant după ce am sortat separat secvențele  $\langle a_1, a_2, \dots, a_n \rangle$  și  $\langle a_{n+1}, a_{n+2}, \dots, a_{2n} \rangle$ .



**Figura 28.13** O rețea de sortare pară-impară cu 8 intrări.

**28.5-5** \* Fie  $S(k)$  adâncimea unei rețele de sortare cu  $k$  intrări, iar  $M(k)$  adâncimea unei rețele de interclasare cu  $2k$  intrări. Să presupunem că avem de sortat o secvență de  $n$  numere și să stim că fiecare element este într-o poziție care diferă în cel mult  $k$  poziții de poziția lui corectă în secvența sortată. Arătați că se pot sorta  $n$  numere cu adâncimea  $S(k) + 2M(k)$ .

**28.5-6** \* Elementele unei matrice de  $m \times m$  pot fi ordonate prin repetarea de  $k$  ori a următoarei proceduri:

1. Se sortează monoton crescător elementele fiecărei linii impare.
2. Se sortează monoton descrescător elementele fiecărei linii pare.
3. Se sortează monoton crescător elementele fiecărei coloane.

Cât este numărul de iterații  $k$  pentru ca procedura de mai sus să sorteze elementele matricei și cum arată matricea?

## Probleme

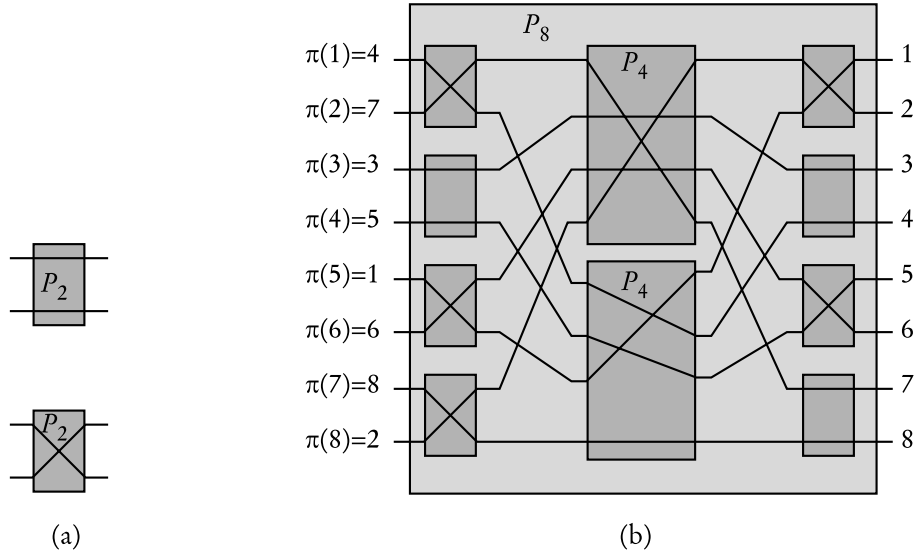
### 28-1 Rețele de sortare de transpoziții

O rețea de comparare este o *rețea de transpoziții* dacă fiecare comparator conectează linii adiacente, ca în rețeaua din figura 28.3.

- a. Demonstrați că o rețea de transpoziții cu  $n$  intrări care sortează are  $\Omega(n^2)$  comparatori.
- b. Demonstrați că o rețea de transpoziții cu  $n$  intrări este o rețea de sortare dacă, și numai dacă, sortează secvența  $\langle n, n-1, \dots, 1 \rangle$ . (Indica ie: Să se folosească un argument asemănător celui din lema 28.1.)

O *rețea de sortare pară-impară* cu  $n$  intrări  $\langle a_1, a_2, \dots, a_n \rangle$  are  $n$  niveluri de comparatori. Figura 28.13 ilustrează o rețea de transpoziții pară-impară cu 8 intrări. Conform figurii, pentru  $i = 1, 2, \dots, n$  și  $d = 1, 2, \dots, n$  linia  $i$  este conectată la linia  $j = i + (-1)^{i+d}$  printr-un comparator cu adâncimea  $d$ , dacă  $1 \leq j \leq n$ .

- c. Demonstrați că familia rețelelor de sortare pară-impară este de fapt o familie de rețele de sortare.



**Figura 28.14** Rețea de permutări. (a) Rețeaua de permutări  $P_2$  compusă dintr-un singur comutator, care are două poziții, ca în figură. (b) Construcția recursivă a rețelei  $P_8$  compusă din 8 comutatori și două rețele  $P_4$ . Comutatorii rețelei  $P_4$  sunt setați pentru a realiza permutarea  $\pi = \langle 4, 7, 3, 5, 1, 6, 8, 2 \rangle$ .

### 28-2 Rețeaua de interclasare pară-impară a lui Batcher

În secțiunea 28.4 am văzut cum se poate construi o rețea de interclasare pornind de la sortare bitonă. În această problemă vom construi o **rețea de interclasare pară-impară**. Presupunem că  $n$  este o putere a lui 2, și dorim să interclasăm secvențele sortate de pe liniile  $\langle a_1, a_2, \dots, a_n \rangle$  cu cele de pe liniile  $\langle a_{n+1}, a_{n+2}, \dots, a_{2n} \rangle$ . Construim recursiv două rețele de interclasare pară-impară care interclasează subsecvențele sortate în paralel. Prima rețea interclasează secvența de pe liniile  $\langle a_1, a_3, \dots, a_{n-1} \rangle$  cu secvența de pe liniile  $\langle a_{n+1}, a_{n+3}, \dots, a_{2n-1} \rangle$  (elementele impare). A doua rețea interclasează elementele  $\langle a_2, a_4, \dots, a_n \rangle$  cu elementele  $\langle a_{n+2}, a_{n+4}, \dots, a_{2n} \rangle$  (elemente parele). Pentru a interclasă cele două secvențe sortate punem câte un comparator între  $a_{2i-1}$  și  $a_{2i}$  pentru  $i = 1, 2, \dots, n$ .

- Desenați o rețea de interclasare cu  $2n$  intrări pentru  $n = 4$ .
- Folosiți principiul zero-unu pentru a demonstra că o rețea de interclasare pară-impară cu  $2n$  intrări este de fapt o rețea de sortare.
- Cât este adâncimea unei rețele de interclasare pară-impară cu  $2n$  intrări?

### 28-3 Rețele de permutări

O **rețea de permutări** cu  $n$  intrări și  $n$  ieșiri are comutatori care permit conectarea intrărilor cu ieșirile după toate permutările lui  $n$ ! Figura 28.14(a) arată o rețea de permutări  $P_2$  cu 2 intrări și 2 ieșiri care are un singur comutator care permite ca intrările să fie legate cu ieșirile direct sau în cruce.

- a. Arătați că, dacă înlocuim, într-o rețea de sortare, fiecare comparator cu câte un comutator de tipul celui din figura 28.14(a), atunci rețeaua devine o rețea de permutare. Adică, pentru orice permutare  $\pi$  există un mod de a lega intrarea  $i$  cu ieșirea  $\pi(i)$ .

Figura 28.14(b) ilustrează construcția recursivă a unei rețele de permutări  $P_8$  cu 8 intrări și 8 ieșiri, care folosește două copii ale lui  $P_4$  și 8 comutatori. Comutatorii sunt setați pentru a realiza permutarea  $\pi = \langle \pi(1), \pi(2), \dots, \pi(8) \rangle = \langle 4, 7, 3, 5, 1, 6, 8, 2 \rangle$  și vor solicita (recursiv) ca partea de sus a lui  $P_4$  să realizeze  $\langle 4, 2, 3, 1 \rangle$ , iar partea de jos  $\langle 2, 3, 1, 4 \rangle$ .

- b. Arătați cum se poate realiza permutarea  $\langle 5, 3, 4, 6, 1, 8, 2, 7 \rangle$  cu  $P_8$ , trasând poziționarea comutatorilor și permutările realizate de cele două  $P_4$ . Fie  $n$  o putere a lui 2. Să se definească recursiv  $P_n$  cu ajutorul a două rețele  $P_{n/2}$ , asemănător cazului  $P_8$ .
- c. Scrieți un algoritm (RAM obișnuit), de complexitate  $O(n)$ , care poziționează cei  $n$  comutatori care sunt legați la intrările și ieșirile lui  $P_n$  și specifică permutările fiecărei  $P_{n/2}$  pentru a realiza permutarea cerută a celor  $n$  elemente. Demonstrați că algoritmul descris este corect.
- d. Cât este adâncimea și dimensiunea rețelei  $P_n$ ? Cât durează pe o mașină RAM obișnuită calculul tuturor poziționărilor comutatorilor, inclusiv și pe cele din  $P_{n/2}$ ?
- e. Pentru  $n > 2$  arătați că orice rețea de permutări – nu numai  $P_n$  – pentru realizarea permutărilor, necesită două poziționări distincte ale comutatorilor.

## Note bibliografice

Knuth [123] discută, pe larg, rețelele de sortare și descrie istoricul lor. Se pare că rețelele de sortare au fost discutate prima dată de P. N. Armstrong, R. J. Nelson și D. J. O'Connor în 1954. La începutul anilor 1960, K. E. Batcher a descoperit prima rețea capabilă să interclaszeze două secvențe de  $n$  numere în  $O(\lg n)$  unități de timp. El a utilizat interclasarea de tip par-impar (problema 28-2), și, de asemenea, a demonstrat cum poate fi utilizată această tehnică pentru a sorta  $n$  numere în  $O(\lg^2 n)$  unități de timp. Nu peste mult timp, tot el a descoperit un algoritm de sortare bitonă de adâncime  $O(\lg n)$ , similar celui din secțiunea 28.3. Knuth atribuie principiul zero-unu lui W. G. Bouricius (1954), cel care a demonstrat acest principiu pentru arbori de decizie.

Mult timp a fost o problemă deschisă, dacă există o rețea de sortare de adâncime  $O(\lg n)$ . În 1983, la această întrebare, s-a dat un răspuns pozitiv, dar nu tocmai satisfăcător. Rețeaua de sortare AKS (numită după autorii ei Ajtai, Komlós și Szemerédi [8]) poate sorta  $n$  numere, având adâncimea  $O(\lg n)$  și folosind  $O(n \lg n)$  comparatori. Dar constantele ascunse în  $O$ -notația sunt foarte mari (multe, multe mii), și deci metoda, practic, nu poate fi folosită.

---

## 29 Circuite aritmetice

Orice model actual de calculator presupune că operațiile aritmetice de bază: adunare, scădere, înmulțire și împărțire se pot executa în timp constant. Această ipoteză este rezonabilă deoarece operațiile efectuate pe o mașină obișnuită solicită consumuri de resurse (costuri) similare. Când se proiectează circuitele pentru aceste operații se constată că performanțele lor depind de dimensiunea (numărul de cifre binare ale) operanzilor. De exemplu, se știe că două numere naturale de câte  $n$  cifre zecimale se adună în  $\Theta(n)$  pași (deși profesorii de obicei nu pun în evidență acest număr de pași).

În acest capitol sunt prezentate circuite care execută operații aritmetice. Cu procese seriale, cel mai bun timp asimptotic pentru astfel de operații pe  $n$  biți este de  $\Theta(n)$ . Cu circuite care operează în paralel, se obțin desigur rezultate mai bune. În cele ce urmează, vom prezenta circuite rapide pentru adunare și înmulțire. (Scăderea este, în esență, la fel cu adunarea, iar împărțirea va fi tratată în problema 29-1. Vom presupune că toate datele de intrare sunt numere binare de câte  $n$  biți.

În secțiunea 29.1 prezentăm circuite combinaționale. Vom constata că adâncimea acestor circuite corespunde cu “timpul lor de execuție”. Sumatorul complet, care este un bloc de bază în cele mai multe circuite prezentate în acest capitol, constituie primul exemplu de circuit combinațional. În secțiunea 29.2 sunt prezentate două circuite combinaționale pentru adunare: sumator cu transport propagat, care lucrează în timp  $\Theta(n)$ , și sumator cu transport anticipat, care lucrează într-un timp de numai  $O(\lg n)$ . Se mai prezintă sumatorul cu transport salvat, care reduce problema însumării a trei numere la problema însumării a două numere în timp  $\Theta(1)$ . În secțiunea 29.3 sunt prezentate două circuite combinaționale de înmulțire: multiplicatorul matriceal care lucrează într-un timp  $\Theta(n)$  și multiplicatorul arborescent Wallace, care necesită un timp  $\Theta(\lg n)$ . În sfârșit, secțiunea 29.4 prezintă circuitele cu un registru de memorare a elementelor de ceas și arată cum se poate reduce hardware-ul necesar reutilizând circuitele combinaționale.

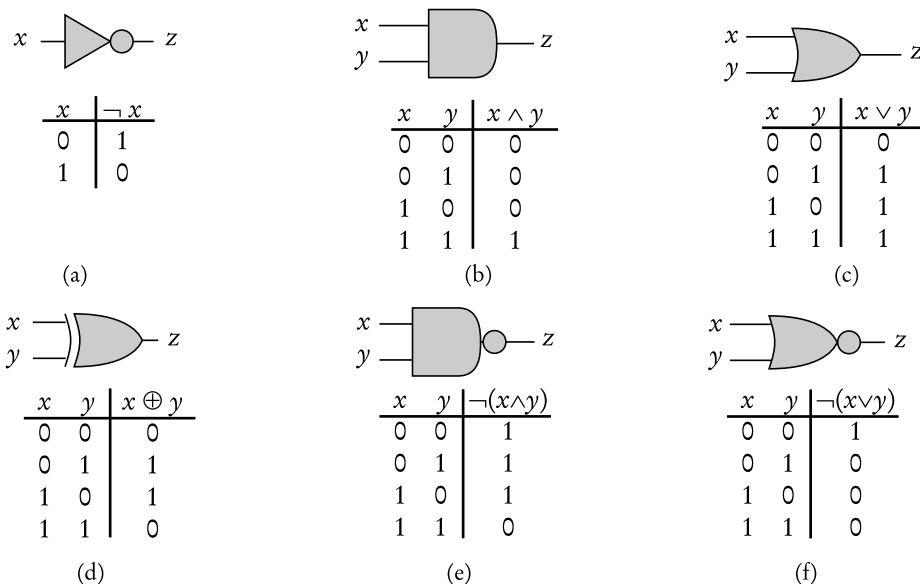
---

### 29.1. Circuite combinaționale

Similar cu ceea ce s-a prezentat în capitolul 28, circuitele combinaționale operează în **paralel**: multe elemente pot fi calculate simultan, într-un singur pas. În această secțiune vom defini circuitele combinaționale și vom investiga modul în care circuitele mari pot fi realizate din circuite poartă elementare.

#### Elemente combinaționale

În calculatoarele reale, circuitele aritmetice sunt fabricate din elemente combinaționale conectate între ele prin fire. Un **element combinațional** este orice element de circuit care are un număr constant de intrări și ieșiri și efectuează o funcție bine definită. Unele dintre elementele definite sunt **elemente combinaționale booleene**, intrările și ieșirile lor fiind din mulțimea  $\{0, 1\}$ , 0 reprezentând FALSE și 1 reprezentând ADEVĂRAT.



**Figura 29.1** Șase porți logice de bază, cu intrările și ieșirile binare. Sub fiecare poartă este prezentat tabelul de adevăr care îi descrie funcționarea. (a) Poarta NOT. (b) Poarta AND. (c) Poarta OR. (d) Poarta XOR (SAU-exclusiv). (e) Poarta NAND (NOT-AND). (f) Poarta NOR (NOT-OR).

Un element combinațional care calculează valoarea unei funcții booleene simple este numit **poartă logică**. În figura 29.1 sunt prezentate cele patru porți logice care vor fi folosite în acest capitol: **poarta NOT** (sau *inversor*), **poarta AND**, **poarta OR** și **poarta XOR**. (Mai sunt prezentate **porțile NAND** și **NOR**, folosite în unele exerciții.) Poarta NOT primește o singură **intrare** binară  $x$ , cu una dintre valorile 0 sau 1, și produce **ieșirea** binară  $z$  care este opusă intrării. Fiecare dintre celelalte porți primește câte două intrări  $x$  și  $y$  și produce, la ieșire, o valoare binară  $z$ .

Modul de operare al fiecărei porți și al fiecărui element combinațional poate fi descris printr-un **tabel de adevăr**, ilustrat în figura 29.1 sub fiecare poartă. Un astfel de tabel de adevăr produce ieșirea pentru fiecare combinație de intrări posibile. De exemplu, tabelul de adevăr pentru funcția XOR arată că intrarea  $x = 0$  și  $y = 1$  produce ieșirea  $z = 1$ ; calculează deci “SAU exclusiv” între cele două valori. Prin simbolul  $\neg$  vom nota funcția NOT, prin  $\wedge$  funcția AND, prin  $\vee$  funcția OR, iar prin  $\oplus$  funcția XOR. Astfel, spre exemplu,  $0 \oplus 1 = 1$ .

Elementele combinaționale din circuitele reale nu operează instantaneu. O dată fixate valorile de intrare ale elementelor, acestea devin **instalate** (devin **stabile**): aceasta înseamnă că ele stau în această stare un timp suficient de îndelungat, deci se garantează că valoarea de ieșire este stabilă un anumit timp. Vom numi acest timp **coadă de propagare**. În acest capitol vom presupune că toate elementele combinaționale au așteptarea de propagare constantă.

## Circuite combinaționale

Un **circuit combinațional** constă dintr-una sau mai multe elemente combinaționale interconectate într-o manieră aciclică. Întreconectările sunt numite **firi**. Un fir poate să conecteze

ieșirea unui element la intrarea unui alt element combinațional. Astfel, fiecare fir este o ieșire a unui singur element, dar poate fi intrare pentru unul sau mai multe elemente. Numărul de ieșiri ale unui fir poartă numele de **evantai de ieșire**. Dacă la un fir nu se conectează nici un element de ieșire, atunci circuitul se cheamă **circuit de intrare**, de la care sunt acceptate intrări din surse exterioare. În mod similar, dacă la un fir nu este conectat nici un element de intrare, atunci firul este numit **circuit de ieșire**, care furnizează rezultate pentru destinații exterioare. Este, de asemenea, posibil ca un fir interior să furnizeze, prin evantai, intrare spre exterior. Circuitele combinaționale nu conțin cicluri și nici nu au memorie (cum ar fi regiștrii descriși în secțiunea 29.4).

### Sumatoare complete

În figura 29.2 este prezentat un circuit combinațional care realizează **adunare completă** pentru o poziție. Intrarea este compusă din trei biți:  $x$ ,  $y$  și  $z$ , iar ieșirea este compusă din doi biți:  $s$  și  $c$ , în concordanță cu următorul tabel de adevăr:

| $x$ | $y$ | $z$ | $c$ | $s$ |
|-----|-----|-----|-----|-----|
| 0   | 0   | 0   | 0   | 0   |
| 0   | 0   | 1   | 0   | 1   |
| 0   | 1   | 0   | 0   | 1   |
| 0   | 1   | 1   | 1   | 0   |
| 1   | 0   | 0   | 0   | 1   |
| 1   | 0   | 1   | 1   | 0   |
| 1   | 1   | 0   | 1   | 0   |
| 1   | 1   | 1   | 1   | 1   |

Ieșirea  $s$  constituie **bitul de paritate** pentru intrări (cifra curentă a sumei):

$$s = \text{paritate}(x, y, z) = x \oplus y \oplus z, \quad (29.1)$$

iar ieșirea  $c$  este ieșirea de **majoritate** (cifra de transport la rangul următor):

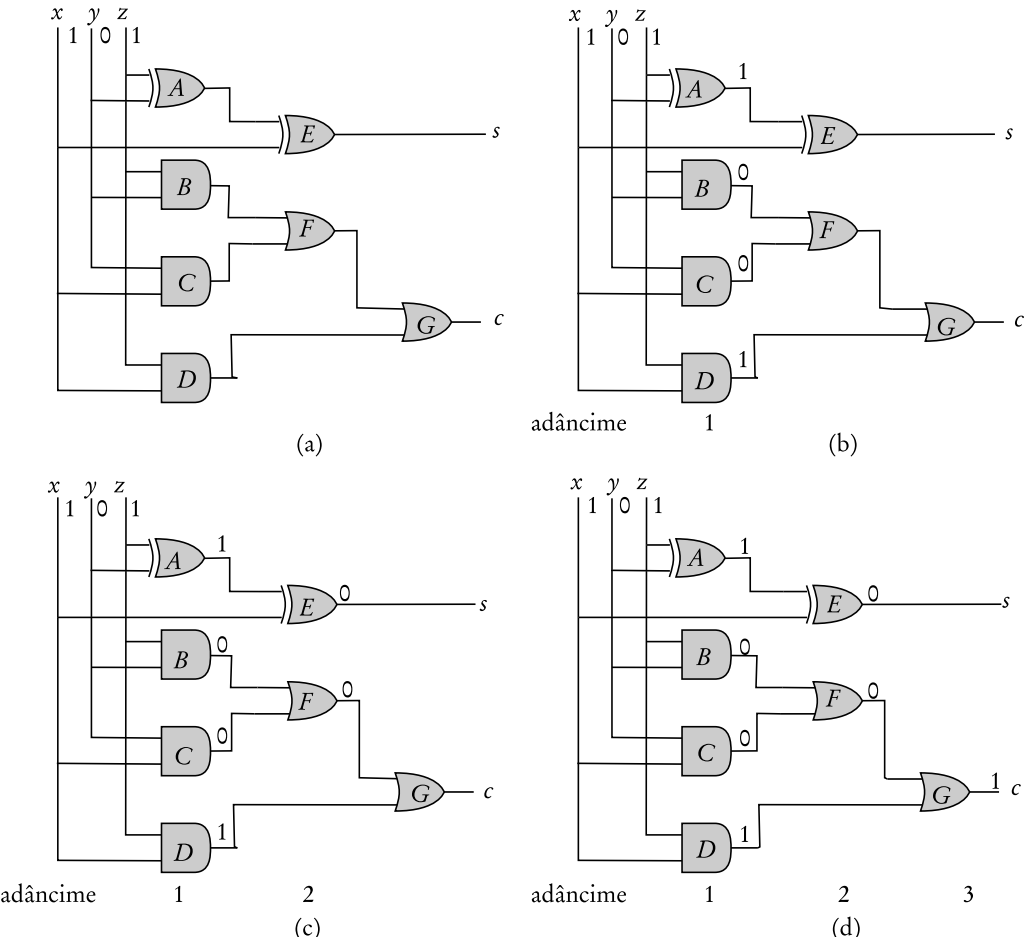
$$c = \text{majoritate}(x, y, z) = (x \wedge y) \vee (y \wedge z) \vee (x \wedge z). \quad (29.2)$$

(În general, funcțiile de paritate și majoritate pot avea la intrare un număr oarecare de biți. Paritatea este 1 dacă și numai dacă numărul de biți 1 este impar, iar majoritatea este 1 dacă și numai dacă mai mult de jumătate din biți au valoarea 1.) Biții  $c$  și  $s$ , luati împreună, realizează suma bițiilor  $x, y, z$ . De exemplu, dacă  $x = 1, y = 0, z = 1$ , atunci  $\langle c, s \rangle = \langle 10 \rangle$ ,<sup>1</sup> care este reprezentarea în binar a numărului 2, adică suma bițiilor  $x, y, z$ .

Fiecare dintre intrările  $x, y, z$  are un evantai de ieșire egal cu 3. Când operația executată de un element combinațional este una comutativă și asociativă (așa cum sunt AND, OR și XOR), vom numi intrările lui **evantai de intrare**. Astfel, evantai de intrare al fiecarei porți din figura 29.2 este 2, prin urmare putem înlocui porțile XOR  $A$  și  $E$  printr-o singură poartă XOR cu evantai de intrare 3. De asemenea, porțile  $F$  și  $G$  pot fi înlocuite printr-o singură poartă OR cu trei intrări.

Pentru a constata modul de funcționare al sumatorului complet, vom presupune că fiecare poartă operează într-o unitate de timp. În figura 29.2(a) se arată setul de intrări care sunt stabilite la momentul 0. Doar porțile  $A-D$  au, la intrare, aceste mărimi; după aceea, produc în paralel, la

<sup>1</sup>Pentru claritate, omitem virgulele dintre elementele sirului, atunci când acestea sunt biți.



**Figura 29.2** Un circuit sumator complet. (a) La momentul 0, intrările apar la cele trei fire de intrare. (b) La momentul 1, apar valorile la ieșirile din portile  $A$ - $D$  care au adâncimea 1. (c) La momentul 2 apar valorile la ieșirile portilor  $E$  și  $F$  de adâncime 2. (d) La momentul 3 produce ieșire poarta  $G$  și se realizează ieșirile circuitului.

momentul 1, valorile din figura 29.2(b). Portile  $E$  și  $F$ , dar nu și  $G$ , au la momentul 1, intrarea stabilă și produc, la momentul 2, valorile din figura 29.2(c). Ieșirea din poarta  $E$  este bitul  $s$ , deci ieșirea  $s$  este gata la momentul 2. Pentru ieșirea  $c$ , mai este nevoie de acțiunea portii  $G$  care creează, la momentul 3, valoarea lui  $c$ , așa cum se vede în figura 29.2(d).

### Adâncimea circuitului

În același mod în care s-au comparat rețelele în capitolul 28, măsurăm coada de propagare a circuitului combinațional în funcție de cel mai mare număr de circuite combinaționale aflate pe un drum de la intrări la ieșiri. Astfel, **adâncimea** unui circuit este numărul de circuite aflate pe cea mai lungă ramură care compune circuitul. Ea corespunde “timpului de execuție” în

cazul cel mai defavorabil. Adâncimea firului de intrare este 0. Dacă un circuit combinațional are elementele de intrare  $x_1, x_2, \dots, x_n$  de adâncimi  $d_1, d_2, \dots, d_n$ , atunci adâncimea ieșirii lui este  $\max\{d_1, d_2, \dots, d_n\} + 1$ . (Adâncimea unui circuit combinațional este dată de maximul adâncimilor ieșirilor lui). Deoarece sunt interzise ciclurile în circuitele combinaționale, acest mod de definire este corect.

Dacă fiecare element combinațional are un timp constant de calcul al ieșirii, atunci coada de propagare este proporțională cu adâncimea lui. În figura 29.2 sunt prezentate adâncimile fiecărei porți și sumatorului complet. Deoarece poarta cu cea mai mare adâncime este  $G$ , circuitul complet are adâncimea 3, proporțională cu timpul cel mai defavorabil de calcul al acestei funcții.

Uneori, un circuit combinațional poate să calculeze într-un timp mai bun decât adâncimea lui. Presupunem că un subcircuit AND așteaptă prima linie în adâncime, dar a doua intrare în AND are valoarea 0. Ieșirea din poarta AND dă, automat, ieșirea 0, independent de valoarea intrării așteptate. Evident că nu se poate conta întotdeauna pe o astfel de situație, motiv pentru care este rezonabil să utilizăm adâncimea ca măsură a timpului de execuție.

## Dimensiune circuit

Noțiunea de **dimensiune** este o altă măsură folosită, pe lângă adâncimea circuitului pe care, de regulă, dorim să minimizăm în proiectarea circuitelor. Ea reprezintă numărul de elemente combinaționale conținute în circuit. De exemplu, sumatorul din figura 29.2 are dimensiunea 7 deoarece folosește 7 porți.

Această măsură se folosește rar la circuite mici. Deoarece un sumator are un număr constant de intrări și de ieșiri și calculează o funcție bine definită, acesta corespunde definiției circuitului combinațional. Astfel de circuite pot fi considerate ca având toate dimensiunea 1. De fapt, conform acestei definiții, orice element combinațional are dimensiunea 1.

Noțiunea este aplicată familiilor de circuite care calculează mai multe funcții similare. Ne referim, de exemplu, la situații când avem circuite sumatoare care adună numere de câte  $n$  biți. Aici nu vorbim despre un singur circuit, ci despre familiile de circuite, câte unul pentru fiecare poziție binară calculată.

În acest context, definirea dimensiunii capătă un sens practic. Este, astfel, permisă definirea elementelor de circuit convenabile fără a afecta dimensiunea cu mai mult de un factor constant. În practică, noțiunea de dimensiune este mai complicată, în ea fiind înglobate atât numărul de elemente, cât și cerințele tehnice ce se impun la integrarea elementelor într-un circuit fizic.

## Exerciții

**29.1-1** Schimbați, în figura 29.2, intrarea  $y$  la 1. Prezentați valorile ce apar pe fiecare fir.

**29.1-2** Arătați cum se poate construi un circuit de paritate cu  $n$  intrări folosind  $n - 1$  porți XOR și adâncimea  $\lceil \lg n \rceil$ .

**29.1-3** Arătați că orice element combinațional poate fi construit cu un număr constant de porți AND, OR și NOT. (*Indica ie:* Implementați tabelul de adevăr al elementului.)

**29.1-4** Arătați că orice funcție booleană poate fi construită numai cu porți NAND.

**29.1-5** Construiți un circuit combinațional care efectuează funcția sau-exclusiv, folosind numai patru porți NAND cu câte două intrări.

$$\begin{array}{ccccccccccccc}
 & 8 & 7 & 6 & 5 & 4 & 3 & 2 & 1 & 0 & & i \\
 & 1 & 1 & 0 & 1 & 1 & 1 & 0 & 0 & 0 & = & c \\
 & 0 & 1 & 0 & 1 & 1 & 1 & 1 & 0 & 0 & = & a \\
 & 1 & 1 & 0 & 1 & 0 & 1 & 0 & 1 & 1 & = & b \\
 \hline
 & 1 & 0 & 0 & 1 & 1 & 0 & 0 & 1 & 1 & = & s
 \end{array}$$

**Figura 29.3** Suma a două numere de câte 8 biți,  $a = \langle 01011110 \rangle$  și  $b = \langle 11010101 \rangle$  dă suma lor pe 9 biți  $s = \langle 100110011 \rangle$ . Fiecare bit  $c_i$  este bit de transport. Fiecare coloană de biți reprezintă, de sus în jos pentru fiecare  $i$ , biții  $c_i, a_i, b_i, s_i$ . Transportul inițial  $c_0$  este întotdeauna 0.

**29.1-6** Fie C un circuit combinațional cu  $n$  intrări,  $n$  ieșiri și adâncimea  $d$ . Dacă se conectează două copii ale lui C, ieșirile unuia conectându-se direct la intrările celuilalt, care este adâncimea maximă a tandemului celor două circuite? Dar adâncimea minimă?

## 29.2. Circuite de sumare

Acum vom trata problema adunării numerelor reprezentate binar. Vom prezenta, în acest, scop trei circuite combinaționale. Primul este sumatorul cu transport propagat, care poate să adune două numere de câte  $n$  biți în timp  $\Theta(n)$  și utilizând un circuit având o dimensiune  $\Theta(n)$ . Al doilea este sumatorul cu transport anticipat, de dimensiune  $\Theta(n)$  care adună în timp  $O(\lg n)$ . Al treilea este un circuit cu transport salvat, care, în timp  $O(1)$ , poate reduce suma a trei numere de câte  $n$  biți la suma unui număr de  $n$  biți și a unuia de  $n + 1$  biți. Circuitul are dimensiunea  $\Theta(n)$ .

### 29.2.1. Sumator cu transport propagat

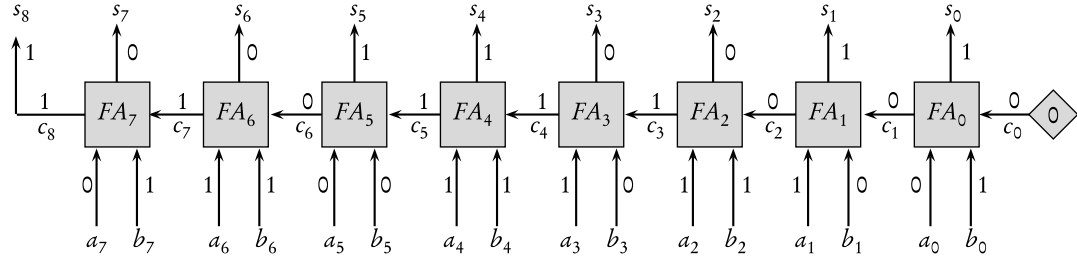
Vom începe cu cea mai cunoscută metodă de adunare a numerelor binare. Presupunem că numărul nenegativ  $a$  este reprezentat în binar printr-o secvență de  $n$  biți  $\langle a_{n-1}, a_{n-2}, \dots, a_0 \rangle$ , unde  $n \geq \lceil \lg(a+1) \rceil$  și

$$a = \sum_{i=0}^{n-1} a_i 2^i.$$

Fiind date două numere de câte  $n$  biți  $a = \langle a_{n-1}, a_{n-2}, \dots, a_0 \rangle, b = \langle b_{n-1}, b_{n-2}, \dots, b_0 \rangle$ , dorim să obținem o sumă pe  $n + 1$  biți  $s = \langle s_n, s_{n-1}, \dots, s_0 \rangle$ . În figura 29.3 este prezentat un astfel de exemplu de adunare a două numere de câte 8 biți. Adunarea se efectuează de la dreapta spre stânga, fiecare transport fiind propagat din coloana  $i$  în coloana  $i + 1$ , pentru  $i = 0, 1, \dots, n - 1$ . În poziția  $i$ , se adună  $a_i$  cu  $b_i$  și cu **transportul de intrare**  $c_i$ . Rezultatele sunt **bitul sumă**  $s_i$  și **transportul de ieșire**  $c_{i+1}$ , acesta din urmă devenind transport de intrare pentru poziția  $i + 1$ . Transportul inițial este  $c_0 = 0$ , iar bitul sumă  $s_n$  este transportul de ieșire  $c_n$ .

Se observă (vezi ecuația (29.1)) că bitul sumă  $s_i$  reprezintă paritatea biților  $a_i, b_i$  și  $c_i$ . În plus, transportul de ieșire  $c_{i+1}$  reprezintă majoritatea din  $a_i, b_i$  și  $c_i$  (vezi ecuația (29.2)). Astfel, fiecare etapă a adunării poate fi efectuată cu un sumator complet.

Un sumator cu **transport propagat**, pe  $n$  biți este format prin legarea în cascadă a  $n$  sumatori compleți  $FA_0, FA_1, \dots, FA_{n-1}$ , (FA - Full Addition) legând transportul de ieșire  $c_{i+1}$



**Figura 29.4** Un sumator pe 8 biți cu transport propagat care efectuează suma din figura 29.3. Bitul de transport  $c_0$  este inițializat cu 0, iar propagarea transporturilor se face de la dreapta la stânga.

din  $FA_i$  cu intrarea de transport din  $FA_{i+1}$ . În figura 29.4 este prezentat un sumator de 8 biți cu transport propagat. Bitul de transport este “propagat” de la dreapta spre stânga. Bitul  $c_0$  este **fixat hard** la 0, semnificația lui fiind aceea că, inițial, nu există transport. Cei  $n + 1$  biți ai numărului de ieșire sunt  $s = \langle s_n, s_{n-1}, \dots, s_0 \rangle$ , unde  $s_n$  este egal cu  $c_n$ , transportul de ieșire din  $FA_n$ .

Deoarece biții de transport se propagă de la stânga spre dreapta prin cei  $n$  sumatori compleți, timpul cerut de un sumator cu transport propagat este  $\Theta(n)$ . Mai exact, sumatorul complet  $FA_i$  este la adâncimea  $i+1$  în circuit. Deoarece  $FA_{n-1}$  este cel mai adânc sumator complet, adâncimea circuitului cu transport propagat este  $n$ . Dimensiunea circuitului este  $\Theta(n)$  deoarece conține  $n$  elemente combinaționale.

### 29.2.2. Sumator cu transport anticipat

Sumatorul cu transport propagat cere un timp  $\Theta(n)$  deoarece biții de transport se propagă prin întregul circuit. Transportul anticipat scurtează acest timp prin accelerarea calculului transporturilor după o schemă arborescentă. Un astfel de sumator poate efectua suma în timp  $O(\lg n)$ .

Observația cheie este aceea că, la sumatorul cu transport propagat, pentru  $i \geq 1$ , sumatorul complet  $FA_i$  are două intrări respectiv pe  $a_i$  și  $b_i$  pregătite cu mult timp înainte ca transportul  $c_i$  să fie gata. Această observație permite exploatarea anticipată a informației parțiale deja prezente.

De exemplu, fie  $a_{i-1} = b_{i-1}$ . Deoarece transportul  $c_i$  este funcția majoritate, vom avea  $c_i = a_{i-1} = b_{i-1}$  *indiferent de valoarea lui*  $c_{i-1}$ . Dacă  $a_{i-1} = b_{i-1} = 0$ , atunci transportul este **distrus**, deci  $c_i = 0$  fără să se mai aștepte sosirea lui  $c_{i-1}$ . La fel, dacă  $a_{i-1} = b_{i-1} = 1$ , atunci transportul este **generat**, deci  $c_i = 1$  fără să se mai aștepte sosirea lui  $c_{i-1}$ .

Dacă  $a_{i-1} \neq b_{i-1}$ , atunci transportul  $c_i$  va depinde de  $c_{i-1}$ . Mai exact,  $c_i = c_{i-1}$  deoarece transportul  $c_{i-1}$  decide “votul” pentru bitul majoritar care îl determină pe  $c_i$ . În acest caz, transportul este **propagat** deoarece transportul de ieșire coincide cu cel de intrare.

În figura 29.5 se rezumă aceste relații în termenii **stării transportului**, unde  $k$  înseamnă “distrugerea” transportului,  $g$  înseamnă “generarea” lui, iar  $p$  înseamnă “propagarea” lui.

Să considerăm un ansamblu format din succesiunea a doi sumatori compleți:  $FA_{i-1}$  urmat de  $FA_i$ . Transportul de intrare în ansamblu este  $c_{i-1}$ , iar transportul de ieșire din ansamblu este  $c_{i+1}$ . Să vedem în ce constau operațiile de distrugere, generare și de propagare a transportului pentru acest ansamblu. Operația de distrugere are loc fie dacă  $FA_i$  distrugă transportul, fie dacă  $FA_{i-1}$  îl distrugă, și  $FA_i$  îl propagă. În mod analog, operația de generare are loc dacă  $FA_i$  generează transportul sau dacă  $FA_{i-1}$  îl generează, și  $FA_i$  îl propagă. Operația de propagare

| $a_{i-1}$ | $b_{i-1}$ | $c_i$     | starea de transport |
|-----------|-----------|-----------|---------------------|
| 0         | 0         | 0         | <b>k</b>            |
| 0         | 1         | $c_{i-1}$ | <b>p</b>            |
| 1         | 0         | $c_{i-1}$ | <b>p</b>            |
| 1         | 1         | 1         | <b>g</b>            |

**Figura 29.5** Starea bitului transport de ieșire  $c_i$  și a stării de transport în funcție de intrările  $a_{i-1}, b_{i-1}, c_{i-1}$  din sumatorul complet  $FA_{i-1}$ .

| $FA_i$     |          |           |          |          |
|------------|----------|-----------|----------|----------|
|            |          | $\otimes$ | <b>k</b> | <b>p</b> |
|            |          | <b>k</b>  | <b>k</b> | <b>k</b> |
| $FA_{i-1}$ | <b>k</b> | <b>k</b>  | <b>k</b> | <b>g</b> |
| $FA_{i-1}$ | <b>p</b> | <b>k</b>  | <b>p</b> | <b>g</b> |
| $FA_{i-1}$ | <b>g</b> | <b>k</b>  | <b>g</b> | <b>g</b> |

**Figura 29.6** Starea transportului la combinarea sumatorilor compleți  $FA_{i-1}$  și  $FA_i$  date de starea transportului operatorului  $\oplus$  peste mulțimea  $\{k, p, g\}$ .

$c_{i+1} = c_{i-1}$  are loc dacă ambii sumatori propagă transportul. Tabelul din figura 29.6 rezumă starea transportului pentru acest ansamblu. Este vorba de tabela *operatorului de stare a transportului*  $\oplus$  peste domeniul  $\{k, p, g\}$ . Asociativitatea este o proprietate importantă a operatorului; verificarea acestei proprietăți se cere în exercițiul 29.2-2.

Operatorul de stare poate fi folosit pentru a exprima fiecare bit de transport  $c_i$  în funcție de intrările lui. Să definim  $x_0 = k$  și

$$x_i = \begin{cases} k & \text{dacă } a_{i-1} = b_{i-1} = 0, \\ p & \text{dacă } a_{i-1} \neq b_{i-1}, \\ g & \text{dacă } a_{i-1} = b_{i-1} = 1, \end{cases} \quad (29.3)$$

pentru  $i = 1, 2, \dots, n$ . Astfel, pentru  $i = 1, 2, \dots, n$ , valoarea lui  $x_i$  este starea transportului din figura 29.5.

Transportul de ieșire  $c_i$  din sumatorul complet  $FA_{i-1}$  poate să depindă de starea transporturilor din sumatoarele  $FA_j$  pentru  $j = 0, 1, \dots, i - 1$ . Să definim  $y_0 = x_0 = k$  și

$$y_i = y_{i-1} \otimes x_i = x_0 \otimes x_1 \otimes \dots \otimes x_i \quad (29.4)$$

pentru  $i = 1, 2, \dots, n$ . Ne putem imagina că  $y_i$  este un “prefix” al expresiei  $x_0 \otimes x_1 \otimes \dots \otimes x_n$ ; vom numi procesul de calcul al valorilor  $y_0, y_1, \dots, y_i$  *calcul de prefix*. (Capitolul 30 prezintă aceste calcule de prefixe, într-un context paralel mai general.) În figura 29.7 se arată că valorile  $x_i$  și  $y_i$  corespund adunării binare din figura 29.3. Lema următoare exprimă semnificația valorilor  $y_i$  pentru sumatorul cu transport anticipat.

**Lema 29.1** Fie  $x_0, x_1, \dots, x_n$  și  $y_0, y_1, \dots, y_n$  definite conform ecuațiilor (29.3) și (29.4). Pentru  $i = 0, 1, \dots, n$ , sunt valabile următoarele afirmații:

1.  $y_i = k$  implică  $c_i = 0$ ,

| $i$   | 8 | 7 | 6 | 5 | 4 | 3 | 2 | 1 | 0 |
|-------|---|---|---|---|---|---|---|---|---|
| $a_i$ | 0 | 1 | 0 | 1 | 1 | 0 | 1 | 1 | 0 |
| $b_i$ | 1 | 1 | 0 | 1 | 1 | 0 | 1 | 0 | 1 |
| $x_i$ | p | g | k | g | p | g | p | p | k |
| $y_i$ | g | g | k | g | g | g | k | k | k |
| $c_i$ | 1 | 1 | 0 | 1 | 1 | 1 | 0 | 0 | 0 |

**Figura 29.7** Valorile  $x_i$  și  $y_i$ , pentru  $i = 0, 1, \dots, 8$  care corespund valorilor  $a_i, b_i, c_i$  din adunarea binară din figura 29.3. Fiecare valoare  $x_i$  este hașurată împreună cu valorile lui  $a_{i-1}$  și  $b_{i-1}$  de care depind.

2.  $y_i = g$  implică  $c_i = 1$ ,

3.  $y_i = p$  nu apare.

**Demonstrație.** Demonstrația este făcută prin inducție după  $i$ . Inițial,  $i = 0$ . Avem, prin definiție,  $y_0 = x_0 = k$  și  $c_0 = 0$ . Presupunem că lema este valabilă pentru  $i - 1$ . În funcție de valorile lui  $y_i$ , se disting trei cazuri.

1. Dacă  $y_i = k$ , deoarece  $y_i = y_{i-1} \otimes x_i$ , definirea operatorului  $\otimes$  din figura 29.6 implică ori că  $x_i = k$ , ori că  $x_i = p$  și  $y_{i-1} = k$ . Dacă  $x_i = k$ , atunci ecuația (29.3) implică  $a_{i-1} = b_{i-1} = 0$  și, astfel,  $c_i = \text{majoritate}(a_{i-1}, b_{i-1}, c_{i-1}) = 0$ . Dacă  $x_i = p$  și  $y_{i-1} = k$  atunci  $a_{i-1} \neq b_{i-1}$ , și, din ipoteza de inducție,  $c_{i-1} = 0$ . Astfel,  $\text{majoritate}(a_{i-1}, b_{i-1}, c_{i-1}) = 0$  de unde rezultă că  $c_i = 0$ .
2. Dacă  $y_i = g$ , atunci ori avem  $x_i = g$ , ori avem  $x_i = p$  și  $y_{i-1} = g$ . Dacă  $x_i = g$  atunci  $a_{i-1} = b_{i-1} = 1$ , ceea ce implică  $c_i = 1$ . Dacă  $x_i = p$  și  $y_{i-1} = g$ , atunci  $a_{i-1} \neq b_{i-1}$  și, din ipoteza de inducție, avem că  $c_{i-1} = 1$ , ceea ce implică  $c_i = 1$ .
3. Dacă  $y_i = p$ , atunci, din figura 29.6 rezultă că  $y_{i-1} = p$ , ceea ce contrazice ipoteza de inducție. ■

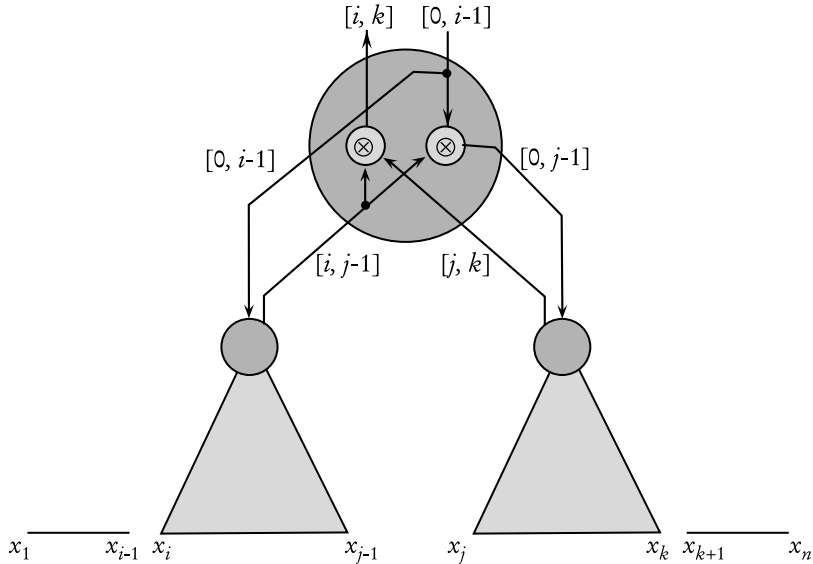
Lema 29.1 arată că se poate determina fiecare bit de transport  $c_i$  calculând fiecare stare de transport  $y_i$ . O dată ce s-au calculat toți biții de transport, se poate calcula întreaga sumă în timp  $\Theta(1)$  prin calcularea în paralel a biților sumă  $s_i = \text{paritate}(a_i, b_i, c_i)$  pentru  $i = 0, 1, \dots, n$  (evident,  $a_n = b_n = 0$ ). Astfel, problema adunării rapide a două numere se reduce la calculul prefixelor de stare a transporturilor  $y_0, y_1, \dots, y_n$ .

### Calculul prefixelor de stare a transporturilor cu un circuit paralel

Folosind un circuit paralel pentru calculul stărilor transporturilor  $y_0, y_1, \dots, y_n$ , sumatorul va fi mult mai rapid decât cel cu transport propagat. Vom prezenta un circuit paralel de calcul al prefixelor cu adâncimea  $O(\lg n)$ . Circuitul are dimensiunea  $\Theta(n)$ , ceea ce înseamnă că, asymptotic, are aceeași încărcătură hardware ca și sumatorul cu transport propagat.

Înainte de construcția circuitului, vom introduce o notație care ne va ajuta să înțelegem cum operează circuitul. Pentru numerele întregi  $i$  și  $j$  din domeniul  $0 \leq i \leq j \leq n$ , definim

$$[i, j] = x_i \otimes x_{i+1} \otimes \dots \otimes x_j$$



**Figura 29.8** Organizarea unui circuit paralel pentru calculul de prefix. Nodul prezentat este rădăcină pentru subarborele care are ca frunze valorile de intrare de la  $x_i$  la  $x_k$ . Subarborele stâng conține intrările de la  $x_i$  la  $x_{j-1}$ , iar subarborele drept pe cele de la  $x_j$  la  $x_k$ . Nodul constă din două elemente  $\otimes$  care operează la momente diferite de timp. Un element calculează  $[i, k] \leftarrow [i, j-1] \otimes [j, k]$ , iar celălalt element calculează  $[0, j-1] \leftarrow [0, i-1] \otimes [i, j-1]$ . Pe fire sunt arătate valorile calculate.

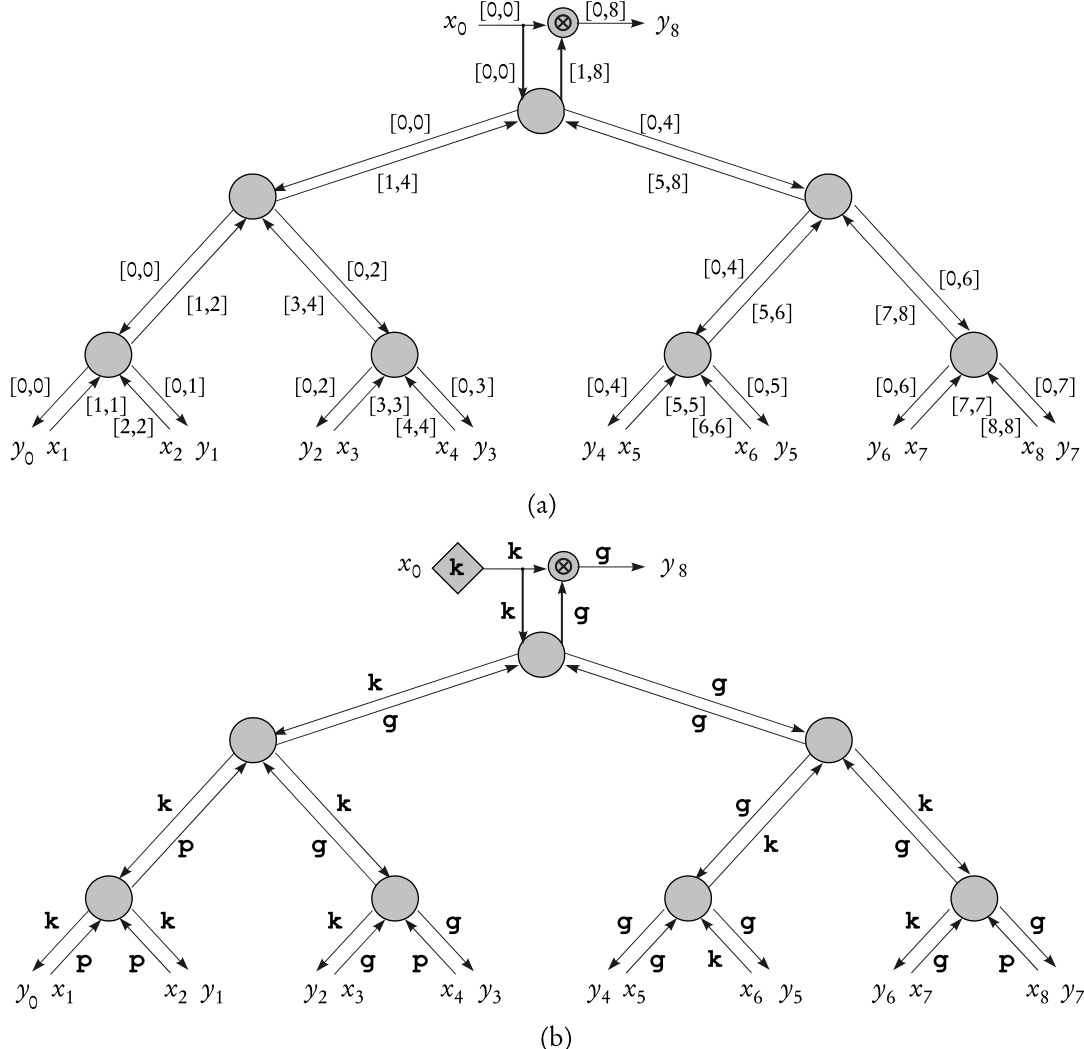
Astfel, pentru  $i = 0, 1, \dots, n$ , avem  $[i, i] = x_i$ , deoarece operatorul este idempotent. Pentru  $i, j, k$  astfel încât  $0 \leq i < j \leq k \leq n$ , avem:

$$[i, k] = [i, j-1] \otimes [j, k], \quad (29.5)$$

deoarece operatorul este asociativ. Cu această notație, scopul calculului de prefix este să se calculeze  $y_i = [0, i]$  pentru  $i = 0, 1, \dots, n$ .

Pentru construcția circuitului, se utilizează numai elemente combinaționale care evaluatează operatorul  $\otimes$ . În figura 29.8 se arată cum se combină o pereche de elemente  $\otimes$  pentru a forma noduri interne într-un arbore binar complet. În figura 29.9 se ilustrează circuitul paralel de prefix pentru  $n = 8$ . Trebuie remarcat faptul că, deși firele apar în circuit sub formă unui arbore, circuitul însuși nu este un arbore, ci un circuit combinațional pur. Intrările  $x_1, x_2, \dots, x_n$  sunt asociate frunzelor, iar  $x_0$  este în rădăcină. Ieșirile  $y_0, y_1, \dots, y_{n-1}$  sunt obținute în frunze, iar ieșirea  $y_n$  se obține în rădăcină. (Pentru o înțelegere mai ușoară, în calculul prefixelor din figurile 29.8 și 29.9 din această secțiune indicii variabilelor cresc de la stânga la dreapta, în loc să crească de la dreapta spre stânga, ca în celelalte figuri.)

De obicei, cele două elemente  $\otimes$  din fiecare nod acționează la momente diferite și au adâncimi diferite în circuit. Așa cum se vede în figura 29.8, dacă subarborele cu rădăcina într-un nod dat are intrarea  $x_i, x_{i+1}, \dots, x_k$ , subarborele lui stâng are intrarea  $x_i, x_{i+1}, \dots, x_{j-1}$ , cel drept  $x_j, x_{j+1}, \dots, x_k$ , atunci nodul trebuie să producă, pentru părinții săi, produsul  $[i, k]$  al tuturor intrărilor acoperite de subarborele său. Deoarece putem presupune inductiv că fiile stâng și drept ai nodului calculează produsele  $[i, j-1]$  și  $[j, k]$ , nodul utilizează unul dintre cele două elemente

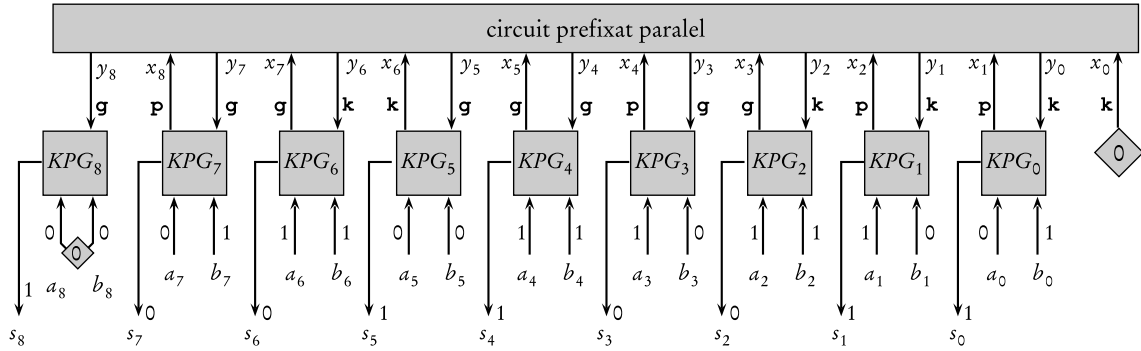


**Figura 29.9** Un circuit paralel de prefix pentru  $n = 8$ . (a) Structura completă a circuitului cu valorile de transport pe fiecare fir. (b) Același circuit cu valorile corespunzătoare din figurile 29.3 și 29.7.

pentru a calcula  $[i, k] \leftarrow [i, j - 1] \otimes [j, k]$ .

La un timp oarecare după prima fază a calculului, nodul primește de la părintele lui producția  $[0, i - 1]$  cu toate intrările din stânga lui  $x_i$  calculate. Apoi nodul calculează valorile pentru fiul său. Pentru fiul stâng, cel mai din stânga fiu al lui este tot  $x_i$ , motiv pentru care îi trimite neschimbate valorile  $[0, i - 1]$ . Pentru fiul din dreapta cel mai din stânga fiu este  $x_j$ , deci acestuia îi transmite valorile  $[0, j - 1]$ . Deoarece nodul primește valorile  $[0, i - 1]$  de la părintele lui și valorile  $[i, j - 1]$  de la fiul lui stâng, el calculează doar  $[0, j - 1] \leftarrow [0, i - 1] \otimes [i, j - 1]$  și le trimit la fiul drept.

În figura 29.9 sunt prezentate rezultatele circuitului, inclusiv marginile care ajung la rădăcină. Valoarea  $x_0 = [0, 0]$  este furnizată ca intrare la rădăcină, iar pentru a calcula valoarea  $y_n =$



**Figura 29.10** Construcția unui sumator cu transport anticipat de  $n$  biți, prezentat pentru  $n = 8$ . El constă din  $n+1$  cutii  $KPG_i$ ,  $i = 0, 1, \dots, n$ . Fiecare cutie  $KPG_i$  are intrările externe  $a_i, b_i$  cu  $a_n, b_n$  fixați la 0 și calculează starea  $x_{i+1}$  a transportului. Valoarea este introdusă într-un circuit prefix paralel care, la rândul lui, returnează prefixul calculat  $y_i$ . Apoi, fiecare cutie  $KPG_i$  primește la intrare valoarea  $y_i$ , o interpretează ca transport de intrare  $c_i$ , după care produce, la ieșire, bitul sumă  $s_i = \text{paritate}(a_i, b_i, c_i)$ . Valorile binare indicate pe săgeți coincid cu cele din figura 29.3 și 29.9.

$[0, n] = [0, 0] \otimes [1, n]$  se folosesc, în general, unul sau mai multe elemente  $\otimes$ .

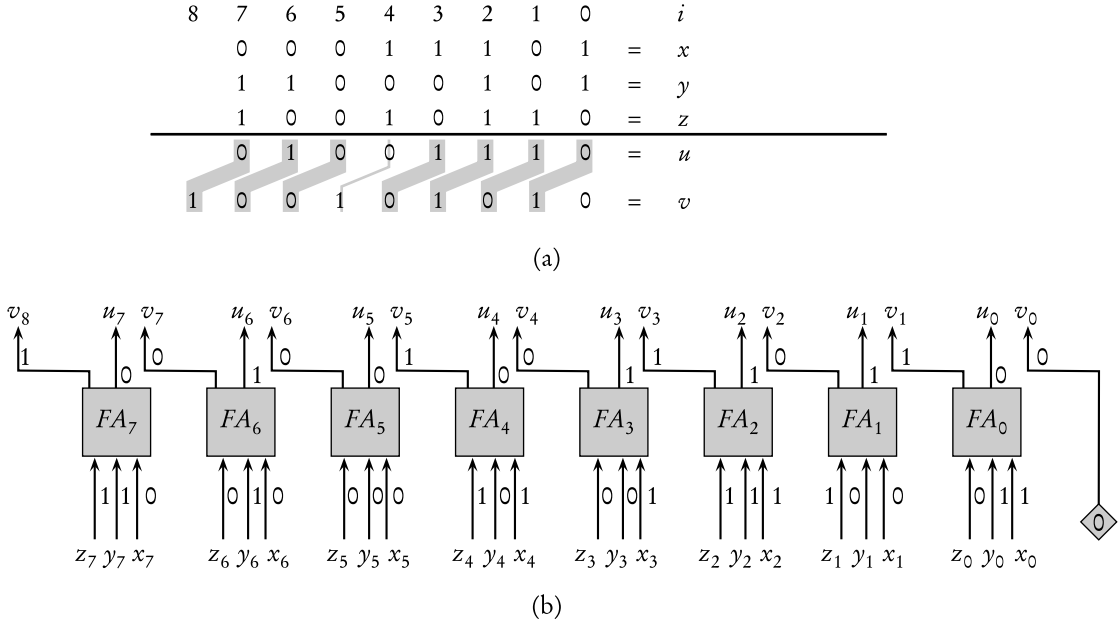
Dacă  $n$  este o putere a lui 2, atunci circuitul paralel de prefix folosește  $2n - 1$  elemente  $\otimes$ . El consumă doar un timp  $O(\lg n)$  pentru a calcula cele  $n + 1$  prefixe deoarece calculul merge sus și jos în arbore. Exercițiul 29.2-5 studiază, în detaliu, adâncimea circuitului.

### Sumator complet cu transport anticipat

După ce am prezentat circuitul paralel prefix, putem completa descrierea sumatorului complet cu transport anticipat. Figura 29.10 prezintă construcția. Un **sumator cu transport anticipat** de  $n$  biți constă din  $n + 1$  **cutii KPG** (denumire preluată de la mulțimea  $\{\mathbf{k}, \mathbf{p}, \mathbf{g}\}$  peste care operează  $\otimes$ ), fiecare având dimensiunea  $\Theta(1)$  și un circuit paralel de prefix cu intrările  $x_0, x_1, \dots, x_n$  ( $x_0$  este fixat hard la  $\mathbf{k}$ ) și ieșirile  $y_0, y_1, \dots, y_n$ . Cutia  $KPG_i$  primește intrările externe  $a_i$  și  $b_i$  și produce bitul sumă  $s_i$ . (Biții de intrare  $a_n, b_n$  sunt 0.) Fiind date  $a_{i-1}, b_{i-1}$ , cutia  $KPG_{i-1}$  calculează  $x_i \in \{\mathbf{k}, \mathbf{p}, \mathbf{g}\}$  conform ecuației (29.3) și trimite valorarea obținută la intrarea  $x_i$  a circuitului prefix paralel (valoarea  $x_{n+1}$  este ignorată). Toate calculele pentru  $x_i$  sunt efectuate consumând un timp  $\Theta(1)$ . După o așteptare de  $O(\lg n)$ , circuitul prefix paralel produce ieșirea  $y_0, y_1, \dots, y_n$ . Conform lemei 29.1,  $y_i$  este fie  $\mathbf{k}$ , fie  $\mathbf{g}$ , dar niciodată  $\mathbf{p}$ . Fiecare valoare  $y_i$  indică transportul de intrare în sumatorul complet  $FA_i$  a sumatorului cu transport propagat:  $y_i = \mathbf{k}$  implică  $c_i = 0$  și  $y_i = \mathbf{g}$  implică  $c_i = 1$ . Valoarea  $y_i$  indică, pentru  $KPG_i$ , transportul de intrare  $c_i$  în timp constant, iar bitul sumă  $s_i = \text{paritate}(a_i, b_i, c_i)$  este produs, de asemenea, în timp constant. Astfel, sumatorul cu transport anticipat operează în timp  $O(\lg n)$  și are dimensiunea  $\Theta(n)$ .

#### 29.2.3. Sumator cu transport salvat

Sumatorul cu transport anticipat adună două numere de câte  $n$  biți în timp  $O(\lg n)$ . S-ar putea să pară surprinzător, dar adunarea a trei numere de câte  $n$  biți necesită, în plus, numai



**Figura 29.11** (a) Adunare cu salvare transport. Fiind date trei numere de câte \$n\$ biți \$x\$, \$y\$ și \$z\$, se obține un număr \$u\$ de \$n\$ biți și un număr \$v\$ de \$n + 1\$ biți, astfel încât \$x + y + z = u + v\$. A \$i\$-a pereche hașurată este obținută în funcție de \$x\_i\$, \$y\_i\$ și \$z\_i\$. ((b)) Un sumator cu transport salvat, pe 8 biți. Fiecare sumator complet \$FA\_i\$ primește, la intrare, \$x\_i\$, \$y\_i\$ și \$z\_i\$ și obține, la ieșire, bitul sumă \$u\_i\$ și transportul de ieșire \$v\_{i+1}\$. Bitul \$v\_0 = 0\$.

un timp constant. Astfel se reduce problema adunării a trei numere la adunarea a numai două numere.

Fiind date trei numere de câte \$n\$ biți \$x = \langle x\_{n-1}, x\_{n-2}, \dots, x\_0 \rangle\$, \$y = \langle y\_{n-1}, y\_{n-2}, \dots, y\_0 \rangle\$ și \$z = \langle z\_{n-1}, z\_{n-2}, \dots, z\_0 \rangle\$, un **sumator cu transport salvat** obține un număr de \$n\$ biți \$u = \langle u\_{n-1}, u\_{n-2}, \dots, u\_0 \rangle\$ și un număr de \$n + 1\$ biți \$v = \langle v\_n, v\_{n-1}, \dots, v\_0 \rangle\$, astfel încât

$$u + v = x + y + z.$$

Așa cum se vede în figura 29.11(a), calculul rezultă din:

$$\begin{aligned}
 u_i &= \text{paritate}(x_i, y_i, z_i), \\
 v_{i+1} &= \text{majoritate}(x_i, y_i, z_i),
 \end{aligned}$$

pentru \$i = 0, 1, \dots, n - 1\$. Bitul \$v\_0\$ este egal întotdeauna cu 0.

Sumatorul din figura 29.11(b) constă din \$n\$ sumatori compleți \$FA\_0, FA\_1, \dots, FA\_{n-1}\$. Pentru \$i = 0, 1, \dots, n - 1\$, sumatorul complet are intrările \$x\_i, y\_i\$ și \$z\_i\$. Bitul sumă de ieșire al lui \$FA\_i\$ este \$u\_i\$, iar transportul de ieșire al lui \$FA\_i\$ este \$v\_{i+1}\$. Bitul \$v\_0 = 0\$.

Deoarece calculele celor \$2n + 1\$ biți de ieșire sunt independente, ele pot fi efectuate în paralel. Astfel, sumatorul cu transport salvat operează în timp \$\Theta(1)\$ și are dimensiunea \$\Theta(n)\$. De aceea, pentru suma a trei numere de câte \$n\$ biți efectuată de sumatorul cu transport salvat, este necesar un timp de \$\Theta(1)\$ pentru a ajunge la suma a două numere. Apoi, un sumator cu transport anticipat, în timp \$O(\lg n)\$ adună cele două numere. Această metodă nu este mai bună asimptotic

decât cea cu transport anticipat, dar este mai rapidă în practică. Mai mult, aşa cum se va vedea în secțiunea 29.3, acest algoritm este nucleul unui algoritm rapid de multiplicare.

## Exerciții

**29.2-1** Fie  $a = \langle 01111111 \rangle$ ,  $b = \langle 00000001 \rangle$  și  $n = 8$ . Determinați biții de sumă și transport a ieșirilor din sumatorii compleți la aplicarea sumatorului cu transport propagat. Găsiți stările de transport  $x_0, x_1, \dots, x_8$  corespunzătoare lui  $a$  și  $b$ , apoi etichetați fiecare fir al circuitului de calcul prefix din figura 29.9 cu aceste valori. Determinați rezultatele de ieșire  $y_0, y_1, \dots, y_8$ .

**29.2-2** Demostrați că operatorul  $\otimes$  dat în figura 29.5 este asociativ.

**29.2-3** Exemplificați cum se poate construi un circuit prefix paralel care lucrează în timp  $O(\lg n)$  atunci când  $n$  nu este o putere exactă a lui 2, desenând un circuit prefix paralel pentru  $n = 11$ . Caracterizați performanțele unui astfel de circuit (când arborele lui binar este unul oarecare).

**29.2-4** Prezentați, la nivel de porți, construcția unei cutii  $KPG_i$ . Presupuneți că fiecare ieșire  $x_i$  este reprezentată prin  $\langle 00 \rangle$  dacă  $x_i = k$ , prin  $\langle 11 \rangle$  dacă  $x_i = g$ , prin  $\langle 01 \rangle$  sau  $\langle 10 \rangle$  dacă  $x_i = p$ . De asemenea, presupuneți că fiecare intrare  $y_i$  este reprezentată prin 0 dacă  $y_i = k$ , respectiv prin 1 dacă  $y_i = g$ .

**29.2-5** Etichetați fiecare fir din circuitul prefix din figura 29.9(a) cu adâncimea lui. Un **drum critic** într-un circuit este drumul cu cel mai mare număr de elemente combinaționale dintre toate drumurile de la intrare la ieșire. Identificați drumul critic din figura 29.9(a) și arătați că lungimea lui este  $O(\lg n)$ . Arătați că unele noduri au elemente  $\otimes$  care operează în timp  $\Theta(\lg n)$ . Există noduri ale căror elemente  $\otimes$  operează simultan?

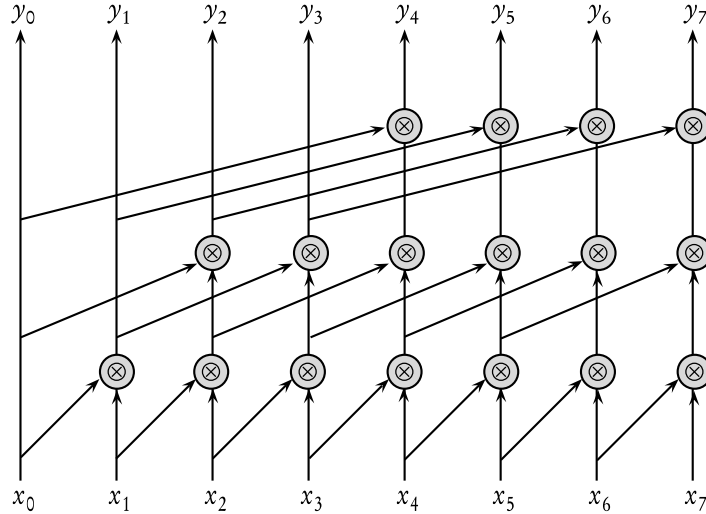
**29.2-6** Fie o diagramă bloc recursivă de tipul circuitului din figura 29.12, pentru orice număr  $n$  care este o putere a lui 2. Arătați că această diagramă bloc este un circuit care efectuează un calcul de prefix. Arătați că adâncimea circuitului este  $\Theta(\lg n)$ , iar dimensiunea lui este  $\Theta(n \lg n)$ .

**29.2-7** Care este evantaiul maxim de ieșire pentru firele dintr-un sumator cu transport anticipat? Arătați că suma se poate calcula în timp  $O(\lg n)$  cu un circuit de dimensiune  $\Theta(n)$  dacă se impune restricția ca portile să aibă un evantai de ieșire de  $O(1)$ .

**29.2-8** Un **circuit înalt** are  $n$  intrări binare și  $m = \lceil \lg(n+1) \rceil$  ieșiri. Interpretată ca număr binar, ieșirea reprezintă numărul de cifre 1 din intrare. De exemplu, dacă intrarea este  $\langle 10011110 \rangle$ , ieșirea este  $\langle 101 \rangle$ , ceea ce arată că, în intrare, există 5 cifre 1. Descrieți un circuit înalt de adâncime  $O(\lg n)$  și de dimensiune  $\Theta(n)$ .

**29.2-9 \*** Arătați că o adunare pe  $n$  biți poate fi realizată cu un circuit combinațional de adâncime 4 și dimensiunea polinomială în  $n$ , dacă pentru portile AND și OR sunt permise evantaie de intrare de orice mărime. (*Op ional*: Realizați adâncimea 3).

**29.2-10 \*** Presupunem că, folosind un sumator cu transport propagat, se însumează două numere aleatoare de căte  $n$  biți, unde fiecare bit, independent de ceilalți poate primi, cu aceeași probabilitate, valoarea 0 sau 1. Arătați că, cu o probabilitate de cel puțin  $1 - 1/n$ , nu se propagă transport mai departe decât  $O(\lg n)$  stări consecutive. Cu alte cuvinte, deși adâncimea sumatorului cu transport propagat este  $\Theta(n)$ , pentru două numere oarecare, ieșirea se obține, în cele mai multe cazuri, în timp de maximum  $O(\lg n)$ .



**Figura 29.12** Un circuit prefix, folosit în exercițiul 29.2-6.

## 29.3. Circuite multiplicatoare

Algoritmul clasic de înmulțire din figura 29.13 poate calcula produsul de  $2n$  biți  $p = \langle p_{2n-1}, p_{2n-2}, \dots, p_0 \rangle$  a două numere de câte  $n$  biți  $a = \langle a_{n-1}, a_{n-2}, \dots, a_0 \rangle$  și  $b = \langle b_{n-1}, b_{n-2}, \dots, b_0 \rangle$ . Se examinează fiecare bit al lui  $b$ , de la  $b_0$  la  $b_{n-1}$ . Pentru fiecare bit  $b_i$  având valoarea 1, se adună la produs  $a$  deplasat la stânga cu  $i$  poziții. Pentru fiecare bit  $b_i$  cu valoarea 0, se adună la produs 0. Astfel, notând  $m^{(i)} = a \cdot b_i \cdot 2^i$ , se calculează:

$$p = a \cdot b = \sum_{i=0}^{n-1} m^{(i)}.$$

Fiecare termen  $m^{(i)}$  este numit **produs parțial**. Există  $n$  produse parțiale având biți în pozițiile de la 0 la  $2n - 2$  care se însumează. Transportul de ieșire de la bitul cel mai semnificativ se constituie în bitul final din poziția  $2n - 1$ .

În această secțiune vom examina două circuite pentru înmulțirea a două numere de câte  $n$  biți. Multiplicatorul matriceal operează în timp  $\Theta(n)$  și are dimensiunea de  $\Theta(n^2)$ . Multiplicatorul arbore-Wallace are dimensiunea tot  $\Theta(n^2)$ , dar el operează doar în timp  $\Theta(\lg n)$ . Ambele circuite se bazează pe algoritmul clasic de înmulțire.

### 29.3.1. Multiplicator matriceal

Un multiplicator matriceal constă, conceptual, din trei părți. În prima parte sunt calculate produsele parțiale. Partea a doua însumează produsele parțiale, în acest scop folosind sumatoare cu transport salvat. Partea a treia adună cele două numere obținute de sumatoarele cu transport salvat folosind fie sumator cu transport propagat, fie sumator cu transport anticipat.

$$\begin{array}{r}
 1 \ 1 \ 1 \ 0 = a \\
 1 \ 1 \ 0 \ 1 = b \\
 \hline
 1 \ 1 \ 1 \ 0 = m^{(0)} \\
 0 \ 0 \ 0 \ 0 = m^{(1)} \\
 1 \ 1 \ 1 \ 0 = m^{(2)} \\
 1 \ 1 \ 1 \ 0 = m^{(3)} \\
 \hline
 1 \ 0 \ 1 \ 1 \ 0 \ 1 \ 1 \ 0 = p
 \end{array}$$

**Figura 29.13** Metoda clasică de înmulțire a lui  $a = \langle 1110 \rangle$  cu  $b = \langle 1101 \rangle$  și obținerea rezultatului  $p = \langle 10110110 \rangle$ . Vom calcula suma  $\sum_{i=0}^{n-1} m^{(i)}$ , unde  $m^{(i)} = a \cdot b_i \cdot 2^i$  și  $n = 4$ . Fiecare termen  $m^{(i)}$  este format prin deplasarea lui  $a$ , (dacă  $b_i = 1$ ) sau a lui 0 (dacă  $b_i = 0$ ), cu  $i$  poziții la stânga. Bițiile care nu se văd sunt 0, indiferent de valorile lui  $a$  și  $b$ .

În figura 29.14 este prezentat un **multiplicator matriceal** pentru două numere  $a = \langle a_{n-1}, a_{n-2}, \dots, a_0 \rangle$  și  $b = \langle b_{n-1}, b_{n-2}, \dots, b_0 \rangle$ . Valorile  $a_j$  sunt propagate vertical, iar valorile  $b_i$  sunt propagate orizontal. Fiecare bit de intrare se distribuie la  $n$  porturi AND pentru a forma produsele parțiale. Sumatoarele complete, organizate ca sumatoare cu transport salvat, însumează produsele parțiale. Bițiile de ordin minim din produsul final dau ieșirea spre dreapta, iar cei de ordin maxim sunt obținuți la ieșirile orizontale din partea de jos de la ultimul sumator cu transport salvat.

Să examinăm mai atent construcția multiplicatorului matriceal. Fiind date la intrare două numere  $a = \langle a_{n-1}, a_{n-2}, \dots, a_0 \rangle$  și  $b = \langle b_{n-1}, b_{n-2}, \dots, b_0 \rangle$ , bițiile produselor parțiale se calculează ușor. Astfel, pentru fiecare  $i, j = 0, 1, \dots, n - 1$ , avem

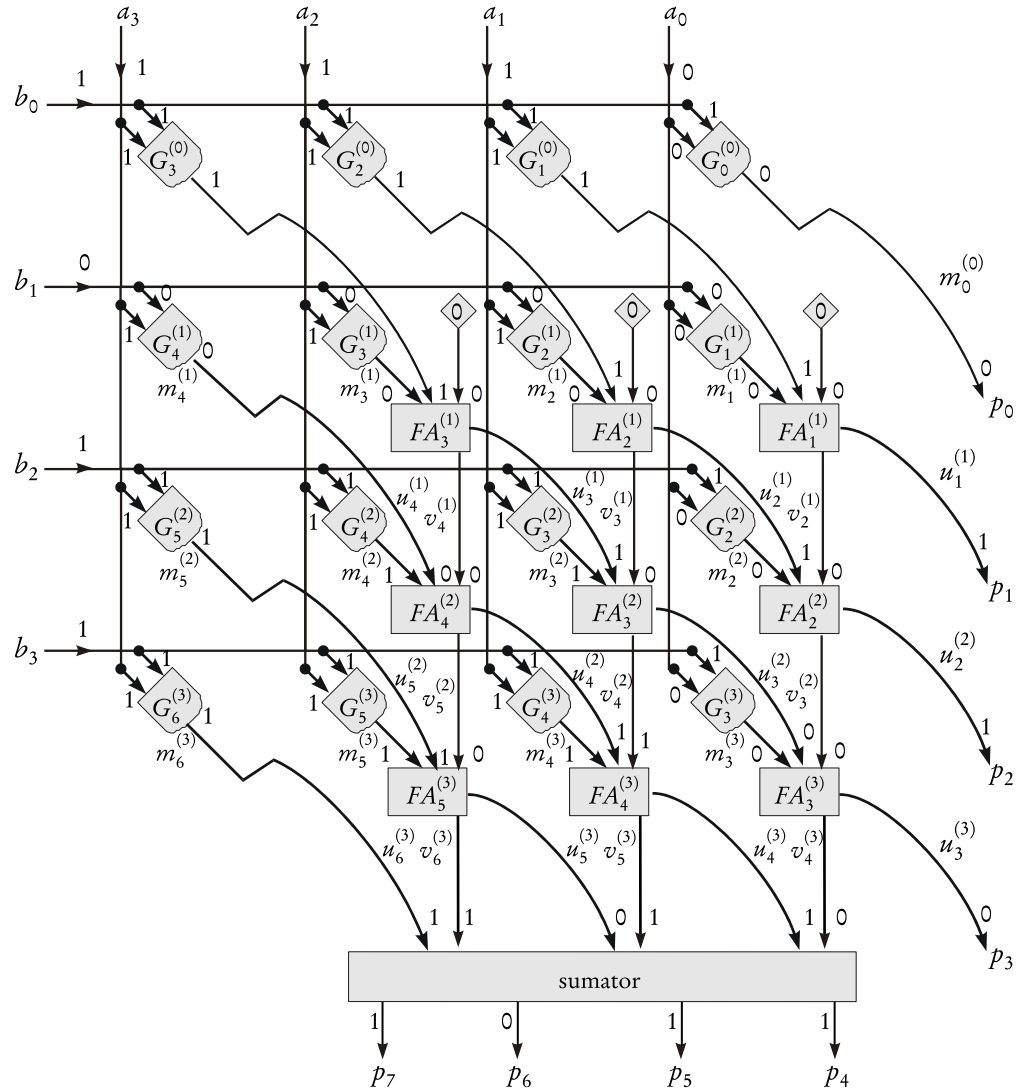
$$m_{j+i}^{(i)} = a_j \cdot b_i.$$

Deoarece valorile produselor de câte un bit se calculează direct printr-o poartă AND, toți bițiile produselor parțiale (cu excepția celor care se știe că vor fi 0 și nu trebuie calculați) pot fi calculați într-un singur pas, folosind  $n^2$  porturi AND.

În figura 29.15 se prezintă modul în care sunt executate însumările cu salvări de transporturi la însumarea produselor parțiale ale produsului din figura 29.13. Execuția începe cu însumarea produselor parțiale  $m^{(0)}, m^{(1)}$  și 0, producând numerele de câte  $n + 1$  biți  $u^{(1)}$  și  $v^{(1)}$ . (Numărul  $v^{(1)}$  are  $n + 1$  biți și nu  $n + 2$ , deoarece primii  $n + 1$  biți din  $m^{(0)}$  și din 0 sunt 0.) Mai departe,  $m^{(0)} + m^{(1)} = u^{(1)} + v^{(1)}$ . Apoi, sumatorul cu transport salvat adună  $u^{(1)}, v^{(1)}$  și  $m^{(2)}$ , producând două numere de câte  $n + 2$  biți și anume pe  $u^{(2)}$  și  $v^{(2)}$ . (Și aici,  $v^{(2)}$  are numai  $n + 2$  biți deoarece atât  $u_{n+2}^{(1)}$  cât și  $v_{n+2}^{(1)}$  sunt 0.) Apoi, avem  $m^{(0)} + m^{(1)} + m^{(2)} = u^{(2)} + v^{(2)}$ . Înmulțirea continuă însumând cu transport salvat valorile  $u^{(i-1)}, v^{(i-1)}$  și  $m^{(i)}$ , pentru  $i = 2, 3, \dots, n - 1$ . Rezultatul constă din două numere  $u^{(n-1)}$  și  $v^{(n-1)}$  a câte  $2n - 1$  biți, unde:

$$u^{(n-1)} + v^{(n-1)} = \sum_{i=0}^{n-1} m^{(i)} = p.$$

De fapt, adunările cu transport salvat din figura 29.15 operează puțin mai mult decât strictul necesar. Se observă că, pentru  $i = 1, 2, \dots, n - 1$  și  $j = 0, 1, \dots, i - 1$ , avem  $m_j^{(i)} = 0$  deoarece



**Figura 29.14** Un multiplicator matriceal care calculează produsul  $p = \langle p_{2n-1}, p_{2n-2}, \dots, p_0 \rangle$  a două numere  $a = \langle a_{n-1}, a_{n-2}, \dots, a_0 \rangle$  și  $b = \langle b_{n-1}, b_{n-2}, \dots, b_0 \rangle$ , arătate aici pentru  $n = 4$ . Fiecare poartă AND  $G_j^{(i)}$  calculează bitul produs parțial  $m_j^{(i)}$ . Fiecare linie de sumare completă constituie un sumator cu salvare transport. Cei  $n$  biți de rang minim ai produsului sunt  $m_0^{(0)}$ , iar biții  $u$  se văd în coloana cea mai din dreapta a sumatoarelor complete. Cei  $n$  biți de rang maxim ai produsului sunt formați prin adunarea biților lui  $u$  și  $v$  din linia de jos a sumatoarelor complete. Se observă valorile biților de intrare  $a = \langle 1110 \rangle$  și  $b = \langle 1101 \rangle$ , precum și ai produsului  $p = \langle 10110110 \rangle$ , în concordanță cu figurile 29.13 și 29.15.

$$\begin{array}{r}
 0 \ 0 \ 0 \ 0 = 0 \\
 1 \ 1 \ 1 \ 0 = m^{(0)} \\
 \hline
 0 \ 0 \ 0 \ 0 = m^{(1)} \\
 \hline
 0 \ 1 \ 1 \ 1 \ 0 = u^{(1)} \\
 0 \ 0 \ 0 = v^{(1)} \\
 \hline
 1 \ 1 \ 1 \ 0 = m^{(2)} \\
 \hline
 1 \ 1 \ 0 \ 1 \ 1 \ 0 = u^{(2)} \\
 0 \ 1 \ 0 = v^{(2)} \\
 \hline
 1 \ 1 \ 1 \ 0 = m^{(3)} \\
 \hline
 1 \ 0 \ 1 \ 0 \ 1 \ 1 \ 0 = u^{(3)} \\
 1 \ 1 \ 0 = v^{(3)} \\
 \hline
 1 \ 0 \ 1 \ 1 \ 0 \ 1 \ 1 \ 0 = p
 \end{array}$$

**Figura 29.15** Evaluarea sumelor de produse parțiale prin adunări repetitive cu transport salvat. Pentru acest exemplu,  $a = \langle 1110 \rangle$  și  $b = \langle 1101 \rangle$ . Biții în locul cărora este spațiu sunt 0 indiferent de valorile lui  $a$  și  $b$ . Se evaluează, mai întâi,  $m^{(0)} + m^{(1)} + 0 = u^{(1)} + v^{(1)}$ , apoi se evaluează  $u^{(1)} + v^{(1)} + m^{(2)} = u^{(2)} + v^{(2)}$ , apoi  $u^{(2)} + v^{(2)} + m^{(3)} = u^{(3)} + v^{(3)}$  și, în final,  $p = m^{(0)} + m^{(1)} + m^{(2)} + m^{(3)} = u^{(3)} + v^{(3)}$ . Se vede că  $p_0 = m_0^{(0)}$  și  $p_i = u_i^{(i)}$  pentru  $i = 1, 2, \dots, n - 1$ .

s-au făcut deplasări ale produselor parțiale. Se observă, de asemenea, că  $v_j^{(i)} = 0$ , pentru  $i = 1, 2, \dots, n - 1$  și  $j = 0, 1, \dots, i, i + n, i + n + 1, \dots, 2n - 1$  (vezi exercițiul 29.3-1). Din această cauză, fiecare adunare cu transport salvat operează doar pe  $n - 1$  biți.

Să urmărim corespondența dintre multiplicatorul matriceal și schema de adunări repetitive cu salvare transport. Fiecare poartă AND este etichetată prin  $G_j^{(i)}$  pentru indicii  $i$  și  $j$  din domeniile  $0 \leq i \leq n - 1$  și  $0 \leq j \leq 2n - 2$ . Poarta  $G_j^{(i)}$  produce  $m_j^{(i)}$ , adică cel de-al  $j$ -lea bit din cel de-al  $i$ -lea produs parțial. Pentru  $i = 0, 1, \dots, n - 1$ , porțile AND din linia  $i$  calculează cei mai semnificativi  $n$  biți din produsul parțial  $m^{(i)}$ , adică  $\langle m_{n+i-1}^{(i)}, m_{n+i-2}^{(i)}, \dots, m_i^{(i)} \rangle$ .

Cu excepția sumatorilor compleți din linia de sus (adică pentru  $i = 2, 3, \dots, n - 1$ ), fiecare sumator complet  $FA_j^{(i)}$  are trei biți de intrare:  $m_j^{(i)}$ ,  $u_j^{(i-1)}$  și  $v_j^{(i-1)}$  și produce, la ieșire, doi biți:  $u_j^{(i)}$  și  $v_{j+1}^{(i)}$ . (Să reținem că în coloana cea mai din stânga a sumatorilor compleți,  $u_{i+n-1}^{(i-1)} = m_{i+n-1}^{(i)}$ .) Fiecare  $FA_j^{(i)}$  din linia de sus are intrările:  $m_j^{(0)}$ ,  $m_j^{(1)}$  și 0 și produce biții de ieșire  $u_j^{(1)}, v_{j+1}^{(1)}$ .

În final, să examinăm ieșirile multiplicatorului matriceal. Așa cum s-a observat mai sus,  $v_j^{(n-1)} = 0$  pentru  $j = 0, 1, \dots, n - 1$ . Astfel,  $p_j = u_j^{(n-1)}$  pentru  $j = 0, 1, \dots, n - 1$ . Mai mult, deoarece  $m_0^{(1)} = 0$ , avem  $u_0^{(1)} = m_0^{(0)}$ ; deoarece cei mai nesemnificativi  $i$  biți din fiecare  $m^{(i)}$  și  $v^{(i-1)}$  sunt 0, avem  $u_j^{(i)} = u_j^{(i-1)}$  pentru  $i = 2, 3, \dots, n - 1$  și  $j = 0, 1, \dots, i - 1$ . Astfel,  $p_0 = m_0^{(0)}$  și, prin inducție, rezultă că  $p_i = u_i^{(i)}$  pentru  $i = 1, 2, \dots, n - 1$ . Biții produs  $\langle p_{2n-1}, p_{2n-2}, \dots, p_n \rangle$  se obțin dintr-un sumator de  $n$  biți care adună ieșirile din ultima linie a sumatorului complet:

$$\langle p_{2n-1}, p_{2n-2}, \dots, p_n \rangle = \langle u_{2n-2}^{(n-1)}, u_{2n-3}^{(n-1)}, \dots, u_n^{(n-1)} \rangle + \langle v_{2n-2}^{(n-1)}, v_{2n-3}^{(n-1)}, \dots, v_n^{(n-1)} \rangle.$$

## Analiză

Într-un multiplicator matriceal datele evoluează din stânga sus spre dreapta jos. El consumă  $\Theta(n)$  unități de timp pentru a calcula biții produs de ordin mic  $\langle p_{n-1}, p_{n-2}, \dots, p_0 \rangle$  și consumă  $\Theta(n)$  unități de timp pentru adunarea lor completă. Dacă sumatorul este cu transport propagat, el consumă încă  $\Theta(n)$  unități de timp pentru biții produs de ordin mare  $\langle p_{2n-1}, p_{2n-2}, \dots, p_n \rangle$ . Dacă sumatorul este cu transport anticipat, consumă numai  $\Theta(\lg n)$  unități de timp, deci timpul total rămâne  $\Theta(n)$ .

Există  $n^2$  porți AND și  $n^2 - n$  sumatori compleți în multiplicatorul matriceal. Sumatorul pentru biții de ieșire de ordin înalt contribuie cu încă alte  $\Theta(n)$  porți. Astfel, multiplicatorul matriceal are dimensiunea de  $\Theta(n^2)$ .

### 29.3.2. Multiplicatori arbore Wallace

Un **arbore Wallace** este un circuit care reduce problema adunării a  $n$  numere de  $n$  biți la problema adunării a două numere a căte  $\Theta(n)$  biți. El realizează acest lucru folosind în paralel  $\lfloor n/3 \rfloor$  sumatori cu salvare transport spre a converti suma a  $n$  numere la suma a  $\lceil 2n/3 \rceil$  numere. Apoi construiește recursiv un arbore Wallace pe cele  $\lceil 2n/3 \rceil$  numere rezultate. În acest mod, se reduce progresiv mulțimea de numere până când se ajunge doar la două numere. Efectuând, în paralel, mai multe adunări cu salvare de transport, arborii Wallace permit ca numerele de  $n$  biți să fie înmulțite în  $\Theta(\lg n)$  unități de timp folosind un circuit de dimensiune  $\Theta(n^2)$ .

În figura 29.16 este prezentat un arbore Wallace<sup>2</sup> care adună opt produse parțiale  $m^{(0)}$ ,  $m^{(1)}, \dots, m^{(7)}$ . Produsul parțial  $m^{(i)}$  conține  $n + i$  biți. Fiecare linie conține un număr cu toți biții lui, nu doar un singur bit. În dreptul fiecărei linii, se specifică pe câți biți se reprezintă numărul de pe linia respectivă (vezi exercițiul 29.3-3). Sumatorul cu transport anticipat din partea de jos adună un număr de  $2n - 1$  biți cu un număr de  $2n$  biți și calculează produsul de  $2n$  biți.

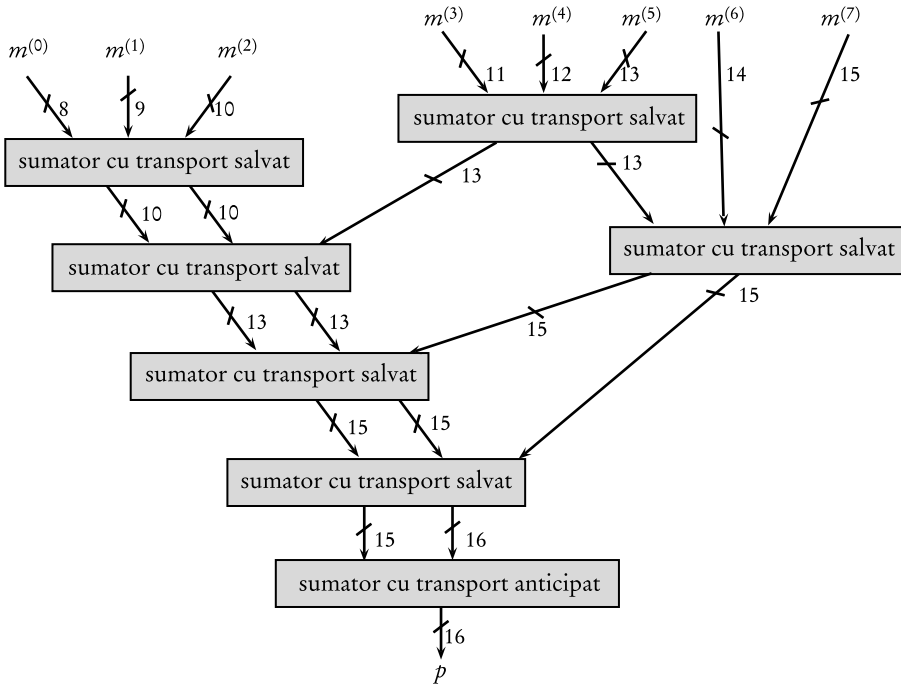
## Analiză

Timpul cerut de un arbore Wallace depinde de adâncimea sumatoarelor cu transport salvat. La fiecare nivel din arbore, fiecare grup de trei numere este redus la două numere, ca în cazul lui  $m^{(6)}$  și  $m^{(7)}$  de pe primul nivel. Astfel, adâncimea maximă  $D(n)$  a unui sumator cu transport salvat cu  $n$  intrări într-un arbore Wallace, este dată de următoarea formulă de recurență:

$$D(n) = \begin{cases} 0 & \text{dacă } n \leq 2, \\ 1 & \text{dacă } n = 3, \\ D(\lceil 2n/3 \rceil) + 1 & \text{dacă } n \geq 4, \end{cases}$$

care are soluția  $D(n) = \Theta(\lg n)$ , pe baza cazului 2 din teorema master 4.1. Fiecare sumator cu transport salvat cere un timp  $\Theta(1)$ . Toate cele  $n$  produse parțiale pot fi formate în paralel, consumându-se  $\Theta(1)$  unități de timp. (Primii  $i - 1$  biți nesemnificativi de intrare ai lui  $m^{(i)}$ , pentru  $i = 1, 2, \dots, n - 1$  sunt fixați implicit pe 0). Sumatorul cu transport anticipat consumă  $O(\lg n)$  unități de timp. Astfel, întregul multiplicator a două numere de căte  $n$  biți consumă  $\Theta(\lg n)$  unități de timp.

<sup>2</sup>După cum se poate observa din figură, un arbore Wallace nu este cu adevărat un arbore, ci mai degrabă un graf aciclic orientat. Denumirea este istorică și se păstrează încă în literatura de specialitate.



**Figura 29.16** Un arbore Wallace care adună, pentru  $n = 8$ , produsele parțiale  $m^{(0)}, m^{(1)}, \dots, m^{(7)}$ . Fiecare linie indică un număr având numărul de biți indicat lângă linie. Ieșirea din stânga a fiecărui sumator cu transport salvat reprezintă biții sumei, iar ieșirea din dreapta reprezintă transporturile.

Un multiplicator arbore Wallace pentru două numere de câte  $n$  biți are dimensiunea  $\Theta(n^2)$ , după cum se va vedea imediat. Vom delimita, mai întâi, dimensiunile circuitelor sumatoare cu transport salvat. Se obține ușor o margine inferioară de  $\Omega(n^2)$ , deoarece există  $\lfloor n/3 \rfloor$  sumatoare cu transport salvat de adâncime 1 și fiecare constă din cel puțin  $n$  sumatoare complete. Pentru a se obține marginea superioară de  $O(n^2)$ , se va observa că produsul final are  $2n$  biți, fiecare sumator cu transport salvat din arborele Wallace conține cel mult  $2n$  sumatoare complete. Este necesar să arătăm că, de fapt, există numai  $O(n)$  sumatoare complete. Fie  $C(n)$  numărul de sumatoare cu salvare transport având  $n$  numere la intrare. Are loc formula de recurență:

$$C(n) \leq \begin{cases} 1 & \text{dacă } n = 3, \\ C(\lceil 2n/3 \rceil) + \lfloor n/3 \rfloor & \text{dacă } n \geq 4, \end{cases}$$

care are ca soluție  $C(n) = \Theta(n)$ , dacă se consideră cazul 3 al teoremei master. Se obține, astfel, o margine asymptotic strânsă de dimensiune  $\Theta(n^2)$  pentru sumatoarele cu transport salvat din multiplicatorul arbore Wallace. Circuitul necesar pentru cele  $n$  produse parțiale are dimensiunea  $\Theta(n^2)$ , iar sumatorul cu transport anticipat de la sfârșit are dimensiunea  $\Theta(n)$ . Astfel, dimensiunea multiplicatorului este  $\Theta(n^2)$ .

Astfel, multiplicatorul bazat pe arborele Wallace este asymptotic mai rapid decât multiplicatorul matriceal. Deși au aceeași dimensiune asymptotică, aspectul de implementare al arborelui Wallace nu este la fel de obișnuit ca cel al multiplicatorului matriceal, nici aşa de "dens" (în

sensul că are spații mai largi între elemente). În practică, se utilizează, de multe ori, o soluție de compromis. Ideea este aceea că se folosesc, în paralel, două sumatoare matriceale: unul adună jumătate din produsele parțiale, iar celălalt adună cealaltă jumătate. Întârzierea de propagare este numai jumătate din cea produsă de un singur tablou care adună toate cele  $n$  produse parțiale. Două sumatoare cu transport salvat reduc ieșirea de 4 numere produse de tablouri la 2 numere, și un sumator cu transport anticipat adună apoi cele două numere pentru a calcula produsul. Coada totală de propagare este mai mică decât jumătate din cea a unui multiplicator matriceal complet, plus un termen suplimentar de  $O(\lg n)$ .

### Exerciții

**29.3-1** Arătați că, într-un multiplicator matriceal, avem  $v_j^{(i)} = 0$ , pentru  $i = 1, 2, \dots, n - 1$  și  $j = 0, 1, \dots, i, i + n, i + n + 1, \dots, 2n - 1$ .

**29.3-2** Arătați că, în multiplicatorul matriceal din figura 29.14, sumatoarele complete din linia de sus, cu excepția unuia, nu sunt toate necesare. Pentru aceasta, se impun o serie de schimbări în conexiuni.

**29.3-3** Presupunem că un sumator cu transport salvat are intrările  $x$ ,  $y$  și  $z$  și produce ieșirile  $s$  și  $c$  având, respectiv, câte  $n_x$ ,  $n_y$ ,  $n_z$ ,  $n_s$  și  $n_c$  biți. De asemenea, fără a pierde din generalitate, presupunem că  $n_x \leq n_y \leq n_z$ . Arătați atunci că  $n_s = n_z$  și că

$$n_c = \begin{cases} n_z & \text{dacă } n_y < n_z, \\ n_z + 1 & \text{dacă } n_y = n_z. \end{cases}$$

**29.3-4** Arătați că înmulțirea poate fi realizată în timp  $O(\lg n)$  și dimensiunea  $O(n^2)$  numai dacă impunem restricția ca portile să aibă evantai de intrare  $O(1)$ .

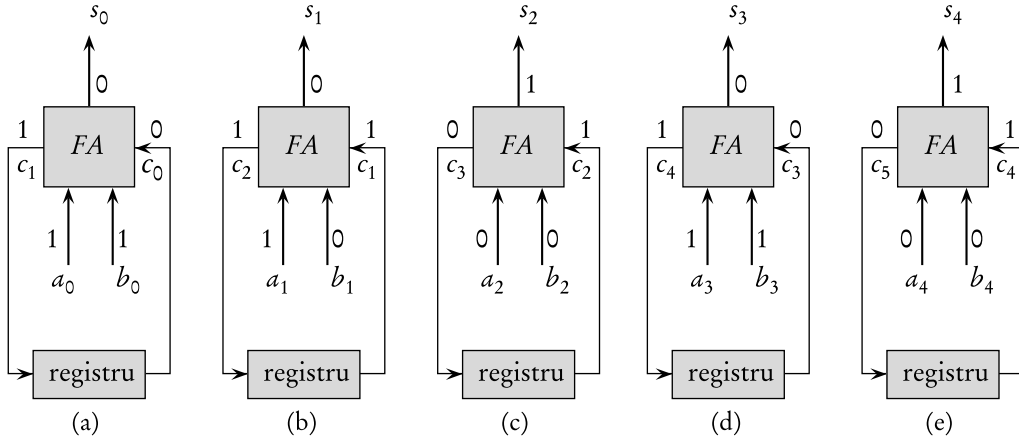
**29.3-5** Descrieți un circuit eficient care calculează cîțul împărțirii la 3 a unui număr binar  $x$  divizibil cu 3. (*Indica ie:* În binar,  $0.010101\dots = 0.01 \times 1.01 \times 1.0001 \times \dots$ ).

**29.3-6** Un *deplasator ciclic* este un circuit care are două intrări  $x = \langle x_{n-1}, x_{n-2}, \dots, x_0 \rangle$  și  $s = \langle s_{m-1}, s_{m-2}, \dots, s_0 \rangle$ , unde  $m = \lceil \lg n \rceil$ . Ieșirea lui  $y = \langle y_{n-1}, y_{n-2}, \dots, y_0 \rangle$  este  $y_i = x_{i+s \bmod n}$ , pentru  $i = 0, 1, \dots, n - 1$ . Altfel spus, acest deplasator rotește biții lui  $x$  cu  $s$  poziții. Descrieți un deplasator ciclic eficient. În termenii înmulțirii modulo, ce funcție implementează un deplasator ciclic?

## 29.4. Circuite cu ceas

Elementele de circuite combinaționale pot fi folosite de mai multe ori în timpul calculelor. Prin introducerea elementelor de ceas în circuite, aceste elemente combinaționale pot fi reutilizate. De cele mai multe ori, circuitele cu ceas sunt mai mici decât circuitele combinaționale construite pentru aceeași funcție.

Această secțiune investighează circuitele cu ceas folosite pentru adunare și înmulțire. Începem cu un circuit cu ceas de dimensiune  $\Theta(1)$ , numit sumator bit-serial, care adună două numere de câte  $n$  biți în timp  $\Theta(n)$ . Apoi vom studia multiplicatorii matriceali liniari. Vom prezenta un multiplicator matriceal liniar de dimensiune  $\Theta(n)$  care poate înmulții două numere de câte  $n$  biți într-un timp  $\Theta(n)$ .



**Figura 29.17** Operarea într-un sumator bit-serial. În timpul celui de-al  $i$ -lea ciclu de ceas,  $i = 0, 1, \dots, n$ , sumatorul complet  $FA$  primește intrările  $a_i$  și  $b_i$ , iar bitul de transport  $c_i$  din registru. Sumatorul complet produce bitul sumă  $s_i$ , iar bitul de transport  $c_{i+1}$ , este memorat înapoi în registru, spre a fi utilizat în tactul următor. Registrul este inițializat cu  $c_0 = 0$ . (a)-(e) indică stările din cele 5 faze pentru adunarea numerelor  $a = \langle 1011 \rangle$  și  $b = \langle 1001 \rangle$ , rezultatul fiind  $s = \langle 10100 \rangle$ .

#### 29.4.1. Sumator bit-serial

Introducem circuitul cu ceas revenind la problema adunării a două numere de câte  $n$  biți. În figura 29.17 se arată cum se poate utiliza un singur sumator complet pentru a produce o sumă de  $n + 1$  biți  $s = \langle s_n, s_{n-1}, \dots, s_0 \rangle$  a două numere de câte  $n$  biți  $a = \langle a_{n-1}, a_{n-2}, \dots, a_0 \rangle$  și  $b = \langle b_{n-1}, b_{n-2}, \dots, b_0 \rangle$ . Mediul extern prezintă perechile de biți de intrare la fiecare tact: întâi,  $a_0$  și  $b_0$ , apoi,  $a_1$  și  $b_1$  și.m.d. Deși se dorește transportul unui bit la poziția următoare, nu se pot furniza toate transporturile deodată. Este o chestiune de timp: transportul de intrare la poziția  $c_i$  trebuie să intre în sumatorul complet la momentul în care sunt însumate intrările  $a_i, b_i$ . Absența acestei intrări, la timpul potrivit, conduce, evident, la un rezultat eronat.

Așa cum rezultă din figura 29.17, soluția este de a folosi un **sumator cu circuit de ceas** sau **circuit secvențial**, care conține circuite combinaționale și unul sau mai mulți **regiștri** (elemente de memorare cu ceas). Circuitele combinaționale au intrări fie din mediul extern, fie din regiștrii de ieșire. Ele furnizează ieșiri fie spre mediul extern, fie în regiștri. Ca și la circuitele combinaționale, se interzice includerea, în circuitele cu ceas, a circuitelor combinaționale care conțin cicluri.

Fiecare regisztr dintr-un circuit cu ceas este controlat printr-un semnal periodic, numit **tact de ceas**. De fiecare dată când ceasul pulsează, sau dă un **tact**, regisztrul încarcă și memorează în el noua intrare. Intervalul de timp dintre două semnale (tacte de ceas) constituie **perioada de ceas (frecvența de ceas)**. Într-un **circuit global de ceas**, toți regiștrii sunt coordonați de același ceas.

Să examinăm, puțin mai în detaliu, operațiile cu un regisztr. Privim fiecare tact ca un puls momentan. La un anumit tact, regisztrul citește valoarea de intrare prezentată *în acel moment* și o memorează. Această valoare memorată apare ca ieșire a regisztrului, atunci când este mutată într-un alt regisztr la următorul tact. Cu alte cuvinte, valoarea de intrare dintr-un regisztr la

un moment dat apare la ieșire la următorul tact de ceas.

Acum să examinăm circuitul din figura 29.17, pe care îl numim **sumator bit-serial**. Pentru ca ieșirile sumatorilor să fie corecte, se cere ca intervalul dintre tacte să fie cel puțin tot atât de lung ca lungimea cozii de propagare, astfel încât să se poată efectua calculul la fiecare etapă în parte. În timpul perioadei 0, așa cum se vede în figura 29.17(a), mediul extern aplică intrările  $a_0$  și  $b_0$  la două dintre intrările sumatorului. Presupunem că, în registru, se află valoarea 0. Transportul inițial este, astfel,  $c_0 = 0$ . Mai târziu, în acest tact se generează ieșirea  $s_0$  și noul transport  $c_1$ . Bitul de ieșire este preluat în mediul extern unde va fi salvat ca parte a sumei  $s$ . Firul transportorului sumatorului complet alimentează registrul, astfel încât  $c_1$  este citit în registru la următorul tact de ceas. La începutul perioadei 1, (figura 29.17(b)) sosesc din exterior  $a_1$  și  $b_1$ , se citește transportul  $c_1$  din registru, după care se produce ieșirea  $s_1$  și noul transport  $c_2$ , care se depune în registru. Bitul sumă  $s_1$  este neglijat, iar bitul  $c_2$  intră în registru. Acest ciclu continuă până la momentul  $n$  ilustrat în figura 29.17(e), în care registrul conține  $c_n$ . Mediul extern transmite  $a_n = b_n = 0$  și, astfel,  $s_n = c_n$ .

## Analiză

Pentru a determina timpul total  $t$  cerut de un circuit global de ceas, este necesar să se cunoască numărul de perioade de timp  $p$  și durata  $d$  a fiecărei perioade, deci avem  $t = pd$ . Este necesar ca perioada  $d$  să fie suficient de mare pentru a se permite execuția fiecărui tact. Desigur, în funcție de intrări, calculul se poate desfășura mai repede, însă  $d$  trebuie să fie proporțional cu adâncimea circuitului combinațional.

Să vedem, acum, cât durează sumatorul bit-serial pentru numere de  $n$  biți. Fiecare tact de ceas are timpul  $\Theta(1)$  deoarece adâncimea este  $\Theta(1)$ . Deoarece se cere producerea a  $n + 1$  biți, timpul total se adună, deci  $(n + 1)\Theta(1) = \Theta(n)$ .

Dimensiunea sumatorului bit-serial (numărul de elemente combinaționale plus numărul de regiștri) este  $\Theta(1)$ .

## Adunarea cu transport propagat în comparație cu adunarea cu bit serial

Se observă că sumatorul cu transport propagat apare ca o dublare a sumatorului bit-serial cu regiștri înlăciți cu conexiuni directe la elementele combinaționale corespunzătoare. Deci sumatorul cu transport propagat este, de fapt, un fel de reprezentare spațială a sumatorului bit-serial. Cel de-al  $i$ -lea sumator complet corespunde tactului  $i$  al execuției sumatorului bit-serial.

În general, orice circuit cu ceas poate fi înlocuit cu unul combinațional echivalent având întârzierea de timp asymptotic egală cu primul, cu condiția să cunoaștem dinainte numărul de tacte executate de circuitul cu ceas. Există, evident, o serie de diferențe. Circuitul cu ceas folosește mai puține elemente combinaționale (mai puține cu un factor de  $\Theta(n)$  în cazul unui sumator bit serial comparat cu un sumator cu transport propagat.) În schimb, circuitul combinațional are avantajul unei părți de control mai puțin complicate – nu este nevoie de un circuit cu ceas sau un circuit extern sincronizat pentru a transmite biți de intrare sau pentru a memora biți de sumă. Mai mult, circuitele combinaționale sunt puțin mai rapide decât cele cu ceas, deci mai eficiente în practică. Câștigul de timp provine din faptul că nu se așteaptă după stabilizare în fiecare tact.

| $a$ | $b$ | $a$       | $b$                 |
|-----|-----|-----------|---------------------|
| 19  | 29  | 1 0 0 1 1 | 1 1 1 0 1           |
| 9   | 58  | 1 0 0 1   | 1 1 1 0 1 0         |
| 4   | 116 | 1 0 0     | 1 1 1 0 1 0 0       |
| 2   | 232 | 1 0       | 1 1 1 0 1 0 0 0     |
| 1   | 464 | 1         | 1 1 1 0 1 0 0 0 0   |
|     | 551 |           | 1 0 0 0 1 0 0 1 1 1 |
| (a) |     |           | (b)                 |

**Figura 29.18** Înmulțirea lui 19 cu 29 folosind algoritmul țăranului rus. O linie din coloana lui  $a$  se obține prin înjumătățirea, prin lipsă, a numărului din linia precedentă, iar o intrare din coloana lui  $b$  se obține prin dublarea numărului din linia precedentă. Adunăm elementele din liniile corespunzătoare ale coloanei  $b$  cu elemente având pe linia respectivă valori impare din coloana  $a$  (hașurate). Suma obținută este produsul căutat. **(a)** Numerele scrise în zecimal. **(b)** Aceleași numere în binar.

#### 29.4.2. Moltiplicatori liniari

Multiplicatorii combinaționali din secțiunea 29.3 necesită dimensiuni de  $\Theta(n^2)$  pentru a înmulți două numere de câte  $n$  biți. Vom prezenta doi algoritmi în care circuitele se pot reprezenta liniar, nu sub forma unui tablou bidimensional de circuite. Ca și la multiplicatorul matriceal, timpul de execuție este  $\Theta(n)$ .

Multiplicatorii liniari implementează **algoritmul țăranului rus** (numit aşa pentru faptul că niște vestici care au vizitat Rusia în secolul 19, au găsit acest algoritm foarte răspândit aici). Algoritmul este ilustrat în figura 29.18(a). Fiind date două numere  $a$  și  $b$ , se formează două coloane de numere având, în antetul tabelului, numerele  $a$  și  $b$ . În fiecare linie din coloana  $a$  se trece jumătatea, prin lipsă, a numărului din linia precedentă. În fiecare linie din coloana  $b$  se trece dublul numărului din linia precedentă. Completarea tabelului se face linie cu linie până când în coloana  $a$  se obține valoarea 1. În acest moment, sunt însumate liniile din  $b$  care au în  $a$  valori impare, obținându-se valoarea produsului  $a \cdot b$ .

Algoritmul țăranului rus apare, la prima vedere, cel puțin ciudat, dacă nu remarcabil. Dacă însă urmărim figura 29.18(b), se constată că este vorba de înmulțirea clasică scrisă în baza 2 (deînmulțitul deplasat se adună când cifra curentă a înmulțitorului este 1, adică atunci când (după deplasare) este număr impar.)

### O implementare lentă a multiplicatorului liniar

În figura 29.19(a) este prezentată o implementare a algoritmului ţăranului rus pentru două numere de câte  $n$  biți. Se folosește un circuit cu ceas constând dintr-un tablou liniar de  $2n$  celule. Fiecare celulă conține trei registri. Unul dintre registri conține un bit din intrarea  $a$ , alt registru conține un bit din intrarea  $b$ , iar al treilea un bit al produsului  $p$ . Indicii superiori notează valorile din celulele înaintea fiecărui pas al algoritmului. De exemplu, valoarea bitului  $a_i$  înaintea pasului  $j$  este  $a_i^{(j)}$  și definește numărul  $a^{(j)} = \langle a_{2n-1}^{(j)}, a_{2n-2}^{(j)}, \dots, a_0^{(j)} \rangle$ .

Algoritmul execută o secvență de  $n$  pași, numerotati  $0, 1, \dots, n - 1$ , unde fiecare pas este

executat într-un tact. Algoritmul păstrează invariantul, indiferent de pasul  $j$ :

$$a^{(j)} \cdot b^{(j)} + p^{(j)} = a \cdot b \quad (29.6)$$

(vezi exercițiul 29.4-2). Inițial,  $a^{(0)} = a$ ,  $b^{(0)} = b$  și  $p^{(0)} = 0$ . Pasul  $j$  constă din următoarele calcule:

1. Dacă  $a^{(j)}$  este impar (adică  $a_0^{(j)} = 1$ ), atunci adună  $b$  la  $p$ :  $p^{(j+1)} \leftarrow b^{(j)} + p^{(j)}$ . (Adunarea este efectuată de un sumator cu transport propagat care determină lungimea tabloului; bitul de transport se propagă de la dreapta la stânga.) Dacă  $a^{(j)}$  este par, atunci  $p$  este modificat la pasul următor:  $p^{(j+1)} \leftarrow p^{(j)}$ .

2. Deplasează  $a$  spre dreapta cu o poziție:

$$a_i^{(j+1)} \leftarrow \begin{cases} a_{i+1}^{(j)} & \text{dacă } 0 \leq i \leq 2n-2, \\ 0 & \text{dacă } i = 2n-1. \end{cases}$$

3. Deplasează  $b$  spre stânga cu o poziție:

$$b_i^{(j+1)} \leftarrow \begin{cases} b_{i-1}^{(j)} & \text{dacă } 1 \leq i \leq 2n-1, \\ 0 & \text{dacă } i = 0. \end{cases}$$

După execuția celor  $n$  pași, s-au calculat toți biții lui  $a$ ; atunci  $a^{(n)} = 0$ . Invariantul (29.6) implică  $p^{(n)} = a \cdot b$ .

Să analizăm acest algoritm. Presupunând că informațiile se propagă în toate celulele simultan, avem  $n$  pași. Fiecare pas consumă, în cel mai defavorabil caz, un timp de  $\Theta(n)$  deoarece adâncimea sumatorului cu transport propagat este  $\Theta(n)$ . O perioadă de ceas este  $\Theta(n)$ . Fiecare deplasare se execută în  $\Theta(1)$  unități de timp. Din aceste considerente, algoritmul consumă un timp  $\Theta(n^2)$ . Deoarece fiecare celulă are dimensiune constantă, dimensiunea multiplicatorului liniar este  $\Theta(n)$ .

## O implementare liniară rapidă

Folosind sumatori cu transport salvat în loc de sumatori cu transport propagat, timpul fiecărui pas scade la  $\Theta(1)$ , obținând astfel să scădă timpul total la  $\Theta(n)$ . Așa cum reiese din figura 29.19(b), o dată cu fiecare intrare a unui bit din intrarea  $a$ , intră un bit și în intrarea  $b$ . Fiecare celulă conține doi biți în plus,  $u, v$ , care sunt ieșirile de salvare a transporturilor. Folosind o reprezentare pentru transport salvat la însumările produselor, invariantul se păstrează la fiecare pas  $j$ ,

$$a^{(j)} \cdot b^{(j)} + u^{(j)} + v^{(j)} = a \cdot b \quad (29.7)$$

(vezi exercițiul 29.4-2). Fiecare pas deplasează  $a$  și  $b$  la fel ca la algoritmul liniar lent, astfel încât putem combina ecuațiile (29.6) și (29.7) de unde rezultă că  $u^{(j)} + v^{(j)} = p^{(j)}$ . Așadar, biții  $u$  și  $v$  conțin aceeași informație ca și  $p$  în algoritmul lent.

Al  $j$ -lea pas din implementare efectuează adunarea cu salvare transport pentru  $u$  și  $v$ , unde operanzii depind de faptul că  $a$  este par sau nu. Dacă  $a_0^{(j)} = 1$ , atunci se calculează:

$$u_i^{(j+1)} \leftarrow \text{paritate}(b_i^{(j)}, u_i^{(j)}, v_i^{(j)}), \text{ pentru } i = 0, 1, \dots, 2n-1$$

| numărul celulei |   |   |   |   |   |   |   |   |   |   | numărul celulei |   |   |   |   |   |   |   |   |   |               |
|-----------------|---|---|---|---|---|---|---|---|---|---|-----------------|---|---|---|---|---|---|---|---|---|---------------|
| 9               | 8 | 7 | 6 | 5 | 4 | 3 | 2 | 1 | 0 |   | 9               | 8 | 7 | 6 | 5 | 4 | 3 | 2 | 1 | 0 |               |
| 0               | 0 | 0 | 0 | 0 | 0 | 1 | 0 | 0 | 1 | 0 | 0               | 0 | 0 | 0 | 0 | 1 | 0 | 0 | 1 | 1 | $a^{(0)}=19$  |
| 0               | 0 | 0 | 0 | 0 | 0 | 1 | 1 | 1 | 0 | 1 | 0               | 0 | 0 | 0 | 0 | 1 | 1 | 1 | 0 | 1 | $b^{(0)}=29$  |
| 0               | 0 | 0 | 0 | 0 | 0 | 0 | 0 | 0 | 0 | 0 | 0               | 0 | 0 | 0 | 0 | 0 | 0 | 0 | 0 | 0 | $p^{(0)}=0$   |
| 0               | 0 | 0 | 0 | 0 | 0 | 0 | 0 | 0 | 0 | 0 | 0               | 0 | 0 | 0 | 0 | 0 | 0 | 0 | 0 | 0 |               |
| 0               | 0 | 0 | 0 | 0 | 0 | 0 | 1 | 0 | 0 | 1 | 0               | 0 | 0 | 0 | 0 | 0 | 1 | 0 | 0 | 1 | $a^{(1)}=9$   |
| 0               | 0 | 0 | 0 | 0 | 1 | 1 | 1 | 0 | 1 | 0 | 1               | 0 | 0 | 0 | 0 | 1 | 1 | 1 | 0 | 1 | $b^{(1)}=58$  |
| 0               | 0 | 0 | 0 | 0 | 0 | 1 | 1 | 1 | 0 | 1 | 0               | 0 | 0 | 0 | 0 | 1 | 1 | 1 | 0 | 1 | $p^{(1)}=29$  |
| 0               | 0 | 0 | 0 | 0 | 0 | 0 | 0 | 0 | 0 | 0 | 0               | 0 | 0 | 0 | 0 | 0 | 0 | 0 | 0 | 0 |               |
| 0               | 0 | 0 | 0 | 0 | 0 | 0 | 0 | 0 | 1 | 0 | 0               | 0 | 0 | 0 | 0 | 0 | 0 | 1 | 0 | 0 | $a^{(2)}=4$   |
| 0               | 0 | 0 | 0 | 1 | 1 | 1 | 0 | 1 | 0 | 0 | 0               | 0 | 0 | 0 | 0 | 1 | 1 | 1 | 0 | 1 | $b^{(2)}=116$ |
| 0               | 0 | 0 | 0 | 1 | 0 | 1 | 0 | 1 | 1 | 1 | 0               | 0 | 0 | 0 | 0 | 1 | 1 | 1 | 1 | 0 | $p^{(2)}=87$  |
| 0               | 0 | 0 | 0 | 0 | 0 | 0 | 0 | 0 | 0 | 1 | 0               | 0 | 0 | 0 | 0 | 0 | 0 | 1 | 0 | 0 | $a^{(3)}=2$   |
| 0               | 0 | 0 | 1 | 1 | 1 | 0 | 1 | 0 | 0 | 0 | 0               | 0 | 0 | 0 | 0 | 1 | 1 | 1 | 0 | 0 | $b^{(3)}=232$ |
| 0               | 0 | 0 | 0 | 1 | 0 | 1 | 0 | 1 | 1 | 1 | 0               | 0 | 0 | 0 | 0 | 1 | 1 | 1 | 1 | 0 | $p^{(3)}=87$  |
| 0               | 0 | 0 | 0 | 0 | 0 | 0 | 0 | 0 | 0 | 0 | 1               | 0 | 0 | 0 | 0 | 0 | 0 | 0 | 1 | 0 | $a^{(4)}=1$   |
| 0               | 1 | 1 | 1 | 1 | 0 | 1 | 0 | 0 | 0 | 0 | 0               | 0 | 0 | 0 | 0 | 1 | 1 | 0 | 1 | 0 | $b^{(4)}=464$ |
| 0               | 0 | 0 | 0 | 1 | 0 | 1 | 0 | 1 | 1 | 1 | 0               | 0 | 0 | 0 | 0 | 1 | 1 | 1 | 1 | 1 | $p^{(4)}=87$  |
| 0               | 0 | 0 | 0 | 0 | 0 | 0 | 0 | 0 | 0 | 0 | 1               | 0 | 0 | 0 | 0 | 0 | 0 | 0 | 0 | 1 | $a^{(5)}=0$   |
| 1               | 1 | 1 | 0 | 1 | 0 | 0 | 0 | 0 | 0 | 0 | 0               | 0 | 0 | 0 | 0 | 1 | 1 | 0 | 0 | 0 | $b^{(5)}=928$ |
| 1               | 0 | 0 | 0 | 1 | 0 | 0 | 1 | 1 | 1 | 1 | 0               | 0 | 0 | 0 | 0 | 1 | 1 | 0 | 0 | 0 | $p^{(5)}=551$ |

(a)

(b)

**Figura 29.19** Doi multiplicatori liniari care implementează algoritmul tăranului rus, ambii înmulțesc  $a = 19 = \langle 10011 \rangle$  cu  $b = 29 = \langle 11101 \rangle$  și  $n = 5$ . Este prezentată situația la începutul fiecărui pas  $j$ , iar bițiile semnificative din  $a^{(j)}b^{(j)}$  ai pasului sunt hasurați. (a) Implementarea lentă necesită un timp  $\Theta(n^2)$ . Deoarece  $a^{(5)} = 0$ , avem  $p^{(5)} = a \cdot b$ . Sunt efectuați  $n$  pași. În fiecare, este aplicat un sumator cu transport propagat. Tactul este proporțional cu lungimea tabloului, respectiv  $\Theta(n)$ , conducând la un timp total de  $\Theta(n^2)$ . ((b) Implementarea rapidă necesită doar timp  $\Theta(n)$ , deoarece prin folosirea sumatorului cu transport salvat o însumare necesită doar un timp  $\Theta(1)$ . Sunt necesari, în total,  $2n - 1 = 9$  pași. După prezentarea ultimului pas, adunările repetitive ale transporturilor din  $u$  și  $v$  produc  $u^{(9)} = a \cdot b$ .

și

$$v_i^{(j+1)} \leftarrow \begin{cases} \text{majoritate}(b_{i-1}^{(j)}, u_{i-1}^{(j)}, v_{i-1}^{(j)}) & \text{dacă } 1 \leq i \leq 2n-1, \\ 0 & \text{dacă } i = 0. \end{cases}$$

În caz contrar, dacă  $a_0^{(j)} = 0$ , calculăm

$$u_i^{(j+1)} \leftarrow \text{paritate}(0, u_i^{(j)}, v_i^{(j)}), \text{ pentru } i = 0, 1, \dots, 2n-1$$

și

$$v_i^{(j+1)} \leftarrow \begin{cases} \text{majoritate}(0, u_{i-1}^{(j)}, v_{i-1}^{(j)}) & \text{dacă } 1 \leq i \leq 2n-1, \\ 0 & \text{dacă } i = 0. \end{cases}$$

După actualizarea lui  $u$  și a lui  $v$ , în pasul  $j$ , se deplasează  $a$  la dreapta și  $b$  la stânga în aceeași manieră ca la algoritmul lent.

Implementarea rapidă efectuează, în total,  $2n-1$  pași. Pentru  $j \geq n$ , avem  $a^{(j)} = 0$  și invariantul (29.7) implică  $u^{(j)} + v^{(j)} = a \cdot b$ . O dată ce  $a^{(j)} = 0$ , toți pașii viitori servesc numai pentru a aduna transporturile salvate la  $u$  și  $v$ . Exercițiul 29.4-3 arată că  $v^{(2n-1)} = 0$ , deci  $u^{(2n-1)} = a \cdot b$ .

Timpul total, în cel mai defavorabil caz, este  $\Theta(n)$  deoarece fiecare din cei  $2n-1$  pași consumă un timp  $\Theta(1)$ . Deoarece fiecare celulă consumă timp constant, timpul total rămâne  $\Theta(n)$ .

## Exerciții

**29.4-1** Fie  $a = \langle 101101 \rangle$ ,  $b = \langle 011110 \rangle$  și  $n = 6$ . Arătați, pentru  $a, b$  dați, cum operează algoritmul țăranului rus, atât în binar, cât și în zecimal.

**29.4-2** Demonstrați valabilitatea invariантelor (29.6) și (29.7) pentru multiplicatorii liniari.

**29.4-3** Arătați că  $v^{(2n-1)} = 0$  în multiplicatorul liniar rapid.

**29.4-4** Descrieți cum reprezintă multiplicatorul matriceal din secțiunea 29.3.1 calculul “nestratificat” al multiplicatorului liniar rapid.

**29.4-5** Considerăm un flux de date  $\langle x_1, x_2, \dots \rangle$  care sosește la un circuit cu ceas cu o rată de o valoare pe tact. Pentru o valoare fixată  $n$ , circuitul trebuie să calculeze valoarea:

$$y_t = \max_{t-n+1 \leq i \leq t} x_i$$

pentru  $t = n, n+1, \dots$ . Astfel,  $y_t$  este valoare maximă dintre cele mai recente  $n$  valori sosite la circuit. Dați un circuit cu dimensiunea  $O(n)$  care, în fiecare tact cu intrarea  $x_t$ , calculează valoarea de ieșire  $y_t$  în timp  $O(1)$ . Circuitul poate utiliza regiștri și elemente combinaționale care calculează maximul dintre două intrări.

**29.4-6** \* Rezolvați din nou exercițiul 29.4-5 folosind numai  $O(\lg n)$  elemente de tip “maximum”.

## Probleme

### 29-1 Circuite de împărțire

Pornind de la tehnica numită **iterație Newton**, se poate construi un circuit de împărțire folosind circuite de scădere și de înmulțire. Problema se rezolvă plecând de la problema înrudită de calculare a inversului, obținând astfel un circuit de împărțire pornind de la un circuit adițional de înmulțire.

Ideea este de a calcula o secvență  $y_0, y_1, y_2, \dots$  de aproximare a inversului unui număr  $x$  folosind formula:

$$y_{i+1} \leftarrow 2y_i - xy_i^2.$$

Presupunem că este dat un număr binar fracționar  $x$  având  $n$  cifre după virgulă și  $1/2 \leq x \leq 1$ . Deoarece inversul poate avea o infinitate de zecimale, vom calcula cele mai semnificative  $n$  cifre ale lui.

- a. Presupunem că  $|y_i - 1/x| \leq \epsilon$ , pentru un  $\epsilon > 0$  fixat. Arătați că  $|y_{i+1} - 1/x| \leq \epsilon^2$ .
- b. Dați o aproximatie  $y_0$ , astfel încât  $y_k$  să satisfacă relația  $|y_k - 1/x| \leq 2^{-2^k}$ , pentru orice  $k \geq 0$ . Cât de mare trebuie să fie  $k$  astfel încât aproximarea  $y_k$  să fie potrivită, inclusiv pentru cea mai puțin semnificativă dintre cele  $n$  zecimale?
- c. Descrieți un circuit combinațional care, dacă i se dă o intrare  $x$  de  $n$  biți, aproximează  $1/x$  în timp  $O(\lg^2 n)$ . Care este dimensiunea acestui circuit? (*Indica ie:* Cu puțină istețime, se poate învinge limitarea dimensiunii la  $\Theta(n^2 \lg n)$ .)

### 29-2 Formule booleene pentru funcții simetrice

O funcție de  $n$  variabile  $f(x_1, x_2, \dots, x_n)$  este **simetrică** dacă

$$f(x_1, x_2, \dots, x_n) = f(x_{\pi(1)}, x_{\pi(2)}, \dots, x_{\pi(n)})$$

pentru fiecare permutare  $\pi$  a mulțimii  $\{1, 2, \dots, n\}$ . În această problemă presupunem că există o formulă booleană ce reprezintă pe  $f$  și a cărei lungime este polinomială în  $n$ . (Pentru scopul nostru, o formulă booleană este un sir care cuprinde variabilele  $x_1, x_2, \dots, x_n$ , paranteze și operatorii booleeni  $\wedge$ ,  $\vee$  și  $\neg$ .) Ideea de rezolvare este de a converti un circuit boolean de adâncime logarithmică într-o formulă booleană de lungime polinomială. Presupunem că sunt folosite câte două circuite poartă AND, OR, NOT.

- a. Începem construind o funcție simetrică simplă: **funcția majoritate** generalizată pe  $n$  intrări booleene, definită prin:

$$\text{majoritate}_n(x_1, x_2, \dots, x_n) = \begin{cases} 1 & \text{dacă } x_1 + x_2 + \dots + x_n > n/2, \\ 0 & \text{altfel.} \end{cases}$$

Descrieți un circuit de adâncime  $O(\lg n)$  pentru funcția  $\text{majoritate}_n$ . (*Indica ie:* Construiți un arbore de sumatori.)

- b. Presupunem că  $f$  este o funcție booleană oarecare de  $n$  variabile  $x_1, x_2, \dots, x_n$ . Presupunem că există un circuit  $C$  de adâncime  $d$  care îl calculează pe  $f$ . Arătați cum se construiește, pentru  $C$ , o formulă booleană de lungime  $O(2^d)$ . Deduceți că există pentru majoritate <sub>$n$</sub>  o formulă de dimensiune polinomială.
- c. Arătați că orice funcție booleană simetrică  $f(x_1, x_2, \dots, x_n)$  poate fi exprimată ca o funcție de  $\sum_{i=1}^n x_i$ .
- d. Arătați că orice funcție simetrică de  $n$  intrări booleene poate fi calculată de către un circuit combinațional de adâncime  $O(\lg n)$ .
- e. Arătați că orice funcție booleană de  $n$  variabile booleene poate fi reprezentată printr-o formulă de dimensiune polinomială în  $n$ .

## Note bibliografice

Cele mai multe cărți de aritmetică și calculatoare se concentrează mai mult pe aspectele practice ale implementării circuitelor decât pe o teorie algoritmică. Savage [173] este unul dintre puținii care a cercetat aspecte algoritmice în acest domeniu. Recomandăm cărțile de aritmetică calculatoarelor, orientate hardware, ale lui Cavanagh [39] și Hwang [108]. În ceea ce privește proiectarea circuitelor logice, combinaționale și secvențiale, recomandăm cartea lui Hill și Peterson [96], și, în combinație cu teoria limbajelor formale, cea a lui Kohavi [126].

Primele urme istorice ale algoritmicii aritmetice le întâlnim la Aiken și Hopper [7]. Algoritmii de însumare cu transport propagat sunt tot aşa de vechi ca și abacul, care are cel puțin 5000 de ani. Primul calculator mecanic care a implementat acest tip de sumator este cel al lui B. Pascal în 1642. S. Morland în 1666 și, independent de el, G. W. Leibnitz în 1671 au creat mașini de multiplicat prin adunări succesive. Înmulțirea folosind algoritmul țăranului rus se pare că este mai veche decât folosirea ei în Rusia secolului 19. După Knuth [122], metoda a fost folosită de matematicienii egipteni încă înainte de 1800 î.Hr.

Utilizarea stării sirurilor de transport: distrugere, generare, propagare, a fost aplicată la primul calculator construit la Harvard în jurul anului 1940 [180]. Una dintre primele implementări ale sumatorului cu transport anticipat este descrisă de Weinberger și Smith [199], dar metoda lor de anticipare cere porți foarte mari. Ofman [152] demonstrează că numerele de  $n$  biți pot fi însumate, folosind un sumator cu transport anticipat, în timp  $O(\lg n)$  și folosind porți de dimensiune constantă.

Ideea folosirii adunării cu transport salvat pentru accelerarea înmulțirii, aparține autorilor Estrin, Gilchrist și Pomerene [64]. Atrubin [13] descrie un multiplicator liniar de lungime infinită ce poate fi folosit pentru înmulțirea numerelororicăt de mari. Multiplacatorul produce cel de-al  $n$ -lea bit al produsului imediat ce primește al  $n$ -lea bit al intrării. Multiplicatorul arbore Wallace este atribuit lui Wallace [197], însă ideea lui a fost descoperită independent și de Ofman [152].

Algoritmii de împărțire sunt datorați lui Newton, care, încă în jurul anului 1665, a inventat ceea ce se cheamă metoda iterativă a lui Newton. Problema 29-1 folosește această metodă pentru a construi un circuit de împărțire cu adâncimea  $\Theta(\lg^2 n)$ . Justificarea acestei metode a fost dată de Beame, Cook și Hoover [19], care au arătat că împărțirea pe  $n$  biți poate fi efectuată, de fapt, cu adâncimea de  $\Theta(\lg n)$ .

---

## 30 Algoritmi pentru calculatoare paralele

Datorită creșterii numărului calculatoarelor cu procesare paralelă, a crescut și interesul pentru **algoritmii paraleli**: algoritmi care efectuează mai multe operații în același timp. Studiul algoritmilor paraleli a devenit, la ora actuală, un nou domeniu de cercetare, de sine stătător. Într-adevăr, au fost dezvoltăți algoritmi paraleli pentru multe probleme care au fost rezolvate folosind algoritmi seriali obișnuiți. În acest capitol vom descrie câțiva algoritmi paraleli simpli care ilustrează probleme și tehnici fundamentale.

Pentru a studia algoritmii paraleli, trebuie să alegem un model adecvat pentru calculul paralel. Mașina cu acces aleator, sau RAM (engl. Random-Access Machine), folosită în cea mai mare parte a acestei lucrări, este o mașină serială și nu una paralelă. Modelele paralele pe care le-am studiat – rețele de sortare (capitolul 28) și circuitele (capitolul 29) – sunt prea restrictive pentru a cerceta, de exemplu, algoritmi pe structuri de date.

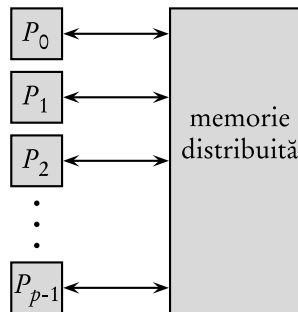
Algoritmii paraleli, din acest capitol, sunt prezentati în termenii unui model teoretic cunoscut: mașina paralelă cu acces aleator (engl. Parallel Random-Access Machine), sau PRAM (se pronunță “PE-ram”). Mulți algoritmi paraleli pentru siruri, liste, arbori sau grafuri pot fi foarte ușor descriși folosind modelul PRAM. Cu toate că acest model ignoră multe aspecte importante ale mașinilor paralele reale, atributile esențiale ale algoritmilor paraleli tind să nu fie limitați de modelele pentru care au fost proiectați. Dacă un algoritm PRAM este mai bun decât un alt algoritm PRAM, este puțin probabil ca performanțele relative ale acestor algoritmi să se schimbe în mod substanțial când ambii algoritmi sunt adaptați execuției pe un calculator real cu procesare paralelă.

### Modelul PRAM

În figura 30.1 este prezentată arhitectura de bază a unei **mașini paralele cu acces aleator (PRAM)**. Există  $p$  procesoare (seriale) obișnuite  $P_0, P_1, \dots, P_{p-1}$  care au ca spațiu de stocare o memorie globală partajată. Toate aceste procesoare pot citi sau scrie în această memorie “în paralel” (în același timp). De asemenea, procesoarele pot efectua diferite operații aritmetice și logice în paralel.

Ipoteza de bază în privința performanțelor algoritmilor PRAM este aceea că timpul de execuție poate fi măsurat prin numărul accesărilor paralele la memorie efectuate de algoritm. Această ipoteză reprezintă o generalizare directă a modelelor RAM obișnuite, în care numărul accesărilor este, asimptotic, la fel de bun ca orice altă modalitate de a măsura timpul de execuție. Această ipoteză simplă ne va fi foarte folositoare în cercetarea algoritmilor paraleli, chiar și atunci când calculatoarele reale cu procesare paralelă nu pot executa accesări paralele la memoria globală într-o unitate de timp: timpul necesar unei accesări crește o dată cu numărul procesoarelor din calculator.

Cu toate acestea, pentru algoritmii paraleli care accesează datele într-un anume fel, poate fi justificată ipoteza efectuării operațiilor cu memoria în unitatea de timp. Mașinile paralele reale au, de obicei, o rețea de comunicație care poate simula această memorie globală. Accesarea datelor prin intermediul acestei rețele este o operație relativ lentă în comparație cu alte operații cum ar fi cele aritmetice. De aceea, numărând accesările paralele la memorie efectuate de doi algoritmi paraleli, obținem, de fapt, o estimare destul de exactă a performanțelor lor relative.



**Figura 30.1** Arhitectura de bază a mașinii paralele cu acces aleator. Există  $p$  procesoare  $P_0, P_1, \dots, P_{p-1}$  conectate la o memorie partajată. Fiecare procesor poate accesa un cuvânt arbitrar al memoriei partajate în unitatea de timp.

Motivul principal pentru care mașinile reale încalcă această abstractizare a unității de timp, este acela că anumite modele de accesare a memoriei sunt mai rapide decât altele. Totuși, ca o primă aproximare, ipoteza unității de timp pentru modelele PRAM este destul de rezonabilă.

Timpul de execuție al unui algoritm paralel depinde atât de numărul procesoarelor care execută acel algoritm cât și de dimensiunea datelor de intrare. De aceea, în general, va trebui să luăm în considerare atât timpul cât și numărul de procesoare când analizăm algoritmii PRAM; aceasta este o mare deosebire față de algoritmii seriali a căror analiză se concentra mai ales asupra timpului. De obicei, există o legătură între numărul de procesoare folosite de un algoritm și timpul său de execuție. Acest subiect va fi discutat în secțiunea 30.3.

### Accesarea concurrentă și accesarea exclusivă

Un algoritm cu *citire concurrentă* este un algoritm PRAM în timpul execuției căruia mai multe procesoare pot citi, în același timp, din aceeași locație a memoriei partajate. Un algoritm cu *citire exclusivă* este un algoritm PRAM în timpul execuției căruia două procesoare nu pot citi, din aceeași locație de memorie, în același timp. Facem o distincție similară pentru algoritmii în cadrul execuției cărora două procesoare pot sau nu să scrie în aceeași locație de memorie în același timp, împărțind algoritmii PRAM în algoritmi cu *scriere concurrentă* și algoritmi cu *scriere exclusivă*. Abrevierile folosite, de obicei, pentru tipurile de algoritmi pe care îi vom întâlni sunt:

- **EREW**: citire exclusivă și scriere exclusivă
- **CREW**: citire concurrentă și scriere exclusivă
- **ERCW**: citire exclusivă și scriere concurrentă
- **CRCW**: citire concurrentă și scriere concurrentă

Aceste prescurtări provin din limba engleză și, de obicei, nu sunt pronunțate într-un singur cuvânt ci ca secvențe de litere. Literele E, C, R și W provin de la cuvintele *exclusive*, *concurrent*, *read*, *write* care se traduc prin *exclusiv*, *concurrent*, *citire*, respectiv *scriere*.

Dintre aceste tipuri de algoritmi, extremele – EREW și CRCW – sunt cele mai populare. O mașină care suportă numai algoritmi EREW este numită **EREW PRAM**, iar una care suportă și algoritmi CRCW poartă denumirea de **CRCW PRAM**. Este evident că o mașină CRCW PRAM poate executa algoritmi EREW, dar o mașină EREW PRAM nu poate suporta, direct, accesările concurente ale memoriei necesare unui algoritm CRCW. Hardware-ul necesar unei mașini EREW PRAM este rapid deoarece nu este foarte complex, nefiind necesară tratarea unor conflicte cauzate de scrieri și citiri simultane. O mașină CRCW PRAM necesită suport hardware suplimentar pentru ca ipoteza unității de timp să dea o măsură acceptabilă a performanțelor algoritmului. Totuși, această mașină oferă un model de programare care este mai direct decât cel oferit de mașinile EREW PRAM.

Dintre celelalte două tipuri de algoritmi – CREW și ERCW – literatura de specialitate a acordat mai multă atenție tipului CREW. Totuși, din punct de vedere practic, suportul pentru scrierea concurrentă nu este mai dificil de realizat decât suportul pentru citirea concurrentă. În general, în acest capitol vom trata algoritmii ca fiind de tip CRCW dacă vor conține citiri sau scrieri concurente, fără a mai face alte distincții. Vom discuta diferite aspecte ale acestei distincții în secțiunea 30.2.

Când mai multe procesoare scriu în aceeași locație în timpul execuției unui algoritm CRCW, efectul scrierii paralele nu este bine definit fără clasificări suplimentare. În acest capitol, vom folosi modelul **CRCW-comun**: când mai multe procesoare scriu în aceeași locație, ele trebuie să scrie aceeași valoare (comună). În literatura de specialitate, sunt prezentate mai multe tipuri alternative de mașini PRAM care tratează această problemă pornind de la alte ipoteze. Alte posibilități sunt:

- **CRCW-arbitrar**: stochează o valoare arbitrară dintre cele care se încearcă a fi scrise
- **CRCW-prioritar**: stochează valoarea pe care încearcă să o scrie procesorul cu indicele cel mai mic
- **CRCW-combinat**: stochează o valoare obținută printr-o combinație specificată a valorilor care se încearcă a fi scrise

În cazul ultimului tip, combinația specificată este, de obicei, o funcție asociativă și comutativă cum ar fi adunarea (se stochează suma valorilor care se încearcă a fi scrise) sau maximul (se stochează maximul valorilor care se încearcă a fi scrise).

## Sincronizare și control

Algoritmii PRAM trebuie să fie bine sincronizați pentru a lucra corect. Cum este obținută această sincronizare? De asemenea, deseori, procesoarele care execută algoritmi PRAM trebuie să detecteze condiții de terminare sau de ciclare care depind de starea tuturor procesoarelor. Cum este implementată această funcție de control?

Nu vom discuta detaliat aceste probleme. Multe calculatoare reale cu procesare paralelă conțin o rețea de control care conectează procesoarele și care ajută la condițiile de terminare și sincronizare. De obicei, rețeaua de control poate implementa aceste funcții în același timp în care o rețea de rutaj poate implementa referințe la memoria globală.

Pentru scopurile noastre, este suficient să presupunem că aceste procesoare sunt foarte bine sincronizate. La un moment dat, indicele instrucțiunii executate este același pentru toate

procesoarele. Nici un procesor nu avansează în timp ce altele execută instrucțiuni care se află înainte în cod. În timpul prezentării primului algoritm paralel, vom puncta momentele în care presupunem că procesoarele sunt sincronizate.

Pentru a detecta terminarea unei instrucțiuni paralele de ciclare care depinde de starea tuturor procesoarelor, vom presupune că o condiție de terminare paralelă poate fi testată în rețea de control în timp  $O(1)$ . Unele modele EREW PRAM prezentate în literatura de specialitate nu iau în considerare această ipoteză și timpul (logaritmic) necesar testării condiției de ciclare trebuie inclus în timpul total de execuție (vezi exercițiul 30.1-8). După cum vom vedea în secțiunea 30.2, mașinile CRCW PRAM nu au nevoie de o rețea de control pentru a testa terminarea: ele pot detecta terminarea unei instrucțiuni paralele de ciclare în timp  $O(1)$  cu ajutorul scrierilor concurente.

## Rezumatul capitolului

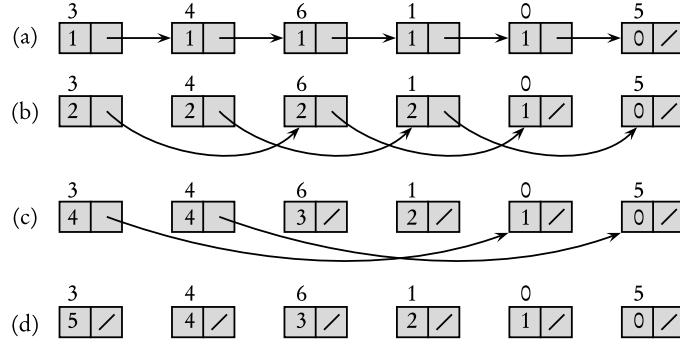
În secțiunea 30.1, vom introduce tehnica saltului de pointer care oferă o modalitate rapidă de a manipula liste în paralel. Vom arăta cum saltul de pointer poate fi folosit pentru a realiza calcule de prefixe pe liste și cum unii algoritmi rapizi cu liste pot fi adaptați pentru lucrul cu arbori. În secțiunea 30.2, vom discuta puterea relativă a algoritmilor CRCW și EREW și vom arăta că accesarea concurrentă a memoriei oferă o putere mai mare de execuție.

În secțiunea 30.3, va fi prezentată teorema lui Brent care arată cum mașinile PRAM pot simula eficient circuitele combinaționale. În această secțiune, vom discuta problema importantă a eficienței muncii și vom prezenta condițiile care trebuie îndeplinite pentru ca un algoritm PRAM care folosește  $p$  procesoare (algoritm PRAM  $p$ -procesor) să poată fi transformat într-un algoritm PRAM  $p'$ -procesor pentru orice  $p' < p$ . În secțiunea 30.4, se va relua problema realizării calculelor de prefixe într-o listă înlănțuită și va fi prezentat modul în care un algoritm probabilist poate efectua eficient calculul. În final, în secțiunea 30.5, se va arăta cum poate fi repartizată simetria în paralel, folosind un algoritm determinist. Timpul de execuție va fi unul mult mai bun decât cel logaritmic.

Algoritmii paraleli prezentați în acest capitol au fost preluăți, în special, din domeniul teoriei grafurilor. Ei reprezintă numai o mică selecție a algoritmilor paraleli cunoscuți în prezent. Totuși, tehniciile introduse în acest capitol sunt destul de reprezentative pentru tehniciile folosite pentru algoritmii probabiliști din alte domenii ale informaticii.

## 30.1. Saltul de pointer

Printre cei mai importanți algoritmi PRAM, se află cei care implică pointeri. În această secțiune, vom investiga o tehnică puternică numită salt de pointer care duce la algoritmi rapizi pentru operațiile cu liste. Mai exact, vom introduce un algoritm care rulează în timp  $O(\lg n)$  și care determină distanța față de capătul listei pentru fiecare obiect dintr-o listă cu  $n$  obiecte. Vom modifica, apoi, acest algoritm pentru a realiza un calcul paralel al “prefixului” pentru o listă cu  $n$  obiecte în timp  $O(\lg n)$ . În final, vom cerceta o metodă care permite ca mai multe probleme cu arbori să fie convertite în probleme cu liste care vor putea fi rezolvate cu ajutorul saltului de pointer. Toți algoritmii din această secțiune sunt algoritmi EREW, nici o accesare concurrentă la memoria globală nefiind necesară.



**Figura 30.2** Determinarea distanței de la fiecare obiect al unei liste cu  $n$  obiecte până la capătul listei în timp  $O(\lg n)$  folosind saltul de pointer. (a) O listă înlănțuită reprezentată într-o mașină PRAM cu valorile  $d$  inițializate. La sfârșitul algoritmului, fiecare valoare  $d$  va păstra distanța de la obiectul corespunzător la capătul listei. Pentru fiecare obiect, procesorul responsabil de acel obiect apare deasupra. (b)-(d) Pointerii și valorile  $d$  după fiecare iterație a buclei **cât timp** în algoritm RANG-LISTĂ.

### 30.1.1. Determinarea rangului obiectelor unei liste

Primul nostru algoritm paralel operează cu liste. Vom putea stoca o listă într-o mașină PRAM la fel cum am stocat o listă într-o mașină RAM obișnuită. Totuși, pentru a opera în paralel cu obiectele listei, este convenabil să atribuim fiecărui obiect un procesor “responsabil”. Vom presupune că numărul obiectelor din listă nu depășește numărul procesoarelor disponibile, și că al  $i$ -lea procesor este “responsabil” de al  $i$ -lea obiect. De exemplu, în figura 30.2(a) este prezentată o listă înlănțuită constând dintr-un sir de obiecte  $\langle 3, 4, 6, 1, 0, 5 \rangle$ . Deoarece există câte un procesor pentru fiecare obiect al listei, operațiile efectuate de către un procesor asupra obiectului corespunzător pot fi realizate în timp  $O(1)$ .

Să presupunem că se dă o listă simplu înlănțuită  $L$  cu  $n$  obiecte și dorim să determinăm, pentru fiecare obiect din  $L$ , distanța până la capătul listei. Mai exact, dacă  $urm$  este câmpul pointerului, vom dori să calculăm o valoare  $d[i]$  pentru fiecare obiect  $i$  al listei, astfel încât

$$d[i] = \begin{cases} 0 & \text{dacă } urm[i] = \text{NIL}, \\ d[urm[i]] + 1 & \text{dacă } urm[i] \neq \text{NIL}. \end{cases}$$

Vom numi problema determinării valorilor  $d$  **problema determinării rangului elementelor unei liste**.

O soluție a problemei determinării rangului elementelor unei liste este de a propaga, pur și simplu, distanța de la capătul listei. Această metodă necesită un timp  $\Theta(n)$  deoarece al  $k$ -lea obiect din capătul listei trebuie să aștepte ca cele  $k - 1$  obiecte care îl urmează să-și determine distanțele până la capăt înainte de a-și putea determina propria distanță. Această soluție este, în esență, un algoritm serial.

O soluție paralelă eficientă, necesitând doar un timp  $O(\lg n)$ , este dată de algoritmul RANG-LISTĂ( $L$ ).

În figura 30.2 este ilustrat modul în care algoritmul determină distanțele. Fiecare secțiune a figurii arată starea listei înaintea unei iterări a buclei **cât timp** în liniile 6–10. În secțiunea (a) este prezentată lista, imediat după inițializare. La prima iterărie, primele 5 obiecte ale listei

nu vor avea pointeri NIL, deci liniile 9–10 vor fi executate de procesoarele corespunzătoare lor. Rezultatul apare în secțiunea (b) a figurii. La a doua iterare, numai primele 4 obiecte nu au pointeri NIL: rezultatul acestei iterări este prezentat în secțiunea (c). La a treia iterare, nu se efectuează decât operații asupra primelor două obiecte, și rezultatul final în care toate obiectele au pointer NIL este prezentat în secțiunea (d).

### RANG-LISTĂ( $L$ )

- 1: **pentru** fiecare procesor  $i$ , în paralel **execută**
- 2:   **dacă**  $urm[i] = \text{NIL}$  **atunci**
- 3:      $d[i] \leftarrow 0$
- 4:   **altfel**
- 5:      $d[i] \leftarrow 1$
- 6: **cât timp** există un obiect  $i$  astfel încât  $urm[i] \neq \text{NIL}$  **execută**
- 7:   **pentru** fiecare procesor  $i$ , în paralel **execută**
- 8:     **dacă**  $urm[i] \neq \text{NIL}$  **atunci**
- 9:        $d[i] \leftarrow d[i] + d[urm[i]]$
- 10:       $urm[i] \leftarrow urm[urm[i]]$

Idee implementată în linia 10, în care efectuăm atribuirea  $urm[i] \leftarrow urm[urm[i]]$  pentru toți pointerii  $urm[i]$  care nu au valoarea NIL, este numită **saltul de pointer**. Câmpurile pointer sunt schimbată prin saltul de pointer, deci este distrusă structura listei. Dacă structura listei trebuie păstrată, atunci construim copii ale pointerilor  $urm$ ; apoi, vom folosi copiile pentru a calcula distanțele.

### Corectitudinea

Algoritmului RANG-LISTĂ respectă proprietatea că, la începutul fiecărei iterări a buclei **cât timp** din liniile 6–10, pentru fiecare obiect  $i$ , dacă adunăm valorile  $d$  ale sublistei al cărei vârf este  $i$ , obținem distanța corectă de la  $i$  la capătul listei originale  $L$ . De exemplu, în figura 30.2(b), sublista al cărei vârf este obiectul 3 este  $\langle 3, 6, 0 \rangle$ , valorile  $d$  corespunzătoare celor trei obiecte din listă, 2, 2 și 1 având suma 5, adică exact distanța față de sfârșitul listei. Motivul pentru care algoritmul respectă această proprietate este acela că, atunci când fiecare obiect “se lipește” de succesorul său din listă, valoarea  $d$  a succesorului este adunată la valoarea  $d$  a obiectului curent.

Observați că, pentru ca algoritmul saltului de pointer să lucreze corect, accesările simultane la memorie trebuie să fie sincronizate. Fiecare execuție a liniei 10 poate actualiza câțiva pointeri  $urm$ . Ne bazăm pe faptul că toate citirile din memorie din partea dreaptă a atribuirii (citirea  $urm[urm[i]]$ ) au loc înaintea oricărei scrieri în memorie (scrierea  $urm[i]$ ) din partea stângă.

Motivul pentru care algoritmul RANG-LISTĂ este un algoritm EREW este acela că fiecare procesor este responsabil pentru cel mult un obiect și fiecare citire și scriere din liniile 2–8 este exclusivă, la fel ca și scrierile din liniile 9 și 10. Se observă că saltul de pointer respectă proprietatea că, pentru oricare două obiecte distincte  $i$  și  $j$ , avem fie  $urm[i] \neq urm[j]$ , fie  $urm[i] = urm[j] = \text{NIL}$ . Această proprietate este, cu siguranță, adevărată pentru lista inițială și este păstrată prin execuția liniei 10. Deoarece toate valorile  $urm$  care nu au valoarea NIL sunt distincte, toate citirile din linia 10 sunt exclusive.

Trebuie să presupunem că este efectuată o anume sincronizare în linia 9 pentru ca toate citirile să fie exclusive. Mai exact, este nevoie ca toate procesoarele  $i$  să citească, mai întâi,  $d[i]$  și, apoi,  $d[urm[i]]$ . Dacă un obiect  $i$  are valoarea  $urm[i] \neq \text{NIL}$  și există un alt obiect  $j$  care

referă  $i$  (adică  $urm[j] = i$ ), atunci, cu această sincronizare, prima citire va furniza valoarea  $d[i]$  pentru procesorul  $i$ , și a doua va furniza aceeași valoare  $d[i]$  pentru procesorul  $j$ . În concluzie, RANG-LISTĂ este un algoritm EREW.

De aici înainte vom ignora astfel de detalii de sincronizare și vom presupune că mașinile PRAM și mediile de programare în pseudocod acționează într-o manieră sincronizată, toate procesoarele executând citiri și scrieri în același timp.

## Analiză

Vom arăta acum că, dacă există  $n$  obiecte în lista  $L$ , atunci RANG-LISTĂ este executată într-un timp  $O(\lg n)$ . Deoarece inițializările necesită un timp  $O(1)$  și fiecare iterație a buclei **cât timp** necesită un timp  $O(1)$ , este suficient să arătăm că există exact  $\lceil \lg n \rceil$  iterări. Observația cheie este că fiecare pas al saltului de pointer transformă fiecare listă în două liste “întrepătrunse”, una formată din obiectele de rang par și cealaltă formată din obiectele de rang impar. Deci fiecare pas al saltului de pointer dubleză numărul listelor și înjumătățește lungimile lor. În concluzie, la sfârșitul celor  $\lceil \lg n \rceil$  iterării, toate listele vor fi formate dintr-un singur obiect.

Presupunem că testul de terminare din linia 6 are nevoie de un timp  $O(1)$  datorită rețelei de control din mașina EREW PRAM. Exercițiul 30.1-8 vă cere să descrieți o implementare EREW a algoritmului RANG-LISTĂ care realizează explicit testul de terminare. Acest algoritm va trebui să se execute într-un timp  $O(\lg n)$ .

Pe lângă timpul de execuție în paralel, există o altă măsură interesantă a performanței unui algoritm paralel. Definim **efortul** depus de un algoritm paralel ca fiind produsul dintre timpul de execuție și numărul de procesoare de care are nevoie respectivul algoritm. Intuitiv, efortul este dat de numărul de operații pe care le efectuează o mașină RAM serială când simulează algoritmul paralel.

Procedura RANG-LISTĂ depune un efort  $\Theta(n \lg n)$  deoarece necesită  $n$  procesoare și un timp de execuție  $\Theta(\lg n)$ . Un algoritm serial direct, pentru problema determinării rangului obiectelor unei liste, rulează într-un timp  $\Theta(n)$ , ceea ce arată că RANG-LISTĂ depune un efort mai mare decât este necesar, dar acest efort este mai mare doar cu un factor logaritmic.

Spunem că un algoritm PRAM  $A$  este **eficient ca efort** față de un alt algoritm (serial sau paralel)  $B$ , care rezolvă aceeași problemă, dacă efortul depus de  $A$  nu este decât cu un factor constant mai mare decât efortul depus de  $B$ . Putem spune mai simplu că un algoritm PRAM  $A$  este **eficient ca efort** dacă este eficient ca efort față de cel mai bun algoritm scris pentru o mașină RAM. Deoarece cel mai bun algoritm serial pentru determinarea rangului obiectelor unei liste rulează în timp  $\Theta(n)$  pe o mașină serială RAM, RANG-LISTĂ nu este eficient ca efort. În secțiunea 30.4 vom prezenta un algoritm paralel eficient ca efort pentru determinarea rangului obiectelor unei liste.

### 30.1.2. Determinarea prefixului obiectelor unei liste

Tehnica saltului de pointer poate fi extinsă mult peste determinarea rangului obiectelor unei liste. În secțiunea 29.2.2 se arată modul în care, în contextul circuitelor aritmetice, un calcul al “prefixului” poate fi folosit pentru a realiza, rapid, adunarea binară. Vom cerceta cum poate fi folosit saltul de pointer pentru calculul prefixului. Algoritmul nostru EREW rulează în timp  $O(\lg n)$  pe o listă cu  $n$  obiecte.

Un **calcul al prefixului** este definit în termenii unui operator binar asociativ  $\otimes$ . Calculul are, ca intrare, un sir  $\langle x_1, x_2, \dots, x_n \rangle$  și produce, la ieșire, un sir  $\langle y_1, y_2, \dots, y_n \rangle$ , astfel încât  $y_1 = x_1$  și  $y_k = y_{k-1} \otimes x_k = x_1 \otimes x_2 \otimes \dots \otimes x_k$  pentru  $k = 2, 3, \dots, n$ . Cu alte cuvinte,  $y_k$  este obținut “înmulțind” primele  $k$  elemente ale sirului  $x_k$  – de aici termenul “prefix”. (Definiția din capitolul 29 indexează sirurile începând cu 0, în timp ce această definiție le indexează începând cu 1 – o diferență neesențială.)

Pentru exemplificarea calculului prefixului, să presupunem că fiecare element al unei liste cu  $n$  obiecte are valoarea 1, și fie  $\otimes$  adunarea obișnuită. Deoarece al  $k$ -lea element al listei conține valoarea  $x_k = 1$ , pentru  $k = 1, 2, \dots, n$ , un calcul al prefixului produce  $y_k = k$ , indicele celui de-al  $k$ -lea element. Deci o altă modalitate de a determina rangul obiectelor unei liste este inversarea listei (care poate fi realizată într-un timp  $O(1)$ ), calculul prefixului și scăderea unei unități din fiecare valoare calculată.

Arătăm, acum, modul în care un algoritm EREW poate calcula, în paralel, prefixele într-un timp  $O(\lg n)$  pe o listă cu  $n$  obiecte. Fie notația

$$[i, j] = x_i \otimes x_{i+1} \otimes \dots \otimes x_j$$

pentru numerele întregi  $i$  și  $j$  din domeniul  $1 \leq i \leq j \leq n$ . Atunci  $[k, k] = x_k$ , pentru  $k = 1, 2, \dots, n$ , și

$$[i, k] = [i, j] \otimes [j + 1, k]$$

pentru  $1 \leq i \leq j < k \leq n$ . Conform acestei notații, scopul unui calcul al prefixului este acela de a calcula  $y_k = [1, k]$  pentru  $k = 1, 2, \dots, n$ .

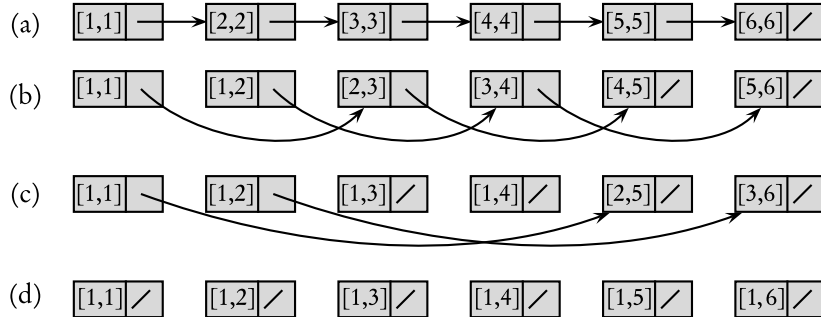
Când realizăm un calcul de prefix pe o listă, dorim ca ordinea sirului de intrare  $\langle x_1, x_2, \dots, x_n \rangle$  să fie determinată de modul în care sunt înlántuite obiectele în listă și nu de indicele obiectelor în sirul din memorie în care sunt stocate obiectele. (Exercițiu 30.1-2 vă solicită un algoritm care să calculeze prefixul pentru siruri.) Următorul algoritm EREW începe cu o valoare  $x[i]$  pentru fiecare obiect  $i$  al listei  $L$ . Dacă obiectul  $i$  este al  $k$ -lea obiect de la începutul listei, atunci  $x[i] = x_k$  este al  $k$ -lea element al sirului de intrare. Deci calculul paralel al prefixului produce  $y[i] = y_k = [1, k]$ .

#### PREFIX-LISTĂ

- 1: **pentru** fiecare procesor  $i$ , în paralel **execută**
- 2:    $y[i] \leftarrow x[i]$
- 3: **cât timp** există un obiect  $i$  astfel încât  $urm[i] \neq \text{NIL}$  **execută**
- 4:   **pentru** fiecare procesor  $i$ , în paralel **execută**
- 5:     **dacă**  $urm[i] \neq \text{NIL}$  **atunci**
- 6:        $y[urm[i]] \leftarrow y[i] \otimes y[urm[i]]$
- 7:      $urm[i] \leftarrow urm[urm[i]]$

Pseudocodul și figura 30.3 ilustrează similitudinea dintre acest algoritm și RANG-LISTĂ. Singura diferență este inițializarea și actualizarea valorilor  $y$ . În RANG-LISTĂ, procesorul  $i$  actualizează  $d[i]$  – propria sa valoare  $d$  – în timp ce în PREFIX-LISTĂ, procesorul  $i$  actualizează  $y[urm[i]]$  – valoarea  $y$  a unui alt procesor. Observați că PREFIX-LISTĂ este un algoritm EREW din același motiv ca și algoritmul RANG-LISTĂ: saltul de pointer respectă proprietatea că pentru obiecte distincte  $i$  și  $j$ , fie  $urm[i] \neq urm[j]$ , fie  $urm[i] = urm[j] = \text{NIL}$ .

În figura 30.3 este prezentată starea listei înaintea fiecărei iterări a buclei **cât timp**. Procedura respectă proprietatea că, la sfârșitul celei de-a  $t$ -a execuție a buclei **cât timp**, al  $k$ -lea



**Figura 30.3** Algoritmul paralel pentru determinarea prefixelor obiectelor unei liste, PREFIX-LISTĂ, pe o listă înlățuită. (a) Valoarea inițială  $y$  a celui de-al  $k$ -lea obiect din listă este  $[k, k]$ . Pointerul  $urm$  al celui de-al  $k$ -lea obiect indică spre al  $k + 1$ -lea sau are valoarea NIL pentru ultimul obiect. (b)-(d) Valorile  $y$  și  $urm$  înaintea fiecărui test din linia 3. Răspunsul final apare în partea (d) în care valoarea  $y$  pentru al  $k$ -lea obiect este  $[1, k]$  pentru orice  $k$ .

procesor stochează  $[\max(1, k - 2^t + 1), k]$ , pentru  $k = 1, 2, \dots, n$ . La prima iterare, al  $k$ -lea obiect din listă indică inițial spre al  $(k + 1)$ -lea obiect, cu excepția ultimului obiect, care are un pointer NIL. În linia 6, al  $k$ -lea obiect, pentru  $k = 1, 2, \dots, n - 1$ , va extrage valoarea  $[k + 1, k + 1]$  de la succesorul său. Apoi, va efectua operația  $[k, k] \otimes [k + 1, k + 1]$  care duce la rezultatul  $[k, k + 1]$  care va fi stocat în următorul obiect. Se efectuează salturi de pointer pentru pointerii  $urm$  ca și în cazul algoritmului RANG-LISTĂ și rezultatul primei iterării apare în figura 30.3(b). În mod similar, putem vedea a doua iterare. Pentru  $k = 1, 2, \dots, n - 2$ , al  $k$ -lea obiect extrage valoarea  $[k + 1, k + 2]$  de la succesorul său și apoi stochează, în următorul obiect, valoarea  $[k - 1, k] \otimes [k + 1, k + 2] = [k - 1, k + 2]$ . Rezultatul este arătat în figura 30.3(c). La a treia și ultima iterare, numai primele două obiecte ale listei nu au pointeri cu valoarea NIL și extrag valori din succesiile lor, afalți în listele corespunzătoare. Rezultatul final apare în figura 30.3(d). Observația cheie care face algoritmul PREFIX-LISTĂ să funcționeze corect este că, la fiecare pas, dacă efectuăm un calcul al prefixului pe fiecare din listele existente, fiecare obiect obține valoarea sa corectă.

Deoarece ambii algoritmi folosesc același mecanism al saltului de pointer, analiza pentru PREFIX-LISTĂ este aceeași ca și RANG-LISTĂ: timpul de execuție este  $O(\lg n)$  pe o mașină EREW PRAM și efortul total depus este  $\Theta(n \lg n)$ .

### 30.1.3. Tehnica ciclului eulerian

În această secțiune, vom introduce tehnica ciclului eulerian și vom arăta modul în care aceasta poate fi aplicată pentru problema calculării adâncimii fiecărui nod într-un arbore binar cu  $n$  noduri. Un pas cheie în acest algoritm EREW care se execută într-un timp  $O(\lg n)$  este calculul paralel al prefixului.

Pentru a stoca un arbore binar într-o mașină PRAM, folosim o reprezentare simplă a arborelui binar de genul celei prezentate în secțiunea 11.4. Fiecare nod  $i$  are câmpurile  $tata[i]$ ,  $stanga[i]$  și  $dreapta[i]$  care indică spre nodul tată al nodului  $i$ , respectiv, spre fiul stâng și spre fiul drept. Să presupunem că fiecare nod este identificat printr-un întreg nenegativ. Din motive care vor fi evidente curând, asociem nu unul, ci trei procesoare pentru fiecare nod și le vom numi

procesoarele  $A$ ,  $B$  și  $C$  ale nodului respectiv. Ar trebui să putem crea ușor o corespondență între un nod și cele trei procesoare ale sale; de exemplu, nodul  $i$  ar putea fi asociat cu procesoarele  $3i$ ,  $3i + 1$  și  $3i + 2$ .

Calculul adâncimii fiecărui nod al unui arbore cu  $n$  noduri necesită un timp  $O(n)$  pe o mașină RAM serială. Un algoritm paralel simplu pentru calculul adâncimilor propagă o “undă” în jos de la rădăcina arborelui. Unda ajunge la toate nodurile care au aceeași adâncime în același moment, deci, incrementând un contor, vom putea determina adâncimea fiecărui nod. Acest algoritm este eficient pentru un arbore binar complet deoarece rulează într-un timp proporțional cu înălțimea arborelui. Înălțimea arborelui poate însă avea valoarea  $n - 1$ , caz în care algoritmul va necesita un timp  $\Theta(n)$  – nu este mai bun decât algoritmul serial. Totuși, folosind tehnica ciclului eulerian, putem calcula adâncimile nodurilor în timp  $O(\lg n)$  pe o mașină EREW PRAM, indiferent care este înălțimea arborelui.

Un *ciclu eulerian* într-un graf este un ciclu care traversează fiecare muchie exact o dată, cu toate că poate vizita un vîrf de mai multe ori. Problema 23-3 vă cere să demonstrați că un graf conex orientat conține un ciclu eulerian dacă și numai dacă, pentru toate vîrfurile  $v$ , gradul interior al lui  $v$  este egal cu gradul exterior al lui  $v$ . Deoarece fiecare muchie  $(u, v)$  a unui graf neorientat este pusă în corespondență cu două arce  $(u, v)$  și  $(v, u)$  din versiunea orientată a grafului, versiunea orientată a oricărui graf conex neorientat – și deci a oricărui arbore neorientat – are un ciclu eulerian.

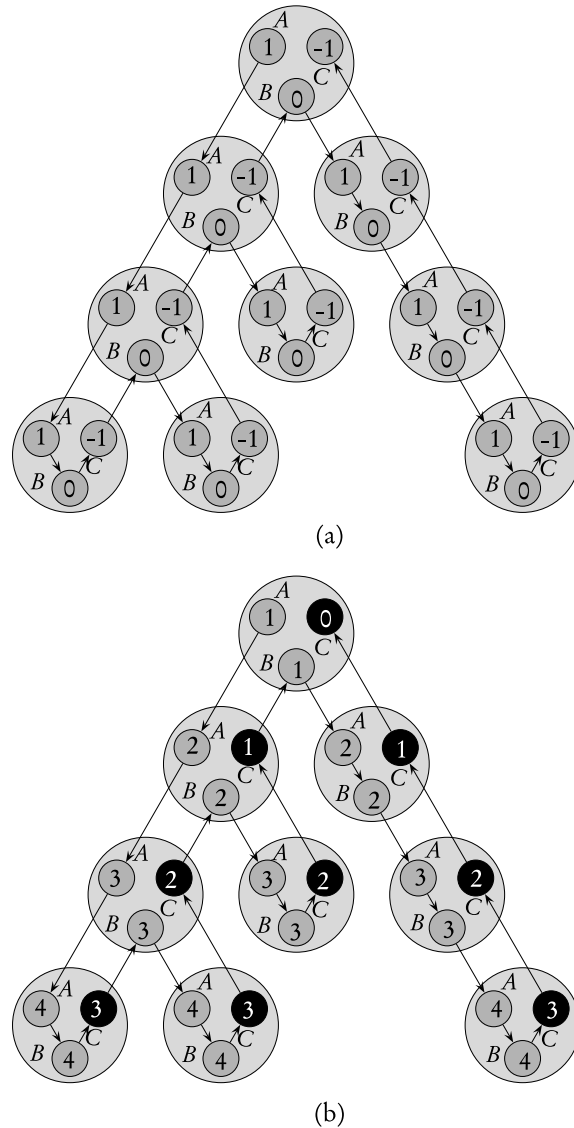
Pentru a calcula adâncimea nodurilor dintr-un arbore binar  $T$ , determinăm, mai întâi, un ciclu eulerian al versiunii orientate a lui  $T$  (văzut ca un graf neorientat). Ciclul corespunde unei parcurgeri a arborelui și este reprezentat în figura 30.4(a) printr-o listă înlănțuită care traversează nodurile arborelui. Structura acesteia poate fi descrisă după cum urmează:

- Procesorul  $A$  al unui nod indică spre procesorul  $A$  al fiului său stâng dacă acesta există sau spre propriul procesor  $B$  dacă fiul stâng nu există.
- Procesorul  $B$  al unui nod indică spre procesorul  $A$  al fiului său drept dacă acesta există sau spre propriul procesor  $C$  dacă fiul drept nu există.
- Procesorul  $C$  al unui nod indică spre procesorul  $B$  al părintelui său dacă este un fiu stâng și spre procesorul  $C$  al părintelui dacă este un fiu drept. Procesorul  $C$  al rădăcinii va avea valoarea NIL.

Deci, capul listei înlănțuite formate de ciclul eulerian este procesorul  $A$  al rădăcinii și coada este procesorul  $C$  al rădăcinii. Dându-se pointerii care compun arborele original, un ciclu eulerian poate fi construit în timp  $O(1)$ .

După ce avem lista înlănțuită reprezentând ciclul eulerian al lui  $T$ , vom plasa un 1 în fiecare procesor  $A$ , un 0 în fiecare procesor  $B$  și un  $-1$  în fiecare procesor  $C$ , după cum se arată în figura 30.4(a). Efectuăm, apoi, un calcul paralel al prefixului folosind adunarea obișnuită ca operație asociativă aşa cum am făcut și în secțiunea 30.1.2. În figura 30.4(b) este prezentat rezultatul calculului paralel al prefixului.

După efectuarea calculului paralel al prefixului, adâncimea fiecărui nod va fi păstrată în procesorul  $C$  al nodului. De ce? Numerele sunt plasate în procesoarele  $A$ ,  $B$  și  $C$  astfel încât efectul vizitării unui subarbore să fie adunarea unui 0 la valoarea sumei de rulare. Procesorul  $A$  al fiecărui nod  $i$  contribuie cu 1 la suma de rulare în subarborele stâng al lui  $i$  reflectând faptul că adâncimea fiului stâng al lui  $i$  este cu 1 mai mare decât adâncimea lui  $i$ . Procesorul  $B$  contribuie



**Figura 30.4** Folosirea tehnicii ciclului eulerian pentru calculul adâncimii fiecărui nod dintr-un arbore binar **(a)** Ciclul eulerian este o listă corespunzătoare unei parcurgeri a arborelui. Fiecare procesor conține un număr folosit de un calcul paralel al prefixului pentru a calcula adâncimile nodurilor. **(b)** Rezultatul calculului paralel al prefixului pe lista înlănțuită de la (a). Procesorul  $C$  al fiecărui nod (hașurat cu negru) conține adâncimea nodului. (Puteți verifica rezultatul acestui calcul al prefixului calculându-l serial.)

cu 0 deoarece adâncimea fiului stâng al lui  $i$  este egală cu adâncimea fiului drept al aceluiași nod  $i$ . Procesorul  $C$  contribuie cu  $-1$  pentru ca, din perspectiva părintelui lui  $i$ , întreaga vizită a subarborelui a cărui rădăcină este  $i$  să nu aibă efect asupra sumei de rulare.

Lista reprezentând ciclul eulerian poate fi determinată în timp  $O(1)$ . Lista are  $3n$  obiecte, deci calculul paralel al prefixului necesită un timp  $O(\lg n)$ . În concluzie, timpul total pentru a determina adâncimile tuturor nodurilor este  $O(\lg n)$ . Deoarece nu sunt necesare accesări concurente ale memoriei, algoritmul prezentat este un algoritm EREW.

### Exerciții

**30.1-1** Dați un algoritm EREW în timp  $O(\lg n)$  pentru a decide, pentru fiecare obiect dintr-o listă cu  $n$  obiecte, dacă este obiectul din mijloc (al  $\lfloor n/2 \rfloor$ -lea).

**30.1-2** Dați un algoritm EREW în timp  $O(\lg n)$  pentru a efectua calculul prefixului pentru un vector  $x[1..n]$ . Nu folosiți pointeri, ci efectuați direct calculele de indice.

**30.1-3** Să presupunem că fiecare obiect dintr-o listă  $L$  cu  $n$  obiecte este colorat fie cu roșu, fie cu albastru. Dați un algoritm EREW eficient pentru a forma două liste care să conțină obiectele din  $L$ : una formată din obiectele albastre și cealaltă din cele roșii.

**30.1-4** O mașină EREW PRAM are  $n$  obiecte distribuite între câteva liste circulare disjuncte. Dați un algoritm eficient care determină arbitrar un obiect reprezentativ pentru fiecare listă și “comunică” fiecărui obiect din listă, identitatea reprezentatului. Presupunem că fiecare procesor își cunoaște propriul indice unic.

**30.1-5** Dați un algoritm EREW care să se execute în timp  $O(\lg n)$  pentru a calcula dimensiunile subarborilor care au ca rădăcină cele  $n$  noduri ale unui arbore binar. (*Indica ie:* Luați diferența a două valori într-o sumă de rulare de-a lungul unui ciclu eulerian.)

**30.1-6** Dați un algoritm EREW eficient pentru determinarea numerotării în preordine, inordine și postordine a unui arbore binar arbitrar.

**30.1-7** Extindeți tehnica ciclului eulerian de la arbori binari la arbori de sortare cu grade arbitrară ale nodurilor. Mai precis, descrieți o reprezentare pentru arborii de sortare care permite aplicarea tehnicii ciclului eulerian. Dați un algoritm EREW pentru a calcula adâncimile nodurilor unui arbore de sortare cu  $n$  noduri într-un timp  $O(\lg n)$ .

**30.1-8** Descrieți o implementare EREW în timp  $O(\lg n)$  pentru RANG-LISTĂ care efectuează explicit condiția de terminare a buclei. (*Indica ie:* Îmbinați testul cu corpul buclei.)

## 30.2. Algoritmi CRCW și algoritmi EREW

Discuțiile cu privire la oportunitatea de a oferi posibilitatea accesării concurente a memoriei sunt foarte aprinse. Unii afirmă că mecanismele hardware care suportă algoritmii CRCW sunt prea costisitoare și sunt folosite prea rar pentru ca dezvoltarea lor să fie justificată. Alții se plâng că mașinile EREW PRAM furnizează un model de programare prea restrictiv. Probabil

că adevărul este undeva la mijloc și, de aceea, au fost propuse diferite modele de compromis. Cu toate acestea, este instructiv să examinăm ce avantaje algoritmice sunt oferite de accesările concurente la memorie.

În această secțiune vom arăta că există probleme în care un algoritm CRCW depășește performanțele celui mai bun algoritm EREW posibil. Pentru problema găsirii identităților rădăcinilor arborilor dintr-o pădure, citirile concurente permit descrierea unui algoritm mai rapid. Pentru problema găsirii elementului maxim dintr-un vector, scrierile concurente permit descrierea unui algoritm mai rapid.

## O problemă în care sunt folosite citirile concurente

Fie o pădure de arbori binari în care fiecare nod  $i$  are un pointer  $tata[i]$  care indică spre părintele său și dorim ca, pentru fiecare nod, să se determine identitatea rădăcinii arborelui din care face parte nodul. Asociind procesorul  $i$  cu fiecare nod  $i$  din pădurea  $F$ , următorul algoritm de salt de pointer stochează identitatea rădăcinii arborelui fiecărui nod  $i$  în  $rădăcină[i]$ .

### GĂSESTE-RĂDĂCINI

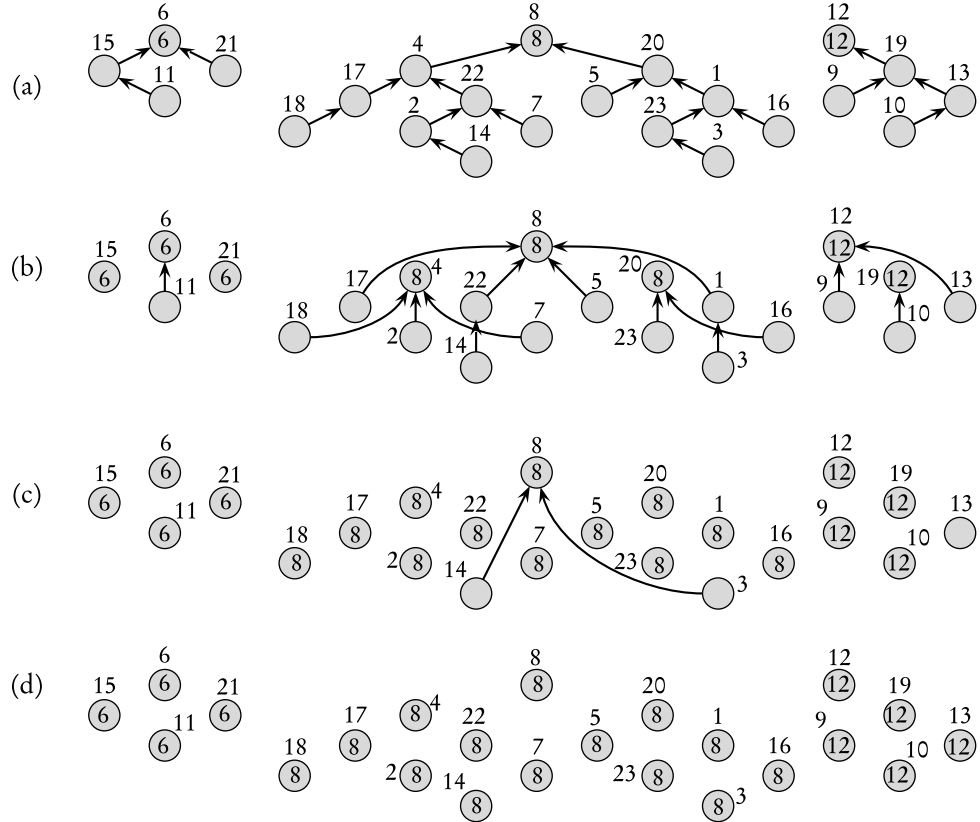
- 1: pentru fiecare procesor  $i$ , în paralel execută
- 2: dacă  $tata[i] = \text{NIL}$  atunci
- 3:      $rădăcină[i] \leftarrow i$
- 4: cât timp există un nod  $i$  astfel încât  $tata[i] \neq \text{NIL}$  execută
- 5:     pentru fiecare procesor  $i$ , în paralel execută
- 6:         dacă  $tata[i] \neq \text{NIL}$  atunci
- 7:             dacă  $tata[tata[i]] = \text{NIL}$  atunci
- 8:                  $rădăcină[i] \leftarrow rădăcină[tata[i]]$
- 9:              $tata[i] \leftarrow tata[tata[i]]$

În figura 30.5 sunt ilustrate operațiile efectuate de acest algoritm. După inițializările efectuate în liniile 1–3, prezentate în figura 30.5(a), singurele noduri care pot identifica rădăcinile corespunzătoare sunt chiar rădăcinile. Bucla cât timp din liniile 4–9 execută saltul de pointer și completează cîmpurile  $rădăcină$ . În figurile 30.5(b)–(d) se prezintă starea pădurii după prima, a doua și a treia iterație a buclei. După cum puteți vedea, algoritmul respectă proprietatea că, dacă  $tata[i] = \text{NIL}$ , atunci cîmpului  $rădăcină[i]$  i se va atribui identitatea nodului rădăcină corespunzător.

Afirmăm că GĂSESTE-RĂDĂCINI este un algoritm CRCW care rulează în timp  $O(\lg d)$ , unde  $d$  este adâncimea arborelui cu cea mai mare adâncime din pădure. Singurele scrieri au loc în liniile 3, 8, și 9 și acestea sunt exclusive, în fiecare dintre ele procesorul  $i$  scriind numai în nodul  $i$ . Totuși, citirile din liniile 8–9 sunt concurente deoarece mai multe noduri pot avea pointeri spre același nod. De exemplu, în figura 30.5(b) se observă că, în timpul celei de-a doua iterării a buclei cât timp,  $rădăcină[4]$  și  $tata[4]$  sunt citite de procesoarele 18, 2 și 7.

Timpul de execuție al algoritmului GĂSESTE-RĂDĂCINI este  $O(\lg d)$ , în principal din același motiv ca și RANG-LISTĂ: lungimea fiecărui drum este înjumătățită la fiecare iterăție. În figura 30.5 este prezentată, pe larg, această caracteristică.

Cât de rapid pot  $n$  noduri dintr-o pădure să determine rădăcinile arborilor binari din care fac parte folosind doar citiri exclusive? O demonstrație simplă arată că este nevoie de un timp  $\Omega(\lg n)$ . Observația cheie este aceea că, atunci când citirile sunt exclusive, fiecare pas al mașinii PRAM permite unei anumite informații să fie copiată în cel mult o altă locație de memorie,



**Figura 30.5** Găsirea rădăcinilor într-o pădure de arbori binari pe o mașină CREW PRAM. Indicele nodurilor sunt scrise lângă noduri, iar câmpurile *rădăcină* apar în interiorul nodurilor. Legăturile reprezintă pointerii *tata*. **(a)-(d)** Starea arborilor din pădure de fiecare dată când se execută linia 4 a algoritmului GĂSEȘTE-RĂDĂCINI. Observați că lungimile drumurilor sunt înjumătățite la fiecare iterație.

deci numărul locațiilor care pot conține o anumită informație se poate cel mult dubla la fiecare pas. Luând în considerare un singur arbore, inițial identitatea rădăcinii este stocată în cel mult o locație de memorie. După primul pas cel mult două locații pot conține identitatea rădăcinii, după  $k$  pași cel mult  $2^{k-1}$  locații pot conține identitatea rădăcinii. Dacă dimensiunea arborelui este  $\Theta(n)$  avem nevoie ca  $\Theta(n)$  locații să conțină identitatea rădăcinii când execuția algoritmului se termină, deci sunt necesari, în total,  $\Omega(\lg n)$ .

Ori de câte ori adâncimea  $d$  a arborelui cu adâncime maximă din pădure este  $2^{o(\lg n)}$ , algoritmul CREW GĂSEȘTE-RĂDĂCINI depășește asimptotic performanțele oricărui algoritm EREW. Mai exact, pentru orice pădure cu  $n$  noduri al cărei arbore de adâncime maximă este un arbore binar echilibrat cu  $\Theta(n)$  noduri,  $d = O(\lg n)$ , caz în care GĂSEȘTE-RĂDĂCINI se execută în timp  $O(\lg \lg n)$ . Orice algoritm EREW pentru această problemă se execută în timp  $\Omega(\lg n)$ , adică este, asimptotic, mai lent. Deci citirile concurente ajută în rezolvarea acestei probleme. În exercițiul 30.2-1 este prezentat un scenariu mai simplu în care citirile concurente sunt folosite.

## O problemă în care sunt folosite screrile concurente

Pentru a demonstra că, din punct de vedere al performanței, screrile concurente oferă un avantaj față de screrile exclusive, cercetăm problema căutării elementului maxim dintr-un sir de numere reale. Vom vedea că orice algoritm EREW pentru această problemă are nevoie de un timp  $\Omega(\lg n)$  și că nici un algoritm CREW nu are performanțe superioare. Problema poate fi rezolvată în timp  $O(1)$ , folosind un algoritm CRCW-comun în care, dacă mai multe procesoare scriu în aceeași locație, toate vor scrie aceeași valoare.

Algoritmul CRCW care găsește maximul dintre cele  $n$  elemente ale unui vector presupune că vectorul de intrare este  $A[0..n-1]$ . Algoritmul folosește  $n^2$  procesoare, fiecare procesor comparând  $A[i]$  și  $A[j]$  pentru diferite valori  $i$  și  $j$  din intervalul  $0 \leq i, j \leq n-1$ . De fapt, algoritmul efectuează o matrice de comparații, deci putem vedea fiecare dintre cele  $n^2$  procesoare ca având nu numai un indice unidimensional în mașina PRAM, ci și un indice bidimensional  $(i, j)$ .

**MAXIM-RAPID**

- 1:  $n \leftarrow \text{lungime}[A]$
- 2: **pentru**  $i \leftarrow 0, n - 1$ , în paralel **execută**
- 3:    $m[i] \leftarrow \text{ADEVĂRAT}$
- 4: **pentru**  $i \leftarrow 0, n - 1$  și  $j \leftarrow 0, n - 1$ , în paralel **execută**
- 5:   **dacă**  $A[i] < A[j]$  **atunci**
- 6:      $m[i] \leftarrow \text{FALS}$
- 7: **pentru**  $i \leftarrow 0, n - 1$ , în paralel **execută**
- 8:   **dacă**  $m[i] = \text{ADEVĂRAT}$  **atunci**
- 9:      $\max \leftarrow A[i]$
- 10: **returnează**  $\max$

În linia 1 se determină dimensiunea vectorului  $A$ ; linia trebuie executată numai pe un singur procesor, să zicem procesorul 0. Folosim un vector  $m[0..n-1]$ , unde procesorul  $i$  este responsabil de  $m[i]$ . Vrem ca  $m[i] = \text{ADEVĂRAT}$  dacă, și numai dacă,  $A[i]$  este valoarea maximă din vectorul  $A$ . Începem (liniile 2–3) presupunând că fiecare element al vectorului poate fi maximul și ne bazăm pe comparațiile din linia 5 pentru a determina care elemente ale vectorului nu sunt maxime.

În figura 30.6 este prezentat restul algoritmului. În ciclul din liniile 4–6 verificăm fiecare pereche ordonată de elemente din sirul  $A$ . Pentru fiecare pereche  $A[i]$  și  $A[j]$  în linia 5, se verifică dacă  $A[i] < A[j]$ . Dacă rezultatul acestei comparații este **ADEVĂRAT**, stim că  $A[i]$  nu poate fi maximul, și în linia 6 se setează  $m[i] \leftarrow \text{FALS}$  pentru a memora acest fapt. Câteva perechi  $(i, j)$  pot scrie în  $m[i]$  simultan, dar toate scriu aceeași valoare: **FALS**.

Deci, după execuția liniei 6,  $m[i] = \text{ADEVĂRAT}$  pentru exact acei indici  $i$  pentru care valoarea  $A[i]$  este maximă. Apoi, în liniile 7–9 se stochează valoarea maximă în variabila  $\max$ , care este returnată în linia 10. Mai multe procesoare pot scrie în locația de memorie corespunzătoare variabilei  $\max$ , dar, dacă acest lucru se întâmplă, toate scriu aceeași valoare așa cum cere modelul CRCW-comun.

Deoarece toate cele trei bucle ale algoritmului sunt executate în paralel, MAXIM-RAPID, se execută în timp  $O(1)$ . Bineînteleas, algoritmul nu este eficient ca efort deoarece necesită  $n^2$  procesoare și problema găsirii numărului maxim dintr-un sir poate fi rezolvată într-un timp  $\Theta(n)$  de un algoritm serial. Totuși, putem ajunge mai aproape de un algoritm eficient ca efort, așa cum vi se cere să arătați în exercițiul 30.2-6

Într-un anumit sens, cheia spre MAXIM-RAPID este că o mașină CRCW PRAM poate să

| $A[j]$   |   |   |   |   | $m$ |
|----------|---|---|---|---|-----|
| 5        | 6 | 9 | 2 | 9 |     |
| $A[i]$   | 5 | F | T | T | F   |
|          | 6 | F | F | T | F   |
|          | 9 | F | F | F | T   |
|          | 2 | T | T | T | F   |
| $\max 9$ |   |   |   |   |     |

**Figura 30.6** Găsirea maximului a  $n$  valori în timp  $O(1)$  de către algoritmul CRCW MAXIM-RAPID. Pentru fiecare pereche ordonată de elemente din vectorul de intrare  $A = \langle 5, 6, 9, 2, 9 \rangle$ , rezultatul comparației  $A[i] < A[j]$  este notat în matrice abreviind T pentru ADEVĂRAT și F pentru FALS. Pentru fiecare linie care conține o valoare ADEVĂRAT, elementul corespunzător din  $m$  este setat pe FALS. Elementele din  $m$  care conțin valoarea ADEVĂRAT corespund elementelor cu valoarea maximă din  $A$ . În acest caz, valoarea 9 este atribuită variabilei  $\max 9$ .

efectueze un SI logic între  $n$  variabile, într-un timp  $O(1)$  folosind  $n$  procesoare. (Deoarece această posibilitate este valabilă pentru modelul CRCW-comun, ea este valabilă și pentru modelele CRCW PRAM mai puternice.) Codul efectuează, de fapt, mai multe SI-uri în același timp, calculând pentru  $i = 0, 1, \dots, n - 1$ ,

$$m[i] = \bigwedge_{j=0}^{n-1} (A[i] \geq A[j]),$$

formulă care poate fi dedusă din legile lui DeMorgan (5.2). Această capacitate puternică poate fi folosită și în alte moduri. De exemplu, capacitatea unei mașini CRCW PRAM de a efectua un SI în timp  $O(1)$  elimină nevoie ca o rețea separată, de control, să testeze dacă toate procesoarele au terminat iterarea unui ciclu, aşa cum am presupus pentru algoritmii EREW. Decizia de a termina un ciclu depinde de rezultatul unei operații SI logic între dorințele tuturor procesoarelor de a încheia ciclul.

Modelul EREW nu dispune de această puternică facilitate SI. Orice algoritm care determină maximul a  $n$  elemente are nevoie de un timp  $\Omega(\lg n)$ . Demonstrația este, conceptual, similară cu demonstrația care folosește limita inferioară pentru găsirea rădăcinii unui arbore binar. În acea demonstrație am cercetat câte noduri vor “cunoaște” identitatea rădăcinii și am arătat că, la fiecare pas, acest număr este cel mult dublat. Pentru problema determinării maximului a  $n$  elemente, considerăm numărul elementelor care “cred” că pot fi maximul. Intuitiv, la fiecare pas al unui algoritm EREW PRAM acest număr se poate, cel mult, înjumătăți, ceea ce duce la o limită inferioară  $\Omega(\lg n)$ .

Este remarcabil că limita inferioară  $\Omega(\lg n)$  este menținută chiar dacă permitem citiri concurente, adică este menținută și pentru algoritmii CREW. Cook, Dwork, și Reischuk [50] arată, de fapt, că orice algoritm CREW, pentru găsirea maximului a  $n$  elemente, trebuie să se execute în  $\Omega(\lg n)$  chiar dacă numărul procesoarelor și spațiul de memorie sunt nelimitate. Limita lor inferioară este menținută și pentru calculul unui SI între  $n$  valori logice.

## Simularea unui algoritm CRCW cu ajutorul unui algoritm EREW

Ştim, acum, că algoritmii CRCW pot rezolva unele probleme mai rapid decât algoritmii EREW. Mai mult, orice algoritm EREW poate fi executat pe o maşină CRCW PRAM. Deci modelul CRCW este mai puternic decât modelul EREW. Dar cu cât este mai puternic? În secţiunea 30.3, vom arăta că o maşină EREW PRAM cu  $p$  procesoare poate sorta  $p$  numere în timp  $O(\lg p)$ . Folosim acum acest rezultat pentru a furniza o limită superioară teoretică a puterii unei maşini CRCW PRAM faţă de o maşină EREW PRAM.

**Teorema 30.1** Un algoritm CRCW care are la dispoziţie  $p$  procesoare nu poate fi mai rapid decât de, cel mult,  $O(\lg p)$  ori decât cel mai bun algoritm EREW care are la dispoziţie tot  $p$  procesoare și rezolvă aceeași problemă.

**Demonstraţie.** Demonstraţia se face prin simulare. Simulăm fiecare pas al algoritmului CRCW printr-un calcul EREW în timp  $O(\lg p)$ . Deoarece puterea de procesare a ambelor maşini este aceeași, nu trebuie să ne concentrăm decât pe accesările de memorie. Vom prezenta numai demonstraţia pentru simularea scrierilor concurente. Implementarea citirilor concurente este lăsată pe seama cititorului (exerciţiul 30.2-8).

Cele  $p$  procesoare ale maşinii EREW PRAM simulează o scriere concurrentă a algoritmului CRCW folosind un vector auxiliar  $A$  de dimensiune  $p$ . Această idee este ilustrată în figura 30.7. Când procesoarele CRCW  $P_i$ , pentru  $i = 0, 1, \dots, p - 1$ , doresc să scrie o dată  $x_i$  în locaţia  $l_i$ , fiecare procesor EREW  $P_i$  corespunzător scrie perechea ordonată  $(l_i, x_i)$  în locaţia  $A[i]$ . Aceste scrieri sunt exclusive deoarece fiecare procesor scrie într-o locaţie de memorie distinctă. Apoi, şirul  $A$  este ordonat după prima coordonată a perechii ordonate în timp  $O(\lg p)$ , ceea ce determină ca toate datele care trebuie scrise în aceeași locaţie să fie aduse una lângă cealaltă la ieşire.

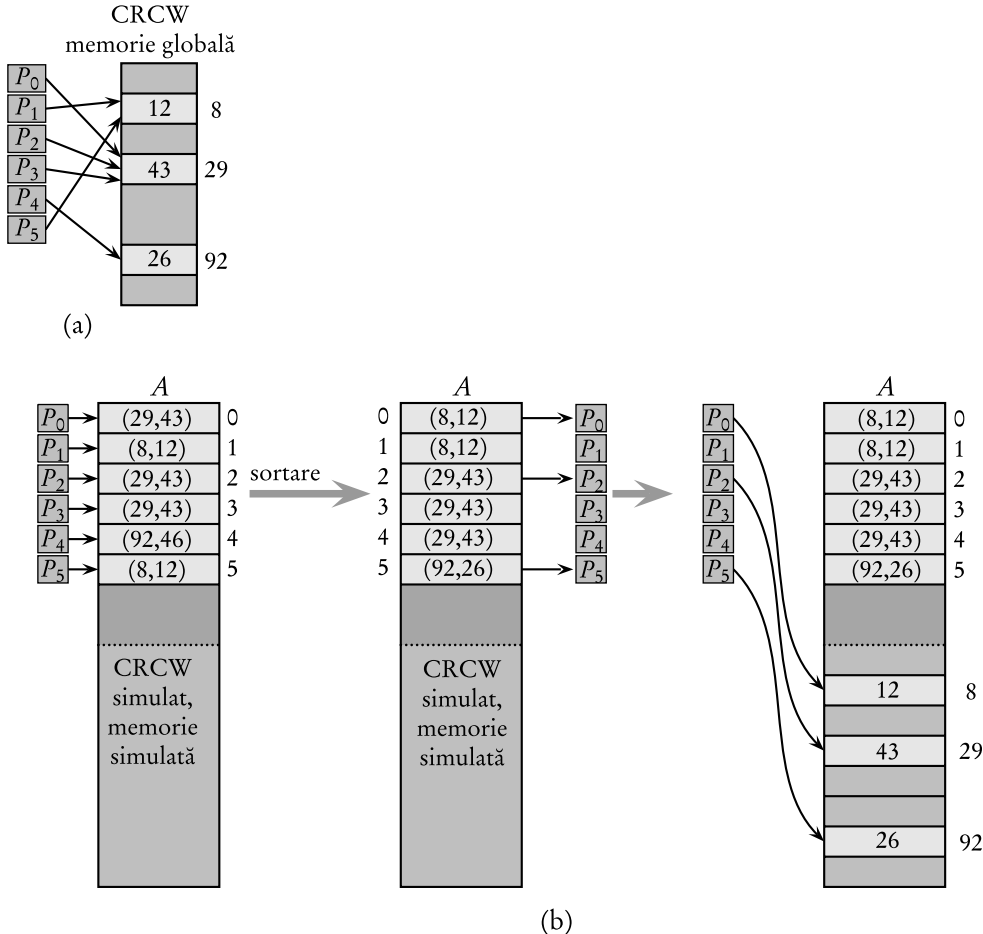
Fiecare procesor EREW  $P_i$ , pentru  $i = 1, 2, \dots, p - 1$ , cercetează, acum,  $A[i] = (l_j, x_j)$  și  $A[i - 1] = (l_k, x_k)$ , unde  $j$  și  $k$  sunt valori din domeniul  $0 \leq j, k \leq p - 1$ . Dacă  $l_j \neq l_k$  sau  $i = 0$ , atunci procesorul  $P_i$  pentru  $i = 0, 1, \dots, p - 1$ , scrie data  $x_j$  în locaţia  $l_j$  din memoria globală. În caz contrar, procesorul nu execută nimic. Deoarece vectorul  $A$  este ordonat după prima coordonată, numai unul dintre procesoare reușește să scrie la o locaţie dată, deci scrierile sunt exclusive. În concluzie, acest proces implementează fiecare pas al scrierilor concurente în modelul CRCW-comun în timp  $O(\lg p)$ . ■

Alte modele pentru scrierea concurrentă pot fi, de asemenea, simulate. (Vezi exerciţiul 30.2-9.)

Ca urmare a acestui fapt, apare întrebarea ce model este preferabil – CRCW sau EREW – și dacă răspunsul este CRCW, care dintre modelele CRCW. Adeptii modelului CRCW afirmă că acesta este mai ușor de programat decât modelul EREW și că algoritmii CRCW sunt mai rapizi. Criticii afirmă că hardware-ul care implementează operațiile concurente cu memoria este mai lent decât hardware-ul care implementează operațiile exclusive cu memoria, și deci timpul de execuție mai rapid al algoritmilor CRCW este fictiv. În realitate, spun criticii, nu putem determina maximul a  $n$  valori în timp  $O(1)$ .

Altii spun că maşinile PRAM – fie CRCW, fie EREW – nu reprezintă un model potrivit, că procesoarele trebuie interconectate printr-o rețea de comunicație, și că rețeaua de comunicație ar trebui să facă parte din model. Procesoarele ar trebui să poată comunica numai cu vecinii lor din rețea.

Este destul de clar că problema modelului paralel potrivit nu își va găsi, prea ușor, o rezolvare în favoarea vreunui model. Totuși, un fapt important, de care trebuie să ne dăm seama, este că aceste modele sunt numai atât: modele. Pentru o situație reală, diferite modele pot fi aplicate în



**Figura 30.7** Simularea scrierilor concurente pe o mașină EREW PRAM. (a) Un pas al algoritmului CRCW-comun în care 6 procesoare efectuează scrieri concurente în memoria globală. (b) Simularea pasului pe o mașină EREW PRAM. La început, perechile ordonate care conțin locațiile și datele sunt scrise într-un vector  $A$  care este apoi sortat. Comparând elementele adiacente ale vectorului, ne asigurăm că numai prima dintre un grup de scrieri identice în memoria globală, este implementată. În acest caz procesoarele  $P_0$ ,  $P_2$  și  $P_5$  realizează scrierile.

anumite proporții. Gradul în care un anumit model se potrivescă cu situația tehnică este gradul în care analizele algoritmice, folosind respectivul model, vor prezice fenomenele din lumea reală. Este important să studiem diferite modele paralele și diferenți algoritmi paraleli pentru că, pe măsură ce domeniul calculului paralel se va extinde, probabil se va lămuri care paradigmă ale calculului paralel sunt mai potrivite pentru implementare.

## Exerciții

**30.2-1** Să presupunem că știm că o pădure de arbori binari constă dintr-un singur arbore cu  $n$  noduri. Arătați că, luând în considerare această ipoteză, o implementare CREW a algoritmului GĂSEȘTE-RĂDĂCINI poate rula în timp  $O(1)$ , independent de adâncimea arborelui. Demonstrați că orice algoritm EREW are nevoie de un timp  $\Omega(\lg n)$ .

**30.2-2** Dați un algoritm EREW pentru GĂSEȘTE-RĂDĂCINI care se execută în timp  $O(\lg n)$  pe o pădure cu  $n$  noduri.

**30.2-3** Dați un algoritm CRCW care are la dispoziție  $n$  procesoare și care calculează un SAU între  $n$  valori logice în timp  $O(1)$ .

**30.2-4** Descrieți un algoritm CRCW eficient pentru a înmulți două matrice logice de dimensiuni  $n \times n$  folosind  $n^3$  procesoare.

**30.2-5** Descrieți un algoritm EREW în timp  $O(\lg n)$  pentru a înmulți două matrice de numere reale folosind  $n^3$  procesoare. Există un algoritm CRCW-comun mai rapid? Există un algoritm mai rapid într-unul din modelele CRCW mai puternice?

**30.2-6** \* Demonstrați că, pentru orice constantă  $\epsilon > 0$ , există un algoritm CRCW în timp  $O(1)$  care, folosind  $O(n^{1+\epsilon})$  procesoare, determină elementul maxim al unui vector cu  $n$  elemente.

**30.2-7** \* Arătați cum pot fi interclasăți doi vectori, fiecare format din  $n$  elemente, în timp  $O(1)$  folosind un algoritm CRCW-prioritar. Descrieți modul în care acest algoritm se poate folosi pentru a sorta în timp  $O(\lg n)$ . Este algoritmul pe care l-ați propus eficient ca efort?

**30.2-8** Completăți demonstrația teoremei 30.1 descriind modul în care o citire concurrentă pe o mașină CRCW PRAM având  $p$  procesoare este implementată în timp  $O(\lg p)$  pe o mașină EREW PRAM având  $p$  procesoare.

**30.2-9** Arătați cum o mașină EREW PRAM cu  $p$  procesoare poate implementa un algoritm pentru CRCW-combinat PRAM cu o pierdere de performanță de numai  $O(\lg p)$ . (*Indica ie:* Folosiți un calcul paralel al prefixului.)

## 30.3. Teorema lui Brent și eficiența efortului

Teorema lui Brent arată cum putem simula eficient un circuit combinațional printr-un PRAM. Folosind această teoremă, putem adapta modelului PRAM multe rezultate pentru rețele de sortare din capitolul 28 și foarte multe rezultate pentru circuite aritmetice din capitolul 29. Cititorii nefamiliarizați cu circuitele combinaționale pot să revadă secțiunea 29.1.

Un *circuit combinațional* este o rețea aciclică de *elemente combinaționale*. Fiecare element combinațional are una sau mai multe intrări și, în această secțiune, vom presupune că fiecare element are exact o ieșire. (Elementele combinaționale cu  $k > 1$  ieșiri pot fi considerate ca fiind  $k$  elemente separate). Numărul intrărilor este *evantaiul de intrare* al elementului, iar numărul ieșirilor sale este *evantaiul de ieșire*. În general, în această secțiune, presupunem că

Orice element combinațional din circuit are o intrare mărginită ( $O(1)$ ). Un element poate avea, totuși, o ieșire nemărginită.

**Dimensiunea** unui circuit combinațional este numărul elementelor combinaționale pe care le conține. Numărul elementelor combinaționale de pe un cel mai lung drum de la o intrare a circuitului până la o ieșire a unui element combinațional este **adâncimea** elementului. **Adâncimea** întregului circuit este adâncimea maximă a oricărui element al său.

**Teorema 30.2 (Teorema lui Brent)** Orice circuit combinațional de adâncime  $d$  și dimensiune  $n$  cu intrarea mărginită poate fi simulațat printr-un algoritm CREW cu  $p$  procesoare într-un timp  $O(n/p + d)$ .

**Demonstrație.** Memorăm intrările circuitului combinațional în memoria globală a PRAM-ului și rezervăm o locație de memorie pentru fiecare element combinațional din circuit pentru a păstra valoarea sa de ieșire, atunci când aceasta este calculată. Astfel, un element combinațional dat poate fi simulațat printr-un singur procesor PRAM într-un timp  $O(1)$ , după cum se arată în continuare. Procesorul citește, pur și simplu, valorile de intrare pentru un element din valorile din memorie, care corespund intrărilor circuitului sau ieșirilor elementului care îl alimentează, simulând astfel firele din circuit. Acesta calculează apoi funcția elementului combinațional și scrie rezultatul în memorie, la poziția corespunzătoare. Deoarece numărul de intrări ale fiecărui element din circuit este mărginit, fiecare funcție poate fi calculată într-un timp  $O(1)$ .

De aceea, sarcina noastră este de a găsi o planificare pentru cele  $p$  procesoare ale PRAM-ului, astfel încât toate elementele combinaționale să fie simulaționate într-un timp  $O(n/p + d)$ . Principala dificultate este că un element nu poate fi simulaționat până când nu sunt calculate ieșirile oricărui element care îl alimentează. Sunt folosite citiri concurente ori de câte ori mai multe elemente combinaționale ce sunt simulaționate în paralel au nevoie de aceeași valoare.

Deoarece toate elementele de la adâncimea 1 depind doar de intrările circuitului, ele sunt singurele care pot fi simulaționate inițial. După ce acestea au fost simulaționate, putem simula toate elementele de la adâncimea 2 și aşa mai departe, până când terminăm cu toate elementele de la adâncimea  $d$ . Ideea principală este că, dacă au fost simulaționate toate elementele de la adâncimea 1 până la adâncimea  $i$ , putem simula orice submulțime de elemente de la adâncimea  $i + 1$ , în paralel, din moment ce calculele necesare nu depind unul de altul.

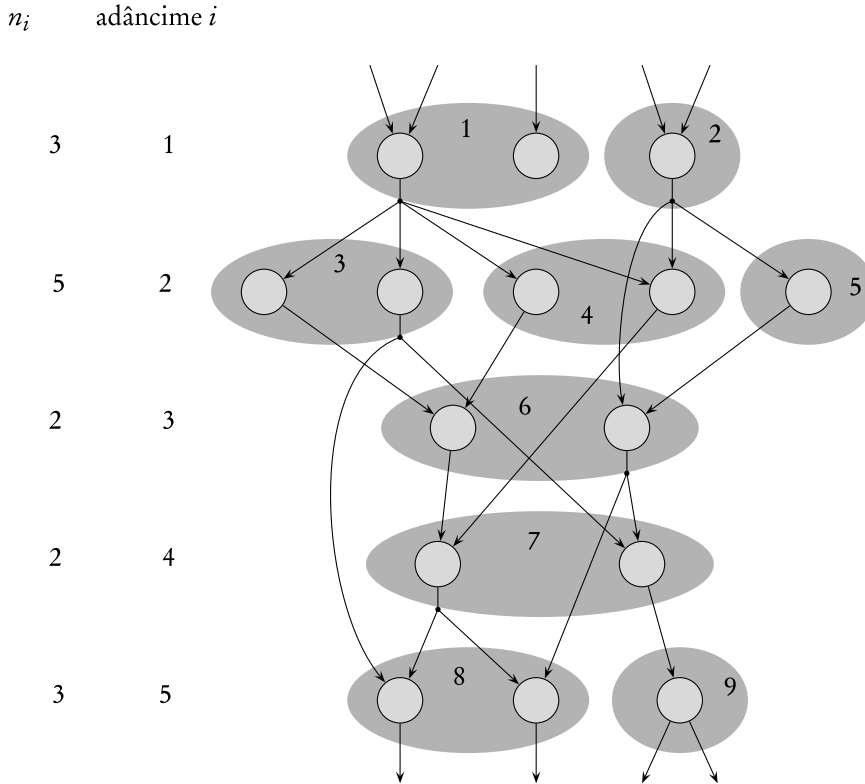
De aceea, strategia de planificare este destul de naivă. Simulăm toate elementele de la adâncimea  $i$ , înainte de a începe să le simulăm pe cele de la adâncimea  $i + 1$ . În cadrul unei adâncimi  $i$  date, simulăm  $p$  elemente o dată. Figura 30.8 ilustrează o astfel de strategie pentru  $p = 2$ .

Vom analiza acum această strategie de simulație. Pentru  $i = 1, 2, \dots, d$ , fie  $n_i$  numărul elementelor de la adâncimea  $i$  din circuit. Astfel,

$$\sum_{i=1}^d n_i = n.$$

Să considerăm cele  $n_i$  elemente combinaționale de la adâncimea  $i$ . Grupându-le în  $\lceil n_i/p \rceil$  grupuri, unde primele  $\lfloor n_i/p \rfloor$  grupuri au câte  $p$  elemente fiecare, iar elementele rămase, dacă există, se află în ultimul grup, PRAM-ul poate simula calculele efectuate de către aceste elemente combinaționale într-un timp  $O(\lceil n_i/p \rceil)$ . Timpul total pentru simulație este atunci de ordinul

$$\sum_{i=1}^d \left\lceil \frac{n_i}{p} \right\rceil \leq \sum_{i=1}^d \left( \frac{n_i}{p} + 1 \right) = \frac{n}{p} + d.$$



**Figura 30.8** Teorema lui Brent. Circuitul combinațional de dimensiune 15 și adâncime 5 este simutat printr-un PRAM CREW în  $9 \leq 15/2 + 5$  pași. Simularea se efectuează de sus în jos, de-a lungul circuitului. Grupurile hașurate de elemente ale circuitului indică elementele simutate în același moment, și fiecare grup este etichetat cu un număr corespunzător momentului când elementele sale sunt simutate.

Teorema lui Brent poate fi extinsă la simulări EREW atunci când un circuit combinațional are un număr de ieșiri de ordinul  $O(1)$  pentru fiecare element combinațional.

**Corolarul 30.3** Orice circuit combinațional de adâncime  $d$  și dimensiune  $n$ , având numărul de intrări și ieșiri mărginit, poate fi simutat pe un PRAM EREW cu  $p$  procesoare într-un timp  $O(n/p + d)$ .

**Demonstratie.** Vom efectua o simulare similară celei din demonstrația teoremei lui Brent. Singura diferență constă în simularea firelor, unde teorema 30.2 necesită citiri concurente. Pentru simularea EREW, după ce ieșirea unui element combinațional este calculată, ea nu este citită direct de către procesoarele, care au nevoie de valoarea sa. În loc de aceasta, valoarea ieșirii este copiată de către procesorul ce simulează elementul în intrările de dimensiune  $O(1)$  care au nevoie de ea. Procesoarele care au nevoie de valoare, o pot citi fără a crea interferențe între ele.

Această strategie de simulare EREW nu funcționează pentru elemente cu număr de ieșiri

nemărginit, deoarece, la fiecare pas, copierea poate consuma un timp mai mare decât cel constant. Astfel, pentru circuite care au elemente cu număr de ieșiri nemărginit, avem nevoie de puterea citirilor concurente. (Cazul numărului de intrări nemărginit poate fi, uneori, tratat printr-o simulare CRCW dacă elementele combinaționale sunt destul de simple. Vedeti exercițiul 30.3-1.)

Corolarul 30.3 ne oferă un algoritm de sortare EREW rapid. După cum s-a explicat în notele bibliografice ale capitolului 28, rețeaua de sortare AKS poate sorta  $n$  numere într-o adâncime  $O(\lg n)$  folosind  $O(n \lg n)$  comparatori. Deoarece comparatorii au numărul de intrări limitat, există un algoritm EREW pentru sortarea a  $n$  numere într-un timp  $O(\lg n)$  folosind  $n$  procesoare. (Am folosit acest rezultat în teorema 30.1 pentru a demonstra că un PRAM EREW poate simula un PRAM CRCW cu o încetinire logaritmică, în cel mai defavorabil caz.) Din nefericire, constantele ascunse de către notația  $O$  sunt atât de mari, încât acest algoritm de sortare nu prezintă decât un interes teoretic. Totuși, au fost descoperiți algoritmi de sortare EREW mai practici, în mod notabil algoritmul de sortare prin interclasare paralel, datorat lui Cole [46].

Acum, să presupunem că avem un algoritm PRAM care folosește cel mult  $p$  procesoare, dar avem un PRAM cu numai  $p' < p$  procesoare. Am dori să putem execuția algoritmul pentru  $p$  procesoare pe PRAM-ul mai mic cu numai  $p'$  procesoare într-o manieră eficientă. Folosind ideea din demonstrația teoremei lui Brent, putem da o condiție pentru a stabili când este posibil acest lucru.

**Teorema 30.4** Dacă un algoritm PRAM  $A$  pentru  $p$  procesoare se execută într-un timp  $t$ , atunci, pentru orice  $p' < p$ , există un algoritm PRAM  $A'$  pentru  $p'$  procesoare care se execută într-un timp  $O(pt/p')$ .

**Demonstrație.** Să presupunem că pașii algoritmului  $A$  sunt numerotați cu  $1, 2, \dots, t$ . Algoritmul  $A'$  simulează execuția fiecărui pas  $i = 1, 2, \dots, t$  într-un timp  $O(\lceil p/p' \rceil)$ . Există  $t$  pași și, astfel, întreaga simulare consumă un timp  $O(\lceil p/p' \rceil t) = O(pt/p')$  din moment ce  $p' < p$ . ■

Efortul efectuat de algoritmul  $A$  este  $pt$ , iar efortul efectuat de algoritmul  $A'$  este  $(pt/p')p' = pt$ . De aceea, simularea este eficientă ca efort. Prin urmare, dacă algoritmul  $A$  este el însuși eficient ca efort, atunci și algoritmul  $A'$  este eficient.

De aceea, atunci când dezvoltăm algoritmi eficienți ca efort pentru o problemă, nu trebuie să creăm un algoritm nou pentru fiecare număr diferit de procesoare. De exemplu, să presupunem că putem demonstra o limită inferioară strânsă  $t$  a timpului de execuție al oricărui algoritm paralel, indiferent pentru câte procesoare, pentru a rezolva o problemă dată, și să presupunem, în continuare, că cel mai bun algoritm serial pentru acea problemă efectuează efortul  $w$ . Atunci, nu trebuie decât să dezvoltăm un algoritm eficient ca efort pentru problema care folosește  $p = \Theta(w/t)$  procesoare pentru a obține algoritmi eficienți ca efort pentru orice număr de procesoare pentru care un algoritm eficient ca efort este posibil. Pentru  $p' = o(p)$ , teorema 30.4 garantează că există un algoritm eficient. Pentru  $p' = \omega(p)$ , nu există nici un algoritm eficient deoarece, dacă  $t$  este o limită inferioară a timpului pentru orice algoritm paralel,  $p't = \omega(pt) = \omega(w)$ .

## Exerciții

**30.3-1** Demonstrați un rezultat analog teoremei lui Brent pentru o simulare CRCW a unor circuite combinaționale booleene, având porți SI și SAU cu un număr nelimitat de intrări. (Indica ie: Considerați că “dimensiunea” este numărul total de intrări la portile din circuit.)

**30.3-2** Demonstrați că un calcul paralel al prefixelor, efectuat pe  $n$  valori memorate într-un tablou de memorie, poate fi implementat într-un timp  $O(\lg n)$  pe un PRAM EREW folosind  $O(n/\lg n)$  procesoare. De ce acest rezultat nu poate fi extins automat la o listă de  $n$  valori?

**30.3-3** Arătați cum se poate înmulții o matrice  $A$  de dimensiuni  $n \times n$  cu un vector  $b$  de dimensiune  $n$  într-un timp  $O(\lg n)$  cu ajutorul unui algoritm EREW eficient. (*Indica ie:* Construiți un circuit combinațional pentru problemă.)

**30.3-4** Dați un algoritm CRCW care folosește  $n^2$  procesoare pentru a înmulții două matrice de dimensiuni  $n \times n$ . Algoritmul trebuie să fie eficient ca efort în raport cu timpul obișnuit  $\Theta(n^3)$  necesar algoritmului serial de înmulțire a matricelor. Puteți realiza algoritmul EREW?

**30.3-5** Unele modele paralele permit procesoarelor să devină inactive, astfel încât numărul procesoarelor care funcționează variază la fiecare pas. Se definește efortul, în acest model, ca fiind numărul total de pași execuția în timpul unui algoritm de către procesoarele active. Demonstrați că orice algoritm CRCW care efectuează un efort  $w$  și rulează într-un timp  $t$  poate fi rulat pe un PRAM EREW într-un timp  $O((w/p + t) \lg p)$ . (*Indica ie:* Partea dificilă este planificarea procesoarelor active în timp ce se efectuează calculul.)

## 30.4. Calculul paralel de prefix, eficient ca efort

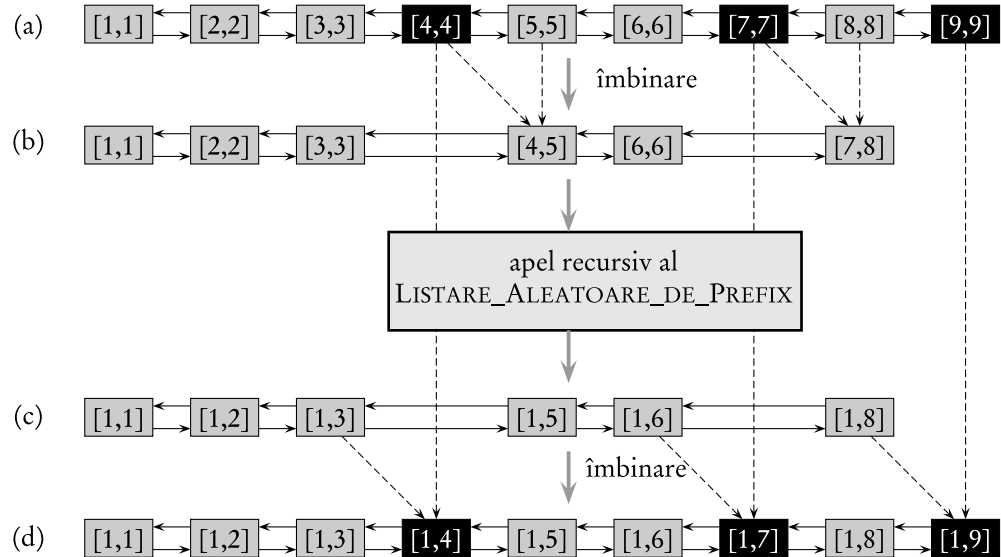
În secțiunea 30.1.2, am examinat un algoritm EREW LISTEAZĂ-RANG de timp  $O(\lg n)$  care poate executa un calcul de prefix asupra unei liste înlățuite de  $n$  obiecte. Algoritmul folosește  $n$  procesoare și efectuează un efort  $\Theta(n \lg n)$ . Deoarece putem executa ușor un calcul de prefix într-un timp  $\Theta(n)$  pe un calculator serial, LISTEAZĂ-RANG nu este eficient.

Această secțiune prezintă un algoritm EREW paralel, aleator, de calculare a prefixului care este eficient ca efort. Algoritmul folosește  $\Theta(n/\lg n)$  procesoare, și se execută, cu o mare probabilitate, într-un timp  $O(\lg n)$ . Astfel, foarte probabil, el este eficient ca efort. Mai mult, cu ajutorul teoremei 30.4, putem construi imediat, pe baza acestui algoritm, algoritmi eficienți pentru orice număr de procesoare  $p = O(n/\lg n)$ .

### Calcul paralel, recursiv, de prefix

Algoritmul paralel, recursiv, pentru calcularea prefixului LISTARE-ALEATOARE-DE-PREFIX lucrează pe o listă înlățuită de  $n$  obiecte, folosind  $p = \Theta(n/\lg n)$  procesoare. În timpul execuției algoritmului, fiecare procesor este responsabil pentru  $n/p = \Theta(\lg n)$  din obiectele din lista originală. Obiectele sunt repartizate procesoarelor în mod arbitrar (nu neapărat în secvențe contigue) înainte ca apelurile recursive să aibă loc, iar “posesorii” obiectelor nu se schimbă niciodată. Pentru ușurință, presupunem că lista este dublu înlățuită deoarece crearea legăturilor duble pentru o singură listă necesită un timp  $O(1)$ .

Ideea algoritmului LISTARE-ALEATOARE-DE-PREFIX este să eliminăm o parte din obiectele din listă, să efectuăm, apoi, un calcul recursiv de prefix asupra listei rezultante, și pe urmă să o dezvoltăm, reunind-o cu obiectele eliminate, pentru a obține un calcul de prefix al listei originale. Figura 30.9 ilustrează procesul recursiv, iar figura 30.10 ilustrează cum se desfășoară apelurile recursive. Vom demonstra puțin mai târziu că fiecare pas al recursivității satisfac următoarele proprietăți:



**Figura 30.9** Algoritmul paralel, recursiv, aleator și eficient ca efort LISTARE\_ALEATOARE-DE-PREFIX pentru efectuarea unui calcul de prefix pentru o listă înlățuită de  $n = 9$  obiecte. **(a)-(b)** O mulțime de obiecte neadiacente (desenate cu negru) sunt selectate pentru a fi eliminate. Valoarea din fiecare obiect negru este folosită pentru recalculara valorii din următorul obiect din listă, iar apoi obiectul negru este eliminat, fiind unit cu obiectul următor. Algoritmul este apelat recursiv pentru calcularea unui prefix paralel pentru lista contractată. **(c)-(d)** Valorile rezultate reprezintă valorile finale corecte pentru obiectele din lista contractată. Obiectele eliminate sunt, apoi, reintroduse în listă și fiecare folosește valoarea obiectului precedent pentru a-și calcula valoarea sa finală.

1. Cel mult un obiect, dintre cele care aparțin unui procesor dat, este selectat pentru eliminare.
2. Niciodată, nu sunt selectate, pentru eliminare, două obiecte adiacente.

Înainte de a arăta cum putem selecta obiecte care satisfac aceste proprietăți, să examinăm mai detaliat modul în care se efectuează calculul de prefix. Să presupunem că, la fiecare pas al recursivității, al  $k$ -lea obiect din listă este selectat pentru eliminare. Acest obiect conține valoarea  $[k, k]$ , care este adusă de cel de-al  $(k + 1)$ -lea obiect din listă. (Situările limită, de exemplu cea de aici, când  $k$  se află la sfârșitul listei, pot fi tratate direct și nu sunt descrise.) Al  $(k + 1)$ -lea obiect, care memorează valoarea  $[k + 1, k + 1]$ , este apoi calculat și va conține  $[k, k + 1] = [k, k] \otimes [k + 1, k + 1]$ . Al  $k$ -lea obiect este eliminat, apoi, din listă, fiind unit cu obiectul următor.

Apoi, procedura LISTARE\_ALEATOARE-DE-PREFIX se autoapelează pentru a executa un calcul de prefix pentru lista “contractată”. (Apelurile recursive se termină atunci când lista este vidă.) Observația cheie este că, atunci când se revine din apelul recursiv, fiecare obiect din lista contractată conține valoarea corectă de care are nevoie pentru calculul paralel de prefix pentru lista inițială. Tot ce rămâne de făcut este să reinserăm în listă obiectele eliminate anterior, cum este, de exemplu, al  $k$ -lea obiect, și să recalculem valorile lor.

După ce al  $k$ -lea obiect este reintrodus în listă, valoarea finală a prefixului său poate fi

calculată folosind valoarea din cel de-al  $(k - 1)$ -lea obiect. După apelul recursiv, al  $(k - 1)$ -lea obiect conține  $[1, k - 1]$  și, astfel, al  $k$ -lea obiect – care conține încă valoarea  $[k, k]$  – nu are nevoie decât de valoarea  $[1, k - 1]$  și să calculeze  $[1, k] = [1, k - 1] \otimes [k, k]$ .

Datorită proprietății 1, fiecare obiect selectat dispune de un procesor distinct pentru a efectua operațiile necesare pentru eliminarea sau reintroducerea obiectului în listă. Proprietatea 2 asigură faptul că nu apare nici o confuzie între procesoare, atunci când se elimină și se reintroduc obiecte (vezi exercițiul 30.4-1). Împreună, cele două proprietăți asigură faptul că fiecare pas al recursivității poate fi implementat într-un mod EREW într-un timp  $O(1)$ .

### Selectarea obiectelor pentru eliminare

Cum selecteză procedura LISTARE-ALEATOARE-DE-PREFIX obiectele pe care le elimină? Ea trebuie să satisfacă cele două proprietăți enunțate mai sus și, în lipsă, dorim ca timpul necesar selectării obiectelor să fie scurt (și, preferabil, constant). Mai mult, dorim să fie selectate cât mai multe obiecte posibil.

Următoarea metodă de selectare aleatoare satisface aceste condiții. Obiectele sunt selectate prin programarea fiecărui procesor astfel încât el să execute următorii pași:

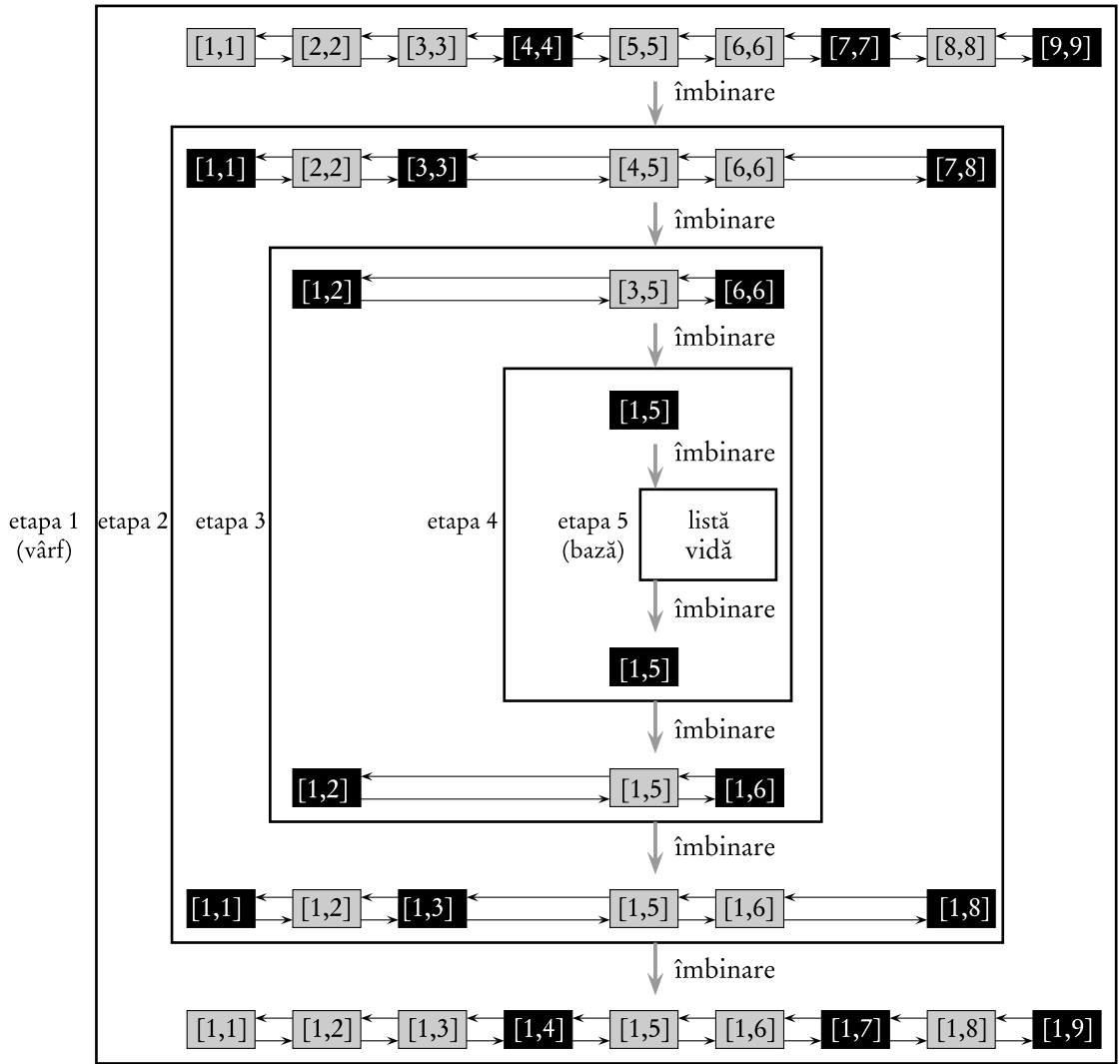
1. Procesorul alege un obiect  $i$ , care nu a fost selectat anterior, dintre cele pe care le deține.
2. Apoi, procesorul “dă cu banul”, alegând valorile CAP sau BAN cu aceeași probabilitate.
3. Dacă a ales CAP, procesorul marchează obiectul  $i$  ca SELECTAT, dacă  $urm[i]$  nu a fost ales de către un alt procesor a cărui monedă este, de asemenea, CAP.

Această metodă aleatoare necesită doar un timp  $O(1)$  pentru a selecta obiecte pentru eliminare, și nu necesită accesări concurente de memorie.

Trebuie să demonstrăm că această procedură satisface cele două proprietăți de mai sus. Faptul că proprietatea 1 este adevarată se vede foarte ușor deoarece doar un singur obiect este ales de către un procesor pentru o posibilă selectare. Pentru a arăta că proprietatea 2 este adevărată, să presupunem contrariul, și anume că două obiecte consecutive,  $i$  și  $urm[i]$ , sunt selectate. Această situație apare doar dacă ambele obiecte au fost alese de către procesoarele lor și ambele procesoare au obținut CAP la aruncarea monezii. Dar obiectul  $i$  nu este selectat dacă procesorul responsabil pentru  $urm[i]$  a obținut CAP, ceea ce este o contradicție.

### Analiză

Deoarece fiecare pas recursiv al algoritmului LISTARE-ALEATOARE-DE-PREFIX se execută într-un timp  $O(1)$ , pentru a analiza algoritmul, nu trebuie decât să determinăm de câți pași are acesta nevoie pentru a elimina toate obiectele din lista inițială. La fiecare pas, un procesor are o probabilitate de cel puțin  $1/4$  de a elimina obiectul  $i$  pe care îl alege. De ce? Pentru că, atunci când se aruncă moneda, rezultă CAP cu o probabilitate de cel puțin  $1/2$ , iar probabilitatea ca fie să nu aleagă  $urm[1]$ , fie să îl aleagă și să obțină BAN, atunci când se aruncă moneda, este de cel puțin  $1/2$ . Din moment ce aceste două aruncări de monedă sunt două evenimente independente, putem înmulți probabilitățile lor, obținând o probabilitate de cel puțin  $1/4$  ca un procesor să eliminate obiectul pe care îl alege. Deoarece fiecare procesor deține  $\Theta(\lg n)$  obiecte, timpul așteptat în care un procesor își elimină toate obiectele sale este  $\Theta(\lg n)$ .



**Figura 30.10** Etapele recursive ale algoritmului LISTARE-ALEATOARE-DE-PREFIX, prezentate pentru  $n = 9$  obiecte originale. În fiecare etapă, obiectele desenate cu negru sunt eliminate. Procedura se autoapelează până când lista devine vidă, iar, apoi, obiectele eliminate sunt reintroduse în listă.

Din nefericire, această analiză simplă nu demonstrează că timpul așteptat de execuție al algoritmului LISTARE-ALEATOARE-DE-PREFIX este  $\Theta(\lg n)$ . De exemplu, dacă majoritatea procesoarelor își elimină obiectele lor repede și câteva procesoare își elimină obiectele mult mai încet, timpul mediu în care un procesor își elimină obiectele poate să fie tot  $\Theta(\lg n)$ , dar timpul de execuție al algoritmului ar putea fi mare.

Timpul de execuție așteptat al procedurii LISTARE-ALEATOARE-DE-PREFIX este, într-adevăr,  $\Theta(\lg n)$ , deși analiza simplă de mai sus nu demonstrează riguros acest lucru. Vom folosi un argument cu probabilitate mare pentru a demonstra, cu o probabilitate de cel puțin  $1 - 1/n$ , că toate obiectele sunt eliminate în cel mult  $c \lg n$  pași recursivi, unde  $c$  este o constantă. Exercițiile 30.4-4 și 30.4-5 vă cer să generalizați această argumentație, pentru a demonstra limita de  $\Theta(\lg n)$  a timpului de execuție așteptat.

Argumentul nostru de mare probabilitate se bazează pe observația că experimentul unui procesor dat de eliminare a obiectelor pe care le alege poate fi privit ca un sir de încercări Bernoulli (vezi capitolul 6). Experimentul are succes dacă obiectul este selectat pentru eliminare și șeuează, în caz contrar. Deoarece suntem interesați să arătăm că probabilitatea de a obține foarte puține succese este mică, putem presupune că succesele apar cu o probabilitate de exact  $1/4$ , în loc de a apărea cu o probabilitate de cel puțin  $1/4$ . (Vezi exercițiile 6.4-8 și 6.4-9 pentru o justificare formală a unor presupuneri similare.)

Pentru a simplifica și mai mult analiza, presupunem că există exact  $n/\lg n$  procesoare, fiecare având  $\lg n$  obiecte. Efectuăm  $c \lg n$  încercări, unde  $c$  este o constantă ce va fi determinată ulterior, și ne interesează evenimentul când apar mai puțin de  $\lg n$  succese. Fie  $X$  variabila aleatoare care memorează numărul total de succese. Din corolarul 6.3, probabilitatea ca un procesor să eliminate mai puțin de  $\lg n$  obiecte în  $c \lg n$  încercări este cel mult

$$\begin{aligned} Pr\{X < \lg n\} &\leq \left( \frac{c \lg n}{\lg n} \right) \left( \frac{3}{4} \right)^{c \lg n - \lg n} \leq \left( \frac{ec \lg n}{\lg n} \right)^{\lg n} \left( \frac{3}{4} \right)^{(c-1) \lg n} \\ &= \left( ec \left( \frac{3}{4} \right)^{c-1} \right)^{\lg n} \leq \left( \frac{1}{4} \right)^{\lg n} = 1/n^2, \end{aligned}$$

câtă vreme  $c \geq 20$ . (A doua linie rezultă din inegalitatea (6.9).) Astfel, probabilitatea ca obiectele aparținând unui procesor dat să nu fie toate eliminate după  $c \lg n$  pași este de cel mult  $1/n^2$ .

Acum, dorim să determinăm o limită pentru probabilitatea că nu toate obiectele aparținând tuturor procesoarelor au fost eliminate după  $c \lg n$  pași. Din inegalitatea lui Boole (6.22), această probabilitate este mai mică sau egală cu suma probabilităților că fiecare procesor nu și-a eliminat obiectele. Deoarece există  $n/\lg n$  procesoare și fiecare procesor are o probabilitate de cel mult  $1/n^2$  de a nu-și elimina toate obiectele, probabilitatea ca un procesor oarecare să nu-și fi terminat toate obiectele este cel mult

$$\frac{n}{\lg n} \cdot \frac{1}{n^2} \leq \frac{1}{n}$$

Am demonstrat astfel, cu o probabilitate de cel puțin  $1 - 1/n$ , că fiecare obiect este eliminat după  $O(\lg n)$  apeluri recursive. Deoarece fiecare apel recursiv consumă un timp  $O(1)$ , LISTARE-ALEATOARE-DE-PREFIX se execută, cu o mare probabilitate, într-un timp  $O(\lg n)$ .

Constanta  $c \geq 20$  din timpul de execuție  $c \lg n$  poate părea un pic prea mare pentru ca algoritmul să fie practic. De fapt, această constantă este mai mult un artefact al analizei decât o reflectare a performanței algoritmului. În practică, algoritmul este, de obicei, rapid. Factorii

constanți din analiză sunt mari deoarece evenimentul când un procesor își termină de eliminat toate obiectele sale din listă este dependent de evenimentul când un alt procesor își termină toate sarcinile. Din cauza acestor dependențe, am folosit inegalitatea lui Boole, care nu necesită o relație de independentă, dar are ca rezultat o constantă care este, în general, mai slabă decât cea întâlnită în practică.

## Exerciții

**30.4-1** Ilustrați prin desene ce erori pot să apară în execuția algoritmului LISTARE-ALEATOARE-DE-PREFIX dacă două obiecte adiacente din listă sunt selectate pentru eliminare.

**30.4-2** \* Propuneți o schimbare simplă pentru a face algoritmul LISTARE-ALEATOARE-DE-PREFIX să se execute, în cel mai defavorabil caz, într-un timp  $O(n)$ , pentru o listă de  $n$  obiecte. Folosiți definiția așteptării pentru a demonstra că, având această modificare, algoritmul are un timp de execuție așteptat  $O(\lg n)$ .

**30.4-3** \* Arătați cum se poate implementa algoritmul LISTARE-ALEATOARE-DE-PREFIX, astfel încât să utilizeze cel mult  $O(n/p)$  spațiu pe procesor, în cel mai defavorabil caz, independent de cât de adâncă devine recursivitatea.

**30.4-4** \* Arătați că, pentru orice constantă  $k \geq 1$ , algoritmul LISTARE-ALEATOARE-DE-PREFIX rulează într-un timp  $O(\lg n)$  cu o probabilitate de cel puțin  $1 - 1/n^k$ . Arătați cum influențează  $k$ , constanta din limita timpului de execuție.

**30.4-5** \* Folosind rezultatul din exercițiul 30.4-4, arătați că timpul de execuție așteptat al algoritmului LISTARE-ALEATOARE-DE-PREFIX este  $O(\lg n)$ .

## 30.5. Întreruperi deterministe de simetrie

Să considerăm o situație în care două procesoare doresc ambele să obțină acces exclusiv la un obiect. Cum pot determina procesoarele care dintre ele va obține primul accesul? Dorim să evităm atât cazul în care ambelor li se acordă accesul, cât și cazul în care nu i se acordă accesul nici unuia. Problema alegerii unuia din procesoare este un exemplu de **întrerupere de simetrie**. Am văzut cu toții confuzia momentană și impasul diplomatic care se ivesc atunci când două persoane încearcă să intre, simultan, pe o ușă. Probleme similare de întrerupere de simetrie sunt foarte răspândite în designul algoritmilor paraleli, iar soluțiile eficiente sunt extrem de folositoare.

O metodă de întrerupere a simetriei este aruncarea unei monezi. Pe un calculator, aruncarea monezii poate fi implementată cu ajutorul unui generator de numere aleatoare. Pentru exemplul cu cele două procesoare, ambele procesoare pot arunca monezi. Dacă unul obține CAP și celălalt BAN, cel care obține CAP primește accesul. Dacă ambele procesoare obțin aceeași valoare, ele aruncă din nou monezile. Cu această strategie, simetria este întreruptă într-un timp așteptat constant (vezi exercițiul 30.5-1).

Am văzut efectivitatea unei strategii aleatoare în secțiunea 30.4. În algoritmul LISTARE-ALEATOARE-DE-PREFIX, obiectele adiacente din listă nu pot fi selectate pentru eliminare, dar

trebuie selectate cât mai multe obiecte din cele alese. Totuși, într-o listă de obiecte alese, toate obiectele arată la fel. După cum am observat, folosirea numerelor aleatoare oferă un mijloc simplu și eficient pentru a întrerupe simetria dintre obiectele adiacente din listă, garantând, de asemenea, cu o mare probabilitate, că multe obiecte sunt selectate.

În această secțiune, vom cerceta o metodă deterministă de întinerupere a simetriei. Cheia algoritmului este folosirea indicilor de procesor sau a adreselor de memorie în locul aruncării aleatoare de monezi. De exemplu, în cazul celor două procesoare, putem întinerupe simetria permitând procesorului cu indicele de procesor mai mic să obțină primul accesul – un proces, evident, constant din punct de vedere al timpului.

Vom folosi aceeași idee, dar într-un mod mult mai intelligent, într-un algoritm pentru întineruperea simetriei într-o listă înlănțuită de  $n$  obiecte. Scopul este alegerea unei părți constante dintre obiectele din listă, evitând însă alegerea a două obiecte adiacente. Algoritmul se execută, pe o mașină cu  $n$  procesoare, într-un timp  $O(\lg^* n)$ , fiind implementat într-o manieră EREW. Deoarece  $\lg^* n \leq 5$  pentru orice  $n \leq 2^{65536}$ , valoarea  $\lg^* n$  poate fi privită ca o constantă mică pentru orice scop practic (vezi pagina 32).

Algoritmul nostru determinist are două părți. Prima parte determină o “6-colorare” a listei înlănțuite într-un timp  $O(\lg^* n)$ . A doua parte convertește 6-colorarea într-o “multime independentă maximală” a listei, într-un timp  $O(1)$ . Multimea independentă maximală va conține o parte constantă dintre cele  $n$  obiecte din listă și nu vor exista două elemente în multime care să fie adiacente.

## Colorări și multimi independente maximale

O **colorare** a unui graf neorientat  $G = (V, E)$  este o funcție  $C : V \rightarrow \mathbb{N}$ , astfel încât, oricare ar fi  $u, v \in V$ , dacă  $C(u) = C(v)$ , atunci  $(u, v) \notin E$ . Cu alte cuvinte, nu există vârfuri adiacente având aceeași culoare. Într-o 6-colorare a unei liste înlănțuite, toate culorile aparțin domeniului  $\{0, 1, 2, 3, 4, 5\}$  și nu există două vârfuri consecutive care să aibă aceeași culoare. De fapt, orice listă are o 2-colorare deoarece putem colora elementele având indicele impar cu 0 și elementele având indicele par cu 1. Putem calcula o astfel de colorare într-un timp  $O(\lg n)$  folosind un calcul paralel de prefix, dar, pentru multe aplicații, este suficient să calculăm o colorare într-un timp  $O(1)$ . Vom arăta acum că o 6-colorare poate fi calculată într-un timp  $O(\lg^* n)$  fără a folosi numere aleatoare.

O **multime independentă** a unui graf  $G = (V, E)$  este o submultime de vârfuri  $V' \subseteq V$ , astfel încât orice muchie din  $E$  este incidentă cel mult unui vârf din  $V'$ . O **multime independentă maximală** este o multime independentă  $V'$  astfel încât, oricare ar fi un vârf  $v \in V - V'$ , multimea  $V' \cup \{v\}$  nu este independentă – fiecare vârf care nu este în  $V'$  este adiacent unui vârf din  $V'$ . Nu confundați problema determinării unei multimi independente *maximale* – o problemă ușoară – cu problema determinării unei multimi independente *maxime* – o problemă dificilă. Problema determinării unei multimi independente de dimensiune maximă, într-un graf obișnuit, este NP-completă. (Vezi capitolul 36 pentru o discuție despre NP-completitudine. Problema 36-1 se referă la multimi independente maxime.)

Pentru listele cu  $n$  obiecte, o multime independentă maximă (și, deci, maximală) poate fi determinată într-un timp  $O(\lg n)$  folosind calculul paralel de prefix, la fel ca în cazul 2-colorării, menționate anterior, pentru a identifica obiectele cu rang impar. Această metodă selectează  $\lceil n/2 \rceil$  obiecte. Observați, totuși, că orice multime independentă maximală a unei liste înlănțuite conține cel puțin  $n/3$  obiecte deoarece, pentru oricare 3 obiecte consecutive, cel puțin unul trebuie să

facă parte din mulțime. Vom arăta, totuși, că o mulțime maximală independentă a unei liste poate fi determinată într-un timp  $O(1)$  dată fiind o colorare de timp  $O(1)$  a listei.

## Determinarea unei 6-colorări

Algoritmul řASE-CULORI calculează o 6-colorare a unei liste. Nu vom da un pseudocod pentru algoritm, dar îl vom descrie destul de detaliat. Vom presupune că, inițial, fiecare obiect  $x$  din lista înlănuțită este asociat cu un procesor distinct  $P(x) \in \{0, 1, \dots, n - 1\}$ .

Ideea algoritmului řASE-CULORI este să calculăm un sir de culori  $C_0[x], C_1[x], \dots, C_m[x]$  pentru fiecare obiect  $x$  din listă. Colorarea inițială  $C_0$  este o  $n$ -colorare. Fiecare iterație a algoritmului definește o nouă colorare  $C_{k+1}$  bazată pe colorarea precedentă  $C_k$ , pentru  $k = 0, 1, \dots, m - 1$ . Colorarea finală  $C_m$  este o 6-colorare, și vom demonstra că  $m = O(\lg^* n)$ .

Colorarea inițială este o  $n$ -colorare trivială în care  $C_0[x] = P(x)$ . Deoarece în listă nu există două obiecte având aceeași culoare, nu există nici două obiecte adiacente în listă colorate la fel și, deci, colorarea este corectă. Observați că fiecare dintre culorile inițiale poate fi descrisă prin  $\lceil \lg n \rceil$  biți, ceea ce înseamnă că poate fi memorată într-un cuvânt de memorie.

Colorările următoare se obțin în modul următor. Iterația cu numărul de ordine  $k$ , pentru  $k = 0, 1, \dots, m - 1$ , începe cu o colorare  $C_k$  și se sfârșește cu o colorare  $C_k + 1$  ce folosește mai puțini biți pentru un obiect, după cum arată prima parte a figurii 30.11. Să presupunem că, la începutul unei iterării, culoarea  $C_k$  a fiecărui obiect ocupă  $r$  biți. Determinăm o nouă culoare a unui obiect  $x$  uitându-ne înainte în listă la culoarea lui  $urm[x]$ .

Pentru a fi mai exacti, să presupunem că, pentru fiecare obiect  $x$ , avem  $C_k[x] = a$  și  $C_k[urm[x]] = b$ , unde  $a = \langle a_{r-1}, a_{r-2}, \dots, a_0 \rangle$  și  $b = \langle b_{r-1}, b_{r-2}, \dots, b_0 \rangle$  sunt culori pe  $r$  biți. Deoarece  $C_k[x] \neq C_k[urm[x]]$ , există un cel mai mic index  $i$  la care biții celor două culori diferă:  $a_i \neq b_i$ . Deoarece  $0 \leq i \leq r - 1$ , îl putem scrie pe  $i$  cu numai  $\lceil \lg r \rceil$  biți:  $i = \langle i_{\lceil \lg r \rceil - 1}, i_{\lceil \lg r \rceil - 2}, \dots, i_0 \rangle$ . Recolorăm  $x$  cu valoarea lui  $i$  concatenată cu bitul  $a_i$ . Cu alte cuvinte, facem atribuirea

$$C_{k+1}[x] = \langle i, a_i \rangle = \langle i_{\lceil \lg r \rceil - 1}, i_{\lceil \lg r \rceil - 2}, \dots, i_0, a_i \rangle.$$

Ultimul element din listă primește noua culoare  $\langle 0, a_0 \rangle$ . De aceea, numărul de biți din fiecare nouă culoare este cel mult  $\lceil \lg r \rceil + 1$ .

Trebuie să demonstrăm că, dacă fiecare iterație a algoritmului řASE-CULORI pornește cu o colorare, noua “colorare” pe care o produce este, într-adevăr, o colorare corectă. Pentru a face acest lucru, demonstrăm că  $C_k[x] \neq C_k[urm[x]]$  implică  $C_{k+1}[x] \neq C_{k+1}[urm[x]]$ . Să presupunem că  $C_k[x] = a$  și  $C_k[urm[x]] = b$ , și că  $C_{k+1}[x] = \langle i, a_i \rangle$  și  $C_{k+1}[urm[x]] = \langle j, b_j \rangle$ . Trebuie să considerăm două cazuri. Dacă  $i \neq j$ , atunci  $\langle i, a_i \rangle \neq \langle j, b_j \rangle$ , și astfel culorile noi sunt diferite. Dacă  $i = j$ , atunci  $a_i \neq b_i = b_j$  din cauza metodei noastre de recolorare, și, astfel, noile culori sunt, încă o dată, diferite. (Situația din coada listei poate fi tratată similar).

Metoda de recolorare folosită de algoritmul řASE-CULORI ia o culoare de  $r$  biți și o înlocuiește cu una de  $(\lceil \lg r \rceil + 1)$  biți, ceea ce înseamnă că numărul de biți este strict redus pentru  $r \geq 4$ . Când  $r = 3$ , două culori pot差别i prin biții din pozițiile 0, 1 sau 2. De aceea, fiecare culoare nouă este  $\langle 00 \rangle$ ,  $\langle 01 \rangle$  sau  $\langle 10 \rangle$ , concatenată fie cu 0, fie cu 1, rezultând, astfel, încă o dată, un număr de 3 biți. Totuși, numai 6 din cele 8 valori posibile pentru numerele de 3 biți sunt folosite, astfel încât řASE-CULORI se termină într-adevăr cu o 6-colorare.

Presupunând că fiecare procesor poate determina indexul corespunzător  $i$  într-un timp  $O(1)$  și poate executa o operație de deplasare la stânga a biților într-un timp  $O(1)$  – operații suportate în

mod obișnuit de multe mașini actuale – fiecare iterație se execută într-un timp  $O(1)$ . Algoritmul ȘASE-COLORI este un algoritm EREW: pentru fiecare obiect  $x$ , procesorul său acceseză numai pe  $x$  și pe  $urm[x]$ .

În final, să vedem de ce sunt necesare numai  $O(\lg^* n)$  iterări pentru a aduce n-colorarea inițială la o 6-colorare. Am definit  $\lg^* n$  ca fiind numărul de aplicări ale funcției logaritm necesare pentru a-l reduce pe  $n$  la o valoare apropiată de 1 sau, notând cu  $\lg^{(i)} n$   $i$  aplicări succesive ale funcției  $\lg$ ,

$$\lg^* n = \min \left\{ i \geq 0 : \lg^{(i)} n \leq 1 \right\}.$$

Fie  $r_i$  numărul de biți din colorare chiar înainte de iterăția cu numărul de ordine  $i$ . Vom demonstra prin inducție că, dacă  $\lceil \lg^{(i)} n \rceil \geq 2$ , atunci  $r_i \leq \lceil \lg^{(i)} n \rceil + 2$ . Inițial, avem  $r_1 \leq \lceil \lg n \rceil$ . Cea de-a  $i$ -a iterăție scade numărul de biți din colorare la  $r_{i+1} = \lceil \lg r_i \rceil + 1$ . Presupunând că ipoteza inductivă este adevărată pentru  $r_{i-1}$ , obținem

$$\begin{aligned} r_i &= \lceil \lg r_{i-1} \rceil + 1 \leq \lceil \lg(\lceil \lg^{(i-1)} n \rceil + 2) \rceil + 1 \leq \lceil \lg(\lg^{(i-1)} n + 3) \rceil + 1 \\ &\leq \lceil \lg(2 \lg^{(i-1)} n) \rceil + 1 = \lceil \lg(\lg^{(i-1)} n) + 1 \rceil + 1 = \lceil \lg^{(i)} n \rceil + 2. \end{aligned}$$

A patra relație rezultă din presupunerea că  $\lceil \lg^{(i)} n \rceil \geq 2$ , ceea ce înseamnă că  $\lceil \lg^{(i-1)} n \rceil \geq 3$ . De aceea, după  $m = \lg^* n$  pași, numărul biților din colorare este  $r_m \leq \lceil \lg^{(m)} n \rceil + 2 = 3$  deoarece  $\lg^{(m)} n \leq 1$ , din definiția funcției  $\lg^*$ . Astfel, cel mult încă o iterăție este de ajuns pentru a produce o 6-colorare. De aceea, timpul total de execuție al algoritmului ȘASE-COLORI este  $O(\lg^* n)$ .

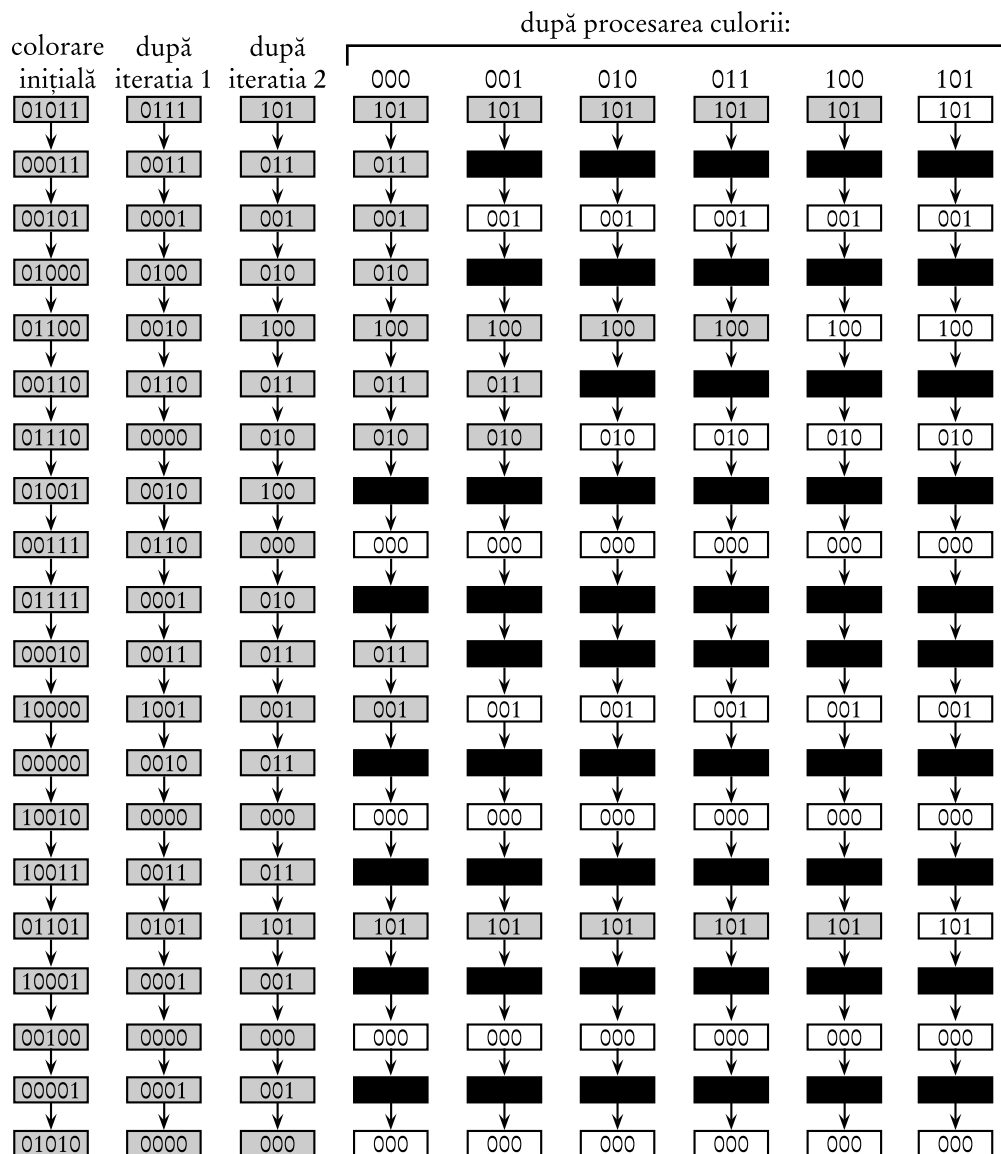
## Determinarea unei mulțimi independente maximale dintr-o 6-colorare

Colorarea este partea dificilă a întreruperii simetriei. Algoritmul EREW LISTEAZĂ-MIM folosește  $n$  procesoare pentru a găsi o mulțime independentă maximală într-un timp  $O(c)$ , dată fiind o  $c$ -colorare a unei liste de  $n$  obiecte. Astfel, o dată ce am determinat o 6-colorare a unei liste, putem găsi o mulțime independentă maximală într-un timp  $O(1)$ .

Partea de la sfârșitul figurii 30.11 ilustrează ideea ce stă la baza algoritmului LISTEAZĂ-MIM. Se dă o  $c$ -colorare  $C$ . Cu fiecare obiect  $x$ , păstrăm un bit  $posibil[x]$ , care ne spune dacă  $x$  este încă un candidat pentru includerea în mulțimea independentă maximală (MIM). Inițial,  $posibil[x] = \text{ADEVĂRAT}$ , pentru toate obiectele din  $x$ .

Apoi, algoritmul iterează fiecare din cele  $c$  culori. În iterăția pentru culoarea  $i$ , fiecare procesor responsabil cu un obiect  $x$  verifică dacă  $C[x] = i$  și  $posibil[x] = \text{ADEVĂRAT}$ . Dacă ambele condiții sunt adevărate, atunci procesorul marchează  $x$  ca aparținând mulțimii independente maximale ce este construită. Toate obiectele adiacente celor adăugate mulțimii independente maximale – acele imediat înainte sau imediat după – vor avea biții lor  $posibil$  setați pe FALSE. Ele nu pot apartine mulțimii independente maximale pentru că sunt adiacente unui obiect ce se află în ea. După  $c$  iterări, fiecare obiect a fost fie “omorât” – bitul său  $posibil$  a fost setat pe FALSE, fie plasat în mulțimea maximală independentă.

Trebuie să arătăm că mulțimea rezultată este independentă și maximală. Pentru a arăta că este independentă, să presupunem că două obiecte adiacente  $x$  și  $urm[x]$  sunt plasate în mulțime. Deoarece ele sunt adiacente,  $C[x] \neq C[urm[x]]$  pentru că  $C$  este o colorare. Fără a pierde din generalitate, presupunem că  $C[x] < C[urm[x]]$ , astfel încât  $x$  este plasat în mulțime înaintea lui  $urm[x]$ . Dar în acest caz  $posibil[urm[x]]$  a fost deja setat pe FALSE atunci când obiectele de culoare  $C[urm[x]]$  sunt luate în considerare și, deci,  $urm[x]$  nu poate să fie plasat în mulțime.



**Figura 30.11** Algoritmii ŞASE-CULORI și LISTEAZĂ-MIM care rup simetria dintr-o listă. Împreună, algoritmii determină o mulțime mare de obiecte neadiacente într-un timp  $O(\lg^*)$  folosind  $n$  procesoare. Lista inițială de  $n = 20$  obiecte este prezentată în partea stângă, pe verticală. Fiecare obiect are o culoare inițială, distinctă, de 5 culori. Pentru acești parametri, algoritmul ŞASE-CULORI nu necesită decât cele două iterații prezentate pentru a recolora fiecare obiect cu o culoare din domeniul  $\{0, 1, 2, 3, 4, 5\}$ . Obiectele albe sunt plasate în mulțimea independentă maximală (MIM) de către algoritmul LISTEAZĂ-MIM pe măsură ce culorile sunt procesate, iar obiectele negre sunt eliminate.

Pentru a arăta că multimea este maximală, să presupunem că nici unul dintre obiectele consecutive  $x, y$  și  $z$  nu a fost plasat în multime. Singurul mod în care  $y$  ar fi putut evita plasarea sa în multime este să fi fost eliminat atunci când un obiect adjacent a fost plasat în listă. Deoarece, din presupunerea noastră, nici  $x$ , nici  $z$  nu au fost plasate în multime, obiectul  $y$  trebuie să fi fost încă în viață în momentul când obiectele de culoare  $C[y]$  au fost procesate. Deci, el trebuie să fi fost plasat în multime.

Fiecare iterație a algoritmului LISTEAZĂ-MIM necesită un timp  $O(1)$  pe un PRAM. Algoritmul este EREW deoarece fiecare obiect se accesază doar pe sine însuși, predecesorul și succesorul său din listă. Combinând algoritmii LISTEAZĂ-MIM și ȘASE-CULORI, putem întrerupe, deterministic, simetria dintr-o listă înlănțuită într-un timp  $O(\lg^* n)$ .

## Exerciții

**30.5-1** Pentru exemplul de întrerupere de simetrie a două procesoare, prezentat la începutul acestei secțiuni, arătați că simetria este întreruptă într-un timp așteptat constant.

**30.5-2** Datează fiind o 6-colorare a unei liste de  $n$  obiecte, arătați cum se poate 3-colora lista într-un timp  $O(1)$  folosind  $n$  procesoare pe un PRAM EREW.

**30.5-3** Presupuneți că fiecare nod dintr-un arbore cu  $n$  noduri, cu excepția rădăcinii, are un pointer la părintele său. Dați un algoritm CREW pentru a  $O(1)$ -colora arborele într-un timp  $O(\lg^* n)$ .

**30.5-4** \* Dați un algoritm PRAM eficient pentru a  $O(1)$ -colora un graf de gradul 3. Analizați algoritmul propus.

**30.5-5** O mulțime  $k$ -**conducătoare** a unei liste înlănțuite este o mulțime de obiecte (conducători) din listă, astfel încât nu există doi conducători adjacenți și, cel mult,  $k$  neconducători (subiecți) separă conducătorii. Astfel, o mulțime independentă maximală este o mulțime 2-conducătoare. Arătați cum se poate calcula o mulțime  $O(\lg n)$ -conducătoare a unei liste de  $n$  obiecte într-un timp  $O(1)$ , folosind  $n$  procesoare. Arătați cum se poate calcula o mulțime  $O(\lg \lg n)$ -conducătoare într-un timp  $O(1)$ , presupunând aceleași lucruri ca mai sus.

**30.5-6** \* Arătați cum se poate determina o 6-colorare a unei liste înlănțuite de  $n$  obiecte într-un timp  $O(\lg(\lg^* n))$ . Presupuneți că fiecare procesor poate memora un tablou precalculat de dimensiune  $O(\lg n)$ . (Indica ie: În algoritmul ȘASE-CULORI, de câte valori depinde culoarea finală a unui obiect?)

## Probleme

### 30-1 Prefix paralel segmentat

La fel ca un calcul de prefix obișnuit, un **calcul de prefix segmentat** este definit cu ajutorul unui operator binar, asociativ  $\otimes$ . Algoritmul primește un sir de intrare  $x = \langle x_1, x_2, \dots, x_n \rangle$  ale cărui elemente provin dintr-un domeniu  $S$  și un sir **segment**  $b = \langle b_1, b_2, \dots, b_n \rangle$  ale cărui elemente provin din domeniul  $\{0, 1\}$ , cu  $b_1 = 1$ . Algoritmul produce un sir de ieșire  $y = \langle y_1, y_2, \dots, y_n \rangle$ , cu elemente din domeniul  $S$ . Bitii lui  $b$  determină o partitioare a lui  $x$  și  $y$  în segmente. Un nou

$$\begin{aligned}
 b &= [1 \quad 0 \quad 0] [1 \quad 0] [1] [1 \quad 0 \quad 0 \quad 0 \quad 0 \quad 0] [1 \quad 0] \\
 x &= 1 \quad 2 \quad 3 \quad 4 \quad 5 \quad 6 \quad 7 \quad 8 \quad 9 \quad 10 \quad 11 \quad 12 \quad 13 \quad 14 \\
 y &= 1 \quad 3 \quad 6 \quad 4 \quad 9 \quad 6 \quad 7 \quad 15 \quad 24 \quad 34 \quad 45 \quad 57 \quad 13 \quad 27
 \end{aligned}$$

**Figura 30.12** Un calcul al prefixului paralel segmentat cu şirul segment  $b$ , şirul de intrare  $x$  şi şirul de ieşire  $y$ . Există 5 segmente.

segment începe oricând  $b_i = 1$ , iar cel curent continuă dacă  $b_i = 0$ . Calculul de prefix segmentat execută un calcul de prefix independent în cadrul fiecărui segment al lui  $x$  pentru a produce segmentul corespunzător al lui  $y$ . Figura 30.12 ilustrează un calcul de prefix segmentat folosind adunarea obișnuită.

- a. Se definește operatorul  $\widehat{\otimes}$  pe perechile ordonate  $(a, z), (a', z') \in \{0, 1\} \times S$  în modul următor:

$$(a, z) \widehat{\otimes} (a', z') = \begin{cases} (a, z \otimes z') & \text{dacă } a' = 0, \\ (1, z') & \text{dacă } a' = 1. \end{cases}$$

Demonstrați că  $\widehat{\otimes}$  este asociativ.

- b. Arătați cum se poate implementa, într-un timp  $O(\lg n)$ , orice calcul de prefix segmentat pe o listă de  $n$  elemente pe un PRAM CRCW cu  $p = n$  procesoare.
- c. Descrieți un algoritm EREW de timp  $O(k \lg n)$  pentru ordonarea unei liste de  $n$  numere de  $k$  biți.

### 30-2 Algoritm de determinare a maximului, eficient ca număr de procesoare

Dorim să determinăm maximul a  $n$  numere pe un PRAM CRCW cu  $p = n$  procesoare.

- a. Demonstrați că problema determinării maximului a  $m \leq p/2$  numere se poate reduce la problema determinării a maximului a, cel mult,  $m^2/p$  numere într-un timp  $O(1)$  pe un PRAM CRCW având  $p$  procesoare.
- b. Dacă pornim cu  $m = \lfloor p/2 \rfloor$  numere, câte numere rămân după  $k$  iterații ale algoritmului din partea (a)?
- c. Arătați că problema determinării maximului a  $n$  numere poate fi rezolvată într-un timp  $O(\lg \lg n)$  pe un PRAM CRCW cu  $p = n$  procesoare.

### 30-3 Componențe conexe

În această problemă, investigăm un algoritm CRCW arbitrar pentru determinarea componentelor conexe ale unui graf neorientat  $G = (V, E)$  care folosește  $|V + E|$  procesoare. Structura de date folosită este o pădure de mulțimi disjuncte (vezi secțiunea 22.3). Fiecare vârf  $v \in V$  menține un pointer  $p[v]$  la un părinte. Inițial,  $p[v] = v$ : pointerul vârfului  $v$  este el însuși. La sfârșitul algoritmului, pentru oricare două vârfuri  $u, v \in V$ , avem  $p[u] = p[v]$  dacă și numai dacă  $u \sim v$  în  $G$ . În timpul algoritmului, cei  $p$  pointeri formează o pădure de arbori **de pointeri** cu rădăcină. O **stea** este un arbore de pointeri în care  $p[u] = p[v]$  pentru toate vârfurile  $u$  și  $v$  din arbore.

Algoritmul pentru determinarea componentelor conexe presupune că fiecare muchie  $(u, v) \in E$  apare de două ori: o dată ca  $(u, v)$  și o dată ca  $(v, u)$ . Algoritmul folosește două operații de bază,

CÂRLIG și SALT, și o subrutină STEA care setează  $stea[v] = \text{ADEVĂRAT}$  dacă  $v$  aparține unei stele.

CÂRLIG( $G$ )

- 1: STEA( $G$ )
- 2: **pentru** fiecare muchie  $(u, v) \in E[G]$ , în paralel **execută**
- 3:   **dacă**  $stea[u]$  și  $p[u] > p[v]$  **atunci**
- 4:      $p[p[u]] \leftarrow p[v]$
- 5: STEA( $G$ )
- 6: **pentru** fiecare muchie  $(u, v) \in E[G]$ , în paralel **execută**
- 7:   **dacă**  $star[u]$  și  $p[u] \neq p[v]$  **atunci**
- 8:      $p[p[u]] \leftarrow p[v]$

SALT( $G$ )

- 1: **pentru** fiecare  $v \in V[G]$ , în paralel **execută**
- 2:    $p[v] \leftarrow p[p[v]]$

Algoritmul pentru determinarea componentelor conexe apelează inițial procedura CÂRLIG, iar apoi apelează, în continuu, procedurile CÂRLIG, SALT, CÂRLIG, SALT și aşa mai departe, până când nici un pointer nu mai este schimbat de către procedura SALT. (Observați că procedura CÂRLIG este apelată de două ori înaintea primului apel al procedurii SALT).

- a.** Descrieți procedura STEA( $G$ ) în pseudocod.
- b.** Arătați că cei  $p$  pointeri formează, într-adevăr, arbori cu rădăcină, pointerul nodului rădăcină fiind chiar rădăcina însăși. Arătați că, dacă  $u$  și  $v$  se află în același arbore de pointeri,  $p[u] = p[v]$  dacă și numai dacă  $u \sim v$  în  $G$ .
- c.** Demonstrați că algoritmul este corect: el se termină, iar când se termină,  $p[u] = p[v]$  dacă și numai dacă  $u \sim v$  în  $G$ .

Pentru a analiza algoritmul pentru componente conexe, vom examina o singură componentă conexă  $C$ , despre care presupunem că are cel puțin două vârfuri. Să presupunem că, la un moment dat în cursul execuției algoritmului,  $C$  este formată dintr-o mulțime  $\{T_i\}$  de arbori de pointeri. Definim potențialul  $C$  ca fiind

$$\Phi(C) = \sum_{T_i} \text{înălțime}(T_i)$$

Scopul analizei noastre este să demonstrăm că fiecare iterație de agățări și salturi micșorează  $\Phi(C)$  cu un factor constant.

- d.** Demonstrați că, după apelul inițial al procedurii CÂRLIG, următoarele apeluri ale procedurii CÂRLIG nu-l măresc niciodată pe  $\Phi(C)$ .
- f.** Arătați că, după fiecare apel al procedurii CÂRLIG, cu excepția celui inițial, nici un arbore de pointeri nu este o stea, decât dacă arborele de pointeri conține toate vâfurile din  $C$ .
- g.** Argumentați că, dacă  $C$  nu a fost compactizată într-o singură stea, atunci, după un apel al procedurii SALT,  $\Phi(C)$  este, cel mult,  $2/3$  din valoarea sa anterioară. Ilustrați cazul cel mai defavorabil.

**h.** Demonstrați că algoritmul determină toate componentele conexe ale lui  $G$  într-un timp  $O(\lg V)$ .

#### 30-4 Transpunerea unei imagini raster

Un tampon de cadru pentru o imagine raster poate fi privit ca o matrice de biți  $M$  de dimensiuni  $p \times p$ . Dispozitivul fizic de afișare a imaginii rastru determină o submatrice aflată în partea de sus, stânga de dimensiuni  $n \times n$  a lui  $M$  vizibilă pe ecranul utilizatorului. Se folosește o operație BITBLT (engl. BLock Transfer of BITS – Transfer în Bloc al Bitilor) pentru a muta un dreptunghi de biți dintr-o poziție în alta. Mai exact,  $\text{BITBLT}(r_1, c_1, r_2, c_2, nr, nc, *)$  setează

$$M[r_2 + i, c_2 + j] \leftarrow M[r_2 + i, c_2 + j] * M[r_1 + i, c_1 + j]$$

pentru  $i = 0, 1, \dots, nr - 1$  și  $j = 0, 1, \dots, nc - 1$ , unde  $*$  este oricare din cele 16 funcții booleene cu două intrări.

Ne interesează transpunerea imaginii ( $M[i, j] \leftarrow M[j, i]$ ) în porțiunea vizibilă a tamponului de cadru. Costul copierii biților se presupune a fi mai mic decât acela al apelării primitivei BITBLT și, astfel, suntem interesați să folosim cât mai puține operații BITBLT posibile.

Arătați că orice imagine de pe ecran poate fi transpusă cu  $O(\lg n)$  operații BITBLT. Presupuneți că  $p$  este suficient mai mare decât  $n$  astfel încât porțiunile invizibile ale tamponului de cadru oferă destul spațiu de stocare pentru implementarea algoritmului. De cât spațiu adițional de stocare aveți nevoie? (Indica ie: Folosiți o abordare divide-și-stăpânește paralelă, în care unele operații BITBLT sunt efectuate prin operații SI booleene.)

## Note bibliografice

Akl [9], Karp și Ramachandran [118], și Leighton [135] studiază algoritmii paraleli pentru probleme combinaționale. Arhitecturi variate de mașini paralele sunt descrise de Hwang și Briggs [109] și de Hwang și DeGroot [110].

Teoria calculului paralel a început în anii 1940, când J. Von Neumann [38] a introdus un model restrâns de calcul paralel numit automat celular, care, în esență, este un tablou bidimensional de procesoare cu stări finite, interconectate în formă de rețea. Modelul PRAM a fost formalizat în 1978 de către Fortune și Wyllie [73], deși mulți alți autori au discutat înainte modele esențial asemănătoare.

Salturile de pointeri au fost introduse de către Wyllie [204]. Studiul calculului paralel de prefix își are originea în lucrările lui Ofman [152], în contextul adunării carry-lookahead. Tehnica turului lui Euler se datorează lui Tarjan și Vishkin [191].

Compromisuri în privința timpului procesor pentru determinarea maximului unei mulțimi de  $n$  numere au fost date de Valiant [193], care a demonstrat și faptul că nu există un algoritm eficient de timp  $O(1)$ . Cook, Dwork și Reischuk [50] au demonstrat că problema determinării maximului necesită un timp  $\Omega(\lg n)$  pe un PRAM CRCW. Simularea unui algoritm CRCW printr-un algoritm EREW se datorează lui Vishkin [195].

Teorema 30.2 se datorează lui Brent [34]. Algoritmul aleator pentru determinarea eficientă a rangului listelor a fost descoperit de Anderson și Miller [11]. El au dat, de asemenea, și un algoritm deterministic eficient pentru aceeași problemă [10]. Algoritmul pentru întreprere deterministica a simetriei se datorează lui Goldberg și Plotkin [84]. El se bazează pe un algoritm similar, cu același timp de rulare, datorat lui Cole și Vishkin [47].

---

# 31 Operații cu matrice

Operațiile cu matrice sunt operații de bază în calcule științifice. De aceea, eficiența algoritmilor asupra matricelor este de un interes considerabil. Acest capitol oferă o scurtă introducere în teoria matricelor, evidențiind problema înmulțirii matricelor și rezolvarea sistemelor de ecuații liniare.

După secțiunea 31.1, care introduce conceptele de bază și notațiile referitoare la matrice, secțiunea 31.2 prezintă algoritmul surprinzător al lui Strassen pentru înmulțirea a două matrice de ordinul  $n \times n$  într-un timp de ordinul lui  $\Theta(n^{\lg 7}) = O(n^{2.81})$ . Secțiunea 31.3 definește noțiunile de cvasiinel, inel și câmpuri clarificând ipotezele cerute de funcționarea algoritmului lui Strassen. De asemenea, secțiunea conține un algoritm asimptotic rapid pentru înmulțirea matricelor booleene. În secțiunea 31.4 se tratează modul de rezolvare a unui sistem de ecuații liniare utilizând descompunerea LUP. Apoi, în secțiunea 31.5 se studiază legătura strânsă dintre problemele înmulțirii matricelor și problema inversării lor. În final, în secțiunea 31.6 se studiază clasa importantă a matricelor simetrice pozitiv-definite și se prezintă modul lor de utilizare în rezolvarea unui sistem de  $n$  ecuații liniare cu  $m$  necunoscute  $m < n$ , folosind metoda celor mai mici pătrate.

---

## 31.1. Proprietățile matricelor

În această secțiune, vom recapitula câteva concepte de bază din teoria matricelor precum și proprietăți fundamentale ale matricelor, concentrându-ne atenția asupra acelora care vor fi necesare în secțiunile următoare.

### Matrice și vectori

O **matrice** este un tablou dreptunghiular de numere. De exemplu,

$$A = \begin{pmatrix} a_{11} & a_{12} & a_{13} \\ a_{21} & a_{22} & a_{23} \end{pmatrix} = \begin{pmatrix} 1 & 2 & 3 \\ 4 & 5 & 6 \end{pmatrix} \quad (31.1)$$

este o matrice  $A = (a_{ij})$  de ordinul  $2 \times 3$ , unde  $i = 1, 2$  și  $j = 1, 2, 3$ , iar elementul matricei din linia  $i$  și coloana  $j$  este  $a_{ij}$ . Vom nota matricele cu litere mari, iar elementele lor cu litere mici, indexate. Multimea tuturor matricelor de ordinul  $m \times n$ , având elemente reale, se notează cu  $\mathbb{R}^{m \times n}$ . În general, multimea matricelor de ordinul  $m \times n$ , având elemente din multimea  $S$ , se notează cu  $S^{m \times n}$ .

**Transpusa** unei matrice  $A$  este matricea  $A^T$  care se obține interschimbând liniile și coloanele lui  $A$ . Pentru matricea  $A$  din relația (31.1),

$$A^T = \begin{pmatrix} 1 & 4 \\ 2 & 5 \\ 3 & 6 \end{pmatrix}.$$

Un **vector** este un tablou unidimensional de numere. De exemplu,

$$x = \begin{pmatrix} 2 \\ 3 \\ 5 \end{pmatrix}. \quad (31.2)$$

este un vector de dimensiunea 3. Vom utiliza litere mici pentru a nota vectori și vom nota prin  $x_i$ , pentru  $i = 1, 2, \dots, n$ , al  $i$ -lea element al vectorului  $x$  de dimensiune  $n$ . Forma standard a unui vector este **vectorul coloană**, echivalent cu o matrice de ordinul  $n \times 1$ ; **vectorul linie** corespunzător se obține luând transpusa:

$$x^T = (2 \ 3 \ 5).$$

**Vectorul unitate**  $e_i$  este vectorul pentru care al  $i$ -lea element este 1 și toate celelalte elemente sunt 0. De obicei, dimensiunea unui vector unitate rezultă din context.

O **matrice zero** este o matrice ale cărei elemente sunt 0. O astfel de matrice, de obicei, se notează cu 0, încrucițat ambiguitatea dintre numărul 0 și matricea 0 se rezolvă simplu, subînțelegându-se din context la ce se face referirea. Dacă este vorba de o matrice 0, atunci ordinul ei trebuie să rezulte din context.

Matricele **pătratice** de ordinul  $n \times n$  sunt întâlnite frecvent. O importanță mare prezintă diferitele cazuri particulare de matrice pătratice:

1. O **matrice diagonală** are elementele  $a_{ij} = 0$  pentru  $i \neq j$ . Deoarece toate elementele nesituate pe diagonală sunt nule, matricea poate fi specificată enumerând elementele de pe diagonală:

$$\text{diag}(a_{11}, a_{22}, \dots, a_{nn}) = \begin{pmatrix} a_{11} & 0 & \cdots & 0 \\ 0 & a_{22} & \cdots & 0 \\ \vdots & \vdots & \ddots & \vdots \\ 0 & 0 & \cdots & a_{nn} \end{pmatrix}$$

2. **Matricea unitate**  $I_n$  de ordinul  $n \times n$  este matricea având 1 pe diagonală:

$$I_n = \text{diag}(1, 1, \dots, 1) = \begin{pmatrix} 1 & 0 & \cdots & 0 \\ 0 & 1 & \cdots & 0 \\ \vdots & \vdots & \ddots & \vdots \\ 0 & 0 & \cdots & 1 \end{pmatrix}.$$

În cazul în care  $I$  nu are indice, ordinul ei poate fi dedus din context. Coloana a  $i$ -a a unei matrice unitate este vectorul unitate  $e_i$ .

3. Numim **matrice tridiagonală** acea matrice  $T$  în care  $t_{ij} = 0$  dacă  $|i - j| > 1$ . Elementele nenule apar numai pe diagonala principală, imediat deasupra diagonalei principale ( $t_{i,i+1}$  pentru  $i = 1, 2, \dots, n - 1$ ) sau imediat sub diagonala principală ( $t_{i+1,i}$ , pentru  $i =$

1, 2, ...,  $n - 1$ ):

$$T = \begin{pmatrix} t_{11} & t_{12} & 0 & 0 & \dots & 0 & 0 & 0 \\ t_{21} & t_{22} & t_{23} & 0 & \dots & 0 & 0 & 0 \\ 0 & t_{32} & t_{33} & t_{34} & \dots & 0 & 0 & 0 \\ \vdots & \vdots & \vdots & \vdots & \ddots & \vdots & \vdots & \vdots \\ 0 & 0 & 0 & 0 & \dots & t_{n-2,n-2} & t_{n-2,n-1} & 0 \\ 0 & 0 & 0 & 0 & \dots & t_{n-1,n-2} & t_{n-1,n-1} & 0 \\ 0 & 0 & 0 & 0 & \dots & 0 & t_{n,n-1} & t_{nn} \end{pmatrix}.$$

4. Numim **matrice superior triunghiulară** acea matrice  $U$  în care  $u_{ij} = 0$  pentru orice  $i > j$ . Toate elementele de sub diagonală sunt nule:

$$U = \begin{pmatrix} u_{11} & u_{12} & \dots & u_{1n} \\ 0 & u_{21} & \dots & u_{2n} \\ \vdots & \vdots & \ddots & \vdots \\ 0 & 0 & \dots & u_{nn} \end{pmatrix}.$$

O matrice superior triunghiulară este **matrice unitate superior triunghiulară** dacă toate elementele de pe diagonală sunt egale cu 1.

5. Numim **matrice inferior triunghiulară** acea matrice  $L$  în care  $l_{ij} = 0$  pentru orice  $i < j$ . Toate elementele de deasupra diagonalei sunt nule:

$$L = \begin{pmatrix} l_{11} & 0 & \dots & 0 \\ l_{21} & l_{22} & \dots & 0 \\ \vdots & \vdots & \ddots & \vdots \\ l_{n1} & l_{n2} & \dots & l_{nn} \end{pmatrix}.$$

O matrice inferior triunghiulară care are toate elementele de pe diagonală egale cu 1 se numește **matrice unitate inferior triunghiulară**.

6. O **matrice de permutare**  $P$  este acea matrice care are exact un 1 în fiecare linie sau coloană și zero în rest. Un exemplu de matrice de permutare este:

$$P = \begin{pmatrix} 0 & 1 & 0 & 0 & 0 \\ 0 & 0 & 0 & 1 & 0 \\ 1 & 0 & 0 & 0 & 0 \\ 0 & 0 & 0 & 0 & 1 \\ 0 & 0 & 1 & 0 & 0 \end{pmatrix}.$$

O astfel de matrice se numește matrice de permutare deoarece, înmulțind un vector  $x$  cu o matrice de permutare, se permutează (rearanjează) elementele lui  $x$ .

7. O **matrice simetrică**  $A$  este o matrice care satisfacă condiția  $A = A^T$ . De exemplu,

$$\begin{pmatrix} 1 & 2 & 3 \\ 2 & 6 & 4 \\ 3 & 4 & 5 \end{pmatrix}$$

este o matrice simetrică.

## Operații cu matrice

Elementele unei matrice sau ale unui vector sunt numere dintr-o clasă, cum ar fi numerele reale, complexe sau numere întregi modulo un număr prim. Clasa definește modul de adunare și înmulțire a numerelor. Aceste definiții se pot extinde pentru a include adunarea și înmulțirea matricelor.

Definim **adunarea matricelor** după cum urmează. Dacă  $A = (a_{ij})$  și  $B = (b_{ij})$  sunt matrice de ordinul  $m \times n$ , atunci matricea sumă  $C = (c_{ij}) = A + B$  este matricea de ordinul  $m \times n$  definită prin

$$c_{ij} = a_{ij} + b_{ij}$$

pentru  $i = 1, 2, \dots, m$  și  $j = 1, 2, \dots, n$ . După cum se observă, adunarea se face pe componente. Matricea zero este matricea unitate pentru adunarea matricelor:

$$A + 0 = A = 0 + A.$$

Dacă  $\lambda$  este un număr și  $A = (a_{ij})$  este o matrice, atunci  $\lambda A = (\lambda a_{ij})$  este **produsul scalar** al lui  $A$  obținut înmulțind fiecare din elementele sale cu  $\lambda$ . Ca un caz special, definim **opusul** unei matrice  $A = (a_{ij})$  ca fiind  $-1 \cdot A = -A$ , deci elementul de indice  $ij$  al lui  $-A$  este  $-a_{ij}$ . Astfel,

$$A + (-A) = 0 = (-A) + A.$$

Dându-se aceste definiții, putem defini **scăderea matricelor** prin adunarea opusei unei matrice:  $A - B = A + (-B)$ . Definim **înmulțirea matricelor** după cum urmează. Pornim cu două matrice  $A$  și  $B$  care sunt **compatibile**, în sensul că numărul de coloane al matricei  $A$  este egal cu numărul de linii al matricei  $B$ . (În general, o expresie care conține un produs de matrice  $AB$  implică faptul că matricele  $A$  și  $B$  sunt compatibile.) Dacă  $A = (a_{ij})$  este o matrice de ordinul  $m \times n$  și  $B = (b_{jk})$  este o matrice de ordinul  $n \times p$ , atunci matricea produs  $C = AB$  este o matrice  $C = (c_{ik})$  de ordinul  $m \times p$ , unde:

$$c_{ik} = \sum_{j=1}^n a_{ij} b_{jk} \quad (31.3)$$

pentru  $i = 1, 2, \dots, m$  și  $k = 1, 2, \dots, p$ . Procedura **ÎNMULTEȘTE-MATRICE** din secțiunea 26.1 implementează înmulțirea matricelor într-o manieră directă bazată pe relația (31.3), presupunând că matricele sunt pătratice:  $m = n = p$ . Pentru a înmulți matrice de ordinul  $n \times n$ , algoritmul **ÎNMULTEȘTE-MATRICE** efectuează  $n^3$  înmulțiri și  $n^2(n - 1)$  adunări, timpul de execuție fiind  $\Theta(n^3)$ .

Matricele au multe (dar nu toate) din proprietățile tipice numerelor. Matricele unitate sunt unități pentru înmulțirea matricelor:

$$I_m A = A I_n = A$$

pentru orice matrice  $A$  de ordinul  $m \times n$ . Înmulțirea cu matricea zero dă o matrice zero:

$$A 0 = 0.$$

Înmulțirea matricelor este asociativă:

$$A(BC) = (AB)C \quad (31.4)$$

pentru matricele compatibile  $A, B$  și  $C$ .

Înmulțirea matricelor este distributivă în raport cu adunarea:

$$\begin{aligned} A(B + C) &= AB + AC, \\ (B + C)D &= BD + CD. \end{aligned} \quad (31.5)$$

Înmulțirea matricelor de ordinul  $n \times n$  nu este comutativă decât dacă  $n = 1$ . De exemplu, dacă  $A = \begin{pmatrix} 0 & 1 \\ 0 & 0 \end{pmatrix}$  și  $B = \begin{pmatrix} 0 & 0 \\ 1 & 0 \end{pmatrix}$ , atunci  $AB = \begin{pmatrix} 1 & 0 \\ 0 & 0 \end{pmatrix}$  și  $BA = \begin{pmatrix} 0 & 0 \\ 0 & 1 \end{pmatrix}$ .

Pentru a calcula produse de forma matrice-vector sau vector-vector, se consideră că vectorul ar fi echivalent cu o matrice de ordinul  $n \times 1$  (sau o matrice de ordinul  $1 \times n$ , în cazul unui vector linie). Astfel, dacă  $A$  este o matrice de ordinul  $m \times n$  și  $x$  un vector de dimensiune  $n$ , atunci  $Ax$  este un vector de dimensiune  $m$ . Dacă  $x$  și  $y$  sunt vectori de dimensiune  $n$ , atunci

$$x^T y = \sum_{i=1}^n x_i y_i$$

este un număr (de fapt, o matrice de ordinul  $1 \times 1$ ) numit **produs scalar** al vectorilor  $x$  și  $y$ . Matricea  $xy^T$  este o matrice  $Z$  de ordinul  $n \times n$  numită **produsul exterior** al vectorilor  $x$  și  $y$ , cu  $z_{ij} = x_i y_j$ . **Norma (euclidiană)**  $\|x\|$  a vectorului  $x$  de dimensiune  $n$  se definește prin

$$\|x\| = (x_1^2 + x_2^2 + \dots + x_n^2)^{1/2} = (x^T x)^{1/2}.$$

Astfel, norma lui  $x$  este lungimea în spațiul euclidian  $n$ -dimensional.

### Inversul, rangul și determinantul matricelor

**Inversa** unei matrice  $A$  de ordinul  $n \times n$  este o matrice de ordinul  $n \times n$ , notată cu  $A^{-1}$  (dacă există), astfel încât  $AA^{-1} = I_n = A^{-1}A$ . De exemplu,

$$\begin{pmatrix} 1 & 1 \\ 1 & 0 \end{pmatrix}^{-1} = \begin{pmatrix} 0 & 1 \\ 1 & -1 \end{pmatrix}.$$

Multe matrice de ordinul  $n \times n$  nenule nu au inversă. O matrice care nu are inversă se numește **neinversabilă** sau **singulară**. Un exemplu de matrice singulară nenulă este

$$\begin{pmatrix} 1 & 0 \\ 1 & 0 \end{pmatrix}.$$

Dacă o matrice are o inversă, ea se numește **inversabilă** sau **nesingulară**. Inversele matricelor, dacă ele există, sunt unice. (Vezi exercițiul 31.1-4.) Dacă  $A$  și  $B$  sunt matrice de ordinul  $n \times n$  nesingulare, atunci

$$(BA)^{-1} = A^{-1}B^{-1}. \quad (31.6)$$

Operația de inversare comută cu operația de transpunere:

$$(A^{-1})^T = (A^T)^{-1}.$$

Vectorii  $x_1, x_2, \dots, x_n$  sunt **liniar dependenți** dacă există coeficienții  $c_1, c_2, \dots, c_n$ , nu toți nuli, astfel încât  $c_1x_1 + c_2x_2 + \dots + c_nx_n = 0$ . De exemplu, vectorii  $x_1 = (1 \ 2 \ 3)^T, x_2 = (2 \ 6 \ 4)^T$

și  $x_3 = (4 \ 11 \ 9)^T$  sunt liniar dependenți deoarece  $2x_1 + 3x_2 - 2x_3 = 0$ . Dacă vectorii nu sunt liniar dependenți, atunci sunt *liniar independenti*. De exemplu, coloanele matricei unitate sunt liniar independente.

**Rangul coloană** al unei matrice  $A$  de ordinul  $m \times n$  nenule este dimensiunea celei mai mari multimi de coloane liniar independente ale lui  $A$ . Similar, **rangul linie** al lui  $A$  este dimensiunea celei mai mari multimi de linii liniar independente ale lui  $A$ . O proprietate fundamentală a oricărei matrice  $A$  este faptul că rangurile linie și coloană ale ei sunt totdeauna egale, așa că putem, pur și simplu, să ne referim la **rangul** lui  $A$ . Rangul unei matrice de ordinul  $m \times n$  este un întreg între 0 și  $\min(m, n)$ , inclusiv. (Rangul unei matrice zero este 0, iar al matricei unitate de ordinul  $n \times n$  este  $n$ .) O definiție echivalentă pentru rang, adesea mai utilă, este aceea că rangul unei matrice  $A$  de ordinul  $m \times n$  nenule este cel mai mic număr  $r$ , astfel încât să existe matricele  $B$  și  $C$  de ordine  $m \times r$ , respectiv,  $r \times n$ , astfel ca

$$A = BC.$$

O matrice pătrată de ordinul  $n \times n$  are **rangul complet** dacă acesta este  $n$ . O proprietate fundamentală a rangurilor va fi enunțată prin următoarea teoremă.

**Teorema 31.1** O matrice pătrată are rangul complet dacă și numai dacă este nesingulară. ■

O matrice de ordinul  $m \times n$  are **rangul coloană complet** dacă rangul ei este  $n$ .

Un **vector de anulare** pentru o matrice  $A$  este un vector  $x$  diferit de zero, astfel încât  $Ax = 0$ . Teorema următoare, a cărei demonstrație este cerută în exercițiul 31.1-8, precum și corolarul ei leagă noțiunile de rang coloană și singularitate cu cea de vector de anulare.

**Teorema 31.2** O matrice  $A$  are un rang coloană complet dacă și numai dacă nu are un vector de anulare. ■

**Corolarul 31.3** O matrice pătratică  $A$  este singulară dacă și numai dacă are un vector de anulare. ■

Al  $ij$ -lea **minor** al matricei  $A$  de ordinul  $n \times n$ , pentru  $n > 1$ , este matricea  $A_{[ij]}$  de ordinul  $(n-1) \times (n-1)$ , obținută eliminând linia a  $i$ -a și coloana a  $j$ -a din  $A$ . **Determinantul** unei matrice  $A$  de ordinul  $n \times n$  poate fi definit recursiv în termenii minorilor ei, prin

$$\det(A) = \begin{cases} a_{11} & \text{dacă } n = 1, \\ a_{11} \det(A_{[11]}) - a_{12} \det(A_{[12]}) \\ + \cdots + (-1^{n+1}) a_{1n} \det(A_{[1n]}) & \text{dacă } n > 1. \end{cases} \quad (31.7)$$

Termenul  $(-1)^{i+j} \det(A_{[ij]})$  este cunoscut sub numele de **complement algebric** al elementului  $a_{ij}$ .

Următoarele teoreme, ale căror demonstrații sunt omise aici, exprimă proprietățile fundamentale ale determinantelor.

**Teorema 31.4 (Proprietățile determinantelor)** Determinantul unei matrice pătratice  $A$  are următoarele proprietăți:

- Dacă o linie sau o coloană oarecare a lui  $A$  este zero, atunci  $\det(A)=0$ .
- Dacă se înmulțesc elementele unei linii (sau unei coloane) cu  $\lambda$ , atunci determinantul lui  $A$  se înmulțește cu  $\lambda$ .

- Dacă elementele unei linii (sau coloane) se adaugă la elementele altrei linii (sau coloane) valoarea determinantului nu se schimbă.
- Determinantul lui  $A$  este egal cu determinantul lui  $A^T$ .
- Dacă se permute între ele două linii (sau coloane), valoarea determinantului se înmulțește cu  $-1$ .

De asemenea, pentru orice matrice pătratică  $A$  și  $B$ , avem  $\det(AB) = \det(A) \det(B)$ . ■

**Teorema 31.5** O matrice  $A$  de ordinul  $n \times n$  este singulară dacă și numai dacă  $\det(A) = 0$ . ■

### Matrice pozitiv-definite

Matricele pozitiv-definite joacă un rol important în multe aplicații. O matrice  $A$  de ordinul  $n \times n$  este **pozitiv-definită** dacă  $x^T A x > 0$  pentru orice vector  $x \neq 0$ ,  $n$ -dimensional. De exemplu, matricea unitate este pozitiv-definită, deoarece pentru orice vector nenul  $x = (x_1 \ x_2 \ \dots \ x_n)^T$ ,

$$x^T I_n x = x^T x = \|x\|^2 = \sum_{i=1}^n x_i^2 > 0.$$

Așa cum vom vedea, conform următoarei teoreme, matricele care apar în aplicații sunt adesea pozitiv-definite.

**Teorema 31.6** Pentru orice matrice  $A$  având rangul coloană complet, matricea  $A^T A$  este pozitiv definită.

**Demonstratie.** Trebuie să arătăm că  $x^T (A^T A) x > 0$  pentru orice vector  $x$  nenul. Pentru orice vector  $x$ , pe baza exercițiului 31.1-3, avem

$$x^T (A^T A) x = (Ax)^T (Ax) = \|Ax\|^2 \geq 0. \quad (31.8)$$

Să observăm că  $\|Ax\|^2$  este chiar suma pătratelor elementelor vectorului  $Ax$ . De aceea, dacă  $\|Ax\|^2 = 0$ , fiecare element al lui  $Ax$  este 0, ceea ce înseamnă că  $Ax = 0$ . Întrucât  $A$  are rangul coloană complet,  $Ax = 0$  implică  $x = 0$  conform teoremei 31.2. Deci,  $A^T A$  este pozitiv-definită. ■

Alte proprietăți ale matricelor pozitiv-definite vor fi studiate în secțiunea 31.6.

### Exerciții

**31.1-1** Demonstrați că produsul a două matrice inferior triunghiulare este o matrice inferior triunghiulară. Demonstrați că determinantul unei matrice triunghiulare (inferioară sau superioară) este egal cu produsul elementelor de pe diagonala ei. Demonstrați că dacă o matrice inferior triunghiulară admite inversă, aceasta este o matrice inferior triunghiulară.

**31.1-2** Demonstrați că, dacă  $P$  este o matrice de permutare de ordinul  $n \times n$  și  $A$  este o matrice de ordinul  $n \times n$ , atunci  $PA$  poate fi obținută din  $A$  permutedând liniile sale, iar  $AP$  poate fi obținută din  $A$  prin permutarea coloanelor sale. Demonstrați că produsul a două matrice de permutare este o matrice de permutare. Demonstrați că dacă  $P$  este o matrice de permutare, atunci este inversabilă, inversa ei este  $P^T$ , iar  $P^T$  este o matrice de permutare.

**31.1-3** Demonstrați că  $(AB)^T = B^T A^T$  și că  $A^T A$  este, întotdeauna, o matrice simetrică.

**31.1-4** Demonstrați că, dacă  $B$  și  $C$  sunt inversele matricei  $A$ , atunci  $B = C$ .

**31.1-5** Fie  $A$  și  $B$  două matrice de ordinul  $n \times n$ , astfel încât  $AB = I$ . Arătați că, dacă  $A'$  este obținută din  $A$  adăugând linia  $j$  la linia  $i$ , atunci inversa  $B'$  a lui  $A'$  poate fi obținută scăzând coloana  $i$  din coloana  $j$  a matricei  $B$ .

**31.1-6** Fie  $A$  o matrice de ordinul  $n \times n$  nesingulară. Arătați că orice element din  $A^{-1}$  este real dacă și numai dacă orice element din  $A$  este real.

**31.1-7** Arătați că, dacă  $A$  este o matrice nesingulară simetrică, atunci  $A^{-1}$  este simetrică. Arătați că, dacă  $B$  este o matrice arbitrară (compatibilă), atunci  $BAB^T$  este simetrică.

**31.1-8** Arătați că o matrice  $A$  are rangul coloană complet dacă și numai dacă  $Ax = 0$  implică  $x = 0$ . (*Indica ie:* se va exprima dependența liniară a unei coloane de celelalte, sub forma unei ecuații matrice-vector.)

**31.1-9** Demonstrați că, pentru orice două matrice  $A$  și  $B$  compatibile,

$$\text{rang}(AB) \leq \min(\text{rang}(A), \text{rang}(B))$$

unde egalitatea are loc dacă  $A$  sau  $B$  este matrice pătratică nesingulară. (*Indica ie:* utilizați definiția alternativă a rangului unei matrice.)

**31.1-10** Dându-se numerele  $x_0, x_1, \dots, x_{n-1}$ , demonstrați că determinantul **matricei Vandermonde**

$$V(x_0, x_1, \dots, x_{n-1}) = \begin{pmatrix} 1 & x_0 & x_0^2 & \cdots & x_0^{n-1} \\ 1 & x_1 & x_1^2 & \cdots & x_1^{n-1} \\ \vdots & \vdots & \vdots & \ddots & \vdots \\ 1 & x_{n-1} & x_{n-1}^2 & \cdots & x_{n-1}^{n-1} \end{pmatrix}$$

este

$$\det(V(x_0, x_1, \dots, x_{n-1})) = \prod_{0 \leq j < k \leq n-1} (x_k - x_j).$$

(*Indica ie:* Se înmulțește coloana  $i$  cu  $-x_0$  și se adună la coloana  $i + 1$  pentru  $i = n - 1, n - 2, \dots, 1$ , apoi se utilizează inducția.)

## 31.2. Algoritmul lui Strassen pentru înmulțirea matricelor

Această secțiune prezintă remarcabilul algoritm recursiv al lui Strassen de înmulțire a matricelor de ordinul  $n \times n$ , care se execută într-un timp de ordin  $\Theta(n^{\lg 7}) = O(n^{2.81})$ . Astfel, pentru  $n$  suficient de mare, algoritmul este mai performant decât algoritmul ÎNMULȚEȘTE-MATRICE, prezentat în secțiunea 26.1, pentru care timpul este de ordinul  $\Theta(n^3)$ .

## Prezentarea generală a algoritmului

Algoritmul lui Strassen poate fi privit ca o aplicație a unei tehnici familiare de proiectare: divide și stăpânește. Să presupunem că dorim să calculăm produsul  $C = AB$ , unde fiecare dintre  $A, B$  și  $C$  sunt matrice de ordinul  $n \times n$ . Presupunând că  $n$  este multiplu de 2, împărțim fiecare din matricele  $A, B$  și  $C$  în  $n/2 \times n/2$  matrice, rescriind relația  $C = AB$  astfel:

$$\begin{pmatrix} r & s \\ t & u \end{pmatrix} = \begin{pmatrix} a & b \\ c & d \end{pmatrix} \begin{pmatrix} e & g \\ f & h \end{pmatrix} \quad (31.9)$$

(Exercițiul 31.2-2 tratează situațiile în care  $n$  nu este multiplu de 2.) Pentru ca notațiile să fie convenabile, elementele lui  $A$  se notează alfabetic de la stânga la dreapta, în timp ce elementele lui  $B$  se notează de sus în jos, în concordanță cu modul de realizare a înmulțirii matricelor. Relația (31.9) corespunde următoarelor patru relații

$$r = ae + bf, \quad (31.10)$$

$$s = ag + bh, \quad (31.11)$$

$$t = ce + df, \quad (31.12)$$

$$u = cg + dh. \quad (31.13)$$

Fiecare dintre aceste patru relații specifică două înmulțiri de matrice de ordinul  $n/2 \times n/2$  și suma lor. Utilizând aceste relații pentru a defini o strategie directă a tehnicii divide și stăpânește, deducem următoarea relație de recurență pentru timpul  $T(n)$  de înmulțire a două matrice de ordinul  $n \times n$ :

$$T(n) = 8T(n/2) + \Theta(n^2). \quad (31.14)$$

Din nefericire, relația (31.14) are soluția  $T(n) = \Theta(n^3)$  și, deci, această metodă nu este mai rapidă decât cea obișnuită.

Strassen a descoperit o metodă recursivă diferită care cere numai șapte înmulțiri recursive de matrice de ordinul  $n/2 \times n/2$  și  $\Theta(n^2)$  adunări și scăderi scalare, obținându-se relația de recurență

$$T(n) = 7T(n/2) + \Theta(n^2) = \Theta(n^{\lg 7}) = O(n^{2.81}). \quad (31.15)$$

Metoda lui Strassen are patru pași:

1. Se descompun matricele  $A$  și  $B$  date în submatrice de ordinul  $n/2 \times n/2$ , ca în relația (31.9).
2. Utilizând  $\Theta(n^2)$  adunări și scăderi scalare, se calculează 14 matrice de ordinul  $n/2 \times n/2$ :  $A_1, B_1, A_2, B_2, \dots, A_7, B_7$ .
3. Se calculează recursiv 7 matrice produs:  $P_i = A_i B_i$  pentru  $i = 1, 2, \dots, 7$ .
4. Se calculează submatricele  $r, s, t, u$  ale matricei rezultat  $C$  prin adunarea și/sau scăderea diferitelor combinații ale matricelor  $P_i$ , utilizând numai  $\Theta(n^2)$  adunări și scăderi scalare.

O astfel de procedură satisfacă relația de recurență (31.15). Tot ce trebuie să facem în continuare este să completăm detaliile absente.

### Determinarea produselor de submatrice

Modul în care Strassen a descoperit submatricele ce reprezintă cheia acestui algoritm nu este bine cunoscut. Reconstruim o metodă plauzibilă a determinării submatricelor.

Să presupunem că am ghicit că fiecare matrice  $P_i$  poate fi pusă sub forma

$$P_i = A_i B_i = (\alpha_{i1}a + \alpha_{i2}b + \alpha_{i3}c + \alpha_{i4}d) \cdot (\beta_{i1}e + \beta_{i2}f + \beta_{i3}g + \beta_{i4}h), \quad (31.16)$$

unde coeficienții  $\alpha_{ij}, \beta_{ij}$  aparțin mulțimii  $\{-1, 0, 1\}$ . Adică, am ghicit că fiecare produs se calculează adunând sau scăzând niște submatrice din  $A$ , adunând sau scăzând niște submatrice din  $B$  și înmulțind cele două rezultate. Deși sunt posibile strategii mai generale, această strategie se dovedește a fi funcțională.

Dacă formăm toate cele patru produse în acest fel, atunci, putem utiliza această metodă recursiv, fără a presupune comutativitatea înmulțirii deoarece fiecare produs are toate submatricele lui  $A$  în stânga și toate submatricele lui  $B$  în dreapta. Această proprietate este esențială pentru aplicarea recursivă a acestei metode deoarece înmulțirea matricelor nu este comutativă.

Este convenabil să utilizăm o matrice de ordinul  $4 \times 4$  pentru a reprezenta combinațiile liniare ale produselor de submatrice, unde fiecare produs combină o submatrice a lui  $A$  cu o submatrice a lui  $B$ , ca în relația (31.16). De asemenea, ecuația (31.10) poate fi scrisă astfel

$$r = ae + bf = (a \ b \ c \ d) \begin{pmatrix} +1 & 0 & 0 & 0 \\ 0 & +1 & 0 & 0 \\ 0 & 0 & 0 & 0 \\ 0 & 0 & 0 & 0 \end{pmatrix} \begin{pmatrix} e \\ f \\ g \\ h \end{pmatrix} = a \begin{pmatrix} + & \cdot & \cdot & \cdot \\ \cdot & + & \cdot & \cdot \\ \cdot & \cdot & \cdot & \cdot \\ \cdot & \cdot & \cdot & \cdot \end{pmatrix} \begin{pmatrix} e \\ f \\ g \\ h \end{pmatrix} = b \begin{pmatrix} + & \cdot & \cdot & \cdot \\ \cdot & + & \cdot & \cdot \\ \cdot & \cdot & \cdot & \cdot \\ \cdot & \cdot & \cdot & \cdot \end{pmatrix} \begin{pmatrix} e \\ f \\ g \\ h \end{pmatrix} = c \begin{pmatrix} + & \cdot & \cdot & \cdot \\ \cdot & + & \cdot & \cdot \\ \cdot & \cdot & \cdot & \cdot \\ \cdot & \cdot & \cdot & \cdot \end{pmatrix} \begin{pmatrix} e \\ f \\ g \\ h \end{pmatrix} = d \begin{pmatrix} + & \cdot & \cdot & \cdot \\ \cdot & + & \cdot & \cdot \\ \cdot & \cdot & \cdot & \cdot \\ \cdot & \cdot & \cdot & \cdot \end{pmatrix} \begin{pmatrix} e \\ f \\ g \\ h \end{pmatrix}.$$

Ultima expresie utilizează o notație prescurtată în care “+” reprezintă  $+1$ , “.” reprezintă  $0$ , iar “–” reprezintă  $-1$ . (În continuare, vom omite etichetele pentru linii și coloane.) Utilizând această notație, obținem următoarele relații pentru celelalte submatrice ale matricei rezultat  $C$ :

$$s = ag + bh = \begin{pmatrix} \cdot & \cdot & + & \cdot \\ \cdot & \cdot & \cdot & + \\ \cdot & \cdot & \cdot & \cdot \\ \cdot & \cdot & \cdot & \cdot \end{pmatrix}$$

$$t = ce + df = \begin{pmatrix} \cdot & \cdot & \cdot & \cdot \\ \cdot & \cdot & \cdot & \cdot \\ + & \cdot & \cdot & \cdot \\ \cdot & + & \cdot & \cdot \end{pmatrix},$$

$$u = cg + dh = \begin{pmatrix} \cdot & \cdot & \cdot & \cdot \\ \cdot & \cdot & \cdot & \cdot \\ \cdot & \cdot & + & \cdot \\ \cdot & \cdot & \cdot & + \end{pmatrix}.$$

Vom căuta un algoritm mai rapid de înmulțire de matrice observând că submatricea  $s$  poate fi calculată prin relația  $s = P_1 + P_2$ , unde  $P_1$  și  $P_2$  se calculează utilizând o înmulțire de matrice:

$$P_1 = A_1 B_1 = a \cdot (g - h) = ag - ah = \begin{pmatrix} \cdot & \cdot & + & - \\ \cdot & \cdot & \cdot & \cdot \\ \cdot & \cdot & \cdot & \cdot \\ \cdot & \cdot & \cdot & \cdot \end{pmatrix},$$

$$P_2 = A_2 B_2 = (a+b) \cdot h = ah + bh = \begin{pmatrix} \cdot & \cdot & \cdot & + \\ \cdot & \cdot & \cdot & + \\ \cdot & \cdot & \cdot & \cdot \\ \cdot & \cdot & \cdot & \cdot \end{pmatrix}.$$

Matricea  $t$  poate fi calculată într-o manieră similară prin relația  $t = P_3 + P_4$ , unde

$$P_3 = A_3 B_3 = (c+d) \cdot e = ce + de = \begin{pmatrix} \cdot & \cdot & \cdot & \cdot \\ \cdot & \cdot & \cdot & \cdot \\ + & \cdot & \cdot & \cdot \\ + & \cdot & \cdot & \cdot \end{pmatrix}$$

și

$$P_4 = A_4 B_4 = d \cdot (f-e) = df - de = \begin{pmatrix} \cdot & \cdot & \cdot & \cdot \\ \cdot & \cdot & \cdot & \cdot \\ \cdot & \cdot & \cdot & \cdot \\ - & + & \cdot & \cdot \end{pmatrix}.$$

Numim **termen principal** unul din cei opt termeni care apar în părțile drepte ale uneia din relațiile (31.10)–(31.13). Am utilizat acum 4 produse pentru a calcula cele două submatrice  $s$  și  $t$  ai căror termeni principali sunt  $ag$ ,  $bh$ ,  $ce$  și  $df$ . Să observăm că  $P_1$  calculează termenul principal  $ag$ ,  $P_2$  calculează termenul principal  $bh$ ,  $P_3$  calculează termenul principal  $ce$ , iar  $P_4$  calculează termenul principal  $df$ . Astfel, mai trebuie să se calculeze cele două submatrice rămase  $r$  și  $u$ , ai căror termeni principali sunt termenii diagonali  $ae$ ,  $bf$ ,  $cg$  și  $dh$ , fără a folosi mai mult de trei produse suplimentare. Încercăm să-l definim pe  $P_5$  în vederea calculării a doi termeni principali deodată:

$$P_5 = A_5 B_5 = (a+d) \cdot (e+h) = ae + ah + de + dh = \begin{pmatrix} + & \cdot & \cdot & + \\ \cdot & \cdot & \cdot & \cdot \\ \cdot & \cdot & \cdot & \cdot \\ + & \cdot & \cdot & + \end{pmatrix}.$$

Pe lângă calculul celor doi termeni principali  $ae$  și  $dh$ ,  $P_5$  calculează termenii auxiliari  $ah$  și  $de$ , care trebuie să fie anihilați printr-o anumită modalitate. Putem să-i folosim pe  $P_4$  și  $P_2$  pentru acest lucru, dar atunci apar alți doi termeni auxiliari:

$$P_5 + P_4 - P_2 = ae + dh + df - bh = \begin{pmatrix} + & \cdot & \cdot & \cdot \\ \cdot & \cdot & \cdot & - \\ \cdot & \cdot & \cdot & \cdot \\ \cdot & + & \cdot & + \end{pmatrix}.$$

Adăugând un produs suplimentar

$$P_6 = A_6 B_6 = (b-d) \cdot (f+h) = bf + bh - df - dh = \begin{pmatrix} \cdot & \cdot & \cdot & \cdot \\ \cdot & + & \cdot & + \\ \cdot & \cdot & \cdot & \cdot \\ \cdot & - & \cdot & - \end{pmatrix},$$

obținem

$$r = P_5 + P_4 - P_2 + P_6 = ae + bf = \begin{pmatrix} + & \cdot & \cdot & \cdot \\ \cdot & + & \cdot & \cdot \\ \cdot & \cdot & \cdot & \cdot \\ \cdot & \cdot & \cdot & \cdot \end{pmatrix}.$$

Putem să-l obținem pe  $u$ , într-o manieră similară, din  $P_5$ , utilizând  $P_1$  și  $P_3$  pentru a muta termenii auxiliari ai lui  $P_5$  în altă direcție:

$$P_5 + P_1 - P_3 = ae + ag - ce + dh = \begin{pmatrix} + & \cdot & + & \cdot \\ \cdot & \cdot & \cdot & \cdot \\ - & \cdot & \cdot & \cdot \\ \cdot & \cdot & \cdot & + \end{pmatrix}.$$

Scăzând un produs suplimentar

$$P_7 = A_7 B_7 = (a - c) \cdot (e + g) = ae + ag - ce - cg = \begin{pmatrix} + & \cdot & + & \cdot \\ \cdot & \cdot & \cdot & \cdot \\ - & \cdot & - & \cdot \\ \cdot & \cdot & \cdot & \cdot \end{pmatrix},$$

vom obține

$$u = P_5 + P_1 - P_3 - P_7 = cg + dh = \begin{pmatrix} \cdot & \cdot & \cdot & \cdot \\ \cdot & \cdot & \cdot & \cdot \\ \cdot & \cdot & + & \cdot \\ \cdot & \cdot & \cdot & + \end{pmatrix}.$$

Cele 7 produse de submatrice  $P_1, P_2, \dots, P_7$  pot fi utilizate pentru a calcula produsul  $C = AB$ , ceea ce completează descrierea metodei lui Strassen.

## Discuție

Timpul de execuție mare al algoritmului lui Strassen îl face impracticabil dacă matricele nu sunt mari ( $n$  să fie cel puțin 45) și nu sunt dense (puține elemente nule). Pentru matrice mici, este preferabil algoritmul direct, iar pentru matrice mari, cu număr mare de elemente nule, există algoritmi speciali care sunt mai eficienți decât algoritmul lui Strassen. În felul acesta, metoda lui Strassen este, în mare măsură, de interes teoretic.

Prin utilizarea tehniciilor avansate care depășesc scopul acestei cărți, se pot înmulții matrice de ordinul  $n \times n$  într-un timp mai bun decât  $\Theta(n^{\lg 7})$ . Cea mai bună limită superioară curentă este aproximativ egală cu  $O(n^{2.376})$ . Cea mai bună limită inferioară cunoscută este chiar limita evidentă  $\Omega(n^2)$  (evident, deoarece trebuie să calculăm  $n^2$  elemente ale matricei produs). În felul acesta, nu știm cât de costisitoare este, în realitate, înmulțirea matricelor.

Algoritmul lui Strassen nu cere ca elementele matricelor să fie numere reale. Tot ce contează este faptul că sistemul de numere trebuie să formeze un inel algebric. Dacă elementele matricei nu formează un inel, pot fi introduse alte tehnici care să permită aplicarea metodei lui Strassen. Aceste rezultate se tratează în secțiunea următoare.

## Exerciții

**31.2-1** Utilizați algoritmul lui Strassen pentru a calcula produsul matricelor

$$\begin{pmatrix} 1 & 3 \\ 5 & 7 \end{pmatrix} \begin{pmatrix} 8 & 4 \\ 6 & 2 \end{pmatrix}.$$

**31.2-2** Cum s-ar modifica algoritmul lui Strassen pentru înmulțirea matricelor de ordinul  $n \times n$  în care  $n$  nu este o putere a lui 2? Arătați că algoritmul rezultat se execută într-un timp de ordinul  $\Theta(n^{\lg 7})$ .

**31.2-3** Care este cel mai mare  $k$ , astfel încât, dacă se pot înmulți matrice de ordinul  $3 \times 3$ , folosind  $k$  înmulțiri (fără a presupune comutativitatea înmulțirii), să se poată înmulți matrice de ordinul  $n \times n$  într-un timp de ordinul  $o(n^{\lg 7})$ ? Care ar fi timpul de execuție al acestui algoritm?

**31.2-4** V. Pan a descoperit un mod de a înmulți matrice de ordinul  $68 \times 68$  folosind 132464 înmulțiri, un mod de a înmulți matrice de ordinul  $70 \times 70$  folosind 143640 înmulțiri și un mod de a înmulți matrice de ordinul  $72 \times 72$  folosind 155424 înmulțiri. Care metodă are cel mai bun timp asimptotic de execuție când se utilizează un algoritm de înmulțire de matrice de tip divide și stăpânește? Comparați acest timp cu timpul de execuție pentru algoritmul lui Strassen.

**31.2-5** Cât de repede se poate înmulți o matrice de ordinul  $kn \times n$  cu o matrice de ordinul  $n \times kn$ , utilizând algoritmul lui Strassen ca subrutină? Răspundeți la aceeași întrebare inversând ordinea de intrare a matricelor.

**31.2-6** Indicați modul de înmulțire a numerelor complexe  $a + bi$  și  $c + di$  utilizând numai trei înmulțiri de numere reale. Algoritmul trebuie să-i aibă la intrare pe  $a, b, c$  și  $d$  și să producă, separat, componenta reală  $ac - bd$  și pe cea imaginată  $ad + bc$ .

### 31.3. Sisteme de numere algebrice și înmulțirea matricelor booleene

Proprietățile adunării și înmulțirii matricelor depind de proprietățile sistemului de numere peste care sunt definite matricele. În această secțiune definim trei sisteme diferite de numere care să fie elemente ale matricelor: cvasiinle, inle și corpuri. Putem defini înmulțirea matricelor peste cvasiinle, dar algoritmul de înmulțire a matricelor al lui Strassen funcționează peste inle. Prezentăm o tehnică simplă pentru a reduce înmulțirea matricelor booleene, care este definită peste un cvasiinel ce nu este un inel, la înmulțirea peste un inel. În final, vom arăta de ce proprietățile unui corp nu pot fi exploataate în mod natural pentru a furniza algoritmi mai buni pentru înmulțirea matricelor.

#### Cvasiinle

Fie  $(S, \oplus, \odot, \bar{0}, \bar{1})$  un sistem de numere, unde  $S$  este o mulțime de elemente,  $\oplus$  și  $\odot$  sunt operații binare pe  $S$  (operații de adunare, respectiv, de înmulțire), iar  $\bar{0}$  și  $\bar{1}$  sunt elemente distințe din  $S$ . Acest sistem este un **cvasiinel** dacă satisfac următoarele proprietăți:

1.  $(S, \oplus, \bar{0})$  este un **monoid**:

- $S$  este o mulțime **închisă** în raport cu  $\oplus$ ; adică,  $a \oplus b \in S$  pentru orice  $a, b \in S$ .
- $\oplus$  este **asociativă**, adică  $a \oplus (b \oplus c) = (a \oplus b) \oplus c$  pentru orice  $a, b, c \in S$ .
- $\bar{0}$  este **elementul neutru** pentru  $\oplus$ , adică  $a \oplus \bar{0} = \bar{0} \oplus a = a$  pentru orice  $a \in S$ .

La fel,  $(S, \odot, \bar{1})$  este un monoid.

2.  $\bar{0}$  este **element neutru**, adică,  $a \odot \bar{0} = \bar{0} \odot a = \bar{0}$  pentru orice  $a \in S$ .
3. Operatorul  $\oplus$  este **comutativ**, adică  $a \oplus b = b \oplus a$  pentru orice  $a, b \in S$ .
4. Operatorul  $\odot$  este **distributiv** în raport cu  $\oplus$ ; adică  $a \odot (b \oplus c) = (a \odot b) \oplus (a \odot c)$  și  $(b \oplus c) \odot a = (b \odot a) \oplus (c \odot a)$  pentru orice  $a, b, c \in S$ .

Exemple de cvasiinele sunt **cvasiinelul boolean** ( $\{0,1\}, \vee, \wedge, 0, 1$ ), unde  $\vee$  notează operația SAU și  $\wedge$  notează operația logică SI, sistemul de numere naturale  $(\mathbb{N}, +, \cdot, 0, 1)$ , unde  $+$  și  $\cdot$  notează operațiile obișnuite de adunare și înmulțire. Orice semiinel închis (vezi secțiunea 26.4) este, de asemenea, un cvasiinel; semi-inelele închise au, în plus, proprietățile de idempotentă și sumă-infinite.

Putem extinde  $\oplus$  și  $\odot$  pentru matrice astfel cum am făcut pentru  $+$  și  $\cdot$  în secțiunea 31.1. Notăm matricea identitate de ordinul  $n \times n$  compusă din  $\bar{0}$  și  $\bar{1}$  prin  $\bar{I}_n$ ; găsim că înmulțirea matricelor este bine definită și că sistemul de matrice este el însuși un cvasiinel, astăzi cum se afirmă în următoarea teoremă.

**Teorema 31.7 (Matricele peste un cvasiinel formează un cvasiinel)** Dacă  $(S, \oplus, \odot, \bar{0}, \bar{1})$  este un cvasiinel și  $n \geq 1$ , atunci  $(S^{n \times n}, \oplus, \odot, \bar{0}, \bar{I}_n)$  este un cvasiinel.

**Demonstrație.** Demonstrația este lăsată pe seama cititorului (exercițiul 31.3-3). ■

## Inele

Scădere nu este definită pentru cvasiinele, dar este definită pentru acele **inele** care sunt cvasiinele  $(S, \oplus, \odot, \bar{0}, \bar{1})$  și care satisfac următoarea proprietate suplimentară:

5. Orice element din  $S$  are un **invers aditiv**, adică, pentru orice  $a \in S$ , există un element  $b \in S$ , astfel încât  $a \oplus b = b \oplus a = \bar{0}$ . Un astfel de  $b$  este numit **negativul** lui  $a$  și este notat cu  $(-a)$ .

Fiind definit negativul unui element, putem defini scăderea prin  $a - b = a + (-b)$ .

Există multe exemple de inele. Multimea numerelor întregi  $(\mathbb{Z}, +, \cdot, 0, 1)$ , făță de operațiile obișnuite de adunare și înmulțire, formează un inel. Multimea numerelor întregi modulo  $n$  pentru orice număr întreg  $n > 1$  adică  $(\mathbb{Z}_n, +, \cdot, 0, 1)$ , unde  $+$  este adunarea modulo  $n$  și  $\cdot$  este înmulțirea modulo  $n$  – formează un inel. Un alt exemplu este multimea  $\mathbb{R}[x]$  a polinoamelor în  $x$  de grad finit având coeficienți reali, făță de operațiile obișnuite – adică,  $(\mathbb{R}[x], +, \cdot, 0, 1)$ , unde  $+$  este adunarea polinoamelor și  $\cdot$  este înmulțirea lor.

Corolarul următor arată că teorema 31.7 se generalizează în mod natural peste inele.

**Corolarul 31.8 (Multimea matricelor peste un inel formează un inel)** Dacă  $(S, \oplus, \odot, \bar{0}, \bar{1})$  este un inel și  $n \geq 1$ , atunci  $(S^{n \times n}, \oplus, \odot, \bar{0}, \bar{I}_n)$  este un inel.

**Demonstrație.** Demonstrația este lăsată pe seama cititorului (exercițiul 31.3-3). ■

Folosind acest corolar, putem demonstra următoarea teoremă.

**Teorema 31.9** Algoritmul lui Strassen de înmulțire a matricelor funcționează corect peste orice inel de matrice.

**Demonstrație.** Algoritmul lui Strassen depinde de corectitudinea algoritmului pentru matrice de ordinul  $2 \times 2$ , algoritm care cere numai ca elementele matricelor să aparțină unui inel; corolarul 31.8 implică faptul că matricele însele formează un inel. Astfel, rezultă prin inducție, că algoritmul lui Strassen funcționează corect la fiecare nivel al recursivității. ■

Algoritmul lui Strassen pentru înmulțirea matricelor, depinde, de fapt, esențial de existența inversei aditive. Din cele șapte produse  $P_1, P_2, \dots, P_7$ , patru implică diferență de submatrice. Astfel, în general, algoritmul lui Strassen nu va funcționa pentru cvasiinile.

### Înmulțirea matricelor booleene

Algoritmul lui Strassen nu se poate utiliza direct la înmulțirea matricelor booleene deoarece cvasiinelul boolean ( $\{0, 1\}, \vee, \wedge, 0, 1$ ) nu este un inel. Există cazuri în care un cvasiinel este conținut într-un sistem mai mare care este un inel. De exemplu, numerele naturale (un cvasiinel) sunt o submulțime a întregilor (un inel) și de aceea, algoritmul lui Strassen poate fi utilizat pentru a înmulți matrice de numere naturale în cazul în care considerăm că sistemul de numere peste care sunt definite matricele sunt întregii. Din păcate, cvasiinelul boolean nu poate fi extins într-un mod similar la un inel (vezi exercițiul 31.3-4.)

Următoarea teoremă prezintă o metodă simplă pentru a reduce înmulțirea matricelor booleene la înmulțirea peste un inel. Problema 31-1 prezintă o astfel de concepție eficientă.

**Teorema 31.10** Dacă notăm cu  $M(n)$  numărul operațiilor aritmetice necesare pentru a înmulți două matrice de ordinul  $n \times n$  definite peste întregi, atunci două matrice booleene de ordinul  $n \times n$  se pot înmulți utilizând  $O(M(n))$  operații aritmetice.

**Demonstrație.** Fie  $A$  și  $B$  cele două matrice, iar  $C = AB$  aparținând cvasiinelului boolean, adică,

$$c_{ij} = \bigvee_{k=1}^n a_{ik} \wedge b_{kj}.$$

În loc de a calcula peste cvasiinelul boolean, vom calcula produsul  $C'$  peste inelul întregilor, folosind algoritmul de înmulțire a matricelor care utilizează  $M(n)$  operații aritmetice. În felul acesta avem

$$c'_{ij} = \sum_{k=1}^n a_{ik} b_{kj}.$$

Fiecare termen  $a_{ik} b_{kj}$  al acestei sume este 0 dacă și numai dacă  $a_{ik} \wedge b_{kj} = 0$  și 1 dacă și numai dacă  $a_{ik} \wedge b_{kj} = 1$ . Astfel, suma întreagă  $c'_{ij}$  este 0 dacă și numai dacă fiecare termen este 0 sau echivalent, dacă și numai dacă SAU logic al termenilor care îl exprimă pe  $c_{ij}$  este 0. De aceea, matricea  $C$  poate fi reconstruită cu  $\Theta(n^2)$  operații aritmetice din matricea de numere întregi  $C'$  prin simpla comparare cu 0 a fiecarui  $c'_{ij}$ . Numărul operațiilor aritmetice, pentru întreaga procedură, este  $O(M(n)) + \Theta(n^2) = O(M(n))$  deoarece  $M(n) = \Omega(n^2)$ . ■

Astfel, folosind algoritmul lui Strassen, putem realiza înmulțirea matricelor booleene într-un timp de ordinul  $O(n^{\lg 7})$ .

Metoda normală de înmulțire a matricelor booleene utilizează numai variabile booleene. Dacă folosim această adaptare a algoritmului lui Strassen, matricea produs finală poate avea elemente

de mărimea lui  $n$ , deci, pentru a le memora, va fi nevoie de un cuvânt calculator, față de un singur bit. Mai îngrijorător este faptul că rezultatele intermediare, care sunt întregi, pot fi chiar mai mari. Pentru a nu avea rezultate intermediare care să crească prea mult trebuie realizat toate calculele modulo  $n + 1$ . Exercițiul 31.3-5 cere să se arate că, lucrând modulo  $n + 1$ , nu este afectată corectitudinea algoritmului.

## Corpuri

Un inel  $(S, \oplus, \odot, \bar{0}, \bar{1})$  este un **corp** dacă sunt satisfăcute următoarele două proprietăți suplimentare:

6. Operatorul  $\odot$  este **comutativ**, adică  $a \odot b = b \odot a$  pentru orice  $a, b \in S$ .
7. Orice element nenul din  $S$  are un **invers multiplicativ**; adică, pentru orice  $a \in S - \{\bar{0}\}$ , există un element  $b \in S$  astfel ca  $a \odot b = b \odot a = \bar{1}$ . Un astfel de element  $b$  este adesea numit **inversul** lui  $a$  și este notat cu  $a^{-1}$ .

Exemple de corpuri sunt numerele reale  $(\mathbb{R}, +, \cdot, 0, 1)$ , numerele complexe  $(\mathbb{C}, +, \cdot, 0, 1)$  și numerele întregi modulo un număr prim  $p$ :  $(\mathbb{Z}_p, +, \cdot, 0, 1)$ .

Deoarece într-un corp toate elementele au invers multiplicativ, împărțirea este posibilă. Operația este comutativă. Prin generalizare de la cvasiinele la inele, Strassen a reușit să îmbunătățească timpul de execuție al algoritmului de înmulțire a două matrice. Întrucât elementele matricelor sunt adesea dintr-un corp, de exemplu numere reale, s-ar putea spera ca, utilizând corpuri în locul inelelor într-un algoritm recursiv de felul celui al lui Strassen, timpul de execuție să fie în continuare îmbunătățit.

Această concepție pare puțin probabil de a fi rodnică. Pentru ca un algoritm recursiv divide și stăpânește bazat pe corpuri să funcționeze, matricele trebuie să formeze un corp la fiecare pas al recurenței. Din nefericire, extinderea naturală a teoremei 31.7 și a corolarului 31.8 la corpuri nu este posibilă. Pentru  $n > 1$ , mulțimea matricelor de ordinul  $n \times n$  nu formează niciodată un corp, chiar dacă elementele acestora formează un corp. Înmulțirea matricelor de ordinul  $n \times n$  nu este comutativă, iar multe matrice de ordinul  $n \times n$  nu au inverse. De aceea, este mai probabil ca algoritmii mai buni pentru înmulțirea matricelor să se bazeze pe teoria inelelor și nu pe cea a corpuri.

## Exerciții

**31.3-1** \* Funcționează oare algoritmul lui Strassen peste sistemul de numere  $(\mathbb{Z}[x], +, \cdot, 0, 1)$ , unde  $\mathbb{Z}[x]$  este mulțimea tuturor polinoamelor cu coeficienți întregi de variabilă  $x$ , iar  $+$  și  $\cdot$  sunt operațiile obișnuite de adunare și înmulțire?

**31.3-2** \* Explicați de ce algoritmul lui Strassen nu funcționează peste semi-inele închise (vezi secțiunea 26.4) sau peste semi-inelul boolean  $(\{0, 1\}, \vee, \wedge, 0, 1)$ .

**31.3-3** \* Demonstrați teorema 31.7 și corolarul 31.8.

**31.3-4** \* Arătați că cvasiinelul  $(\{0, 1\}, \vee, \wedge, 0, 1)$  nu poate fi inclus într-un inel. Adică, arătați că este imposibil să se adauge “ $-1$ ” la cvasiinel, astfel încât structura algebraică rezultată să fie un inel.

**31.3-5** Argumentați că, dacă toate calculele din algoritmul teoremei 31.10 se realizează modulo  $n + 1$ , algoritmul îmai funcționează corect.

**31.3-6** Arătați cum se determină eficient dacă un graf neorientat dat conține un triunghi (o mulțime de trei vârfuri mutual adiacente).

**31.3-7** Arătați că produsul a două matrice booleene de ordinul  $n \times n$  peste cvasiinelul boolean se reduce la calculul închiderii tranzitive a unui graf orientat dat, având  $3n$  vârfuri.

**31.3-8** Arătați cum se calculează închiderea tranzitivă a unui graf orientat dat, având  $n$  vârfuri, într-un timp de ordinul  $O(n^{\lg 7} \lg n)$ . Comparați acest rezultat cu performanța procedurii ÎNCHIDERE-TRANZITIVĂ din secțiunea 26.2.

## 31.4. Rezolvarea sistemelor de ecuații liniare

Rezolvarea unui sistem de ecuații liniare este o problemă fundamentală care apare în diverse aplicații. Un sistem de ecuații liniare poate fi exprimat printr-o ecuație matriceală în care fiecare element al matricei sau vectorului aparține unui corp, care, de obicei, este corpul  $\mathbb{R}$  al numerelor reale. Această secțiune tratează modul de rezolvare a unui sistem de ecuații liniare utilizând o metodă numită descompunerea LUP.

Vom începe cu un sistem de ecuații liniare cu  $n$  necunoscute  $x_1, x_2, \dots, x_n$ :

$$\begin{aligned} a_{11}x_1 + a_{12}x_2 + \cdots + a_{1n}x_n &= b_1, \\ a_{21}x_1 + a_{22}x_2 + \cdots + a_{2n}x_n &= b_2, \\ &\vdots \\ a_{n1}x_1 + a_{n2}x_2 + \cdots + a_{nn}x_n &= b_n. \end{aligned} \tag{31.17}$$

Despre un sistem de valori pentru  $x_1, x_2, \dots, x_n$  care satisfac, simultan, toate ecuațiile (31.17) se spune că este o **soluție** a acestui sistem de ecuații. În această secțiune vom trata numai cazul în care există exact  $n$  ecuații cu  $n$  necunoscute.

Putem să rescriem, în mod convenabil, ecuațiile (31.17) ca o ecuație matrice-vector

$$\begin{pmatrix} a_{11} & a_{12} & \cdots & a_{1n} \\ a_{21} & a_{22} & \cdots & a_{2n} \\ \vdots & \vdots & \ddots & \cdots \\ a_{n1} & a_{n2} & \cdots & a_{nn} \end{pmatrix} \begin{pmatrix} x_1 \\ x_2 \\ \vdots \\ x_n \end{pmatrix} = \begin{pmatrix} b_1 \\ b_2 \\ \vdots \\ b_n \end{pmatrix}$$

sau, sub o formă echivalentă, notând cu  $A = (a_{ij})$ ,  $x = (x_j)$ ,  $b = (b_i)$ , vom avea

$$Ax = b. \tag{31.18}$$

Dacă  $A$  este nesingulară, atunci matricea are o inversă  $A^{-1}$  și

$$x = A^{-1}b \tag{31.19}$$

este vectorul soluție. Putem demonstra că  $x$  este unică soluție a ecuației (31.18) după cum urmează. Dacă ar exista două soluții,  $x$  și  $x'$ , atunci  $Ax = Ax' = b$  și

$$x = (A^{-1}A)x = A^{-1}(Ax) = A^{-1}(Ax') = (A^{-1}A)x' = x'.$$

În această secțiune, ne vom ocupa de cazul în care  $A$  este nesingulară, ceea ce este echivalent (conform teoremei 31.1) cu faptul că rangul lui  $A$  este egal cu numărul  $n$  al necunoscutelor. Cu toate acestea, există alte posibilități care merită o discuție atentă. Dacă numărul ecuațiilor este mai mic decât numărul  $n$  al necunoscutelor, sau, mai general, dacă rangul lui  $A$  este mai mic decât  $n$ , atunci sistemul este **nedeterminat**. Un sistem nedeterminat are, de obicei, o infinitate de soluții (vezi exercițiul 31.4-9), deși el poate să nu aibă nici o soluție dacă ecuațiile sunt incompatibile. Dacă numărul ecuațiilor depășește numărul necunoscutelor, sistemul este **supradeterminat** și poate să nu aibă nici o soluție. Găsirea unei soluții aproximative, bune pentru un sistem de ecuații liniare supradeterminat este o problemă importantă care este tratată în secțiunea 31.6.

Să revenim la problema noastră de rezolvare a sistemului  $Ax = b$  de  $n$  ecuații cu  $n$  necunoscute. O posibilitate este de a calcula pe  $A^{-1}$  și, apoi, înmulțind ambii membri cu  $A^{-1}$ , obținând  $A^{-1}Ax = A^{-1}b$  sau  $x = A^{-1}b$ . Această metodă suferă, în practică, de **instabilitate numerică**: erorile de rotunjire tind să se acumuleze când se utilizează numere reprezentate în virgulă flotantă în locul numerelor reale ideale. Din fericire, există o altă concepție – descompunerea LUP – care are o stabilitate numerică și care are marele avantaj de a fi mai rapidă de, aproximativ, trei ori.

### Privire generală asupra descompunerii LUP

Ideea aflată în spatele descompunerii LUP este de a găsi trei matrice  $L, U$  și  $P$  de ordinul  $n \times n$  astfel încât

$$PA = LU, \quad (31.20)$$

unde

- $L$  este o matrice unitate inferior triunghiulară,
- $U$  este o matrice superior triunghiulară, iar
- $P$  este o matrice de permutare.

Spunem că matricele  $L, U$  și  $P$  care satisfac ecuația (31.20) formează o **descompunere LUP** a matricei  $A$ . Vom arăta că orice matrice nesingulară  $A$  are o astfel de descompunere.

Avantajul determinării unei descompuneri LUP pentru o matrice  $A$  este acela că sistemele pot fi rezolvate mai rapid când sunt triunghiulare, cum este cazul ambelor matrice  $L$  și  $U$ . Având determinată o descompunere LUP pentru  $A$ , putem rezolva ecuația (31.18)  $Ax = b$ , rezolvând numai sisteme liniare triunghiulare, după cum urmează. Înmulțind ambele părți ale lui  $Ax = b$  cu  $P$ , se obține ecuația echivalentă  $PAx = Pb$ , care, având în vedere exercițiul 31.1-2, înseamnă să se permute ecuațiile (31.17). Înlocuind în (31.20), obținem

$$LUx = Pb.$$

Putem, acum, să rezolvăm această ecuație rezolvând două sisteme liniare triunghiulare. Fie  $y = Ux$ , unde  $x$  este vectorul soluție căutat. Întâi rezolvăm sistemul inferior triunghiular

$$Ly = Pb \quad (31.21)$$

pentru a determina vectorul necunoscut  $y$  printr-o metodă numită "substituție înainte". Cunoscându-l pe  $y$ , rezolvăm apoi sistemul superior triunghiular

$$Ux = y \quad (31.22)$$

cu necunoscuta  $x$  printr-o metodă numită "substituție înapoi". Vectorul  $x$  este soluția noastră pentru  $Ax = b$ , întrucât matricea de permutare  $P$  este inversabilă (exercițiul 31.1-2):

$$Ax = P^{-1}LUx = P^{-1}Ly = P^{-1}Pb = b.$$

În pasul următor vom arăta cum funcționează substituțiile înațe și înapoi și apoi vom ataca problema calculului însuși al descompunerii LUP.

### Substituțiile înațe și înapoi

**Substituția înațe** poate rezolva sistemul inferior triunghiular (31.21) într-un timp de ordinul  $\Theta(n^2)$ , dându-se  $L$ ,  $P$  și  $b$ . Este convenabil să reprezentăm permutarea  $P$  printr-un tablou  $\pi[1..n]$ . Pentru  $i = 1, 2, \dots, n$ , elementul  $\pi[i]$  indică faptul că  $P_{i,\pi[i]} = 1$  și  $P_{ij} = 0$  pentru  $j \neq \pi[i]$ . Astfel, în linia  $i$  și coloana  $j$  a lui  $PA$  este elementul  $a_{\pi[i],j}$ , iar al  $i$ -lea element al lui  $Pb$  este  $b_{\pi[i]}$ . Întrucât  $L$  este o matrice unitate inferior triunghiulară, ecuația (31.21) poate fi rescrisă astfel

$$\begin{aligned} y_1 &= b_{\pi[1]}, \\ l_{21}y_1 + y_2 &= b_{\pi[2]}, \\ l_{31}y_1 + l_{32}y_2 + y_3 &= b_{\pi[3]}, \\ &\vdots \\ l_{n1}y_1 + l_{n2}y_2 + l_{n3}y_3 + \cdots + y_n &= b_{\pi[n]}. \end{aligned}$$

Este cât se poate de evident că îl putem găsi direct pe  $y_1$ , din prima ecuație  $y_1 = b_{\pi[1]}$ . Având soluția pentru  $y_1$ , o substituim în a doua ecuație și obținem

$$y_2 = b_{\pi[2]} - l_{21}y_1.$$

Acum, îi substituim atât pe  $y_1$  cât și pe  $y_2$  în ecuația a treia și obținem

$$y_3 = b_{\pi[3]} - (l_{31}y_1 + l_{32}y_2).$$

În general, substituim pe  $y_1, y_2, \dots, y_{i-1}$  "în față" în ecuația a  $i$ -a, pentru a-l găsi pe  $y_i$ :

$$y_i = b_{\pi[i]} - \sum_{j=1}^{i-1} l_{ij}y_j.$$

**Substituția înapoi** este similară cu substituția înațe. Dându-se  $U$  și  $y$ , rezolvăm întâi a  $n$ -a ecuație și procedăm la fel, revenind la prima ecuație. Ca și substituția înațe, acest proces se execută într-un timp de ordinul  $\Theta(n^2)$ . Întrucât  $U$  este o matrice superior triunghiulară, putem rescrie sistemul (31.22) sub forma

$$\begin{aligned} u_{11}x_1 + u_{12}x_2 + \cdots + u_{1,n-2}x_{n-2} + u_{1,n-1}x_{n-1} + u_{1n}x_n &= y_1, \\ u_{22}x_2 + \cdots + u_{2,n-2}x_{n-2} + u_{2,n-1}x_{n-1} + u_{2n}x_n &= y_2, \\ &\vdots \\ u_{n-2,n-2}x_{n-2} + u_{n-2,n-1}x_{n-1} + u_{n-2,n}x_n &= y_{n-2}, \\ u_{n-1,n-1}x_{n-1} + u_{n-1,n}x_n &= y_{n-1}, \\ u_{nn}x_n &= y_n. \end{aligned}$$

Astfel, putem determina succesiv pe  $x_n, x_{n-1}, \dots, x_1$  după cum urmează:

$$\begin{aligned}x_n &= y_n/u_{nn}, \\x_{n-1} &= (y_{n-1} - u_{n-1,n}x_n)/u_{n-1,n-1}, \\x_{n-2} &= (y_{n-2} - (u_{n-2,n-1}x_{n-1} + u_{n-2,n}x_n))/u_{n-2,n-2}, \\&\vdots\end{aligned}$$

sau, în general,

$$x_i = \left( y_i - \sum_{j=i+1}^n u_{ij}x_j \right) / u_{ii}.$$

Dându-se  $P, L, U$  și  $b$ , procedura LUP-SOLUȚIE îl determină pe  $x$  combinând substituțiile înainte și înapoi. Presupunem că dimensiunea  $n$  apare în atributul *linii*[ $L$ ] și că matricea de permutare  $P$  se reprezintă prin tabloul  $\pi$ ; pseudocodul va fi:

LUP-SOLUȚIE( $L, U, \pi, b$ )

- 1:  $n \leftarrow \text{linii}[L]$
- 2: **pentru**  $i \leftarrow 1, n$  **execută**
- 3:    $y_i \leftarrow b_{\pi[i]} - \sum_{j=1}^{i-1} l_{ij}y_j$
- 4: **pentru**  $i \leftarrow n, 1, -1$  **execută**
- 5:    $x_i \leftarrow (y_i - \sum_{j=i+1}^n u_{ij}x_j) / u_{ii}$
- 6: **returnează**  $x$

Procedura LUP-SOLUȚIE îl determină pe  $y$  utilizând substituția în liniile 2–3, apoi îl determină pe  $x$  folosind substituția înapoi în liniile 4–5. Întrucât există un ciclu implicit la însumări, în fiecare ciclu **pentru**, timpul de execuție este de ordinul  $\Theta(n^2)$ .

Ca un exemplu al acestei metode, considerăm sistemul de ecuații liniare definit de

$$\begin{pmatrix} 1 & 2 & 0 \\ 3 & 5 & 4 \\ 5 & 6 & 3 \end{pmatrix} x = \begin{pmatrix} 0.1 \\ 12.5 \\ 10.3 \end{pmatrix},$$

unde

$$A = \begin{pmatrix} 1 & 2 & 0 \\ 3 & 5 & 4 \\ 5 & 6 & 3 \end{pmatrix}, b = \begin{pmatrix} 0.1 \\ 12.5 \\ 10.3 \end{pmatrix},$$

pe care dorim să-l rezolvăm în raport cu necunoscuta  $x$ . Descompunerea LUP este

$$L = \begin{pmatrix} 1 & 0 & 0 \\ 0.6 & 1 & 0 \\ 0.2 & 0.571 & 1 \end{pmatrix}, U = \begin{pmatrix} 5 & 6 & 3 \\ 0 & 1.4 & 2.2 \\ 0 & 0 & -1.856 \end{pmatrix}, P = \begin{pmatrix} 0 & 0 & 1 \\ 0 & 1 & 0 \\ 1 & 0 & 0 \end{pmatrix}.$$

(Cititorul poate verifica faptul că  $PA = LU$ .) Folosind substituția înainte, putem rezolva  $Ly = Pb$  în raport cu  $y$ :

$$\begin{pmatrix} 1 & 0 & 0 \\ 0.6 & 1 & 0 \\ 0.2 & 0.571 & 1 \end{pmatrix} \begin{pmatrix} y_1 \\ y_2 \\ y_3 \end{pmatrix} = \begin{pmatrix} 10.3 \\ 12.5 \\ 0.1 \end{pmatrix},$$

obținând

$$y = \begin{pmatrix} 10.3 \\ 6.32 \\ -5.569 \end{pmatrix}$$

calculând întâi pe  $y_1$ , apoi, pe  $y_2$  și, în final, pe  $y_3$ . Folosind substituția înapoi, rezolvăm  $Ux = y$  în raport cu  $x$ :

$$\begin{pmatrix} 5 & 6 & 3 \\ 0 & 1.4 & 2.2 \\ 0 & 0 & -1.856 \end{pmatrix} \begin{pmatrix} x_1 \\ x_2 \\ x_3 \end{pmatrix} = \begin{pmatrix} 10.3 \\ 6.32 \\ -5.569 \end{pmatrix},$$

obținând în acest fel răspunsul dorit

$$x = \begin{pmatrix} 0.5 \\ -0.2 \\ 3.0 \end{pmatrix}$$

calculând întâi pe  $x_3$ , apoi, pe  $x_2$  și, în final, pe  $x_1$ .

## Calculul descompunerii LU

Până acum am arătat că, dacă o descompunere LUP poate fi determinată pentru o matrice nesingulară  $A$ , atunci substituțiile înațe și înapoi pot fi folosite pentru a rezolva sistemul de ecuații liniare  $Ax = b$ . Rămâne să arătăm cum se poate găsi eficient o descompunere LUP pentru  $A$ . Începem cu cazul în care matricea  $A$  de ordinul  $n \times n$  este nesingulară și  $P$  este absentă (ceea ce este echivalent cu  $P = I_n$ ). În acest caz, trebuie să găsim o factorizare  $A = LU$ . Cele două matrice  $L$  și  $U$  formează o **descompunere LU** a lui  $A$ .

Procesul prin care realizăm descompunerea LU se numește **eliminare gaussiană**. Începem prin a scădea multiplicări ale primei ecuații din celealte ecuații, astfel încât să se eliminate prima variabilă din acele ecuații. Apoi, scădem multiplicări ale ecuației a doua din cea de a treia și din celealte ecuații care urmează, astfel încât acum prima și cea de a doua variabilă să fie eliminate din ele. Continuăm acest proces până când sistemul obținut are o formă superior triunghiulară – de fapt s-a obținut matricea  $U$ . Matricea  $L$  este alcătuită din multiplicatorii de linii care au cauzat eliminarea variabilelor.

Algoritmul de implementare a acestei strategii este recursiv. Dorim să construim o descompunere LU pentru o matrice  $A$  de ordinul  $n \times n$  nesingulară. Dacă  $n = 1$ , atunci problema este rezolvată deoarece putem alege  $L = I_1$  și  $U = A$ . Pentru  $n > 1$ , îl descompunem pe  $A$  în patru părți:

$$A = \left( \begin{array}{c|ccc} a_{11} & a_{12} & \cdots & a_{1n} \\ \hline a_{21} & a_{22} & \cdots & a_{2n} \\ \vdots & \vdots & \ddots & \vdots \\ a_{n1} & a_{n2} & \cdots & a_{nn} \end{array} \right) = \begin{pmatrix} a_{11} & w^T \\ v & A' \end{pmatrix},$$

unde  $v$  este un vector coloană de dimensiune  $n - 1$ ,  $w^T$  este un vector linie de dimensiune  $n - 1$ , iar  $A'$  este o matrice de ordinul  $(n - 1) \times (n - 1)$ . Apoi, utilizând algebră matriceală (se verifică

ecuațiile prin simpla lor înmulțire), îl putem factoriza pe  $A$ , astfel:

$$A = \begin{pmatrix} a_{11} & w^T \\ v & A' \end{pmatrix} = \begin{pmatrix} 1 & 0 \\ v/a_{11} & I_{n-1} \end{pmatrix} \begin{pmatrix} a_{11} & w^T \\ 0 & A' - vw^T/a_{11} \end{pmatrix}.$$

Zerourile din prima și a doua matrice a factorizării sunt, respectiv, vector linie și coloană de dimensiune  $n - 1$ . Termenul  $vw^T/a_{11}$ , format, considerând produsul exterior a lui  $v$  și  $w$  și împărțind fiecare element al rezultatului cu  $a_{11}$ , este o matrice de ordinul  $(n - 1) \times (n - 1)$  care este în conformitate cu dimensiunea matricei  $A'$  din care este scăzut. Matricea rezultat:

$$A' - vw^T/a_{11} \quad (31.23)$$

de ordinul  $(n - 1) \times (n - 1)$  se numește **complementul Schur** al lui  $A$  în raport cu  $a_{11}$ .

Vom determina acum recursiv o descompunere LU a complementului Schur. Fie

$$A' - vw^T/a_{11} = L'U',$$

unde  $L'$  este matricea unitate inferior triunghiulară și  $U'$  este matrice superior triunghiulară. Atunci, utilizând algebra matricelor, avem

$$\begin{aligned} A &= \begin{pmatrix} 1 & 0 \\ v/a_{11} & I_{n-1} \end{pmatrix} \begin{pmatrix} a_{11} & w^T \\ 0 & A' - vw^T/a_{11} \end{pmatrix} = \begin{pmatrix} 1 & 0 \\ v/a_{11} & I_{n-1} \end{pmatrix} \begin{pmatrix} a_{11} & w^T \\ 0 & L'U' \end{pmatrix} \\ &= \begin{pmatrix} 1 & 0 \\ v/a_{11} & L' \end{pmatrix} \begin{pmatrix} a_{11} & w^T \\ 0 & U' \end{pmatrix} = LU, \end{aligned}$$

ceea ce demonstrează existența descompunerii LU. (Să observăm că, deoarece  $L'$  este matrice unitate inferior triunghiulară, și  $L$  este o matrice inferior triunghiulară, și că, deoarece  $U'$  este matrice superior triunghiulară, la fel este și  $U$ .)

Desigur, dacă  $a_{11} = 0$ , această metodă nu funcționează, din cauza împărțirii cu zero. De asemenea, ea nu funcționează dacă elementul superior cel mai din stânga al complementului Schur  $A' - vw^T/a_{11}$  este zero, deoarece împărțim cu el în pasul următor al recurenței. Elementele cu care împărțim în timpul descompunerii LU se numesc elemente **pivot** și ocupă diagonala matricei  $U$ . Rațiunea de a include matricea de permutare  $P$ , în timpul descompunerii LUP, este aceea că ea ne permite să eliminăm împărțirea cu zero. Utilizarea permutărilor, pentru a evita împărțirea cu zero (sau cu valori mici), se numește **pivotare**.

O clasă importantă de matrice pentru care descompunerea LU funcționează întotdeauna corect este clasa matricelor simetrice pozitiv-definite. Astfel de matrice nu necesită pivotare și, în felul acesta, strategia recursivă schițată mai sus poate fi utilizată fără frica împărțirii cu 0. Vom demonstra acest rezultat, împreună cu altele, în secțiunea 31.6.

Codul pentru descompunerea LU a unei matrice  $A$  urmează strategia recursivă, exceptând cazul când un ciclu iterativ înlocuiește recurența. (Această transformare este o optimizare standard pentru o procedură "recursivă-la-sfârșit" – una a cărei ultimă operație este un apel recursiv la ea însăși.) Se presupune că dimensiunea lui  $A$  este păstrată în atributul *linii*[A]. Întrucât știm că matricea de ieșire  $U$  are zerouri sub diagonală și că LU-SOLUȚIE nu utilizează aceste intrări, codul nu se ocupă de completarea lor. La fel, deoarece matricea de ieșire  $L$  are 1 pe diagonală și 0 deasupra ei, aceste elemente nu sunt completeate. Astfel, codul sursă calculează numai elementele "semnificative" ale lui  $L$  și  $U$ .

|   |    |    |    |
|---|----|----|----|
| 2 | 3  | 1  | 5  |
| 6 | 13 | 5  | 19 |
| 2 | 19 | 10 | 23 |
| 4 | 10 | 11 | 31 |

(a)

|          |    |   |    |
|----------|----|---|----|
| <b>2</b> | 3  | 1 | 5  |
| 3        | 4  | 2 | 4  |
| 1        | 16 | 9 | 18 |
| 2        | 4  | 9 | 21 |

(b)

|   |   |   |    |
|---|---|---|----|
| 2 | 3 | 1 | 5  |
| 3 | 4 | 2 | 4  |
| 1 | 4 | 1 | 2  |
| 2 | 1 | 7 | 17 |

(c)

|   |   |   |   |
|---|---|---|---|
| 2 | 3 | 1 | 5 |
| 3 | 4 | 2 | 4 |
| 1 | 4 | 1 | 2 |
| 2 | 1 | 7 | 3 |

(d)

$$\left( \begin{array}{cccc} 2 & 3 & 1 & 5 \\ 6 & 13 & 5 & 19 \\ 2 & 19 & 10 & 23 \\ 4 & 10 & 11 & 31 \end{array} \right) = \left( \begin{array}{cccc} 1 & 0 & 0 & 0 \\ 3 & 1 & 0 & 0 \\ 1 & 4 & 1 & 0 \\ 2 & 1 & 7 & 1 \end{array} \right) \left( \begin{array}{cccc} 2 & 3 & 1 & 5 \\ 0 & 4 & 2 & 4 \\ 0 & 0 & 1 & 2 \\ 0 & 0 & 0 & 3 \end{array} \right)$$

$A$                      $L$                      $U$

(e)

**Figura 31.1** Operația LU-DESCOMPUNERE. (a) Matricea  $A$ . (b) Elementul  $a_{11} = 2$  hașurat cu negru este pivotul, coloana hașurată cu gri este  $v/a_{11}$ , iar linia hașurată cu gri este  $w^T$ . Elementele lui  $U$  calculate astfel sunt situate deasupra liniei orizontale, iar elementele lui  $L$  sunt în stânga liniei verticale. Matricea complementul Schur  $A' - vw^T/a_{11}$  se află în dreapta jos. (c) Acum operăm asupra matricei complement Schur produsă în partea (b). Elementul  $a_{22} = 4$  hașurat cu negru este pivotul, iar coloana și linia hașurate cu gri sunt respectiv  $v/a_{22}$  și  $w^T$  (în partitioarea complementului Schur). Linile împart matricea în elementele lui  $U$  calculate până acum (deasupra), elementele lui  $L$  calculate până acum (în stânga) și complementul Schur nou (dreapta jos). (d) Pasul următor completează factorizarea (Elementul 3 din complementul Schur nou devine parte a lui  $U$  când se termină recurența.) (e) Factorizarea  $A = LU$ .

LU-DESCOMPUNERE( $A$ )

- ```

1:  $n \leftarrow \text{linii}[A]$ 
2: pentru  $k \leftarrow 1, n$  execută
3:    $u_{kk} \leftarrow a_{kk}$ 
4: pentru  $i \leftarrow k + 1, n$  execută
5:    $l_{ik} \leftarrow a_{ik}/u_{kk}$             $\triangleright l_{ik}$  păstrează  $v_i$ 
6:    $u_{ki} \leftarrow a_{ki}$             $\triangleright u_{ki}$  păstrează  $w_i^T$ 
7: pentru  $i \leftarrow k + 1, n$  execută
8:   pentru  $j \leftarrow k + 1, n$  execută
9:      $a_{ij} \leftarrow a_{ij} - l_{ik}u_{kj}$ 
10: returnează  $L$  și  $U$ 

```

Ciclul exterior **pentru**, care începe în linia a doua, iterează o dată pentru fiecare pas recursiv. În acest ciclu, pivotul se determină în linia 3 și este  $u_{kk} = a_{kk}$ . În ciclul **pentru** din linile 4–6 (care nu se execută când  $k = n$ ), vectorii  $v$  și  $w^T$  se utilizează pentru a-i actualiza pe  $L$  și  $U$ . Elementele vectorului  $v$  se determină în linia 5, unde  $v_i$  este memorat în  $l_{ik}$ , iar elementele vectorului  $w^T$  se determină în linia 6, unde  $w_i^T$  se memorează în  $u_{ki}$ . În final, elementele complementului Schur se calculează în liniile 7–9 și se păstrează tot în matricea  $A$ . Deoarece linia 9 este triplu imbricată, LU-DESCOMPUNERE se execută într-un timp de ordinul  $\Theta(n^3)$ .

Figura 31.1 ilustrează operația LU-DESCOMPUNERE. Ea arată o optimizare standard a procedurii în care elementele semnificative ale lui  $L$  și  $U$  se păstrează “în poziții” din matricea  $A$ . Adică, putem stabili o corespondență între fiecare element  $a_{ij}$  și  $l_{ij}$  (dacă  $i > j$ ) sau  $u_{ij}$  (dacă  $i \leq j$ ) și să actualizăm matricea  $A$ , astfel încât ea să păstreze atât pe  $L$  cât și pe  $U$ , când se termină procedura. Pseudocodul pentru această optimizare se obține simplu din pseudocodul de mai sus, înlocuind fiecare referință la  $l$  sau  $u$  prin  $a$ ; nu este dificil să se verifice că această transformare este corectă.

### Calculul unei descompuneri LUP

În general, pentru rezolvarea unui sistem de ecuații liniare  $Ax = b$ , trebuie să pivotăm elemente din afara diagonalei lui  $A$  pentru a elimina împărțirea cu 0. Nu doar împărțirea cu 0 este indezirabilă, ci și împărțirea cu valori mici, chiar dacă  $A$  este nesingulară, deoarece instabilitățile numerice pot rezulta din calcule. De aceea, încercăm să pivotăm o valoare mare.

Matematica aflată în spatele descompunerii LUP este similară celei din esența descompunerii LU. Amintim că se dă o matrice nesingulară  $A$  de ordinul  $n \times n$  și dorim să găsim o matrice de permutare  $P$ , o matrice unitate inferior triunghiulară  $L$  și o matrice superior triunghiulară  $U$ , astfel încât  $PA = LU$ . Înainte de a partitura matricea  $A$ , aşa cum am făcut pentru descompunerea LU, vom muta un element nenul, de exemplu  $a_{k1}$ , din prima coloană în poziția (1,1) a matricei. (Dacă prima coloană conține numai zerouri, atunci  $A$  este singulară, deoarece determinantul ei este 0, prin teoremele 31.4 și 31.5.) În vederea conservării sistemului de ecuații, schimbăm linia 1 cu linia  $k$ , ceea ce este echivalent cu înmulțirea la stânga a lui  $A$  cu o matrice de permutare  $Q$  (exercițiul 31.1-2). Astfel, pe  $QA$  îl putem scrie:

$$QA = \begin{pmatrix} a_{k1} & w^T \\ v & A' \end{pmatrix},$$

unde  $v = (a_{21}, a_{31}, \dots, a_{n1})^T$ , exceptând pe  $a_{11}$  care îl înlocuiește pe  $a_{k1}$ ;  $w^T = (a_{k2}, a_{k3}, \dots, a_{kn})$ ; iar  $A'$  este o matrice de ordinul  $(n - 1) \times (n - 1)$ . Deoarece  $a_{k1} \neq 0$ , putem realiza, în mare parte, aceeași algebră liniară ca și pentru descompunerea LU, dar având garanția că nu vom împărți prin 0:

$$QA = \begin{pmatrix} a_{k1} & w^T \\ v & A' \end{pmatrix} = \begin{pmatrix} 1 & 0 \\ v/a_{k1} & I_{n-1} \end{pmatrix} \begin{pmatrix} a_{k1} & w^T \\ 0 & A' - vw^T/a_{k1} \end{pmatrix}.$$

Complementul Schur  $A' - vw^T/a_{k1}$  este nesingular, deoarece, dacă matricea a două din ultima ecuație ar avea determinantul 0, atunci și determinantul matricei  $A$  ar fi 0; dar aceasta înseamnă că  $A$  este singulară. În consecință, putem găsi inductiv o descompunere LUP pentru complementul Schur, cu o matrice unitate inferior triunghiulară  $L'$ , o matrice superior triunghiulară  $U'$  și o matrice permutare  $P'$ , astfel încât

$$P'(A' - vw^T/a_{k1}) = L'U'.$$

Definim pe

$$P = \begin{pmatrix} 1 & 0 \\ 0 & P' \end{pmatrix} Q,$$

care este o matrice de permutare pentru că este produsul a două matrice de permutare (exercițiul 31.1-2). Avem

$$\begin{aligned}
 PA &= \begin{pmatrix} 1 & 0 \\ 0 & P' \end{pmatrix} QA \\
 &= \begin{pmatrix} 1 & 0 \\ 0 & P' \end{pmatrix} \begin{pmatrix} 1 & 0 \\ v/a_{k1} & I_{n-1} \end{pmatrix} \begin{pmatrix} a_{k1} & w^T \\ 0 & A' - vw^T/a_{k1} \end{pmatrix} \\
 &= \begin{pmatrix} 1 & 0 \\ P'v/a_{k1} & P' \end{pmatrix} \begin{pmatrix} a_{k1} & w^T \\ 0 & A' - vw^T/a_{k1} \end{pmatrix} \\
 &= \begin{pmatrix} 1 & 0 \\ P'v/a_{k1} & I_{n-1} \end{pmatrix} \begin{pmatrix} a_{k1} & w^T \\ 0 & P'(A' - vw^T/a_{k1}) \end{pmatrix} \\
 &= \begin{pmatrix} 1 & 0 \\ P'v/a_{k1} & I_{n-1} \end{pmatrix} \begin{pmatrix} a_{k1} & w^T \\ 0 & L'U' \end{pmatrix} \\
 &= \begin{pmatrix} 1 & 0 \\ P'v/a_{k1} & L' \end{pmatrix} \begin{pmatrix} a_{k1} & w^T \\ 0 & U' \end{pmatrix} = LU,
 \end{aligned}$$

adică descompunerea LUP. Deoarece  $L'$  și  $L$  sunt matrice inferior triunghiulare și din cauză că  $U'$  este superior triunghiulară, la fel este și  $U$ .

Să observăm că, în această derivare, spre deosebire de cea pentru descompunerea LU, atât vectorul coloană  $v/a_{k1}$  cât și complementul Schur  $A' - vw^T/a_{k1}$  trebuie să fie înmulțiți cu matricea de permutare  $P'$ .

LUP-DESCOMPUNERE( $A$ )

```

1:  $n \leftarrow \text{lini}[A]$ 
2: pentru  $i \leftarrow 1, n$  execută
3:    $\pi[i] \leftarrow i$ 
4: pentru  $k \leftarrow 1, n$  execută
5:    $p \leftarrow 0$ 
6:   pentru  $i \leftarrow k, n$  execută
7:     dacă  $|a_{ik}| > p$  atunci
8:        $p \leftarrow |a_{ik}|$ 
9:        $k' \leftarrow i$ 
10:      dacă  $p = 0$  atunci
11:        eroare "matrice singulară"
12:      interschimbă  $\pi[k] \leftrightarrow \pi[k']$ 
13:      pentru  $i \leftarrow 1, n$  execută
14:        interschimbă  $a_{ki} \leftrightarrow a_{k'i}$ 
15:      pentru  $i \leftarrow k + 1, n$  execută
16:         $a_{ik} \leftarrow a_{ik}/a_{kk}$ 
17:      pentru  $j \leftarrow k + 1, n$  execută
18:         $a_{ij} \leftarrow a_{ij} - a_{ik}a_{kj}$ 

```

Ca și în cazul algoritmului LU-DESCOMPUNERE, pseudocodul pentru descompunerea LUP înlocuiește recurența cu un ciclu iterativ. Ca o îmbunătățire față de implementarea direct recursivă, păstrăm dinamic matricea de permutare  $P$  printr-un tablou  $\pi$ , unde  $\pi[i] = j$  înseamnă că linia a  $i$ -a a lui  $P$  conține 1 în coloana  $j$ . De asemenea, implementăm codul pentru calculul

lui  $L$  și  $U$  “în spațiul” matricei  $A$ . În felul acesta, când procedura se termină,

$$a_{ij} = \begin{cases} l_{ij} & \text{dacă } i > j, \\ u_{ij} & \text{dacă } i \leq j. \end{cases}$$

Figura 31.2 ilustrează modul în care LUP-DESCOMPUNERE factorizează o matrice. Vectorul  $\pi$  se inițializează în liniile 2–3 pentru a reprezenta permutarea identică. Ciclul **pentru** exterior care începe în linia 4 implementează recurența. La fiecare iterație a ciclului exterior, liniile 5–9 determină elementul  $a_{k'k}$  având cea mai mare valoare absolută dintre elementele aflate în prima coloană curentă (coloana  $k$ ) din matricea de ordin  $(n - k + 1) \times (n - k + 1)$  a cărei descompunere LU trebuie găsită.

Dacă toate elementele din prima coloană curentă sunt zero, liniile 10–11 stabilesc că matricea este singulară. Pentru pivotare, în linia 12 se interschimbă  $\pi[k']$  cu  $\pi[k]$ , și în liniile 13–14 se interschimbă al  $k$ -lea și al  $k'$ -lea rând al lui  $A$ , în felul acesta  $a_{kk}$  devine elementul pivot. (Rândurile întregi se permute deoarece, în derivarea de mai sus, nu doar  $A' - vw^T/a_{k1}$  se înmulțește cu  $P'$ , ci și  $v/a_{k1}$ .) În final, complementul Schur este calculat prin liniile 15–18 în mare parte în același mod în care a fost calculat prin liniile 4–9 ale algoritmului LUP-DESCOMPUNERE, exceptând faptul că aici operația este scrisă pentru a funcționa în “spațiul” matricei  $A$ .

Din cauza structurii ciclului triplu imbricat, timpul de execuție al algoritmului LUP-DESCOMPUNERE este  $\Theta(n^3)$ , același ca și pentru LU-DESCOMPUNERE. Astfel, pivotarea ne costă, în timp, cel mult un factor constant.

## Exerciții

**31.4-1** Rezolvați ecuația

$$\begin{pmatrix} 1 & 0 & 0 \\ 4 & 1 & 0 \\ -6 & 5 & 1 \end{pmatrix} \begin{pmatrix} x_1 \\ x_2 \\ x_3 \end{pmatrix} = \begin{pmatrix} 3 \\ 14 \\ -7 \end{pmatrix}$$

folosind substituția înainte.

**31.4-2** Găsiți o descompunere LU a matricei

$$\begin{pmatrix} 4 & -5 & 6 \\ 8 & -6 & 7 \\ 12 & -7 & 12 \end{pmatrix}.$$

**31.4-3** De ce ciclul **pentru** din linia 4 a algoritmului LUP-DESCOMPUNERE se execută numai până la  $n - 1$ , în timp ce ciclul **pentru**, corespunzător, din linia 2 a algoritmului LU-DESCOMPUNERE se execută în același mod până la  $n$ ?

**31.4-4** Rezolvați ecuația

$$\begin{pmatrix} 1 & 5 & 4 \\ 2 & 0 & 3 \\ 5 & 8 & 2 \end{pmatrix} \begin{pmatrix} x_1 \\ x_2 \\ x_3 \end{pmatrix} = \begin{pmatrix} 12 \\ 9 \\ 5 \end{pmatrix}$$

folosind o descompunere LUP.

1	2	0	2	.6
2	3	3	4	-2
3	5	5	4	2
4	-	-1	-2	3.4
				-1

(a)

3	5	5	4	2
2	3	3	4	-2
1	2	0	2	.6
4	-1	-2	3.4	-1

(b)

	<b>5</b>	5	4	2
3	.6	0	1.6	-3.2
2	.4	-2	.4	-2
1	-.2	-1	4.2	-.6
4				

(c)

	3	5	5	4	2
2	.6	0	1.6	-3.2	
1	.4	-2	.4	-.2	
4	-.2	-1	4.2	-.6	

(d)

	5	5	4	2
3				
1	.4	-2	.4	-.2
2	.6	0	1.6	-3.2
4	-.2	-1	4.2	-.6

(e)

	5	5	4	2
3				
1	.4	-2	.4	-.2
2	.6	0	1.6	-3.2
4	-.2	.5	4	-.5

1

	3	5	5	4	2
1	.4	-2	.4	-.2	
2	.6	0	1.6	-3.2	
4	-.2	.5	4	-.5	

6

3	5	5	4	2
1	.4	-2	.4	-.2
4	-.2	.5	4	-.5
2	.6	0	1.6	-3.2

(j)

3	5	5	4	2
1	.4	-2	.4	-.2
4	-.2	.5	4	-.5
2	.6	0	4	-3

1)

$$\left( \begin{array}{cccc} 0 & 0 & 1 & 0 \\ 1 & 0 & 0 & 0 \\ 0 & 0 & 0 & 1 \\ 0 & 1 & 0 & 0 \end{array} \right) \overset{(g)}{\left( \begin{array}{cccc} 2 & 0 & 2 & .6 \\ 3 & 3 & 4 & -2 \\ 5 & 5 & 4 & 2 \\ -1 & -2 & 3.4 & -1 \end{array} \right)} = \overset{(h)}{\left( \begin{array}{ccccc} 1 & 0 & 0 & 0 & 0 \\ .4 & 1 & 0 & 0 & 0 \\ -.2 & .5 & 1 & 0 & 0 \\ .6 & 0 & .4 & 1 & 0 \end{array} \right)} \overset{(i)}{\left( \begin{array}{ccccc} 5 & 5 & 4 & 2 & 0 \\ 0 & -2 & .4 & -.2 & 0 \\ 0 & 0 & 4 & -.5 & 0 \\ 0 & 0 & 0 & -3 & 0 \end{array} \right)}$$

P

A

L

U

**Figura 31.2** Operația de LUP-DESCOMPUNERE. **(a)** Matricea de intrare  $A$  cu permutarea identică a liniilor în stânga. Primul pas al algoritmului determină faptul că elementul 5, din linia a treia, hașurat cu negru, este pivotul pentru prima coloană. **(b)** Rândurile 1 și 3 se permute și permutarea este actualizată. Coloana și linia hașurate cu gri reprezintă pe  $v$  și  $w^T$ . **(c)** Vectorul  $v$  este înlocuit cu  $v/5$  și partea din dreapta mai jos a matricei este actualizată cu complementul Schur. Liniile împart matricea în trei regiuni: elementele lui  $U$  (deasupra), elementele lui  $L$  (în stânga) și elementele complementului lui Schur (în dreapta jos). **(d)-(f)** Pasul al doilea. **(g)-(i)** Pasul al treilea. Nu mai intervin modificări în pasul patru. **(j)** Descompunerea LUP  $PA = LU$ .

**31.4-5** Descrieți descompunerea LUP a unei matrice diagonale.

**31.4-6** Descrieți descompunerea LUP a unei matrice de permutare  $A$  și demonstrați că ea este unică.

**31.4-7** Arătați că, pentru orice  $n \geq 1$ , există matrice singulare de ordinul  $n \times n$  care au descompuneri LU.

**31.4-8** ★ Arătați cum se poate rezolva eficient un sistem de ecuații de forma  $Ax = b$  peste un cviasiinel boolean ( $\{0, 1\}, \vee, \wedge, 0, 1$ ).

**31.4-9** ★ Să presupunem că  $A$  este o matrice reală de ordinul  $m \times n$  de rang  $m$ , unde  $m < n$ . Arătați cum se poate determina un vector  $n$ -dimensional  $x_0$  și o matrice de ordinul  $m \times (n-m)$  și de rang  $n-m$ , astfel încât orice vector de forma  $x_0 + By$ , pentru  $y \in \mathbb{R}^{n-m}$ , este o soluție a ecuației nedeterminate  $Ax = b$ .

## 31.5. Inversarea matricelor

Deși în practică, în general, nu vom folosi inversele matricelor pentru a rezolva sisteme de ecuații liniare, preferând folosirea de tehnici numerice mai stabile de felul descompunerii LUP, uneori fiind necesar să se calculeze inversa unei matrice. În această secțiune, vom arăta cum poate fi folosită descompunerea LUP pentru a calcula inversa unei matrice. De asemenea, vom discuta problema teoretică interesantă, dacă se poate sau nu, acceleră calculul inversei unei matrice, utilizând tehnici de felul algoritmului lui Strassen pentru înmulțirea matricelor. Întradevăr, articolul originar al lui Strassen avea ca motivație de a arăta că un sistem de ecuații liniare ar putea fi rezolvat mai rapid decât prin metoda obișnuită.

### Calculul inversei unei matrice dintr-o descompunere LUP

Să presupunem că avem o descompunere LUP a unei matrice  $A$  sub forma a trei matrice  $L, U$  și  $P$ , astfel încât  $PA = LU$ . Folosind algoritmul LU-SOLUȚIE, putem rezolva o ecuație de forma  $Ax = b$  într-un timp de ordinul  $\Theta(n^2)$ . În general, o dată ce avem descompunerea LUP a lui  $A$ , putem rezolva, într-un timp de ordinul  $\Theta(kn^2)$   $k$  versiuni de ecuații  $Ax = b$  care diferă numai prin  $b$ .

Ecuatăia

$$AX = I_n \tag{31.24}$$

poate fi privită ca un set de  $n$  ecuații distincte de forma  $Ax = b$ . Aceste ecuații definesc matricea  $X$  ca inversă a lui  $A$ . Pentru a fi mai exacti, notăm cu  $X_i$  a  $i$ -a coloană a lui  $X$  și amintim că vectorul unitate  $e_i$  este a  $i$ -a coloană a lui  $I_n$ . Ecuatația (31.24) poate fi, apoi, rezolvată în  $X$  folosind descompunerea LUP a lui  $A$  pentru a rezolva, separat fiecare ecuație

$$AX_i = e_i$$

separat, pentru  $X_i$ . Fiecare dintre cei  $n$  de  $X_i$  poate fi găsit într-un timp de ordinul  $\Theta(n^2)$  și astfel calculul lui  $X$  prin descompunerea LUP a lui  $A$  ia un timp de ordinul lui  $\Theta(n^3)$ . Întrucât descompunerea LUP a lui  $A$  poate fi determinată într-un timp de ordinul lui  $\Theta(n^3)$ , inversa  $A^{-1}$  a matricei  $A$  poate fi determinată într-un timp de ordinul lui  $\Theta(n^3)$ .

## Înmulțirea și inversarea matricelor

Arătăm acum că accelerarea teoretică obținută pentru înmulțirea matricelor se traduce printr-o accelerare pentru inversarea matricelor. De fapt, demonstrăm ceva mai mult: inversarea matricelor este echivalentă cu înmulțirea, în următorul sens. Dacă notăm cu  $M(n)$  timpul de înmulțire a două matrice de ordinul  $n \times n$  și cu  $I(n)$  timpul de inversare a unei matrice nesingulare de același ordin, atunci  $I(n) = \Theta(M(n))$ . Demonstrăm acest rezultat în două etape. Întâi, arătăm că  $M(n) = O(I(n))$ , ceea ce este relativ simplu, iar apoi demonstrăm că  $I(n) = O(M(n))$ .

**Teorema 31.11 (Înmulțirea nu este mai grea decât inversarea)** Dacă putem inversa o matrice de ordinul  $n \times n$  în timpul  $I(n)$ , unde  $I(n) = \Omega(n^2)$  satisfacă condiția de regularitate  $I(3n) = O(I(n))$ , atunci putem înmulți două matrice de ordinul  $n \times n$  într-un timp de ordinul  $O(I(n))$ .

**Demonstrație.** Fie  $A$  și  $B$  două matrice de ordinul  $n \times n$ . Vrem să calculăm matricea lor produs  $C$ . Definim matricea  $D$  de ordinul  $3n \times 3n$  astfel

$$D = \begin{pmatrix} I_n & A & 0 \\ 0 & I_n & B \\ 0 & 0 & I_n \end{pmatrix}.$$

Inversa lui  $D$  este

$$D^{-1} = \begin{pmatrix} I_n & -A & AB \\ 0 & I_n & -B \\ 0 & 0 & I_n \end{pmatrix},$$

și, astfel, putem calcula produsul  $AB$  luând submatricea de ordinul  $n \times n$  din dreapta sus a matricei  $D^{-1}$ .

Putem determina matricea  $D$  într-un timp de ordinul  $\Theta(n^2) = O(I(n))$  și o putem inversa într-un timp de ordinul  $O(I(3n)) = O(I(n))$ , prin condiția de regularitate pentru  $I(n)$ . Astfel avem

$$M(n) = O(I(n)).$$

Să observăm că  $I(n)$  satisfacă condiția de regularitate doar dacă  $I(n)$  nu are salturi mari în valoare. De exemplu, dacă  $I(n) = \Theta(n^c \lg^d n)$ , pentru orice constante  $c > 0, d \geq 0$ , atunci  $I(n)$  satisfacă condiția de regularitate.

## Reducerea inversării matricelor la înmulțirea lor

Demonstrația că inversarea matricelor nu este mai grea decât înmulțirea lor, se bazează pe câteva proprietăți ale matricelor simetrice pozitiv-definite care vor fi studiate în secțiunea 31.6.

**Teorema 31.12 (Inversarea nu este mai grea decât înmulțirea)** Presupunând că putem înmulți două matrice reale de ordinul  $n \times n$  în timpul  $M(n)$ , unde  $M(n) = \Omega(n^2)$  și  $M(n)$  satisfac cele două condiții de regularitate  $M(n+k) = O(M(n))$  pentru orice  $k$ ,  $0 \leq k \leq n$ , și  $M(n/2) \leq cM(n)$ , pentru orice constantă  $c < 1/2$ , atunci putem calcula inversa oricărei matrice reale nesingulare de ordinul  $n \times n$  în timpul  $O(M(n))$ .

**Demonstratie.** Putem presupune că  $n$  este multiplu de 2, deoarece

$$\begin{pmatrix} A & 0 \\ 0 & I_k \end{pmatrix}^{-1} = \begin{pmatrix} A^{-1} & 0 \\ 0 & I_k \end{pmatrix},$$

pentru orice  $k > 0$ . Așadar, alegând pe  $k$  astfel încât  $n + k$  să fie o putere a lui 2, lărgim matricea la o dimensiune care este puterea următoare a lui 2 și obținem răspunsul dorit,  $A^{-1}$ , din răspunsul la problema lărgită. Condiția de regularitate asupra lui  $M(n)$  asigură ca această lărgire să nu cauzeze creșterea timpului de execuție mai mult decât cu un factor constant.

Pentru moment, să presupunem că matricea  $A$  de ordinul  $n \times n$  este simetrică și pozitiv-definită. O partizionăm în patru submatrice de ordinul  $n/2 \times n/2$ :

$$A = \begin{pmatrix} B & C^T \\ C & D \end{pmatrix} \quad (31.25)$$

Apoi, dacă

$$S = D - CB^{-1}C^T \quad (31.26)$$

este complementul Schur al lui  $A$  în raport cu  $B$ , atunci

$$A^{-1} = \begin{pmatrix} B^{-1} + B^{-1}C^T S^{-1}CB^{-1} & -B^{-1}C^T S^{-1} \\ -S^{-1}CB^{-1} & S^{-1} \end{pmatrix} \quad (31.27)$$

deoarece  $AA^{-1} = I_n$ , ceea ce se poate verifica înmulțind matricele. Matricele  $B^{-1}$  și  $S^{-1}$  există dacă  $A$  este simetrică și pozitiv-definită, conform lemelor 31.13 și 31.15 din secțiunea 31.6, deoarece atât  $B$  cât și  $S$  sunt simetrice și pozitiv-definite. Conform exercițiului 31.1-3 avem că  $B^{-1}C^T = (CB^{-1})^T$  și  $B^{-1}C^T S^{-1} = (S^{-1}CB^{-1})^T$ . De aceea, ecuațiile (31.26) și (31.27) pot fi folosite pentru a specifica un algoritm recursiv care implică 4 înmulțiri de matrice de ordinul  $n/2 \times n/2$ :

$$\begin{aligned} & C \cdot B^{-1}, \\ & (C \cdot B^{-1}) \cdot C^T, \\ & S^{-1} \cdot (CB^{-1}), \\ & (CB^{-1})^T \cdot (S^{-1}CB^{-1}). \end{aligned}$$

Întrucât matricele de ordinul  $n/2 \times n/2$  se înmulțesc folosind un algoritm pentru matrice de ordinul  $n \times n$ , inversarea matricelor simetrice pozitiv-definite se poate rezolva în timpul

$$I(n) \leq 2I(n/2) + 4M(n) + O(n^2) = 2I(n/2) + O(M(n)) = O(M(n)).$$

Rămâne de demonstrat că timpul asymptotic de execuție a înmulțirii matricelor poate fi obținut pentru inversarea matricelor, dacă  $A$  este inversabilă, dar nu este simetrică și pozitiv-definită. Ideea de bază este aceea că, pentru orice matrice  $A$  nesingulară, matricea  $A^T A$  este simetrică (vezi exercițiul 31.1-3) și pozitiv-definită (vezi teorema 31.6). Astfel, problema inversării lui  $A$  se reduce la problema inversării lui  $A^T A$ .

Reducerea se bazează pe observația că, atunci când  $A$  este o matrice nesingulară de ordinul  $n \times n$ , avem

$$A^{-1} = (A^T A)^{-1} A^T,$$

deoarece  $((A^T A)^{-1} A^T)A = (A^T A)^{-1}(A^T A) = I_n$ , și inversa unei matrice este unică. Prin urmare, putem calcula  $A^{-1}$ , înmulțind întâi pe  $A^T$  cu  $A$  pentru a-l obține pe  $A^T A$ , inversând apoi matricea simetrică și pozitiv-definită  $A^T A$  prin algoritmul divide și stăpânește prezentat, și, în final, înmulțind rezultatul cu  $A^T$ . Fiecare dintre acești pași necesită un timp de ordinul  $O(M(n))$ . Astfel orice matrice nesingulară cu elemente reale poate fi inversată într-un timp de ordinul  $O(M(n))$ . ■

Demonstrația teoremei 31.12 sugerează un mod de a rezolva ecuații  $Ax = b$  fără pivotare, atât timp cât  $A$  este nesingulară. Înmulțind ambii membri ai ecuației cu  $A^T$ , obținem  $(A^T A)x = A^T b$ . Această transformare nu afectează soluția  $x$  deoarece  $A^T$  este inversabilă, aşa că putem factoriza matricea  $A^T A$  simetrică și pozitiv-definită cu ajutorul descompunerii LU. Apoi, folosim substituțiile înainte și înapoi pentru a rezolva, în raport cu  $x$ , partea dreaptă fiind  $A^T b$ . Deși această metodă este teoretic corectă, în practică, procedura LUP-DESCOMPUNERE funcționează mult mai bine. Descompunerea LUP necesită mai puține operații aritmetice printr-un factor constant și are proprietăți numerice puțin mai bune.

## Exerciții

**31.5-1** Fie  $M(n)$  timpul de înmulțire a matricelor de ordinul  $n \times n$ , iar  $S(n)$  timpul necesar pentru a ridica la pătrat o matrice de ordinul  $n \times n$ . Arătați că înmulțirea și ridicarea la pătrat a matricelor au în esență aceeași dificultate:  $S(n) = \Theta(M(n))$ .

**31.5-2** Fie  $M(n)$  timpul de înmulțire a matricelor de ordinul  $n \times n$  și  $L(n)$  timpul de calcul al descompunerii LUP pentru o matrice de ordinul  $n \times n$ . Arătați că înmulțirea matricelor și calculul descompunerii LUP pentru o matrice au, în esență, aceeași dificultate:  $L(n) = \Theta(M(n))$ .

**31.5-3** Fie  $M(n)$  timpul de înmulțire a matricelor de ordinul  $n \times n$ , iar  $D(n)$  timpul necesar pentru a calcula determinantul unei matrice de ordinul  $n \times n$ . Arătați că aflarea determinantului nu este mai grea decât înmulțirea matricelor:  $D(n) = O(M(n))$ .

**31.5-4** Fie  $M(n)$  timpul de înmulțire a matricelor booleene de ordinul  $n \times n$ , și  $T(n)$  timpul de determinare a închiderii tranzitive a matricelor booleene de ordinul  $n \times n$ . Arătați că  $M(n) = O(T(n))$  și  $T(n) = O(M(n) \lg n)$ .

**31.5-5** Stabiliți dacă funcționează algoritmul de inversare a matricelor, bazat pe teorema 31.12, când elementele matricelor aparțin corpului de întregi modulo 2? Explicați.

**31.5-6** \* Generalizați algoritmul de inversare a matricelor din teorema 31.12 pentru a trata matrice de numere complexe și demonstrați că generalizarea respectivă funcționează corect. (*Indica ie:* în locul transpuselui lui  $A$ , se utilizează **transpusa conjugată**  $A^*$ , care se obține din transpusa lui  $A$  prin înlocuirea fiecărui element cu complex-conjugatul lui. În locul matricelor simetrice se consideră matrice **hermitiene**, care sunt matrice  $A$  astfel încât  $A = A^*$ .)

### 31.6. Matrice simetrice pozitiv-definite și aproximarea prin metoda celor mai mici pătrate

Matricele simetrice pozitiv-definite au multe proprietăți interesante și avantajoase. De exemplu, sunt nesingulare, iar descompunerea LU poate fi făcută fără să ne intereseze împărțirea cu zero. În această secțiune, vom demonstra diferite proprietăți importante ale lor și vom prezenta o aplicație importantă de ajustare a curbelor și anume aproximarea prin metoda celor mai mici pătrate.

Prima proprietate, pe care o demonstrăm, este poate cea mai importantă.

**Lema 31.13** Orice matrice simetrică pozitiv-definită este nesingulară.

**Demonstrație.** Presupunem că  $A$  este o matrice singulară. Atunci, pe baza corolarului 31.3, rezultă că există un vector nenul  $x$ , astfel încât  $Ax = 0$ . Înseamnă că  $x^T Ax = 0$ , deci,  $A$  nu poate fi pozitiv-definită. ■

Demonstrația faptului că putem realiza o descompunere LU a unei matrice  $A$  simetrice pozitiv-definite fără a împărți la 0, este mai complicată. Începem prin a demonstra proprietăți pentru anumite submatrice ale lui  $A$ . Definim matricea  $A_k$ , **submatrice directoare** a lui  $A$ , ca fiind formată din  $A$  din intersecțiile dintre primele  $k$  linii și primele  $k$  coloane ale lui  $A$ .

**Lema 31.14** Dacă  $A$  este o matrice simetrică pozitiv-definită, atunci fiecare submatrice directoare a lui  $A$  este simetrică și pozitiv-definită.

**Demonstrație.** Faptul că fiecare submatrice directoare  $A_k$  este simetrică, este evident. Pentru a demonstra că  $A_k$  este pozitiv-definită, fie  $x$  un vector coloană nenul de dimensiune  $k$  și fie  $A$  partitioanată după cum urmează:

$$A = \begin{pmatrix} A_k & B^T \\ B & C \end{pmatrix}.$$

Atunci, avem

$$x^T A_k x = (x^T \ 0) \begin{pmatrix} A_k & B^T \\ B & C \end{pmatrix} \begin{pmatrix} x \\ 0 \end{pmatrix} = (x^T \ 0) A \begin{pmatrix} x \\ 0 \end{pmatrix} > 0$$

deoarece  $A$  este pozitiv-definită, rezultă că și  $A_k$  este pozitiv-definită. ■

Ne întoarcem la câteva proprietăți esențiale ale complementului Schur. Fie  $A$  o matrice simetrică pozitiv-definită și  $A_k$  submatricea directoare de ordinul  $k \times k$  a lui  $A$ .  $A$  este partitioanată astfel

$$A = \begin{pmatrix} A_k & B^T \\ B & C \end{pmatrix}. \tag{31.28}$$

**Complementul Schur** al lui  $A$ , în raport cu  $A_k$ , se definește prin

$$S = C - BA_k^{-1}B^T. \tag{31.29}$$

(Conform lemei 31.14,  $A_k$  este simetrică și pozitiv-definită, astfel, pe baza lemei 31.13 există  $A_k^{-1}$ , rezultă că  $S$  este bine definit.) Să observăm că definiția (31.23) a complementului Schur este compatibilă cu definiția (31.29) pentru  $k = 1$ .

Lema următoare arată că matricele complement Schur ale matricelor simetrice pozitiv-definite sunt simetrice și pozitiv-definite. Acest rezultat a fost utilizat în teorema 31.12, iar corolarul ei a fost necesar pentru a demonstra corectitudinea descompunerii LU pentru matrice simetrice pozitiv-definite.

**Lema 31.15 (Lema complementului Schur)** Dacă  $A$  este o matrice simetrică pozitiv-definită și  $A_k$  este o submatrice principală de ordinul  $k \times k$  a lui  $A$ , atunci complementul Schur al lui  $A$ , în raport cu  $A_k$ , este simetric și pozitiv-definit.

**Demonstrație.** Complementul  $S$  este simetric pe baza exercițiului 31.1-7. Rămâne să arătăm că  $S$  este pozitiv-definit. Considerăm partitōnarea lui  $A$  dată în ecuația (31.28).

Pentru orice vector  $x$  nenul, avem  $x^T Ax > 0$  prin ipoteză. Fie  $x$  împărțit în doi subvectori  $y$  și  $z$ , compatibili cu  $A_k$  și respectiv cu  $C$ . Întrucât  $A_k^{-1}$  există, avem

$$\begin{aligned} x^T Ax &= (y^T z^T) \begin{pmatrix} A_k & B^T \\ B & c \end{pmatrix} \begin{pmatrix} y \\ z \end{pmatrix} \\ &= y^T A_k y + y^T B^T z + z^T B y + x^T C z \\ &= (y + A_k^{-1} B^T z)^T A_k (y + A_k^{-1} B^T z) + z^T (C - B A_k^{-1} B^T) z, \end{aligned} \quad (31.30)$$

(se va verifica prin înmulțire). Această ultimă relație se echivalează cu “completarea pătratelor” formei pătratice (vezi exercițiul 31.6-2.)

Întrucât avem  $x^T Ax > 0$  pentru orice  $x$  nenul, fixăm un  $z$  nenul și apoi îl alegem pe  $y$  astfel încât  $y = -A_k^{-1} B^T z$ , care anulează primul termen din relația (31.30), obținându-se

$$z^T (C - B A_k^{-1} B^T) z = z^T S z$$

ca valoare a expresiei. Pentru orice  $z \neq 0$ , avem  $z^T S z = x^T Ax > 0$ , adică  $S$  este pozitiv-definit. ■

**Corolarul 31.16** Descompunerea LU a unei matrice simetrice pozitiv-definite nu implică niciodată împărțirea cu zero.

**Demonstrație.** Fie  $A$  o matrice simetrică pozitiv-definită. Vom demonstra o afirmație mai tare decât enunțul corolarului: orice pivot este strict pozitiv. Primul pivot este  $a_{11}$ . Fie  $e_1$  primul vector unitate prin care se obține  $a_{11} = e_1^T A e_1 > 0$ . Întrucât primul pas al descompunerii LU produce complementul Schur al lui  $A$  în raport cu  $A_1 = (a_{11})$ , lema 31.15 implică faptul că toți pivoții sunt pozitivi prin inducție. ■

### Aproximarea prin metoda celor mai mici pătrate

Ajustarea curbelor printr-o mulțime dată de puncte este o aplicație importantă a matricelor simetrice pozitiv-definite. Presupunem că se dă o mulțime de  $m$  puncte

$$(x_1, y_1), (x_2, y_2), \dots, (x_m, y_m),$$

unde  $y_i$  sunt cu erori de măsurare. Am dori să determinăm o funcție  $F(x)$ , astfel încât

$$y_i = F(x_i) + \eta_i \quad (31.31)$$

pentru  $i = 1, 2, \dots, m$ , unde erorile de aproximare  $\eta_i$  sunt mici. Forma funcției  $F$  depinde de problemă. Aici, presupunem că are forma unei sume liniare ponderate,

$$F(x) = \sum_{j=1}^n c_j f_j(x),$$

unde numărul  $n$  al termenilor și **funcțiile de bază**  $f_j$  specifice se aleg ținându-se seama de problemă. O alegere frecventă este  $f_j(x) = x^{j-1}$ , ceea ce înseamnă că

$$F(x) = c_1 + c_2 x + c_3 x^2 + \cdots + c_n x^{n-1},$$

este un polinom în  $x$ , de gradul  $n - 1$ .

Alegând  $n = m$ , putem calcula *exact* fiecare  $y_i$  din ecuația (31.31).

O astfel de funcție  $F$  de grad înalt “aproximează perturbațiile” la fel de bine ca și datele, dar, cu toate acestea, în general, dă rezultate slabe când se folosește la determinarea lui  $y$ , pentru valori ale lui  $x$ , care nu sunt prevăzute în prealabil. De obicei, este mai bine să se aleagă  $n$  semnificativ mai mic decât  $m$  și să se speră că, alegând bine coeficienții  $c_j$ , se va găsi o funcție  $F$  care să aproximeze bine punctele. Anumite principii teoretice există pentru a-l alege pe  $n$ , dar ele sunt în afara scopului acestui text. În orice caz, o dată ales  $n$ , ajungem în final la un sistem de ecuații supradefinit, pe care dorim să-l rezolvăm cât mai bine cu putință. Arătăm cum se poate face acest lucru.

Fie

$$A = \begin{pmatrix} f_1(x_1) & f_2(x_1) & \cdots & f_n(x_1) \\ f_1(x_2) & f_2(x_2) & \cdots & f_n(x_2) \\ \vdots & \vdots & \ddots & \vdots \\ f_1(x_m) & f_2(x_m) & \cdots & f_n(x_m) \end{pmatrix}$$

matricea valorilor funcțiilor de bază în punctele date; adică  $a_{ij} = f_j(x_i)$ . Fie  $c = (c_k)$  vectorul  $n$ -dimensional al coeficienților pe care vrem să-l determinăm. Atunci,

$$Ac = \begin{pmatrix} f_1(x_1) & f_2(x_1) & \cdots & f_n(x_1) \\ f_1(x_2) & f_2(x_2) & \cdots & f_n(x_2) \\ \vdots & \vdots & \ddots & \vdots \\ f_1(x_m) & f_2(x_m) & \cdots & f_n(x_m) \end{pmatrix} \begin{pmatrix} c_1 \\ c_2 \\ \vdots \\ c_n \end{pmatrix} = \begin{pmatrix} F(x_1) \\ F(x_2) \\ \vdots \\ F(x_m) \end{pmatrix}$$

este vectorul  $m$ -dimensional de “valori previzibile” pentru  $y$ . Astfel,

$$\eta = Ac - y$$

este vectorul  $m$ -dimensional de **erori de aproximare**.

Pentru a minimiza erorile de aproximare, trebuie să minimizăm norma vectorului eroare  $\eta$ , ceea ce are ca **soluție cele mai mici pătrate**, deoarece

$$\|\eta\| = \left( \sum_{i=1}^m \eta_i^2 \right)^{1/2}.$$

Întrucât

$$\|\eta\|^2 = \|Ac - y\|^2 = \sum_{i=1}^m \left( \sum_{j=1}^n a_{ij} c_j - y_i \right)^2,$$

putem minimiza  $\|\eta\|$  prin diferențierea lui  $\|\eta\|^2$  în raport cu fiecare  $c_k$  și egalând rezultatul cu zero:

$$\frac{d\|\eta\|^2}{dc_k} = \sum_{i=1}^m 2 \left( \sum_{j=1}^n a_{ij} c_j - y_i \right) a_{ik} = 0. \quad (31.32)$$

Cele  $n$  ecuații (31.32) pentru  $k = 1, 2, \dots, n$  sunt echivalente cu o singură ecuație matriceală

$$(Ac - y)^T A = 0$$

care este echivalentă cu

$$A^T (Ac - y) = 0,$$

(folosind exercițiul 31.1-3), care implică

$$A^T A c = A^T y. \quad (31.33)$$

În statistică, aceasta se numește **ecuație normală**. Matricea  $A^T A$  este simetrică pe baza exercițiului 31.1-3, iar dacă  $A$  are un rang coloană complet, atunci  $A^T A$  este pozitiv-definită. Deci,  $(A^T A)^{-1}$  există, iar soluția ecuației (31.33) este

$$c = ((A^T A)^{-1} A^T) y = A^+ y, \quad (31.34)$$

unde matricea  $A^+ = ((A^T A)^{-1} A^T)$  se numește **pseudoinversa** matricei  $A$ . Pseudoinversa este o generalizare naturală a noțiunii de inversă a unei matrice pentru cazul în care  $A$  nu este pătratică. (Să se compare ecuația (31.34), ca soluție aproximativă a lui  $Ac = y$ , cu soluția  $A^{-1}b$  care este soluția exactă a sistemului  $Ax = b$ .)

Ca un exemplu de folosire a aproximării prin metoda celor mai mici pătrate, să presupunem că avem 5 puncte

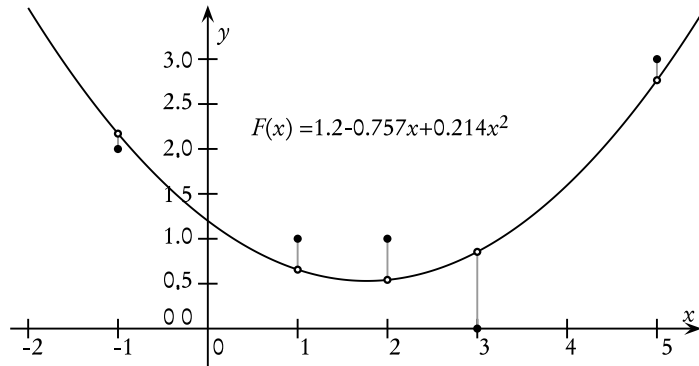
$$(-1, 2), (1, 1), (2, 1), (3, 0), (5, 3)$$

indicate prin puncte negre în figura 31.3. Dorim să aproximăm aceste puncte printr-un polinom de gradul doi:

$$F(x) = c_1 + c_2 x + c_3 x^2.$$

Începem cu matricea valorilor funcției de bază

$$A = \begin{pmatrix} 1 & x_1 & x_1^2 \\ 1 & x_2 & x_2^2 \\ 1 & x_3 & x_3^2 \\ 1 & x_4 & x_4^2 \\ 1 & x_5 & x_5^2 \end{pmatrix} = \begin{pmatrix} 1 & -1 & 1 \\ 1 & 1 & 1 \\ 1 & 2 & 4 \\ 1 & 3 & 9 \\ 1 & 5 & 25 \end{pmatrix}.$$



**Figura 31.3** Aproximarea cu un polinom de gradul doi pe mulțimea de puncte  $(-1, 2)$ ,  $(1, 1)$ ,  $(2, 1)$ ,  $(3, 0)$ ,  $(5, 3)$  prin metoda celor mai mici pătrate. Punctele negre sunt punctele date, iar punctele albe sunt valorile estimate ale acestora prin polinomul  $F(x) = 1.2 - 0.757x + 0.214x^2$ , polinom de gradul doi care minimizează suma pătratelor erorilor. Eroarea pentru fiecare punct dat este vizualizată hașurat.

Pseudoinversa este

$$A^+ = \begin{pmatrix} 0,500 & 0,300 & 0,200 & 0,100 & -0,100 \\ -0,388 & 0,093 & 0,190 & 0,193 & -0,088 \\ 0,060 & -0,036 & -0,048 & -0,036 & 0,060 \end{pmatrix}.$$

Înmulțind pe  $y$  cu  $A^+$ , obținem vectorul coeficient

$$c = \begin{pmatrix} 1,200 \\ -0,757 \\ 0,214 \end{pmatrix},$$

deci, polinomul de gradul doi va fi:

$$F(x) = 1,200 - 0,757x + 0,214x^2$$

care este cea mai apropiată aproximare cu polinoame de gradul doi pentru valorile date, în sensul celor mai mici pătrate.

Din motive practice, rezolvăm ecuațiile normale (31.33) înmulțind pe  $y$  cu  $A^T$  și, apoi, găsind descompunerea LU a lui  $A^T A$ . Dacă  $A$  are rangul complet, se garantează faptul că  $A^T A$  este nesingulară, deoarece este simetrică și pozitiv-definită. (Vezi exercițiul 31.1-3 și teorema 31.6.)

## Exerciții

**31.6-1** Demonstrați că orice element de pe diagonala unei matrice simetrice pozitiv-definite este pozitiv.

**31.6-2** Fie  $A = \begin{pmatrix} a & b \\ b & c \end{pmatrix}$  o matrice de ordinul  $2 \times 2$  simetrică și pozitiv definită. Demonstrați că determinantul  $ac - b^2$  este pozitiv prin “completarea pătrată” într-o manieră similară celei utilizate în demonstrația lemei 31.15.

**31.6-3** Demonstrați că elementul maxim într-o matrice simetrică pozitiv-definită se află pe diagonală.

**31.6-4** Demonstrați că determinantul fiecărei submatrice principale a unei matrice simetrice pozitiv-definite este pozitiv.

**31.6-5** Fie  $A_k$  submatricea principală  $k$  a unei matrice  $A$ , simetrice pozitiv-definite. Arătați că  $\det(A_k)/\det(A_{k-1})$  este al  $k$ -lea pivot din descompunerea LU, unde prin convenție  $\det(A_0) = 1$ .

**31.6-6** Găsiți o funcție de forma:

$$F(x) = c_1 + c_2 x \lg x + c_3 e^x$$

care este cea mai bună aproximare prin metoda celor mai mici pătrate pentru punctele:

$$(1, 1), (2, 1), (3, 3), (4, 8).$$

**31.6-7** Arătați că pseudoinversa  $A^+$  satisfac următoarele patru ecuații:

$$\begin{aligned} AA^+A &= A, \\ A^+AA^+ &= A^+, \\ (AA^+)^T &= AA^+, \\ (A^+A)^T &= A^+A. \end{aligned}$$

## Probleme

### 31-1 Algoritmul lui Schur de înmulțire a matricelor booleene

În secțiunea 31.3, am observat că algoritmul lui Strassen de înmulțire a matricelor nu poate fi aplicat direct la înmulțirea matricelor booleene deoarece cvasiinelul boolean  $Q = (\{0, 1\}, \vee, \wedge, 0, 1)$  nu este un inel. Teorema 31.10 a arătat că, dacă folosim operații aritmetice asupra cuvintelor de  $O(\lg n)$  biți, am putea totuși să aplicăm metoda lui Strassen, pentru a înmulți matrice booleene de ordinul  $n \times n$ , într-un timp  $O(n^{\lg 7})$ . Cercetăm o metodă probabilistică care utilizează numai operații pe biți care să atingă o limită aproape tot atât de bună și cu șanse mici de eroare.

a. Arătați că  $R = (\{0, 1\}, \oplus, \wedge, 0, 1)$ , unde  $\oplus$  este operatorul XOR, este un inel.

Fie  $A = (a_{ij})$  și  $B = (b_{ij})$  două matrice booleene de ordinul  $n \times n$  și fie  $C = (c_{ij}) = AB$  în cvasiinelul  $Q$ . Generăm  $A' = (a'_{ij})$  din  $A$ , folosind următoarea procedură de randomizare:

- Dacă  $a_{ij} = 0$ , atunci  $a'_{ij} = 0$ .
  - Dacă  $a_{ij} = 1$ , atunci  $a'_{ij} = 1$  cu probabilitatea  $1/2$  și  $a'_{ij} = 0$  cu aceeași probabilitate  $1/2$ . Alegerile aleatoare pentru fiecare element sunt independente.
- b. Fie  $c' = (c'_{ij}) = A'B$  în inelul  $R$ . Arătați că  $c_{ij} = 0$  implică  $c'_{ij} = 0$ . Arătați că  $c_{ij} = 1$  implică  $c'_{ij} = 1$  cu probabilitatea  $1/2$ .

- c. Arătați că, pentru orice  $\epsilon > 0$ , probabilitatea ca un  $c'_{ij}$  dat să nu ia niciodată valoarea  $c_{ij}$  pentru  $\lg(n^2/\epsilon)$  alegeri independente ale matricei  $A'$ , este cel mult  $\epsilon/n^2$ . Arătați că probabilitatea ca toți  $c'_{ij}$  să ia valorile lor corecte, cel puțin o dată, este cel puțin  $1 - \epsilon$ .
- d. Dați un algoritm de randomizare cu timp de ordinul  $O(n \lg^7 \lg n)$  care calculează produsul matricelor booleene ale cvasiinelului  $Q$  de ordinul  $n \times n$ , cu probabilitatea de cel puțin  $1 - 1/n^k$  pentru orice constantă  $k > 0$ . Singurele operații permise asupra elementelor matricelor sunt  $\vee, \wedge$  și  $\oplus$ .

### 31-2 Sisteme de ecuații liniare tridiagonale

Considerăm matricea tridiagonală

$$A = \begin{pmatrix} 1 & -1 & 0 & 0 & 0 \\ -1 & 2 & -1 & 0 & 0 \\ 0 & -1 & 2 & -1 & 0 \\ 0 & 0 & -1 & 2 & -1 \\ 0 & 0 & 0 & -1 & 2 \end{pmatrix}$$

- a. Găsiți o descompunere LU a lui  $A$ .
- b. Rezolvați ecuația  $Ax = (1 \ 1 \ 1 \ 1 \ 1)^T$  utilizând substituțiile înainte și înapoi.
- c. Găsiți inversa lui  $A$ .
- d. Arătați că, pentru orice matrice simetrică pozitiv-definită, tridiagonală de ordinul  $n \times n$  și orice vector  $b$ ,  $n$ -dimensional, ecuația  $Ax = b$  poate fi rezolvată într-un timp de ordinul  $O(n)$  prin descompunere LU. Argumentați că orice metodă bazată pe determinarea lui  $A^{-1}$  este, în cel mai defavorabil caz, asimptotic mai costisitoare.
- e. Arătați că, pentru orice matrice  $A$  de ordinul  $n \times n$  nesingulară, tridiagonală și pentru orice vector  $b$ ,  $n$ -dimensional, ecuația  $Ax = b$  poate fi rezolvată într-un timp de ordinul  $O(n)$  prin descompunerea LUP.

### 31-3 Spline-uri

O metodă practică pentru a interpola o mulțime de puncte cu o curbă este aceea de a folosi **spline-uri cubice**. Se dă o mulțime  $\{(x_i, y_i) : i = 0, 1, \dots, n\}$  de  $n+1$  perechi de valori-puncte, unde  $x_0 < x_1 < \dots < x_n$ . Dorim să interpolăm punctele printr-o curbă cubică  $f(x)$  pe portiuni (spline). Cura  $f(x)$  este alcătuită din  $n$  polinoame cubice  $f_i(x) = a_i + b_i x + c_i x^2 + d_i x^3$  pentru  $i = 0, 1, \dots, n-1$ , unde pentru  $x$  în domeniul  $x_i \leq x \leq x_{i+1}$ , valoarea curbei este dată de  $f(x) = f_i(x - x_i)$ . Punctele  $x_i$  în care polinoamele cubice sunt “legate” se numesc **noduri**. Pentru simplificare, vom presupune că  $x_i = i$ , pentru  $i = 0, 1, \dots, n$ .

Pentru a asigura continuitatea lui  $f(x)$ , se cere ca

$$f(x_i) = f_i(0) = y_i, f(x_{i+1}) = f_i(1) = y_{i+1}$$

pentru  $i = 0, 1, \dots, n-1$ . Pentru a asigura faptul ca  $f(x)$  să fie suficient de netedă, vom impune ca derivata de ordinul întâi să fie continuă în fiecare nod:

$$f'(x_{i+1}) = f'_i(1) = f'_{i+1}(0)$$

pentru  $i = 0, 1, \dots, n-1$ .

- a.** Să presupunem că, pentru  $i = 0, 1, \dots, n$ , se dau nu numai perechile de valori-puncte  $(x_i, y_i)$  ci și derivele de ordinul întâi  $D_i = f'(x_i)$  în fiecare nod. Exprimăți fiecare coeficient  $a_i, b_i, c_i$  și  $d_i$  în funcție de valorile  $y_i, y_{i+1}, D_i$  și  $D_{i+1}$ . (Amintim că  $x_i = i$ .) Stabiliți cât de rapid pot fi calculați cei  $4n$  coeficienți din perechile valori-puncte și derivele de ordinul întâi?

Trebuie stabilit modul de alegere a derivatelor de ordinul întâi ale lui  $f(x)$  în noduri. O metodă este aceea de a cere ca derivele de ordinul doi să fie continue în noduri:

$$f''(x_{i+1}) = f''_i(1) = f''_{i+1}(0)$$

pentru  $i = 0, 1, \dots, n - 1$ . În primul și ultimul nod, presupunem că  $f''(x_0) = f''_0(0) = 0$  și  $f''(x_n) = f''_n(1) = 0$ ; aceste presupuneri determină ca  $f(x)$  să fie un spline cubic **natural**.

- b.** Utilizați restricțiile de continuitate ale derivei a doua pentru a arăta că pentru  $i = 1, 2, \dots, n - 1$ ,

$$D_{i-1} + 4D_i + D_{i+1} = 3(y_{i+1} - y_{i-1}). \quad (31.35)$$

- c.** Arătați că

$$2D_0 + D_1 = 3(y_1 - y_0), \quad (31.36)$$

$$D_{n-1} + 2D_n = 3(y_n - y_{n-1}). \quad (31.37)$$

- d.** Rescrieți relațiile (31.35)–(31.37) printr-o ecuație matriceală implicând vectorul de necunoscute  $D = \langle D_0, D_1, \dots, D_n \rangle$ . Ce atribute are matricea din ecuația respectivă?
- e.** Argumentați faptul că o mulțime de  $n + 1$  perechi de valori-puncte poate fi interpolată cu un spline cubic natural într-un timp de ordinul  $O(n)$  (vezi problema 31-2).
- f.** Arătați cum se determină un spline cubic natural care interpolează un set de  $n + 1$  puncte  $(x_i, y_i)$  care satisfac inegalitățile  $x_0 < x_1 < \dots < x_n$ , chiar dacă  $x_i$  nu este în mod necesar egal cu  $i$ . Ce ecuație matriceală trebuie rezolvată și cât de rapid se execută algoritmul respectiv?

## Note bibliografice

Există multe texte excelente care descriu calculul numeric și științific cu mai multe detalii decât am făcut-o noi aici. În special, ar merita citite următoarele: George și Liu [81], Golub și Van Loan [89], Press, Flannery, Teukolsky și Vetterling [161, 162] și Strang [181, 182].

Publicarea algoritmului lui Strassen în 1969 [183] a cauzat multă emoție. Până atunci, s-a imaginat că algoritmul ar putea fi îmbunătățit. Limita superioară asimptotică a dificultății înmulțirii matricelor a fost de atunci îmbunătățită considerabil. Cel mai eficient algoritm asimptotic pentru înmulțirea matricelor de ordinul  $n \times n$ , dat de Coppersmith și Winograd [52] se execută într-un timp de ordinul  $O(n^{2.376})$ . Reprezentarea grafică a algoritmului lui Strassen a

fost dată de Paterson [155]. Fischer și Meyer [67] au adaptat algoritmul lui Strassen la matricele booleene (teorema 31.10).

Eliminarea gaussiană, pe care se bazează descompunerile LU și LUP, a fost prima metodă sistematică de rezolvare a sistemelor de ecuații liniare. De asemenea, ea a fost printre primii algoritmi numerici. Deși metoda a fost cunoscută mai de mult, descoperirea ei este atribuită lui C. F. Gauss(1777–1855). De asemenea, în faimoasa sa lucrare [183], Strassen a arătat că o matrice de ordinul  $n \times n$  poate fi inversată într-un timp de ordinul  $O(n^{\lg 7})$ . Winograd [203] a demonstrat, originar că înmulțirea matricelor nu este mai grea decât inversarea lor, iar reciproca se datorează lui Aho, Hopcroft și Ullman [4].

Strang [182] are o prezentare excelentă despre matricele simetrice pozitiv-definite și despre algebra liniară în general. El a făcut următoarea remarcă la pagina 334: “Elevii clasei mele adesea mă întreabă despre matricele *nesimetrice* pozitiv-definite. Eu niciodată nu am folosit acest termen”.

---

## 32 Polinoame și TFR

Metoda directă de a aduna două polinoame de grad  $n$  necesită un timp  $\Theta(n)$ , dar metoda directă pentru înmulțire necesită un timp  $\Theta(n^2)$ . În acest capitol, vom arăta cum transformata Fourier rapidă sau TFR (Fast Fourier Transform în engleză, prescurtat FFT) poate reduce timpul de înmulțire a două polinoame la  $\Theta(n \lg n)$ .

### Polinoame

Un **polinom** în variabila  $x$  peste câmpul (algebric)  $F$  este o funcție  $A(x)$  care poate fi reprezentată după cum urmează:

$$A(x) = \sum_{j=0}^{n-1} a_j x^j.$$

Vom numi  $n$  **limita de grad** a polinomului, iar valorile  $a_0, a_1, \dots, a_{n-1}$  le vom numi **coeficienții** polinomului. Coeficienții sunt elemente ale câmpului  $F$ , de regulă corpul  $\mathbb{C}$  al numerelor complexe. Se spune că un polinom  $A(x)$  are **gradul**  $k$  dacă  $k$  este rangul cel mai mare pentru care coeficientul  $a_k$  este nenul. Gradul unui polinom cu limita de grad  $n$  poate fi orice întreg din intervalul  $[0, n - 1]$ . Reciproc, un polinom de grad  $k$  este un polinom cu limita de grad  $n$ , pentru orice  $n > k$ .

Există o varietate de operații pe care dorim să le definim (și) pentru polinoame. Pentru **adunarea a două polinoame**, dacă  $A(x)$  și  $B(x)$  sunt polinoame cu limita de grad  $n$ , spunem că **suma** lor este un polinom  $C(x)$ , tot cu limita de grad  $n$ , astfel încât  $C(x) = A(x) + B(x)$ , pentru orice  $x$  din câmpul peste care s-au definit polinoamele. Respectiv, dacă

$$A(x) = \sum_{j=0}^{n-1} a_j x^j$$

și

$$B(x) = \sum_{j=0}^{n-1} b_j x^j,$$

atunci

$$C(x) = \sum_{j=0}^{n-1} c_j x^j,$$

unde  $c_j = a_j + b_j$  pentru  $j = 0, 1, \dots, n - 1$ . De exemplu, dacă  $A(x) = 6x^3 + 7x^2 - 10x + 9$  și  $B(x) = -2x^3 + 4x - 5$ , atunci  $C(x) = 4x^3 + 7x^2 - 6x + 4$ .

Pentru **înmulțirea a două polinoame**, dacă  $A(x)$  și  $B(x)$  sunt polinoame cu limita de grad  $n$ , vom spune că **produsul** lor  $C(x)$  este un polinom cu limita de grad  $2n - 1$ , astfel încât  $C(x) = A(x)B(x)$ , pentru orice  $x$  din câmpul peste care sunt definite polinoamele. Probabil că ati înmulțit deja polinoame, înmulțind fiecare termen din  $A(x)$  cu fiecare termen din  $B(x)$  și

reducând termenii cu puteri egale. De exemplu, putem înmulții polinoamele  $A(x) = 6x^3 + 7x^2 - 10x + 9$  și  $B(x) = -2x^3 + 4x - 5$  după cum urmează:

$$\begin{array}{r}
 & 6x^3 & +7x^2 & -10x & +9 \\
 & -2x^3 & & +4x & -5 \\
 \hline
 & -30x^3 & -35x^2 & +50x & -45 \\
 24x^4 & +28x^3 & -40x^2 & +36x & \\
 \hline
 -12x^6 & -14x^5 & +20x^4 & -18x^3 & \\
 \hline
 -12x^6 & -14x^5 & +44x^4 & -20x^3 & -75x^2 & +86x & -45
 \end{array}$$

Un alt mod de a exprima produsul  $C(x)$  este

$$C(x) = \sum_{j=0}^{2n-2} c_j x^j \quad (32.1)$$

unde

$$c_j = \sum_{k=0}^j a_k b_{j-k}. \quad (32.2)$$

De notat că  $\text{grad}(C) = \text{grad}(A) + \text{grad}(B)$ , ceea ce implica

$$\begin{aligned}
 \text{limita\_de\_grad}(C) &= \text{limita\_de\_grad}(A) + \text{limita\_de\_grad}(B) - 1 \leq \\
 &\leq \text{limita\_de\_grad}(A) + \text{limita\_de\_grad}(B)
 \end{aligned}$$

Vom vorbi, totuși, despre limita de grad a lui  $C$  ca fiind suma limitelor de grad ale lui  $A$  și  $B$ , deoarece un polinom care are limita de grad  $k$  are, de asemenea, limita de grad  $k + 1$ .

## Rezumatul capitolului

Secțiunea 32.1 prezintă două moduri de a reprezenta polinoamele: reprezentarea prin coeficienți și reprezentarea prin valori pe puncte. Metoda directă de înmulțire a polinoamelor – ecuațiile (32.1) și (32.2) – necesită un timp  $\Theta(n^2)$  când polinoamele sunt reprezentate prin coeficienți, dar numai un timp  $\Theta(n)$  când ele sunt reprezentate sub formă de valori pe puncte. Putem, totuși, să înmulțim polinoamele, utilizând forma de reprezentare prin coeficienți în timp  $\Theta(n \lg n)$  făcând conversia între cele două reprezentări. Pentru a vedea cum funcționează această idee, trebuie să studiem mai întâi rădăcinile complexe ale unității, prezentat în secțiunea 32.2. Apoi, pentru a realiza conversia, utilizăm transformata Fourier rapidă și inversă sa, descrise, de asemenea, în secțiunea 32.2. În secțiunea 32.3 se prezintă o implementare eficientă a transformatei Fourier rapide, atât în modelul serial, cât și în cel paralel.

Acest capitol utilizează intensiv numerele complexe, iar simbolul  $i$  va fi utilizat exclusiv pentru a desemna valoarea  $\sqrt{-1}$ .

## 32.1. Reprezentarea polinoamelor

Reprezentările polinoamelor prin coeficienți și prin valori pe puncte sunt, într-un anume sens, echivalente; adică, un polinom reprezentat sub formă de valori are un corespondent unic în

reprezentarea sub formă de coeficienți. În această secțiune, vom introduce cele două reprezentări și vom arăta cum se pot ele combina pentru a permite înmulțirea a două polinoame cu limita de grad  $n$  în timp  $\Theta(n \lg n)$ .

### Reprezentarea prin coeficienți

O *reprezentare prin coeficienți* a unui polinom  $A(x) = \sum_{j=0}^{n-1} a_j x^j$  cu limita de grad  $n$  este un vector de coeficienți  $a = (a_0, a_1, \dots, a_{n-1})$ . În ecuațiile matriceale din acest capitol, vom trata, în general, acești vectori ca vectori coloană.

Reprezentarea prin coeficienți este convenabilă pentru anumite operații cu polinoame. De exemplu, operația de *evaluare* a polinomului  $A(x)$ , într-un punct dat  $x_0$ , constă în calculul valorii  $A(x_0)$ . Evaluarea, utilizând *regula (schema) lui Horner*, consumă un timp  $\Theta(n)$ :

$$A(x_0) = a_0 + x_0(a_1 + x_0(a_2 + \dots + x_0(a_{n-2} + x_0(a_{n-1})) \dots)).$$

Similar, adunarea a două polinoame, reprezentate sub forma vectorilor de coeficienți  $a = (a_0, a_1, \dots, a_{n-1})$  și  $b = (b_0, b_1, \dots, b_{n-1})$ , consumă un timp  $\Theta(n)$ : trebuie, doar, să listăm vectorul  $c = (c_0, c_1, \dots, c_{n-1})$ , unde  $c_j = a_j + b_j$ , pentru  $j = 0, 1, \dots, n - 1$ .

Să considerăm acum înmulțirea a două polinoame cu limita de grad  $n$ ,  $A(x)$  și  $B(x)$ , reprezentate sub formă de coeficienți. Dacă utilizăm metoda descrisă prin ecuațiile (32.1) și (32.2), înmulțirea a două polinoame necesită un timp  $\Theta(n^2)$  deoarece fiecare coeficient din vectorul  $a$  trebuie înmulțit cu fiecare coeficient din vectorul  $b$ . Operația de înmulțire a două polinoame reprezentate sub formă de coeficienți, pare să fie considerabil mai dificilă decât evaluarea unui polinom sau adunarea a două polinoame. Vectorul de coeficienți rezultat  $c$ , dat de ecuația (32.2), se mai numește și *convoluția* vectorilor de intrare  $a$  și  $b$  și se notează cu  $c = a \otimes b$ . Deoarece înmulțirea polinoamelor și calculul convoluțiilor sunt probleme de calcul de o importanță practică fundamentală, acest capitol se concentreză asupra algoritmilor eficienți pentru rezolvarea lor.

### Reprezentarea prin valori pe puncte

O *reprezentare prin valori pe puncte* a unui polinom  $A(x)$ , cu limita de grad  $n$ , este o mulțime de  $n$  *puncte* (perechi de valori)

$$\{(x_0, y_0), (x_1, y_1), \dots, (x_{n-1}, y_{n-1})\}$$

astfel încât toate valorile  $x_k$  sunt distințe și

$$y_k = A(x_k) \tag{32.3}$$

pentru  $k = 0, 1, \dots, n - 1$ . Un polinom poate avea mai multe reprezentări prin valori pe puncte deoarece orice mulțime de  $n$  puncte distințe  $x_0, x_1, \dots, x_{n-1}$  poate fi utilizată ca bază pentru reprezentare.

Calculul unei reprezentări prin valori pe puncte pentru un polinom dat sub formă de coeficienți este, în principiu, simplă deoarece tot ce avem de făcut este să alegem  $n$  puncte distințe  $x_0, x_1, \dots, x_{n-1}$  și, apoi, să evaluăm  $A(x_k)$  pentru  $k = 0, 1, \dots, n - 1$ . Cu schema lui Horner, aceste evaluări în  $n$  puncte consumă un timp  $\Theta(n^2)$ . Vom vedea, mai târziu, că, dacă alegem  $x_k$  în mod intelligent, acest calcul poate fi accelerat până la un timp  $\Theta(n \lg n)$ .

Operația inversă evaluării – determinarea reprezentării sub formă de coeficienți dintr-o reprezentare sub formă de valori pe puncte – se numește *interpolare*. Teorema următoare ne

arată că interpolarea este bine definită în ipoteza că limita de grad a polinomului de interpolare este egală cu numărul de puncte.

**Teorema 32.1 (Unicitatea polinomului de interpolare)** Pentru orice multime de  $n$  puncte  $\{(x_0, y_0), (x_1, y_1), \dots, (x_{n-1}, y_{n-1})\}$  există un polinom unic  $A(x)$  cu limita de grad  $n$ , astfel încât,  $y_k = A(x_k)$  pentru  $k = 0, 1, \dots, n - 1$ .

**Demonstratie.** Demonstrația se bazează pe existența inversei unei anumite matrice. Ecuația (32.3) este echivalentă cu ecuația matriceală

$$\begin{pmatrix} 1 & x_0 & x_0^2 & \dots & x_0^{n-1} \\ 1 & x_1 & x_1^2 & \dots & x_1^{n-1} \\ \vdots & \vdots & \vdots & \ddots & \vdots \\ 1 & x_{n-1} & x_{n-1}^2 & \dots & x_{n-1}^{n-1} \end{pmatrix} \begin{pmatrix} a_0 \\ a_1 \\ \vdots \\ a_{n-1} \end{pmatrix} = \begin{pmatrix} y_0 \\ y_1 \\ \vdots \\ y_{n-1} \end{pmatrix}. \quad (32.4)$$

Matricea din stânga se notează cu  $V(x_0, x_1, \dots, x_{n-1})$  și este cunoscută sub numele de matrice Vandermonde. Conform exercițiului 31.1-10, această matrice are determinantul

$$\prod_{j < k} (x_k - x_j),$$

și, de aceea, conform teoremei 31.5, dacă  $x_k$  sunt distincte, ea este inversabilă (adică nesingulară). Astfel, coeficienții  $a_j$  pot fi determinați unic din reprezentarea prin puncte cu

$$a = V(x_0, x_1, \dots, x_{n-1})^{-1} y.$$

■

Demonstrația teoremei 32.1 descrie un algoritm de interpolare bazat pe rezolvarea sistemului de ecuații liniare (32.4). Utilizând algoritmul de descompunere LU, din capitolul 31, putem rezolva acest sistem în timp  $O(n^3)$ .

Un algoritm mai rapid pentru interpolare pe  $n$  puncte se bazează pe **formula lui Lagrange**:

$$A(x) = \sum_{k=0}^{n-1} y_k \frac{\prod_{j \neq k} (x - x_j)}{\prod_{j \neq k} (x_k - x_j)}. \quad (32.5)$$

Este ușor de verificat că membrul drept al ecuației (32.5) este un polinom cu limita de grad  $n$  care satisfacă  $A(x_k) = y_k$  pentru  $k = 0, 1, \dots, n - 1$ . Exercițiul 32.1-4 pune problema calculării coeficienților lui  $A$  în timp  $\Theta(n^2)$ , utilizând formula lui Lagrange.

Astfel, evaluarea în  $n$  puncte și interpolarea sunt operații bine definite și una este inversa celeilalte; ele converteșc reprezentarea prin coeficienți a unui polinom în reprezentare prin valori pe puncte și invers.<sup>1</sup> Algoritmul descris mai sus, pentru aceste probleme, durează un timp  $\Theta(n^2)$ .

<sup>1</sup>Este un fapt notoriu că interpolarea este o problemă instabilă din punct de vedere numeric. Deși abordarea de aici este corectă din punct de vedere matematic, diferențe mici în valorile de intrare sau erorile de rotunjire în timpul calculelor pot cauza diferențe mari în rezultat.

Această reprezentare prin valori pe puncte este convenabilă pentru multe operații cu polinoame. Pentru adunare, dacă  $C(x) = A(x) + B(x)$ , atunci  $C(x_k) = A(x_k) + B(x_k)$  pentru orice punct  $x_k$ . Mai precis, dacă avem o reprezentare prin valori pe puncte pentru  $A$ ,

$$\{(x_0, y_0), (x_1, y_1), \dots, (x_{n-1}, y_{n-1})\}$$

și una pentru  $B$

$$\{(x_0, y'_0), (x_1, y'_1), \dots, (x_{n-1}, y'_{n-1})\}$$

(de notat că  $A$  și  $B$  sunt evaluate în *aceleași*  $n$  puncte), atunci o reprezentare prin valori pe puncte pentru  $C$  este

$$\{(x_0, y_0 + y'_0), (x_1, y_1 + y'_1), \dots, (x_{n-1}, y_{n-1} + y'_{n-1})\}.$$

Timpul necesar pentru a aduna două polinoame cu limita de grad  $n$ , reprezentate sub formă de valori pe puncte, este  $\Theta(n)$ .

De asemenea, reprezentarea prin valori pe puncte este convenabilă pentru înmulțirea polinoamelor. Dacă  $C(x) = A(x)B(x)$ , atunci  $C(x_k) = A(x_k)B(x_k)$  pentru orice  $x_k$  și, astfel, putem înmulți punct cu punct reprezentarea prin valori pe puncte a lui  $A$  cu reprezentarea prin valori pe puncte a lui  $B$  pentru a obține reprezentarea prin valori pe puncte a lui  $C$ . Trebuie, totuși, să facem față problemei că limita de grad a lui  $C$  este suma limitelor de grad ale lui  $A$  și  $B$ . O reprezentare standard prin valori pe puncte pentru  $A$  și  $B$  constă din  $n$  puncte, dar deoarece limita de grad pentru  $C$  este  $2n$ , teorema 32.1 implică faptul că avem nevoie de  $2n$  puncte pentru o reprezentare prin valori pe puncte a lui  $C$ . De aceea, trebuie să începem cu o reprezentare “extinsă” prin valori pe puncte a lui  $A$  și  $B$ , constând fiecare, din  $2n$  puncte. Dându-se o reprezentare extinsă prin valori pe puncte pentru  $A$

$$\{(x_0, y_0), (x_1, y_1), \dots, (x_{2n-1}, y_{2n-1})\}$$

și o reprezentare extinsă prin valori pe puncte pentru  $B$

$$\{(x_0, y'_0), (x_1, y'_1), \dots, (x_{2n-1}, y'_{2n-1})\},$$

atunci o reprezentare prin valori pe puncte pentru  $C$  este

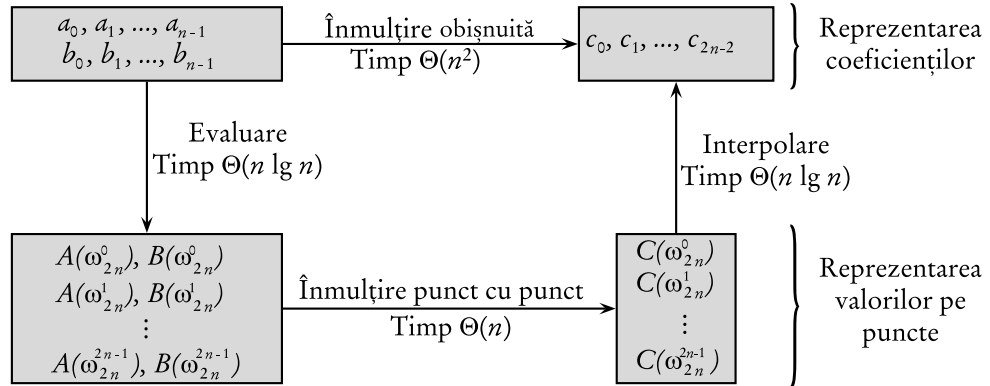
$$\{(x_0, y_0y'_0), (x_1, y_1y'_1), \dots, (x_{2n-1}, y_{2n-1}y'_{2n-1})\}.$$

Dându-se, la intrare, două polinoame în forma valorilor pe puncte, observăm că timpul necesar pentru a obține forma prin valori pe puncte a rezultatului este  $\Theta(n)$ , mai mic decât timpul necesar pentru a înmulți polinoamele reprezentate sub formă de coeficienți.

În final, vom vedea cum putem să evaluăm un polinom dat sub forma valorilor pe puncte într-un nou punct. Pentru această problemă nu există, în aparență, nici o abordare mai simplă decât convertirea polinomului sub formă de coeficienți și apoi evaluarea sa în acel nou punct.

## Înmulțirea rapidă a polinoamelor sub formă de coeficienți

Oare putem utiliza metoda de înmulțire în timp liniar a polinoamelor reprezentate sub formă de valori pe puncte pentru a accelera înmulțirea polinoamelor reprezentate sub formă de coeficienți? Răspunsul depinde de abilitatea noastră, de a converti rapid o reprezentare a



**Figura 32.1** O schiță grafică a procesului eficient de înmulțire a polinoamelor. Reprezentările din partea de sus sunt sub formă de coeficienți, în timp ce cele din partea de jos sunt sub formă de valori pe puncte. Săgețile de la stânga la dreapta corespund operațiilor de înmulțire. Termenii  $\omega_{2n}$  sunt rădăcinile de ordinul  $2n$  ale unității.

unui polinom sub formă de coeficienți, într-o reprezentare a unui polinom sub formă de valori pe puncte (evaluare) și invers (interpolare).

Putem utiliza orice punct în care dorim să se facă evaluarea, dar, alegând punctele de evaluare cu grijă, putem face conversia între reprezentări într-un timp de numai  $\Theta(n \lg n)$ . Așa cum vom vedea în secțiunea 32.2, dacă alegem “rădăcinile complexe ale unității” ca puncte de evaluare, putem genera o reprezentare prin valori pe puncte calculând transformata Fourier discretă (sau TFD<sup>2</sup>) a vectorului coeficienților. În secțiunea 32.2 se va arăta cum TFR realizează TFD și inversa TFD în timp  $\Theta(n \lg n)$ .

Figura 32.1 ilustrează grafic această strategie. Un detaliu minor se referă la limita de grad. Produsul a două polinoame cu limita de grad  $n$  este un polinom cu limita de grad  $2n$ . Înainte de evaluarea polinoamelor de intrare  $A$  și  $B$ , vom dubla limita de grad la  $2n$ , adăugând  $n$  coeficienți 0 în extremitatea dreaptă a vectorului. Deoarece vectorii au  $2n$  elemente, vom utiliza rădăcinile complexe de ordinul  $2n$  ale unității pe care le vom nota în figura 32.1 cu  $\omega_{2n}$ .

Dându-se TFR, avem următoarea procedură în timp  $\Theta(n \lg n)$  pentru înmulțirea a două polinoame  $A(x)$  și  $B(x)$  cu limita de grad  $n$ , unde intrarea și ieșirea sunt reprezentate sub formă de coeficienți. Presupunem că  $n$  este o putere a lui 2; această cerință poate fi satisfăcută întotdeauna, adăugând coeficienți zero de rang mare.

1. *Dublarea limitei de grad*: creăm reprezentările sub formă de coeficienți pentru  $A(x)$  și  $B(x)$  ca polinoame cu limita de grad  $2n$ , completând cu  $n$  coeficienți 0 de ordin mare pe fiecare din ele.
2. *Evaluare*: calcularea reprezentărilor sub formă de valori pe puncte ale lui  $A(x)$  și  $B(X)$  de lungime  $2n$  prin două aplicări ale TFR de ordin  $2n$ . Aceste reprezentări conțin valorile celor două polinoame în cele  $2n$  rădăcini de ordinul  $2n$  ale unității.
3. *Înmulțirea punctuală* : se calculează o reprezentare prin valori pe puncte pentru polinomul

<sup>2</sup>În engleză Discrete Fourier Transform (DFT)-n.t.

$C(x) = A(x)B(x)$ , înmulțind aceste valori punct cu punct. Această reprezentare conține valorile lui  $C(x)$  în rădăcinile de ordinul  $2n$  ale unității.

4. *Interpolare:* se creează reprezentarea prin coeficienți a polinomului  $C(x)$  printr-o singură aplicare a TFR pe  $2n$  puncte pentru a calcula inversa TFD.

Pașii (1) și (3) necesită un timp  $\Theta(n)$ , iar pașii (2) și (4) necesită un timp  $\Theta(n \lg n)$ . Astfel, o dată ce am arătat cum se realizează TFR, am demonstrat rezultatul următor:

**Teorema 32.2** Produsul a două polinoame cu limita de grad  $n$  poate fi calculat în timp  $\Theta(n \lg n)$ , cu polinoamele de intrare și ieșire reprezentate sub formă de coeficienți.

■

## Exerciții

**32.1-1** Înmulțiți polinoamele  $A(x) = 7x^3 - x^2 + x - 10$  și  $B(x) = 8x^3 - 6x + 3$  utilizând ecuațiile (32.1) și (32.2).

**32.1-2** Evaluarea unui polinom  $A(x)$  cu limita de grad  $n$  într-un punct dat  $x_0$  se poate realiza, de asemenea, împărțind  $A(x)$  cu polinomul  $(x - x_0)$  pentru a obține un polinom  $q(x)$  cu limita de grad  $n - 1$  și un rest  $r$ , astfel încât

$$A(x) = q(x)(x - x_0) + r.$$

Evident,  $A(x_0) = r$ . Arătați cum se poate calcula restul  $r$  și coeficienții lui  $q(x)$  în timp  $\Theta(n)$ , date fiind  $x_0$  și coeficienții lui  $A$ .

**32.1-3** Obțineți o reprezentare prin listă de valori pe puncte pentru  $A^{rev}(x) = \sum_{j=0}^{n-1} a_{n-1-j}x^j$  dintr-o reprezentare prin valori pe puncte pentru  $A(x) = \sum_{j=0}^{n-1} a_jx^j$ , presupunând că nici unul din puncte nu este 0.

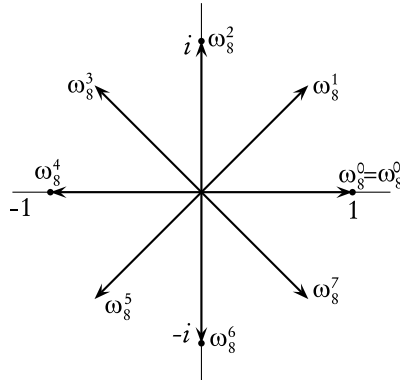
**32.1-4** Arătați cum se poate utiliza ecuația (32.5) pentru a realiza interpolarea în timp  $\Theta(n^2)$ . (*Indica ie:* Se calculează întâi  $\prod_j (x - x_j)$  și apoi se împarte cu  $(x - x_k)$  după cum este necesar pentru numărătorul fiecărui termen. Vezi exercițiul 32.1-1.)

**32.1-5** Explicați ce este greșit în abordarea “evidență” prin împărțire de polinoame, utilizând o reprezentare prin valori pe puncte. Discutați separat cazurile când acesta funcționează corect și când nu.

**32.1-6** Considerăm două mulțimi  $A$  și  $B$ , având fiecare  $n$  elemente întregi în intervalul de la 0 la  $10n$ . Dorim să calculăm **suma carteziană** a lui  $A$  și  $B$  definită prin

$$C = \{x + y : x \in A \text{ și } y \in B\}.$$

De notat că numerele întregi din  $C$  sunt din intervalul  $[0, 20n]$ . Dorim să găsim elementele lui  $C$  și numărul de posibilități în care fiecare element din  $C$  se realizează ca o sumă a elementelor din  $A$  și  $B$ . Arătați că această problemă poate fi rezolvată în timp  $O(n \lg n)$ . (*Indica ie:* Reprezentați  $A$  și  $B$  ca polinoame de grad  $10n$ .)



**Figura 32.2** Valorile  $\omega_8^0, \omega_8^1, \dots, \omega_8^7$  în planul complex, unde  $\omega_8 = e^{2\pi i/8}$  este rădăcina complexă de ordinul 8 a unității.

## 32.2. TFD și TFR

În secțiunea 32.1 am afirmat că, dacă utilizăm rădăcinile complexe ale unității, putem să evaluăm și să interpolăm în timp  $\Theta(n \lg n)$ . În această secțiune definim rădăcinile complexe ale unității și studiem proprietățile lor, definim TFD și apoi arătăm cum TFR calculează TFD și inversa acesteia în timp  $\Theta(n \lg n)$ .

### Rădăcinile complexe ale unității

O **rădăcină complexă de ordinul  $n$  a unității** este un număr complex  $\omega$  cu proprietatea  $\omega^n = 1$ .

Există exact  $n$  rădăcini complexe de ordinul  $n$  ale unității; acestea sunt  $e^{2\pi i k/n}$  pentru  $k = 0, 1, \dots, n-1$ . Pentru a interpreta această formulă, vom utiliza exponențiala cu argument complex  $e^{iu} = \cos(u) + i \sin(u)$ .

Figura 32.2 ne arată că cele  $n$  rădăcini complexe ale unității sunt egal spațiate pe cercul unitate. Valoarea

$$\omega_n = e^{2\pi i/n} \quad (32.6)$$

se numește **rădăcină principală de ordinul  $n$  a unității**; toate celelalte rădăcini complexe de ordinul  $n$  ale unității sunt puteri ale lui  $\omega_n$ . Cele  $n$  rădăcini de ordinul  $n$  ale unității

$$\omega_n^0, \omega_n^1, \dots, \omega_n^{n-1},$$

formează un grup în raport cu operația de înmulțire (vezi secțiunea 33.3). Acest grup are aceeași structură<sup>3</sup> ca grupul aditiv modulo  $n$  ( $(\mathbb{Z}_n, +)$ ), căci  $\omega_n^n = \omega_n^0 = 1$  implică  $\omega_n^j \omega_n^k = \omega_n^{j+k} \pmod{n}$ . La fel,  $\omega_n^{-1} = \omega_n^{n-1}$ . Proprietățile esențiale ale rădăcinilor de ordinul  $n$  ale unității sunt date de următoarele leme.

<sup>3</sup>Cele două grupuri sunt izomorfe – n.t.

**Lema 32.3 (Lema de anulare)** Pentru orice întregi  $n \geq 0$ ,  $k \geq 0$  și  $d > 0$ ,

$$\omega_{dn}^{dk} = \omega_n^k. \quad (32.7)$$

**Demonstrație.** Lema rezultă direct din ecuația (32.6), deoarece

$$\omega_{dn}^{dk} = (e^{2\pi i/dn})^{dk} = (e^{2\pi i/n})^k = \omega_n^k.$$

■

**Corolarul 32.4** Pentru orice întreg par  $n > 0$

$$\omega_n^{n/2} = \omega_2 = -1.$$

**Demonstrație.** Demonstrația rămâne ca exercițiu (exercițiul 32.2-1). ■

**Lema 32.5 (Lema de înjumătățire)** Dacă  $n > 0$  este par, atunci pătratele celor  $n$  rădăcini complexe de ordinul  $n$  ale unității sunt cele  $n/2$  rădăcini complexe de ordinul  $n/2$  ale unității.

**Demonstrație.** Din lema de anulare rezultă că  $(\omega_n^k)^2 = \omega_{n/2}^k$ , pentru orice întreg nenegativ  $k$ . De notat că dacă ridicăm la patrat toate rădăcinile complexe de ordinul  $n$  ale unității, atunci fiecare rădăcină complexă de ordinul  $n/2$  a unității se obține exact de două ori, deoarece

$$(\omega_n^{k+n/2})^2 = \omega_n^{2k+n} = \omega_n^{2k}\omega_n^n = \omega_n^{2k} = (\omega_n^k)^2.$$

Astfel,  $\omega_n^k$  și  $\omega_n^{k+n/2}$  au același păstrat. Această proprietate poate fi demonstrată, de asemenea, utilizând corolarul 32.4, deoarece  $\omega_n^{n/2} = -1$  implică  $\omega_n^{k+n/2} = -\omega_n^k$  și deci  $(\omega_n^{k+n/2})^2 = (\omega_n^k)^2$ . ■

Așa după cum vom vedea, lema de înjumătățire este esențială pentru abordarea de tip divide și stăpânește a conversiei între reprezentarea polinoamelor prin coeficienți și cea prin valori pe puncte, deoarece ea garantează că subproblemele recursive au dimensiunea pe jumătate.

**Lema 32.6 (Lema de însumare)** Pentru orice întreg  $n \geq 1$  și orice întreg nenegativ  $k$  nedivizibil prin  $n$ ,

$$\sum_{j=0}^{n-1} (\omega_n^k)^j = 0.$$

**Demonstrație.** Din ecuația (3.3), aplicată unor valori complexe, obținem

$$\sum_{j=0}^{n-1} (\omega_n^k)^j = \frac{(\omega_n^k)^n - 1}{\omega_n^k - 1} = \frac{(\omega_n^n)^k - 1}{\omega_n^k - 1} = \frac{(1)^k - 1}{\omega_n^k - 1} = 0.$$

Cerința ca  $n$  să nu fie divizor al lui  $k$  ne asigură că numitorul este nul, deoarece  $\omega_n^k = 1$  numai dacă  $k$  este divizibil cu  $n$ . ■

## TFD

Reamintim că dorim să evaluăm polinomul

$$A(x) = \sum_{j=0}^{n-1} a_j x^j$$

cu limita de grad  $n$  în  $\omega_n^0, \omega_n^1, \omega_n^2, \dots, \omega_n^{n-1}$  (adică rădăcinile complexe de ordinul  $n$  ale unității).<sup>4</sup> Fără a restrânge generalitatea, presupunem că  $n$  este o putere a lui 2, deoarece o limită de grad poate fi întotdeauna mărită – putem adăuga după necesități coeficienți 0 de rang înalt. Presupunem că  $A$  este dat sub formă de coeficienți:  $a = (a_0, a_1, \dots, a_{n-1})$ . Definim rezultatul  $y_k$ , pentru  $k = 0, 1, \dots, n-1$ , prin

$$y_k = A(\omega_n^k) = \sum_{j=0}^{n-1} a_j \omega_n^{kj}. \quad (32.8)$$

Vectorul  $y = (y_0, y_1, \dots, y_{n-1})$  este **transformata Fourier discretă (TFD)** a vectorului coeficienților  $a = (a_0, a_1, \dots, a_{n-1})$ . Scriem, de asemenea,  $y = \text{TFD}_n(a)$ .

## TFR

Utilizând o metodă cunoscută sub numele de **transformata Fourier rapidă (TFR)**, care profită de avantajul proprietăților speciale ale rădăcinilor complexe ale unității, putem calcula  $\text{TFD}_n(a)$  în timp  $\Theta(n \lg n)$ , spre deosebire de timpul  $\Theta(n^2)$  necesitat de metoda directă. Metoda TFR utilizează o strategie divide și stăpânește, folosind separat coeficienții cu indice par și separat pe cei cu indice impar ai lui  $A(x)$ , pentru a defini două noi polinoame  $A^{[0]}(x)$  și  $A^{[1]}(x)$  cu limita de grad  $n/2$ :

$$\begin{aligned} A^{[0]}(x) &= a_0 + a_2 x + a_4 x^2 + \dots + a_{n-2} x^{n/2-1}, \\ A^{[1]}(x) &= a_1 + a_3 x + a_5 x^2 + \dots + a_{n-1} x^{n/2-1}. \end{aligned}$$

Observăm că  $A^{[0]}$  conține toți coeficienții cu indice par ai lui  $A$  (reprezentarea binară a acestor indici se termină cu 0) și  $A^{[1]}$  conține toți coeficienții cu indice impar (reprezentarea lor binară se termină cu 1). Urmează că

$$A(x) = A^{[0]}(x^2) + x A^{[1]}(x^2), \quad (32.9)$$

și, astfel, problema evaluării lui  $A(x)$  în  $\omega_n^0, \omega_n^1, \dots, \omega_n^{n-1}$  se reduce la:

1. evaluarea polinoamelor  $A^{[0]}(x)$  și  $A^{[1]}(x)$  cu limita de grad  $n/2$  în punctele

$$(\omega_n^0)^2, (\omega_n^1)^2, \dots, (\omega_n^{n-1})^2, \quad (32.10)$$

și apoi

2. combinarea rezultatelor conform ecuației (32.9).

---

<sup>4</sup>Lungimea  $n$  are același rol ca și  $2n$  în secțiunea 32.1, deoarece dublăm limita de grad a polinomului înainte de evaluare. În contextul înmulțirii polinoamelor lucrăm, din acest motiv, cu rădăcini complexe de ordinul  $2n$  ale unității.

Conform lemei de înjumătățire, lista de valori (32.10) nu este constituită din  $n$  valori distincte, ci din cele  $n/2$  rădăcini complexe de ordinul  $n/2$  ale unității și fiecare rădăcină apărând de exact două ori. De aceea, polinoamele  $A^{[0]}$  și  $A^{[1]}$  cu limita de grad  $n/2$  sunt evaluate recursiv în cele  $n/2$  rădăcini complexe de ordinul  $n/2$  ale unității. Aceste subprobleme au exact aceeași formă ca și problema generală, dar pe jumătatea dimensiunii originale. Am reușit să descompunem calculul  $\text{TFD}_n$  a  $n$  elemente în calculul a două  $\text{TFD}_{n/2}$  a câte  $n/2$  elemente. Această descompunere este baza următorului algoritm recursiv pentru TFR, care calculează TFD a unui vector cu  $n$  elemente  $a = (a_0, a_1, \dots, a_{n-1})$ , unde  $n$  este o putere a lui 2.

#### TFR-RECURSIVĂ( $a$ )

- 1:  $n \leftarrow \text{lungime}[a]$   $\triangleright$   $n$  este o putere a lui 2
- 2: **dacă**  $n = 1$  **atunci**
- 3:   **returnează**  $a$
- 4:  $\omega_n \leftarrow e^{2\pi i/n}$
- 5:  $\omega \leftarrow 1$
- 6:  $a^{[0]} \leftarrow (a_0, a_2, \dots, a_{n-2})$
- 7:  $a^{[1]} \leftarrow (a_1, a_3, \dots, a_{n-1})$
- 8:  $y^{[0]} \leftarrow \text{TFR-RECURSIVĂ}(a^{[0]})$
- 9:  $y^{[1]} \leftarrow \text{TFR-RECURSIVĂ}(a^{[1]})$
- 10: **pentru**  $k = 0, n/2 - 1$  **execută**
- 11:    $y_k \leftarrow y_k^{[0]} + \omega y_k^{[1]}$
- 12:    $y_{k+(n/2)} \leftarrow y_k^{[0]} - \omega y_k^{[1]}$
- 13:    $\omega \leftarrow \omega \omega_n$
- 14: **returnează**  $y$   $\triangleright$  se presupune că  $y$  este vector coloană

Procedura TFR-RECURSIVĂ lucrează după cum urmează. Liniile 2–3 reprezintă baza recursității; TFD a unui element este elementul însuși, deoarece în acest caz

$$y_0 = a_0 \omega_1^0 = a_0 \cdot 1 = a_0.$$

Liniile 6–7 definesc vectorii coeficienților pentru polinoamele  $A^{[0]}$  și  $A^{[1]}$ . Liniile 4, 5 și 13 garantează că  $\omega$  este actualizat corespunzător, astfel ca ori de câte ori se execută liniile 11–12,  $\omega = \omega_n^k$ . (Păstrarea valorii  $\omega$ , de la o iterație la alta, economisește timp, comparativ cu calculul lui  $\omega_n^k$  de fiecare dată în ciclul **pentru**). Liniile 8–9 realizează calculul recursiv al lui  $\text{TFD}_{n/2}$ , punând, pentru  $k = 0, 1, \dots, n/2 - 1$ ,

$$\begin{aligned} y_k^{[0]} &= A^{[0]}(\omega_{n/2}^k), \\ y_k^{[1]} &= A^{[1]}(\omega_{n/2}^k), \end{aligned}$$

sau, deoarece  $\omega_{n/2}^k = \omega_n^{2k}$ , conform lemei de anulare,

$$\begin{aligned} y_k^{[0]} &= A^{[0]}(\omega_n^{2k}), \\ y_k^{[1]} &= A^{[1]}(\omega_n^{2k}). \end{aligned}$$

Liniile 11–12 combină rezultatele calculelor recursive pentru  $\text{TFD}_{n/2}$ . Pentru  $y_0, y_1, \dots, y_{n/2-1}$  linia 11 ne furnizează

$$y_k = y_k^{[0]} + \omega_n^k y_k^{[1]} = A^{[0]}(\omega_n^{2k}) + \omega_n^k A^{[1]}(\omega_n^{2k}) = A(\omega_n^k),$$

unde ultima egalitate a acestui raționament rezultă din ecuația (32.9). Pentru  $y_{n/2}, y_{n/2+1}, \dots, y_{n-1}$ , luând  $k = 0, 1, \dots, n/2 - 1$ , linia 12 produce

$$\begin{aligned} y_{k+(n/2)} &= y_k^{[0]} - \omega_n^k y_k^{[1]} = y_k^{[0]} + \omega_n^{k+(n/2)} y_k^{[1]} = A^{[0]}(\omega_n^{2k}) + \omega_n^{k+(n/2)} A^{[1]}(\omega_n^{2k}) = \\ &= A^{[0]}(\omega_n^{2k+n}) + \omega_n^{k+(n/2)} A^{[1]}(\omega_n^{2k+n}) = A(\omega_n^{k+(n/2)}). \end{aligned}$$

A doua egalitate rezultă din prima deoarece  $\omega_n^{k+(n/2)} = -\omega_n^k$ . A patra linie rezultă din a treia, deoarece  $\omega_n^n = 1$  implică  $\omega_n^{2k} = \omega_n^{2k+n}$ . Ultima egalitate rezultă din ecuația (32.9). Astfel, vectorul  $y$  returnat de TFR-RECURSIVĂ este într-adevăr TFD a vectorului de intrare  $a$ .

Pentru a determina timpul de execuție al procedurii TFR-RECURSIVĂ, observăm că, excludând apelurile recursive propriu-zise, fiecare apel consumă un timp  $\Theta(n)$ , unde  $n$  este lungimea vectorului de intrare. Așadar, recurența pentru timpul de execuție este

$$T(n) = 2T(n/2) + \Theta(n) = \Theta(n \lg n).$$

Astfel, putem evalua un polinom cu limita de grad  $n$  în rădăcinile complexe de ordinul  $n$  ale unității în timp  $\Theta(n \lg n)$ , utilizând transformata Fourier rapidă.

### Interpolare în rădăcini complexe ale unității

Vom încheia acum schema de înmulțire polinomială arătând cum putem să interpolăm în rădăcinile complexe ale unității printr-un polinom, ceea ce ne permite să facem conversia de la forma prin valori pe puncte la forma prin coeficienți. Vom interpola, scriind TFD ca pe o ecuație matriceală și căutând formă matricei inverse.

Din ecuația (32.4) rezultă că putem scrie TFD ca pe un produs de matrice  $y = V_n a$ , unde  $V_n$  este o matrice Vandermonde ce conține puterile adecvate ale lui  $\omega_n$ :

$$\begin{pmatrix} y_0 \\ y_1 \\ y_2 \\ y_3 \\ \vdots \\ y_{n-1} \end{pmatrix} = \begin{pmatrix} 1 & 1 & 1 & 1 & \cdots & 1 \\ 1 & \omega_n & \omega_n^2 & \omega_n^3 & \cdots & \omega_n^{n-1} \\ 1 & \omega_n^2 & \omega_n^4 & \omega_n^6 & \cdots & \omega_n^{2(n-1)} \\ 1 & \omega_n^3 & \omega_n^6 & \omega_n^9 & \cdots & \omega_n^{3(n-1)} \\ \vdots & \vdots & \vdots & \vdots & \ddots & \vdots \\ 1 & \omega_n^{n-1} & \omega_n^{2(n-1)} & \omega_n^{3(n-1)} & \cdots & \omega_n^{(n-1)(n-1)} \end{pmatrix} \begin{pmatrix} a_0 \\ a_1 \\ a_2 \\ a_3 \\ \vdots \\ a_{n-1} \end{pmatrix}.$$

Intrarea  $(k, j)$  a lui  $V_n$  este  $\omega_n^{kj}$  pentru  $j, k = 0, 1, \dots, n - 1$ , iar exponenții intrărilor lui  $V_n$  formează o tabelă a înmulțirii.

Pentru a realiza operația inversă, pe care o scriem ca  $a = \text{TFD}_n^{-1}(y)$ , înmulțim  $y$  cu matricea  $V_n^{-1}$ , inversa lui  $V_n$ .

**Teorema 32.7** Pentru  $j, k = 0, 1, \dots, n - 1$ , intrarea  $(j, k)$  a lui  $V_n^{-1}$  este  $\omega_n^{-kj}/n$ .

**Demonstrație.** Vom arăta că  $V_n^{-1}V_n = I_n$ , unde  $I_n$  este matricea identică  $n \times n$ . Considerăm intrarea  $(j, j')$  a lui  $V_n^{-1}V_n$ :

$$[V_n^{-1}V_n]_{jj'} = \sum_{k=0}^{n-1} (\omega_n^{-kj}/n)(\omega_n^{kj'}) = \sum_{k=0}^{n-1} \omega_n^{k(j'-j)}/n.$$

Această sumă este egală cu 1 dacă  $j' = j$  și este 0 în caz contrar, conform lemei de însumare (lema 32.6). Observăm că ne bazăm pe inegalitatea  $-(n - 1) < j' - j < n - 1$  și pe faptul că  $j' - j$  este divizibil cu  $n$ , pentru ca lema de însumare să se poată aplica. ■

Dându-se matricea inversă  $V_n^{-1}$ ,  $\text{TFD}_n^{-1}(y)$  se calculează cu

$$a_j = \frac{1}{n} \sum_{k=0}^{n-1} y_k \omega_n^{-kj} \quad (32.11)$$

pentru  $j = 0, 1, \dots, n - 1$ . Comparând ecuațiile (32.8) și (32.11), observăm că, modificând algoritmul TFR pentru a schimba rolurile lui  $a$  și  $y$ , înlocuind  $\omega_n$  cu  $\omega_n^{-1}$  și împărțind fiecare element al rezultatului cu  $n$ , calculăm inversa TFD (vezi exercițiul 32.2-4). Astfel, și  $\text{TFD}_n^{-1}$  poate fi calculată în timp  $\Theta(n \lg n)$ .

Prin urmare, utilizând TFR și inversa TFR, putem transforma reprezentarea sub formă de coeficienți a unui polinom cu limita de grad  $n$  în reprezentarea prin valori pe puncte și invers, în timp  $\Theta(n \lg n)$ . În contextul înmulțirii polinomiale, am demonstrat următoarea teoremă.

**Teorema 32.8 (Teorema de conoluție)** Pentru oricare doi vectori  $a$  și  $b$  de lungime  $n$ , unde  $n$  este o putere a lui 2,

$$a \otimes b = \text{TFD}_{2n}^{-1}(\text{TFD}_{2n}(a) \cdot \text{TFD}_{2n}(b)),$$

unde vectorii  $a$  și  $b$  sunt completăți cu zerouri până la lungimea  $2n$ , iar  $\cdot$  desemnează produsul pe componente al vectorilor cu  $2n$  elemente. ■

## Exerciții

**32.2-1** Demonstrați corolarul 32.4.

**32.2-2** Calculați TFD a vectorului  $(0, 1, 2, 3)$ .

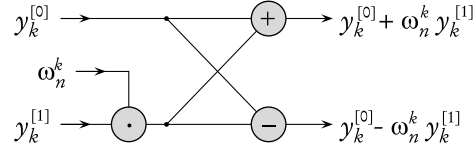
**32.2-3** Rezolvați exercițiul 32.1-1, utilizând o schemă cu timpul  $\Theta(n \lg n)$ .

**32.2-4** Scrieți pseudocodul pentru a calcula  $\text{TFD}_n^{-1}$  în timp  $\Theta(n \lg n)$ .

**32.2-5** Descrieți generalizarea TFR în cazul când  $n$  este o putere a lui 3. Dați o recurență pentru timpul de execuție și rezolvați recurența.

**32.2-6** \* Presupunem că în loc de a realiza TFR a  $n$  elemente peste câmpul numerelor complexe (unde  $n$  este par), utilizăm inelul  $\mathbb{Z}_m$  al întregilor modulo  $m$ , unde  $m = 2^{tn/2} + 1$  și  $t$  este un întreg pozitiv arbitrar. Utilizați  $\omega = 2^t$  modulo  $m$  în loc de  $\omega_n$  ca rădăcină principală de ordinul  $n$  a unității. Demonstrați că TFD și inversa TFD sunt bine definite în acest sistem.

**32.2-7** Fie lista de valori  $z_0, z_1, \dots, z_{n-1}$  (posibil cu repetiții), arătați cum pot fi găsiți coeficienții polinomului  $P(x)$  cu limita de grad  $n$  ce are ca zerouri numerele  $z_0, z_1, \dots, z_{n-1}$  (posibil cu repetiții). Procedura se va executa în timp  $O(n \lg^2 n)$ . (*Indica ie:* polinomul  $P(x)$  are un zero în  $z_j$  dacă și numai dacă  $P(x)$  este multiplu al lui  $(x - z_j)$ .)



**Figura 32.3** O operație fluture (butterfly). Cele două valori de intrare vin din stânga,  $\omega_n^k$  este înmulțit cu  $y_k^{[1]}$ , iar suma și diferența sunt ieșirile din dreapta. Figura poate fi interpretată ca un circuit combinațional.

**32.2-8 \*** *Transformarea “cirip” (chirp transform)* a unui vector  $a = (a_0, a_1, \dots, a_n)$  este vectorul  $y = (y_0, y_1, \dots, y_{n-1})$  unde  $y_k = \sum_{j=0}^{n-1} a_j z^{kj}$  și  $z$  este un număr complex. TFD este, deci, un caz particular al transformării “cirip”, în cazurile în care  $z = \omega_n$ . Demonstrați că transformarea “cirip” poate fi evaluată în timp  $O(n \lg n)$  pentru orice număr complex  $z$ . (*Indica ie:* utilizați ecuația

$$y_k = z^{k^2/2} \sum_{j=0}^{n-1} (a_j z^{j^2/2}) (z^{-(k-j)^2/2})$$

pentru a putea considera transformarea “cirip” ca o conoluție.)

### 32.3. Implementări eficiente ale TFR

Deoarece aplicațiile practice ale TFD, cum ar fi prelucrarea semnalelor, necesită viteză maximă, această secțiune examinează două implementări eficiente ale TFR. Mai întâi vom examina o versiune iterativă a algoritmului TFR care se execută în timp  $\Theta(n \lg n)$ , dar are o constantă mai mică ascunsă în notația  $\Theta$  decât implementarea recursivă din secțiunea 32.2. Astfel, în scopul proiectării unui circuit paralel eficient pentru TFR, vom utiliza analiza care ne conduce la implementarea iterativă.

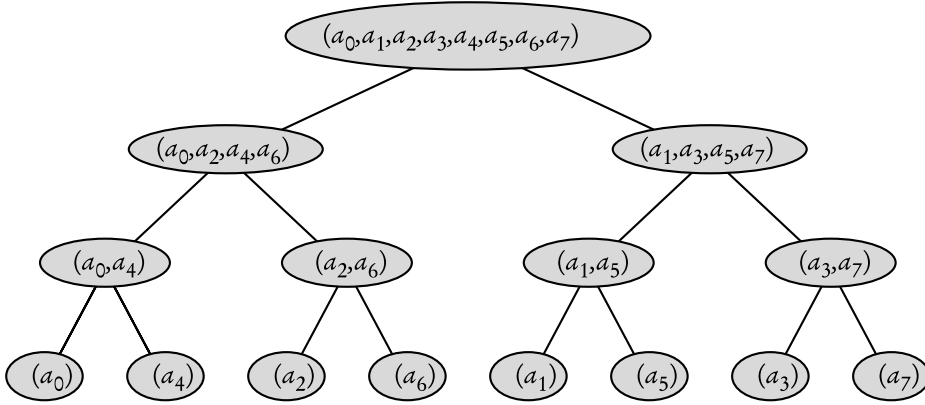
#### O implementare iterativă a TFR

Observăm întâi că ciclul pentru din liniile 10–13 ale procedurii TFR-RECURSIVĂ calculează valoarea  $\omega_n^k y_k^{[1]}$  de două ori. În terminologia din domeniul compilatoarelor, o astfel de valoare este cunoscută sub numele de **subexpresie comună**. Vom schimba ciclul **pentru** astfel încât să calculeze  $\omega_n^k y_k^{[1]}$  o singură dată, memorând-o într-o variabilă temporară  $t$ .

**pentru**  $k \leftarrow 0, n/2 - 1$  **execută**

$$\begin{aligned} t &\leftarrow \omega y_k^{[1]} \\ y_k &\leftarrow y_k^{[0]} + t \\ y_{k+(n/2)} &\leftarrow y_k^{[0]} - t \\ \omega &\leftarrow \omega \omega_n \end{aligned}$$

Operația din acest ciclu, înmulțirea lui  $\omega$  (care este egală cu  $\omega_n^k$ ) cu  $y_k^{[1]}$ , memorarea produsului în  $t$ , adunarea și scăderea lui  $t$  din  $y_k^{[0]}$ , este cunoscută sub numele de **operație fluture** (butterfly operation) și este prezentată schematic în figura 32.3. Vom arăta cum putem



**Figura 32.4** Cei trei vectori de intrare ai apelurilor recursive ale procedurii TFR-RECURSIVĂ. Apelul inițial este pentru  $n = 8$ .

transformă un algoritm iterativ într-unul recursiv. În figura 32.4, am aranjat vectorii de intrare pentru apelurile recursive ale procedurii TFR-RECURSIVĂ într-o structură de arbore, unde apelul inițial este pentru  $n = 8$ . Arborele are un nod pentru fiecare apel de procedură, etichetat cu vectorul de intrare corespunzător. Fiecare apel al procedurii TFR-RECURSIVĂ face două apeluri recursive, în afara cazului când primește un vector cu un element. Vom transforma primul apel fiul stâng și al doilea fiul drept.

Examinând arborele, observăm că, dacă putem aranja elementele vectorului inițial  $a$  în ordinea în care ele apar în frunze, putem imita execuția procedurii TFR-RECURSIVĂ. Întâi, luăm elementele în perechi, calculăm TFD a fiecărei perechi, utilizând o operație fluture și înlocuim perechea cu transformata sa Fourier discretă. Vectorul păstrează, atunci,  $n/2$  TFD a câte două elemente. Apoi, luăm aceste  $n/2$  perechi de TFD în perechi și calculăm TFD a vectorilor cu 4 elemente care provin din execuția a două operații fluture, înlocuind două TFD cu două elemente cu o TFD cu 4 elemente. Vectorul va păstra, apoi,  $n/4$  TFD cu 4 elemente. Continuăm în acest mod până când vectorul păstrează două TFD a  $n/2$  elemente care pot fi combinate în TFD finală cu  $n$  elemente.

Pentru a transforma această observație în cod, vom utiliza un tablou  $A[0..n - 1]$  care, inițial, păstrează elementele vectorului de intrare  $a$  în ordinea în care apar în frunzele arborelui din figura 32.4. (Vom arăta, mai târziu, cum se poate determina această ordine.) Deoarece combinarea trebuie să se facă la fiecare nivel al arborelui, introducem o variabilă  $s$ , pentru a contoriza nivelurile, mergând de la 1 (în partea de jos, când combinăm perechile pentru a forma TFD a două elemente) la  $\lg n$  (în vîrf, când combinăm două TFD a  $n/2$  elemente pentru a produce rezultatul final). De aceea algoritmul are următoarea structură:

- 1: **pentru**  $s \leftarrow 1, \lg n$  **execută**
- 2:   **pentru**  $k \leftarrow 0, n - 1, 2^s$  **execută**
- 3:     combină două TFD a  $2^{s-1}$  elemente din  $A[k..k + 2^{s-1} - 1]$  și  $A[k + 2^{s-1}..k + 2^s - 1]$  în TFD a  $2^s$  elemente în  $A[k..k + 2^s - 1]$

Putem exprima corpul ciclului (linia 3) printr-un pseudocod mai exact. Vom copia ciclul **pentru** din procedura TFR-RECURSIVĂ, identificând  $y^{[0]}$  cu  $A[k..k + 2^{s-1} - 1]$  și  $y^{[1]}$  cu  $A[k +$

$2^{s-1}..k + 2^s - 1]$ . Valoarea lui  $\omega$ , utilizată în fiecare operație fluture, depinde de valoarea lui  $s$ ; utilizăm  $\omega_m$ , unde  $m = 2^s$ . (Introducem variabila  $m$  doar în scop de lizibilitate). Introducem o altă variabilă temporară  $u$  care ne permite să realizăm operația fluture pe loc (*in place*). Când înlocuim linia 3 a structurii generale prin corpul ciclului, obținem pseudocodul următor, care formează baza algoritmului nostru final de TFR precum și a implementării paralele pe care o vom prezenta mai târziu.

BAZA-TFR( $a$ )

```

1:  $n \leftarrow \text{lungime}[a] \triangleright n$  este o putere a lui 2
2: pentru  $s \leftarrow 1, \lg n$  execută
3:    $m \leftarrow 2^s$ 
4:    $\omega_m \leftarrow e^{2\pi i/m}$ 
5:   pentru  $k \leftarrow 0, n - 1, m$  execută
6:      $\omega \leftarrow 1$ 
7:     pentru  $j \leftarrow 0, m/2 - 1$  execută
8:        $t \leftarrow \omega A[k + j + m/2]$ 
9:        $u \leftarrow A[k + j]$ 
10:       $A[k + j] \leftarrow u + t$ 
11:       $A[k + j + m/2] \leftarrow u - t$ 
12:      $\omega \leftarrow \omega \omega_m$ 
```

Prezentăm versiunea finală a codului iterativ pentru TFR, care inversează că cele două cicluri interioare pentru a elimina unele calcule de index și utilizează procedura auxiliară COPIERE-INVERSĂ-BITI( $a, A$ ) pentru a copia vectorul  $a$  în tabloul  $A$  în ordinea inițială în care avem nevoie de valori.

TFR-ITERATIVĂ( $a$ )

```

1: COPIERE-INVERSĂ-BITI( $a, A$ )
2:  $n \leftarrow \text{lungime}[a] \triangleright n$  este o putere a lui 2
3: pentru  $s \leftarrow 1, n$  execută
4:    $m \leftarrow 2^s$ 
5:    $\omega_m \leftarrow e^{2\pi i/m}$ 
6:    $\omega \leftarrow 1$ 
7:   pentru  $j \leftarrow 0, m/2 - 1$  execută
8:     pentru  $k \leftarrow j, n - 1, m$  execută
9:        $t \leftarrow \omega A[k + j + m/2]$ 
10:       $u \leftarrow A[k]$ 
11:       $A[k] \leftarrow u + t$ 
12:       $A[k + m/2] \leftarrow u - t$ 
13:      $\omega \leftarrow \omega \omega_m$ 
14:   returnează  $A$ 
```

Cum mută COPIERE-INVERSĂ-BITI elementele din vectorul de intrare  $a$  în ordinea dorită în tabloul  $A$ ? Ordinea în care frunzele apar în figura 32.4 este “ordinea binară inversă a bitilor”. Adică, dacă  $\text{rev}(k)$  este întregul de lungime  $\lg n$  format prin considerarea în ordine inversă a bitilor din reprezentarea binară a lui  $k$ , atunci vom pune elementul  $a_k$  în locul lui  $A[\text{rev}(k)]$ .

De exemplu, în figura 32.4, frunzele apar în ordinea 0, 4, 2, 6, 1, 5, 3, 7; această secvență are reprezentările binare 000, 100, 010, 110, 001, 101, 011, 111, iar cu biții inversați obținem secvența 000, 001, 010, 011, 100, 101, 110, 111. Pentru a argumenta că, într-adevăr, dorim, în general, ordinea inversă a biților, să observăm că, la nivelul de sus al arborelui, indicii al căror bit de ordinul cel mai mic este zero sunt plasate în subarborele stâng, iar cei al căror bit mai puțin semnificativ este 1 sunt plasate în cel drept. Înlăturând biții de ordinul cel mai mic la fiecare nivel, continuăm acest proces în jos până când obținem ordinea binară inversă în frunze. Deoarece funcția  $\text{rev}(k)$  se calculează ușor, procedura COPIERE-INVERSĂ-BIȚI poate fi scrisă după cum urmează:

**COPIERE-INVERSĂ-BIȚI( $a, A$ )**

- 1:  $n \leftarrow \text{lungime}[a]$
- 2: **pentru**  $k = 0, n - 1$  **execută**
- 3:    $A[\text{rev}(k)] \leftarrow a_k$

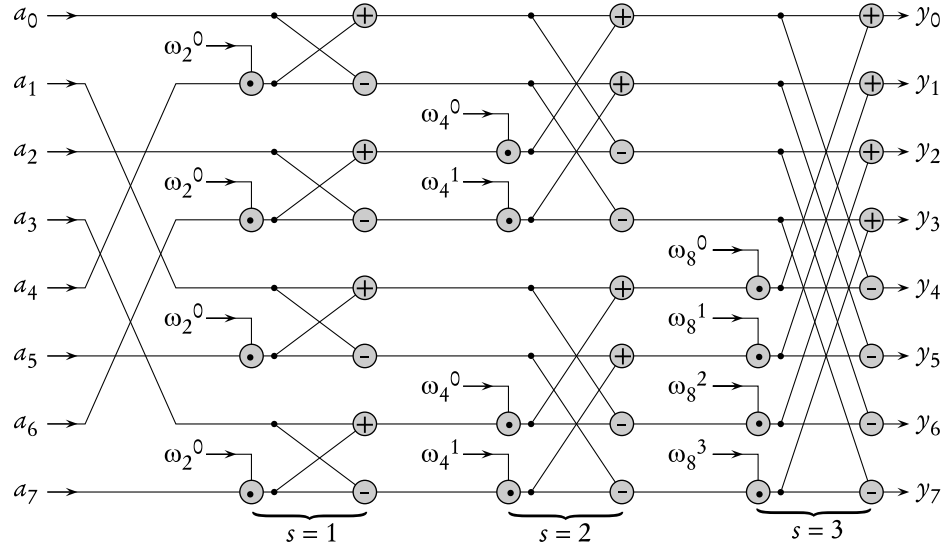
Implementarea iterativă a TFR se execută într-un timp  $\Theta(n \lg n)$ . Apelul procedurii COPIERE-INVERSĂ-BIȚI( $a, A$ ) se execută sigur în timp  $O(n \lg n)$ , deoarece iterăm de  $n$  ori și putem oglindii (inversa) biții unui întreg între 0 și  $n - 1$  cu  $\lg n$  biți în timp  $O(\lg n)$ . (În practică, cunoaștem valoarea inițială a lui  $n$  dinainte, aşa că putem construi o tabelă care să pună în corespondență  $k$  cu  $\text{rev}(k)$ , și astfel COPIERE-INVERSĂ-BIȚI se execută în timp  $\Theta(n)$  cu o constantă ascunsă (*i.e.* conținută în notația asymptotică) mică. Ca alternativă, putem utiliza o schemă amortizată inteligentă de inversare a unui contor binar, descrisă în problema 18-1. Pentru a încheia demonstrația că TFR-ITERATIVĂ se execută în timp  $\Theta(n \lg n)$ , vom arăta că numărul  $L(n)$  de execuții ale corpului ciclului celui mai interior (liniile 9–12), este  $\Theta(n \lg n)$ . Avem:

$$L(n) = \sum_{s=1}^{\lg n} \sum_{j=0}^{2^{s-1}-1} \frac{n}{2^s} = \sum_{s=1}^{\lg n} \frac{n}{2^s} \cdot 2^{s-1} = \sum_{s=1}^{\lg n} \frac{n}{2} = \Theta(n \lg n).$$

## Un circuit paralel pentru TFR

Putem exploata multe dintre proprietățile care ne permit să implementăm un algoritm TFR iterativ eficient pentru a produce un algoritm paralel eficient pentru TFR. (Pentru descrierea unui model de circuit combinațional, vezi capitolul 29.) Circuitul combinațional TFR-PARALELĂ care calculează TFR a  $n$  intrări, pentru  $n = 8$ , apare în figura 32.5. Circuitul începe cu o permutare prin inversarea biților intrării, urmată de  $\lg n$  stadii, fiecare constând din  $n/2$  operații fluture executate în paralel. Adâncimea circuitului este  $\Theta(\lg n)$ .

Partea cea mai din stânga a circuitului TFR-PARALELĂ realizează permutarea prin inversarea biților, iar restul imită procedura iterativă BAZA-TFR. Vom profita de avantajul că fiecare iterație a celui mai exterior ciclu **pentru** (liniile 3–12) realizează  $n/2$  operații fluture independente care pot fi executate în paralel. Valoarea lui  $s$  din fiecare iterație din interiorul BAZA-TFR corespunde stadiului operațiilor fluture ilustrate în figura 32.5. În interiorul stadiului  $s$ , pentru  $s = 1, 2, \dots, \lg n$ , există  $n/2^s$  grupuri de operații fluture (corespunzând fiecărei valori a lui  $k$  din BAZA-TFR) cu  $2^{s-1}$  fluturi pe grup (corespunzând fiecărei valori a lui  $j$  din BAZA-TFR). Operațiile fluture din figura 32.5 corespund operațiilor fluture din ciclul cel mai interior (liniile 8–11 ale procedurii BAZA-TFR). De notat, de asemenea, că valorile lui  $\omega$  utilizate în operații fluture corespund celor din BAZA-TFR; în stadiul  $s$  utilizăm  $\omega_m^0, \omega_m^1, \dots, \omega_m^{m/2-1}$ , unde  $m = 2^s$ .



**Figura 32.5** Un circuit combinațional TFR-PARALELĂ care calculează TFR, ilustrat pentru  $n = 8$  intrări. Stadiile operațiilor fluture sunt etichetate pentru a corespunde ciclului celui mai exterior al procedurii BAZA-TFR. O TFR pentru  $n$  intrări poate fi calculată cu adâncimea  $\Theta(\lg n)$ , folosind  $\Theta(n \lg n)$  elemente combinaționale.

### Exerciții

**32.3-1** Arătați cum calculează TFR-ITERATIVĂ TFD a vectorului de intrare  $(0,2,3,-1,4,5,7,9)$ .

**32.3-2** Arătați cum se implementează un algoritm TFR în care permutarea prin inversarea biștilor să apară la sfârșitul calculului, în loc să apară la început. (*Indica ie:* considerați TFD inversă).

**32.3-3** Câte elemente de adunare, scădere și înmulțire sunt necesare în circuitul TFR-PARALELĂ descris în această secțiune, pentru a calcula  $\text{TFD}_n$  (presupunem că este nevoie numai de un fir pentru a duce un număr dintr-un loc în altul)?

**32.3-4 \*** Presupunem că sumatorii dintr-un circuit TFR uneori greșesc într-un mod care produce, întotdeauna, o ieșire 0 indiferent de intrare. Presupunem că greșește exact un sumator, dar că nu știm care anume. Descrieți modul în care se poate identifica sumatorul defect, furnizând intrări circuitului TFR global și observând ieșirile. Încercați să realizati o procedură eficientă.

## Probleme

### 32-1 Înmulțire divide și stăpânește

- a. Arătați cum se pot înmulții două polinoame de grad I  $ax + b$  și  $cx + d$ , utilizând numai trei înmulțiri. (Indica ie: una dintre înmulțiri este  $(a + b)(c + d)$ .)
- b. Dați doi algoritmi divide și stăpânește pentru înmulțirea a două polinoame cu limita de grad  $n$  care se execută în timp  $\Theta(n^{\lg 3})$ . Primul algoritm ar putea împărți coeficienții polinoamelor de intrare într-o jumătate stângă și una dreaptă, iar cel de-al doilea după cum indicele lor este par sau impar.
- c. Arătați că doi întregi de  $n$  biți pot fi înmulțiti în  $O(n^{\lg 3})$  pași, unde fiecare pas operează pe cel mult un număr constant de valori de un bit.

### 32-2 Matrice Toeplitz

O matrice **Toeplitz** este o matrice de dimensiune  $n \times n$ ,  $A = (a_{ij})$ , astfel încât  $a_{ij} = a_{i-1,j-1}$  pentru  $i = 2, 3, \dots, n$  și  $j = 2, 3, \dots, n$ .

- a. Este suma a două matrice Toeplitz, în mod necesar, o matrice Toeplitz? Ce se poate spune despre produs?
- b. Descrieți un mod de reprezentare a matricelor Toeplitz, astfel ca două matrice Toeplitz  $n \times n$  să poată fi adunate în timp  $O(n)$ .
- c. Dați un algoritm în timp  $O(n \lg n)$  de înmulțire a unei matrice Toeplitz cu un vector de lungime  $n$ . Utilizați reprezentarea din partea (b).
- d. Dați un algoritm eficient de înmulțire a două matrice Toeplitz de dimensiune  $n \times n$ . Analizați timpul său de execuție.

### 32-3 Evaluarea tuturor derivatelor unui polinom într-un punct

Fie un polinom  $A(x)$  cu limita de grad  $n$  și derivata sa de ordinul  $t$  este definită prin

$$A^{(t)}(x) = \begin{cases} A(x) & \text{dacă } t = 0 \\ \frac{d}{dx} A^{(t-1)}(x) & \text{dacă } 1 \leq t \leq n-1 \\ 0 & \text{dacă } t \geq n. \end{cases}$$

Dându-se reprezentarea prin coeficienți  $(a_0, a_1, \dots, a_{n-1})$  a lui  $A(x)$  și un punct  $x_0$ , dorim să determinăm  $A^{(t)}(x_0)$  pentru  $t = 0, 1, \dots, n-1$ .

- a. Fie coeficienții  $b_0, b_1, \dots, b_{n-1}$ , astfel încât

$$A(x) = \sum_{j=0}^{n-1} b_j (x - x_0)^j.$$

Arătați cum se calculează  $A^{(t)}(x_0)$ , pentru  $t = 0, 1, \dots, n-1$ , în timp  $O(n)$ .

- b.** Explicați cum putem găsi  $b_0, b_1, \dots, b_{n-1}$  în timp  $O(n \lg n)$ , dându-se  $A(x_0 + \omega_n^k)$ , pentru  $k = 0, 1, \dots, n - 1$ .
- c.** Demonstrați că

$$A(x_0 + \omega_n^k) = \sum_{i=0}^{n-1} \left( \frac{\omega_n^{kr}}{r!} \sum_{j=0}^{n-1} f(j)g(r-j) \right),$$

unde  $f(j) = a_j \cdot j!$  și

$$g(l) = \begin{cases} x_0^{-l}/(-l)! & \text{dacă } -(n-1) \leq l \leq 0 \\ 0 & \text{dacă } 1 \leq l \leq n-1. \end{cases}$$

- d.** Explicați cum se poate evalua  $A(x_0 + \omega_n^k)$  pentru  $k = 0, 1, \dots, n - 1$  în timp  $O(n \lg n)$ .

#### 32-4 Evaluarea polinoamelor în puncte multiple

Am văzut că problema evaluării unui polinom cu limita de grad  $n - 1$  poate fi rezolvată în timp  $O(n)$ , utilizând schema lui Horner. Am descoperit, de asemenea, că un astfel de polinom poate fi evaluat în toate cele  $n$  rădăcini complexe de ordinul  $n$  ale unității în timp  $O(n \lg n)$  utilizând TFR. Vom vedea cum putem să evaluăm un polinom cu limita de grad  $n$  în  $n$  puncte arbitrarе în timp  $O(n \lg^2 n)$ .

Pentru aceasta, vom utiliza faptul că putem calcula polinomul rest al împărțirii unui polinom la altul în timp  $O(n \lg n)$ , rezultat pe care îl vom accepta fără demonstrație. De exemplu, restul împărțirii lui  $3x^3+x^2-3x+1$  la  $x^2+x+2$  este  $(3x^3+x^2-3x+1) \bmod (x^2+x+2) = -7x+5$ . Dându-se reprezentarea prin coeficienți a unui polinom  $A(x) = \sum_{k=0}^{n-1} a_k x^k$  și  $n$  puncte  $x_0, x_1, \dots, x_{n-1}$ , dorim să calculăm  $n$  valori  $A(x_0), A(x_1), \dots, A(x_{n-1})$ . Pentru  $0 \leq i \leq j \leq n - 1$ , definim polinoamele  $P_{ij}(x) = \prod_{k=i}^j (x - x_k)$  și  $Q_{ij}(x) = A(x) \bmod P_{ij}(x)$ . De notat că  $Q_{ij}(x)$  are limita de grad cel mult  $j - i$ .

- a.** Demonstrați că  $A(x) \bmod (x - z) = A(z)$  pentru orice punct  $z$ .
- b.** Demonstrați că  $Q_{kk}(x) = A(x_k)$  și că  $Q_{0,n-1}(x) = A(x)$ .
- c.** Demonstrați că, pentru  $i \leq k \leq j$ , avem  $Q_{ik}(x) = Q_{ij}(x) \bmod P_{ik}(x)$  și  $Q_{kj}(x) = Q_{ij}(x) \bmod P_{kj}(x)$ .

- d.** Dați un algoritm în timp  $O(n \lg^2 n)$  pentru a evalua  $A(x_0), A(x_1), \dots, A(x_{n-1})$ .

#### 32-5 TFR utilizând aritmetică modulară

Așa cum s-a definit, transformata Fourier discretă necesită utilizarea numerelor complexe, ceea ce poate conduce la o pierdere de precizie datorată erorilor de rotunjire. Pentru anumite probleme, se știe că răspunsul conține doar numere întregi și este de dorit să utilizăm o variantă a TFR bazată pe aritmetică modulară pentru a garanta că răspunsul este calculat exact. Un exemplu de astfel de problemă este aceea a înmulțirii a două polinoame cu coeficienți numere întregi. Exercițiul 32.2-6 dă o astfel de abordare ce utilizează un modul de lungime  $\Omega(n)$  biți pentru a realiza o TFD pe  $n$  puncte. Această problemă oferă o altă abordare care utilizează un modul de lungime rezonabilă  $O(\lg n)$ ; ea necesită înțelegerea materialului din capitolul 33. Fie  $n$  o putere a lui 2.

- a.** Să presupunem că dorim să căutăm cel mai mic  $k$ , astfel ca  $p = kn + 1$  să fie prim. Vom da un argument heuristic simplu, care justifică de ce ne așteptăm ca valoarea lui  $k$  să fie aproximativ  $\lg n$ . (Valoarea lui  $k$  ar putea fi mult mai mare sau mult mai mică, dar este rezonabil să examinăm candidatul  $O(\lg n)$  ca valoare a lui  $k$  în medie.) Cum ne așteptăm să fie lungimea lui  $p$  comparativ cu lungimea lui  $n$ ?

Fie  $g$  un generator al lui  $\mathbb{Z}_p^*$  și fie  $w = g^k \bmod p$ .

- b.** Argumentați că TFD și inversa TFD sunt operații bine definite modulo  $p$ , unde  $w$  este utilizată ca rădăcină principală de ordinul  $n$  a unității.
- c.** Argumentați că TFR și inversa sa pot fi făcute să lucreze modulo  $p$  în timp  $O(n \lg n)$ , unde operațiile pe cuvinte de lungime  $O(\lg n)$  durează o unitate de timp. Presupunem că algoritmul primește la intrare  $p$  și  $w$ .
- d.** Calculați TFD modulo  $p = 17$  a vectorului  $(0, 5, 3, 7, 7, 2, 1, 6)$ . De notat că  $g = 3$  este un generator al lui  $\mathbb{Z}_{17}^*$ .

## Note bibliografice

Press, Flannery, Teukolsky și Vetterling [161, 162] conține o bună descriere a transformatei Fourier rapide și a aplicațiilor sale. Pentru o excelentă introducere în prelucrarea semnalelor, o aplicație binecunoscută și răspândită a domeniului TFR, recomandăm textul lui Oppenheim și Willsky [153].

Mulți autori atribuie lui Cooley și Tukey [51] descoperirea TFR prin anii '60. De fapt, TFR a fost descoperită cu mult timp înainte, dar importanța sa nu a fost pe deplin înțeleasă înaintea apariției calculatoarelor numerice moderne. Press, Flannery, Teukolsky și Vetterling atribuie originile metodei lui Runge și König (1924).

---

## 33 Algoritmi din teoria numerelor

Teoria numerelor a fost cândva considerată ca fiind un subiect frumos, dar fără a avea o mare valoare în matematica pură. Astăzi, algoritmii din teoria numerelor se utilizează des, datorită, în mare parte, inventării schemelor criptografice bazate pe numere prime mari. Flexibilitatea acestor scheme rezidă în abilitatea noastră de a găsi ușor numere prime mari, în timp ce securitatea lor rezidă în imposibilitatea noastră de a factoriza produsul de numere prime mari. Acest capitol prezintă unele aspecte ale teoriei numerelor și algoritmii asociați care stau la baza unor astfel de aplicații.

În secțiunea 33.1 se introduc concepțele de bază din teoria numerelor, cum ar fi divizibilitatea, echivalența modulară și factorizarea unică. În secțiunea 33.2 se studiază unul dintre cei mai vechi algoritmi: algoritmul lui Euclid pentru calculul celui mai mare divizor comun a doi întregi. În secțiunea 33.3 se revăd concepțele aritmetice modulare. În secțiunea 33.4 se studiază mulțimea multiplilor unui număr dat  $a$ , modulo  $n$  și se arată cum se găsesc toate soluțiile ecuației  $ax \equiv b \pmod{n}$  utilizând algoritmul lui Euclid. Teorema chinezescă a restului este prezentată în secțiunea 33.5. În secțiunea 33.6 se consideră puterile modulo  $n$  ale unui număr dat  $a$  și se prezintă un algoritm de ridicare repetată la pătrat pentru calculul eficient al lui  $a^b \pmod{n}$ , când  $a, b$  și  $n$  sunt date. Această operație se află la baza testului eficient al numerelor prime. Secțiunea 33.7 descrie sistemul de criptare RSA cu cheie publică. În secțiunea 33.8 se descrie o randomizare a testului de număr prim care poate fi utilizată pentru a găsi eficient numere prime mari, ceea ce este o sarcină esențială în crearea cheilor pentru sistemul de criptare RSA. În final, secțiunea 33.9 trece în revistă o metodă euristică simplă, dar eficientă pentru factorizarea întregilor mici. Este neobișnuit faptul că factorizarea este o problemă pe care unii oameni ar dori-o de nerezolvat, deoarece securitatea RSA depinde de dificultățile de factorizare ale întregilor mari.

### Dimensiunea intrărilor și costul calculelor aritmetice

Deoarece vom lucra cu numere întregi mari, avem nevoie să ne formăm anumite idei privind dimensiunea unei intrări și costul operațiilor aritmetice elementare.

În acest capitol, prin “intrare mare”, de obicei, se înțelege o intrare care conține “întregi mari” și nu o intrare care conține “multă întregi” (ca în cazul sortării). Astfel, vom măsura dimensiunea unei intrări în termenii *num rului de bi* i necesari pentru a reprezenta acea intrare și nu doar în numărul de întregi de la intrare. Un algoritm având ca date de intrare numerele întregi  $a_1, a_2, \dots, a_k$  este un **algoritm polinomial** dacă se execută într-un timp polinomial în  $\lg a_1, \lg a_2, \dots, \lg a_k$ , adică în timp polinomial în lungimile datelor de intrare codificate binar.

În majoritatea situațiilor din această carte, am considerat că este convenabil să tratăm operațiile aritmetice elementare (înmulțiri, împărțiri sau calculul resturilor) ca operații primitive care necesită un timp de o unitate. Calculând numărul de operații aritmetice în acest fel, avem o bază pentru a face o estimare rezonabilă a timpului real de execuție al algoritmului pe calculator. Operațiile elementare pot fi consumatoare de timp, mai ales când intrările sunt mari. Devine convenabil să măsurăm cât de multe **operații pe biți** necesită un algoritm de teoria numerelor. În acest mod, o înmulțire a două numere întregi reprezentate pe  $\beta$  biți, prin metode obișnuite, utilizează  $\Theta(\beta^2)$  operații pe biți. Similar, operația de împărțire a unui întreg reprezentat pe  $\beta$  biți printr-un întreg mai scurt sau operația de calcul a restului împărțirii unui întreg reprezentat

pe  $\beta$  biți la un întreg mai scurt, poate fi făcută într-un timp  $\Theta(\beta^2)$  prin algoritmi simpli (vezi exercițiul 33.1-11). Sunt cunoscute metode mai rapide. De exemplu, o metodă simplă divide și stăpânește pentru înmulțirea a doi întregi reprezentați pe  $\beta$  biți are un timp de execuție de  $\Theta(\beta \lg_2^3)$ , iar cea mai rapidă metodă cunoscută are un timp de execuție de  $\Theta(\beta \lg \beta \lg \lg \beta)$ . Din motive practice, totuși algoritmul cu timpul  $\Theta(\beta^2)$  este cel mai bun și vom folosi această limită ca o bază pentru analiza noastră.

În acest capitol, algoritmii sunt, în general, analizați atât în termenii numărului de operații aritmetice cât și ai numărului de operații pe biți pe care le necesită.

### 33.1. Noțiuni elementare de teoria numerelor

Această secțiune permite o scurtă trecere în revistă a noțiunilor din teoria elementară a numerelor privind mulțimea numerelor întregi  $\mathbb{Z} = \{\dots, -2, -1, 0, 1, 2, \dots\}$  și mulțimea numerelor naturale  $\mathbb{N} = \{0, 1, 2, \dots\}$ .

#### Divizibilitate și divizori

Noțiunea ca un întreg să fie divizibil cu un altul este de bază în teoria numerelor. Notația  $d | a$  (se citește “ $d$  **divide pe**  $a$ ”) înseamnă că  $a = kd$  pentru un anumit întreg  $k$ . Orice întreg divide pe 0. Dacă  $a > 0$  și  $d | a$ , atunci  $|d| \leq |a|$ . Dacă  $d | a$ , mai spunem că  $a$  este **multiplu** al lui  $d$ . Dacă  $d$  nu divide pe  $a$ , vom scrie  $d \nmid a$ .

Dacă  $d | a$  și  $d \geq 0$ , spunem că  $d$  este un **divizor** al lui  $a$ . Să observăm că  $d | a$  dacă și numai dacă  $-d | a$ , așa că nu se pierde din generalitate dacă definim divizorii ca fiind nenegativi, înțelegând că negativul oricărui divizor al lui  $a$  este, de asemenea, divizor al lui  $a$ . Un divizor al unui întreg  $a$  este cel puțin 1 și nu este mai mare dacă  $|a|$ . De exemplu, divizorii lui 24 sunt 1, 2, 3, 4, 6, 8, 12 și 24.

Orice întreg  $a$  este divizibil prin **divizorii triviali** 1 și  $a$ . Divizorii proprii ai lui  $a$  se numesc **factori**. De exemplu, factorii lui 20 sunt 2, 4, 5 și 10.

#### Numere prime și compuse

Un întreg  $a > 1$  ai cărui divizori sunt numai divizorii triviali 1 și  $a$  se spune că este un număr **prim** (sau mai simplu un **prim**). Numerele prime au multe proprietăți speciale și joacă un rol critic în teoria numerelor. Numerele prime mici sunt, în ordine:

$$2, 3, 5, 7, 11, 13, 17, 19, 23, 29, 31, 37, 41, 43, 47, 53, 59, \dots$$

Exercițiul 33.1-1 cere să se demonstreze că există o infinitate de numere prime. Un întreg  $a > 1$  care nu este prim este un **număr compus** (sau mai simplu **compus**). De exemplu, 39 este compus deoarece  $3 | 39$ . Se spune că întregul 1 este o **unitate** și nu este nici prim și nici compus. Similar, întregul 0 și toți întregii negativi nu sunt nici primi și nici compuși.

#### Teorema împărțirii, resturi și echivalență modulară

Dacă se dă un întreg  $n$ , întregii pot fi partionati în întregi care sunt multipli de  $n$  și cei care nu sunt multipli de  $n$ . Teoria numerelor se bazează pe o rafinare a acestei partionări obținută

prin clasificarea nemultiplilor lui  $n$  potrivit resturilor lor când sunt împărțiți la  $n$ . Această rafinare se bazează pe următoarea teoremă. Demonstrația ei nu va fi dată aici (vezi, de exemplu, Niven și Zuckerman [151]).

**Teorema 33.1 (Teorema împărțirii)** Pentru orice întreg  $a$  și orice întreg pozitiv  $n$ , există  $q$  și  $r$  unici, astfel încât  $0 \leq r < n$  și  $a = qn + r$ . ■

Valoarea  $q = \lfloor a/n \rfloor$  este **câtul** împărțirii. Valoarea  $r = a \bmod n$  este **restul** (sau **reziduul**) împărțirii.  $n \mid a$  dacă și numai dacă  $a \bmod n = 0$ . Rezultă că

$$a = \lfloor a/n \rfloor n + (a \bmod n) \quad (33.1)$$

sau

$$a \bmod n = a - \lfloor a/n \rfloor n. \quad (33.2)$$

Având noțiunea de rest bine definită, este convenabil să furnizăm o notație specială pentru a indica egalitatea resturilor. Dacă  $(a \bmod n) = (b \bmod n)$ , vom scrie  $a \equiv b \pmod{n}$  și vom spune că  $a$  este **echivalent** cu  $b$ , modulo  $n$ . Cu alte cuvinte,  $a \equiv b \pmod{n}$  dacă și b au același rest la împărțirea cu  $n$ . Echivalent,  $a \equiv b \pmod{n}$  dacă și numai dacă  $n \mid (b - a)$ . Scriem  $a \not\equiv b \pmod{n}$  dacă  $a$  nu este echivalent cu  $b$  modulo  $n$ . De exemplu,  $61 \equiv 6 \pmod{11}$ . De asemenea,  $-13 \equiv 22 \equiv 2 \pmod{5}$ .

Întregii pot fi împărțiți în  $n$  clase de echivalență potrivit resturilor lor modulo  $n$ . **Clasa de echivalență modulo  $n$**  care conține un întreg  $a$  este

$$[a]_n = \{a + kn : k \in \mathbb{Z}\}.$$

De exemplu,  $[3]_7 = \{\dots, -11, -4, 3, 10, 17, \dots\}$ ; alte notații pentru această mulțime sunt  $[-4]_7$  și  $[10]_7$ . Scrierea  $a \in [b]_n$  reprezintă același lucru ca scrierea  $a \equiv b \pmod{n}$ . Mulțimea tuturor acestor clase de echivalență este

$$\mathbb{Z}_n = \{[a]_n : 0 \leq a \leq n - 1\}. \quad (33.3)$$

Adesea se folosește definiția

$$\mathbb{Z}_n = \{0, 1, \dots, n - 1\}, \quad (33.4)$$

care ar trebui citită ca fiind echivalentă cu relația (33.3), subînțelegând că 0 reprezintă  $[0]_n$ , 1 reprezintă  $[1]_n$  și aşa mai departe; fiecare clasă este reprezentată prin cel mai mic element nenegativ. Fundamentul claselor de echivalență trebuie, totuși reținut. De exemplu, o referire la  $-1$  ca membru al lui  $\mathbb{Z}_n$  este o referire la  $[n - 1]_n$  deoarece  $-1 \equiv n - 1 \pmod{n}$ .

## Divizori comuni și cel mai mare divizor comun

Dacă  $d$  este un divizor al lui  $a$  și al lui  $b$ , atunci  $d$  este un **divizor comun** al lui  $a$  și  $b$ . De exemplu, divizorii lui 30 sunt 1, 2, 3, 5, 6, 10, 15 și 30, divizorii comuni ai lui 24 și 30 sunt 1, 2, 3 și 6. Să observăm că 1 este un divizor comun pentru orice doi întregi.

O proprietate importantă a divizorilor comuni este

$$d \mid a \text{ și } d \mid b \text{ implică } d \mid (a + b) \text{ și } d \mid (a - b). \quad (33.5)$$

Mai general, avem

$$d \mid a \text{ și } d \mid b \text{ implică } d \mid (ax + by) \quad (33.6)$$

pentru orice întregi  $x$  și  $y$ . Dacă  $a \mid b$ , atunci sau  $|a| \leq |b|$  sau  $b = 0$ , ceea ce implică faptul că

$$a \mid b \text{ și } b \mid a \text{ implică } a = \pm b. \quad (33.7)$$

**Cel mai mare divizor comun** a doi întregi  $a$  și  $b$ , nu ambii nuli, este cel mai mare dintre divizorii comuni ai lui  $a$  și  $b$ ; se notează cu  $\text{cmmdc}(a, b)$ . De exemplu,  $\text{cmmdc}(24, 30) = 6$ ,  $\text{cmmdc}(5, 7) = 1$  și  $\text{cmmdc}(0, 9) = 9$ . Dacă  $a$  și  $b$  nu sunt ambii nuli, atunci  $\text{cmmdc}(a, b)$  este un întreg între 1 și  $\min(|a|, |b|)$ . Prin definiție,  $\text{cmmdc}(0, 0) = 0$ . Această definiție este necesară pentru a putea standardiza proprietățile funcției  $\text{cmmdc}$  (cum ar fi relația (33.11) de mai jos).

Proprietățile elementare ale funcției  $\text{cmmdc}$  sunt:

$$\text{cmmdc}(a, b) = \text{cmmdc}(b, a), \quad (33.8)$$

$$\text{cmmdc}(a, b) = \text{cmmdc}(-a, b), \quad (33.9)$$

$$\text{cmmdc}(a, b) = \text{cmmdc}(|a|, |b|), \quad (33.10)$$

$$\text{cmmdc}(a, 0) = |a|, \quad (33.11)$$

$$\text{cmmdc}(a, ka) = |a| \text{ pentru orice } k \in \mathbb{Z}. \quad (33.12)$$

**Teorema 33.2** Dacă  $a$  și  $b$  sunt întregi, nu ambii nuli, atunci  $\text{cmmdc}(a, b)$  este cel mai mic element pozitiv al mulțimii  $\{ax + by : x, y \in \mathbb{Z}\}$  de combinații liniare ale lui  $a$  și  $b$ .

**Demonstrație.** Fie  $s$  o cea mai mică (pozitivă) combinație liniară între  $a$  și  $b$ , astfel încât  $s = ax + by$  pentru  $x, y \in \mathbb{Z}$ . Fie  $q = \lfloor a/s \rfloor$ . Relația 33.2 implică

$$a \bmod s = a - qs = a - q(ax + by) = a(1 - qx) + b(-qy).$$

astfel,  $a \bmod s$  este o combinație liniară a lui  $a$  și  $b$ . Dar, întrucât  $a \bmod s < s$ , avem  $a \bmod s = 0$ , deoarece  $s$  este cea mai mică astfel de combinație liniară pozitivă. De aceea,  $s \mid a$  și, din motive analoge,  $s \mid b$ . Astfel,  $s$  este un divizor comun al lui  $a$  și  $b$  și  $\text{cmmdc}(a, b) \geq s$ . Ecuația (33.6) implică faptul că  $\text{cmmdc}(a, b) \mid s$  deoarece  $\text{cmmdc}(a, b)$  divide atât pe  $a$  cât și pe  $b$  și  $s$  este o combinație liniară a lui  $a$  și  $b$ . Dar  $\text{cmmdc}(a, b) \mid s$  și  $s > 0$  implică faptul că  $\text{cmmdc}(a, b) \leq s$ . Combinând  $\text{cmmdc}(a, b) \geq s$  și  $\text{cmmdc}(a, b) \leq s$ , obținem  $\text{cmmdc}(a, b) = s$ ; concluzionăm că  $s$  este cel mai mare divizor comun al lui  $a$  și  $b$ . ■

**Corolarul 33.3** Pentru orice întregi  $a$  și  $b$ , dacă  $d \mid a$  și  $d \mid b$ , atunci  $d \mid \text{cmmdc}(a, b)$ .

**Demonstrație.** Acest corolar rezultă din (33.6), deoarece  $\text{cmmdc}(a, b)$  este o combinație liniară a lui  $a$  și  $b$  conform teoremei 33.2. ■

**Corolarul 33.4** Pentru orice întregi  $a$  și  $b$  și orice întreg  $n$  nenegativ,

$$\text{cmmdc}(an, bn) = n \text{ cmmdc}(a, b).$$

**Demonstrație.** Dacă  $n = 0$ , corolarul este trivial. Dacă  $n > 0$ , atunci  $\text{cmmdc}(an, bn)$  este cel mai mic element pozitiv al mulțimii  $\{anx + bny\}$ , care este de  $n$  ori cel mai mic element pozitiv al mulțimii  $\{ax + by\}$ . ■

**Corolarul 33.5** Pentru orice numere întregi pozitive  $n, a$  și  $b$ , dacă  $n \mid ab$  și  $\text{cmmdc}(a, n) = 1$ , atunci  $n \mid b$ .

**Demonstrație.** Demonstrația este lăsată pe seama cititorului (exercițiul 33.1-4). ■

## Întregi relativ primi

Două numere întregi  $a, b$  sunt **relativ prime** dacă singurul lor divizor comun este 1, adică, dacă  $\text{cmmdc}(a, b) = 1$ . De exemplu, 8 și 15 sunt relativ prime, deoarece divizorii lui 8 sunt 1, 2, 4 și 8, în timp ce divizorii lui 15 sunt 1, 3, 5 și 15. Teorema următoare afirmă că, dacă două numere întregi sunt fiecare relativ prime cu un întreg  $p$ , atunci produsul lor este relativ prim cu  $p$ .

**Teorema 33.6** Pentru orice numere întregi  $a, b$  și  $p$ , dacă  $\text{cmmdc}(a, p) = 1$  și  $\text{cmmdc}(b, p) = 1$ , atunci  $\text{cmmdc}(ab, p) = 1$ .

**Demonstrație.** Din teorema 33.2 rezultă că există înumerele întregi  $x, y, x'$  și  $y'$ , astfel încât

$$ax + py = 1,$$

$$bx' + py' = 1.$$

Înmulțind aceste ecuații și rearanjându-le, avem

$$ab(xx') + p(ybx' + y'ax + pyy') = 1.$$

Întrucât 1 este o combinație liniară a lui  $ab$  și  $p$ , un apel la teorema 33.2 completează demonstrația. ■

Spunem că înumerele întregi  $n_1, n_2, \dots, n_k$  sunt **relativ prime două câte două** dacă, ori de câte ori  $i \neq j$ , avem  $\text{cmmdc}(n_i, n_j) = 1$ .

## Unicitatea factorizării

Un fapt elementar, dar important, despre divizibilitatea cu numere prime este următoarea teoremă.

**Teorema 33.7** Pentru toate numerele prime  $p$  și toți întregii  $a, b$ , dacă  $p \mid ab$ , atunci  $p \mid a$  sau  $p \mid b$ .

**Demonstrație.** Presupunem prin absurd că  $p \mid ab$  dar  $p \nmid a$  și  $p \nmid b$ . Atunci,  $\text{cmmdc}(a, p) = 1$  și  $\text{cmmdc}(b, p) = 1$ , deoarece singurii divizori ai lui  $p$  sunt 1 și  $p$ , iar prin ipoteză  $p$  nu divide nici pe  $a$  nici pe  $b$ . Teorema 33.6 implică faptul că  $\text{cmmdc}(ab, p) = 1$ , contrazicând ipoteza că  $p \mid ab$ , deoarece  $p \mid ab$  implică  $\text{cmmdc}(ab, p) = p$ . Această contradicție încheie demonstrația. ■

O consecință a teoremei 33.7 este faptul că un număr întreg are o factorizare unică în numere prime.

**Teorema 33.8 (Unicitatea factorizării)** Un întreg compus  $a$  poate fi scris exact într-un singur mod ca produs de forma

$$a = p_1^{e_1} p_2^{e_2} \cdots p_r^{e_r}$$

unde  $p_i$  sunt prime,  $p_1 < p_2 < \cdots < p_r$ , iar  $e_i$  sunt numere întregi pozitive.

**Demonstrație.** Demonstrația este lăsată pe seama cititorului (exercițiul 33.1-10). ■

Ca un exemplu, numărul 6000 poate fi factorizat în mod unic astfel  $2^4 \cdot 3 \cdot 5^3$ .

## Exerciții

**33.1-1** Demonstrați că există o infinitate de numere prime. (*Indica ie:* se va arăta că nici unul din numerele prime  $p_1, p_2, \dots, p_k$  nu divide  $(p_1 p_2 \cdots p_k) + 1$ .)

**33.1-2** Demonstrați că, dacă  $a | b$  și  $b | c$ , atunci  $a | c$ .

**33.1-3** Demonstrați că, dacă  $p$  este prim și  $0 < k < p$ , atunci  $\text{cmmdc}(k, p) = 1$ .

**33.1-4** Demonstrați corolarul 33.5.

**33.1-5** Demonstrați că, dacă  $p$  este prim și  $0 < k < p$ , atunci  $p | \binom{p}{k}$ . Să se concluzioneze că, pentru orice numere întregi  $a, b$  și orice număr prim  $p$ ,

$$(a + b)^p \equiv a^p + b^p \pmod{p}.$$

**33.1-6** Demonstrați că, oricare ar fi  $a$  și  $b$  numere întregi astfel încât  $a | b$  și  $b > 0$ , atunci

$$(x \bmod b) \bmod a = x \bmod a$$

pentru orice  $x$ . Demonstrați, în aceleași ipoteze, că

$$x \equiv y \pmod{b} \text{ implică } x \equiv y \pmod{a}$$

pentru orice numere întregi  $x$  și  $y$ .

**33.1-7** Pentru orice număr întreg  $k > 0$ , spunem că  $n$  este o  **$k$  putere** dacă există un număr întreg  $a$ , astfel încât  $a^k = n$ . Spunem că  $n > 1$  este o **putere nevidă** dacă el este o  $k$  putere pentru un anumit număr întreg  $k > 1$ . Arătați cum se determină, într-un timp polinomial în  $\beta$ , dacă un număr întreg dat  $n$  reprezentat pe  $\beta$  biți este o putere nevidă.

**33.1-8** Demonstrați relațiile (33.8)–(33.12).

**33.1-9** Arătați că operatorul cmmdc este asociativ. Adică, trebuie să arătați că, pentru orice numere întregi  $a, b$  și  $c$ ,

$$\text{cmmdc}(a, \text{cmmdc}(b, c)) = \text{cmmdc}(\text{cmmdc}(a, b), c).$$

**33.1-10** \* Demonstrați teorema 33.8.

**33.1-11** Dați algoritmi eficienți pentru împărțirea unui număr întreg reprezentat pe  $\beta$  biți la un număr întreg mai mic și pentru determinarea restului împărțirii unui număr întreg reprezentat pe  $\beta$  biți la un număr întreg mai mic. Algoritmii trebuie să se execute într-un timp de ordinul  $O(\beta^2)$ .

**33.1-12** Dați un algoritm eficient de conversie a unui număr întreg (binar) reprezentat pe  $\beta$  biți în reprezentare zecimală. Argumentați faptul că, dacă înmulțirea sau împărțirea numerelor întregilor a căror lungime este cel mult  $\beta$  necesită un timp  $M(\beta)$ , atunci conversia din binar în zecimal poate fi realizată într-un timp de ordinul  $\Theta(M(\beta) \lg \beta)$ . (*Indica ie:* să se utilizeze o concepție divide și stăpânește, care obține jumătățile superioară și inferioară ale rezultatului cu recurențe separate.)

---

### 33.2. Cel mai mare divizor comun

În această secțiune, utilizăm algoritmul lui Euclid pentru a calcula eficient cel mai mare divizor comun a doi întregi. Analiza timpului de execuție ne conduce la o legătură surprinzătoare cu numerele Fibonacci, care ne oferă date de intrare defavorabile pentru algoritmul lui Euclid.

În această secțiune ne restrângem la numere întregi nenegative. Această restricție este justificată prin relația (33.10), care afirmă că  $\text{cmmdc}(a, b) = \text{cmmdc}(|a|, |b|)$ .

În principiu, putem calcula  $\text{cmmdc}(a, b)$  pentru întregii pozitivi  $a$  și  $b$  din factorizarea în numere prime a lui  $a$  și  $b$ . Într-adevăr, dacă

$$a = p_1^{e_1} p_2^{e_2} \cdots p_r^{e_r}, \quad (33.13)$$

$$b = p_1^{f_1} p_2^{f_2} \cdots p_r^{f_r}, \quad (33.14)$$

folosind exponenți 0 pentru a obține aceleași numere prime  $p_1, p_2, \dots, p_r$  atât pentru  $a$  cât și pentru  $b$ , atunci

$$\text{cmmdc}(a, b) = p_1^{\min(e_1, f_1)} p_2^{\min(e_2, f_2)} \cdots p_r^{\min(e_r, f_r)} \quad (33.15)$$

Așa cum se va arăta în secțiunea 33.9, cel mai bun algoritm pentru factorizare, până în prezent, nu se execută într-un timp polinomial. Astfel, această concepție de calcul al celui mai mare divizor comun este puțin probabil să producă un algoritm eficient.

Algoritmul lui Euclid pentru calculul celui mai mare divizor comun se bazează pe următoarea teoremă.

**Teorema 33.9 (Teorema CMMDC recursiv)** Pentru orice întreg nenegativ  $a$  și pentru orice întreg pozitiv  $b$ ,

$$\text{cmmdc}(a, b) = \text{cmmdc}(b, a \bmod b).$$

**Demonstrație.** Vom arăta că  $\text{cmmdc}(a, b)$  și  $\text{cmmdc}(b, a \bmod b)$  se divid unul pe altul, așa că, prin relația (33.7), ei trebuie să fie egali (deoarece sunt nenegativi).

Arătăm mai întâi că  $\text{cmmdc}(a, b) \mid \text{cmmdc}(b, a \bmod b)$ . Dacă  $d = \text{cmmdc}(a, b)$ , atunci  $d \mid a$  și  $d \mid b$ . Din (33.2),  $(a \bmod b) = a - qb$ , unde  $q = \lfloor a/b \rfloor$ . Întrucât  $(a \bmod b)$  este o combinație liniară a lui  $a$  și  $b$ , relația (33.6) implică faptul că  $d \mid (a \bmod b)$ . De aceea, întrucât  $d \mid b$  și  $a \mid (a \bmod b)$ , corolarul 33.3 implică faptul că  $d \mid \text{cmmdc}(b, a \bmod b)$  sau echivalentul,

$$\text{cmmdc}(a, b) \mid \text{cmmdc}(b, a \bmod b). \quad (33.16)$$

A arăta că  $\text{cmmdc}(b, a \bmod b) \mid \text{cmmdc}(a, b)$  este aproape același lucru. Dacă acum  $d = \text{cmmdc}(b, a \bmod b)$ , atunci  $d \mid b$  și  $d \mid (a \bmod b)$ . Întrucât  $a = qb + (a \bmod b)$ , unde  $q = \lfloor a/b \rfloor$ , deci  $a$  este o combinație liniară dintre  $b$  și  $(a \bmod b)$ . Din ecuația (33.6), deducem că  $d \mid a$ . Întrucât  $d \mid b$  și  $d \mid a$ , avem  $d \mid \text{cmmdc}(a, b)$  conform corolarului 33.3 sau echivalentul,

$$\text{cmmdc}(b, a \bmod b) \mid \text{cmmdc}(a, b). \quad (33.17)$$

Pentru a completa demonstrația, folosim relația (33.7) pentru a combina relațiile (33.16) și (33.17). ■

## Algoritmul lui Euclid

Următorul algoritm cmmdc este descris în *Elementele* lui Euclid (circa 300 î.Hr.), deși el poate avea o origine mai timpurie. Este scris ca un program recursiv bazat direct pe teorema 33.9. Intrările  $a$  și  $b$  sunt întregi nenegativi arbitrari.

$\text{EUCLID}(a, b)$

- 1: dacă  $b = 0$  atunci
- 2:   returnează  $a$
- 3: altfel
- 4:   returnează  $\text{EUCLID}(b, a \text{ mod } b)$

Ca un exemplu de execuție al algoritmului EUCLID, considerăm calculul lui  $\text{cmmdc}(30, 21)$ :

$$\text{EUCLID}(30, 21) = \text{EUCLID}(21, 9) = \text{EUCLID}(9, 3) = \text{EUCLID}(3, 0) = 3.$$

În acest calcul există trei apeluri recursive ale lui EUCLID.

Corectitudinea lui EUCLID este garantată de teorema 33.9 și de faptul că, dacă algoritmul returnează pe  $a$  în linia 2, atunci  $b = 0$ , deci  $\text{cmmdc}(a, b) = \text{cmmdc}(a, 0) = a$ , conform relației (33.11). Algoritmul nu poate intra în ciclu infinit, deoarece al doilea argument descrește strict la fiecare apel recursiv. De aceea, EUCLID se termină totdeauna cu răspunsul corect.

## Timpul de execuție al algoritmului lui Euclid

Analizăm timpul de execuție pentru EUCLID în cazul cel mai defavorabil, în funcție de dimensiunile lui  $a$  și  $b$ . Presupunem, cu o mică pierdere a generalității, că  $a > b \geq 0$ . Această presupunere poate fi justificată prin observația că, dacă  $b > a \geq 0$ , atunci  $\text{EUCLID}(a, b)$  face imediat apelul la  $\text{EUCLID}(b, a)$ . Adică, dacă primul argument este mai mic decât cel de al doilea, atunci EUCLID realizează un apel recursiv pentru a-și permute parametrii și, apoi, continuă. Similar, dacă  $b = a > 0$ , procedura se termină după un apel recursiv deoarece  $a \text{ mod } b = 0$ .

Timpul total de execuție al lui EUCLID este proporțional cu numărul apelurilor recursive pe care le face. Analiza noastră face apel la numerele  $F_k$  ale lui Fibonacci, definite prin recurență (2.13).

**Lema 33.10** Dacă  $a > b \geq 0$  și apelul  $\text{EUCLID}(a, b)$  execută  $k \geq 1$  apeluri recursive, atunci  $a \geq F_{k+2}$  și  $b \geq F_{k+1}$ .

**Demonstrație.** Demonstrația se face prin inducție în raport cu  $k$ . Fie  $k = 1$ , atunci,  $b \geq 1 = F_2$  și, deoarece  $a > b$ , trebuie să avem  $a \geq 2 = F_3$ . Deoarece  $b > (a \text{ mod } b)$ , la fiecare apel recursiv, primul argument este strict mai mare decât al doilea, de aceea, presupunerea că  $a > b$  se adverește pentru fiecare apel recursiv.

Presupunem acum că lema este adevărată când se realizează  $k - 1$  apeluri recursive; vom demonstra atunci că ea este adevărată și pentru  $k$  apeluri recursive. Întrucât  $k > 0$ , avem  $b > 0$ , iar  $\text{EUCLID}(a, b)$  apelează recursiv pe  $\text{EUCLID}(b, a \text{ mod } b)$  care, la rândul său, execută  $k - 1$  apeluri recursive. Ipotezele inducției implică faptul că  $b \geq F_{k+1}$  (astfel se demonstrează o parte a lemei), iar  $(a \text{ mod } b) \geq F_k$ . Avem

$$b + (a \text{ mod } b) = b + (a - \lfloor a/b \rfloor b) \leq a,$$

deoarece  $a > b > 0$  implică  $\lfloor a/b \rfloor \geq 1$ . Astfel,

$$a \geq b + (a \bmod b) \geq F_{k+1} + F_k = F_{k+2}.$$

■

Următoarea teoremă este un corolar imediat al acestei leme.

**Teorema 33.11 (Teorema lui Lamé)** Pentru orice întreg  $k \geq 1$ , dacă  $a > b \geq 0$  și  $b < F_{k+1}$ , atunci apelul procedurii  $\text{EUCLID}(a, b)$  execută mai puțin de  $k$  apeluri recursive. ■

Putem arăta că limita superioară din teorema 33.11 este cea mai bună posibilă. În consecință, numerele lui Fibonacci consecutive sunt cele mai defavorabile cazuri de intrare pentru EUCLID. Întrucât  $\text{EUCLID}(F_3, F_2)$  execută exact un apel recursiv și deoarece pentru  $k \geq 2$  avem  $F_{k+1} \bmod F_k = F_{k-1}$ , avem:

$$\text{cmmdc}(F_{k+1}, F_k) = \text{cmmdc}(F_k, (F_{k+1} \bmod F_k)) = \text{cmmdc}(F_k, F_{k-1}).$$

Astfel,  $\text{EUCLID}(F_{k+1}, F_k)$  iterează *exact* de  $k - 1$  ori, atingând limita superioară din teorema 33.11.

Deoarece  $F_k$  este aproximativ  $\phi^k/\sqrt{5}$ , unde  $\phi$  este raportul de aur  $(1 + \sqrt{5})/2$  definit prin ecuația (2.14), numărul apelurilor recursive în EUCLID este  $O(\lg b)$ . (Vezi exercițiul 33.2-5 pentru o limită mai strânsă.) Dacă se aplică EUCLID la două numere reprezentate pe  $\beta$  biți, atunci procedura va efectua  $O(\beta)$  operații aritmetice și  $O(\beta^3)$  operații pe biți (presupunând că înmulțirile și împărțirile numerelor reprezentate pe  $\beta$  biți necesită  $O(\beta^2)$  operații pe biți). Problema 33-2 cere să arătăm că  $O(\beta^2)$  este o limită a numărului de operații pe biți.

### Forma extinsă a algoritmului lui Euclid

Rescriem algoritmul lui Euclid pentru a determina informații suplimentare utile. În special, extindem algoritmul pentru a calcula coeficienții întregi  $x$  și  $y$ , astfel încât

$$d = \text{cmmdc}(a, b) = ax + by. \quad (33.18)$$

Să observăm că  $x$  și  $y$  pot fi negativi sau zero. Mai târziu, acești coeficienți vor fi utili în calculul inverselor multiplicative modulare.

Procedura EUCLID-EXTINS are la intrare o pereche arbitrară de întregi nenegativi și returnează un triplet de forma  $(d, x, y)$  care satisfac relația (33.18).

**EUCLID-EXTINS( $a, b$ )**

- 1: **dacă**  $b = 0$  **atunci**
- 2:   **returnează**  $(a, 1, 0)$
- 3:    $(d', x', y') \leftarrow \text{EUCLID-EXTINS}(b, a \bmod b)$
- 4:    $(d, x, y) \leftarrow (d', y', x' - \lfloor a/b \rfloor y')$
- 5:   **returnează**  $(d, x, y)$

Figura 33.1 ilustrează execuția lui EUCLID-EXTINS pentru calculul lui  $\text{cmmdc}(99, 78)$ .

Procedura EUCLID-EXTINS este o variantă a procedurii EUCLID. Linia 1 este echivalentă cu testul “ $b = 0$ ” din linia 1 a procedurii EUCLID. Dacă  $b = 0$ , EUCLID-EXTINS returnează nu

$a$	$b$	$\lfloor a/b \rfloor$	$d$	$x$	$y$
99	78	1	3	-11	14
78	21	3	3	3	-11
21	15	1	3	-2	3
15	6	2	3	1	-2
6	3	2	3	0	1
3	0	—	3	1	0

**Figura 33.1** Un exemplu de aplicare a lui EUCLID-EXTINS asupra intrărilor 99 și 78. Fiecare linie arată un nivel al recursivității: valorile de intrare  $a$  și  $b$ , valoarea calculată  $\lfloor a/b \rfloor$  și valorile returnate  $d$ ,  $x$  și  $y$ . Tripletul returnat  $(d, x, y)$  devine tripletul  $(d', x', y')$  utilizat în calcul la nivelul mai înalt, următor al recursivității. Apelul EUCLID-EXTINS(99, 78) returnează  $(3, -11, 14)$ , astfel încât  $\text{cmmdc}(99, 78) = 3$  și  $\text{cmmdc}(99, 78) = 3 = 99 \cdot (-11) + 78 \cdot 14$ .

numai  $d = a$  în linia 2, ci și coeficienții  $x = 1$  și  $y = 0$ , astfel încât  $a = ax + by$ . Dacă  $b \neq 0$ , EUCLID-EXTINS calculează întâi  $(d', x', y')$ , astfel încât  $d' = \text{cmmdc}(b, a \bmod b)$  și

$$d' = bx' + (a \bmod b)y'. \quad (33.19)$$

Ca la EUCLID, avem în acest caz  $d = \text{cmmdc}(a, b) = d' = \text{cmmdc}(b, a \bmod b)$ . Pentru a obține pe  $x$  și  $y$ , astfel încât  $d = ax + by$ , începem prin rescrierea ecuației (33.19) utilizând relația  $d = d'$  și relația (33.2):

$$d = bx' + (a - \lfloor a/b \rfloor b)y' = ay' + b(x' - \lfloor a/b \rfloor y').$$

Astfel, alegând  $x = y'$  și  $y = x' - \lfloor a/b \rfloor y'$ , se verifică relația  $d = ax + by$ , ceea ce demonstrează corectitudinea lui EUCLID-EXTINS.

Întrucât numărul apelurilor recursive din EUCLID este egal cu numărul apelurilor recursive din EUCLID-EXTINS, timpul de execuție pentru cele două proceduri este același, abstracție făcând de un factor constant. Adică, pentru  $a > b > 0$ , numărul apelurilor recursive este  $O(\lg b)$ .

## Exerciții

**33.2-1** Demonstrați că relațiile (33.13)–(33.14) implică relația (33.15).

**33.2-2** Calculați valorile  $(d, x, y)$  care sunt ieșirile la apelul EUCLID-EXTINS(899, 493).

**33.2-3** Demonstrați că, oricare ar fi întregii  $a, k$  și  $n$ ,

$$\text{cmmdc}(a, n) = \text{cmmdc}(a + kn, n).$$

**33.2-4** Rescrieți procedura EUCLID într-o formă iterativă care să folosească numai o cantitate constantă de memorie (adică, memorează numai un număr constant de valori întregi).

**33.2-5** Dacă  $a > b \geq 0$ , arătați că apelul lui EUCLID( $a, b$ ) implică cel mult  $1 + \log_{\phi} b$  apeluri recursive. Să se îmbunătățească această limită la  $1 + \log_{\phi}(b/\text{cmmdc}(a, b))$ .

**33.2-6** Ce returnează EUCLID-EXTINS( $F_{k+1}, F_k$ )? Demonstrați corectitudinea răspunsului dat.

**33.2-7** Verificați ieșirea  $(d, x, y)$  a lui EUCLID-EXTINS( $a, b$ ) arătând că, dacă  $d \mid a, d \mid b$  și  $d = ax + by$ , atunci  $d = \text{cmmdc}(a, b)$ .

**33.2-8** Definiți funcția cmmdc pentru mai mult de două argumente prin relația recursivă  $\text{cmmdc}(a_0, a_1, \dots, a_n) = \text{cmmdc}(a_0, \text{cmmdc}(a_1, \dots, a_n))$ . Arătați că cmmdc returnează același răspuns, independent de ordinea în care se specifică argumentele sale. Arătați cum se găsesc  $x_0, x_1, \dots, x_n$ , astfel încât  $\text{cmmdc}(a_0, a_1, \dots, a_n) = a_0x_0 + a_1x_1 + \dots + a_nx_n$ . Arătați că numărul de împărțiri realizat de algoritmul respectiv este de ordinul  $O(n + \lg(\max_i a_i))$ .

**33.2-9** Definiți cmmmc( $a_1, a_2, \dots, a_n$ ) ca fiind **cel mai mic multiplu comun** al numerelor întregi  $a_1, a_2, \dots, a_n$ , adică cel mai mic întreg nenegativ care este multiplu al fiecărui  $a_i$ . Arătați cum se calculează eficient cmmmc( $a_1, a_2, \dots, a_n$ ) folosind operația cmmdc (cu două argumente) ca subrutină.

**33.2-10** Demonstrați că  $n_1, n_2, n_3$  și  $n_4$  sunt relativ prime două câte două, dacă și numai dacă  $\text{cmmdc}(n_1n_2, n_3n_4) = \text{cmmdc}(n_1n_3, n_2n_4) = 1$ . Arătați că, în cazul general,  $n_1, n_2, \dots, n_k$  sunt relativ prime două câte două dacă și numai dacă o mulțime de  $\lceil \lg k \rceil$  perechi de numere derivate din  $n_i$  sunt relativ prime.

### 33.3. Aritmetică modulară

Informativ, putem să ne gândim la aritmetica modulară ca la aritmetica obișnuită pentru numere întregi, exceptând faptul că, dacă lucrăm modulo  $n$ , atunci fiecare rezultat  $x$  este înlocuit printr-un element din  $\{0, 1, \dots, n-1\}$ , adică este echivalent cu  $x$  modulo  $n$  (adică,  $x$  este înlocuit cu  $x \bmod n$ ). Acest model informal este suficient dacă ne limităm la operațiile de adunare, scădere și înmulțire. Un model mai formal pentru aritmetica modulară, pe care îl dăm acum, se descrie mai bine în cadrul teoriei grafurilor.

#### Grupuri finite

Un **grup**  $(S, \oplus)$  este o mulțime  $S$ , împreună cu o operație binară  $\oplus$  definită pe  $S$ , pentru care se îndeplinește următoarele proprietăți.

1. **Închidere:** Oricare ar fi  $a, b \in S$ , avem  $a \oplus b \in S$ .
2. **Element neutru:** Există un element  $e \in S$ , astfel încât  $e \oplus a = a \oplus e = a$  pentru orice  $a \in S$ .
3. **Asociativitate:** Oricare ar fi  $a, b, c \in S$ , avem  $(a \oplus b) \oplus c = a \oplus (b \oplus c)$ .
4. **Invers:** Pentru orice  $a \in S$ , există un element unic  $b \in S$ , astfel încât  $a \oplus b = b \oplus a = e$ .

De exemplu, considerăm grupul familiar  $(\mathbb{Z}, +)$  al întregilor  $\mathbb{Z}$  cu operația de adunare: 0 este unitatea, iar inversul lui  $a$  este  $-a$ . Dacă într-un grup  $(S, \oplus)$  legea este **comutativă**,  $a \oplus b = b \oplus a$  oricare ar fi  $a, b \in S$ , atunci el este un **grup abelian**. Dacă un grup  $(S, \oplus)$  satisfac condiția  $|S| < \infty$ , atunci este un **grup finit**.

$+_6$	0	1	2	3	4	5
0	0	1	2	3	4	5
1	1	2	3	4	5	0
2	2	3	4	5	0	1
3	3	4	5	0	1	2
4	4	5	0	1	2	3
5	5	0	1	2	3	4

(a)

$\cdot_{15}$	1	2	4	7	8	11	13	14
1	1	2	4	7	8	11	13	14
2	2	4	8	14	1	7	11	13
4	4	8	1	13	2	14	7	11
7	7	14	13	4	11	2	1	8
8	8	1	2	11	4	13	14	7
11	11	7	14	2	13	1	8	4
13	13	11	7	1	14	8	4	2
14	14	13	11	8	7	4	2	1

(b)

**Figura 33.2** Două grupuri finite. Clasele de echivalență sunt notate prin elementele lor reprezentative. (a) Grupul  $(\mathbb{Z}_6, +_6)$ . (b) Grupul  $(\mathbb{Z}_{15}^*, \cdot_{15})$ .

### Grupuri definite prin adunare și înmulțire modulară

Putem forma două grupuri abeliene finite folosind adunarea și înmulțirea modulo  $n$ , unde  $n$  este un întreg pozitiv. Aceste grupuri se bazează pe clasele de echivalență a întregilor modulo  $n$ , definite în secțiunea 33.1.

Pentru a defini un grup pe  $\mathbb{Z}_n$ , este nevoie de operații binare corespunzătoare, pe care le obținem redefinind operațiile obișnuite de adunare și înmulțire. Este ușor să definim aceste operații în  $\mathbb{Z}_n$  deoarece clasele de echivalență a doi întregi determină în mod unic clasa de echivalență a sumei și a produsului lor. Adică, dacă  $a \equiv a' \pmod{n}$  și  $b \equiv b' \pmod{n}$ , atunci

$$\begin{aligned} a + b &\equiv a' + b' \pmod{n} \\ ab &\equiv a'b' \pmod{n}. \end{aligned}$$

Astfel, definim adunarea și înmulțirea modulo  $n$ , notate  $+_n$  și  $\cdot_n$ , după cum urmează:

$$[a]_n +_n [b]_n = [a + b]_n, [a]_n \cdot_n [b]_n = [ab]_n.$$

(Scăderea poate fi definită similar pe  $\mathbb{Z}_n$  prin  $[a]_n -_n [b]_n = [a - b]_n$ , dar împărțirea este mai complicată, aşa cum vom vedea.) Aceste fapte justifică practica obișnuită și convenabilă de a utiliza cel mai mic element nenegativ al fiecărei clase de echivalență ca reprezentant al ei când se fac calcule în  $\mathbb{Z}_n$ . Adunarea, scăderea și înmulțirea se efectuează obișnuit asupra reprezentanților, dar fiecare rezultat  $x$  se înlocuiește cu reprezentantul clasei sale (adică, prin  $x \pmod{n}$ ).

Utilizând această definiție a adunării modulo  $n$ , definim **grupul aditiv modulo  $n$**  prin  $(\mathbb{Z}_n, +_n)$ . Dimensiunea grupului aditiv modulo  $n$  este  $|\mathbb{Z}_n| = n$ . În figura 33.2 (a) avem tabela operației  $+_6$  pentru grupul  $(\mathbb{Z}_6, +_6)$ .

**Teorema 33.12** Sistemul  $(\mathbb{Z}_n, +_n)$  este un grup abelian finit.

**Demonstrație.** Asociativitatea și comutativitatea lui  $+_n$  rezultă din asociativitatea și comutativitatea lui  $+$ :

$$([a]_n +_n [b]_n) +_n [c]_n = [(a+b)+c]_n = [a+(b+c)]_n = [a]_n +_n ([b]_n +_n [c]_n),$$

$$[a]_n +_n [b]_n = [a+b]_n = [b+a]_n = [b]_n +_n [a]_n.$$

Elementul unitate al lui  $(\mathbb{Z}_n, +_n)$  este  $0$  (adică  $[0]_n$ ). Inversul (aditiv) al unui element  $a$  (adică,  $[a]_n$ ) este elementul  $-a$  (adică,  $[-a]_n$  sau  $[n-a]_n$ ), deoarece  $[a]_n +_n [-a]_n = [a-a]_n = [0]_n$ . ■

Utilizând definiția înmulțirii modulo  $n$ , definim **grupul multiplicativ modulo  $n$**  prin  $(\mathbb{Z}_n^*, \cdot_n)$ . Elementele acestui grup aparțin mulțimii  $\mathbb{Z}_n^*$  a elementelor din  $\mathbb{Z}_n$  care sunt relativ prime cu  $n$ :

$$\mathbb{Z}_n^* = \{[a]_n \in \mathbb{Z}_n : \text{cmmdc}(a, n) = 1\}.$$

Pentru a vedea că  $\mathbb{Z}_n^*$  este bine definit, observăm că, pentru  $0 \leq a < n$ , avem  $a \equiv (a+kn) \pmod{n}$  pentru orice întregi  $k$ . Din exercițiul 33.2-3, rezultă că  $\text{cmmdc}(a, n) = 1$  implică  $\text{cmmdc}(a+kn, n) = 1$  pentru orice întregi  $k$ . Deoarece  $[a]_n = \{a+kn : k \in \mathbb{Z}\}$ , mulțimea  $\mathbb{Z}_n^*$  este bine definită. Un exemplu de astfel de grup este

$$\mathbb{Z}_{15}^* = \{1, 2, 4, 7, 8, 11, 13, 14\},$$

unde operația grupului este înmulțirea modulo 15. (Aici notăm un element  $[a]_{15}$  cu  $a$ .) În figura 33.2 (b) avem grupul  $(\mathbb{Z}_{15}^*, \cdot_{15})$ . De exemplu,  $8 \cdot 11 = 13 \pmod{15}$ , în  $\mathbb{Z}_{15}^*$ . Unitatea pentru acest grup este 1.

**Teorema 33.13** Sistemul  $(\mathbb{Z}_n^*, \cdot_n)$  este un grup abelian finit.

**Demonstrație.** Teorema 33.6 implică faptul că  $(\mathbb{Z}_n^*, \cdot_n)$  este închis. Asociativitatea și comutativitatea pot fi demonstate pentru  $\cdot_n$ , aşa cum au fost ele demonstate pentru  $+_n$ , în demonstrația teoremei 33.12. Elementul unitate este  $[1]_n$ . Pentru a arăta existența inversului, fie  $a$  un element al lui  $\mathbb{Z}_n^*$  și fie  $(d, x, y)$  ieșirea lui EUCLID-EXTINS( $a, n$ ). Atunci,  $d = 1$ , deoarece  $a \in \mathbb{Z}_n^*$  și

$$ax + ny = 1$$

sau, echivalentul,

$$ax \equiv 1 \pmod{n}.$$

Astfel,  $[x]_n$  este un invers multiplicativ al lui  $[a]_n$ , modulo  $n$ . Demonstrația că inversul este unic definit o amânăm până la corolarul 33.26. ■

Când vom lucra cu grupurile  $(\mathbb{Z}_n, +_n)$  și  $(\mathbb{Z}_n^*, \cdot_n)$  în restul acestui capitol, vom folosi convenția practică de a nota clasele de echivalență prin elementele lor reprezentative și vom nota operațiile  $+_n$  și  $\cdot_n$  prin notațiile obișnuite  $+$  respectiv  $\cdot$  (sau juxtapunere). De asemenea, echivalențele modulo  $n$  pot fi interpretate ca relații în  $\mathbb{Z}_n$ . De exemplu, următoarele două afirmații sunt echivalente:

$$\begin{aligned} ax &\equiv b \pmod{n}, \\ [a]_n \cdot_n [x]_n &= [b]_n. \end{aligned}$$

Altă convenție ar fi următoarea: când operația e subînțeleasă din context ne vom referi la grupul  $(S, \oplus)$  doar prin  $S$ . Astfel, ne putem referi la grupurile  $(\mathbb{Z}_n, +_n)$  și  $(\mathbb{Z}_n^*, \cdot_n)$  prin  $\mathbb{Z}_n$  și, respectiv,  $\mathbb{Z}_n^*$ .

Inversul (multiplicativ) al unui element  $a$  se notează cu  $(a^{-1} \text{ mod } n)$ . Împărțirea în  $\mathbb{Z}_n^*$  se definește prin ecuația  $a/b \equiv ab^{-1} \pmod{n}$ . De exemplu, în  $\mathbb{Z}_{15}^*$  avem  $7^{-1} \equiv 13 \pmod{15}$ , deoarece  $7 \cdot 13 \equiv 91 \equiv 1 \pmod{15}$ , așa că  $4/7 \equiv 4 \cdot 13 \equiv 7 \pmod{15}$ .

Dimensiunea lui  $\mathbb{Z}_n^*$  se notează cu  $\phi(n)$ . Această funcție, cunoscută ca **funcția phi a lui Euler**, satisfacă ecuația

$$\phi(n) = n \prod_{p \mid n} \left(1 - \frac{1}{p}\right), \quad (33.20)$$

unde  $p$  variază peste toate numerele prime care-l divid pe  $n$  (inclusiv  $n$ , dacă  $n$  este prim). Nu vom demonstra această formulă (aici). Intuitiv, începem cu o listă de  $n$  resturi  $\{0, 1, \dots, n-1\}$  și apoi, pentru fiecare număr prim  $p$  care divide pe  $n$ , eliminăm de pe listă fiecare multiplu al lui  $p$ . De exemplu, deoarece divizorii primi ai lui 45 sunt 3 și 5,

$$\phi(45) = 45 \left(1 - \frac{1}{3}\right) \left(1 - \frac{1}{5}\right) = 45 \left(\frac{2}{3}\right) \left(\frac{4}{5}\right) = 24.$$

Dacă  $p$  este prim, atunci  $\mathbb{Z}_p^* = \{1, 2, \dots, p-1\}$ , iar

$$\phi(p) = p - 1. \quad (33.21)$$

Dacă  $n$  este compus, atunci  $\phi(n) < n - 1$ .

## Subgrupuri

Dacă  $(S, \oplus)$  este un grup,  $S' \subseteq S$  și  $(S', \oplus)$  este, de asemenea, un grup, atunci se spune că  $(S', \oplus)$  este un **subgrup** al lui  $(S, \oplus)$ . De exemplu, multimea numerelor întregi pare formează un subgrup al întregilor față de operația de adunare. Următoarea teoremă furnizează un instrument util pentru recunoașterea subgrupurilor.

**Teorema 33.14 (O submulțime închisă a unui grup finit este un subgrup)**

Dacă  $(S, \oplus)$  este un grup finit și  $S'$  este orice submulțime a lui  $S$  astfel încât  $a \oplus b \in S'$  pentru orice  $a, b \in S'$ , atunci  $(S', \oplus)$  este un subgrup al lui  $(S, \oplus)$ .

**Demonstrație.** Lăsăm demonstrația pe seama cititorului (exercițiul 33.3-2). ■

De exemplu, multimea  $\{0, 2, 4, 6\}$  formează un subgrup al lui  $\mathbb{Z}_8$ , deoarece este închisă în raport cu operația  $+$  (adică este închisă față de  $+_8$ ).

Următoarea teoremă furnizează o restricție extrem de importantă asupra dimensiunii unui subgrup.

**Teorema 33.15 (Teorema lui Lagrange)** Dacă  $(S, \oplus)$  este un grup finit și  $(S', \oplus)$  este un subgrup al lui  $(S, \oplus)$ , atunci  $|S'|$  este un divizor al lui  $|S|$ . ■

Despre un subgrup  $S'$  al unui grup  $S$  se spune că este subgrup **propriu** dacă  $S' \neq S$ .

Următorul corolar va fi util în analiza procedurii de test a numerelor prime a lui Miller-Rabin din secțiunea 33.8.

**Corolarul 33.16** Dacă  $S'$  este un subgrup propriu al unui grup finit  $S$ , atunci  $|S'| \leq |S|/2$ . ■

### Subgrupuri generate de un element

Teorema 33.14 furnizează un mod interesant de a produce un subgrup al unui grup finit  $(S, \oplus)$ : se alege un element  $a$  și se iau toate elementele care pot fi generate din  $a$  utilizând operația grupului. Mai exact, definim  $a^{(k)}$  pentru  $k \geq 1$  prin:

$$a^{(k)} = \bigoplus_{i=1}^k a = \underbrace{a \oplus a \oplus \dots \oplus a}_k.$$

De exemplu, pentru  $a = 2$  în grupul  $\mathbb{Z}_6$ , secvența  $a^{(1)}, a^{(2)}, \dots$  este  $2, 4, 0, 2, 4, 0, 2, 4, 0, \dots$

În grupul  $\mathbb{Z}_n$ , avem  $a^{(k)} = ka \bmod n$ , iar în grupul  $\mathbb{Z}_n^*$ , avem  $a^{(k)} = a^k \bmod n$ . **Subgrupul generat de  $a$** , notat  $\langle a \rangle$  sau  $(\langle a \rangle, \oplus)$ , este definit prin:

$$\langle a \rangle = \{a^{(k)} : k \geq 1\}.$$

Spunem că  $a$  generează subgrupul  $\langle a \rangle$  sau că  $a$  este **un generator** al lui  $\langle a \rangle$ . Deoarece  $S$  este finit,  $\langle a \rangle$  este o submulțime finită a lui  $S$ , posibil să coincidă cu  $S$ . Întrucât asociativitatea lui  $\oplus$  implică

$$a^{(i)} \oplus a^{(j)} = a^{(i+j)},$$

$\langle a \rangle$  este închisă și, deci, prin teorema 33.14,  $\langle a \rangle$  este un subgrup al lui  $S$ . De exemplu, în  $\mathbb{Z}_6$  avem:

$$\begin{aligned} \langle 0 \rangle &= \{0\}, \\ \langle 1 \rangle &= \{0, 1, 2, 3, 4, 5\}, \\ \langle 2 \rangle &= \{0, 2, 4\}. \end{aligned}$$

Similar, în  $\mathbb{Z}_7^*$ , avem:

$$\begin{aligned} \langle 1 \rangle &= \{1\}, \\ \langle 2 \rangle &= \{1, 2, 4\}, \\ \langle 3 \rangle &= \{1, 2, 3, 4, 5, 6\}. \end{aligned}$$

**Ordinalul** lui  $a$  (în grupul  $S$ ), notat  $\text{ord}(a)$ , se definește prin cel mai mic  $t > 0$  astfel încât  $a^{(t)} = e$ .

**Teorema 33.17** Pentru orice grup finit  $(S, \oplus)$  și orice  $a \in S$ , ordinul unui element este egal cu dimensiunea subgrupului pe care-l generează, sau  $\text{ord}(a) = |\langle a \rangle|$ .

**Demonstrație.** Fie,  $t = \text{ord}(a)$ . Deoarece  $a^{(t)} = e$  și  $a^{(t+k)} = a^{(t)} \oplus a^{(k)} = a^{(k)}$  pentru  $k \geq 1$ , dacă  $i > t$ , atunci  $a^{(i)} = a^{(j)}$  pentru un anumit  $j < i$ . Astfel, nu există elemente noi după  $a^{(t)}$  și  $\langle a \rangle = \{a^{(1)}, a^{(2)}, \dots, a^{(t)}\}$ . Pentru a arăta că  $|\langle a \rangle| = t$ , presupunem prin absurd că  $a^{(i)} = a^{(j)}$  pentru  $i, j$  care satisfac relația  $1 \leq i < j \leq t$ . Atunci,  $a^{(i+k)} = a^{(j+k)}$  pentru  $k \geq 0$ . Dar aceasta implică faptul că  $a^{(i+(t-j))} = a^{(j+(t-j))} = e$ , ceea ce este o contradicție deoarece  $i + (t - j) < t$ , dar  $t$  este cea mai mică valoare pozitivă astfel încât  $a^{(t)} = e$ . De aceea, fiecare element al secvenței  $a^{(1)}, a^{(2)}, \dots, a^{(t)}$  este distinct și  $|\langle a \rangle| = t$ . ■

**Corolarul 33.18** Secvența  $a^{(1)}, a^{(2)}, \dots$  este periodică având perioada  $t = \text{ord}(a)$ ;adică,  $a^{(i)} = a^{(j)}$  dacă și numai dacă  $i \equiv j \pmod{t}$ . ■

Conform corolarului de mai sus, are sens să definim pe  $a^{(0)}$  ca fiind  $e$  și  $a^{(i)}$  prin  $a^{(i \text{ mod } t)}$  pentru orice număr întreg  $i$ .

**Corolarul 33.19** Dacă  $(S, \oplus)$  este un grup finit cu unitatea  $e$ , atunci

$$a^{(|S|)} = e,$$

pentru orice  $a \in S$ .

**Demonstrație.** Teorema lui Lagrange implică faptul că  $\text{ord}(a) \mid |S|$  și astfel  $S \equiv 0 \pmod{t}$ , unde  $t = \text{ord}(a)$ . ■

### Exerciții

**33.3-1** Studiați tabela operației de grup pentru grupurile  $(\mathbb{Z}_4, +_4)$  și  $(\mathbb{Z}_5^*, \cdot_5)$ . Arătați că aceste grupuri sunt izomorfe, stabilind o corespondență biunivocă  $\alpha$  între elementele lor, astfel încât  $a + b \equiv c \pmod{4}$  dacă și numai dacă  $\alpha(a) \cdot \alpha(b) \equiv \alpha(c) \pmod{5}$ .

**33.3-2** Demonstrați teorema 33.14.

**33.3-3** Arătați că, dacă  $p$  este prim și  $e$  este un întreg pozitiv, atunci

$$\phi(p^e) = p^{e-1}(p-1).$$

**33.3-4** Arătați că, pentru orice  $n > 1$  și pentru orice  $a \in \mathbb{Z}_n^*$ , funcția  $f_a : \mathbb{Z}_n^* \rightarrow \mathbb{Z}_n^*$  definită prin  $f_a(x) = ax \pmod{n}$  este o permutare a lui  $\mathbb{Z}_n^*$ .

**33.3-5** Scrieți toate subgrupurile lui  $\mathbb{Z}_9$  și ale lui  $\mathbb{Z}_{13}^*$ .

## 33.4. Rezolvarea ecuațiilor liniare modulare

O problemă practică importantă este problema determinării soluțiilor ecuației:

$$ax \equiv b \pmod{n}, \tag{33.22}$$

unde  $n > 0$ . Presupunem că  $a, b$  și  $n$  se dau, iar noi trebuie să-i găsim pe acei  $x$  modulo  $n$ , care satisfac ecuația (33.22). Pot exista zero, una sau mai multe astfel de soluții.

Fie  $\langle a \rangle$  subgrupul lui  $\mathbb{Z}_n$  generat de  $a$ . Deoarece  $\langle a \rangle = \{a^{(x)} : x > 0\} = \{ax \pmod{n} : x > 0\}$ , ecuația (33.22) are o soluție dacă și numai dacă  $b \in \langle a \rangle$ . Teorema lui Lagrange (teorema 33.15) ne spune că  $|\langle a \rangle|$  trebuie să fie un divizor al lui  $n$ . Următoarea teoremă ne dă o caracterizare precisă a lui  $\langle a \rangle$ .

**Teorema 33.20** Pentru orice numere întregi, pozitive  $a$  și  $n$ , dacă  $d = \text{cmmdc}(a, n)$ , atunci:

$$\langle a \rangle = \langle d \rangle = \{0, d, 2d, \dots, ((n/d) - 1)d\}, \tag{33.23}$$

și, astfel,

$$|\langle a \rangle| = n/d.$$

**Demonstrație.** Începem prin a arăta că  $d \in \langle a \rangle$ . Să observăm că EUCLID-EXTINS( $a, n$ ) determină întregii  $x'$  și  $y'$ , astfel încât  $ax' + ny' = d$ . Avem  $ax' \equiv d \pmod{n}$ , astfel că  $d \in \langle a \rangle$ .

Întrucât  $d \in \langle a \rangle$ , înseamnă că orice multiplu al lui  $d$  aparține lui  $\langle a \rangle$ , deoarece un multiplu al unui multiplu al lui  $a$  este tot un multiplu al lui  $a$ . Astfel,  $\langle a \rangle$  conține orice element din  $\{0, d, 2d, \dots, ((n/d) - 1)d\}$ . Adică,  $\langle d \rangle \subseteq \langle a \rangle$ .

Arătăm acum că  $\langle a \rangle \subseteq \langle d \rangle$ . Dacă  $m \in \langle a \rangle$ , atunci  $m = ax$  mod  $n$  pentru un anumit întreg  $x$  și, astfel,  $m = ax + ny$  pentru un anumit întreg  $y$ . Însă,  $d | a$  și  $d | n$  și, astfel,  $d | m$  din relația (33.6). De aceea  $m \in \langle d \rangle$ .

Combinând aceste rezultate, avem  $\langle a \rangle = \langle d \rangle$ . Pentru a vedea că  $|\langle a \rangle| = n/d$ , să observăm că există exact  $n/d$  multipli ai lui  $d$  între 0 și  $n - 1$ , inclusiv. ■

**Corolarul 33.21** Ecuația  $ax \equiv b \pmod{n}$  este rezolvabilă în necunoscuta  $x$  dacă și numai dacă  $\text{cmmdc}(a, n) | b$ . ■

**Corolarul 33.22** Ecuația  $ax \equiv b \pmod{n}$  fie are  $d$  soluții distințe modulo  $n$ , unde  $d = \text{cmmdc}(a, n)$ , fie nu are nici o soluție.

**Demonstrație.** Dacă  $ax \equiv b \pmod{n}$  are o soluție, atunci  $b \in \langle a \rangle$ . Sirul  $ai$  mod  $n$ , pentru  $i = 0, 1, \dots$  este periodic având perioada  $|\langle a \rangle| = n/d$ , conform corolarului 33.18. Dacă  $b \in \langle a \rangle$ , atunci  $b$  apare exact de  $d$  ori în sirul  $ai$  mod  $n$ , pentru  $i = 0, 1, \dots, n - 1$ , deoarece blocul de lungime  $(n/d)$  al valorilor lui  $\langle a \rangle$  se repetă exact de  $d$  ori când  $i$  crește de la 0 la  $n - 1$ . Indicii  $x$  ai acestor  $d$  poziții sunt soluțiile ecuației  $ax \equiv b \pmod{n}$ . ■

**Teorema 33.23** Fie  $d = \text{cmmdc}(a, n)$  și presupunem că  $d = ax' + ny'$  pentru anumiți întregi  $x'$  și  $y'$  (de exemplu, cei calculați prin EUCLID-EXTINS). Dacă  $d | b$ , atunci ecuația  $ax \equiv b \pmod{n}$  are una din soluțiile sale valoarea  $x_0$ , unde

$$x_0 = x'(b/d) \pmod{n}.$$

**Demonstrație.** Deoarece  $ax' \equiv d \pmod{n}$ , avem

$$\begin{aligned} ax_0 &\equiv ax'(b/d) \pmod{n} \\ &\equiv d(b/d) \pmod{n} \\ &\equiv b \pmod{n}, \end{aligned}$$

deci,  $x_0$  este o soluție a lui  $ax \equiv b \pmod{n}$ . ■

**Teorema 33.24** Presupunem că ecuația  $ax \equiv b \pmod{n}$  este rezolvabilă (adică  $d | b$ , unde  $d = \text{cmmdc}(a, n)$ ) și că  $x_0$  este o soluție oarecare a acestei ecuații. Atunci, această ecuație are exact  $d$  soluții distințe modulo  $n$ , date de  $x_i = x_0 + i(n/d)$  pentru  $i = 1, 2, \dots, d - 1$ .

**Demonstrație.** Deoarece  $n/d > 0$  și  $0 \leq i(n/d) < n$  pentru  $i = 0, 1, \dots, d - 1$ , valorile  $x_0, x_1, \dots, x_{d-1}$  sunt toate distințe modulo  $n$ . Din periodicitatea sirului  $ai$  mod  $n$  (corolarul 33.18), rezultă că, dacă  $x_0$  este o soluție a lui  $ax \equiv b \pmod{n}$ , atunci orice  $x_i$  este o soluție. Prin corolarul 33.22, există exact  $d$  soluții, astfel că  $x_0, x_1, \dots, x_{d-1}$  trebuie să fie exact acestea. ■

Până acum am dezvoltat matematica necesară pentru a rezolva ecuația  $ax \equiv b \pmod{n}$ ; următorul algoritm afișează toate soluțiile acestei ecuații. Intrările  $a$  și  $b$  sunt întregi arbitrari, iar  $n$  este un întreg pozitiv arbitrar.

REZOLVĂ-ECUAȚIE-LINIARĂ-MODULARĂ( $a, b, n$ )

- 1:  $(d, x', y') \leftarrow \text{EUCLID-EXTINS}(a, n)$
- 2: dacă  $d \mid b$  atunci
- 3:    $x_0 \leftarrow x'(b/d) \bmod n$
- 4:   pentru  $i \leftarrow 0, d - 1$  execută
- 5:     scrie  $(x_0 + i(n/d)) \bmod n$
- 6: altfel
- 7:     scrie "Nu există soluție"

Pentru a exemplifica funcționarea acestei proceduri, considerăm ecuația  $14x \equiv 30 \pmod{100}$  (aici  $a = 14, b = 30$  și  $n = 100$ ). Apelând EUCLID-EXTINS în linia 1, obținem  $(d, x, y) = (2, -7, 1)$ . Deoarece  $2 \mid 30$ , se execută liniile 3–5. În linia 3 calculăm  $x_0 = (-7)(15) \bmod 100 = 95$ . Ciclul din liniile 4–5 afișează cele două soluții: 95 și 45.

Procedura REZOLVĂ-ECUAȚIE-LINIARĂ-MODULARĂ funcționează după cum urmează. Linia 1 calculează  $d = \text{cmmdc}(a, n)$  împreună cu două valori  $x'$  și  $y'$ , astfel încât  $d = ax' + ny'$ , demonstrând că  $x'$  este o soluție a ecuației  $ax' \equiv d \pmod{n}$ . Dacă  $d$  nu divide pe  $b$ , atunci ecuația  $ax \equiv b \pmod{n}$  nu are soluție, conform corolarului 33.21. Linia 2 verifică dacă  $d \mid b$ ; dacă nu, linia 7 ne spune că nu există soluție. Altfel, linia 3 calculează o soluție  $x_0$  a ecuației (33.22) conform cu teorema 33.23. Dându-se o soluție, teorema 33.24 afirmă că celelalte  $d - 1$  soluții pot fi obținute adăugând multiplii lui  $(n/d)$  modulo  $n$ . Ciclul **pentru** din liniile 4–5 imprimă toate cele  $d$  soluții, începând cu  $x_0$  și separate la distanța  $(n/d)$ , modulo  $n$ .

Timpul de execuție al algoritmului REZOLVĂ-ECUAȚIE-LINIARĂ-MODULARĂ este  $O(\lg n + \text{cmmdc}(a, n))$  operații aritmetice, deoarece EUCLID-EXTINS necesită  $O(\lg n)$  operații aritmetice și fiecare iterație a ciclului **pentru** din liniile 4–5 necesită un număr constant de operații aritmetice.

Următoarele corolare ale teoremei 33.24 definesc particularizări de interes general.

**Corolarul 33.25** Pentru orice  $n > 1$ , dacă  $\text{cmmdc}(a, n) = 1$ , atunci ecuația  $ax \equiv b \pmod{n}$  are o singură soluție modulo  $n$ . ■

Dacă  $b = 1$ ,  $x$ -ul pe care-l căutăm este un **invers multiplicativ** al lui  $a$ , modulo  $n$ .

**Corolarul 33.26** Pentru orice  $n > 1$ , dacă  $\text{cmmdc}(a, n) = 1$ , atunci ecuația

$$ax \equiv 1 \pmod{n} \tag{33.24}$$

are o soluție unică modulo  $n$ . Altfel, nu are soluție. ■

Corolarul 33.26 ne permite să folosim notația  $(a^{-1} \bmod n)$  pentru a ne referi la inversul multiplicativ al lui  $a$  modulo  $n$ , când  $a$  și  $n$  sunt relativi primi. Dacă  $\text{cmmdc}(a, n) = 1$ , atunci singura soluție a ecuației  $ax \equiv 1 \pmod{n}$  este întregul  $x$  returnat de EUCLID-EXTINS, deoarece ecuația

$$\text{cmmdc}(a, n) = 1 = ax + ny$$

implică  $ax \equiv 1 \pmod{n}$ . Astfel,  $(a^{-1} \bmod n)$  poate fi calculat eficient folosind EUCLID-EXTINS.

## Exerciții

**33.4-1** Găsiți toate soluțiile ecuației  $35x \equiv 10 \pmod{50}$ .

**33.4-2** Demonstrați că ecuația  $ax \equiv ay \pmod{n}$  implică  $x \equiv y \pmod{n}$  când  $\text{cmmdc}(a, n) = 1$ . Demonstrați necesitatea condiției  $\text{cmmdc}(a, n) = 1$  indicând un contraexemplu pentru care  $\text{cmmdc}(a, n) > 1$ .

**33.4-3** Se consideră următoarea schimbare în linia 3 a algoritmului REZOLVĂ-ECUAȚIE-LINIARĂ-MODULARĂ:

$$3 \quad x_0 \leftarrow x'(b/d) \pmod{(n/d)}$$

Va funcționa sau nu? Explicați de ce.

**33.4-4** \* Fie  $f(x) \equiv f_0 + f_1x + \dots + f_tx^t \pmod{p}$  un polinom de gradul  $t$ , având coeficienți  $f_i$  din  $\mathbb{Z}_p$ , unde  $p$  este prim. Spunem că  $a \in \mathbb{Z}_p$  este un **zero** al lui  $f$  dacă  $f(a) \equiv 0 \pmod{p}$ . Arătați că, dacă  $a$  este un zero al lui  $f$ , atunci  $f(x) \equiv (x-a)g(x) \pmod{p}$  pentru un anumit polinom  $g(x)$  de grad  $t-1$ . Demonstrați prin inducție asupra lui  $t$  că un polinom  $f(x)$  de grad  $t$  poate avea cel mult  $t$  zerouri distincte modulo un număr prim  $p$ .

## 33.5. Teorema chineză a restului

În jurul anului 100 d.Hr., matematicianul chinez Sun-Tsü a rezolvat problema găsirii acelor întregi  $x$  care dau resturile 2, 3 și 2 când se împart la 3, 5 și, respectiv, 7. O astfel de soluție este  $x = 23$ ; toate soluțiile sunt de forma  $23 + 105k$  pentru numere întregi  $k$  arbitrară. “Teorema chineză a restului” furnizează o corespondență între un sistem de ecuații modulo o mulțime de numere relativ prime două câte două (de exemplu, 3, 5 și 7) și o ecuație modulo produsul lor (de exemplu, 105).

Teorema chineză a restului are două utilizări majore. Fie întregul  $n = n_1n_2 \cdots n_k$ , unde factorii  $n_i$  sunt numere relativ prime două câte două. Mai întâi, teorema chineză a restului este o “teoremă de structură” care descrie structura lui  $\mathbb{Z}_n$  ca fiind identică cu cea a produsului cartezian  $\mathbb{Z}_{n_1} \times \mathbb{Z}_{n_2} \times \cdots \times \mathbb{Z}_{n_k}$  cu adunarea și înmulțirea modulo  $n_i$  în a  $i$ -a componentă. În al doilea rând, această descriere poate fi, deseori, utilizată pentru a produce algoritmi eficienți deoarece operarea în fiecare din sistemele  $\mathbb{Z}_{n_i}$  poate fi mai eficientă (în termenii operațiilor pe biți) decât operarea modulo  $n$ .

**Teorema 33.27 (Teorema chineză a restului)** Fie  $n = n_1n_2 \cdots n_k$ , unde  $n_i$  sunt relativ prime două câte două. Se consideră corespondența

$$a \leftrightarrow (a_1, a_2, \dots, a_k), \tag{33.25}$$

unde  $a \in \mathbb{Z}_n$ ,  $a_i \in \mathbb{Z}_{n_i}$ , iar

$$a_i = a \pmod{n_i}$$

pentru  $i = 1, 2, \dots, k$ . Apoi, transformarea (33.25) este o bijectie între  $\mathbb{Z}_n$  și produsul cartezian  $\mathbb{Z}_{n_1} \times \mathbb{Z}_{n_2} \times \dots \times \mathbb{Z}_{n_k}$ . Operațiile efectuate asupra elementelor lui  $\mathbb{Z}_n$  pot fi efectuate echivalent asupra  $k$ -tuplelor corespunzătoare. Astfel, dacă

$$a \leftrightarrow (a_1, a_2, \dots, a_k), b \leftrightarrow (b_1, b_2, \dots, b_k),$$

atunci

$$(a + b) \text{ mod } n \leftrightarrow ((a_1 + b_1) \text{ mod } n_1, \dots, (a_k + b_k) \text{ mod } n_k), \quad (33.26)$$

$$(a - b) \text{ mod } n \leftrightarrow ((a_1 - b_1) \text{ mod } n_1, \dots, (a_k - b_k) \text{ mod } n_k), \quad (33.27)$$

$$(ab) \text{ mod } n \leftrightarrow (a_1 b_1 \text{ mod } n_1, \dots, a_k b_k \text{ mod } n_k). \quad (33.28)$$

**Demonstrație.** Transformarea dintre cele două reprezentări este cât se poate de directă. Trecând de la  $a$  la  $(a_1, a_2, \dots, a_k)$ , se cer numai  $k$  împărțiri. Calculul lui  $a$  din intrările  $(a_1, a_2, \dots, a_k)$  este la fel de ușor, utilizând următoarea formulă. Fie  $m_i = n/n_i$  pentru  $i = 1, 2, \dots, k$ . Să observăm că  $m_i = n_1 \cdot n_2 \cdots n_{i-1} \cdot n_{i+1} \cdots n_k$ , astfel încât  $m_i \equiv 0 \pmod{n_j}$  pentru orice  $j \neq i$ . Apoi, punând

$$c_i = m_i(m_i^{-1} \text{ mod } n_i) \quad (33.29)$$

pentru  $i = 1, 2, \dots, k$ , avem

$$a \equiv (a_1 c_1 + a_2 c_2 + \dots + a_k c_k) \pmod{n}. \quad (33.30)$$

Ecuația (33.29) este bine definită, deoarece  $m_i$  și  $n_i$  sunt relativ prime (prin teorema 33.6) și corolarul 33.26 implică faptul că  $(m_i^{-1} \text{ mod } n_i)$  este definit. Pentru a verifica ecuația (33.30), să observăm că  $c_j \equiv m_j \equiv 0 \pmod{n_i}$  dacă  $j \neq i$ , iar  $c_i \equiv 1 \pmod{n_i}$ . Astfel, avem corespondența

$$c_i \leftrightarrow (0, 0, \dots, 0, 1, 0, \dots, 0),$$

vector care are 0-uri peste tot exceptând a  $i$ -a componentă, unde are 1. Astfel,  $c_i$  formează o “bază” de reprezentare într-un anumit sens. De aceea, pentru fiecare  $i$  avem

$$\begin{aligned} a &\equiv a_i c_i \pmod{n_i} \\ &\equiv a_i m_i(m_i^{-1} \text{ mod } n_i) \pmod{n_i} \\ &\equiv a_i \pmod{n_i}. \end{aligned}$$

Întrucât putem transforma în ambele direcții, corespondența este biunivocă. Ecuațiile (33.26)–(33.28) se deduc direct din exercițiul 33.1-6, deoarece  $x \text{ mod } n_i = (x \text{ mod } n) \text{ mod } n_i$  pentru orice  $x$  și  $i = 1, 2, \dots, k$ . ■

Următoarele corolare vor fi utilizate mai târziu în acest capitol.

**Corolarul 33.28** Dacă  $n_1, n_2, \dots, n_k$  sunt relativ prime două câte două și  $n = n_1 n_2 \cdots n_k$ , atunci pentru orice întregi  $a_1, a_2, \dots, a_k$ , sistemul de ecuații

$$x \equiv a_i \pmod{n_i},$$

pentru  $i = 1, 2, \dots, k$ , are o soluție unică modulo  $n$  în necunoscuta  $x$ .

	0	1	2	3	4	5	6	7	8	9	10	11	12
0	0	40	15	55	30	5	45	20	60	35	10	50	25
1	26	1	41	16	56	31	6	46	21	61	36	11	51
2	52	27	2	42	17	57	32	7	47	22	62	37	12
3	13	53	28	3	43	18	58	33	8	48	23	63	38
4	39	14	54	29	4	44	19	59	34	9	49	24	64

**Figura 33.3** O ilustrare a teoremei chineze a restului pentru  $n_1 = 5$  și  $n_2 = 13$ . Pentru acest exemplu,  $c_1 = 26$  și  $c_2 = 40$ . În linia  $i$ , coloana  $j$ , se arată valoarea lui  $a$ , modulo 65, astfel ca  $(a \bmod 5) = i$  și  $(a \bmod 13) = j$ . Să observăm că linia 0, coloana 0 conține un 0. Similar, rândul 4, coloana 12 îl conține pe 64 (echivalentul lui -1). Deoarece  $c_1 = 26$ , mergând la linia următoare,  $a$  se incrementează cu 26. Similar,  $c_2 = 40$  înseamnă că, mergând la următoarea coloană,  $a$  se mărește cu 40. Incrementarea lui  $a$  cu 1 corespunde deplasării pe diagonală în jos, spre dreapta și revenirii de jos în sus, de la dreapta spre stânga.

**Corolarul 33.29** Dacă  $n_1, n_2, \dots, n_k$  sunt relativ prime două câte două și  $n = n_1 n_2 \cdots n_k$ , atunci pentru orice două numere întregi  $x$  și  $a$ ,

$$x \equiv a \pmod{n_i}$$

pentru  $i = 1, 2, \dots, k$  dacă și numai dacă

$$x \equiv a \pmod{n}.$$

Ca un exemplu pentru teorema chinezescă a restului, presupunem că se dau două ecuații

$$a \equiv 2 \pmod{5},$$

$$a \equiv 3 \pmod{13},$$

astfel încât  $a_1 = 2$ ,  $n_1 = m_2 = 5$ ,  $a_2 = 3$ , iar  $n_2 = m_1 = 13$ , și vrem să calculăm  $a \bmod 65$ , deoarece  $n = 65$ . Întrucât  $13^{-1} \equiv 2 \pmod{5}$  și  $5^{-1} \equiv 8 \pmod{13}$  avem

$$c_1 = 13(2 \bmod 5) = 26,$$

$$c_2 = 5(8 \bmod 13) = 40,$$

iar

$$\begin{aligned} a &\equiv 2 \cdot 26 + 3 \cdot 40 \pmod{65} \\ &\equiv 52 + 120 \pmod{65} \\ &\equiv 42 \pmod{65}. \end{aligned}$$

O ilustrare a teoremei chineze a restului, modulo 65, se poate vedea în figura 33.3.

Putem lucra direct modulo  $n$  sau în reprezentare transformată folosind calcule convenabile modulo  $n_i$ , separate. Calculele sunt complet echivalente.

## Exerciții

**33.5-1** Găsiți toate soluțiile ecuațiilor  $x \equiv 4 \pmod{5}$  și  $x \equiv 5 \pmod{11}$ .

**33.5-2** Găsiți toate numerele întregi  $x$  pentru care se obțin resturile 1, 2, 3, 4, 5 când sunt împărțite respectiv la 2, 3, 4, 5, 6.

**33.5-3** Argumentați că, în conformitate cu definițiile din teorema 33.27, dacă  $\text{cmmdc}(a, n) = 1$ , atunci

$$(a^{-1} \pmod{n}) \leftrightarrow ((a_1^{-1} \pmod{n_1}), (a_2^{-1} \pmod{n_2}), \dots, (a_k^{-1} \pmod{n_k})).$$

**33.5-4** În conformitate cu definițiile teoremei 33.27, demonstrați că numărul rădăcinilor ecuației  $f(x) \equiv 0 \pmod{n}$  este egal cu produsul numărului rădăcinilor fiecarei ecuații  $f(x) \equiv 0 \pmod{n_1}, f(x) \equiv 0 \pmod{n_2}, \dots, f(x) \equiv 0 \pmod{n_k}$ .

## 33.6. Puterile unui element

Așa cum este normal să se considere multiplii unui element dat  $a$ , modulo  $n$ , este la fel de natural să considerăm sirul puterilor lui  $a$ , modulo  $n$ , unde  $a \in \mathbb{Z}_n^*$ :

$$a^0, a^1, a^2, a^3, \dots, \quad (33.31)$$

modulo  $n$ . Valoarea de indice 0 din acest sir este  $a^0 \pmod{n} = 1$ , iar a  $i$ -a valoare este  $a^i \pmod{n}$ . De exemplu, puterile lui 3 modulo 7 sunt

$i$	0	1	2	3	4	5	6	7	8	9	10	11	...
$3^i \pmod{7}$	1	3	2	6	4	5	1	3	2	6	4	5	...

iar puterile lui 2 modulo 7 sunt

$i$	0	1	2	3	4	5	6	7	8	9	10	11	...
$2^i \pmod{7}$	1	2	4	1	2	4	1	2	4	1	2	4	...

În această secțiune vom nota cu  $\langle a \rangle$  subgrupul lui  $\mathbb{Z}_n^*$  generat de  $a$ , cu  $\text{ord}_n(a)$  ("ordinul lui  $a$  modulo  $n$ "), ordinul lui  $a$  în  $\mathbb{Z}_n^*$ . De exemplu,  $\langle 2 \rangle = \{1, 2, 4\}$  în  $\mathbb{Z}_7^*$ , iar  $\text{ord}_7(2) = 3$ . Utilizând definiția funcției lui Euler  $\phi(n)$  ca dimensiune a lui  $\mathbb{Z}_n^*$  (vezi secțiunea 33.3), vom transcrie corolarul 33.19 în notația lui  $\mathbb{Z}_n^*$  pentru a obține teorema lui Euler și o vom particulariza pentru  $\mathbb{Z}_p^*$ , unde  $p$  este prim, pentru a obține teorema lui Fermat.

**Teorema 33.30 (Teorema lui Euler)** Pentru orice  $n > 1$ ,

$$a^{\phi(n)} \equiv 1 \pmod{n} \text{ pentru orice } a \in \mathbb{Z}_n^*. \quad (33.32)$$

**Teorema 33.31 (Teorema lui Fermat)** Dacă  $p$  este prim, atunci

$$a^{p-1} \equiv 1 \pmod{n} \text{ pentru orice } a \in \mathbb{Z}_n^* \quad (33.33)$$

**Demonstrație.** Din ecuația (33.21) rezultă că  $\phi(p) = p - 1$  dacă  $p$  este prim. ■

Acest corolar se aplică oricărui element din  $\mathbb{Z}_p$ , cu excepția lui 0, deoarece  $0 \notin \mathbb{Z}_p^*$ . Totuși, pentru orice  $a \in \mathbb{Z}_p$ , avem  $a^p \equiv a \pmod{p}$  dacă  $p$  este prim.

Dacă  $\text{ord}_n(g) = |\mathbb{Z}_n^*|$ , atunci orice element din  $\mathbb{Z}_n^*$  este o putere a lui  $g$  modulo  $n$  și spunem că  $g$  este o **rădăcină primitivă** sau **generator** al lui  $\mathbb{Z}_n^*$ . De exemplu, 3 este o rădăcină primitivă modulo 7. Dacă  $\mathbb{Z}_n^*$  are o rădăcină primitivă, spunem că grupul  $\mathbb{Z}_n^*$  este **ciclic**. Omitem demonstrația următoarei teoreme, care a fost dată de Niven și Zuckerman [151].

**Teorema 33.32** Valorile lui  $n > 1$ , pentru care  $\mathbb{Z}_n^*$  este ciclic, sunt 2, 4,  $p^e$  și  $2p^e$  pentru toate numerele prime impare și pentru orice întregi  $e$ .

Dacă  $g$  este o rădăcină primitivă a lui  $\mathbb{Z}_n^*$  și  $a$  este un element arbitrar al lui  $\mathbb{Z}_n^*$ , atunci există un  $z$  astfel încât  $g^z \equiv a \pmod{n}$ . Acest  $z$  este numit **logaritmul discret** sau **indexul** lui  $a$  modulo  $n$ , pentru baza  $g$ ; notăm această valoare cu  $\text{ind}_{n,g}(a)$ .

**Teorema 33.33 (Teorema logaritmului discret)** Dacă  $g$  este o rădăcină primitivă a lui  $\mathbb{Z}_n^*$ , atunci relația  $g^x \equiv g^y \pmod{n}$  are loc dacă și numai dacă are loc  $x \equiv y \pmod{\phi(n)}$ .

**Demonstrație.** Presupunem pentru început că  $x \equiv y \pmod{\phi(n)}$ . Atunci,  $x = y + k\phi(n)$  pentru un anumit întreg  $k$ . De aceea,

$$\begin{aligned} g^x &\equiv g^{y+k\phi(n)} \pmod{n} \\ &\equiv g^y \cdot (g^{\phi(n)})^k \pmod{n} \\ &\equiv g^y \cdot 1^k \pmod{n} \\ &\equiv g^y \pmod{n} \end{aligned}$$

Invers, presupunem că  $g^x \equiv g^y \pmod{n}$ . Deoarece sirul puterilor lui  $g$  generează orice element al lui  $\langle g \rangle$  și  $|\langle g \rangle| = \phi(n)$ , corolarul 33.18 implică faptul că sirul de puteri ale lui  $g$  este periodic având perioada  $\phi(n)$ . De aceea, dacă  $g^x \equiv g^y \pmod{n}$ , atunci trebuie să avem  $x \equiv y \pmod{\phi(n)}$ . ■

În unele cazuri, folosirea logaritmilor discreți poate simplifica deducțiile pentru o relație modulară, după cum se arată și în demonstrația teoremei următoare.

**Teorema 33.34** Dacă  $p$  este un număr prim impar și  $e \geq 1$ , atunci ecuația

$$x^2 \equiv 1 \pmod{p^e} \tag{33.34}$$

are numai două soluții și anume  $x = 1$  și  $x = -1$ .

**Demonstrație.** Fie  $n = p^e$ . Teorema 33.32 implică faptul că  $\mathbb{Z}_n^*$  are o rădăcină primitivă  $g$ . Ecuația (33.34) poate fi scrisă

$$(g^{\text{ind}_{n,g}(x)})^2 \equiv g^{\text{ind}_{n,g}(1)} \pmod{n}. \tag{33.35}$$

După ce remarcăm că  $\text{ind}_{n,g}(1) = 0$ , observăm că teorema 33.33 implică faptul că ecuația (33.35) este echivalentă cu

$$2 \cdot \text{ind}_{n,g}(x) \equiv 0 \pmod{\phi(n)}. \tag{33.36}$$

Pentru a rezolva această ecuație în necunoscuta  $\text{ind}_{n,g}(x)$ , aplicăm metodele din secțiunea 33.4. Fie  $d = \text{cmmdc}(2, \phi(n)) = \text{cmmdc}(2, (p-1)p^{e-1}) = 2$  și observăm că  $d \mid 0$ , iar din teorema 33.24 deducem că ecuația (33.36) are exact  $d = 2$  soluții. De aceea și ecuația (33.34) are exact 2 soluții care se verifică dacă sunt  $x = 1$  și  $x = -1$ . ■

Un număr  $x$  este o **rădăcină netrivială a lui 1 modulo  $n$**  dacă verifică ecuația  $x^2 \equiv 1 \pmod{n}$  și  $x$  nu este echivalent cu nici una dintre cele două rădăcini “triviale”: 1 sau -1 modulo  $n$ . De exemplu, 6 este o rădăcină pătrată netrivială a lui 1 modulo 35. Următorul corolar al teoremei 33.34 va fi utilizat la demonstrarea corectitudinii procedurii lui Miller-Rabin de testare a numerelor prime din secțiunea 33.8.

**Corolarul 33.35** Dacă există o rădăcină pătrată netrivială a lui 1 modulo  $n$ , atunci  $n$  este compus.

**Demonstrație.** Teorema 33.34 implică faptul că, dacă există o rădăcină pătrată netrivială a lui 1 modulo  $n$ , atunci  $n$  nu poate fi prim sau o putere a unui număr prim. Deci,  $n$  trebuie să fie compus. ■

### Ridicarea la putere prin ridicări repetitive la pătrat

O operație care apare frecvent în calculele din teoria numerelor este ridicarea unui număr la o putere modulo un alt număr, cunoscută sub numele de **exponențiere modulară**. Mai exact, dorim un mod eficient de a calcula  $a^b \pmod{n}$ , unde  $a$  și  $b$  sunt întregi nenegativi și  $n$  este un întreg pozitiv. Exponențierea modulară este o operație esențială în multe rutine de testare a proprietății de număr prim și în criptosistemul RSA cu cheie publică. Metoda **ridicării repetitive la pătrat** rezolvă eficient această problemă utilizând reprezentarea binară a lui  $b$ .

Fie  $\langle b_k, b_{k-1}, \dots, b_1, b_0 \rangle$  reprezentarea binară a lui  $b$ . (Mai exact, reprezentarea binară are lungimea de  $k+1$  biți,  $b_k$  este cel mai semnificativ bit, iar  $b_0$  este cel mai puțin semnificativ bit.) Următoarea procedură calculează  $a^c \pmod{n}$  mărind pe  $c$  prin dublări și incrementări de la 0 la  $b$ .

#### EXPONENTIERE-MODULARĂ( $a, b, n$ )

- 1:  $c \leftarrow 0$
- 2:  $d \leftarrow 1$
- 3: fie  $\langle b_k, b_{k-1}, \dots, b_1, b_0 \rangle$  reprezentarea binară a lui  $b$
- 4: **pentru**  $i \leftarrow k, 0, -1$  **execută**
- 5:    $c \leftarrow 2c$
- 6:    $d \leftarrow (d \cdot d) \pmod{n}$
- 7:   **dacă**  $b_i = 1$  **atunci**
- 8:      $c \leftarrow c + 1$
- 9:      $d \leftarrow (d \cdot a) \pmod{n}$
- 10: **returnează**  $d$

Fiecare exponent calculat succesiv este sau de două ori exponentul precedent, sau cu unu mai mare decât el; reprezentarea binară a lui  $b$  este citită de la dreapta spre stânga pentru a decide care operație să se realizeze.

Fiecare iterație a ciclului utilizează una din identitățile

$$a^{2c} \pmod{n} = (a^c)^2 \pmod{n},$$

$i$	9	8	7	6	5	4	3	2	1	0
$b_i$	1	0	0	0	1	1	0	0	0	0
$c$	1	2	4	8	17	35	70	140	280	560
$d$	7	49	157	526	160	241	298	166	67	1

**Figura 33.4** Rezultatele lui EXPONENTIERE-MODULARĂ când se calculează  $a^b \pmod{n}$ , pentru  $a = 7$ ,  $b = 560 = \langle 1000110000 \rangle$  și  $n = 561$ . Sunt arătate valorile după fiecare execuție a ciclului **pentru**. Rezultatul final este 1.

$$a^{2c+1} \pmod{n} = a \cdot (a^c)^2 \pmod{n},$$

după cum  $b_i = 0$ , respectiv 1. Folosirea ridicării la pătrat în fiecare iterație explică denumirea de “ridicare repetată la pătrat”. Imediat după ce bitul  $b_i$  este citit și procesat, valoarea lui  $c$  este egală cu prefixul  $\langle b_k, b_{k-1}, \dots, b_i \rangle$  al reprezentării binare a lui  $b$ . De exemplu, pentru  $a = 7$ ,  $b = 560$  și  $n = 561$ , algoritmul calculează sirul de valori modulo 561 ilustrat în figura 33.4; sirul de exponenti folosiți se poate observa în rândul  $c$  al tabelei.

În realitate, variabila  $c$  nu este necesară în algoritm, dar este inclusă pentru scopuri explicative: algoritmul conservă invariantul  $d = a^c \pmod{n}$ , în timp ce-l mărește pe  $c$  prin dublări și incrementări până când  $c = b$ . Dacă intrările  $a, b$  și  $n$  sunt numere reprezentate pe  $\beta$  biți, atunci numărul total al operațiilor aritmetice necesare este  $O(\beta)$  și numărul total al operațiilor pe biți necesare este  $O(\beta^2)$ .

## Exerciții

**33.6-1** Întocmiți un tabel care să arate ordinul fiecărui element din  $\mathbb{Z}_{11}^*$ . Găsiți cea mai mică rădăcină primitivă  $g$  și alcătuți o tabelă cu  $\text{ind}_{11,g}(x)$  pentru orice  $x \in \mathbb{Z}_{11}^*$ .

**33.6-2** Dați un algoritm de exponențiere modulară care să examineze toți biții din reprezentarea lui  $b$  de la dreapta spre stânga, și nu de la stânga spre dreapta.

**33.6-3** Explicați cum se poate calcula  $a^{-1} \pmod{n}$  pentru orice  $a \in \mathbb{Z}_n^*$  utilizând procedura EXPONENTIERE-MODULARĂ, presupunând că se cunoaște  $\phi(n)$ .

## 33.7. Criptosistemul RSA cu cheie publică

Un criptosistem cu cheie publică poate fi utilizat pentru a cripta mesaje trimise între două părți care comunică între ele, astfel încât o persoană străină care interceptează mesajele criptate să nu le poată decodifica. De asemenea, un criptosistem cu cheie publică permite unei părți să adauge o “semnătură digitală” nefalsificabilă la sfârșitul unui mesaj electronic. O astfel de semnătură este versiunea electronică a unei semnături scrise cu mâna pe un document oficial scris pe hârtie. Ea poate fi verificată ușor de către oricine, nu poate fi falsificată de nimeni, totuși își pierde validitatea dacă cel puțin un bit din mesaj este alterat. De aceea, ea furnizează atât autenticitatea identității semnatarului cât și a conținutului mesajului semnat. Este un instrument perfect pentru contractele de afaceri semnate electronice, pentru securile electronice, comenzi electronice de cumpărare și alte comunicații electronice care trebuie autentificate.

Criptosistemul RSA cu cheie publică se bazează pe diferența impresionantă dintre ușurința de a găsi numere prime mari și dificultatea de a factoriza produsul a două numere prime mari. În secțiunea 33.8 se descrie o procedură eficientă pentru a găsi numere prime mari, iar în secțiunea 33.9 se discută problema factorizării întregilor mari.

## Criptosisteme cu cheie publică

Într-un criptosistem cu cheie publică, fiecare participant are atât o **cheie publică** cât și o **cheie secretă**. Fiecare cheie este un fragment de informație. De exemplu, în criptosistemul RSA, fiecare cheie constă dintr-o pereche de numere întregi. Numele “Alice” și “Bob” se utilizează, tradițional, în exemplele de criptografie; notăm cheile lor publice și secrete cu  $P_A, S_A$  pentru Alice și  $P_B, S_B$  pentru Bob.

Fiecare participant își creează propria cheie publică și secretă. Fiecare își păstrează în secret cheia sa secretă, dar poate să-și deconspire cheia publică oricui sau chiar să o facă publică. De fapt, putem presupune că o cheie publică apartinând unei persoane este disponibilă într-un director public, astfel încât orice participant poate obține ușor cheia publică a oricărui alt participant.

Cheile publice și secrete specifică funcții care pot fi aplicate oricărui mesaj. Notăm prin  $\mathcal{D}$  mulțimea mesajelor permise. De exemplu,  $\mathcal{D}$  ar putea fi mulțimea tuturor sirurilor de biți de lungime finită. Se cere ca ambele chei să specifică funcții unu-la-unu (bijective) de la  $\mathcal{D}$  la  $\mathcal{D}$ . Funcția care corespunde cheii publice  $P_A$  a lui Alice se notează cu  $P_A()$ , iar cea care corespunde cheii secrete  $S_A$  cu  $S_A()$ . Funcțiile  $P_A()$  și  $S_A()$  sunt permutări ale lui  $\mathcal{D}$ . Presupunem că funcțiile  $P_A()$  și  $S_A()$  se pot calcula eficient cunoșcând cheile corespunzătoare  $P_A$  și  $S_A$ .

Cheia publică și cea secretă pentru fiecare participant, sunt o “pereche asortată”, în sensul că ele specifică funcții inverse una celeilalte. Adică,

$$M = S_A(P_A(M)), \quad (33.37)$$

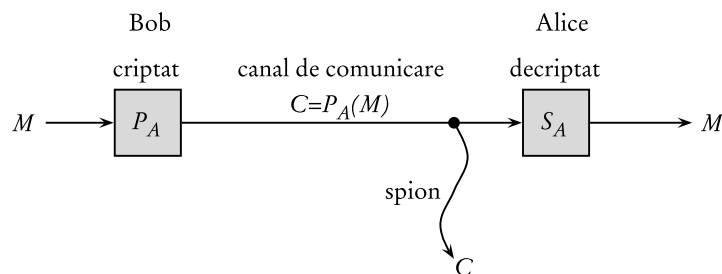
$$M = P_A(S_A(M)) \quad (33.38)$$

pentru orice mesaj  $M \in \mathcal{D}$ . Transformându-l succesiv pe  $M$  cu ajutorul celor două chei  $P_A$  și  $S_A$ , în orice ordine, se revine la mesajul  $M$ .

Într-un criptosistem cu cheie publică, este esențial ca nimeni, în afară de Alice, să nu poată calcula funcția  $S_A()$  într-un timp rezonabil. Secretul mesajului criptat și expediat lui Alice și autenticitatea semnături digitale a lui Alice se bazează pe presupunerea că numai Alice este în stare să calculeze pe  $S_A()$ . Această cerință impune ca Alice să păstreze  $S_A$  secret; dacă nu face acest lucru, ea își pierde unicitatea și criptosistemul nu o poate înzestră cu facilități unice. Presupunerea că numai Alice poate calcula  $S_A()$  trebuie să se mențină chiar dacă cineva cunoaște  $P_A$  și poate calcula eficient  $P_A()$ , inversa funcției  $S_A()$ . Dificultatea majoră în proiectarea unui criptosistem funcționabil cu cheie publică constă în figurarea modului de a crea un sistem în care putem deconspira o transformare  $P_A()$ , fără a deconspira cum se calculează transformarea inversă  $S_A()$  corespunzătoare.

Într-un criptosistem cu cheie publică, criptarea funcționează după cum urmează: presupunem că Bob dorește să-i trimită lui Alice un mesaj  $M$  criptat, astfel încât el va arăta ca o vorbire neinteligibilă pentru o persoană care trage cu urechea. Scenariul pentru trimiterea mesajului se desfășoară după cum urmează:

- Bob obține cheia publică  $P_A$  a lui Alice (într-un director public sau direct de la Alice).



**Figura 33.5** Criptarea într-un sistem cu cheie publică. Bob criptează mesajul  $M$  utilizând cheia publică  $P_A$  a lui Alice și transmite textul cifrat care a rezultat  $C = P_A(M)$  lui Alice. O persoană străină care capturează transmisia textului cifrat nu obține nici o informație despre  $M$ . Alice îl recepționează și-l decriptează folosind cheia ei secretă pentru a obține mesajul original  $M = S_A(C)$ .

- Bob calculează **textul cifrat**  $C = P_A(M)$  care corespunde mesajului  $M$  și trimite  $C$  lui Alice.
- Când Alice recepționează textul cifrat  $C$ , aplică cheia ei secretă  $S_A$  pentru a obține mesajul original  $M = S_A(C)$ .

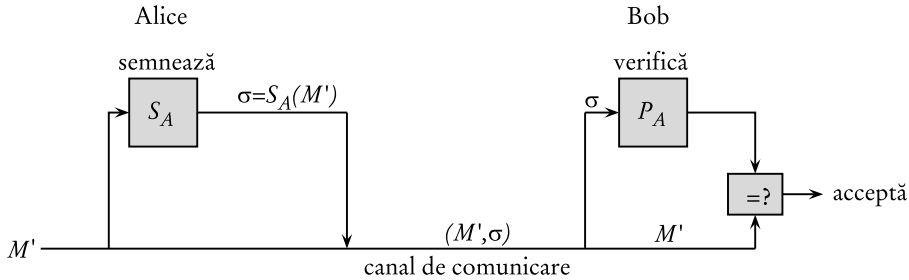
Figura 33.5 ilustrează acest proces. Deoarece  $S_A()$  și  $P_A()$  sunt funcții inverse, Alice îl poate calcula pe  $M$  din  $C$ . Deoarece numai Alice este în stare să-l calculeze pe  $S_A()$ , numai ea îl poate calcula pe  $M$  din  $C$ . Criptarea lui  $M$  folosind  $P_A()$  protejează dezvăluirea lui  $M$  față de oricine, exceptând-o pe Alice.

Semnăturile digitale sunt la fel de ușor de implementat într-un criptosistem cu cheie publică. Presupunem acum că Alice dorește să-i trimită lui Bob un răspuns  $M'$ , semnat digital. Scenariul pentru semnătură digitală continuă după cum urmează:

- Alice calculează **semnătura digitală**  $\sigma$  a ei pentru mesajul  $M'$  folosind cheia ei secretă  $S_A$  și ecuația  $\sigma = S_A(M')$ .
- Alice trimitе lui Bob perechea  $(M', \sigma)$  mesaj/semnătură.
- Când Bob recepționează  $(M', \sigma)$ , poate verifica faptul că acesta este de la Alice, folosind cheia publică a lui Alice pentru a verifica relația  $M' = P_A(\sigma)$ . (Probabil că  $M'$  conține numele lui Alice, astfel încât Bob știe a cui cheie publică să o folosească). Dacă relația este satisfăcută, Bob trage concluzia că mesajul  $M'$  a fost într-adevăr semnat de Alice. Dacă relația nu este satisfăcută, Bob trage concluzia că  $M'$  sau semnătura digitală  $\sigma$  au fost deteriorate prin erori de transmisie sau că perechea  $(M', \sigma)$  este un fals.

Figura 33.6 ilustrează acest proces. Deoarece o semnătură digitală furnizează autenticitatea atât a identității semnatarului, cât și a conținutului mesajului semnat, ea este analogă cu o semnătură scrisă cu mâna la sfârșitul unui document scris.

O proprietate importantă a unei semnături digitale este faptul că este verificabilă de oricine care are acces la cheia publică a semnatarului. Un mesaj semnat poate fi verificat de mai multe ori (de mai multe părți). De exemplu, mesajul ar putea fi un cec electronic de la Alice la Bob. După ce Bob verifică semnătura lui Alice de pe cec, el poate preda cecul la banca sa, care apoi poate verifica din nou semnătura și poate efectua transferul corespunzător de capital.



**Figura 33.6** Semnături digitale într-un sistem cu cheie publică. Alice semnează mesajul  $M'$  folosind semnătura ei digitală  $\sigma = S_A(M')$ . Îi transmite lui Bob perechea  $(M', \sigma)$  mesaj/semnătură, el o verifică testând relația  $M' = P_A(\sigma)$ . Dacă relația este satisfăcută, acceptă pe  $(M', \sigma)$  drept mesaj care a fost semnat de Alice.

Observăm că un mesaj semnat nu este criptat; mesajul este “în clar” și nu este protejat contra falsificării. Compunând protocoalele de mai sus pentru criptare și semnături, putem crea mesaje care să fie atât semnate cât și criptate. Semnatarul adaugă întâi semnătura sa digitală la mesaj și apoi criptează, rezultând perechea mesaj/semnătură cu cheie publică a destinatarului avut în vedere. Receptorul decriptează cu cheia sa secretă mesajul primit pentru a obține atât mesajul original cât și semnătura lui digitală. El poate, apoi, verifica semnătura utilizând cheia publică a semnatarului. Procesul combinat este corespunzător practiciei folosite la documentele scrise, aceea de a semna documentul, apoi, a sigila plicul în care acesta a fost introdus și care poate fi deschis numai de către destinatar.

## Criptosistemul RSA

În **criptosistemul RSA cu cheie publică**, un participant creează cheia sa publică și secretă prin următoarea procedură:

1. Se selectează aleator două numere prime mari  $p$  și  $q$ . Acestea ar putea avea, de exemplu, 100 de cifre zecimale.
2. Se calculează  $n$  prin relația  $n = pq$ .
3. Se selectează un număr impar mic  $e$  care este relativ prim cu  $\phi(n)$  și care, conform relației (33.20), este  $(p - 1)(q - 1)$ .
4. Se calculează  $d$  ca fiind inversul multiplicativ al lui  $e$  modulo  $\phi(n)$ . (Corolarul 33.26 garantează că  $d$  există și că acesta este unic).
5. Se declară perechea  $P = (e, n)$  drept **cheie RSA publică**.
6. Se menține secretă perechea  $S = (d, n)$  care este **cheie RSA secretă**.

Pentru această schemă, domeniul  $\mathcal{D}$  este mulțimea  $\mathbb{Z}_n$ . Transformarea mesajului  $M$  asociat unei chei publice  $P = (e, n)$  este

$$P(M) = M^e \pmod{n}. \quad (33.39)$$

Transformarea textului cifrat  $C$  asociat unei chei secrete  $S = (d, n)$  este:

$$S(C) = C^d \pmod{n}. \quad (33.40)$$

Aceste relații se referă atât la criptare, cât și la semnături. Pentru a crea o semnătură, semnatarul aplică cheia sa secretă mesajului de semnat și nu textului cifrat. Pentru a verifica o semnătură, cheia publică a semnatarului i se aplică ei și nu mesajului criptat.

Operațiile pentru cheie publică și cheie secretă pot fi implementate folosind procedura EXPONENTIERE-MODULARĂ descrisă în secțiunea 33.6. Pentru a analiza timpul de execuție al acestor operații, să presupunem că ambele chei, cea publică  $(e, n)$  și cea secretă  $(d, n)$ , satisfac relațiile  $\log_2 e = O(1)$ ,  $\log_2 d = \log_2 n = \beta$ . Atunci, aplicarea unei chei publice necesită  $O(1)$  înmulțiri modulare și se utilizează  $O(\beta^2)$  operații pe biți. Aplicarea unei chei secrete necesită  $O(\beta)$  înmulțiri modulare și  $O(\beta^3)$  operații pe biți.

**Teorema 33.36 (Corectitudinea lui RSA)** Relațiile RSA (33.39) și (33.40) definesc transformările inverse ale lui  $\mathbb{Z}_n$ , care satisfac relațiile (33.37) și (33.38).

**Demonstrație.** Din relațiile (33.39) și (33.40), pentru orice  $M \in \mathbb{Z}_n$ , avem

$$P(S(M)) = S(P(M)) = M^{ed} \pmod{n}.$$

Deoarece  $e$  și  $d$  sunt inverse multiplicative modulo  $\phi(n) = (p-1)(q-1)$ ,

$$ed = 1 + k(p-1)(q-1)$$

pentru un anumit întreg  $k$ . Dar atunci, dacă  $M \not\equiv 0 \pmod{p}$ , avem (folosind teorema 33.31)

$$\begin{aligned} M^{ed} &\equiv M(M^{p-1})^{k(q-1)} \pmod{p} \\ &\equiv M(1)^{k(q-1)} \pmod{p} \\ &\equiv M \pmod{p}. \end{aligned}$$

De asemenea,  $M^{ed} \equiv M \pmod{p}$  dacă  $M \equiv 0 \pmod{p}$ . Astfel,

$$M^{ed} \equiv M \pmod{p}$$

pentru orice  $M$ . Similar,

$$M^{ed} \equiv M \pmod{q}$$

pentru orice  $M$ . Astfel, pe baza corolarului 33.29 al teoremei chinezești a restului,

$$M^{ed} \equiv M \pmod{n}$$

pentru orice  $M$ . ■

Securitatea criptosistemului rezidă, în mare parte, în dificultatea de a factoriza numere întregi mari. Dacă adversarul poate factoriza modulul  $n$  printr-o cheie publică, atunci poate obține cheia secretă din cea publică, utilizând cunoștințele despre factorii  $p$  și  $q$  în același mod în care le-a utilizat creatorul cheii publice. Astfel, dacă factorizarea numerelor întregi mari este ușoară, atunci spargerea criptosistemului RSA este simplă. Afirmația inversă, și anume că, dacă factorizarea numerelor întregi mari este dificilă, atunci spargerea lui RSA este dificilă, este nedemonstrabilă. Totuși, după un deceniu de cercetări, nu a fost găsită nici o metodă mai simplă de a sparge

criptosistemul RSA cu cheie publică, decât factorizarea modului  $n$ . Așa cum vom vede în secțiunea 33.9, factorizarea numerelor întregi mari este surprinzător de dicifilă. Alegând aleator și înmulțind două numere prime de 100 de cifre, se poate crea o cheie publică ce nu poate fi “spartă” cu tehnologia curentă într-un timp rezonabil. În absența unui salt fundamental în proiectarea algoritmilor din teoria numerelor, criptosistemul RSA este capabil să furnizeze un grad înalt de securitate în aplicații.

În vederea obținerii securității cu criptosistemele RSA, este totuși necesar să se lucreze cu numere întregi care să aibă 100–200 de cifre, deoarece factorizarea întregilor mai mici nu este impractică. În particular, trebuie să fim în stare să găsim eficient numere prime mari în vederea creării cheilor de lungime necesară. Această problemă este prezentată în secțiunea 33.8.

Pentru eficiență, RSA este, adesea, utilizat într-un mod “hibrid” sau “controlat-de-cheie” cu criptosistem rapid având cheie nepublică. Cu un astfel de sistem, cheile de criptare și decriptare sunt identice. Dacă Alice dorește să-i trimite lui Bob un mesaj confidențial  $M$  lung, selectează o cheie aleatoare  $K$  pentru criptosistemul cu cheie nepublică, criptează mesajul  $M$  cu ajutorul cheii  $K$  și obține textul cifrat  $C$ . Textul  $C$  este tot atât de lung ca  $M$ , dar cheia  $K$  este cât se poate de scurtă. Apoi, criptează  $K$  folosind cheia RSA publică a lui Bob. Deoarece  $K$  este scurtă, calculul lui  $P_B(K)$  este rapid (mult mai rapid decât calculul lui  $P_B(M)$ ). Apoi,  $(C, P_B(K))$  este transmis lui Bob, care decriptează  $P_B(K)$  pentru a-l obține pe  $K$  și, apoi, îl folosește pe  $K$  pentru a-l decripta pe  $C$ , obținându-l pe  $M$ .

O altă concepție hibridă similară este des folosită pentru a realiza semnături digitale eficiente. În această concepție, RSA este înzestrat cu o **funcție univocă de dispersie** publică  $h$ , o funcție care este ușor de calculat, dar pentru care nu este simplu, din punctul de vedere al calculului, să se găsească două mesaje  $M$  și  $M'$  astfel încât  $h(M) = h(M')$ . Valoarea  $h(M)$  este o “amprentă” prescurtată (de exemplu, de 128 biți) a mesajului  $M$ . Dacă Alice dorește să semneze un mesaj  $M$ , aplică întâi  $h$  lui  $M$  pentru a obține amprenta  $h(M)$ , pe care apoi o semnează cu cheia ei secretă. Va trimite  $(M, S_A(h(M)))$  lui Bob ca versiune a lui  $M$ , semnată de ea. Bob poate verifica semnatura prin calculul lui  $h(M)$  pe de o parte, iar pe de alta, aplicând  $P_A$  la  $S_A(h(M))$ , obținând astfel  $h(M)$ . Deoarece nimici nu poate crea două mesaje cu aceeași amprentă, este imposibil să se altereze un mesaj semnat și să se păstreze validitatea semnăturii.

În final, să observăm că folosirea **certificatelor** ușurează distribuirea cheilor publice. De exemplu, să presupunem că există o “autoritate de încredere”  $T$  a cărei cheie publică este cunoscută de oricine. Alice poate obține de la  $T$  un mesaj semnat (certificatul ei) afirmând că “Alice are cheia publică  $P_A$ ”. Acest certificat se “auto-identifică” deoarece oricine cunoaște pe  $P_T$ . Alice poate include certificatul ei cu mesajul semnat de ea, astfel încât destinatarul are imediat disponibilă cheia publică a lui Alice în vederea verificării semnăturii. Deoarece cheia ei a fost semnată de  $T$ , destinatarul știe că, într-adevăr cheia lui Alice este a lui Alice.

## Exerciții

**33.7-1** Se consideră o cheie RSA cu  $p = 11$ ,  $q = 29$ ,  $n = 319$  și  $e = 3$ . Ce valoare ar trebui folosită pentru  $d$  în cheia secretă? Care este criptarea mesajului  $M = 100$ ?

**33.7-2** Demonstrați că, dacă exponentul public al lui Alice este 3 și un adversar obține exponentul secret  $d$  al lui Alice, atunci adversarul poate factoriza modulul  $n$  al lui Alice într-un timp polinomial în numărul de biți din  $n$ . (Deși nu se cere să se demonstreze, putem fi interesați

să știm că acest rezultat rămâne valabil și în cazul în care condiția  $e = 3$  este eliminată. Vezi Miller [147].)

**33.7-3 \*** Arătați că RSA este multiplicativ, în sensul că

$$P_A(M_1)P_A(M_2) \equiv P_A(M_1M_2) (\text{ mod } n).$$

Să se utilizeze această proprietate pentru a demonstra că, dacă un adversar are o procedură care ar putea decripta eficient 1 procent din mesajele aleator din  $\mathbb{Z}_n$  și care sunt criptate cu  $P_A$ , atunci ar putea utiliza un algoritm probabilistic pentru a decripta, cu probabilitate mare, orice mesaj criptat cu  $P_A$ .

## 33.8. Testul de primalitate

În această secțiune considerăm problema găsirii numerelor prime mari. Începem cu o discuție despre densitatea numerelor prime, continuând cu examinarea unei concepții plauzibile (dar incomplete) pentru testarea proprietății de număr prim și apoi prezentăm un test aleator efectiv pentru numere prime, datorat lui Miller și Rabin.

### Densitatea numerelor prime

Pentru multe aplicații (cum este criptarea), avem nevoie să găsim numere prime mari “aleatoare”. Din fericire, numerele prime mari nu sunt prea rare, aşa că nu este prea costisitor în timp să testăm aleator întregi de dimensiune corespunzătoare, până când găsim un număr prim. **Funcția  $\pi(n)$  de distribuție a numerelor prime** specifică numărul numerelor prime care sunt mai mici sau egale cu  $n$ . De exemplu,  $\pi(10) = 4$ , deoarece există 4 numere prime mai mici sau egale cu 10 și anume 2, 3, 5 și 7. Teorema numărului numerelor prime oferă o aproximatie utilă pentru  $\pi(n)$ .

**Teorema 33.37 (Teorema numărului numerelor prime)**

$$\lim_{n \rightarrow \infty} \frac{\pi(n)}{n/\ln n} = 1.$$

■

Aproximația  $n/\ln n$  dă o estimare rezonabilă de precisă pentru  $\pi(n)$ , chiar și pentru  $n$  mic. De exemplu, ea diferă cu mai puțin de 6% pentru  $n = 10^9$ , unde  $\pi(n) = 50847534$  și  $n/\ln n = 48254942$ . (În teoria numerelor,  $10^9$  este considerat un număr mic).

Putem folosi teorema numărului numerelor prime pentru a estima că probabilitatea ca un număr întreg  $n$  ales la întâmplare să fie număr prim este  $1/\ln n$ . Astfel, va trebui să examinăm  $\ln n$  numere întregi apropiate de  $n$ , alese aleator, pentru a găsi un număr prim care să fie de aceeași lungime ca  $n$ . De exemplu, pentru a găsi un număr prim de 100 de cifre, s-ar cere să se testeze dacă sunt prime aproximativ  $\ln 10^{100} \approx 230$  numere de 100 de cifre alese aleator. (Acest număr poate fi înjumătățit alegând numai întregi impari).

În cele ce urmează, în această secțiune, vom considera problema determinării dacă  $n$  (număr întreg impar, mare) este prim sau nu. Din punctul de vedere al notațiilor, este convenabil să presupunem că  $n$  are descompunerea în numere prime

$$n = p_1^{e_1} p_2^{e_2} \cdots p_r^{e_r}, \quad (33.41)$$

unde  $r \geq 1$  și  $p_1, p_2, \dots, p_r$  sunt factorii primi ai lui  $n$ . Desigur,  $n$  este prim dacă și numai dacă  $r = 1$  și  $e_1 = 1$ .

O concepție simplă pentru problema testării numerelor prime este *împărțirea de probă*. Se încearcă să se dividă  $n$  prin fiecare întreg  $2, 3, \dots, \lfloor \sqrt{n} \rfloor$ . (Din nou, întregii pari mai mari decât 2 pot fi omisi.) Este ușor să se observe că  $n$  este prim dacă și numai dacă nici unul din divizorii de probă nu-l divide pe  $n$ . Presupunând că fiecare împărțire de probă necesită un timp constant, timpul de execuție în cazul cel mai defavorabil este  $\Theta(\sqrt{n})$ , care este exponențial în raport cu lungimea lui  $n$ . (Amintim că, dacă  $n$  are o reprezentare binară pe  $\beta$  biți, atunci  $\beta = \lceil \lg(n+1) \rceil$  și astfel  $\sqrt{n} = \Theta(2^{\beta/2})$ .) Astfel, împărțirea de probă funcționează bine numai dacă  $n$  este foarte mic sau are un factor prim mic. Când împărțirea de probă funcționează, are avantajul că determină numai faptul că  $n$  este prim sau compus, dar dacă  $n$  este compus, determină unul din factorii primi ai lui.

În această secțiune suntem interesați numai în a determina dacă un număr dat  $n$  este prim sau compus și nu suntem interesați de găsirea factorizării lui în numere prime. Așa cum vom vedea în secțiunea 33.9, determinarea factorizării în numere prime a unui număr dat este laborioasă din punctul de vedere al calculelor. Este surprinzător, dar este mult mai ușor să afirmi dacă un număr este prim sau nu, decât să determini factorizarea în numere prime dacă el nu este prim.

## Testul de pseudoprimalitate

Considerăm acum o metodă de testare a proprietății de număr prim care “aproape funcționează” și care, de fapt, este destul de bună pentru multe aplicații practice. O versiune rafinată a metodei, care elimină micul ei neajuns, va fi prezentată mai târziu. Prin  $\mathbb{Z}_n^+$  notăm elementele nenule ale lui  $\mathbb{Z}_n$ :

$$\mathbb{Z}_n^+ = \{1, 2, \dots, n - 1\}.$$

Dacă  $n$  este prim, atunci  $\mathbb{Z}_n^+ = \mathbb{Z}_n^*$ .

Spunem că  $n$  este **pseudoprim cu baza  $a$**  dacă  $n$  este compus și

$$a^{n-1} \equiv 1 \pmod{n}. \quad (33.42)$$

Teorema lui Fermat (teorema 33.31) implică faptul că dacă  $n$  este prim, atunci  $n$  satisfac relația (33.42) pentru orice  $a$  din  $\mathbb{Z}_n^+$ . Astfel, dacă putem găsi un  $a \in \mathbb{Z}_n^+$  oarecare astfel încât  $n$  să nu satisfacă relația (33.42), atunci cu siguranță  $n$  este compus. În mod surprinzător și inversa este aproape întotdeauna adevărată, astfel încât acest criteriu formează un test aproape perfect al faptului că un număr este prim. Verificăm dacă  $n$  satisfac relația (33.42) pentru  $a = 2$ . Dacă nu, declarăm că  $n$  este compus. Altfel, presupunem că  $n$  este prim (în realitate, tot ce știm este că  $n$  este fie prim, fie pseudoprim cu baza 2).

Următoarea procedură realizează, în acest fel, testul proprietății de număr prim a lui  $n$ . Ea utilizează procedura EXPONENTIERE-MODULARĂ din secțiunea 33.6. Intrarea  $n$  se presupune a fi un întreg mai mare decât 2.

PSEUDOPRIM( $n$ )

- 1: dacă EXPOVENTIERE-MODULARĂ( $2, n - 1, n$ )  $\not\equiv 1 \pmod{n}$  atunci
- 2: returnează COMPUS       $\triangleright$  Definitiv.
- 3: altfel
- 4: returnează PRIM       $\triangleright$  Se speră!

Această procedură poate genera erori, dar numai de un singur tip. Adică, dacă ea afirmă că  $n$  este compus, atunci aceasta este totdeauna corect. Dacă ea spune că  $n$  este prim, atunci ea poate face o eroare numai dacă  $n$  este pseudoprim cu baza 2.

Cât de des poate să apară această eroare? Surprinzător de rar. Există numai 22 de valori ale lui  $n$  mai mici decât 10000 pentru care ea este eronată; primele patru astfel de erori sunt 341, 561, 645 și 1105. Se poate arăta că probabilitatea, ca acest program să genereze o eroare pentru o alegere aleatoare a unui număr care are o reprezentare pe  $\beta$  biți, tinde la zero când  $\beta \rightarrow \infty$ . Utilizând estimarea mai precisă, dată de Pomerance [157], a numărului de pseudoprime cu baza 2 pentru o dimensiune dată, putem estima că un număr de 50 de cifre ales aleator, care este considerat prim prin procedura de mai sus, are mai puțin decât o șansă la un milion să fie pseudoprim cu baza 2, iar un număr de 100 de cifre ales aleator, care este considerat prim are mai puțin de o șansă la  $10^{13}$  să fie pseudoprim cu baza 2.

Din nefericire, nu putem elimina toate erorile prin simpla testare a relației (33.42) pentru un al doilea număr de bază, să zicem 3, deoarece există numere întregi compuse  $n$  care satisfac relația (33.42) pentru orice  $a \in \mathbb{Z}_n^*$ . Acești întregi se numesc **numere Carmichael**. Primele trei numere Carmichael sunt 561, 1105 și 1729. Numerele Carmichael sunt extrem de rare; de exemplu, există numai 255 astfel de numere mai mici decât 100000000. Exercițiul 33.8-2 ajută la explicarea acestui fapt.

În continuare, arătăm cum se îmbunătățește testul de număr prim, astfel încât acesta să nu fie înselat de numere Carmichael.

**Testul aleator de primalitate al lui Miller-Rabin**

Testul de număr prim al lui Miller-Rabin depășește problemele testului simplu PSEUDOPRIM prin două modificări:

- Încearcă să aleagă aleator diferite valori ale bazei  $a$  în loc de o singură valoare.
- În timp ce calculează fiecare expoziție modulară, stabilește dacă nu cumva a fost descoperită o rădăcină netrivială a lui 1 modulo  $n$ . Dacă este așa, se oprește cu ieșirea COMPUS. Corolarul 33.35 justifică detectarea numerelor compuse în acest fel.

Algoritmul pentru testul de număr prim al lui Miller-Rabin este prezentat mai jos. Intrarea  $n > 2$  este numărul impar care se testează dacă este prim, iar  $s$  este valoarea bazei aleasă aleator din  $\mathbb{Z}_n^+$  pentru a se face testul. Algoritmul utilizează generatorul de numere aleatoare RANDOM din secțiunea 8.3: RANDOM( $1, n - 1$ ) returnează un număr  $a$  ales aleator care satisface  $1 \leq a \leq n - 1$ . Algoritmul utilizează o procedură auxiliară PROBA, astfel încât PROBA( $a, n$ ) este ADEVĂRAT dacă și numai dacă  $a$  este o “probă” pentru proprietatea de compus a lui  $n$  adică, dacă este posibil să se demonstreze (în maniera în care vom vedea) utilizând  $a$ , că  $n$  este compus. Testul PROBA( $a, n$ ) este similar cu (dar mult mai eficient decât) testul

$$a^{n-1} \not\equiv 1 \pmod{n}$$

care a stat (utilizând  $a = 2$ ) la baza algoritmului PSEUDOPRIM. Mai întâi prezentăm și justificăm construcția lui PROBA și, apoi, arătăm cum se utilizează aceasta în testul Miller-Rabin.

$\text{PROBA}(a, n)$

- 1: fie  $\langle b_k, b_{k-1}, \dots, b_0 \rangle$  reprezentarea binară a lui  $n-1$
- 2:  $d \leftarrow 1$
- 3: **pentru**  $i \leftarrow k, 0, -1$  **execută**
- 4:    $x \leftarrow d$
- 5:    $d \leftarrow (d \cdot d) \bmod n$
- 6:   **dacă**  $d = 1$  și  $x \neq 1$  și  $x \neq n-1$  **atunci**
- 7:     **returnează** ADEVĂRAT
- 8:   **dacă**  $b_i = 1$  **atunci**
- 9:      $d \leftarrow (d \cdot a) \bmod n$
- 10: **dacă**  $d \neq 1$  **atunci**
- 11:   **returnează** ADEVĂRAT
- 12: **returnează** FALS

Acest algoritm pentru PROBA se bazează pe procedura EXPONENTIERE-MODULARĂ. Linia 1 determină reprezentarea binară a lui  $n-1$ , care va fi folosită la ridicarea lui  $a$  la puterea  $n-1$ . Liniile 3–9 calculează pe  $d$  ca fiind  $a^{n-1} \bmod n$ . Metoda utilizată este identică cu cea utilizată de EXPONENTIERE-MODULARĂ. Ori de câte ori se face un pas de ridicare la pătrat în linia a 5-a, liniile 6–7 verifică dacă nu s-a descoperit chiar o rădăcină pătrată netrivială a lui 1. Dacă este aşa, algoritmul se oprește și returnează ADEVĂRAT. Liniile 10–11 returnează FALS dacă valoarea calculată pentru  $a^{n-1} \bmod n$  nu este egală cu 1, aşa cum procedura PSEUDOPRIM returnează COMPUS, în același caz.

Acum argumentăm că, dacă  $\text{PROBA}(a, n)$  returnează ADEVĂRAT, atunci, se poate construi folosind  $a$  o demonstrație a faptului că  $n$  este compus.

Dacă PROBA returnează ADEVĂRAT în linia 11, atunci algoritmul a găsit că  $d = a^{n-1} \bmod n \neq 1$ . Dacă  $n$  este prim, totuși, pe baza teoremei lui Fermat (teorema 33.31), avem  $a^{n-1} \equiv 1 \pmod{n}$  pentru orice  $a \in \mathbb{Z}_n^+$ . De aceea,  $n$  nu poate fi prim, iar ecuația  $a^{n-1} \bmod n \neq 1$  este o demonstrație a acestui fapt.

Dacă PROBA returnează ADEVĂRAT în linia 7, atunci s-a descoperit că  $x$  este o rădăcină pătrată netrivială a lui 1 modulo  $n$ , deoarece avem  $x \not\equiv \pm 1 \pmod{n}$  și  $x^2 \equiv 1 \pmod{n}$ . Corolarul 33.35 afirmă că, numai dacă  $n$  este compus, poate să existe o rădăcină pătrată netrivială a lui 1 modulo  $n$ , deci o demonstrație a faptului că  $x$  este o rădăcină pătrată netrivială a lui 1 modulo  $n$  demonstrează faptul că  $n$  este compus.

Aceasta completează demonstrația noastră asupra corectitudinii lui PROBA. Dacă apelul  $\text{PROBA}(a, n)$  returnează ADEVĂRAT, atunci  $n$  este, cu siguranță compus, iar o demonstrație a faptului că  $n$  este compus poate fi ușor determinată din  $a$  și  $n$ . Acum, examinăm testul de număr prim al lui Miller-Rabin bazat pe utilizarea lui PROBA.

$\text{MILLER-RABIN}(n, s)$

- 1: **pentru**  $j \leftarrow 1, s$  **execută**
- 2:    $a \leftarrow \text{RANDOM}(1, n-1)$
- 3:   **dacă**  $\text{PROBA}(a, n)$  **atunci**
- 4:     **returnează** COMPUS       $\triangleright$  Definitiv
- 5:   **returnează** PRIM       $\triangleright$  Aproape sigur

Procedura MILLER-RABIN este o căutare probabilistică pentru a demonstra că  $n$  este compus. Ciclul principal (care începe în linia 1) găsește  $s$  valori aleatoare pentru  $a$  din  $\mathbb{Z}_n^+$  (linia 2). Dacă una din valorile alese pentru  $a$  este o probă pentru proprietatea de număr compus a lui  $n$ , atunci MILLER-RABIN returnează COMPUS în linia 4. O astfel de ieșire este totdeauna corectă, datorită corectitudinii lui PROBA. Dacă din  $s$  încercări nu se găsește nici o probă, algoritmul MILLER-RABIN presupune că acest lucru se datorează faptului că nu s-a găsit nici o probă și returnează că  $n$  este prim. Vom vedea că această ieșire este probabil corectă dacă  $s$  este destul de mare, dar există o mică sănsă ca procedura să fie nenorocoasă în alegerea lui  $a$  și ca probele să existe chiar dacă nu s-a găsit nici una.

Pentru a ilustra procedura lui MILLER-RABIN, fie  $n$  numărul Charmichael 561. Presupunând că  $a = 7$  este aleasă ca bază, figura 33.4 arată că PROBA a descoperit o rădăcină pătrată netrivială a lui 1 în ultimul pas de ridicare la pătrat, deoarece  $a^{280} \equiv 67 \pmod{n}$  și  $a^{560} \equiv 1 \pmod{n}$ . De aceea,  $a = 7$  este o probă în stabilirea faptului că  $n$  este compus, PROBA( $7, n$ ) returnează ADEVĂRAT, iar MILLER-RABIN, COMPUS.

Dacă  $n$  este un număr care are reprezentarea binară pe  $\beta$  biți, MILLER-RABIN necesită  $O(s\beta)$  operații aritmetice și  $O(s\beta^3)$  operații pe biți, deoarece se cer nu mai mult decât  $s$  exponentieri modulare.

### Rata de eroare a testului de primalitate Miller-Rabin

Dacă algoritmul MILLER-RABIN returnează PRIM, atunci există o mică sănsă de eroare. Spre deosebire de PSEUDOPRIM, sănsa de eroare nu depinde de  $n$ ; nu există intrări defavorabile pentru această procedură. Mai degrabă depinde de dimensiunea lui  $s$  și de “norocul avut” la alegerea valorilor bazei  $a$ . De asemenea, deoarece fiecare test este mai riguros decât un simplu test al ecuației (33.42), ne putem aștepta, pe baza principiilor generale, ca rata erorii să fie mai mică pentru numere întregi  $n$  alese aleator. Următoarea teoremă prezintă un argument mai convingător.

**Teorema 33.38** Dacă  $n$  este un număr compus impar, atunci numărul de probe pentru proprietatea de număr compus a lui  $n$  este de cel puțin  $(n - 1)/2$ .

**Demonstrație.** Demonstrația constă în a arăta că numărul de nonprobe nu este mai mare decât  $(n - 1)/2$ , ceea ce implică teorema.

Să observăm că orice nonprobă trebuie să fie un membru al lui  $\mathbb{Z}_n^*$ , deoarece orice nonprobă  $a$  satisfacă  $a^{n-1} \equiv 1 \pmod{n}$ , în plus, dacă  $\text{cmmdc}(a, n) = d > 1$  atunci, conform corolarului 33.21, nu există nici o soluție  $x$  a ecuației  $ax \equiv 1 \pmod{n}$ . (În particular,  $x = a^{n-2}$  nu este o soluție.) Astfel, orice membru al lui  $\mathbb{Z}_n - \mathbb{Z}_n^*$  este o probă a proprietății de compus pentru  $n$ .

Pentru a completa demonstrația, vom arăta că nonprobele sunt conținute toate într-un subgrup  $B$  propriu al lui  $\mathbb{Z}_n^*$ . Din corolarul 33.16 avem  $|B| \leq |\mathbb{Z}_n^*|/2$ . Deoarece  $|\mathbb{Z}_n^*| \leq n - 1$ , obținem  $|B| \leq (n - 1)/2$ . De aceea, numărul de nonprobe este cel mult  $(n - 1)/2$ , deci numărul de probe trebuie să fie cel puțin  $(n - 1)/2$ .

Să arătăm modalitatea de obținere a unui subgrup propriu  $B$  al lui  $\mathbb{Z}_n^*$  care conține toate nonprobele. Împărțim demonstrația în două cazuri.

*Cazul 1:* Există un  $x \in \mathbb{Z}_n^*$ , astfel încât:

$$x^{n-1} \not\equiv 1 \pmod{n}. \quad (33.43)$$

Fie  $B = \{b \in \mathbb{Z}_n^* : b^{n-1} \equiv 1 \pmod{n}\}$ . Întrucât  $B$  este o mulțime închisă în raport cu înmulțirea modulo  $n$ , rezultă că  $B$  este un subgrup al lui  $\mathbb{Z}_n^*$ , conform teoremei 33.14. Să observăm că orice nonprobă aparține lui  $B$ , deoarece o nonprobă  $a$  satisfacă  $a^{n-1} \equiv 1 \pmod{n}$ . Deoarece  $x \in \mathbb{Z}_n^* - B$ , rezultă că  $B$  este un subgrup propriu al lui  $\mathbb{Z}_n^*$ .

*Cazul 2:* Pentru orice  $x \in \mathbb{Z}_n^*$ ,

$$x^{n-1} \equiv 1 \pmod{n}. \quad (33.44)$$

În acest caz,  $n$  nu poate fi o putere a unui număr prim. Pentru a vedea de ce, fie  $n = p^e$  unde  $p$  este un număr prim impar și  $e > 1$ . Teorema 33.32 implică faptul că  $\mathbb{Z}_n^*$  conține un element  $g$ , astfel încât  $\text{ord}_n(g) = |\mathbb{Z}_n^*| = \phi(n) = (p-1)p^{e-1}$ . Dar atunci ecuația (33.44) și teorema logaritmului discret (teorema 33.33 pentru  $y = 0$ ) implică faptul că  $n-1 \equiv 0 \pmod{\phi(n)}$ , sau

$$(p-1)p^{e-1}|p^e - 1.$$

Această condiție eșuează pentru  $e > 1$ , deoarece în caz contrar partea stângă ar fi divizibilă cu  $p$  dar partea dreaptă nu. Astfel,  $n$  nu este o putere a unui număr prim.

Întrucât  $n$  nu este o putere a unui număr prim, îl descompunem într-un produs  $n_1 n_2$ , unde  $n_1$  și  $n_2$  sunt mai mari decât 1 și relativi primi. (Pot exista diferite moduri de a realiza acest lucru și nu are importanță care anume a fost ales. De exemplu, dacă  $n = p_1^{e_1} p_2^{e_2} \cdots p_r^{e_r}$ , atunci putem alege  $n_1 = p_1^{e_1}$  și  $n_2 = p_2^{e_2} p_3^{e_3} \cdots p_r^{e_r}$ .)

Se definesc  $t$  și  $u$  astfel încât  $n-1 = 2^t u$ , unde  $t \geq 1$  și  $u$  este impar. Pentru orice  $a \in \mathbb{Z}_n^*$ , considerăm sirul

$$\hat{a} = \langle a^u, a^{2^2 u}, \dots, a^{2^t u} \rangle, \quad (33.45)$$

unde toate elementele sunt calculate modulo  $n$ . Deoarece  $2^t | n-1$ , reprezentarea binară a lui  $n-1$  se termină cu  $t$  zerouri, iar elementele lui  $\hat{a}$  sunt ultimele  $t+1$  valori ale lui  $d$ , calculate prin PROBA pe parcursul unui calcul al lui  $a^{n-1} \pmod{n}$ ; ultimele  $t$  operații sunt ridicări la pătrat.

Determinăm un  $j \in \{0, 1, \dots, t\}$  astfel încât să existe un  $v \in \mathbb{Z}_n^*$  pentru care  $v^{2^j u} \equiv -1 \pmod{n}$ ;  $j$  ar trebui să fie cât mai mare posibil. Un astfel de  $j$  există cu siguranță deoarece  $u$  este impar: putem alege  $v = -1$  și  $j = 0$ . Fixăm pe  $v$  astfel încât condiția dată să fie satisfăcută. Fie

$$B = \{x \in \mathbb{Z}_n^* : x^{2^j u} \equiv \pm 1 \pmod{n}\}.$$

Întrucât mulțimea  $B$  este închisă în raport cu înmulțirea modulo  $n$ , ea este un subgrup al lui  $\mathbb{Z}_n^*$ . De aceea,  $|B|$  divide  $|\mathbb{Z}_n^*|$ . Orice nonprobă trebuie să fie un element al mulțimii  $B$ , deoarece sirul (33.45) produs de o nonprobă trebuie să aibă toți termenii 1 sau să conțină un element egal cu  $-1$  pe primele  $j$  poziții, datorită maximalității lui  $j$ .

Folosim acum existența lui  $v$  pentru a demonstra că există un  $w \in \mathbb{Z}_n^* - B$ . Întrucât  $v^{2^j u} \equiv -1 \pmod{n}$ , avem  $v^{2^j u} \equiv -1 \pmod{n_1}$  conform corolarului 33.29. Pe baza corolarului 33.28, există un  $w$  care satisfacă simultan ecuațiile:

$$w = v \pmod{n_1},$$

$$w = 1 \pmod{n_2}.$$

De aceea,

$$w^{2^j u} \equiv -1 \pmod{n_1},$$

$$w^{2^j u} \equiv 1 \pmod{n_2}.$$

Împreună cu corolarul 33.29, aceste ecuații implică faptul că

$$w^{2^j u} \not\equiv \pm 1 \pmod{n}, \quad (33.46)$$

și astfel  $w \notin B$ . Întrucât  $v \in \mathbb{Z}_n^*$ , avem că  $v \in \mathbb{Z}_{n_1}^*$ . Astfel,  $w \in \mathbb{Z}_n^*$  și  $w \in \mathbb{Z}_n^* - B$ . Deducem că  $B$  este un subgrup propriu al lui  $\mathbb{Z}_n^*$ .

În ambele cazuri, se observă că numărul probelor pentru proprietatea de număr compus al lui  $n$  este cel puțin  $(n-1)/2$ . ■

**Teorema 33.39** Pentru orice întreg impar  $n > 2$  și orice întreg pozitiv  $s$ , probabilitatea ca MILLER-RABIN( $n, s$ ) să greșească este de cel mult  $2^{-s}$ .

**Demonstrație.** Utilizând teorema 33.38, observăm că, dacă  $n$  este compus, atunci fiecare execuție a ciclului din liniile 1–4 descoperă o probă  $x$  pentru proprietatea de număr compus al lui  $n$ , cu o probabilitate de cel puțin  $1/2$ . MILLER-RABIN greșește numai dacă este așa de nenorocoasă încât nu găsește o probă pentru proprietatea de număr compus al lui  $n$  la nici una din cele  $s$  iterații ale ciclului principal. Probabilitatea unui astfel de sir de ratări este de cel mult  $2^{-s}$ . ■

Astfel,  $s = 50$  ar trebui să fie suficient pentru aproape orice aplicație imaginabilă. Dacă încercăm să găsim numere prime mari aplicând MILLER-RABIN la întregi mari aleatori, atunci se poate argumenta (deși nu o vom face aici) că alegând o valoare mică pentru  $s$  (de exemplu 3) este puțin probabil să fim conduși la rezultate eronate. Adică, pentru un număr întreg impar  $n$  compus, ales aleator, numărul mediu de nonprobe pentru proprietatea de număr compus a lui  $n$  este probabil mult mai mic decât  $(n-1)/2$ . Dacă întregul  $n$  nu este ales aleator, totuși, cel mai bun rezultat de până acum (folosind o versiune îmbunătățită a teoremei 33.39) este că numărul de nonprobe este cel mult  $(n-1)/4$ . Mai mult decât atât, există numere întregi  $n$  pentru care numărul de nonprobe este  $(n-1)/4$ .

## Exerciții

**33.8-1** Demonstrați că, dacă un întreg impar  $n > 1$  nu este un număr prim sau o putere a unui număr prim, atunci există o rădăcină patrată netrivială a lui 1 modulo  $n$ .

**33.8-2** \* Este posibil să se întărească puțin teorema lui Euler sub forma

$$a^{\lambda(n)} \equiv 1 \pmod{n} \text{ pentru orice } a \in \mathbb{Z}_n^*,$$

unde  $\lambda(n)$  se definește prin

$$\lambda(n) = \text{cmmmc}(\phi(p_1^{e_1}), \dots, \phi(p_r^{e_r})). \quad (33.47)$$

Arătați că  $\lambda(n) \mid \phi(n)$ . Un număr compus  $n$  este un număr Carmichael dacă  $\lambda(n) \mid n-1$ . Cel mai mic număr Carmichael este  $561 = 3 \cdot 11 \cdot 17$ ; aici  $\lambda(561) = \text{cmmmc}(2, 10, 16) = 80$ , care divide pe 560. Demonstrați că numerele Carmichael trebuie să fie atât “libere de patrate” (să nu fie divizibile prin patratul nici unui număr prim) cât și produsul a cel puțin trei numere prime. Din acest motiv, ele nu sunt prea răspândite.

**33.8-3** Arătați că, dacă  $x$  este o rădăcină patrată netrivială a lui 1 modulo  $n$ , atunci  $\text{cmmdc}(x-1, n)$  și  $\text{cmmdc}(x+1, n)$  sunt divizori netriviali ai lui  $n$ .

### 33.9. Factorizarea întreagă

Presupunem că avem un întreg  $n$  pe care dorim să-l **factorizăm**, adică, să-l descompunem într-un produs de numere prime. Testul de număr prim, din secțiunea precedentă, ne va spune că  $n$  este compus, dar nu ne va spune și factorii lui  $n$ . Factorizarea unui număr întreg mare  $n$  pare a fi mult mai dificilă decât simpla determinare dacă  $n$  este prim sau compus. Cu supercalculatoarele de azi și cu cei mai buni algoritmi curenți factorizarea unui număr arbitrar cu 200 de cifre zecimale este irealizabilă.

#### Euristica rho a lui Pollard

Încercarea de a împărți cu toate numerele întregi până la  $B$  garantează factorizarea completă a oricărui număr până la  $B^2$ . Cu aceeași cantitate de muncă, următoarea procedură va factoriza orice număr până la  $B^4$  (exceptând cazul în care suntem nenorocoși). Întrucât procedura este doar euristică, nici timpul ei de execuție și nici succesul ei nu sunt garantate, deși este foarte eficientă în practică.

POLLARD-RHO( $n$ )

- 1:  $i \leftarrow 1$
- 2:  $x_1 \leftarrow \text{RANDOM}(0, n - 1)$
- 3:  $y \leftarrow x_1$
- 4:  $k \leftarrow 2$
- 5: **cât timp** ADEVĂRAT execută
- 6:    $i \leftarrow i + 1$
- 7:    $x_i \leftarrow (x_{i-1}^2 - 1) \bmod n$
- 8:    $d \leftarrow \text{cmmdc}(y - x_i, n)$
- 9:   **dacă**  $d \neq 1$  și  $d \neq n$  **atunci**
- 10:     scrie  $d$
- 11:     **dacă**  $i = k$  **atunci**
- 12:        $y \leftarrow x_i$
- 13:        $k \leftarrow 2k$

Procedura funcționează după cum urmează: liniile 1–2 inițializează pe  $i$  cu 1 și pe  $x_1$  cu o valoare aleasă aleator din  $\mathbb{Z}_n$ . Ciclul **cât timp**, care începe în linia 5, iterează la infinit căutând factorii lui  $n$ . În timpul fiecărei iterări a ciclului **cât timp**, relația de recurență:

$$x_i \leftarrow (x_{i-1}^2 - 1) \bmod n \quad (33.48)$$

este utilizată în linia 7 pentru a produce valoarea următoare a lui  $x_i$  din sirul infinit

$$x_1, x_2, x_3, x_4, \dots ; \quad (33.49)$$

valoarea lui  $i$  este incrementată corespunzător în linia 6. Codul este scris utilizând variabilele  $x_i$  cu indicii pentru claritate, dar programul funcționează la fel dacă se elimină indicii deoarece doar valoarea cea mai recentă a lui  $x_i$  trebuie păstrată.

Programul salvează cea mai recent generată valoare  $x_i$  în variabila  $y$ . Mai exact, valorile care sunt salvate sunt cele care au indicii puteri ale lui 2:

$$x_1, x_2, x_4, x_8, x_{16}, \dots$$

Linia 3 salvează valoarea  $x_1$ , iar linia 12 valoarea  $x_k$  ori de câte ori  $i$  este egal cu  $k$ . Variabila  $k$  se initializează cu 2 în linia 4,  $k$  este dublat în linia 13 ori de câte ori  $y$  este actualizat. De aceea,  $k$  urmează sirul 1, 2, 4, 8, ... și definește, întotdeauna, indicele următoarei valori  $x_k$  de salvat în  $y$ . Liniile 8–10 încearcă să găsească un factor al lui  $n$  utilizând valoarea salvată a lui  $y$  și valoarea curentă a lui  $x_i$ . Mai exact, linia 8 calculează cel mai mare divizor comun  $d = \text{cmmdc}(y - x_i, n)$ . Dacă  $d$  este un divizor netrivial al lui  $n$  (verificat în linia 9), atunci linia 10 îl scrie pe  $d$ .

Această procedură concepută pentru a găsi un factor poate părea, într-o oarecare măsură, misterioasă pentru început. Totuși, să observăm că POLLARD-RHO nu afișează niciodată un răspuns incorrect; orice număr pe care-l afișează este un divizor netrivial al lui  $n$ . Totuși, POLLARD-RHO poate să nu afișeze nimic; nu există nici o garanție că algoritmul va produce vreun rezultat. Vom vedea că există, totuși, un motiv bun să ne așteptăm ca POLLARD-RHO să afișeze un factor  $p$  al lui  $n$  după aproximativ  $\sqrt{n}$  iterații ale ciclului **cât timp**. Astfel, dacă  $n$  este compus, ne putem aștepta ca această procedură să descopere destui divizori pentru a factoriza complet pe  $n$  după aproximativ  $n^{1/4}$  actualizări, deoarece fiecare factor prim  $p$  al lui  $n$ , exceptându-l pe cel mai mare posibil, este mai mic decât  $\sqrt{n}$ .

Analizăm comportamentul acestei proceduri studiind cât de lung este un sir aleator, modulo  $n$ , pentru a repeta o valoare. Deoarece  $\mathbb{Z}_n$  este finit și fiecare valoare din sirul (33.49) depinde numai de valoarea precedentă, se repetă, eventual, sirul (33.49). O dată ce se ajunge la  $x_i$ , astfel încât  $x_i = x_j$  pentru  $j < i$ , suntem într-un ciclu, deoarece  $x_{i+1} = x_{j+1}$ ,  $x_{i+2} = x_{j+2}$  și aşa mai departe. Motivul pentru care acest procedeu se numește “euristica rho” este acela că, aşa cum arată figura 33.7, sirul  $x_1, x_2, \dots, x_{j-1}$  poate fi desemnat ca o “coadă” a lui rho, iar ciclul  $x_j, x_{j+1}, \dots, x_i$  drept “corpu” lui rho.

Să examinăm cât durează până când sirul  $x_i$  începe să se se repete. Cu puține modificări, vom putea folosi mai târziu rezultatul obținut.

În scopul acestei estimări, să presupunem că funcția  $(x^2 - 1) \bmod n$  se comportă ca o funcție “aleatoare”. Desigur, în realitate, ea nu este aleatoare, dar această presupunere produce rezultate compatibile cu comportamentul algoritmului POLLARD-RHO. Putem, apoi, considera că fiecare  $x_i$  a fost ales independent din  $\mathbb{Z}_n$  potrivit unei distribuții uniforme pe  $\mathbb{Z}_n$ . Prin analiza paradoxului zilei de naștere, din secțiunea 6.6.1, numărul mediu de pași anterioari ciclării sirului este  $\Theta(\sqrt{n})$ .

Acum, urmează modificarea cerută. Fie  $p$  un factor netrivial al lui  $n$ , astfel încât  $\text{cmmdc}(p, n/p) = 1$ . De exemplu, dacă  $n$  are factorizarea  $n = p_1^{e_1} p_2^{e_2} \cdots p_r^{e_r}$ , putem să-l luăm pe  $p$  chiar  $p_1^{e_1}$ . (Dacă  $e_1 = 1$ , atunci  $p$  este chiar cel mai mic factor prim al lui  $n$ , un exemplu bun de ținut minte.) Sirul  $\langle x_i \rangle$  induce un sir corespunzător  $\langle x'_i \rangle$  modulo  $p$ , unde

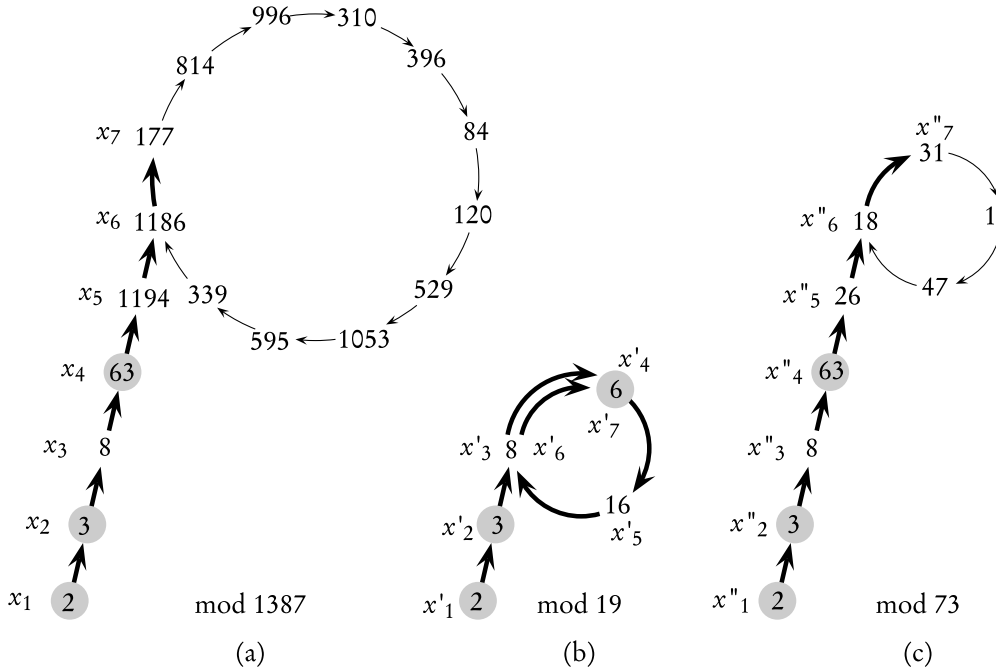
$$x'_i = x_i \bmod p$$

pentru orice  $i$ . Mai mult decât atât, din teorema chineză a restului avem

$$x'_{i+1} = (x_i'^2 - 1) \bmod p \tag{33.50}$$

deoarece

$$(x \bmod n) \bmod p = x \bmod p,$$



**Figura 33.7** Euristica rho a lui Pollard. **(a)** Valorile produse prin recurență  $x_{i+1} \leftarrow (x_i^2 - 1) \bmod 1387$ , începând cu  $x_1 = 2$ . Factorizarea în numere prime a lui 1387 este  $19 \cdot 73$ . Săgețile îngroșate indică pași de la iterație care sunt execuțiați înainte ca factorul 19 să fie descoperit. Săgețile subțiri indică sprijinul neatins în iterație pentru a ilustra forma de "rho". Valorile hașurate sunt valorile  $y$  memorate prin POLLARD-RHO. Factorul 19 este descoperit după ce este atins  $x_7 = 177$ , când este calculat  $\text{cmmdc}(63 - 177, 1387) = 19$ . Prima valoare  $x$  care va fi repetată este 1186, dar factorul 19 este descoperit înainte de a atinge această valoare. **(b)** Valorile produse prin aceeași recurență, modulo 19. Fiecare valoare  $x_i$ , dată în partea **(a)**, este echivalentă modulo 19 cu valoarea  $x'_i$  indicată aici. De exemplu, atât  $x_4 = 63$ , cât și  $x_7 = 177$  sunt echivalente cu 6 modulo 19. **(c)** Valorile produse prin aceeași recurență, modulo 73. Fiecare valoare  $x_i$ , prezentată în partea **(a)**, este echivalentă, modulo 73, cu valoarea  $x''_i$  prezentată aici. Din teorema chineză a restului, rezultă că fiecare nod din partea **(a)** corespunde unei perechi de noduri, unul din partea **(b)** și unul din partea **(c)**.

pe baza exercițiului 33.1-6.

Raționând analog, găsim că numărul mediu de pași, înainte ca sirul  $\langle x'_i \rangle$  să se repete, este  $\Theta(\sqrt{p})$ . Dacă  $p$  este mic în comparație cu  $n$ , sirul  $\langle x'_i \rangle$  se poate repeta mult mai rapid dacă sirul  $\langle x_i \rangle$ . Într-adevăr, sirul  $\langle x'_i \rangle$  se repetă de îndată ce două elemente ale sirului  $\langle x_i \rangle$  sunt echivalente numai modulo  $p$ , și nu echivalente modulo  $n$ . Pentru o ilustrare, vezi figura 33.7, părțile (b) și (c).

Fie  $t$  indicele primei valori repede în sirul  $\langle x'_i \rangle$  și fie  $u > 0$  lungimea ciclului care a fost produs în acest fel. Adică,  $t$  și  $u > 0$  sunt cele mai mici valori, astfel încât  $x'_{t+i} = x'_{t+u+i}$  pentru orice  $i \geq 0$ . Prin argumentele de mai sus, valorile medii ale lui  $t$  și  $u$  sunt  $\Theta(\sqrt{p})$ . Să observăm că, dacă  $x'_{t+i} = x'_{t+u+i}$ , atunci  $p \mid (x_{t+u+i} - x_{t+i})$ . Astfel,  $\text{cmmdc}(x_{t+u+i} - x_{t+i}, n) > 1$ .

De aceea, o dată ce POLLARD-RHO a salvat în y orice valoare  $x_k$ , astfel încât  $k \geq t$ , atunci

$y \bmod p$  este totdeauna în ciclul modulo  $p$ . (Dacă o valoare nouă este salvată în  $y$ , acea valoare este, de asemenea, în ciclul modulo  $p$ .) În final,  $k$  primește o valoare care este mai mare decât  $u$  și apoi procedura face un ciclu întreg în jurul ciclului modulo  $p$  fără a schimba valoarea lui  $y$ . Apoi, este găsit un factor al lui  $n$  când  $x_i$  se execută cu “valoarea memorată” în prealabil în  $y$ , modulo  $p$ , adică atunci când  $x_i \equiv y \pmod{p}$ .

Probabil că factorul găsit este factorul  $p$ , deși se poate, în mod ocazional, să se descopere un multiplu al lui  $p$ . Deoarece valorile medii, atât ale lui  $t$ , cât și ale lui  $u$  sunt  $\Theta(\sqrt{p})$ , numărul mediu de pași necesari pentru a determina factorul  $p$  este  $\Theta(\sqrt{p})$ .

Există două motive pentru care acest algoritm nu se execută aşa cum este de așteptat. Întâi, analiza euristică a timpului de execuție nu este riguroasă și este posibil ca ciclul de valori, modulo  $p$ , să fie mai mare decât  $\sqrt{p}$ . În acest caz, algoritmul se execută corect, dar mult mai încet decât s-a sperat. În practică, aceasta se pare că nu este o problemă. În al doilea rând, divizorii lui  $n$  produși de acest algoritm ar putea, totdeauna, să fie unul din factorii triviali 1 sau  $n$ . De exemplu, presupunem că  $n = pq$ , unde  $p$  și  $q$  sunt numere prime. Se poate întâmpla ca valorile lui  $t$  și  $u$ , pentru  $p$ , să fie identice cu valorile lui  $t$  și  $u$  pentru  $q$  și astfel factorul  $p$  este totdeauna găsit în aceeași operație cmmdc care descoperă factorul  $q$ . Deoarece ambii factori sunt descoperiți în același timp, este descoperită factorizarea trivială  $pq = n$ , care este inutilă. Din nou, aceasta nu pare a fi o problemă reală în practică. Dacă este necesar, se poate reîncepe euristică, cu o recurență diferită, de forma  $x_{i+1} \leftarrow (x_i^2 - c) \bmod n$ . (Valorile  $c = 0$  și  $c = 2$  ar trebui să fie eliminate pentru motive nejustificate aici, dar alte valori sunt bune.)

Desigur, această analiză este euristică și nu este riguroasă, deoarece recurența nu este în realitate “aleatoare”. Mai mult decât atât, procedura se execută bine în practică și se pare că este eficientă aşa cum indică această analiză euristică. Este o metodă recomandată pentru a găsi factori primi mici ai unui număr mare. Pentru a factoriza complet un număr compus  $n$ , reprezentat pe  $\beta$  biți, este nevoie numai să găsim toți factorii primi mai mici decât  $\lfloor n^{1/2} \rfloor$  și ne putem aștepta ca POLLARD-RHO să necesite cel mult  $n^{1/4} = 2^{\beta/4}$  operații aritmetice și cel mult  $n^{1/4}\beta^3 = 2^{\beta/4}\beta^3$  operații pe biți. Abilitatea lui POLLARD-RHO de a găsi un factor mic  $p$  al lui  $n$  cu un număr mediu  $\Theta(\sqrt{p})$  de operații aritmetice este deseori cea mai atractivă caracteristică.

## Exerciții

**33.9-1** Conform execuției acțiunilor vizualizate în figura 33.7 (a), când se tipărește factorul 73 al lui 1387 în procedura POLLARD-RHO?

**33.9-2** Presupunem că se dă o funcție  $f : \mathbb{Z}_n \rightarrow \mathbb{Z}_n$  și o valoare inițială  $x_0 \in \mathbb{Z}_n$ . Definim  $x_i = f(x_{i-1})$  pentru  $i = 1, 2, \dots$ . Fie  $t$  și  $u > 0$  cele mai mici valori astfel încât  $x_{t+i} = x_{t+u+i}$  pentru  $i = 0, 1, \dots$ . În terminologia algoritmului rho a lui Pollard,  $t$  este lungimea cozii și  $u$  este lungimea ciclului lui rho. Elaborați un algoritm eficient pentru a determina exact pe  $t$  și pe  $u$  și analizați timpul de execuție.

**33.9-3** Câți pași va necesita POLLARD-RHO pentru a descoperi un factor de forma  $p^e$ , unde  $p$  este prim și  $e > 1$ ?

**33.9-4** \* Un dezavantaj al lui POLLARD-RHO, aşa cum s-a scris, este că cere calculul lui cmmdc pentru fiecare pas al recurenței. S-a sugerat să grupăm calculul cmmdc acumulând produsul diferenților  $x_i$  într-o linie și luând, apoi, cmmdc pentru acest produs, cu valoarea salvată în  $y$ . Descrieți cum s-ar putea implementa această idee, de ce funcționează și ce dimensiune ar trebui

aleasă pentru a fi cea mai eficientă atunci când se lucrează asupra unui număr  $n$  reprezentat pe  $\beta$  biți.

## Probleme

### 33-1 Algoritm cmmdc binar

Pe cele mai multe calculatoare, operațiile de scădere, de testare a parității (impar sau par) unui număr întreg binar și înjumătățire pot fi realizate mai rapid decât calculul resturilor. Această problemă studiază **algoritmul cmmdc binar**, care elimină calculul resturilor utilizat în algoritmul lui Euclid.

- a. Demonstrați că, dacă  $a$  și  $b$  sunt pari, atunci  $\text{cmmdc}(a, b) = 2 \text{cmmdc}(a/2, b/2)$ .
- b. Demonstrați că, dacă  $a$  este impar și  $b$  par, atunci  $\text{cmmdc}(a, b) = \text{cmmdc}(a, b/2)$ .
- c. Demonstrați că, dacă  $a$  și  $b$  sunt impari, atunci  $\text{cmmdc}(a, b) = \text{cmmdc}((a - b)/2, b)$ .
- d. Proiectați un algoritm cmmdc binar eficient pentru numerele întregi  $a$  și  $b$ , unde  $a \geq b$ , care să se execute într-un timp  $O(\lg(\max(a, b)))$ . Se presupune că fiecare scădere, test de paritate și înjumătățire se execută într-o unitate de timp.

### 33-2 Analiza operațiilor pe biți în algoritmul lui Euclid

- a. Arătați că utilizarea algoritmului banal cu “creion și hârtie” pentru împărțirea a două numere întregi mari  $a$  și  $b$ , obținându-se câtul  $q$  și restul  $r$ , necesită  $O((1 + \lg q) \lg b)$  operații pe biți.
- b. Se definește  $\mu(a, b) = (1 + \lg a)(1 + \lg b)$ . Arătați că numărul operațiilor pe biți executate de algoritmul EUCLID, pentru a reduce problema calculului lui  $\text{cmmdc}(a, b)$  la cea a lui  $\text{cmmdc}(b, a \bmod b)$ , este cel mult  $c(\mu(a, b) - \mu(b, a \bmod b))$  pentru o constantă  $c > 0$  suficient de mare.
- c. Arătați că algoritmul EUCLID( $a, b$ ) necesită,  $O(\mu(a, b))$  operații pe biți în general, și  $O(\beta^2)$  operații pe biți dacă algoritmul are ca intrare două numere întregi reprezentate pe  $\beta$  biți.

### 33-3 Trei algoritmi pentru numerele Fibonacci

Această problemă compară eficiența a trei metode pentru calculul celui de al  $n$ -lea număr al lui Fibonacci  $F_n$ , pentru un  $n$  dat. Costul pentru adunare, scădere sau înmulțire a două numere este  $O(1)$ , independent de dimensiunea numerelor.

- a. Arătați că timpul de execuție al metodei recursive directe pentru calculul lui  $F_n$ , bazat pe recurența (2.13), este exponentional în raport cu  $n$ .
- b. Arătați cum se poate calcula  $F_n$  într-un timp de ordinul lui  $O(n)$  utilizând memorarea.
- c. Arătați cum se poate calcula  $F_n$  într-un timp  $O(\lg n)$  utilizând numai adunări și înmulțiri de întregi. (*Indică ie:* se consideră matricea

$$\begin{pmatrix} 0 & 1 \\ 1 & 1 \end{pmatrix}$$

și puterile ei).

- d. Se presupune acum că, adunarea a două numere având reprezentarea binară pe  $\beta$  biți necesită un timp  $\Theta(\beta)$  și că, înmulțirea a două numere având reprezentarea binară pe  $\beta$  biți necesită timpul  $\Theta(\beta^2)$ . Care este timpul de execuție al acestor trei metode considerând această măsură a costului în timp, mult mai rezonabilă pentru operațiile aritmetice elementare?

### 33-4 Reziduuri pătratice

Fie  $p$  un număr prim impar. Un număr  $a \in \mathbb{Z}_p^*$  este un **reziduu pătratic** dacă ecuația  $x^2 = a \pmod{p}$  are o soluție pentru necunoscuta  $x$ .

- a. Arătați că există exact  $(p - 1)/2$  reziduuri pătratice modulo  $p$ .
- b. Dacă  $p$  este prim, definim **simbolul lui Legendre**  $\left(\frac{a}{p}\right)$  pentru  $a \in \mathbb{Z}_p^*$ , ca fiind 1, dacă  $a$  este un reziduu pătratic modulo  $p$ , și  $-1$  altfel. Arătați că, dacă  $a \in \mathbb{Z}_p^*$ , atunci

$$\left(\frac{a}{p}\right) \equiv a^{(p-1)/2} \pmod{p}.$$

Elaborați un algoritm eficient pentru a determina dacă un număr dat  $a$  este sau nu un reziduu pătratic modulo  $p$ . Să se analizeze eficiența algoritmului.

- c. Demonstrați că, dacă  $p$  este prim de forma  $4k + 3$  și  $a$  este un reziduu pătratic în  $\mathbb{Z}_p^*$ , atunci  $a^{k+1} \pmod{p}$  este o rădăcină pătrată a lui  $a$ , modulo  $p$ . Cât timp este necesar pentru a găsi rădăcina pătrată dintr-un reziduu pătratic  $a$  modulo  $p$ ?
- d. Descrieți un algoritm de randomizare eficient pentru a găsi un reziduu nepătratic, modulo un număr prim  $p$  arbitrar. Câte operații aritmetice necesită, în medie, algoritmul?

## Note bibliografice

Niven și Zuckerman [151] furnizează o introducere excelentă în teoria elementară a numerelor. Lucrarea lui Knuth [122] conține o discuție bună despre algoritmul de găsire a celui mai mare divizor comun, precum și despre alți algoritmi din teoria numerelor. Riesel [168] și Bach [16] furnizează studii mai recente asupra teoriei calculului numeric. Dixon [56] dă o privire generală asupra factorizării și testării proprietății de număr prim. Lucrările conferinței editate de Pomerance [159] conțin diferite articole interesante de ordin general.

Knuth [122] discută originea algoritmului lui Euclid. El a apărut în cartea 7, propozițiile 1 și 2 din lucrarea *Elementele* a matematicianului grec Euclid, care a fost scrisă în jurul anului 300 î.Hr. Descrierea lui Euclid ar putea deriva din algoritmul dat de Eudoxus în jurul anului 375 î.Hr. Algoritmul lui Euclid are onoarea de a fi cel mai vechi algoritm netrivial și cu acesta rivalizează numai algoritmul țăranului rus pentru înmulțire – capitolul 29, care a fost cunoscută în Egiptul antic.

Knuth atribuie un caz particular al teoremei chinezesti a restului matematicianului chinez Sun-Tsü care a trăit, aproximativ, între 200 î.Hr. și 200 d.Hr. – data este foarte inexactă. Același

caz particular a fost dat de matematicianul grec Nichomachus în jurul anului 100 d.Hr. Acesta a fost generalizat de Chhin Chiu-Shao în 1247. Teorema chineză a restului a fost, în final, enunțată și demonstrată complet, în generalitatea sa, de către L. Euler în 1734.

Algoritmul aleator de test al primalității prezentat aici se datorează lui Miller [147] și Rabin [166]; este cel mai rapid algoritm aleator cunoscut, care verifică proprietatea de număr prim, abstracție făcând de factori constanți. Demonstrația teoremei 33.39 este o ușoară adaptare a celei sugerate de Bach [15]. O demonstrație a unui rezultat mai puternic pentru MILLER-RABIN a fost dată de Monier [148, 149]. Randomizarea s-a dovedit a fi necesară pentru a obține un algoritm care verifică proprietatea de primalitate, într-un timp polinomial. Cel mai rapid algoritm care verifică proprietatea de primalitate, demonstrat este versiunea Cohen-Lenstra [45] a testului de primalitate al lui Adleman, Pomerance și Rumely [3]. Testul care verifică dacă un număr  $n$  de lungime  $\lceil \lg(n + 1) \rceil$  este prim, se execută în timpul  $(\lg n)^{O(\lg \lg \lg n)}$ , ceea ce este chiar ușor superpolinomial.

Problema găsirii “aleatoare” a numerelor prime mari este discutată frumos într-un articol al lui Beauchemin, Brassard, Crépeau, Goutier și Pomerance [20].

Conceptul de criptosistem cu cheie publică se datorează lui Diffie și Hellman [54]. Criptosistemul RSA a fost propus în 1977 de Rivest, Shamir și Adleman [169]. De atunci, domeniul criptografiei a cunoscut o dezvoltare deosebită. În particular, au fost dezvoltate tehnici noi pentru a demonstra siguranța criptosistemelor. De exemplu, Goldwasser și Micali [86] au arătat că randomizarea poate fi un instrument eficient în proiectarea schemelor de criptare sigure cu cheie publică. Pentru schemele de semnături, Goldwasser, Micali și Rivest [88] prezintă o schemă de semnătură digitală pentru care fiecare tip de falsificare posibil de imaginat este, probabil, tot atât de dificil ca factorizarea. Recent, Goldwasser, Micali și Rackoff [87] au introdus o clasă de scheme de criptare de “cunoștințe nule” pentru care se poate demonstra (în anumite presupuneri rezonabile) că nici o parte nu învață mai mult decât i s-a propus să învețe dintr-o comunicație.

Euristica rho pentru factorizarea întreagă a fost inventată de Pollard [156]. Versiunea prezentată aici este o variantă propusă de Brent [35].

Cei mai buni algoritmi de factorizare a numerelor mari au un timp de execuție care crește exponential cu rădăcina pătrată din lungimea numărului  $n$  de factorizat. Algoritmul de factorizare prin rafinare pătratică datorat lui Pomerance [158] este, probabil, cel mai eficient algoritm de acest fel pentru intrări mari. Deși este dificil să se dea o analiză riguroasă a acestui algoritm, în condiții rezonabile, putem deduce o estimare a timpului de execuție prin  $L(n)^{1+o(1)}$ , unde  $L(n) = e^{\sqrt{\ln n \ln \ln n}}$ . Metoda curbei eliptice, datorată lui Lenstra [137], poate fi mai eficientă pentru anumite date de intrare decât metoda prin rafinare pătratică, deoarece, la fel ca metoda rho a lui Pollard, ea poate găsi un factor prim mic destul de repede. Cu această metodă, timpul pentru determinarea lui  $p$  este estimat la  $L(p)^{\sqrt{2}+o(1)}$ .

---

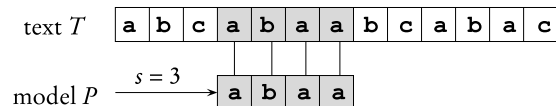
## 34 Potrivirea şirurilor

Determinarea tuturor aparițiilor unui model, într-un text, este o problemă frecvent întâlnită la editoarele de texte. De obicei, textul este un document în editare și modelul căutat este un anumit cuvânt, dat de utilizator. Algoritmi eficienți pentru această problemă pot ajuta la îmbunătățirea performanțelor editoarelor de texte. Algoritmi de potrivire a şirurilor sunt utilizați, de asemenea, în căutarea de modele particulare în secvențe ADN.

În continuare, vom prezenta un model formal pentru **problema potrivirii şirurilor**. Presupunem că textul este un vector  $T[1..n]$  de lungime  $n$  și că modelul căutat este un vector  $P[1..m]$  de lungime  $m \leq n$ . În plus, presupunem că elementele din  $P$  și  $T$  au caractere dintr-un alfabet finit  $\Sigma$ . De exemplu putem avea  $\Sigma = \{0, 1\}$  sau  $\Sigma = \{a, b, \dots, z\}$ . Tablourile de caractere  $P$  și  $T$  sunt, de obicei, numite **şiruri** de caractere.

Spunem că modelul  $P$  apare cu **deplasament**  $s$  în textul  $T$  (sau, echivalent, că modelul  $P$  apare începând cu **poziția**  $s+1$  în textul  $T$ ) dacă  $0 \leq s \leq n - m$  și  $T[s + 1..s + m] = P[1..m]$  (adică, dacă  $T[s + j] = P[j]$ , pentru  $1 \leq j \leq m$ ). Dacă  $P$  apare cu deplasamentul  $s$  în  $T$ , atunci numim  $s$  un **deplasament corect**; altfel, numim  $s$  un **deplasament incorrect**. Problema potrivirii şirurilor este problema determinării tuturor deplasamentele corecte cu care un model dat  $P$  apare într-un text dat  $T$ . Figura 34.1 ilustrează aceste definiții.

Capitolul este organizat după cum urmează. În secțiunea 34.1, prezentăm algoritmul naiv forță-brută pentru problema potrivirii şirurilor, care are, în cel mai defavorabil caz, timpul de execuție  $O((n - m + 1)m)$ . În secțiunea 34.2, se prezintă un algoritm interesant de potrivire a şirurilor, datorat lui Rabin și Karp. Acest algoritm are, în cel mai defavorabil caz, timpul de execuție  $O((n - m + 1)m)$ , dar media de funcționare este mult mai bună. De asemenea, se poate generaliza ușor pentru alte probleme de potrivire de modele. În continuare, în secțiunea 34.3, se descrie un algoritm de potrivire a şirurilor care începe cu construirea unui automat finit, special proiectat să caute într-un text potriviri pentru un model dat  $P$ . Acest algoritm are timpul de execuție  $O(n + m|\Sigma|)$ . Algoritmul Knuth-Morris-Pratt (sau KMP), similar, dar mult mai ingenios, este prezentat în secțiunea 34.4; algoritmul KMP se execută în timpul  $O(n + m)$ . În final, în secțiunea 34.5, se descrie un algoritm datorat lui Boyer și Moore care este adesea preferat în practică, deși timpul său de execuție, în cel mai defavorabil caz (ca și la algoritmul Rabin-Karp), nu este mai bun decât cel al algoritmului naiv pentru potrivirea şirurilor.



**Figura 34.1** Problema potrivirii şirurilor. Scopul este determinarea tuturor aparițiilor modelului  $P = abaa$  în textul  $T = abcabaabcabac$ . Modelul apare în text o singură dată, cu deplasamentul  $s = 3$ . Deplasamentul  $s = 3$  este un deplasament corect. Fiecare caracter din model este unit printr-o linie verticală cu caracterul identic regăsit în text și toate caracterele regăsite sunt hașurate.

## Notații și terminologie

Vom nota cu  $\Sigma^*$  (citim “sigma stelat”) mulțimea tuturor șirurilor de lungime finită formate, folosind caractere din alfabetul  $\Sigma$ . În acest capitol, considerăm numai șiruri de lungime finită. Șirul de lungime zero **șirul vid**, notat cu  $\varepsilon$ , aparține de asemenea lui  $\Sigma^*$ . Lungimea unui șir  $x$  este notată cu  $|x|$ . **Concatenarea** a două șiruri  $x$  și  $y$ , pe care o notăm cu  $xy$ , are lungimea  $|x| + |y|$  și conține caracterele din  $x$  urmate de caracterele din  $y$ .

Spunem că un șir  $w$  este un **prefix** al unui șir  $x$ , notat  $w \sqsubset x$ , dacă  $x = wy$  pentru orice șir  $y \in \Sigma^*$ . De notat că, dacă  $w \sqsubset x$ , atunci  $|w| \leq |x|$ . În mod analog, spunem că șirul  $w$  este un **sufix** al unui șir  $x$ , notat  $w \sqsupset x$ , dacă  $x = yw$  pentru orice  $y \in \Sigma^*$ . Din  $w \sqsubset x$  rezultă că  $|w| \leq |x|$ . Șirul vid  $\varepsilon$  este atât sufix cât și prefix pentru orice șir. De exemplu, avem  $ab \sqsubset abcca$  și  $cca \sqsupset abcca$ . Este folositor să observăm că, pentru oricare șiruri  $x$  și  $y$  și orice caracter  $a$ , avem  $x \sqsubset y$ , dacă, și numai dacă,  $xa \sqsubset ya$ . De asemenea, observăm că  $\sqsubset$  și  $\sqsupset$  sunt relații tranzitive. Următoarea lemă va fi folositoare mai târziu.

**Lema 34.1 (Lema de suprapunere a sufixului)** Presupunem că  $x, y$  și  $z$  sunt șiruri, astfel încât  $x \sqsubset z$  și  $y \sqsupset z$ . Dacă  $|x| \leq |y|$ , atunci  $x \sqsubset y$ . Dacă  $|x| \geq |y|$ , atunci  $y \sqsubset x$ . Dacă  $|x| = |y|$ , atunci  $x = y$ .

**Demonstrație.** Urmăriți figura 34.2 pentru o demonstrație grafică. ■

Pentru prescurtarea scrierii, vom nota prefixul  $k$ -caracter  $P[1..k]$ , din modelul  $P[1..m]$  prin  $P_k$ . Deci,  $P_0 = \varepsilon$  și  $P_m = P = P[1..m]$ . În mod analog, notăm prefixul  $k$ -caracter al textului  $T$  cu  $T_k$ . Folosind aceste notații, putem considera că problema potrivirii șirurilor este problema determinării tuturor deplasamentelor  $s$  în domeniul  $0 \leq s \leq n - m$ , astfel încât  $P \sqsubset T_{s+m}$ .

În pseudocod, vom permite ca operația de verificare a egalității a două șiruri să fie considerată o operație elementară. Dacă șirurile sunt comparate de la stânga la dreapta și compararea se oprește când este descoperită o greșală, presupunem că timpul necesar pentru un astfel de test depinde, după o funcție liniară, de numărul caracterelor potrivite descoperite. Mai precis, se presupune că testul “ $x = y$ ” durează  $\Theta(t+1)$ , unde  $t$  este lungimea celui mai lung șir  $z$ , astfel încât  $z \sqsubset x$  și  $z \sqsupset y$ .

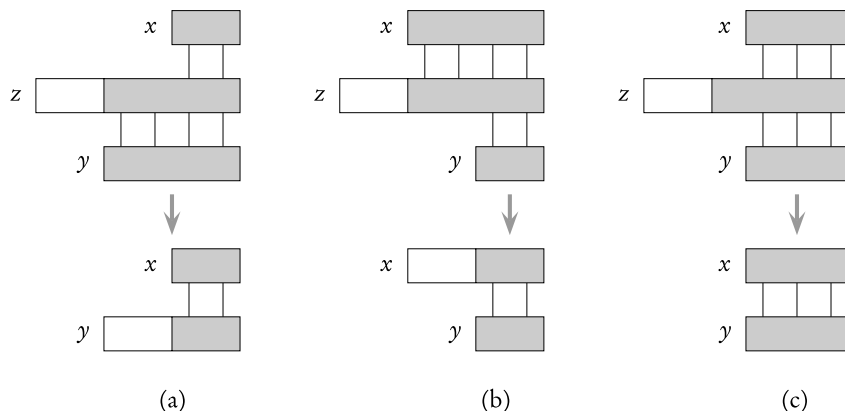
### 34.1. Algoritmul naiv pentru potrivirea șirurilor

Algoritmul naiv găsește toate deplasările corecte folosind un ciclu care satisfacă condiția  $P[1..m] = T[s+1..s+m]$  pentru fiecare dintre cele  $n - m + 1$  valori posibile ale lui  $s$ .

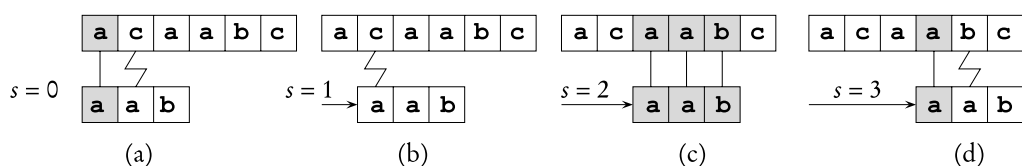
POTRIVIRE-NAIVĂ-A-ȘIRURILOR( $T, P$ )

- 1:  $n \leftarrow \text{lungime}[T]$
- 2:  $m \leftarrow \text{lungime}[P]$
- 3: **pentru**  $s \leftarrow 0, n - m$  **execută**
- 4:   **dacă**  $P[1..m] = T[s+1..s+m]$  **atunci**
- 5:     tipărește “Modelul apare cu deplasamentul”  $s$

Procedura naivă pentru potrivirea șirurilor poate fi interpretată grafic ca o deplasare peste text a unui “șablon” conținând modelul, notând deplasamentele la care toate caracterele din



**Figura 34.2** O demonstrație grafică pentru lema 34.1. Presupunem că  $x \sqsupset z$  și  $y \sqsupset z$ . Cele trei cadre ale figurii ilustrează cele trei cazuri ale lemei. Liniile verticale unesc regiunile potrivite (hașurate) ale sirurilor. **(a)** Dacă  $|x| \leq |y|$ , atunci  $x \sqsupset y$ . **(b)** Dacă  $|x| \geq |y|$ , atunci  $y \sqsupset x$ . **(c)** Dacă  $|x| = |y|$ , atunci  $x = y$ .



**Figura 34.3** Funcționarea algoritmului naiv pentru potrivirea șirurilor pentru modelul  $P = \text{aab}$  și textul  $T = \text{acaabc}$ . Ne putem imagina modelul  $P$  ca pe un “șablon” pe care îl vom suprapune peste text. Cadrele (a)-(d) prezintă patru poziționări succesive încercate de algoritmul naiv pentru potrivire. În fiecare cadru, liniile verticale unesc regiunile corespunzătoare care se potrivesc (hașurate), iar o linie în zig-zag unește primul caracter găsit care nu se potrivesc, dacă acesta există. În cadrul (c) se observă o potrivire a modelului  $P$ , la deplasamentul  $s = 2$ .

șablon sunt egale cu caracterele corespondente din text, aşa cum se poate vedea în figura 34.3. În ciclul **pentru**, care începe în linia 3, sunt considerate explicit toate deplasamentele posibile. În linia 4, testul determină dacă deplasamentul curent este sau nu corect; acest test implică un ciclu implicit pentru verificarea corespondenței pozițiilor caracterelor până când toate pozițiile se potrivesc sau până când este întâlnită prima nepotrivire. Linia 5 tipărește toate deplasamentele corecte.

Procedura POTRIVIRE-NAIVĂ-A-ŞIRURILOR are, în cel mai defavorabil caz, timpul de execuție  $\Theta((n - m + 1)m)$ . De exemplu, considerăm textul  $a^n$  (un sir format din  $n$  caractere  $a$ ) și modelul  $a^m$ . Pentru fiecare dintre cele  $n - m + 1$  valori posibile ale deplasamentului  $s$ , ciclul implicit din linia 4 de comparare a caracterelor corespondente trebuie executat de  $m$  ori pentru a valida un deplasament. Timpul de execuție, în cel mai defavorabil caz, este atunci  $\Theta((n - m + 1)m)$ , care este  $\Theta(n^2)$  dacă  $m = \lfloor n/2 \rfloor$ .

După cum vom vedea, POTRIVIRE-NAIVĂ-A-ŞIRURILOR nu este procedura optimă pentru această problemă. Într-adevăr, în acest capitol, vom prezenta un algoritm cu timpul de execuție, în cel mai defavorabil caz,  $O(n + m)$ . Algoritmul naiiv este ineficient deoarece informația asupra

textului, obținută pentru o valoare a lui  $s$ , este total ignorată la tratarea altor valori ale lui  $s$ . O astfel de informație poate fi foarte folositoare. De exemplu, dacă  $P = \text{aaab}$  și găsim că  $s = 0$  este un deplasament corect, atunci nici unul dintre deplasamentele 1, 2 sau 3 nu este corect, deoarece  $P[4] = \text{b}$ . În secțiunile următoare vom examina câteva moduri pentru utilizarea acestui tip de informație.

## Exerciții

**34.1-1** Arătați comparațiile făcute de algoritmul naiv pentru potrivirea șirurilor în textul  $T = 000010001010001$  pentru modelul  $P = 0001$ .

**34.1-2** Arătați că algoritmul naiv pentru potrivirea șirurilor găsește *prima* apariție a unui model într-un text, în cel mai defavorabil caz, într-un timp  $\Theta((n - m + 1)(m - 1))$ .

**34.1-3** Presupunem că, în modelul  $P$ , toate caracterele sunt diferite. Arătați cum poate algoritmul POTRIVIRE-NAIVĂ-A-ȘIRURILOR să se execute, pentru un text  $T$  de  $n$  caractere, în timpul  $O(n)$ .

**34.1-4** Presupunem că modelul  $P$  și textul  $T$  sunt șiruri obținute *aleator*, de lungimi  $m$  și respectiv,  $n$ , dintr-un alfabet  $\Sigma_d = \{0, 1, \dots, d - 1\}$ , unde  $d \geq 2$ . Arătați că numărul *mediu* de comparații caracter cu caracter executate de ciclul implicit din linia 4 a algoritmului naiv este

$$(n - m + 1) \frac{1 - d^{-m}}{1 - d^{-1}} \leq 2(n - m + 1).$$

(Se presupune că algoritmul naiv termină compararea caracterelor, pentru un deplasament dat, o dată ce este găsită o nepotrivire sau modelul întreg este recunoscut.) Astfel, pentru șiruri alese aleator, algoritmul naiv este chiar eficient.

**34.1-5** Presupunem că permitem modelului  $P$  să conțină apariții ale unui *caracter de discontinuitate*  $\diamond$ . Aceasta se potrivește cu orice sir *arbitrar* de caractere (chiar și de lungime zero). De exemplu, modelul  $\text{ab}\diamond\text{ba}\diamond\text{c}$  apare în textul  $\text{cabccbacbacab}$  astfel:

$\begin{array}{ccccccc} c & \underbrace{\text{ab}}_{\text{ab}} & \underbrace{\text{cc}}_{\diamond} & \underbrace{\text{ba}}_{\text{ba}} & \underbrace{\text{cba}}_{\diamond} & \underbrace{\text{c}}_{\text{c}} & \text{ab} \\ & \diamond & & & \diamond & & \end{array}$

și

$\begin{array}{ccccccc} c & \underbrace{\text{ab}}_{\text{ab}} & \underbrace{\text{ccbac}}_{\diamond} & \underbrace{\text{ba}}_{\text{ba}} & \underbrace{\text{c}}_{\diamond} & \underbrace{\text{ab}}_{\text{c}} & \text{ab}. \\ & \diamond & & & \diamond & & \end{array}$

Caracterul de discontinuitate poate să apară ori de câte ori dorim în model, dar se presupune că nu apare în text. Dați un algoritm polinomial pentru a determina dacă un astfel de model  $P$  apare într-un text dat  $T$ , și analizați timpul de execuție pentru acest algoritm.

---

## 34.2. Algoritmul Rabin-Karp

Rabin și Karp au propus un algoritm pentru potrivirea sirurilor care se comportă bine în practică și care, de asemenea, se poate generaliza la alți algoritmi pentru probleme asemănătoare, cum ar fi potrivirea modelelor bidimensionale. Timpul de execuție, în cel mai defavorabil caz, pentru algoritmul Rabin-Karp este  $O((n - m + 1)m)$ , dar are un timp mediu de execuție bun.

Acest algoritm folosește noțiuni din teoria numerelor elementare, cum ar fi egalitatea a două numere modulo un al treilea număr. Pentru o definiție exactă, se poate revedea secțiunea 33.1.

Pentru prezentarea propusă, presupunem că  $\Sigma = \{0, 1, 2, \dots, 9\}$ , deci fiecare caracter este o cifră zecimală. (În general, putem presupune că fiecare caracter este o cifră în baza  $d$ , unde  $d = |\Sigma|$ .) Putem, atunci, privi un sir de  $k$  caractere consecutive ca reprezentând un număr zecimal de lungime  $k$ . Astfel, sirul de caractere 31415 corespunde numărului zecimal 31,415. Dat fiind faptul că datele de intrare pot fi interpretate pe de o parte ca simboluri grafice, pe de alta ca cifre, în continuare, le vom scrie cu fonturi obișnuite.

Fiind dat modelul  $P[1..m]$ , notăm cu  $p$  valoarea sa zecimală corespunzătoare. Într-o manieră similară, fiind dat textul  $T[1..n]$ , notăm cu  $t_s$  valoarea zecimală a subșirului  $T[s + 1..s + m]$  de lungime  $m$ , pentru  $s = 0, 1, \dots, n - m$ . Desigur,  $t_s = p$  dacă, și numai dacă,  $T[s + 1..s + m] = P[1..m]$ ; astfel,  $s$  este un deplasament corect dacă, și numai dacă,  $t_s = p$ . Dacă putem calcula  $p$  în timpul  $O(m)$  și toate valorile  $t_i$  în timpul total  $O(n)$ , atunci putem determina toate deplasamentele corecte  $s$  în timpul  $O(n)$  prin compararea lui  $p$  cu fiecare  $t_s$ . (Pentru moment, nu ne îngrijorează faptul că  $p$  și  $t_s$  ar putea fi numere foarte mari.)

Putem calcula  $p$  în timpul  $O(m)$  folosind schema lui Horner (vezi secțiunea 32.1):

$$p = P[m] + 10(P[m - 1] + 10(P[m - 2] + \dots + 10(P[2] + 10P[1]) \dots)).$$

Valoarea  $t_0$  poate fi calculată, în mod analog, din  $T[1..m]$  în timpul  $O(m)$ .

Pentru calcularea valorilor rămase  $t_1, t_2, \dots, t_{n-m}$ , în timpul  $O(n - m)$ , este suficient să observăm că  $t_{s+1}$  poate fi calculat din  $t_s$  într-un timp constant, deoarece:

$$t_{s+1} = 10(t_s - 10^{m-1}T[s + 1]) + T[s + m + 1]. \quad (34.1)$$

De exemplu, fie  $m = 5$  și  $t_s = 31415$ . Dacă dorim să ștergem cifra cea mai semnificativă  $T[s + 1] = 3$  și să aducem, pe poziția cea mai puțin semnificativă, atunci o nouă cifră (presupunem că aceasta este  $T[s + 5 + 1] = 2$ ) pentru a obține:

$$t_{s+1} = 10(31415 - 10000 \cdot 3) + 2 = 14152.$$

Scăzând  $10^{m-1}T[s + 1]$ , se șterge cifra cea mai semnificativă din  $t_s$ ; înmulțind rezultatul cu 10, se deplasează numărul spre stânga cu o poziție și adunând la aceasta cifra  $T[s + m + 1]$ , o aduce pe poziția cea mai puțin semnificativă. Dacă, în prealabil, calculăm constanta  $10^{m-1}$  (ceea ce se poate realiza în timpul  $O(\lg m)$  folosind tehniciile din secțiunea 33.6, deși pentru această aplicație este adecvată o metodă simplă  $O(m)$ ), atunci fiecare execuție a ecuației (34.1) necesită un număr constant de operații aritmetice. Astfel,  $p$  și  $t_0, t_1, \dots, t_{n-m}$  pot fi calculate în timpul  $O(n + m)$  și putem determina toate aparitiile modelului  $P[1..m]$  în textul  $T[1..n]$  într-un timp  $O(n + m)$ .

Singurul inconvenient la această procedură este că  $p$  și  $t_s$  pot fi prea mari ca să se poată lucra, convenabil, cu ele. Dacă  $P$  conține  $m$  caractere, atunci presupunerea că fiecare operație aritmetică asupra lui  $p$  (care are o lungime de  $m$  cifre) durează “un timp constant” nu este

rezonabilă. Din fericire, există o rezolvare simplă pentru această problemă, aşa cum este arătat în figura 34.4: calculul lui  $p$  și  $t_s$  modulo o valoare potrivită  $q$ . Întrucât calculul lui  $p$ ,  $t_0$  și recursivitatea (34.1) pot fi efectuate modulo  $q$ , observăm că  $p$  și toate valorile  $t_s$  pot fi calculate modulo  $q$  în timpul  $O(n+m)$ . Pentru valoarea  $q$  este, de obicei, ales un număr prim, astfel încât  $10q$  să poată fi reprezentat pe un cuvânt de memorie, ceea ce permite ca toate operațiile necesare să fie efectuate cu precizie aritmetică simplă. În general, având dat un alfabet  $\{0, 1, \dots, d-1\}$ , alegem  $q$  astfel încât  $dq$  să se poată reprezenta pe un cuvânt de memorie, și modificăm ecuația recursivă (34.1), astfel încât să se calculeze modulo  $q$ , și deci:

$$t_{s+1} = (d(t_s - T[s+1]h) + T[s+m+1]) \bmod q, \quad (34.2)$$

unde  $h \equiv d^{m-1} \pmod{q}$  este valoarea pentru cifra “1” în poziția cea mai semnificativă a ferestrei text de  $m$ -cifre.

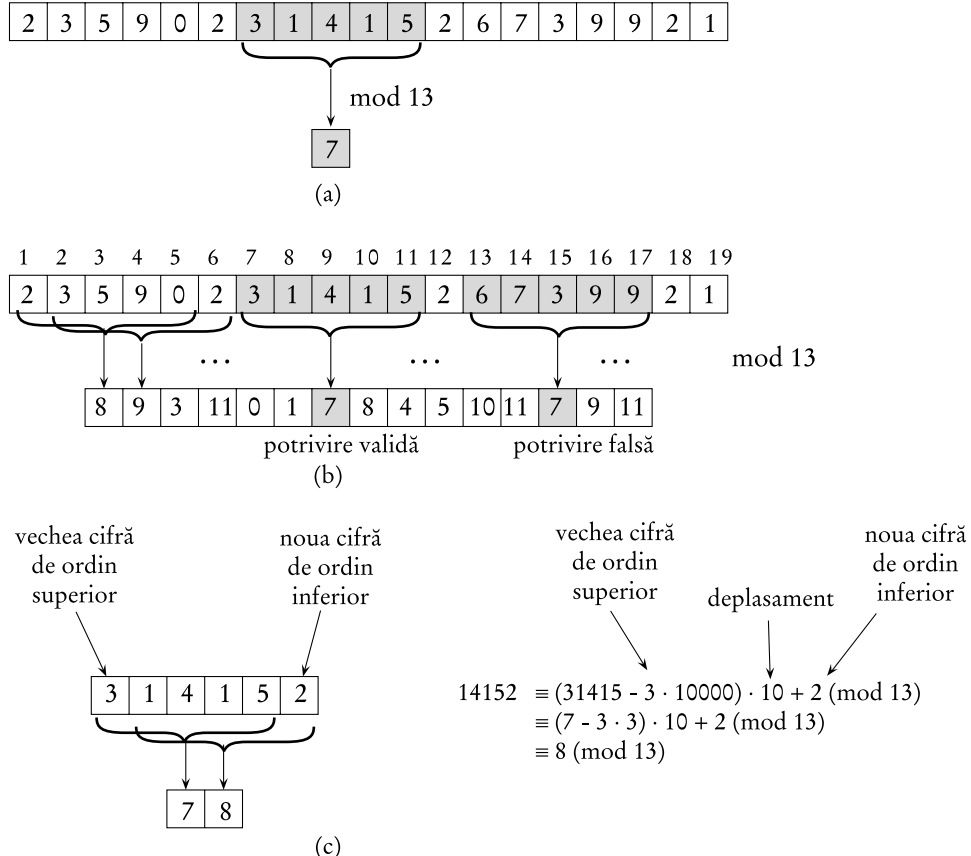
Calitatea folosirii modulo  $q$  conferă rapiditate, deși  $t_s \equiv p \pmod{q}$  nu implică  $t_s = p$ . Pe de altă parte, dacă  $t_s \neq p \pmod{q}$ , atunci, bineîntăles, avem  $t_s \neq p$ , astfel încât deplasamentul  $s$  este incorrect. Putem, astfel, folosi testul  $t_s \equiv p \pmod{q}$  ca pe un test euristic rapid pentru determinarea deplasamentelor incorrecte  $s$ . Orice deplasament  $s$ , pentru care  $t_s \equiv p \pmod{q}$ , trebuie să fie testat în plus pentru a vedea dacă  $s$  este, într-adevăr, corect sau avem doar o **falsă potrivire**. Această testare poate fi făcută prin verificarea, explicită, a condiției  $P[1..m] = T[s+1..s+m]$ . Dacă  $q$  este suficient de mare, atunci, putem spera că potrivirile false apar destul de rar și, astfel, costul verificărilor suplimentare este scăzut.

Aceste idei se vor clarifica urmărind procedura de mai jos. Datele de intrare pentru procedură sunt textul  $T$ , modelul  $P$ , baza  $d$  folosită (care de obicei este aleasă  $|\Sigma|$ ) și numărul prim  $q$ .

#### POTRIVIRE-RABIN-KARP( $T, P, d, q$ )

- 1:  $n \leftarrow \text{lungime}[T]$
- 2:  $m \leftarrow \text{lungime}[P]$
- 3:  $h \leftarrow d^{m-1} \bmod q$
- 4:  $p \leftarrow 0$
- 5:  $t_0 \leftarrow 0$
- 6: **pentru**  $i \leftarrow 1, m$  **execută**
- 7:    $p \leftarrow (dp + P[i]) \bmod q$
- 8:    $t_0 \leftarrow (dt_0 + T[i]) \bmod q$
- 9: **pentru**  $s \leftarrow 0, n - m$  **execută**
- 10:   **dacă**  $p = t_s$  **atunci**
- 11:     **dacă**  $P[1..m] = T[s+1..s+m]$  **atunci**
- 12:       tipărește “Modelul apare cu deplasamentul”  $s$
- 13:     **dacă**  $s < n - m$  **atunci**
- 14:        $t_{s+1} \leftarrow (d(t_s - T[s+1]h) + T[s+m+1]) \bmod q$

Descriem, în continuare, modul în de funcționare a procedurii POTRIVIRE-RABIN-KARP. Toate caracterele sunt interpretate ca cifre în baza  $d$ . Indicele lui  $t$  este folosit numai pentru claritate; programul funcționează corect și dacă toți indicii sunt omisi. În linia 3, se inițializează  $h$  cu valoarea de pe poziția cea mai semnificativă dintr-o fereastră de  $m$  cifre. În liniile 4–8, se calculează  $p$  ca valoarea  $P[1..m] \bmod q$  și  $t_0$  ca fiind valoarea lui  $T[1..m] \bmod q$ . Ciclul **pentru**, începând din linia 9, parcurge toate deplasamentele posibile  $s$ . Ciclul are următorul invariant: de fiecare dată când linia 10 este executată,  $t_s = T[s+1..s+m] \bmod q$ . Dacă, în linia 10, avem



**Figura 34.4** Algoritmul Rabin-Karp. Fiecare caracter este o cifră zecimală și calculăm valorile modulo 13. (a) Un sir text. O fereastră de lungime 5 este reprezentată hașurat. Valoarea numerică a numărului hașurat este 7 calculată modulo 13. (b) Același sir text cu valori calculate modulo 13 pentru fiecare poziție posibilă a ferestrei de lungime 5. Presupunând modelul  $P = 31415$ , căutăm ferestrele ale căror valori modulo 13 sunt 7, deoarece  $31415 \equiv 7 \pmod{13}$ . Sunt determinate și hașurate două astfel de ferestre. Prima, începând cu poziția 7 în text, este, într-adevăr, o apariție a modelului, în timp ce a doua, începând cu poziția 13 în text, este o falsă potrivire. (c) Calculând valoarea pentru o fereastră într-un timp constant, am dat valoarea pentru fereastra precedentă. Prima fereastră are valoarea 31415. Înlăturând cifra cea mai semnificativă, 3, deplasând spre stânga (înmulțind cu 10) și, apoi, adunând, pe poziția cea mai puțin semnificativă, a cifra 2, obținem noua valoare 14152. Toate calculele sunt efectuate modulo 13, astfel, valoarea pentru prima fereastră este 7, și valoarea calculată pentru noua fereastră este 8.

$p = t_s$  (o “potrivire”), atunci, în linia 11 se verifică dacă  $P[1..m] = T[s+1..s+m]$  pentru a elimina posibilitatea unei potriviri false. În linia 12 se tipăresc toate deplasamentele corecte determinate. Dacă  $s < n - m$  (verificarea din linia 13), atunci ciclul **pentru** este executat cel puțin încă o dată, și, astfel, linia 14 este executată pentru a asigura că invariantul ciclului este corect când se ajunge din nou la linia 10. Linia 14 calculează valoarea  $t_{s+1}$  mod  $q$  din valoarea  $t_s$  mod  $q$  într-un

timp constant, folosind direct ecuația (34.2).

Timpul de execuție, în cel mai defavorabil caz, pentru algoritmul POTRIVIRE-RABIN-KARP este  $\Theta((n - m + 1)m)$  deoarece (ca în algoritmul naiv de potrivire a sirurilor) algoritmul Rabin-Karp verifică explicit fiecare deplasament corect. Dacă  $P = \mathbf{a}^m$  și  $T = \mathbf{a}^n$ , atunci verificările durează un timp  $\Theta((n - m + 1)m)$  deoarece fiecare dintre cele  $n - m + 1$  deplasamente posibile sunt corecte. (Subliniem, de asemenea, că timpul necesar pentru calculul lui  $d^{m-1} \bmod q$ , din linia a 3-a, și ciclul din liniile 6–8 este  $O(m) = O((n - m + 1)m)$ .) În multe aplicații, ne așteptăm la puține deplasamente corecte (probabil  $O(1)$  dintre ele). Astfel, timpul de execuție așteptat pentru algoritm este  $O(n + m)$ , plus timpul necesar pentru procesarea potrivirilor false. Putem susține o analiză euristică presupunând că reducerea valorilor modulo  $q$  acționează ca o proiecție aleatoare a lui  $\Sigma^*$  peste  $Z_q$ . (Vezi discuția despre folosirea divizării pentru dispersie din secțiunea 12.3.1. Este dificil să formalizăm și să demonstrăm o astfel de presupunere, deși o modalitate viabilă este să presupunem că  $q$  este ales aleator, din mulțimea numerelor întregi, cu o valoare potrivită. Nu vom urmări aici această formalizare.) Ne putem aștepta ca numărul de potriviri false să fie  $O(n/q)$ , deoarece posibilitatea ca un  $t_s$  arbitrar să fie echivalent cu  $p$ , modulo  $q$ , poate fi estimată la  $1/q$ . Atunci, timpul de execuție estimat pentru algoritmul Rabin-Karp este:

$$O(n) + O(m(v + n/q)),$$

unde  $v$  este numărul de deplasamente corecte. Acest timp de execuție este  $O(n)$  dacă alegem  $q \geq m$ . Așadar, dacă numărul estimat de deplasamente corecte este mic ( $O(1)$ ) și numărul prim  $q$  este ales mai mare decât lungimea modelului, atunci, estimăm pentru procedura Rabin-Karp timpul de execuție  $O(n + m)$ .

## Exerciții

**34.2-1** Lucrând modulo  $q = 11$ , câte potriviri false se întâlnesc la execuția algoritmului Rabin-Karp pentru textul  $T = 3141592653589793$  și pentru modelul  $P = 26$ ?

**34.2-2** Cum ati extinde metoda Rabin-Karp la problema căutării într-un text a câte unei singure aparitii a fiecarui model dintr-o mulțime dată de  $k$  modele?

**34.2-3** Arătați cum se extinde metoda Rabin-Karp pentru a rezolva problema căutării unui model dat  $m \times m$  într-un sir de caractere  $n \times n$ . (Modelul poate fi deplasat vertical și orizontal, dar nu poate fi rotit.)

**34.2-4** Alice are o copie a unui fișier  $A = \{a_{n-1}, a_{n-2}, \dots, a_0\}$  de lungime  $n$  biți, și Bob are, de asemenea, un fișier  $B = \{b_{n-1}, b_{n-2}, \dots, b_0\}$  care conține  $n$  biți. Alice și Bob doresc să știe dacă fișierele lor sunt identice. Pentru a evita transmiterea întregului fișier  $A$  sau  $B$ , ei folosesc următoarea verificare probabilistică rapidă. Aleg împreună numărul  $q > 1000n$  și un întreg  $x$  aleator din mulțimea  $\{0, 1, \dots, q - 1\}$ . Apoi, Alice calculează:

$$A(x) = \left( \sum_{i=0}^n a_i x^i \right) \bmod q$$

și în mod analog, Bob calculează  $B(x)$ . Demonstrați că, dacă  $A \neq B$ , există, cel mult, o sansă la 1000 ca  $A(x) = B(x)$ , încrucât, dacă cele două fișiere sunt identice,  $A(x)$  este neapărat același cu  $B(x)$ . (Indica ie: vezi exercițiul 33.4-4.)

### 34.3. Potrivirea sirurilor folosind automate finite

Mulți algoritmi de potrivire a sirurilor construiesc un automat finit care caută în textul  $T$  toate aparținările modelului  $P$ . Această secțiune prezintă o metodă pentru construirea unui astfel de automat. Aceste automate de potrivire a sirurilor sunt foarte eficiente: ele analizează fiecare caracter al textului *o singur dat*, consumând un timp constant pentru fiecare caracter. Timpul folosit – după ce se construiește automatul – este, aşadar,  $\Theta(n)$ . Cu toate acestea, timpul pentru construirea automatului poate fi mare dacă  $\Sigma$  este mare. În secțiunea 34.4 se descrie o variantă intelligentă de abordare a acestei probleme.

Începem această secțiune cu definiția unui automat finit. Examinăm apoi un automat special de potrivire a sirurilor și arătăm cum poate fi el folosit pentru determinarea potrivirilor unui model într-un text. Discuția include detalii privind simularea comportamentului unui automat de potrivire a sirurilor pe un text dat. În final vom arăta cum se construiește automatul de potrivire a sirurilor pentru un model de intrare dat.

#### Automate finite

Un **automat finit**  $M$  este un cvintuplu  $(Q, q_0, A, \Sigma, \delta)$ , unde

- $Q$  este o mulțime finită de **stări**,
- $q_0 \in Q$  este **starea de start**,
- $A \subseteq Q$  este o mulțime distinctă de **stări de acceptare**,
- $\Sigma$  este un **alfabet de intrare** finit,
- $\delta$  este o funcție definită pe  $Q \times \Sigma$  cu valori în  $Q$ , numită **funcție de tranziție** a automatului  $M$ .

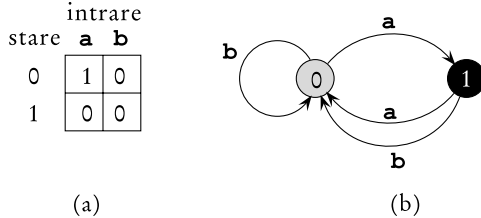
Automatul finit începe în starea  $q_0$  și citește, unul câte unul, caracterele din sirul de intrare. Dacă automatul este în starea  $q$  și citește caracterul de intrare  $a$ , trece (“execută o tranziție”) din starea  $q$  în starea  $\delta(q, a)$ . Atunci când starea curentă  $q$  a automatului aparține mulțimii  $A$ , spunem că mașina  $M$  **acceptă** sirul citit până în acest moment. Dacă o intrare nu este acceptată, spunem că este **respinsă**. Figura 34.5 ilustrează această definiție printr-un automat simplu cu două stări.

Automatul finit  $M$  induce o funcție  $\phi$ , numită **funcție de stare finală**, definită pe  $\Sigma^*$  cu valori în  $Q$  astfel încât  $\phi(w)$  este starea în care rămâne  $M$  după parcurgerea sirului  $w$ . Astfel,  $M$  acceptă un sir  $w$  dacă și numai dacă  $\phi(w) \in A$ . Funcția  $\phi$  este definită de relația recursivă

$$\begin{aligned}\phi(\varepsilon) &= q_0, \\ \phi(wa) &= \delta(\phi(w), a) \text{ pentru } w \in \Sigma^*, a \in \Sigma.\end{aligned}$$

#### Automate de potrivire a sirurilor

Există un automat de potrivire a sirurilor pentru fiecare model  $P$ ; acest automat trebuie construit (pornind de la modelul dat) înainte de a putea fi folosit pentru căutare. Figura 34.6



**Figura 34.5** Un automat finit simplu, cu două stări, pentru care mulțimea stărilor este  $Q = \{0, 1\}$ , starea de start este  $q_0 = 0$ , iar alfabetul de intrare este  $\Sigma = \{a, b\}$ . (a) O reprezentare vectorială a funcției de tranziție  $\delta$ . (b) O diagramă echivalentă a stărilor de tranziție. Starea 1 este singura stare de acceptare (colorată cu negru). Arcele orientate reprezintă tranziții. De exemplu, arcul de la starea 1 la starea 0, etichetat cu  $b$  indică  $\delta(1, b) = 0$ . Acest automat acceptă acele șiruri care se termină cu un număr impar de  $a$ -uri. Mai exact, un șir  $x$  este acceptat dacă, și numai dacă,  $x = yz$ , unde  $y = \varepsilon$  sau  $y$  se termină cu un  $b$ , și  $z = a^k$ , unde  $k$  este impar. De exemplu, secvența de stări pe care acest automat le are pentru intrarea **abaaa** (inclusiv starea de start) este  $\langle 0, 1, 0, 1, 0, 1 \rangle$  și, de aceea, acceptă această intrare. Pentru intrarea **abbaa**, secvența de stări este  $\langle 0, 1, 0, 0, 1, 0 \rangle$  și deci, această intrare nu este acceptată.

ilustrează această construcție pentru modelul  $P = ababaca$ . În continuare, vom presupune că  $P$  este un model fixat; pentru ușurarea exprimării, în notații, nu vom indica toate dependențele pentru  $P$ .

Pentru a specifica automatul de potrivire a șirurilor, corespunzător modelului dat  $P[1..m]$ , definim mai întâi funcția  $\sigma$ , numită **funcție sufix**, corespunzătoare lui  $P$ . Funcția  $\sigma$  este o proiecție a lui  $\Sigma^*$  peste  $\{0, 1, \dots, m\}$ , astfel încât  $\sigma(x)$  este lungimea celui mai lung prefix al lui  $P$ , care este sufix pentru  $x$ :

$$\sigma(x) = \max\{k : P_k \sqsupseteq x\}.$$

Funcția sufix  $\sigma$  este bine definită deoarece șirul vid  $P_0 = \varepsilon$  este un sufix pentru orice șir. De exemplu, pentru modelul  $P = ab$ , avem  $\sigma(\varepsilon) = 0$ ,  $\sigma(ccaca) = 1$  și  $\sigma(ccab) = 2$ . Pentru modelul  $P$  de lungime  $m$ , avem  $\sigma(x) = m$  dacă și numai dacă,  $P \sqsupseteq x$ . Din definiția funcției sufix rezultă că, dacă  $x \sqsupseteq y$ , atunci  $\sigma(x) \leq \sigma(y)$ .

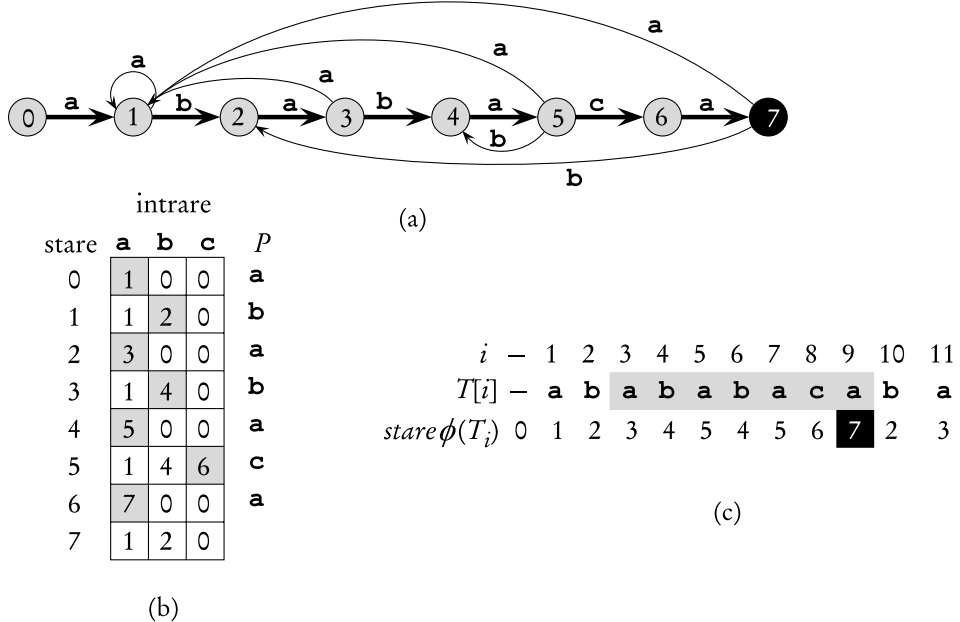
Definim automatul de potrivire a șirurilor pentru un model dat  $P[1..m]$  după cum urmează.

- Mulțimea stărilor  $Q$  este  $\{0, 1, \dots, m\}$ . Starea de start  $q_0$  este starea 0, și starea  $m$  este singura stare de acceptare.
- Funcția de tranziție  $\delta$  este definită prin următoarea ecuație, pentru orice stare  $q$  și orice caracter  $a$ :

$$\delta(q, a) = \sigma(P_q a). \quad (34.3)$$

Există o rațiune intuitivă pentru definirea  $\delta(q, a) = \sigma(P_q a)$ : mașina menține un invariant pe parcursul operațiilor ei:

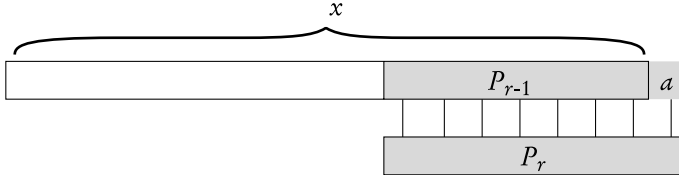
$$\phi(T_i) = \sigma(T_i), \quad (34.4)$$



**Figura 34.6** (a) O diagramă a stărilor de tranziție pentru automatul de potrivire a řurilor care acceptă toate řurile terminate cu **ababaca**. Starea 0 este starea de start și starea 7 (colorată cu negru) este singura stare de acceptare. Un arc orientat de la starea  $i$  la starea  $j$ , etichetat cu  $a$ , reprezintă  $\delta(i, a) = j$ . Arcele orientate spre dreapta, formând “coloana vertebrală” a automatului, reprezentate îngroșat, corespund potrivirilor corecte între model și caracterele de intrare. Arcele orientate spre stânga corespund potrivirilor incorecte. Unele arce, corespunzând potrivirilor incorecte, nu sunt reprezentate; prin convenție, dacă o stare  $i$  nu are arc de ieșire etichetat cu  $a$  pentru  $a \in \Sigma$ , atunci  $\delta(i, a) = 0$ . (b) Funcția de tranziție corespunzătoare  $\delta$  și řul model  $P = \text{ababaca}$ . Intrările corespunzând potrivirilor corecte între model și caracterele de intrare sunt hașurate. (c) Funcționarea automatului pentru textul  $T = \text{abababacaba}$ . Sub fiecare caracter al textului  $T[i]$ , este dată starea  $\phi(T_i)$  în care se află automatul după procesarea prefixului  $T_i$ . O apariție a modelului este determinată, terminându-se în poziția 9.

rezultat care este demonstrat mai jos în teorema 34.4. Cu alte cuvinte, aceasta înseamnă că după parcurgerea primelor  $i$  caractere din textul  $T$ , mașina este în starea  $\phi(T_i) = q$ , unde  $q = \sigma(T_i)$  este lungimea celui mai lung sufix din  $T_i$  care este, de asemenea, un prefix al modelului  $P$ . Dacă următorul caracter prelucrat este  $T[i+1] = a$ , atunci mașina trebuie să facă o tranziție la starea  $\sigma(T_{i+1}) = \sigma(T_i a)$ . Demonstrația teoremei arată că  $\sigma(T_i a) = \sigma(P_q a)$ . Așadar, pentru a calcula lungimea celui mai lung sufix din  $T_i a$  care este un prefix al lui  $P$ , putem calcula cel mai lung sufix al lui  $P_q a$  care este un prefix al lui  $P$ . În fiecare stare, mașina trebuie să cunoască doar lungimea celui mai lung prefix al lui  $P$  care este un sufix a ceea ce a fost citit până aici. De aceea, atribuirea  $\delta(q, a) = \sigma(P_q a)$  păstrează invariantul dorit (34.4). Această argumentare va fi susținută riguros mai târziu.

În automatul de potrivire a řurilor din figura 34.6, de exemplu, avem  $\delta(5, b) = 4$ . Aceasta rezultă din faptul că, dacă automatul citește un **b** în starea  $q = 5$ , atunci  $P_q b = \text{ababab}$  și cel mai lung prefix al lui  $P$  care este, totodată, sufix al lui **ababab** este  $P_4 = \text{abab}$ .



**Figura 34.7** O ilustrare pentru demonstrația lemei 34.2. Figura arată că  $r \leq \sigma(x) + 1$ , unde  $r = \sigma(xa)$ .

Pentru a clarifica modul de funcționare a automatului de potrivire a sirurilor, dăm, în continuare, un program simplu și eficient pentru simularea comportamentului acestuia (reprezentat prin funcția sa de tranziție  $\delta$ ) în căutarea aparitărilor unui model  $P$  de lungime  $m$  într-un text de intrare  $T[1..n]$ . La fel ca la toate automatele de potrivire a sirurilor pentru un model de lungime  $m$ , mulțimea stăriilor  $Q$  este  $\{0, 1, \dots, m\}$  și starea de start este 0; singura stare de acceptare este starea  $m$ .

#### AUTOMAT-FINIT-DE-POTRIVIRE( $T, \delta, m$ )

- 1:  $n \leftarrow \text{lungime}[T]$
- 2:  $q \leftarrow 0$
- 3: **pentru**  $i \leftarrow 1, n$  **execuță**
- 4:    $q \leftarrow \delta(q, T[i])$
- 5:   **dacă**  $q = m$  **atunci**
- 6:      $s \leftarrow i - m$
- 7:     tipărește "Modelul apare cu deplasamentul"  $s$

Datorită structurii de ciclu simplu al algoritmului AUTOMAT-FINIT-DE-POTRIVIRE, timpul de execuție, pentru un text de lungime  $n$ , este  $O(n)$ . Această problemă va fi abordată mai târziu, după ce se demonstrează că procedura AUTOMAT-FINIT-DE-POTRIVIRE funcționează corect.

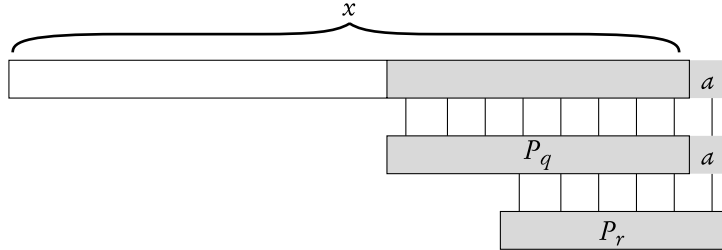
Analizăm funcționarea automatului pe un text de intrare  $T[1..n]$ . Vom demonstra că automatul ajunge în starea  $\sigma(T_i)$  după prelucrarea caracterului  $T[i]$ . Întrucât  $\sigma(T_i) = m$  dacă, și numai dacă,  $P \sqsupseteq T_i$ , mașina ajunge în starea de așteptare  $m$  dacă și numai dacă modelul  $P$  tocmai a fost prelucrat. Pentru a demonstra aceasta vom folosi următoarele două leme referitoare la funcția sufix  $\sigma$ .

**Lema 34.2 (Inegalitatea funcției sufix)** Pentru orice sir  $x$  și orice caracter  $a$ , avem  $\sigma(xa) \leq \sigma(x) + 1$ .

**Demonstrație.** În figura 34.7, considerăm  $r = \sigma(xa)$ . Dacă  $r = 0$ , atunci concluzia  $r \leq \sigma(x) + 1$  este imediată, deoarece funcția  $\sigma(x)$  este pozitivă. În continuare presupunem că  $r > 0$ . Deci,  $P_r \sqsupseteq xa$  conform definiției lui  $\sigma$ . Astfel,  $P_{r-1} \sqsupseteq x$ , la eliminarea lui  $a$  de la sfârșitul lui  $P_r$  și de la sfârșitul lui  $xa$ . Rezultă că  $r - 1 \leq \sigma(x)$  întrucât  $\sigma(x)$  este cel mai mare  $k$  pentru care  $P_k \sqsupseteq x$ . ■

**Lema 34.3 (Lema de recursivitate a funcției sufix)** Pentru orice sir  $x$  și orice caracter  $a$ , dacă avem  $q = \sigma(x)$ , atunci  $\sigma(xa) = \sigma(P_q a)$ .

**Demonstrație.** Din definiția lui  $\sigma$  avem  $P_q \sqsupseteq x$ . În figura 34.8 se ilustrează că  $P_q a \sqsupseteq xa$ . Dacă alegem  $r = \sigma(xa)$ , atunci, conform lemei 34.2,  $r \leq q + 1$ . Întrucât  $P_q a \sqsupseteq xa$ ,  $P_r \sqsupseteq xa$  și  $|P_r| \leq$



**Figura 34.8** O ilustrare pentru demonstrația lemei 34.3. Figura arată că  $r = \sigma(P_q a)$ , unde  $q = \sigma(x)$  și  $r = \sigma(xa)$ .

$|P_q a|$ , conform lemei 34.1, rezultă că  $P_r \sqsupseteq P_q a$ . Deci,  $r \leq \sigma(P_q a)$  înseamnă că  $\sigma(xa) \leq \sigma(P_q a)$ . Dar, de asemenea, avem că  $\sigma(P_q a) \leq \sigma(xa)$ , pentru că  $P_q a \sqsupseteq xa$ . Rezultă că  $\sigma(xa) = \sigma(P_q a)$ . ■

Aveam toate datele necesare pentru a demonstra teorema principală ce caracterizează comportamentul unui automat de potrivire a řurilor pentru un text de intrare dat. Așa cum am observat mai sus, această teoremă arată că, la fiecare pas, este suficient ca automatul să cunoască lungimea celui mai lung prefix al modelului care este un sufix a ceea ce a fost prelucrat până atunci.

**Teorema 34.4** Dacă  $\phi$  este funcția de stare finală a automatului de potrivire a řurilor pentru un model dat  $P$  și un text de intrare  $T[1..n]$ , atunci

$$\phi(T_i) = \sigma(T_i)$$

pentru  $i = 0, 1, \dots, n$ .

**Demonstrație.** Demonstrația se face prin inducție după  $i$ . Pentru  $i = 0$ , teorema este imediată, deoarece  $T_0 = \varepsilon$ . Deci,  $\phi(T_0) = \sigma(T_0) = 0$ .

Acum, presupunem că  $\phi(T_i) = \sigma(T_i)$  și demonstrăm că  $\phi(T_{i+1}) = \sigma(T_{i+1})$ . Notăm cu  $q$  pe  $\phi(T_i)$  și cu  $a$  pe  $T[i+1]$ . Atunci,

$$\begin{aligned} \phi(T_{i+1}) &= \phi(T_i, a) && (\text{din definiția lui } T_{i+1} \text{ și } a) \\ &= \delta(\phi(T_i), a) && (\text{din definiția lui } \phi) \\ &= \delta(q, a) && (\text{din definiția lui } q) \\ &= \sigma(P_q a) && (\text{din definiția (34.3) a lui } \delta) \\ &= \sigma(T_i a) && (\text{din lema 34.3 și din inducție}) \\ &= \sigma(T_{i+1}) && (\text{din definiția lui } T_{i+1}) \end{aligned}$$

Teorema este demonstrată prin inducție. ■

Conform teoremei 34.4, dacă mașina intră în starea  $q$  în linia 4, atunci  $q$  este cea mai mare valoare, astfel încât  $P_q \sqsupseteq T_i$ . Avem  $q = m$  în linia 5 dacă, și numai dacă, o apariție a modelului  $P$ , tocmai, a fost prelucrată. În concluzie, AUTOMAT-FINIT-DE-POTRIVIRE funcționează corect.

## Calculul funcției de tranziție

Procedura următoare calculează funcția de tranziție  $\delta$  pornind de la modelul dat  $P[1..m]$ .

**CALCUL-FUNCȚIE-DE-TRANZIȚIE( $P, \Sigma$ )**

```

1:  $m \leftarrow \text{lungime}[P]$ 
2: pentru  $q \leftarrow 0, m$  execută
3:   pentru fiecare caracter  $a \in \Sigma$  execută
4:      $k \leftarrow \min(m + 1, q + 2)$ 
5:     repetă
6:        $k \leftarrow k - 1$ 
7:       până când  $P_k \sqsupset P_q a$ 
8:        $\delta(q, a) \leftarrow k$ 
9: returnează  $\delta$ 

```

Această procedură calculează  $\delta(q, a)$  într-o manieră simplă, conform definiției sale. Ciclurile imbricate, care încep din linile 2 și 3, parcurg toate stările  $q$  și caracterele  $a$ , iar în liniile 4–7 se atribuie pentru  $\delta(q, a)$  cea mai mare valoare a lui  $k$ , astfel încât  $P_k \sqsupset P_q a$ . Codul funcției începe cu cea mai mare valoare posibilă pentru  $k$ , care este  $\min(m, q + 1)$  și decrementează  $k$  până când  $P_k \sqsupset P_q a$ .

Timpul de execuție pentru CALCUL-FUNCȚIE-DE-TRANZIȚIE este  $O(m^3|\Sigma|)$  deoarece ciclul exterior contribuie cu un factor  $m|\Sigma|$ , ciclul, **repetă**, din interior se poate executa de cel mult  $m + 1$  ori și testul  $P_k \sqsupset P_q a$ , din linia 6, poate necesita compararea a până la  $m$  caractere. Există proceduri mult mai rapide; timpul necesar pentru calcularea lui  $\delta$ , pornind de la  $P$ , poate fi îmbunătățit la  $O(m|\Sigma|)$  prin utilizarea unor informații deduse inteligent despre modelul  $P$  (vezi exercițiul 34.4-6). Cu această procedură îmbunătățită pentru calcularea lui  $\delta$ , timpul total de execuție pentru determinarea tuturor aparițiilor unui model de lungime  $m$ , într-un text de lungime  $n$ , peste un alfabet  $\Sigma$  este  $O(n + m|\Sigma|)$ .

## Exerciții

**34.3-1** Construiți automatul de potrivire a șirurilor pentru modelul  $P = \text{aabab}$  și ilustrați funcționarea sa pe textul  $T = \text{aaababaabaababaab}$ .

**34.3-2** Desenați o diagramă stare-tranziție pentru un automat de potrivire a șirurilor pentru modelul  $\text{ababbabbababbabbabb}$  peste alfabetul  $\Sigma = \{\text{a}, \text{b}\}$ .

**34.3-3** Spunem că un model  $P$  nu se poate suprapune dacă  $P_k \sqsupset P_q$  implică  $k = 0$  sau  $k = q$ . Descrieți diagrama stare-tranziție a automatului de potrivire a șirurilor pentru un model care nu se poate suprapune.

**34.3-4 \*** Fiind date modelele  $P$  și  $P'$ , descrieți modul în care se construiește un automat finit care determină toate aparițiile ambelor modele. Încercați să minimizați numărul de stări ale automatului.

**34.3-5** Fiind dat modelul  $P$  conținând caractere de discontinuitate (vezi exercițiul 34.1-5), arătați cum se construiește un automat finit care poate determina o apariție a lui  $P$  într-un text  $T$  într-un timp  $O(n)$ , unde  $n = |T|$ .

## 34.4. Algoritmul Knuth-Morris-Pratt

Prezentăm acum un algoritm de potrivire a şirurilor cu timpul de execuţie liniar datorat lui Knuth, Morris și Pratt. Algoritmul lor realizează un timp de execuţie  $\Theta(n + m)$  prin evitarea calculului întregii funcţii de tranziţie  $\delta$  şi potrivirea modelului folosind chiar o funcţie auxiliară  $\pi[1..m]$ , precalculată pornind de la model în timpul  $O(m)$ . Şirul  $\pi$  permite funcţiei de tranziţie  $\delta$  să fie calculată eficient (în sens de amortizare) “din zbor”, aşa cum este necesar. În general, pentru orice stare  $q = 0, 1, \dots, m$  şi orice caracter  $a \in \Sigma$ , valoarea  $\pi[q]$  conţine informaţia care este independentă de  $a$  şi este necesară pentru calcularea lui  $\delta(q, a)$ . (Această remarcă va fi clarificată mai târziu.) Deoarece şirul  $\pi$  are doar  $m$  elemente şi  $\delta$  are  $O(m|\Sigma|)$  elemente, timpul de procesare îl reducem cu un factor  $\Sigma$  calculându-l pe  $\pi$ , în loc de  $\delta$ .

### Funcţia prefix pentru un model

Funcţia prefix pentru un model încapsulează informaţii despre potrivirea modelului cu deplasamentele lui. Aceste informaţii pot fi folosite pentru a evita testarea deplasamentelor nefolositoare în algoritmul naiv de potrivire a şirurilor sau pentru a evita precalcularea lui  $\delta$  pentru un automat de potrivire a şirurilor.

Analizăm algoritmul naiv de potrivire a şirurilor. În figura 34.9(a) se arată un deplasament particular  $s$  al unui şablon conţinând modelul  $P = \text{ababaca}$  pentru textul  $T$ . Pentru acest exemplu,  $q = 5$  dintre caractere s-au potrivit cu succes, dar al 6-lea caracter nu s-a potrivit cu caracterul corespunzător din text. Informaţia că primele  $q$  caractere au fost potrivite cu succes determină caracterele text corespunzătoare. Cunoscând aceste  $q$  caractere din text, putem să determinăm imediat că anumite deplasamente sunt incorecte. În exemplul din figură, deplasamentul  $s + 1$  este sigur incorect deoarece primul caracter al modelului, un **a**, va fi aliniat cu caracterul din text care se ştie că se potriveşte cu al doilea caracter al modelului, un **b**. Deplasamentul  $s+2$ , prezentat în cadrul (b) al figurii, aliniază primele trei caractere ale modelului cu trei caractere din text care sigur se potrivesc. În general, este necesar să ştim răspunsul la următoarea întrebare:

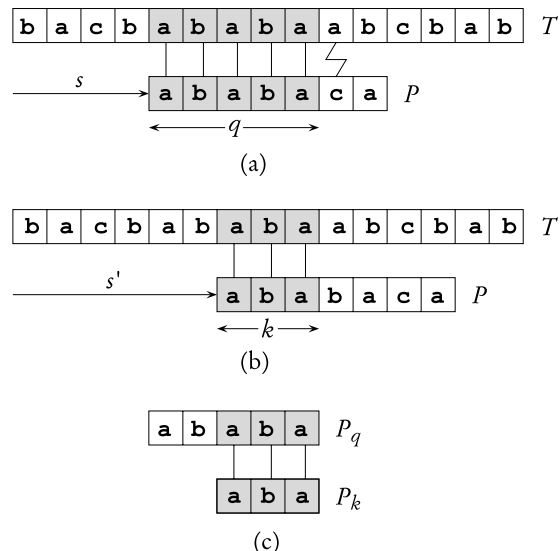
Ştiind că modelul  $P[1..q]$  se potrivesc cu caracterele text  $T[s + 1..s + q]$ , care este cel mai mic deplasament  $s' > s$ , astfel încât

$$P[1..k] = T[s' + 1..s' + k], \quad (34.5)$$

unde  $s' + k = s + q$ ?

Un astfel de deplasament  $s'$  este primul deplasament mai mare decât  $s$  care nu este neapărat incorect conform informaţiilor despre  $T[s + 1..s + q]$ . În cel mai bun caz avem că  $s' = s + q$ , şi deplasamentele  $s + 1, s + 2, \dots, s + q - 1$  sunt toate eliminate. În orice caz, la noul deplasament  $s'$  nu mai trebuie să comparăm primele  $k$  caractere ale lui  $P$  cu caracterele corespunzătoare ale lui  $T$  deoarece ecuaţia (34.5) ne asigură că ele se potrivesc.

Informaţia necesară poate fi precalculată comparând modelul cu el însuşi, aşa cum este ilustrat în figura 34.9(c). Deoarece  $T[s' + 1..s' + k]$  face parte din porţiunea de text cunoscută, el este un sufix al şirului  $P_q$ . Deci, ecuaţia (34.5) poate fi interpretată ca o cerere pentru cel mai mare  $k < q$ , astfel încât  $P_k \sqsupseteq P_q$ . Atunci, următorul potenţial deplasament corect este  $s' = s + (q - k)$ . Se întâmplă să fie mai convenabil să memorăm un număr de  $k$  caractere care



**Figura 34.9** Funcția prefix  $\pi$ . (a) Modelul  $P = ababaca$  este aliniat cu textul  $T$ , astfel încât primele  $q = 5$  caractere se potrivesc. Caracterele care se potrivesc sunt unite prin linii verticale și sunt hașurate. (b) Folosind numai informațiile noastre despre cele 5 caractere care se potrivesc, putem deduce că un deplasament  $s + 1$  este incorrect, dar că un deplasament  $s' = s + 2$  se potrivește cu tot ce știm despre text și deci există posibilitatea să fie corect. (c) Informația utilă pentru astfel de deducții poate fi precalculată comparând modelul cu el însuși. Aici, se observă că cel mai lung prefix al lui  $P$ , care este și un sufix al lui  $P_5$ , este  $P_3$ . Această informație este precalculată și reprezentată în sirul  $\pi$ , astfel  $\pi[5] = 3$ . Dacă  $q$  caractere s-au potrivit cu succes la deplasamentul  $s$ , următorul deplasament corect posibil este la  $s' = s + (q - \pi[q])$ .

se potrivesc la noul deplasament  $s'$ , decât să memorăm, de exemplu,  $s' - s$  caractere. Această informație poate fi utilizată pentru a mări viteza atât la algoritmul naiv de potrivire a sirurilor, cât și la procedura de potrivire folosind automatul finit.

Formalizăm, în continuare, precalculul necesar. Fiind dat un model  $P[1..m]$ , **funcția prefix** pentru modelul  $P$  este  $\pi : \{1, 2, \dots, m\} \rightarrow \{0, 1, \dots, m-1\}$ , astfel încât

$$\pi[q] = \max\{k : k < q \text{ si } P_k \sqsupseteq P_q\}.$$

Astfel,  $\pi[q]$  este lungimea celui mai lung prefix al lui  $P$  care este un sufix potrivit pentru  $P_q$ . Ca un alt exemplu, în figura 34.10(a) este prezentată întreaga funcție prefix  $\pi$  pentru modelul ababababca.

Algoritmul de potrivire Knuth-Morris-Pratt, este prezentat în pseudocod, prin procedura POTRIVIRE-KMP. Veți vedea că este asemănător procedurii aproape ca și AUTOMAT-FINIT-DE-POTRIVIRE. Pentru calculul lui  $\pi$ , procedura POTRIVIRE-KMP apelează procedura auxiliară CALCUL-FUNCTIE-PREFIX.

POTRIVIRE-KMP( $T, P$ )

```

1:  $n \leftarrow \text{lungime}[T]$ 
2:  $m \leftarrow \text{lungime}[P]$ 
3:  $\pi \leftarrow \text{CALCUL-FUNCȚIE-PREFIX}(P)$ 
4:  $q \leftarrow 0$ 
5: pentru  $i \leftarrow 1, n$  execută
6:   cât timp  $q > 0$  și  $P[q + 1] \neq T[i]$  execută
7:      $q \leftarrow \pi[q]$ 
8:   dacă  $P[q + 1] = T[i]$  atunci
9:      $q \leftarrow q + 1$ 
10:  dacă  $q = m$  atunci
11:    tipărește "Modelul apare cu deplasamentul"  $i - m$ 
12:     $q \leftarrow \pi[q]$ 
```

CALCUL-FUNCȚIE-PREFIX( $P$ )

```

1:  $m \leftarrow \text{lungime}[P]$ 
2:  $\pi[1] \leftarrow 0$ 
3:  $k \leftarrow 0$ 
4: pentru  $q \leftarrow 2, m$  execută
5:   cât timp  $k > 0$  și  $P[k + 1] \neq P[q]$  execută
6:      $k \leftarrow \pi[k]$ 
7:   dacă  $P[k + 1] = P[q]$  atunci
8:      $k \leftarrow k + 1$ 
9:    $\pi[q] \leftarrow k$ 
10: returnează  $\pi$ 
```

Începem cu analiza timpului de execuție pentru aceste proceduri. Demonstrarea faptului că aceste proceduri sunt corecte va fi ceva mai complicată.

### Analiza timpului de execuție

Folosind o analiză amortizată (vezi capitolul 18), timpul de execuție pentru funcția CALCUL-FUNCȚIE-PREFIX este  $O(m)$ . Asociem un potențial  $k$  cu starea  $k$  curentă a algoritmului. Acest potențial are o valoare inițială 0, în linia 3. Linia 6 decrementează  $k$ , ori de câte ori este executată, deoarece  $\pi[k] < k$ . Deoarece  $\pi[k] \geq 0$  pentru orice  $k$ ,  $k$  nu poate deveni negativ. Singura linie care mai afectează valoarea lui  $k$  este linia 8, unde se incrementează  $k$ , cel mult o dată, în timpul fiecărei iterații a ciclului **pentru**. Deoarece  $k < q$  după intrarea în ciclul **pentru** și deoarece  $q$  este incrementat la fiecare iterație a ciclului **pentru**, întotdeauna, va fi adevărată relația  $k < q$ . (Aceasta și linia 9 justifică cerința  $\pi[q] < q$ .) Pentru fiecare iterație a ciclului **cât timp** din linia 6, putem decrementa funcția potențial, întrucât  $\pi[k] < k$ . Linia 8 incrementează funcția potențial cel mult o dată, deci costul amortizat al corpului ciclului din liniile 5–9 este  $O(1)$ . Deoarece numărul de iterații ale ciclului exterior este  $O(m)$  și deoarece funcția potențial finală este cel puțin la fel de mare ca funcția potențial inițială, timpul total de execuție, în cel mai rău caz, pentru CALCUL-FUNCȚIE-PREFIX este  $O(m)$ .

Algoritmul Knuth-Morris-Pratt se execută în timp  $O(m+n)$ . Apelul funcției CALCUL-FUNCȚIE-PREFIX consumă un timp  $O(m)$ , aşa cum tocmai am arătat, și o analiză amortizată similară,

folosind ca funcție potențial valoarea  $q$ , arată că restul algoritmului POTRIVIRE-KMP necesită timpul  $O(n)$ .

Comparativ cu AUTOMAT-FINIT-DE-POTRIVIRE, prin folosirea lui  $\pi$  în locul lui  $\delta$ , am redus timpul pentru preprocesarea modelului de la  $O(m|\Sigma|)$  la  $O(m)$ , păstrând, simultan, timpul actual de potrivire limitat la  $O(m + n)$ .

### Corectitudinea calculului funcției prefix

Începem cu o lemă esențială care ne arată că, prin iterarea funcției prefix  $\pi$ , putem enumera toate prefixele  $P_k$  care sunt sufixe ale prefixului  $P_q$  dat. Fie

$$\pi^*[q] = \{q, \pi[q], \pi^2[q], \pi^3[q], \dots, \pi^t[q]\},$$

unde  $\pi^i[q]$  este definit ca funcție compusă, astfel încât  $\pi^0[q] = q$  și  $\pi^{i+1}[q] = \pi[\pi^i[q]]$  pentru  $i > 1$  și unde secvența  $\pi^*[q]$  se termină când se obține  $\pi^t[q] = 0$ .

**Lema 34.5 (Lema de iterare a funcției prefix)** Fie  $P$  un model de lungime  $m$  cu funcția prefix  $\pi$ . Atunci, pentru  $q = 1, 2, \dots, m$ , avem  $\pi^*[q] = \{k : P_k \sqsupseteq P_q\}$ .

**Demonstrație.** Arătăm, mai întâi, că:

$$i \in \pi^*[q] \text{ implică } P_i \sqsupseteq P_q \quad (34.6)$$

Dacă  $i \in \pi^*[q]$ , atunci, pentru un  $u$  oarecare,  $i = \pi^u[q]$ . Demonstrăm ecuația (34.6) prin inducție după  $u$ . Pentru  $u = 0$ , avem  $i = q$ , și cerința este îndeplinită deoarece  $P_q \sqsupseteq P_q$ . Folosind relația  $P_{\pi[i]} \sqsupseteq P_i$  și tranzitivitatea pentru relația  $\sqsupseteq$ , este fixată cerința pentru orice  $i$  din  $\pi^*[q]$ . Deci,  $\pi^*[q] \subseteq \{k : P_k \sqsupseteq P_q\}$ .

Demonstrăm că  $\{k : P_k \sqsupseteq P_q\} \subseteq \pi^*[q]$  prin metoda reducerii la absurd. Presupunem că există un întreg în mulțimea  $\{k : P_k \sqsupseteq P_q\} - \pi^*[q]$  și fie  $j$  cel mai mare astfel de întreg. Deoarece  $q$  aparține mulțimii  $\{k : P_k \sqsupseteq P_q\} \cap \pi^*[q]$ , avem  $j < q$ , aşadar fie  $j'$  cel mai mic întreg din  $\pi^*[q]$  care este mai mare decât  $j$ . (Putem alege  $j' = q$  dacă nu există alt număr în  $\pi^*[q]$  mai mare decât  $j$ .) Avem  $P_j \sqsupseteq P_q$  deoarece  $j \in \{k : P_k \sqsupseteq P_q\}$ ,  $P_{j'} \sqsupseteq P_q$  deoarece  $j' \in \pi^*[q]$ ; astfel,  $P_j \sqsupseteq P_{j'}$  conform lemei 34.1. Mai mult,  $j$  este cea mai mare valoare cu această proprietate. De aceea, trebuie să avem  $\pi[j'] = j$  și, astfel,  $j \in \pi^*[q]$ . Această contradicție demonstrează lema. ■

Figura 34.10 ilustrează această lemă.

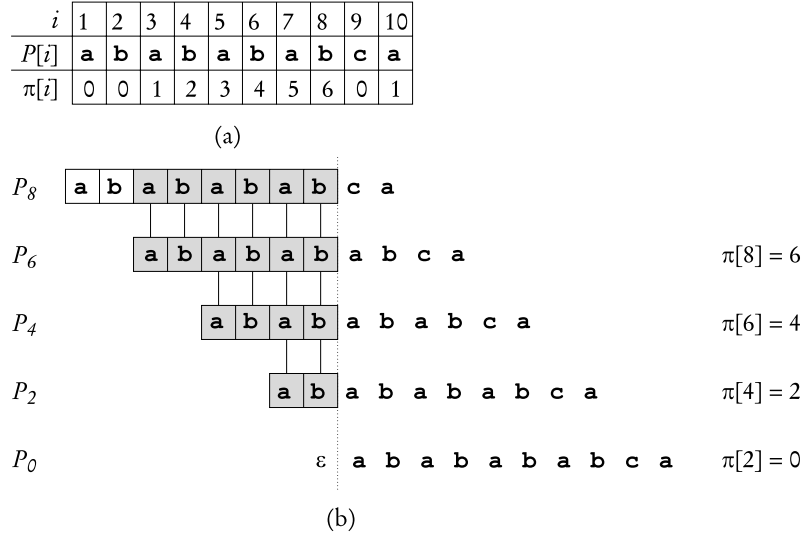
Algoritmul CALCUL-FUNCTIE-PREFIX calculează  $\pi[q]$  pentru fiecare  $q = 1, 2, \dots, m$ . Calculul lui  $\pi[1] = 0$  din linia 2 a funcției CALCUL-FUNCTIE-PREFIX este corect deoarece  $\pi[q] < q$  pentru orice  $q$ . Pentru a demonstra că funcția CALCUL-FUNCTIE-PREFIX calculează corect valoarea lui  $\pi[q]$  pentru orice  $q > 1$ , vom folosi următoarea lemă și corolarele acesteia.

**Lema 34.6** Fie  $P$  un model de lungime  $m$  și fie  $\pi$  funcția prefix pentru  $P$ . Dacă  $\pi[q] > 0$  pentru  $q = 1, 2, \dots, m$ , atunci  $\pi[q] - 1 \in \pi^*[q - 1]$ .

**Demonstrație.** Dacă  $k = \pi[q] > 0$ , atunci  $P_k \sqsupseteq P_q$ , astfel  $P_{k-1} \sqsupseteq P_{q-1}$  (eliminând ultimul caracter din  $P_k$  și  $P_q$ ). Deci,  $k - 1 \in \pi^*[q - 1]$  din lema 34.5. ■

Pentru  $q = 2, 3, \dots, m$ , definim submulțimea  $E_{q-1} \subseteq \pi^*[q - 1]$  prin

$$E_{q-1} = \{k : k \in \pi^*[q - 1] \text{ și } P[k + 1] = P[q]\}.$$



**Figura 34.10** O ilustrare a lemei 34.5 pentru modelul  $P = \text{ababababca}$  și  $q = 8$ . (a) Funcția  $\pi$  pentru modelul dat. Întrucât  $\pi[8] = 6$ ,  $\pi[6] = 4$ ,  $\pi[4] = 2$  și  $\pi[2] = 0$ , iterând  $\pi$ , obținem  $\pi^*[8] = \{8, 6, 4, 2, 0\}$ . (b) Deplasăm şablonul care conține modelul  $P$  spre dreapta și reținem când un prefix  $P_k$  din  $P$  se potrivește cu un sufix al lui  $P_8$ ; aceasta se întâmplă pentru  $k = 6, 4, 2$  și 0. În figură, prima linie prezintă modelul  $P$ . Verticala punctată este trasată imediat după  $P_8$ . Liniile succesive arată toate deplasările lui  $P$  pentru care un prefix  $P_k$  al lui  $P$  se potrivește cu un sufix al lui  $P_8$ . Caracterele care se potrivesc sunt hașurate. Liniile verticale unesc caracterele care se potrivesc. Astfel,  $\{k : P_k \sqsupseteq P_q\} = \{8, 6, 4, 2, 0\}$ . Lemă afirmă că pentru orice  $q$  avem  $\pi^*[q] = \{k : P_k \sqsupseteq P_q\}$ .

Mulțimea  $E_{q-1}$  conține acele valori  $k$  pentru care  $P_k \sqsupseteq P_{q-1}$  (din lema 34.5); deoarece  $P[k+1] = P[q]$ , există, de asemenea, cazul în care pentru aceste valori ale lui  $k$ ,  $P_{k+1} \sqsupseteq P_q$ . Intuitiv,  $E_{q-1}$  conține acele valori  $k \in \pi^*[q-1]$  care ne permite să extindem  $P_k$  la  $P_{k+1}$  și să obținem un sufix al lui  $P_q$ . ■

**Corolarul 34.7** Fie  $P$  un model de lungime  $m$  și fie  $\pi$  funcția prefix pentru modelul  $P$ . Pentru  $q = 2, 3, \dots, m$

$$\pi[q] = \begin{cases} 0 & \text{dacă } E_{q-1} = \emptyset, \\ 1 + \max\{k \in E_{q-1}\} & \text{dacă } E_{q-1} \neq \emptyset. \end{cases}$$

**Demonstrație.** Dacă  $r = \pi[q]$ , atunci  $P_r \sqsupseteq P_q$  și, deci,  $r \geq 1$  implică  $P[r] = P[q]$ . Aplicând lema 34.6, dacă  $r \geq 1$ , atunci

$$r = 1 + \max\{k \in \pi^*[q-1] : P[k+1] = P[q]\}.$$

Dar mulțimea maximă este chiar  $E_{q-1}$ , deci  $r = 1 + \max\{k \in E_{q-1}\}$ , și  $E_{q-1}$  este nevidă. Dacă  $r = 0$ , nu există  $k \in \pi^*[q-1]$  pentru care să putem extinde  $P_k$  la  $P_{k+1}$  și să putem obține un sufix al lui  $P_q$ , deoarece atunci am avea  $\pi[q] > 0$ . Deci,  $E_{q-1} = \emptyset$ . ■

Astfel, am demonstrat faptul că funcția CALCUL-FUNCȚIE-PREFIX calculează corect funcția  $\pi$ . În procedura CALCUL-FUNCȚIE-PREFIX, la începutul fiecărei iterării a ciclului **pentru** din

liniile 4–9, avem  $k = \pi[q - 1]$ . Această condiție este impusă prin liniile 2 și 3 la prima intrare în ciclu și rămâne adeverată la fiecare iterație datorită liniei 9. Liniile 5–8 modifică valoarea lui  $k$ , astfel încât să devină valoarea corectă a lui  $\pi[q]$ . Ciclul din liniile 5–6 cauță printre toate valorile  $k \in \pi^*[q - 1]$  până când este găsită una pentru care  $P[k + 1] = P[q]$ ; în acest moment  $k$  este cea mai mare valoare din multimea  $E_{q-1}$ , astfel, conform corolarului 34.7, putem atribui lui  $\pi[q]$  valoarea  $k + 1$ . Dacă nu este găsit un astfel de  $k$ ,  $k = 0$  în liniile 7–9, și atribuim lui  $\pi[q]$  valoarea 0. Cu aceasta am demonstrat corectitudinea algoritmului CALCUL-FUNCȚIE-PREFIX.

### Corectitudinea algoritmului KMP

Procedura POTRIVIRE-KMP poate fi privită ca o reimplementare a procedurii AUTOMAT-FINIT-DE-POTRIVIRE. Mai precis, vom arăta că liniile 6–9 din POTRIVIRE-KMP sunt echivalente cu linia 4 din AUTOMAT-FINIT-DE-POTRIVIRE, care atribuie  $\delta(q, T[i])$  lui  $q$ . În loc să memorăm valoarea  $\delta(q, T[i])$ , aceasta este recalculate, la nevoie, din  $\pi$ . O dată argumentat faptul că procedura POTRIVIRE-KMP simulează comportamentul procedurii AUTOMAT-FINIT-DE-POTRIVIRE, corectitudinea procedurii POTRIVIRE-KMP reiese implicit (totuși vom vedea imediat de ce este necesară linia 12 în POTRIVIRE-KMP).

Corectitudinea procedurii POTRIVIRE-KMP rezultă din afirmația că  $\delta(q, T[i]) = 0$  sau  $\delta(q, T[i]) - 1 \in \pi^*[q]$ . Pentru a verifica această afirmație, fie  $k = \delta(q, T[i])$ . Atunci, din definiția lui  $\delta$  și  $\sigma$ , avem  $P_k \sqsupseteq P_q T[i]$ . De aceea,  $k = 0$  sau  $k \geq 1$ , și  $P_{k-1} \sqsupseteq P_q$  prin eliminarea ultimelor caractere din  $P_k$  și  $P_q T[i]$  (în acest caz  $k - 1 \in \pi^*[q]$ ). Așadar, sau  $k = 0$  sau  $k - 1 \in \pi^*[q]$ , rezultă că afirmația este adeverată.

Afirmația este folosită după cum urmează. Notăm cu  $q'$  valoarea lui  $q$  la intrarea în linia 6. Folosim echivalența  $\pi^*[q] = \{k : P_k \sqsupseteq P_q\}$  pentru a justifica iterarea  $q \leftarrow \pi[q]$  care enumeră elementele  $\{k : P_k \sqsupseteq P_{q'}\}$ . Liniile 6–9 determină  $\delta(q', T[i])$  prin examinarea elementelor lui  $\pi^*[q']$  în ordine descrescătoare. Codul utilizează afirmația pentru a începe cu  $q = \phi(T_{i-1}) = \sigma(T_{i-1})$  și execută iterarea  $q \leftarrow \pi[q]$  până când este găsit un  $q$ , astfel încât  $q = 0$  sau  $P[q + 1] = T[i]$ . În primul caz,  $\delta(q', T[i]) = 0$ ; în al doilea caz,  $q$  este elementul maxim în  $E_{q'}$ , așa că  $\delta(q', T[i]) = q + 1$  conform corolarului 34.7.

Linia 12 din POTRIVIRE-KMP este necesară pentru a evita o posibilă referire la  $P[m + 1]$ , în linia 6, după ce a fost determinată o potrivire a lui  $P$ . (Argumentul  $q = \sigma(T_{i-1})$  rămâne corect. La următoarea execuție a liniei 6, conform indicației date în exercițiul 34.4-6:  $\delta(m, a) = \delta(\pi[m], a)$  sau, în mod echivalent,  $\sigma(Pa) = \sigma(P_{\pi[m]}a)$  oricare ar fi  $a \in \Sigma$ .) Ultimul argument pentru corectitudinea algoritmului Knuth-Morris-Pratt rezultă din corectitudinea procedurii AUTOMAT-FINIT-DE-POTRIVIRE, deoarece acum observăm că procedura POTRIVIRE-KMP simulează comportamentul procedurii AUTOMAT-FINIT-DE-POTRIVIRE.

### Exerciții

**34.4-1** Calculați funcția prefix  $\pi$  pentru modelul ababbababbababbabb când alfabetul este  $\Sigma = \{\text{a}, \text{b}\}$ .

**34.4-2** Dați o limită superioară pentru dimensiunea lui  $\pi^*[q]$  ca funcție de  $q$ . Dați un exemplu pentru a arăta că limita dată este corectă.

**34.4-3** Explicați cum se determină apariția modelului  $P$  în textul  $T$ , examinând funcția  $\pi$  pentru sirul  $PT$  (concatenarea lui  $P$  și  $T$  de lungime  $m + n$ ).

**34.4-4** Arătați cum se îmbunătățește procedura POTRIVIRE-KMP înlocuind  $\pi$  din linia 7 (dar nu și din linia 12) cu  $\pi'$ , unde  $\pi'$  este definit recursiv pentru  $q = 1, 2, \dots, m$  prin ecuația

$$\pi'[q] = \begin{cases} 0 & \text{dacă } \pi[q] = 0, \\ \pi'[\pi[q]] & \text{dacă } \pi[q] \neq 0 \text{ și } P[\pi[q] + 1] = P[q + 1], \\ \pi[q] & \text{dacă } \pi[q] \neq 0 \text{ și } P[\pi[q] + 1] \neq P[q + 1]. \end{cases}$$

Explicați de ce algoritmul modificat este corect și în ce sens această modificare constituie o îmbunătățire.

**34.4-5** Dați un algoritm de timp liniar pentru a determina dacă un text  $T$  este o rotație ciclică a altui sir  $T'$ . De exemplu, *arc* și *car* sunt fiecare o rotație ciclică a celuilalt.

**34.4-6 \*** Dați un algoritm eficient pentru calculul funcției de tranziție  $\delta$  pentru automatul de potrivire a șirurilor, corespunzător unui model dat  $P$ . Algoritmul trebuie să aibă timpul de execuție  $O(m|\Sigma|)$ . (*Indica ie:* demonstrați că  $\delta(q, a) = \delta(\pi[q], a)$  dacă  $q = m$  sau  $P[q + 1] \neq a$ .)

## 34.5. Algoritmul Boyer-Moore

Dacă modelul  $P$  este relativ lung și alfabetul  $\Sigma$  este destul de mare, atunci algoritmul datorat lui Robert S. Boyer și J. Strother Moore este, probabil, cel mai eficient pentru potrivirea șirurilor.

POTRIVIRE-BOYER-MOORE( $T, P, \Sigma$ )

- 1:  $n \leftarrow \text{lungime}[T]$
- 2:  $m \leftarrow \text{lungime}[P]$
- 3:  $\lambda \leftarrow \text{CALCUL-FUNCȚIE-ULTIMA-APARIȚIE}(P, m, \Sigma)$
- 4:  $\gamma \leftarrow \text{CALCUL-FUNCȚIE-SUFIX-BUN}(P, m)$
- 5:  $s \leftarrow 0$
- 6: **cât timp**  $s \leq n - m$  **execută**
- 7:    $j \leftarrow m$
- 8:   **cât timp**  $j > 0$  și  $P[j] = T[s + j]$  **execută**
- 9:      $j \leftarrow j - 1$
- 10:   **dacă**  $j = 0$  **atunci**
- 11:     tipărește "Modelul apare cu deplasamentul"  $s$
- 12:      $s \leftarrow s + \gamma[0]$
- 13:   **altfel**
- 14:      $s \leftarrow s + \max(\gamma[j], j - \lambda[T[s + j]])$

În afară de aspectul obscur al lui  $\lambda$  și  $\gamma$ , acest program este foarte asemănător algoritmului naiv de potrivire a șirurilor. Într-adevăr, presupunem că limile 3–4 le comentăm și înlocuim actualizarea lui  $s$  din liniile 12–14 cu simple incrementări după cum urmează:

- 12 :  $s \leftarrow s + 1$
- 13 : **altfel**
- 14 :  $s \leftarrow s + 1$

Programul modificat funcționează acum exact ca procedura naivă de potrivire a şirurilor: ciclul **cât timp**, care începe în linia 6, consideră cele  $n - m + 1$  deplasamente posibile  $s$ , iar ciclul **cât timp**, care începe în linia 8, testează condiția  $P[1..m] = T[s + 1..s + m]$ , comparând  $P[j]$  cu  $T[s + j]$ , pentru  $j = m, m - 1, \dots, 1$ . Dacă ciclul se termină cu  $j = 0$ , atunci a fost determinat un deplasament  $s$  corect, și linia 11 tipărește valoarea  $s$ . În acest stadiu, singura caracteristică remarcabilă a algoritmului Boyer-Moore este că el compară modelul în sens invers, *de la dreapta spre stânga*, și, de aceea, creșterea deplasamentului  $s$  din liniile 12–14 nu este neapărat 1.

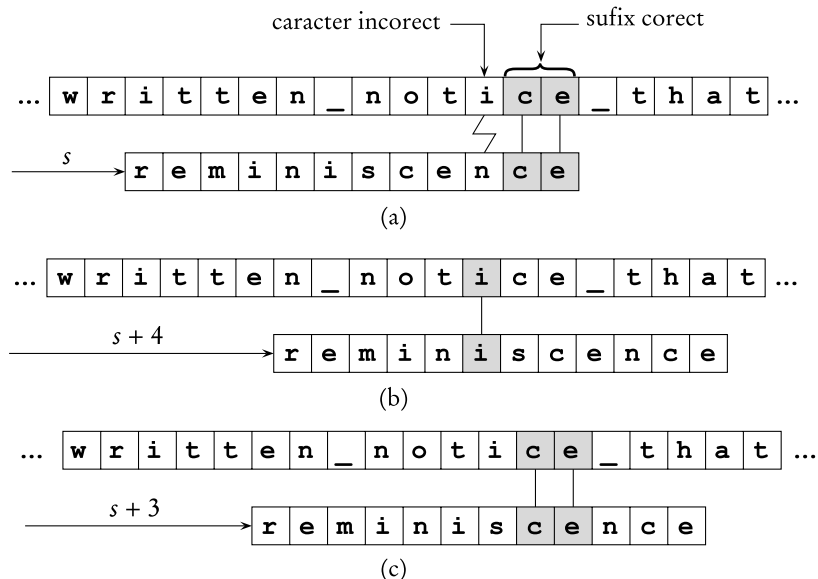
Algoritmul Boyer-Moore include două euristici care permit evitarea multor operații pe care le fac algoritmii anteriori de potrivire a şirurilor. Aceste euristici sunt atât de eficiente, încât, adesea, permit algoritmului să omită complet examinarea multor caractere din text. Aceste euristici, cunoscute ca “euristica bazată pe caracterul slab” și “euristica sufixului bun”, sunt ilustrate în figura 34.11. Ele pot fi văzute ca lucrând independent una de alta, în paralel. Când apare o nepotrivire, fiecare euristică propune o valoare cu care poate fi mărit  $s$  fără pierderea unui deplasament corect. Algoritmul Boyer-Moore alege cea mai mare valoare și o adaugă lui  $s$ : când se ajunge în linia 13, după o nepotrivire, euristica bazată pe caracterul slab propune incrementarea lui  $s$  cu  $j - \lambda[T[s + j]]$ , iar euristica sufixului bun propune incrementarea lui  $s$  cu  $\gamma[j]$ .

### Euristica bazată pe caracterul slab

Când apare o nepotrivire, euristica bazată pe caracterul slab folosește informația despre poziția din model în care apare caracterul slab  $T[s + j]$  din text (în cazul în care apare) pentru a propune un deplasament nou. În cel mai bun caz, nepotrivirea apare la prima comparație ( $P[m] \neq T[s + m]$ ) și caracterul slab  $T[s + m]$  nu apare deloc în model. (Să ne imaginăm căutarea lui  $a^m$  în şirul text  $b^n$ .) În acest caz, putem mări deplasamentul  $s$  cu  $m$  deoarece orice deplasament mai mic decât  $s + m$  va poziționa câteva caractere din model peste caracterul slab, provocând o nepotrivire. Dacă cel mai bun caz apare în mod repetat, atunci algoritmul Boyer-Moore examinează numai o fracțiune  $1/m$  a textului, deoarece fiecare caracter text examinat produce o nepotrivire în urma căreia  $s$  se mărește cu  $m$ . Comportamentul acestui cel mai bun caz ilustrează puterea căutării de la dreapta la stânga spre deosebire de căutarea de la stânga la dreapta.

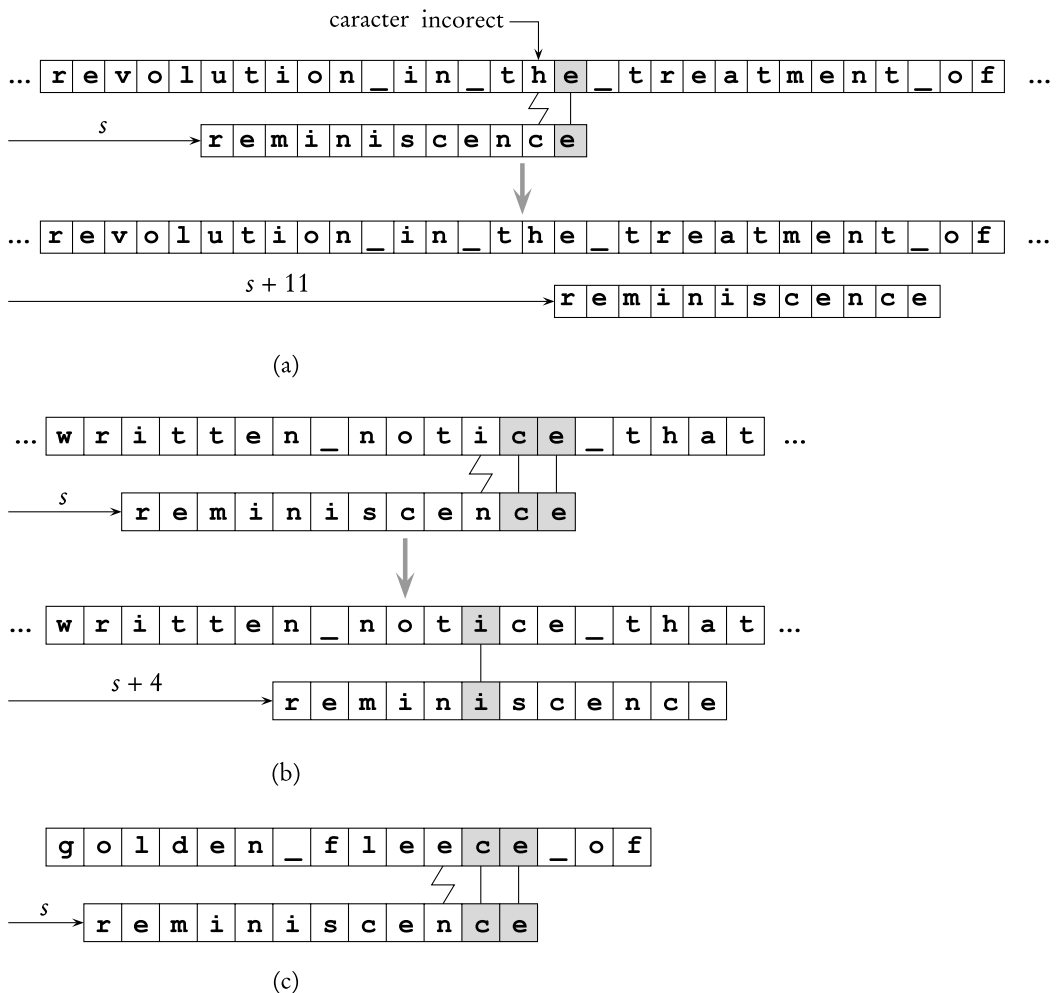
În continuare, vom vedea cum funcționează, în general, **euristica bazată pe caracterul slab**. Presupunem că tocmai am descoperit o nepotrivire:  $P[j] \neq T[s + j]$  pentru un  $j$ ,  $1 \leq j \leq m$ . Fie  $k$  cel mai mare index în intervalul  $1 \leq k \leq m$ , astfel încât  $T[s + j] = P[k]$ , dacă există un astfel de  $k$ . Altfel, fie  $k = 0$ . Afirmăm că este corect să îl mărim pe  $s$  cu  $j - k$ . Pentru a demonstra această afirmație trebuie să considerăm trei cazuri, aşa cum este ilustrat în figura 34.12.

- $k = 0$ : Aşa cum este arătat în figura 34.12(a), caracterul slab  $T[s + j]$  nu apare deloc în model și, deci, putem mări pe  $s$  cu  $j$  fără a risca pierderea vreunui deplasament corect.
- $k < j$ : Aşa cum este arătat în figura 34.12(b), cea mai din dreapta apariție a caracterului slab în model este la stânga poziției  $j$ , astfel că  $j - k > 0$ , și modelul trebuie deplasat cu  $j - k$  caractere spre dreapta. Deci putem mări pe  $s$  cu  $j - k$  fără a risca pierderea vreunui deplasament corect.
- $k > j$ : Aşa cum este arătat în figura 34.12(c),  $j - k < 0$  și deci euristica bazată pe caracterul slab propune decrementarea lui  $s$ . Această recomandare va fi ignorată de algoritmul Boyer-Moore deoarece euristica sufixului bun va propune o deplasare spre dreapta în toate cazurile.



**Figura 34.11** O ilustrare a euristicii algoritmului Boyer-Moore. **(a)** Potrivirea modelului `reminiscence` pentru un text, comparând caracterele de la dreapta spre stânga. Deplasamentul  $s$  este incorrect; deși “sufixul bun” `ce` al modelului se potrivește corect pentru caracterele corespunzătoare din text (caracterele potrivite sunt hașurate, în text apare “caracterul slab” `i`, care nu se potrivește cu caracterul `n` corespunzător din model. **(b)** Euristică bazată pe caracterul slab propune, dacă este posibil, deplasarea modelului spre dreapta, astfel încât să garanteze, pentru caracterul slab din text, că se va potrivi cu cea mai din dreapta apariție a caracterului slab din model. În acest exemplu, deplasând modelul cu 4 poziții spre dreapta, caracterul slab `i` din text se potrivește cu caracterul cel mai din dreapta `i` din model, pe poziția 6. În cazul în care caracterul slab nu apare în model, acesta poate fi mutat complet peste caracterul slab din text. Dacă cea mai din dreapta apariție a caracterului slab din model este imediat în dreapta poziției caracterului slab curent, atunci această heuristică nu face nici o propunere. **(c)** Cu euristică sufixului bun, modelul este deplasat spre dreapta cu cel mai mic deplasament, astfel încât să garanteze că orice caracter din model, care apar în dreptul sufixului bun (găsit în text) se vor potrivi cu toate caracterele sufixului. În exemplu, deplasând modelul cu 3 poziții spre dreapta, se satisfac această condiție. Deoarece euristica sufixului bun propune o deplasare cu 3 poziții, iar euristică bazată pe caracterul slab propune o deplasare mai mare, cu 4 poziții, algoritmul Boyer-Moore incrementează deplasamentul cu 4.

Următorul program definește  $\lambda[a]$  ca fiind indicele celei mai din dreapta poziții din model la care apare caracterul  $a$ , oricare ar fi  $a \in \Sigma$ . Dacă  $a$  nu apare în model, atunci  $\lambda[a]$  este 0. Numim  $\lambda$  **funcția ultimei apariții** pentru model. Cu această definiție, expresia  $j - \lambda[T[s + j]]$  din linia 13 a procedurii POTRIVIRE-BOYER-MOORE implementează euristică bazată pe caracterul slab. (Deoarece  $j - \lambda[T[s + j]]$  este negativ, dacă cea mai din dreapta apariție a caracterului slab  $T[s + j]$  în model este la dreapta poziției  $j$ , ne vom baza pe pozitivitatea lui  $\gamma[j]$ , propus de euristică sufixului bun, pentru a ne asigura că algoritmul face progrese la fiecare pas.)



**Figura 34.12** Cazul euristicii caracterului slab. **(a)** Caracterul slab **h** nu apare deloc în model și astfel modelul poate fi avansat cu  $j = 11$  caractere până când trece peste caracterul slab. **(b)** Cea mai din dreapta apariție a caracterului slab în model este la poziția  $k < j$  și, deci, modelul poate fi avansat cu  $j - k$  caractere. Deoarece  $j = 10$  și  $k = 6$  pentru caracterul slab **i**, modelul poate fi avansat cu 4 pozitii până când linia lui **i** devine dreaptă. **(c)** Cea mai din dreapta apariție a caracterului slab în model este la poziția  $k > j$ . În acest exemplu,  $j = 10$  și  $k = 12$  pentru caracterul slab **e**. Euristica bazată pe caracterul slab propune o deplasare negativă, care este ignorată.

CALCUL-FUNCTIE-ULTIMA-APARITIE( $P, m, \Sigma$ )

- 1: **pentru** fiecare caracter  $a \in \Sigma$  **execută**
- 2:    $\lambda[a] \leftarrow 0$
- 3: **pentru**  $j \leftarrow 1, m$  **execută**
- 4:    $\lambda[P[j]] \leftarrow j$
- 5: **returnează**  $\lambda$

Timpul de execuție al procedurii CALCUL-FUNCTIE-ULTIMA-APARITIE este  $O(|\Sigma| + m)$ .

### Euristica sufixului bun

Pentru șirurile  $Q$  și  $R$  definim relația  $Q \sim R$  (citim “ $Q$  este asemenea cu  $R$ ”) astfel:  $Q \sqsupseteq R$  sau  $R \sqsubseteq Q$ . Dacă două șiruri sunt asemenea, atunci le putem alinia raportat la cel mai din dreapta caracter care se potrivește. Relația “ $\sim$ ” este simetrică:  $Q \sim R$  dacă, și numai dacă,  $R \sim Q$ . De asemenea, ca o consecință a lemei 34.1, avem că

$$Q \sqsupseteq R \text{ și } S \sqsupseteq R \text{ implică } Q \sim S \quad (34.7)$$

Dacă găsim că  $P[j] \neq T[s+j]$ , unde  $j < m$ , atunci **euristica sufixului bun** spune că putem mări fără risc  $s$  cu

$$\gamma[j] = m - \max\{k : 0 \leq k < m \text{ și } P[j+1..m] \sim P_k\}.$$

Deci,  $\gamma[j]$  este cel mai mic deplasament cu care poate avansa  $s$  fără a determina, la noua aliniere a modelului, apariția unui caracter slab în “sufixul bun”  $T[s+j+1..s+m]$ . Funcția  $\gamma$  este bine definită pentru orice  $j$  deoarece  $P[j+1..m] \sim P_0$  pentru orice  $j$ : șirul vid este asemenea cu toate șirurile. Numim  $\gamma$  **funcția sufixului bun** pentru modelul  $P$ .

Vom arăta acum modul de calcul al funcției sufixului bun  $\gamma$ . Observăm, mai întâi, că  $\gamma[j] \leq m - \pi[m]$  pentru orice  $j$ . Dacă  $w = \pi[m]$ , atunci  $P_w \sqsupseteq P$  din definiția lui  $\pi$ . Mai mult, întrucât  $P[j+1..m] \sqsupseteq P$  pentru orice  $j$ , avem  $P_w \sim P[j+1..m]$  din ecuația (34.7). Așadar,  $\gamma[j] \leq m - \pi[m]$  pentru orice  $j$ .

Putem acum rescrie definiția lui  $\gamma$  astfel:

$$\gamma[j] = m - \max\{k : \pi[m] \leq k < m \text{ și } P[j+1..m] \sim P_k\}.$$

Condiția ca  $P[j+1..m] \sim P_k$  este îndeplinită dacă fiecare  $P[j+1..m] \sqsupseteq P_k$  sau  $P_k \sqsupseteq P[j+1..m]$ . Dar ultima posibilitate implică  $P_k \sqsupseteq P$  și, deci,  $k \leq \pi[m]$ , din definiția lui  $\pi$ . Această ultimă posibilitate nu poate reduce valoarea lui  $\gamma[j]$  sub  $m - \pi[m]$ . Așadar, putem rescrie definiția pe care o vom folosi în continuare pentru  $\gamma$  după cum urmează:

$$\gamma[j] = m - \max(\{\pi[m]\} \cup \{k : \pi[m] < k < m \text{ și } P[j+1..m] \sqsupseteq P_k\}).$$

(A două multime poate fi vidă.) Din definiție reiese că  $\gamma[j] > 0$  pentru orice  $j = 1, 2, \dots, m$ . Aceasta dovedește că algoritmul Boyer-Moore face progrese.

Pentru a simplifica expresia pentru  $\gamma$ , definim, în plus,  $P'$  reversul modelului  $P$  și  $\pi'$  funcția prefix corespunzătoare. Acestea sunt, pentru  $i = 1, 2, \dots, m$ ,  $P'[i] = P[m-i+1]$  și  $\pi'[t]$  cel mai mare  $u$  astfel încât  $u < t$  și  $P'_u \sqsupseteq P'_t$ .

Dacă  $k$  este cea mai mare valoare posibilă, astfel încât  $P[j+1..m] \sqsupseteq P_k$ , atunci cerem ca

$$\pi'[l] = m - j, \quad (34.8)$$

unde  $l = (m - k) + (m - j)$ . Pentru a vedea că această cerință este bine definită, observăm că  $P[j+1..m] \sqsupseteq P_k$  implică  $m - j \leq k$  și, deci,  $l \leq m$ . De asemenea,  $j < m$  și  $k \leq m$ , deci  $l \geq 1$ . Vom demonstra această cerință în continuare. Întrucât  $P[j+1..m] \sqsupseteq P_k$ , avem  $P'_{m-j} \sqsupseteq P'_l$ . Deci,  $\pi'[l] \geq m - j$ . Presupunem acum că  $p > m - j$ , unde  $p = \pi'[l]$ . Atunci, din definiția lui  $\pi'$ , avem că  $P'_p \sqsupseteq P'_l$  sau, în mod echivalent,  $P'[1..p] = P'[l-p+1..l]$ . Rescriind această ecuație cu  $P$  în loc de  $P'$ , avem  $P[m-p+1..m] = P[m-l+1..m-l+p]$ . Efectuând substituția  $l = 2m - k - j$ , obținem  $P[m-p+1..m] = P[k-m+j+1..k-m+j+p]$  de unde rezultă  $P[m-p+1..m] \sqsupseteq P_{k-m+j+p}$ . Din  $p > m - j$ , avem că  $j + 1 > m - p + 1$ , deci  $P[j+1..m] \sqsupseteq P[m-p+1..m]$ , rezultă că  $P[j+1..m] \sqsupseteq P_{k-m+j+p}$  din tranzitivitatea relației  $\sqsupseteq$ . În final, din  $p > m - j$ , avem  $k' > k$ , unde  $k' = k - m + j + p$ , contrazicând alegerea lui  $k$  ca cea mai mare valoare posibilă, astfel încât  $P[j+1..m] \sqsupseteq P_k$ . Din această contradicție, deducem că nu putem avea  $p > m - j$ , deci  $p = m - j$ . Cerința (34.8) este demonstrată.

Folosind ecuația (34.8) și observând că din  $\pi'[l] = m - j$  rezultă  $j = m - \pi'[l]$  și  $k = m - l + \pi'[l]$ , putem rescrie definiția noastră pentru  $\gamma$  astfel:

$$\begin{aligned}\gamma[j] &= m - \max(\{\pi[m]\} \cup \{m - l + \pi'[l] : 1 \leq l \leq m \text{ și } j = m - \pi'[l]\}) \\ &= \min(\{m - \pi[m]\} \cup \{l - \pi'[l] : 1 \leq l \leq m \text{ și } j = m - \pi'[l]\}).\end{aligned}\quad (34.9)$$

Din nou, a doua multime poate fi vidă.

În continuare, vom studia procedura pentru calculul lui  $\gamma$ .

#### CALCUL-FUNCȚIE-SUFIX-BUN( $P, m$ )

- 1:  $\pi \leftarrow \text{CALCUL-FUNCȚIE-PREFIX}(P)$
- 2:  $P' \leftarrow \text{invers}(P)$
- 3:  $\pi' \leftarrow \text{CALCUL-FUNCȚIE-PREFIX}(P')$
- 4: **pentru**  $j \leftarrow 0, m$  **execută**
- 5:    $\gamma[j] \leftarrow m - \pi[m]$
- 6: **pentru**  $l \leftarrow 1, m$  **execută**
- 7:    $j \leftarrow m - \pi'[l]$
- 8:   **dacă**  $\gamma[j] > l - \pi'[l]$  **atunci**
- 9:      $\gamma[j] \leftarrow l - \pi'[l]$
- 10: **returnează**  $\gamma$

Procedura CALCUL-FUNCȚIE-SUFIX-BUN este o implementare simplă a ecuației (34.9). Timpul de execuție al acesteia este  $O(m)$ .

În cel mai defavorabil caz, timpul de execuție pentru algoritmul Boyer-Moore este  $O((n - m + 1)m + |\Sigma|)$ , întrucât CALCUL-FUNCȚIE-ULTIMA-APARIȚIE are timpul de execuție  $O(m + |\Sigma|)$ , CALCUL-FUNCȚIE-SUFIX-BUN are timpul de execuție  $O(m)$  și algoritmul Boyer-Moore (la fel ca algoritmul Rabin-Karp) consumă un timp  $O(m)$  validând fiecare deplasament corect  $s$ . Cu toate acestea, în practică, algoritmul Boyer-Moore este, adesea, cea mai bună alegere.

## Exerciții

**34.5-1** Calculați funcțiile  $\lambda$  și  $\gamma$  pentru modelul  $P = 0101101201$  și alfabetul  $\Sigma = \{0, 1, 2\}$ .

**34.5-2** Dați exemple pentru a arăta că algoritmul Boyer-Moore poate da performanțe mult mai bune combinând euristică bazată pe caracterul slab și euristică sufixului bun decât acesta folosește numai euristică sufixului bun.

**34.5-3 \*** O îmbunătățire, folosită adesea în practică, la procedura de bază Boyer-Moore este înlocuirea funcției  $\gamma$  cu funcția  $\gamma'$  definită astfel:

$$\gamma'[j] = m - \max\{k : 0 \leq k < m \text{ și } P[j+1..m] \sim P_k \text{ și } (k - m + j > 0) \text{ implică } P[j] \neq P[k - m + j]\}.$$

Funcția  $\gamma'$  garantează că același model nu va fi potrivit peste textul greșit, asigurând și că, în sufîxul bun, caracterele nu se vor potrivi la un nou deplasament. Arătați cum se calculează eficient funcția  $\gamma'$ .

## Probleme

### 34-1 Potivirea șirurilor bazată pe factori de repetiție

Notăm cu  $y^i$  concatenarea șirului  $y$  cu el însuși de  $i$  ori. De exemplu,  $(ab)^3 = ababab$ . Spunem că șirul  $x \in \Sigma^*$  are **factor de repetiție**  $r$  dacă  $x = y^r$  pentru un șir  $y \in \Sigma^*$  și un  $r > 0$ . Fie  $\rho(x)$  cel mai mare  $r$ , astfel încât  $x$  are factorul de repetiție  $r$ .

- a. Dați un algoritm eficient care are ca date de intrare un model  $P[1..m]$  și calculează  $\rho(P_i)$  pentru  $i = 1, 2, \dots, m$ . Care este timpul de execuție pentru algoritmul pe care l-ați dat?
- b. Pentru orice model  $P[1..m]$ , definim  $\rho^*(P)$  ca  $\max_{1 \leq i \leq m} \rho(P_i)$ . Demonstrați că, dacă modelul  $P$  este ales aleator din multimea tuturor șirurilor binare de lungime  $m$ , atunci valoarea lui  $\rho^*(P)$  este  $O(1)$ .
- c. Argumentați faptul că următorul algoritm de potrivire a șirurilor găsește, corect, toate aparițiile modelului  $P$  într-un text  $T[1..n]$  în timpul  $O(\rho^*(P)n + m)$ .

POTRIVIRE-REPETITIVĂ( $P, T$ )

- 1:  $m \leftarrow \text{lungime}[P]$
- 2:  $n \leftarrow \text{lungime}[T]$
- 3:  $k \leftarrow 1 + \rho^*(P)$
- 4:  $q \leftarrow 0$
- 5:  $s \leftarrow 0$
- 6: **cât timp**  $s \leq n - m$  **execută**
- 7:   **dacă**  $T[s + q + 1] = P[q + 1]$  **atunci**
- 8:      $q \leftarrow q + 1$
- 9:   **dacă**  $q = m$  **atunci**
- 10:     tipărește "Modelul apare cu deplasamentul"  $s$
- 11:   **dacă**  $q = m$  sau  $T[s + q + 1] \neq P[q + 1]$  **atunci**
- 12:      $s \leftarrow s + \max(1, \lceil q/k \rceil)$
- 13:     $q \leftarrow 0$

Acest algoritm este datorat lui Galil și Seiferas. Extinzând mult aceste idei ei obțin un algoritm de potrivire a șirurilor de timp liniar. Acesta folosește numai  $O(1)$  spațiu de memorie în afară de ceea ce este necesar pentru  $P$  și  $T$ .

### 34-2 Potrivirea sirurilor în paralel

Analizăm problema de potrivire a sirurilor pe un calculator paralel. Presupunem că, pentru un model dat, avem un automat de potrivire a sirurilor  $M$  cu mulțimea de stări  $Q$ . Fie  $\phi$  funcția de stare finală pentru  $M$ . Textul de intrare este  $T[1..n]$ . Dorim să calculăm  $\phi(T_i)$  pentru  $i = 1, 2, \dots, n$ ; adică, dorim să calculăm starea finală pentru fiecare prefix. Planul nostru este să folosim calculul de prefix paralel descris în secțiunea 30.1.2.

Pentru fiecare sir de intrare  $x$ , definim funcția  $\delta_x : Q \rightarrow Q$ , astfel încât, dacă automatul  $M$  pornește în starea  $q$  și citește intrarea  $x$ , atunci  $M$  se termină în starea  $\delta_x(q)$ .

**a.** Demonstrați că  $\delta_y \circ \delta_x = \delta_{xy}$ , unde cu  $\circ$  am notat funcția de compunere:

$$(\delta_y \circ \delta_x)(q) = \delta_y(\delta_x(q)).$$

**b.** Arătați că  $\circ$  este o operație asociativă.

**c.** Arătați că  $\delta_{xy}$  poate fi calculată din reprezentările tabelare ale lui  $\delta_x$  și  $\delta_y$  în timpul  $O(1)$  pe o mașină CREW PRAM. Analizați în funcție de  $|Q|$  câte procesoare sunt necesare.

**d.** Demonstrați că  $\phi(T_i) = \delta_{T_i}(q_0)$ , unde  $q_0$  este starea de start pentru  $M$ .

**e.** Arătați cum se găsesc toate potrivirile unui model într-un text de lungime  $n$  în timpul  $O(\lg n)$  pe o mașină CREW PRAM. Presupunem că modelul este dat corespunzător în forma automatului de potrivire a sirurilor.

## Note bibliografice

Relația dintre potrivirea sirurilor și teoria automatelor finite este discutată de Aho, Hopcroft și Ullman [4]. Algoritmul Knuth-Morris-Pratt [125] a fost inventat independent de către Knuth și Pratt și de către Morris; ei și-au publicat rezultatele reunite. Algoritmul Rabin-Karp a fost propus de Rabin și Karp [117], iar algoritmul Boyer-Moore este datorat lui Boyer și Moore [32]. Galil și Seiferas [78] dau un algoritm deterministic interesant de potrivire a sirurilor în timp liniar care folosește doar  $O(1)$  spațiu de memorie în afara celui necesar pentru memorarea modelului și textului.

---

## 35 Geometrie computațională

Geometria computațională este ramura științei informaticii care studiază algoritmi pentru rezolvarea problemelor geometrice. Geometria computațională are aplicații în ingineria modernă, în matematică și în alte domenii cum ar fi grafica pe calculator, robotica, proiectarea VLSI, proiectarea asistată de calculator și statistică. Datele de intrare, pentru o problemă de geometrie computațională, sunt, de obicei, o descriere a unei multimi de obiecte geometrice, ca o mulțime de puncte, o mulțime de segmente de dreaptă sau o mulțime de vârfuri ale unui poligon, ordonate în sens trigonometric. Ieșirea este, adesea, un răspuns la o întrebare despre obiecte, cum ar fi intersectarea unor drepte sau un nou obiect geometric, de exemplu, învelitoarea convexă a mulțimii de puncte (cel mai mic poligon convex care le include).

În acest capitol, urmărим câțiva algoritmi de geometrie computațională în două dimensiuni, adică în plan. Fiecare obiect de intrare este reprezentat ca o mulțime de puncte  $\{p_i\}$ , unde  $p_i = (x_i, y_i)$  și  $x_i, y_i \in \mathbb{R}$ . De exemplu, un poligon  $P$  cu  $n$  vârfuri este reprezentat prin secvența  $\langle p_0, p_1, p_2, \dots, p_{n-1} \rangle$  a vârfurilor sale în ordinea apariției lor în  $P$ . De asemenea, geometria computațională se poate face în trei dimensiuni și chiar în spații dimensionale mai mari, dar astfel de probleme și soluțiile lor pot fi vizualizate foarte greu. Chiar și în două dimensiuni, putem vedea exemple bune de tehnici de geometrie computațională.

În secțiunea 35.1 prezentăm răspunsuri corecte și eficiente la întrebări simple despre segmente de dreaptă: dacă un segment este în sensul acelor de ceasornic sau în sens trigonometric față de un alt segment cu care are un capăt comun, în ce mod ne întoarcem când parcurgem două segmente de dreaptă adiacente, dacă două segmente de dreaptă se intersectează. În secțiunea 35.2 se prezintă o tehnică numită “baleiere” pe care o vom folosi pentru a dezvolta un algoritm de timp  $O(n \lg n)$  care determină dacă există intersecții pentru o mulțime de  $n$  segmente de dreaptă. În secțiunea 35.3 se prezintă doi algoritmi de “baleaj rotațional” care calculează învelitoarea convexă pentru o mulțime de  $n$  puncte (cel mai mic poligon convex care le include): scanarea lui Graham, care se execută în timpul  $O(n \lg n)$ , și potrivirea lui Jarvis, care are timpul de execuție  $O(nh)$ , unde  $h$  este numărul de vârfuri ale învelitorii convexe. În final, în secțiunea 35.4 se prezintă un algoritm care divide și stăpânește de timp  $O(n \lg n)$  pentru determinarea celei mai apropiate perechi de puncte dintr-o mulțime de  $n$  puncte din plan.

---

### 35.1. Proprietățile segmentului de dreaptă

În acest capitol, majoritatea algoritmilor de geometrie computațională vor cere răspunsuri la întrebări despre proprietățile segmentelor de dreaptă. O **combinare convexă** a două puncte distincte  $p_1 = (x_1, y_1)$  și  $p_2 = (x_2, y_2)$  este un punct  $p_3 = (x_3, y_3)$ , astfel încât pentru un  $\alpha$  oarecare, în intervalul  $0 \leq \alpha \leq 1$ , avem  $x_3 = \alpha x_1 + (1 - \alpha)x_2$  și  $y_3 = \alpha y_1 + (1 - \alpha)y_2$ . De asemenea, vom scrie că  $p_3 = \alpha p_1 + (1 - \alpha)p_2$ . Intuitiv,  $p_3$  este pe dreapta care trece prin punctele  $p_1$  și  $p_2$  și este în afară sau între  $p_1$  și  $p_2$  pe această dreaptă. Pentru două puncte  $p_1$  și  $p_2$  date, **segmentul de dreaptă**  $\overrightarrow{p_1p_2}$  este mulțimea combinațiilor convexe ale lui  $p_1$  și  $p_2$ . Numim  $p_1$  și  $p_2$  **capetele** segmentului  $\overrightarrow{p_1p_2}$ . Câteodată, contează ordinea punctelor  $p_1$  și  $p_2$ , atunci vorbim despre **segment orientat**  $\overrightarrow{p_1p_2}$ . Dacă  $p_1$  este **originea**  $(0, 0)$ , atunci putem trata segmentul

orientat  $\overrightarrow{p_1 p_2}$  ca fiind **vectorul**  $p_2$ .

În această secțiune, vom căuta răspunsuri la următoarele întrebări:

1. Dându-se două segmente orientate  $\overrightarrow{p_0 p_1}$  și  $\overrightarrow{p_0 p_2}$  ținând seama de capătul lor comun  $p_0$  este  $\overrightarrow{p_0 p_1}$  în sensul acelor de ceasornic de la  $p_0 p_2$ ?
2. Fiind date două segmente de dreaptă  $\overline{p_1 p_2}$  și  $\overline{p_2 p_3}$ , dacă parcurgem  $\overline{p_1 p_2}$  și apoi  $\overline{p_2 p_3}$ , facem o întoarcere la stânga în punctul  $p_2$ ?
3. Se intersectează segmentele de dreaptă  $\overline{p_1 p_2}$  și  $\overline{p_3 p_4}$ ?

Nu există restricții pentru punctele date.

Putem răspunde la fiecare întrebare în timpul  $O(1)$ , ceea ce ar trebui să nu ne surprindă deoarece dimensiunea datelor de intrare, pentru fiecare întrebare, este  $O(1)$ . Mai mult, metodele noastre folosesc doar adunări, scăderi, înmulțiri și comparații. Nu avem nevoie nici de împărțiri, nici de funcții trigonometrice, amândouă pot necesita calcule costisitoare și sunt predispușe problemelor generate de erori de rotunjire. De exemplu, o metodă “simplă” pentru a determina dacă două segmente se intersectează – calculăm ecuația dreptei în forma  $y = mx + b$  pentru fiecare segment ( $m$  este panta și  $b$  este intersecția dreptei cu  $Oy$ ), găsim punctul de intersecție al celor două drepte și verificăm dacă el aparține ambelor segmente – folosim împărțirea pentru a determina punctul de intersecție. Când segmentele sunt aproape paralele, această metodă este foarte sensibilă la precizia operației de împărțire pe un calculator real. În această secțiune, metoda care evită operația de împărțire este mult mai exactă.

## Produse încrucișate

Calcularea produsului încrucișat este esența metodelor noastre. Considerăm vectorii  $p_1$  și  $p_2$ , prezentați în figura 35.1(a). **Produsul încrucișat**  $p_1 \times p_2$  poate fi interpretat ca fiind aria cu semn a paralelogramului format din punctele  $(0, 0)$ ,  $p_1$ ,  $p_2$  și  $p_1 + p_2 = (x_1 + x_2, y_1 + y_2)$ . O definiție echivalentă, dar mult mai utilă, pentru produsul încrucișat este dată de determinantul matricei:<sup>1</sup>

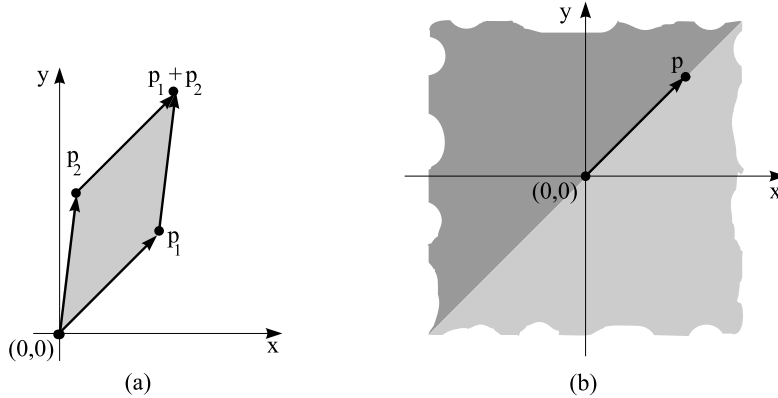
$$p_1 \times p_2 = \det \begin{pmatrix} x_1 & x_2 \\ y_1 & y_2 \end{pmatrix} = x_1 y_2 - x_2 y_1 = -p_2 \times p_1.$$

Dacă  $p_1 \times p_2$  este pozitiv, atunci  $p_1$  este în sensul acelor de ceasornic față de  $p_2$  ținând cont de originea  $(0, 0)$ ; dacă acest produs încrucișat este negativ, atunci  $p_1$  este în sens trigonometric față de  $p_2$ . În figura 35.1(b) se prezintă regiunile relative la vectorul  $p$ , în sensul acelor de ceasornic și în sensul trigonometric. Condiția limită apare dacă produsul încrucișat este zero; în acest caz, vectorii sunt **coliniari**, orientați în aceeași direcție sau în direcții opuse.

Pentru a determina dacă un segment orientat  $\overrightarrow{p_0 p_1}$  este în sensul acelor de ceasornic față de segmentul orientat  $\overrightarrow{p_0 p_2}$  în raport cu punctul lor comun  $p_0$ , facem o simplă translație cu scopul de a folosi  $p_0$  ca origine. Adică, notăm cu  $p_1 - p_0$  vectorul  $p'_1 = (x'_1, y'_1)$ , unde  $x'_1 = x_1 - x_0$  și  $y'_1 = y_1 - y_0$ . Definim în mod analog  $p_2 - p_0$ . Calculăm apoi produsul încrucișat

$$(p_1 - p_0) \times (p_2 - p_0) = (x_1 - x_0)(y_2 - y_0) - (x_2 - x_0)(y_1 - y_0).$$

<sup>1</sup>De fapt, produsul încrucișat este un concept tri-dimensional. Este un vector perpendicular pe  $p_1$  și pe  $p_2$ , conform “regulii mâinii drepte”, și al cărui modul este  $|x_1 y_2 - x_2 y_1|$ . În acest capitol, se va dovedi convenabilă tratarea produsului încrucișat ca simplă valoare  $x_1 y_2 - x_2 y_1$ .



**Figura 35.1** (a) Produsul încruşat al vectorilor  $p_1$  și  $p_2$  este aria cu semn a paralelogramului. (b) Regiunea albă conține vectorii care sunt în sensul acelor de ceasornic față de  $p$ . Regiunea haşurată conține vectorii care sunt în sens trigonometric față de  $p$ .

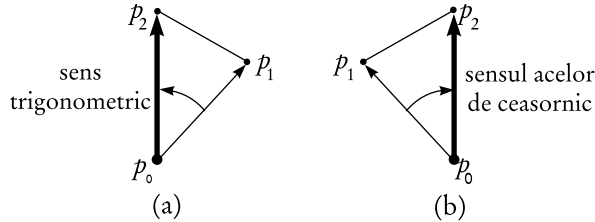
Dacă acest produs încruşat este pozitiv, atunci  $\overrightarrow{p_0p_1}$  este în sensul acelor de ceasornic față de  $\overrightarrow{p_0p_2}$ ; dacă este negativ, atunci este în sens trigonometric.

### Determinarea dacă segmente consecutive se întorc la stânga sau la dreapta

Următoarea întrebare este dacă două segmente de dreaptă consecutive  $\overline{p_0p_1}$  și  $\overline{p_1p_2}$  se întorc la stânga sau la dreapta în punctul  $p_1$ . Adică, dorim o metodă pentru determinarea direcției în care se întoarce un unghi dat  $\angle p_0p_1p_2$ . Produsul încruşat ne permite să răspundem la această întrebare fără să calculăm unghiul. Așa cum se poate vedea în figura 35.2, verificăm dacă segmentul orientat  $\overrightarrow{p_0p_2}$  este în sensul acelor de ceasornic sau în sens trigonometric, relativ la segmentul orientat  $\overrightarrow{p_0p_1}$ . Pentru această verificare, calculăm produsul încruşat  $(p_2 - p_0) \times (p_1 - p_0)$ . Dacă semnul acestui produs încruşat este negativ, atunci  $\overrightarrow{p_0p_2}$  este în sens trigonometric față de  $\overrightarrow{p_0p_1}$  și, astfel, facem o întoarcere la stânga în  $p_1$ . Un produs încruşat pozitiv, indică o orientare în sensul acelor de ceasornic și o întoarcere la dreapta. Un produs încruşat 0 înseamnă că punctele  $p_0, p_1$  și  $p_2$  sunt coliniare.

### Determinarea faptului dacă două segmente de dreaptă se intersectează

Pentru a determina dacă două segmente de dreaptă se intersectează, vom proceda în două etape. Prima etapă este **respingerea rapidă**: segmentele de dreaptă nu se pot intersecta dacă dreptunghiurile de mărginire nu se intersectează. **Dreptunghiul de mărginire** al unei figuri geometrice este cel mai mic dreptunghi care conține figura și ale cărui segmente sunt paralele cu axa-x și axa-y. Dreptunghiul de mărginire al segmentului de dreaptă  $\overline{p_1p_2}$  este reprezentat prin dreptunghiul  $(\hat{p}_1, \hat{p}_2)$  cu punctul stânga jos  $\hat{p}_1 = (\hat{x}_1, \hat{y}_1)$  și punctul dreapta sus  $\hat{p}_2 = (\hat{x}_2, \hat{y}_2)$ , unde  $\hat{x}_1 = \min(x_1, x_2)$ ,  $\hat{y}_1 = \min(y_1, y_2)$ ,  $\hat{x}_2 = \max(x_1, x_2)$  și  $\hat{y}_2 = \max(y_1, y_2)$ . Două dreptunghiuri reprezentate prin punctele din stânga jos și din dreapta sus  $(\hat{p}_1, \hat{p}_2)$  și  $(\hat{p}_3, \hat{p}_4)$  se



**Figura 35.2** Folosirea produsului încrucișat pentru a determina cum se întorc în punctul \$p\_1\$ segmentele de dreaptă consecutive \$\overrightarrow{p\_0p\_1}\$ și \$\overrightarrow{p\_1p\_2}\$. Verificăm dacă segmentul orientat \$\overrightarrow{p\_0p\_2}\$ este în sensul acelor de ceasornic sau în sens trigonometric relativ la segmentul orientat \$\overrightarrow{p\_0p\_1}\$. **(a)** Dacă este în sens trigonometric, punctele fac o întoarcere la stânga. **(b)** Dacă este în sensul acelor de ceasornic, ele fac o întoarcere la dreapta.

intersectează dacă, și numai dacă, este adevărată conjuncția:

$$(\hat{x}_2 \geq \hat{x}_3) \wedge (\hat{x}_4 \geq \hat{x}_1) \wedge (\hat{y}_2 \geq \hat{y}_3) \wedge (\hat{y}_4 \geq \hat{y}_1).$$

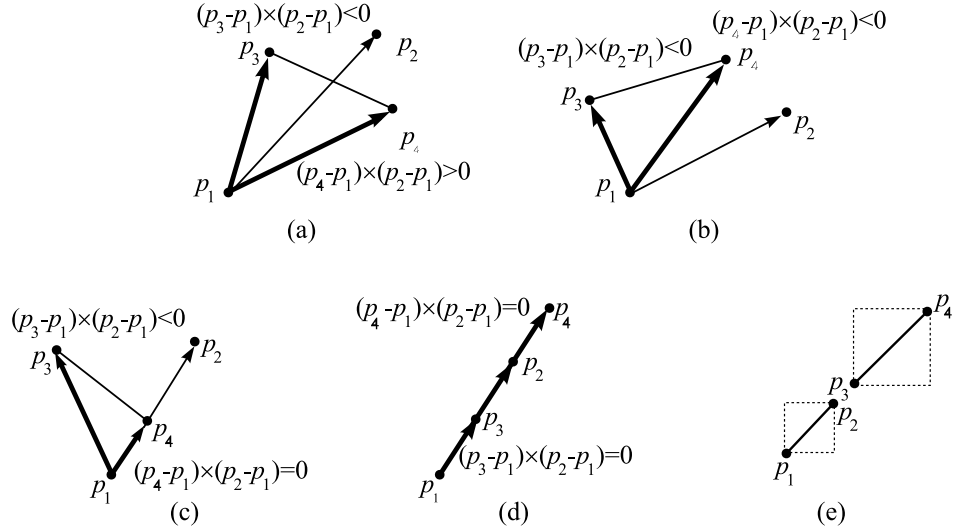
Dreptunghiurile trebuie să se intersecteze pe ambele laturi. Primele două comparații de mai sus determină dacă dreptunghiurile se intersectează în \$x\$; ultimele două comparații determină dacă dreptunghiurile se intersectează în \$y\$.

A doua etapă în determinarea faptului dacă două segmente de dreaptă se intersectează decide dacă fiecare segment “întreiaie” dreapta care conține celălalt segment. Un segment \$\overrightarrow{p\_1p\_2}\$ **întreiaie** o dreaptă dacă punctul \$p\_1\$ se află de o parte a dreptei, iar \$p\_2\$ se află de cealaltă parte a ei. Dacă \$p\_1\$ și \$p\_2\$ se află pe dreaptă, atunci spunem că segmentul întreiaie dreapta. Două segmente de dreaptă se intersectează dacă, și numai dacă, ele trec de testul de respingere rapidă și fiecare segment întreiaie dreapta care conține celălalt segment.

Putem folosi metoda produsului încrucișat pentru a determina dacă segmentul de dreaptă \$\overrightarrow{p\_3p\_4}\$ întreiaie dreapta care conține punctele \$p\_1\$ și \$p\_2\$. Ideea, aşa cum am arătat în figura 35.3(a) și (b), este să determinăm dacă segmentele orientate \$\overrightarrow{p\_1p\_3}\$ și \$\overrightarrow{p\_1p\_4}\$ au orientări opuse relativ la \$\overrightarrow{p\_1p\_2}\$. În acest caz, segmentul întreiaie dreapta. Amintim că putem determina orientările relative cu ajutorul produselor încrucișate, verificând doar dacă semnele produselor încrucișate \$(p\_3 - p\_1) \times (p\_2 - p\_1)\$ și \$(p\_4 - p\_1) \times (p\_2 - p\_1)\$ sunt diferite. O condiție limită apare dacă oricare dintre produsele încrucișate este zero. În acest caz, fie \$p\_3\$, fie \$p\_4\$ se află pe dreapta care conține segmentul \$\overrightarrow{p\_1p\_2}\$. Deoarece cele două segmente au trecut deja de testul de respingere rapidă, unul dintre punctele \$p\_3\$ sau \$p\_4\$ trebuie să se afle, de fapt, pe segmentul \$\overrightarrow{p\_1p\_2}\$. Două astfel de situații sunt ilustrate în figura 35.3(c) și (d). Cazul în care cele două segmente sunt coliniare, dar nu se intersectează, ilustrat în figura 35.3(e), este eliminat de testul de respingere rapidă. O ultimă condiție limită apare dacă unul dintre cele două segmente are lungimea zero, altfel spus, capetele segmentului coincid. Dacă ambele segmente au lungimea zero, atunci testul de respingere rapidă este suficient. Dacă doar un segment, să zicem \$\overrightarrow{p\_3p\_4}\$, are lungimea zero, atunci segmentele se intersectează dacă, și numai dacă, produsul încrucișat \$(p\_3 - p\_1) \times (p\_2 - p\_1)\$ este zero.

### Alte aplicații ale produselor încrucișate

În ultima secțiune a acestui capitol se vor prezenta alte utilizări ale produselor încrucișate. În secțiunea 35.3 vom avea nevoie să ordonăm o mulțime de puncte în raport cu unghiurile lor



**Figura 35.3** Determinarea faptului dacă segmentul de dreaptă  $\overline{p_3p_4}$  întretele dreapta ce conține segmentul  $\overline{p_1p_2}$ . (a) Dacă acesta întretele dreapta, atunci semnele produselor încrucișate  $(p_3 - p_1) \times (p_2 - p_1)$  și  $(p_4 - p_1) \times (p_2 - p_1)$  diferă. (b) Dacă acesta nu întretele dreapta, atunci produsele sunt de același semn. (c)-(d) Cazurile limită în care cel puțin unul dintre produsele încrucișate este zero și segmentul întretele dreapta. (e) Cazul limită în care segmentele sunt coliniare, dar nu se intersectează. Ambele produse încrucișate sunt zero, dar ele nu pot fi calculate prin algoritmul nostru deoarece segmentele nu trec testul de respingere rapidă – dreptunghiurile lor de mărginire nu se intersectează.

polare și o origine dată. Așa cum se cere să arătați în exercițiul 35.1-2, produsele încrucișate pot fi folosite pentru comparările din procedura de sortare. În secțiunea 35.2, vom folosi arbori roșu-negru pentru a păstra ordonarea verticală a unei mulțimi de segmente de dreaptă care nu se intersectează. Decât să păstrăm valorile cheie explicit, preferăm să înlocuim fiecare comparație de cheie, din codul arborilor roșu-negru, cu un calcul de produs încrucișat pentru a determina care dintre două segmente, care intersectează o dreaptă verticală dată, este mai sus.

## Exerciții

**35.1-1** Demonstrați că, dacă  $p_1 \times p_2$  este pozitiv, atunci vectorul  $p_1$  este în sensul acelor de ceasornic față de vectorul  $p_2$  în raport cu originea  $(0, 0)$  și că, dacă acest produs este negativ, atunci vectorul  $p_1$  este în sens trigonometric față de vectorul  $p_2$ .

**35.1-2** Scrieți, în pseudocod, o procedură pentru sortarea unei secvențe  $\langle p_1, p_2, \dots, p_n \rangle$  de  $n$  puncte specificate prin unghiurile lor polare, în raport cu un punct de origine  $p_0$  dat. Procedura trebuie să se execute într-un timp  $O(n \lg n)$  și să folosească produse încrucișate pentru a compara unghiuri.

**35.1-3** Arătați cum se determină, într-un timp  $O(n^2 \lg n)$ , dacă oricare trei puncte dintr-o mulțime de  $n$  puncte sunt coliniare.

**35.1-4** Profesorul Amundsen propune următoarea metodă pentru a determina dacă secvența de  $n$  puncte  $\langle p_0, p_1, \dots, p_{n-1} \rangle$  reprezintă vârfurile consecutive ale unui poligon convex. (Vezi secțiunea 16.4 pentru definițiile relative la poligoane.) Dacă mulțimea  $\{\angle p_i p_{i+1} p_{i+2} : i = 0, 1, \dots, n-1\}$ , unde adunarea de indici se face modulo  $n$ , nu conține nici întoarceri la stânga, și nici întoarceri la dreapta, atunci ieșirea este “da”; altfel ieșirea este “nu”. Arătați că, deși această metodă are un timp de execuție liniar, ea nu conduce întotdeauna la rezultatul corect. Modificați metoda profesorului astfel încât să producă, întotdeauna, răspunsul corect într-un timp liniar.

**35.1-5** Fiind dat un punct  $p_0 = (x_0, y_0)$ , **raza orizontală spre dreapta**, din punctul  $p_0$ , este mulțimea punctelor  $\{p_i = (x_i, y_i) : x_i \geq x_0 \text{ și } y_i = y_0\}$ , adică mulțimea punctelor din dreapta lui  $p_0$  inclusiv  $p_0$ . Fiind dată o rază orizontală spre dreapta din  $p_0$ , arătați cum se determină într-un timp  $O(1)$ , dacă aceasta se intersectează cu un segment de dreaptă  $\overline{p_1 p_2}$ . Realizați aceasta reducând problema la a determina dacă două segmente de dreaptă se intersectează.

**35.1-6** O metodă pentru a determina dacă un punct  $p_0$  se află în interiorul unui poligon  $P$ , nu neapărat convex, este să verificăm dacă fiecare rază din  $p_0$  intersectează frontiera lui  $P$  de un număr impar de ori, iar punctul  $p_0$  nu este pe frontiera lui  $P$ . Arătați cum se calculează, într-un timp  $\Theta(n)$ , dacă un punct  $p_0$  este în interiorul unui poligon  $P$  cu  $n$  vârfuri. (*Indica ie:* Folosiți exercițiul 35.1-5. Asigurați-vă că algoritmul este corect când raza intersectează frontiera poligonului într-un vârf și când raza se suprapune peste o latură a poligonului.)

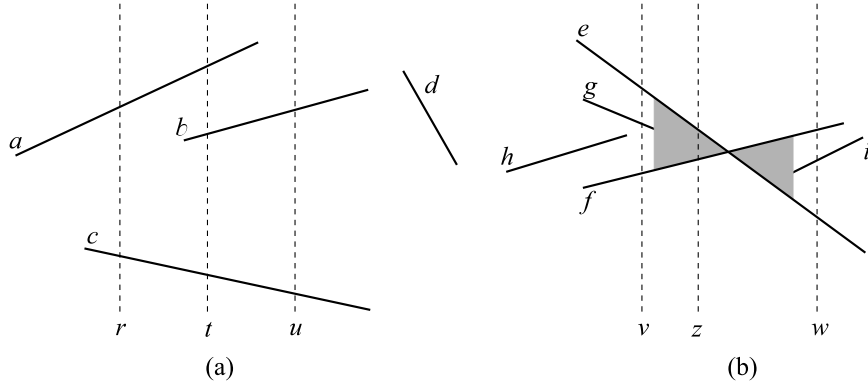
**35.1-7** Arătați cum se calculează aria unui poligon cu  $n$  vârfuri, nu neapărat convex, într-un timp  $\Theta(n)$ .

## 35.2. Determinarea cazului în care oricare două segmente se intersectează

Această secțiune prezintă un algoritm pentru a determina dacă oricare două segmente de dreaptă, dintr-o mulțime de segmente, se intersectează. Algoritmul folosește o tehnică cunoscută sub numele de “baleiere” care este comună multor algoritmi de geometrie computațională. Mai mult, aşa cum este arătat în exercițiile de la sfârșitul secțiunii, acest algoritm sau simple variațiuni ale lui pot fi folosite pentru a rezolva și alte probleme de geometrie computațională.

Timpul de execuție al algoritmului este  $O(n \lg n)$ , unde  $n$  este numărul de segmente date. Algoritmul determină numai dacă două drepte se intersectează sau nu; nu afișează toate intersecțiile. (În exercițiul 35.2-1, pentru a găsi *toate* intersecțiile într-o mulțime de  $n$  segmente de dreaptă, timpul de execuție, în cel mai defavorabil caz, este  $\Omega(n^2)$ ).

În **baleiere**, o **dreaptă de baleiere** verticală, imaginată, traversează mulțimea de obiecte geometrice date, de obicei, de la stânga la dreapta. Dimensiunea  $x$  a spațiului în care dreapta de baleiere se deplasează, este tratată ca dimensiunea timpului. Baleierea oferă o metodă pentru ordonarea obiectelor geometrice, de obicei, plasându-le într-o structură de date dinamică, și pentru obținerea relațiilor dintre ele. În această secțiune, algoritmul intersecție-segment-dreaptă consideră toate capetele segmentelor de dreaptă ordonate de la stânga la dreapta și verifică dacă există o intersecție de fiecare dată când întâlnesc un capăt de segment.



**Figura 35.4** Ordinea segmentelor de dreaptă pentru diferite drepte de baleiere verticale. **(a)** Avem  $a >_r c$ ,  $a >_t b$ ,  $b >_t c$ ,  $a >_t c$  și  $b >_u c$ . Segmentul  $d$  nu este comparabil cu segmentele din figură. **(b)** La momentul intersecției segmentului  $e$  cu segmentul  $f$ , ordinea lor se inversează: avem  $e >_v f$ , dar  $f >_w e$ . Orice dreaptă de baleiere (de exemplu  $z$ ) care traversează regiunea hașurată are în ordinea ei totală segmentele  $e$  și  $f$  consecutive.

### Ordonarea segmentelor

Dacă presupunem că nu există segmente verticale, atunci orice segment de intrare care intersectează o dreaptă de baleiere verticală dată, o face într-un singur punct. Astfel, putem ordona segmentele care intersectează o dreaptă de baleiere verticală după coordonatele  $y$  ale punctelor de intersecție.

Mai exact, considerăm două segmente  $s_1$  și  $s_2$  care nu se intersectează. Spunem că aceste segmente sunt **comparabile** după  $x$  dacă dreapta de baleiere verticală cu coordonata orizontală  $x$  le intersectează pe amândouă. Spunem că  $s_1$  este **deasupra** lui  $s_2$  după  $x$  și scriem  $s_1 >_x s_2$ , dacă  $s_1$  și  $s_2$  sunt comparabile după  $x$  și intersecția lui  $s_1$  cu dreapta de baleiere din  $x$  se află deasupra intersecției lui  $s_2$  cu aceeași dreaptă de baleiere. De exemplu, în figura 35.4(a) avem relațiile  $a >_r c$ ,  $a >_t b$ ,  $b >_t c$ ,  $a >_t c$  și  $b >_u c$ . Segmentul  $d$  nu este comparabil cu nici un alt segment.

Pentru orice  $x$  dat, relația “ $>_x$ ” este o ordine totală (vezi secțiunea 5.2) de segmente care intersectează dreapta de baleiere din  $x$ . Pentru valori diferite ale lui  $x$ , ordinea poate fi diferită, deși segmentele intră și ies din ordonare. Un segment intră în ordonare când capătul stâng este întâlnit de baleiere și ieșe din ordonare când este întâlnit capătul drept.

Ce se întâmplă atunci când dreapta de baleiere trece prin intersecția a două segmente? Așa cum se vede în figura 35.4(b) este inversată poziția lor în ordinea totală. Dreptele de baleiere  $v$  și  $w$  sunt în dreapta, respectiv, stânga punctului de intersecție a segmentelor  $e$  și  $f$ , și avem  $e >_v f$  dar  $f >_w e$ . Subliniem aceasta pentru că presupunem că nu există trei segmente care să se intersecteze în același punct, trebuie să existe vreo dreaptă de baleiere verticală  $x$  care intersectează segmentele  $e$  și  $f$  și pentru care ele sunt **consecutive** în ordinea totală  $>_x$ . Orice dreaptă de baleiere care trece prin regiunea hașurată din figura 35.4(b), cum ar fi  $z$ , are segmentele  $e$  și  $f$  consecutive în ordinea totală.

## Deplasarea dreptei de baleiere

Algoritmii de baleiere, de obicei, gestionează două multimi de date:

1. ***Starea liniei de baleiere*** dă relația dintre obiectele intersectate de linia de baleiere.
2. ***Lista punct-eveniment*** este o secvență de coordonate- $x$ , ordonate de la stânga la dreapta, care definesc pozițiile de oprire ale dreptei de baleiere. Numim fiecare astfel de poziție de oprire ***punct eveniment***. Numai în punctele eveniment, se întâlnesc modificări ale stării liniei de baleiere.

Pentru unii algoritmi (de exemplu, algoritmul cerut în exercițiul 35.2-7), lista punct-eveniment este determinată dinamic în timpul execuției algoritmului. Cu toate acestea, algoritmul pe care îl avem la îndemână determină, static, punctele eveniment, bazându-se doar pe simple proprietăți ale datelor de intrare. În particular, fiecare capăt de segment este un punct eveniment. Sortăm capetele de segment prin creșterea coordonatei- $x$  și procedăm de la stânga la dreapta. Când întâlnim un capăt stâng de segment, inserăm segmentul în stările dreptei de baleiere și, când întâlnim un capăt drept de segment, ștergem segmentul din stările dreptei de baleiere. De fiecare dată când două segmente devin consecutive în ordinea totală, verificăm dacă ele se intersectează.

Stările dreptei de baleiere sunt o ordine totală  $T$ , pentru care avem nevoie de următoarele operații:

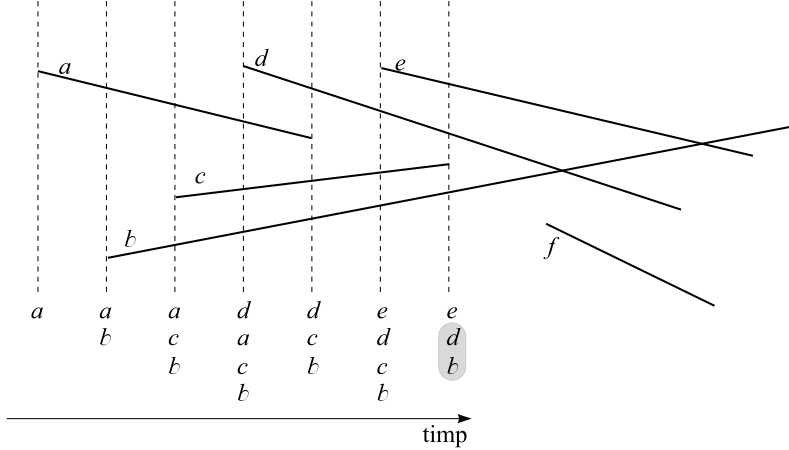
- **INSEREAZĂ( $T, s$ )**: inserează segmentul  $s$  în  $T$ .
- **ȘTERGE( $T, s$ )**: șterge segmentul  $s$  din  $T$ .
- **DEASUPRA( $T, s$ )**: returnează segmentul care este imediat deasupra lui  $s$  în  $T$ .
- **DEDESUBT( $T, s$ )**: returnează segmentul care este imediat dedesubtul lui  $s$  în  $T$ .

Dacă există  $n$  segmente în mulțimea de intrare, folosind arborii roșu-negru, putem realiza fiecare dintre operațiile deasupra în timpul  $O(\lg n)$ . Reamintim că, în capitolul 14, operațiile arbore-roșu-negru necesită compararea cheilor. Putem înlocui compararea cheilor cu compararea produs încrucișat care determină ordinea relativă a două segmente (vezi exercițiul 35.2-2).

## Algoritm pseudocod pentru intersecția segmentelor

Algoritmul următor primește ca date de intrare o mulțime  $S$  de  $n$  segmente de dreaptă. Acesta returnează valoarea logică **ADEVĂRAT** dacă orice pereche de segmente din  $S$  se intersectează, iar altfel returnează **FALS**. Ordinea totală  $T$  este implementată printr-un arbore-roșu-negru.

Execuția algoritmului este ilustrată în figura 35.5. În linia 1 este inițializată ordinea totală cu mulțimea vidă. Linia 2 determină lista punctelor eveniment prin ordonarea de la stânga la dreapta a celor  $2n$  capete de segment, eliminând egalitățile prin punerea capetelor din stânga înaintea capetelor din dreapta.



**Figura 35.5** Execuția algoritmului INTERSECTIA-ORICAROR-SEGMENTE. Fiecare dreaptă punctată reprezintă o dreaptă de baleiere într-un punct eveniment. Ordinea numelor de segment de sub fiecare dreaptă de baleiere este ordinea totală  $T$  la sfârșitul ciclului **pentru** în care este tratat punctul eveniment corespunzător. Intersecția segmentelor  $d$  și  $b$  este găsită când este detectat segmentul  $c$ .

#### INTERSECTIA-ORICAROR-SEGMENTE( $S$ )

- 1:  $T \leftarrow \emptyset$
- 2: sortează capetele segmentelor din  $S$  de la stânga la dreapta eliminând egalitățile prin punerea capetelor stânga înaintea capetelor dreapta
- 3: **pentru** fiecare punct  $p$  din lista ordonată de capete **execută**
- 4:   **dacă**  $p$  este capătul stâng al segmentului  $s$  **atunci**
- 5:     INSEREAZĂ( $T, s$ )
- 6:     **dacă** (DEASUPRA( $T, s$ ) există și intersectează pe  $s$ ) sau (DEDESUBT( $T, s$ ) există și intersectează pe  $s$ ) **atunci**
- 7:       returnează ADEVĂRAT
- 8:     **dacă**  $p$  este capătul drept al segmentului  $s$  **atunci**
- 9:       **dacă** există ambele segmente DEASUPRA( $T, s$ ) și DEDESUBT( $T, s$ ) și DEASUPRA( $T, s$ ) intersectează DEDESUBT( $T, s$ ) **atunci**
- 10:      returnează ADEVĂRAT
- 11:     ȘTERGE( $T, s$ )
- 12: **returnează** FALS

Fiecare iterație a ciclului **pentru** din liniile 3–11 tratează un punct eveniment  $p$ . Dacă  $p$  este capătul din stânga al segmentului  $s$ , atunci linia 5 adaugă  $s$  la ordinea totală și liniile 6–7 returnează ADEVĂRAT dacă  $s$  intersectează ambele segmente ce îi sunt consecutive în ordinea totală definită de linia de baleiere ce trece prin  $p$ . (O condiție limită apare dacă  $p$  se află pe un alt segment  $s'$ . În acest caz, este necesar doar ca  $s$  și  $s'$  să fie consecutive în  $T$ .) Dacă  $p$  este capătul din dreapta al segmentului  $s$ , atunci  $s$  este șters din ordinea totală. Liniile 9–10 returnează ADEVĂRAT dacă există o intersecție între segmentele ce îi sunt consecutive lui  $s$  în ordinea totală definită de dreapta de baleiere ce trece prin  $p$ ; aceste segmente vor devine consecutive în ordinea totală, când  $s$  este șters. Dacă aceste segmente nu se intersectează, linia 11 șterge segmentul  $s$ .

din ordinea totală. În final, dacă nu este găsită nici o intersecție prin prelucrarea celor  $2n$  puncte eveniment, atunci linia 12 returnează FALS.

## Corectitudinea

Următoarea teoremă arată că INTERSECȚIA-ORICĂROR-SEGMENTE este corect.

**Teorema 35.1** Apelul funcției  $\text{INTERSECȚIA-ORICĂROR-SEGMENTE}(S)$  returnează ADEVĂRAT dacă, și numai dacă, există o intersecție printre segmentele lui  $S$ .

**Demonstrație.** Procedura poate fi incorectă dacă, și numai dacă, returnează ADEVĂRAT când nu există intersecție sau dacă returnează FALS când există, cel puțin o intersecție. Primul caz nu poate să apară deoarece INTERSECȚIA-ORICĂROR-SEGMENTE returnează ADEVĂRAT numai dacă găsește o intersecție între două segmente de intrare.

Pentru a arăta că ultimul caz nu poate să apară, să presupunem că există, cel puțin, o intersecție și algoritmul INTERSECȚIA-ORICĂROR-SEGMENTE returnează FALS. Fie  $p$  cel mai din stânga punct de intersecție, eliminând egalitățile prin alegerea unui punct cu cea mai mică coordonată- $y$ , și fie  $a$  și  $b$  segmentele care se intersectează în  $p$ . Întrucât nu apare nici o intersecție în stânga lui  $p$ , ordinea dată de  $T$  este corectă pentru toate punctele din stânga lui  $p$ . Există un capăt de segment  $q$  pe dreapta de baleiere  $z$  care este punctul eveniment la care  $a$  și  $b$  devin consecutive în ordinea totală. Dacă  $p$  este pe dreapta de baleiere  $z$  atunci  $q = p$ . Dacă  $p$  nu este pe dreapta de baleiere  $z$  atunci  $q$  este în stânga față de  $p$ . În ambele cazuri, ordinea dată de  $T$  este corectă înainte de procesarea lui  $q$ . (Aici suntem siguri că  $p$  este cel mai de jos dintre cele mai din stânga puncte de intersecție. Datorită ordinii în care sunt procesate punctele eveniment, chiar dacă  $p$  este pe dreapta de baleiere  $z$  și există un alt punct de intersecție  $p'$  pe  $z$ , punctul eveniment  $q = p$ , procesat înaintea celeilalte intersecții  $p'$  poate interfera cu ordinea totală  $T$ .) Există doar două posibilități de a acționa în punctul eveniment  $q$ :

1. Unul dintre  $a$  și  $b$  este inserat în  $T$  și celălalt segment este deasupra sau dedesubtul acestuia în ordinea totală. Liniile 4–7 detectează acest caz.
2. Segmentele  $a$  și  $b$  sunt deja în  $T$  și un segment aflat între ele în ordinea totală a fost șters, astfel  $a$  și  $b$  devenind consecutive. Liniile 8–11 detectează acest caz.

În ambele cazuri, este găsită intersecția  $p$ , contrazicând presupunerea că procedura returnează FALS. ■

## Timpul de execuție

Dacă există  $n$  segmente în mulțimea  $S$ , atunci INTERSECȚIA-ORICĂROR-SEGMENTE se execută într-un timp  $O(n \lg n)$ . Linia 1 necesită un timp  $O(1)$ . Linia 2 necesită un timp  $O(n \lg n)$ , folosind sortarea prin interclasare sau heapsort. Deoarece există  $2n$  puncte eveniment, ciclul **pentru** din liniile 3–11 se execută de cel mult  $2n$  ori. Fiecare iterație necesită un timp  $O(\lg n)$  deoarece fiecare operație arbore-roșu-negru necesită un timp  $O(\lg n)$  și, folosind metoda din secțiunea 35.1, fiecare test de intersecție necesită un timp  $O(1)$ . Astfel, timpul total este  $O(n \lg n)$ .

### Exerciții

**35.2-1** Arătați că pot exista  $\Theta(n^2)$  intersecții într-o mulțime de  $n$  segmente de dreaptă.

**35.2-2** Fiind date două segmente  $a$  și  $b$  care nu se intersectează și care sunt comparabile în  $x$ , arătați cum se folosesc produsele încrucișate pentru a determina, într-un timp  $O(1)$ , care dintre relațiile  $a >_x b$  sau  $b >_x a$  are loc.

**35.2-3** Profesorul Maginot ne sugerează să modificăm INTERSECTIA-ORICĂROR-SEGMENTE, astfel încât, înloc să se termine la găsirea unei intersecții, să afișeze segmentele care se intersectează și să continue cu următoarea iterație a ciclului **pentru**. Profesorul numește procedura care se obține AFIŞEAZĂ-INTERSECTIA-SEGMENTELOR și afirmă că ea afișează toate intersecțiile, de la stânga la dreapta, aşa cum apar ele în mulțimea segmentelor. Arătați că profesorul greșește în două privințe dând o mulțime de segmente pentru care prima intersecție găsită de AFIŞEAZĂ-INTERSECTIA-SEGMENTELOR nu este cea mai din stânga și o mulțime de segmente pentru care AFIŞEAZĂ-INTERSECTIA-SEGMENTELOR eșuează în determinarea tuturor intersecțiilor.

**35.2-4** Dați un algoritm de timp  $O(n \lg n)$  care determină dacă un poligon cu  $n$  vârfuri este simplu.

**35.2-5** Dați un algoritm de timp  $O(n \lg n)$  care determină dacă două poligoane simple, cu un număr total de  $n$  vârfuri, se intersectează.

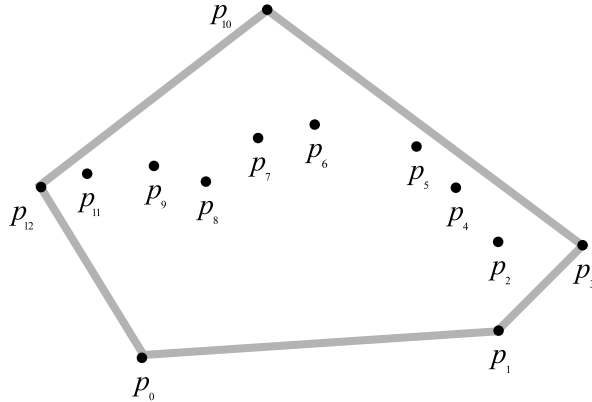
**35.2-6** Un **disc** este alcătuit dintr-un cerc plus interiorul acestuia și este reprezentat prin centrul și raza sa. Două discuri se intersectează dacă au un punct comun. Dați un algoritm de timp  $O(n \lg n)$  care determină dacă oricare două discuri, dintr-o mulțime de  $n$  discuri, se intersectează.

**35.2-7** Fiind dată o mulțime de  $n$  segmente de dreaptă având în total  $k$  intersecții, arătați cum pot fi determinate toate cele  $k$  intersecții într-un timp  $O((n + k) \lg n)$ .

## 35.3. Determinarea învelitorii convexe

**Învelitoarea convexă** a unei mulțimi de puncte  $Q$  este poligonul convex de arie minimă  $P$ , pentru care fiecare punct din  $Q$  este sau pe frontieră lui  $P$ , sau în interiorul acestuia. Notăm învelitoarea convexă a lui  $Q$  prin  $\hat{I}C(Q)$ . Intuitiv, ne putem gândi la fiecare punct din  $Q$  ca fiind un cui fixat pe o scândură. Atunci, învelitoarea convexă este curba formată de o bandă de cauciuc strânsă care înconjoară toate cuiele. În figura 35.6, se prezintă o mulțime de puncte și învelitoarea lor convexă.

În această secțiune vom prezenta doi algoritmi care determină învelitoarea convexă a unei mulțimi de  $n$  puncte. Ambii algoritmi au ca ieșire vârfurile învelitorii convexe ordonate în sens trigonometric. Primul, cunoscut sub numele de scanarea lui Graham, se execută într-un timp  $O(n \lg n)$ . Al doilea, numit potrivirea lui Jarvis, se execută într-un timp  $O(nh)$ , unde  $h$  este numărul de vârfuri ale învelitorii convexe. După cum s-a putut observa în figura 35.6, fiecare vârf al lui  $\hat{I}C(Q)$  este un punct din  $Q$ . Ambii algoritmi exploatează această proprietate, hotărând care vârfuri din  $Q$  sunt păstrate ca și vârfuri ale învelitorii convexe și care vârfuri din  $Q$  sunt eliminate.



**Figura 35.6** O mulțime de puncte  $Q$  și învelitoarea lor convexă  $\bar{I}C(Q)$  desenată cu gri.

De fapt, există câteva metode care calculează învelitorii convexe în timpuri  $O(n \lg n)$ . Atât scanarea lui Graham cât și potrivirea lui Jarvis folosesc o tehnică numită “baleiere rotațională”, procesând vârfurile în ordinea unghiurilor polare pe care le formează cu vârful de referință. Alte metode includ următoarele:

- În **metoda incrementală**, punctele sunt ordonate de la stânga la dreapta, producând secvența  $\langle p_1, p_2, \dots, p_n \rangle$ . La etapa  $i$ , învelitoarea convexă  $\bar{I}C(\{p_1, p_2, \dots, p_{i-1}\})$  a celor mai din stânga  $i - 1$  puncte este actualizată corespunzător celui de-al  $i$ -lea punct de la stânga, formând astfel  $\bar{I}C(\{p_1, p_2, \dots, p_i\})$ . Așa cum se cere să arătați în exercițiul 35.3-6, această metodă poate fi implementată astfel încât timpul total de execuție să fie  $O(n \lg n)$ .
- În **metoda divide și stpânește**, în timpul  $\Theta(n)$  mulțimea de  $n$  puncte este împărțită în două submulțimi, una cu cele mai din stânga  $\lceil n/2 \rceil$  puncte și una cu cele mai din dreapta  $\lfloor n/2 \rfloor$  puncte. Învelitorile convexe ale submulțimilor sunt calculate recursiv, și apoi este folosită o metodă inteligentă de a combina învelitorile într-un timp  $O(n)$ .
- **Metoda trunchiază-și-caută** este similară cu cel mai defavorabil caz al algoritmului median de timp liniar din secțiunea 10.3. Aceasta găsește portiunea superioară (sau “lanțul superior”) al învelitorii convexe prin eliminarea repetată a unei părți constante dintre punctele rămase până când nu mai rămâne decât lanțul superior al învelitorii convexe. Lanțul inferior este determinat în mod analog. Această metodă este, asimptotic, cea mai rapidă: dacă învelitoarea convexă conține  $h$  vârfuri, execuția necesită doar un timp  $O(n \lg h)$ .

Determinarea învelitorii convexe a unei mulțimi de puncte este, în sine, o problemă interesantă. Mai mult, algoritmi pentru multe probleme de geometrie computațională încep prin determinarea unei învelitorii convexe. Să analizăm, de exemplu, în spațiul bidimensional, **problema perechii celei mai îndepărtate**: avem dată o mulțime de  $n$  puncte din plan și vrem să găsim două puncte a căror distanță unul față de celălalt este maximă. Așa cum cere exercițiul 35.3-3, aceste două puncte trebuie să fie vârfuri ale învelitorii convexe. Deși nu vrem să demonstrăm aici, afirmăm că perechea celui mai îndepărtat de vârf a unui poligon convex cu  $n$  vârfuri poate fi găsită într-un timp  $O(n)$ . Deci, calculând învelitoarea convexă a  $n$  puncte

de intrare într-un timp  $O(n \lg n)$  și apoi găsind perechea cea mai departată dintre vârfurile poligonului convex rezultat, putem găsi într-un timp  $O(n \lg n)$  perechea celui mai îndepărtat punct din orice mulțime de  $n$  puncte.

### Scanarea Graham

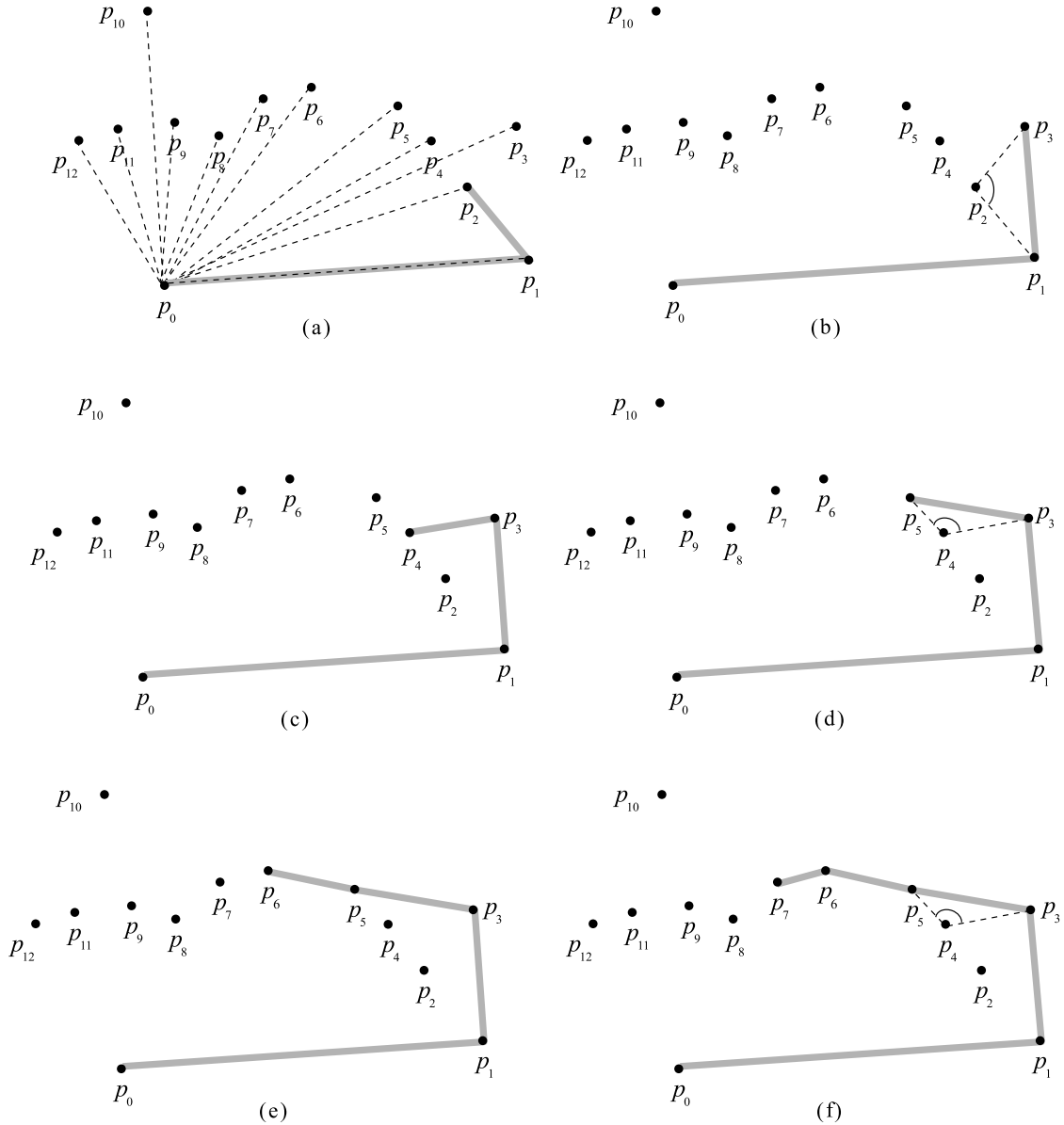
**Scanarea Graham** rezolvă problema învelitorii convexe prin întreținerea unei stive  $S$  de puncte posibile. Fiecare punct din mulțimea de intrare  $Q$  este pus o dată pe stivă și punctele care nu sunt vârfuri ale lui  $\hat{I}C(Q)$  sunt, eventual, scoase din stivă. La terminarea algoritmului, stiva  $S$  conține exact vârfurile lui  $\hat{I}C(Q)$ , ordonate după apariția lor pe frontieră în sens trigonometric.

Procedura SCANAREA-GRAHAM primește ca intrare o mulțime de puncte  $Q$ , unde  $|Q| \geq 3$ . Ea apelează funcția VÂRF(S) care returnează punctul din vârful stivei  $S$ , fără a modifica stiva, și funcția URMĂTORUL-VÂRF(S) care returnează punctul cu o intrare mai jos decât vârful stivei  $S$ , fără a modifica stiva. Așa cum vom demonstra imediat, stiva  $S$  returnată de procedura SCANAREA-GRAHAM conține, de jos în sus, în ordine trigonometrică, exact vârfurile lui  $\hat{I}C(Q)$ .

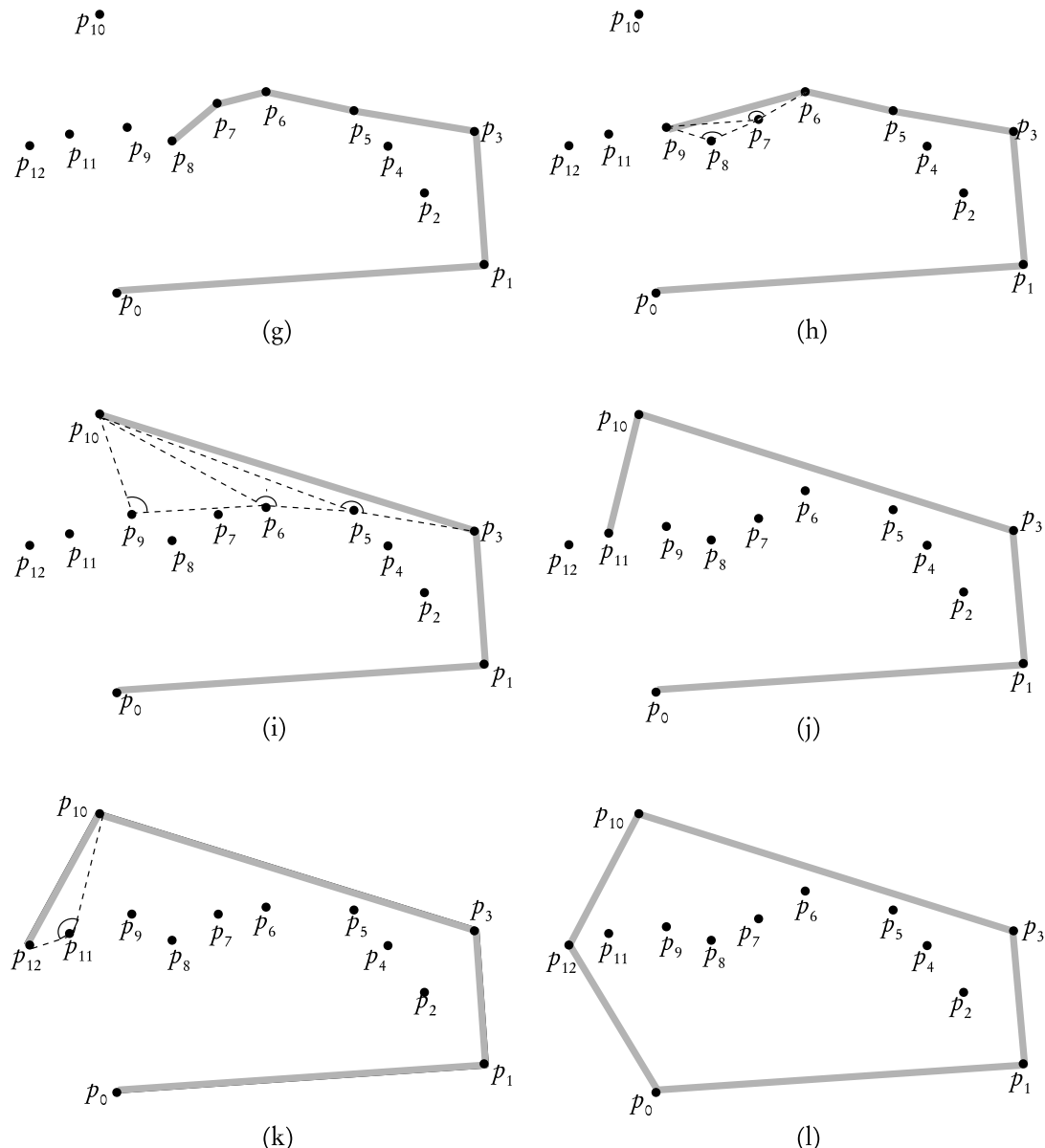
#### SCANAREA-GRAHAM( $Q$ )

- 1: fie  $p_0$  punctul din  $Q$  cu coordonata  $y$  minimă sau cel mai din stânga astfel de punct, în caz că există mai multe
- 2: fie  $\langle p_1, p_2, \dots, p_m \rangle$  punctele rămase din  $Q$ , ordonate după unghiurile polare în jurul lui  $p_0$ , în sens trigonometric (dacă mai multe puncte au același unghi, atunci se păstrează punctul cel mai îndepărtat față de  $p_0$ )
- 3:  $vârf[S] \leftarrow 0$
- 4: PUNE-ÎN-STIVĂ( $p_0, S$ )
- 5: PUNE-ÎN-STIVĂ( $p_1, S$ )
- 6: PUNE-ÎN-STIVĂ( $p_2, S$ )
- 7: **pentru**  $i \leftarrow 3$  la  $m$  **execută**
- 8:   **cât timp** unghiul format de punctele URMĂTORUL-VÂRF(S), VÂRF(S) și  $p_i$  face o întoarcere, dar nu spre stânga **execută**
- 9:     SCOATE-DIN-STIVĂ(S)
- 10:   PUNE-ÎN-STIVĂ( $p_i, S$ )
- 11: **returnează**  $S$

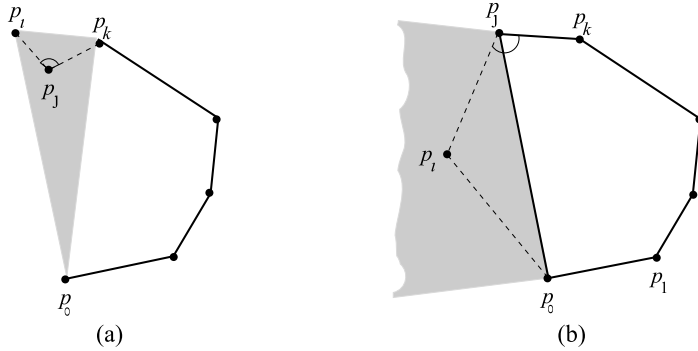
În figura 35.7 se ilustrează evoluția procedurii SCANAREA-GRAHAM. Linia 1 alege punctul  $p_0$  ca punct având coordonata  $y$  cea mai mică, în caz de egalitate alegând punctul cel mai din stânga. Deoarece nu există nici un punct în  $Q$  care este mai jos decât  $p_0$  și orice alt punct cu aceeași coordonată  $y$  este la dreapta lui  $p_0$ , acesta este un vârf al lui  $\hat{I}C(Q)$ . Linia 2 sortează punctele rămase din  $Q$  după unghiurile polare relative la  $p_0$ , folosind aceeași metodă – compararea produselor încrucișate – ca în exercițiul 35.1-2. Dacă două sau mai multe puncte au același unghi polar relativ la  $p_0$ , atunci toate aceste puncte, cu excepția celui mai îndepărtat, sunt combinații convexe ale lui  $p_0$  cu punctul cel mai îndepărtat și, astfel, le eliminăm pe toate din discuție. Notăm cu  $m$  numărul punctelor diferite de  $p_0$  care rămân. Unghiul polar, măsurat în radiani, al fiecărui punct din  $Q$  relativ la  $p_0$  este în intervalul  $[0, \pi/2]$ . Deoarece unghiurile polare cresc în sens trigonometric, punctele sunt sortate relativ la  $p_0$  în sens trigonometric. Notăm această secvență ordonată de puncte prin  $\langle p_1, p_2, \dots, p_m \rangle$ . Observați că punctele  $p_1$  și  $p_m$  sunt vârfuri ale lui  $\hat{I}C(Q)$  (vezi exercițiul 35.3-1). În figura 35.7(a) sunt prezentate punctele figurii 35.6,  $\langle p_1, p_2, \dots, p_{12} \rangle$  cu unghiurile polare ordonate relativ la  $p_0$ .



**Figura 35.7** Execuția algoritmului SCANAREA-GRAHAM pentru mulțimea  $Q$  din figura 35.6. Învelitoarea convexă curentă din stiva  $S$  este reprezentată la fiecare pas cu gri. (a) Unghurile polare din  $\langle p_1, p_2, \dots, p_{12} \rangle$  ordonate relativ la  $p_0$  și stiva inițială  $S$  conținând  $p_0, p_1$  și  $p_2$ . (b)-(k) Stiva  $S$  după fiecare iterație a ciclului **pentru** din liniile 7–10. Liniile punctate arată întoarcerile care nu sunt spre stânga, cauzând scoaterea punctelor din stivă. De exemplu, în (h), întoarcerea spre dreapta din unghiul  $\angle p_7 p_8 p_9$  conduce la scoaterea lui  $p_8$  din stivă, și apoi întoarcerea spre dreapta din unghiul  $\angle p_6 p_7 p_9$  conduce la scoaterea lui  $p_7$ . (l) Învelitoarea convexă returnată de procedură, aceeași ca în figura 35.6.



Restul procedurii folosește stiva  $S$ . Liniile 3–6 initializează stiva, de jos în sus, cu primele trei puncte  $p_0$ ,  $p_1$  și  $p_2$ . În figura 35.7(a) se prezintă stiva inițială  $S$ . Ciclul **pentru** din liniile 7–10 se execută o dată pentru fiecare punct al secvenței  $\langle p_3, p_4, \dots, p_m \rangle$ . Intenția este ca, după procesarea punctului  $p_i$ , stiva  $S$  să contină, de jos în sus, vârfurile lui  $\text{IC}(\{p_0, p_1, \dots, p_i\})$  ordonate în sens trigonometric. Ciclul **cât timp**, din liniile 8–9, scoate din stivă punctele care nu fac parte din învelitoarea convexă. Când parcurgem învelitoarea convexă în sens trigonometric trebuie să facem întoarceri la stânga în fiecare vârf. Deci, de fiecare dată când ciclul **cât timp** găsește un vârf în care nu facem o întoarcere la stânga, vârful este scos din stivă. (Verificând că o întoarcere



**Figura 35.8** Două situații esențiale în demonstrarea corectitudinii algoritmului SCANAREA-GRAHAM. (a) Se arată că, în SCANAREA-GRAHAM, un punct scos din stivă nu este un vârf din  $\hat{C}(Q)$ . Dacă vârful  $p_j$  este scos din stivă deoarece unghiul  $\angle p_k p_j p_i$  nu face o întoarcere la stânga, atunci triunghiul hașurat,  $\triangle p_0 p_k p_i$ , conține punctul  $p_j$ . Deci punctul  $p_j$  nu este un vârf din  $\hat{C}(Q)$ . (b) Dacă punctul  $p_i$  este pus în stivă, atunci în unghiul  $\angle p_k p_j p_i$  trebuie să fie o întoarcere la stânga. Punctul  $p_i$  trebuie să fie în regiunea hașurată deoarece  $p_i$  urmează după  $p_j$  în ordinea unghirilor polare ale punctelor și datorită modului în care a fost ales  $p_0$ . Dacă punctele din stivă formează un poligon convex înainte de operația de punere, atunci ele trebuie să formeze un poligon convex și după aceea.

nu este spre stânga și nu doar că este spre dreapta, se exclude posibilitatea ca un unghi alungit să facă parte din învelitoarea convexă rezultată. Aceasta este, tocmai, ceea ce dorim deoarece fiecare vârf al unui poligon convex nu trebuie să fie o combinație de alte vârfuri ale poligonului.) După ce scoatem din stivă toate vârfurile care nu au întoarceri spre stânga, când mergem către punctul  $p_i$ , punem  $p_i$  în stivă. În figura 35.7(b)-(k), se prezintă starea stivei  $S$  după fiecare iterare a ciclului **pentru**. În final, în linia 11, SCANAREA-GRAHAM returnează stiva  $S$ . În figura 35.7(l) se prezintă învelitoarea convexă corespunzătoare.

Următoarea teoremă demonstrează formal corectitudinea procedurii SCANAREA-GRAHAM.

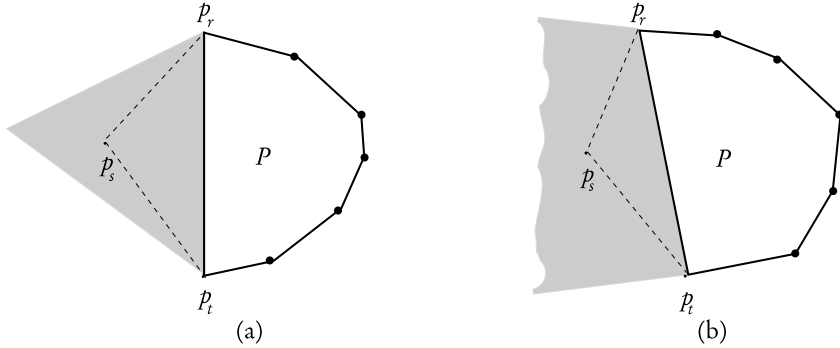
**Teorema 35.2 (Corectitudinea algoritmului scanarea Graham)** Dacă procedura SCANAREA-GRAHAM este executată pentru o mulțime de puncte  $Q$ ,  $|Q| \geq 3$ , atunci un punct din  $Q$  este pe stiva  $S$  la terminare dacă, și numai dacă, este vârf al învelitorii convexe  $\hat{C}(Q)$ .

**Demonstrație.** Așa cum am observat mai sus, un vârf care este o combinație convexă a lui  $p_0$  și alte vârfuri din  $Q$ , nu este vârf al lui  $\hat{C}(Q)$ . Un astfel de vârf nu este inclus în secvența  $\langle p_1, p_2, \dots, p_m \rangle$  și deci el nu poate să apară în stiva  $S$ .

Dificultatea acestei demonstrații constă în cele două situații ilustrate în figura 35.8. Cadrul (a) tratează întoarcerile care nu sunt la stânga, iar cadrul (b) tratează întoarcerile la stânga.

Arătăm, mai întâi, că fiecare punct scos din stiva  $S$  nu este un vârf al învelitorii  $\hat{C}(Q)$ . Presupunem că punctul  $p_j$  este scos din stivă deoarece unghiul  $\angle p_k p_j p_i$  nu face o întoarcere la stânga, conform figurii 35.8(a). Deoarece parcurgem punctele în ordinea crescătoare a unghirilor polare relative la punctul  $p_0$ , există un triunghi  $\triangle p_0 p_i p_k$  cu punctul  $p_j$  sau în interiorul lui sau pe segmentul  $\overline{p_i p_k}$ . În ambele cazuri, punctul  $p_j$  nu poate fi un punct din  $\hat{C}(Q)$ .

Arătăm acum că, în final, fiecare punct din stiva  $S$  este un vârf din  $\hat{C}(Q)$ . Începem prin a demonstra următoarea afirmație: SCANAREA-GRAHAM susține invariantul că punctele din stiva  $S$  fac parte, întotdeauna, din vârfurile unui poligon convex, ordonate în sens trigonometric.



**Figura 35.9** Adăugând un punct unui poligon convex  $P$ , în regiunea hașurată, se obține un alt poligon convex. Regiunea hașurată este mărginită de o latură  $\overline{p_r p_t}$  și prelungirile a două laturi adiacente. (a) Regiunea hașurată este mărginită. (b) Regiunea hașurată este nemărginită.

Imediat după execuția liniei 6, afirmația este valabilă deoarece punctele  $p_0, p_1$  și  $p_2$  formează un poligon convex. Urmărим, acum, cum se modifică stiva  $S$  în timpul execuției algoritmului SCANAREA-GRAHAM. Punctele sunt sau scoase, sau puse în stivă. În primul caz, ne bazăm pe o simplă proprietate geometrică: dacă un vârf este eliminat dintr-un poligon convex, poligonul rezultat este convex. Deci scoaterea unui punct din stiva  $S$  păstrează invariantul.

Înainte de a trata cazul în care un punct este pus în stivă, să examinăm o altă proprietate geometrică, ilustrată în figura 35.9(a) și (b). Fie  $P$  un poligon convex, alegem o latură oarecare  $\overline{p_r p_t}$  din  $P$ . Să analizăm regiunea mărginită de  $\overline{p_r p_t}$  și prelungirile celor două laturi adiacente. (În funcție de unghiurile relative ale laturilor adiacente, regiunea poate fi mărginită, ca în regiunea hașurată din cadrul (a), sau nemărginită, ca în cadrul (b).) Dacă adăugăm orice punct  $p_s$  din această regiune la  $P$  ca un nou vârf, înlocuind latura  $\overline{p_r p_t}$  cu laturile  $\overline{p_r p_s}$  și  $\overline{p_s p_t}$ , poligonul rezultat este convex.

Considerăm acum că punctul  $p_i$  este pus pe stiva  $S$ . Referindu-ne la figura 35.8(b), fie  $p_j$  punctul din vârfului stivei  $S$ , chiar înainte de a fi pus  $p_i$ , și fie  $p_k$  predecesorul lui  $p_j$  în  $S$ . Afirmăm că  $p_i$  trebuie să fie în zona hașurată din figura 35.8(b), care corespunde direct cu regiunea hașurată din figura 35.9(b). Punctul  $p_i$  trebuie să fie în partea hașurată față de prelungirea lui  $\overline{p_k p_j}$  deoarece unghiul  $\angle p_k p_j p_i$  face o întoarcere la stânga. El trebuie să fie în partea hașurată a lui  $\overline{p_0 p_j}$  deoarece, în ordinea unghiurilor polare,  $p_i$  este după  $p_j$ . Mai mult, după cum am ales punctul  $p_0$ , punctul  $p_i$  trebuie să fie în partea hașurată față de prelungirea lui  $\overline{p_0 p_1}$ . Deci  $p_i$  este în regiunea hașurată, și, după punerea lui  $p_i$  în stiva  $S$ , punctele din  $S$  formează un poligon convex. Acum, demonstrația afirmației este completă.

Deci, în finalul procedurii SCANAREA-GRAHAM punctele din  $Q$  care sunt în stiva  $S$  formează vârfurile unui poligon convex. Am arătat că toate punctele care nu sunt în  $S$  nu sunt din  $\hat{I}C(Q)$  sau, în mod echivalent, că toate punctele care sunt din  $\hat{I}C(Q)$  sunt în  $S$ . Întrucât  $S$  conține doar vârfuri din  $Q$  și punctele sale formează un poligon convex, ele trebuie să formeze  $\hat{I}C(Q)$ . ■

Arătăm acum că timpul de execuție al algoritmului SCANAREA-GRAHAM este  $O(n \lg n)$ , unde  $n = |Q|$ . Linia 1 necesită un timp  $\Theta(n)$ . Linia 2 necesită un timp  $O(n \lg n)$  folosind sortarea prin interclasare sau algoritmul heapsort pentru ordonarea unghiurilor polare și metoda produsului încrucișat, din secțiunea 35.1, pentru compararea unghiurilor. (Ștergerea tuturor punctelor cu

același unghi polar, cu excepția celui mai îndepărtat punct, poate fi realizată într-un timp  $O(n)$ ). Liniile 3–6 necesită un timp  $O(1)$ . Ciclul **pentru** este executat de cel mult  $n - 3$  ori deoarece  $m \leq n - 1$ . Întrucât PUNE-ÎN-STIVĂ necesită un timp  $O(1)$ , fiecare iterație necesită exclusiv un timp  $O(1)$  din timpul consumat de ciclul **cât timp**, din liniile 8–9. Deci, în total, ciclul **pentru** necesită exclusiv un timp  $O(n)$  pentru ciclul **cât timp** pe care îl conține.

Am folosit metoda agregată din analiza amortizată pentru a arăta că ciclul **cât timp** necesită un timp de execuție total de  $O(n)$ . Pentru  $i = 0, 1, \dots, m$ , fiecare punct  $p_i$  este pus exact o dată în stiva  $S$ . La fel ca și în analiza procedurii SCOATERE-MULTIPLĂ-DIN-STIVĂ din secțiunea 18.1, observăm că există, cel mult, o operație SCOATE-DIN-STIVĂ pentru fiecare operație PUNE-ÎN-STIVĂ. Exact trei puncte –  $p_0, p_1$  și  $p_m$  – nu sunt scoase din stivă niciodată, deci se efectuează cel mult  $m - 2$  operații SCOATE-DIN-STIVĂ în total. Fiecare iterare a ciclului **cât timp** execută o operație SCOATE-DIN-STIVĂ și deci există, în total, cel mult  $m - 2$  iterări ale ciclului **cât timp**. Întrucât testul din linia 8 necesită un timp  $O(1)$ , fiecare apel SCOATE-DIN-STIVĂ necesită un timp  $O(1)$  și  $m \leq n - 1$ , timpul total necesar execuției ciclului **cât timp** este  $O(n \lg n)$ .

## Potrivirea lui Jarvis

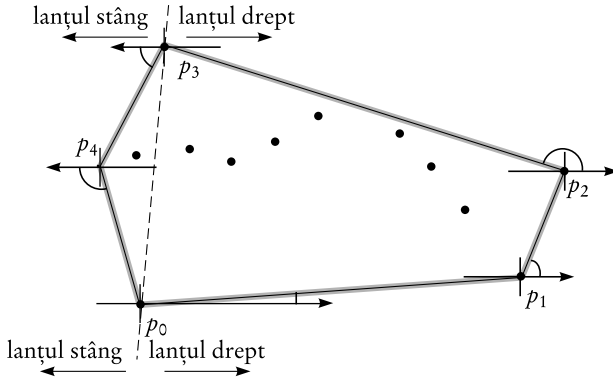
**Potrivirea lui Jarvis** determină învelitoarea convexă a unei mulțimi de puncte  $Q$  folosind o tehnică cunoscută sub numele de **împachetarea pachetului** (sau **împachetarea cadoului**). Timpul de execuție al algoritmului este  $O(nh)$ , unde  $h$  este numărul de vârfuri din  $\hat{I}C(Q)$ . Când  $h$  este  $O(\lg n)$ , atunci potrivirea lui Jarvis este, asimptotic, mai rapidă decât scanarea lui Graham.

Intuitiv, potrivirea lui Jarvis simulează împachetarea unei bucăți de hârtie bine întinsă în jurul mulțimii  $Q$ . Începem prin a lega capătul hârtiei la cel mai de jos punct al mulțimii, adică același punct  $p_0$  cu care am început scanarea Graham. Acest punct este un vârf al învelitorii convexe. Împingem hârtia spre dreapta pentru a o întinde bine, iar apoi o împingem în sus până când atinge un alt punct. Acest vârf trebuie să fie, de asemenea, pe învelitoarea convexă. Păstrând hârtia întinsă, continuăm în acest fel, înconjurând mulțimea de vârfuri până când ajungem înapoi la punctul de pornire  $p_0$ .

Formal, potrivirea lui Jarvis construiește o secvență  $H = \langle p_0, p_1, \dots, p_{h-1} \rangle$  din punctele din  $\hat{I}C(Q)$ . Începem cu punctul  $p_0$ . După cum se vede în figura 35.10, următorul vârf al învelitorii convexe,  $p_1$ , are cel mai mic unghi polar în raport cu  $p_0$ . (În caz de egalitate, vom alege punctul cel mai îndepărtat de  $p_0$ .) În mod analog,  $p_2$  este cel mai mic unghi polar în raport cu  $p_1$  și așa mai departe. Când ajungem la vârful cel mai de sus, fie acesta  $p_k$  (eliminând egalitățile prin alegerea celui mai îndepărtat vârf), am construit, așa cum se poate vedea și în figura 35.10, **lanțul drept** al învelitorii  $\hat{I}C(Q)$ . Pentru construirea **lanțului stâng**, pornim de la  $p_k$  și alegem punctul  $p_{k+1}$ , punctul cu cel mai mic unghi polar în raport cu  $p_k$ , dar de pe *axa-x negativ*. Continuăm să formăm lanțul stâng prin luarea unghiurilor polare de pe axa-x negativă până când revenim în vârful originar  $p_0$ .

Putem implementa potrivirea lui Jarvis ca o deplasare conceptuală în jurul învelitorii convexe, adică fără să construim, separat, lanțurile drept și stâng. Astfel de implementări, de obicei, păstrează ruta unghiului ultimei laturi alese pe învelitoarea convexă și necesită ca secvența de unghiuri ale laturilor învelitorii să fie în ordine strict crescătoare (în intervalul  $0$ – $2\pi$  radiani). Avantajul construirii separate a lanțurilor este că nu avem nevoie de calculul explicit al unghiurilor; sunt suficiente tehniciile din secțiunea 35.1 pentru compararea unghiurilor.

Timpul de execuție pentru potrivirea lui Jarvis, la o implementare corectă, este  $O(nh)$ . Pentru fiecare dintre cele  $h$  vârfuri din  $\hat{I}C(Q)$ , găsim vârful cu unghiul polar minim. Fiecare comparație



**Figura 35.10** Funcționarea algoritmului de potrivire a lui Jarvis. Primul vîrf ales este cel mai de jos punct  $p_0$ . Următorul vîrf,  $p_1$ , are unghiul polar cel mai mic dintre toate punctele, în raport cu  $p_0$ . Apoi,  $p_2$  are cel mai mic unghi polar în raport cu  $p_1$ . Lanțul drept merge la fel de sus ca și cel mai de sus punct  $p_3$ . Atunci, lanțul drept este construit prin căutarea celor mai mici unghiuri polare în raport cu axa-x negativă.

între unghiuri polare, folosind tehniciile din secțiunea 35.1, necesită un timp  $O(1)$ . Așa cum este arătat în secțiunea 10.1, putem determina minimul a  $n$  valori într-un timp  $O(n)$  dacă fiecare comparație necesită un timp  $O(1)$ . Deci potrivirea lui Jarvis necesită un timp  $O(nh)$ .

## Exerciții

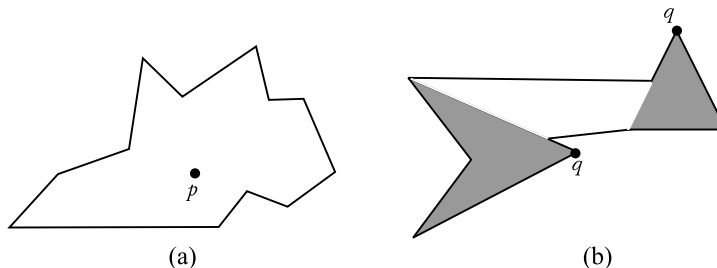
**35.3-1** Demonstrați că, în procedura SCANAREA-GRAHAM, punctele  $p_1$  și  $p_m$  trebuie să fie vîrfuri din  $\hat{IC}(Q)$ .

**35.3-2** Considerăm un model de calcul care permite adunarea, compararea și înmulțirea, și care conține marginea inferioară  $\Omega(n \lg n)$  pentru ordonarea a  $n$  numere. Demonstrați că  $\Omega(n \lg n)$  este o margine inferioară pentru calcularea, în ordine, a vîrfurilor învelitorii convexe a unei multimi de  $n$  puncte într-un astfel de model.

**35.3-3** Fiind dată o mulțime de puncte  $Q$ , demonstrați că perechea punctelor celor mai îndepărtate unul față de celălalt trebuie să fie vîrfuri din  $\hat{IC}(Q)$ .

**35.3-4** Fie un poligon  $P$  și un punct  $q$  pe frontieră acestuia. Numim **umbra** lui  $q$  mulțimea de puncte  $r$  al căror segment  $\overline{qr}$  se află, în întregime, pe frontieră sau în interiorul lui  $P$ . Un poligon  $P$  este **în formă de stea** dacă există în interiorul său un punct  $p$  care se află în umbra oricărui punct de pe frontieră lui  $P$ . Mulțimea tuturor acestor puncte  $p$  se numește **nucleul** lui  $P$ . (Vezi figura 35.11.) Fiind dat un poligon  $P$  cu  $n$  vîrfuri, în formă de stea, specificat prin vîrfurile lui ordonate în sens trigonometric, arătați cum se calculează  $\hat{IC}(P)$  într-un timp  $O(n)$ .

**35.3-5** În problema **învelitorii convexe în timp real**, avem dată o mulțime  $Q$  de  $n$  puncte pe care le primim pe rând. La primirea fiecărui punct, calculăm învelitoarea convexă a punctelor cunoscute până la momentul curent. Evident, se poate executa pentru fiecare punct scanarea Graham, fiind necesar un timp de execuție de  $O(n^2 \lg n)$ . Arătați cum se rezolvă problema învelitorii convexe în timp real, astfel încât timpul de execuție să fie  $O(n^2)$ .



**Figura 35.11** Definiția unui poligon în formă de stea, pentru exercițiul 35.3-4. (a) Un poligon în formă de stea. Segmentul din punctul  $p$  spre orice punct  $q$  de pe frontieră poligonului intersectează frontieră numai în  $q$ . (b) Un poligon care nu este în formă de stea. Regiunea hașurată din stânga este umbra lui  $q$  iar regiunea umbrită din dreapta este umbra lui  $q'$ . Nucleul este mulțimea vidă, deoarece aceste regiuni sunt disjuncte.

**35.3-6 \*** Arătați cum se implementează metoda incrementală pentru calcularea învelitorii convexe a  $n$  puncte, astfel încât timpul de execuție să fie  $O(n \lg n)$ .

### 35.4. Determinarea celei mai apropiate perechi de puncte

Analizăm problema determinării celei mai apropiate perechi de puncte într-o mulțime  $Q$  de  $n \geq 2$  puncte. “Cele mai apropiate” se referă la distanța euclidiană: distanța dintre punctele  $p_1 = (x_1, y_1)$  și  $p_2 = (x_2, y_2)$  este  $\sqrt{(x_1 - x_2)^2 + (y_1 - y_2)^2}$ . Două puncte din mulțimea  $Q$  pot coincide, caz în care distanța dintre ele este zero. Această problemă are aplicații, de exemplu, în sistemele de control ale traficului. Un sistem pentru controlul traficului aerian sau maritim are nevoie să știe care sunt cele mai apropiate două vehicule pentru a detecta o posibilă situație de coliziune.

Un algoritm de forță brută pentru determinarea celei mai apropiate perechi se uită, pur și simplu, la toate cele  $\binom{n}{2} = \Theta(n^2)$  perechi de puncte. În acest capitol vom descrie un algoritm divide și stăpânește pentru această problemă, al cărui timp de execuție este descris de bine cunoscuta relație de recurență  $T(n) = 2T(n/2) + O(n)$ . Deci, acest algoritm folosește doar un timp  $O(n \lg n)$ .

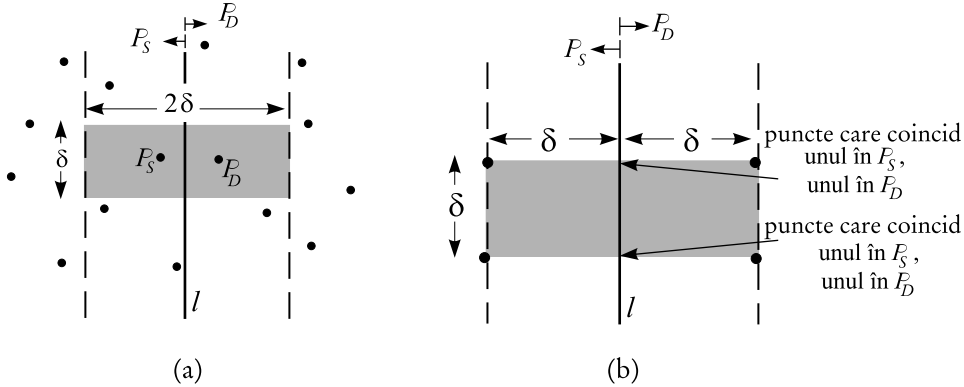
#### Algoritmul divide și stăpânește

Fiecare apel recursiv al algoritmului necesită, ca intrare, o submulțime  $P \subseteq Q$  și două siruri  $X$  și  $Y$ , fiecare conținând toate punctele submulțimii de intrare  $P$ . Punctele din sirul  $X$  sunt ordonate astfel încât coordonatele lor  $x$  să fie monoton crescătoare. În mod analog, sirul  $Y$  este ordonat monoton crescător după coordonata  $y$ . Retineți că, pentru a ajunge la timpul limită  $O(n \lg n)$ , nu ne permitem să facem sortări la fiecare apel recursiv; dacă am face, timpul de execuție pentru o recurență ar fi  $T(n) = 2T(n/2) + O(n \lg n)$ , iar pentru soluție  $T(n) = O(n \lg^2 n)$ . Vom vedea mai târziu cum se folosește “presortarea” pentru a menține sirurile sortate fără a le sorta efectiv la fiecare apel recursiv.

Un apel recursiv cu intrările  $P$ ,  $X$  și  $Y$  verifică întâi dacă  $|P| \leq 3$ . Dacă da, atunci se va folosi metoda forței brute descrisă mai sus: consideră toate cele  $\binom{|P|}{2}$  perechi de puncte și returnează perechea cea mai apropiată. Dacă  $|P| \geq 3$ , apelul recursiv va folosi paradigma divide și stăpânește după cum urmează.

1. **Divide:** Determină o dreaptă verticală  $d$  care împarte mulțimea de puncte  $P$  în două submulțimi  $P_S$  și  $P_D$ , astfel încât  $|P_S| = \lceil |P|/2 \rceil$ ,  $|P_D| = \lfloor |P|/2 \rfloor$ , toate punctele din  $P_S$  sunt pe dreapta  $d$  sau în stânga ei și toate punctele din  $P_D$  sunt pe sau în dreapta dreptei  $d$ . Sirul  $X$  este împărțit în sirurile  $X_S$  și  $X_D$  care conțin punctele din  $P_S$  și, respectiv,  $P_D$ , sortate monoton crescător după coordonata  $x$ . În mod analog, sirul  $Y$  este împărțit în sirurile  $Y_S$  și  $Y_D$  care conțin punctele din  $P_S$  și, respectiv,  $P_D$ , sortate monoton crescător după coordonata  $y$ .
2. **Stăpânește:** Având împărțită mulțimea  $P$  în  $P_S$  și  $P_D$ , se fac două apeluri recursive, unul pentru a determina cea mai apropiată pereche de puncte din  $P_S$ , și celălalt pentru a determina cea mai apropiată pereche de puncte din  $P_D$ . Intrările pentru primul apel sunt mulțimea  $P_S$  și sirurile  $X_S$  și  $Y_S$ ; iar pentru al doilea apel intrările sunt  $P_D$ ,  $X_D$  și  $Y_D$ . Fie  $\delta_S$  și  $\delta_D$  valorile returnate pentru distanțele celor mai apropiate perechi din  $P_S$  și, respectiv,  $P_D$  și fie  $\delta = \min(\delta_S, \delta_D)$ .
3. **Combină:** Cea mai apropiată pereche este cea cu distanță  $\delta$ , determinată de unul din apelurile recursive, sau este o pereche de puncte cu un punct în  $P_S$  și celălalt în  $P_D$ . Algoritmul determină dacă există o astfel de pereche cu distanță mai mică decât  $\delta$ . Observați că, dacă există o pereche de puncte cu distanță mai mică decât  $\delta$ , atunci ambele puncte ale perechii trebuie să fie, față de dreapta  $d$ , la distanță maximă  $\delta$ . Astfel, conform figurii 35.12(a), ambele trebuie să se situeze într-o regiune de lățime  $2\delta$ , centrată în jurul dreptei verticale  $d$ . Pentru a găsi o astfel de pereche, dacă există, algoritmul procedează după cum urmează:
  - (a) Construiește un sir  $Y'$ , care este sirul  $Y$  fără punctele ce sunt în afara regiunii de lățime  $2\delta$ . Sirul  $Y'$  este sortat după coordonata  $y$ , la fel ca și  $Y$ .
  - (b) Pentru fiecare punct  $p$  din sirul  $Y'$ , algoritmul încearcă să găsească punctele din  $Y'$  care sunt la o distanță de cel mult  $\delta$  unități față de  $p$ . Așa cum vom vedea imediat, este necesar să fie considerate doar 7 puncte din  $Y'$ , care urmează după  $p$ . Algoritmul calculează distanța de la  $p$  la fiecare dintre cele 7 puncte și reține distanța  $\delta'$  a perechii celei mai apropiate, găsite dintre toate perechile de puncte din  $Y'$ .
  - (c) Dacă  $\delta' < \delta$ , atunci regiunea verticală conține, într-adevăr, o pereche mai apropiată decât cea care a fost găsită prin apelurile recursive. Sunt returnate această pereche și distanța sa  $\delta'$ . Altfel, sunt returnate cea mai apropiată pereche și distanța sa  $\delta$ , găsite prin apelurile recursive.

În descrierea de mai sus au fost omise unele detalii de implementare care sunt necesare pentru a obține timpul de execuție  $O(n \lg n)$ . După demonstrarea corectitudinii algoritmului, vom prezenta cum se implementează algoritmul pentru a obține timpul limită dorit.



**Figura 35.12** Ideea cheie pentru a demonstra că algoritmul pentru determinarea perechii celei mai apropiate necesită verificarea a doar 7 puncte care urmează după fiecare punct din sirul  $Y'$ . (a) Dacă  $p_S \in P_S$  și  $p_D \in P_D$  sunt la mai puțin de  $\delta$  unități distanță, atunci ele trebuie să se afle în interiorul unui dreptunghi  $\delta \times 2\delta$  centrat pe dreapta  $d$ . (b) Modalitatea de a situa 4 puncte în interiorul unui patrat  $\delta \times \delta$  dacă sunt la mai puțin de  $\delta$  unități distanță două-câte-două. În stânga sunt 4 puncte din  $P_S$ , iar în dreapta sunt 4 puncte din  $P_D$ . Acolo pot fi 8 puncte situate în dreptunghiul  $\delta \times 2\delta$  dacă punctele de pe dreapta  $d$  sunt perechi de puncte care coincid cu un punct în  $P_S$  și unul în  $P_D$ .

### Corectitudinea

Corectitudinea acestui algoritm pentru determinarea perechii celei mai apropiate este evidentă, cu excepția a două aspecte. Primul, oprind recursivitatea când  $|P| \leq 3$ , ne asigurăm că nu vom încerca niciodată să împărțim o mulțime cu un singur punct. Al doilea aspect este că avem nevoie doar de 7 puncte care urmează după fiecare punct  $p$  din sirul  $Y'$ . Vom demonstra în continuare această proprietate.

Presupunem că la un anumit nivel al recursivității, cea mai apropiată pereche de puncte este  $p_S \in P_S$  și  $p_D \in P_D$ . Astfel, distanța  $\delta'$  dintre  $p_S$  și  $p_D$  este strict mai mică decât  $\delta$ . Punctul  $p_S$  trebuie să fie pe dreapta  $d$  sau în stânga ei și la o distanță mai mică de  $\delta$  unități. În mod analog,  $p_D$  este pe sau în dreapta dreptei  $d$  și la o distanță mai mică de  $\delta$  unități. Mai mult,  $p_S$  și  $p_D$  se află pe verticală la o distanță de cel mult  $\delta$  unități unul față de celălalt. Deci, aşa cum se arată în figura 35.12(a),  $p_S$  și  $p_D$  se află într-un dreptunghi  $\delta \times 2\delta$  centrat pe dreapta  $d$ . (Desigur, pot fi și alte puncte în interiorul acestui dreptunghi).

Arătăm în continuare că cel mult 8 puncte din  $P$  se pot situa în interiorul acestui dreptunghi  $\delta \times 2\delta$ . Studiem patratul  $\delta \times \delta$  care reprezintă jumătatea stângă a dreptunghiului. Deoarece toate punctele din  $P_S$  sunt la o distanță de cel puțin  $\delta$  unități, cel mult 4 puncte se pot situa în interiorul acestui patrat; figura 35.12(b) arată cum. În mod analog, cel mult 4 puncte din  $P_D$  se pot situa în interiorul patratului  $\delta \times \delta$  ce reprezintă jumătatea dreaptă a dreptunghiului. Deci cel mult 8 puncte din  $P$  se pot situa în interiorul dreptunghiului  $\delta \times 2\delta$ . (Observăm că, întrucât punctele de pe  $d$  pot fi în oricare dintre mulțimile  $P_S$  sau  $P_D$ , nu pot fi mai mult de 4 puncte pe  $d$ . Această limită este atinsă dacă există două perechi de puncte care coincid, fiecare pereche conținând un punct din  $P_S$  și un punct din  $P_D$ ; o pereche se află la intersecția lui  $d$  cu partea de sus a dreptunghiului, iar cealaltă pereche se află la intersecția lui  $d$  cu partea de jos a dreptunghiului.)

Am arătat că numai 8 puncte din  $P$  se pot situa în dreptunghi, se vede ușor că este necesar să verificăm cel mult 7 puncte care urmează după fiecare punct în sirul  $Y'$ . Păstrând presupunerea că cea mai apropiată pereche este  $p_S$  și  $p_D$ , presupunem, fără a reduce generalitatea, că  $p_S$  îl precede pe  $p_D$  în sirul  $Y'$ . Atunci, chiar dacă  $p_S$  apare cât de devreme este posibil în sirul  $Y'$ , și  $p_D$  apare cât mai târziu posibil,  $p_D$  este într-una din cele 7 poziții care urmează după  $p_S$ . Deci am demonstrat corectitudinea algoritmului pentru determinarea perechii celei mai apropiate.

### Implementarea și timpul de execuție

Așa cum s-a observat, scopul nostru este ca timpul de execuție să fie recurența  $T(n) = 2T(n/2) + O(n)$ , unde  $T(n)$  este, desigur, timpul de execuție al algoritmului pentru o mulțime de  $n$  puncte. Dificultatea principală este de a ne asigura că sirurile  $X_S$  și  $X_D$ ,  $Y_S$  și  $Y_D$ , care sunt folosite în apelurile recursive, sunt sortate după coordonatele proprii și, de asemenea, că sirul  $Y'$  este sortat după coordonata  $y$ . (Observăm că, dacă sirul care este recepționat dintr-un apel recursiv este gata sortat, atunci împărțirea mulțimii  $P$  în  $P_S$  și  $P_D$  se realizează ușor în timp liniar.)

Observația cheie a rezolvării problemei este că, la fiecare apel, dorim să formăm un subșir sortat dintr-un sir sortat. Fie un apel particular având ca date de intrare submulțimea  $P$  și sirul  $Y$ , sortate după coordonata  $y$ . Având împărțit  $P$  în  $P_S$  și  $P_D$ , trebuie să formăm sirurile  $Y_S$  și  $Y_D$ , care sunt sortate după coordonata  $y$ . Mai mult, aceste siruri trebuie formate într-un timp liniar. Metoda poate fi privită ca inversa procedurii MERGE din sortarea prin interclasare din secțiunea 1.3.1: împărțim un sir sortat în două siruri sortate. Ideea este dată în pseudocodul următor:

```

1: lungime[ $Y_S$ ]  $\leftarrow$  lungime[ $Y_D$ ]  $\leftarrow$  0
2: pentru  $i \leftarrow 1$  la lungime[ $Y$ ] execută
3:   dacă  $Y[i] \in P_S$  atunci
4:     lungime[ $Y_S$ ]  $\leftarrow$  lungime[ $Y_S$ ] + 1
5:      $Y[\text{lungime}[Y_S]] \leftarrow Y[i]$ 
6:   altfel
7:     lungime[ $Y_D$ ]  $\leftarrow$  lungime[ $Y_D$ ] + 1
8:      $Y[\text{lungime}[Y_D]] \leftarrow Y[i]$ 
```

Examinăm punctele din sirul  $Y$  în ordine. Dacă un punct  $Y[i]$  este în  $P_S$ , îl adăugăm în sirul  $Y_S$  la sfârșit; altfel îl adăugăm la sfârșitul sirului  $Y_D$ . În mod analog, pseudocodul formează sirurile  $X_S, X_D$  și  $Y'$ .

Singura întrebare care mai rămâne este cum sortăm punctele la început. Facem o simplă **presortare** a lor;adică le sortăm, o dată, pe toate *înainte* de primul apel recursiv. Aceste siruri sortate sunt date în primul apel recursiv, de acolo ele sunt reduse prin apeluri succesive cât este necesar. Presortarea adaugă un timp  $O(n \lg n)$  la timpul de execuție, dar acum fiecare etapă a recursivității necesită un timp liniar exclusiv pentru apelurile recursive. Deci, dacă avem  $T(n)$  timpul de execuție al fiecărei etape recursive și  $T'(n)$  este timpul de execuție al algoritmului complet, obținem  $T'(n) = T(n) + O(n \lg n)$  și

$$T(n) = \begin{cases} 2T(n/2) + O(n) & \text{dacă } n > 3, \\ O(1) & \text{dacă } n \leq 3. \end{cases}$$

Deci  $T(n) = O(n \lg n)$  și  $T'(n) = O(n \lg n)$ .

## Exerciții

**35.4-1** Profesorul Smothers propune o schemă care permite algoritmului determinării celei mai apropriate perechi să verifice doar 5 puncte care urmează după fiecare punct în sirul  $Y'$ . Ideea este să plaseze totdeauna puncte de pe dreapta  $d$  în mulțimea  $P_S$ . Atunci, nu pot fi perechi de puncte coincidente pe dreapta  $d$ , cu un punct în  $P_S$  și unul în  $P_D$ . Deci, cel mult, 6 puncte pot fi în dreptunghiul  $\delta \times 2\delta$ . Ce nu este corect în schema profesorului?

**35.4-2** Fără a crește asimptotic timpul de execuție al algoritmului, arătați cum se garantează că mulțimea de puncte care a trecut de primul apel recursiv nu conține puncte care coincid. Arătați că este suficient să se verifice punctele în 6 (nu 7) poziții din sir care urmează după fiecare punct din  $Y'$ .

**35.4-3** Distanța dintre două puncte poate fi definită și altfel decât euclidian. În plan, **distanța  $L_m$**  dintre punctele  $p_1$  și  $p_2$  este dată de  $((x_1 - x_2)^m + (y_1 - y_2)^m)^{1/m}$ . Deci distanța euclidiană este distanța  $L_2$ . Modificați algoritmul celei mai apropriate perechi, astfel încât să folosească distanța  $L_1$ , cunoscută sub numele de **distanța Manhattan**.

**35.4-4** Fiind date două puncte  $p_1$  și  $p_2$  în plan,  $\max(|x_1 - x_2|, |y_1 - y_2|)$  este distanța  $L_\infty$  dintre ele. Modificați algoritmul celei mai apropriate perechi să folosească distanța  $L_\infty$ .

## Probleme

### 35-1 Niveluri convexe

Fiind dată o mulțime  $Q$  de puncte în plan, definim **nivelurile convexe** ale lui  $Q$  prin inducție. Primul nivel convex al lui  $Q$  se compune din acele puncte din  $Q$  care sunt vârfuri din  $\text{IC}(Q)$ . Pentru  $i > 1$ , definim mulțimea  $Q_i$  care conține puncte din  $Q$ , mai puțin punctele care au fost în nivelurile convexe  $1, 2, \dots, i-1$ . Atunci, al  $i$ -lea nivel convex al lui  $Q$  este  $\text{IC}(Q_i)$  dacă  $Q_i \neq \emptyset$  și nedefinită altfel.

- a. Dați un algoritm cu timpul de execuție  $O(n^2)$  care determină nivelurile convexe ale unei mulțimi de  $n$  puncte.
- b. Demonstrați că timpul  $\Omega(n \lg n)$  este necesar pentru a calcula nivelurile convexe ale unei mulțimi de  $n$  puncte pe orice model de calcul care necesită un timp  $\Omega(n \lg n)$  pentru a sorta  $n$  numere reale.

### 35-2 Niveluri maximale

Fie  $Q$  o mulțime de  $n$  puncte în plan. Spunem că punctul  $(x, y)$  **domină** punctul  $(x', y')$  dacă  $x \geq x'$  și  $y \geq y'$ . Un punct din  $Q$  care nu este dominat de alte puncte din  $Q$  îl numim punct **maximal**. Observăm că mulțimea  $Q$  poate să conțină mai multe puncte maximale, care pot fi organizate în **niveluri maximale** după cum urmează. Primul nivel maximal  $L_1$  este mulțimea de puncte maximale din  $Q$ . Pentru  $i > 1$ , al  $i$ -lea nivel maximal  $L_i$  este mulțimea de puncte maximale din  $Q - \bigcup_{j=1}^{i-1} L_j$ .

Presupunem că mulțimea  $Q$  are  $k$  niveluri maximale nevide, și fie  $y_i$  coordonata în  $y$  a celui mai din stânga punct din  $L_i$  pentru  $i = 1, 2, \dots, k$ . Presupunem, de asemenea, că două puncte din  $Q$  nu au aceeași coordonată  $x$  sau  $y$ .

- a. Arătați că  $y_1 > y_2 > \dots > y_k$ .

Analizăm un punct  $(x, y)$  care este în stânga față de toate punctele din  $Q$  și pentru care  $y$  este diferit față de coordonata  $y$  a oricărui punct din  $Q$ . Fie  $Q' = Q \cup \{(x, y)\}$ .

- b. Fie  $j$  cel mai mic index, astfel încât  $y_i < y$ , exceptie  $y < y_k$ , caz în care considerăm  $j = k + 1$ . Arătați că nivelurile maximale ale lui  $Q'$  sunt după cum urmează.

- Dacă  $j \leq k$ , atunci nivelurile maximale ale lui  $Q'$  sunt aceleași cu nivelurile maximale ale lui  $Q$ , cu excepția că  $L_j$  îl include și pe  $(x, y)$  ca noul ei punct cel mai din stânga.
- Dacă  $j = k + 1$ , atunci primele  $k$  niveluri maximale ale lui  $Q'$  sunt aceleași cu ale lui  $Q$ , dar, în plus,  $Q'$  are un al  $(k + 1)$ -lea nivel maximal nevid:  $L_{k+1} = (x, y)$ .

- c. Descrieți un algoritm care calculează nivelurile maximale ale unei mulțimi  $Q$  de  $n$  puncte într-un timp  $O(n \lg n)$ . (*Indica ie:* Deplasați o dreaptă de baleiere de la dreapta la stânga.)

- d. Ce dificultăți apar dacă permitem ca punctele de intrare să aibă aceeași coordonată  $x$  sau  $y$ ? Propuneți soluții pentru aceste probleme.

### 35-3 Vânătorii de fantome și fantomele

Un grup de  $n$  vânători de fantome se războiește cu  $n$  fantome. Fiecare vânător este înarmat cu o armă protonică, ce lovește fantoma cu o rază, distrugând-o. Raza se propagă în linie dreaptă și își încheie traiectoria în momentul în care nimerește fantoma. Vânătorii de fantome își aleg una din următoarele strategii. Ei fac perechi cu fantomele, formând  $n$  perechi de vânători-fantome și, în acest fel, simultan, fiecare vânător de fantome va elimina fantoma pereche. Precum se știe, e foarte periculos ca două raze să se intersecteze și, de aceea, vânătorii de fantome trebuie să-și aleagă perechi pentru care nu apar intersecții de raze.

Se presupune că poziția fiecărui vânător de fantome și a fiecărei fantome este un punct fix în plan și că nu există trei puncte coliniare.

- a. Demonstrați că există o linie care trece printr-un vânător de fantome și printr-o fantomă, astfel încât numărul vânătorilor de fantome aflați de o parte a liniei este egal cu numărul fantomelor aflate de aceeași parte. Descrieți cum se poate determina o astfel de linie într-un timp  $O(n \lg n)$ .
- b. Se cere un algoritm de timp  $O(n^2 \lg n)$  care să echivaleze numărul vânătorilor de fantome cu numărul fantomelor în aşa fel, încât să nu se intersecteze nici o rază.

### 35-4 Distribuție învelită rar

Analizăm problema calculării învelitorii convexe a unei mulțimi de puncte din plan care au fost obținute conform unor distribuții aleatoare cunoscute. Câteodată, învelitoarea convexă a  $n$  puncte care au fost obținute dintr-o astfel de distribuție, are dimensiunea  $O(n^{1-\varepsilon})$  pentru o constantă  $\varepsilon > 0$  oarecare. Numim aceasta o distribuție **învelită rar**. Distribuțiile învelite rar includ următoarele:

- Punctele au fost obținute uniform dintr-o rază unitate a discului. Învelitoarea convexă are dimensiunea  $\Theta(n^{1/3})$ .

- Punctele au fost obținute uniform din interiorul unui poligon convex având  $k$  laturi, oricare ar fi  $k$  constant. Învelitoarea convexă are dimensiunea  $\Theta(\lg n)$ .
  - Punctele au fost obținute după o distribuție normală bidimensională. Învelitoarea convexă are dimensiunea  $\Theta(\sqrt{\lg n})$ .
- a. Se dau două poligoane convexe cu  $n_1$ , respectiv  $n_2$  vârfuri. Arătați cum se calculează învelitoarea convexă a celor  $n_1 + n_2$  puncte într-un timp  $O(n_1 + n_2)$ . (Poligoanele se pot suprapune.)
- b. Arătați că învelitoarea convexă a unei mulțimi de  $n$  puncte obținute independent, conform unei distribuții învelite rar, poate fi calculată într-un timp  $O(n)$ . (*Indica ie:* Determinați recursiv învelitoarea convexă pentru primele  $n/2$  puncte și apoi pentru ultimele  $n/2$  puncte și apoi combinați rezultatele.)

## Note bibliografice

Acest capitol este doar un punct de pornire pentru algoritmii și tehniciile geometriei computaționale. Dintre cărțile de geometrie computațională amintim Preparata și Shamos [160] și Edelsbrunner [60].

Cu toate că geometria a fost studiată încă din antichitate, dezvoltarea de algoritmi pentru problemele geometrice este relativ nouă. Preparata și Shamos afirmă că prima referire la complexitatea unei probleme a fost dată de E. Lemoine în 1902. El a studiat construcțiile euclidiene – cele care se pot realiza cu ajutorul riglei și compasului în plan – și a formulat cinci primitive: se pune un picior al compasului într-un punct dat, se pune un picior pe o dreaptă dată, se trasează cercul, se pune rigla într-un punct dat și se trasează o dreaptă. Lemoine a studiat care este numărul de primitive necesar pentru a efectua o construcție dată; el numește acest număr “simplitatea” construcției.

Algoritmul care determină dacă orice două segmente se intersectează, din secțiunea 35.2, se datorează lui Shamos și Hoey [176].

Versiunea originară a scanării lui Graham este dată în Graham [91]. Algoritmul de împachetare este datorat lui Jarvis [112]. Folosind ca model un arbore de decizie, Yao [205] demonstrează că  $\Omega(n \lg n)$  este marginea inferioară pentru timpul de execuție al oricărui algoritm de determinare a învelitorii convexe. Când se ține cont de numărul de vârfuri  $h$  ale învelitorii convexe, algoritmul trunchiază-și-caută al lui Kirkpatrick și Seidel [120], care necesită un timp  $O(n \lg h)$ , este asimptotic optimal.

Timpul de execuție  $O(n \lg n)$  necesar algoritmului divide și stăpânește pentru determinarea celei mai apropiate perechi de puncte este dat de Shamos și se găsește în Preparata și Shamos [160]. Preparata și Shamos arată, de asemenea, că algoritmul este asimptotic optimal într-un model arbore de decizie.

---

## 36 NP-completitudine

Toți algoritmii studiați până acum au fost *algoritmi cu timp de execuție polinomial*: pentru date de intrare de mărime  $n$ , ordinul de complexitate în cel mai defavorabil caz este  $O(n^k)$ , unde  $k$  este o constantă. Este normal să ne punem întrebarea dacă *toate* problemele pot fi rezolvate în timp polinomial. Răspunsul este negativ. Există probleme care nu pot fi rezolvate de nici un calculator indiferent de timpul acordat pentru găsirea unei soluții. Un exemplu, în acest sens, este faimoasa “problemă a șovăielii” propusă de Turing. Există, de asemenea, probleme care pot fi rezolvate, dar nu au ordinul de complexitate de forma  $O(n^k)$ ,  $k$  constant. O problemă rezolvabilă în timp polinomial o vom numi problemă accesibilă, iar una al cărei ordin de complexitate depinde de o funcție suprapolinomială o vom numi problemă inaccesibilă.

Subiectul acestui capitol îl constituie o clasă foarte interesantă de probleme, așa-numitele probleme “NP-complete”, al căror statut este necunoscut. Până în prezent, nu s-a descoperit nici un algoritm polinomial pentru rezolvarea unei astfel de probleme, dar nimeni nu a reușit să demonstreze că există o limită inferioară pentru timpul suprapolinomial care este necesar rezolvării acesteia. Această așa-numită problemă  $P \neq NP$  reprezintă, încă de la formularea ei în 1971, unul dintre cele mai interesante subiecte deschise în algoritmica teoretică.

Cei mai mulți informaticieni cred că problemele NP-complete sunt inaccesibile. Explicația este că, dacă se descoperă o rezolvare polinomială pentru o singură problemă NP-completă, atunci, poate fi găsit un algoritm polinomial pentru rezolvarea *oricărei* alte probleme din această clasă. Datorită vastei arii pe care o acoperă problemele NP-complete care au fost studiate până acum fără să fi apărut nici un progres în direcția găsirii unei rezolvări polinomiale pentru vreuna dintre ele, ar fi într-adevăr uluitor ca toate să poată fi totuși rezolvate în timp polinomial.

Pentru a deveni un bun programator, trebuie să înțelegeți noțiunile de bază ale teoriei NP-completitudinii. Pentru a afirma că o problemă este NP-completă, trebuie dată o demonstrație a inaccesibilității sale. Pentru un inginer, ar fi mai bine să-și petreacă timpul dezvoltând un algoritm de aproximare (vezi capitolul 37) decât să caute un algoritm rapid care să dea o soluție exactă. Mai mult, un număr mare de probleme obișnuite și interesante, care la prima vedere nu par a fi mai dificile decât o sortare, o căutare în grafuri sau un flux în rețea, sunt, de fapt, NP-complete. Așadar este important să vă familiarizați cu această clasă remarcabilă de probleme.

În acest capitol vor fi studiate aspecte ale NP-completitudinii care se referă la analiza algoritmilor. În secțiunea 36.1 vom da o definiție a noțiunii de “problemă”, vom defini clasa de complexitate  $P$  a problemelor de decizie rezolvabile în timp polinomial. Vom vedea, de asemenea, care este locul acestor noțiuni în cadrul teoriei limbajelor formale. În secțiunea 36.2 se definește clasa  $NP$  a problemelor de decizie ale căror soluții pot fi verificate în timp polinomial. Tot aici, vom pune și întrebarea  $P \neq NP$ .

În secțiunea 36.3 se arată cum pot fi studiate legăturile dintre probleme prin intermediul “reducerilor” în timp polinomial. Este definită NP-completitudinea și se schițează o demonstrație a faptului că o problemă, numită “problema satisfiabilității circuitului”, este NP-completă. După ce am demonstrat inaccesibilitatea unei probleme, în secțiunea 36.4 vom arăta cum poate fi demonstrat faptul că o problemă este NP-completă folosind metoda reducerii. Metodologia este ilustrată prin demonstrarea faptului că alte două probleme de satisfiabilitate sunt NP-complete. În secțiunea 36.5 se demonstrează NP-completitudinea altor probleme.

### 36.1. Timpul polinomial

Începem studiul NP-completitudinii definind noțiunea de problemă rezolvabilă în timp polinomial. Aceste probleme sunt, în general, privite ca fiind accesibile, din motive mai mult filosofice decât matematice. Putem oferi trei argumente pentru ca problemele rezolvabile în timp polinomial să fie considerate accesibile.

În primul rând, chiar dacă ar fi rezonabil să considerăm o problemă cu ordinul de complexitate  $\Theta(n^{100})$  ca fiind inaccesibilă, există foarte puține probleme practice rezolvabile într-un timp care să depindă de o funcție polinomială al cărei grad este atât de mare. Problemele rezolvabile în timp polinomial întâlnite în practică necesită, în marea majoritate a cazurilor, mult mai puțin timp pentru a fi rezolvate.

În al doilea rând, pentru multe modele de calcul, o problemă care poate fi rezolvată în timp polinomial folosind un model de calcul, va putea fi rezolvată în timp polinomial folosind orice alt model de calcul. De exemplu, clasa problemelor rezolvabile în timp polinomial cu ajutorul mașinilor seriale cu acces direct coincide cu clasa problemelor rezolvabile în timp polinomial cu ajutorul mașinilor virtuale Turing.<sup>1</sup> Această clasă coincide, de asemenea, cu clasa problemelor rezolvabile în timp polinomial folosind un calculator care are posibilitatea procesării paralele, chiar dacă numărul procesoarelor crește după o funcție polinomială care depinde de mărimea intrării.

În al treilea rând, clasa problemelor rezolvabile în timp polinomial are câteva proprietăți de închidere interesante, deoarece polinoamele sunt multimi închise în cazul adunării, înmulțirii și al compunerii. De exemplu, dacă ieșirea unui algoritm polinomial este considerată intrare pentru un alt algoritm polinomial, atunci algoritmul rezultat va fi unul polinomial. De asemenea, dacă un algoritm polinomial apelează de un număr constant de ori subrute polinomiale, atunci, algoritmul rezultat este polinomial.

### Probleme abstracte

Pentru a înțelege clasa problemelor rezolvabile în timp polinomial trebuie, pentru început, să definim noțiunea de “problemă”. Definim o **problemă abstractă**  $Q$  ca fiind o relație binară între mulțimea  $I$  a *instanțelor* problemei și mulțimea  $S$  a *soluțiilor* problemei. De exemplu, să considerăm problema DRUM-MINIM care cere determinarea celui mai scurt drum dintre două noduri ale unui graf neorientat fără costuri,  $G = (V, E)$ . O instanță a acestei probleme este un triplet format dintr-un graf și două noduri. O soluție este o secvență de noduri ale grafului sau, probabil, o secvență vidă în cazul în care nu există drum între cele două noduri. Însăși problema DRUM-MINIM este relația care asociază fiecărei instanțe formate dintr-un graf și două noduri o soluție care precizează cel mai scurt drum care unește cele două noduri. Deoarece, drumurile minime nu sunt, în mod obligatoriu, unice, o anumită instanță dată a problemei poate avea mai multe soluții.

Această formulare a definiției unei probleme abstracte este mai generală decât este nevoie pentru ca scopul acestei cărți să fie atins. Pentru a simplifica lucrurile, teoria NP-completitudinii se referă numai la **problemele de decizie**: cele care au soluții de tipul da/nu. În acest caz, putem privi o problemă abstractă de decizie ca fiind o funcție având ca domeniu mulțimea  $I$  a

<sup>1</sup>vezi Hopcroft și Ullman [104] sau Lewis și Papadimitriou [139] pentru detalii despre modelul mașinii Turing.

instantelor problemelor, codomeniul fiind multimea  $\{0, 1\}$ . De exemplu, o problemă de decizie DRUM care se referă la drumul minim într-un graf ar putea fi formulată astfel: “Dându-se un graf  $G = (V, E)$ , două vârfuri  $u, v \in V$  și un număr întreg nenegativ  $k$ , aflați dacă există un drum în  $G$ , între  $u$  și  $v$ , a cărui lungime este cel mult  $k$ .” Dacă  $i = \langle G, u, v, k \rangle$  este o instanță a acestei probleme, atunci  $\text{DRUM}(i) = 1$  (da), dacă drumul minim dintre  $u$  și  $v$  are cel mult lungimea  $k$  și  $\text{DRUM}(i) = 0$  (nu), în caz contrar.

Multe probleme abstracte nu sunt probleme de decizie, ci, în cele mai multe cazuri, **probleme de optim**, caz în care o anumită valoare trebuie să fie minimizată sau maximizată. Pentru a putea aplica teoria NP-completitudinii în cazul problemelor de optim, trebuie să le transformăm în probleme de decizie. Modalitatea uzuală de a transforma o problemă de optim într-o problemă de decizie este impunerea, pentru valoarea care trebuie optimizată, a unei limite inferioare, în cazul problemelor de maximizare, sau a uneia superioare, în cazul problemelor de minimizare. Un exemplu ar fi transformarea problemei drumului minim în problema de decizie DRUM prin impunerea limitei superioare  $k$ .

Cu toate că teoria NP-completitudinii ne obligă să transformăm problemele de optim în probleme de decizie, aceasta nu diminuează importanța pe care o are această teorie. În general, dacă putem rezolva rapid o problemă de optim, atunci, vom putea rezolva problema de decizie corespunzătoare la fel de rapid. Va trebui doar să impunem, ca limită a valorii care trebuie optimizată, exact valoarea obținută în urma rezolvării problemei de optim. Dacă o problemă de optim este ușor de rezolvat, atunci și problema de decizie corespunzătoare este ușor de rezolvat. Această afirmație, exprimată într-un mod care are o relevanță pentru NP-completitudine, devine: dacă se poate demonstra că o problemă de decizie este greu de rezolvat, atunci se va putea demonstra și că problema de optim corespunzătoare este greu de rezolvat. Așadar, chiar dacă teoria NP-completitudinii își limitează atenția la problemele de decizie, aria ei de aplicabilitate este mult mai mare.

## Codificări

Dacă un program trebuie să rezolve o problemă abstractă, atunci, instantele problemei trebuie să poată fi reprezentate astfel încât programul să fie capabil să le înțeleagă. O **codificare** a unei multimi  $S$  de obiecte abstracte este o funcție  $e$ , de la  $S$  la multimea sirurilor binare.<sup>2</sup> De exemplu, o codificare a multimii numerelor naturale  $\mathbb{N} = \{0, 1, 2, 3, 4, \dots\}$  este multimea de siruri  $\{0, 1, 10, 11, 100, \dots\}$ . Folosind această codificare, obținem  $e(17) = 10001$ . Cei care au aruncat o privire asupra reprezentărilor caracterelor de pe tastatură sunt familiarizați cu unul din codurile ASCII sau EBCDIC. În cod ASCII, avem  $e(A) = 1000001$ . Chiar și un obiect compus poate fi codificat folosind siruri prin combinarea reprezentărilor părților componente. Poligoanele, grafurile, funcțiile, perechile ordonate sau programele pot fi toate codificate ca siruri binare.

Așadar, un algoritm care “rezolvă” probleme de decizie abstracte cu ajutorul unui calculator, are ca intrare o codificare a instanței problemei. Vom numi **problemă concretă** o problemă a cărei multime a instantelor este o multime de siruri binare. Spunem că un algoritm **rezolvă** o problemă concretă în timp  $O(T(n))$  dacă, atunci când este dată o instanță  $i$  de lungime  $n = |i|$ , algoritmul va găsi o soluție cel mult într-un timp  $O(T(n))$ .<sup>3</sup>

<sup>2</sup>Codomeniul lui  $e$  nu trebuie să conțină siruri binare, orice multime de siruri peste un alfabet finit, având cel puțin două simboluri, fiind potrivită.

<sup>3</sup>Presupunem că ieșirea algoritmului este separată de intrare. Deoarece este nevoie de cel puțin un pas pentru determinarea fiecărui bit al ieșirii și există  $O(T(n))$  pași, mărimea ieșirii este  $O(T(n))$ . O problemă concretă este

Acum putem defini **clasa de complexitate P** ca fiind mulțimea problemelor concrete de decizie care sunt rezolvabile în timp polinomial.

Putem folosi codificări pentru a stabili o corespondență între problemele abstracte și problemele concrete. Dându-se o problemă de decizie abstractă  $Q$  care stabilăște o funcție de la mulțimea  $I$  a instanțelor la mulțimea  $\{0, 1\}$ , o codificare  $e : I \rightarrow \{0, 1\}^*$  poate fi folosită pentru a găsi problema concretă de decizie corespunzătoare pe care o vom nota cu  $e(Q)$ . Dacă soluția unei instanțe  $i \in I$  a problemei abstracte este  $Q(i) \in \{0, 1\}$ , atunci, soluția instanței  $e(i) \in \{0, 1\}^*$  este, de asemenea,  $Q(i)$ . Ca un detaliu tehnic, putem aminti faptul că pot exista unele siruri binare care nu reprezintă o instanță a problemei abstracte. Pentru comoditate, vom considera că funcția-problemă asociază unui astfel de sir valoarea 0. Așadar o problemă concretă are aceleași soluții ca și problema abstractă corespunzătoare, dacă instanțele formate din siruri binare reprezintă codificări ale instanțelor problemei abstracte.

Am vrea să extindem definiția rezolvabilității în timp polinomial de la problemele concrete la cele abstracte folosind codificarea ca o punte de legătură între aceste tipuri de probleme, dar am dori, totodată, ca definiția să nu depindă de vreo codificare particulară. Aceasta înseamnă că eficiența cu care este rezolvată o problemă nu ar trebui să depindă de codificarea aleasă. Din nefericire, această eficiență depinde însă destul de mult de modul în care sunt codificate datele. De exemplu, să presupunem că intrarea pentru un anumit algoritm este numărul întreg  $k$  și că timpul de execuție este  $\Theta(k)$ . Dacă numărul întreg  $k$  va fi reprezentat **unar**, atunci, ordinul de complexitate va fi  $O(n)$  unde  $n$  este lungimea intrării. Dacă numărul întreg va fi reprezentat în baza 10, atunci, lungimea intrării va fi  $n = \lfloor \lg k \rfloor + 1$ . În acest caz, ordinul de complexitate va fi  $\Theta(k) = \Theta(2^n)$ , adică un timp exponențial față de lungimea intrării. Deci, în funcție de codificarea aleasă, programul care va implementa algoritmul se va executa fie în timp polinomial, fie în timp suprapolinomial.

Codificarea unei probleme abstracte are o importanță deosebită pentru înțelegerea noțiunii de timp polinomial. Nu putem vorbi despre rezolvarea unei probleme abstracte fără să specificăm mai întâi care va fi codificarea acesteia. Cu toate acestea, în practică, dacă excludem codificările "costisitoare" cum ar fi cele unare, codificarea unei probleme nu are o prea mare influență asupra complexității algoritmului. De exemplu, în cazul în care întregii sunt reprezentați în baza 3 în loc de baza 2, timpul de execuție va rămâne polinomial și pentru baza 3 dacă a fost polinomial pentru baza 2, deoarece un întreg în baza 3 poate fi convertit în baza 2 într-un timp polinomial.

Spunem că o funcție  $f : \{0, 1\}^* \rightarrow \{0, 1\}^*$  este **calculabilă în timp polinomial** dacă există un algoritm în timp polinomial A, pentru care, dându-se o intrare  $x \in \{0, 1\}^*$ , ieșirea produsă este  $f(x)$ . Pentru o mulțime  $I$  a instanțelor unei probleme, spunem că două codificări  $e_1$  și  $e_2$  sunt **asociate polinomial** dacă există două funcții calculabile în timp polinomial  $f_{12}$  și  $f_{21}$  astfel încât, pentru orice  $i \in I$ , să fie satisfăcute relațiile  $f_{12}(e_1(i)) = e_2(i)$  și  $f_{21}(e_2(i)) = e_1(i)$ . Aceasta ar însemna că una dintre codificări poate fi determinată cu ajutorul celeilalte în timp polinomial. Dacă două codificări  $e_1$  și  $e_2$  ale unei probleme abstracte sunt asociate polinomial, atunci nu are nici o importanță care dintre ele este folosită, algoritmul fiind sau polinomial pentru ambele codificări, sau suprapolinomial. Acest rezultat este demonstrat în lema următoare.

**Lema 36.1** Fie  $Q$  o problemă abstractă de decizie,  $I$  mulțimea instanțelor sale, și  $e_1$  și  $e_2$  două codificări pentru  $I$  asociate polinomial. Atunci  $e_1(Q) \in P$  dacă și numai dacă  $e_2(Q) \in P$ .

---

**rezolvabilă în timp polinomial** dacă există un algoritm care găsește o rezolvare într-un timp de ordinul  $O(n^k)$ ,  $k$  fiind o constantă.

**Demonstratie.** Este nevoie să demonstrăm implicația doar într-un singur sens deoarece implicațiile sunt simetrice. Să presupunem deci, că  $e_1(Q)$  poate fi rezolvată în timp  $O(n^k)$ , cu  $k$  constant. Presupunem, totodată, că, pentru o instanță  $i$ , codificarea  $e_1(i)$  poate fi determinată din codificarea  $e_2(i)$  într-un timp  $O(n^c)$ , cu  $c$  constant, unde  $n = |e_2(i)|$ . Pentru a rezolva problema folosind codificarea  $e_2(Q)$ , pentru o intrare  $e_2(i)$ , calculăm mai întâi  $e_1(i)$  și apoi rulăm algoritmul pentru  $e_1(Q)$  și intrarea  $e_1(i)$ . Să calculăm acum timpul necesar acestor operații. Pentru schimbarea codificării avem nevoie de un timp  $O(n^c)$ , aşadar  $|e_1(i)| = O(n^c)$ , deoarece ieșirea unui calculator serial nu poate fi mai mare decât timpul său de execuție. Rezolvarea problemei pentru  $e_1(i)$  poate fi făcută într-un timp  $O(|e_1(i)|^k) = O(n^{ck})$ , ceea ce reprezintă un timp polinomial deoarece atât  $c$ , cât și  $k$ , sunt constante. ■

Așadar, nu contează dacă instanțele unei probleme sunt codificate în baza 2 sau în baza 3, “complexitatea” problemei nefiind afectată de acest fapt, adică va fi polinomială sau suprapolinomială în ambele situații. Totuși, dacă instanțele sunt codificate unar, complexitatea algoritmului s-ar putea schimba. Pentru a putea face conversii într-un mod independent de codificare, vom presupune, în general, că instanțele problemelor sunt codificate într-o manieră rezonabilă și concisă, dacă nu este specificat contrariul. Pentru a fi mai exacți, vom presupune că o codificare aleasă pentru un întreg este asociată polinomial cu reprezentarea în baza 2 a întregului, și că o codificare a unei multimi finite este asociată polinomial cu codificarea ei ca listă a elementelor componente, cuprinse între acolade și separate prin virgule. (ASCII este o astfel de schemă de codificare.) Având la dispoziție un astfel de “standard” pentru codificări, putem obține codificări rezonabile pentru alte obiecte matematice cum ar fi tuplele, grafurile și formulele. Pentru a simboliza codificarea unui obiect, vom scrie simbolul obiectului între paranteze unghiulare. Deci,  $\langle G \rangle$  va simboliza codificarea standard a grafului  $G$ .

Atât timp cât folosim, în mod implicit, o codificare care este asociată polinomial cu o codificare standard, putem vorbi, direct, despre probleme abstrakte fără a mai face referire la codificări particulare, știind că alegerea unei anumite codificări nu are nici un efect asupra complexității algoritmului. De aici înainte vom presupune că, în general, instanțele unei probleme sunt codificate prin siruri binare, folosind codificarea standard, dacă nu se precizează contrariul în mod explicit. De asemenea, vom neglijă diferența dintre problemele abstrakte și problemele concrete. Cititorul ar trebui să fie atent la problemele practice pentru care codificarea standard nu este evidentă și pentru care alegerea unei anumite codificări are efecte asupra complexității algoritmului.

## Limbaje formale

Unul dintre aspectele cele mai avantajoase în rezolvarea problemelor de decizie îl reprezintă faptul că sunt foarte ușor de folosit uneltele oferite de teoria limbajelor formale. Merită, deci, să recapitulăm câteva definiții care apar în cadrul acestei teorii. Un **alfabet**  $\Sigma$  este o mulțime finită de simboluri. Un **limbaj**  $L$  peste  $\Sigma$  este orice mulțime de siruri formate din simboluri din  $\Sigma$ . De exemplu, dacă  $\Sigma = \{0, 1\}$ , atunci, mulțimea  $L = \{10, 11, 101, 111, 1011, 1101, 10001, \dots\}$  este limbajul reprezentării binare a numerelor prime. Simbolizăm **sirul vid** prin  $\varepsilon$  și **limbajul vid** prin  $\emptyset$ . Limbajul tuturor sirurilor peste  $\Sigma$  este notat prin  $\Sigma^*$ . De exemplu, dacă  $\Sigma = \{0, 1\}$ , atunci,  $\Sigma^* = \{\varepsilon, 0, 1, 00, 01, 10, 11, 000, \dots\}$  este mulțimea tuturor sirurilor binare. Orice limbaj  $L$  peste  $\Sigma$  este o submulțime a lui  $\Sigma^*$ .

Există o varietate mare de operații cu limbaje. Operații din teoria mulțimilor cum ar

fi **reuniunea** și **intersecția** rezultă, direct, din definirea teoretică a multimilor. Definim **complementul** lui  $L$  prin  $\bar{L} = \Sigma^* - L$ . **Concatenarea** a două limbaje  $L_1$  și  $L_2$  este limbajul

$$L = \{x_1 x_2 : x_1 \in L_1 \text{ și } x_2 \in L_2\}.$$

**Închiderea** sau **steaua Kleene** a unui limbaj  $L$  este limbajul

$$L^* = \{\varepsilon\} \cup L \cup L^2 \cup L^3 \cup \dots,$$

unde  $L^k$  este limbajul obținut prin concatenarea limbajului  $L$  cu el însuși de  $k$  ori.

Din punct de vedere al teoriei limbajelor, mulțimea instanțelor unei probleme  $Q$  este mulțimea  $\Sigma^*$ , unde  $\Sigma = \{0, 1\}$ . Datorită faptului că problema  $Q$  este total caracterizată prin acele instanțe care duc la obținerea rezultatului 1 (da), putem privi mulțimea  $Q$  ca fiind un limbaj  $L$  peste  $\Sigma = \{0, 1\}$ , unde

$$L = \{x \in \Sigma^* : Q(x) = 1\}.$$

De exemplu, problema de decizie DRUM are ca limbaj corespunzător limbajul

$$\begin{aligned} \text{DRUM} = \{\langle G, u, v, k \rangle &: G = (V, E) \text{ este un graf neorientat, } u, v \in V, \\ &k \geq 0 \text{ este un întreg, și} \\ &\text{există un drum de la } u \text{ la } v \text{ în } G \text{ a cărui lungime este cel mult } k\}. \end{aligned}$$

(Unde este convenabil vom folosi același nume – DRUM în acest caz – pentru a ne referi atât la problema de decizie cât și la limbajul corespunzător.)

Limbajele formale ne permit să exprimăm relații între problemele de decizie și anumiți algoritmi care le rezolvă. Spunem că un algoritm  $A$  **acceptă** un sir  $x \in \{0, 1\}^*$  dacă, dându-se o intrare  $x$ , ieșirea algoritmului este  $A(x) = 1$ . Limbajul **acceptat** de un algoritm  $A$  este mulțimea  $L = \{x \in \{0, 1\}^* : A(x) = 1\}$ , adică mulțimea sirurilor pe care algoritmul le acceptă. Un algoritm  $A$  **respinge** un sir  $x$  dacă  $A(x) = 0$ .

Chiar dacă limbajul  $L$  este acceptat de un algoritm  $A$ , algoritmul nu va respinge neapărat un sir  $x \notin L$  care îi este dat ca intrare. De exemplu algoritmul ar putea intra în ciclu infinit. Un limbaj  $L$  este **clarificat** de un algoritm  $A$  dacă fiecare sir binar din  $L$  este acceptat de către  $A$  și fiecare sir binar care nu este în  $L$  este respins de către  $A$ . Un limbaj  $L$  este **acceptat în timp polinomial** de către un algoritm  $A$  dacă există o constantă  $k$  astfel încât, pentru orice sir binar  $x$  de lungime  $n$  din  $L$ , algoritmul îl acceptă pe  $x$  în timp  $O(n^k)$ . Un limbaj  $L$  este **clarificat în timp polinomial** de către un algoritm  $A$  dacă, pentru orice sir  $x \in \{0, 1\}^*$  de lungime  $n$ , algoritmul decide în mod corect dacă  $x \in L$  într-un timp  $O(n^k)$  pentru o constantă  $k$ . Deci, pentru a accepta un limbaj, un algoritm trebuie să trateze numai sirurile din  $L$ , dar pentru a clarifica un limbaj el trebuie să accepte sau să respingă în mod corect orice sir din  $\{0, 1\}^*$ .

De exemplu, limbajul DRUM poate fi acceptat în timp polinomial. Un algoritm polinomial care acceptă limbajul DRUM determină cel mai scurt drum din  $G$ , dintre  $u$  și  $v$ , folosind căutarea în lățime și apoi compară distanța obținută cu  $k$ . Dacă distanța este cel mult  $k$  atunci algoritmul furnizează ieșirea 1 și se oprește. În caz contrar, algoritmul va intra în ciclu infinit. Acest algoritm nu clarifică DRUM deoarece nu furnizează ieșirea 0 în cazul în care cel mai scurt drum are o lungime mai mare decât  $k$ . Un algoritm care clarifică DRUM trebuie să respingă în mod explicit sirurile binare care nu fac parte din DRUM. Pentru o problemă de decizie cum este DRUM, un

algoritm care clarifică limbajul DRUM este ușor de proiectat. Pentru alte probleme cum ar fi problema șovăielii a lui Turing există un algoritm de acceptare, dar nu există unul de clarificare.

Putem defini **clasa de complexitate** ca fiind o mulțime de limbaje pentru care apartenența unui element este determinată de o **măsură a complexității** unui algoritm (cum ar fi timpul de execuție) care determină dacă un sir dat  $x$  aparține sau nu limbajului  $L$ . Definiția riguroasă a clasei de complexitate este una mult mai tehnică – cititorii interesați pot consulta o lucrare ai cărei autori sunt Hartmanis și Stearns [95].

Folosind teoria limbajelor formale, putem da o definiție alternativă a clasei de complexitate  $P$ :

$$P = \{L \subseteq \{0, 1\}^* : \text{există un algoritm } A \text{ care clarifică } L \text{ în timp polinomial}\}.$$

De fapt,  $P$  este și clasa limbajelor care pot fi acceptate în timp polinomial.

**Teorema 36.2**  $P = \{L : L \text{ este acceptat de un algoritm care se execută în timp polinomial}\}$ .

**Demonstrație.** Deoarece clasa limbajelor care pot fi clarificate în timp polinomial de către un algoritm este o submulțime a clasei limbajelor care pot fi acceptate în timp polinomial de către un algoritm, este suficient să arătăm că, dacă  $L$  este acceptat de un algoritm polinomial, el poate fi clarificat într-un timp polinomial. Fie  $L$  un limbaj acceptat în timp polinomial de către un algoritm  $A$ . Vom da o demonstrație clasică de “simulare” pentru a construi un alt algoritm  $A'$  care clarifică  $L$ . Datorită faptului că  $A$  acceptă  $L$  într-un timp  $O(n^k)$ , cu  $k$  constant, există o constantă  $c$  astfel încât  $A$  acceptă  $L$  în cel mult  $T = cn^k$  pași. Pentru fiecare sir  $x$  furnizat la intrare, algoritmul  $A'$  simulează acțiunile realizate de algoritmul  $A$  pentru un timp  $T$ . La sfârșitul acestui interval de timp  $T$ , algoritmul  $A'$  verifică algoritmul  $A$ . Dacă  $A$  l-a acceptat pe  $x$ ,  $A'$  îl acceptă pe  $x$  și furnizează ieșirea 1. Dacă  $A$  nu l-a acceptat pe  $x$ ,  $A'$  îl respinge pe  $x$  și furnizează ieșirea 0. Faptul că  $A'$  simulează  $A$  nu crește timpul de execuție decât, cel mult, cu un factor polinomial, deci  $A'$  este un algoritm polinomial care îl clarifică pe  $L$ . ■

Trebuie remarcat faptul că demonstrația teoremei 36.2 este una neconstructivă. Pentru un limbaj  $L \in P$ , s-ar putea să nu cunoaștem o limită pentru timpul de execuție al algoritmului  $A$  care îl acceptă pe  $L$ . Totuși, știm că o astfel de limită există și, ca urmare, există și un algoritm  $A'$  care verifică existența acestei limite, chiar dacă găsirea algoritmului  $A'$  nu este o sarcină ușoară.

## Exerciții

**36.1-1** Definiți problema de optimizare LUNGIMEA-CELUI-MAI-LUNG-DRUM ca o relație ce asociază fiecare instantă a unui graf neorientat și a două noduri cu lungimea celui mai lung drum elementar dintre cele două noduri. Definiți problema de decizie CEL-MAI-LUNG-DRUM =  $\{\langle G, u, v, k \rangle : G = (V, E) \text{ este un graf neorientat, } u, v \in V, k \geq 0 \text{ este un număr întreg, și există un drum elementar de la } u \text{ la } v \text{ în } G \text{ a cărui lungime este cel puțin } k\}$ . Arătați că problema LUNGIMEA-CELUI-MAI-LUNG-DRUM poate fi rezolvată în timp polinomial dacă și numai dacă, CEL-MAI-LUNG-DRUM  $\in P$ .

**36.1-2** Dați o definiție pentru problema găsirii celui mai lung ciclu elementar într-un graf neorientat. Formulați problema de decizie corespunzătoare. Precizați care este limbajul corespunzător problemei de decizie.

**36.1-3** Realizați o codificare pentru grafurile orientate ca siruri binare folosind reprezentarea prin matrice de adiacență. Realizați același lucru folosind reprezentarea prin liste de adiacență. Demonstrați că cele două codificări sunt asociate polinomial.

**36.1-4** Este algoritmul de programare dinamică a problemei 0-1 a rucsacului cerut la exercițiul 17.2-2 un algoritm polinomial? Justificați răspunsul.

**36.1-5** Să presupunem că există un limbaj  $L$  pentru care există un algoritm care acceptă orice sir  $x \in L$  în timp polinomial, dar acest algoritm se execută în timp suprapolinomial dacă  $x \notin L$ . Demonstrați că  $L$  poate fi clarificat în timp polinomial.

**36.1-6** Demonstrați că un algoritm care face cel mult un număr constant de apeluri la subroutine polinomiale se execută în timp polinomial, dar că un număr polinomial de apeluri poate duce la un algoritm care se execută în timp exponential.

**36.1-7** Demonstrați afirmația: clasa P, văzută ca o mulțime de limbaje, este închisă pentru operatorii de reuniune, intersecție, concatenare, complementare sau steaua lui Kleene. Adică, dacă  $L_1, L_2 \in P$ , atunci  $L_1 \cup L_2 \in P$ , etc.

## 36.2. Verificări în timp polinomial

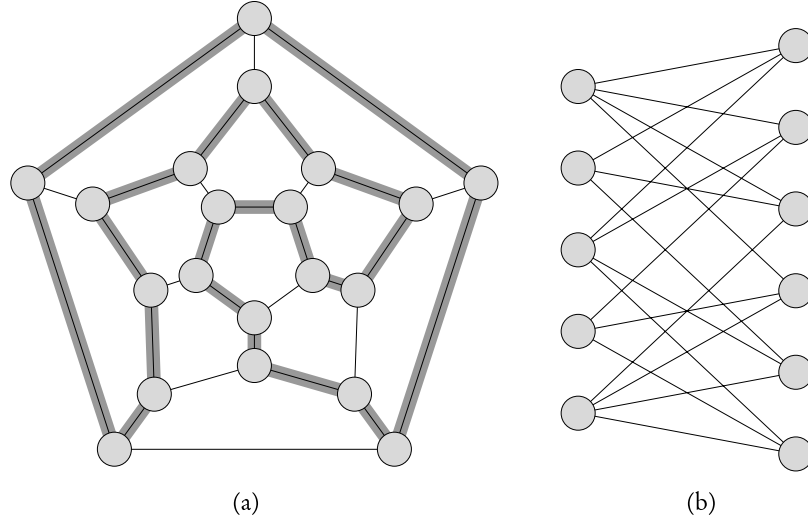
Vom studia, în continuare, algoritmii care “verifică” apartenența la diferite limbaje. De exemplu, să presupunem că, pentru o instanță dată  $\langle G, u, v, k \rangle$  a problemei de decizie DRUM, avem dat și un drum  $d$  de la  $u$  la  $v$ . Putem verifica foarte ușor dacă lungimea lui  $d$  este cel mult  $k$  și, dacă este asta, putem privi  $d$  ca o “probă” a faptului că această instanță aparține intr-adevăr mulțimii DRUM. Pentru problema de decizie DRUM această probă nu ne ajută prea mult. Până la urmă, DRUM aparține clasei P – de fapt, DRUM poate fi rezolvată în timp liniar – aşadar verificarea apartenenței pentru  $d$  ia tot atâta timp cât ar fi necesar pentru rezolvarea problemei initiale. Vom studia acum o problemă pentru care nu se cunoaște încă un algoritm polinomial de clarificare, dar pentru care, dându-se o instanță ca probă, verificarea este foarte ușoară.

### Cicluri hamiltoniene

Problema găsirii unui ciclu hamiltonian într-un graf neorientat a fost studiată încă de acum o sută de ani. Un **ciclu hamiltonian** al unui graf neorientat  $G = (V, E)$  este un ciclu elementar care conține fiecare nod din  $V$ . Un graf care conține un ciclu hamiltonian este numit **graf hamiltonian**; în caz contrar graful este numit **nehamiltonian**. Bondy și Murty [31] citează o scrisoare a lui W. R. Hamilton în care este descris un joc matematic cu un dodecaedru (figura 36.1(a)) în care un jucător fixează cinci ace în oricare cinci vârfuri consecutive, și celălalt trebuie să completeze drumul pentru a forma un ciclu ce conține toate vârfurile. Dodecaedrul este hamiltonian, iar figura 36.1(a) arată un ciclu hamiltonian. Totuși, nu toate grafurile sunt hamiltoniene. De exemplu, figura 36.1(b) arată un graf bipartit cu un număr impar de vârfuri. (Exercițiul 36.2-2 cere să se demonstreze că toate grafurile de acest tip nu sunt hamiltoniene.)

Putem defini **problema ciclului hamiltonian**, “Conține graful  $G$  un ciclu hamiltonian?” ca un limbaj formal:

$$\text{CICLU-HAM} = \{\langle G \rangle : G \text{ este graf hamiltonian}\}.$$



**Figura 36.1** (a) Un graf reprezentând vârfurile, laturile și fețele unui dodecaedru, cu un ciclu hamiltonian vizualizat prin laturi îngroșate. (b) Un graf bipartit cu un număr impar de vârfuri. Orice astfel de graf nu este hamiltonian.

Cum ar putea un algoritm să clarifice limbajul CICLU-HAM? Dându-se o instanță  $\langle G \rangle$  a problemei, un posibil algoritm de clarificare ar determina toate permutările vârfurilor lui  $G$  și apoi ar verifica, pentru fiecare permutare, dacă este un ciclu hamiltonian. Care este timpul de execuție pentru acest algoritm? Dacă folosim o codificare “rezonabilă” pentru graf, cum ar fi matricea de adiacență, atunci numărul  $m$  al vârfurilor din graf este  $\Omega(\sqrt{n})$ , unde  $n = |\langle G \rangle|$  este lungimea codificării lui  $G$ . Există  $m!$  permutări posibile ale vârfurilor, deci timpul de execuție va fi  $\Omega(m!) = \Omega(\sqrt{n}!) = \Omega(2^{\sqrt{n}})$  care nu este de forma  $O(n^k)$ , pentru  $k$  constant. Deci, acest algoritm naiv nu se execută în timp polinomial și, de fapt, problema ciclului hamiltonian este o problemă NP-completă, după cum se va dovedi în secțiunea 36.5.

## Algoritmi de verificare

Să considerăm o problemă puțin mai simplă. Să presupunem că un prieten vă spune că un graf  $G$  este hamiltonian și se oferă să demonstreze acest lucru precizând ordinea în care apar vârfurile în ciclul hamiltonian. Cu siguranță, verificarea demonstrației va fi o sarcină destul de ușoară: se verifică pur și simplu că ciclul furnizat este hamiltonian, verificând dacă acesta reprezintă o permutare a vârfurilor grafului și dacă fiecare din muchiile ciclului există în graf. Acest algoritm de verificare poate fi cu siguranță implementat astfel încât să se execute într-un timp  $O(n^2)$ , unde  $n$  este lungimea codificării lui  $G$ . Deci, o demonstrație a faptului că există un ciclu hamiltonian într-un graf poate fi verificată în timp polinomial.

Definim un **algoritm de verificare** ca fiind un algoritm  $A$  cu doi parametri, unul fiind intrarea obișnuită reprezentată de un sir  $x$ , iar al doilea fiind un alt sir binar  $y$  numit **probă**. Un astfel de algoritm **verifică** o intrare  $x$  dacă există o probă  $y$  astfel încât  $A(x, y) = 1$ . **Limbajul**

*verificat* de un algoritm de verificare  $A$  este

$$L = \{x \in \{0,1\}^*: \text{există } y \in \{0,1\}^* \text{ astfel încât } A(x,y) = 1\}.$$

Intuitiv un algoritm  $A$  verifică un limbaj  $L$  dacă pentru orice sir  $x \in L$ , există o probă  $y$  pe care  $A$  o poate folosi pentru a demonstra că  $x \in L$ . Mai mult, pentru orice sir  $x \notin L$ , nu este permisă existența unei probe care să dovedească faptul că  $x \in L$ . De exemplu, în problema ciclului hamiltonian, proba este lista vârfurilor din ciclul hamiltonian. Dacă un graf este hamiltonian atunci ciclul hamiltonian însuși oferă destule informații pentru ca acest fapt să poată fi verificat. Invers, dacă un graf nu este hamiltonian, nu există nici o listă de vârfuri care ar putea să îșeze algoritmul de verificare făcându-l să creadă că un astfel de graf este hamiltonian, deoarece algoritmul de verificare analizează cu atenție ciclul propus pentru a fi sigur că acesta este hamiltonian.

## Clasa de complexitate NP

**Clasa de complexitate NP** este clasa limbajelor care pot fi verificate de un algoritm în timp polinomial.<sup>4</sup> Mai precis, un limbaj  $L$  aparține clasei NP, dacă și numai dacă există un algoritm polinomial  $A$  cu două intrări și o constantă  $c$  astfel încât

$$L = \{x \in \{0,1\}^* : \text{există o probă } y \text{ cu } |y| = O(|x|^c) \text{ astfel încât } A(x,y) = 1\}.$$

Spunem că algoritmul  $A$  *verifică* limbajul  $L$  *în timp polinomial*.

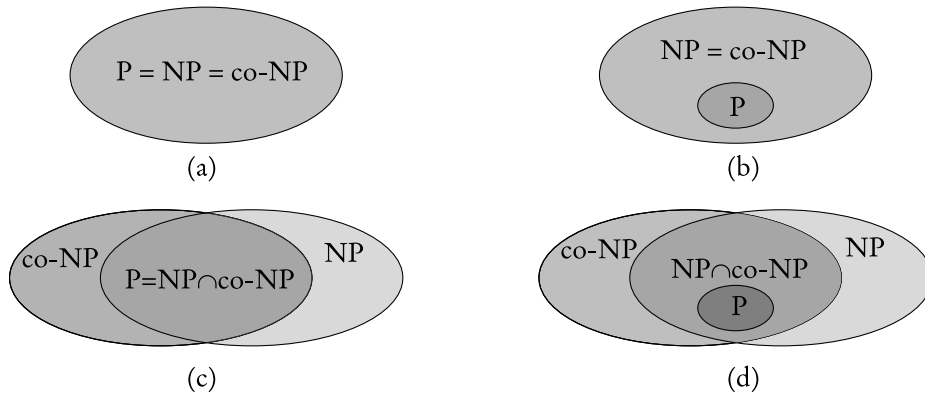
Din discuția anteroară privind ciclul hamiltonian rezultă că CICLU-HAM ∈ NP. (Este întotdeauna îmbucurător să știm că o mulțime importantă nu este vidă.) Mai mult, dacă  $L \in P$ , atunci  $L \in NP$ , deoarece, dacă există un algoritm polinomial care clarifică  $L$ , acest algoritm poate fi foarte ușor transformat într-unul cu doi parametri care ignoră pur și simplu orice probă și acceptă exact acele intrări pe care le determină ca aparținând lui  $L$ . Având în vedere cele de mai sus, putem trage concluzia că  $P \subseteq NP$ .

Nu se știe dacă  $P = NP$ , dar cei mai mulți cercetători cred că  $P \neq NP$  și nu reprezintă aceeași clasă. Intuitiv, clasa  $P$  constă din problemele care pot fi rezolvate rapid. Clasa  $NP$  constă din problemele a căror soluție poate fi verificată rapid. S-ar putea că, din experiență, să știți deja că, de obicei, este mult mai greu să rezolvi o problemă decât să verifici dacă o anumită soluție dată este corectă. Informaticienii cred, în general, că această analogie se extinde asupra claselor  $P$  și  $NP$  și, ca urmare,  $NP$  include limbaje care nu apar în  $P$ .

Există o altă probă atrăgătoare care ne-ar face să credem că  $P \neq NP$  și anume existența limbajelor “NP-complete”. Vom studia această clasă în secțiunea 36.3.

Multe alte întrebări fundamentale pe lângă  $P \neq NP$  rămân fără răspuns. În ciuda muncii depuse de mulți cercetători, nimeni nu știe dacă clasa  $NP$  este închisă față de operatorul complement, respectiv, nu s-a răspuns încă la întrebarea:  $L \in NP$  implică  $\bar{L} \in NP$ ? Putem defini **clasa de complexitate co-NP** ca fiind mulțimea limbajelor  $L$  pentru care  $\bar{L} \in NP$ . Întrebarea dacă  $NP$  este închisă față de operatorul complement poate fi reformulată astfel: sunt mulțimile  $NP$  și  $co-NP$  identice? Deoarece clasa  $P$  este închisă față de complement (exercițiul 36.1-7), rezultă că  $P \subseteq NP \cap co-NP$ . Încă o dată, nu se știe dacă  $P = NP \cap co-NP$  sau dacă există anumite limbaje în mulțimea  $NP \cap co-NP - P$ . Figura 36.2 arată cele 4 posibilități.

<sup>4</sup>Denumirea “NP” provine de la “nedeterminist polinomială”. Clasa  $NP$  a fost studiată, la început, în contextul nedeterminismului, dar această carte folosește noțiunea, într-un anume fel, mai simplă, de verificare. Hopcroft și Ullman [104] prezintă NP-completitudinea în termeni ai modelelor nedeterministe de calcul.



**Figura 36.2** Patru posibile relații între clasele de complexitate. În fiecare diagramă, o regiune care include o altă regiune indică o relație de incluziune. **(a)**  $P = NP = \text{co-NP}$ . Cei mai mulți cercetători privesc această posibilitate ca fiind cea mai puțin probabilă. **(b)** Dacă  $NP$  este închisă față de complement atunci  $NP = \text{co-NP}$ , dar aceasta nu înseamnă că  $P = NP$ . **(c)**  $P = NP \cap \text{co-NP}$ , dar  $NP$  nu este închisă față de complement. **(d)**  $NP \neq \text{co-NP}$  și  $P \neq NP \cap \text{co-NP}$ . Cei mai mulți cercetători privesc această posibilitate ca fiind cea mai probabilă.

Deci, cunoștințele noastre asupra relațiilor precise care există între  $P$  și  $NP$  sunt lacunare. Cu toate acestea, cercetând teoria  $NP$ -completitudinii, vom afla că dezavantajul nostru în a demonstra că o problemă este inaccesibilă este, din punct de vedere practic, mult mai nesemnificativ decât am putea presupune.

### Exerciții

**36.2-1** Să considerăm limbajul  $\text{GRAF-IZO} = \{\langle G_1, G_2 \rangle : G_1$  și  $G_2$  sunt grafuri izomorfe $\}$ . Demonstrați că  $\text{GRAF-IZO} \in \text{NP}$ , descriind un algoritm polinomial pentru verificarea limbajului.

**36.2-2** Demonstrați că, dacă  $G$  este un graf bipartit neorientat cu număr impar de vârfuri,  $G$  nu este hamiltonian.

**36.2-3** Demonstrați că, dacă  $\text{CICLU-HAM} \in \text{P}$ , atunci problema tipăririi în ordine a vârfurilor unui ciclu hamiltonian este rezolvabilă în timp polinomial.

**36.2-4** Demonstrați afirmația: clasa  $NP$  a limbajelor este închisă față de reunioane, intersecție, concatenare și steaua lui Kleene. Discutați închiderea clasei  $NP$  față de complement.

**36.2-5** Demonstrați că, orice limbaj din  $NP$  poate fi clarificat de un algoritm care se va executa într-un timp  $2^{O(n^k)}$ , unde  $k$  este o constantă.

**36.2-6** Un **drum hamiltonian** într-un graf este un drum elementar care vizitează fiecare vârf exact o dată. Demonstrați că limbajul  $\text{DRUM-HAM} = \{\langle G, u, v \rangle : \text{există un drum hamiltonian de la } u \text{ la } v \text{ în graful } G\}$  aparține clasei  $NP$ .

**36.2-7** Arătați că problema drumului hamiltonian poate fi rezolvată în timp polinomial pentru grafuri orientate aciclice. Dați un algoritm eficient pentru această problemă.

**36.2-8** Fie o formulă logică  $\phi$  construită cu ajutorul variabilelor logice de intrare  $x_1, x_2, \dots, x_k$ , operatori de negație ( $\neg$ ), SI-logic ( $\wedge$ ), SAU-logic ( $\vee$ ) și paranteze. Formula  $\phi$  este o **tautologie** dacă ia valoarea 1 pentru orice atribuire de 1 și 0 dată variabilelor de intrare. Definiți TAUTOLOGIE ca limbajul expresiilor logice care sunt tautologii. Arătați că TAUTOLOGIE ∈ co-NP.

**36.2-9** Arătați că  $P \subseteq$  co-NP.

**36.2-10** Arătați că dacă  $NP \neq$  co-NP atunci  $P \neq NP$ .

**36.2-11** Fie  $G$  un graf neorientat conex cu cel puțin trei vârfuri și fie  $G^3$  graful obținut prin unirea tuturor perechilor de vârfuri care sunt unite printr-un drum de lungime cel mult 3. Demonstrați că graful  $G^3$  este hamiltonian. (*Indica ie:* construiți un arbore parțial pentru  $G$  și demonstrați prin inducție.)

### 36.3. NP-completitudine și reductibilitate

Poate că cel mai atrăgător motiv, pentru care informaticienii cred că  $P \neq NP$ , este existența clasei problemelor “NP-complete”. Această clasă are proprietatea surprinzătoare că dacă o *singur* problemă NP-completă poate fi rezolvată în timp polinomial, atunci, pentru *toate* problemele NP-complete se va putea găsi un algoritm de rezolvare polinomial, adică  $P = NP$ . În ciuda anilor de studiu nu s-a descoperit nici un algoritm polinomial pentru rezolvarea vreunei probleme NP-complete.

Limbajul CICLU-HAM este o problemă NP-completă. Dacă am putea clarifica CICLU-HAM în timp polinomial, am putea rezolva orice problemă din NP în timp polinomial. De fapt, dacă s-ar dovedi că mulțimea  $NP - P$  ar fi nevidă, atunci, am putea afirma cu certitudine că CICLU-HAM ∈  $NP - P$ .

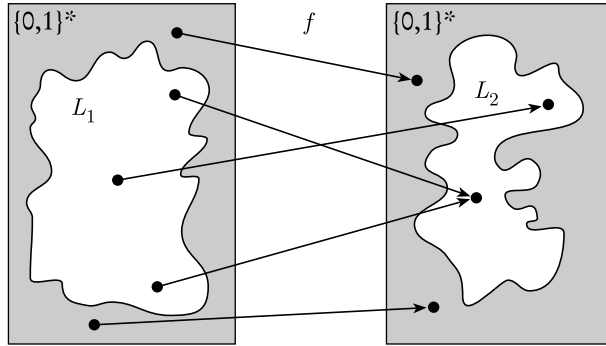
Limbajele NP-complete sunt, într-un anume sens, cele mai “dificile” limbaje din NP. În această secțiune, vom arăta cum putem compara “dificultatea” relativă a limbajelor folosind o noțiune numită “reductibilitate în timp polinomial”. Mai întâi vom defini limbajele NP-complete, apoi vom demonstra că un astfel de limbaj, numit CIRCUIT-SAT este o problemă NP-completă. În secțiunea 36.5 vom folosi noțiunea de reductibilitate pentru a arăta NP-completitudinea altor probleme.

#### Reducibilitate

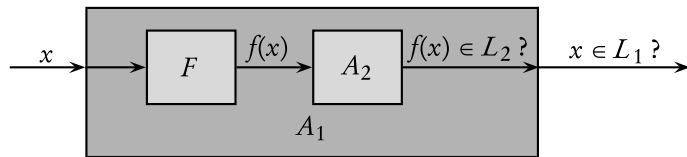
Intuitiv, o problemă  $Q$  poate fi redusă la altă problemă  $Q'$ , dacă orice instanță a lui  $Q$  poate fi “ușor reformulată” ca o instanță a problemei  $Q'$ , iar găsirea unei soluții pentru  $Q'$  va însemna găsirea unei soluții pentru  $Q$ . De exemplu, problema rezolvării ecuațiilor liniare cu o necunoscută  $x$  poate fi redusă la problema rezolvării ecuațiilor pătratice cu o necunoscută. Dându-se o instanță  $ax + b = 0$ , o transformăm în  $0x^2 + ax + b = 0$ , a cărei soluție va fi de asemenea soluție și pentru  $ax + b = 0$ . Deci, dacă o problemă  $Q$  se reduce la o altă problemă  $Q'$ , atunci  $Q$  nu este, într-un anume sens, “mai greu de rezolvat” decât  $Q'$ .

Revenind la limbajele formale pentru probleme de decizie, spunem că un limbaj  $L_1$  este **reductibil în timp polinomial** la un limbaj  $L_2$  dacă există o funcție calculabilă în timp polinomial  $f : \{0, 1\}^* \rightarrow \{0, 1\}^*$  astfel încât pentru orice  $x \in \{0, 1\}^*$ ,

$$x \in L_1 \text{ dacă și numai dacă } f(x) \in L_2. \quad (36.1)$$



**Figura 36.3** Ilustrarea reducerii în timp polinomial a unui limbaj  $L_1$  la un limbaj  $L_2$  prin intermediul funcției de reducere  $f$ . Pentru o intrare  $x \in \{0,1\}^*$ , întrebarea dacă  $x \in L_1$  are același răspuns ca și întrebarea dacă  $f(x) \in L_2$ .



**Figura 36.4** Demonstrația lemei 36.3. Algoritmul  $F$  este un algoritm de reducere care calculează funcția de reducere  $f$  de la  $L_1$  la  $L_2$  în timp polinomial și  $A_2$  este un algoritm polinomial care clarifică  $L_2$ . Este ilustrat un algoritm  $A_1$  care decide dacă  $x \in L_1$  folosind  $F$  pentru a transforma fiecare intrare  $x$  în  $f(x)$  și folosind apoi  $A_2$  pentru a decide dacă  $f(x) \in L_2$ .

Vom folosi notația  $L_1 \leq_P L_2$  pentru a arăta că limbajul  $L_1$  este reductibil în timp polinomial la limbajul  $L_2$ . Funcția  $f$  se numește **funcție de reducere** și algoritmul polinomial  $F$  care calculează  $f$  se numește **algoritm de reducere**.

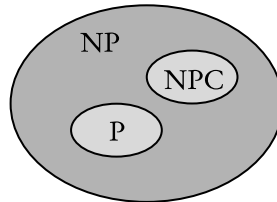
În figura 36.3 este ilustrată ideea unei reduceri în timp polinomial de la un limbaj  $L_1$  la un limbaj  $L_2$ . Fiecare limbaj este o submulțime a mulțimii  $\{0,1\}^*$ . Funcția de reducere  $f$  furnizează, în timp polinomial, o corespondență între  $x$  și  $f(x)$  astfel încât  $x \in L_1$  și  $f(x) \in L_2$ . Mai mult dacă  $x \notin L_1$  atunci  $f(x) \notin L_2$ . Deci funcția de reducere realizează o corespondență între orice instanță  $x$  a problemei de decizie reprezentată de limbajul  $L_1$  și o instanță  $f(x)$  a problemei reprezentate de  $L_2$ . Obținând un răspuns pentru întrebarea  $f(x) \in L_2$  avem răspuns și pentru întrebarea  $x \in L_1$ .

Reducerile în timp polinomial ne oferă o unealtă puternică pentru a demonstra că diferite limbaje fac parte din P.

**Lema 36.3** Dacă  $L_1, L_2 \subseteq \{0,1\}^*$  sunt limbaje astfel încât  $L_1 \leq_P L_2$ , atunci,  $L_2 \in P$  implică  $L_1 \in P$ .

**Demonstrație.** Fie  $A_2$  un algoritm polinomial care clarifică  $L_2$  și  $F$  un algoritm polinomial de reducere care calculează funcția de reducere  $f$ . Vom construi un algoritm polinomial  $A_1$  care clarifică  $L_1$ .

În figura 36.4 este ilustrat modul în care este construit  $A_1$ . Pentru o intrare dată  $x \in \{0,1\}^*$ ,



**Figura 36.5** Modul în care sunt privite, de majoritatea informaticienilor, relațiile dintre P, NP și NPC. Atât P cât și NPC sunt incluse în NP și  $P \cap NPC = \emptyset$ .

algoritmul  $A_1$  folosește  $F$  pentru a transforma  $x$  în  $f(x)$  și apoi folosește  $A_2$  pentru a testa dacă  $f(x) \in L_2$ . Intrarea lui  $A_2$  este valoarea furnizată ca ieșire de  $A_1$ .

Corectitudinea lui  $A_1$  rezultă din condiția (36.1). Algoritmul se execută în timp polinomial deoarece atât  $F$  cât și  $A_2$  se execută în timp polinomial (vezi exercițiul 36.1-6). ■

### NP-completitudine

Reducerile în timp polinomial furnizează o modalitate pentru a arăta că o problemă este cel puțin la fel de dificilă ca alta, apărând, în plus sau în minus, cel mult un factor polinomial. Aceasta înseamnă că dacă  $L_1 \leq_P L_2$  atunci  $L_1$  este cu cel mult un factor polinomial mai dificilă decât  $L_2$ . De aici derivă și semnul de “mai mic sau egal” din notația pentru reducere. Putem defini acum multimea limbajelor NP-complete, multime care conține cele mai dificile probleme din NP.

Un limbaj  $L \subseteq \{0, 1\}^*$  este **NP-complet** dacă

1.  $L \in NP$ , și
2.  $L' \leq_P L$ , oricare ar fi  $L' \in NP$ .

Dacă un limbaj  $L$  satisface proprietatea 2, dar nu neapărat și proprietatea 1, atunci spunem că acest limbaj este **NP-dificil**. Definim, de asemenea, clasa NPC ca fiind clasa limbajelor NP-complete.

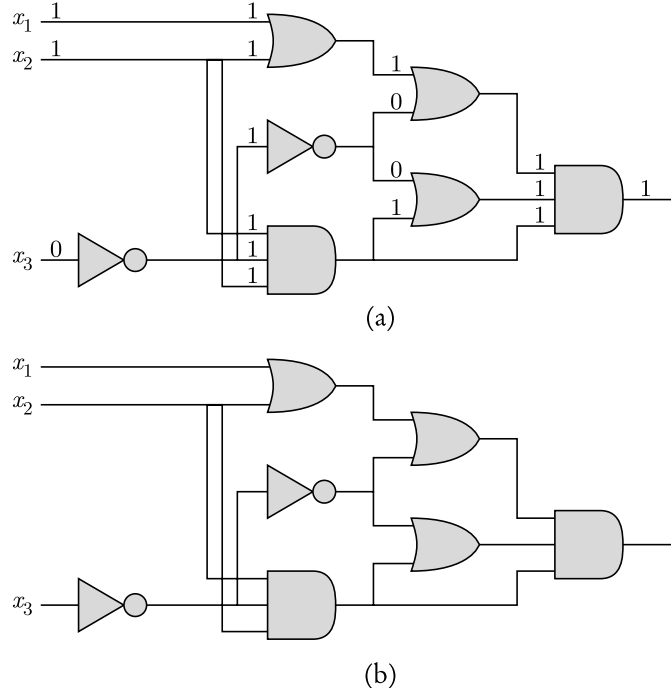
După cum arată teorema următoare, NP-completitudinea este un element cheie în a decide că P este, de fapt, egală cu NP.

**Teorema 36.4** Dacă orice problemă NP-completă este rezolvabilă în timp polinomial, atunci  $P = NP$ . De asemenea, dacă orice problemă din NP nu este rezolvabilă în timp polinomial, problemele NP-complete nu sunt rezolvabile în timp polinomial.

**Demonstrație.** Să presupunem că  $L \in P$  și  $L \in NPC$ . Din proprietatea 2, care apare în definiția NP-completitudinii rezultă că pentru orice  $L' \in NP$ , avem  $L' \leq_P L$ . Deci, conform lemei 36.3, rezultă că  $L' \in P$ , ceea ce demonstrează prima parte a teoremei.

Pentru a demonstra a doua parte a teoremei, observați că este reciprocă primei părți. ■

Din această cauză, cercetarea problemei  $P \neq NP$  se axează în jurul problemelor NP-complete. Cei mai mulți informaticieni cred că  $P \neq NP$ , ceea ce ar duce la relațiile dintre P, NP și NPC ilustrate în figura 36.5. Dar, din căte știm, cineva ar putea găsi un algoritm polinomial pentru o problemă NP-completă demonstrând astfel că  $P = NP$ . Cu toate acestea, datorită faptului că nu



**Figura 36.6** Două instanțe ale problemei satisfiabilității circuitului. (a) Valorile  $\langle x_1 = 1, x_2 = 1, x_3 = 0 \rangle$  pentru intrările circuitului determină ieșirea 1, deci circuitul este satisfiabil. (b) Indiferent de valorile pe care le iau intrările circuitului, ieșirea va fi întotdeauna 1, deci circuitul nu este satisfiabil.

s-a găsit încă nici un algoritm polinomial pentru vreo problemă NP-completă, o demonstrație a faptului că o problemă este NP-completă este acceptată ca o dovadă excelentă a inaccesibilității acestei probleme.

### Satisfiabilitatea circuitului

Am definit noțiunea de problemă NP-completă, dar, până acum, nu am demonstrat că o anumită problemă este NP-completă. După ce vom dovedi că cel puțin o problemă este NP-completă, vom putea folosi reductibilitatea polinomială pentru a dovedi NP-completitudinea altor probleme. Ne vom concentra acum atenția asupra demonstrării existenței unei probleme NP-complete: problema satisfiabilității circuitului.

Din nefericire, demonstrația riguroasă a faptului că problema satisfiabilității circuitului este NP-completă necesită detalii tehnice care depășesc scopul lucrării de față. În locul unei astfel de demonstrații, vă vom prezenta o demonstrație care se bazează pe noțiuni fundamentale despre circuitele combinaționale logice. Acest material este recapitulat la începutul capitolului 29.

Figura 36.6 prezintă două circuite combinaționale logice, fiecare având trei intrări și o singură ieșire. O **atribuire de adevăr** a unui circuit este o mulțime de valori logice de intrare. Spunem că un circuit cu o singură ieșire este **satisfiabil** dacă are o **atribuire satisfiabilă**: o atribuire de adevăr care determină ieșirea 1. De exemplu, circuitul din figura 36.6(a) are atribuirea satisfiabilă

$\langle x_1 = 1, x_2 = 1, x_3 = 0 \rangle$ , deci este satisfiabil. Nici o atribuire pentru valorile  $x_1, x_2$  și  $x_3$  nu poate determina ieșirea 1, aceasta fiind întotdeauna 0, deci circuitul nu este satisfiabil.

**Problema satisfiabilității circuitului** poate fi enunțată astfel: “Dându-se un circuit combinațional logic compus din porturi SI, SAU și NU, este el satisfiabil?” Pentru a putea formula această întrebare, trebuie să cădem de acord asupra unei codificări standard pentru circuite. Putem accepta o codificare de tipul grafurilor care stabilește o corespondență între un circuit  $C$  și un sir binar  $\langle C \rangle$  a cărui lungime nu este mult mai mare decât mărimea circuitului. Putem defini limbajul formal:

$$\text{CIRCUIT-SAT} = \{\langle C \rangle : C \text{ este un circuit combinațional logic care este satisfiabil}\}.$$

Problema satisfiabilității circuitului are o mare importanță în domeniul optimizărilor hardware asistate de calculator. Dacă ieșirea circuitului este întotdeauna 0, acesta poate fi înlocuit cu un circuit simplu în care sunt eliminate toate porturile logice și are ca ieșire valoarea constantă 0. Un algoritm polinomial pentru această problemă ar avea o deosebită aplicabilitate practică.

Dându-se un circuit  $C$ , am putea testa dacă acesta este satisfiabil încercând toate posibilitățile pentru intrări. Din nefericire, pentru  $k$  intrări am avea  $2^k$  combinații posibile. Dacă mărimea circuitului este dată de o funcție polinomială care depinde de  $k$ , verificarea tuturor posibilităților duce la un algoritm suprapolinomial. De fapt, aşa cum am afirmat anterior, există o demonstrație riguroasă a faptului că nu există nici un algoritm polinomial care rezolvă problema satisfiabilității circuitului deoarece această problemă este NP-completă. Vom împărți demonstrația acestui fapt în două părți, bazate pe cele două părți ale definiției NP-completitudinii.

**Lema 36.5** Problema satisfiabilității circuitului aparține clasei NP.

**Demonstrație.** Vom descrie un algoritm polinomial  $A$  cu două intrări care verifică CIRCUIT-SAT. Una din intrările pentru  $A$  este reprezentată de o codificare standard a unui circuit combinațional logic  $C$ . Cealaltă intrare este o probă corespunzătoare unei atribuiri de valori logice pentru firele din  $C$ .

Algoritmul  $A$  este construit după cum urmează. Pentru fiecare poartă logică a circuitului, verifică dacă valoarea furnizată de probă la firul de ieșire este corect calculată ca o funcție de valorile de la firele de intrare. Atunci, dacă ieșirea întregului circuit este 1, algoritmul va avea ca ieșire valoarea 1 deoarece valorile atribuite intrărilor lui  $C$  furnizează o atribuire satisfiabilă. În caz contrar, programul va avea ca ieșire valoarea 0.

De fiecare dată, când un circuit satisfiabil  $C$  este intrare pentru algoritmul  $A$ , există o probă a cărei lungime este o funcție polinomială care depinde de mărimea lui  $C$  și care determină algoritmul  $A$  să furnizeze ieșirea 1. De fiecare dată, când un circuit care nu este satisfiabil este intrare pentru algoritmul  $A$ , nici o probă nu va putea păcăli algoritmul  $A$ . Acest algoritm se execută în timp polinomial: dacă este bine implementat, este suficient un timp liniar de execuție. Deci, CIRCUIT-SAT poate fi verificat în timp polinomial, ca urmare CIRCUIT-SAT  $\in$  NP. ■

Pentru a doua parte a demonstrației faptului că limbajul CIRCUIT-SAT este NP-complet, trebuie să arătăm că acest limbaj este NP-dificil. Aceasta înseamnă că va trebui să arătăm că orice limbaj din NP este reductibil în timp polinomial la CIRCUIT-SAT. Demonstrația riguroasă a acestui fapt conține multe complicații tehnice, de aceea nu o vom reproduce aici. Vom schița, totuși, o demonstrație bazată pe cunoașterea unor detaliu ale modului în care funcționează partea hardware a calculatorului.

Un program este stocat în memoria calculatorului ca o secvență de instrucțiuni. O instrucțiune obișnuită va codifica o operație care trebuie executată, adresele operanzilor din memorie și adresa la care trebuie stocat rezultatul. O locație specială de memorie, numită **registru instrucțiune program**, păstrează adresa instrucțiunii care trebuie executată la pasul următor. Valoarea acestui registru este incrementată automat ori de câte ori se încheie execuția unei instrucțiuni, ceea ce duce la o execuție secvențială a instrucțiunilor. Execuția unei instrucțiuni poate duce la scrierea unei anumite valori în acest registru, astfel că execuția instrucțiunilor nu va mai fi secvențială, permitând calculatorului să execute cicluri sau instrucțiuni de tipul alternative.

În orice moment al execuției programului, starea tuturor factorilor care influențează calculele este păstrată în memoria calculatorului. (Considerăm că memoria include programul, registrul instrucțiune program, memoria de lucru și diferenți biți de stare pe care îi păstrează calculatorul pentru contabilizare.) Numim **configurație** o anumită stare a memoriei calculatorului. Execuția unei instrucțiuni poate fi văzută ca o funcție între două configurații. Important este faptul că partea hardware a calculatorului care realizează această corespondență poate fi implementată ca un circuit combinațional logic pe care îl vom nota cu  $M$  în demonstrația lemei următoare.

**Lema 36.6** Problema satisfiabilității circuitului este NP-dificilă.

**Demonstrație.** Fie  $L$  un limbaj din NP. Vom descrie un algoritm polinomial  $F$  pentru calculul funcției  $f$  de reducere care realizează o corespondență între un sir binar  $x$  și un circuit  $C = f(x)$ , astfel încât  $x \in L$  dacă, și numai dacă,  $C \in \text{CIRCUIT-SAT}$ .

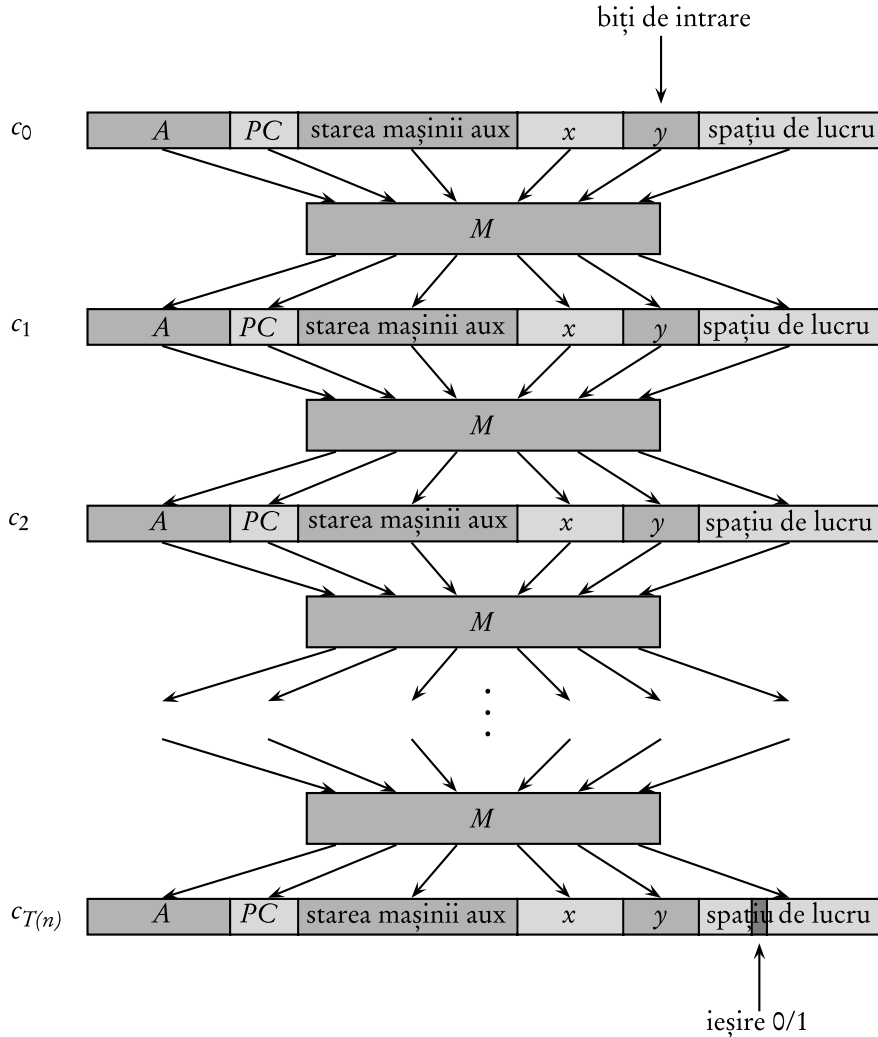
Cum  $L \in \text{NP}$ , trebuie să existe un algoritm  $A$  care verifică  $L$  în timp polinomial. Algoritmul  $F$  pe care îl vom construi va folosi algoritmul cu două intrări  $A$  pentru a calcula funcția de reducere  $f$ .

Notăm cu  $T(n)$  timpul de rulare a algoritmului  $A$  în cazul cel mai defavorabil când acesta se execută cu siruri de intrare de lungime  $n$ . Fie  $k \geq 1$  o constantă astfel încât  $T(n) = O(n^k)$  și lungimea probei este  $O(n^k)$ . (Timpul de execuție al algoritmului  $A$  depinde după o funcție polinomială de lungimea totală a intrării, ce conține atât sirul de intrare cât și proba. Deoarece lungimea probei depinde după o funcție polinomială de lungimea  $n$  a sirului de intrare, timpul de execuție va fi o funcție polinomială în  $n$ .)

Ideeza de bază a demonstrației este să reprezentăm calculele efectuate de  $A$  ca o serie de configurații. După cum se arată în figura 36.7, fiecare configurație poate fi împărțită în mai multe părți: programul care implementează algoritmul  $A$ , registrul instrucțiune program și starea mașinii, intrarea  $x$ , proba  $y$  și memoria de lucru. Pornind de la o configurație inițială  $c_0$ , fiecare configurație  $c_i$  este pusă în corespondență cu configurația următoare  $c_{i+1}$  de către circuitul combinațional  $M$  care implementează partea hardware a calculatorului. Ieșirea algoritmului  $A$  – 0 sau 1 – este scrisă, la încheierea execuției programului care îl implementează, într-o locație a spațiului de lucru special aleasă în acest scop. Dacă presupunem că programul care implementează  $A$  se oprește, atunci această valoare nu va mai fi modificată. Deci algoritmul va avea cel mult  $T(n)$  pași, și ieșirea va fi unul dintre biții din  $c_{T(n)}$ .

Algoritmul de reducere  $F$  construiește un singur circuit combinațional care calculează toate configurațiile rezultante din configurația inițială. Ideea este de a uni  $T(n)$  copii ale circuitului  $M$ . Ieșirea celui de-al  $i$ -lea circuit, care determină configurația  $c_i$  este conectată la intrarea celui de-al  $i+1$ -lea circuit. Deci, configurațiile, în loc să fie păstrate în registrii de stare, vor consta în valori pe firele copiilor conectate ale lui  $M$ .

Să ne amintim ce trebuie să realizeze algoritmul polinomial de reducere  $F$ . Dându-se o intrare  $x$ , el trebuie să calculeze un circuit  $C = f(x)$  care este satisfiabil dacă, și numai dacă, există o



**Figura 36.7** Seria configurațiilor determinate de algoritmul  $A$  care se execută pentru o intrare  $x$  și o probă  $y$ . Fiecare configurație reprezintă starea calculatorului pentru un anumit pas și include, pe lângă  $A$ ,  $x$  și  $y$ , registrul instrucțiune program, starea mașinii și memoria de lucru. Cu excepția probei  $y$ , configurația inițială  $c_0$  este constantă. Fiecare configurație este pusă în corespondență ca următoarea printr-un circuit combinațional logic  $M$ . Ieșirea este un anumit bit din memoria de lucru.

probă  $y$ , astfel încât  $A(x, y) = 1$ . Când  $F$  obține o intrare  $x$ , el calculează mai întâi  $n = |x|$  și construiește un circuit combinațional  $C'$  care constă din  $T(n)$  copii ale lui  $M$ . Intrarea lui  $C'$  este o configurație inițială corespunzătoare unui calcul pe  $A(x, y)$ , iar ieșirea este configurația  $c_{T(n)}$ .

Circuitul  $C = f(x)$  pe care îl calculează  $F$  este obținut făcând o mică modificare la circuitul  $C'$ . Mai întâi, intrările pentru  $C'$  corespunzătoare programului care implementează  $A$ , valoarea

initială a registrului instrucțiune program, intrarea  $x$  și starea initială a memoriei sunt puse în legătură cu aceste valori cunoscute. Deci, singurele intrări rămase ale circuitului sunt cele corespunzătoare probei  $y$ . Apoi toate ieșirile circuitului sunt ignorate cu excepția singurului bit din  $c_{T(n)}$  care corespunde ieșirii lui  $A$ . Circuitul  $C$ , construit în acest mod, calculează  $C(y) = A(x, y)$  pentru orice intrare  $y$  de lungime  $O(n^k)$ . Algoritmul de reducere  $F$  rezolvă un astfel de circuit  $C$  când primește la intrare sirul  $x$ .

Mai rămân de demonstrat două proprietăți. În primul rând trebuie să arătăm că  $F$  calculează în mod corect o funcție de reducere  $f$ , respectiv trebuie să arătăm că  $C$  este satisfiabil dacă, și numai dacă, există o probă  $y$  astfel încât  $A(x, y) = 1$ . În al doilea rând, trebuie demonstrat și faptul că  $F$  se execută în timp polinomial.

Pentru a arăta că  $F$  calculează în mod corect o funcție de reducere, să presupunem că există o probă  $y$  de lungime  $O(n^k)$  astfel încât  $A(x, y) = 1$ . Atunci, dacă furnizăm biții lui  $y$  ca intrări pentru  $C$ , ieșirea lui  $C$  va fi  $C(y) = A(x, y) = 1$ . Deci, dacă există o probă,  $C$  este satisfiabil. Acum, să presupunem că  $C$  este satisfiabil. Ca urmare există o intrare  $y$  pentru  $C$  astfel încât,  $C(y) = 1$ . De aici tragem concluzia că  $A(x, y) = 1$ , deci  $F$  calculează corect o funcție de reducere.

Pentru a încheia demonstrația, mai trebuie, doar, să arătăm că  $F$  se execută în timp polinomial pentru  $n = |x|$ . Prima observație pe care o facem este că numărul de biți necesari pentru a reprezenta o configurație depinde după o funcție polinomială de  $n$ . Programul care implementează  $A$  are o mărime constantă, independentă de lungimea intrării  $x$ . Lungimea intrării  $x$  este  $n$ , iar lungimea probei  $y$  este  $O(n^k)$ . Deoarece algoritmul va avea cel mult  $O(n^k)$  pași, spațiul necesar pentru memorarea lui  $A$  depinde, de asemenea, după o funcție polinomială de  $n$ . (Presupunem că memoria este contiguă; exercițiul 36.3-4 vă cere să extindeți demonstrația pentru cazul în care locațiile accesate de  $A$  sunt răspândite pe o zonă mai mare de memorie și şablonul răspândirii poate să difere pentru fiecare intrare  $x$ .)

Circuitul combinațional  $M$  care implementează partea hardware a calculatorului are dimensiunea dependentă după o funcție polinomială de lungimea unei configurații, lungime care este polinomială în  $O(n^k)$ , deci este polinomială în  $n$ . (Cea mai mare parte a acestei scheme implementează partea logică a memoriei sistem.) Circuitul  $C$  constă în cel mult  $t = O(n^k)$  copii ale lui  $M$ , deci dimensiunea lui depinde de o funcție polinomială în  $n$ . Construirea lui  $C$  din  $x$  poate fi realizată în timp polinomial de către algoritmul de reducere  $F$ , deoarece fiecare pas necesită un timp polinomial. ■

În concluzie, limbajul CIRCUIT-SAT este cel puțin la fel de dificil ca orice alt limbaj din NP și, datorită faptului că aparține clasei NP, este NP-complet.

**Teorema 36.7** Problema satisfiabilității circuitului este NP-completă.

**Demonstrație.** Rezultă imediat din lemele 36.5 și 36.6 și definiția NP-completitudinii. ■

## Exerciții

**36.3-1** Arătați că relația  $\leq_P$  este o relație tranzitivă între limbaje, respectiv dacă  $L_1 \leq_P L_2$  și  $L_2 \leq_P L_3$  atunci  $L_1 \leq_P L_3$ .

**36.3-2** Arătați că  $L \leq_P \bar{L}$  dacă, și numai dacă,  $\bar{L} \leq_P L$ .

**36.3-3** Arătați că o atribuire satisfiabilă poate fi folosită ca probă într-o demonstrație alternativă a lemei 36.5. Care probă credeți că ușurează demonstrația?

**36.3-4** În demonstrația lemei 36.6 s-a presupus că memoria de lucru pentru algoritmul  $A$  este o zonă contiguă de memorie cu o dimensiune polinomială. Unde este folosită această presupunere în demonstrație? Demonstrați că această presupunere nu implică restrângerea generalității.

**36.3-5** Un limbaj  $L$  este **complet** pentru o clasă de limbaje  $C$  cu privire la reducerile în timp polinomial dacă  $L \in C$  și  $L' \leq_P L$ , oricare ar fi  $L' \in C$ . Arătați că  $\emptyset$  și  $\{0, 1\}^*$  sunt singurele limbaje din  $P$  care nu sunt complete pentru  $P$  cu privire la reducerile în timp polinomial.

**36.3-6** Arătați că  $L$  este complet pentru  $NP$  dacă și numai dacă  $\bar{L}$  este complet pentru  $co-NP$ .

**36.3-7** Algoritmul de reducere  $F$  folosit în demonstrația lemei 36.6, construiește circuitul  $C = f(x)$  bazat pe cunoașterea lui  $x$ ,  $A$  și  $k$ . Profesorul Sartre a observat că sirul  $x$  este intrare pentru  $F$ , dar numai existența lui  $A$  și  $k$  este cunoscută de  $F$  (deoarece limbajul  $L$  aparține clasei  $NP$ ), nu și valorile lor. Profesorul a concluzionat că  $F$  nu poate construi circuitul  $C$  și că limbajul CIRCUIT-SAT nu este neapărat  $NP$ -difícil. Găsiți și explicați greșeala din raționamentul profesorului.

## 36.4. Demonstrații ale NP-completitudinii

NP-completitudinea problemei satisfiabilității circuitului se bazează pe dovada directă că  $L \leq_P CIRCUIT-SAT$  pentru toate limbajele  $L \in NP$ . În această secțiune, vom arăta cum se poate demonstra că un limbaj este  $NP$ -complet fără a reduce, în mod direct, *fiecare* limbaj din  $NP$  la acel limbaj. Vom ilustra această metodologie demonstrând  $NP$ -completitudinea mai multor probleme de satisfiabilitate a unei anumite formule. În secțiunea 36.5 sunt prezentate mai multe exemple ale acestei metodologii.

Următoarea lemă reprezintă baza de la care pornește metoda noastră de a demonstra că un anumit limbaj este  $NP$ -complet.

**Lema 36.8** Dacă  $L$  este un limbaj astfel încât  $L' \leq_P L$  pentru  $L' \in NPC$ , atunci  $L$  este  $NP$ -difícil. Mai mult, dacă  $L \in NP$ , atunci,  $L \in NPC$ .

**Demonstrație.** Deoarece  $L'$  este  $NP$ -complet, pentru toate limbajele  $L'' \in NP$  avem  $L'' \leq_P L'$ . Din ipoteza  $L' \leq_P L$  și datorită proprietății de tranzitivitate a relației " $\leq_P$ " (exercițiul 36.3-1) obținem că  $L'' \leq_P L$ , ceea ce arată că  $L$  este  $NP$ -difícil. Dacă  $L \in NP$ , avem, de asemenea,  $L \in NPC$ . ■

Cu alte cuvinte, reducând la  $L$  un limbaj  $NP$ -complet  $L'$ , reducem la  $L$ , în mod implicit, orice limbaj din  $NP$ . Deci, lema 36.8 ne oferă o metodă de a demonstra că un limbaj  $L$  este  $NP$ -complet:

1. Demonstrați că  $L \in NP$ .
2. Alegeti un limbaj  $L'$  despre care știți că este  $NP$ -complet
3. Descrieți un algoritm care calculează o funcție  $f$  care pune în corespondență fiecare instanță a lui  $L'$  cu o instanță a lui  $L$ .

4. Demonstrați că funcția  $f$  satisfacă condiția  $x \in L'$  dacă, și numai dacă,  $f(x) \in L$  pentru toți  $x \in \{0, 1\}^*$ .
5. Demonstrați că algoritmul care calculează  $f$  se execută în timp polinomial.

Această metodologie care folosește reducerea unui singur limbaj NP-complet este mult mai ușor de folosit decât procedura complicată de a reduce toate limbajele din NP. Demonstrând că **CIRCUIT-SAT** ∈ NPC “am pus un picior în pragul ușii” pentru că, știind că problema satisfiabilității circuitului este NP-completă, putem demonstra, mult mai ușor, că alte probleme sunt NP-complete. Mai mult, cu cât vom găsi mai multe probleme NP-complete, folosirea acestei metodologii va deveni mult mai ușoară.

### Satisfiabilitatea formulelor

Ilustrăm metodologia reducerii dând o demonstrație a NP-completitudinii problemei care verifică dacă o formulă logică, nu un circuit, este satisfiabilă. Această problemă are onoarea istorică de a fi prima problemă pentru care a existat o demonstrație a NP-completitudinii.

Formulăm problema **satisfiabilității (formulei)** în termenii limbajului SAT astfel: instanță SAT este o formulă booleană  $\phi$  compusă din:

1. variabile logice:  $x_1, x_2, \dots$ ;
2. legături logice: orice funcție booleană cu una sau două intrări și o singură ieșire cum ar fi  $\wedge$ (ȘI),  $\vee$ (SAU),  $\neg$ (NU),  $\rightarrow$ (implicație),  $\leftrightarrow$ (dacă și numai dacă);
3. paranteze.

Asemănător circuitelor combinaționale, o **atribuire de adevăr**, pentru o formulă booleană  $\phi$ , este o mulțime de valori pentru variabilele lui  $\phi$ , iar o **atribuire satisfiabilă** este o atribuire de adevăr pentru care evaluarea expresiei duce la rezultatul 1. O formulă care are o atribuire satisfiabilă este o formulă **satisfiabilă**. Problema satisfiabilității cere determinarea faptului dacă o anumită formulă este sau nu satisfiabilă; în termenii limbajelor formale:

$$\text{SAT} = \{\langle \phi \rangle : \phi \text{ este o formulă logică satisfiabilă}\}.$$

De exemplu formula

$$\phi = ((x_1 \rightarrow x_2) \vee \neg((\neg x_1 \leftrightarrow x_3) \vee x_4)) \wedge \neg x_2$$

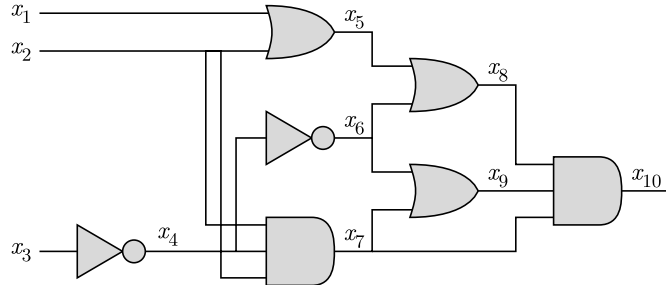
are atribuirea satisfiabilă  $\langle x_1 = 0, x_2 = 0, x_3 = 1, x_4 = 1 \rangle$ , deoarece

$$\phi = ((0 \rightarrow 0) \vee \neg((\neg 0 \leftrightarrow 1) \vee 1)) \wedge \neg 0 = (1 \vee \neg(1 \vee 1)) \wedge 1 = (1 \vee 0) \wedge 1 = 1, \quad (36.2)$$

deci formula  $\phi$  aparține lui SAT.

Algoritmul naiv de determinare a faptului dacă o formulă este sau nu satisfiabilă nu se execută în timp polinomial. Pot exista  $2^n$  atribuiriri de adevăr posibile pentru o formulă  $\phi$  cu  $n$  variabile. Dacă lungimea lui  $\langle \phi \rangle$  este polinomială în  $n$ , atunci verificarea fiecărei atribuiriri de adevăr necesită un timp suprapolinomial. După cum arată și teorema următoare este puțin probabil să existe un algoritm polinomial.

**Teorema 36.9** Problema satisfiabilității formulei logice este NP-completă.



**Figura 36.8** Reducerea problemei satisfiabilității circuitului la problema satisfiabilității formulei. Formula rezultată în urma algoritmului de reducere are câte o variabilă pentru fiecare fir din circuit.

**Demonstrație.** Vom demonstra, mai întâi, că  $SAT \in NP$  și apoi, vom arăta că  $CIRCUIT-SAT \leq_P SAT$ ; potrivit lemei 36.8, aceste două demonstrații sunt suficiente pentru a demonstra teorema.

Pentru a demonstra că  $SAT \in NP$ , arătăm că o probă, care constă într-o atribuire satisfiabilă pentru o formulă  $\phi$  dată la intrare, poate fi verificată în timp polinomial. Algoritmul de verificare va înlocui fiecare variabilă din formulă cu valoarea corespunzătoare și va evalua expresia într-o manieră asemănătoare celei folosite pentru evaluarea expresiei (36.2). Această sarcină poate fi îndeplinită foarte ușor în timp polinomial. Dacă valoarea rezultată în urma evaluării va fi 1 atunci formula este satisfiabilă. Deci, prima condiție din lema 36.8 este îndeplinită.

Pentru a demonstra că  $SAT$  este NP-dificilă, arătăm că  $CIRCUIT-SAT \leq_P SAT$ . Cu alte cuvinte, orice instanță a problemei satisfiabilității circuitului poate fi redusă în timp polinomial la o instanță a problemei satisfiabilității formulei. Prin inducție, putem arăta că orice circuit combinațional logic poate fi exprimat ca o formulă logică. Vom lua în considerare poarta a cărei ieșire reprezintă și ieșirea circuitului și apoi, prin inducție, exprimăm intrările portii ca formule. Formula circuitului este obținută scriind o expresie care aplică funcția portii la formulele intrărilor.

Din nefericire, această metodă directă nu constituie o reducere în timp polinomial, subformulele distribuite ar putea duce la creșterea exponențială a formulei generate (vezi exercițiul 36.4-1). Deci, algoritmul de reducere trebuie să fie, într-un anume fel, mai performant.

Figura 36.8 ilustrează ideea de bază a reducerii de la  $CIRCUIT-SAT$  la  $SAT$  pentru circuitul din figura 36.6(a). Pentru fiecare fir  $x_i$  al circuitului  $C$ , formula  $\phi$  are o variabilă  $x_i$ . Operația unei portii poate fi acum exprimată ca o formulă care implică variabilele firelor incidente. De exemplu, operația portii de ieșire SI este  $x_{10} \leftrightarrow (x_7 \wedge x_8 \wedge x_9)$ .

Formula  $\phi$ , rezultată în urma algoritmului de reducere, este un SI între variabila de ieșire a circuitului și conjuncția propozițiilor care descriu operațiile fiecarei portii. Pentru circuitul din figură, formula este:

$$\begin{aligned} \phi = & x_{10} \wedge (x_4 \leftrightarrow \neg x_3) \wedge (x_5 \leftrightarrow (x_1 \vee x_2)) \wedge (x_6 \leftrightarrow \neg x_4) \wedge (x_7 \leftrightarrow (x_1 \wedge x_2 \wedge x_4)) \\ & \wedge (x_8 \leftrightarrow (x_5 \vee x_6)) \wedge (x_9 \leftrightarrow (x_6 \vee x_7)) \wedge (x_{10} \leftrightarrow (x_7 \wedge x_8 \wedge x_9)). \end{aligned}$$

Dându-se un circuit  $C$ , este ușor să obținem o astfel de formulă  $\phi$  în timp polinomial.

De ce este circuitul  $C$  satisfiabil când formula  $\phi$  este satisfiabilă? Dacă  $C$  are o atribuire satisfiabilă, atunci fiecare fir al circuitului are o valoare bine definită și ieșirea circuitului este 1. De aceea, atribuirea valorilor firelor pentru variabilele din  $\phi$  duce la evaluarea la 1 a fiecarei propoziții din  $\phi$ , deci conjuncția tuturor va fi evaluată la 1. Analog, dacă există o atribuire de

adevăr care duce la evaluarea la 1 a expresiei, circuitul  $C$  este satisfiabil. Am arătat, deci, că  $\text{CIRCUIT-SAT} \leq_P \text{SAT}$ , ceea ce încheie demonstrația. ■

### Problema satisfiabilității 3-FNC

NP-completitudinea multor probleme poate fi demonstrată prin reducerea problemei satisfiabilității formulei logice la aceste probleme. Algoritmul de reducere trebuie să manipuleze orice formulă dată la intrare, cu toate că aceasta ar putea duce la un număr uriaș de cazuri care trebuie luate în considerare. De aceea, adesea este de dorit să facem o reducere de la un limbaj restrâns pentru formulele logice, pentru ca numărul cazurilor care trebuie luate în considerare să scadă. Bineînteles, nu avem voie să restrângem limbajul atât de mult, încât să devină rezolvabil în timp polinomial. Un limbaj convenabil este satisfiabilitatea 3-FNC, pe care îl vom nota cu 3-FNC-SAT.

Definim problema satisfiabilității 3-FNC folosind următorii termeni: un *literal* într-o formulă logică este o apariție a unei variabile sau a negației acesteia; o formulă logică se află în *formă normal-conjunctivă*, sau **FNC**, dacă este exprimată ca fiind conjuncția mai multor propoziții, fiecare propoziție fiind formată din disjuncția mai multor literalii. O formulă logică se află în *a treia formă normal-conjunctivă*, sau **3-FNC**, dacă fiecare propoziție conține exact trei literalii distincți.

De exemplu, formula logică

$$(x_1 \vee \neg x_1 \vee \neg x_2) \wedge (x_3 \vee x_2 \vee x_4) \wedge (\neg x_1 \vee \neg x_3 \vee \neg x_4)$$

este în a treia formă normal-conjunctivă. Prima din cele trei propoziții este  $(x_1 \vee \neg x_1 \vee \neg x_2)$  și conține trei literali:  $x_1$ ,  $\neg x_1$  și  $\neg x_2$ .

În 3-FNC-SAT ni se cere să determinăm dacă o formulă logică  $\phi$  în 3-FNC este satisfiabilă. Următoarea teoremă arată că este puțin probabil să existe un algoritm polinomial care verifică dacă o formulă logică este satisfiabilă, chiar dacă este exprimată în această formă simplă.

**Teorema 36.10** Problema satisfiabilității formulelor logice în a treia formă normal-conjunctivă este NP-completă.

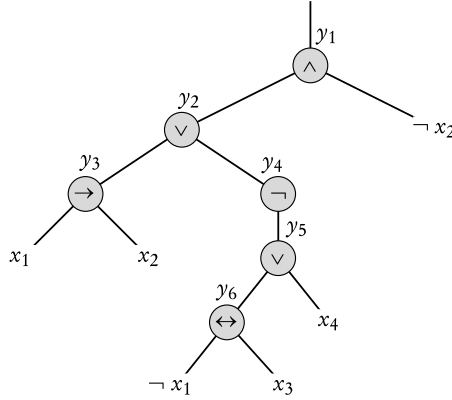
**Demonstrație.** Argumentele pe care le-am folosit în demonstrarea teoremei 36.9, pentru a arăta că  $\text{SAT} \in \text{NP}$ , pot fi folosite și pentru a demonstra că  $\text{3-FNC-SAT} \in \text{NP}$ . Deci mai trebuie să arătăm numai că  $\text{3-FNC-SAT}$  este NP-dificilă. Vom demonstra acest fapt arătând că  $\text{SAT} \leq_P \text{3-FNC-SAT}$  și, de aici, va rezulta, conform lemei 36.8, că  $\text{3-FNC-SAT}$  este NP-completă.

Algoritmul de reducere poate fi divizat în trei pași elementari. La fiecare pas vom scrie formula  $\phi$  într-o formă tot mai apropiată de 3-FNC.

Primul pas este similar cu demonstrația faptului că  $\text{CIRCUIT-SAT} \leq_P \text{SAT}$ , din teorema 36.9. Mai întâi, construim un arbore “gramatical” pentru formula  $\phi$ , având literalii ca frunze și legăturile ca noduri interne. Figura 36.9 arată un astfel de arbore grammatical pentru formula

$$\phi = ((x_1 \rightarrow x_2) \vee \neg((\neg x_1 \leftrightarrow x_3) \vee x_4)) \wedge \neg x_2. \quad (36.3)$$

În cazul în care formula conține o propoziție de tip SAU între mai mulți literalii, proprietatea de asociativitate poate fi folosită pentru a paranteza toată expresia în aşa fel încât fiecare nod intern al arborelui rezultat să aibă unul sau doi fi. Arborele grammatical binar poate fi acum privit ca un circuit pentru calculul formulei logice.



**Figura 36.9** Arborele corespunzător formulei  $\phi = ((x_1 \rightarrow x_2) \vee \neg((\neg x_1 \leftrightarrow x_3) \vee x_4)) \wedge \neg x_2$ .

Îmitând reducerea din demonstrația teoremei 36.9, introducem o variabilă  $y_i$  pentru ieșirea fiecărui nod intern. Apoi, rescriem formula inițială  $\phi$  ca un SI între variabila din rădăcină și o conjuncție de propozițiile care descriu operațiile din fiecare nod. Pentru formula (36.3) expresia rezultată este:

$$\begin{aligned} \phi' = y_1 &\wedge (y_1 \leftrightarrow (y_2 \wedge \neg x_2)) \wedge (y_2 \leftrightarrow (y_3 \vee y_4)) \wedge (y_3 \leftrightarrow (x_1 \rightarrow x_2)) \\ &\wedge (y_4 \leftrightarrow \neg y_5) \wedge (y_5 \leftrightarrow (y_6 \vee x_4)) \wedge (y_6 \leftrightarrow (\neg x_1 \leftrightarrow x_3)). \end{aligned}$$

Se observă că formula  $\phi'$  obținută este o conjuncție de propoziții  $\phi'_i$  în formă normal-conjunctivă, fiecare propoziție având cel mult trei literali. Singura condiție care mai trebuie pusă este ca fiecare propoziție să fie o disjuncție între literali.

La al doilea pas al reducerii, vom converti fiecare propoziție  $\phi'_i$  în formă normal-conjunctivă. Vom construi o tabelă de adevăr pentru  $\phi'_i$  luând în considerare toate combinațiile de valori pe care le pot lua variabilele. Fiecare linie a tabelei de adevăr constă dintr-o combinație posibilă de valori și valoarea expresiei pentru aceste valori. Folosind intrările tabelei de adevăr pentru care valoarea expresiei este 0, construim o formulă în **formă normal-disjunctivă** (sau **FND**) – un SAU de SI-uri – formulă care este echivalentă cu  $\neg \phi'_i$ . Convertim apoi această formulă într-o formulă FNC  $\phi''_i$  folosind regulile lui DeMorgan (5.2) pentru a complementa fiecare literal și pentru a schimba SI-uri în SAU-uri și SAU-urile în SI-uri.

În exemplul nostru convertim propoziția  $\phi'_1 = (y_1 \leftrightarrow (y_2 \wedge \neg x_2))$  în FNC după cum urmează. Tabela de adevăr pentru  $\phi'_1$  este dată în figura 36.10. Formula FND echivalentă cu  $\neg \phi'_1$  este

$$(y_1 \wedge y_2 \wedge x_2) \vee (y_1 \wedge \neg y_2 \wedge x_2) \vee (y_1 \wedge \neg y_2 \wedge \neg x_2) \vee (\neg y_1 \wedge y_2 \wedge \neg x_2).$$

Aplicând legile lui DeMorgan, obținem formula FNC

$$\phi''_1 = (\neg y_1 \vee \neg y_2 \vee \neg x_2) \wedge (\neg y_1 \vee y_2 \vee \neg x_2) \wedge (\neg y_1 \vee y_2 \vee x_2) \wedge (y_1 \vee \neg y_2 \vee x_2),$$

care este echivalentă cu propoziția inițială  $\phi'_1$ .

Fiecare propoziție  $\phi'_i$  a formulei  $\phi'$  poate fi convertită în același mod într-o formulă FNC  $\phi''_i$ , deci  $\phi'$  este echivalentă cu formula FNC  $\phi''$  care constă din conjuncția propozițiilor  $\phi''_i$ . Mai mult, fiecare propoziție din  $\phi''$  are cel mult trei literali.

$y_1$	$y_2$	$x_2$	$(y_1 \leftrightarrow (y_2 \wedge \neg x_2))$
1	1	1	0
1	1	0	1
1	0	1	0
1	0	0	0
0	1	1	1
0	1	0	0
0	0	1	1
0	0	0	1

**Figura 36.10** Tabela de adevăr pentru propoziția  $(y_1 \leftrightarrow (y_2 \wedge \neg x_2))$ .

La al treilea și ultimul pas al reducerii vom transforma formula pentru ca fiecare propoziție să aibă *exact* trei literali. Formula finală 3-FNC  $\phi'''$  este construită cu ajutorul propozițiilor formulei FNC  $\phi''$ . Sunt folosite două variabile auxiliare pe care le vom denumi  $p$  și  $q$ . Pentru fiecare propoziție  $C_i$  din  $\phi''$  vom introduce în  $\phi'''$  următoarele propoziții:

- Dacă  $C_i$  are exact trei literali atunci ea va fi introdusă neschimbată în  $\phi'''$ .
- Dacă  $C_i$  are doi literali distincți, adică  $C_i = (l_1 \vee l_2)$  unde  $l_1$  și  $l_2$  sunt literali, atunci vom include în  $\phi'''$  conjuncția de propoziții  $(l_1 \vee l_2 \vee p) \wedge (l_1 \vee l_2 \vee \neg p)$ . S-au introdus literalii  $p$  și  $\neg p$  pentru a putea fi îndeplinită cerința ca fiecare propoziție să conțină *exact* 3 literali:  $(l_1 \vee l_2 \vee p) \wedge (l_1 \vee l_2 \vee \neg p)$  este echivalent cu  $(l_1 \vee l_2)$  indiferent de valoarea lui  $p$ .
- Dacă  $C_i$  are un singur literal  $l$ , atunci vom include în  $\phi'''$  conjuncția de propoziții  $(l \vee p \vee q) \wedge (l \vee p \vee \neg q) \wedge (l \vee \neg p \vee q) \wedge (l \vee \neg p \vee \neg q)$ . Se observă că valoarea acestei expresii va fi  $l$ , indiferent de valorile lui  $p$  și  $q$ .

Vom observa că formula 3-FNC  $\phi'''$  este satisfiabilă dacă, și numai dacă,  $\phi$  este satisfiabilă. Asemenei reducerii de la CIRCUIT-SAT la SAT, construirea formulei  $\phi'$  din  $\phi$  nu alterează proprietatea formulei de a este sau nu satisfiabilă. La al doilea pas, se construiește o formulă FNC  $\phi''$  care este echivalentă, din punct de vedere algebric, cu  $\phi'$ . La al treilea pas, se construiește o formulă 3-FNC  $\phi'''$  care este echivalentă cu  $\phi''$ , deoarece orice atribuire de valori pentru  $p$  și  $q$  duce la o formulă echivalentă, din punct de vedere algebric, cu  $\phi''$ .

Trebuie să arătăm și faptul că această reducere poate fi efectuată în timp polinomial. La construirea formulei  $\phi'$  din  $\phi$  se introduce, cel mult, o variabilă și o propoziție pentru fiecare legătură din  $\phi$ . La construirea formulei  $\phi''$  din  $\phi'$  se introduc, cel mult, 8 propoziții în  $\phi''$  pentru fiecare propoziție din  $\phi'$ , deoarece fiecare propoziție din  $\phi'$  are cel mult 3 variabile, deci tabela de adevăr va avea, cel mult,  $2^3 = 8$  linii. La construirea formulei  $\phi'''$  din  $\phi''$  se introduc, cel mult, 4 propoziții în  $\phi'''$  pentru fiecare propoziție din  $\phi''$ . În concluzie, mărimea formulei  $\phi'''$  depinde, după o funcție polinomială, de lungimea formulei originale, fiecare construcție putând fi realizată foarte ușor în timp polinomial. ■

## Exerciții

**36.4-1** Se consideră reducerea în timp suprapolinomial prezentată în demonstrația teoremei 36.9. Descrieți un circuit de mărime  $n$  care, atunci când este convertit la o formulă folosind această metodă, duce la o formulă a cărei mărime depinde după o funcție exponențială de  $n$ .

**36.4-2** Găsiți formula 3-FNC care rezultă din formula (36.3) atunci când folosim metodele arătate în demonstrația teoremei 36.10.

**36.4-3** Profesorul Jagger propune o demonstrație a faptului că  $SAT \leq_P 3\text{-FNC-SAT}$  folosind numai metoda tabelei de adevăr din demonstrația teoremei 36.10, fără să mai fie nevoie de ceilalți pași. Profesorul propune să luăm în considerare o formulă logică  $\phi$ , să construim tabela de adevăr pentru variabilele sale, să găsim cu ajutorul acestei tabele o formulă 3-FND care este echivalentă cu  $\neg\phi$  și apoi, aplicând regulile lui DeMorgan, să obținem o formulă 3-FNC echivalentă cu  $\phi$ . Arătați că această strategie nu implică o reducere în timp polinomial.

**36.4-4** Arătați că problema determinării faptului că o formulă logică este sau nu o tautologie este completă pentru co-NP. (*Indica ie:* Vezi exercițiul 36.3-6.)

**36.4-5** Arătați că problema satisfiabilității formulelor în formă normal-disjunctivă este rezolvabilă în timp polinomial.

**36.4-6** Să presupunem că cineva găsește un algoritm polinomial pentru problema satisfiabilității formulei. Arătați cum poate fi folosit acest algoritm pentru a găsi atribuiri satisfiabile în timp polinomial.

**36.4-7** Fie 2-FNC-SAT mulțimea formulelor logice, în formă normal-conjunctivă, care sunt satisfiabile și care conțin exact 2 literali în fiecare propoziție. Arătați că  $2\text{-FNC-SAT} \in P$ . Construiți un algoritm cât mai eficient posibil. (*Indica ie:* Observați că  $x \vee y$  este echivalent cu  $\neg x \rightarrow y$ . Reduceți problema 2-FNC-SAT la o problemă de grafuri orientate care este rezolvabilă eficient.)

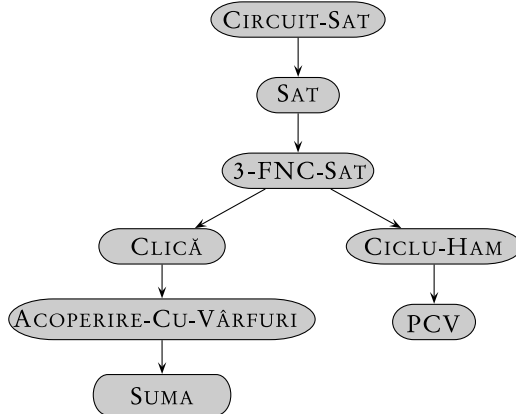
## 36.5. Probleme NP-complete

Problemele NP-complete apar în cele mai diverse domenii: logică, grafuri, aritmetică, proiectarea rețelelor, mulțimi și partiții, memorări și căutări, planificări, programarea matematică, algebră și teoria numerelor, jocuri, teoria limbajelor și a automatelor, optimizarea programelor și multe altele. În această parte vom folosi metoda reducerii pentru a demonstra NP-completitudinea pentru o varietate de probleme din domeniul teoriei grafurilor și a partiționării mulțimilor.

Figura 36.11 ilustrează structura demonstrațiilor de NP-completitudine din această secțiune și din secțiunea 36.4. Fiecare limbaj din figură este demonstrat a fi NP-complet printr-o reducere de la limbajul care îi este părinte în arborele prezentat. Rădăcina este CIRCUIT-SAT a căruia NP-completitudine a fost dovedită în teorema 36.7.

### 36.5.1. Problema clicii

O **clică**, într-un graf neorientat  $G = (V, E)$ , este o submulțime  $V' \subseteq V$  cu proprietatea că între fiecare pereche de vârfuri din  $V'$  există o muchie din  $E$ . Cu alte cuvinte, o clică este un subgraf complet al lui  $G$ . **Mărimea clicii** este dată de numărul de vârfuri pe care îl conține. **Problema clicii** este problema de optim care cere găsirea unei clici de dimensiune maximă în graf. Problema de decizie corespunzătoare va fi determinarea faptului dacă există o clică de



**Figura 36.11** Structura demonstrațiilor de NP-completitudine din secțiunile 36.4 și 36.5. Fiecare demonstrație rezultă, în cele din urmă, din NP-completitudinea problemei satisfiabilității circuitului.

mărime  $k$ . Definiția limbajului formal este:  $\text{CLICĂ} = \{\langle G, k \rangle : G \text{ este un graf care conține o clică de dimensiune } k\}$ .

Un algoritm naiv pentru rezolvarea acestei probleme este de a determina toate submulțimile având  $k$  elemente ale lui  $V$  și a verifica dacă formează o clică. Timpul de execuție al acestui algoritm este  $\Omega(k^2 \binom{|V|}{k})$ , deci este un timp polinomial dacă  $k$  este o constantă. În general,  $k$  ar putea fi proporțional cu  $|V|$ , caz în care programul, care implementează algoritmul ar rula în timp suprapolinomial. După cum, probabil, presupuneti este puțin probabil să existe un algoritm eficient pentru problema clicii.

**Teorema 36.11** Problema clicii este NP-completă.

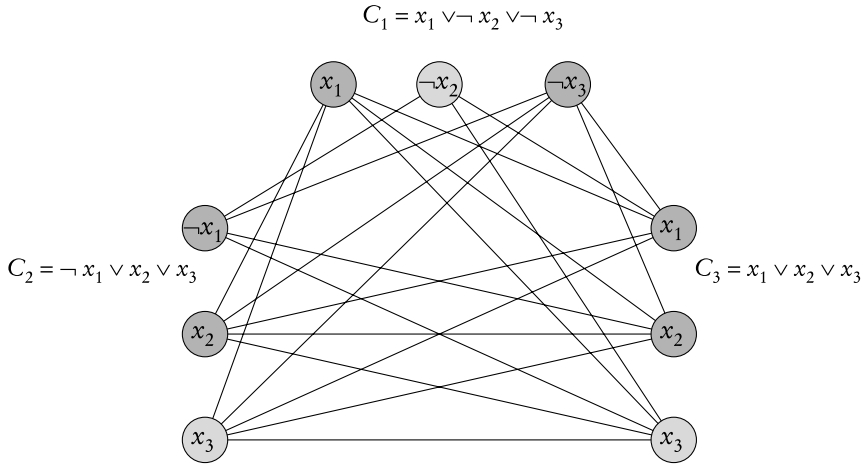
**Demonstrație.** Pentru a arăta că  $\text{CLICĂ} \in NP$  pentru un graf dat  $G = (V, E)$ , folosim mulțimea  $V' \subseteq V$  a vârfurilor clicii ca probă pentru  $G$ . Verificarea faptului că  $V'$  este o clică poate fi efectuată în timp polinomial, verificând pentru fiecare pereche  $u, v \in V'$  dacă muchia  $(u, v) \in E$ .

Arătăm, apoi, că problema clicii este NP-dificilă demonstrând că  $3\text{-FNC-SAT} \leq_P \text{CLICĂ}$ . Faptul că vom putea demonstra acest lucru este, într-un anume fel, surprinzător, deoarece formulele logice par a avea puține în comun cu grafurile.

Algoritmul de reducere începe cu o instanță a problemei 3-FNC-SAT. Fie  $\phi = C_1 \wedge C_2 \wedge \dots \wedge C_k$  o formulă logică în 3-FNC cu  $k$  propoziții. Pentru  $r = 1, 2, \dots, k$ , fiecare propoziție  $C_r$  are exact trei literali distincți  $l_1^r, l_2^r$  și  $l_3^r$ . Vom construi un graf  $G$  astfel încât  $\phi$  să fie satisfiabilă dacă, și numai dacă,  $G$  are o clică de mărime  $k$ .

Graful  $G = (V, E)$  este construit după cum urmează. Pentru fiecare propoziție  $C_r = (l_1^r \vee l_2^r \vee l_3^r)$  din  $\phi$  introducem un triplet de vârfuri  $v_1^r, v_2^r$  și  $v_3^r$  în  $V$ . Între două vârfuri  $v_i^r$  și  $v_j^s$  va exista muchie dacă sunt îndeplinite simultan următoarele condiții:

- $v_i^r$  și  $v_j^s$  fac parte din triplete diferite, adică  $r \neq s$ ;
- literalii corespunzători acestor vârfuri sunt **consistenți**, adică  $l_i^r$  nu este negația lui  $l_j^s$ .



**Figura 36.12** Graful  $G$  obținut din formula 3-FNC  $\phi = C_1 \wedge C_2 \wedge C_3$  unde  $C_1 = (x_1 \vee \neg x_2 \vee \neg x_3)$ ,  $C_2 = (\neg x_1 \vee x_2 \vee x_3)$  și  $C_3 = (x_1 \vee x_2 \vee x_3)$  pentru reducerea de la 3-FNC-SAT la CLICĂ. O atribuire satisfiabilă pentru formulă este  $\langle x_1 = 0, x_2 = 0, x_3 = 1 \rangle$ . Această atribuire satisfacă  $C_1$  prin  $\neg x_2$ ,  $C_2$  și  $C_3$  prin  $x_3$ . Vârfurile clicii corespunzătoare sunt cele deschise la culoare.

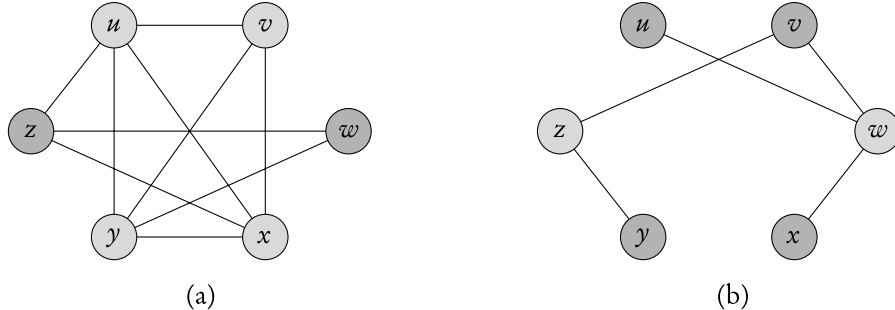
Acest graf poate fi foarte ușor determinat, cu ajutorul lui  $\phi$ , în timp polinomial. În figura 36.12 este prezentat graful corespunzător expresiei:

$$\phi = (x_1 \vee \neg x_2 \vee \neg x_3) \wedge (\neg x_1 \vee x_2 \vee x_3) \wedge (x_1 \vee x_2 \vee x_3).$$

Trebuie să arătăm că această transformare de la  $\phi$  la  $G$  este, într-adevăr, o reducere. Să presupunem, mai întâi, că  $\phi$  are o atribuire satisfiabilă. Atunci, fiecare propoziție  $C_r$  conține cel puțin un literal  $l_i^r$  căruia i-a fost atribuită valoarea 1 și fiecare astfel de literal corespunde unui vârf  $v_i^r$ . Alegând un astfel de literal pentru fiecare propoziție, obținem o mulțime de  $k$  vârfuri. Afirmăm că  $V'$  este o clică. Pentru fiecare două vârfuri  $v_i^r$  și  $v_j^s \in V'$ , cu  $r \neq s$ , literalilor corespunzători le-a fost atribuită valoarea 1, deci acești literalii nu pot fi unul complementul celuilalt. Deci, datorită modului în care a fost construit graful  $G$ , muchia  $(v_i^r, v_j^s)$  aparține lui  $E$ .

Invers, să presupunem că  $G$  are o clică  $V'$  de dimensiune  $k$ . Nici o muchie din  $G$  nu leagă vârfuri din același triplet, deci  $V'$  conține exact un vârf pentru fiecare triplet. Putem atribui valoarea 1 pentru fiecare literal  $l_i^r$ , pentru care  $v_i^r \in V'$ , fără a mai fi necesară verificarea cazului în care a fost atribuită valoarea 1, atât unui literal cât și complementului său, deoarece  $G$  nu conține muchii între vârfurile corespunzătoare unor literalii inconsistenti. Astfel, fiecare propoziție va fi satisfiabilă, deci  $\phi$  va fi și ea satisfiabilă. (Fiecare variabilă care nu corespunde vreunui vârf al grafului poate primi o valoare arbitrară.) ■

În exemplul din figura 36.12 o atribuire satisfiabilă pentru  $\phi$  este  $\langle x_1 = 0, x_2 = 0, x_3 = 1 \rangle$ , iar clica de dimensiune  $k = 3$  corespunzătoare constă din vârfurile care corespund lui  $\neg x_2$  din prima propoziție,  $x_3$  din a doua și tot  $x_3$  din a treia.



**Figura 36.13** Reducere de la CLICĂ la ACOPERIRE-CU-VÂRFURI. (a) Un graf neorientat  $G = (V, E)$  cu clica  $V' = \{u, v, x, y\}$  (b) Graful  $\bar{G}$  obținut în urma algoritmului de reducere care are multimea stabilă  $V - V' = \{w, z\}$ .

### 36.5.2. Problema acoperirii cu vârfuri

O **acoperire cu vârfuri** a unui graf neorientat  $G = (V, E)$  este o submultime  $V' \subseteq V$  astfel încât, dacă  $(u, v) \in E$ , atunci cel puțin unul din vârfurile  $u$  și  $v$  face parte din  $V'$ . Aceasta înseamnă că fiecare vârf își “acoperă” muchiile incidente și că o acoperire cu vârfuri pentru  $G$  este o mulțime de vârfuri care acoperă toate muchiile din  $E$ . **Dimensiunea** unei acoperiri cu vârfuri este dată de numărul vârfurilor pe care le conține. De exemplu, graful din figura 36.13(b) are o acoperire cu vârfuri  $\{w, z\}$  de dimensiune 2.

**Problema acoperirii cu vârfuri** cere determinarea unei acoperiri cu vârfuri de dimensiune minimă într-un graf dat. Reformulând această problemă de optim ca o problemă de decizie, vom cere verificarea faptului că un graf are o acoperire cu vârfuri de dimensiune dată  $k$ . Limbajul formal corespunzător poate fi definit astfel:

$\text{ACOPERIRE-CU-VÂRFURI} = \{\langle G, k \rangle : \text{graful } G \text{ are o acoperire cu vârfuri de dimensiune } k\}$ . Următoarea teoremă arată că această problemă este NP-completă.

**Teorema 36.12** Problema acoperirii cu vârfuri este NP-completă.

**Demonstrație.** Arătăm, mai întâi, că  $\text{ACOPERIRE-CU-VÂRFURI} \in \text{NP}$ . Să presupunem că avem un graf  $G = (V, E)$  și un întreg  $k$ . Proba pe care o alegem este chiar acoperirea cu vârfuri  $V' \subseteq V$ . Algoritmul de verificare afirmă că  $|V'| = k$  și apoi verifică, pentru fiecare muchie  $(u, v) \in E$ , dacă  $u \in V'$  sau  $v \in V'$ . Această verificare poate fi efectuată în mod direct, în timp polinomial.

Demonstrăm că problema acoperirii cu vârfuri este NP-dificilă arătând că  $\text{CLICĂ} \leq_P \text{ACOPERIRE-CU-VÂRFURI}$ . Reducerea este bazată pe noțiunea de “complement” al unui graf. Dându-se un graf neorientat  $G = (V, E)$ , definim **complementul** lui  $G$  ca fiind  $\bar{G} = (V, \bar{E})$  unde  $\bar{E} = \{(u, v) : (u, v) \notin E\}$ . Cu alte cuvinte  $\bar{G}$  este graful care conține exact acele muchii care nu sunt conținute în  $G$ . În figura 36.13 se arată un graf și complementul său și ilustrează reducerea de la CLICĂ la ACOPERIRE-CU-VÂRFURI.

Algoritmul de reducere are ca intrare o instanță  $\langle G, k \rangle$  a problemei clicii. Calculează complementul  $\bar{G}$ , fapt care poate fi realizat foarte ușor în timp polinomial. Ieșirea algoritmului de reducere este instanța  $\langle \bar{G}, |V| - k \rangle$  a problemei acoperirii cu vârfuri. Pentru a completa demonstrația, arătăm că această transformare este, într-adevăr, o reducere: graful  $G$  are o clică de dimensiune  $k$  dacă, și numai dacă, graful  $\bar{G}$  are o acoperire cu vârfuri de dimensiune  $|V| - k$ .

Să presupunem că  $G$  are o clică  $V' \subseteq V$  cu  $|V'| = k$ . Susținem că  $V - V'$  este o acoperire cu vârfuri în  $\bar{G}$ . Fie  $(u, v)$  o muchie în  $\bar{E}$ . Atunci  $(u, v) \notin E$ , ceea ce implică faptul că cel puțin unul din vârfurile  $u$  și  $v$  nu aparțin lui  $V'$  deoarece fiecare pereche de vârfuri din  $V'$  este legată printr-o muchie din  $E$ . Acest lucru este echivalent cu faptul că cel puțin unul din vârfurile  $u$  și  $v$  este în  $V - V'$ , ceea ce înseamnă că muchia  $(u, v)$  este acoperită de  $V - V'$ . Deoarece  $(u, v)$  a fost aleasă în mod arbitrar din  $\bar{E}$ , fiecare muchie din  $\bar{E}$  este acoperită de un vârf din  $V - V'$ . În concluzie, mulțimea  $V - V'$ , care are dimensiunea  $|V| - k$ , este o acoperire cu vârfuri pentru  $\bar{G}$ .

Invers, să presupunem că  $\bar{G}$  are o acoperire cu vârfuri  $V' \subseteq V$ , unde  $|V'| = |V| - k$ . Pentru orice  $u, v \in V$ , dacă  $(u, v) \in \bar{E}$ , atunci cel puțin unul din vârfurile  $u$  și  $v$  aparțin lui  $V'$ . O implicație echivalentă este că pentru orice  $u, v \in V$  dacă,  $u \notin V'$  și  $v \notin V'$ , atunci,  $(u, v) \in E$ . Cu alte cuvinte  $V - V'$  este o clică de dimensiune  $|V| - |V'| = k$ . ■

Deoarece ACOPERIRE-CU-VÂRFURI este NP-completă, nu ne așteptăm să găsim un algoritm polinomial pentru determinarea unei acoperiri cu vârfuri minime. În secțiunea 37.1 este prezentat un “algoritm de aproximare” polinomial care dă o soluție “aproximativă” pentru problema acoperirii cu vârfuri. Dimensiunea acoperirii cu vârfuri, furnizată de acest algoritm, este cel mult de două ori mai mare decât dimensiunea minimă a acoperirii cu vârfuri.

În concluzie, nu ar trebui să încetăm să fim optimiști doar din cauză că o problemă este NP-completă. Poate există un algoritm de aproximare polinomial care obține o soluție aproape optimă, chiar dacă găsirea unei soluții optime este o problemă NP-completă. În capitolul 37 sunt prezentate mai mulți algoritmi de aproximare pentru diferite probleme NP-complete.

### 36.5.3. Problema sumei submulțimii

Următoarea problemă NP-completă pe care o vom lua în considerare este o problemă de aritmetică. În **problema sumei submulțimii** se dă o mulțime finită  $S \subset \mathbb{N}$  și o țintă  $t \in \mathbb{N}$  și se cere verificarea faptului că există o submulțime  $S'$  a lui  $S$ , pentru care suma elementelor componente este  $t$ . De exemplu, dacă  $S = \{1, 4, 16, 64, 256, 1040, 1041, 1093, 1284, 1344\}$  și  $t = 3754$  atunci submulțimea  $S' = \{1, 16, 64, 256, 1040, 1093, 1284\}$  este o soluție.

Ca de obicei vom defini problema ca un limbaj formal:

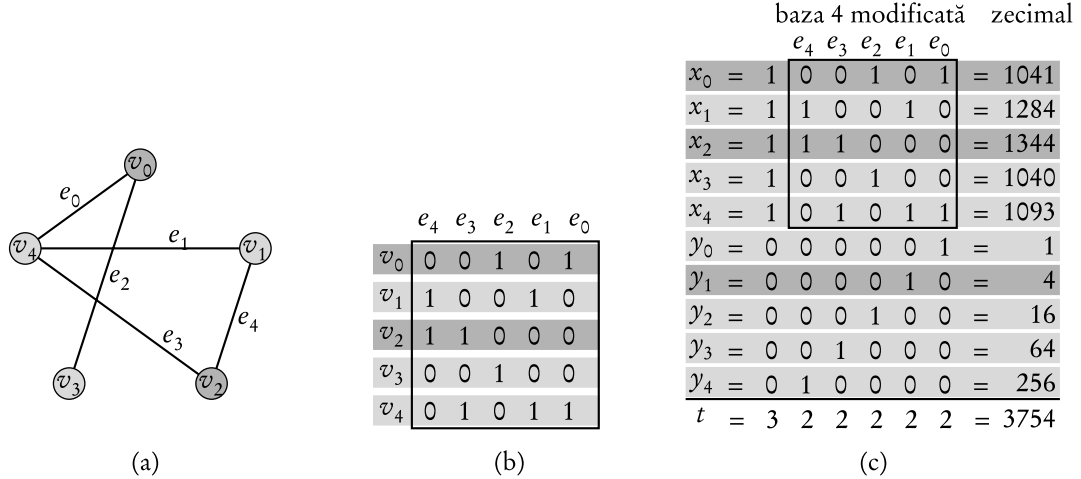
$$\text{SUMA} = \{\langle S, t \rangle : \text{există o submulțime } S' \subseteq S \text{ astfel încât } t = \sum_{s \in S'} s\}.$$

Ca pentru orice problemă de aritmetică, este important să amintim că o codificare standard presupune că numerele întregi date la intrare sunt reprezentări în baza 2. Înțând cont de această presupunere putem arăta că este puțin probabil ca problema sumei submulțimii să aibă un algoritm rapid.

**Teorema 36.13** Problema sumei submulțimii este NP-completă.

**Demonstrație.** Pentru a arăta că **SUMA** ∈ NP, pentru fiecare instanță  $\langle S, t \rangle$  a acestei probleme, luăm ca probă submulțimea  $S'$ . Algoritmul care verifică dacă  $t = \sum_{s \in S'} s$  este unul polinomial.

Arătăm, acum, că ACOPERIRE-CU-VÂRFURI ≤P SUMA. Dându-se o instanță  $\langle G, k \rangle$  a problemei acoperirii cu vârfuri, algoritmul de reducere va construi o instanță  $\langle S, t \rangle$  a problemei sumei submulțimii astfel încât  $G$  va avea o acoperire cu vârfuri de dimensiune  $k$  dacă și numai, dacă, există o submulțime a lui  $S$  pentru care suma elementelor este exact  $t$ .



**Figura 36.14** Reducerea problemei acoperirii cu varfuri la problema sumei submultimii. (a) Un graf neorientat  $G$ . O acoperire cu varfuri  $\{v_1, v_3, v_4\}$  de dimensiune 3, multime formată din varfurile hașurate deschis. (b) Matricea de incidentă corespunzătoare. Linile hașurate deschis corespund acoperirii cu varfuri de la (a). Fiecare muchie  $e_j$  are un 1 în cel puțin o linie hașurată deschis. (c) Instanță corespunzătoare pentru problema sumei submultimii. Porțiunea din chenar este matricea de incidentă. Aici acoperirea cu varfuri  $\{v_1, v_3, v_4\}$  de dimensiune  $k = 3$  corespunde submulțimii hașurate deschis  $\{1, 16, 64, 256, 1040, 1093, 1284\}$  pentru care suma elementelor este 3754.

Elementul de bază al reducerii este o reprezentare a lui  $G$  cu ajutorul unei matrice de incidentă. Fie  $G = (V, E)$  un graf neorientat,  $V = \{v_0, v_1, \dots, v_{|V|-1}\}$  și  $E = \{e_0, e_1, \dots, e_{|E|-1}\}$ . **Matricea de incidentă** a lui  $G$  este o matrice  $B = (b_{ij})$ , de dimensiune  $|V| \times |E|$ , astfel încât

$$b_{ij} = \begin{cases} 1 & \text{dacă muchia } e_j \text{ este incidentă varfului } v_i, \\ 0 & \text{în caz contrar.} \end{cases}$$

De exemplu, figura 36.14(b) arată matricea de incidentă pentru graful neorientat din figura 36.14(a). Matricea de incidentă conține muchiile cu indicele mai mic la dreapta și nu la stânga, așa cum este reprezentarea convențională. S-a făcut această alegere pentru a simplifica formulele pentru numerele din  $S$ .

Dându-se un graf  $G$  și un întreg  $k$ , algoritmul de reducere determină o mulțime  $S$  de numere și un întreg  $t$ . Pentru a înțelege cum funcționează acest algoritm, reprezentăm numerele în “baza 4 modificată”. Cele  $|E|$  cifre de ordin inferior vor fi cifre ale bazei 4, iar cele de ordin superior pot lua valori până la  $k$ . Mulțimea de numere este construită în aşa fel, încât nici un transport nu se poate propaga de la cifrele de ordin inferior la cele de ordin superior.

Mulțimea  $S$  constă din două tipuri de numere corespunzând varfurilor, respectiv muchiilor. Pentru fiecare varf  $v_i \in V$ , creăm un întreg pozitiv  $x_i$  a cărui reprezentare în baza 4 modificată constă dintr-un 1 urmat de  $|E|$  cifre. Cifrele corespund celei de-a  $v_i$ -a linie a matricei de incidentă  $B = (b_{ij})$  a lui  $G$ , după cum se vede în figura 36.14(c). Putem spune că pentru  $i = 0, 1, \dots, |V|-1$

avem

$$x_i = 4^{|E|} + \sum_{j=0}^{|E|-1} b_{ij} 4^j.$$

Pentru fiecare muchie  $e_j \in E$ , creăm un întreg pozitiv  $y_j$  care reprezintă o linie a matricei "identitate" de incidentă. (Matricea identitate de incidentă este o matrice de dimensiuni  $|E| \times |E|$  cu elemente egale cu 1 numai pe pozițiile de pe diagonală. Putem spune că pentru  $j = 0, 1, \dots, |E| - 1$

$$y_j = 4^j.$$

Prima cifră a sumei ţintă  $t$  este  $k$  și celelalte  $|E|$  cifre de ordin inferior sunt 2-uri. Putem spune că

$$t = k4^{|E|} + \sum_{j=0}^{|E|-1} 2 \cdot 4^j.$$

Toate aceste numere au mărime polinomială când sunt reprezentate în baza 2. Reducerea poate fi efectuată în timp polinomial, manipulând biții matricei de incidentă.

Trebuie să arătăm că graful  $G$  are o acoperire cu vârfuri de dimensiune  $k$  dacă, și numai dacă, există o submulțime  $S' \subseteq S$  pentru care suma elementelor este  $t$ . Să presupunem, mai întâi, că  $G$  are o acoperire cu vârfuri  $V' \subseteq V$  de dimensiune  $k$ . Fie  $V' = \{v_{i_1}, v_{i_2}, \dots, v_{i_k}\}$  și  $S' = \{x_{i_1}, x_{i_2}, \dots, x_{i_k}\} \cup \{y_j : e_j \text{ este incidentă exact unui vârf din } V'\}$ .

Pentru a arăta că  $\sum_{s \in S'} s = t$ , să observăm că, însumând cei  $k$  de 1 cu care începe fiecare  $x_{i_m} \in S'$ , obținem cifra  $k$  ca primă cifră pentru reprezentarea în baza 4 modificată a lui  $t$ . Pentru a obține cifrele de ordin inferior ale lui  $t$  (toate sunt 2), să considerăm, pe rând, pozițiile cifrelor, fiecare corespunzând unei muchii  $e_j$ . Deoarece  $V'$  este o acoperire cu vârfuri,  $e_j$  este incidentă cel puțin unui vârf din  $V'$ . Deci, pentru fiecare muchie  $e_j$ , există cel puțin un  $x_{i_m} \in S'$  cu 1 pe poziția  $j$ . Dacă  $e_j$  este incidentă la două vârfuri din  $V'$ , atunci ambele vârfuri contribuie cu un 1 în poziția  $j$ . A  $j$ -a cifră a lui  $y_j$  nu contribuie cu nimic deoarece  $e_j$  este incidentă la două vârfuri, ceea ce implică  $y_j \notin S'$ . Deci, în acest caz, suma pentru  $S'$  va duce la apariția cifrei 2 pe poziția  $j$  a lui  $t$ . În celălalt caz – când  $e_j$  este incidentă exact unui vârf din  $V'$  – avem  $y_j \in S'$ , iar vârful incident și  $y_j$  vor contribui ambele cu câte un 1 pe poziția  $j$  a lui  $t$ , deci va apărea tot un 2. Deci  $S'$  este o soluție pentru instanța  $S$  a problemei sumei submulțimii.

Să presupunem, acum, că există o submulțime  $S' \subseteq S$  pentru care suma elementelor este  $t$ . Fie  $S' = \{x_{i_1}, x_{i_2}, \dots, x_{i_m}\} \cup \{y_{j_1}, y_{j_2}, \dots, y_{j_p}\}$ . Afirmăm că  $m = k$  și că  $V' = \{v_{i_1}, v_{i_2}, \dots, v_{i_m}\}$  este o acoperire cu vârfuri pentru  $G$ . Pentru a demonstra acest lucru, începem prin a observa că, pentru fiecare muchie  $e_j \in E$ ,  $S$  conține trei întregi care au cifra 1 pe poziția  $e_j$ : câte unul pentru fiecare dintre vârfurile incidente muchiei  $e_j$  și unul pentru  $y_j$ . Deoarece lucrăm cu reprezentarea în baza 4 modificată, nu vor fi transferuri de la poziția  $e_j$  la poziția  $e_{j+1}$ . Deci, pentru fiecare din cele  $|E|$  poziții de ordin inferior ale lui  $t$ , cel puțin unul și cel mult doi  $x_i$  trebuie să contribuie la sumă. Deoarece ultimul  $x_i$  contribuie la suma corespunzătoare fiecărei muchii, observăm că  $V'$  este o acoperire cu vârfuri. Pentru a demonstra că  $m = k$  și, deci, că  $V'$  este o acoperire cu vârfuri de dimensiune  $k$ , observăm că singura modalitate de a obține  $k$  pe prima poziție a ţintei  $t$  este a include  $x_i$  de  $k$  ori în sumă. ■

În figura 36.14, acoperirea cu vârfuri  $V' = \{v_1, v_3, v_4\}$  corespunde submulțimii  $S' = \{x_1, x_3, x_4, y_0, y_2, y_3, y_4\}$ . Fiecare  $y_j$  este inclus în  $S'$  cu excepția lui  $y_1$  care este incident la două vârfuri din  $V'$ .

### 36.5.4. Problema ciclului hamiltonian

Ne întoarcem la problema ciclului hamiltonian definită în secțiunea 36.2.

**Teorema 36.14** Problema ciclului hamiltonian este NP-completă.

**Demonstrație.** Arătăm, mai întâi, că CICLU-HAM ∈ NP. Dându-se un graf  $G = (V, E)$ , proba este o secvență de  $|V|$  noduri care formează ciclul hamiltonian. Verificăm, cu ajutorul algoritmului de verificare, dacă secvența conține fiecare vârf din  $V$  exact o dată și că primul vârf se repetă la sfârșit. Această verificare poate fi făcută în timp polinomial.

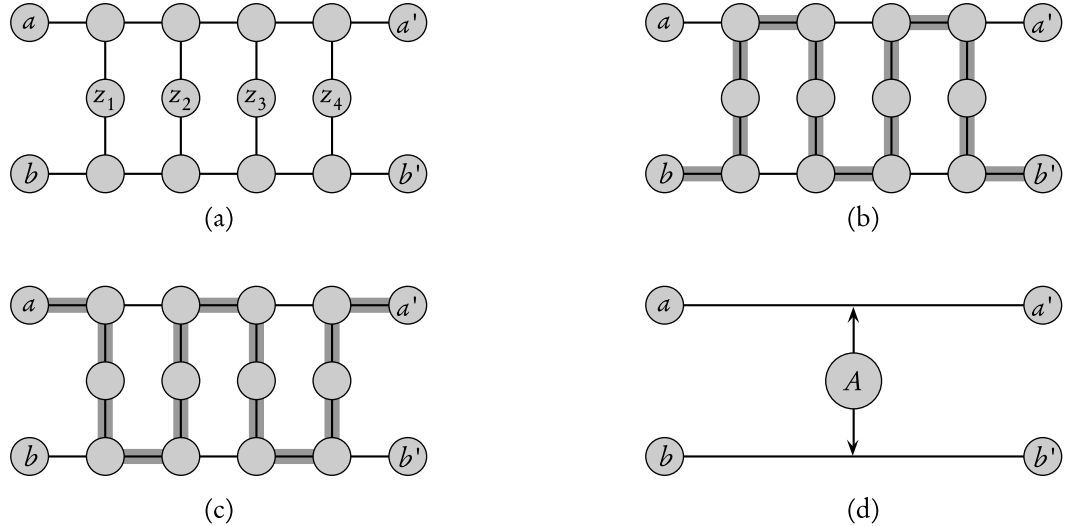
Demonstrăm că CICLU-HAM este NP-completă arătând că 3-FNC-SAT  $\leq_P$  CICLU-HAM. Dându-se o formulă logică  $\phi$  în formă normală conjunctivă care conține variabilele  $x_1, x_2, \dots, x_n$  cu propozițiile  $C_1, C_2, \dots, C_k$ , fiecare conținând exact 3 literali distincți, construim graful  $G = (V, E)$  în timp polinomial astfel încât  $G$  are un ciclu hamiltonian dacă, și numai dacă,  $\phi$  este satisfiabilă. Construcția noastră se bazează pe **grafuri ajutătoare** care sunt componente ale grafurilor care au câteva proprietăți speciale.

Primul graf ajutător este subgraful  $A$  prezentat în figura 36.15(a). Să presupunem că  $A$  este un subgraf al unui graf  $G$  și singurele legături dintre  $A$  și restul grafului  $G$  sunt realizate prin nodurile  $a, a', b$  și  $b'$ . Să presupunem că  $G$  are un ciclu hamiltonian. Deoarece orice ciclu hamiltonian al lui  $G$  trebuie să treacă prin vârfurile  $z_1, z_2, z_3$  și  $z_4$  într-unul din modurile arătate în figurile 36.15(b) și (c), putem trata subgraful  $A$  ca și cum ar fi o simplă pereche de muchii  $(a, a')$  și  $(b, b')$  cu restricția că orice ciclu hamiltonian din  $G$  trebuie să includă exact una dintre aceste muchii. Vom reprezenta graful ajutător  $A$  aşa cum este arătat în figura 36.15(d).

Subgraful  $B$  din figura 36.16 este al doilea graf ajutător pe care îl luăm în considerare. Să presupunem că  $B$  este un subgraf al unui graf  $G$  și că singurele legături dintre  $B$  și restul grafului  $G$  sunt prin nodurile  $b_1, b_2, b_3$  și  $b_4$ . Un ciclu hamiltonian al grafului  $G$  nu poate conține, concomitent, muchiile  $(b_1, b_2)$ ,  $(b_2, b_3)$  și  $(b_3, b_4)$  deoarece, în acest caz, toate celelalte vârfuri ale grafului ajutător, în afară de  $b_1, b_2, b_3$  și  $b_4$ , nu vor putea apărea în ciclu. Un ciclu hamiltonian al lui  $G$  poate traversa orice submulțime a acestor muchii. Figurile 36.16 (a)–(e) arată cinci astfel de submulțimi; cele două submulțimi rămase pot fi obținute prin oglindirea față de orizontală a părților (b) și (e). Reprezentăm acest graf ajutător ca în figura 36.18(f), ideea fiind că cel puțin unul din drumurile indicate de săgeți trebuie să apară și în ciclul hamiltonian.

Graful  $G$  pe care îl vom construi constă, în cea mai mare măsură, din aceste două grafuri ajutătoare. Construcția este ilustrată în figura 36.17. Pentru fiecare din cele  $k$  propoziții din  $\phi$ , includem o copie a grafului ajutător  $B$  și unim aceste grafuri ajutătoare într-o serie după cum urmează. Dacă  $b_{ij}$  este copia vârfului  $b_j$  în a  $i$ -a componentă a lui  $B$ , conectăm  $b_{i,4}$  cu  $b_{i+1,1}$  pentru  $i = 1, 2, \dots, k - 1$ .

Apoi, pentru fiecare variabilă  $x_m$  din  $\phi$ , includem două vârfuri  $x'_m$  și  $x''_m$ . Conectăm aceste două vârfuri prin două copii ale muchiei  $(x'_m, x''_m)$  pe care le notăm prin  $e_m$  și  $\bar{e}_m$  pentru a le distinge. Ideea este că, dacă ciclul hamiltonian trece prin  $e_m$ , aceasta corespunde atribuirii valorii 1 variabilei  $x_m$ . Dacă ciclul hamiltonian trece prin muchia  $\bar{e}_m$ , valoarea atribuită variabilei  $x_m$  este 0. Fiecare pereche de muchii formează un ciclu având două muchii. Conectăm aceste mici



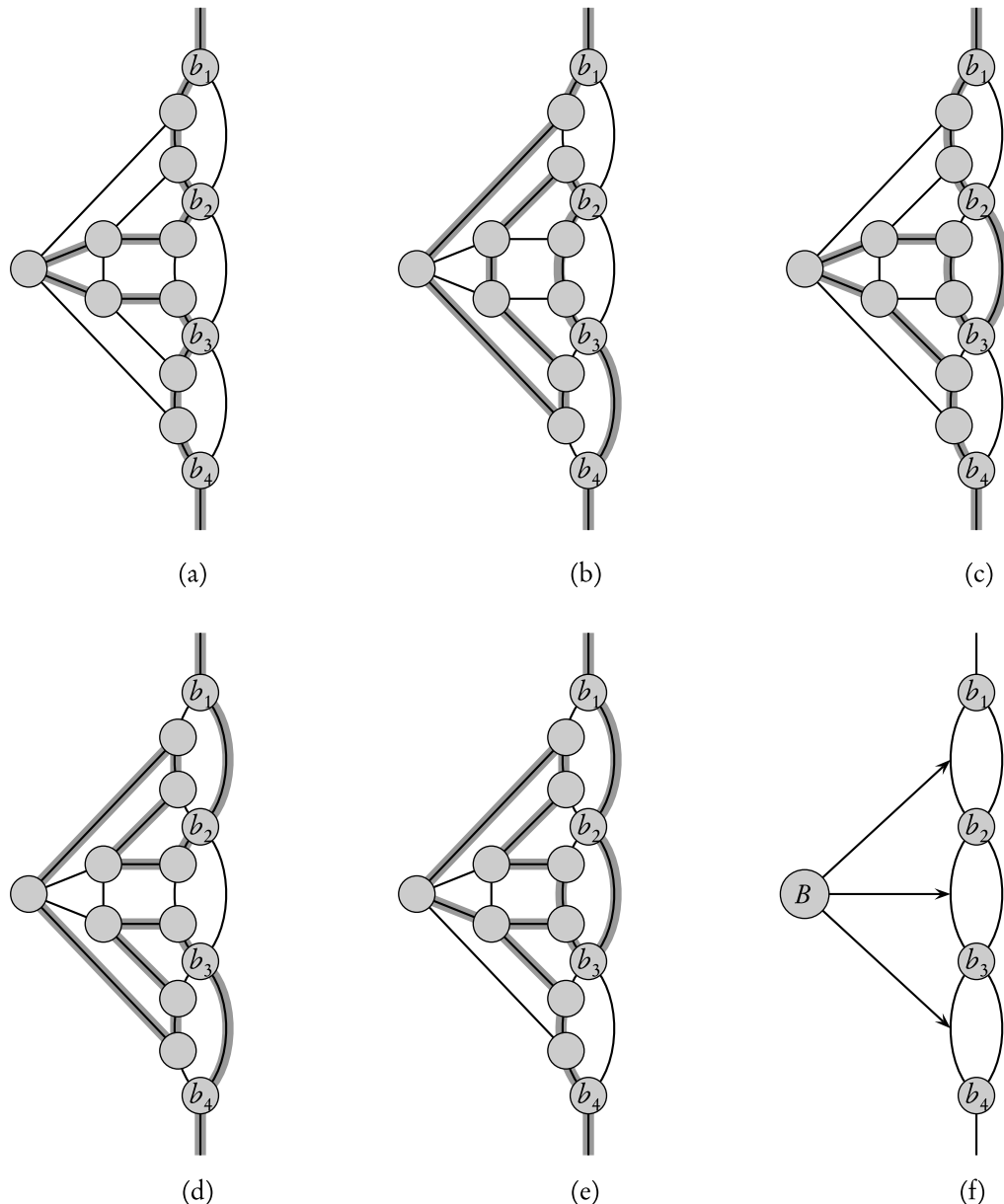
**Figura 36.15** (a) Graful ajutător A folosit în reducerea de la 3-FNC-SAT la CICLU-HAM. (b)-(c) Dacă A este un subgraf al unui graf  $G$  care conține un ciclu hamiltonian și singurele legături ale lui A cu restul grafului  $G$  se fac prin vârfurile  $a, a', b$  și  $b'$ , atunci, muchiile hașurate reprezintă singurele drumuri posibile în care ciclul hamiltonian poate traversa muchiile subgrafului A. (d) O reprezentare compactă a grafului ajutător A.

cicluri într-o serie adăugând muchiile  $(x'_m, x''_{m+1})$  pentru  $m = 1, 2, \dots, n - 1$ . Legăm partea dreapta a grafului cu partea stângă cu ajutorul a două muchii  $(b_{1,1}, x'_1)$  și  $(b_{k,4}, x''_n)$ , care reprezintă muchiile cele mai de sus și cele mai de jos din figura 36.17.

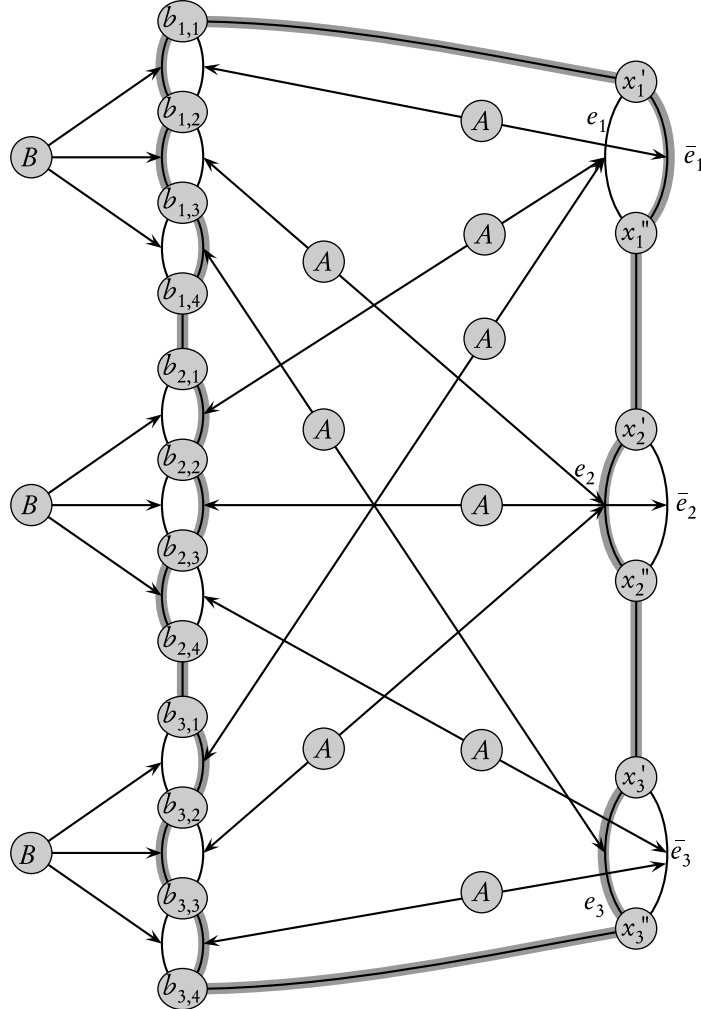
Încă nu am terminat construcția grafului  $G$  deoarece trebuie să realizăm legătura dintre variabile și propoziții. Dacă cel de-al  $j$ -lea literal al propoziției  $C_i$  este  $x_m$ , atunci folosim un graf ajutător  $A$  pentru a uni muchia  $(b_{i,j}, b_{i,j+1})$  cu muchia  $e_m$ . Dacă cel de-al  $j$ -lea literal al propoziției  $C_i$  este  $\neg x_m$ , atunci folosim un graf ajutător  $A$  pentru a uni muchia  $(b_{i,j}, b_{i,j+1})$  cu muchia  $\bar{e}_m$ . În figura 36.17, de exemplu, deoarece propoziția  $C_2$  este  $(x_1 \vee \neg x_2 \vee x_3)$ , plasăm trei grafuri ajutătoare  $A$  după cum urmează:

- între  $(b_{2,1}, b_{2,2})$  și  $e_1$ ,
- între  $(b_{2,2}, b_{2,3})$  și  $\bar{e}_2$ ,
- între  $(b_{2,3}, b_{2,4})$  și  $e_3$ .

Se observă că, pentru conectarea a două muchii printr-un graf ajutător  $A$ , trebuie să înlocuim fiecare muchie cu cele cinci muchii din partea de sus sau de jos a figurii 36.15(a) și, bineînțeles, să adăugăm legăturile care trec prin cele  $z$  vârfuri. Un literal dat  $l_m$  poate apărea în mai multe propoziții ( $\neg x_3$  din figura 36.17, de exemplu), deci o muchie  $e_m$  sau  $\bar{e}_m$  poate fi influențată de mai multe grafuri ajutătoare  $A$  (muchia  $\bar{e}_3$  de exemplu). În acest caz, conectăm grafurile ajutătoare  $A$  în serie, aşa cum se arată în figura 36.18, înlocuind muchiile  $e_m$  sau  $\bar{e}_m$  printr-o serie de muchii.



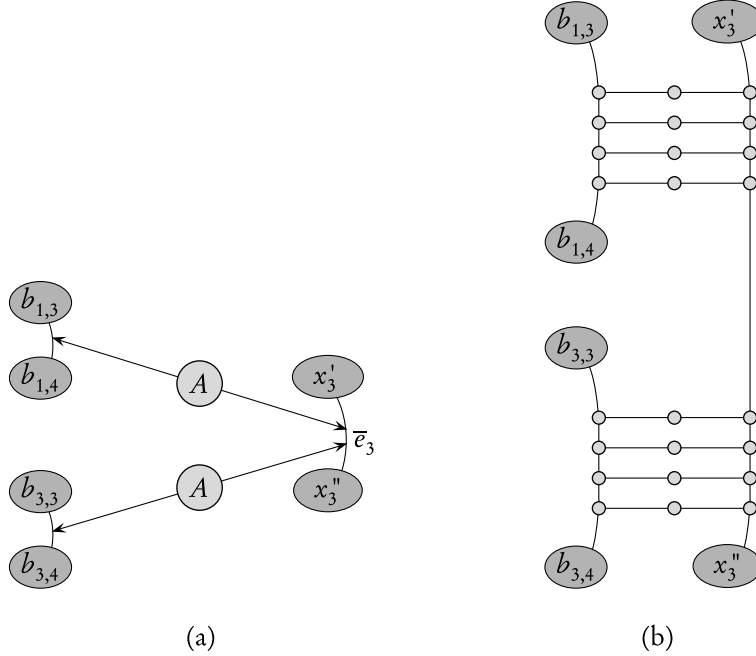
**Figura 36.16** Graful ajutător  $B$ , folosit în reducerea de la 3-FNC-SAT la CICLU-HAM. Nici un drum de la vârful  $b_1$  la vârful  $b_4$ , care conține toate vârfurile din graful ajutător, nu poate folosi concomitent muchiile  $(b_1, b_2)$ ,  $(b_2, b_3)$  și  $(b_3, b_4)$ . Orice submulțime a acestei muchii poate fi folosită. (a)-(e) Cinci astfel de submulțimi. (f) O reprezentare a acestui graf ajutător în care cel puțin unul din drumurile indicate de săgeți trebuie să apară în ciclul hamiltonian.



**Figura 36.17** Graful \$G\$ construit din formula \$\phi = (\neg x\_1 \vee x\_2 \vee \neg x\_3) \wedge (x\_1 \vee \neg x\_2 \vee x\_3) \wedge (x\_1 \vee x\_2 \vee \neg x\_3)\$. O atribuire satisfiabilă \$s\$ pentru variabilele din \$\phi\$ este \$s(x\_1) = 0\$, \$s(x\_2) = 1\$ și \$s(x\_3) = 1\$, ceea ce corespunde ciclului hamiltonian prezentat. Observați că dacă \$s(x\_m) = 1\$ atunci muchia \$e\_m\$ apare în ciclul hamiltonian și dacă \$s(x\_m) = 0\$ atunci în ciclul hamiltonian apare muchia \$\bar{e}\_m\$.

Susținem că formula \$\phi\$ este satisfiabilă dacă, și numai dacă, graful \$G\$ conține un ciclu hamiltonian. Presupunem, mai întâi, că \$G\$ are un ciclu hamiltonian \$h\$ și arătăm că \$\phi\$ este satisfiabilă. Ciclul \$h\$ trebuie să aibă o formă particulară:

- Mai întâi traversează muchia \$(b\_{1,1}, x'\_1)\$ pentru a ajunge din stânga-sus în dreapta-sus.
- Urmează apoi toate vîrfurile \$x'\_m\$ și \$x''\_m\$ de sus în jos, alegând fie muchia \$e\_m\$, fie muchia \$\bar{e}\_m\$ dar nu ambele.



**Figura 36.18** Construcția folosită când o muchie  $e_m$  sau  $\bar{e}_m$  este influențată de mai multe grafuri ajutătoare  $A$ . (a) O porțiune a figurii 36.17. (b) Subgraful construit.

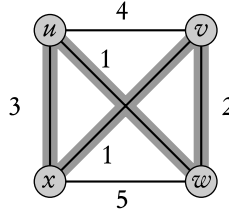
- Traversează muchia  $(b_{k,4}, x''_n)$  pentru a ajunge în partea stângă.
- În final, traversează grafurile ajutătoare  $B$  de jos în sus.

(Traversează, de fapt, și muchiile din grafurile ajutătoare  $A$ , dar folosim aceste subgrafuri pentru a scoate în evidență natura sau/sau a muchiilor pe care le leagă.)

Dându-se un ciclu hamiltonian  $h$ , definim o atribuire de adevăr pentru  $\phi$  după cum urmează. Dacă  $e_m \in h$  atunci atribuim valoarea 1 variabilei  $x_m$ . În caz contrar, muchia  $\bar{e}_m \in h$  și valoarea variabilei  $x_m$  va fi 0.

Susținem că această atribuire satisfacă  $\phi$ . Să considerăm propoziția  $C_i$  și graful ajutător  $B$  corespunzător din  $G$ . Fiecare muchie  $(b_{i,j}, b_{i,j+1})$  este conectată printr-un graf ajutător  $A$ , fie la muchia  $\bar{e}_m$ , fie la muchia  $e_m$ , depinzând de faptul dacă al  $j$ -lea literal este  $x_m$  sau  $\neg x_m$ . Muchia  $(b_{i,j}, b_{i,j+1})$  este traversată de  $h$  dacă, și numai dacă, literalul corespunzător este 0. Deoarece fiecare din cele 3 muchii  $(b_{i,1}, b_{i,2})$ ,  $(b_{i,2}, b_{i,3})$  și  $(b_{i,3}, b_{i,4})$  ale propoziției  $C_i$  apare, de asemenea, într-un graf ajutător  $B$ , nu pot fi traversate toate trei de ciclul hamiltonian  $h$ . Una dintre cele trei muchii trebuie să aibă literalul corespunzător cu valoarea 1, deci propoziția  $C_i$  este satisfiabilă. Această proprietate este respectată pentru fiecare propoziție  $C_i$ ,  $i = 1, 2, \dots, k$ , deci formula  $\phi$  este satisfiabilă.

Invers, să presupunem că formula  $\phi$  este satisfiabilă folosind o anumită atribuire de adevăr. Urmărind regulile de deasupra putem construi un ciclu hamiltonian pentru graful  $G$ : traversăm muchia  $e_m$  dacă  $x_m = 1$ , muchia  $\bar{e}_m$  dacă  $x_m = 0$  și muchia  $(b_{i,j}, b_{i,j+1})$  dacă, și numai dacă, valoarea atribuită celui de-al  $j$ -lea literal al propoziției  $C_i$  este 0. Aceste reguli pot fi într-adevăr



**Figura 36.19** O instanță a problemei comis-voiajorului. Muchiile hașurate reprezintă un ciclu de cost minim, costul fiind 7.

urmărите, deoarece presupunem că  $s$  este o atribuire satisfiabilă pentru formula  $\phi$ .

În final, să observăm că graful  $G$  poate fi construit în timp polinomial. El conține un graf ajutător  $B$  pentru fiecare dintre cele  $k$  propoziții ale lui  $\phi$ . Există un graf ajutător  $A$  pentru fiecare instanță a fiecărui literal din  $\phi$ , deci există  $3k$  grafuri ajutătoare  $A$ . Deoarece grafurile ajutătoare  $A$  și  $B$  au dimensiune fixă, graful  $G$  are  $O(k)$  vârfuri și muchii și poate fi foarte ușor construit în timp polinomial. Putem spune, acum, că am furnizat o reducere în timp polinomial de la 3-FNC-SAT la CICLU-HAM. ■

### 36.5.5. Problema comis-voiajorului

În **problema comis-voiajorului**, care este în strânsă legătură cu problema ciclului hamiltonian, un comis-voiajor trebuie să viziteze  $n$  orașe. Modelând problema pe un graf cu  $n$  vârfuri, putem spune că comis-voiajorul dorește să facă un **tur**, sau un ciclu hamiltonian, vizitând fiecare oraș o singură dată și terminând cu orașul din care a pornit. Pentru călătoria între orașele  $i$  și  $j$  există un cost  $c(i, j)$  reprezentat printr-un număr întreg. Comis-voiajorul dorește să parcurgă un ciclu al cărui cost total să fie minim, unde costul total este suma costurilor individuale de pe muchiile care formează ciclul. De exemplu, în figura 36.19, un ciclu de cost minim este  $\langle u, w, v, x, u \rangle$ , acesta având costul 7. Limbajul formal pentru problema de decizie corespunzătoare este:

$$\text{PCV} = \{\langle G, c, k \rangle : G = (V, E) \text{ este un graf complet, } c \text{ este o funcție de la } V \times V \rightarrow \mathbb{Z}, k \in \mathbb{Z} \text{ și } G \text{ are un ciclu pentru comisul voiajor, de cost cel mult } k\}.$$

Următoarea teoremă arată că este puțin probabil să existe un algoritm rapid pentru problema comis voiajorului.

**Teorema 36.15** Problema comis-voiajorului este NP-completă.

**Demonstrație.** Arătăm, mai întâi, că  $\text{PCV} \in \text{NP}$ . Dându-se o instanță a problemei, folosim ca probă sirul de  $n$  vârfuri care formează ciclul. Algoritmul de verificare testează dacă acest sir conține fiecare nod exact o dată, adună costurile muchiilor și verifică dacă suma este cel mult  $k$ . Acest lucru poate fi, cu siguranță, realizat în timp polinomial.

Pentru a demonstra că  $\text{PCV}$  este NP-dificilă, arătăm că  $\text{CICLU-HAM} \leq_P \text{PCV}$ . Fie  $G = (V, E)$  o instanță a problemei ciclului hamiltonian. Construim o instanță a  $\text{PCV}$  după cum urmează: formăm un graf complet  $G' = (V, E')$  unde  $E' = \{(i, j) : i, j \in V\}$  și definim funcția de cost  $c$  prin:

$$c(i, j) = \begin{cases} 0 & \text{dacă } (i, j) \in E, \\ 1 & \text{dacă } (i, j) \notin E. \end{cases}$$

Instanța problemei PCV este  $(G', c, 0)$  și poate fi foarte ușor determinată în timp polinomial.

Arătăm acum că graful  $G$  are un ciclu hamiltonian dacă, și numai dacă, graful  $G'$  conține un ciclu de cost cel mult 0. Să presupunem că graful  $G$  are un ciclu hamiltonian  $h$ . Fiecare muchie din  $h \in E$ , deci are cost 0 în  $G'$ . Deci  $h$  este un ciclu în  $G'$  cu costul 0. Invers, să presupunem că graful  $G'$  are un ciclu  $h'$  de cost cel mult 0. Deoarece costurile muchiilor din  $E'$  sunt 0 sau 1, costul ciclului este exact 0. În concluzie,  $h'$  conține numai muchii din  $E$ , deci  $h$  este un ciclu hamiltonian în graful  $G$ . ■

## Exerciții

**36.5-1 Problema izomorfismului subgrafului** cere ca, dându-se două grafuri  $G_1$  și  $G_2$ , să se verifice dacă  $G_1$  este izomorf cu un subgraf al lui  $G_2$ . Arătați că această problemă este NP-completă.

**36.5-2** Dându-se o matrice  $A$  de dimensiuni  $m \times n$  cu elemente numere întregi și un vector  $b$  cu elemente numere întregi de dimensiune  $m$ , **problema de programare a întregilor 0-1** cere determinarea existenței unui vector  $x$  de dimensiune  $n$  având elemente din mulțimea  $\{0, 1\}$  astfel încât  $Ax \leq b$ . Demonstrați că această problemă este NP-completă. (*Indica ie:* Reduceți de la 3-FNC-SAT.)

**36.5-3** Arătați că problema sumei submulțimii este rezolvabilă în timp polinomial dacă valoarea ţintă  $t$  este reprezentată unar.

**36.5-4 Problema partitioanării mulțimii** are ca intrare o mulțime  $S$  de numere întregi. Determinați dacă numerele pot fi partitioante în două mulțimi  $A$  și  $\bar{A} = S - A$  astfel încât  $\sum_{x \in A} x = \sum_{x \in \bar{A}} x$ . Arătați că problema partitioanării mulțimii este NP-completă.

**36.5-5** Arătați că problema drumului hamiltonian este NP-completă.

**36.5-6 Problema celui mai lung ciclu elementar** este problema determinării unui ciclu elementar (fără vârfuri care se repetă) de lungime maximă într-un graf. Arătați că această problemă este NP-completă.

**36.5-7** Profesorul Marconi afirmă că subgraful folosit ca graf ajutător  $A$  în demonstrarea teoremei 36.14 este mai complicat decât este necesar: vârfurile  $z_3$  și  $z_4$  din figura 36.15(a) și vârfurile de deasupra și dedesubtul lor nu sunt necesare. Are profesorul dreptate? Adică, funcționează reducerea cu această versiune mai mică a grafului ajutător, sau dispare proprietatea de "sau/sau" a muchiilor?

## Probleme

### 36-1 Mulțime independentă

O **mulțime independentă** a unui graf  $G = (V, E)$  este o submulțime  $V' \subseteq V$  de vârfuri astfel încât fiecare muchie din  $E$  este incidentă la cel mult un vârf din  $V'$ . **Problema mulțimii independente** cere găsirea unei mulțimi externe stabile de dimensiune maximă în  $G$ .

- a. Formulați o problemă de decizie corespunzătoare pentru problema mulțimii independente și demonstrați că este NP-completă. (*Indica ie:* Reduceți de la problema clicii.)
- b. Să presupunem că avem o subrutină care rezolvă problema de decizie definită la punctul (a). Găsiți un algoritm pentru găsirea unei mulțimi independente de dimensiune maximă. Timpul de execuție al algoritmului ar trebui să fie polinomial în  $|V|$  și  $|E|$ . (Apelul subrutinei este considerat a fi un singur pas.)

Cu toate că problema de decizie a mulțimii independente este NP-completă, câteva cazuri particulare pot fi rezolvate în timp polinomial.

- c. Găsiți un algoritm eficient pentru rezolvarea problemei extern stabile când fiecare vârf al lui  $G$  are gradul 2. Analizați timpul de execuție și demonstrați că algoritmul propus este corect.
- d. Găsiți un algoritm eficient pentru rezolvarea problemei mulțimii extern stabile când un graf  $G$  este bipartit. Analizați timpul de execuție și demonstrați că algoritmul propus este corect. (*Indica ie:* Folosiți rezultatele de la secțiunea 27.3)

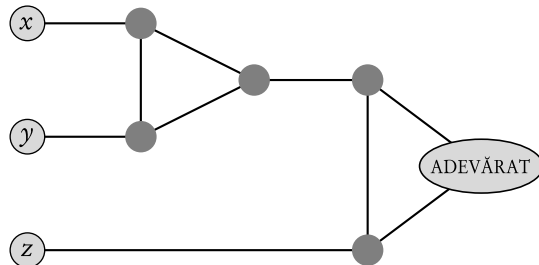
### 36-2 Colorarea grafului

O  **$k$ -colorare** a unui graf neorientat  $G = (V, E)$  este o funcție  $c : V \rightarrow \{1, 2, \dots, k\}$  astfel încât  $c(u) \neq c(v)$  pentru fiecare muchie  $(u, v) \in E$ . Cu alte cuvinte, numerele  $1, 2, \dots, k$  reprezintă  $k$  culori diferite. **Problema colorării grafului** cere determinarea numărului minim de culori necesare pentru colorarea unui graf dat.

- a. Găsiți un algoritm eficient pentru determinarea unei 2-colorări a unui graf, dacă există una.
- b. Reformulați problema colorării grafului într-o problemă de decizie. Arătați că problema de decizie astfel formulată este rezolvabilă în timp polinomial dacă, și numai dacă, problema colorării grafului este rezolvabilă în timp polinomial.
- c. Fie limbajul 3-COL definit ca mulțimea grafurilor care pot fi 3-colorate. Arătați că, dacă 3-COL este NP-completă, atunci problema de decizie formulată la punctul (b) este NP-completă.

Pentru a demonstra că 3-COL este NP-completă, folosiți o reducere de la 3-FNC-SAT. Dându-se o formulă  $\phi$  cu  $m$  propoziții și  $n$  variabile  $x_1, x_2, \dots, x_n$ , construim un graf  $G = (V, E)$  după cum urmează. Mulțimea  $V$  constă dintr-un vârf pentru fiecare variabilă, un vârf pentru negația fiecărei variabile, cinci vârfuri pentru fiecare propoziție și trei vârfuri speciale: ADEVĂRAT, FALSE și ROȘU. Muchiile literalilor formează un triunghi pe vârfurile speciale și, de asemenea, formează un triunghi pe  $x_i, \neg x_i$  și ROȘU pentru  $i = 1, 2, \dots, n$ .

- d. Argumentați că în orice 3-colorare  $c$  a unui graf care conține muchiile literalilor, o variabilă și negația ei sunt colorate cu  $c(\text{ADEVĂRAT})$ , respectiv  $c(\text{FALSE})$ , sau invers. Demonstrați că pentru orice atribuire de adevăr pentru  $\phi$ , există o 3-colorare a grafului care conține numai literalii muchiilor.



**Figura 36.20** Graful ajutător corespunzător propoziției  $(x \vee y \vee z)$  folosit în problema 36-2.

Graful ajutător, prezentat în figura 36.20, este folosit pentru a îndeplini condiția corespunzătoare unei clauze  $(x \vee y \vee z)$ . Fiecare propoziție necesită o copie unică a celor cinci vârfuri care sunt hașurate cu negru în figură. Ele sunt conectate, aşa cum se arată, cu literalii propoziției și cu vârful special ADEVĂRAT.

- e. Demonstrați că, dacă  $x, y$  și  $z$  sunt colorați cu  $c(\text{ADEVĂRAT})$  sau  $c(\text{FALS})$  atunci graful ajutător este 3-colorabil dacă și numai dacă cel puțin unul dintre vârfurile  $x, y$  și  $z$  este colorat cu  $c(\text{ADEVĂRAT})$ .
- f. Completați demonstrația faptului că 3-COL este NP-completă.

## Note bibliografice

Garey și Johnson [79] furnizează un ghid pentru NP-completitudine foarte bine realizat, discutând pe larg teoria și prezentând un catalog cu multe probleme despre care se știa în 1979 că sunt NP-complete. (Lista domeniilor în care apar probleme NP-complete este preluată din cuprinsul lucrării lor.) Hopcroft, Ullman [104] și Lewis, Papadimitriou [139] au o tratare bună a NP-completitudinii în contextul teoriei complexității. Aho, Hopcroft, Ullman [4] acoperă și ei NP-completitudinea și dau câteva reduceri, incluzându-le pe cele de la problema acoperirii cu vârfuri și pe cea a grafului hamiltonian.

Clasa P a fost introdusă în 1964 de Cobham [44] și, independent, de Edmonds [61] în 1965. Aceasta din urmă a introdus și clasa NP și a formulat ipoteza  $P \neq NP$ . Notiunea de NP-completitudine a fost propusă în 1971 de Cook [49], cel care a dat primele demonstrații ale NP-completitudinii pentru problema satisfiabilității formulei și problema satisfiabilității formulei 3-FNC. Levin [138] a descoperit, independent, notiunea, dând o dovedă a NP-completitudinii pentru o problemă de acoperire. Karp [116] a introdus metodologia reducerii în 1972 și a demonstrat marea varietate a problemelor NP-complete. Lucrarea lui Karp include demonstrația originală a NP-completitudinii problemelor clicii, a acoperirii cu vârfuri și a ciclului hamiltonian. De atunci, mulți cercetători au dovedit NP-completitudinea mai multor sute de probleme.

Demonstrația teoremei 36.14 a fost adaptată din lucrarea aparținând lui Papadimitriou și Steiglitz [154].

---

## 37 Algoritmi de aproximare

Multe probleme de importanță practică sunt NP-complete, dar sunt prea importante pentru a fi abandonate pentru simplul fapt că obținerea unei soluții optimale este nefractabilă. Dacă o problemă este NP-completă, este puțin probabil să găsim un algoritm în timp polinomial care să rezolve problema exact, dar aceasta nu înseamnă că am pierdut orice speranță. Există două abordări pentru ocolirea NP-completitudinii. Mai întâi, dacă datele de intrare sunt de dimensiuni reduse, un algoritm cu timp de execuție exponențial poate fi absolut satisfăcător. Apoi, ar putea fi, încă, posibil să obținem soluții *aproape optimale* în timp polinomial (fie în cazul cel mai defavorabil, fie în cazul mediu). În practică, aproape-optimalitatea este, deseori, suficient de bună. Un algoritm care returnează soluții aproape optimale se numește **algoritm de aproximare**. Acest capitol prezintă algoritmi de aproximare în timp polinomial pentru câteva probleme NP-complete.

### Limite de performanță pentru algoritmi de aproximare

Să presupunem că lucrăm la o problemă de optimizare în care fiecare soluție potențială are un cost pozitiv și că dorim să găsim o soluție aproape optimă. În funcție de problemă, o soluție optimă ar putea fi definită ca fiind una cu cost posibil maxim sau una cu cost posibil minim; problema poate fi o problemă de maximizare sau de minimizare.

Spunem că un algoritm de aproximare pentru problemă are **marginea raportului** de  $\rho(n)$  dacă, pentru orice date de intrare de dimensiune  $n$ , costul  $C$  al soluției produse de algoritmul de aproximare se abate cu un factor de  $\rho(n)$  de costul  $C^*$  al unei soluții optimale:

$$\max \left( \frac{C}{C^*}, \frac{C^*}{C} \right) \leq \rho(n) \quad (37.1)$$

Această definiție este valabilă atât pentru problemele de minimizare cât și de maximizare. Pentru o problemă de maximizare,  $0 < C \leq C^*$ , și raportul  $C^*/C$  produce factorul cu care costul soluției optimale este mai mare decât costul soluției approximative. Similar, pentru o problemă de minimizare,  $0 < C^* \leq C$ , și raportul  $C/C^*$  produce factorul cu care costul soluției approximative este mai mare decât costul soluției optimale. Deoarece toate soluțiile se presupun ca având cost pozitiv, aceste rapoarte sunt totdeauna corect definite. Marginea raportului unui algoritm de aproximare nu este niciodată mai mică decât 1, deoarece  $C/C^* < 1$  implică  $C^*/C > 1$ . Un algoritm optimal are marginea raportului egală cu 1, iar un algoritm de aproximare cu o margine mare a raportului poate returna o soluție care este mult mai rea decât cea optimă.

Uneori, este mai convenabil să lucrăm cu o măsură a erorii relative. Pentru orice date de intrare, **eroarea relativă** a algoritmului de aproximare este definită astfel:

$$\frac{|C - C^*|}{C^*},$$

unde, ca mai înainte,  $C^*$  este costul unei soluții optimale, și  $C$  este costul soluției produse de algoritmul de aproximare. Eroarea relativă este întotdeauna nenegativă. Un algoritm de aproximare are o **margine a erorii relative** de  $\epsilon(n)$  dacă

$$\frac{|C - C^*|}{C^*} \leq \epsilon(n). \quad (37.2)$$

Din definiții, rezultă că marginea erorii relative poate fi mărginită, ca funcție de marginea raportului:

$$\epsilon(n) \leq \rho(n) - 1. \quad (37.3)$$

(Pentru o problemă de minimizare, aceasta este o egalitate, în timp ce pentru o problemă de maximizare avem  $\epsilon(n) = (\rho(n) - 1)/\rho(n)$ , care satisfacă inegalitatea (37.3) deoarece  $\rho(n) \geq 1$ .)

Pentru multe probleme au fost dezvoltăți algoritmi de aproximare cu o margine a raportului fixă, independentă de  $n$ . Pentru astfel de probleme, utilizăm notația mai simplă  $\rho$  sau  $\epsilon$ , indicând independența de  $n$ .

Pentru unele probleme, nu s-au putut realiza algoritmi de aproximare în timp polinomial cu marginea raportului fixă. Pentru astfel de probleme, cel mai bun lucru pe care îl putem face este să permitem creșterea marginii raportului ca o funcție de dimensiunea  $n$  a datelor de intrare. Un exemplu de astfel de probleme este problema de acoperire a mulțimii, prezentată în secțiunea 37.3.

Unele probleme NP-complete permit construirea unor algoritmi de aproximare care pot atinge margini ale raportului din ce în ce mai mici (sau, echivalent, margini ale erorii relative din ce în ce mai mici) prin utilizarea unui timp de calcul din ce în ce mai mare. Adică, există un echilibru între timpul de calcul și calitatea aproximării. Un exemplu este problema sumei submulțimii, studiată în secțiunea 37.4. Această situație este suficient de importantă pentru a merita un nume al ei.

O *schemă de aproximare* pentru o problemă de optimizare este un algoritm de aproximare care are ca date de intrare nu doar o instanță a problemei, ci și o valoare  $\epsilon > 0$ , astfel încât, pentru orice  $\epsilon$  fixat, schema este un algoritm de aproximare cu marginea erorii relative egală cu  $\epsilon$ . Spunem că o schemă de aproximare este o *schemă de aproximare în timp polinomial* dacă, pentru orice  $\epsilon > 0$  fixat, schema se execută într-un timp polinomial în dimensiunea  $n$  a instanței sale de intrare.

Timpul de execuție a unei scheme de aproximare în timp polinomial nu ar trebui să crească prea repede pe măsură ce  $\epsilon$  scade. Ideal ar fi ca dacă  $\epsilon$  scade cu un factor constant, timpul de execuție pentru a atinge aproximarea dorită să nu crească cu mai mult decât un factor constant. Cu alte cuvinte, am dori ca timpul de execuție să fie polinomial atât în  $1/\epsilon$  cât și în  $n$ .

Spunem că o schemă de aproximare este o *schemă de aproximare în timp complet polinomial* dacă timpul său de execuție este polinomial atât în  $1/\epsilon$  cât și în dimensiunea  $n$  a instanței de intrare, unde  $\epsilon$  este marginea erorii relative a schemei. De exemplu, schema ar putea avea un timp de execuție de  $(1/\epsilon)^2 n^3$ . Cu o astfel de schemă, orice scădere cu un factor constant a lui  $\epsilon$  se poate obține cu o creștere cu un factor constant corespunzătoare a timpului de execuție.

## Rezumatul capitolului

Primele trei secțiuni ale acestui capitol prezintă exemple de algoritmi de aproximare în timp polinomial pentru probleme NP-complete, iar ultima secțiune prezintă o schemă de aproximare în timp complet polinomial. Secțiunea 37.1 începe cu un studiu al problemei acoperirii cu vârfuri, o problemă NP-completă de minimizare care are un algoritm de aproximare cu marginea raportului egală cu 2. Secțiunea 37.2 prezintă un algoritm de aproximare cu marginea raportului egală cu 2, pentru cazul problemei comis-voajorului, în care funcția de cost satisfacă inegalitatea triunghiului. De asemenea, se arată că, fără inegalitatea triunghiului, un algoritm de  $\epsilon$ -aproximare

nu poate exista decât dacă  $P = NP$ . În secțiunea 37.3, arătăm cum poate fi folosită o metodă greedy ca algoritm de aproximare eficient pentru problema acoperirii mulțimii, obținând o acoperire al cărei cost este în cel mai defavorabil caz cu un factor logaritmic mai mare decât costul optimal. Finalmente, secțiunea 37.4 prezintă o schemă de aproximare în timp complet polinomial pentru problema sumei submulțimii.

### 37.1. Problema acoperirii cu vârfuri

Problema acoperirii cu vârfuri a fost definită și i s-a demonstrat NP-completitudinea în secțiunea 36.5.2. O *acoperire cu vârfuri* a unui graf neorientat  $G = (V, E)$  este o submulțime  $V' \subseteq V$ , astfel încât, dacă  $(u, v)$  este o muchie din  $G$ , atunci fie  $u \in V'$ , fie  $v \in V'$  (fie ambele). Dimensiunea unei acoperiri cu vârfuri este dată de numărul vârfurilor pe care le conține.

**Problema acoperirii cu vârfuri** constă în a găsi o acoperire cu vârfuri de dimensiune minimă pentru un graf neorientat dat. Acoperirea cu vârfuri având această proprietate o numim **acoperire cu vârfuri optimă**. Această problemă este NP-dificilă, deoarece problema de decizie asociată este NP-completă, conform teoremei 36.12.

Chiar dacă o acoperire cu vârfuri optimă pentru un graf  $G$  poate fi dificil de găsit, o acoperire cu vârfuri aproape optimă nu este prea dificil de găsit. Următorul algoritm de aproximare primește ca intrare un graf neorientat  $G$  și returnează o acoperire cu vârfuri a cărei dimensiune este, cu siguranță, nu mai mult de două ori mai mare decât dimensiunea unei acoperiri cu vârfuri optimale.

ACOPERIRE-CU-VÂRFURI-APROX( $G$ )

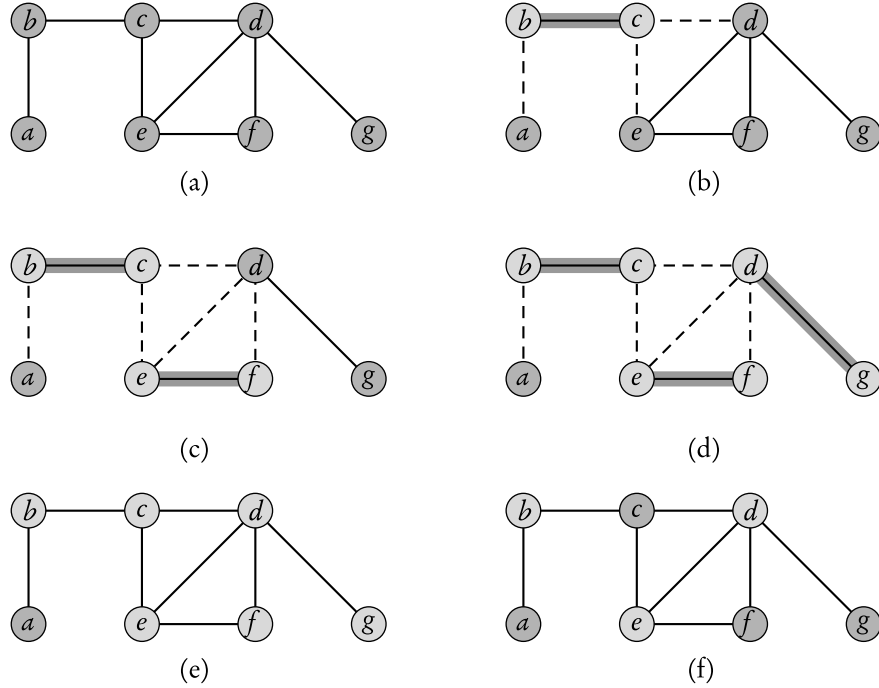
- 1:  $C \leftarrow \emptyset$
- 2:  $E' \leftarrow E[G]$
- 3: **cât timp**  $E' \neq \emptyset$  **execuță**
- 4:   fie  $(u, v)$  o muchie arbitrară din  $E'$
- 5:    $C \leftarrow C \cup \{u, v\}$
- 6:   șterge din  $E'$  fiecare muchie incidentă cu  $u$  sau cu  $v$
- 7: **returnează**  $C$

Figura 37.1 ilustrează modul de funcționare al algoritmului ACOPERIRE-CU-VÂRFURI-APROX. Variabila  $C$  conține acoperirea cu vârfuri în curs de construire. Linia 1 inițializează variabila  $C$  cu mulțimea vidă. Linia 2 atribuie variabilei  $E'$  o copie a mulțimii de vârfuri  $E[G]$  a grafului. Bucla din liniile 3–6 alege, în mod repetat, o muchie  $(u, v)$  din  $E'$ , adaugă capetele sale  $u$  și  $v$  la  $C$  și șterge toate muchiile din  $E'$  care sunt acoperite fie de  $u$ , fie de  $v$ . Timpul de execuție al acestui algoritm este  $O(E)$  și utilizează o structură de date corespunzătoare pentru reprezentarea lui  $E'$ .

**Teorema 37.1** ACOPERIRE-CU-VÂRFURI-APROX are marginea raportului de 2.<sup>1</sup>

**Demonstrație.** Mulțimea de vârfuri  $C$  returnată de ACOPERIRE-CU-VÂRFURI-APROX este o acoperire cu vârfuri, deoarece algoritmul ciclează până când fiecare muchie din  $E[G]$  este acoperită de un vârf oarecare din  $C$ .

<sup>1</sup>Soluția furnizată de algoritm conține de cel mult două ori mai multe vârfuri decât soluția optimă. – n.t.



**Figura 37.1** Modul de operare al algoritmului ACOPERIRE-CU-VÂRFURI-APROX. (a) Graful de intrare  $G$ , care are 7 vârfuri și 8 muchii. (b) Muchia  $(b, c)$ , indicată îngroșat, este prima muchie aleasă de ACOPERIRE-CU-VÂRFURI-APROX. Vârfurile  $b$  și  $c$ , indicate cu hașură, sunt adăugate acoperirii cu vârfuri  $C$  în curs de creare. Muchiile  $(a, b)$ ,  $(c, e)$  și  $(c, d)$ , indicate cu linie întretreruptă, sunt șterse deoarece sunt acoperite de unele din vârfurile din  $C$ . (c) Muchia  $(e, f)$  este adăugată la  $C$ . (d) Muchia  $(d, g)$  este adăugată la  $C$ . (e) Multimea  $C$ , care este acoperirea cu vârfuri produsă de ACOPERIRE-CU-VÂRFURI-APROX, conține cele șase vârfuri  $b, c, d, e, f, g$ . (f) Acoperirea cu vârfuri optimală pentru această problemă conține doar trei vârfuri:  $b, d$  și  $e$ .

Pentru a vedea că ACOPERIRE-CU-VÂRFURI-APROX returnează o acoperire cu vârfuri care este cel mult de două ori mai mare decât o acoperire optimă, să notăm cu  $A$  mulțimea vârfurilor alese în linia 4 a algoritmului. Nu există în  $A$  două muchii care să aibă un capăt comun, deoarece, o dată ce în linia 4 am ales o muchie, toate celelalte muchii care sunt incidente cu unul din capetele muchiei alese sunt șterse din  $E'$  la linia 6. Prin urmare, fiecare execuție a liniei 5 adaugă două noi vârfuri la mulțimea  $C$ , și  $|C| = 2|A|$ . Pentru a acoperi muchiile mulțimii  $A$ , orice acoperire cu vârfuri – în particular o acoperire optimă  $C^*$  – trebuie să includă cel puțin unul din capetele fiecărei muchii din  $A$ . Deoarece în  $A$  nu există două muchii care să partajeze același capăt, nici un vârf din mulțime nu este incident cu mai mult de o muchie din  $A$ . Prin urmare  $|A| \leq |C^*|$  și  $|C| \leq 2|C^*|$ , ceea ce demonstrează teorema. ■

## Exerciții

**37.1-1** Dați un exemplu de graf pentru care ACOPERIRE-CU-VÂRFURI-APROX generează întotdeauna o soluție suboptimală.

**37.1-2** Profesorul Nixon propune următoarea euristică pentru rezolvarea problemei acoperirii cu vârfuri. Se selecteză, în mod repetat, un vârf având gradul cel mai mare și se sterg toate muchiile sale incidente. Dați un exemplu pentru a arăta că euristică profesorului nu are marginea raportului egală cu 2.

**37.1-3** Dați un algoritm greedy eficient care găsește în timp liniar o acoperire cu vârfuri optimală pentru un arbore.

**37.1-4** Din demonstrația teoremei 36.12, știm că problema acoperirii cu vârfuri și problema NP-completă a clicii sunt complementare în sensul că o acoperire cu vârfuri este complementul unei clici de dimensiune maximă în graful complementar. Implică această relație faptul că există un algoritm de aproximare pentru problema clicii cu marginea raportului constantă? Justificați răspunsul.

## 37.2. Problema comis-voiajorului

În problema comis-voiajorului, introdusă în secțiunea 36.5.5, se dă un graf neorientat complet,  $G = (V, E)$ , care are un cost întreg nenegativ  $c(u, v)$  asociat fiecărei muchii  $(u, v) \in E$ . Trebuie să găsim un ciclu hamiltonian (un tur) de cost minim al lui  $G$ . Ca o extensie a notăției noastre, să notăm cu  $c(A)$  costul total al muchiilor submulțimii  $A \subseteq E$ :

$$c(A) = \sum_{(u,v) \in A} c(u, v).$$

În multe situații practice, este mai convenabil să ne deplasăm direct dintr-un loc  $u$  într-un loc  $w$ ; deplasarea printr-un punct intermediar  $v$  nu poate fi mai puțin costisitoare. Cu alte cuvinte, reducerea unui punct intermediar nu duce niciodată la creșterea costului. Pentru a formaliza această noțiune, vom spune că funcția de cost  $c$  satisfacă **inegalitatea triunghiului** dacă, pentru toate vâfurile  $u, v, w \in V$ , are loc

$$c(u, w) \leq c(u, v) + c(v, w).$$

Inegalitatea triunghiului este naturală și, în multe aplicații, este satisfăcută automat. De exemplu, dacă vâfurile grafului sunt puncte din plan și costul deplasării între două puncte este distanța euclidiană uzuală dintre acestea, atunci inegalitatea triunghiului este satisfăcută.

Așa cum arată exercițiul 37.2-1, introducerea unei restricții asupra funcției de cost, astfel încât aceasta să satisfacă inegalitatea triunghiului, nu alterează NP-completitudinea problemei comis-voiajorului. Astfel, este puțin probabil să putem găsi un algoritm în timp polinomial pentru rezolvarea cu exactitate a acestei probleme. Prin urmare vom căuta algoritmi buni de aproximare.

În secțiunea 37.2.1 examinăm un algoritm de aproximare pentru problema comis-voiajorului cu inegalitatea triunghiului și care are o margine a raportului egală cu 2. În secțiunea 37.2.2 arătăm că fără inegalitatea triunghiului un algoritm de aproximare cu margine constantă a raportului există numai dacă  $P = NP$ .

### 37.2.1. Problema comis-voiajorului cu inegalitatea triunghiului

Următorul algoritm determină un tur aproape optimal al unui graf neorientat  $G$  folosind algoritmul arborelui de acoperire minimă AAM-PRIM din secțiunea 24.2. Vom vedea că, în situația în care funcția de cost satisfacă inegalitatea triunghiului, turul returnat de acest algoritm nu este mai lung decât dublul lungimii drumului optimal.

PCV-TUR-APROX( $G, c$ )

- 1: selectează un vârf  $r \in V[G]$  ca vârf “rădăcină”
- 2: folosind algoritmul AAM-PRIM( $G, c, r$ ) determină un arbore de acoperire minimă  $T$  pentru  $G$ , având rădăcina  $r$
- 3: fie  $L$  lista vârfurilor lui  $T$  parcuse în preordine
- 4: **returnează** ciclul hamiltonian  $H$  care conține vârfurile în ordinea din  $L$

Să ne reamintim, din secțiunea 13.1, că o parcurgere în preordine vizitează în mod recursiv fiecare vârf al arborelui și listează un vârf în momentul în care a fost întâlnit prima dată, înainte ca oricare dintre fiile săi să fie vizitat.

Figura 37.2 ilustrează modul de operare al algoritmului PCV-TUR-APROX. Partea (a) a figurii arată mulțimea de vârfuri dată și partea (b) arată arborele de acoperire minimă  $T$  având vârful rădăcină  $a$ , produs de algoritmul AAM-PRIM. Partea (c) arată modul în care vârfurile sunt vizitate de o parcurgere în preordine a lui  $T$  și partea (d) prezintă turul returnat de PCV-TUR-APROX. Partea (e) prezintă un tur optimal, care este cu aproximativ 23% mai scurt.

Timpul de execuție al PCV-TUR-APROX este  $\Theta(E) = \Theta(V^2)$ , deoarece graful de intrare este un graf complet (vezi exercițiul 24.2-2). Vom arăta, acum, că, dacă funcția de cost pentru o instanță a problemei comis-voiajorului satisfacă inegalitatea triunghiului, atunci PCV-TUR-APROX returnează un tur al căruia cost nu este mai mare decât dublul costului unui tur optimal.

**Teorema 37.2** PCV-TUR-APROX este un algoritm de aproximare pentru problema comis-voiajorului cu inegalitatea triunghiului și are o margine a raportului egală cu 2.

**Demonstrație.** Fie  $H^*$  un tur optimal pentru mulțimea de vârfuri dată. Un enunț echivalent cu enunțul teoremei este că  $c(H) \leq 2c(H^*)$ , unde  $H$  este turul returnat de PCV-TUR-APROX. Deoarece prin ștergerea oricărei muchii dintr-un tur obținem un arbore de acoperire, dacă  $T$  este un arbore de acoperire minimă pentru mulțimea de vârfuri dată, atunci

$$c(T) \leq C(H^*) \tag{37.4}$$

Un **drum complet** al lui  $T$  listează vârfurile în momentul în care acestea sunt vizitate prima dată și oricând se revine la ele după vizitarea unui subarbore. Să notăm acest drum cu  $W$ . Drumul complet, pentru exemplul nostru produce ordinea

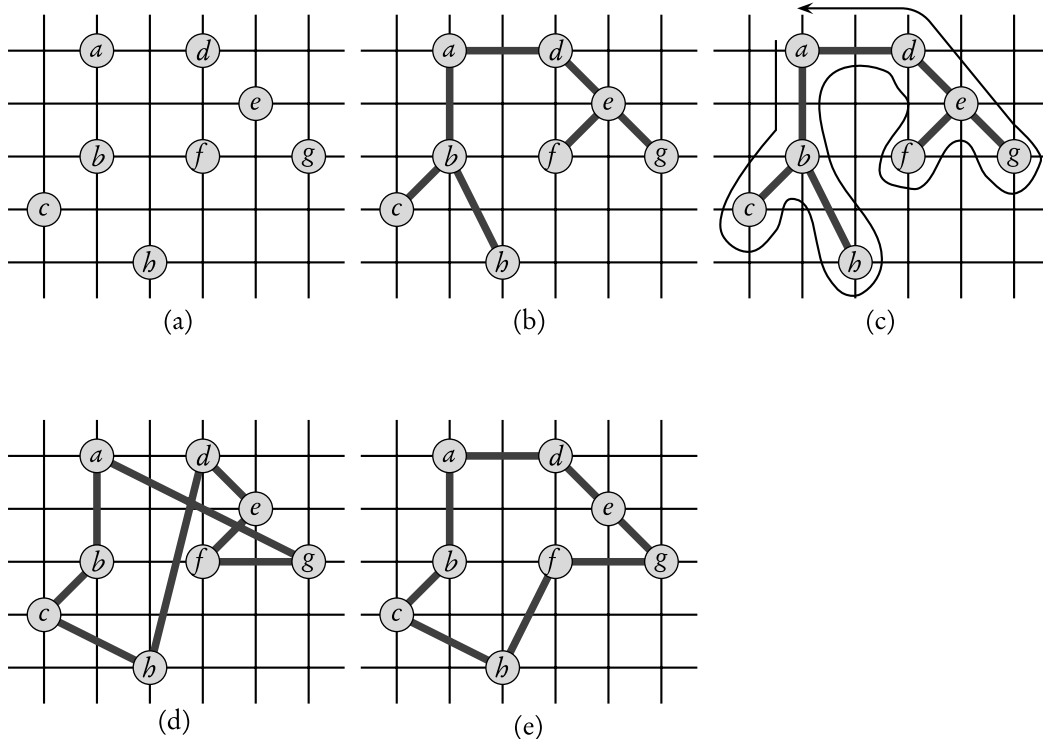
$$a, b, c, b, h, b, a, d, e, f, e, g, e, d, a.$$

Deoarece drumul complet traversează fiecare muchie a lui  $T$  exact de două ori, avem

$$c(W) = 2c(T). \tag{37.5}$$

Ecuațiile (37.4) și (37.5) implică

$$c(W) \leq 2c(H^*) \tag{37.6}$$



**Figura 37.2** Modul de operare al algoritmului PCV-TUR-APROX. (a) Multimea de puncte dată, situată pe o grilă având coordonatele întregi. De exemplu,  $f$  este o unitate la dreapta și două unități mai sus decât  $h$ . Ca funcție de cost între două puncte, este utilizată distanța euclidiană uzuală. (b) Un arbore de acoperire minimă  $T$  a acestor puncte, aşa cum este determinat de AAM-PRIM. Vârful  $a$  este vârf rădăcină. Vârfurile sunt etichetate întâmplător, astfel încât ele sunt adăugate în ordine alfabetică arborelui principal construit de AAM-PRIM. (c) Un drum prin  $T$ , care începe în  $a$ . Un drum complet al arborelui vizitează nodurile în ordinea  $a, b, c, b, h, b, a, d, e, f, e, g, e, d, a$ . O parcurgere în preordine a lui  $T$  listează un vârf doar prima dată când este întâlnit și produce ordinea  $a, b, c, h, d, e, f, g$ . (d) Un tur al vârfurilor, obținut prin vizitarea vârfurilor în ordinea dată de parcurgerea în preordine. Aceasta este turul  $H$  returnat de PCV-TUR-APROX. Costul său total este aproximativ 19.074. (e) Un tur optimal  $H^*$  pentru multimea de vârfuri dată. Costul său total este aproximativ 14.715.

și, deci, costul lui  $W$  este mai mic decât dublul costului unui tur optimal.

Din păcate,  $W$ , în general, nu este un tur, deoarece vizitează unele vârfuri de mai multe ori. Totuși, pe baza inegalității triunghiului, putem șterge din  $W$  o vizită a oricărui vârf, fără ca prin aceasta costul să crească. (Dacă un vârf  $v$  este șters din  $W$  între vizitele vârfurilor  $u$  și  $w$ , ordinea rezultată precizează deplasarea directă de la  $u$  la  $w$ .) Prin aplicarea acestei operații în mod repetat, putem șterge din  $W$  toate aparițiile vârfurilor, cu excepția primelor apariții. În exemplul nostru aceasta produce ordinea

$$a, b, c, h, d, e, f, g.$$

Această ordine este aceeași cu cea obținută printr-o parcurgere în preordine a arborelui  $T$ . Fie  $H$

cicul corespunzător acestei parcurgeri în preordine. Acesta este un ciclu hamiltonian, deoarece fiecare vârf este vizitat exact o singură dată. De fapt este ciclul determinat de PCV-TUR-APROX. Deoarece  $H$  este obținut prin stergerea vârfurilor din drumul complet  $W$ , avem

$$c(H) \leq c(W). \quad (37.7)$$

Combinarea inegalităților (37.6) și (37.7) încheie demonstrația. ■

În poftida marginii bune a raportului, asigurată de teorema 37.2, algoritmul PCV-TUR-APROX nu reprezintă de obicei o soluție practică pentru această problemă. Există și alți algoritmi de aproximare care de obicei se comportă mult mai bine în practică (vezi referințele de la sfârșitul capitolului).

### 37.2.2. Problema generală a comis-voiajorului

Dacă renunțăm la presupunerea că funcția de cost  $c$  satisfacă inegalitatea triunghiului, nu mai pot fi găsite tururi aproximative bune în timp polinomial decât dacă  $P = NP$ .

**Teorema 37.3** Dacă  $P \neq NP$  și  $\rho \geq 1$ , atunci, pentru problema generală a comis-voiajorului, nu există un algoritm de aproximare în timp polinomial cu marginea raportului egală cu  $\rho$ .

**Demonstrație.** Demonstrația se face prin reducere la absurd. Să presupunem contrariul concluziei, și anume că există un anumit număr  $\rho \geq 1$  astfel încât există un algoritm de aproximare  $A$  în timp polinomial, care are marginea raportului egală cu  $\rho$ . Fără a pierde generalitatea, presupunem că  $\rho$  este număr întreg. Dacă este necesar, îl rotunjim în sus. Vom arăta cum să folosim  $A$  pentru a rezolva în timp polinomial instanțe ale problemei ciclului hamiltonian (definită în secțiunea 36.5.5). Conform teoremei 36.14, problema ciclului hamiltonian este NP-completă. Ca urmare, conform teoremei 36.4, rezolvarea ei în timp polinomial implică faptul că  $P = NP$ .

Fie  $G = (V, E)$  o instanță a problemei ciclului hamiltonian. Dorim să determinăm, în mod eficient, dacă  $G$  conține un ciclu hamiltonian. Pentru aceasta, vom utiliza algoritmul de aproximare  $A$ . Transformăm  $G$  într-o instanță a problemei comis-voiajorului, după cum urmează. Fie  $G' = (V, E')$  graful complet al lui  $V$ , adică

$$E' = \{(u, v) | u, v \in V, u \neq v\}.$$

Atribuim câte un cost întreg fiecărei muchii din  $E'$  după cum urmează:

$$c(u, v) = \begin{cases} 1 & \text{dacă } (u, v) \in E, \\ \rho|V| + 1 & \text{altfel.} \end{cases}$$

Folosind o reprezentare a lui  $G$ , reprezentări ale lui  $G'$  și  $c$  pot fi create în timp polinomial în  $|V|$  și  $|E|$ .

Acum, să considerăm problema comis-voiajorului  $(G', c)$ . Dacă graful original  $G$  are un ciclu hamiltonian  $H$ , atunci funcția de cost  $c$  atribuie fiecărei muchii a lui  $H$  un cost egal cu 1, și, astfel,  $(G', c)$  conține un tur de cost  $|V|$ . Pe de altă parte, dacă  $G$  nu conține un ciclu hamiltonian, atunci orice tur al lui  $G'$  trebuie să folosească unele din muchiile care nu sunt în  $E$ . Dar orice tur care folosește o muchie din afara lui  $E$  are un cost cel puțin egal cu

$$(\rho|V| + 1) + (|V| - 1) > \rho|V|.$$

Deoarece muchiile din afara lui  $G$  sunt atât de costisitoare, există o distanță mare între costul unui tur care este ciclu hamiltonian în  $G$  (cost  $|V|$ ) și costul oricărui alt tur (cost superior lui  $\rho|V|$ ).

Ce se întâmplă dacă aplicăm algoritmul de aproximare  $A$  problemei comis-voiajorului  $(G', c)$ ? Deoarece  $A$  garantează returnarea unui tur de cost nu mai mult decât de  $\rho$  ori superior costului unui tur optimal, dacă  $G$  conține un ciclu hamiltonian, atunci  $A$  trebuie să îl returneze. Dacă  $G$  nu are ciclu hamiltonian, atunci  $A$  returnează un tur de cost superior lui  $\rho|V|$ . Prin urmare, putem folosi algoritmul  $A$  pentru rezolvarea problemei ciclului hamiltonian în timp polinomial. ■

## Exerciții

**37.2-1** Arătați cum se poate transforma în timp polinomial o instanță a problemei comis-voiajorului într-o altă instanță a cărei funcție de cost satisfac inegalitatea triunghiului. Cele două instanțe trebuie să aibă aceeași multime de tururi optimale. Presupunând că  $P \neq NP$ , explicați de ce o astfel de transformare în timp polinomial nu contrazice teorema 37.3.

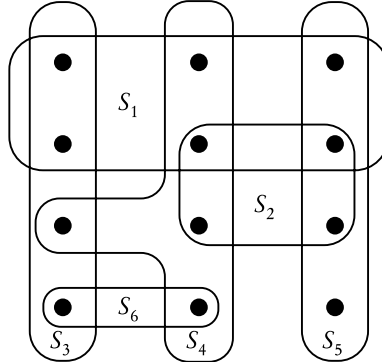
**37.2-2** Considerați următoarea *euristică a celui mai apropiat punct* pentru construirea unui tur aproximativ al comis-voiajorului. Începeți cu un ciclu trivial care constă dintr-un singur vârf ales arbitrar. La fiecare pas, identificați vârful  $u$  care nu aparține ciclului, dar a cărui distanță față de orice vârf din ciclu este minimă. Modificați ciclul astfel încât el să conțină vârful  $u$  (inserați vârful  $u$  imediat după vârful  $v$ ). Să notăm cu  $v$  vârful din ciclu care este cel mai apropiat de  $u$ . Repetați procedeul până când toate vârfurile aparțin ciclului. Demonstrați că această euristică returnează un tur al cărui cost total nu este mai mare decât dublul costului unui tur optimal.

**37.2-3 Problema comis-voiajorului strâmtorat** constă în aflarea unui ciclu hamiltonian, astfel încât lungimea celei mai mari muchii din ciclu să fie minimizată. Presupunând că funcția de cost satisfac inegalitatea triunghiului, arătați că, pentru această problemă, există un algoritm de aproximare în timp polinomial cu marginea raportului egală cu 3. (*Indica ie:* Arătați, în mod recursiv, că putem vizita exact o dată toate nodurile dintr-un arbore de acoperire parcurgând un drum complet în arbore și sărind peste unele noduri, dar fără să se sară peste mai mult de două noduri intermediare consecutive.)

**37.2-4** Să presupunem că vârfurile unei instanțe a problemei comis-voiajorului sunt puncte din plan și că funcția de cost  $c(u, v)$  este distanța euclidiană între punctele  $u$  și  $v$ . Arătați că un tur optimal nu se autointersectează.

## 37.3. Problema acoperirii mulțimii

Problema acoperirii mulțimii este o problemă de optimizare care modelează multe probleme de selecție a resurselor și care generalizează problema NP-completă a acoperirii cu vârfuri și este, prin urmare, și NP-dificilă. Totuși, algoritmul de aproximare creat pentru problema acoperirii cu vârfuri nu se aplică și aici, și, prin urmare, avem nevoie să încercăm alte abordări. Vom examina o euristică greedy simplă cu o margine logaritmică a raportului. Adică, pe măsură ce dimensiunea instanței devine mai mare, dimensiunea soluției aproximative poate crește, relativ



**Figura 37.3** O instanță  $(X, \mathcal{F})$  a problemei acoperirii mulțimii, unde  $X$  constă din cele 12 puncte negre și  $\mathcal{F} = \{S_1, S_2, S_3, S_4, S_5, S_6\}$ . O mulțime de acoperire de dimensiune minimă este  $\mathcal{C} = \{S_3, S_4, S_5\}$ . Algoritmul greedy produce o acoperire de dimensiune 4 prin selectarea, în ordine, a mulțimilor  $S_1$ ,  $S_4$ ,  $S_5$  și  $S_3$ .

la dimensiunea unei soluții optimale. Deoarece funcția logaritm crește destul de încet, algoritmul de aproximare poate produce rezultate utile.

O instanță  $(X, \mathcal{F})$  a **problemei acoperirii mulțimii** constă dintr-o mulțime finită  $X$  și o familie  $\mathcal{F}$  de submulțimi ale lui  $X$ , astfel încât fiecare element din  $X$  aparține, cel puțin, unei submulțimi din  $\mathcal{F}$ :

$$X = \cup_{S \in \mathcal{F}} S.$$

Spunem că o submulțime  $S \in \mathcal{F}$  **acoperă** elementele sale. Problema este de a găsi o submulțime de dimensiune minimă  $\mathcal{C} \subseteq \mathcal{F}$  ai cărei membri acoperă toată mulțimea  $X$ :

$$X = \cup_{S \in \mathcal{C}} S. \quad (37.8)$$

Spunem că orice  $\mathcal{C}$  care satisfacă ecuația (37.8) **acoperă** pe  $X$ . Figura 37.3 ilustrează problema.

Problema acoperirii mulțimii este o abstractizare a multor probleme combinatoriale uzuale. De exemplu, să presupunem că  $X$  reprezintă o mulțime de deprinderi necesare pentru a rezolva o problemă și că avem la dispoziție o mulțime de oameni pentru a lucra asupra problemei. Dorim să formăm un comitet care să conțină cât mai puțini oameni, astfel încât, pentru fiecare deprindere solicitată din  $X$ , există un membru al comitetului care să aibă acea deprindere. În versiunea decizională a problemei acoperirii mulțimii întrebăm dacă există sau nu o acoperire de dimensiune cel mult  $k$ , unde  $k$  este un parametru adițional specificat în instanța problemei. Versiunea decizională a problemei este NP-completă, aşa cum se cere să demonstrezi în exercițiul 37.3-2.

### Un algoritm de aproximare greedy

Metoda greedy selectează, la fiecare pas, mulțimea  $S$  care acoperă cele mai multe elemente rămasă încă neacoperite.

ACOPERIRE-MULTIME-GREEDY( $X, \mathcal{F}$ )

- 1:  $U \leftarrow X$
- 2:  $C \leftarrow \emptyset$
- 3: **cât timp**  $U \neq \emptyset$  **execută**
- 4:   selectează un  $S \in \mathcal{F}$  care maximizează  $|S \cap U|$
- 5:    $U \leftarrow U - S$
- 6:    $C \leftarrow C \cup \{S\}$
- 7: **returnează**  $C$

În exemplul din figura 37.3, algoritmul ACOPERIRE-MULTIME-GREEDY adaugă la mulțimea  $C$  mulțimile  $S_1, S_4, S_5$  și  $S_3$ , în această ordine.

Algoritmul funcționează după cum urmează. Mulțimea  $U$  conține, la fiecare pas, mulțimea elementelor rămase neacoperite. Mulțimea  $C$  conține acoperirea în curs de construire. Linia 4 este pasul în care se ia decizia greedy. Este aleasă o submulțime  $S$  care acoperă un număr cât mai mare posibil de elemente neacoperite (cu legăturile rupte în mod arbitrar). După ce  $S$  este selectat, elementele sale sunt sterse din  $U$  și  $S$  este adăugat la  $C$ . Când algoritmul se termină, mulțimea  $C$  conține o subfamilie a lui  $\mathcal{F}$  care îl acoperă pe  $X$ .

Algoritmul ACOPERIRE-MULTIME-GREEDY poate fi implementat cu ușurință pentru a se executa în timp polinomial în  $|X|$  și  $|\mathcal{F}|$ . Deoarece numărul de iterații ale buclei din liniile 3–6 este cel mult  $\min(|X|, |\mathcal{F}|)$  și corpul buclei poate fi implementat pentru a se executa în timpul  $O(|X||\mathcal{F}|)$ , există o implementare care se execută în timpul  $O(|X||\mathcal{F}|\min(|X|, |\mathcal{F}|))$ . Exercițiul 37.3-3 cere un algoritm în timp liniar.

## Analiză

Vom arăta că algoritmul greedy returnează o acoperire care nu este mult prea mare față de o acoperire optimală. Pentru conveniență, în acest capitol vom nota cu  $H(d)$  al  $d$ -lea număr armonic  $H_d = \sum_{i=1}^d 1/i$  (vezi secțiunea 3.1).

**Teorema 37.4** Algoritmul ACOPERIRE-MULTIME-GREEDY are o margine a raportului egală cu

$$H(\max\{|S| : S \in \mathcal{F}\}).$$

**Demonstrație.** Demonstrația urmărește atribuirea unui cost fiecărei mulțimi selectate de algoritmul, distribuirea acestui cost asupra elementelor acoperite pentru prima dată și apoi utilizarea acestor costuri pentru a deduce relația dorită între dimensiunea unei acoperiri optimale  $C^*$  și dimensiunea acoperirii  $C$  returnată de algoritmul. Fie  $S_i$  a  $i$ -a mulțime selectată de algoritmul ACOPERIRE-MULTIME-GREEDY; algoritmul induce un cost egal cu 1 când adaugă pe  $S_i$  la  $C$ . Împrăștiem acest cost al selectării lui  $S_i$  în mod echilibrat între elementele acoperite pentru prima dată de  $S_i$ . Fie  $c_x$  costul alocat elementului  $x$ , pentru fiecare  $x \in X$ . Fiecare element primește un cost o singură dată, când este acoperit pentru prima dată. Dacă  $x$  este acoperit pentru prima dată de  $S_i$ , atunci

$$c_x = \frac{1}{|S_i - (S_1 \cup S_2 \cup \dots \cup S_{i-1})|}.$$

Algoritmul găsește o soluție  $\mathcal{C}$  de cost total  $|\mathcal{C}|$  și acest cost a fost împrăștiat între elementele lui  $X$ . Prin urmare, deoarece acoperirea optimală  $\mathcal{C}^*$  acoperă, de asemenea, pe  $X$ , avem

$$|\mathcal{C}| = \sum_{x \in X} c_x \leq \sum_{S \in \mathcal{C}^*} \sum_{x \in S} c_x. \quad (37.9)$$

Restul demonstrației se bazează pe următoarea inegalitate, pe care o vom demonstra pe scurt. Pentru orice mulțime  $S$  aparținând familiei  $\mathcal{F}$ ,

$$\sum_{x \in S} c_x \leq H(|S|). \quad (37.10)$$

Din inegalitățile (37.9) și (37.10) urmează că

$$|\mathcal{C}| \leq \sum_{S \in \mathcal{C}^*} H(|S|) \leq |\mathcal{C}^*| \cdot H(\max\{|S| : S \in \mathcal{F}\}),$$

ceea ce demonstrează teorema. Astfel, rămâne de demonstrat inegalitatea (37.10). Pentru orice mulțime  $S \in \mathcal{F}$  și  $i = 1, 2, \dots, |\mathcal{C}|$ , fie

$$u_i = |S - (S_1 \cup S_2 \cup \dots \cup S_i)|$$

numărul de elemente ale lui  $S$  care rămân neacoperite după ce  $S_1, S_2, \dots, S_i$  au fost selectate de algoritm. Definim  $u_0 = |S|$  ca reprezentând numărul de elemente din  $S$  inițial neacoperite. Fie  $k$  cel mai mic indice astfel încât  $u_k = 0$ . Prin urmare, fiecare element din  $S$  este acoperit de către cel puțin una din mulțimile  $S_1, S_2, \dots, S_k$ . Atunci,  $u_{i-1} \geq u_i$  și  $u_{i-1} - u_i$  elemente din  $S$  sunt acoperite pentru prima dată de  $S_i$ , pentru  $i = 1, 2, \dots, k$ . Astfel,

$$\sum_{x \in S} c_x = \sum_{i=1}^k (u_{i-1} - u_i) \cdot \frac{1}{|S_i - (S_1 \cup S_2 \cup \dots \cup S_{i-1})|}.$$

Observăm că

$$|S_i - (S_1 \cup S_2 \cup \dots \cup S_{i-1})| \geq |S - (S_1 \cup S_2 \cup \dots \cup S_{i-1})| = u_{i-1},$$

deoarece selecția greedy  $S_i$  garantează că  $S$  nu poate acoperi mai multe elemente noi decât  $S_i$  (în caz contrar,  $S$  ar fi fost selectat în locul lui  $S_i$ ). Prin urmare obținem

$$\sum_{x \in S} c_x \leq \sum_{i=1}^k (u_{i-1} - u_i) \cdot \frac{1}{u_{i-1}}.$$

Pentru întregii  $a$  și  $b$ , unde  $a < b$ , avem

$$H(b) - H(a) = \sum_{i=a+1}^b 1/i \geq (b-a) \frac{1}{b}.$$

Utilizând această inegalitate, obținem suma telescopică

$$\begin{aligned} \sum_{x \in S} c_x &\leq \sum_{i=1}^k (H(u_{i-1}) - H(u_i)) \\ &= H(u_0) - H(u_k) = H(u_0) - H(0) = H(u_0) = H(|S|), \end{aligned}$$

deoarece  $H(0) = 0$ . Aceasta încheie demonstrația inegalității (37.10). ■

**Corolarul 37.5** ACOPERIRE-MULTIME-GREEDY are o margine a raportului de  $(\ln |X| + 1)$ .

**Demonstrație.** Se folosește inegalitatea (3.12) și teorema 37.4. ■

În unele aplicații,  $\max\{|S| : S \in \mathcal{F}\}$  este o constantă mică, și, astfel, soluția returnată de algoritmul ACOPERIRE-MULTIME-GREEDY este mai mare cel mult de o constantă de ori decât acoperirea optimală. O astfel de aplicație apare în situația în care această euristică este folosită pentru obținerea unei acoperiri cu vârfuri aproximative pentru un graf ale cărui vârfuri au un grad de cel mult 3. În acest caz, soluția găsită de ACOPERIRE-MULTIME-GREEDY este mai mare, cel mult, de  $H(3) = 11/6$  ori decât soluția optimă, o asigurare de performanță care este ușor superioară celei a algoritmului ACOPERIRE-CU-VÂRFURI-APROX.

## Exerciții

**37.3-1** Să considerăm fiecare din următoarele cuvinte ca multime de litere: {**arid**, **dash**, **drain**, **heard**, **lost**, **nose**, **shun**, **slate**, **snare**, **thread**}. Arătați ce acoperire produce ACOPERIRE-MULTIME-GREEDY când sunt rupte legăturile în favoarea cuvântului care apare primul în dicționar.

**37.3-2** Arătați, prin reducere, folosind problema acoperirii cu vârfuri, că versiunea decizională a problemei de acoperire a multimii este NP-completă.

**37.3-3** Arătați cum se implementează ACOPERIRE-MULTIME-GREEDY, astfel încât să se execute în timpul  $O(\sum_{S \in \mathcal{F}} |S|)$ .

**37.3-4** Arătați că următoarea formă mai slabă a teoremei 37.4 este trivială adevărată:

$$|\mathcal{C}| \leq |\mathcal{C}^*| \max\{|S| : S \in \mathcal{F}\}.$$

**37.3-5** Creați o familie de instanțe ale problemei acoperirii multimii care să demonstreze că algoritmul ACOPERIRE-MULTIME-GREEDY poate returna un număr de soluții diferite care este funcție exponențială de dimensiunea instanței. (Din faptul că legăturile sunt rupte în mod diferit în selecția lui  $S$ , din linia 4, rezultă soluții diferite.)

## 37.4. Problema sumei submulțimii

O instanță a problemei sumei submulțimii este o pereche  $(S, t)$  unde  $S$  este o mulțime  $\{x_1, x_2, \dots, x_n\}$  de întregi pozitivi și  $t$  este un întreg pozitiv. Se pune problema dacă există o submulțime a lui  $S$  pentru care suma elementelor să fie exact valoarea  $t$ . Această problemă este NP-completă (vezi secțiunea 36.5.3).

În aplicații practice, apare problema de optimizare asociată cu această problemă de decizie. În problema de optimizare, dorim să găsim o submulțime a mulțimii  $\{x_1, x_2, \dots, x_n\}$  a cărei sumă este cât mai mare posibil, dar nu mai mare decât  $t$ . De exemplu, am putea avea un camion care nu poate transporta mai mult de  $t$  kilograme și  $n$  cutii, cutia  $i$  cîntărind  $x_i$  kilograme. Dorim să umplem camionul cât mai mult, dar fără să depășim greutatea limită dată.

În această secțiune, prezentăm un algoritm în timp exponențial pentru această problemă de optimizare și, apoi, vom arăta cum se poate modifica algoritmul, astfel încât să devină o

schemă de aproximare în timp polinomial. (Să ne reamintim că o schemă de aproximare în timp polinomial are un timp de execuție polinomial în  $1/\epsilon$  și  $n$ .)

### Un algoritm în timp exponentiaj

Dacă  $L$  este o listă de întregi pozitivi și  $x$  este un alt întreg pozitiv, vom nota prin  $L+x$  lista de întregi construită pe baza listei  $L$  prin însumarea fiecărui element din  $L$  cu valoarea  $x$ . De exemplu, dacă  $L = \langle 1, 2, 3, 5, 9 \rangle$ , atunci  $L+2 = \langle 3, 4, 5, 7, 11 \rangle$ . De asemenea, vom folosi această notație și pentru mulțimi:

$$S+x = \{s+x : s \in S\}.$$

Folosim o procedură auxiliară  $\text{INTERCLASEAZĂ-LISTE}(L, L')$  care returnează lista sortată obținută prin interclasarea listelor sortate date  $L$  și  $L'$ . La fel ca procedura  $\text{INTERCLASEAZĂ}$  folosită în secțiunea 1.3.1,  $\text{INTERCLASEAZĂ-LISTE}$  se execută în timp  $O(|L| + |L'|)$ . (Nu vom prezenta aici pseudocodul pentru  $\text{INTERCLASEAZĂ-LISTE}$ .) Procedura  $\text{SUMA-SUBMULTIMII-EXACTĂ}$  are ca date de intrare o mulțime  $S = \{x_1, x_2, \dots, x_n\}$  și o valoare întă  $t$ .

$\text{SUMA-SUBMULTIMII-EXACTĂ}(S, t)$

- 1:  $n \leftarrow |S|$
- 2:  $L_0 \leftarrow \langle 0 \rangle$
- 3: **pentru**  $i \leftarrow 1, n$  **execută**
- 4:    $L_i \leftarrow \text{INTERCLASEAZĂ-LISTE}(L_{i-1}, L_{i-1} + x_i)$
- 5:   șterge din  $L_i$  toate elementele mai mari decât  $t$
- 6: **returnează** cel mai mare element din  $L_n$

Fie  $P_i$ , mulțimea tuturor valorilor care se pot obține prin selectarea unei submulțimi (posibil vide) a mulțimii  $\{x_1, x_2, \dots, x_i\}$  și însumarea membrilor săi. De exemplu, dacă  $S = \{1, 4, 5\}$ , atunci

$$\begin{aligned} P_1 &= \{0, 1\}, \\ P_2 &= \{0, 1, 4, 5\}, \\ P_3 &= \{0, 1, 4, 5, 6, 9, 10\}. \end{aligned}$$

Fiind dată identitatea

$$P_i = P_{i-1} \cup (P_{i-1} + x_i), \quad (37.11)$$

putem demonstra, prin inducție după  $i$  (vezi exercițiul 37.4-1), că lista  $L_i$  este o listă sortată care conține toate elementele lui  $P_i$  a căror valoare nu este mai mare decât  $t$ . Deoarece lungimea lui  $L_i$  poate fi cel mult  $2^i$ ,  $\text{SUMA-SUBMULTIMII-EXACTĂ}$  este, în general, un algoritm în timp exponentiaj, deși este un algoritm în timp polinomial în cazurile speciale în care  $t$  este polinom în  $|S|$  sau toate numerele din  $S$  sunt mărginite de un polinom în  $|S|$ .

### O schemă de aproximare în timp complet polinomial

Pentru problema sumei submulțimii putem deduce o schemă de aproximare în timp complet polinomial dacă “filtrăm” fiecare listă  $L_i$  după ce este creată. Folosim un parametru de filtrare  $\delta$ , astfel încât  $0 < \delta < 1$ . A *filtră* o listă  $L$  prin  $\delta$  înseamnă a șterge din  $L$  cât mai multe elemente

este posibil, astfel încât, dacă  $L'$  este rezultatul filtrării lui  $L$ , atunci, pentru fiecare element  $y$  care a fost șters din  $L$ , există un element  $z \leq y$  în  $L'$ , astfel încât

$$\frac{y - z}{y} \leq \delta$$

sau, echivalent,

$$(1 - \delta)y \leq z \leq y.$$

Astfel, ne putem gândi la  $z$  ca “reprezentând”  $y$  în noua listă  $L'$ . Fiecare  $y$  este reprezentat de un  $z$ , astfel încât eroarea relativă a lui  $z$ , relativ la  $y$ , este cel mult  $\delta$ . De exemplu, dacă  $\delta = 0,1$  și

$$L = \langle 10, 11, 12, 15, 20, 21, 22, 23, 24, 29 \rangle,$$

atunci putem filtra  $L$  pentru a obține

$$L' = \langle 10, 12, 15, 20, 23, 29 \rangle,$$

unde valoarea ștearsă 11 este reprezentată de 10, valorile șterse 21 și 22 sunt reprezentate de 20, și valoarea ștearsă 24 este reprezentată de 23. Este important să reținem că fiecare element al versiunii filtrate a listei este, de asemenea, un element al versiunii inițiale a listei. Filtrarea unei liste poate fi dramatic, numărul elementelor din listă, păstrând, în același timp, o valoare reprezentativă apropiată (și ceva mai mică) pentru fiecare element șters din listă.

Următoarea procedură filtrează o listă de intrare  $L = \langle y_1, y_2, \dots, y_m \rangle$  în timpul  $\Theta(m)$ , presupunând că  $L$  este sortată în ordine nedescrescătoare. Rezultatul returnat de procedură este o listă filtrată, sortată.

FILTREAZĂ( $L, \delta$ )

- 1:  $m \leftarrow |L|$
- 2:  $L' \leftarrow \langle y_1 \rangle$
- 3:  $ultimul \leftarrow y_1$
- 4: **pentru**  $i \leftarrow 2, m$  **execută**
- 5:   **dacă**  $ultimul < (1 - \delta)y_i$  **atunci**
- 6:     adaugă  $y_i$  la sfârșitul lui  $L'$
- 7:      $ultimul \leftarrow y_i$
- 8: **returnează**  $L'$

Elementele lui  $L$  sunt parcuse în ordine crescătoare, iar un număr este inserat în lista returnată  $L'$  doar dacă este primul element al lui  $L$  sau dacă nu poate fi reprezentat de cel mai recent număr inserat în  $L'$ .

Fiind dată procedura FILTREAZĂ, putem construi schema noastră de aproximare după cum urmează. Această procedură primește, la intrare, o mulțime  $S = \{x_1, x_2, \dots, x_n\}$  formată din  $n$  întregi (în ordine arbitrară), un întreg  $t$  și un “parametru de aproximare”  $\epsilon$ , unde  $0 < \epsilon < 1$ .

SUMA-SUBMULTIMII-APROX( $S, t, \epsilon$ )

- 1:  $n \leftarrow |S|$
- 2:  $L_0 \leftarrow \langle 0 \rangle$
- 3: **pentru**  $i \leftarrow 1, n$  **execută**
- 4:     $L_i \leftarrow \text{INTERCLASEAZĂ-LISTE}(L_{i-1}, L_{i-1} + x_i)$
- 5:     $L_i \leftarrow \text{FILTREAZĂ}(L_i, \epsilon/n)$
- 6:    șterge din  $L_i$  toate elementele mai mari decât  $t$
- 7:  fie  $z$  cel mai mare element din  $L_n$
- 8: **returnează**  $z$

Linia 2 inițializează lista  $L_0$  la lista având elementul 0. Bucla din liniile 3–6 are efectul calculării lui  $L_i$  ca listă sortată, care conține o versiune filtrată corespunzător a mulțimii  $P_i$ , din care toate elementele mai mari decât  $t$  au fost șterse. Deoarece  $L_i$  este creat din  $L_{i-1}$ , trebuie să ne asigurăm că filtrarea repetată nu produce prea mare inacuratețe. Vom vedea că SUMA-SUBMULTIMII-APROX returnează o aproximatie corectă, dacă aceasta există.

De exemplu, să presupunem că avem instanța

$$L = \langle 104, 102, 201, 101 \rangle$$

cu  $t = 308$  și  $\epsilon = 0,20$ . Parametrul de filtrare  $\delta$  este  $\epsilon/4 = 0,05$ . SUMA-SUBMULTIMII-APROX calculează următoarele valori în liniile indicate:

- linia 2:  $L_0 = \langle 0 \rangle,$   
linia 4:  $L_1 = \langle 0, 104 \rangle,$   
linia 5:  $L_1 = \langle 0, 104 \rangle,$   
linia 6:  $L_1 = \langle 0, 104 \rangle,$   
linia 4:  $L_2 = \langle 0, 102, 104, 206 \rangle,$   
linia 5:  $L_2 = \langle 0, 102, 206 \rangle,$   
linia 6:  $L_2 = \langle 0, 102, 206 \rangle,$   
linia 4:  $L_3 = \langle 0, 102, 201, 206, 303, 407 \rangle,$   
linia 5:  $L_3 = \langle 0, 102, 201, 303, 407 \rangle,$   
linia 6:  $L_3 = \langle 0, 102, 201, 303 \rangle,$   
linia 4:  $L_4 = \langle 0, 101, 102, 201, 203, 302, 303, 404 \rangle,$   
linia 5:  $L_4 = \langle 0, 101, 201, 302, 404 \rangle,$   
linia 6:  $L_4 = \langle 0, 101, 201, 302 \rangle.$

Algoritmul returnează răspunsul  $z = 302$ , care se încadrează în eroarea de  $\epsilon = 20\%$  din răspunsul optimal,  $307 = 104 + 102 + 101$ ; de fapt se încadrează în eroarea 2%.

**Teorema 37.6** SUMA-SUBMULTIMII-APROX este o schemă de aproximare în timp complet polinomial pentru problema sumei submulțimii.

**Demonstrație.** Operațiile de filtrare a lui  $L_i$  din linia 5 și de ștergere din  $L_i$  a tuturor elementelor mai mari decât  $t$  conservă proprietatea că fiecare element al lui  $L_i$  este, de asemenea,

membru al lui  $P_i$ . Prin urmare, valoarea  $z$  returnată în linia 8 este, într-adevăr, suma unei anumite submulțimi a lui  $S$ . Rămâne să arătăm că nu este mai mică de  $(1 - \epsilon)$  ori decât o soluție optimală. (Notați că, deoarece problema sumei submulțimii este o problemă de maximizare, ecuația (37.2) este echivalentă cu  $C^*(1 - \epsilon) \leq C$ .) Trebuie, de asemenea, să arătăm că algoritmul se execută în timp polinomial.

Pentru a arăta că eroarea relativă a soluției returnate este mică, să notăm că, în momentul în care lista  $L_i$  este filtrată, introducem o eroare relativă de cel mult  $\epsilon/n$  între valorile reprezentative care rămân în  $L_i$  și valorile de dinainte de filtrare. Prin inducție după  $i$ , se poate arăta că, pentru fiecare element  $y$  din  $P_i$  nu mai mare decât  $t$ , există un  $z \in L_i$ , astfel încât

$$(1 - \epsilon/n)^i y \leq z \leq y. \quad (37.12)$$

Dacă  $y^* \in P_n$  reprezintă o soluție optimală a problemei sumei submulțimii, atunci există un  $z \in L_n$ , astfel încât

$$(1 - \epsilon/n)^n y^* \leq z \leq y^*. \quad (37.13)$$

cea mai mare valoare  $z$  de acest fel este valoarea returnată de SUMA-SUBMULȚIMII-APROX. Deoarece se poate arăta că

$$\frac{d}{dn} \left(1 - \frac{\epsilon}{n}\right)^n > 0,$$

funcția  $(1 - \epsilon/n)^n$  crește în funcție de  $n$ , și, astfel,  $n > 1$  implică

$$1 - \epsilon < (1 - \epsilon/n)^n,$$

și de aici,

$$(1 - \epsilon)y^* \leq z.$$

Prin urmare, valoarea  $z$  returnată de SUMA-SUBMULȚIMII-APROX nu este mai mică de  $1 - \epsilon$  ori decât soluția optimală  $y^*$ .

Pentru a arăta că aceasta este o schemă de aproximare în timp complet polinomial, deducem o margine a lungimii lui  $L_i$ . După filtrare, două elemente succesive  $z$  și  $z'$  din  $L_i$  trebuie să verifice relația  $z/z' > 1/(1 - \epsilon/n)$ . Adică, ele trebuie să difere printr-un factor cel puțin egal cu  $1/(1 - \epsilon/n)$ . Prin urmare, numărul elementelor din fiecare  $L_i$  este cel mult

$$\log_{1/(1-\epsilon/n)} t = \frac{\ln t}{-\ln(1 - \epsilon/n)} \leq \frac{n \ln t}{\epsilon},$$

pe baza ecuației (2.10). Această margine este polinomială în numărul  $n$  de valori de intrare, în numărul de biți  $\lg t$  necesari pentru reprezentarea lui  $t$  și în  $1/\epsilon$ . Deoarece timpul de execuție al procedurii SUMA-SUBMULȚIMII-APROX este polinomial în lungimea lui  $L_i$ , SUMA-SUBMULȚIMII-APROX este o schemă de aproximare în timp complet polinomial. ■

## Exerciții

**37.4-1** Demonstrați ecuația (37.11).

**37.4-2** Demonstrați ecuațiile (37.12) și (37.13).

**37.4-3** Cum ați modifica schema de aproximare prezentată în această secțiune pentru a găsi o aproximare bună pentru cea mai mică valoare, nu mai mică decât  $t$ , și care este suma unei submulțimi a listei de intrare?

---

## Probleme

### 37-1 Împachetarea

Să presupunem că se dă o mulțime de  $n$  obiecte, unde dimensiunea  $s_i$  a celui de al  $i$ -lea obiect satisface  $0 < s_i < 1$ . Dorim să împachetăm toate obiectele într-un număr minim de pachete de dimensiune 1. Fiecare pachet poate conține orice submulțime de obiecte având dimensiunea totală cel mult egală cu 1.

- Demonstrați că problema determinării numărului minim de pachete necesare este NP-dificilă. (*Indica ie:* Reduceti problema la problema sumei submulțimii.)

Euristica **primei potriviri** ia fiecare obiect, pe rând, și îl plasează în primul pachet în care începe. Fie  $S = \sum_{i=1}^n s_i$ .

- Argumentați că numărul optim de pachete necesare este cel puțin  $\lceil S \rceil$ .
- Argumentați că euristica primei potriviri lasă, cel mult, un pachet plin mai puțin decât pe jumătate.
- Demonstrați că numărul pachetelor folosite de euristica primei potriviri nu este niciodată mai mare decât  $\lceil 2S \rceil$ .
- Demonstrați că euristica primei potriviri are marginea raportului egală cu 2.
- Dați o implementare eficientă a euristicii primei potriviri și analizați timpul de execuție al acesteia.

### 37-2 Aproximarea dimensiunii unei clici maxime

Fie  $G = (V, E)$  un graf neorientat. Pentru orice  $k \geq 1$ , definim  $G^{(k)}$  graful neorientat  $(V^{(k)}, E^{(k)})$ , unde  $V^{(k)}$  este mulțimea tuturor  $k$ -tuplelor ordonate de vârfuri din  $V$ , și  $E^{(k)}$  este definit astfel încât  $(v_1, v_2, \dots, v_k)$  este adiacent cu  $(w_1, w_2, \dots, w_k)$  dacă și numai dacă, pentru fiecare  $i$ ,  $1 \leq i \leq k$ , fie vârful  $v_i$  este adiacent cu vârful  $w_i$  în  $G$ , fie  $v_i = w_i$ .

- Demonstrați că dimensiunea clicii maxime din  $G^{(k)}$  este egală cu puterea  $k$  a dimensiunii clicii maxime din  $G$ .
- Argumentați că, dacă există un algoritm de aproximare cu margine constantă a raportului pentru găsirea clicii maxime, atunci există o schemă de aproximare în timp complet polinomial pentru aceeași problemă.

### 37-3 Problema acoperirii ponderate a mulțimii

Să presupunem că generalizăm problema acoperirii mulțimii, astfel încât, fiecărei mulțimi  $S_i$  din familia  $\mathcal{F}$  i se asociază o pondere  $w_i$  și că ponderea unei acoperiri  $\mathcal{C}$  este  $\sum_{S_i \in \mathcal{C}} w_i$ . Dorim să determinăm o acoperire de pondere minimă. (Secțiunea 37.3 analizează cazul în care  $w_i = 1$  pentru toți  $i$ .)

Arătați că euristica greedy de rezolvare a problemei acoperirii mulțimii poate fi generalizată în mod natural pentru a produce o soluție aproximativă pentru orice instanță a problemei acoperirii ponderate a mulțimii. Arătați că euristica astfel produsă are o margine a raportului de  $H(d)$ , unde  $d$  este dimensiunea maximă a oricărei mulțimi  $S_i$ .

---

## Note bibliografice

În domeniul algoritmilor de aproximare există o literatură bogată. Ați putea începe cu studiul lucrării lui Garey și Johnson, [79]. Papadimitriou și Steiglitz [154] au, de asemenea, o prezentare excelentă a algoritmilor de aproximare. Lawler, Lenstra, Rinnooy Kan și Shmoys [133] prezintă o tratare extensivă a problemei comis-voajorului.

Papadimitriou și Steiglitz atribuie algoritmul ACOPERIRE-CU-VÂRFURI-APROX lui F. Gavril și M. Yannakakis. Algoritmul PCV-TUR-APROX apare într-un articol excelent al lui Rosenkrantz, Stearns și Lewis [170]. Teorema 37.3 se datorează lui Sahni și Gonzales [172]. Analiza euristică greedy pentru problema acoperirii mulțimii este modelată după demonstrația unui rezultat mai general, publicată de Chvátal [42]; acest rezultat de bază, aşa cum este prezentat aici, este datorat lui Johnson [113] și Lovász [141]. Algoritmul SUMA-SUBMULTIMII-APROX și analiza acestuia sunt ușor modelate după algoritmii de aproximare similari pentru problema rucsacului și problema sumei submultimilor, de Ibarra și Kim [111].

# Bibliografie

- [1] Milton Abramowitz și Irene A. Stegun, editori. *Handbook of Mathematical Functions*. Dover, 1965.
- [2] G. M. Adel'son-Vel'skii și E. M. Landis. An algorithm for the organization of information. *Soviet Mathematics Doklady*, 3:1259–1263, 1962.
- [3] Leonard M. Adleman, Carl Pomerance, și Robert S. Rumely. On distinguishing prime numbers from composite numbers. *Annals of Mathematics*, 117:173–206, 1983.
- [4] Alfred V. Aho, John E. Hopcroft, și Jeffrey D. Ullman. *The Design and Analysis of Computer Algorithms*. Addison-Wesley, 1974.
- [5] Alfred V. Aho, John E. Hopcroft, și Jeffrey D. Ullman. *Data Structures and Algorithms*. Addison-Wesley, 1983.
- [6] Ravindra K. Ahuja, Kurt Mehlhorn, James B. Orlin, și Robert E. Tarjan. Faster algorithms for the shortest path problem. Technical Report 193, MIT Operations Research Center, 1988.
- [7] Howard H. Aiken și Grace M. Hopper. The automatic sequence controlled calculator. În Brian Randell, editor, *The Origins of Digital Computers*, p. 203–222. Springer-Verlag, third edition, 1982.
- [8] M. Ajtai, J. Komlós, și E. Szemerédi. An  $O(n \log n)$  sorting network. În *Proceedings of the Fifteenth Annual ACM Symposium on Theory of Computing*, p. 1–9, 1983.
- [9] Selim G. Akl. *The Design and Analysis of Parallel Algorithms*. Prentice-Hall, 1989.
- [10] Richard J. Anderson și Gary L. Miller. Deterministic parallel list ranking. În John H. Reif, editor, *1988 Aegean Workshop on Computing*, volumul 319 din *Lecture Notes in Computer Science*, p. 81–90. Springer-Verlag, 1988.
- [11] Richard J. Anderson și Gary L. Miller. A simple randomized parallel algorithm for list-ranking. Unpublished manuscript, 1988.
- [12] Tom M. Apostol. *Calculus*, volumul 1. Blaisdell Publishing Company, second edition, 1967.
- [13] A. J. Atrubin. A one-dimensional real-time iterative multiplier. *IEEE Transactions on Electronic Computers*, EC-14(1): 394–399, 1965.
- [14] Sara Baase. *Computer Algorithms: Introduction to Design and Analysis*. Addison-Wesley, second edition, 1988.
- [15] Eric Bach. Private communication, 1989.
- [16] Eric Bach. Number-theoretic algorithms. În *Annual Review of Computer Science*, volumul 4, p. 119–172. Annual Reviews, Inc., 1990.
- [17] R. Bayer. Symmetric binary B-trees: Data structure and maintenance algorithms. *Acta Informatica*, 1:290–306, 1972.
- [18] R. Bayer și E. M. McCreight. Organization and maintenance of large ordered indexes. *Acta Informatica*, 1(3):173–189, 1972.

- [19] Paul W. Beame, Stephen A. Cook, și H. James Hoover. Log depth circuits for division and related problems. *SIAM Journal on Computing*, 15(4):994–1003, 1986.
- [20] Pierre Beauchemin, Gilles Brassard, Claude Crépeau, Claude Goutier, și Carl Pomerance. The generation of random numbers that are probably prime. *Journal of Cryptology*, 1:53–64, 1988.
- [21] Richard Bellman. *Dynamic Programming*. Princeton University Press, 1957.
- [22] Richard Bellman. On a routing problem. *Quarterly of Applied Mathematics*, 16(1):87–90, 1958.
- [23] Michael Ben-Or. Lower bounds for algebraic computation trees. În *Proceedings of the Fifteenth Annual ACM Symposium on Theory of Computing*, p. 80–86, 1983.
- [24] Jon L. Bentley. *Writing Efficient Programs*. Prentice-Hall, 1982.
- [25] Jon L. Bentley. *Programming Pearls*. Addison-Wesley, 1986.
- [26] Jon L. Bentley, Dorothea Haken, și James B. Saxe. A general method for solving divide-and-conquer recurrences. *SIGACT News*, 12(3):36–44, 1980.
- [27] William H. Beyer, editor. *CRC Standard Mathematical Tables*. The Chemical Rubber Company, 1984.
- [28] Patrick Billingsley. *Probability and Measure*. John Wiley & Sons, second edition, 1986.
- [29] Manuel Blum, Robert W. Floyd, Vaughan Pratt, Ronald L. Rivest, și Robert E. Tarjan. Time bounds for selection. *Journal of Computer and System Sciences*, 7(4):448–461, 1973.
- [30] Béla Bollobás. *Random Graphs*. Academic Press, 1985.
- [31] J. A. Bondy și U. S. R. Murty. *Graph Theory with Applications*. American Elsevier, 1976.
- [32] Robert S. Boyer și J. Strother Moore. A fast string-searching algorithm. *Communications of the ACM*, 20(10):762–772, 1977.
- [33] Gilles Brassard și Paul Bratley. *Algorithmics: Theory and Practice*. Prentice-Hall, 1988.
- [34] Richard P. Brent. The parallel evaluation of general arithmetic expressions. *Journal of the ACM*, 21 (2):201–206, 1974.
- [35] Richard P. Brent. An improved Monte Carlo factorization algorithm. *BIT*, 20(2):176–184, 1980.
- [36] Mark R. Brown. *The Analysis of a Practical and Nearly Optimal Priority Queue*. Teză de doctorat, Computer Science Department, Stanford University, 1977. Technical Report STAN-CS-77-600.
- [37] Mark R. Brown. Implementation and analysis of binomial queue algorithms. *SIAM Journal on Computing*, 7(3):298–319, 1978.
- [38] Arthur W. Burks, editor. *Theory of Self Reproducing Automata*. University of Illinois Press, 1966.
- [39] Joseph J. F. Cavanagh. *Digital Computer Arithmetic*. McGraw-Hill, 1984.
- [40] H. Chernoff. A measure of asymptotic efficiency for tests of a hypothesis based on the sum of observations. *Annals of Mathematical Statistics*, 23:493–507, 1952.
- [41] Kai Lai Chung. *Elementary Probability Theory with Stochastic Processes*. Springer-Verlag, 1974.
- [42] V. Chvátal. A greedy heuristic for the set-covering problem. *Mathematics of Operations Research*, 4(3):233–235, 1979.
- [43] V. Chvátal, D. A. Klarner, și D. E. Knuth. Selected combinatorial research problems. Technical Report STAN-CS-72-292, Computer Science Department, Stanford University, 1972.
- [44] Alan Cobham. The intrinsic computational difficulty of functions. În *Proceedings of the 1964 Congress for Logic, Methodology, and the Philosophy of Science*, p. 24–30. North-Holland, 1964.
- [45] H. Cohen și H. W. Lenstra, Jr. Primality testing and jacobi sums. *Mathematics of Computation*, 42(165):297–330, 1984.
- [46] Richard Cole. Parallel merge sort. În *Proceedings of the 27th Annual Symposium on Foundations of Computer Science*, p. 511–516. IEEE Computer Society, 1986.

- [47] Richard Cole și Uzi Vishkin. Deterministic coin tossing with applications to optimal parallel list ranking. *Information and Control*, 70(1):32–53, 1986.
- [48] D. Comer. The ubiquitous B-tree. *ACM Computing Surveys*, 11(2):121–137, 1979.
- [49] Stephen Cook. The complexity of theorem proving procedures. În *Proceedings of the Third Annual ACM Symposium on Theory of Computing*, p. 151–158, 1971.
- [50] Stephen Cook, Cynthia Dwork, și Rüdiger Reischuk. Upper and lower time bounds for parallel random access machines without simultaneous writes. *SIAM Journal on Computing*, 15(1):87–97, 1986.
- [51] James W. Cooley și John W. Tukey. An algorithm for the machine calculation of complex Fourier series. *Mathematics of Computation*, 19(90): 297–301, April 1965.
- [52] Don Coppersmith și Shmuel Winograd. Matrix multiplication via arithmetic progressions. În *Proceedings of the Nineteenth Annual ACM Symposium on Theory of Computing*, p. 1–6, 1987.
- [53] George B. Dantzig. *Linear Programming and Extensions*. Princeton University Press, 1963.
- [54] Whitfield Diffie și Martin E. Hellman. New directions in cryptography. *IEEE Transactions on Information Theory*, IT-22(6):644–654, 1976.
- [55] E. W. Dijkstra. A note on two problems in connexion with graphs. *Numerische Mathematik*, 1:269–271, 1959.
- [56] John D. Dixon. Factorization and primality tests. *The American Mathematical Monthly*, 91(6):333–352, 1984.
- [57] Alvin W. Drake. *Fundamentals of Applied Probability Theory*. McGrawHill, 1967.
- [58] James R. Driscoll, Harold N. Gabow, Ruth Shrairman, și Robert E. Tarjan. Relaxed heaps: An alternative to Fibonacci heaps with applications to parallel computation. *Communications of the ACM*, 31(11):1343–1354, 1988.
- [59] James R. Driscoll, Neil Sarnak, Daniel D. Sleator, și Robert E. Tarjan. Making data structures persistent. În *Proceedings of the Eighteenth Annual ACM Symposium on Theory of Computing*, p. 109–121, 1986.
- [60] Herbert Edelsbrunner. *Algorithms in Combinatorial Geometry*, volumul 10 din *EATCS Monographs on Theoretical Computer Science*. Springer-Verlag, 1987.
- [61] Jack Edmonds. Paths, trees, and flowers. *Canadian Journal of Mathematics*, 17:449–467, 1965.
- [62] Jack Edmonds. Matroids and the greedy algorithm. *Mathematical Programming*, 1:126–136, 1971.
- [63] Jack Edmonds și Richard M. Karp. Theoretical improvements in the algorithmic efficiency for network flow problems. *Journal of the ACM*, 19:248–264, 1972.
- [64] G. Estrin, B. Gilchrist, și J. H. Pomerene. A note on high-speed digital multiplication. *IRE Transactions on Electronic Computers*, 5(3):140, 1956.
- [65] Shimon Even. *Graph Algorithms*. Computer Science Press, 1979.
- [66] William Feller. *An Introduction to Probability Theory and Its Applications*. John Wiley & Sons, third edition, 1968.
- [67] M. J. Fischer și A. R. Meyer. Boolean matrix multiplication and transitive closure. În *Proceedings of the Twelfth Annual Symposium on Switching and Automata Theory*, p. 129–131. IEEE Computer Society, 1971.
- [68] Robert W. Floyd. Algorithm 97 (SHORTEST PATH). *Communications of the ACM*, 5(6):345, 1962.
- [69] Robert W. Floyd. Algorithm 245 (TREESORT). *Communications of the ACM*, 7:701, 1964.
- [70] Robert W. Floyd și Ronald L. Rivest. Expected time bounds for selection. *Communications of the ACM*, 18(3):165–172, 1975.

- [71] Lester R. Ford, Jr., și D. R. Fulkerson. *Flows in Networks*. Princeton University Press, 1962.
- [72] Lester R. Ford, Jr., și Selmer M. Johnson. A tournament problem. *The American Mathematical Monthly*, 66:387–389, 1959.
- [73] Steven Fortune și James Wyllie. Parallelism in random access machines. În *Proceedings of the Tenth Annual ACM Symposium on Theory of Computing*, p. 114–118, 1978.
- [74] Michael L. Fredman și Michael E. Saks. The cell probe complexity of dynamic data structures. În *Proceedings of the Twenty First Annual ACM Symposium on Theory of Computing*, 1989.
- [75] Michael L. Fredman și Robert E. Tarjan. Fibonacci heaps and their uses in improved network optimization algorithms. *Journal of the ACM*, 34(3):596–615, 1987.
- [76] Harold N. Gabow și Robert E. Tarjan. A linear-time algorithm for a special case of disjoint set union. *Journal of Computer and System Sciences*, 30(2):209–221, 1985.
- [77] Harold N. Gabow și Robert E. Tarjan. Faster scaling algorithms for network problems. *SIAM Journal on Computing*, 18(5):1013–1036, 1989.
- [78] Zvi Galil și Joel Seiferas. Time-space-optimal string matching. *Journal of Computer and System Sciences*, 26(3):280–294, 1983.
- [79] Michael R. Garey și David S. Johnson. *Computers and Intractability: A Guide to the Theory of NP-Completeness*. W. H. Freeman, 1979.
- [80] Fănică Gavril. Algorithms for minimum coloring, maximum clique, minimum covering by cliques, and maximum independent set of a chordal graph. *SIAM Journal on Computing*, 1(2):180–187, 1972.
- [81] Alan George și Joseph W-H Liu. *Computer Solution of Large Sparse Positive Definite Systems*. Prentice-Hall, 1981.
- [82] Andrew V. Goldberg. *Efficient Graph Algorithms for Sequential and Parallel Computers*. Teză de doctorat, Department of Electrical Engineering and Computer Science, MIT, 1987.
- [83] Andrew V. Goldberg, Éva Tardos, și Robert E. Tarjan. Network flow algorithms. Technical Report STAN-CS-89-1252, Computer Science Department, Stanford University, 1989.
- [84] Andrew V. Goldberg și Serge A. Plotkin. Parallel  $(\delta + 1)$  coloring of constant-degree graphs. *Information Processing Letters*, 25(4):241–245, 1987.
- [85] Andrew V. Goldberg și Robert E. Tarjan. A new approach to the maximum flow problem. În *Proceedings of the Eighteenth Annual ACM Symposium on Theory of Computing*, p. 136–146, 1986.
- [86] Shafi Goldwasser și Silvio Micali. Probabilistic encryption. *Journal of Computer and System Sciences*, 28(2):270–299, 1984.
- [87] Shafi Goldwasser, Silvio Micali, și Charles Rackoff. The knowledge complexity of interactive proof systems. *SIAM Journal on Computing*, 18(1):186–208, 1989.
- [88] Shafi Goldwasser, Silvio Micali, și Ronald L. Rivest. A digital signature scheme secure against adaptive chosen-message attacks. *SIAM Journal on Computing*, 17(2):281–308, 1988.
- [89] Gene H. Golub și Charles F. Van Loan. *Matrix Computations*. The Johns Hopkins University Press, 1983.
- [90] G. H. Gonnet. *Handbook of Algorithms and Data Structures*. Addison-Wesley, 1984.
- [91] R. L. Graham. An efficient algorithm for determining the convex hull of a finite planar set. *Information Processing Letters*, 1:132–133, 1972.
- [92] R. L. Graham și Pavol Hell. On the history of the minimum spanning tree problem. *Annals of the History of Computing*, 7(1):43–57, 1985.

- [93] Leo J. Guibas și Robert Sedgewick. A diochromatic framework for balanced trees. În *Proceedings of the 19th Annual Symposium on Foundations of Computer Science*, p. 8–21. IEEE Computer Society, 1978.
- [94] Frank Harary. *Graph Theory*. Addison-Wesley, 1969.
- [95] J. Hartmanis și R. E. Stearns. On the computational complexity of algorithms. *Transactions of the American Mathematical Society*, 117:285–306, 1965.
- [96] Frederick J. Hill și Gerald R. Peterson. *Introduction to Switching Theory and Logical Design*. John Wiley & Sons, second edition, 1974.
- [97] C. A. R. Hoare. Algorithm 63 (partition) and algorithm 65 (find). *Communications of the ACM*, 4(7):321–322, 1961.
- [98] C. A. R. Hoare. Quicksort. *Computer Journal*, 5(1):10–15, 1962.
- [99] W. Hoeffding. On the distribution of the number of successes in independent trials. *Annals of Mathematical Statistics*, 27:713–721, 1956.
- [100] Micha Hofri. *Probabilistic Analysis of Algorithms*. Springer-Verlag, 1987.
- [101] John E. Hopcroft și Richard M. Karp. An  $n^{5/2}$  algorithm for maximum matchings in bipartite graphs. *SIAM Journal on Computing*, 2(4):225–231, 1973.
- [102] John E. Hopcroft și Robert E. Tarjan. Efficient algorithms for graph manipulation. *Communications of the ACM*, 16(6):372–378, 1973.
- [103] John E. Hopcroft și Jeffrey D. Ullman. Set merging algorithms. *SIAM Journal on Computing*, 2(4):294–303, 1973.
- [104] John E. Hopcroft și Jeffrey D. Ullman. *Introduction to Automata Theory, Languages, and Computation*. Addison-Wesley, 1979.
- [105] Ellis Horowitz și Sartaj Sahni. *Fundamentals of Computer Algorithms*. Computer Science Press, 1978.
- [106] T. C. Hu și M. T. Shing. *Computation of Matrix Chain Products. Part I*. *SIAM Journal on Computing*, 11(2): 362–373, 1982. T. C. Hu și M. T. Shing. *Computation of Matrix Chain Products. Part II*. *SIAM Journal on Computing*, 13(2): 228–251, 1984.
- [107] David A. Huffman. A method for the construction of minimum-redundancy codes. *Proceedings of the IRE*, 40(9):1098–1101, 1952.
- [108] Kai Hwang. *Computer Arithmetic: Principles, Architecture, and Design*. John Wiley & Sons, 1979.
- [109] Kai Hwang și Fayé A. Briggs. *Computer Architecture and Parallel Processing*. McGraw-Hill, 1984.
- [110] Kai Hwang și Doug DeGroot. *Parallel Processing for Supercomputers and Artificial Intelligence*. McGraw-Hill, 1989.
- [111] Oscar H. Ibarra și Chul E. Kim. Fast approximation algorithms for the knapsack and sum of subset problems. *Journal of the ACM*, 22(4):463–468, 1975.
- [112] R. A. Jarvis. On the identification of the convex hull of a finite set of points in the plane. *Information Processing Letters*, 2:18–21, 1973.
- [113] D. S. Johnson. Approximation algorithms for combinatorial problems. *Journal of Computer and System Sciences*, 9:256–278, 1974.
- [114] Donald B. Johnson. Efficient algorithms for shortest paths in sparse networks. *Journal of the ACM*, 24(1):1–13, 1977.
- [115] N. Karmarkar. A new polynomial-time algorithm for linear programming. *Combinatorica*, 4(4):373–395, 1984.
- [116] Richard M. Karp. Reducibility among combinatorial problems. În Raymond E. Miller și James W. Thatcher, editori, *Complexity of Computer Computations*, p. 85–103. Plenum Press, 1972.

- [117] Richard M. Karp și Michael O. Rabin. Efficient randomized patternmatching algorithms. Technical Report TR-31-81, Aiken Computation Laboratory, Harvard University, 1981.
- [118] Richard M. Karp și Vijaya Ramachandran. A survey of parallel algorithms for shared-memory machines. Technical Report UCB/CSD 88/408, Computer Science Division (EECS), University of California, Berkeley, 1988.
- [119] A. V. Karzanov. Determining the maximal flow in a network by the method of preflows. *Soviet Mathematics Doklady*, 15:434–437, 1974.
- [120] D. G. Kirkpatrick și R. Seidel. The ultimate planar convex hull algorithm? *SIAM Journal on Computing*, 15(2):287–299, 1986.
- [121] Donald E. Knuth. *Fundamental Algorithms*, volumul 1 din *The Art of Computer Programming*. Addison-Wesley, 1968. Second edition, 1973.
- [122] Donald E. Knuth. *Seminumerical Algorithms*, volumul 2 din *The Art of Computer Programming*. Addison-Wesley, 1969. Second edition, 1981.
- [123] Donald E. Knuth. *Sorting and Searching*, volumul 3 din *The Art of Computer Programming*. Addison-Wesley, 1973.
- [124] Donald E. Knuth. Big omicron and big omega and big theta. *ACM SIGACT News*, 8(2):18–23, 1976.
- [125] Donald E. Knuth, James H. Morris, Jr., și Vaughan R. Pratt. Fast pattern matching in strings. *SIAM Journal on Computing*, 6(2):323–350, 1977.
- [126] Zvi Kohavi. *Switching and Finite Automata Theory*. McGraw-Hill, 1970.
- [127] Bernhard Korte și László Lovász. Mathematical structures underlying greedy algorithms. În F. Gecseg, editor, *Fundamentals of Computation Theory*, numărul 117 din *Lecture Notes in Computer Science*, p. 205–209. Springer-Verlag, 1981.
- [128] Bernhard Korte și László Lovász. Structural properties of greedoids. *Combinatorica*, 3:359–374, 1983.
- [129] Bernhard Korte și László Lovász. Greedoids – a structural framework for the greedy algorithm. În W. Pulleybank, editor, *Progress in Combinatorial Optimization*, p. 221–243. Academic Press, 1984.
- [130] Bernhard Korte și László Lovász. Greedoids and linear objective functions. *SIAM Journal on Algebraic and Discrete Methods*, 5(2):229–238, 1984.
- [131] J. B. Kruskal. On the shortest spanning subtree of a graph and the traveling salesman problem. *Proceedings of the American Mathematical Society*, 7:48–50, 1956.
- [132] Eugene L. Lawler. *Combinatorial Optimization: Networks and Matroids*. Holt, Rinehart, and Winston, 1976.
- [133] Eugene L. Lawler, J. K. Lenstra, A. H. G. Rinnooy Kan, și D. B. Shmoys, editori. *The Traveling Salesman Problem*. John Wiley & Sons, 1985.
- [134] C. Y. Lee. An algorithm for path connection and its applications. *IRE Transactions on Electronic Computers*, EC-10(3):346–365, 1961.
- [135] F. Thomson Leighton. *Introduction to Parallel Algorithms and Architectures: Networks and Algorithms*. Morgan-Kaufmann, in preparation.
- [136] Debra A. Lelewel și Daniel S. Hirschberg. Data compression. *ACM Computing Surveys*, 19(3):261–296, 1987.
- [137] H. W. Lenstra, Jr. Factoring integers with elliptic curves. *Annals of Mathematics*, 126:649–673, 1987.
- [138] L. A. Levin. Universal sorting problems. *Problemy Peredachi Informatsii*, 9(3):265–266, 1973. În limba rusă.

- [139] Harry R. Lewis și Christos H. Papadimitriou. *Elements of the Theory of Computation*. Prentice-Hall, 1981.
- [140] C. L. Liu. *Introduction to Combinatorial Mathematics*. McGraw-Hill, 1968.
- [141] László Lovász. *On the ratio of optimal integral and fractional covers*. Discrete Mathematics, 13:383–390, 1975.
- [142] Udi Manber. *Introduction to Algorithms: A Creative Approach*. Addison-Wesley, 1989.
- [143] William J. Masek și Michael S. Paterson. A faster algorithm computing string edit distances. *Journal of Computer and System Sciences*, 20(1):18–31, 1980.
- [144] Kurt Mehlhorn. *Sorting and Searching*, volumul 1 din *Data Structures and Algorithms*. Springer-Verlag, 1984.
- [145] Kurt Mehlhorn. *Graph Algorithms and NP-Completeness*, volumul 2 din *Data Structures and Algorithms*. Springer-Verlag, 1984.
- [146] Kurt Mehlhorn. *Multidimensional Searching and Computational Geometry*, volumul 3 din *Data Structures and Algorithms*. Springer-Verlag, 1984.
- [147] Gary L. Miller. Riemann’s hypothesis and tests for primality. *Journal of Computer and System Sciences*, 13(3):300–317, 1976.
- [148] Louis Monier. *Algorithmes de Factorisation D’Entiers*. Teză de doctorat, L’Université Paris-Sud, Centre D’Orsay, 1980.
- [149] Louis Monier. Evaluation and comparison of two efficient probabilistic primality testing algorithms. *Theoretical Computer Science*, 12( 1):97–108, 1980.
- [150] Edward F. Moore. The shortest path through a maze. În *Proceedings of the International Symposium on the Theory of Switching*, p. 285–292. Harvard University Press, 1959.
- [151] Ivan Niven și Herbert S. Zuckerman. *An Introduction to the Theory of Numbers*. John Wiley & Sons, fourth edition, 1980.
- [152] Yu. Ofman. On the algorithmic complexity of discrete functions. *Soviet Physics Doklady*, 7(7):589–591, 1963. Traducere în limba engleză.
- [153] Alan V. Oppenheim și Alan S. Willsky, cu Ian T. Young. *Signals and Systems*. Prentice-Hall, 1983.
- [154] Christos H. Papadimitriou și Kenneth Steiglitz. *Combinatorial Optimization: Algorithms and Complexity*. Prentice-Hall, 1982.
- [155] Michael S. Paterson, 1974. Unpublished lecture, Ile de Berder, France.
- [156] J. M. Pollard. A Monte Carlo method for factorization. *BIT*, 15:331–334, 1975.
- [157] Carl Pomerance. On the distribution of pseudoprimes. *Mathematics of Computation*, 37(156):587–593, 1981.
- [158] Carl Pomerance. The quadratic sieve factoring algorithm. În T. Beth, N. Cot, și I. Ingemarrson, editori, *Advances in Cryptology*, volumul 209 din *Lecture Notes in Computer Science*, p. 169–182. Springer-Verlag, 1984.
- [159] Carl Pomerance, editor. *Proceedings of the AMS Symposia in Applied Mathematics: Computational Number Theory and Cryptography*. American Mathematical Society, 1992.
- [160] Franco P. Preparata și Micheal Ian Shamos. *Computational Geometry: An Introduction*. Springer-Verlag, 1985.
- [161] William H. Press, Brian P. Flannery, Saul A. Teukolsky, și William T. Vetterling. *Numerical Recipes: The Art of Scientific Computing*. Cambridge University Press, 1986.
- [162] William H. Press, Brian P. Flannery, Saul A. Teukolsky, și William T. Vetterling. Numerical Recipes in C. Cambridge University Press, 1988.

- [163] R. C. Prim. Shortest connection networks and some generalizations. *Bell System Technical Journal*, 36:1389–1401, 1957.
- [164] Paul W. Purdom, Jr., și Cynthia A. Brown. *The Analysis of Algorithms*. Holt, Rinehart, și Winston, 1985.
- [165] Michael O. Rabin. Probabilistic algorithms. În J. F. Traub, editor, *Algorithms and Complexity: New Directions and Recent Results*, p. 21–39. Academic Press, 1976.
- [166] Michael O. Rabin. Probabilistic algorithm for testing primality. *Journal of Number Theory*, 12:128–138, 1980.
- [167] Edward M. Reingold, Jürg Nievergelt, și Narsingh Deo. *Combinatorial Algorithms: Theory and Practice*. Prentice-Hall, 1977.
- [168] Hans Riesel. *Prime Numbers and Computer Methods for Factorization*. Progress in Mathematics. Birkhäuser, 1985.
- [169] Ronald L. Rivest, Adi Shamir, și Leonard M. Adleman. A method for obtaining digital signatures and public-key cryptosystems. *Communications of the ACM*, 21(2):120–126, 1978. Vezi și U.S. Patent 4,405,829.
- [170] D. J. Rosenkrantz, R. E. Stearns, și P. M. Lewis. An analysis of several heuristics for the traveling salesman problem. *SIAM Journal on Computing*, 6:563–581, 1977.
- [171] Y. A. Rozanov. *Probability Theory: A Concise Course*. Dover, 1969.
- [172] S. Sahni și T. Gonzalez. P-complete approximation problems. *Journal of the ACM*, 23:555–565, 1976.
- [173] John E. Savage. *The Complexity of Computing*. John Wiley & Sons, 1976.
- [174] Robert Sedgewick. Implementing quicksort programs. *Communications of the ACM*, 21(10):847–857, 1978.
- [175] Robert Sedgewick. *Algorithms*. Addison-Wesley, second edition, 1988.
- [176] Michael I. Shamos și Dan Hoey. Geometric intersection problems. În *Proceedings of the 17th Annual Symposium on Foundations of Computer Science*, p. 208–215. IEEE Computer Society, 1976.
- [177] Daniel D. Sleator și Robert E. Tarjan. A data structure for dynamic trees. *Journal of Computer and System Sciences*, 26(3):362–391, 1983.
- [178] Daniel D. Sleator și Robert E. Tarjan. Self-adjusting binary search trees. *Journal of the ACM*, 32(3):652–686, 1985.
- [179] Joel Spencer. *Ten Lectures on the Probabilistic Method*. Regional Conference Series on Applied Mathematics (No. 52). SIAM, 1987.
- [180] Staff of the Computation Laboratory. *Description of a Relay Calculator*, volumul XXIV din *The Annals of the Computation Laboratory of Harvard University*. Harvard University Press, 1949.
- [181] Gilbert Strang. *Introduction to Applied Mathematics*. Wellesley-Cambridge Press, 1986.
- [182] Gilbert Strang. *Linear Algebra and Its Applications*. Harcourt Brace Jovanovich, third edition, 1988.
- [183] Volker Strassen. Gaussian elimination is not optimal. *Numerische Mathematik*, 14(3):354–356, 1969.
- [184] T. G. Szymanski. A special case of the maximal common subsequence problem. Technical Report TR-170, Computer Science Laboratory, Princeton University, 1975.
- [185] Robert E. Tarjan. Depth first search and linear graph algorithms. *SIAM Journal on Computing*, 1(2):146–160, 1972.

- [186] Robert E. Tarjan. Efficiency of a good but not linear set union algorithm. *Journal of the ACM*, 22(2):215–225, 1975.
- [187] Robert E. Tarjan. A class of algorithms which require nonlinear time to maintain disjoint sets. *Journal of Computer and System Sciences*, 18(2): 110–127, 1979.
- [188] Robert E. Tarjan. *Data Structures and Network Algorithms*. Society for Industrial and Applied Mathematics, 1983.
- [189] Robert E. Tarjan. Amortized computational complexity. *SIAM Journal on Algebraic and Discrete Methods*, 6(2):306–318, 1985.
- [190] Robert E. Tarjan și Jan van Leeuwen. Worst-case analysis of set union algorithms. *Journal of the ACM*, 31(2):245–281, 1984.
- [191] Robert E. Tarjan și Uzi Vishkin. An efficient parallel biconnectivity algorithm. *SIAM Journal on Computing*, 14(4):862–874, 1985.
- [192] George B. Thomas, Jr., și Ross L. Finney. *Calculus and Analytic Geometry*. Addison-Wesley, seventh edition, 1988.
- [193] Leslie G. Valiant. Parallelism in comparison problems. *SIAM Journal on Computing*, 4(3):348–355, 1975.
- [194] P. van Emde Boas. Preserving order in a forest in less than logarithmic time. În *Proceedings of the 16th Annual Symposium on Foundations of Computer Science*, p. 75–84. IEEE Computer Society, 1975.
- [195] Uzi Vishkin. Implementation of simultaneous memory address access in models that forbid it. *Journal of Algorithms*, 4(1):45–50, 1983.
- [196] Jean Vuillemin. A data structure for manipulating priority queues. *Communications of the ACM*, 21(4):309–315, 1978.
- [197] C. S. Wallace. A suggestion for a fast multiplier. *IEEE Transactions on Electronic Computers*, EC-13(1):14–17, 1964.
- [198] Stephen Warshall. A theorem on boolean matrices. *Journal of the ACM*, 9(1):11–12, 1962.
- [199] A. Weinberger și J. L. Smith. A one-microsecond adder using onemegacycle circuitry. *IRE Transactions on Electronic Computers*, EC-5(2), 1956.
- [200] Hassler Whitney. On the abstract properties of linear dependence. *American Journal of Mathematics*, 57:509–533, 1935.
- [201] Herbert S. Wilf. *Algorithms and Complexity*. Prentice-Hall, 1986.
- [202] J. W. J. Williams. Algorithm 232 (heapsort). *Communications of the ACM*, 7:347–348, 1964.
- [203] S. Winograd. On the algebraic complexity of functions. În *Actes du Congrès International des Mathématiciens*, volumul 3, p. 283–288, 1970.
- [204] James C. Wyllie. *The Complexity of Parallel Computations*. Teză de doctorat, Department of Computer Science, Cornell University, 1979.
- [205] Andrew C.-C. Yao. A lower bound to finding convex hulls. *Journal of the ACM*, 28(4):780–787, 1981.

# Index

- 2-3 arbore, 241, 343  
2-3-4 arbore, 331  
    divizare a, 342  
    fuzionare a, 342  
    și arbori roșu-negru, 333
- AAM-GENERIC, 429  
AAM-HEAP-INTERCLASABIL, 360  
AAM-KRUSKAL, 433  
AAM-PRIM, 436  
AAM-REDUCERE, 439  
abatere medie pătratică, 99  
acceptare  
    de către un automat finit, 739  
accesibilitate într-un graf( $\stackrel{p}{\rightsquigarrow}$ ), 75  
ACEEAȘI-COMPONENTĂ, 380  
acoperire  
    cu vârfuri, 828  
    printr-o submulțime, 835  
acoperire cu vârfuri, 813, 828  
    pentru un arbore, 830  
ACOPERIRE-CU-VÂRFURI-APROX, 828  
ACOPERIRE-MULTIME-GREEDY, 836  
adâncime  
    a unei frunze într-un arbore de decizie, 149  
    a unei stive, 145  
    a unui arbore de decizie, 148  
    a unui arbore de recurență pentru sortare rapidă, 137  
    a unui nod într-un arbore cu rădăcină, 81  
    a unui nod într-un arbore roșu-negru, 229, 250  
medie a unui nod într-un arbore binar  
    de căutare construit aleator, 223
- ADAUGĂ-SUBARBORE, 396  
adresare directă, 187  
ADRESARE-DIRECTĂ-CAUTĂ, 187  
ADRESARE-DIRECTĂ-INSEREAZĂ, 187  
ADRESARE-DIRECTĂ-ȘTERGE, 188  
adunare  
    a polinoamelor, 666  
    a unor întregi binari, 5  
adunare completă, 563  
AFIȘEAZĂ-INTERSECȚIA-SEGMENTELOR, 769  
alfabet, 739, 789  
alfabet de intrare, 739  
algoritm, 1  
    corectitudine, 2  
    cu timp de execuție polinomial, 785  
    timp de execuție, 6  
algoritm aleator, 138  
    comportarea în cazul cel mai defavorabil, 139  
    dispersie universală, 196  
    pentru căutare într-o listă compactă, 185  
    pentru inserare într-un arbore binar de căutare cu chei egale, 222  
    pentru partitiorare, 138, 143, 144  
    pentru permutare, 139  
    pentru selecție, 160  
    pentru sortare rapidă, 138, 144  
algoritm de aproximare, 826  
    pentru împachetarea cu cutii, 843  
    pentru problema acoperirii cu vârfuri, 828  
    pentru problema acoperirii de pondere minimă a mulțimii, 843  
    pentru problema acoperirii mulțimii,

- 835  
pentru problema clicii maxime, 843  
pentru problema comis-voiajorului, 830  
pentru problema sumei submultimii,  
838  
algoritm de determinare a maximului, 623  
algoritm de partitie, 132  
aleator, 138  
elementul de mijloc dintre trei elemente, 143  
varianta Lomuto, 144  
algoritm de preflux, 519  
algoritm generic, 522  
operatii de bază, 520  
pentru determinarea unui cuplaj  
maxim, 527  
algoritm de reducere, 797  
algoritm de verificare, 793  
algoritm EREW aleator  
pentru calcularea prefixului, 612  
algoritm greedy, 283  
bazele teoretice ale, 296  
comparare cu metoda programării dinamice, 288  
elementele unui, 287  
pe un matroid ponderat, 298  
pentru arbore de acoperire minim, 428  
pentru coduri Huffman, 290  
pentru găsirea acoperirii de varfuri  
optimală pentru un arbore, 830  
pentru planificarea activităților, 301,  
305  
pentru problema acoperirii multimii,  
835  
pentru problema acoperirii ponderate a  
multimii, 843  
pentru problema fractiunară a rucsacului, 288  
pentru problema selectării activităților,  
283  
pentru schimb de monede, 304  
proprietatea alegerii greedy în, 287  
substructură optimă în, 287  
algoritm paralel, 590  
ciclu eulerian, 599  
citire concurrentă, 591  
citire exclusivă, 591  
eficient ca efort, 596  
procesor inactiv, 612  
scriere concurrentă, 591  
scriere exclusivă, 591  
tehnica ciclului eulerian, 598  
algoritm polinomial, 687  
algoritmul Bellman-Ford, 456  
algoritmul Boyer-Moore, 751  
algoritmul cmmdc binar, 728  
algoritmul Dijkstra, 452  
asemănarea cu algoritmul lui Prim, 435  
algoritmul Dijkstra modificat, 455  
algoritmul elipsoidului, 463  
algoritmul Floyd-Warshall, 480  
algoritmul Johnson, 486  
algoritmul Karmakar, 463  
algoritmul KMP, 745  
algoritmul Knuth-Morris-Pratt, 745  
algoritmul lui Edmonds-Karp, 512  
algoritmul lui Kruskal, 433  
asemănarea cu algoritmul generic, 433  
având costuri întregi ale muchiilor, 438  
algoritmul lui Prim, 435  
în găsirea unui tur aproape optimal al  
comis-voiajorului, 831  
asemănarea cu algoritmul lui Dijkstra,  
435  
cu matrice de adiacență, 438  
implementat cu heap-uri Fibonacci, 438  
algoritmul lui Strassen  
pentru înmulțirea matricelor, 633  
algoritmul naiv pentru potrivirea șirurilor,  
732  
algoritmul Rabin-Karp, 735  
algoritmul simplex, 463  
algoritmul țăranului rus, 584  
algoritmul Viterbi, 281  
ALOCĂ-OBIECT, 181  
ALOCĂ-NOD, 334  
alocarea obiectelor, 180  
analiza  
metodei de preflux, 524  
analiza algoritmilor, 5  
analiză amortizată, 306  
metoda de agregare pentru, 306

- metoda de cotare pentru, 310
- metoda de potențial pentru, 312
- pentru algoritmul Knuth-Morris-Pratt, 747
- pentru arbori cu ponderi echilibrate, 323
- pentru heap-uri Fibonacci, 363, 371, 373, 374
- pentru permutare pe biți inversi, 322
- pentru scanarea Graham, 776
- pentru stive din memoria secundară, 341
- pentru structuri de date mulțimi disjuncte, 382
- pentru tabele dinamice, 315
- pentru varianta dinamică a căutării binare, 323
- analiză euristică
  - a algoritmului Rabin-Karp, 738
- analiză probabilistică, 108
  - a adâncimii medii a unui nod într-un arbore binar de căutare construit aleator, 223
  - a căutării într-o listă compactă, 186
  - a coliziunilor, 192, 205
  - a comparării fișierelor, 738
  - a determinării maximului dintr-un tablou, 114
  - a dispersiei cu înlănțuire, 191
  - a dispersiei cu adresare deschisă, 202, 205
  - a dispersiei universale, 196
  - a înlățimii unui arbore binar de căutare construit aleator, 217
  - a inserării într-un arbore binar de căutare cu chei egale, 222
  - a liniilor, 111, 113
  - a marginii celei mai lungi verificări pentru dispersie, 205
  - a marginii inferioare a cazului mediu pentru sortare, 156
  - a marginii pentru mărimea locației pentru înlănțuire, 206
  - a numărării probabilistice, 115
  - a paradoxului zilei de naștere, 109, 113
  - a partiționării, 137, 140, 143
- a problemei angajării, 114
- a selectiei aleatoare, 160
- a sortării pe grupe, 155, 156
- a sortării punctelor prin distanță față de origine, 156
- a sortării rapide, 140, 144, 145, 222
- pentru bile și cutii, 111, 113
- anihilator, 490
- antisimetria notației asimptotice, 27
- antisimetrie, 71
- apel prin valoare, 4
- aproximarea lui Stirling, 31
- arbitraj, 469
- arbore, 78
  - 2-3, 241, 343
  - 2-3-4, 331
  - acoperirea optimală cu vârfuri a unui, 830
  - binomial, 345, 347, 364
  - bisecțiunea unui, 84
  - cu rădăcină, 80, 182
  - de acoperire, 297, 428
  - de acoperire minim, 428
  - de analiză grammaticală, 276
  - de decizie, 147, 149
  - de recurență, 51
  - diametru al unui, 409
  - dinamic, 326
  - drum complet al unui, 831
  - găsirea rădăcinii unui, pe un CREW PRAM, 608
  - înălțime a unui, 81, 120
  - liber, 77, 78
  - oblic, 327
  - splay, 242
- arbore  $k$ -ar, 82
- arbore  $k$ -ar complet, 83
- arbore al drumurilor minime, 444
- arbore binar, 81
  - complet, 82
  - număr de distincții, 224
  - parcursere a unui, 184
  - reprezentare a unui, 182
- arbore binar complet, 82, 83
  - relația cu codul optimal, 291
- arbore binar de căutare, 208

- căutare, 210
- cheia maximă a, 211
- cheia minimă a, 211
- construit aleator, 217, 223
- cu chei egale, 222
- inserare în, 214
- interrogare, 210
- pentru sortare, 217
- predecesor în, 212
- ștergere din, 215
- succesor în, 212
- arbore binar de căutare construit aleator, 217, 223
- arbore binar echilibrat
  - 2-3 arbore, 241
  - arbore splay, 242
- arbore binomial, 345, 347
- neordonat, 364
- arbore binomial neordonat, 364
- arbore cu rădăcină, 80, 222
  - reprezentare a unui, 182
- arbore de acoperire, 297, 428
  - al doilea cel mai mic, 439
- arbore de acoperire minim, 428
  - algoritm generic, 428, 429
  - construit folosind heap-uri interclăsabile, 359
  - în găsirea turului aproape optim al comis-voiajorului, 831
  - în grafuri rare, 439
- arbore de acoperire minimă
  - relația cu matroizi, 298
- arbore de adâncime, 410
- arbore de analiză gramaticală, 276
- arbore de căutare echilibrat
  - 2-3 arbore, 343
  - 2-3-4 arbore, 331
  - arbore roșu-negru, 226
  - arbore splay (oblic), 327
  - B-arbore, 328
  - cu ponderi echilibrate, 323
- arbore de decizie, 147, 149
- arbore de drum minim, 449
- arbore de intervale, 251
- arbore de lățime, 403
- arbore de recurrentă, 51
- în demonstrarea teoremei master, 57
- arbore de recursivitate
  - pentru sortare prin interclasare, 270
- arbore de statistică de ordine, 243
  - interrogare a, 250
- arbore dinamic, 326
- arbore liber, 77, 78
- arbore oblic, 327
- arbore ordonat, 81
- arbore pozitional, 82
- arbore roșu-negru, 226
  - căutare în, 227
  - cheia maximă în, 227
  - cheia minimă în, 227
  - comparare cu B-arbore, 332
  - enumerarea cheilor dintr-un interval, 250
  - îmbogățirea, 249
  - în determinarea dacă orice segmente de dreaptă se intersecează, 766
  - înălțime a unui, 226
  - inserare în, 230
  - predecesor în, 227
  - proprietăți ale, 226
  - rotație în, 228
  - și 2-3-4 arbori, 333
  - ștergere din, 234
  - succesor în, 227
  - uniune, 240
- arbore splay, 242
- arbore Wallace, 579
- ARBORE-CAUTĂ, 210
- ARBORE-CAUTĂ-ITERATIV, 211
- ARBORE-INSEREAZĂ, 214, 217, 231
- ARBORE-MAXIM, 212
- ARBORE-MINIM, 212
- ARBORE-PREDECESOR, 213
- ARBORE-ȘTERGE, 215, 236
- ARBORE-SUCCESOR, 212
- ARBORE-TRAVERSARE-INORDINE, 209
- arbori cu ponderi echilibrate, 323
- arc, 74
  - eticheta unui, 491
- argument al unei funcții, 73
- arie a unui poligon simplu, 764
- articol, 117

- asemenea (~), 755  
 asimptotic nenegativ, 21  
 asimptotic pozitiv, 29  
 asociativitate, 697  
 astfel încât, 66  
 atribuire  
     multiplă, 3  
 atribuire de adevăr, 799  
 atribuire multiplă, 3  
 atribuire satisfiabilă, 799  
 atribut al unui obiect, 4  
 autobuclă, 74  
 automat  
     de potrivire a sirurilor, 739  
     finit, 739  
 automat de potrivire a sirurilor, 739, 744  
 automat finit, 739  
     pentru potrivirea sirurilor, 739  
**AUTOMAT-FINIT-DE-POTRIVIRE**, 742  
 axiomele probabilității, 91
- B**-arbore, 328  
     2-3-4 arbore, 331  
     căutare în, 333  
     cheia minimă a unui, 338  
     creare a unui, 334  
     divizare a unui nod în, 334  
     grad minim al unui, 331  
     înălțime a unui, 331  
     inserare în, 336  
     nod plin în, 331  
     proprietățile unui, 330  
     ștergere dintr-un, 339  
 baleiere, 764, 783  
 baleiere rotațională, 769  
 baza stivei, 171  
**BAZA-TFR**, 681  
**BELLMAN-FORD**, 457  
 bile și cutii, 111, 113  
**BINOMIAL-LEGĂTURĂ**, 350  
 bisecțiunea unui arbore, 84  
 bit  
     fixat hard, 567  
 bit de paritate, 563  
 bit sumă, 566
- CA, 411  
**CA-VIZITĂ**, 411  
 calcul de prefix, 568  
     algoritm paralel eficient ca efort pentru, 612  
     pe un EREW PRAM, 596  
     versiune eficientă pe un EREW PRAM, 612  
 calcul paralel de prefix  
     analiza algoritmului de, 614  
     pe un EREW PRAM, 598  
**CALCUL-FUNCȚIE-DE-TRANZIȚIE**, 744  
**CALCUL-FUNCȚIE-PREFIX**, 747  
**CALCUL-FUNCȚIE-SUFIX-BUN**, 756  
**CALCUL-FUNCȚIE-ULTIMA-APARIȚIE**, 755  
**CALCULEAZĂ-ÎNSUMĂRI**, 495  
 cîmp al unui obiect, 4  
 cap  
     al unei cozi, 172  
     al unei liste înălțuite, 174  
 capăt  
     al unui interval, 251  
     al unui segment de dreaptă, 759  
 cardinalitatea unei mulțimi, 68  
**CÂRLIG**, 624  
 cât, 689  
**CAUTĂ**, 168  
**CAUTĂ-B-ARBORE**, 334, 339  
 căutare  
     căutare binară, 14  
     căutare liniară, 5, 9  
     cazul cel mai defavorabil, 8  
     în arbore binar de căutare, 210  
     în arbore de intervale, 253  
     în B-arbori, 333  
     în liste compacte, 185  
     în mulțimi statice, 206  
     în tabele cu adresare directă, 187  
     în tabele de dispersie cu adresare deschisă, 199  
     în tabele de dispersie cu înălțuire, 191  
     într-un arbore roșu-negru, 227  
     pentru un interval exact, 255  
     problemă de, 5  
 căutare binară, 14  
     cu inserare rapidă, 323

- în căutarea în B-arbori, 339  
în sortarea prin inserție, 14  
căutare în adâncime, 410  
căutare în lățime, 403  
    și drumul cel mai scurt, 403  
căutare liniară, 5, 9  
cel mai apropiat strămoș comun, 396  
cel mai lung drum, 461  
cel mai lung subșir comun, 271, 282  
cel mai mare divizor comun, 690  
cel mai mic multiplu comun, 697  
cheie, 117, 126, 168  
    mediană a unui B-arbore, 334  
cheie mediană a unui B-arbore, 334  
cheie minimă  
    în heap-uri 2-3-4, 359  
cheie publică, 712  
cheie RSA publică, 714  
cheie RSA secretă, 714  
cheie secretă, 712  
ciclu  
    detectare a unui, 419  
ciclu de cost mediu minim, 470  
ciclu elementar, 76  
ciclu într-un graf, 76  
circuit  
    adâncime a unui, 564  
    bitonic, 279  
    cu ceas, 581  
    dimensiune a unui, 565  
    drum critic într-un, 574  
    secvențial, 582  
circuit bitonic, 279  
circuit combinațional, 561, 562, 608  
    simulare eficientă a unui, 611  
    simulat de un CREW PRAM, 608  
    simulat de un EREW PRAM, 608  
circuit de ieșire, 563  
circuit de intrare, 563  
circuit de sumare, 566  
circuit global de ceas, 582  
circuit înalt, 574  
circuit multiplicator, 575  
circuit satisfiabil, 799  
circuite operaționale  
    operarea în paralel, 561
- CITEȘTE-DISC, 330  
CL, 404  
clasă  
    de echivalentă, 71  
clasă de echivalentă, 71  
clasă de complexitate, 788, 791  
clasa de complexitate co-NP, 794  
clasa de complexitate NP, 794  
clasa de echivalentă modulo  $n$ , 689  
clasificarea muchiilor în căutarea în adâncime, 415  
clică, 810  
mărimea unei, 810  
CMLSC (cel mai lung subșir comun), 271  
coadă de priorități, 126  
    implementarea folosind heap-uri, 126  
    în algoritmul lui Prim, 436  
    în construirea codurilor Huffman, 292  
coada  
    unei cozi, 172  
coadă, 171  
    a unei distribuții binomiale, 104  
    a unei liste înlățuite, 174  
    implementare folosind liste înlățuite, 178  
coadă completă, 174  
coadă de propagare, 562  
coarda unui poligon, 275  
cod, 290  
    Huffman, 290  
cod binar al caracterelor, 290  
cod caracter, 290  
cod de lungime fixă, 290  
cod Huffman, 290  
cod prefix, 291  
codificare, 290, 787  
    asociată binomial, 788  
codificare cu lungime variabilă, 290  
codomeniu, 72  
coeficienții  
    unui polinom, 666  
coeficient  
    al unui polinom, 29  
    binomial, 88  
coeficient binomial, 88  
colectarea reziduurilor, 119

- colector de reziduuri(garbage collector), 180  
 coliniaritate, 760, 763  
 coliziune, 190  
     rezolvare prin înlățuire, 190  
     rezolvare prin adresare deschisă, 198  
 colorare, 84, 618  
     pe un EREW PRAM, 618  
 combinări, 88  
 combinare, 87  
 combinare convexă a punctelor, 759  
 comentariu în pseudocod ( $\triangleright$ ), 3  
**COMPACTEAZĂ-LISTĂ**, 182  
 complement  
     al unei multimi, 68  
     al unui eveniment, 92  
 complement algebric, 631  
 componentă  
     conexă, 76  
     tare conexă, 76  
 componentă biconexă  
     într-un graf, 425  
 componentă conexă, 76  
     identificată folosind structuri de date  
         multimi disjuncte, 380  
 componentă tare conexă, 76, 420  
**COMPONENTE-CONEXE**, 380  
**COMPONENTE-TARE-CONEXE**, 420  
 comprimarea unui drum, 385  
 concatenare, 491  
     a sirurilor, 732  
 condiții de pantă pentru recursivitate, 64  
 configurație, 801  
 conservarea fluxului, 499  
 consolidarea listei de rădăcini a unui heap  
     Fibonacci, 369  
**CONSOLIDEAZĂ**, 369  
**CONSTRUIEȘTE-HEAP**, 123  
**CONSTRUIEȘTE-HEAP'**, 130  
 contor binar  
     analizat prin metoda de agregare, 308  
     analizat prin metoda de cotare, 311  
     analizat prin metoda de potențial, 314  
     pe biți inversi, 322  
     și heap-uri binomiale, 359  
 contor pe biți inversi, 322  
 contractia unui matroid, 300  
 convoluție, 668  
**COPIERE-INVERSĂ-BIȚI**, 682  
 copil, 81, 82  
 corectitudinea unui algoritm, 2  
 corespondență unu-la-unu, 74  
 corp, 641  
 cost  
     într-un graf, 441  
 cost amortizat  
     pentru metoda de agregare, 306  
     pentru metoda de cotare, 310  
     pentru metoda de potențial, 312  
 cost mediu  
     al unui ciclu, 470  
 constrângere cu diferențe, 463  
 costul minimax, 497  
**CRCW** (citire concurentă, scriere concurență), 591  
 comparată cu EREW, 601  
 funcția SAU, 608  
     înmulțirea matricelor, 608  
 credit, pentru metoda de cotare, 310  
**CREEAZĂ-B-ARBORE**, 334  
**CREEAZĂ-HEAP**, 344  
**CREEAZĂ-HEAP-BINOMIAL**, 349  
**CREW** (citire concurentă, scriere exclusivă)  
     potrivirea sirurilor, 758  
**CREW** (citire concurentă, scriere exclusivă), 591  
     găsirea rădăcinilor într-o pădure, 602  
 criptosistemul RSA cu cheie publică, 714  
 cuantilă, 164  
 culoarea unui nod într-un arbore roșu-negru, 226  
 cuplaj, 515  
     și flux maxim, 515  
 cuplaj bipartit, 515  
 cuplaj bipartit maxim, 515, 527  
 cuplaj maxim, 498  
 cuplaj perfect, 518  
 cutii KPG, 572  
 cvasiinel, 638  
     boolean, 639  
     matrice peste un, 639  
 date adiționale, 117

- date satelit, 168
- deallocarea obiectelor, 180
- DEASUPRA, 766
- DECREMENT, 310
- DEDESUBT, 766
- densitate de probabilitate, 97
- densitate de probabilitate asociată, 97
- depăşire
  - a unei stive, 171
- deplasator ciclic, 581
- derivata unei serii, 39
- DESCARCĂ, 529
- descendent, 80
- descendent propriu, 80
- descreşterea unei chei
  - în heap-uri 2-3-4, 359
  - în heap-uri binomiale, 357
  - în heap-uri Fibonacci, 372
- DESCREŞTE-CHEIE, 344
- destinaţie, 403
- determinant
  - al unei matrice, 631
  - proprietăţi ale, 631
- determinarea celei mai apropiate perechi de puncte, 778
- determinarea în paralel a rangului unei liste, 594
- deviaţia standard, *vezi* abaterea medie practică
- dezvoltare binomială, 88
- diagramă Venn, 68
- diametrul unui arbore, 409
- diferenţa dintre mulţimi( $-$ ), 67
- diferenţierea seriilor, 39
- DIJKSTRA, 452
- dimensiune
  - a datelor de intrare ale unui algoritm, 6
  - a unei acoperiri cu vârfuri, 828
  - a unei mulţimi, 68
  - a unui arbore multime disjunctă, 390
  - a unui arbore binomial, 345
  - a unui subarbore într-un heap Fibonacci, 376
- disc, 769
- dispersie, 98, 187
  - a mulţimilor statice, 206
- a unei distribuţii binomiale, 102
- a unei distribuţii geometrice, 100
- cu înlănţuire, 190, 206
- cu adresare deschisă, 198
- $k$ -universală, 207
- universală, 196
- dispersie  $k$ -universală, 207
- dispersie dublă, 201
- dispersie uniformă, 200
- dispersie uniformă simplă, 191
- dispersie universală, 196
- DISPERSIE-CAUTĂ, 199, 205
- DISPERSIE-CU-ÎNLĂNTUIRE-CAUTĂ, 191
- DISPERSIE-CU-ÎNLĂNTUIRE-INSEREZĂ, 191
- DISPERSIE-INSEREZĂ, 205
- DISPERSIE-INSEREZĂ, 199
- DISPERSIE-STERGE, 205
- distanţă Manhattan, 165
- distanţă
  - de editare, 281
  - euclidiană, 778
  - Manhattan, 165
- distanţă
  - $L_m$ , 782
  - Manhattan, 782
- distanţă  $L_m$ , 782
- distanţă Manhattan, 782
- distanţă de editare, 281
- distanţă euclidiană, 778
- distribuţie
  - binomială, 101
  - de probabilitate, 91
  - geometrică, 100
  - învelită rar, 783
- distribuţie binomială, 101
  - cozi ale unei, 104
  - şi bile şi cutii, 111
  - valoare maximă, 103
- distribuţie de probabilitate, 91
- distribuţie de probabilitate discretă, 92
- distribuţie de probabilitate uniformă, 92
- distribuţie de probabilitate uniformă continuă, 93
- distribuţie geometrică, 100
  - şi bile şi cutii, 111

și linii (secvențe), 112  
 distribuție învelită rar, 783  
**DIVIDE-FIU-B-ARBORE**, 335  
 divizare  
     a 2-3-4 arborilor, 342  
     a unui B-arbore, 334  
 divizor, 688  
 divizor comun, 689  
 divizor trivial, 688  
 domeniu, 72  
 domeniu de valori, 73  
 dreaptă de baleiere, 764  
**DREAPTA**, 119  
 dreptunghiul de mărginire, 761  
 dreptunghiuri suprapuse, 256  
 drum, 75  
     căutare, 385  
     eticheta unui, 491  
         minim, 406  
 drum critic, 461  
 drum de ameliorare, 507  
 drum de căutare, 385  
 drum elementar, 75  
 drum hamiltonian, 795  
 drum minim, 406, 445, 475  
     construirea unui, 482  
     costul unui, 441  
     într-un graf, 441  
     structura optimă a unui, 445  
     structura unui, 475, 480  
**DRUMURI-MINIME-ÎNTRE-TOATE-PERECHILE-LENT**, 477  
**DRUMURI-MINIME-ÎNTRE-TOATE-PERECHILE-MAI-RAPID**, 478  
 echivalentă modulo  $n(\equiv)$ , 72  
 ecuație normală, 660  
 egalitate  
     a funcțiilor, 73  
     a multimilor, 66  
 element  
     instalat, 562  
     stabil, 562  
 element al unei multimi( $\in$ ), 66  
 element combinațional, 561  
 element combinațional boolean, 561

element neutru, 490, 697  
 eliberarea obiectelor, 180  
**ELIBEREAZĂ-OBIECT**, 181  
**ERCW** (citire exclusivă, scriere concurrentă), 591  
**EREW** (citire exclusivă, scriere exclusivă), 591  
     înmulțirea matricelor, 608  
     comparată cu CRCW, 601  
     prefix paralel, 612  
     rangul unei liste, 594  
     salt de pointer, 593  
 eroare relativă, 826  
 erori de aproximare, 659  
 eșec într-o probă bernoulliană, 100  
 estimare a drumului minim, 446  
**EUCLID**, 694  
**EUCLID-EXTINS**, 695  
 euristică bazată pe caracterul slab, 752  
 euristică celui mai apropiat punct, 834  
 euristică primei potriviri, 843  
 euristică reunii ponderate, 382  
 euristică sufixului bun, 755  
 evaluarea unui polinom, 668, 672  
     în puncte multiple, 684  
     și derivatelor sale, 684  
 evantai de ieșire, 563  
 evantai de intrare, 563  
 eveniment, 91  
 eveniment elementar, 91  
 evenimente incompatibile, 91  
 evenimente mutual exclusive, 91  
 evenimente mutual independente, 94  
 exces de flux, 519  
 exponentiere repetată, 388  
 exponentiere modulară, 710  
**EXPONENTIERE-MODULARĂ**, 710  
 extensie a unei multimi, 297  
 exteriorul unui poligon, 275  
**EXTINDE-DRUMURI-MINIME**, 476  
**EXTRAGE-MAX**, 126  
**EXTRAGE-MAX-DIN-HEAP**, 128  
**EXTRAGE-MIN**, 344  
 extragerea cheii maxime  
     din heap, 128  
     dintr-un heap  $d$ -ar, 130

- extragerea cheii minime  
  din heap-uri 2-3-4, 359  
  din heap-uri binomiale, 355, 357  
  din heap-uri Fibonacci, 367
- factor, 688  
factor de încărcare  
  a unei tabele de dispersie, 191  
  al unui tablou dinamic, 315
- factorizare, 724
- falsă potrivire, 736
- familie ereditară de submulțimi, 296
- familie independentă de submulțimi, 296
- FIFO, 171
- filtrarea unei liste, 839
- FILTREAZĂ, 840
- fir, 562
- first-in, first-out, 171
- fiu drept, 82
- fiu stâng, 82
- FLOYD-WARSHALL, 482, 485
- flux  
  de valoare întreagă, 516  
  exces, 519
- flux de valoare întreagă, 516
- flux maxim, 498  
  și cuplaj bipartit maxim, 515  
  algoritmi de preflux, 519
- FLUX-MAXIM-PRIN-SCALARE, 538
- FORD-FULKERSON, 510
- formă normal disjunctivă, 808
- formă normal-conjunctivă, 807
- FORMEAZĂ-ARBORE, 395
- FORMEAZĂ-MULTIME, 379, 386  
  implementare folosind liste înlántuite,  
    382  
  implementare folosind pădure de mul-  
    țimi disjuncte, 386
- formula lui Lagrange, 669
- formulă satisfiabilă, 805
- frață, 81
- frontiera unui poligon, 275
- frunză, 81
- funcție de înălțime, în algoritmi de preflux,  
  520
- funcție de potențial
- pentru algoritmul generic de preflux,  
  526
- funcția entropie, 89
- funcția entropie binară, 89
- funcția exponențială, 29
- funcția inversă a lui Ackermann, 389
- funcția lui Ackermann, 389
- funcția majoritate, 588
- funcția partea întreagă inferioară( $\lfloor \cdot \rfloor$ ), 28
- funcția partea întreagă superioară( $\lceil \cdot \rceil$ ), 28
- funcția phi a lui Euler, 700
- funcția sufixului bun, 755
- funcția ultimei apariții, 753
- funcție, 72  
  calculabilă în timp polinomial, 788
- funcție bijectivă, 73
- funcție booleană, 89
- funcție de cost, 401  
  pentru un graf, 401
- funcție de dispersie, 189, 193  
  metoda diviziunii, 194  
  metoda înmulțirii, 195
- funcție de distribuție de probabilitate, 156
- funcție de etichetare, 491
- funcție de ponderare  
  pentru triangularea poligonului, 277
- funcție de potențial, 317, 319
- funcție de reducere, 797
- funcție de stare finală, 739
- funcție de tranziție, 739, 743, 751
- funcție factorial, 31
- funcție generatoare, 64
- funcție injectivă, 73
- funcție iterată, 35
- funcție liniară, 7
- funcție logaritm, 30  
  iterată( $\lg^*$ ), 31
- funcție logaritm iterată  
  și exponentiere repetată, 389
- funcție lungime, 298
- funcție obiectiv, 462
- funcție pătratică, 8
- funcție prefix, 745
- funcție simetrică, 588
- funcție sufix, 740
- funcție univocă de dispersie, 716

funcție unu-la-unu, 73  
 fuzionare  
   a 2-3-4 arborilor, 342

GĂSEȘTE-ADÂNCIME, 396  
 GĂSEȘTE-MULTIME, 380, 387  
   implementare folosind liste înlăncuite, 382  
   implementare folosind pădure de mulți disjuncte, 387

GĂSEȘTE-RĂDĂCINI, 602  
 generator, 701, 709  
 generator de numere aleatoare, 138  
 generator de numere pseudoaleatoare, 138  
 geometrie computațională, 759  
 gestiunea memorărilor, 119, 180, 193  
 GOA-DRUMURI-MINIME, 460  
 grad  
   al rădăcinii unui arbore binomial, 345  
   al unui nod, 81  
   al unui vârf, 75  
   maxim, în heap Fibonacci, 364, 371, 374  
   minim, al unui B-arbore, 331  
 grad exterior, 75  
 grad interior, 75  
 grad maxim în heap Fibonacci, 364, 371, 374  
 grad minim al unui B-arbore, 331  
 graf, 74  
   ajutător, 817  
   căutare în adâncime intr-un, 410  
   căutare în lățime intr-un, 403  
   ciclu hamiltonian, 792  
   complementul unui, 813  
   componente biconexe intr-un, 425  
   cost al unui drum, 441  
   costul unui drum minim, 441  
   cu costuri, 401  
   dens, 400  
   descompunerea în componente tare co-nexe a unui, 420  
   drum critic intr-un, 461  
   drum minim în, 441  
   interval, 286  
   k-colorare a unui, 824  
   matrice de incidentă a unui, 304, 403  
   problemă de drum minim, 441

problema drumurilor minime de sursă unică, 441  
 punct de articulație intr-un, 425  
 punte a unui, 425  
 rar, 400  
 reprezentare prin liste de adiacență a unui, 400  
 reprezentare prin matrice de adiacență a unui, 401  
 sortare topologică a unui, 417  
 transpusul unui, 402  
 tur Euler al unui, 426  
 unic conex, 417  
 graf aciclic, 76  
 graf bipartit, 77  
   rețeaua de transport corespunzătoare, 516  
 graf complet, 77  
 graf conex, 76  
 graf  $d$ -regular, 519  
 graf de constrângere, 464  
 graf dens, 400  
 graf elementar, 76  
 graf hamiltonian, 792  
 graf nehamiltonian, 792  
 graf neorientat, 75, 304  
   acoperire cu vârfuri a unui, 828  
   colorarea unui, 84  
   conversia la, a unui multigraf, 402  
   cuplaj, 515  
    $d$ -regular, 519  
   determinarea unui arbore de acoperire minim intr-un, 428  
 graf orientat, 74  
   închiderea tranzitivă a unui, 484  
   pătratul unui, 402  
 graf orientat aciclic (goa)  
   și muchii înapoi, 418  
 graf rar, 400  
 graf tare conex, 76  
 grafic PERT, 461  
 graful constrângerilor, 465  
 grafuri izomorfe, 76  
 gredoid, 305  
 GREEDY, 299  
 grup, 697

- grup abelian, 697  
grup aditiv modulo n, 698  
grup ciclic, 709  
grup finit, 697  
grup multiplicativ modulo n, 699  
grupă, 154  
grupare, 200  
grupare primară, 200  
grupare secundară, 201
- heap, 119  
    d-ar, 130  
    2-3-4, 359  
    analizat cu metoda de potențial, 314  
    ca și coadă de priorități, 126  
    ca mijloc de memorare pentru colectarea reziduurilor, 119  
    cheie maximă a unui, 128  
    construire a unui, 123, 130  
    cu chei crescătoare, 129  
    extragerea cheii maxime din, 128  
    inserare în, 128  
    pentru implementarea unui heap interclasabil, 344  
    relaxat, 378  
    timpi de execuție a operațiilor pe, 345
- heap d-ar, 130  
heap 2-3-4, 359  
heap binomial, 344, 360  
    cheia minimă în, 349  
    creare a unui, 349  
    descreșterea cheii în, 357  
    extragerea cheii minime, 355, 357  
    inserare în, 355  
    proprietățile unui, 347  
    și contor binar, 359  
    stergere din, 358  
    timpi de execuție a operațiilor asupra unei, 345  
    unificare, 350, 355
- heap cu chei crescătoare, 129  
heap Fibonacci, 362  
    cheia minimă a, 366  
    creare a unui, 365  
    descreșterea unei chei în, 372  
    extragere minim din, 367
- funcția de potențial pentru, 363  
grad maxim al, 364, 374  
în algoritmul lui Prim, 438  
inserare în, 365  
reuniune a, 366  
schimbare a unei chei într-un, 378  
stergere din, 374, 377  
timpi de execuție a operațiilor pe, 345  
trunchiere, 378
- heap interclasabil, 344  
    heap 2-3-4, 359  
    heap relaxat, 378  
    implementare folosind liste înlățuite, 185  
    în algoritmul arborelui de acoperire minim, 360  
    timpi de execuție a operațiilor pe, 345
- heap relaxat, 378
- HEAP-BINOMIAL-ȘTERGE, 359  
HEAP-BINOMIAL-DESCREȘTE-CHEIE, 357  
HEAP-BINOMIAL-EXTRAGE-MIN, 355  
HEAP-BINOMIAL-INSEREAZĂ, 355  
HEAP-BINOMIAL-INTERCLASEAZĂ, 350, 359  
HEAP-BINOMIAL-MIN, 349, 359  
HEAP-BINOMIAL-REUNEȘTE, 359  
HEAP-BINOMIAL-REUNEȘTE, 351  
HEAP-BINOMIAL-ȘTERGE, 358  
HEAP-CU-CHEI-CRESCĂTOARE, 129  
HEAP-FIB-ÎNLĂȚUIE, 370  
HEAP-FIB-DESCREȘTE-CHEIE, 372  
HEAP-FIB-EXTRAGE-MIN, 367  
HEAP-FIB-INSEREAZĂ, 365  
HEAP-FIB-REUNEȘTE, 366  
HEAP-FIB-SCHIMBĂ-CHEIE, 378  
HEAP-FIB-ȘTERGE, 374  
HEAP-FIB-TRUNCHIAZĂ, 378  
HEAPSORT, 125  
heapsort, 119  
    stabilitatea, 154
- hipergraf, 77  
hipermuchie, 77  
HUFFMAN, 292
- iesire  
    a unui algoritm, 1  
iesire binară, 562

- imagine, 73  
 imagine raster
  - transpunerea unei, 625
 îmbogătirea structurilor de date, 243  
 împachetare cu cutii, 843  
 împachetarea cadoului, 776  
 împachetarea pachetului, 776  
 înălțime
  - a unui arbore, 81, 120
  - a unui arbore binar de căutare construit aleator, 220
  - a unui arbore binomial, 345
  - a unui arbore roșu-negru, 226
  - a unui B-arbore, 331
  - a unui heap, 120, 121
  - a unui heap *d*-ar, 130
  - a unui heap Fibonacci, 377
  - a unui nod dintr-un heap, 120, 125
  - neagră, 226
 înălțime neagră, 226  
 închidere, 493, 697  
 închidere tranzitivă
  - a unui graf, 484**ÎNCHIDERE-TRANZITIVĂ**, 484  
 incidentă, 75  
**INCREMENTEAZĂ**, 308  
**INCREMENTEAZĂ-CU-INVERSAREA-BIȚILOR**, 322  
 indentare în pseudocod, 3  
 independentă, 93, 96, 97  
 independentă condiționată, 96  
 independentă doi-câte-doi, 94  
 index, 709  
 inegalitatea funcției sufix, 742  
 inegalitatea Kraft, 83  
 inegalitatea lui Boole, 95  
 inegalitatea lui Markov, 99  
 inegalitatea triunghiului, 830  
 inel, 639  
**INITIALIZEAZĂ-PREFLUX**, 522  
**INITIALIZEAZĂ-SURSA-UNICĂ**, 446  
 înlănțuire, 190, 206
  - a arborilor binomiali, 345
  - a rădăcinilor unui heap Fibonacci, 369
 înmulțire matrice-vector, 612  
**ÎNMULTIRE-MATRICE**, 260, 477  
**ÎNMULTIRE-ȘIR-MATRICE**, 265  
 înmulțirea unui șir de matrice, 260
  - corespondența cu triangularea poligoanelor, 276
 inserare
  - în B-arbore, 336
  - în arbore binar de căutare, 214
  - în arbore de intervale, 253
  - în arbore de statistică de ordine, 246
  - în arbore roșu-negru, 230
  - în coadă, 172
  - în heap, 128
  - în heap 2-3-4, 359
  - în heap Fibonacci, 365
  - în heap binomial, 355
  - în stările dreptei de baleiere, 766
  - în stivă, 171
  - în tabel dinamic, 316
  - în tabele cu adresare directă, 187
  - în tabele de dispersie cu înlănțuire, 191
  - în tabele de dispersie cu adresare deschisă, 199
  - într-un heap *d*-ar, 130
  - în listă înlănțuită, 175**INSERARE-ÎN-HEAP**
  - construirea unui heap cu, 130**INSERARE-MULTIPLĂ-ÎN-STIVĂ**, 310  
**INSEREAZĂ-ÎN-HEAP**, 128  
**INSEREAZĂ-B-ARBORE**, 336  
**INSEREAZĂ-B-ARBORE-NEPLIN**, 337  
**INSEREAZĂ-TABLOU**, 316  
**INSEREAZĂ**, 126, 169, 344  
**INSERTIA-ORICĂROR-SEGMENTE**, 767  
 instanță
  - a unei probleme, 1
 însumare, 37
  - formule și proprietăți ale, 37
  - în notație asymptotică, 38
  - mărginire, 40
 integrarea unei serii, 39  
 interclasare
  - a *k* liste ordonate, 129
  - a două tablouri sortate, 11
  - a listelor înlănțuite, 178
  - pe un CRCW PRAM, 608**INTERCLASEAZĂ**, 11, 13

- INTERCLASEAZĂ-LISTE, 839  
interiorul unui poligon, 275  
interpolare în rădăcinile complexe ale unității, 677  
interpolare polinomială, 668  
interpolare printr-un polinom, 668  
intersectie  
    a coardelor, 248  
    a mulțimilor( $\cap$ ), 67  
determinarea pentru o mulțime de segmente de dreaptă, 764  
determinarea, pentru două discuri, 769  
determinarea, pentru două poligoane simple, 769  
determinarea, pentru două segmente de dreaptă, 761  
determinarea, pentru o mulțime de segmente de dreaptă, 769  
găsirea tuturor, într-o mulțime de segmente de dreaptă, 769  
interval, 251  
interval deschis, 251  
interval închis, 251  
interval semideschis, 251  
INTERVAL-CAUTĂ, 253, 255  
INTERVAL-CAUTĂ-EXACT, 255  
INTERVAL-INSEREAZĂ, 251  
INTERVAL-ȘTERGE, 252  
intervale suprapuse, 251  
    găsirea tuturor, 255  
    punct de suprapunere maximă, 255  
intrare  
    a unui algoritm, 1  
    dimensiunea unei, 6  
intrare binară, 562  
 $\mathbb{Z}$ , 66  
întrerupere de simetrie, 622  
    algoritm EREW pentru, 618  
întreruperi deterministe de simetrie, 617  
învelitoare convexă, 769  
învelitoare convexă, 783  
invers, 697  
    față de înmulțire, 197  
invers multiplicativ, 704  
inversa  
    unei funcții bijective, 74  
    unei matrice, 630  
inversarea unui sir, 16  
inversor, 562  
iterație Newton, 588  
JOHNSON, 488  
 $k$ -putere, 692  
lanțul unei învelitori convexe, 776  
last-in, first-out, 171  
latură a unui poligon, 275  
lege  
    comutativă, 697  
legi de absorbție pentru mulțimi, 67  
legi de asociativitate pentru mulțimi, 67  
legi de comutativitate pentru mulțimi, 67  
legi de distributivitate pentru mulțimi, 67  
legi de idempotentă pentru mulțimi, 67  
leile lui DeMorgan, 67  
legile mulțimii vide, 67  
lema de înjumătățire, 674  
lema de însumare, 674  
lema de anulare, 674  
lema de iterare a funcției prefix, 748  
lema de recursivitate a funcției sufix, 742  
lema de suprapunere a sufixului, 732  
lema strângerilor de mâna, 78  
LIFO, 171  
limbaj, 789  
    acceptat de un algoritm, 790  
    limbaj  
        acceptat în timp polinomial, 790  
    clarificat de un algoritm, 790  
    limbaj  
        clarificat în timp polinomial de un algoritm, 790  
    complementul unui, 790  
    complet, 804  
    concatenarea, 790  
    închiderea unui, 790  
    intersectia unui, 790  
    NP-complet, 798  
    NP-dificil, 798  
    reductibil în timp polinomial, 796  
    reuniunea unui, 790

steaua Kleene a unui, 790  
 verificat, 794  
 limbaj vid, 789  
 liniaritate, 38  
 liniaritatea însumărilor, 38  
 liniaritatea mediei, 98  
 și bile și cutii, 111  
 și paradoxul zilei de naștere, 110  
 linii, 111, 113  
 listă compactă, 185  
 listă liberă, 181  
 listă înlănțuită circulară, 174  
 listă înlănțuită nesortată, 174  
 listă înlănțuită sortată, 174  
 listă dublu înlănțuită, 174  
 listă simplu înlănțuită, 174  
**LISTĂ-COMPACTĂ-CAUTĂ**, 185  
 listă  
 înlănțuită, 174  
 lista punct-eveniment, 766  
 listă de rădăcini  
 a heap-ului Fibonacci, 363  
 a unui heap binomial, 347  
 lista fiilor într-un heap Fibonacci, 363  
 listă înlănțuită  
 căutare, 175, 198  
 compactă, 182, 185  
 inserare în, 175  
 pentru implementarea multimilor discrete, 381  
 ștergere din, 176  
**LISTĂ-CAUTĂ**, 175, 176  
**LISTĂ-INSEREAZĂ**, 175, 177  
**LISTĂ-ȘTERGE**, 176  
**LISTĂ-ȘTERGE'**, 176  
 literal, 807  
 consistent, 811  
 locație, 187  
 logaritm discret, 709  
**LU-DESCOMPUNERE**, 648  
 lungime  
 a unui sir, 87  
 a unui sir (de valori), 73  
 a unui drum, 75  
**LUNGIME-CMLSC**, 272, 275  
 lungimea drumului exterior, 83

lungimea drumului interior, 83  
 lungimea unui drum al unui arbore, 83  
**LUP-DESCOMPUNERE**, 650  
**LUP-SOLUȚIE**, 645  
 majoritate, 563  
 marcaj de timp, 410  
 în căutarea în adâncime, 410  
 margine, 103  
 a coeficienților binomiali, 88  
 a cozilor unei distribuții binomiale, 104  
 a distribuției binomiale, 103  
 asimptotic inferioară, 24  
 asimptotic superioară, 22  
 asimptotic tare, 21  
 polilogaritmică, 31  
 margine a erorii relative, 826  
 margine a raportului, 826  
 margine asimptotic inferioară, 24  
 margine asimptotic superioară, 22  
 margini inferioare  
 pentru învelitori convexe, 777  
 pentru sortare, 147  
 mărginirea unei sume, 40  
 mărginit polilogaritmic, 31  
 mărginit polinomial, 29  
 mașină cu acces aleator, 5  
 paralelă, 590  
 mașină paralelă cu acces aleator, 590  
 măsură a complexității, 791  
 matrice, 626  
 adunare a, 629  
 compatibile, 629  
 complement Schur al unei, 647, 657  
 de adiacență, 401  
 de incidentă, 304  
 determinant al unei, 631  
 înmulțire a, 629  
 inversa, 630  
 inversabilă, 630  
 inversare a, 653  
 minor, 631  
 neinversabilă, 630  
 nesingulară, 630  
 operații cu, 626  
 opus al unei, 629

- pătratică, 627
- pozitiv definită, 632
- produs exterior al, 630
- produs scalar al, 629
- proprietăți ale, 626
- pseudoinversa, 660
- rang al, 631
- rang coloană al unei, 631
- rang coloană complet al unei, 631
- rang complet, 631
- rang linie al unei, 631
- scădere a, 629
- simetrică, 628
- simetrică pozitiv-definită, 657
- singulară, 630
- submatrice directoare, 657
- transpusa unei, 402, 626
- Vandermonde, 633
- matrice booleene
  - înmulțire a, 640
- matrice de incidentă
  - a unui graf neorientat, 304
  - a unui graf orientat, 304, 403
- matrice de permutare, 628
- matrice diagonală, 627
- matrice inferior triunghiulară, 628
  - unitate, 628
- matrice pătratică, 627
- matrice superior triunghiulară, 628
  - unitate, 628
- matrice Toeplitz, 684
- matrice triagonală, 627
- matrice unitate, 627
- matrice zero, 627
- matricea predecesorilor, 473
- matroid, 296, 305
  - ponderat, 298
- matroid grafic, 297
- matroid matriceal, 297
- matroid ponderat, 298
- MAXIM, 126, 169
- maxim, 158
  - în heap, 128
  - al unei distribuții binomiale, 103
  - al unei mulțimi parțial ordonate, 72
  - determinarea, 158, 623
- în arbore binar de căutare, 211
- în arbore de statistică de ordine, 250
- în arbore roșu-negru, 227
- submulțimi, într-un matroid, 297
- MAXIM-RAPID, 604
- maximal
  - nivel, 782
  - punct, 782
- mediană, 158
  - a unui tablou ordonat, 164
  - ponderată, 165
- mediană ponderată, 165
- medie, *vezi* valoare medie
- membru al unei mulțimi( $\in$ ), 66
- memoizarea, 268
- memorie internă, 328
- memorie principală, 328
- memorie secundară
  - arbore de căutare pentru, 328, 341
  - stive pe, 341
- metodă în două treceri, 386
- metodă cu o singură trecere, 397
- metoda celor mai mici pătrate, 657
- metodă de agregare, 306
  - pentru contor binar, 308
  - pentru heap-uri Fibonacci, 374
  - pentru operatori de stivă, 307
  - pentru scanarea Graham, 776
  - pentru structuri de date mulțimi disjuncte, 382
- metoda de cotare, 310
  - pentru contor binar, 311
  - pentru operații de stivă, 310, 312
  - pentru tabele dinamice, 317
- metoda de potențial, 312
  - pentru contor binar, 314
  - pentru heap, 314
  - pentru heap-uri Fibonacci, 363, 371, 373
  - pentru operații de stivă, 313
  - pentru tabele dinamice, 317, 319
- metoda de potențial
  - pentru algoritmul Knuth-Morris-Pratt, 747
- metoda *divide- i-st pâne te*

pentru transformata Fourier rapidă, 675  
 metoda divide și stăpânește, 10  
     analiza, 12  
     pentru căutare binară, 14  
     pentru determinarea celei mai apropiate perechi de puncte, 778  
     pentru găsirea învelitorii convexe, 770  
     pentru selecție, 160  
     pentru sortare rapidă, 131  
     pentru sortarea prin interclasare, 10  
         relația cu programarea dinamică, 259  
         și arbori de recurență, 51  
 metoda diviziunii, 194  
 metoda Ford-Fulkerson  
     varianta de bază, 510  
 metoda înmulțirii, 195  
 metoda iterației, 50  
 metoda lui Ford-Fulkerson, 505  
     analiza algoritmului FORD-FULKERSON, 510  
 metoda master pentru rezolvarea unei recurențe, 53  
 metoda programării dinamice, 259  
     comparare cu algoritmii greedy, 288  
     elementele unei, 266  
     pentru înmulțirea unui sir de matrice, 260  
     pentru algoritmul Viterbi, 281  
     pentru cel mai lung subșir comun, 270  
     pentru distanța de editare, 280  
     pentru problema 0-1 a rucsacului, 289  
     pentru problema euclidiană bitonică a comis-voiajorului, 279  
     pentru selectarea activităților, 286  
     pentru suprapunerea subproblemelor, 266  
     pentru tipărire uniformă, 280  
     pentru triangularea optimă a poligoanelor, 275  
     și memoizare, 268  
     substructura optimă, 266  
 metoda proiectării incrementale  
     pentru găsirea învelitorii convexe, 770  
 metoda ridicării repetate la pătrat, 710  
 metoda substituției, 47

metoda trunchiază-și-caută, 770  
 METODA-FORD-FULKERSON, 505  
 mijlocul-din-3, 146  
 MILLER-RABIN, 720  
 MIN-DIF, 255  
 MINIM, 158, 169, 344  
 minim, 158  
     determinarea, 158  
     în arbore binar de căutare, 211  
     în arbore de statistică de ordine, 250  
     în arbore roșu-negru, 227  
     în B-arbore, 338  
     în heap binomial, 349  
     în heap Fibonacci, 366  
     off-line, 395  
 MINIM-OFF-LINE, 395  
 model de sir care nu se poate suprapune, 744  
 moneda perfectă, 92  
 monoid, 490, 638  
     element neutru al, 638  
 monoton crescător, 28  
 monoton descrescător, 28  
 muchie  
     clasificarea în căutarea în adâncime, 415  
     cost al unei, 401  
     saturată, 521  
     ușoară, 430  
 muchie de arbore, 410, 415  
 muchie de cost negativ, 442  
 muchie explorată, 411  
     în căutarea în adâncime, 411  
 muchie înainte, 415  
 muchie înapoi, 415  
 muchie saturată, 521  
 muchie sigură, 429  
 muchie transversală, 415  
 muchie ușoară, 430  
 multigraf, 77  
     conversia la un graf neorientat echivalent, 402  
 mulțime, 66  
     statică, 206  
 mulțime cu un singur element, 69  
 mulțime de arce, 74  
 mulțime de vârfuri, 74

- multime dinamică, 168
- 2-3 arbore, 241, 343
- arbore binar de căutare, 208
- arbore cu rădăcină, 222
- arbore de interval, 251
- arbore de statistică de ordine, 243
- arbore oblic, 327
- arbore roșu-negru, 226
- arbore splay, 242
- B-arbore, 328
- coadă completă, 174
- coadă, 172
- coadă de priorități, 168
- heap, 119
- heap 2-3-4, 359
- heap binomial, 344, 360
- heap Fibonacci, 362
- heap relaxat, 378
- interrogare, 168
- listă înlănțuită, 174
- operații de modificare pe, 168
- persistență, 240, 327
- stivă, 171
- structură de date mulțimi disjuncte, 379
- structuri de date van Emde Boas, 326
- tabelă cu adresare directă, 187
- tabelă de dispersie, 189
- vector de biți, 188
- mulțime finită, 68
- mulțime închisă, 490
- mulțime independentă maximală, 618
- mulțime infinită, 68
- mulțime nenumărabilă, 69
- mulțime numărabilă infinită, 68
- mulțime statică, 206
- mulțime vidă( $\emptyset$ ), 66
- mulțimea numerelor naturale( $\mathbb{N}$ ), 66
- mulțimea numerelor reale( $\mathbb{R}$ ), 66
- mulțimea părților, 69
- mulțimi disjuncte, 68
- mulțimi disjuncte două câte două, 68
- multiplicator arbore Wallace, 579
- multiplicator liniar, 584
- multiplicator matriceal, 575, 576
- multiplu, 688
- MUTĂ-ÎN-FAȚĂ, 532
- NIL, 4
- niveluri
  - convexe, 782
  - maximale, 782
- niveluri convexe, 782
- niveluri maximale, 782
- nod, 80
- nod exterior, 81
- nod intern, 81
- nod marcat, 363, 373, 374
- nod minim în heap Fibonacci, 363
- nod plin, 331
- nod sursă, 403
  - în căutarea în lățime, 403
- normă (euclidiană), 630
- notație asimptotică, 20
  - și liniaritatea însumărilor, 38
- nucleul unui poligon, 777
- număr armonic, 39
- numărare, 86
  - probabilistică, 115
- numărare probabilistică, 115
- număr Carmichael, 719
- număr Catalan, 225, 261
- număr compus, 688
- număr prim, 688
- număr pseudoprim cu baza  $n$ , 718
- numere
  - relativ prime, 691
  - relativ prime două câte două, 691
- numere Fibonacci, 32, 64, 376
- numere naturale( $\mathbb{N}$ ), 66
- numere reale( $\mathbb{R}$ ), 66
- obiect, 4
  - alocare și eliberare a unui, 180
  - implementare folosind tablouri, 178
- off-line Tarjan
  - algoritm pentru determinarea celui mai apropiat strămoș, 396
- operația de pompare (în algoritmi de preflux, 520
- operația de pompare a prefluxului, 520
- operația de ridicare, 521, 525

operație fluture (butterfly operation), 679  
 operație  
     pe biți, 687  
 operație asociativă, 490  
 operație comutativă, 490  
 operație distributivă, 491  
 operație idempotentă, 491  
 operator de extindere, 490  
 operator de însumare, 490  
 operator de stare a transportului, 568  
 ordine  
     liniară, 72  
     parțială, 71  
     totală, 72  
 ordine liniară, 72  
 ordine parțială, 71  
 ordine totală, 72  
 ORDINE-ȘIR-MATRICE, 263  
 ordonare, 117  
     pe loc, 117  
     problemă de, 117  
 ORDONARE-PE-BAZA-CIFRELOR, 153  
 ORDONARE-PE-GRUPE, 154  
 origine, 759  
 pădure, 77, 78  
     găsirea rădăcinilor unei, pe un CREW PRAM, 602  
     multime disjunctă, 384  
 pădure de adâncime, 410  
 pădure de mulțimi disjuncte, 384  
     analiză, 391  
     proprietățile rangurilor, 390  
 pagină pe un disc, 329, 342  
 paradoxul zilei de naștere, 109, 113  
 parametru  
     costul transferului, 63  
 parantezare optimă, 265  
 parantezarea produsului unui șir de matrice, 260  
 parcurgere a arborelui, 183, 184  
 PĂRINTE, 119  
 părinte, 81  
 partitura unei mulțimi, 68, 71  
 PARTIȚIE, 132, 144  
 PARTIȚIE-ALEATOARE, 139

PARTIȚIE-LOMUTO, 144  
 PARTIȚIE-LOMUTO-ALEATOARE, 144  
 pătrat  
     al unui graf orientat, 402  
 PCV-TUR-APROX, 831  
 pe o mașină CREW PRAM, 758  
 pereche ordonată, 69  
 perechea cea mai apropiată, determinarea, 778  
 perioadă de ceas, 582  
 permutare, 74  
     a unei mulțimi, 87  
     cu inversarea biților, 322  
     Josephus, 256  
 permutare aleatoare, 139  
 permutare cu inversarea biților, 322  
 permutare Josephus, 256  
 PERSISTENT-ARBORE-INSEREAZĂ, 240  
 PISANO-ȘTERGE, 377  
 planificarea activităților, 301, 305  
 poartă AND, 562  
 poartă logică, 562  
 poartă NAND, 562  
 poartă NOR, 562  
 poartă NOT, 562  
 poartă OR, 562  
 poartă XOR, 562  
 pointer, referință  
     implementare folosind tablouri, 178  
 poligon, 275  
     determinarea ariei unui, 764  
     determinarea, dacă două poligoane sim-  
         ple se intersecează, 769  
     în formă de stea, 777  
     nucleul unui, 777  
     triangularea unui, 275  
 poligon convex, 275  
 poligon în formă de stea, 777  
 poligon simplu, 275  
     determinarea unui, 769  
 polinom, 29, 666  
     comportarea asimptotică a unui, 33  
     evaluarea unui, 9  
     gradul unui, 666  
     limita de grad a unui, 666  
     reprezentarea, 667

- POLLARD-RHO, 724  
pompare saturată, 521, 525  
POMPEAZĂ, 521  
potențial al unei structuri de date, 312  
potrivire  
    a sirurilor, 731  
    bipartită ponderată, 378  
potrivire bipartită, 378  
potrivire bipartită ponderată, 378  
POTRIVIRE-BOYER-MOORE, 751  
POTRIVIRE-KMP, 747  
POTRIVIRE-NAIVĂ-A-ŞIRURILOR, 732  
POTRIVIRE-RABIN-KARP, 736  
POTRIVIRE-REPETITIVĂ, 757  
potrivirea lui Jarvis, 776  
potrivirea sirurilor  
    algoritm naiv, 732  
    algoritmul Boyer-Moore, 751  
    algoritmul Knuth-Morris-Pratt, 745  
    cu caracter de discontinuitate, 744  
potrivirea sirurilor, 731  
    algoritmul Rabin-Karp, 735  
    bazată pe factori de repetiție, 757  
    cu caracter de discontinuitate, 734  
    folosind automate finite, 739  
PRAM (mașină paralelă cu acces aleator),  
    590, 591  
PREDECESOR, 169  
predecesor, 443  
    în arbore binar de căutare, 212  
    în arbore de statistică de ordine, 250  
    în arbore roșu-negru, 227  
    în B-arbore, 338  
    în listă înlanțuită, 174  
prefix  
    al unui sir, 271  
prefix al unui sir, 732  
prefix paralel  
    pe o listă, 596  
    pe un vector, 612  
prefix paralel segmentat, 622  
PREFIX-LISTĂ, 597  
preflux, 519  
PREFLUX-GENERIC, 522  
presortare, 781  
primul sosit, primul servit, 171  
principiul includerii și excluderii, 70  
probă bernoulliană, 100  
    și bile și cutii, 111  
    și înălțimea unui arbore binar de căutare construit aleator, 220  
PROBA, 720  
probă, 793  
probabilitate, 91  
probabilitate condiționată, 93, 94  
problemă  
    de optimizare, 259  
problemă de optimizare, 259  
    algoritmi de aproximare pentru, 826  
problemă  
    rezolvabilă în timp polinomial, 788  
problemă  
    de decizie, 786  
    de optim, 787  
    multimea instanțelor unei, 786  
    multimea soluțiilor unei, 786  
problema 0-1 a rucsacului, 288, 289  
problemă abstractă, 786  
problema acoperirii cu vârfuri  
    algoritm de aproximare pentru, 828  
    zi problema clicii, 830  
problema acoperirii mulțimii, 834  
    ponderată, 843  
problema acoperirii ponderate a mulțimii,  
    843  
problema amplasării oficialui poștal, 165  
problema celui mai lung ciclu elementar, 823  
problema ciclului hamiltonian, 792  
problema clicii, 810  
    algoritm de aproximare pentru, 843  
    și problema acoperirii cu vârfuri, 830  
problema colorării grafurilor interval, 286  
problema colorării grafului, 824  
problema comis-voiajorului, 822  
    algoritm de aproximare pentru, 834  
    cu inegalitatea triunghiului, 831  
    euclidiană bitonică, 279  
    fără inegalitatea triunghiului, 833  
    strâmtorat, 834  
problema comis-voiajorului strâmtorat, 834  
problemă concretă, 787  
problemă de admisibilitate, 463

problemă de calcul, 1  
 problemă de drum minim, 441  
 problema determinării adâncimii, 395  
 problema drumurilor minime de sursă unică, 441  
 problema euclidiană bitonică a comis-voiajorului, 279  
 problema fracționară a rucsacului, 288, 290  
 problema învelitorii convexe în timp real, 777  
 problema izomorfismului subgrafului, 823  
 problema mulțimii independente, 823  
 problema off-line  
     cei mai apropiati strămoși comuni, 396  
     minim, 395  
 problema partitioanării mulțimii, 823  
 problema perechii celei mai îndepărtate, 770  
 problema rucsacului  
     0-1, 288, 289  
     fracționară, 288, 290  
 problema satisfiabilității circuitului, 800  
 problema selectării activităților, 283  
 problema sumei submulțimii, 814  
 produs  
     cartezian, 69  
     de polinoame, 666  
     încrucișat, 760  
     regula, 86  
 produs cartezian( $\times$ ), 69  
 produs încrucișat, 760  
 produs parțial, 575  
 programare liniară, 462  
 proprietate de heap, 120  
 proprietate de schimb, 297  
 proprietatea alegerii greedy, 287  
     a codurilor Huffman, 293  
     a unui matroid ponderat, 299  
 proprietatea arborelui binar de căutare, 208  
     comparată cu proprietatea de heap, 210  
 proprietatea de heap  
     comparată cu proprietatea arborelui binar de căutare, 210  
     reconstituirea, 121  
 proprietatea de trihotomie a numerelor reale, 27  
 PSEUDO-PRIM, 719

pseudocod, 2, 3  
 punct  
     în geometria computațională, 759  
 punct de articulație  
     într-un graf, 425  
 PUNE-ÎN-COADĂ, 173  
 PUNE-ÎN-STIVĂ, 172  
 punte  
     într-un graf, 425  
 putere nevidă, 692  
 QUICKSORT', 145  
 QUICKSORT, 131, 144  
 QUICKSORT-ALEATOR, 139, 222  
     relația cu arbore binar de căutare construit aleator, 223  
 rădăcină  
     a unui arbore, 80  
 rădăcină complexă de ordinul  $n$  a unității, 673  
 rădăcină netrivială a lui 1 modulo  $n$ , 710  
 rădăcină primitivă, 709  
 rădăcină principală a unității, 673  
 RANDOM, 138, 139  
 rang  
     al unei matrice, 631  
     al unui nod dintr-o pădure de mulțimi disjuncte, 385  
     al unui număr într-o mulțime ordonată, 141, 243  
     în arbore de statistică de ordine, 245, 247  
 RANG-LISTĂ, 595  
 raportul de aur ( $\phi$ ), 32, 64  
 rețea de transport  
     corespunzătoare unui graf bipartit, 516  
 RECONSTITUIE-HEAP, 121, 123  
 recurență, 46  
     arbore de recurență pentru, 51  
     și condiții de pantă, 64  
     soluție prin metoda iterativă, 50  
     soluție prin metoda master, 53  
     soluție prin metoda substituției, 47  
 recursivitate, 10  
 recursivitate de coadă, 145

- reflexivitatea notației asimptotice, 26  
 registru, 582  
 registru instrucțiune program, 801  
 Regula (schema lui Horner), 668  
 regula produsului, 86  
 regula sumei, 86  
 relația deasupra, 765  
 relație, 70  
 relație binară, 70  
 relație de echivalență, 71
  - și echivalență modulo, 72
 relație reflexivă, 70  
 relație simetrică, 70  
 relație tranzitivă, 70  
 relație de dominare, 782  
 relație prefix, 732  
 relație sufix, 732  
 relaxare, 445, 446
  - într-un graf, 446, 447**RELAXEAZĂ**, 447  
 reprezentantul unei mulțimi, 379  
 reprezentare prin coeficienți
  - a unui polinom, 668
 reprezentare prin liste de adiacență, 400  
 reprezentare prin matrice de adiacență, 401  
 reprezentare prin valori pe puncte
  - a unui polinom, 668
 reprezentarea descendant-stâng,frate-drept, 183  
 reprezentarea drumurilor minime, 443  
**RESET**, 312  
 respingere
  - de către un automat finit, 739
 rest, 689  
 rețea de comparare
  - adâncimea ei, 546
 rețea de sortare, 547  
 rețea de sortare pară-impară, 558  
 rețea de transport, 498, 499
  - capacitate a unei, 499, 508
  - flux, 499
  - metoda lui Ford-Fulkerson, 505
  - problema fluxului maxim, 499
  - tăietură minimă, 508
  - tăieturi în rețele de transport, 508
  - vârf destinație, 499
 vârf sursă, 499  
 rețea de transport multiprodus, 504  
 rețele de interclasare, 552  
 rețele de ordonare
  - rețea pară-impară, 558
  - rețele de permutări, 559
  - rețele de sortare, 544, 560
    - fire de ieșire, 545
    - fire de intrare, 545
    - principiul zero-unu, 548
    - rețele de transpoziții, 558
    - rețele de comparare, 545
    - rețele de interclasare, 552
    - rețele de permutări, 559
    - sortator bitonic, 552
  - rețele de transpoziții, 558
 rețele reziduale, 505  
**REUNEȘTE**, 379, 387
  - implementare folosind liste înlănțuite, 382
  - implementare folosind pădure de mulțimi disjuncte, 386**REUNEȘTE**, 344  
 reunioane
  - a heap-urilor Fibonacci, 366
  - a mulțimilor ( $\cup$ ), 67
 reunioane după rang, 385  
 reziduu pătratic, 729  
**REZOLVĂ-ECUȚIE-LINIARĂ-MODULARĂ**, 704  
**RIDICĂ**, 521  
 ridicare la pătrat repetată
  - factor de repetiție a unui sir, 757**RN-ENUMERĂ**, 250  
**RN-INSEREAZĂ**, 231  
**RN-ȘTERGE**, 235  
**RN-ȘTERGE-REPARĂ**, 236  
**RN-UNIUNE**, 241  
 rotație
  - într-un arbore roșu-negru, 228
 rotație
  - ciclică, 751
 rotație ciclică, 751  
**ROTEȘTE-DREAPTA**, 228  
**ROTEȘTE-STÂNGA**, 229, 238, 255

SALT, 624

salt de pointer, 593

santinelă, 176, 234, 238, 243

scalare, 469

scanarea Graham, 771

SCANAREA-GRAHAM, 771

schemă de aproximare, 827

schema de aproximare completă în timp polinomial, 827

pentru problema clicii maxime, 843

pentru problema sumei submulțimii, 839

schema lui Horner, 10

schimb de monede, 304

schimbare a costurilor, 486

schimbarea unei chei într-un heap Fibonacci, 378

SCMA, 397

SCOATE-DIN-COADĂ, 173

SCOATE-DIN-STIVĂ, 172

SCOATERE-MULTIPLĂ-DIN-STIVĂ, 307

SCRIE-CMLSC, 273

SCRIE-DISC, 330

SCRIE-OPTIM-PĂRINTI, 265

secvențe, vezi linii

secvență bitonă, 550

segment de dreaptă

determinarea întoarcerii unui, 761

determinarea faptului că se intersectează două, 761

determinarea faptului că se intersectează oricâte, 764

găsirea tuturor intersecțiilor într-o mulțime, 769

segment de dreaptă, 759

segment orientat, 759

segmente liniare comparabile, 765

selecție

în timp liniar în cazul cel mai defavorabil, 161

în timp mediu liniar, 159

în arbori de statistică de ordine, 244

problemă, 158

și sortare prin comparare, 163

SELECTIE, 162

SELECTIE-ALEATOARE, 160, 161

SELECTĂRI-ACTIVITĂȚI-GREEDY, 284

SEMI-NIVELATOR, 551

semiinel închis, 490

exemplu de, 493

semnătură digitală, 713

serie, 38, 64

serie absolut convergentă, 37

serie aritmetică, 38

serie armonică, 39

serie convergentă, 37

serie de puteri, 64

serie divergentă, 37

serie exponentială, 38

serie formală de puteri, 64

serie geometrică, 38

serie Taylor, 225

serie telescopantă, 39

simbolul lui Legendre, 729

simetria  $\Theta$ -notației, 27

simulare eficientă ca efort, 611

simularea unui circuit combinațional, 608

șir, 87

șir ( $\langle \rangle$ ), 73

inversarea în, 16

șir finit, 73

șir infinit, 73

șir vid, 732, 789

ȘIR-ECHIVALENT, 269

ȘIR-MATRICE-MEMOIZAT, 269

ȘIR-MATRICE-RECURSIV, 267

sistem de costrângeri cu diferențe, 463

sistem de ecuații liniare, 642

descompunere LUP, 643

eliminare gaussiană, 646

instabilitate numerică, 643

nedeterminat, 643

soluție a unui, 642

substituție înainte, 644

substituție înapoi, 644

supradeterminat, 643

tridiagonal, 663

sistem de ecuații liniare

descompunere LU, 646

SO-RANG, 245

SO-RANG-CHEIE, 247

SO-SELECTEAZĂ, 244, 247

- soluție  
a unei probleme computaționale, 2  
soluție cele mai mici pătrate, 659  
soluție admisibilă, 463  
sortare  
a punctelor folosind unghi polar, 763  
folosind arbore binar de căutare, 217  
heapsort, 119  
în timp liniar, 149, 157  
lexicografică, 222  
margină inferioară a cazului mediu pentru, 156  
margini inferioare pentru, 147  
pe baza cifrelor, 152  
pe grupe, 154  
pe loc, 3  
prin numărare, 149  
sortare prin inserție, 2  
sortare prin interclasare, 10  
sortare prin selecție, 9  
sortare rapidă, 131  
sortarea lui Shell, 17  
sortare lexicografică, 222  
sortare pe baza cifrelor, 152  
sortare pe grupe, 154  
sortare prin comparare, 147  
și arbori binari de căutare, 210  
și heap-uri interclasabile, 372  
și selecție, 163  
sortare prin inserție, 2, 6, 14  
comparată cu sortarea prin interclasare, 15  
folosind căutarea binară, 14  
în sortare rapidă, 143  
în sortarea pe grupe, 154  
în sortarea prin interclasare, 15  
stabilitatea, 154  
sortare prin interclasare, 10  
arbore de recursivitate pentru, 270  
comparată cu sortarea prin inserție, 15  
utilizarea sortării prin inserție în, 15  
sortare prin numărare, 149  
în sortarea pe baza cifrelor, 153  
sortare prin selecție, 9  
sortare rapidă, 131, 146  
adâncimea unei stive în, 145  
analiza algoritmului, 139  
analiza cazului mediu, 140  
analiza celui mai defavorabil caz, 139  
comportare medie, 135  
cu metoda mijlocul-din-3, 146  
descriere, 131  
implementare eficientă pentru cazul cel mai defavorabil, 163  
partiționare echilibrată, 135  
partiționarea cea mai bună, 134  
partiționarea cea mai defavorabilă, 134  
partiționarea sirului, 132  
sortare prin inserare în, 143  
stabilitatea, 154  
timp de execuție, 133  
varianta aleatoare, 137  
varianta folosind recursivitatea de coadă, 145  
sortare topologică, 417  
SORTARE-PRIN-NUMĂRARE, 150  
SORTARE-TOPOLOGICĂ, 418  
sortarea lui Shell, 17  
SORTATOR-BITONIC, 552  
SORTEAZĂ-PRIN-INTERCLASARE, 12  
SORTEAZĂ-CIRCULAR, 144  
SORTEAZĂ-PRIN-INSERTIE, 3, 7  
spațiu de selecție, 91  
spline, 663  
cubic, 663  
STÂNGA, 119  
stabilitate  
a algoritmilor de sortare, 151, 154  
stare  
a transportului, 567  
stare de acceptare, 739  
stare de start, 739  
starea liniei de baleiere, 766  
statistici de ordine, 158  
dinamice, 243  
statistici dinamice de ordine, 243  
STERGE, 169, 344  
STERGE-B-ARBORE, 339  
STERGE-DIN-HEAP, 129  
STERGE-TABLOU, 319  
stergere  
din arbore binar de căutare, 215

- din arbore de intervale, 253  
 din arbore roșu-negru, 234  
 din B-arbore, 339  
 din coadă, 172  
 din heap binomial, 358  
 din heap Fibonacci, 374, 377  
 din heap-uri 2-3-4, 359  
 din listă înlănțuită, 176  
 din stările dreptei de baleiere, 766  
 din stivă, 171  
 din tabel dinamic, 319  
 din tabele cu adresare directă, 188  
 din tabele de dispersie cu înlănțuire, 191  
 din tabele de dispersie cu adresare deschisă, 199  
 dintr-un arbore de statistică de ordine, 247  
**STIVĂ-VIDĂ**, 171  
 stivă, 171  
     adâncimea unei, 145  
     implementare folosind liste înlănțuite, 177  
     în scanarea Graham, 771  
     operații analizate prin metoda de agregație, 307  
     operații analizate prin metoda de cotație, 310  
     operații analizate prin metoda de potențial, 313  
     pe memoria secundară, 341  
     pentru execuția procedurilor, 145  
 stivă vidă, 171  
 strămoș, 80  
 strămoș propriu, 80  
 strict crescător, 28  
 strict descrescător, 28  
 structură de bloc în pseudocod, 3  
 structuri de date, 167, 326  
     2-3 arbore, 241, 343  
     arbore binar de căutare, 208  
     arbore cu rădăcină, 182, 222  
     arbore de intervale, 251  
     arbore de statistică de ordine, 243  
     arbore dinamic, 327  
     arbore oblic, 327  
     arbore roșu-negru, 226  
     arbore splay, 242  
     B-arbore, 328  
     coadă, 172  
     coadă completă, 174  
     coadă de priorități, 126  
     dicționare, 168  
     heap, 119  
     heap binomial, 344, 360  
     heap Fibonacci, 362  
     heap relaxat, 378  
     îmbogățire a, 243  
     în memoria secundară, 328  
     listă-inlănțuită, 174  
     mulțimi disjuncte, 379  
     persistente, 240, 327  
     potențial al unei, 312  
     stivă, 171  
     tabele cu adresare directă, 187  
     tabele de dispersie, 189  
     van Emde Boas, 326  
 structuri de date mulțimi disjuncte, 379  
     396  
     în determinarea adâncimii, 395  
     implementarea folosind liste înlănțuite a, 381  
     implementarea folosind păduri de mulțimi disjuncte a, 384  
     analiza, 391  
     în algoritmul lui Kruskal, 433  
     în planificarea activităților, 305  
 structuri de date mulțimi disjuncte în minim off-line, 395  
 structuri de date persistente, 240, 327  
 structuri de date van Emde Boas, 326  
 structuri repetitive în pseudocod, 3  
 subarbore, 80  
     gestiunea dimensiunilor, în arbore de statistică de ordine, 246  
 subarbore drept, 81  
 subarbore stâng, 81  
 subdepășire  
     a unei cozi, 174  
     a unei stive, 171  
 subdrum, 76  
 subexpresie comună, 679

- subgraf, 76
- subgraf induș, 76
- subgraf predecesor, 443
  - al unei căutări în adâncime, 410
- subgraful predecesorilor, 474
- subgrup, 700
- subgrup propriu, 700
- submutieme optimă a unui matroid, 298
- submulțime, 66
  - familie ereditară de, 296
  - familie independentă de, 296
- submulțime strictă( $\subset$ ), 66
- subprobleme suprapuse, 266
- subșir, 87, 270
  - subșir comun, 270
    - cel mai lung, 270
- substructură
  - unei triangulări optime, 278
- substructură optimă
  - a codurilor Huffman, 294
  - a înmulțirii unui sir de matrice, 261
  - a problemei 0-1 a rucsacului, 288
  - a problemei fracționare a rucsacului, 288
  - a unui CMLSC, 271
  - a unui matroid ponderat, 300
  - în algoritm greedy, 287
  - în metoda programării dinamice, 266
- succes într-o probă bernoulliană, 100
- SUCESOR, 169
- succesor
  - găsirea celui de-al  $i$ -lea, al unui nod într-un arbore de statistică de ordine, 247
  - în arbore binar de căutare, 212
  - în arbore de statistică de ordine, 250
  - în arbore roșu-negru, 227
  - în listă înlănțuită, 174
- sumă
  - infinită, 37
  - regula, 86
  - telescopare, 39
- sumă infinită, 37
- SUMA-SUBMULȚIMII-APROX, 841
- SUMA-SUBMULȚIMII-EXACTĂ, 839
- sumator
  - bit-serial, 582, 583
  - cu transport anticipat, 567, 572
  - cu transport propagat, 566
  - cu transport salvat, 572
- sumator complet, 563
- sumator cu transport salvat, 573
- surjecție, 73
- tăiere, în heap Fibonacci, 373
- tabel de adevăr, 562
- tabel dinamic, 315
  - analizat prin metoda de cotare, 317
  - analizat prin metoda de potențial, 317, 319
  - factor de încărcare al, 315
- tabelă cu adresare directă, 187
- tabelă de dispersie, 189
  - dinamică, 322
- tabelă de dispersie cu adresare deschisă, 198
  - dispersie dublă, 201
  - verificare liniară, 200
  - verificare pătratică, 201, 207
- tabelă de simboluri, 187, 194, 196
- tablou, 4
- tact de ceas, 582
- TAIE, 372
- TAIE-ÎN-CASCADĂ, 372
- tăiere în cascadă, 373, 377
- tăietură
  - a unui graf neorientat, 429
  - tautologie, 796
- tehnica ciclului eulerian, 598
- teorema de convoluție, 678
- teorema de integralitate, 518
- teorema drumului alb, 413
- teorema lui Bayes, 94
- teorema lui Brent, 608
- teorema master, 53
  - demonstrația, 55
- teorema parantezelor, 413
- text cifrat, 713
- TFD (transformata Fourier discretă), 675
- TFR-ITERATIVĂ, 681
- TFR-RECURSIVĂ, 676
- temp CPU, 329
- temp de execuție, 6

cazul mediu, 9  
 cel mai defavorabil caz, 25  
 cel mai favorabil caz, 10, 24  
 timp de execuție pentru cazul mediu, 9  
 timp de execuție pentru cel mai defavorabil caz, 8, 25  
 timp de execuție pentru cel mai favorabil caz, 10, 24  
 timp polinomial  
     schemă de aproximare, 827  
 tipărire uniformă, 280  
 TIPĂREȘTE-CALE, 409  
 TIPĂREȘTE-DRUMURILE-MINIME-DINTRE-TOATE-PERECHILE, 474  
 transformata Fourier discretă, 675  
 transformata Fourier rapidă  
     circuit pentru, 682  
     implementare iterativă a, 679  
     implementare recursivă, 676  
 transformata Fourier rapidă TFR  
     utilizând aritmetică modulară, 685  
 transport  
     distrus, 567  
     generat, 567  
     propagat, 567  
 transport de ieșire, 566  
 transport de intrare, 566  
 transpusa  
     unei matrice, 402  
 transpusul  
     unui graf, 402  
 tranzitivitatea notației asymptotice, 26  
 traversare a unui arbore, 209, 245  
 traversarea arborelui în inordine, 209, 210, 213, 245  
 traversarea arborelui în postordine, 209  
 traversarea arborelui în preordine, 209  
 traversarea unei tăieturi, 430  
 triangulare, 275  
 triangularea optimă a poligoanelor, 275  
 trihotomia intervalelor, 251  
 triunghi, 275  
     al lui Pascal, 90  
 triunghiul lui Pascal, 90  
 trunchiere a unui heap Fibonacci, 378  
 tuplu, 69

tur Euler  
     al unui graf, 426  
 ultimul sosit, primul servit, 171  
 umbra unui punct, 777  
 UNEȘTE, 387  
 unghi polar, sortarea punctelor, 763  
 unic conex, 417  
 unificare  
     a heap-urilor, 344  
     a heap-urilor 2-3-4, 359  
     a heap-urilor binomiale, 351, 355  
     a listelor înlántuite, 178  
 unitate, 688  
 uniune  
     a arborilor roșu-negru, 240  
 univers, 68  
 vârf cu exces de flux, 519  
 vârf cuplat, 515  
 valoare  
     a unei funcții, 73  
 valoare de dispersie, 190  
 valoare medie, 97  
     a unei distribuții binomiale, 102  
     a unei distribuții geometrice, 100  
 vârf, 771  
     în graf, 74  
     al unui poligon, 275  
 vârf al unei stive, 171  
 vârf alb, 403, 410  
     în căutarea în adâncime, 410  
     într-un arbore de lățime, 403  
 vârf descoverit, 403, 410  
     în căutarea în adâncime, 410  
 vârf destinație, 442  
 vârf gri, 403, 410  
     în căutarea în adâncime, 410  
     într-un arbore de lățime, 403  
 vârf intermediar, 480  
 vârf negru, 403, 410  
     în căutarea în adâncime, 410  
     într-un arbore de lățime, 403  
 vârf sursă, 441  
 vârfuri adiacente, 75  
 variabilă aleatoare discretă, 96

variabilă  
aleatoare, 96  
în pseudocod, 4  
variabilă aleatoare, 96  
variabilă globală, 4  
vecin, 77  
vecinătate, 518  
vector, 626  
    de anulare, 631  
    în plan, 760  
    liniar dependent, 630  
    liniar independent, 631  
    produs încrucișat al, 760  
vector coloană, 627  
vector de biți, 188  
vector linie, 627  
vector unitate, 627  
verificare, 199, 205  
verificare liniară, 200  
verificare pătratică, 201, 207  
versiunea neorientată a unui graf orientat,  
    77  
versiunea orientată a unui graf neorientat,  
    77  
VLSI (integrare pe scară foarte largă), 65  
zero, 705

